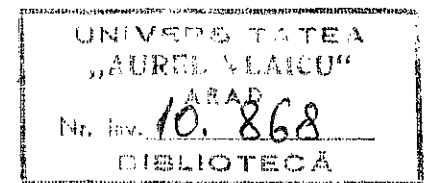


ÎNDRUMĂTOR PENTRU ATELIERE MECANICE



Ing. GEORGE S. GEORGESCU

Ediția a VI-a, revizuită și completată



EDITURA TEHNICĂ
BUCUREȘTI-1978

„Îndrumătorul pentru ateliere mecanice” conține date folosite în mod curent în ateliere mecanice, sculării, ateliere de reparații, atât la stabilirea proceselor tehnologice de prelucrare, cât și la alegerea mașinilor-unelte, sculelor, dispozitivelor, verificatoarelor etc.

Materialul cuprins în această a șasea ediție este revăzut și completat cu noile standarde apărute sau modificate.

De asemenea unele capitole din ediția anterioară au fost restructurate pentru a putea fi incluse noutăți apărute în construcția mașinilor-unelte, tehnologia prelucrării metalelor, precizia de prelucrare a suprafețelor metalice etc.

Lucrarea se adresează muncitorilor cu o înaltă calificare, maiștrilor, tehnicienilor, proiectanților și inginerilor din întreprinderile constructoare de mașini precum și celor din atelierele mecanice de reparații și întreținere ale întreprinderilor industriale.

Redactor : ing. VASILE BUZATU
Tehnoredactor : VALERIU MORĂRESCU
Coperta : SIMONA NICULESCU

Bun de tipar: 10.11.1978. Coli de tipar: 52,50
Tiraj: 50.000 + 80 exemplare legate
C. Z. 621.7/8 (026)



c. 1637 I. P. „INFORMAȚIA”
str. Brezoianu nr. 23-25, București
REPUBLICA SOCIALISTĂ ROMÂNIA

PREFAȚĂ LA EDIȚIA A VI-a

„Îndrumătorul pentru ateliere mecanice” este o lucrare destinată utilizării la locul de muncă pentru rezolvarea în timp scurt a diferitelor probleme care apar în mod curent și în special acolo unde nu se dispune de un număr prea mare de alte cărți tehnice și nici de o colecție de standarde.

Cuprinsul acestui manual, completat la fiecare ediție cu cunoștințe și date tehnice noi, constituie un ajutor important în creșterea continuă a productivității muncii și în obținerea unor produse de calitate superioară în industria țării noastre în continuă dezvoltare.

Și ediției a VI-a a lucrării i-au fost aduse numeroase îmbunătățiri, prin restructurarea și reelaborarea unor capitole, pentru a fi adusă la nivelul noilor realizări din țara noastră în domeniul construcțiilor de mașini și al metalurgiei prelucrătoare.

Prin cuprinsul său, „Îndrumătorul pentru ateliere mecanice” este un auxiliar util pentru muncitorii cu o înaltă calificare, maiștrii, tehnicienii și inginerii care lucrează atât în industria metalurgică și prelucrătoare pentru construcții de mașini, cât și în atelierele mecanice de reparații și întreținere ale întreprinderilor din industria țării noastre.

Cartea poate fi folosită de asemenea de către studenții institutelor tehnice superioare, precum și de către tehnicienii și inginerii tehnologi și proiectanți.

Autorul

CUPRINS

| | |
|--|----|
| Prefață | 5 |
| Capitolul 1 Mărimi și unități | 13 |
| 1. Definiții | 13 |
| 2. Sisteme de unități de măsură | 13 |
| 2.1. Sistemul Internațional de măsură SI | 13 |
| 2.2. Sistemele de unități de măsură MKS, CGS și MKfS | 14 |
| Capitolul 2 Rezistența materialelor | 33 |
| 1. Centre de greutate | 33 |
| 2. Momente, momente de inerție, modul de rezistență | 35 |
| 3. Relațiile dintre rezistențe și deformări | 37 |
| 4. Rezistențe admisibile și coeficient de siguranță | 39 |
| 5. Valori practice de elasticitate și rezistență | 39 |
| 5.1. Valori de elasticitate și rezistență pentru materiale feroase | 40 |
| 5.2. Valori de elasticitate și rezistență pentru materiale neferoase | 40 |
| 5.3. Valori de elasticitate și rezistență pentru materiale diverse | 40 |
| 6. Piese supuse la diferite solicitări | 40 |
| 6.1. Piese supuse la tracțiune și compresiiune | 42 |
| 6.2. Piese supuse la flambaj | 44 |
| 6.3. Piese supuse la încovoiere | 44 |
| 6.4. Piese supuse la răsucire | 45 |
| 6.5. Piese supuse la forfecare | 45 |
| 6.6. Piese supuse la încovoiere și răsucire | 46 |
| 7. Exemple de calcul | 46 |
| 7.1. Calculul la tracțiune | 46 |
| 7.2. Calculul la compresiiune | 46 |
| 7.3. Calculul la flambaj | 46 |
| 7.4. Calculul la încovoiere | 47 |
| 7.5. Calculul la răsucire | 47 |
| 7.6. Calculul la forfecare | 47 |
| Capitolul 3 Organe de mașini | 50 |
| 1. Șuruburi | 50 |
| 1.1. Generalități | 52 |
| 1.2. Calculul șuruburilor | 54 |
| 1.3. Forme și dimensiuni | 56 |
| 1.4. Caracteristici mecanice | 56 |
| 1.5. Alegerea materialului | 58 |
| 1.6. Notarea organelor de asamblare filetate | 59 |
| 1.7. Abateri limită la dimensiuni | 59 |
| 1.8. Rugozitate | 59 |
| 1.9. Găuri de trecere pentru șuruburi | 75 |
| 1.10. Lungimi de filetare, adâncimi de găuri filetate, terminări de filet și șplinturi | 76 |
| 2. Piulițe | 76 |
| 2.1. Generalități | 76 |
| 2.2. Forme și dimensiuni | 79 |
| 2.3. Caracteristici mecanice | 80 |
| 2.4. Materiale | 80 |
| 3. Șaibe și inele de siguranță | 80 |

Cuprins

7

| | |
|---|-----|
| 3.1. Generalități | 80 |
| 3.2. Forme și dimensiuni | 83 |
| 4. Știfturi | 83 |
| 4.1. Generalități | 83 |
| 4.2. Forme și dimensiuni | 89 |
| 5. Șplinturi | 94 |
| 6. Nituri | 94 |
| 6.1. Generalități | 94 |
| 6.2. Principii generale de calcul | 96 |
| 6.3. Parametrii caracteristici pentru nituirea de rezistență a tablelor de oțel | 98 |
| 6.4. Parametrii caracteristici pentru nituirea metalelor ușoare | 100 |
| 6.5. Forme și dimensiuni | 100 |
| 7. Pene | 103 |
| 7.1. Pene transversale | 103 |
| 7.2. Pene longitudinale | 104 |
| Capitolul 4 Angrenaje | 113 |
| 1. Generalități | 113 |
| 2. Angrenaje cilindrice | 115 |
| 2.1. Generalități | 115 |
| 2.2. Angrenaje cilindrice cu dinți drepecți | 118 |
| 2.3. Angrenaje cilindrice cu dinți înclinați | 121 |
| 2.4. Tăierea dinților la angrenajele cilindrice | 130 |
| 3. Angrenaje melc-roată melcată | 133 |
| 3.1. Calculul angrenajelor melc-roată melcată | 133 |
| 3.2. Tăierea dinților la angrenajele melc-roată melcată | 135 |
| 4. Angrenaje cu roți conice | 135 |
| 4.1. Calculul angrenajelor cu roți conice | 136 |
| 4.2. Tăierea dinților la angrenajele conice | 138 |
| Capitolul 5 Arcuri | 140 |
| 1. Generalități | 140 |
| 2. Calculul arcurilor | 144 |
| 2.1. Notatii | 144 |
| 2.2. Definiții | 145 |
| 2.3. Formule de calcul | 145 |
| 2.4. Calculul arcurilor elicoidale cilindric, cu secțiune rotundă, cu ajutorul nomogramelor | 148 |
| Capitolul 6 Transmisii | 150 |
| 1. Arbori | 150 |
| 1.1. Generalități | 150 |
| 1.2. Calculul arborilor | 151 |
| 1.3. Dimensiuni | 153 |
| 2. Cuplaje | 154 |
| 2.1. Cuplaje rigide | 154 |
| 2.2. Cuplaje mobile | 160 |
| 3. Lagăre | 161 |
| 3.1. Generalități | 161 |
| 3.2. Lagăre cu alunecare | 162 |
| 3.3. Lagăre cu rulmenți | 162 |
| 4. Roți de curea | 170 |
| 4.1. Roți pentru curele late | 170 |
| 4.2. Roți pentru curele trapezoidale | 173 |

| | |
|--|-----|
| 5. Curele | 174 |
| 5.1. Generalități | 174 |
| 5.2. Calcule și dimensiuni | 176 |
| <i>Capitolul 7 Mașini-unelte și operații de prelucrare la mașini-unelte</i> | 183 |
| 1. Noțiuni generale despre mașini-unelte | 183 |
| 1.1. Clasificarea mașinilor-unelte | 183 |
| 1.2. Acționarea mașinilor-unelte | 184 |
| 1.3. Motoarele electrice pentru acționarea mașinilor-unelte | 185 |
| 1.4. Puterea necesară acționării mașinilor-unelte | 186 |
| 1.5. Schemă cinematică și lanț cinematic | 190 |
| 2. Noțiuni despre așchierea metalelor | 192 |
| 2.1. Caracteristicile procesului de așchiere | 192 |
| 2.2. Condiții economice de așchiere | 195 |
| 3. Prelucrări prin așchiere | 200 |
| 3.1. Generalități | 200 |
| 3.2. Clasificare | 200 |
| 3.3. Strunjirea | 208 |
| 3.4. Găurirea | 233 |
| 3.5. Zencuirea | 243 |
| 3.6. Alezarea | 247 |
| 3.7. Filetarea | 250 |
| 3.8. Frezarea | 257 |
| 3.9. Rabotarea | 294 |
| 3.10. Mortezarea | 303 |
| 3.11. Rectificarea | 306 |
| 3.12. Broșarea | 336 |
| 3.13. Lepuirea | 340 |
| 3.14. Honuirea (Honing) | 344 |
| 3.15. Suprafinisarea | 347 |
| 4. Ungerea transmisilor și a mașinilor-unelte | 350 |
| 4.1. Generalități | 350 |
| 4.2. Lubrifianti | 351 |
| 5. Răcirea și ungerea la prelucrarea metalelor | 352 |
| 5.1. Generalități | 352 |
| 5.2. Lichide de răcire-ungere | 354 |
| <i>Capitolul 8 Scule așchietoare</i> | 375 |
| 1. Cuțite de strung, raboteză și morteză | 357 |
| 1.1. Noțiuni despre forma așchiilor | 357 |
| 1.2. Noțiuni fundamentale despre cuțite. Definiții | 358 |
| 1.3. Parametrii geometrici ai părților de așchiere | 362 |
| 1.4. Alegerea dimensiunilor cuțitului | 367 |
| 1.5. Formele și dimensiunile cuțitelor de strung, raboteză și morteză | 369 |
| 1.6. Plăcuțe pentru cuțite de strung, raboteză și morteză | 388 |
| 2. Burghie | 395 |
| 2.1. Clasificarea și descrierea burghiilor | 395 |
| 2.2. Elementele constructive și parametrii geometrici ai burghiilor elicoidale | 398 |
| 2.3. Date constructive | 400 |
| 3. Zencuitoare | 403 |
| 3.1. Generalități | 403 |
| 3.2. Clasificare și descriere | 403 |

| | |
|---|-----|
| 4. Alezoare | 408 |
| 4.1. Clasificare și descriere | 409 |
| 4.2. Date constructive | 413 |
| 4.3. Dimensiuni normalizate | 416 |
| 5. Scule pentru filetat | 419 |
| 5.1. Tarozi | 419 |
| 5.2. Cuțite pentru filetat | 424 |
| 5.3. Filiere | 426 |
| 6. Freze | 432 |
| 6.1. Clasificare și descriere | 432 |
| 6.2. Elemente geometrice și așchietoare | 435 |
| 6.3. Date constructive | 445 |
| 6.4. Dimensiuni normalizate | 447 |
| 7. Broșe | 453 |
| 7.1. Clasificare și descriere | 453 |
| 7.2. Elemente și date constructive | 455 |
| 8. Conuri pentru scule | 459 |
| 8.1. Cozi și manșoane | 459 |
| 8.2. Reducții | 462 |
| 8.3. Pene de evacuare pentru cozi Morse și metrice | 462 |
| 9. Capete și locașuri pătrate de antrenare a cozilor cilindrice pentru scule rotative | 462 |
| 10. Pietre abrazive | 462 |
| 10.1. Materialele pietrelor abrazive | 466 |
| 10.2. Caracteristicile pietrelor abrazive | 468 |
| 10.3. Clasificarea pietrelor abrazive cu liant ceramic | 469 |
| 10.4. Alegerea pietrelor de polizor | 473 |
| <i>Capitolul 9 Toleranțe și ajustaje</i> | 478 |
| 1. Generalități | 478 |
| 1.1. Cauzele erorilor de prelucrare | 478 |
| 1.2. Interschimbabilitatea | 478 |
| 1.3. Sisteme de toleranțe | 479 |
| 2. Noțiuni de bază | 480 |
| 2.1. Dimensiuni, abateri, toleranțe | 480 |
| 2.2. Jocuri, stringeri, ajustaje | 482 |
| 2.3. Jocuri și stringeri termice | 484 |
| 2.4. Sisteme de ajustaj | 485 |
| 3. Sistemul de toleranțe ISO | 487 |
| 3.1. Generalități | 487 |
| 3.2. Terminologie | 488 |
| 3.3. Cîmp de toleranță | 489 |
| 3.4. Toleranțe fundamentale. Trepte de precizie | 491 |
| 3.5. Abateri fundamentale | 492 |
| 3.6. Alegerea sistemului de ajustaj, treptei de precizie și ajustajului | 494 |
| 3.7. Ajustaje cu stringere, intermediare, cu joc | 498 |
| 3.8. Valori numerice | 503 |
| 4. Calibre netede pentru alezaje și arbori | 516 |
| 4.1. Generalități | 516 |
| 4.2. Calibre limitative | 533 |
| 4.3. Calibre de fabricație, recepție și contracalibre | 534 |
| 4.4. Calibre limitative netede pentru alezaje și arbori | 536 |

| | | |
|--|--|------------|
| | Capitolul 10 Filete | 542 |
| 1. Generalități | | 542 |
| 1.1. Clasificarea filetelor | | 542 |
| 1.2. Elementele principale ale filetului | | 543 |
| 2. Filete standardizate | | 545 |
| 2.1. Filetul metric | | 540 |
| 2.2. Filetul în inci (Whitworth) | | 552 |
| 2.3. Filetul trapezoidal | | 567 |
| 2.4. Filetul ferăstrău | | 569 |
| 2.5. Filetul rotund | | 571 |
| | Capitolul 11 Prelucrări prin ștanțarea și ambutisarea la rece | 574 |
| 1. Alegerea și croirea materialului | | 574 |
| 2. Date privitoare la tehnologia ștanțării | | 576 |
| 2.1. Dimensiuni minime la decuparea și perforarea pieselor | | 576 |
| 2.2. Dimensiuni minime la îndoirea pieselor | | 577 |
| 2.3. Forțe necesare la decupare și pe perforare | | 578 |
| 2.4. Jocul dintre placa tăietoare și poanson la decupare și perforare | | 579 |
| 2.5. Date pentru ambutisare | | 580 |
| 2.6. Date pentru rășfringerea marginilor unei piese | | 584 |
| 3. Regim de lucru | | 585 |
| 4. Prese | | 585 |
| 4.1. Presă cu excentric | | 585 |
| 4.2. Presă cu bielă-manivelă | | 587 |
| 4.3. Presă cu fricțiune | | 587 |
| | Capitolul 12 Metode înaintate de prelucrare | 588 |
| 1. Metode electrochimice de netezire | | 588 |
| 1.1. Lustruirea electrolitică | | 588 |
| 1.2. Rodarea electrolitică | | 588 |
| 1.3. Rectificarea electrolitică | | 589 |
| 2. Suprafinisarea și ecrusarea suprafețelor prin rulare | | 589 |
| 3. Prelucrarea prin scintei electrice | | 590 |
| 4. Prelucrarea prin ultrasunete | | 593 |
| 5. Prelucrarea cu ajutorul plasmel | | 595 |
| 6. Prelucrarea cu fascicul electric | | 596 |
| 7. Prelucrarea cu energie de radiație | | 597 |
| | Capitolul 13 Mașini-unelte cu comandă după program | 600 |
| 1. Sisteme de comandă după program, sisteme de numerație și coduri | | 600 |
| 1.1. Sisteme de comandă după program | | 600 |
| 1.2. Sisteme de numerație | | 601 |
| 1.3. Coduri | | 603 |
| 2. Pregătirea și prescrierea programului | | 604 |
| 2.1. Portprograme | | 604 |
| 2.2. Întocmirea programului | | 606 |
| 2.3. Dispozitive pentru înregistrarea pe portprograme | | 606 |
| 3. Elementele principale ale sistemelor de comandă după program | | 607 |
| 3.1. Dispozitive pilot | | 607 |
| 3.2. Scheme de numărare | | 608 |
| 3.3. Dispozitive de acționare | | 609 |
| 4. Programarea ciclului, a regimurilor de prelucrare a schimbării cuțitului la strunguri | | 610 |
| 4.1. Programarea ciclului | | 610 |

| | |
|--|-----|
| 4.2. Programarea regimurilor de prelucrare | 612 |
| 4.3. Programarea schimbării cuțitului | 614 |
| 5. Controlul și autoreglarea | 614 |
| 5.1. Controlul funcționării schemelor | 614 |
| 5.2. Controlul stării cuțitelor și compensarea uzurii acestora | 615 |
| 5.3. Sisteme de comandă după program cu elemente de autoreglare | 616 |
| 5.4. Mașini-unelte cu comandă după program construite în R.S.R. | 619 |
| Capitolul 14 Linii automate | |
| Capitolul 15 Mașini-unelte agregat | 621 |
| Capitolul 16 Precizia prelucrării pieselor | |
| 1. Starea suprafețelor | 627 |
| 1.1. Generalități | 627 |
| 1.2. Clasificarea abaterilor geometrice ale suprafeței | 627 |
| 1.3. Rugozitatea suprafețelor | 630 |
| 1.4. Prescrierea rugozității și ondulației suprafeței | 634 |
| 1.5. Valoarea rugozității R_a în funcție de diferitele procedee de prelucrare și criteriile de alegere a acestora în construcția de mașini | 635 |
| 2. Precizia suprafețelor prelucrate | 638 |
| 2.1. Noțiuni generale | 638 |
| 2.2. Abaterile de dimensiune, de formă și de poziție | 638 |
| 3. Corelația dintre rugozitatea și precizia dimensională a suprafeței prelucrate și criteriile de alegere | 640 |
| Capitolul 17 Materiale metalice | |
| 1. Proprietățile metalelor | 644 |
| 2. Încercările metalelor | 648 |
| 2.1. Încercări mecanice | 648 |
| 2.2. Analize chimice | 660 |
| 2.3. Control metalografic | 660 |
| 3. Metale feroase | 661 |
| 3.1. Fonte | 661 |
| 3.2. Oțeluri pentru piese de mașini | 668 |
| 3.3. Oțeluri și carburi metalice pentru scule | 697 |
| 4. Metale și aliaje neferoase | 710 |
| 4.1. Metale neferoase | 710 |
| 4.2. Aliaje neferoase | 711 |
| Capitolul 18 Tratamente termice și termochimice ale oțelurilor | |
| 1. Generalități | 719 |
| 1.1. Structura metalelor și aliajelor | 719 |
| 1.2. Temperaturi critice și zone de transformare | 719 |
| 2. Tehnologia tratamentelor oțelurilor de construcție și de scule | 721 |
| 2.1. Tratamente termice | 721 |
| 2.2. Tratamente termochimice | 726 |
| 3. Tratamentul termic al sculelor așchietoare | 728 |
| 3.1. Tratamentul termic al sculelor din oțeluri carbon pentru scule | 728 |
| 3.2. Tratamentul termic al sculelor din oțeluri aliate pentru scule | 729 |
| 3.3. Tratamentul termic al sculelor din oțel rapid | 730 |
| Capitolul 19 Noțiuni de desen tehnic | |
| 1. Principii de reprezentare | 734 |
| 1.1. Linii în desenul industrial | 734 |
| 1.2. Secționarea pieselor | 735 |

| | |
|---|-----|
| 1.3. Reprezentarea cu ruptură a pieselor | 736 |
| 1.4. Hașurarea pieselor | 737 |
| 1.5. Reprezentări simplificate | 737 |
| 2. Înscrierea cotelor și toleranțelor pe desen | 738 |
| 2.1. Înscrierea cotelor | 738 |
| 2.2. Înscrierea toleranțelor | 739 |
| 3. Semne convenționale | 747 |
| 3.1. Simboluri pentru notarea stării suprafeței | 747 |
| 3.2. Indicarea datelor privind starea suprafețelor | 747 |
| 3.3. Reguli de înscriere pe desen a datelor privind starea suprafețelor | 750 |
| 3.4. Semne convenționale pentru scheme cinematice | 754 |
| 3.5. Semne convenționale pentru înscrierea toleranțelor de formă și de poziție a suprafețelor și a liniilor | 754 |
| Capitolul 20 Semifabricate metalice standardizate | 756 |
| 1. Dimensiuni | 756 |
| 1.1. Semifabricate din oțel | 756 |
| 1.2. Semifabricate neferoase | 777 |
| 2. Mase | 786 |
| Capitolul 21 Sudarea, tăierea și lipirea metalelor | 790 |
| 1. Sudarea metalelor | 790 |
| 1.1. Generalități | 790 |
| 1.2. Procedee tehnologice | 790 |
| 1.3. Regim de sudare și consumuri specifice | 803 |
| 2. Tăierea metalelor | 805 |
| 2.1. Tăierea cu flacăra de oxigen și gaz | 805 |
| 2.2. Tăierea cu arc electric | 808 |
| 3. Lipirea metalelor | 808 |
| 3.1. Lipirea moale | 809 |
| 3.2. Lipirea tare | 811 |
| Capitolul 22 Matematici | 813 |
| 1. Algebra | 813 |
| 1.1. Logaritmi | 813 |
| 2. Trigonometrie | 816 |
| 2.1. Funcții trigonometrice | 816 |
| 2.2. Formule trigonometrice | 817 |
| 2.3. Calculul trigonometric al triunghiurilor | 817 |
| 3. Geometrie | 820 |
| 3.1. Definiții | 820 |
| 3.2. Teorema lui Pitagora | 820 |
| 3.3. Aria și centrul de greutate al figurilor plane | 821 |
| 3.4. Volumul, aria și centrul de greutate al corpurilor geometrice | 823 |
| 3.5. Calculul poligoanelor regulate | 827 |
| Capitolul 23 Tabele matematice | 828 |
| 1. Semne matematice | 828 |
| 2. Tabele de calcul | 829 |
| 2.1. Mantisele logaritmilor zecimali (Briggs, vulgari) | 829 |
| 2.2. Funcții trigonometrice: sinus, cosinus, tangentă și cotangentă | 832 |
| 2.3. Valori numerice des întâlnite | 837 |
| Bibliografie | 839 |

MĂRIMI ȘI UNITĂȚI

1. DEFINIȚII

Mărimea este o expresie fizică, având dimensiuni și fiind susceptibilă la creșteri și reduceri. Nu variază cu unitatea de măsură aleasă.

Unitatea de măsură este o mărime de aceeași natură cu mărimea de măsurat și este aleasă în mod arbitrar ca termen de comparație.

Măsura este un număr reprezentând raportul dintre mărime și unitatea respectivă de măsură.

Exemplu: $l = 28 \text{ m}$; l (lungimea) este mărimea, 28 este măsura, iar m (metrul) este unitatea de măsură.

Unități de măsură fundamentale sînt acelea care, la formarea unui sistem de unități de măsură, au fost alese arbitrar spre a servi de bază sistemului respectiv (exemplu: metrul, secunda).

Unități de măsură derivate sînt celelalte unități ale sistemului de unități de măsură, deduse din unitățile fundamentale pe baza relațiilor matematice (ecuații de definiție) alese pentru exprimarea lor.

2. SISTEME DE UNITĂȚI DE MĂSURĂ

2.1. SISTEMUL INTERNAȚIONAL DE MĂSURĂ SI

Acest sistem, notat prescurtat SI, a fost definitivat la Conferința Generală de Măsuri și Greutăți din 1960. Din anul 1961 acest sistem este legal și obligatoriu în Republica Socialistă România.

2.1.1. Unități fundamentale, unități suplimentare și unități derivate SI. Sistemul Internațional de unități cuprinde trei categorii de unități de măsură și anume: unități fundamentale, unități suplimentare și unități derivate.

Unitățile fundamentale SI sînt unități de măsură ale mărimilor fundamentale lungime, masă, timp, intensitate a curentului electric, temperatură termodinamică, intensitate luminoasă și cantitate de substanță considerate ca fiind independente unele de altele.

Unitățile suplimentare SI sînt unități de măsură ale mărimilor geometrice unghi plan și unghi solid.

Unitățile derivate SI sînt unități de măsură formate prin combinația unităților fundamentale SI și a unităților suplimentare SI, pe baza unei expresii algebrice de multiplicare și divizare, care leagă între ele mărimile corespunzătoare.

Definițiile unităților fundamentale SI sînt arătate după STAS 737/1-72 în tabela 1.1, iar ale unităților suplimentare SI în tabela 1.2.

În tabela 1.3 sînt arătate, după STAS 737/2-72, unitățile derivate SI ale mărimilor de spațiu și timp și ale mărimilor caracteristice mecanicii.

2.1.2. Multiplii și submultiplii zecimali preferențiali ai unităților SI. În tabela 1.4 sînt indicați, după STAS 737/5-73, multiplii și submultiplii zecimali preferențiali pentru unitățile mărimilor de spațiu și de timp, iar în tabela 1.5 pentru unitățile mărimilor mecanice.

2.1.3. Unitățile de măsură SI. Unitățile de măsură SI corespunzătoare principalelor mărimi de spațiu și timp sînt redade după STAS 737/6-74 în tabela 1.6 iar în tabela 1.7 sînt specificate, după STAS 737/8-74, unitățile de măsură corespunzătoare principalelor mărimi caracteristice mecanicii.

2.1.4. Prefixe pentru multiplii și submultiplii zecimali. Prefixele precum și regulile de formare și utilizare a multiplilor și submultiplilor zecimali ai unităților SI sînt cuprinse în STAS 734/4-68. În tabela 1.8 sînt arătați factorii de multiplicare cu prefixele și simbolurile corespunzătoare.

2.1.5. Unități de măsură tolerate pe termen nelimitat. În tabela 1.9 sînt incluse, după STAS 9446-73, unitățile de măsură care nu fac parte din Sistemul Internațional de unități, dar sînt admise a fi utilizate în paralel pe timp nelimitat cu unitățile SI.

2.2. SISTEMLER DE UNITĂȚI DE MĂSURĂ MKS, CGS și MKfS

În afară de Sistemul Internațional, se mai utilizează în prezent, ca sisteme tolerate și sistemele MKS, CGS și MKfS.

Sistemul MKS are o utilizare generală.

Sistemul CGS este utilizat în special la lucrări științifice.

Sistemul MKfS are o utilizare restrînsă, în special în mecanică și în termodinamica tehnică.

Mărimile și unitățile fundamentale de măsură ale sistemelor MKS, CGS și MKfS și simbolurile unităților fundamentale ale acestora sînt arătate în tabela 1.10.

În tabela 1.11 sînt indicate mărimile și unitățile de măsură ale sistemelor CGS, SI și MKfS folosite curent în tehnică; de asemenea sînt arătate simbolul, ecuația de definiție și dimensiunile mărimilor, simbolul și denumirea unităților de măsură și relațiile de transformare.

Tabela 1.1. Unități fundamentale SI

| Nr. crt. | Mărimea fundamentală | Unitatea fundamentală | | | Observații |
|----------|----------------------------------|-----------------------|----------|---|---|
| | | Denumirea | Simbolul | Definiția | |
| 1 | lungime | metru | m | Metru este lungimea egală cu 1 650 763,73 lungimi de undă în vid ale radiației care corespunde tranziției între nivelele de energie $2p_{10}$ și $5d_5$ ale atomului de kripton 86 | Definiția metruului a fost adoptată de cea de-a XI-a Conferință Generală de Măsuri și Greutăți din 1960, prin Rezoluția a 6-a |
| 2 | masă | kilogram | kg | Kilogramul este masa prototipului internațional al kilogramului | Definiția kilogramului a fost adoptată de I-a și cea de-a III-a Conferință Generală de Măsuri și Greutăți din 1889 și respectiv 1901. Kilogramul prototip internațional este păstrat la Biroul Internațional de Măsuri și Greutăți de la Sèvres, în condițiile care au fost fixate de Conferința Generală de Măsuri și Greutăți din 1889 |
| 3 | timp | secundă | s | Secunda este durată a 9 192 631 770 perioade ale radiației care corespunde tranziției între cele două nivele de energie hiperfine ale stării fundamentale a atomului de cesiu 133 | Definiția secunde a fost adoptată de cea de-a XIII-a Conferință Generală de Măsuri și Greutăți din 1967, prin Rezoluția a 1-a |
| 4 | intensitatea curentului electric | amper | A | Amperul este intensitatea unui curent electric constant care, menținut în două conductoare paralele, rectilinii, cu lungimea infinită și cu secțiunea circulară neglijabilă, așezate în vid, la o distanță de 1 metru unul de altul, ar produce între aceste conductoare o forță de $2 \cdot 10^{-7}$ newtoni pe o lungime de 1 metru | Definiția amperului a fost adoptată de cea de IX-a Conferință Generală de Măsuri și Greutăți din 1948, prin Rezoluția a 2-a |

Tabela 1.1 (continuare)

| Nr. crt. | Unitatea fundamentală | | | | Observații |
|----------|---------------------------|-----------|----------|--|--|
| | Mărimea fundamentală | Denumirea | Simbolul | Definiția | |
| 5 | temperatură termodinamică | kelvin | K | Kelvinul, unitate de temperatură termodinamică, este fracțiunea $1/273,16$ din temperatura termodinamică a punctului triplu al apei | Definiția kelvinului a fost adoptată de cea de-a XIII-a Conferință Generală de Măsuri și Greutăți din 1967, prin Rezoluția a 4-a. Aceeași unitate de măsură și același simbol sînt utilizate pentru a evalua un interval de temperatură |
| 6 | intensitate luminoasă | candela | cd | Candela este intensitatea luminoasă, în direcția normală, a unei suprafețe cu aria de $1\ 600\ 000$ metri pătrați a unui corp negru la temperatura de solidificare a platinei, sub presiunea de $101\ 325$ pascali | Definiția candelă a fost adoptată de cea de-a XIII-a Conferință Generală de Măsuri și Greutăți din 1967, prin Rezoluția a 5-a |
| 7 | cantitate de substanță | mol | mol | Molul este cantitatea de substanță a unui sistem care conține atîtă cantitate de elementare cît atomii există în $0,012$ kilograme de carbon 12 . OBSERVAȚIE. — Entitățile elementare, care pot fi atomi, molecule, ioni, electroni, alte particule sau grupuri specifice de astfel de particule, trebuie să fie menționate ori de cîte ori se întrebunințează molul | Molul a fost adoptat ca unitate fundamentală SI de cea de a XIV-a sesiune CGPM (1971), prin Rezoluția 3, prin care a fost adoptată totodată și definiția acestei unități de măsură, pe baza propunerii făcute de Comitetul Consultativ de Unități al CIPM, în urma avizului dat de Uniunea Internațională de Fizică Pură și Aplicată (U.I.F.P.A.), Uniunea Internațională de Chimie Pură și Aplicată (U.I.C.P.A.) și Organizația Internațională de Standardizare (ISO) |

Tabela 1.2. Unități suplimentare SI

| Nr. crt. | Mărimea suplimentară | Unitatea suplimentară | | | Observații |
|----------|----------------------|-----------------------|----------|---|--|
| | | Denumirea | Simbolul | Definiția | |
| 1 | unghi plan | radian | rad | Radianul este unghiul plan cuprins între două raze care interceptează pe circumferința unui cerc un arc a cărui lungime este egală cu raza | Radianul și steradianul au fost adoptate ca unități suplimentare SI de cea de a XI-a sesiune CGPM (1960) prin Rezoluția 12. Definițiile radianului și steradianului sînt date de Organizația Internațională de Standardizare (ISO) în Recomandarea R 31, partea întâi (ed. a 2-a, 1965). |
| 2 | unghi solid | steradian | sr | Steradianul este unghiul solid care, avînd vîrfurile în centrul unei sfere, delimitează pe suprafața sferei o arie egală cu aria unui pătrat a cărui latură este egală cu raza sferei | |

Tabela 1.3. Unități derivate SI

| Nr. crt. | Mărimea derivată | Unitatea derivată SI | | | |
|----------|------------------|----------------------|----------|---|-----------|
| | | Denumirea | Simbolul | Expresia în unitățile fundamentale (și suplimentare) SI | Definiția |

Unități ale mărimilor de spațiu și timp

| | | | | | |
|---|-------------------|----------------------------|------------------|-----------------------|--|
| 1 | arie | metru pătrat | m ² | m ² | Aria unui pătrat cu latura de 1 metru |
| 2 | volum | metru cub | m ³ | m ³ | Volumul unui cub cu latura de 1 metru |
| 3 | viteză | metru pe secundă | m/s | m · s ⁻¹ | Viteza unui mobil în mișcare uniformă, care parcurge distanța de 1 metru în timp de 1 secundă |
| 4 | acelerație | metru pe secundă la pătrat | m/s ² | m · s ⁻² | Acelerația unui mobil în mișcare rectilinie uniform variată, a cărui viteză variază cu 1 metru pe secundă în timp de 1 secundă |
| 5 | viteză unghiulară | radian pe secundă | rad/s | s ⁻¹ · rad | Viteza unghiulară a unui corp (rigid) în mișcare de rotație uniformă, în jurul unei axe fixe, care se rotește cu un unghi de 1 radian în timp de 1 secundă |

Tabela 1.3 (continuare)

| Nr. crt. | Mărimea derivată | Unitatea derivată SI | | | |
|----------|-----------------------|-----------------------------|--------------------|---|---|
| | | Denumirea | Simbolul | Expresia în unitățile fundamentale (și suplimentare) SI | Definiția |
| 6 | acelerație unghiulară | radian pe secundă la pătrat | rad/s ² | s ⁻² · rad | Accelerația unghiulară a unui corp (rigid) în mișcare de rotație uniform variată, în jurul unei axe fixe, a cărui viteză unghiulară variază cu 1 radian pe secundă în timp de 1 secundă |

Unități a'e mărimilor caracteristice mecanicii

| | | | | | |
|---|-----------------------------|-------------------------|---------------------|--|--|
| 1 | densitate, masă volumică | kilogram pe metru cub | kg · m ³ | m ⁻³ · kg | Densitatea unui corp omogen, care are masa de 1 kilogram și volumul de 1 metru cub |
| 2 | forță | newton | N | m · kg · s ⁻² | Forța care, aplicată unui corp cu masa de 1 kilogram, îi imprimă o accelerație de 1 metru pe secundă la pătrat |
| 3 | presiune, tensiune mecanică | pascal | Pa | m ⁻¹ · kg · s ⁻² | Presiunea care, acționând pe o suprafață plană cu aria de 1 metru pătrat, exercită asupra acesteia o forță totală de 1 newton |
| 4 | viscozitate dinamică | pascal · secundă | Pa · s | m ⁻¹ · kg · s ⁻¹ | Viscozitatea dinamică a unui fluid omogen, în care mișcarea rectilinie și uniformă a unei suprafețe cu aria de 1 metru pătrat dă naștere unei forțe de frecare de 1 newton, când diferența de viteză dintre două plane paralele, care se găsesc la distanța de 1 metru, este de 1 metru pe secundă |
| 5 | viscozitate cinematică | metru pătrat pe secundă | m ² /s | m ² · s ⁻¹ | Viscozitatea cinematică a unui fluid care are densitatea de 1 kilogram pe metru cub și viscozitatea dinamică de 1 pascal-secundă |
| 6 | lucru mecanic, energie | joule | J | m ² · kg · s ⁻² | Lucrul mecanic efectuat de o forță de 1 newton, al cărei punct de aplicație se deplasează cu 1 metru în direcția forței |
| 7 | putere | watt | W | m ³ · kg · s ⁻³ | Puterea unui sistem energetic în care este transferată uniform energia de 1 joule în timp de 1 secundă |

Tabela 1.4. Multiplii și submultiplii zecimali preferențiali ai unităților SI pentru mărimi de spațiu și timp

| Nr. crt. | Mărimea | Unitatea SI | | Multipli și submultipli zecimali preferențiali | |
|----------|------------|------------------|----------------|--|---------------------------------|
| | | Denumire | Simbol | Simbol | Valoarea în unitatea SI |
| 1 | lungime | metru | m | km | 10 ³ m |
| | | | | dm | 10 ⁻¹ m |
| | | | | cm | 10 ⁻² m |
| | | | | mm | 10 ⁻³ m |
| | | | | μm | 10 ⁻⁶ m |
| | | | | nm | 10 ⁻⁹ m |
| | | | | pm | 10 ⁻¹² m |
| 2 | arie | metru pătrat | m ² | km ² | 10 ⁶ m ² |
| | | | | dm ² | 10 ⁻² m ² |
| | | | | cm ² | 10 ⁻⁴ m ² |
| 3 | volum | metru cub | m ³ | mm ³ | 10 ⁻⁶ m ³ |
| | | | | dm ³ | 10 ⁻³ m ³ |
| | | | | cm ³ | 10 ⁻⁶ m ³ |
| 4 | unghi plan | radian | rad | mm ³ | 10 ⁻⁹ m ³ |
| | | | | mrad | 10 ⁻³ rad |
| | | | | μrad | 10 ⁻⁶ rad |
| 5 | timp | secundă | s | ks | 10 ³ s |
| | | | | ms | 10 ⁻³ s |
| | | | | μs | 10 ⁻⁶ s |
| | | | | ns | 10 ⁻⁹ s |
| 6 | viteză | metru pe secundă | m/s | ps | 10 ⁻¹² s |
| | | | | km/s | 10 ³ m/s |

Tabela 1.5. Multiplii și submultiplii zecimali preferențiali ai unităților SI pentru unitățile mărimilor caracteristice mecanicii

| Nr. crt. | Mărimea | Unitatea SI | | Multipli și submultipli zecimali preferențiali | |
|----------|--------------------------------|--------------------------|-------------------|--|------------------------------------|
| | | Denumire | Simbol | Simbol | Valoarea în unitatea SI |
| 1 | masă | kilogram | kg | Mg | 10 ³ kg |
| | | | | g | 10 ⁻³ kg |
| | | | | mg | 10 ⁻⁶ kg |
| 2 | densitate | kilogram pe metru cub | kg/m ³ | μg | 10 ⁻⁹ kg |
| | | | | Mg/m ³ sau kg/dm ³ sau g/cm ³ | 10 ³ kg/m ³ |
| | | | | | |
| 3 | densitate de suprafață a masei | kilogram pe metru pătrat | kg/m ² | g/m ² | 10 ⁻³ kg/m ² |

Tabela 1.5 (continuare)

| Nr. crt. | Mărimea | Unitatea SI | | Multipli și submultipli zecimali preferențiali | |
|----------|---|-------------------------------------|----------------------------------|--|-----------------------------|
| | | Denumire | Simbol | Simbol | Valoarea în unitatea SI |
| 4 | forță | newton | N | MN | 10^6 N |
| | greutate | | | kN | 10^3 N |
| 5 | momentul forței | newton-metru | N·m | mN | 10^{-3} N |
| | momentul cuplului de forțe | | | μ N | 10^{-6} N |
| | | | | MN·m | 10^6 N·m |
| 6 | moment de inerție geometric al unei suprafețe plane | metru la puterea a patra | m^4 | kN·m | 10^3 N·m |
| 7 | modul de rezistență | metru cub | m^3 | mN·m | 10^{-3} N·m |
| | | | | μ N·m | 10^{-6} N·m |
| 8 | presiune | pascal | Pa | cm ² | 10^{-8} m ⁴ |
| | | | | GPa | 10^9 Pa |
| | | | | MPa | 10^6 Pa |
| | | | | kPa | 10^3 Pa |
| | | | | mPa | 10^{-3} Pa |
| | | | | μ Pa | 10^{-6} Pa |
| 9 | tensiune mecanică, efort unitar | pascal (sau newton pe metru pătrat) | Pa (respectiv N/m ²) | GPa | 10^9 Pa |
| 10 | modul de elasticitate | pascal (sau newton pe metru pătrat) | Pa (respectiv N/m ²) | MPa | 10^6 Pa |
| 11 | viscozitate dinamică | pascal-secundă | Pa·s | sau N/mm ² | 10^3 Pa |
| 12 | viscozitate cinematică | metru pătrat pe secundă | m ² /s | kPa | 10^3 Pa |
| 13 | tensiune superficială | newton pe metru | N/m | GPa | 10^9 Pa |
| | | | | MPa sau N/mm ² | 10^6 Pa |
| 14 | lucru mecanic | joule | J | mPa·s | 10^{-3} Pa·s |
| | energie (mecanică) | | | mm ² /s | 10^{-6} m ² /s |
| | energie cinetică | | | TJ | 10^{12} J |
| | energie potențială | | | GJ | 10^9 J |
| | | | | MJ | 10^6 J |
| | | | | kJ | 10^3 J |
| | | | | mJ | 10^{-3} J |
| 15 | reziliență | joule pe metru pătrat | J/m ² | MJ/m ² | 10^6 J/m ² |
| | | | | J/cm ² | 10^4 J/m ² |
| | | | | kJ/m ² | 10^3 J/m ² |
| 16 | putere (mecanică) | watt | W | GW | 10^9 W |
| | | | | MW | 10^6 W |
| | | | | kW | 10^3 W |
| | | | | mW | 10^{-3} W |
| | | | | μ W | 10^{-6} W |

Tabela 1.6. Unități de măsură SI pentru mărimile de spațiu și timp

| Nr. crt. | Mărimea | Unitatea SI | | Definiție |
|----------|-------------|--|------------------|--|
| | | Simbol | Denumire | |
| 1 | Lungime | l | metru | Lungimea egală cu 1 650 763,73 lungimi de undă în vid ale radiației care corespunde tranziției între nivelele $2p_{10}$ și $5d_5$ ale atomului de kripton 86 |
| 2 | Arie | A, S | metru pătrat | Aria unui pătrat cu latura de 1 metru |
| 3 | Volum | V | metru cub | Volumul unui cub cu latura de 1 metru |
| 4 | Unghi plan | $\alpha, \beta, \gamma, \theta, \varphi, \psi$ | radian | Unghiul plan cuprins între două raze, care interceptează pe circumferința cercului un arc, a cărui lungime este egală cu raza cercului |
| 5 | Unghi solid | Ω, ω | steradian | Unghiul solid, care avind vârful în centrul unei sfere, delimitează pe suprafața acesteia o arie egală cu aria unui pătrat, a cărui latură este egală cu raza sferei |
| 6 | Timp | t | secundă | Durata a 9 192 631 770 perioade ale radiației corespunzătoare tranziției între cele două nivele hiperfine ale stării fundamentale ale atomului de cesiu 133 |
| 7 | Viteză | v, u | metru pe secundă | Viteza unui mobil în mișcare rectilinie și uniformă, care parcurge distanța de 1 metru în timp de 1 secundă |

| Nr. crt. | Mărimea | | | Unitatea SI | | |
|----------|----------------------------|------------------|-------------------------------------|-----------------------------|--------------------|--|
| | Denumire | Simbol | Relație de definire (sau definiția) | Denumire | Simbol | Definiție |
| 8 | Gradientul modului vitezei | $\text{grad } v$ | $\text{grad } v = \frac{dv}{dt}$ | unu pe secundă | 1/s | Gradientul modului vitezei unui fluid în curgere, a cărui viteză variază cu 1 metru pe secundă, pe distanța de 1 metru în direcția normalei la viteză |
| 9 | Viteză unghiulară | ω | $\omega = \frac{d\varphi}{dt}$ | radian pe secundă | rad/s | Viteza unghiulară a unui corp (rigid) în mișcare de rotație uniformă în jurul unei axe fixe care se rotește cu un unghi de 1 radian în timp de 1 secundă |
| 10 | Viteză areolară | v_a, Ω | $v_a = \frac{dA}{dt}$ | metru pătrat pe secundă | m ² /s | Viteza areolară a unei arii de 1 metru pătrat, descrisă de raza vectorială a unui punct în mișcare de rotație uniformă în timp de 1 secundă |
| 11 | Accelerație | a | $a = \frac{dv}{dt}$ | metru pe secundă la pătrat | m/s ² | Accelerația unui mobil în mișcare rectilinie, uniform variată, a cărui viteză variază cu 1 metru pe secundă în timp de 1 secundă |
| 12 | Accelerație unghiulară | α | $\alpha = \frac{d\omega}{dt}$ | radian pe secundă la pătrat | rad/s ² | Accelerația unghiulară a unui corp (rigid) în mișcare de rotație, uniform variată, în jurul unei axe fixe, a cărui viteză unghiulară variază cu 1 radian pe secundă în timp de 1 secundă |

OBSERVAȚIE. Radianul și steradianul, denumiri speciale ale numărului pur (adimensional) 1, sînt adoptate ca unități suplimentare ale Sistemului Internațional de unități.

Tabela 1.7. Unități SI ale mărimilor caracteristice mecanicii

| Nr. crt. | MĂRIMEA | | | UNITATEA SI | | |
|----------|--|------------------|--|--------------------------|--------------------|--|
| | Denumire | Simbol | Relația de definire (sau definiția) | Denumire | Simbol | Definiție |
| 1 | masă | m | --- | kilogram | kg | Masa prototipului internațional al kilogramului (a se vedea STAS 737/1-72) |
| 2 | densitate (masă volumică) | ρ | $\rho = \frac{m}{V}$ | kilogram pe metru cub | kg/m ³ | Densitatea unui corp omogen care are masa de 1 kilogram și volumul de 1 metru cub |
| 3 | densitatea de lungime a masei (masă liniară) | ρ_l | $\rho_l = \frac{m}{l}$ | kilogram pe metru | kg/m | Densitatea de lungime a masei unui corp filiform, omogen, cu masa de 1 kilogram și cu lungimea de 1 metru |
| 4 | densitatea de suprafață a masei | ρ_A, ρ_S | $\rho_A = \frac{m}{A}$ | kilogram pe metru pătrat | kg/m ² | Densitatea de suprafață a masei unui corp omogen cu masa de 1 kilogram, uniform distribuită pe o suprafață cu aria de 1 metru pătrat |
| 5 | densitate relativă | ρ_r, d | Raportul între densitatea unui corp omogen și densitatea unui corp de referință, în condiții specificate pentru ambele corpuri | unu | 1 | Densitatea relativă a corpului de referință |
| 6 | volum masic (volum specific) | v | $v = \frac{V}{m}$ | metru cub pe kilogram | m ³ /kg | Volumul masic al unui corp omogen cu masa de 1 kilogram și volumul de 1 metru cub |

Tabela 1.7. (continuare)

| Nr. crt. | MĂRIMEA | | | Unitatea SI | | | Definiție |
|----------|--|-------------|-------------------------------------|----------------------------------|------------------------|-------------------------------------|---|
| | Denumire | Simbol | Relația de definire (sau definiția) | Denumire | Simbol | Expresia în unități fundamentale SI | |
| 7 | impuls (cantitate de mișcare) | H, p | $H = m v$ | kilogram-metru pe secundă | kg · m/s | $m \cdot kg \cdot s^{-1}$ | Impulsul unui corp cu masa de 1 kilogram care se deplasează cu viteza de 1 metru pe secundă |
| 8 | momentul impulsului (momentul cantității de mișcare), moment cinetic | b, P_0, k | $b = Hl$ | kilogram-metru pătrat pe secundă | kg · m ² /s | $m^2 \cdot kg \cdot s^{-1}$ | Momentul impulsului unui corp punctiform care are impulsul de 1 kilogram-metru pe secundă și se deplasează pe un cerc cu raza de 1 metru |
| 9 | forță greutate | F G | $F = ma$ $G = mg$ | newton | N | $m \cdot kg \cdot s^{-2}$ | Forța care aplicată unui corp cu masa de un kilogram îi imprimă o accelerație de 1 metru pe secundă la pătrat |
| 10 | greutatea volumică (greutate specifică) | γ | $\gamma = \frac{G}{V}$ | newton pe metru cub | N/m ³ | $m^{-2} \cdot kg \cdot s^{-2}$ | Greutatea volumică a unui corp omogen al cărui volum de 1 metru cub are greutatea de 1 newton |
| 11 | momentul forței momentul cuplului de forțe | M T | $M = F_l$ $T = F_l$ | newton-metru | N · m | $m^2 \cdot kg \cdot s^{-2}$ | Momentul forței de 1 newton în raport cu punctul situat la distanța de 1 metru de la dreapta care reprezintă direcția de acțiune a forței |

| | | | | | | | |
|----|---|------------------------------------|--|-------------------------------------|-----------------------------|--|---|
| 12 | moment de inerție (moment de inerție dinamic) | I, J | $I = \int r^2 dm$ | kilogram-metru pătrat | kg · m ² | m ² · kg | Momentul de inerție al unui corp punctiform, cu masa de 1 kilogram, care se află la distanța de 1 metru față de axa de rotație |
| 13 | moment de inerție geometric axial al unei suprafețe plane idem, polar idem, centrifugal | I_x, I_y I_p, J I_{xy} | $I_x = \int y^2 dA$ $I_y = \int x^2 dA$ $I_p = \int r^2 dA$ $I_{xy} = \int xy dA$ | metru la puterea a patra | m ⁴ | m ⁴ | Momentul de inerție axial al unei suprafețe dreptunghiulare, cu lungimea de 12 metri și lățimea de 1 metru, în raport cu axa paralelă cu lungimea acesteia, axă care trece prin centrul de greutate |
| 14 | modul de rezistență axial modul de rezistență polar presune | W_x, W_y W_p p | $W_x = \frac{I_x}{l}$ $W_y = \frac{I_y}{l}$ $W_p = \frac{I_p}{r}$ $p = \frac{F}{A}$ | metru la puterea a treia | m ³ | m ³ | Modulul de rezistență axial al unei suprafețe plane care are momentul de inerție geometric axial de 1 metru la puterea a patra și cel mai îndepărtat punct la distanța de 1 metru față de axa considerată |
| 15 | tensiunea mecanică normală (efort unitar normal) tensiune mecanică tangențială (efort unitar tangențial) | σ τ | $\sigma = \frac{F}{A}$ $\tau = \frac{F}{A}$ | pascal (sau newton pe metru pătrat) | Pa Pa(N/m ²) | m ⁻¹ · kg · s ⁻² | Presiunea, care acționând pe o suprafață plană cu aria de 1 metru pătrat, exercită asupra acesteia o forță totală de 1 newton |
| 16 | modul de elasticitate longitudinală modul de elasticitate transversală | E G | $E = \frac{\sigma}{\epsilon}$ $D = \frac{\tau}{\gamma}$ | pascal (sau newton pe metru pătrat) | Pa(N/m ²) | m ⁻¹ · kg · s ⁻² | Modulul de elasticitate longitudinală la care tensiunea normală de 1 newton pe metru pătrat provoacă o alungire relativă egală cu 1 metru |

Tabela 1.7 (continuare)

| Nr. crt. | MĂRIMEA | | | Unitatea SI | | | Definiție |
|----------|------------------------|------------|-------------------------------------|-------------------------|-----------------------|---|--|
| | Denumire | Simbol | Relația de definire (sau definiția) | Denumire | Simbol | Expresia în unități fundamentale SI | |
| 17 | tensiune superficială | σ_s | $\sigma_s = \frac{F}{l}$ | newton pe metru | N/m | $\text{kg} \cdot \text{s}^{-2}$ | Tensiunea superficială a unui lichid, pe 1 metru de contur a suprafeței libere, cu care o forță de 1 newton acționează normal față de contur și tangențial față de suprafață |
| 18 | viscozitate dinamică | η | $\eta = \frac{F}{\text{grad } v}$ | pascal-secundă | Pa · s | $\text{m}^{-1} \cdot \text{kg} \cdot \text{s}^{-1}$ | Viscozitatea dinamică a unui fluid omogen, în care mișcarea rectilinie și uniformă a unei suprafețe cu aria de 1 metru pătrat dă naștere unei forțe de frecare de 1 newton, când diferența de viteză dintre două planuri paralele, care se găsesc la distanța de 1 metru, este de 1 metru pe secundă |
| 19 | viscozitate cinematică | ν | $\nu = \frac{\eta}{\rho}$ | metru pătrat pe secundă | m^2/s | $\text{m}^2 \cdot \text{s}^{-1}$ | Viscozitatea cinematică a unui fluid care are densitatea de 1 kilogram pe metru cub și viscozitatea dinamică de 1 pascal-secundă |

Mărimi și unități

Sisteme de unități de măsură

| | | | | | | | |
|----|--|---|---|--------------------------------|--------------------------------------|--|--|
| 20 | fluiditate | ϕ | $\phi = \frac{1}{\eta}$ | metru pătrat pe newton-secundă | $\text{m}^2/\text{N} \cdot \text{s}$ | $\text{m} \cdot \text{kg}^{-1} \cdot \text{s}$ | Fluiditatea unui fluid în mișcare rectilinie uniformă, în care se menține o viteză de 1 metru pe secundă între două planuri paralele situate la distanța de 1 metru unul față de altul, sub o tensiune tangențială de 1 newton pe metru pătrat |
| 21 | debit de masă | Q_m | $Q_m = \frac{m}{t}$ | kilogram pe secundă | kg/s | $\text{kg} \cdot \text{s}^{-1}$ | Debitul de masă corespunzător unei substanțe cu masa de 1 kilogram, care se deplasează uniform printr-o secțiune transversală în timp de 1 secundă |
| 22 | debit de volum | Q_V | $Q_V = \frac{V}{t}$ | metru cub pe secundă | m^3/s | $\text{m}^3 \cdot \text{s}^{-1}$ | Debitul de volum corespunzător unei substanțe cu volumul de 1 metru cub, care se deplasează uniform printr-o secțiune transversală în timp de 1 secundă |
| 23 | lucru mecanic energie energie potențială energie cinetică | L, W, A E, W \bar{E}_p, V, W_p E_k, K, T | $L = Fl$ $E = Pt$ $\bar{E}_p = -L$ $E_k = \frac{1}{2} m v^2$ | joule | J | $\text{m}^2 \cdot \text{kg} \cdot \text{s}^{-2}$ | Lucrul mecanic efectuat de o forță de 1 newton, al cărui punct de aplicare se deplasează cu 1 metru în direcția forței |
| 24 | putere | P | $P = \frac{E}{t}$ | watt | W | $\text{m}^2 \cdot \text{kg} \cdot \text{s}^{-3}$ | Puterea unui sistem energetic în care este transferată uniform energia de 1 joule în timp de 1 secundă |
| 25 | reziliență, rezistență la șoc | KC | $KC = \frac{L}{A}$ | joule pe metru pătrat | J/m^2 | $\text{kg} \cdot \text{s}^{-2}$ | Reziliența unui corp omogen cu secțiunea de 1 metru pătrat, care se rupe printr-o singură lovire sub acțiunea unei energii de 1 joule |

Tabela 1.8. Prefixe pentru formarea multiplilor și submultiplilor zecimali

| Factorul de multiplicare | Prefixul | Simbolul |
|--------------------------|----------|----------|
| 10^{12} | tera | T |
| 10^9 | giga | G |
| 10^6 | mega | M |
| 10^3 | kilo | k |
| 10^2 | hecto | h |
| 10^1 | deca | da |
| 10^{-1} | deci | d |
| 10^{-2} | centi | c |
| 10^{-3} | mili | m |
| 10^{-6} | micro | μ |
| 10^{-9} | nano | n |
| 10^{-12} | pico | p |
| 10^{-15} | femto | f |
| 10^{-18} | atto | a |

Tabela 1.10. Sistemele de măsură MKS, CGS și MKfS

| Denumirea sistemului | Mărimile și unitățile fundamentale de măsură ale sistemului | | Simbolurile unităților fundamentale |
|----------------------|---|---|-------------------------------------|
| Sistemul MKS | lungime masă timp | metrul (m) kilogramul (kg) secundă (s) | M K S |
| Sistemul CGS | lungime masă timp | centimetru (cm) gramul (g) secunda (s) | C G S |
| Sistemul MKfS | lungime forță timp | metrul (m) kilogramul-forță (kgf) secunda (s) | M Kf S |

Tabela 1.9. Unități de măsură tolerate pe termen nelimitat

| Nr. crt. | Mărimea | Unitatea de măsură | | |
|----------|---------|--------------------|--------|-------------------------------------|
| | | Denumire | Simbol | Definiția (sau relația de definire) |
| | | | | Valoarea în unitatea SI |

Unități de măsură cu utilizare generală

| | | | | | |
|---|------------|------------------------|-----|---|---|
| 1 | unghi plan | grad (sexagesimal) | ° | $1^\circ = \frac{\pi}{180} \text{ rad}$ | $1^\circ = 1,745\,329 \cdot 10^{-2} \text{ rad}$ |
| | | minut (sexagesimal) | ' | $1' = \left(\frac{1}{60}\right)^\circ$ | $1' = \frac{\pi}{10\,800} \text{ rad} = 2,908\,882 \cdot 10^{-4} \text{ rad}$ |
| | | secundă (sexagesimală) | " | $1'' = \left(\frac{1}{60}\right)'$ | $1'' = \frac{\pi}{648\,000} \text{ rad} = 4,848\,137 \cdot 10^{-6} \text{ rad}$ |
| | | grad (centesimal) | g | $1^g = \frac{\pi}{200} \text{ rad}$ | $1 = 1,570\,796 \cdot 10^{-2} \text{ rad}$ |
| 2 | volum | litru | l | $1 \text{ l} = 1 \text{ dm}^3$ | $1 \text{ l} = 10^{-3} \text{ m}^3$ |
| 3 | timp | minut | min | $1 \text{ min} = 60 \text{ s}$ | $1 \text{ min} = 60 \text{ s}$ |
| | | oră | h | $1 \text{ h} = 60 \text{ min}$ | $1 \text{ h} = 3\,600 \text{ s}$ |
| | | zi | d | $1 \text{ d} = 24 \text{ h}$ | $1 \text{ d} = 86\,400 \text{ s}$ |
| 4 | masă | tonă | t | $1 \text{ t} = 1\,000 \text{ kg}$ | $1 \text{ t} = 10^3 \text{ kg}$ |

Tabela 1.11. Mărimi și unități de măsură CGS, SI și MKfS folosite în tehnică

| Mărimea | Denumirea | Simbolul și ecuația de definiție | Sistemul de unități | Dimensiunile | Unitatea de măsură | | Relații de transformare |
|-------------------|-----------|--|---------------------|--------------------------|---|-------------------------------|--|
| | | | | | Denumirea | Simbolul | |
| Lungime | | l | CGS SI MKfS | L L | centimetru metru | cm m | $1 \text{ cm} = 10^{-2} \text{ m}$ |
| Arie | | A, S | CGS SI MKfS | L^2 L^2 | centimetru pătrat metru pătrat | cm^2 m^2 | $1 \text{ cm}^2 = 40^{-2} \text{ m}^2$ |
| Volum | | V | CGS SI MKfS | L^3 L^3 | centimetru cub metru cub | cm^3 m^3 | $1 \text{ cm}^3 = 10^{-6} \text{ m}^3$ |
| Unghi plan | | α $\alpha = \frac{l}{R}$ | CGS SI MKfS | — | radian | rad | — |
| Unghi solid | | Ω $\Omega = \frac{S}{R^2}$ | CGS SI MKfS | — | steradian | str | — |
| Timp | | τ | CGS SI MKfS | T | secundă | s | — |
| Viteză | | w, v, c, u $w = \frac{dl}{d\tau}$ | CGS SI MKfS | $L T^{-1}$ $L T^{-1}$ | centimetru pe secundă metru pe secundă | cm/s m/s | $1 \text{ cm/s} = 10^{-2} \text{ m/s}$ |
| Viteză unghiulară | | ω $\omega = \frac{d\theta}{d\tau}$ | CGS SI MKfS | T^{-1} | secundă la puterea minus unu | s^{-1} | — |

Tabela 1.11 (continuare)

| Denumirea | Mărima | | Sistemul de unități | Dimensiunile | Unitatea de măsură | | Relații de transformare |
|-------------------------------|--|----------------------------------|---------------------|--|--|---|---|
| | Denumirea | Simbolul și ecuația de definiție | | | Dezignificarea | Simbolul | |
| Accelerare | $a = \frac{dv}{dt}$ | | CGS SI MKfS | $L T^{-2}$ $L T^{-2}$ | centimetru pe secundă la pătrat metru pe secundă la pătrat | cm/s^2 m/s^2 | $1 \text{ cm/s}^2 = 10^{-2} \text{ m/s}^2$ |
| Accelerare unghiulară | $\varepsilon = \frac{d\omega}{dt}$ | | CGS SI MKfS | T^{-2} | secundă la puterea minus doi | s^{-2} | — |
| Masă | $m = \frac{F}{a}$ $m = \frac{G}{g}$ | | CGS SI MKfS | M M $L^{-1} F T^2$ | gram kilogram kilogramforță-secundă la pătrat pe metru | $\frac{g}{\text{kgf} \cdot s^2}$ $\frac{\text{kg}}{\text{m}}$ | $1 \text{ g} = 10^{-3} \text{ kg}$ $1 \text{ kgf} \cdot s^2/\text{m} = 9,80665 \text{ kg}$ |
| Densitate (masă specifică) | $\rho = \frac{m}{V}$ | | CGS SI MKfS | $L^{-3} M$ $L^{-3} M$ $L^{-4} F T^2$ | gram pe centimetru cub kilogram pe metru cub kilogramforță-secundă la pătrat pe metru la puterea patra | $\frac{\text{g}}{\text{cm}^3}$ $\frac{\text{kg}}{\text{m}^3}$ $\frac{\text{kgf} \cdot s^2}{\text{m}^4}$ | $1 \text{ g/cm}^3 = 10^3 \text{ kg/m}^3$ $1 \text{ kgf} \cdot s^2/\text{m}^4 = 9,80665 \text{ kg/m}^3$ |
| Densitatea relativă | $d = \frac{\rho}{\rho_0}$ | | | Adimensional | | | |
| Impuls (cantitate de mișcare) | $p = mv$ | | CGS SI MKfS | $L M T^{-1}$ $L M T^{-1}$ $F T$ | gram-centimetru pe secundă kilogram-metru pe secundă kilogram forță secundă | $\frac{\text{g} \cdot \text{cm}}{\text{s}}$ $\frac{\text{kg} \cdot \text{m}}{\text{s}}$ $\text{kgf} \cdot \text{s}$ | $1 \text{ g cm/s} = 10^{-3} \text{ kg m/s}$ $1 \text{ kgf} \cdot \text{s} = 9,80665 \text{ kg} \cdot \text{m/s}$ |

| | | | | | | |
|---------------------------------------|--------------------------------------|-------------------|--|--|---|---|
| Forță Greutate | $F = ma$ G | CGS SI MKfS | $L M T^{-2}$ $L M T^{-2}$ F | dină newton kilogramforță | dyn N kgf | $1 \text{ dyn} = 10^{-5} \text{ N}$ $1 \text{ kgf} = 9,80665 \text{ N}$ |
| Greutate specifică (ponderitate) | $\gamma = \frac{G}{V}$ | CGS SI MKfS | $L^{-2} M T^{-2}$ $L^{-2} M T^{-2}$ $L^{-3} F$ | dină pe centimetru cub newton pe metru cub kilogramforță pe metru cub | $\frac{\text{dyn}}{\text{cm}^3}$ $\frac{\text{N}}{\text{m}^3}$ $\frac{\text{kgf}}{\text{m}^3}$ | $1 \text{ dyn/cm}^3 = 10 \text{ N/m}^3$ $1 \text{ kgf/m}^3 = 9,80665 \text{ N/m}^3$ |
| Greutate specifică relativă | $\gamma_r = \frac{\gamma}{\gamma_0}$ | | Adimensional | | | |
| Volum specific | $v = \frac{V}{m}$ | CGS SI MKfS | $L^3 M^{-1}$ $L^3 M^{-1}$ $L^4 F^{-1} T^{-2}$ | centimetru cub pe gram metru cub pe kilogram metru la puterea patra pe kilogramforță-secundă la pătrat | $\frac{\text{cm}^3}{\text{g}}$ $\frac{\text{m}^3}{\text{kg}}$ $\frac{\text{m}^2}{\text{kgf} \cdot s^2}$ | $1 \text{ cm}^3/\text{g} = 10^{-3} \text{ m}^3/\text{kg}$ $1 \text{ m}^3/\text{kgf} \cdot s^2 = \frac{1}{9,80665} \text{ m}^3/\text{kg}$ |
| Volum specific (raportat la greutate) | $v = \frac{V}{G}$ | MKfS | $L^3 F$ | metru cub pe kilogramforță | $\frac{\text{m}^3}{\text{kgf}}$ | — |
| Presiune | $p = \frac{F}{S}$ | CGS SI MKfS | $L^{-1} M T^{-2}$ $L^{-1} M T^{-2}$ $L^{-3} F$ | microbar (barye) newton pe metru pătrat kilogramforță pe metru pătrat | $\mu \text{ bar}$ (barye) $\frac{\text{N}}{\text{m}^2}$ $\frac{\text{kgf}}{\text{m}^2}$ | $1 \mu \text{ bar} = 10^{-1} \text{ N/m}^2$ $1 \text{ kgf/m}^2 = 9,80665 \text{ N/m}^2$ |
| Tensiune superficială | $\sigma = \frac{F}{l}$ | CGS SI MKfS | $M T^{-2}$ $M T^{-2}$ $L^{-1} F$ | dină pe centimetru newton pe metru kilogramforță pe metru | $\frac{\text{dyn}}{\text{cm}}$ $\frac{\text{N}}{\text{m}}$ $\frac{\text{kgf}}{\text{m}}$ | $1 \text{ dyn/cm} = 10^{-3} \text{ N/m}$ $1 \text{ kgf/m} = 9,80665 \text{ N/m}$ |

Tabela 1.11 (continuare)

| Mărimea | | Unitatea de măsură | | | | Sistemul de unități | Dimensiunile | Unitatea de măsură | | Relații de transformare |
|------------------------|----------------------------------|--|-------------------|---|--|---|---|--------------------|--|-------------------------|
| Denumirea | Simbolul și ecuația de definiție | Denumirea | | Simbolul | | | | | | |
| Viscozitate dinamică | η | $\eta = \frac{F}{A \cdot \frac{\Delta w}{\Delta l}}$ | CGS SI MKFS | $L^{-1}MT^{-1}$ $L^{-1}MT^{-1}$ $L^{-2}FT$ | poise newton-secundă pe metru pătrat kilogramforță-secundă pe metru pătrat | P $N \cdot s/m^2$ $kgf \cdot s/m^2$ | 1 P = 0,1 N · s/m ² 1 kgf · s/m ² = 9,80665 N · s/m ² | | | |
| | η_r | $\eta_r = \frac{\eta}{\eta_0}$ | | Adimensional | | | | | | |
| Viscozitate cinematică | ν | $\nu = \frac{\eta}{\rho}$ | CGS SI MKFS | L^2T^{-1} L^2T^{-1} | stokes metru pătrat pe secundă | St m ² /s | 1 St = 10 ⁻⁴ m ² /s | | | |
| | L | $L = Fl$ | CGS SI MKFS | L^2MT^{-2} L^2MT^{-2} LF | erg joule kilogramforță-metru | erg J kgf · m | 1 erg = 10 ⁻⁷ J 1 kgf · m = 9,80665 J | | | |
| Energie potențială | E_p | $E_p = mgh$ | CGS SI MKFS | L^2MT^{-2} L^2MT^{-2} LF | erg pe secundă watt kilogramforță-metru pe secundă | erg/s W kgf · m/s | 1 erg/s = 10 ⁻⁷ W 1 kgf · m/s = 9,80665 W | | | |
| | P | $P = \frac{E}{\tau}$ | CGS SI MKFS | L^2MT^{-3} L^2MT^{-3} LFT ⁻¹ | | | | | | |
| Putere | L | $L = Fl$ | CGS SI MKFS | L^2MT^{-2} L^2MT^{-2} LF | | | | | | |
| | E_p | $E_p = mgh$ | CGS SI MKFS | L^2MT^{-2} L^2MT^{-2} LF | | | | | | |

REZISTENȚA MATERIALELOR

1. CENTRE DE GREUTATE

Centrul de greutate al suprafețelor sau corpurilor omogene se determină prin descompunerea lor în elemente simple, pentru a le putea considera ca figuri, respectiv corpuri geometrice regulate, pentru care poziția centrului de greutate este ușor de stabilit. Presupunând că suprafețele, respectiv greutatea elementelor simple, ar fi niște forțe paralele, care trec prin centrele de greutate ale acestor elemente, centrul de greutate al figurii, respectiv al corpului, se va găsi pe rezultanta acestor forțe.

Cînd figura sau corpul omogen are o axă sau un plan de simetrie, centrul de greutate se află pe ele.

Centrul de greutate comun, G , al mai multor figuri față de o axă oarecare xy se determină prin relația următoare, cu condiția ca figurile și axa să se găsească în același plan (fig. 2.1):

$$S_1 \cdot a_1 + S_2 \cdot a_2 + \dots + S_n \cdot a_n = (S_1 + S_2 + \dots + S_n) \cdot a = S \cdot a,$$

în care: S este suma suprafețelor figurilor;

a — distanța la axa xy a centrului de greutate comun.

Poziția centrului de greutate se obține prin metoda expusă mai sus. Relația precedentă servește și la determinarea centrului de greutate comun al mai multor corpuri omogene, înlocuindu-se suprafețele (S_1, S_2, \dots, S_n) prin greutăți (G_1, G_2, \dots, G_n).

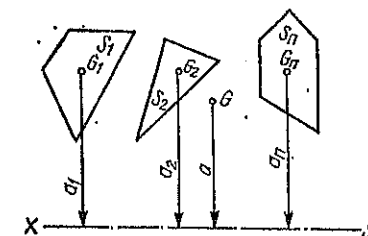


Fig. 2.1.

2. MOMENTE. MOMENTE DE INERȚIE. MODUL DE REZISTENȚĂ

Momentul M al unei forțe, în raport cu un punct O , este produsul forței prin distanța ei la acel punct (fig. 2.2):

$$M = F \cdot a = X \cdot y - Y \cdot x = M_x - M_y.$$

Momentul de încovoiere M , este momentul rezultantei forțelor care intervin la încovoiere.

Momentul de torsiune sau de răsucire M_r , este momentul forței care produce răsucirea.

Momentul de inerție (axial) J al unui corp, în raport cu o axă, este suma produselor elementelor de masă ale acestui corp cu pătratul distanțelor la axă a elementelor respective:

$$J = \sum mr^2.$$

Dacă m reprezintă masa corpului însuși, atunci relația precedentă devine $J = mr^2$, în care r este raza de rotație a masei m .

Momentul de inerție, în raport cu o axă pentru un corp (suprafață, linie) compus din mai multe părți, este egal cu suma momentelor de inerție, în raport cu aceea axă, a tuturor părților componente.

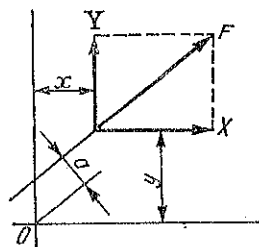


Fig. 2.2.

Cunoscând momentul de inerție J al unui corp de masă m în raport cu o axă de rotație, care trece prin centrul său de greutate, momentul de inerție J al aceluiași corp în raport cu o axă paralelă, situată la distanța a de prima, se exprimă prin relația

$$J_1 = J + a^2 \cdot m.$$

Momentul de inerție I pentru o arie A (fig. 2.3), în raport cu o axă, în funcție de momentul de inerție în raport cu o altă axă paralelă cu ea, dar care nu trece prin centrul de greutate G , este:

$$I_x = I_{x_1} + A(y^2 + y_1^2).$$

Cînd axele se intersectează sub un unghi α , momentul de inerție este:

$$I_x = I_x \cos^2 \alpha + I_y \sin^2 \alpha - I_{xy} \sin 2\alpha,$$

în care I_{xy} este **momentul centrifugal**.

Momentul de inerție polar I_0 al unei figuri plane este momentul de inerție ale acestei figuri în raport cu o axă de rotație z perpendiculară pe planul ei; el este egal cu suma momentelor de inerție ale figurii în raport cu două axe oarecare din planul ei, care se intersectează pe axa de rotație sub un unghi drept (fig. 2.4): $I_0 = I_x + I_y$.

Modulul de rezistență W al unei secțiuni este dat de raportul dintre momentul de inerție I al secțiunii, în raport cu axa neutră și distanța y

a fibrei celei mai depărtate la axa neutră (axa neutră sau linia fibrelor invariabile trece prin centrul de greutate al secțiunii):

$$W(\text{cm}^3) = \frac{I(\text{cm}^4)}{y(\text{cm})}.$$

Fig. 2.3.

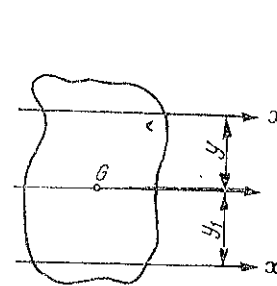
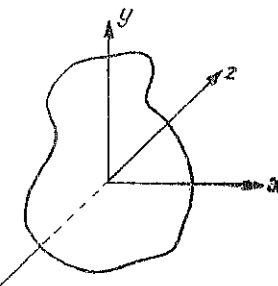


Fig. 2.4.



3. RELAȚIILE DINTRE REZISTENȚE ȘI DEFORMAȚII

Un corp, asupra căruia acționează mai multe forțe, suferă o deformare elastică, care dispăre în momentul suprimării forțelor, sau o deformare permanentă (plastică), care persistă și după suprimarea forțelor. Alungirile sînt proporționale cu eforturile de care sînt produse, pînă la o anumită limită, denumită *limită de elasticitate*; cînd limita de elasticitate este întrecută, au loc deformări permanente.

Curba caracteristică a unui material exprimă legătura dintre rezistențele normale la tracțiune σ și alungirile specifice ε ale unei epruvete din acel material (fig. 2.5).

Porțiunea OA este (aproximativ) o linie dreaptă. Rezistența corespunzătoare punctului A este limita de proporționalitate (tehnică) σ_p .

Rezistențele corespunzătoare punctelor B și C definesc limita de elasticitate (tehnică) σ_e și limita de curgere σ_c .

Rezistența de rupere σ_r este:

$$\sigma_r = \frac{F_r}{A_0},$$

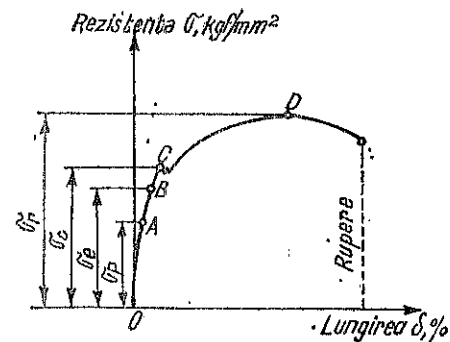


Fig. 2.5.

în care: F_r este sarcina, la care s-a rupt epruveta, exprimată în kgf;
 A_0 — secțiunea inițială a epruvetei, în mm².

Alungirea specifică se numește raportul dintre lungirea epruvetei (Δl) și lungimea inițială (l_0): $\varepsilon = \frac{\Delta l}{l_0} = \frac{l - l_0}{l_0}$,

în care l_0 este lungimea inițială, iar l este lungimea după lungire.

Alungirea relativă la rupere δ , rezultată prin solicitarea la tracțiune, este raportul exprimat în procente, dintre lungirea epruvetei, între două repere, măsurată prin punerea cap la cap a bucăților — după rupere — și distanța inițială dintre aceste repere:

$$\delta = \frac{l_r - l_0}{l_0} 100 [\%],$$

în care: l_r este lungimea finală (după rupere) a epruvetei între repere, în mm;

l_0 — lungimea inițială a epruvetei între repere, în mm.

Modulul de elasticitate la tracțiune sau compresiune E se exprimă în kgf/mm² și are ca valoare: $E = \frac{\sigma}{\varepsilon}$,

în care ε este alungirea specifică în intervalul deformațiilor proporționale.

Gîtuirea la rupere ψ (stricțiunea) se exprimă în procente și este dată de raportul: $\psi\% = \frac{A_0 - A}{A_0} \cdot 100$,

în care: A_0 este secțiunea barei înainte de rupere, în mm²;
 A — secțiunea barei după rupere, în mm², în locul celei mai pronunțate gîtuiri:

Deformația unghiulară specifică (lunecarea specifică) γ este unghiul cu care se modifică un unghi drept după deformare sub acțiunea unor eforturi unitare tangențiale (lunecarea secțiunilor de forfecare); ea este dată de relația $\gamma = \frac{\tau}{G} = \frac{T/A_0}{G}$,

în care T este forța tangențială în kgf, A_0 — secțiunea, în mm², iar G — modulul de elasticitate transversală, în kgf/mm².

Modulul de elasticitate transversală G este dat de raportul între rezistența tangențială τ și lunecarea specifică γ :

$$G = \frac{\tau}{\gamma}$$

4. REZISTENȚE ADMISIBILE ȘI COEFICIENT DE SIGURANȚĂ

În practică nu se aplică exact condițiile și ipotezele care se fac în calculele teoretice.

În calcul se utilizează, de exemplu, rezistențele admisibile la tracțiune σ_a , care sînt numai o fracțiune din rezistența totală σ_r , pe care o pot suporta materialele respective: $\sigma_a = \frac{\sigma_r}{c}$.

Coeficientul c poartă denumirea de *coeficient de siguranță*.

Notățiile utilizate în cele ce urmează pentru rezistențe și rezistențe admisibile sînt următoarele:

- σ_r — rezistența la tracțiune;
- σ_c — rezistența la compresiune;
- σ_t — rezistența la încovoiere;
- τ_r — rezistența la răsucire (torsione);
- τ_f — rezistența la forfecare;
- σ_k — rezistența la flambaj;
- σ_a — rezistența admisibilă la tracțiune;
- σ_{ca} — rezistența admisibilă la compresiune;
- σ_{ta} — rezistența admisibilă la încovoiere;
- τ_{ta} — rezistența admisibilă la răsucire (torsione);
- τ_{fa} — rezistența admisibilă la forfecare;
- σ_{ka} — rezistența admisibilă la flambaj.

În tabela 2.1 sînt indicate rezistențele admisibile pentru calcule aproximative la tracțiune, compresiune, încovoiere, forfecare și răsucire pentru oțel, fontă și unele metale neferoase.

Valorile corespunzătoare cazurilor I, II, III se utilizează în calculul construcțiilor, după cum urmează:

Cazul I — pentru solicitările constante.

Cazul II — pentru solicitările variabile cu variații de la zero la o valoare maximă și iarăși la zero.

Cazul III — pentru solicitările alternative.

Tabela 2.1. Rezistențe admisibile, kgf/mm^2 (\approx da N/mm^2)

| Material | Fontă normală | Oțel turnat | Oțel carbon | Oțel semi-dur aliat cu Ni | Alamă laminată | Bronz fosfores | Aluminiu turnat | Aliaje dure de aluminiu |
|---------------------------------|----------------------------------|-----------------------------|--------------------------|--------------------------------|------------------------------|---------------------------|-----------------------------|-----------------------------|
| Rezistența de rupere σ_r | 12-24 | 40-60 | 34-50 | 50-60 | 20-30 | 50-45 | 9-12 | 35-60 |
| Tracțiune σ_a | Cazul I Cazul II Cazul III | 6-12 4-8 2-4 | 9-15 6-10 3-5 | 12-18 8-12 4-6 | 12-18 8-12 4-6 | 6-9 4-6 2-3 | 1-1,2 0,7-0,8 0,3-0,4 | 6-10 4-6,7 2-3,3 |
| Compre-siune σ_{ca} | Cazul I Cazul II | 9-10 6-6,6 | 9-15 6-10 | 12-18 8-12 | 12-18 8-12 | 6-9 4-6 | — | 6-10 4-6,7 |
| Încovo-iere σ_{ia} | Cazul I Cazul II Cazul III | 4-7,5 2,7-5 1,3-2,5 | 9-15 6-10 3-5 | 12-18 8-12 4-6 | 12-18 8-12 4-6 | 6-9 4-6 2-3 | 1,5-2 1-1,3 0,5-0,7 | 6-10 4-6,7 2-3,7 |
| Răsucire τ_{ia} | Cazul I Cazul II Cazul III | 2,7-8 1,8-3,7 0,9-1,8 | 6-10 3-6 2-4 | 9-14,4 6-9,6 3-4,8 | 9-14,4 6,4-9,6 3,2-4,8 | 4,5-7 3-4,7 1,5-2,3 | — | 4,8-8 3,2-5,3 1,6-2,7 |
| Forfecare τ_{ca} | Cazul I Cazul II Cazul III | 3-3,5 2-2,3 1-1,2 | 7,2-12 4,8-8 2,4-4 | 9,6-14,4 6,4-9,6 3,2-4,8 | 9-14,4 6,4-9,6 3,2-4,8 | 4,5-7 3-4,7 1,5-2,3 | — | 4,8-8 3,2-5,3 5-8 |

Rezistențe admisibile

Observații. Rezistențele admisibile pentru fontă sînt indicate pentru piese prelucrate.

5. VALORI PRACTICE DE ELASTICITATE ȘI REZISTENȚĂ

5.1. VALORI DE ELASTICITATE ȘI REZISTENȚĂ PENTRU MATERIALE FEROASE

Tabela 2.2. Caracteristicile mecanice ale oțelurilor și fontelor

| Materiale | Starea | Modul de elasticitate la | | Limita de | | Rezistența de rupere la | |
|-------------------------|--------------|----------------------------|--------------------------|---------------------------------|---------------------------------|---------------------------------|------------------------------------|
| | | tracțiune sau compre-siune | torsiune sau forfecare | proporți-onalitate | surgere | tracțiune | compre-siune |
| | | E kgf/mm^2 | G kgf/mm^2 | σ_p kgf/mm^2 | σ_s kgf/mm^2 | σ_r kgf/mm^2 | σ_{rc} kgf/mm^2 |
| Oțel OL 38 | norma-lizat | 20 000 21 500 | 8 880 8 500 | 18-23 | 26 | 38-47 | 22 |
| Oțel OL 50 | " | 20 000 21 500 | 8 000 8 500 | 18-23 | 27 | 50-60 | 27 |
| Oțel OL 45 | îmbunătă-țit | 20 000 21 500 | 8 000 8 500 | | 39-47 | 65-75 | 39-47 |
| Oțel 30 CN 35 | " | 20 000 21 500 | 8 000 8 500 | 20 și mai mult | 66-78 | 90-105 | 66-78 |
| Oțel turnat OT 45 | recopt | 20 000 21 500 | 8 000 8 500 | 50 și mai mult | 22 | 45 | 22 |
| Oțel de arcuri | necălit | 20 000 21 500 | 8 000 8 500 | 75 și mai mult | | 75-90 | |
| Oțel de arcuri | călit | 20 000 21 500 | 8 000 8 500 | | 65-117 | 80-170 | 65-115 |
| Fontă norma-lă Fe 12 | netratată | 7 500*) 4 000 | 3 200 2 200 | | | 12 | (60) |
| Fontă superi-oară Fe 24 | " | 13 000*) 11 000 | 5 200 4 500 | | | 24 | (90) |
| Fontă malea-bilă | maleab. | 17 000 | 6 800 | | 19-21 | 35-38 | (19-21) |

*) E scade cu creșterea solicitării la întindere.

5.2. VALORI DE ELASTICITATE ȘI REZISTENȚĂ PENTRU MATERIALE NEFEROASE

Tabela 2.3. Caracteristicile mecanice ale unor materiale metalice neferoase

| Materiale | $E = \frac{1}{\alpha}$ kgf/mm ² | σ_p kgf/mm ² | σ_r kgf/mm ² | δ % | ψ % |
|------------------------------|---|-----------------------------------|-----------------------------------|---------------|-------------|
| Tablă de cupru laminată | 11 500 | — | 20—23 | 38 | 45—50 |
| Alamă turnată | 8 000 | 650 | 16,50 | 13 | 17,4 |
| Bronz | 9 000 | 9 | 20 | 6 | 10,5 |
| Bronz fosforos | — | — | 40 | — | — |
| Metal Delta turnat | — | — | 34—37 | — | — |
| Metal Delta laminat | 9 977 | 22 | 58 | 12,3 | 17,4 |
| Metal Delta forjat | — | 18 | 26 | — | — |

5.3. VALORI DE ELASTICITATE ȘI REZISTENȚĂ PENTRU MATERIALE DIVERSE

Tabela 2.4. Caracteristicile mecanice pentru diverse materiale

| Materialul | $E = \frac{1}{\alpha}$ kgf/mm ² | σ_p kgf/mm ² | σ_r kgf/mm ² | Observații |
|---------------------------------|---|-----------------------------------|-----------------------------------|---|
| Aluminiu (turnat). | 6 750 | — | 10—12 | $\delta = 3\%$ |
| Bronz de aluminiu cu 10% Al . | — | — | 64 | $\delta = 11\%$ |
| Zinc laminat | 1 500 | — | 19 | $\sigma_c = 10 \text{ kgf/mm}^2$ |
| Plumb moale | 500 | — | 1,25 | |
| Plumb tare (cu antimoniu) . . | — | — | 3,00 | |
| Sîrmă de oțel moale | — | 42 | 56—70 | Pentru sîrmele și cablurile noi |
| Sîrmă de oțel recoaptă | 20 000 | 20 | 40 | E este cu 35% mai mare decît pentru cablu |
| Sîrmă de oțel Bessemer | — | 52 | 65 | rile vechi |
| Sîrmă de oțel Bessemer recoaptă | 21 500 | 22 | 40—60 | $\sigma = 39—27,2$ kgf/cm ² |
| Curea de piele nouă | 12,50 | 1,60 | 2,50—4,50 | |
| Curea de piele nouă | 22,50 | — | 2,50—4,50 | |
| Cablu de cîneapă de Manilla . . | 80—95 | Cablu nou 12 Cablu vechi 5 | | |

6. PIESE SUPUSE LA DIFERITE SOLICITĂRI

6.1. PIESE SUPUSE LA TRACȚIUNE ȘI COMPRESIUNE

O piesă supusă la tracțiune sau compresie¹⁾ trebuie dimensionată astfel încît să satisfacă relațiile:

$$F \leq A \cdot \sigma_a \text{ pentru tracțiune;}$$

¹⁾ Compresiunea pură are loc numai la barele scurte, la care lungimea este de cel mult 6—8 ori mai mare decît dimensiunea transversală minimă, deoarece altfel s-ar produce și fenomenul de flambaj.

de unde

$$\sigma_a \leq \frac{F}{A}; \text{ sau } A \geq \frac{F}{\sigma_a}, \quad (1)$$

$$F \leq A \cdot \sigma_{ca} \text{ pentru compresie;}$$

de unde

$$\sigma_{ca} \geq \frac{F}{A} \text{ sau } A \geq \frac{F}{\sigma_{ca}}, \quad (2)$$

în care: F este forța, în kgf;

A — secțiunea piesei, în mm²;

σ_a — rezistența admisibilă la tracțiune, în kgf/mm²;

σ_{ca} — rezistența admisibilă la compresie, în kgf/mm².

Pentru calculul sîrmelor se utilizează relația: $T = \alpha d + \beta d^3$, în care T este sarcina de rupătură, în kgf; d — diametrul firului, în mm, iar α și β sînt constante care se găsesc în tabela 2.5.

Tabela 2.5. Constantele α și β pentru diferite sîrme

| Specificare | Sîrmă ruginită | | Sîrmă neruginită | |
|--|----------------|---------|------------------|---------|
| | α | β | α | β |
| Sîrmă de oțel | 3 | 45 | 21 | 50 |
| Sîrmă de oțel, calitate superioară . . | 3 | 26 | 12,5 | 50 |
| Sîrmă de oțel, calitate inferioară . . | 5 | 22,5 | 18 | 36 |
| Sîrmă de alamă | 5,5 | 22,5 | 8 | 43 |
| Sîrmă de cupru | 0 | 18,5 | 7,5 | 27,5 |
| Sîrmă de zinc | — | — | 1,75 | 20 |
| Sîrmă de plumb tare | — | — | 0 | 1,75 |
| Sîrmă de plumb moale | — | — | 0 | 1,35 |
| Sîrmă de platină | — | — | 1,75 | 10 |

Deformația elastică a unei bare, supuse la un efort de tracțiune,

$$\text{este dată de relația } \gamma = \frac{F \cdot l}{A E},$$

în care F este forța de tracțiune, în kgf, A — secțiunea barei, în cm², l — lungimea barei, în cm, iar E — modulul de elasticitate, în kgf/cm².

Pentru ca această relație să fie valabilă și pentru compresie, este necesar ca: $l/d \leq 25$ pentru oțel moale;

$$l/d \leq 10 \text{ pentru fontă;}$$

$$l/d \leq 12 \text{ pentru lemn.}$$

Strivirea este o solicitare de aceeași natură cu cea de compresiune, luându-se în considerație părțile corpului cele mai apropiate de suprafața încărcată pe care se exercită solicitarea. La piesele metalice solificate, materialul din locurile strivite se află în condiții de solicitare mărită; lemnul rezistă slab la strivire.

Rezistența la strivire σ_{str} se calculează cu formula

$$\sigma_{str} = \frac{F}{A} \leq \sigma_{stra} [\text{kgf/mm}^2],$$

în care: F este efortul normal (axial), în kgf;

A — secțiunea piesei, în mm.

Rezistența admisibilă la strivire σ_{stra} este de două ori mai mare decât rezistența admisibilă la compresiune σ_{ca} , în cazul niturilor.

$\sigma_{stra} \approx 0,3 \sigma_{ca}$ pentru lemn când forța lucrează perpendicular pe fibre și $\sigma_{stra} \approx 0,7 \sigma_{ca}$ când forța lucrează în lungul fibrelor.

6.2. PIESE SUPUSE LA FLAMBAJ

Când raportul între lungimea și diametrul unei bare solicitate la compresiune în direcția lungimii sale depășește anumite limite, se produce flambarea piesei; în acest caz, forța care a provocat flambarea poartă numele de forță sau sarcină de flambaj.

Sarcina de flambaj F_k se poate determina cu ajutorul formulei lui Euler: $F_k = \pi^2 EI / l_k^2$, (3)

în care: I este momentul de inerție al secțiunii, în cm^4 ;

E — modulul de elasticitate, în kgf/cm^2 ;

l_k — lungimea de flambaj a piesei, în cm.

Pentru cazurile menționate mai jos, această formulă capătă formele indicate în dreptul fiecărui caz.

a. O extremitate a barei liberă și dezaxată, cealaltă încastrată (fig. 2.6):

$$F_k = \pi^2 EI / 4l^2; \quad l_k = 2l.$$

b. Ambele extremități libere și conduse pe direcția axei barei (fig. 2.7):

$$F_k = \pi^2 EI / l^2; \quad l_k = l.$$

c. O extremitate încastrată și cealaltă condusă pe direcția axei barei (fig. 2.8):

$$F_k = 2\pi^2 EI / l^2; \quad l_k = l/\sqrt{2}$$

d. Ambele extremități încastrate pe aceeași verticală (fig. 2.9):

$$F_k = 4\pi^2 EI / l^2; \quad l_k = l/2.$$

Rezistența de flambaj σ_k , în kgf/cm^2 , se poate calcula cu următoarele formule:

a. Formula lui Euler: $\sigma_k = \frac{F_k}{A} = \pi^2 \frac{EI}{Al_k^2}$,

în care A este secțiunea barei, în cm^2 .

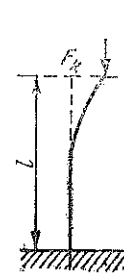


Fig. 2.6.

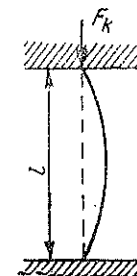


Fig. 2.7.

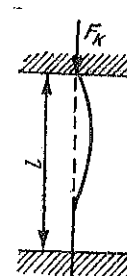


Fig. 2.8.

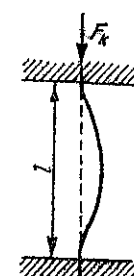


Fig. 2.9.

Introducînd în această formulă coeficientul de subțirime $\lambda = \frac{l_k}{i}$ și ținînd seamă că $I = i^2 A$ (în care i este raza de girație) se obține:

$$\sigma_k = \frac{\pi^2 E}{\lambda^2}.$$

b. Formula lui Tetmaier: $\sigma_k = \sigma_c (1 - a\lambda + b\lambda^2)$,
în care: a și b sînt coeficienți ce depind de calitatea materialului ($b = 0$ pentru toate materialele afară de fontă);
 σ_c este rezistența la compresiune.

Limitele de utilizare a formulelor Euler și Tetmaier și coeficientul de siguranță α . La dimensionarea secțiunilor se utilizează fie formula lui Euler, fie formula lui Tetmaier, după criteriile arătate în tabela 2.6.

Tabela 2.6. Utilizarea formulelor lui Euler și Tetmaier

| Materialul | E kgf/mm ² | σ_k , kgf/cm ² , se calculează cu: | | |
|--------------------------|--------------------------|--|--|--|
| | | Formula Euler | | Formula Tetmaier |
| | | Formula lui Euler $\frac{\pi^2 E}{\lambda^2}$ | se utilizează pentru $\lambda \geq$ | Pentru valori mai mici ale lui λ se calculează după Tetmaier |
| Fontă cenușie . . | 1 000 000 | $9\,870\,000 : \lambda^2$ | 80 | $7\,760 - 120\lambda + 0,53\lambda^2$ |
| Oțel moale . . . | 2 100 000 | $20\,730\,000 : \lambda^2$ | 105 | |
| | pînă la | | | |
| Oțel cu max. 5% Ni . . . | 2 200 000 | $21\,710\,000 : \lambda^2$ | 80 | $3\,350 - 6,2\lambda$ |
| | 2 100 000 | $20\,730\,000 : \lambda^2$ | 86 | $4\,700 - 23,6\lambda$ |

În general, în calculul de dimensionare al secțiunilor se introduce și un *coeficient de siguranță* c .

Așadar, sarcina de flambaj admisibilă și rezistența la flambaj vor fi utilizate în calcule sub formulele:

$$F_k = \pi^2 \frac{EI}{cl_k^2} \quad (\text{formula lui Euler});$$

$$\sigma_k = \pi^2 \frac{EI}{cAl_k^2} = \frac{\pi^2 E}{c\lambda^2};$$

$c = 18 \dots 21$ pentru piesele supuse la eforturi alternative cu variații de la $-F$ la $+F$;

$c = 8 \dots 14$ pentru eforturi repetate de la 0 la F ;

$c = 6$ pentru fontă;

$c = 4$ pentru oțelul moale de construcții;

$c = 3,5$ pentru restul materialelor.

6.3. PIESE SUPUSE LA ÎNCOVOIERE

Momentul încovoietor corespunzător secțiunii transversale considerate, în $\text{kgf} \cdot \text{cm}$, este dat de relația $M = \sigma_{ia} I / y = \sigma_{ia} W$, în care: σ_{ia} este rezistența admisibilă la încovoiere a fibrei celei mai

obosite (deci fibra cea mai depărtată de axa neutră), care se găsește la distanța y de axa neutră a secțiunii;

I — momentul de inerție al secțiunii considerate, în raport cu axa neutră, în cm^4 ;

W — modulul de rezistență al secțiunii, în cm^3 .

Pentru ca o piesă să reziste la eforturi de încovoiere, este necesar ca

$$M \leq \sigma_a I / y_1 = \sigma_a W \quad (4)$$

și

$$M \leq \sigma_{ca} I / y_2 = \sigma_{ca} W, \quad (5)$$

în care y_1 și y_2 sînt distanțele, în cm , la axa neutră, ale fibrelor celor mai depărtate, în care rezistențele admisibile la tracțiune σ_a , respectiv la compresiune σ_{ca} , sînt maxime.

Pentru oțel moale se ia de obicei $\sigma_a = \sigma_{ca} = \sigma_{ia}$.

6.4. PIESE SUPUSE LA RĂSUCIRE

Rezistența tangențială în fibra extremă a unei bare prismatice, sub acțiunea unui cuplu aplicat într-un plan perpendicular pe axă, se determină prin relația $\tau_r = M_r / W_0$, unde $W_0 = I_0 / y_{max}$, (6)

în care: W_0 este modulul de rezistență la răsucire (polar), în cm^3 ;

M_r — momentul de răsucire $= FR$, în $\text{kgf} \cdot \text{cm}$;

I_0 — momentul de inerție polar față de centrul de greutate, în cm^4 ;

y_{max} — distanța la fibrele extreme, în cm ;

F — forța care produce torsiunea, în kgf ;

R — brațul cuplului de torsiune, în cm .

Unghiul de răsucire $\Delta\varphi$ la distanța l de la capătul încastrat al barei, pe o rază de 1 cm , se obține cu formula $\Delta\varphi = l\theta$, în care θ este torsiunea, în radiani, adică unghiul de răsucire specific măsurat la distanța de 1 cm de la capătul încastrat.

Valoarea unghiului de răsucire (torsiune), în grade, se obține prin multiplicarea cu $180^\circ/\pi$.

În calculul de dimensionare a arborilor cu secțiune circulară, unghiul de răsucire $\Delta\varphi$ a două secțiuni la distanța de 1 m trebuie să fie cuprins între $1/4$ și $1/5$ dintr-un grad sexagesimal.

6.5. PIESE SUPUSE LA FORFECARE

Rezistența tangențială (efort unitar tangențial) τ , care ia naștere într-o secțiune a unei bare supusă la o forță tăietoare T care acționează perpendicular pe axa longitudinală este dată de relația

$$\tau_f = T/A, \quad (7)$$

în care T este forța tăietoare în kgf iar A — secțiunea barei, în cm^2 .

Rezistența admisibilă la forfecare τ_{fa} trebuie să satisfacă relația

$$\tau_{fa} \geq T/A. \quad (8)$$

În cazul materialelor omogene și în special la metale, valoarea lui τ_{fa} este cuprinsă între limitele $0,6 - 0,8 \sigma_a$, în care σ_a reprezintă rezistența admisibilă la tracțiune.

Formula (7) este valabilă în cazul cînd eforturile unitare τ , sînt uniform repartizate în secțiunea transversală a barei.

6.6. PIESE SUPUSE LA ÎNCOVOIERE

În cazul solicitării concomitente la încovoiere și răsucire, în piesă se produc:

— o rezistență la încovoiere: $\sigma_t = M/W$,

în care: M este momentul încovoietor al secțiunii transversale a piesei, în $\text{kgf} \cdot \text{cm}$;

W — modulul de rezistență al secțiunii, în cm^3 ,

— o rezistență la răsucire: $\sigma_r = M_r/W_0$,

în care: M_r este momentul de răsucire, în $\text{kgf} \cdot \text{cm}$;

W_0 — modulul de rezistență la răsucire, în cm^3 .

Rezistența totală la care este supusă piesa este dată de relația

$$\sigma = 0,35 \sigma_t + 0,65 \sqrt{\sigma_t^2 + 4(\alpha_0 \tau_r)^2} \leq \sigma_{ta}, \text{ în care } \alpha_0 = \frac{\sigma_{ta}}{1,3 \tau_a}.$$

Pentru corpuri omogene $\alpha_0 = 1$.

7. EXEMPLE DE CALCUL

7.1. CALCULUL LA TRACȚIUNE

1. Să se determine diametrul d , alungirea specifică ε și alungirea absolută Δl ale unei bare rotunde din oțel cu rezistența admisibilă $\sigma_a = 1\,000 \text{ kgf/cm}^2$ și cu lungimea $l = 3\,000 \text{ mm}$, cunoscând că este supusă la o forță de întindere $F = 15\,000 \text{ kgf}$.

Introducând în formula (1) valorile cunoscute din enunț, se obține

$$A \geq F/\sigma_a = 15\,000 : 1\,000 = 15 \text{ cm}^2.$$

Diametrul barei rezultă din relația

$$\pi d^2/4 = 15 \text{ cm}^2, \text{ de unde:}$$

$$d = \sqrt{15/4 \cdot 4} = 4,36 \text{ cm}.$$

Rotunjind această valoare a diametrului la 4,4 cm, efortul unitar maxim în bară va fi, în acest caz: $\sigma = 15\,000 : 15,2 = 986 \text{ kgf/cm}^2 < 1\,000 \text{ kgf/cm}^2$.

Pentru determinarea alungirii specifice, se folosește legea lui Hooke: $\sigma = E \cdot \varepsilon$.

Introducând valoarea $E = 20\,000 \text{ kgf/mm}^2 = 2\,000\,000 \text{ kgf/cm}^2$ pentru modulul de elasticitate, se obține: $\varepsilon = \sigma/E = 986 : 2\,000\,000 = 0,000\,493$.

Alungirea absolută Δl se deduce din relația: $\varepsilon = \Delta l/l$, în care se înlocuiesc ε și l prin valorile cunoscute: $\Delta l = \varepsilon \cdot l = 0,000\,493 \cdot 3\,000 \approx 1,48 \text{ mm}$.

2. Să se calculeze șurubul unui cîrlig de macara de 5 t, cunoscând că materialul din care este confecționat este un oțel cu o rezistență admisibilă la tracțiune $\sigma_a = 600 \text{ kgf/cm}^2$.

Folosind relația (1), în care se introduc valorile cunoscute, se obțin

$$A = F/\sigma_a = 5\,000 : 600 = 8,33 \text{ cm}^2.$$

În cazul șuruburilor, A reprezintă suprafața secțiunii transversale a șurubului corespunzătoare diametrului interior al filetului.

Dacă se alege pentru șurubul cîrligului un filet în țoli, din tabelele STAS pentru acest filet se găsește că pentru un șurub de $1\frac{1}{2}$ " corespunde $A = 8,388 \text{ cm}^2$.

Deci cîrligul macaralei de 5 t se va executa cu șurubul de $1\frac{1}{2}$ ", avînd 6 pași pe țol.

7.2. CALCULUL LA COMPRESIUNE

Pentru așezarea unei mașini se folosesc patru blocuri metalice din oțel cu o rezistență admisibilă $\sigma_a = 400 \text{ kgf/cm}^2$. Să se calculeze suprafața secțiunii unui bloc, cunoscând că sarcina transmisă este de $30\,000 \text{ kgf}$.

Introducând în formula (2) valorile cunoscute din enunț, se obține:

$$A \geq F/\sigma_a = 30\,000 : 400 = 75 \text{ cm}^2.$$

Deci un bloc de susținere trebuie să aibă o secțiune de $A/4 = 75 : 4 = 18,75 \text{ cm}^2$.

7.3. CALCULUL LA FLAMBAJ

La sprijinirea unui tavan reprezentînd o sarcină de 10 tf se utilizează un stîlp rotund de oțel, înalt de $3,6 \text{ m}$. Să se verifice dacă acest stîlp rezistă la flambaj, în cazul cînd se ia coeficientul de siguranță $\sigma = 4$.

În cazul de față sarcina de flambaj devine: $F_k = 4 \cdot 10\,000 = 40\,000 \text{ kgf}$.

Introducînd în formula lui Euler (3) valorile cunoscute, luînd $E = 2\,000\,000 \text{ kgf/cm}^2$, momentul de inerție al secțiunii rotunde fiind $I = \pi d^4/64 = 0,05 \text{ d}^4$, iar stîlpul avînd ambele extremități libere, se obține:

$$F_k = \frac{\pi^2 EI}{l_k^2} = \frac{3,14^2 \cdot 2\,000\,000 \cdot 0,05 \text{ d}^4}{360^2} = 40\,000 \text{ kgf},$$

$$\text{de unde: } d^4 = \frac{40\,000 \cdot 360^2}{10 \cdot 2\,000\,000 \cdot 0,05} = 4 \cdot 36^2.$$

Extrăgînd rădăcina pătrată, rezultă: $d^2 = 2 \cdot 36 = 72$, de unde $d = \sqrt{72} \approx 8,5 \text{ cm}$.

Pentru a se verifica dacă formula lui Euler a fost corect aleasă, se calculează coeficientul de subțirime λ , care este dat de relația: $\lambda = l_k/i$.

$$\text{În care } i \text{ este raza de girație a cărei valoare este } i^2 = \frac{I}{A} = \frac{\pi d^4}{\pi \frac{d^2}{4}} = \frac{d^2}{16},$$

$$\text{de unde } i = \sqrt{\frac{d^2}{16}} = \frac{d}{4} = \frac{8,5}{4}.$$

Înlocuind în expresia lui λ valorile cunoscute, se obține: $\lambda = \frac{l_k}{i} = \frac{360 \cdot 4}{8,5} = 169$.

Deoarece coeficientul de subțirime este mai mare de 89 (v. tabela 2.6), înseamnă că formula lui Euler a fost aplicată corect.

7.4. CALCULUL LA ÎNCOVOIERE

1. O bară de oțel rotundă, lungă de 24 cm , este sprijinită la ambele capete pe reazeme. Să se determine diametrul barei, cunoscînd că la mijlocul ei acționează o sarcină $F = 2\,000 \text{ kgf}$ și că rezistența admisibilă $\sigma_a = 600 \text{ kgf/cm}^2$.

Momentul maxim de încovoiere, în acest caz, este dat de relația:

$$M_{max} = Fl/4 = 2\,000 \cdot 24 : 4 = 12\,000 \text{ kgf} \cdot \text{cm}.$$

Modulul de rezistență al barei rezultă din relația $W = \frac{M_{max}}{\sigma_a} = \frac{12\,000}{600} = 20 \text{ cm}^3$.

Modulul de rezistență al unei secțiuni circulare este: $W = \frac{\pi d^3}{32}$.

Din ultimele două relații rezultă $W = \frac{\pi d^3}{32} = 20 \text{ cm}^3$, de unde

$$d = \sqrt[3]{\frac{20 \cdot 32}{3,14}} \approx 5,9 \text{ cm}.$$

2. O grindă de brad cu secțiune dreptunghiulară, lungă de 2,4 m, este încastrată într-un perete la una din extremități. Asupra acestei grinzi acționează o sarcină uniform repartizată de 150 kgf pe fiecare metru de lungime și o forță de 600 kgf aplicată la 1,6 m de la încastare. Se cere să se calculeze dimensiunile grinzii astfel ca dimensiunile ei să fie cele mai economice.

Cunoscând că secțiunea cea mai periculoasă a unei console încărcată cu forțe care lucrează în același sens este în dreptul încadrării (și că forțele lucrează în planul $y-y$), modulul de rezistență al secțiunii se determină cu formula (4): $W = \frac{M_{max}}{\sigma_{ia}}$.

În această formulă se înlocuiește $\sigma_{ia} = 110 \text{ kgf/cm}^2$ (pentru lemnul de brad) și momentul încovoietor pentru secțiunea de încastare prin relația:

$$M_{max} = 600 \cdot 1,60 + 150 \cdot 2,4 \cdot 120 = 139\,200 \text{ kgf} \cdot \text{cm}.$$

Înlocuind în relația precedentă această valoare, se obține:

$$W_x = M_{max}/\sigma_{ia} = 139\,200/110 = 1\,265 \text{ cm}^3.$$

Pentru stabilirea laturilor grinzii, astfel ca dimensiunile să fie cele mai economice, se ține seama că din punctul de vedere al rezistenței la încovoire, secțiunea dreptunghiulară este cea mai economică când $h/b = 7/5$.

Deoarece pentru o secțiune dreptunghiulară modulul de rezistență este dat de relația:

$$W_x = bh^2/6$$

și ținând seama și de raportul dintre laturile grinzii ($h/b = 7/5$), se poate scrie:

$$W_x = 5 \cdot h \cdot h^2/(7 \cdot 6) = 5 \cdot h^3/42 = 1\,265 \text{ cm}^3,$$

de unde

$$h = \sqrt[3]{1\,265 \cdot 42/5} \approx 22 \text{ cm}$$

și

$$b = 5h/7 = 5 \cdot 22/7 = 110/7 \approx 16 \text{ cm}.$$

7.5. CALCULUL LA RĂSUCIRE

Într-un atelier se folosește ca arbore de transmisie o țevă cu diametrul exterior de 120 mm și diametrul interior de 50 mm. Să se calculeze rezistența maximă în materialul arborelui, cunoscând că prin aceasta se transmit 300 CP, cu 150 rot/min.

Momentul de răsucire pe care-l transmite arborele este dat de relația

$$M_r = 71\,620 \text{ P/n} = 71\,620 \cdot 300/150 = 143\,240 \text{ kgf} \cdot \text{cm}.$$

Modulul de rezistență la răsucire (polar) al arborelui este dat de relația

$$W_p = 0,2 \frac{D^4 - d^4}{D} = 0,2 \frac{12^4 - 5^4}{12} = 335 \text{ cm}^3.$$

Introducând aceste rezultate în formula (6), se deduce valoarea maximă a rezistenței tangențiale $\tau_r = M_r/W_p = 143\,240/335 \approx 430 \text{ kgf/cm}^2$.

Folosind pentru arborele de transmisie un material cu rezistența admisibilă la răsucire de 500 kgf/cm^2 , avem certitudinea că dimensionarea arborelui este bună.

7.6. CALCULUL LA FORFECARE

1. Să se determine forța necesară pentru ștanțarea unui disc din tablă de oțel OL-60, cu diametrul $d = 50 \text{ mm}$ și grosimea de 3 mm .

Suprafața de ștanțat este dată de relația $A = \pi dh = 3,14 \cdot 5 \cdot 0,3 = 4,71 \text{ cm}^2$. Rezistența la forfecare $\tau_f = 0,8\sigma_r = 0,8 \cdot 6\,000 = 4\,800 \text{ kgf/cm}^2$.

Cunoscând că forța de forfecare este dată de relația (7) $\sigma_f = T/A$, prin înlocuirea lui τ_f și A cu valorile corespunzătoare, se obține $T = \tau_f A = 4\,800 \cdot 4,71 = 22\,608 \text{ kgf}$.

2. Un bulon din oțel moale este supus la tracțiune cu o forță $F = 12\,000 \text{ kgf}$. Să se determine diametrul d al bulonului, precum și diametrul D și înălțimea h ale capului său, dacă se cunosc rezistențele admisibile: $\sigma_f = 900 \text{ kgf/cm}^2$, $\sigma_{str} = 900 \text{ kgf/cm}^2$ și $\tau_{fa} = 0,8\sigma_r$.

Diametrul d al bulonului se determină calculându-l la tracțiune. Suprafața secțiunii A , corespunzătoare diametrului interior al filetului, se deduce din ecuația:

$$A = F/\sigma_r = 12\,000/900 = 13,3 \text{ cm}^2.$$

Se alege un bulon de 2", având $A = 14,9 \text{ cm}^2$, diametrul exterior al filetului egal cu 50,3 mm și diametrul interior al filetului 43,6 mm.

Diametrul D al capului se calculează la strivirea care se produce pe suprafața inelară care înconjoară bulonul și cu care capul bulonului se sprijină pe reazemul său. Diametrul D al acestei suprafețe inelare este cel căutat, iar diametrul interior este egal cu diametrul exterior al bulonului, adică cu 5,03 cm.

Calculul la strivire se prezintă sub forma $\pi/4 (D^2 - 5,03^2) \sigma_{str} = F$,

de unde $D^2 = \frac{4}{\pi} \cdot \frac{F}{\sigma_{str}} + 5,03^2 = 42,3 \text{ cm}^2$ sau $D = \sqrt{42,3} = 6,5 \text{ cm}$.

Înălțimea h a capului bulonului se determină printr-un calcul de forfecare. În acest caz, forfecarea se produce pe suprafața cilindrică a bulonului. Înălțimea acestei suprafețe este egală cu înălțimea h a capului, iar diametrul ei cu diametrul interior al filetului, adică cu 4,36 cm.

Suprafața laterală a acestui cilindru este $\pi dh = \pi \cdot 4,36 \cdot h$.

Înmulțind această expresie cu rezistența admisibilă la forfecare $\tau_a = 0,8\sigma_r$ și egalând rezultatul obținut cu forța de forfecare $T = F$, se obține relația care servește pentru determinarea lui h $0,8 \cdot 900 \pi \cdot 4,36 \cdot h = 12\,000$, de unde $h = 1,2 \text{ cm}$.

ORGANE DE MAȘINI

Oricare mașină, aparat sau mecanism este constituit din părți distincte asamblate între ele, care, după funcția pe care o îndeplinesc, se clasifică în câteva grupe principale.

Grupele principale de organe sau elemente de mașini care se întâlnesc în mod curent în construcțiile de mașini și aparate sînt următoarele :

elemente de asamblare : șuruburi, piulițe, nituri, știfturi, cuie spintecate, pene etc.;

organe pentru mișcarea de rotație : axe, arbori, bolțuri, bușe, lagăre etc.;

organe pentru transformarea mișcării : arbori cotiți, mecanisme bielă-manivelă, organe culisante (oscilante sau rotitoare), excentrice etc.;

organe pentru transmiterea mișcării : curele, roți pentru curele, angrenaje (formate din roți dințate cilindrice, roți conice, melc și roată melcată), lanțuri, arbori flexibili, articulații (normale, cardanice) etc.;

organe pentru mecanisme de cuplare : cuplaje de fricțiune, cuplaje cu gheare etc.

În cuprinsul acestui capitol sînt arătate o mare parte din aceste organe de mașini și în special cele standardizate, prin STAS-urile respective.

1. ȘURUBURI

1.1. GENERALITĂȚI

Șurubul este un element de mașină folosit, în general, la asamblările demontabile.

După funcția pe care o au, șuruburile se clasifică în :

a) **Șuruburi de strângere și fixare.** Acestea sînt cele mai des utilizate la asamblări demontabile (de exemplu fixarea capacelor pe carcase, fixarea tabelelor pe rame metalice etc.) și uneori pentru închidere (de

exemplu, dopurile pentru închiderea găurilor filetate pentru scurgerea lichidelor din corpurile pompelor de ulei).

b) **Șuruburi de reglare.** Se folosesc în mod obișnuit la schimbarea poziției, între anumite limite, a unor piese, de exemplu, șuruburile pentru aranjarea în plan orizontal a unui instrument de măsurat).

c) **Șuruburi de mișcare.** Se utilizează de obicei la deplasarea diferitelor elemente sau organe de mașini (de exemplu, șuruburile conducătoare ale săniilor mașinilor-unelte, axele principale filetate de la presele cu fricțiune, axele filetate de la cricuri etc.).

d) **Șuruburi de măsurare.** Se folosesc în general în construcția instrumentelor de măsurat de mare precizie (de exemplu la micrometre).

După forma capului și modul de strângere a șurubului (cu cheie deschisă, cu cheie tubulară, cu șurubelniță etc.), se deosebesc : șuruburi cu cap hexagonal, cu cap pătrat, cu cap ciocan, cu cap tronconic, cu cap cilindric, cu cap semirotund, cu cap crestă etc.

După poziția capului față de piesă, șurubul poate fi cu cap aparent, cu cap semiîncăscut sau cu cap încăscut.

Din punctul de vedere al materialului în care se înșurubează, se deosebesc : *șuruburi pentru metale* (sau mecanice), *șuruburi pentru lemn* etc.

Pentru a împiedica rotirea șurubului în găurile din piesele asamblate, se folosesc șuruburi cu gît pătrat sau șuruburi cu nas.

Șurubul care are ambele extremități filetate, din care una se înșurubează într-o gaură filetată a uneia din piesele asamblate, iar cealaltă trece liber printr-o gaură străpunsă, netedă, a celeilalte piese, asamblarea pieselor făcîndu-se cu ajutorul unei piulițe înșurubate pe această din urmă extremitate, se numește *prezon* sau *șurub-pri-zonier*.

Prezoanele standardizate pînă în prezent sînt : prezoanele pentru înșurubat în oțel (STAS 3953-67), prezoanele pentru înșurubat în fontă (STAS 4551-67), și prezoanele pentru înșurubat în aliaje de aluminiu (STAS 4552-67). Oțelurile folosite în mod obișnuit la fabricarea prezoanelor sînt OL 37, OL 50 și oțelul pentru automate.

Șuruburile pentru lemn au stabilite condițiile generale prin STAS 1755-71. Materialele folosite pentru aceste șuruburi sînt : oțelul OL 37, în colaci, tras la dimensiunea necesară ; oțelul OL 37, în bare pentru șuruburile cu cap pătrat și hexagonal de 16 și 20 mm și alamă 1/2 t în colaci, STAS 390-70/Am 63, STAS 95-75.

După caracteristicile filetelor respective, șuruburile mai au și următoarele denumiri : șuruburi milimetrice, șuruburi trapezoidale, șuruburi stînga, șuruburi cu două începuturi etc.

1.2. CALCULUL ȘURUBURILOR

Pentru calculul șuruburilor se notează cu :

F — sarcina axială la tracțiune, în kgf;

T — sarcina de forfecare, în kgf;

d — diametrul nominal al filetului, în cm;

d_1 — diametrul interior al filetului, în cm;

A — secțiunea miezului, în cm²;

σ_a — rezistența admisibilă la tracțiune, în kgf/cm²;

τ_{fa} — rezistența admisibilă la forfecare, în kgf/cm².

1.2.1. **Solicitarea la tracțiune.** Calculul șurubului se face pentru secțiunea miezului cu diametrul interior d_1 . Cunoscând sarcina axială care solicită șurubul și rezistența admisibilă a materialului din care este confecționat, diametrul d_1 se obține din relația

$$F = A \sigma_a = \frac{\pi d_1^2}{4} \cdot \sigma_a \text{ [kgf]}, \quad (1)$$

de unde

$$d_1 = \sqrt{\frac{4F}{\pi \sigma_a}} \text{ [cm]}. \quad (2)$$

Rezistențele la tracțiune admisibile pentru șuruburi au următoarele valori :

$\sigma_a = 480 \dots 600 \text{ kgf/cm}^2$ pentru șuruburi din oțel cu

$$\sigma_r = 35 \dots 45 \text{ kgf/mm}^2;$$

$\sigma_a = 600 \dots 800 \text{ kgf/cm}^2$ pentru șuruburi executate la strung sau la automate, din oțel cu $\sigma_r = 50 \dots 70 \text{ kgf/mm}^2$.

Exemple : Să se calculeze diametrul nominal d al unui șurub care suportă o sarcină de tracțiune axială de 250 kgf și este confecționat dintr-un oțel cu o rezistență admisibilă la tracțiune $\sigma_a = 500 \text{ kgf/cm}^2$.

Introducând datele cunoscute în formula (2) se obține următoarea valoare pentru diametrul interior d_1 al șurubului $d_1 = \sqrt{\frac{4F}{\pi \sigma_a}} = \sqrt{\frac{4 \cdot 250}{3,14 \cdot 500}} = 0,797 \text{ cm}$.

În tabela filetelor metrice pentru diametre de 6—68 mm (STAS 510—74), se găsește că diametrul interior $d_1 = 0,805 \text{ cm}$. Se va folosi deci un șurub M 10.

Sarcini admisibile la tracțiune pentru șuruburi. În tabela 3.1 sînt date sarcinile admisibile, în kgf, corespunzătoare diferitelor valori ale rezistenței admisibile la tracțiune, pentru șuruburile metrice (cu diametre de la M6—M48).

Exemplu : Se cere să se găsească ce sarcină admisibilă la tracțiune revine unui șurub M 16 care este confecționat dintr-un oțel cu o rezistență admisibilă de 800 kgf/cm².

În tabela 3.1, la intersecția liniei corespunzătoare șurubului cu diametrul nominal M 16, cu coloana rezistenței admisibile de 800 kgf/cm², se găsește sarcina admisibilă la tracțiune de 1 200 kgf.

Tabela 3.1. Sarcini admisibile pentru șuruburi cu filet metric, kgf

| Filet metric normal STAS 510-74 | Sarcini la tracțiune F kgf, pentru σ_a kgf/cm ² de : | | |
|------------------------------------|--|--------|--------|
| | 500 | 800 | 1 200 |
| M 6 | 96 | 152 | 228 |
| M 8 | 173 | 277 | 416 |
| M 10 | 275 | 440 | 660 |
| M 12 | 400 | 640 | 960 |
| M 16 | 750 | 1200 | 1 800 |
| M 20 | 1 945 | 3 112 | 4 688 |
| M 24 | 2 760 | 4 416 | 6 624 |
| M 30 | 4 435 | 7 095 | 10 644 |
| M 36 | 6 428 | 10 285 | 15 428 |
| M 42 | 8 837 | 14 169 | 21 208 |
| M 48 | 11 627 | 18 604 | 27 900 |

1.2.2. **Solicitarea la compresiune.** Calculul la compresiune al șuruburilor este identic cu calculul la tracțiune și atît formulele cît și valorile rezistențelor admisibile sînt aceleași.

1.2.3. **Solicitarea la tracțiune și răsucire (torsione).** Cînd șuruburile sînt strînse sub o sarcină mai accentuată, se naște și un moment de răsucire. Practic, se admit pentru acest caz rezistențele admisibile indicate la tracțiune, reduse în raportul 3/4 :

$$\sigma_a = 360 \dots 450 \text{ kgf/cm}^2 \text{ pentru șuruburi din oțel cu}$$

$$\sigma_r = 35 \dots 45 \text{ kgf/mm}^2;$$

$$\sigma_a = 450 \dots 600 \text{ kgf/cm}^2 \text{ pentru șuruburi din oțel cu}$$

$$\sigma_r = 50 \dots 70 \text{ kgf/mm}^2.$$

1.2.4. **Solicitarea la compresiune și răsucire.** Rezistențele admisibile sînt identice cu cele arătate în cazul precedent.

1.2.5. Solicitarea la forfecare. Pentru șuruburile cu o singură secțiune supusă la forfecare (fig. 3.1) diametrul interior al șuruburilor se obține din formula :

$$F = A \tau_{fa} = \frac{\pi d_1^2}{4} \tau_{fa}, \quad (3)$$

de unde

$$d_1 = \sqrt{\frac{4F}{\pi \tau_{fa}}} [\text{cm}]. \quad (4)$$

Pentru șuruburile cu două secțiuni supuse la forfecare (fig. 3.2), formulele (3) și (4), devin $F = 2A \tau_{fa} = \frac{\pi d_1^2}{2} \tau_{fa}$ (5)

și

$$d_1 = \sqrt{\frac{2}{\pi} \frac{F}{\tau_{fa}}}. \quad (6)$$

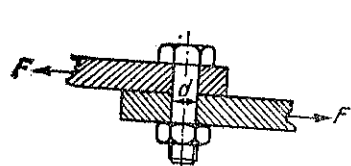


Fig. 3.1.

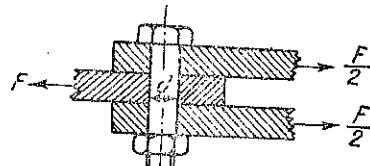


Fig. 3.2.

Rezistențele admisibile la forfecare au următoarea valoare (rezultată din experimentări practice) $\tau_{fa} = 0,577 \sigma_a$, în care σ_a are valorile indicate pentru cazul solicitării șuruburilor la tracțiune.

După ce se calculează diametrul interior al șurubului după formula (4) sau (6), se identifică în standarde șurubul căruia îl corespunde un diametru interior imediat superior; acesta este șurubul care trebuie folosit pentru asamblare.

Exemplu : Un șurub pentru asamblarea unor bare dispuse ca în fig. 3.2 este supus unei sarcini transversale de 1 840 kgf. Să se determine diametrul nominal al șurubului, cunoscând că este executat din oțel cu o rezistență admisibilă $\sigma_a = 800 \text{ kgf/cm}^2$.

Introducând în formula (6) valorile lui $F = 1\,840 \text{ kgf}$ și $\tau_{fa} = 0,577 \sigma_a = 0,577 \cdot 800 \approx 460 \text{ kgf/cm}^2$, se obține : $d_1 = \sqrt{\frac{2}{\pi} \frac{F}{\tau_{fa}}} = \sqrt{\frac{2}{3,14} \cdot \frac{1\,840}{460}} = 1,595 \text{ cm}$.

În STAS 510-74, pentru filete metrice (diametre 6—68 mm), se găsește că diametrul interior imediat superior este de 1,675 cm, care corespunde unui șurub cu diametrul nominal de 20 mm. Se va alege deci un șurub M 20.

1.3. FORME ȘI DIMENSIUNI

În tabela 3.4 sînt arătate diferitele tipuri de șuruburi standardizate.

Cel mai des folosite sînt șuruburile cu cap hexagonal. Ele se fixează în piese fie direct, fie cu ajutorul piulițelor.

Șuruburile cu capul pătrat sînt folosite de obicei în cazul înșurubărilor și desfacerilor frecvente, cum este cazul la dispozitivele de prindere pentru prelucrări la mașini-unelte.

Șuruburile cu cap ciocan au multiple utilizări, după forma capului cu care sînt prevăzute. Astfel, în forma paralelipipedică simetrică, se folosesc la strîngerea pieselor de prelucrat pe masa mașinilor-unelte, iar sub formă asimetrică se utilizează la strîngerea pieselor în dispozitive de lucru sau pe mașini.

În construcția de mașini, aparate etc., se folosesc deseori și șuruburile cu cap semirotund, bombat, aplatisat, semiînecat sau înecat. Pentru strîngere, capul acestor șuruburi este prevăzut cu creștătură sau adîncitură în formă de cruce, în care se introduce capătul unei șurubelnițe cu forma corespunzătoare.

Ca forme speciale de șuruburi sînt și cele cu cap fluture, care se rotește ușor cu mina, șuruburile cu ochi și șuruburile cu inel.

Pentru solidarizarea batiurilor mașinilor pe fundațiile de beton se folosesc șuruburile pentru fundații.

Șuruburile de strîngere filetate la ambele capete, șuruburile distanțiere și prezoanele (șuruburile prizoniere) sînt șuruburi fără cap.

Șuruburile pentru lemn se execută cu cap pătrat, hexagonal, semiînecat, înecat și rotund. Pentru asamblarea pieselor din lemn se mai folosesc șuruburi cu piuliță, șuruburi cu cap bombat sau semirotund și gît pătrat sau cu nas.

Vîrfurile șuruburilor au forme diferite după modul de prelucrare a șuruburilor sau după scopul în care acestea sînt folosite. Astfel se pot distinge : șuruburile cu vîrf plat, bombat, tronconic, cu cep. Vîrfurile de șuruburi sînt standardizate prin STAS 4924-69.

Terminarea filetului la șuruburi necesită degajări între partea filetată și corpul nefiletat pentru a face posibilă scăparea sculei care taie filetul, precum și pentru ca să micșoreze efectul de concentrare a tensiunilor. Dimensiunile acestor degajări atît pentru filetul exterior cît și pentru cel interior sînt indicate în STAS 3508-70.

Dimensiunile standardizate ale șuruburilor folosite în mod curent sînt arătate în tabelele 3.5—3.11.

În tabela 3.12 sînt indicate găurile de trecere pentru șuruburi cu filet metric iar în tabela 3.13 sînt date lungimile de filetare, adîncimile de găuri filetate și terminările de filete și șplinturi.

Locașurile pentru șuruburi sînt standardizate, atît cele pentru șuruburi cu cap cilindric (STAS 5783-65), cît și cele pentru șuruburi cu cap înecat și semiînecat (STAS 5782-65).

1.4. CARACTERISTICI MECANICE

Șuruburile, prezoanele și știfturile filetate se execută conform STAS 2700/3-69 în 11 grupe de caracteristici mecanice. Alegerea mărcii de oțel și a tratamentului termic corespunzător, în vederea realizării caracteristicilor mecanice prescrise, se lasă la latitudinea uzinei producătoare.

Fiecare grupă de caracteristici mecanice se execută în categoriile de execuție prevăzute în tabela 3.2 : grosolane, semiprecise și precise.

Tabela 3.2 Clasificarea șuruburilor, prezoanelor și știfturilor filetate

| Categorii de execuție | Grupa de caracteristici mecanice | | | | | | | | | |
|-----------------------|----------------------------------|-----|-----|-----|-----|-----|-----|------|------|------|
| | 4,6 | 4,8 | 5,6 | 6,6 | 6,8 | 6,9 | 8,8 | 10,9 | 12,9 | 14,9 |
| Precise | x | x | x | x | x | x | x | x | x | x |
| Semiprecise | x | x | x | x | x | x | x | | | |
| Grosolane | x | x | | | | | | | | |

Simbolul unei grupe de caracteristici mecanice pentru șuruburi, prezoane și știfturi filetate se compune din două numere :

— primul număr reprezintă 1/10 din rezistența minimă de rupere la tracțiune, exprimată în kgf/mm^2 ;

— cel de al doilea număr reprezintă, în procente, 1/10 din raportul dintre limita de curgere (convențională sau aparentă) și rezistența minimă de rupere la tracțiune.

Prin înmulțirea celor două numere se obține limita de curgere (convențională sau aparentă) în kgf/mm^2 .

Cele 11 grupe de caracteristici mecanice se referă la șuruburile, prezoanele și știfturile filetate executate din oțeluri nealiat sau slab aliate, cu diametrul nominal al filetului mai mic sau egal cu 39 mm și pentru care se impun caracteristici mecanice. Pentru organele de asamblare filetate cu diametrul nominal al filetului mai mare de 39 mm, caracteristicile mecanice se stabilesc de comun acord între producător și beneficiar.

Valorile caracteristicilor mecanice corespunzătoare fiecărei grupe sînt indicate în tabela 3.3.

1.5. ALEGEREA MATERIALULUI

La alegerea oțelurilor pentru șuruburi se ține seamă de caracteristicile mecanice impuse acestora, conform tabelelor 3.2 și 3.3.

Tabela 3.3. Caracteristicile mecanice ale grupelor de șuruburi, prezoane și știfturi filetate

| Nr. crt. | Caracteristica mecanică | Grupa de caracteristici mecanice | | | | | | | | | | |
|----------|---|----------------------------------|------|------|------|------|------|------|------|------|------|------|
| | | 4,6 | 4,8 | 5,6 | 5,8 | 6,6 | 6,8 | 6,9 | 8,8 | 10,9 | 12,9 | 14,9 |
| 1 | Rezistența de rupere la tracțiune R , kgf/mm^2 | 40 | 55 | 110 | 140 | 170 | 215 | 245 | 280 | 330 | 390 | 443 |
| 2 | Duritatea Brinell | 60 | 80 | 170 | 245 | 88 | 102 | 18 | 31 | 38 | 44 | 49 |
| 3 | Duritatea Rockwell | min. | max. | min. | max. | min. | max. | min. | max. | min. | max. | min. |
| 4 | Duritatea Vickers HV 30 | 110 | 170 | 215 | 245 | 170 | 245 | 225 | 300 | 367 | 443 | 510 |
| 5 | Limita de curgere aparentă R_e , kgf/mm^2 | 24 | 32 | 30 | 40 | 36 | 48 | — | — | — | — | — |
| 6 | Limita de curgere convențională $R_{0,2}$, kgf/mm^2 | — | — | — | — | — | — | 54 | 64 | 90 | 108 | 126 |
| 7 | Rezistența la sarcina de încercare σ_s , kgf/mm^2 | 22,6 | 29,1 | 28,2 | 36,4 | 33,9 | 43,7 | 47,5 | 58,2 | 79,2 | 95,0 | 111 |
| 8 | Alungirea la rupere A_5 , % | 0,94 | 0,91 | 0,94 | 0,91 | 0,94 | 0,91 | 0,88 | 0,91 | 0,88 | 0,88 | 0,88 |
| | | 25 | 14 | 20 | 10 | 16 | 8 | 12 | 12 | 9 | 8 | 7 |

În tabela 5 din STAS 2700/3-69 este arătat conținutul procentual al principalelor elemente pentru oțelurile corespunzătoare celor 11 grupe de caracteristici mecanice.

Informativ, șuruburile pentru metale, destinate utilizărilor curente, în scopuri necunoscute anticipat, se execută din oțeluri OL 37, OL 42, STAS 500-68. Pentru șuruburile destinate mașinilor de precizie, cu condiții mai severe, se folosesc oțelurile OL 50, OL 60, oțelurile de îmbunătățire OLC 35, OLC 45, STAS 880-66 și oțelurile pentru automate cuprinse în STAS 1350-67. În construcția motoarelor pentru autovehicule și avioane sînt necesare oțeluri aliate ca de exemplu: 41 C 10, 33 MoC 11 STAS 791-66.

Pentru temperaturi între 230 și 480°C se recomandă oțelurile aliate cu crom, molibden și vanadiu; între 480 și 650°C — aliaje Fe-Cr-Ni; între 650 și 880°C — aliaje speciale pe bază de nichel, iar între 880 și 1100°C, aliaje Ni-Co.

Prin tratamente termice de îmbunătățire sau călire, după categoria oțelului, se obține o creștere considerabilă a rezistenței.

Șuruburile pentru lemn se execută în general din OL 37, STAS 600-68 sau sîrmă de alamă Am 63 1/2 tare, STAS 390-70.

Pentru organele filetate mai pot fi folosite alamele Am 58, Am 60, aliaje Al-Mg și Al-Cu-Mg.

1.6. NOTAREA ORGANELOR DE ASAMBLARE FILETATE

Notarea organelor de asamblare filetate trebuie să cuprindă următoarele date: denumirea prescurtată, simbolul filetului (diametru, pas, toleranță, sens), lungimea (la șuruburi, prezoane, știfturi filetate), forma specială de execuție (la șuruburi cu cap hexagonal și prezoane conform STAS 4942-73, la piulițe conform standardelor dimensionale), STAS... (numărul standardului dimensional), simbolul grupii de caracteristici mecanice, alte indicații referitoare la acoperiri metalice.

Astfel, un șurub precis, cu cap hexagonal conform STAS 4272-70, cu filet M12 × 1, cu abateri limită ale filetului conform cîmpului de STAS 8165-68, sensul filetului stînga, lungimea 100 mm, avînd capul hexagonal crestat și gaură pentru șplint conform STAS 4942-73 și caracteristici mecanice conform grupei 6.8, se va nota:

ȘURUB M12 × 1 — 6e — stg × 100 cG STAS 4272-70 grupa 6.8

Această notare se poate simplifica prin nementinerea următoarelor caracteristici: pasul filetului — în cazul filetelor cu pasul normal (pînă la M68) sau cu pasul de 6 mm (pentru filetele cu pas fin mai mari de M68), simbolul cîmpului de toleranță al filetului — în cazul în care

cîmpul de toleranță prevăzut corespunde cu cel indicat în tabela 4 din standardul 2700/2-69 pentru categoria de execuție respectivă, sensul filetului — la filetele dreapta, simbolul formei speciale de execuție — la organele de asamblare filetate care nu au forme speciale de execuție și simbolul grupei de caracteristici mecanice — la organele de asamblare filetate pentru care nu se impun caracteristici mecanice și care sînt executate din oțel.

Astfel, un șurub semiprecis, cu cap hexagonal conform STAS 6220-69, cu filet M12, cu abateri limită ale filetului conform cîmpului 6e STAS 8165-68, sensul filetului dreapta, lungimea șurubului 100 mm, executat din oțel, se va nota:

Șurub M12 × 100 STAS 6220-69.

1.7. ABATERI LIMITĂ LA DIMENSIUNI

În funcție de abaterile limită admise la dimensiuni, organele de asamblare filetate se execută în trei categorii: precise, semiprecise și grosolane.

Abaterile limită la dimensiunile și toleranțele de formă și de poziție se stabilesc în funcție de valorile nominale ale cotelor din standardele dimensionale. Ele sînt indicate în STAS 2700/2-69 (tabelele 1, 2 și 3). În același standard (tabela 4) sînt arătate simbolurile cîmpului de toleranță pentru diferite categorii de execuție ale șuruburilor, prezoanelor, știfturilor filetate și piulițelor.

1.8. RUGOZITATE

Valorile rugozității maxime a suprafețelor organelor de asamblare filetate sînt arătate pentru cele trei categorii de execuție (precisă, semiprecisă și grosolană) în STAS 2700/2-69 (tabela 6).

1.9. GĂURI DE TRECERE PENTRU ȘURUBURI

În tabela 3.12 sînt date, după STAS 3336-12, găurile de trecere, șuruburile, prezoanele etc. cu filet metric.

Diametrele găurilor de trecere se aleg din seriile prevăzute în tabelă. Toleranțele la diametrul găurii de trecere vor fi:

- pentru seria fină: H 12
- pentru seria mijlocie: H 13;
- pentru seria grosolană: H 14.

Tabela 3.4. Tipuri de șuruburi standardizate

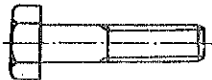
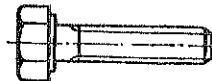
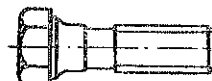
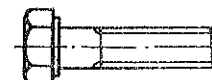
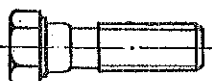
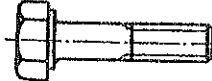
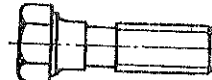


| Nr. ord. | Schița | Denumirea | Precizia de execuție | STAS |
|-----------------------------|---|--|---------------------------------------|-------------------------------|
| 1 |  | Șurub cu cap hexagonal | { Grosolană Semiprecisă Precisă | 920-69 6220-69 4272-70 |
| 2 |  | Șurub cu cap hexagonal filetat pînă sub cap | { Grosolană Semiprecisă Precisă | 2117-69 6219-69 4845-70 |
| 3 |  | Șurub cu cap hexagonal și gît | { Grosolană Semiprecisă Precisă | 920-69 6220-69 4272-70 |
| 4 |  | Șurub cu cap hexagonal cu scaun de așezare | { Semiprecisă Precisă | 6220-69 4272-70 |
| 5 |  | Șurub cu cap hexagonal cu scaun de așezare și gît de ghidare | { Semiprecisă Precisă | 6220-69 4270-70 |
| 6 |  | Șurub cu cap hexagonal mic cu scaun de așezare | { Semiprecisă Precisă | 6405-69 6403-70 |
| 7 |  | Șurub cu cap hexagonal mic, cu scaun de așezare și gît de ghidare | { Semiprecisă Precisă | 6405-69 6403-70 |
| 8 |  | Șurub cu cap hexagonal mic, cu scaun de așezare filetat pînă sub cap | { Semiprecisă Precisă | 6406-69 6404-70 |
| Șuruburi cu locaș hexagonal | | | | |
| 9 |  | Șurub cu cap cilindric, cu locaș hexagonal | Precisă | 5144-70 |

Tabela 3.4 (continuare)

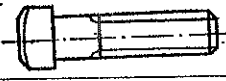

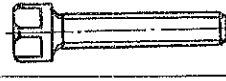
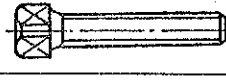
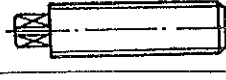
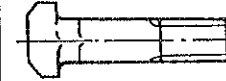
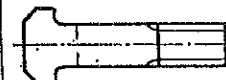
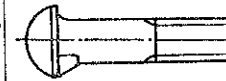
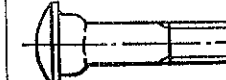
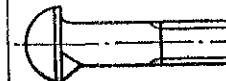
| Nr. ord. | Schița | Denumirea | Precizia de execuție | STAS |
|---|---|---|----------------------|---------|
| Șuruburi cu cap pătrat | | | | |
| 10 |  | Șurub cu cap pătrat | Grosolană | 1472-69 |
| 11 |  | Șurub cu cap pătrat și guler | Precisă | 4376-69 |
| 12 |  | Șurub cu cap pătrat și guler filetat pînă sub cap | Precisă | 4923-69 |
| 13 |  | Șurub cu cap pătrat, filetat pînă sub cap | Precisă | 4461-69 |
| 14 |  | Șurub cu cap pătrat mic | Precisă | 4884-69 |
| Șuruburi cu cap ciocan | | | | |
| 15 |  | Șurub cu cap ciocan și gît pătrat | Grosolană | 2568-71 |
| 16 |  | Șurub cu cap ciocan cu nas | Grosolană | 2568-71 |
| Șuruburi cu cap bombat, semirotund și aplatisat | | | | |
| 17 |  | Șurub cu cap semirotund și nas | Grosolană | 1470-70 |
| 18 |  | Șurub cu cap bombat și gît pătrat | Grosolană | 925-70 |
| 19 |  | Șurub cu cap bombat și nas (pentru lemn) | Grosolană | 1476-70 |

Tabela 3.4 (continuare)

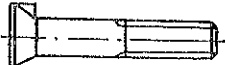
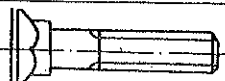
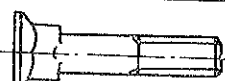
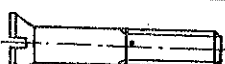

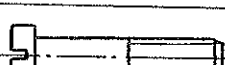
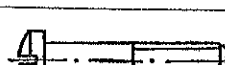


| Nr. crt. | Schița | Denumirea | Precizia de execuție | STAS |
|------------------------|---|--|----------------------|---------|
| Șuruburi cu cap înecat | | | | |
| 20 |  | Șurub cu cap înecat și nas | Grosolană | 1474-70 |
| 21 |  | Șurub cu cap înecat și gît pătrat (pentru metal) | Grosolană | 1477-70 |
| 22 |  | Șurub cu cap înecat și gît pătrat (pentru lemn) | Grosolană | 2349-70 |
| Șuruburi cu cap crestă | | | | |
| 23 |  | Șurub cu cap înecat, crestă | | 2571-69 |
| 24 |  | Șurub cu cap semiînecat, crestă | | 3167-69 |
| 25 |  | Șurub cu cap cilindric, crestă | | 3954-69 |
| 26 |  | Șurub cu cap cilindric bombat, crestă | | 4883-69 |
| 27 |  | Șurub cu cap mic cilindric bombat, crestă | | 5383-70 |
| 28 |  | Șurub cu cap mare cilindric bombat, crestă | | 5578-70 |

Tabela 3.4 (continuare)


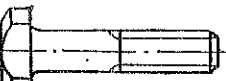
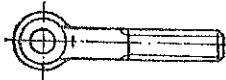

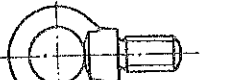


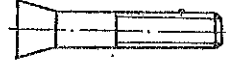
| Nr. crt. | Schița | Denumirea | Precizia de execuție | STAS |
|-------------------------------|---|---|----------------------|---------|
| Șurub cu cap cilindric găurit | | | | |
| 29 |  | Șurub cu cap cilindric găurit în cruce | | 4812-70 |
| Șuruburi diferite | | | | |
| 30 |  | Șurub pentru canale T | | 1386-70 |
| 31 |  | Șurub cu ochi | | 5451-70 |
| 32 |  | Șurub cu șaibă și piuliță pentru curele | | 3955-70 |
| 33 |  | Șurub cu cap-inel | | 3186-68 |
| 34 |  | Șurub cu cap striat | Precisă | 5302-69 |
| 35 |  | Șurub cu cap striat și guler | Precisă | 5303-69 |
| 36 |  | Șurub pentru roți de căruță | | |

Tabela 3.4 (continuare)

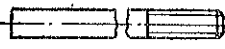
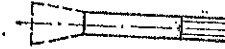
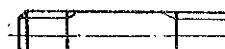
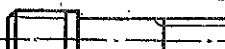
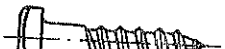
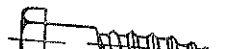


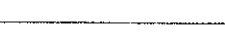
| Nr. crt. | Schița | Denumirea | Precizia de execuție | STAS |
|----------------------|---|---|----------------------|--|
| 37 |  | Șurub fără cap (capete de sudat) | Grosolană | 2351-70 |
| 38 |  | Șurub pentru fundații | Grosolană | 2350-70 |
| Prezoane | | | | |
| 39 |  | Prezon cu diametrul tijei egal cu diametrul exterior al filetului | | 3953-67 4551-67 4552-67 5487-67 |
| 40 |  | Prezon înlocuitor (pentru înșurubat în fontă și oțel) | | 5523-67 |
| Șuruburi pentru lemn | | | | |
| 41 |  | Șurub cu cap pătrat pentru lemn | | 1455-71 |
| 42 |  | Șurub cu cap hexagonal pentru lemn | | 1454-71 |
| 43 |  | Șurub cu cap semiîncat pentru lemn | | 1453-71 |
| 44 |  | Șurub cu cap încat pentru lemn | | 1452-71 |
| 45 |  | Șurub cu cap semirotund pentru lemn | | 1451-71 |

Tabela 3.5. Șurub grosolan cu cap hexagonal (STAS 920-69)

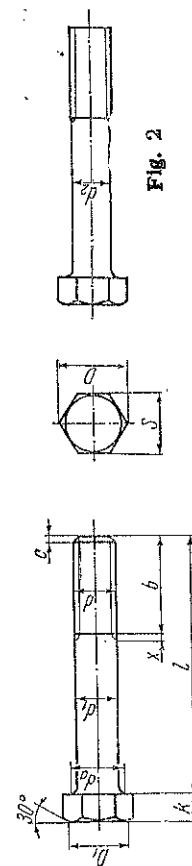


Fig. 1

$$D_1 \approx 0,95 S$$

 d_2 — diametrul mediu al filetului

Exemplu de notare a unui șurub cu cap hexagonal, cu filet M10 avînd toleranțe 8 g, lungimea $l=45$ mm, din oțel:
Șurub M 10 x 45 STAS 920-69

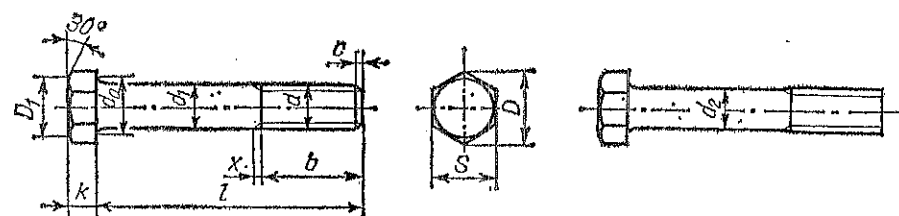
Dimensiuni în mm

| Filet d | M6 | M8 | M10 | M12 | M14 | M16 | M18 | M20 | M22 | M24 | M27 | M30 | M33 | M36 | M42 | M48 |
|------------------------|------|-------|------|------|------|------|------|------|------|------|------|------|------|------|------|------|
| S nominal | 10 | 13 | 17 | 19 | 22 | 24 | 27 | 30 | 32 | 36 | 41 | 46 | 50 | 55 | 65 | 75 |
| D minim | 10,9 | 14,2 | 18,7 | 20,9 | 23,9 | 26,2 | 29,6 | 33,0 | 35,0 | 39,6 | 45,2 | 50,9 | 55,4 | 60,8 | 72,1 | 83,4 |
| K nominal | 4,0 | 5,5 | 7,0 | 8,0 | 9,0 | 10 | 12 | 13 | 14 | 15 | 17 | 19 | 21 | 23 | 26 | 30 |
| d ₂ maxim | 7,2 | 10,2 | 12,2 | 15,2 | 17,2 | 19,2 | 21,2 | 24,4 | 26,4 | 28,4 | 32,4 | 35,4 | 38,4 | 42,4 | 48,6 | 56,6 |
| d ₁ nominal | 6 | 8 | 10 | 12 | 14 | 16 | 18 | 20 | 22 | 24 | 27 | 30 | 33 | 36 | 42 | 48 |
| b | 1 | 18 | 26 | 30 | 34 | 38 | 42 | 46 | 50 | 54 | 60 | 66 | 72 | 78 | 90 | 102 |
| | 2 | — | — | 32 | 40 | 44 | 48 | 52 | 56 | 60 | 66 | 72 | 78 | 84 | 96 | 108 |
| | 3 | — | — | — | 53 | 57 | 61 | 65 | 69 | 73 | 79 | 85 | 91 | 97 | 109 | 121 |
| Masa, kg/1000 buc. | | | | | | | | | | | | | | | | |
| l | | | | | | | | | | | | | | | | |
| | | | | | | | | | | | | | | | | |
| | | | | | | | | | | | | | | | | |
| nomi- nal | 25 | ±1,05 | 30 | | | | | | | | | | | | | |
| abateri limită | 7,3 | 8,4 | 17,3 | | | | | | | | | | | | | |

[illegible]

Observații. 1. Dimensiunile înscrise în paranteze se vor evita pe cât posibil. 2. Abateri limită la lungimea filetată; $+2^0$ (p pasul filetului). 3. Lungimea părții filetate b are valorile indicate în rândul 1 pentru șuruburile cu lungimile până la 125 mm, valorile indicate în rândul 2 pentru șuruburi cu lungimi de la 125 ... 200 mm și valorile indicate în rândul 3 pentru șuruburi cu lungimi peste 200 mm. 4. Material: conform STAS 2700/3-69. 5. Execuție: filet metric, conform STAS 6564-67 cu precizia filetului conform STAS 8164-73; forme speciale de execuție, conform STAS 4924-69; c — conform STAS 4924-69; x — conform STAS 3508/1-70; șuruburile pot fi executate cu tija la nivelul diametrului exterior al filetului (fig. 1) sau cu tija la nivelul diametrului mediu al filetului (fig. 2).

Tabela 3.6. Șurub precis cu cap hexagonal (STAS 4272-70)

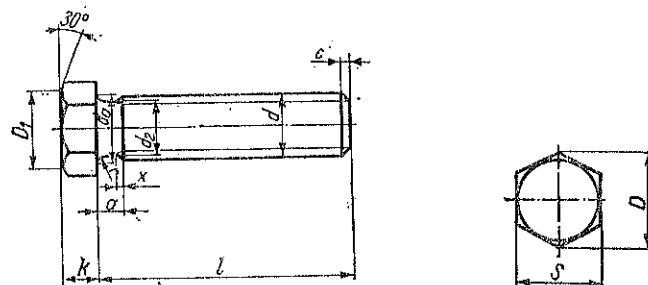


$d_2 \approx$ diametrul mediu al filetului; $D_1 \approx 0,95 S$.
 x — conform STAS 3508-7; c — conform STAS 4924-69.
 Exemplu de notare a unui șurub cu cap hexagonal, cu filet M10, cu
 lungimea $l = 50$ mm și cu caracteristici mecanice conform grupei 6.8:
 Șurub M 10 × 50 STAS 4272-70 grupa 6.8.
 Dimensiuni în mm.

| Filet d | S | D | h | d_1 | r | | b | | |
|--------------|-----|-------|-----|-------|------|---------|-----|-----|-----|
| | | | | | | | 1 | 2 | 3 |
| M 1,6 | 3,2 | 3,48 | 1,1 | 1,6 | 0,1 | 12-14 | 9 | | |
| M 2 | 4 | 4,38 | 1,4 | 2 | 0,1 | 12-14 | 10 | | |
| M 2,5 | 5 | 5,51 | 1,7 | 2,5 | 0,1 | 14-16 | 11 | | |
| M 3 | 5,5 | 6,08 | 2 | 3 | 0,1 | 16-25 | 12 | | 5 |
| M 4 | 7 | 7,74 | 2,8 | 4 | 0,2 | 20-60 | 14 | | |
| M 5 | 8 | 8,86 | 3,5 | 5 | 0,2 | 20-80 | 16 | | |
| M 6 | 10 | 11,05 | 4 | 6 | 0,25 | 25-80 | 18 | | |
| M 8 | 13 | 14,38 | 5,5 | 8 | 0,4 | 30-100 | 22 | | |
| M 10 | 17 | 18,90 | 7 | 10 | 0,4 | 35-160 | 26 | 32 | |
| M 12 | 19 | 21,10 | 8 | 12 | 0,6 | 40-180 | 30 | 36 | |
| (M 14) | 22 | 24,49 | 9 | 14 | 0,6 | 45-200 | 34 | 40 | |
| M 16 | 24 | 26,75 | 10 | 16 | 0,6 | 50-220 | 38 | 44 | 57 |
| (M 18) | 27 | 30,14 | 12 | 18 | 0,6 | 55-220 | 42 | 48 | 61 |
| M 20 | 30 | 33,53 | 13 | 20 | 0,8 | 60-220 | 46 | 52 | 65 |
| (M 22) | 32 | 35,72 | 14 | 22 | 0,8 | 65-220 | 50 | 56 | 69 |
| M 24 | 36 | 39,98 | 15 | 24 | 0,8 | 70-220 | 54 | 60 | 73 |
| (M 27) | 41 | 45,63 | 17 | 27 | 1,0 | 75-220 | 60 | 66 | 79 |
| M 30 | 46 | 51,28 | 19 | 30 | 1,0 | 90-260 | 66 | 72 | 85 |
| (M 33) | 50 | 55,80 | 21 | 33 | 1,0 | 100-260 | 72 | 78 | 91 |
| M 36 | 55 | 61,31 | 23 | 36 | 1,0 | 100-260 | 78 | 84 | 97 |
| M 42 | 65 | 72,61 | 26 | 42 | 1,2 | 110-260 | 90 | 96 | 109 |
| M 48 | 75 | 83,91 | 30 | 48 | 1,6 | 120-260 | 102 | 108 | 121 |

Observații. 1. Lungimea filetului (*b*) are valoarea indicată în rîndul 1 pentru șuruburile cu lungimea (*l*), pînă la 125 mm, în rîndul 2 pentru șuruburi cu lungimea de la 125 mm la 200 mm și în rîndul 3 pentru șuruburi cu lungimi peste 200 mm. 2. Șuruburile pot fi executate cu tija la nivelul diametrului exterior al filetului (fig. 1) sau cu tija la nivelul diametrului mediu al filetului (fig. 2), la alegerea producătorului. 3. Filet metric, conform STAS 6564-73. 4. Material: conform STAS 2700/3-69. 5. Lungimea *l* a șuruburilor crește din 5 în 5 mm între 20 și 80 mm, din 10 în 10 mm între 80 și 200 mm și din 20 în 20 mm între 200 și 260 mm.

Tabela 3.7. Șurub grosolan cu cap hexagonal, filetat pînă sub cap (STAS 2117-69)



$$D_1 \approx 0,95 S$$

d_2 = diametrul mediu al filetului

x — conform STAS 3508-70.

c — conform STAS 4924-69

Exemplu de notare a unui șurub cu cap hexagonal filetat pînă sub cap, cu filet M10 avînd toleranțe 8 g, cu lungimea $l = 45$ mm, din oțel:

Șurub M10×45 STAS 2117-69

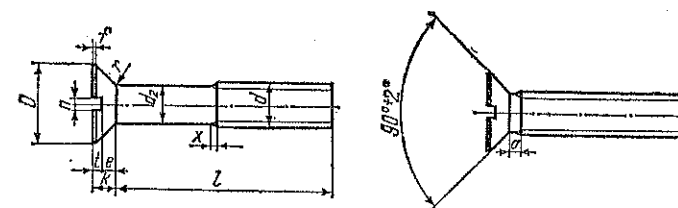
Dimensiuni în mm

| d | M6 | M8 | M10 | M12 | M16 | M20 | M24 |
|-------------|------|------|------|------|------|------|------|
| S nominal | 10 | 13 | 17 | 19 | 24 | 30 | 36 |
| D minim | 10,9 | 14,2 | 18,7 | 20,9 | 26,2 | 33,0 | 39,6 |
| k nominal | 4,0 | 5,5 | 7,0 | 8,0 | 10 | 13 | 15 |
| d_a maxim | 7,2 | 10,2 | 12,2 | 15,2 | 19,2 | 24,4 | 28,4 |
| a | 3,5 | 4,0 | 5,5 | 6,0 | 7,0 | 8,0 | 9,0 |

| l | | Masa, kg/ 1000 buc. | | | | | | |
|--------------|-------------------|---------------------|------|------|------|------|-----|-----|
| nomi- nal | abateri limită | \approx | | | | | | |
| 16 | $\pm 0,90$ | 5,7 | 12,6 | | | | | |
| 20 | $\pm 1,1$ | 6,6 | 14,2 | 24,4 | | | | |
| 25 | | 7,7 | 16,1 | 27,5 | 39,0 | 74,5 | | |
| 30 | | 8,8 | 18,0 | 30,6 | 43,4 | 82,5 | 146 | |
| 35 | $\pm 1,2$ | 9,9 | 19,9 | 33,7 | 47,8 | 90,5 | 158 | 239 |
| 40 | | 11,0 | 21,8 | 36,8 | 52,2 | 98,5 | 170 | 257 |
| 45 | | | 23,7 | 39,9 | 56,6 | 106 | 182 | 275 |
| 50 | | | 25,6 | 43,0 | 61,0 | 114 | 194 | 293 |
| 55 | $\pm 1,5$ | | | 46,1 | 65,4 | 122 | 206 | 311 |
| 60 | | | | 49,2 | 69,8 | 130 | 218 | 329 |
| 65 | | | | | 74,2 | 138 | 230 | 347 |
| 70 | | | | | 78,6 | 146 | 242 | 365 |
| 75 | | | | | 83,0 | 154 | 254 | 383 |
| 80 | | | | | 87,4 | 162 | 266 | 401 |

Observații. 1. Material: conform STAS 2700/3-69 2. Execuție filet metric, conform STAS 6564-73, cu precizia filetului conform STAS 8164-68; forme speciale de execuție, conform STAS 4924-69.

Tabela 3.8. Șurub cu cap înecat crestat, semiprecis (STAS 2571-69)



d_2 = diametrul mediu al filetului,

x — conform STAS 3508-70.

Exemplu de notare a unui șurub cu cap înecat crestat, filet M6, avînd cîmpul de toleranță 6 g, cu lungimea $l = 35$ mm, cu caracteristici mecanice conform grupe 6.8:

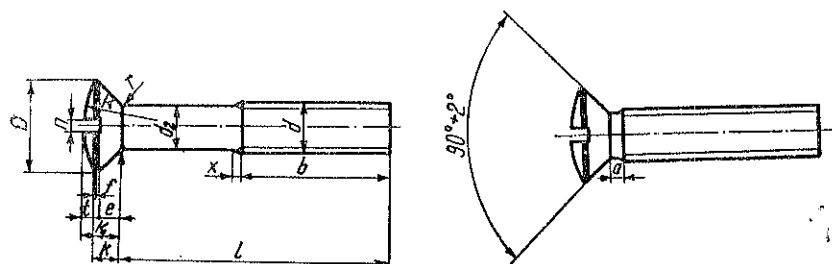
Șurub M6×35 STAS 2571-69 grupa 6.8

Dimensiuni în mm

| Filet d | D min. | D' (teoretic) | k | | f | n | | t min. | e min. | r \approx | a max. | l nominal |
|--------------|-------------|--------------------|------|------|-----|---------|-------------------|-------------|-------------|------------------|-------------|----------------|
| | | | min. | max. | | nominal | abateri limită | | | | | |
| M 2,5 | 4,45 | 5,5 | 1,38 | 1,5 | — | 0,6 | +0,20 +0,06 | 0,88 | 0,5 | 0,1 | 0,9 | 5—25 |
| M 3 | 5,25 | 6,3 | 1,5 | 1,65 | | 0,8 | | 1,05 | 0,6 | | 1 | 6—30 |
| M 4 | 7,04 | 8,4 | 2,0 | 2,2 | | 1 | +0,31 +0,06 | 0,8 | 0,8 | 0,2 | 1,4 | 8—35 |
| M 5 | 8,64 | 10 | 2,25 | 2,5 | 0,3 | 1,2 | | 1 | 1 | | 1,6 | 10—45 |
| M 6 | 10,37 | 12 | 2,7 | 3 | | 1,6 | | 1,2 | 0,2 | 0,25 | 2 | 10—50 |
| M 8 | 13,97 | 16 | 3,6 | 4 | 0,4 | 2 | +0,31 +0,06 | 1,6 | 1,6 | | 2,5 | 14—55 |
| M 10 | 17,57 | 20 | 4,5 | 5 | | 2,5 | | 2 | 2 | 0,4 | 3 | 18—60 |
| M 12 | 21,08 | 24 | 5,4 | 6 | | 3 | | 2,5 | 2,4 | | | 20—70 |
| (M 14) | 24,68 | 28 | 6,3 | 7 | 0,5 | | | 2,8 | 2,8 | 0,6 | 3,5 | 25—80 |
| M 16 | 28,28 | 32 | 7,2 | 8 | | 4 | | 3,2 | 3,2 | | | 30—90 |
| (M18) | 31,78 | 36 | 8,1 | 9 | | | +0,37 +0,07 | 3,6 | 3,6 | 4,5 | | 35—100 |
| M 20 | 35,38 | 40 | 9 | 10 | | 5 | | 4 | 4 | | | 40—120 |

Observații. 1. Material: conform STAS 2700/3,69. 2. Execuție: filet metric, conform STAS 6564-73 cu precizia conform STAS 8165-68.

Tabela 3.9. Șurub cu cap seminecat crestat, semiprecis (STAS 3167-69)



$d_2 \approx$ diametrul mediu al filetului;

x — conform STAS 3508-70

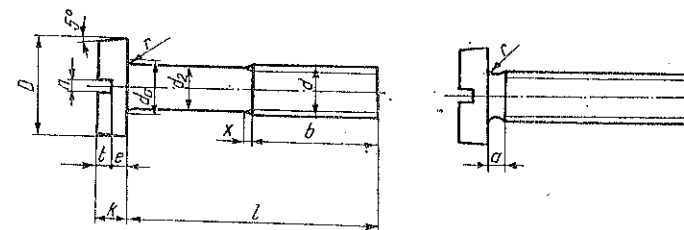
Exemplu de notare a unui șurub cu cap seminecat crestat, cu filet M 6, avînd cîmpul de toleranță 6 g, cu lungimea $l = 35$ mm, cu caracteristici mecanice conform grupe 6.8:
Șurub M6×35 STAS 3167-69 grupa 6.8

Dimensiuni în mm

| Filet d | D min. | D' (teoretic) | k | | k_1 | f | R | n nominal | l nominal | l min. | e min. | r \approx | a max. |
|--------------|-------------|--------------------|------|------|-------|-----|-----|----------------|----------------|-------------|-------------|------------------|-------------|
| | | | min. | max. | | | | | | | | | |
| M 2,5 | 4,45 | 5,5 | 1,38 | 1,5 | 0,6 | | 5 | 0,6 | 5-25 | 0,88 | 0,5 | 0,1 | 0,9 |
| M 3 | 5,25 | 6,3 | 1,5 | 1,65 | 0,75 | | 6 | 0,8 | 6-30 | 1,05 | 0,6 | | 1 |
| M 4 | 7,4 | 8,4 | 2,0 | 2,2 | 1 | 0,3 | 8 | 1 | 8-40 | 1,4 | 0,8 | 0,2 | 1,4 |
| M 5 | 8,64 | 10 | 2,25 | 2,5 | 1,25 | | 10 | 1,2 | 10-45 | 1,75 | 1 | | 1,6 |
| M 6 | 10,37 | 12 | 2,7 | 3 | 1,5 | 0,4 | 12 | 1,6 | 12-50 | 2,1 | 1,2 | 0,25 | 2 |
| M 8 | 13,97 | 16 | 3,6 | 4 | 2 | | 16 | 2 | 14-55 | 2,8 | 1,6 | | 2,5 |
| M 10 | 17,57 | 20 | 4,5 | 5 | 2,5 | | 20 | 2,5 | 18-60 | 3,5 | 2 | 0,4 | 3 |
| M 12 | 21,08 | 24 | 5,4 | 6 | 3 | | 25 | 3 | 20-70 | 4,2 | 2,4 | 0,6 | |
| (M 14) | 24,68 | 28 | 6,3 | 7 | 3,5 | 0,5 | | | 25-80 | 4,9 | 2,8 | | 3,5 |
| M 16 | 28,28 | 32 | 7,2 | 8 | 4 | | 32 | 4 | 30-90 | 5,6 | 3,2 | | |
| (M 18) | 31,78 | 36 | 8,1 | 9 | 4,5 | | | | 35-100 | 6,3 | 3,6 | | 4,5 |
| M 20 | 35,38 | 40 | 9 | 10 | 5 | | 40 | 5 | 40-120 | 7 | 4 | 0,8 | |

Observații: 1. Material: conform STAS 2700/3-69. 2. Execuție: filet metric, conform STAS 6564-73, cu precizia filetului conform STAS 8165-68.

Tabela 3.10. Șurub cu cap cilindric crestat, semiprecis (STAS 3954-69)



$d_2 \approx$ diametrul mediu al filetului; x — conform STAS 3508-70

Exemplu de notare a unui șurub cu cap cilindric crestat, cu filet M 5, avînd cîmpul de toleranță 6 g, cu lungimea $l = 20$ mm, cu caracteristici mecanice conform grupe 6.8:

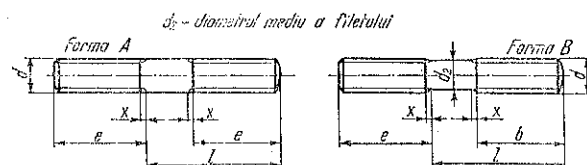
Șurub M 5×20 STAS 3954-69 grupa 6.8

Dimensiuni în mm

| Filet d | D | | k nominal | n nominal | l min. | e min. | r min. | d_2 max. | a max. | l nominal |
|-----------|---------|----------------|----------------|----------------|-------------|-------------|-------------|---------------|-------------|----------------|
| | nominal | abateri limită | | | | | | | | |
| M 2,5 | 4,5 | 0 -0,30 | 1,6 | 0,6 | 0,7 | 0,6 | | — | 2 | 5-25 |
| M 3 | 5,5 | | 2 | 0,8 | 0,9 | 0,7 | 0,1 | — | 2,2 | 6-30 |
| M 4 | 7 | 0 -0,36 | 2,6 | 1 | 1,2 | 1 | | — | 2,6 | 8-35 |
| M 5 | 8,5 | | 3,3 | 1,2 | 1,5 | 1,3 | 0,2 | 6,0 | 3 | 10-45 |
| M 6 | 10 | | 3,9 | 1,6 | 1,8 | 1,6 | 0,25 | 7,2 | 3,5 | 10-50 |
| M 8 | 13 | 0 -0,43 | 5 | 2 | 2,3 | 2,2 | 0,4 | 10,2 | 4 | 14-55 |
| M 10 | 16 | | 6 | 2,5 | 2,7 | 2,8 | | 12,2 | 5,5 | 18-60 |
| M 12 | 18 | | 7 | 3 | 3,2 | 3,2 | | 15,2 | 6 | 20-70 |
| (M 14) | 21 | | 8 | 3 | 3,6 | 3,8 | 0,6 | 17,2 | 7 | 25-80 |
| M 16 | 24 | 0 -0,52 | 9 | 4 | 4 | 4,4 | | 19,2 | | 30-90 |
| (M 18) | 27 | | 10 | 4 | 4,5 | 4,9 | | 21,2 | 8 | 35-100 |
| M 20 | 30 | | 11 | 5 | 5 | 5,4 | 0,8 | 24,4 | | 40-120 |

Observații: 1. Dimensiunile înscrise între paranteze se vor evita pe cît posibil. 2. Filet metric conform STAS 6564-73 cu precizia conform STAS 8165-68. 3. Material: conform STAS 2700/3-69.

Tabela 3.11. Prezon pentru oțel (STAS 3953-67)



Dimensiuni în mm

| d | 6 | 8 | 10 | 12 | (14) | 16 | (18) | 20 | (22) | 24 |
|---|----|----|----|----|------|----|------|----|------|----|
| e | 6 | 8 | 10 | 12 | 14 | 16 | 18 | 20 | 22 | 24 |
| b | 18 | 22 | 26 | 30 | 34 | 38 | 42 | 46 | 50 | 54 |
| | — | — | 32 | 36 | 40 | 44 | 48 | 52 | 56 | 60 |

l nominal

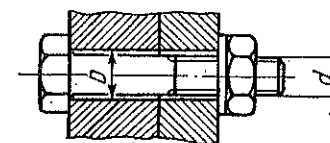
Masa prezoanelor kg/1000 buc.

| | | | | | | | | | | |
|-------|------|------|------|------|------|------|-----|-----|-----|-----|
| (22) | 5,20 | | | | | | | | | |
| 25 | 5,87 | | | | | | | | | |
| (28) | 6,54 | 12,1 | | | | | | | | |
| 30 | 6,98 | 12,9 | | | | | | | | |
| (32) | 7,42 | 13,7 | 22,4 | | | | | | | |
| 35 | 8,09 | 14,9 | 24,1 | 35,7 | | | | | | |
| (38) | 8,76 | 16,1 | 25,9 | 38,3 | | | | | | |
| 40 | 9,20 | 16,9 | 27,1 | 40,1 | 56,6 | | | | | |
| 45 | 10,3 | 18,8 | 30,1 | 44,6 | 62,6 | 84,5 | | | | |
| 50 | 11,4 | 20,8 | 33,2 | 49,0 | 68,6 | 92,4 | 117 | | | |
| 55 | 12,4 | 22,5 | 35,9 | 53,4 | 74,7 | 100 | 127 | 163 | | |
| 60 | 13,5 | 24,5 | 39,2 | 57,9 | 80,7 | 108 | 137 | 175 | 218 | |
| 65 | 14,6 | 26,5 | 42,1 | 61,2 | 86,8 | 116 | 147 | 188 | 233 | 279 |
| 70 | 15,8 | 28,5 | 45,2 | 65,6 | 92,8 | 124 | 157 | 200 | 247 | 296 |
| 75 | 16,9 | 30,5 | 48,3 | 70,1 | 97,3 | 132 | 167 | 212 | 262 | 314 |
| 80 | 18,0 | 32,5 | 51,4 | 74,5 | 104 | 139 | 177 | 225 | 277 | 332 |
| (85) | 19,1 | 34,5 | 54,4 | 78,9 | 110 | 146 | 183 | 233 | 286 | 341 |
| 90 | 20,2 | 36,5 | 57,5 | 83,4 | 116 | 154 | 193 | 246 | 301 | 359 |
| (95) | | 38,5 | 60,6 | 87,8 | 122 | 162 | 203 | 258 | 316 | 377 |
| 100 | | 40,5 | 63,7 | 92,3 | 128 | 169 | 213 | 270 | 331 | 395 |
| (105) | | | 66,8 | 96,7 | 134 | 177 | 223 | 282 | 346 | 418 |
| 110 | | | 69,9 | 101 | 140 | 185 | 233 | 295 | 360 | 430 |
| (115) | | | 73,0 | 106 | 146 | 193 | 243 | 307 | 375 | 448 |
| 120 | | | 76,0 | 110 | 152 | 201 | 253 | 320 | 390 | 466 |
| (125) | | | 79,1 | 114 | 158 | 209 | 263 | 332 | 405 | 484 |
| 130 | | | 82,2 | 118 | 164 | 217 | 273 | 344 | 420 | 501 |
| 140 | | | 88,4 | 127 | 176 | 233 | 293 | 369 | 450 | 537 |
| 155 | | | 94,5 | 136 | 188 | 248 | 313 | 394 | 480 | 572 |
| 160 | | | 101 | 145 | 200 | 264 | 333 | 418 | 510 | 608 |
| 170 | | | 107 | 154 | 212 | 280 | 353 | 443 | 539 | 643 |
| 180 | | | 113 | 163 | 225 | 296 | 373 | 467 | 569 | 679 |
| 190 | | | 119 | 172 | 237 | 311 | 393 | 492 | 599 | 714 |
| 200 | | | 125 | 181 | 249 | 327 | 413 | 517 | 629 | 750 |

Observații (tabela 3.11). 1. Dimensiunile înscrise între paranteze se vor evita pe cât posibil. 2. Valorile lungimii b din rândul 1 corespund lungimilor de prezoane până la 150 mm, iar cele din rândul 2 lungimilor de prezoane peste 150 mm. 3. Filet: pentru capătul filetat pe lungimea b , filet metric conform STAS 6564-73 cu toleranțe 6 g conform STAS 8164-68; pentru capătul filetat pe lungimea e , filet metric cu strângere pe diametrul mediu, cu toleranțe conform STAS 5792-66. 4. Ieșirea filetului x conform STAS 3508-65. 5. Exemplu de notare a unui prezon pentru înșurubat în oțel, forma B, cu filet metric normal dreapta, având diametrul $d = 10$ mm și lungimea $l = 60$ mm: Prezon B-M10 × 60 STAS 3953-67.

Tabela 3.12. Găuri de trecere pentru șuruburi cu filet metric (STAS 3336-73)

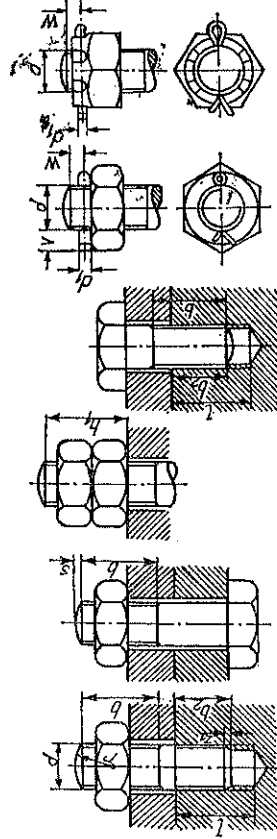
Dimensiuni în mm



| Diametrul filetului d | D | | | Diametrul filetului d | D | | |
|-----------------------------|---------------|-------------------|--------------------|-----------------------------|---------------|-------------------|--------------------|
| | Seria fină | Seria mijlocie | Seria grosolană | | Seria fină | Seria mijlocie | Seria grosolană |
| 1 | 1,1 | 1,2 | — | 33 | 34 | 36 | 38 |
| 1,1 | 1,2 | 1,3 | — | 36 | 37 | 39 | 42 |
| 1,2 | 1,4 | 1,4 | — | 39 | 40 | 42 | 45 |
| 1,4 | 1,5 | 1,6 | — | 42 | 43 | 45 | 48 |
| 1,6 | 1,7 | 1,8 | 2 | 45 | 46 | 48 | 52 |
| 1,8 | 1,9 | 2,0 | 2,2 | 48 | 50 | 52 | 56 |
| 2 | 2,2 | 2,4 | 2,6 | 52 | 54 | 56 | 62 |
| 2,2 | 2,4 | 2,6 | 2,8 | 56 | 58 | 62 | 66 |
| 2,5 | 2,7 | 2,9 | 3,1 | 60 | 62 | 66 | 70 |
| 3 | 3,2 | 3,4 | 3,6 | 64 | 66 | 70 | 74 |
| 3,5 | 3,7 | 3,9 | 4,1 | 68 | 70 | 74 | 78 |
| 4 | 4,3 | 4,5 | 4,8 | 72 | 74 | 78 | 82 |
| 4,5 | 4,8 | 5 | 5,3 | 76 | 78 | 82 | 86 |
| 5 | 5,3 | 5,5 | 5,8 | 80 | 82 | 86 | 91 |
| 6 | 6,4 | 6,6 | 7 | 85 | 87 | 91 | 96 |
| 7 | 7,4 | 7,6 | 8 | 90 | 93 | 96 | 101 |
| 8 | 8,4 | 9 | 10 | 95 | 98 | 101 | 107 |
| 10 | 10,5 | 11 | 12 | 100 | 104 | 107 | 112 |
| 12 | 13 | 14 | 15 | 105 | 109 | 112 | 117 |
| 14 | 15 | 16 | 17 | 110 | 114 | 117 | 122 |
| 16 | 17 | 18 | 19 | 115 | 119 | 122 | 127 |
| 18 | 19 | 20 | 21 | 120 | 124 | 127 | 132 |
| 20 | 21 | 22 | 24 | 125 | 129 | 132 | 137 |
| 22 | 23 | 24 | 26 | 130 | 134 | 137 | 144 |
| 24 | 25 | 26 | 28 | 140 | 144 | 147 | 155 |
| 27 | 28 | 30 | 32 | 150 | 155 | 158 | 165 |
| 30 | 31 | 33 | 35 | 160 | 165 | 168 | 175 |

Observație. În cazul în care este necesar să se evite contactul între suprafața de racordare dintre tijă și capul șurubului și muchia găurii de trecere, aceasta se va țese.

1.10. LUNGIMI DE FILETARE. ADÎNCIMI DE GĂURI FILETATE. TERMINĂRI DE FILETE ȘI ȘPLINTURI Tabelă 3.13. Lungimi de filetare. Adîncimi de găuri filetate. Terminări de filete și șplinturi



Dimensiuni în mm

| Diametrul filetului | Lungimea de filetare | | Lungimea de înșurubare b_2 | | | | Adâncimea găurii de filet l | | | Terminare de filet | | | Splinturi | | |
|------------------------|-------------------------|---------------------------|---------------------------------|----------------------------------|------------------------------------|---------------------------------|-------------------------------|-----------------|-------------------------------|--------------------|-----|-------|-----------|-----|-----|
| | Pentru o piuliță | Pentru două piulițe | Oțel, bronz (1 ϕ) | Fontă, alamă (1,3 ϕ) | Zinc, aluminiu (2,5 ϕ) | Mase plastice (2 ϕ) | Oțel, bronz | Fontă, alamă | Zinc, aluminiu plastice | s | r | t_1 | d_1 | w | v |
| | | | | | | | | | | | | | | | |
| d | b | b_1 | | | | | | | | | | | | | |
| M 3 | 8 | 10 | 3 | 4 | 8 | 6 | 6 | 7 | — | 9 | 0,5 | 0,5 | 0,8 | 1,5 | 3 |
| M 3,5 | 9 | 11 | 3,5 | 4,5 | 9 | 7 | 6 | 7 | — | 10,5 | 3 | 0,6 | 0,8 | 1,5 | 3 |
| M 4 | 10 | 13 | 4 | 5 | 10 | 8 | 7 | 8 | — | 12 | 3 | 0,8 | 1 | 1,8 | 4 |
| M 5 | 12 | 15 | 5 | 6,5 | 13 | 10 | 8 | 10 | 16 | 15 | 4 | 0,8 | 1 | 1,8 | 4 |
| M 6 | 15 | 18 | 6 | 8 | 15 | 12 | 10 | 12 | 19 | 18 | 5 | 1 | 1,5 | 2 | 5 |
| M 8 | 18 | 22 | 8 | 10 | 20 | 16 | 13 | 15 | 25 | 24 | 6 | 1,2 | 2 | 3 | 6 |
| M 10 | 22 | 25 | 10 | 13 | 25 | 20 | 16 | 19 | 32 | 28 | 8 | 1,5 | 2 | 3 | 6 |
| M 12 | 25 | 32 | 13 | 16 | 32 | 25 | 20 | 25 | 40 | 32 | 10 | 2 | 3 | 4 | 6 |
| M 14 | 25 | 32 | 14 | 18 | 35 | 28 | 22 | 28 | 42 | 38 | 12 | 2 | 3 | 4 | 6 |

Tabelă 3.13 (continuare)

| Diametrul filetului d | Lungimea de filetare | | Lungimea de înșurubare b_2 | | | | Adâncimea găurii de filet l | | | | Terminare de filet | | | Șplinturi | | |
|-------------------------------|-------------------------|---------------------------|---------------------------------|----------------------------------|------------------------------------|---------------------------------|-------------------------------|-----------------|-------------------|------------------|--------------------|-----|-------|-----------|-----|-----|
| | Pentru o piuliță | Pentru două piulițe | Oțel, bronz (1 ϕ) | Fontă, alamă (1,3 ϕ) | Zinc, aluminiu (2,5 ϕ) | Mase plastice (2 ϕ) | Oțel, bronz | Fontă, alamă | Zinc, aluminiu | Mase plastice | s | r | t_1 | d_1 | w | v |
| | | | | | | | | | | | | | | | | |
| M 16 | 30 | 38 | 16 | 20 | 40 | 32 | 25 | 30 | 50 | 40 | 2,3 | 15 | 2 | 4 | 5 | 8 |
| M 18 | 35 | 45 | 18 | 24 | 45 | 35 | 28 | 32 | 55 | 45 | 3 | 15 | 2,5 | 4 | 5 | 8 |
| M 20 | 35 | 45 | 20 | 25 | 50 | 40 | 30 | 35 | 60 | 50 | 3 | 18 | 2,5 | 4 | 5 | 8 |
| M 22 | 38 | 50 | 22 | 28 | 55 | 44 | 32 | 38 | 65 | 54 | 3,3 | 20 | 2,5 | 5 | 6,5 | 10 |
| M 24 | 38 | 50 | 24 | 32 | 60 | 48 | 35 | 42 | 70 | 58 | 4 | 20 | 3 | 5 | 6,5 | 10 |
| M 27 | 42 | 55 | 25 | 35 | 65 | 55 | 35 | 45 | 75 | 65 | 4 | 25 | 3 | 5 | 6,5 | 10 |
| M 30 | 48 | 60 | 30 | 38 | 75 | 60 | 42 | 50 | 88 | 70 | 5 | 25 | 4 | 6 | 8 | 12 |
| M 33 | 50 | 65 | 32 | 42 | 80 | 65 | 45 | 55 | 92 | 75 | 5 | 30 | 4 | 6 | 8 | 12 |
| M 36 | 55 | 75 | 35 | 45 | 90 | 70 | 50 | 60 | 105 | 82 | 6 | 30 | 4 | 6 | 8 | 12 |
| M 39 | 62 | 80 | 38 | 50 | 95 | 78 | 55 | 65 | 110 | 92 | 6 | 35 | 4 | 8 | 10 | 14 |
| M 42 | 65 | 85 | 42 | 55 | 105 | 85 | 58 | 70 | 120 | 100 | 6 | 40 | 5 | 8 | 10 | 14 |
| M 45 | 70 | 90 | 45 | 58 | 110 | 90 | 60 | 75 | 125 | 105 | 7 | 40 | 5 | 8 | 10 | 14 |
| M 48 | 72 | 100 | 48 | 62 | 120 | 95 | 65 | 78 | 135 | 110 | 7 | 45 | 5 | 8 | 10 | 14 |
| M 52 | 75 | 105 | 50 | 65 | 130 | 100 | 68 | 85 | 150 | 120 | 8 | 45 | 6 | 8 | 10 | 14 |
| 1/2" | 25 | 32 | 13 | 16 | 32 | 25 | 20 | 25 | 40 | 32 | 2,3 | 10 | 2 | 3 | 4 | 6 |
| 5/8" | 30 | 38 | 16 | 20 | 40 | 32 | 25 | 28 | 45 | 40 | 2,3 | 15 | 2 | 4 | 5 | 8 |
| 3/4" | 30 | 45 | 20 | 25 | 50 | 40 | 28 | 35 | 58 | 50 | 3 | 18 | 2,5 | 4 | 5 | 8 |
| 7/8" | 38 | 50 | 22 | 28 | 55 | 44 | 32 | 38 | 65 | 54 | 3,4 | 20 | 2,5 | 5 | 6,5 | 10 |
| 1" | 42 | 55 | 25 | 35 | 65 | 55 | 35 | 45 | 75 | 65 | 4 | 22 | 3 | 5 | 6,5 | 10 |
| 1 1/8" | 48 | 60 | 30 | 38 | 75 | 60 | 40 | 50 | 85 | 70 | 4,5 | 25 | 3 | 6 | 8 | 12 |
| 1 1/4" | 50 | 65 | 32 | 42 | 80 | 65 | 45 | 55 | 92 | 75 | 5 | 30 | 4 | 6 | 8 | 12 |
| 1 3/8" | 55 | 75 | 35 | 45 | 90 | 70 | 48 | 58 | 105 | 82 | 5,5 | 30 | 4 | 6 | 8 | 12 |
| 1 1/2" | 62 | 80 | 38 | 50 | 95 | 78 | 52 | 65 | 110 | 92 | 6 | 35 | 4 | 8 | 10 | 14 |
| 1 3/4" | 70 | 90 | 45 | 58 | 110 | 90 | 60 | 75 | 125 | 105 | 7 | 40 | 5 | 8 | 10 | 14 |
| 1 7/8" | 72 | 100 | 48 | 62 | 120 | 95 | 65 | 78 | 135 | 110 | 7 | 45 | 5 | 8 | 10 | 14 |
| 2" | 75 | 105 | 50 | 65 | 130 | 100 | 68 | 85 | 150 | 120 | 8 | 45 | 6 | 8 | 10 | 14 |

2. PIULIȚE

2.1. GENERALITĂȚI

Piulițele sînt elementele de asamblare care se înșurubează pe piese filetate (de exemplu, pe șuruburi, axe filetate etc.).

După funcțiunea pe care o îndeplinesc se deosebesc piulițe de fixare și piulițe de mișcare. *Piulița de fixare* se folosește la asamblarea demontabilă, cu joc sau fără joc, a două sau mai multe piese, prin înșurubarea cu o piesă filetată, de obicei, cu șurub. *Piulița de mișcare*, împreună cu tija filetată cu care se înșurubează, constituie un mecanism cu ajutorul căruia se poate obține o transformare a mișcării de rotație în mișcare rectilinie, cum este cazul la deplasarea cărucioarelor strungurilor etc.

După caracteristicile filetului, se deosebesc: piulițe cu filet metric, cu filet normal, cu filet fin, cu filet dreapta, cu filet stînga, cu filet simplu, cu filet multiplu (cu mai multe începuturi), cu filet triunghiular, cu filet trapezoidal etc.

Se deosebesc trei categorii de execuție: grosolană, semiprecisă și precisă.

2.2. FORME ȘI DIMENSIUNI

Din punctul de vedere al formei, piulițele se clasifică în piulițe hexagonale, piulițe pătrate și piulițe rotunde. Piulițele hexagonale mai pot fi: normale, înalte, joase, cu fund, crenelate etc. Piulițele rotunde se mai clasifică în piulițe fluture, piulițe cu urechi, piulițe zimțuite, piulițe canelate, piulițe crestate, piulițe cu găuri radiale sau frontale etc.

Formele principale de piulițe de oțel și precizia lor de execuție sînt indicate în tabela 3.14 cu standardele respective.

În tabelele 3.17 — 3.18 sînt arătate dimensiunile piulițelor standardizate cu filet metric, folosite în mod curent.

Tabela 3.14. Forme obișnuite de piulițe


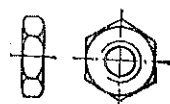
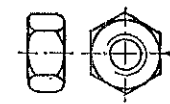
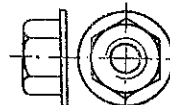
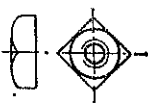
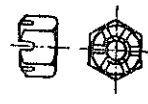
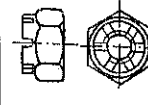
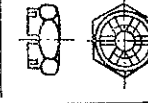
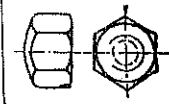
| Nr. crt. | Schița | Denumirea | Standarde existente |
|--------------------|---|--------------------|--|
| Piulițe hexagonale | | | |
| 1 |  | Piuliță hexagonală | <div>Grosolane</div> <div>Semiprecise</div> <div>Precise</div> <div>922-76</div> <div>6218-69</div> <div>4071-69</div> |

Tabela 3.14 (continuare)

| Nr. crt. | Schița | Denumirea | Standarde existente |
|-------------------|---|--------------------------------|--|
| 2 |  | Piuliță hexagonală joasă | <div>Grosolane</div> <div>Semiprecise</div> <div>Precise</div> <div>3773-72</div> <div>4373-77</div> |
| 3 |  | Piuliță hexagonală înaltă | Precise 4372-78 |
| 4 |  | Piuliță hexagonală cu guler | Precise 4412-78 |
| Piulițe pătrate | | | |
| 5 |  | Piuliță pătrată | Grosolane 926-69 |
| Piulițe crenelate | | | |
| 6 |  | Piuliță crenelată | <div>Grosolane</div> <div>Precise</div> <div>4072-70</div> <div>4073-78</div> <div>4074-70</div> |
| 7 |  | Piuliță crenelată cu gît | Precise 4073-78 |
| 8 |  | Piuliță crenelată cu gît joasă | Precise 4074-70 |
| Piulițe infundate | | | |
| 9 |  | Piuliță infundată joasă | Precise 4374-70 |

Tabelul 3.14 (continuare)

| Nr. crt. | Schița | Denumirea | Standarde existente | |
|---|--------|---|---------------------|---------|
| 10 | | Piuliță infundată înaltă | Precise | |
| 11 | | Piuliță infundată cu guler, înaltă | Precise | |
| Piulițe cu suprafața de așezare sferică | | | | |
| 12 | | Piuliță hexagonală cu suprafața de așezare sferică | Precise | |
| 13 | | Piuliță hexagonală cu guler și suprafața de așezare sferică | Precise | |
| Piulițe rotunde | | | | |
| 14 | | Piuliță striată | Precise | 5436-69 |
| 15 | | Piuliță striată cu guler | Precise | 5437-69 |
| 16 | | Piuliță rotundă cu creștătură | Precise | 5332-69 |
| 17 | | Piuliță cu caneluri | Precise | 5012-69 |

Tabelul 3.14 (continuare)

| Nr. crt. | Schița | Denumirea | Standarde existente | |
|--------------------------------|--------|--|--------------------------|---------|
| 18 | | Piuliță rotundă cu găuri radiale | Precise | 5330-69 |
| 19 | | Piuliță rotundă cu găuri frontale | Precise | 5331-69 |
| Diferite alte forme de piulițe | | | | |
| 20 | | Piuliță fluture | Grosolane Semiprecise | 3923-71 |
| 21 | | Piuliță-inel | Semiprecise | 3186-77 |
| 22 | | Piuliță pentru canale T | Semiprecise | 1387-70 |
| 23 | | Piuliță înaltă pentru șuruburi de canale T | Precise | 2097-68 |

2.3. CARACTERISTICI MECANICE

În standardul 2700/4-69 se stabilesc caracteristicile mecanice ale piulițelor executate din oțeluri nealiate sau slab aliate, care au diametrul nominal d al filetului mai mic sau egal cu 39 mm, înălțimea părții filetate cel puțin egală cu $0,6 d$, deschiderea de cheie sau diametrul exterior cel puțin egal cu $1,45 d$ și pentru care se impun caracteristici mecanice. Pentru piulițele cu diametrul nominal mai mare de 39 mm, caracteristicile mecanice se stabilesc de comun acord între producător și beneficiar.

În tabela 3.15 sînt arătate cele șapte grupe de caracteristici mecanice în care se execută piulițele care se încadrează în acest standard, precum și categoriile de execuție (precisă, semiprecisă și grosolană) în care se execută fiecare din aceste grupe.

Valorile caracteristicilor mecanice corespunzătoare fiecărei grupe sînt indicate în tabela 3.16.

Piulițele dintr-o grupă de caracteristici mecanice superioară pot înlocui piulițele dintr-o grupă de caracteristici mecanice inferioară.

Tabela 3.15. Categoriile caracteristice de execuție pentru piulițe

| Categorii de execuție | Grupa de caracteristici mecanice | | | | | | |
|-----------------------|----------------------------------|---|---|---|----|----|----|
| | 4 | 5 | 6 | 8 | 10 | 12 | 14 |
| precisă | x | x | x | x | x | x | x |
| semiprecisă | x | x | x | x | x | x | x |
| grosolană | x | x | x | x | x | x | x |

Tabela 3.16. Caracteristicile mecanice pentru piulițe

| Caracteristica mecanică | Grupa de caracteristici mecanice | | | | | | |
|---|----------------------------------|-----|-----|-----|-----|-----|-----|
| | 4 | 5 | 6 | 8 | 10 | 12 | 14 |
| Tensiunea de încercare σ_p , kgf/mm ² | 40 | 50 | 60 | 80 | 100 | 120 | 140 |
| Duritatea Brinell HB max. | 302 | 302 | 302 | 302 | 353 | 353 | 375 |
| Duritatea Rocwell HRC max. | 30 | 30 | 30 | 30 | 36 | 36 | 39 |

2.4. MATERIALE

Piulițele obișnuite se execută de obicei din oțel fosforos pentru piulițe OL STAS 2400-67. Piulițele ștanțate la rece se pot obține și din OL 37 STAS 500-68.

Piulițele fluturate se fabrică din OL 37 STAS 500-68 sau din fontă maleabilă STAS 569-70.

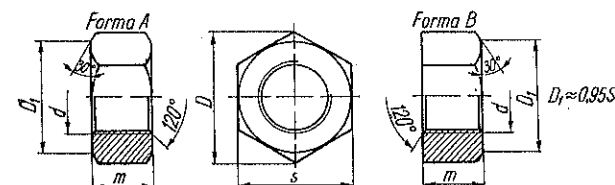
Pentru diferitele tipuri de piulițe și categorii de execuție, oțelurile corespunzătoare sînt în general cele indicate la subcapitolul șuruburi.

3. ȘAIBE ȘI INELE DE SIGURANȚĂ

3.1. GENERALITĂȚI

Șaibele sînt discuri metalice folosite în asamblările demontabile cu șuruburi, ca piese între piuliță și suprafața de contact a piesei cu piulița, pentru a permite o bună așezare a piuliței chiar pe suprafața pie-

Tabela 3.17. Piuliță hexagonală, grosolană (STAS 922-76)



Exemplu de notare a unei piulițe forma B, cu filet M10, din oțel:
Piuliță B-M10, STAS 922-76
Dimensiuni în mm

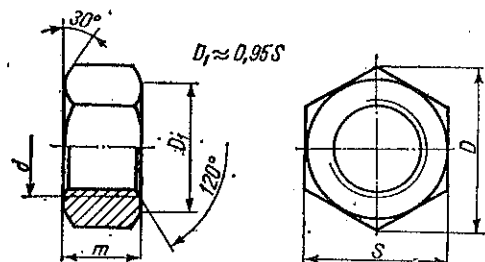
| d | S | | D min. | m | | Masa kg/1000 buc. |
|--------|---------|-----------------|--------|---------|-----------------|----------------------|
| | nominal | abaterea limită | | nominal | abaterea limită | |
| M 6 | 10 | 0 -0,360 | 10,9 | 5 | 0 -1,200 | 2,32 |
| M 8 | 13 | 0 | 14,2 | 6,5 | | 5,39 |
| M 10 | 17 | -0,430 | 18,7 | 8 | 0 | 10,90 |
| M 12 | 19 | 0 -0,520 | 20,9 | 10 | -1,500 | 15,9 |
| (M 14) | 22 | | 23,9 | 11 | | 25,0 |
| M 16) | 24 | 0 | 26,2 | 13 | | 30,8 |
| (M 18) | 27 | -0,840 | 29,6 | 15 | 0 | 50,8 |
| M 20 | 30 | | 33,0 | 16 | -1,800 | 60,3 |
| (M 22) | 32 | | 35,0 | 18 | | 80,9 |
| M 24 | 36 | | 39,6 | 19 | | 103 |
| (M 27) | 41 | 0 | 45,2 | 22 | | 154 |
| M 30 | 46 | -1,000 | 50,9 | 24 | 0 | 216 |
| (M 33) | 50 | | 55,4 | 26 | -2,100 | 271 |
| M 36 | 55 | | 60,8 | 29 | | 369 |
| M 42 | 65 | 0 | 72,1 | 34 | 0 | 610 |
| M 48 | 75 | -1,200 | 83,4 | 38 | -2,500 | 924 |

Observații. 1 Dimensiunile din paranteze se vor evita pe cît posibil. 2 Filet metric conform STAS 6564-73, cu precizia filetului conform STAS 8165-68. 3 Material: conform STAS 2700/4-69.

sei, pentru a repartiza forța de strângere pe o suprafață mai mare decît suprafața piuliței, sau pentru a asigura șurubul sau piulița contra deșurubării. Cu excepția șaibelor de siguranță, șaibele au de obicei profilul rotund sau pătrat.

Din punctul de vedere al utilizării, șaibele se pot clasifica în șaibe obișnuite (brute, semiprelucrate sau prelucrate), care pot fi rotunde sau pătrate, cu gaura rotundă sau pătrată și care nu se folosesc pentru asigurare contra deșurubării, șaibe pentru profiluri U sau I, pătrate,

Tabela 3.18. Piuliță hexagonală, precisă (STAS 4071-69)



Exemplu de notare a unei piulițe hexagonale, cu filet M12, avînd cîmpul de toleranță 6H, cu caracteristici mecanice conform grupei 8:

Piuliță M12 STAS 4071-69 grupa 8
Dimensiuni în mm

| Filet d | S | | D min. | m | | Masa kg/ 1000 buc. |
|-----------|-------------|----------------|--------|---------|----------------|-----------------------|
| | nominal | abateri limită | | nominal | abateri limită | |
| M1,6 | — | 3,2 | 3,48 | 1,3 | — | 0,097 |
| M2 | — | 4 | 4,38 | 1,6 | 0 | 0,145 |
| M2,5 | — | 5 | 5,51 | 2 | -0,25 | 0,272 |
| M3 | — | 5,5 | 6,08 | 2,4 | — | 0,384 |
| M4 | — | 7 | 7,74 | 3,2 | — | 0,812 |
| M5 | — | 8 | 8,87 | 4 | 0 | 1,23 |
| M6 | — | 10 | 11,05 | 5 | -0,30 | 2,32 |
| M8 | M8 × 1 | 13 | 14,38 | 6,5 | 0 | 5,39 |
| M10 | M10 × 1,25 | 17 | 18,90 | 8 | -0,36 | 10,9 |
| M12 | M12 × 1,25 | 19 | 21,10 | 10 | — | 15,1 |
| (M14) | (M14 × 1,5) | 22 | 24,49 | 11 | — | 25,0 |
| M16 | M16 × 1,5 | 24 | 26,75 | 13 | — | 30,8 |
| (M18) | (M18 × 1,5) | 27 | 30,14 | 15 | 0 | 50,8 |
| M20 | M20 × 1,5 | 30 | 33,53 | 16 | -0,43 | 60,3 |
| (M22) | (M22 × 1,5) | 32 | 35,72 | 18 | — | 80,0 |
| M24 | M24 × 2 | 36 | 39,98 | 19 | — | 111 |
| (M27) | (M27 × 2) | 41 | 45,63 | 22 | 0 | 166 |
| M30 | M30 × 2 | 46 | 51,28 | 24 | -0,52 | 232 |
| (M33) | (M33 × 2) | 50 | 55,80 | 26 | — | 298 |
| M36 | M36 × 3 | 55 | 61,31 | 29 | 0 | 398 |
| M42 | M42 × 3 | 65 | 72,61 | 34 | -0,62 | 657 |
| M48 | M48 × 3 | 75 | 83,91 | 38 | — | 924 |

Observații. 1. Dimensiunile înscrise între paranteze se vor evita pe cît posibil. 2. Filet metric conform STAS 6564-67. 3. Material: conform STAS 2700/4-69.

cu gaură rotundă și cu fețele mari neparalele, cu o înclinare corespunzătoare înclinării tălpilor profilurilor, care servesc la fixarea și la asamblarea profilurilor U, respectiv I și *șaibe de siguranță*, cu conturul exterior rotund (de exemplu șaibele de siguranță elastice) sau de formă oarecare, de obicei cu gaură rotundă, și care se utilizează pentru asigurarea împotriva deșurubării șurubului sau piuliței.

După calitatea suprafețelor și precizia dimensiunilor, șaibele obișnuite se mai pot clasifica în *șaibe brute*, *șaibe semiprelucrate* și *șaibe prelucrate*.

Șaibele brute se fabrică din OL 34, iar șaibele prelucrate din OL 34 și OL 37 STAS 500-68, sau din oțel pentru automate STAS 1350-67. Șaibele prelucrate se mai pot executa și prin ștanțare din benzi de oțel laminat la rece STAS 1945-73/OL 34, sau OL 37 STAS 500-68; ele mai pot fi, de asemenea, executate din alamă, în cazul cînd trebuie să aibă proprietăți antimagnetice sau să fie bune conducătoare de electricitate.

Șaibele de siguranță se fabrică din OL 34, OL 37 laminat la cald sau benzi de oțel laminat la rece. Acestea se mai pot executa din alamă în cazul cînd se folosesc pentru șuruburi sau piulițe de alamă. Șaibele Grower STAS 7665-66 și STAS 7666-66 se fabrică din sîrmă de oțel trapezoidal STAS 2826-69, iar inelele resort pentru cale ferată STAS 1384-67, din oțel pentru arcuri, calitatea Arc 5 STAS 795-71.

3.2. FORME ȘI DIMENSIUNI

Șaibele pentru profile U și I se fabrică din profile speciale laminate calitatea OL 34 STAS 500-68.

Formele șaibelor standardizate pînă în prezent sînt arătate în tabela 3.19 (după STAS 3005-52). Dimensiunile șaibelor obișnuite pentru metale sînt indicate în tabela 3.20 pentru șaibe brute tip A (STAS 1388-72) și în tabela 3.21 pentru șaibe precise (STAS 5200-72). În STAS 5974-65 se găsesc dimensiunile șaibelor prelucrate pentru bolțuri, iar în tabelele 3.22 și 3.23 pentru șaibele Grower seria ușoară și seria mijlocie (STAS 7666-77).

Formele și dimensiunile inelelor de siguranță pentru alezaje și arbori sînt date în STAS 5848-58.

4. ȘTIFTURI

4.1. GENERALITĂȚI

Știfturile sînt elemente de asamblare. Ele sînt folosite fie ca știfturi de fixare cu scopul de a împiedica desfacerea a două piese asamblate (de exemplu, un inel pe un ax), fie ca știfturi de centrare cu șco-

Tabela 3.19. Clasificarea șaibelor (STAS 3005-52)

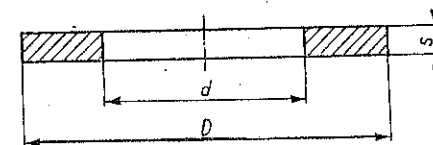
| Formă | Denumire | STAS | Formă | Denumire | STAS |
|-------|--------------------------------|---------|-------|-----------------------------|----------------|
| | Tip A pentru metal | 1388-72 | | Șaibe pentru profile I și U | 2242-57 |
| | Tip B pentru lemn | | | Tip U | |
| | Tip C pentru lemn | | | Tip R cu capetele răsfrînte | 7666-77 |
| | Tip D pentru lemn | | | Tip N neted | |
| | Pentru curelărie | 5200-72 | | Tip A simplu | 1384-67 |
| | Șaibe obișnuite semiprelucrate | | | Tip B dublu | |
| | Șaibe obișnuite prelucrate | | | Bombată exterior | Șaibe elastice |
| | Șaibe de siguranță | 2241-56 | | Cu dinți exterior | |
| | | | | Cu dinți interior | |
| | | | | Bombată cu dinți exterior | |

Observație. Pentru bolțurile STAS 5754-73, STAS 5755-58 și STAS 5756-58 s-a elaborat standardul de șaibe prelucrate STAS 5974-65. Exemplu de notare a șaibelor: Șaibă de siguranță B 21 STAS 2241-56; șaibă U-33 STAS 2242-75.

Tabela 3.20. Șaibă plată pentru metale (STAS 1388-72)
Dimensiuni în mm

| Filetul șurubului | d | D | s | Masa \approx kg/1000 buc. |
|-------------------|-----|------|-----|-----------------------------|
| M 6 | 7,0 | 12,5 | 1,6 | 1,12 |
| M 7 | 8,0 | 14 | | 1,36 |
| M 8 | 10 | 17 | | 2,06 |
| M 10 | 12 | 21 | 2 | 3,92 |
| M 12 | 15 | 24 | 2,5 | 5,89 |
| M 14 | 17 | 28 | | 8,30 |
| M 16 | 19 | 30 | | 10,7 |
| M 18 | 21 | 34 | 3 | 14,0 |
| M 20 | 24 | 37 | | 16,5 |
| M 22 | 26 | 39 | | 17,5 |
| M 24 | 28 | 44 | 4 | 22,8 |
| M 27 | 32 | 50 | | 39,5 |
| M 30 | 35 | 56 | | 51,0 |
| M 33 | 38 | 60 | 5 | 71,0 |
| M 36 | 42 | 66 | | 87,5 |
| M 39 | 45 | 72 | | 128 |
| M 42 | 48 | 78 | 7 | 174 |
| M 45 | 52 | 85 | | 212 |
| M 18 | 56 | 92 | 8 | 271 |

Observații. 1. Abaterile limită la grosimea șaibelor sînt cele indicate în standardul materialului folosit. 2. Masele sînt calculate cu valoarea nominală a dimensiunilor, cu densitatea 7,85 kg/dm³ și au valori informative. 3. Material: OL 34 STAS 500/2-68. 4. Exemplu de notare a unei șaibe plate uzuale, pentru metal, cu diametrul interior $d = 16$ mm: Șaibă 16 STAS 1388-72.

Tabela 3.21. Șaibă plată pentru metale, precisă (STAS 5200-72)
Dimensiuni în mm

| Filetul șurubului | d | | D | | s | Masa, \approx kg/1000 buc. | |
|-------------------|------------|----------------|------------|------------|-----|------------------------------|------------|
| | seria fină | seria mijlocie | variante N | variante M | | variante N | variante M |
| M 1,6 | 1,7 | — | 4 | — | 0,3 | 0,025 | — |
| M 2 | 2,2 | — | 5 | — | — | 0,038 | — |
| M 2,5 | 2,7 | — | 6,5 | — | 0,5 | 0,107 | — |
| M 3 | 3,2 | — | 7 | — | — | 0,119 | — |
| M 4 | 4,3 | — | 9 | — | 0,8 | 0,307 | — |
| M 5 | 5,3 | 5,5 | 10 | — | 1 | 0,442 | — |

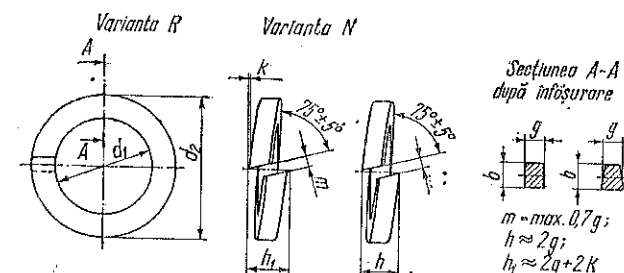
Tabela 3.21 (continuare)

| Filetul șurubului | d | | D | | s | Masa \approx kg/ 1000 buc. | |
|----------------------|------------|----------------|------------|------------|-----|------------------------------|------------|
| | seria fină | seria mijlocie | varianta N | varianta M | | varianta N | varianta M |
| M 6 | 6,4 | 6,6 | 12,5 | — | 1,6 | 1,13 | — |
| M 7 | 7,4 | 7,6 | 14 | — | | 1,38 | — |
| M 8 | 8,4 | 9 | 17 | 15,5 | | 2,15 | 1,67 |
| M 10 | 10,5 | 11 | 21 | 18 | 2 | 4,08 | 2,63 |
| M 12 | 13 | 14 | 24 | 21 | 2,5 | 6,26 | 4,18 |
| M 14 | 15 | 16 | 28 | 24 | | 8,62 | 5,12 |
| M 16 | 17 | 18 | 30 | 28 | 3 | 11,3 | 9,15 |
| M 18 | 19 | 20 | 34 | 30 | | 14,7 | 9,97 |
| M 20 | 21 | 22 | 37 | 34 | | 17,2 | 13,2 |
| M 22 | 23 | 24 | 39 | 37 | | 18,3 | 15,2 |
| M 24 | 25 | 26 | 44 | 39 | 4 | 32,2 | 22,2 |
| M 27 | 28 | 30 | 50 | 44 | | 42,3 | 28,4 |
| M 30 | 31 | 33 | 56 | 50 | | 53,4 | 38,0 |
| M 33 | 34 | 36 | 60 | 56 | 5 | 75,5 | 61,0 |
| M 36 | 37 | 39 | 66 | 60 | | 91,7 | 69,0 |
| M 39 | 40 | 42 | 72 | 66 | 6 | 133 | 102 |
| M 42 | 43 | 45 | 78 | 72 | 7 | 182 | 143 |
| M 45 | 46 | 48 | 85 | 78 | | 220 | 171 |
| M 48 | 50 | 52 | 92 | 85 | 8 | 293 | 232 |
| M 52 | 54 | 56 | 98 | — | | 328 | — |
| M 56 | 58 | 62 | 105 | — | 9 | 426 | — |
| M 60 | 62 | 66 | 110 | — | | 458 | — |
| M 61 | 66 | 70 | 115 | — | | 490 | — |
| M 68 | 70 | 71 | 120 | — | | 585 | — |
| M 72 | 74 | 78 | 125 | — | 10 | 625 | — |
| M 76 | 78 | 82 | 135 | — | | 748 | — |
| M 80 | 82 | 86 | 140 | — | 12 | 952 | — |
| M 85 | 87 | 91 | 145 | — | | 995 | — |
| M 90 | 93 | 96 | 160 | — | | 1240 | — |
| M 95 | 98 | 101 | 165 | — | | 1310 | — |
| M 100 | 104 | 107 | 175 | — | 14 | 1720 | — |
| M 105 | 109 | 112 | 180 | — | | 1740 | — |
| M 110 | 114 | 117 | 185 | — | | 1830 | — |
| M 115 | 119 | 122 | 200 | — | | 2220 | — |
| M 120 | 124 | 127 | 210 | — | 16 | 2830 | — |
| M 125 | 129 | 132 | 220 | — | | 3120 | — |
| M 130 | 134 | 137 | 230 | — | | 3440 | — |
| M 140 | 144 | 147 | 240 | — | 18 | 4080 | — |
| M 150 | 155 | 158 | 250 | — | | 4270 | — |
| M 160 | 165 | 168 | 265 | — | | 4770 | — |

Observații. 1. Material: OL 34 STAS 500/2-68. 2. Șaibele se execută în două serii: seria fină (simbol A) și seria mijlocie (simbol B) și în două variante: varianta N (pentru șuruburi cu cap hexagonal cu deschideri de cheie normală) și varianta M (pentru șuruburi cu cap hexagonal cu deschideri de cheie redusă). 3. Exemplu de notare a unei șaibe din seria fină, varianta N, cu filet M 12: Șaibă A 12 STAS 5200-72. Pentru varianta N, în notare nu se indică simbolul.

Tabela 3.22. Șaibă Grower, seria ușoară (STAS 7666/1-77)

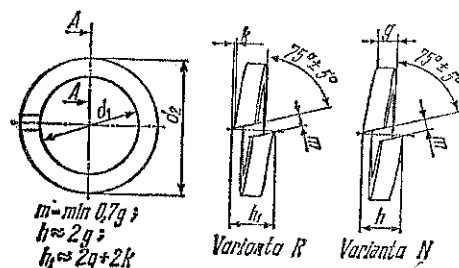
Dimensiuni în mm



| Mărimea pentru filet | d_1 nominal | d_2 \approx | b nominal | g nominal | h | Masa kg/1 000 buc. |
|-------------------------|------------------|--------------------|--------------|--------------|------|-----------------------|
| M 2 | 2,1 | 3,7 | 0,8 | 0,5 | — | 0,029 |
| M 2,5 | 2,6 | 4,2 | 0,8 | 0,6 | — | 0,040 |
| M 3 | 3,1 | 5,1 | 1 | 0,8 | — | 0,081 |
| M 4 | 4,1 | 6,5 | 1,2 | 0,8 | 0,15 | 0,13 |
| M 5 | 5,1 | 7,5 | 1,2 | 1 | 0,15 | 0,19 |
| M 6 | 6,1 | 9,3 | 1,6 | 1,2 | 0,2 | 0,36 |
| M 8 | 8,2 | 12,2 | 2 | 1,3 | 0,3 | 0,80 |
| M 10 | 10,2 | 15,2 | 2,5 | 2 | 0,3 | 1,6 |
| M 12 | 12,2 | 19,2 | 3,5 | 2,5 | 0,4 | 3,4 |
| M 14 | 14,2 | 22,2 | 4 | 3 | 0,4 | 5,4 |
| M 16 | 16,3 | 25,3 | 4,5 | 3,2 | 0,4 | 7,4 |
| M 18 | 18,3 | 28,3 | 5 | 3,5 | 0,4 | 10,0 |
| M 20 | 20,5 | 31,5 | 5,5 | 4 | 0,4 | 14,1 |
| M 22 | 22,5 | 34,5 | 6 | 4,5 | 0,4 | 18,9 |
| M 24 | 24,5 | 37,5 | 6,5 | 4,8 | 0,5 | 23,7 |
| M 27 | 27,5 | 41,5 | 7 | 5,5 | 0,5 | 32,3 |
| M 30 | 30,5 | 46,5 | 8 | 6 | 0,8 | 45,4 |

Observații. 1. Pentru secțiunea trapezoidală grosimea nominală g din tabel este media dintre grosimea minimă (pe circumferința exterioară) și grosimea maximă (pe circumferința interioară). 2. Masa șaibelor este calculată pentru șaibe din oțel, cu densitatea de 7,85 kg/dm³ și este informativă. 3. Notarea unei șaibe Grower se face prin indicarea denumirii, seriei, variantei, mărimei și STAS 7666/1-77 și a mărcii de material: Șaibă Grower, UR 10 STAS 7666/1-77/ARC 6A.

Tabela 3.23.
Șaibă Grower, seria mijlocie
(STAS 7666/2-77)



Dimensiuni în mm

| Mărimea pentru filet | d_1 nominal | d_2 nominal | g nominal | Masa kg/1 000 buc. | Mărimea pentru filet | d_1 nominal | d_2 nominal | g nominal | Masa kg/1 000 buc. |
|----------------------|---------------|---------------|-------------|--------------------|----------------------|---------------|---------------|-------------|--------------------|
| M 2 | 2,1 | 3,1 | 0,6 | 0,025 | M 16 | 16,3 | 23,3 | 3,5 | 5,9 |
| M 2,5 | 2,6 | 3,8 | 0,8 | 0,054 | M 18 | 18,3 | 26,3 | 4 | 8,8 |
| M 3 | 3,1 | 4,7 | 1 | 0,10 | M 20 | 20,5 | 29,5 | 4,5 | 12,5 |
| M 4 | 4,1 | 6,1 | 1,2 | 0,19 | M 22 | 22,5 | 32,5 | 5 | 16,9 |
| M 5 | 5,1 | 7,5 | 1,4 | 0,31 | M 24 | 24,5 | 35,5 | 5,5 | 22,2 |
| M 6 | 6,1 | 8,9 | 1,6 | 0,49 | M 27 | 27,5 | 39,5 | 6 | 29,7 |
| M 8 | 8,2 | 12,2 | 2 | 1,0 | M 30 | 30,5 | 43,5 | 6,5 | 38,4 |
| M 10 | 10,2 | 15,2 | 2,5 | 1,9 | M 33 | 33,5 | 47,5 | 7 | 49,0 |
| M 12 | 12,2 | 18,2 | 3 | 3,3 | M 36 | 36,5 | 52,5 | 8 | 70,0 |
| M 14 | 14,2 | 20,6 | 3,2 | 4,3 | M 39 | 39,5 | 56,5 | 8,5 | 85,5 |

Observații. 1. Pentru secțiunea trapezoidală, grosimea nominală g din tabel este media dintre grosimea minimă (pe circumferința exterioară) și grosimea maximă (pe circumferința interioară). 2. Masa șaibelor este calculată pentru șaiba din oțel cu densitatea de 7,85 kg/dm³ și este informativă. 3. Cu excepția mărimilor 2; 3; 6 și 36, șaibele Grower se pot monta în locașuri conform STAS 5783-65. 4. Șaibele Grower mărimile 14; 16; 18; 20; 22; 24 și 27 se pot monta atât în locașuri seria fină, cât și în locașuri seria mijlocie. 5. Șaibele Grower mărimile 2,5; 4; 5; 8; 10; 30 și 33 se pot monta numai în locașuri seria mijlocie. 6. Notarea unei șaibe Grower se face prin indicarea denumirii, seriei, variantei, mărării și STAS 7666/2-77 și a mărcii de material. Exemplu: Șaibă Grower MN 10 STAS 7666/2-77/ARC 6 A.

pul de a asigura poziția relativă precisă între două piese care sînt supuse la eventuale demontări și reasamblări (de exemplu chiulase pe blocul cilindrilor la motoare) etc.

În mod curent sînt folosite știfturi cilindrice și știfturi conice.

Pentru știfturile de fixare, supuse la solicitări, dimensionarea se face astfel:

— știfturile care străbat transversal butucul și axul se calculează cu formula $d = (0,2 \dots 0,3)D$, în care d este diametrul știftului, iar D — diametrul axului;

— știfturile care sînt introduse axial între butuc și ax se dimensionează cu ajutorul formulelor:

$d = (0,13 \dots 0,16) D$; $l = (1 \dots 1,5) D$, l fiind lungimea știftului.

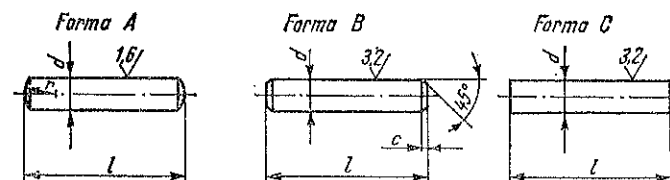
O altă categorie de știfturi o constituie știfturile filetate. Filetele știfturilor filetate se execută conform STAS 510-74.

4.2. FORME ȘI DIMENSIUNI

Formele și dimensiunile știfturilor cilindrice sînt indicate în tabela 3.24, iar pentru știfturile conice în tabela 3.25.

Tabela 3.24. Știft cilindric (STAS 1599-68)

Dimensiuni în mm



| d | | 1 | 1,2 | 1,6 | 2 | 2,5 | 3 | 4 | 5 | 6 | 8 | 10 | 12 | 16 | | |
|-----------------------|---|-----------------------|-----|--------|-----|--------|-----|--------|-----|--------|-----|--------|-----|--------|--|--|
| Forma | A | Abateri limită la d | | +0,008 | | | | +0,012 | | +0,015 | | +0,018 | | | | |
| | | | | +0,002 | | | | +0,004 | | +0,006 | | +0,007 | | | | |
| | B | r | | 1 | 1,6 | 2,5 | | 4 | | 6 | | 10 | | 16 | | |
| | | Abateri limită la d | | 0 | | | | 0 | | 0 | | 0 | | | | |
| | | | | -0,014 | | | | -0,018 | | | | -0,022 | | -0,027 | | |
| | C | $c_{max.}$ | | 0,2 | 0,3 | 0,5 | | 0,6 | 0,8 | 1 | 1,2 | 1,6 | 2 | | | |
| Abateri limită la d | | 0 | | | | 0 | | 0 | | 0 | | | | | | |
| | | -0,060 | | | | -0,075 | | | | -0,090 | | | | -0,110 | | |
| Lungimea l | | 2,5 | 2,5 | 3 | 4 | 5 | 6 | 8 | 10 | 12 | 16 | 20 | 25 | 30 | | |
| | | 3 | 3 | 4 | 5 | 6 | 8 | 10 | 12 | 14 | 18 | 25 | 30 | 36 | | |
| | | 4 | 4 | 5 | 6 | 8 | 10 | 12 | 14 | 16 | 20 | 30 | 36 | 40 | | |
| | | 5 | 5 | 6 | 8 | 10 | 12 | 14 | 16 | 20 | 25 | 36 | 40 | 45 | | |
| | | 6 | 6 | 8 | 10 | 12 | 14 | 16 | 20 | 25 | 30 | 40 | 45 | 50 | | |
| | | 8 | 8 | 10 | 12 | 14 | 16 | 20 | 25 | 30 | 36 | 45 | 50 | 55 | | |
| | | 10 | 10 | 12 | 14 | 16 | 20 | 25 | 30 | 36 | 40 | 50 | 55 | 60 | | |
| | | 12 | 12 | 14 | 16 | 20 | 25 | 30 | 36 | 40 | 45 | 55 | 60 | 65 | | |
| | | 14 | 14 | 16 | 20 | 25 | 30 | 36 | 40 | 45 | 50 | 60 | 65 | 70 | | |
| | | 16 | 16 | 20 | 25 | 30 | 36 | 40 | 45 | 50 | 55 | 65 | 70 | 80 | | |
| | | — | 20 | 25 | 30 | 36 | 40 | 46 | 50 | 55 | 60 | 70 | 80 | 90 | | |
| | | — | 25 | 30 | 36 | 40 | 45 | 50 | 55 | 60 | 65 | 80 | 90 | 100 | | |
| | | — | — | — | 40 | 45 | 50 | 55 | 60 | 65 | 70 | 90 | 100 | 110 | | |
| | | — | — | — | — | 50 | 55 | 60 | 65 | 70 | 80 | 100 | 110 | 120 | | |
| | | — | — | — | — | — | 60 | 65 | 70 | 80 | 90 | 110 | 120 | 140 | | |
| | | — | — | — | — | — | — | 70 | 80 | 90 | 100 | 120 | 140 | 160 | | |
| — | — | — | — | — | — | 80 | 90 | 100 | 110 | 140 | 160 | 180 | | | | |
| — | — | — | — | — | — | — | 100 | 110 | 120 | 160 | — | 200 | | | | |

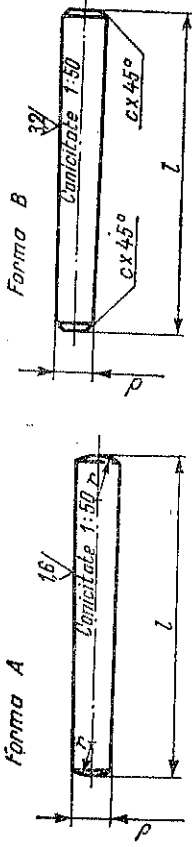
Observații. 1. Pentru știfturi netratate termic se recomandă OL 60 STAS 500-68.

2. Exemplu de notare a unui știft cilindric forma A cu diametrul $d = 5$ mm și lungimea $l = 40$ mm: Știft cilindric A5×40 STAS 1599-68.

Forma A

Forma B

Tabela 3.25. Știfturi conice
(STAS 3436-68)
Dimensiuni în mm



| d | 0,6 | 0,8 | 1 | 1,2 | 1,6 | 2 | 2,5 | 3 | 4 | 5 | 6 | 8 | 10 | 12 | 16 | 20 | 25 | 32 | 40 | 50 |
|----------------------------|-----|--------|-----|-----|-----|-----|-----|-----|-----|---|-----|----|----|----|-----|----|----|----|----|----|
| Abateri limită la d_{10} | 0 | -0,400 | 0 | 0 | 0 | 0 | 0 | 0 | 0 | 0 | 0 | 0 | 0 | 0 | 0 | 0 | 0 | 0 | 0 | 0 |
| r | 0,6 | 1,0 | 1,6 | 2,5 | 4 | 4 | 4 | 4 | 4 | 6 | 10 | 16 | 20 | 25 | 32 | 40 | 50 | | | |
| Abateri limită la d_{11} | 0 | -0,060 | 0 | 0 | 0 | 0 | 0 | 0 | 0 | 0 | 0 | 0 | 0 | 0 | 0 | 0 | 0 | 0 | 0 | 0 |
| e | 0,1 | 0,2 | 0,3 | 0,5 | 0,6 | 0,8 | 1,0 | 1,2 | 1,6 | 2 | 2,5 | 3 | 4 | 5 | 6,3 | | | | | |

Masa, kg/1 000 bucăți

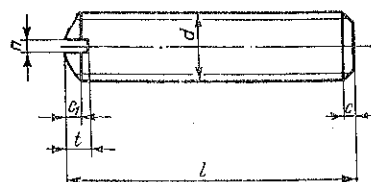
| Nomi- nal | Abateri limită | 1 | 2 | 3 | 4 | 5 | 6 | 7 | 8 | 9 | 10 | 11 | 12 | 13 | 14 | 15 | 16 | 17 | 18 | 19 | 20 | 21 | 22 |
|--------------|-------------------|-------|-------|-------|-------|-------|-------|-------|-------|-------|-------|-------|-------|------|------|------|------|------|------|------|------|------|-----|
| 4 | +0,48 | 0,010 | 0,012 | 0,014 | 0,017 | 0,026 | 0,038 | 0,055 | 0,111 | 0,266 | 0,365 | 0,526 | 0,880 | 1,29 | 2,23 | 3,47 | 5,63 | 11,1 | 19,5 | 29,4 | 44,6 | 78,6 | 137 |
| 5 | 0 | 0,017 | 0,028 | 0,040 | 0,055 | 0,111 | 0,266 | 0,365 | 0,526 | 0,880 | 1,29 | 2,23 | 3,47 | 5,63 | 11,1 | 19,5 | 29,4 | 44,6 | 78,6 | 137 | | | |
| 6 | +0,58 | 0,023 | 0,039 | 0,058 | 0,094 | 0,154 | 0,266 | 0,365 | 0,526 | 0,880 | 1,29 | 2,23 | 3,47 | 5,63 | 11,1 | 19,5 | 29,4 | 44,6 | 78,6 | 137 | | | |
| 8 | 0 | 0,031 | 0,050 | 0,075 | 0,121 | 0,200 | 0,300 | 0,475 | 0,710 | 1,09 | 1,68 | 2,55 | 4,28 | 6,51 | 9,50 | 16,0 | 24,8 | 35,4 | 69,8 | | | | |
| 10 | +0,70 | 0,077 | 0,135 | 0,222 | 0,360 | 0,468 | 0,712 | 1,02 | 1,78 | 1,95 | 2,00 | 2,74 | 3,12 | 4,93 | 7,17 | 12,3 | 19,5 | 29,4 | 44,6 | 78,6 | | | |
| 12 | 0 | 0,063 | 0,095 | 0,152 | 0,250 | 0,341 | 0,526 | 0,880 | 1,29 | 2,23 | 3,47 | 5,63 | 11,1 | 19,5 | 29,4 | 44,6 | 78,6 | 137 | | | | | |
| 14 | +0,84 | 0,114 | 0,186 | 0,303 | 0,404 | 0,620 | 0,880 | 1,29 | 2,23 | 3,47 | 5,63 | 11,1 | 19,5 | 29,4 | 44,6 | 78,6 | 137 | | | | | | |
| 16 | 0 | 0,077 | 0,135 | 0,222 | 0,360 | 0,468 | 0,712 | 1,02 | 1,78 | 1,95 | 2,00 | 2,74 | 3,12 | 4,93 | 7,17 | 12,3 | 19,5 | 29,4 | 44,6 | 78,6 | | | |
| (18) | | 0,157 | 0,260 | 0,419 | 0,534 | 0,811 | 1,15 | 2,00 | 2,74 | 3,12 | 4,93 | 7,17 | 12,3 | 19,5 | 29,4 | 44,6 | 78,6 | 137 | | | | | |
| 20 | | 0,307 | 0,482 | 0,605 | 0,914 | 1,29 | 2,23 | 3,47 | 5,63 | 11,1 | 19,5 | 29,4 | 44,6 | 78,6 | 137 | | | | | | | | |
| (22) | | 0,345 | 0,535 | 0,677 | 1,02 | 1,43 | 2,47 | 3,80 | 5,63 | 11,1 | 19,5 | 29,4 | 44,6 | 78,6 | 137 | | | | | | | | |
| 25 | +0,84 | 0,653 | 0,939 | 1,18 | 1,88 | 3,12 | 4,93 | 7,17 | 12,3 | 19,5 | 29,4 | 44,6 | 78,6 | 137 | | | | | | | | | |
| (28) | 0 | 0,710 | 0,909 | 1,35 | 1,98 | 3,22 | 4,93 | 7,17 | 12,3 | 19,5 | 29,4 | 44,6 | 78,6 | 137 | | | | | | | | | |
| 30 | | 0,991 | 1,47 | 2,04 | 3,48 | 5,31 | 7,76 | 13,1 | 20,8 | 29,4 | 44,6 | 78,6 | 137 | | | | | | | | | | |
| (32) | | 1,08 | 1,59 | 2,20 | 3,73 | 5,70 | 8,35 | 14,0 | 21,9 | 31,5 | 49,8 | 87,4 | 137 | | | | | | | | | | |
| 36 | | 1,26 | 1,81 | 2,55 | 4,28 | 6,51 | 9,50 | 16,0 | 24,8 | 35,4 | 69,8 | | | | | | | | | | | | |
| 40 | | | | | 4,84 | 7,50 | 10,3 | 17,8 | 27,6 | 39,6 | 69,8 | | | | | | | | | | | | |
| 45 | +1,00 | | | | 5,56 | 8,35 | 11,7 | 20,2 | 31,2 | 44,6 | 78,6 | | | | | | | | | | | | |
| 50 | 0 | | | | 6,31 | 9,45 | 13,4 | 22,7 | 34,9 | 49,8 | 87,4 | | | | | | | | | | | | |

Tabela 3.25 (continuare)

| 1 | 2 | 3 | 4 | 5 | 6 | 7 | 8 | 9 | 10 | 11 | 12 | 13 | 14 | 15 | 16 | 17 | 18 | 19 | 20 | 21 | 22 |
|-----------------------|-------|-----|---|---|---|---|---|----|------|------|------|------|------|------|------|------|------|------|------|------|------|
| 55 | | | | | | | | | 4,18 | 7,12 | 10,6 | 14,7 | 25,3 | 38,8 | 55,2 | 96,4 | 150 | | | | |
| 60 | +1,20 | | | | | | | | 7,94 | 11,8 | 16,3 | 27,8 | 42,5 | 60,2 | 96,4 | 150 | 164 | 257 | | | |
| 65 | 0 | | | | | | | | 8,06 | 13,1 | 17,6 | 30,4 | 46,4 | 66,1 | 111 | 181 | 277 | | | | |
| 70 | | | | | | | | | 9,73 | 14,2 | 19,7 | 33,2 | 50,4 | 71,8 | 123 | 192 | 299 | | | | |
| 80 | | | | | | | | | | 15,3 | 24,3 | 38,8 | 58,5 | 83,0 | 143 | 220 | 342 | 557 | | | |
| 90 | | | | | | | | | | | 18,3 | 28,4 | 44,5 | 67,0 | 94,5 | 162 | 250 | 386 | 634 | | |
| 100 | +1,40 | | | | | | | | | | 32,6 | 40,5 | 75,7 | 106 | 181 | 280 | 430 | 713 | 1100 | | |
| 110 | 0 | | | | | | | | | | 46,7 | 57,0 | 84,7 | 118 | 202 | 310 | 475 | 794 | 1210 | | |
| 120 | | | | | | | | | | | 63,5 | 94,0 | 130 | 222 | 340 | 521 | 877 | 1320 | 2050 | | |
| 140 | | | | | | | | | | | | | | | | | | | | | |
| 160 | +1,60 | | | | | | | | | | 71,4 | 114 | 157 | 209 | 265 | 310 | 471 | 787 | 1225 | 1843 | 2794 |
| 180 | 0 | | | | | | | | | | 147 | 265 | 357 | 536 | 812 | 1411 | 2000 | 3090 | | | |
| 200 | | | | | | | | | | | | | | | | | | | | | |
| 220 | +1,85 | | | | | | | | | | | | | | 322 | 406 | 606 | 914 | 1604 | 2240 | 3450 |
| 250 | 0 | | | | | | | | | | | | | 373 | 522 | 816 | 1180 | 1805 | 2681 | 4021 | |
| | | | | | | | | | | | | | | | 682 | 976 | 1399 | 2122 | 3132 | 4673 | |
| 280 | +2,10 | | | | | | | | | | | | | | | | | | | | |
| 0 | 0 | | | | | | | | | | | | | | | 810 | 1149 | 1633 | 2457 | 3606 | 5352 |
| Domeniul de utilizare | D ≥ | 1,4 | 2 | 3 | 4 | 5 | 6 | 8 | 11 | 17 | 23 | 30 | 38 | 45 | 50 | 75 | 110 | | | | |
| | D ≤ | 2 | 3 | 4 | 5 | 6 | 8 | 11 | 17 | 23 | 30 | 38 | 45 | 50 | 75 | 110 | 160 | | | | |
| | N | 1 | 5 | 6 | 7 | 8 | 9 | 10 | 12 | 15 | 18 | 20 | 22 | 23 | 26 | 30 | 36 | | | | |

Observații. 1. Dimensiunile înscrise între paranteze se vor evita pe cât posibil. 2. Masa este calculată cu 7,85 kg/dm³ și este informativă. 3. Abaterile limită sînt conform STAS 8102-68. 4. Pentru diametrele $d \geq 20$ mm, domeniul de utilizare este lăsat la aprecierea constructorului. 5. Exemplu de notare a unui știft conic forma B cu diametrul $d = 10$ mm și lungimea $l = 30$ mm: Știft conic B10 x 30 STAS 3436-68. 6. Material: pentru știfturi ne tratate termic se recomandă OL 60 STAS 500-68.

Tabela 3.26. Știft filetat cu creștătură cu virf teșit (STAS 4770-69)



Exemplu de notare a unui știft filetat cu creștătură, cu virf teșit, având filet M 10, cu toleranța 6 g, cu lungimea de 25 mm cu caracteristici mecanice conform grupe 10.9.

Știft filetat M 10×25 STAS 4770-69 grupa 10.9

Dimensiuni în mm

| Filet d | M 1 | M 1,2 | M 1,6 | M 2 | M 2,5 | M 3 | M 4 | M 5 | M 6 | M 7 | M 10 | M 12 |
|----------------|-------------------------|-------|-------|-------|-------|-------|-------|-------|-------|------|------|------|
| t | 0,6 | 0,6 | 0,8 | 0,8 | 1,0 | 1,2 | 1,4 | 1,8 | 2,0 | 2,5 | 3,0 | 4,0 |
| n | 0,25 | 0,25 | 0,3 | 0,3 | 0,4 | 0,5 | 0,6 | 0,8 | 1,0 | 1,2 | 1,6 | 2,0 |
| c | 0,4 | 0,4 | 0,5 | 0,6 | 0,7 | 0,8 | 1,0 | 1,2 | 1,5 | 1,8 | 2,2 | 2,5 |
| c ₁ | 0,4 | 0,4 | 0,5 | 0,6 | 0,7 | 0,8 | 1,0 | 1,2 | 1,5 | 1,8 | 2,2 | 2,5 |
| l nominal | Masa ≈ kg/1 000 buc. | | | | | | | | | | | |
| 2 | 0,004 | 0,008 | 0,012 | | | | | | | | | |
| 3 | 0,009 | 0,015 | 0,024 | 0,036 | 0,053 | 0,081 | | | | | | |
| 4 | 0,013 | 0,021 | 0,036 | 0,054 | 0,082 | 0,119 | 0,154 | | | | | |
| 5 | | | 0,048 | 0,072 | 0,118 | 0,168 | 0,230 | 0,314 | | | | |
| 6 | | | 0,059 | 0,090 | 0,148 | 0,212 | 0,359 | 0,520 | 0,821 | | | |
| 8 | | | | 0,126 | 0,208 | 0,305 | 0,515 | 0,791 | 1,05 | 1,57 | | |
| 10 | | | | | 0,268 | 0,380 | 0,670 | 1,04 | 1,40 | 2,48 | 3,20 | |
| 12 | | | | | 0,328 | 0,475 | 0,824 | 1,28 | 1,75 | 3,11 | 4,65 | 6,46 |
| (14) | | | | | | 0,565 | 0,980 | 1,53 | 2,11 | 3,76 | 5,67 | 7,92 |
| 16 | | | | | | 0,654 | 1,13 | 1,78 | 2,46 | 4,38 | 6,70 | 9,36 |
| (18) | | | | | | | 1,29 | 2,07 | 2,82 | 5,03 | 7,68 | 10,8 |
| 20 | | | | | | | 1,44 | 2,27 | 3,17 | 5,66 | 8,72 | 12,3 |
| (22) | | | | | | | | 2,52 | 3,52 | 6,30 | 9,70 | 13,7 |
| 25 | | | | | | | | 3,00 | 4,05 | 7,25 | 11,2 | 15,9 |
| (28) | | | | | | | | | 4,58 | 8,20 | 12,7 | 18,2 |
| 30 | | | | | | | | | 5,29 | 9,50 | 14,7 | 21,0 |
| 35 | | | | | | | | | | 10,8 | 16,7 | 24,0 |
| 40 | | | | | | | | | | 12,0 | 19,1 | 26,8 |
| 45 | | | | | | | | | | | 21,4 | 30,4 |
| 50 | | | | | | | | | | | | 33,8 |

Observații. 1. Dimensiunile înscrise între paranteze se vor evita pe cât posibil.
2. Filet metric conform STAS 6564-73. 3. Material: conform STAS 2700/3-69.

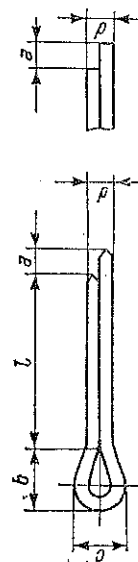


Tabela 3.27. Șplinturi (STAS 1991-73)

$a_{min} = 0,5 a_{max}$












Dimensiuni în mm

| Diametrul nominal | | abateri limită | | | | | | | | | | | | | | | | | |
|---|--------------------|----------------|-----|-----|-----|-----|-----|-----|-----|-----------|-----|------|------|------|------|------|------|-----|--|
| | | 0 -0,1 | | | | | | | | 0 -0,2 | | | | | | | | | |
| nominal | | 0,6 | 0,8 | 1 | 1,2 | 1,6 | 2 | 2,5 | 3,2 | 4 | 5 | 6,3 | 8 | 10 | 13 | 16 | 20 | | |
| | | 0,5 | 0,7 | 0,9 | 1 | 1,4 | 1,8 | 2,3 | 2,9 | 3,7 | 4,6 | 5,9 | 7,5 | 9,5 | 12,4 | 15,4 | 19,3 | | |
| d | abateri limită | | | | | | | | | | | | | | | | | | |
| | a | max. | 1,6 | 1,6 | 1,6 | 2,5 | 2,5 | 2,5 | 3,2 | 4 | 4 | 4 | 4 | 4 | 6,3 | 6,3 | 6,3 | 6,3 | |
| | | b | 2 | 2,4 | 3 | 3 | 3,2 | 4 | 5 | 6,4 | 8 | 10 | 12,6 | 16 | 20 | 26 | 32 | 40 | |
| c | max. | 1 | 1,4 | 1,8 | 2 | 2,8 | 3,6 | 4,6 | 5,8 | 7,4 | 9,2 | 11,8 | 15 | 19 | 24,8 | 30,8 | 38,6 | | |
| | min. | 0,9 | 1,2 | 1,6 | 1,7 | 2,4 | 3,2 | 4 | 5,1 | 6,5 | 8 | 10,3 | 13,1 | 16,6 | 21,7 | 27 | 33,8 | | |
| Diametrele recomandate ale pieselor la care se folosește șplintul | piese filetate | peste | — | 2,5 | 3,5 | 4,5 | 5,5 | 7 | 9 | 11 | 14 | 20 | 27 | 39 | 56 | 80 | 120 | 170 | |
| | | pînă la | 2,5 | 3,5 | 4,5 | 5,5 | 7 | 9 | 11 | 14 | 20 | 27 | 39 | 56 | 80 | 120 | 170 | — | |
| | axe de articulații | peste | — | 2 | 3 | 4 | 5 | 6 | 8 | 9 | 12 | 17 | 23 | 29 | 44 | 69 | 110 | 160 | |
| | | pînă la | 2 | 3 | 4 | 5 | 6 | 8 | 9 | 12 | 17 | 23 | 29 | 44 | 69 | 110 | 160 | — | |

Observații. 1. Diametrul nominal este egal cu diametrul găurii de șplint. 2. Șplinturile se execută cu virfurile ramurilor plate sau ascuțite la alegerea producătorului. 3. Pentru șplinturile utilizate la material rulant de cale ferată și pentru șplinturile supuse la eforturi de forfecare, se recomandă folosirea dimensiunilor imediat superioare celei specificate în tabelă pentru un anumit diametru al piesei la care se utilizează șplintul. 4. Exemplu de notare a unui șplint cu diametrul nominal 10 și cu lungimea 80 mm; Șplint 10 × 80 STAS 1991-73.

Formele, diametrele și lungimile, standardizate ale știfturilor filetate sunt arătate în tabela 3.28. În tabela 3.26 sunt indicate dimensiunile și greutatea știfturilor filetate cu vîrf plat.

Tabela 3.28. Forme standardizate ale știfturilor filetate

| Știft filetat cu vîrf teșit STAS 4770-69 | Știft filetat cu vîrf conic STAS 4771-69 | Știft filetat cu cep STAS 4867-69 | Știft filetat cu cep și vîrf conic STAS 4847-69 | Știft filetat cu con interior STAS 4848-69 | Știft filetat cu locaș hexagonal și vîrf plat STAS 5173-69 | Știft filetat cu locaș hexagonal și vîrf conic STAS 5172-69 | Știft filetat cu locaș hexagonal cu cep STAS 5171-69 |
|---|---|---|---|---|--|--|--|
|  |  |  |  |  |   |   |   |

5. ȘPLINTURI

Șplinturile se folosesc la asigurarea contra desfacerii șuruburilor, piulițelor, bolțurilor etc.

În tabela 3.27 sunt arătate dimensiunile șplinturilor executate din sîrmă cu profil semirotund, îndoită la 180°.

6. NITURI

6.1. GENERALITĂȚI

Niturile sînt elemente de asamblare nedemontabile, folosite în construcțiile de mașini pentru îmbinări permanente între piese. Ele sînt construite inițial dintr-o tijă cilindrică (corpul nitului) și un cap

fabricat cu forme diferite (de exemplu, calotă sferică, trunchi de con etc.); după introducerea acestora în găurile din piesele suprapuse care se assemblează, se formează prin ciocănire sau presare, cu ajutorul unui căpuitor (buterolă), al doilea cap al nitului.

Niturile se clasifică astfel:

— după destinație: nituri de rezistență, nituri de rezistență-etanșare, nituri de rezistență și rezistență-etanșare;

— după numărul secțiunilor de forfecare: nituri cu o singură secțiune de forfecare și nituri cu mai multe secțiuni de forfecare.

Clasificarea după primul criteriu și după forma capului niturilor este arătată în tabela 5.47.

Asamblările prin nituri sau niturile se clasifică în modul următor:

— după felul așezării pieselor (table, profile): nituri prin suprapunere și nituri prin eclise;

— după numărul rîndurilor de nituri: nituri cu un singur rînd de nituri și nituri cu mai multe rînduri de nituri;

— după destinația pieselor nituite: nituri (cusături) de rezistență (de exemplu nituirea grinzilor), nituri de rezistență-etanșare (de exemplu nituirea cazanelor cu abur).

Găurile executate în piesele care se assemblează prin nituire se execută cu diametre mai mari decît ale niturilor, după cum urmează:

— pentru nituri cu diametrul $d = 1 \dots 4$ mm, se execută găuri cu diametrul $d + 0,2$ mm;

— pentru nituri cu diametrul $d = 5 \dots 10$ mm, se execută găuri cu diametrul $d + 0,5$ mm;

— pentru nituri cu diametrul $d > 10$ mm, se execută găuri cu diametrul $d + 1$ mm.

Niturile se confecționează, în general, din oțel OL 34 și uneori OL 37, conform STAS 794-78 („oțel rotund pentru șuruburi și nituri”). În acest standard sînt indicate, de asemenea, diametrele la care se laminatează aceste oțeluri pentru fabricarea niturilor și a șuruburilor. Pentru nituri din OL 34 și OL 37 se mai poate folosi și „sîrma de oțel trasă pentru șuruburi și nituri” STAS 4254-70 cu diametrul între 1 și 16 mm.

Aceste nituri se pot executa din aluminiu, alamă sau din material conform STAS 9228-73. La cerere se pot executa și nituri din OL 43 STAS 500/2-68.

În afară de niturile indicate mai sus, mai este standardizat și „nitul pentru curelărie” STAS 2082-73 cu diametrul de 3—6 mm și lungimea de 6—26 mm.

Condițiile tehnice impuse niturilor gata fabricate se găsesc în STAS 796-68.

6.2. PRINCIPII GENERALE DE CALCUL

Se notează prin (v. și fig. 3.3 și 3.4):

F — forța exterioară care tinde să desfacă îmbinarea, în kgf;

F_1 — forța care revine unui nit la îmbinarea cu mai multe nituri în kgf;

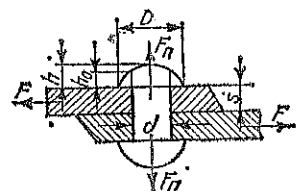


Fig. 3.3.

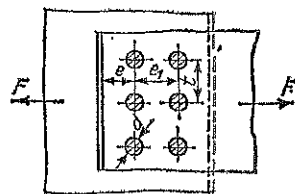


Fig. 3.4.

F_n — forța axială care acționează în nit, în kgf;

σ_r — rezistența la tracțiune (efortul unitar) în nit, în kgf/cm²;

σ_a — rezistența admisibilă la tracțiune în nit, în kgf/cm²;

σ'_a — rezistența admisibilă la tracțiune în tablă, în kgf/cm²;

τ_f — rezistența la forfecare în nit, în kgf/cm²;

τ_{fa} — rezistența admisibilă la forfecare în nit, în kgf/cm²;

σ_g — presiunea specifică de contact între corpul nitului și perețele găurii, în kgf/cm²;

σ_{ga} — presiunea specifică admisibilă de contact, în kgf/cm²;

τ_{fa} — rezistența admisibilă la forfecare a tablei în kgf/cm².

6.2.1. Solicitarea la forfecare a tijei nitului. La acțiunea forțelor de forfecare, secțiunea nitului se calculează cu formula $F_1 = \frac{\pi d^2}{4} \tau_{fa}$, (1)

de unde:
$$d = \sqrt{\frac{4}{\pi} \cdot \frac{F_1}{\tau_{fa}}} \text{ [cm]}. \quad (2)$$

Cînd nitul trece prin n table cu $(n-1)$ secțiuni de forfecare, relația

(1) devine
$$F_1 = (n-1) \frac{\pi d^2}{4} \tau_{fa}, \quad (3)$$

de unde:
$$d = \sqrt{\frac{4}{(n-1)\pi} \cdot \frac{F_1}{\tau_{fa}}} \text{ [cm]}. \quad (4)$$

Rezistența admisibilă la forfecare pentru materialul nitului se poate lua: $\tau_{fa} \approx 600 \text{ kgf/cm}^2$; dacă se contează pe nituri bină bătute, se poate admite $\tau_{fa} \approx 1200 \text{ kgf/cm}^2$.

6.2.2. Presiunea laterală între corpul nitului și perețele găurii. Deși suprafața de contact între nit și perețele găurii este $\frac{\pi d}{2} s$, în calcul se consideră numai proiecția suprafeței de contact, adică $d \cdot s$; în acest caz, există următoarea relație:

$$F_1 = ds \tau_{ga}. \quad (5)$$

În această relație s reprezintă grosimea unei table, la îmbinarea dintre două table. La îmbinarea mai multor table, s reprezintă grosimea tuturor tablelor care preiau forța într-un sens.

Pentru presiunea specifică admisibilă de contact τ_{ga} se pot admite valori de $1500-2000 \text{ kgf/cm}^2$.

Din egalarea formulelor (1) și (5), se deduce pentru nituirea cu

o singură secțiune de forfecare:
$$d = \frac{4}{\pi} \cdot \frac{\sigma_{ga}}{\tau_{fa}} s. \quad (6)$$

Ținînd seama că din experimentări practice, raportul $\sigma_{ga}/\tau_{fa} \approx 1,4 \dots 1,7$

formula (6) devine:
$$d = \frac{4}{\pi} (1,4 \dots 1,7) s = (1,8 \dots 2,2) s. \quad (7)$$

Pentru nituirea de rezistență se ia $d \approx 2s$.

6.2.3. Solicitarea la forfecare a marginii tablei. Presupunînd că nitul

ar strivi perețele găurii, se poate scrie relația:
$$F_1 = 2 \left(e - \frac{d}{2} \right) s \tau'_{fa}. \quad (8)$$

Din relațiile (5) și (8) rezultă: $ds \sigma_{ga} = 2(e - d/2) s \tau'_{fa}$,

de unde:
$$e = d/2 (\sigma_{ga}/\tau'_{fa} + 1).$$

Dacă se înlocuiește $\sigma_{ga} \approx 1,55\tau_{fa}$ și $\tau'_{fa} \approx \tau_{fa}$, se obține:

$$e = d/2(1,55/0,8 + 1) = 1,44d \approx 1,5d. \quad (9)$$

În practică se ia cel puțin valoarea $e = 2d$.

6.2.4. Solicitarea la tracțiune a secțiunii din tablă dintre două găuri de nit. Distanța dintre două găuri de nit reprezintă pasul niturilor (t) și se calculează cu formula: $F_1 = (t - d)s\sigma'_a$. (10)

Din egalarea formulelor (1) și (10), se obține: $(t - d)s\sigma'_a = \pi d^2/4 \tau_{fa}$,

de unde:
$$t = d \left(\frac{\pi}{4} \cdot \frac{d}{s} \cdot \frac{\tau_{fa}}{\sigma'_a} + 1 \right).$$

Pentru $d = 2s$ și $\tau_{fa} = \sigma'_a$ ultima formulă pentru pasul niturilor devine: $t = (\pi/2 + 1)d = 2,57d$.

Se recomandă: $t_{min} = (2,5 \dots 3)d$; $t_{max} = (6 \dots 8)d$.

Valoarea pasului minim (t_{min}) între nituri este dată pentru diferite diametre de nit (d) în STAS 797-67

6.2.5. Solicitarea la forța axială F_n a capului nitului. Formulele care ar da în acest caz diametrul D al capului de nit și înălțimea h_0 (fig. 3.3) nu sînt necesare, deoarece dimensiunile date de standarde pentru diametrul și înălțimea capului nitului sînt acoperitoare.

6.3. PARAMETRII CARACTERISTICI PENTRU NITUIREA DE REZISTENȚĂ A TABLELOR DE OȚEL

— Lungimea totală a tijei nitului trebuie să fie egală cu suma grosimilor tablelor de nituit, plus capătul tijei care rămîne pentru formarea capului. Lungimea tijei nitului nu trebuie să fie mai mare decît de cinci ori diametrul tijei.

— Lungimea părții ieșite (l) a tijei nitului trebuie să fie:

$$l = (0,8 \dots 1,2)d \text{ pentru nituri cu cap înecat};$$

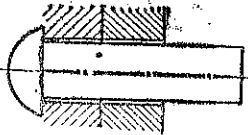
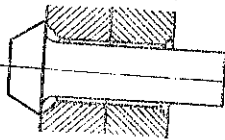
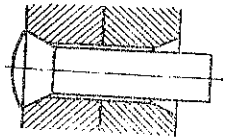
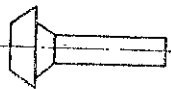
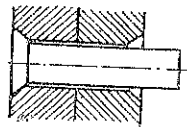
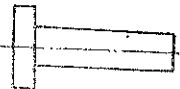
$$l = (1,25 \dots 1,5)d \text{ pentru nituri cu cap semirotund}.$$

— Ceilalți parametri caracteristici pentru una sau două secțiuni de forfecare sînt indicați în tabela 3.30.

Tabela 3.30. Parametrii caracteristici pentru nituirea de rezistență

| Numărul secțiunilor de forfecare n | Numărul rîndurilor de nituri m | Diametrul nitului d | Distanța de la marginea tablei e | Pasul niturilor pe rînd t | Distanța dintre rînduri e_1 |
|--------------------------------------|----------------------------------|------------------------------|------------------------------------|-----------------------------|-------------------------------|
| 1 | 1 | $2s$ | $(1,5-2)d$ | $2,5-3)d$ | $(2-2,5)d$ |
| | 2 | sau | | $((4-4,5)d$ | sau |
| | 3 | $\sqrt{5}s - 0,2 \text{ cm}$ | | $(5,5-6)d$ | $(0,5-0,7)t$ |
| 2 | 1 | $\sim 1,5d$ | $(1,5-2)d$ | $3,5d$ | $(3/8-0,5)t$ |
| | 2 | | | $(5,5-6)d$ | |
| | 3 | | | $8d$ | |

Tabela 3.29. Clasificarea niturilor după forma capului

| Denumirea | Schița | Dimensiunile după STAS | Domeniul de utilizare |
|------------------------------------|---|------------------------|--|
| Nit cu cap semirotund |  | 797-67 | Nituri cu diametre de 1-37 mm pentru nituiri de rezistență Nituri cu diametre de 10-37 mm pentru nituiri de rezistență-etanșare |
| Nitu cu cap tronconic |  | 801-67 | Nituri de rezistență Nituiri de rezistență-etanșare în medii corosive. Diametre de 6-37 mm |
| Nit cu cap semiînecat |  | 1257-67 802-67 | Nituri de rezistență (tinichigerie) Nituiri de rezistență-etanșare |
| Nit cu cap tronconic și semiînecat |  | | Nituri de rezistență-etanșare |
| Nit cu cap înecat |  | 3165-67 | Nituri de rezistență și rezistență-etanșare |
| Nit cu cap plat |  | | Pentru dogărie |

6.4. PARAMETRII CARACTERISTICI PENTRU NITUIREA METALELOR UȘOARE

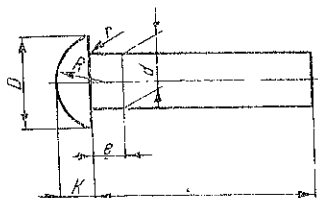
- Diametrul nitului: $d = 1,5s + 0,2$ cm;
- Pasul niturilor: $t = (2,5 \dots 6)d$;
- Distanța de la marginea tablei: $e = 2d$;
- Distanța dintre rinduri: $e_1 = (2,5 \dots 3)d$.

Pentru calculul de verificare al niturilor la forfecare și presiune asupra pereților găurii se folosesc formulele anterioare pentru τ_{fa} și τ_{ga} , în funcție de rezistențele admisibile ale materialelor respective: $\sigma_{fa} = (0,6 \dots 0,7)\sigma_a$ [kgf/cm²]; $\sigma_{ga} = (2 \dots 2,5)\tau_{fa}$ [kgf/cm²].

6.5. FORME ȘI DIMENSIUNI

Formele și dimensiunile niturilor de oțel standardizate și folosite în mod curent sînt indicate în tabelele 3.31–3.33.

Tabela 3.31. Nit de oțel cu cap semirotund (STAS 797-67)



Dimensiuni în mm

| d nominal | 1 | 1,2 | 1,6 | 2 | 2,5 | 3 | 4 | 5 | 6 | 8 | 10 | 12 |
|---|-----|-----|-----|-----|-----|-----|-----|-----|-----|-----|-----|-----|
| D nominal | 1,8 | 2,1 | 2,9 | 3,5 | 4,4 | 5,3 | 7,1 | 8,8 | 11 | 14 | 16 | 19 |
| K nominal | 0,6 | 0,7 | 1,2 | 1 | 1,5 | 1,8 | 2,4 | 3 | 3,6 | 4,8 | 6 | 7,2 |
| R ≈ | 1 | 1,2 | 1,6 | 1,9 | 2,4 | 2,9 | 3,8 | 4,7 | 6 | 7,5 | 9 | 10 |
| e maxim | 0,2 | 0,2 | 0,2 | 0,2 | 0,2 | 0,2 | 0,4 | 0,4 | 0,5 | 0,5 | 0,6 | 0,8 |
| e | 1,5 | 1,5 | 1,5 | 1,5 | 3 | 3 | 3 | 3 | 4 | 4 | 6 | 6 |
| d nominal | 1 | 1,2 | 1,6 | 2 | 2,5 | 3 | 4 | 5 | 6 | 8 | 10 | 12 |
| Lungimile l nominale (cu care se fabrică niturile), corespunzătoare diametrelor d | 2 | 3 | 3 | 4 | 5 | 6 | 8 | 8 | 10 | 16 | 20 | 23 |
| | 3 | 4 | 4 | 5 | 6 | 7 | 9 | 9 | 11 | 18 | 22 | 26 |
| | 4 | 5 | 5 | 6 | 7 | 8 | 10 | 10 | 12 | 20 | 24 | 28 |
| | 5 | 6 | 6 | 7 | 8 | 9 | 11 | 11 | 14 | 22 | 26 | 30 |
| | 6 | 7 | 7 | 8 | 9 | 10 | 12 | 12 | 16 | 24 | 28 | 32 |
| | | 8 | 8 | 9 | 10 | 11 | 14 | 14 | 18 | 26 | 30 | 34 |
| | | | 9 | 10 | 12 | 12 | 16 | 16 | 20 | 30 | 32 | 36 |
| | | | 10 | 12 | 14 | 14 | 18 | 18 | 22 | 32 | 34 | 38 |
| | | | | 14 | 16 | 16 | 20 | 20 | 24 | 36 | 36 | 40 |
| | | | | | 18 | 18 | 22 | 22 | 26 | 38 | 38 | 42 |
| | | | | | 20 | 24 | 24 | 24 | 28 | 40 | 40 | 45 |

Observație. Exemplu de notare a unui nit cu cap semirotund; cu diametrul $d = 16$ mm și lungimea $l = 80$ mm: Nit 16×80 STAS 797-67.

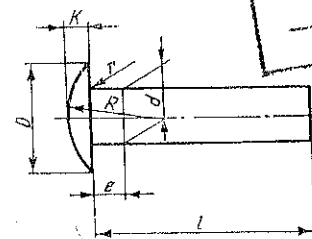


Tabela 3.22. Nit de oțel cu cap bombat (STAS 1987-67)

Dimensiuni în mm

| d nominal | 2 | 2,5 | 3 | 4 | 5 | 6 | 8 |
|-----------|-----|-----|-----|-----|-----|-----|------|
| D nominal | 4 | 5 | 6 | 8 | 10 | 12 | 16 |
| K nominal | 0,8 | 1 | 1,2 | 1,8 | 2 | 2,5 | 3 |
| R ≈ | 2,9 | 3,6 | 4,4 | 5,8 | 7,3 | 9,5 | 12,2 |
| e maxim | 0,2 | 0,2 | 0,2 | 0,4 | 0,4 | 0,5 | 0,5 |
| e | 1,5 | 3 | 3 | 3 | 4 | 4 | 4 |

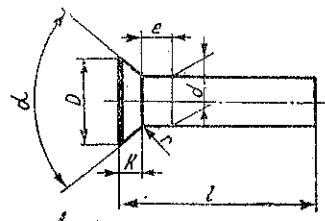
l nominal

Masa niturilor
kg/1 000 buc.
≈

| | | | | | | | |
|----|-------|-------|-------|-------|------|------|------|
| 4 | 0,141 | 0,236 | 0,365 | | | | |
| 5 | 0,165 | 0,274 | 0,420 | | | | |
| 6 | 0,189 | 0,312 | 0,475 | 0,924 | | | |
| 7 | 0,214 | 0,351 | 0,531 | 1,02 | | | |
| 8 | 0,239 | 0,389 | 0,586 | 1,12 | 1,89 | 3,12 | |
| 9 | 0,263 | 0,428 | 0,642 | 1,22 | 2,04 | 3,34 | |
| 10 | 0,288 | 0,466 | 0,697 | 1,32 | 2,19 | 3,56 | 6,44 |
| 12 | | 0,543 | 0,808 | 1,52 | 2,50 | 4,00 | 7,23 |
| 14 | | 0,620 | 0,919 | 1,71 | 2,85 | 4,44 | 8,02 |
| 16 | | 0,697 | 1,03 | 1,91 | 3,12 | 4,89 | 8,80 |
| 18 | | 0,774 | 1,14 | 2,11 | 3,43 | 5,33 | 9,59 |
| 20 | | 0,851 | 1,25 | 2,31 | 3,73 | 5,77 | 10,4 |
| 22 | | | 1,36 | 2,52 | 4,04 | 6,22 | 11,2 |
| 24 | | | 1,47 | 2,74 | 4,35 | 6,66 | 12,0 |
| 26 | | | 1,58 | 2,95 | 4,66 | 7,11 | 12,8 |
| 28 | | | 1,70 | 3,07 | 4,97 | 7,55 | 13,6 |
| 30 | | | 1,81 | 3,38 | 5,27 | 8,00 | 14,3 |

Observații. 1. Masele sînt calculate cu densitatea 7,85 kg/dm³ și sînt informative. 2. Se va evita pe cît posibil executarea niturilor la lungimi situate în afara liniilor în trepte din tabel. 3. Exemplu de notare a unui nit cu cap bombat cu diametrul $d = 5$ mm și lungimea $l = 10$ mm: Nit 5×10 STAS 1987-67.

Tabela 3.33. Nit de oțel cu cap înecat
(STAS 3165-67)



Dimensiuni în mm

| d nominal | 1,6 | 2 | 2,5 | 3 | 4 | 5 | 6 | 8 | 10 | 12 | 16 | 20 |
|---------------------|-----|-----|-----|-----|-----|-----|------|------|-----|-----|-----|-----|
| D nominal | 2,9 | 3,9 | 4,5 | 5,2 | 7 | 8,8 | 10,3 | 13,9 | 17 | 20 | 24 | 30 |
| K nominal | 0,7 | 1,0 | 1,1 | 1,2 | 1,6 | 2 | 2,4 | 3,2 | 4,8 | 5,6 | 7,2 | 9 |
| α | 90° | 90° | 90° | 90° | 90° | 90° | 90° | 90° | 75° | 75° | 60° | 60° |
| r max | 0,1 | 0,1 | 0,1 | 0,1 | 0,2 | 0,2 | 0,25 | 0,25 | 0,3 | 0,4 | 0,5 | 0,5 |
| e | 1,5 | 1,5 | 3 | 3 | 3 | 4 | 4 | 4 | 6 | 6 | 6 | 8 |
| Lungimea l nominală | 3 | 3 | 4 | 4 | 5 | 8 | 8 | 8 | 16 | 18 | 24 | 38 |
| | 4 | 4 | 5 | 5 | 6 | 9 | 9 | 9 | 18 | 20 | 26 | 40 |
| | 5 | 5 | 6 | 6 | 7 | 10 | 10 | 10 | 20 | 22 | 28 | 42 |
| | 6 | 6 | 7 | 7 | 8 | 12 | 12 | 12 | 22 | 24 | 30 | 44 |
| | 7 | 7 | 8 | 8 | 9 | 14 | 14 | 14 | 24 | 26 | 32 | 46 |
| | 8 | 8 | 9 | 9 | 10 | 16 | 16 | 16 | 26 | 28 | 34 | 48 |
| | 9 | 9 | 10 | 10 | 12 | 18 | 18 | 18 | 28 | 30 | 36 | 50 |
| | 10 | 10 | 12 | 12 | 14 | 20 | 20 | 20 | 30 | 32 | 38 | 52 |
| | 12 | 12 | 14 | 14 | 16 | 22 | 22 | 22 | 32 | 34 | 40 | 55 |
| | | 14 | 16 | 16 | 18 | 24 | 24 | 24 | 34 | 36 | 42 | 58 |
| | | 16 | 18 | 18 | 20 | 26 | 26 | 26 | 36 | 38 | 44 | 60 |
| | | | 20 | 20 | 22 | 28 | 28 | 28 | 38 | 40 | 46 | 65 |
| | | | | 22 | 24 | 30 | 30 | 30 | 40 | 42 | 48 | 70 |
| | | | | 24 | 26 | 32 | 32 | 32 | 42 | 44 | 50 | 75 |
| | | | | 26 | 28 | 34 | 34 | 34 | 44 | 46 | 52 | 80 |
| | | | | 28 | 30 | 36 | 36 | 36 | 46 | 48 | 55 | 85 |
| | | | | 30 | 32 | 38 | 38 | 38 | 48 | 50 | 58 | 90 |
| | | | | 32 | 34 | 40 | 40 | 40 | 50 | 52 | 60 | 95 |
| | | | | 34 | 36 | 42 | 42 | 42 | 52 | 55 | 65 | 100 |
| | | | | 36 | 38 | 45 | 45 | 45 | 55 | 58 | 70 | 110 |
| | | | | 38 | 40 | 48 | 48 | 48 | 58 | 60 | 75 | 120 |
| | | | | 40 | 42 | 50 | 50 | 50 | 60 | 65 | 80 | 130 |
| | | | | | 45 | 52 | 52 | 52 | 65 | 70 | 85 | 140 |
| | | | | | 48 | 55 | 55 | 55 | 70 | 75 | 90 | 150 |
| | | | | | 50 | 58 | 58 | 58 | 75 | 80 | 95 | 150 |
| | | | | | | 60 | 60 | 60 | | 85 | 100 | |

Observații. 1. Se va evita pe cât posibil executarea niturilor în lungimi situate în afara linilor în trepte din tabelă. 2. Pentru proiecte existente la data intrării în vigoare a prezentului standard se admite, pe baza acordului între producător și beneficiar, executarea altor diametre decât cele indicate în tabelă. 3. Exemplu de notare a unui nit cu cap înecat, cu diametrul de 10 mm și lungimea de 50 mm: Nit 10×50 STAS 3165-67.

7. PENE

În construcția de mașini, penele sînt folosite ca organe pentru îmbinările demontabile a două piese. În raport cu axa longitudinală a acestor piese sau cu direcția sarcinii de transmis, penele se clasifică în: pene transversale și pene longitudinale.

7.1. PENE TRANSVERSALE

Penele transversale se folosesc, în general, ca pene de fixare a două piese (de exemplu, capul de cruce cu capul tijei de piston al unei locomotive) și uneori ca pene de reglare (de exemplu, reglarea jocului între fus și cuzinetul bieiei motoare la o locomotivă) sau pene de liguranță (de exemplu, pana ce fixează un fus de capul unei manivele).

Caracteristica penelor transversale este montarea acestora în direcție perpendiculară pe axa geometrică a pieselor îmbinate.

Îmbinările cu pene transversale pot fi aderente sau neaderente.

Fixarea neaderentă are loc cînd introducerea penei în locaș se face cu un efort mic; ea se folosește de obicei, cînd forțele care acționează asupra îmbinării sînt constante și dirijate în același sens. Fixarea aderentă se obține cînd introducerea penei în locaș se face cu un efort mai mare; ea este utilizată cînd îmbinarea este supusă la solicitări bruște sau cu sensuri variabile.

Penele transversale se execută cu una sau cu două fețe înclinate (fig. 3.5 și 3.6); se recomandă ca valori medii ale înclinării: $\operatorname{tg} \alpha = 1/100 \dots 1/50$

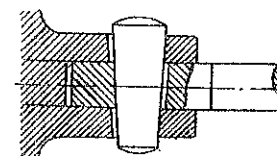


Fig. 3.5.

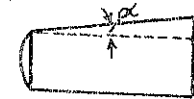


Fig. 3.6.

pentru pene de reglare din capul bieilelor; $\operatorname{tg} \alpha = 1/20$ pentru penele de fixare cu demontări dese și $\operatorname{tg} \alpha = 1/100 \dots 1/50$ pentru penele de fixare cu demontări rare.

Penele transversale se execută de obicei cu secțiunea dreptunghiulară; laturile mici se rotunjesc pentru a se evita blocarea penelor. Ele se confecționează de obicei din OL 50, OL 60, OL 70 STAS 500-68 sau OLO 45 STAS 880-66.

7.2. PENE LONGITUDINALE

7.2.1. Generalități. După modul de transmitere a momentului de torsiune, îmbinările prin pene longitudinale sînt:

— îmbinări cu stringere, realizate prin utilizarea penelor cu înclinarea 1:100 a suprafeței superioare; aceste tipuri de îmbinări asigură transmiterea momentelor de torsiune, fără a permite deplasarea longitudinală a butucului pe arbore;

— îmbinări fără stringere, realizate prin utilizarea penelor fără înclinare (pene paralele sau pene disc); aceste tipuri de îmbinări asigură transmiterea momentelor de torsiune și permit deplasarea longitudinală a butucului pe arbore.

Îmbinările prin pene disc pot fi utilizate fie pentru transmiterea momentelor de torsiune, fie numai pentru fixarea poziției, în acest caz momentul fiind preluat prin alte elemente.

7.2.2. Tipuri și dimensiuni. Tipurile de pene și îmbinări prin pene longitudinale sînt arătate, după STAS 430-74, în tabela 3.34.

Penele înclinate subțiri fără nas se execută în trei forme: forma A, cu ambele capete rotunde, forma B, cu ambele capete drepte și forma C, cu un capăt rotund și un capăt drept. Dimensiunile acestor pene sînt indicate, după STAS 431-73, în tabela 3.35. Dimensiunile penelor înclinate subțiri cu nas sînt indicate în STAS 432-73.

Penele înclinate concave se execută în formele A, B și C asemănător formelor pe care le au și penele înclinate subțiri (tabela 3.36), STAS 433-73). Dimensiunile canalelor la aceste pene sînt arătate în STAS 9234-73.

Dimensiunile penelor și canalelor pentru pene tangențiale utilizate pentru îmbinări supuse la solicitări alternante sau cu șocuri sînt indicate, după STAS 1011-74, în tabela 3.37. În cazul îmbinărilor supuse la solicitări constante, dimensiunile sînt date în STAS 1010-74.

Secțiunile penelor și canalelor pentru pene înclinate, după STAS 1007-71, sînt date în tabela 3.38.

Tabela 3.34. Tipuri de îmbinări de pene și de pene corespondente (STAS 430-74)

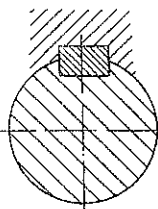
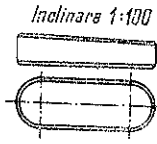
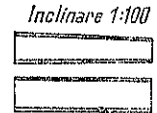
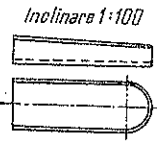
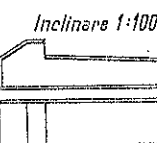
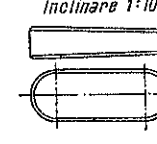
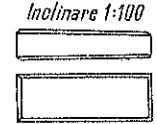
| Îmbinarea prin pană | | Pana | | | | | | |
|-----------------------|---|--------------|--------------------------|---|-----------|--|---|-----------|
| Tip | Reprezentare | Conform STAS | Tip | | Dezignare | Reprezentare | Conform STAS | |
| 1 | 2 | 3 | 4 | 5 | 6 | 7 | 8 | |
| Îmbinare cu stringere |  | 1007 — 71 | Pene înclinate obișnuite | | fără nas | Pană înclinată A Pană înclinată B Pană înclinată C |    | 1008 — 71 |
| | | | | | cu nas | Pană înclinată cu nas |  | |
| | | | Pene înclinate subțiri | | fără nas | Pană înclinată subțire A Pană înclinată subțire B |   | 431 — 73 |
| | | | | | | | | |

Tabela 3.34 (continuare)

| 1 | 2 | 3 | 4 | 5 | 6 | 7 | 8 |
|-----------------------|-----------------|------------------|--|----------|-------------------------------|---|-----------------|
| Îmbinare cu stringere | | 9235-73 | Pene înclinate subțiri | fără nas | Pană înclinată subțire C | | 431-73 |
| | | | | cu nas | Pană înclinată subțire cu nas | | |
| | | 9234-73 | Pene înclinate concave | fără nas | Pană înclinată concavă A | | 433-73 |
| | | | | cu nas | Pană înclinată concavă C | | |
| | 1011-74 1010-74 | Pene tangențiale | pentru solicitări alternante sau cu șocuri | | | | 1011-74 1010-74 |

Tabela 3.34 (continuare)

| 1 | 2 | 3 | 4 | 5 | 6 | 7 | 8 |
|-------------------------|---------|-----------|-------------------------|---|-------------------------|---|---------|
| Îmbinare fără stringere | | 1004-71 | Pene paralele obișnuite | | Pană paralelă A | | 1005-71 |
| | | | | | Pană paralelă B | | |
| | | 9501-74 | Pene paralele subțiri | | Pană paralelă C | | 9501-74 |
| | | | | | Pană paralelă subțire A | | |
| | 1012-72 | Pene disc | | | | | 1012-72 |
| | | | | | | | |

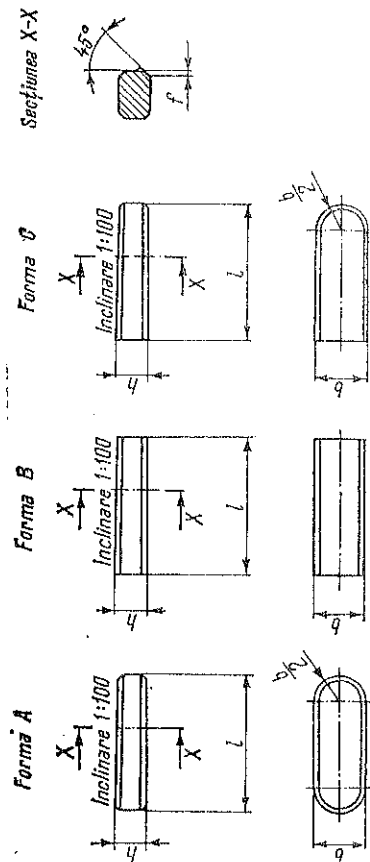


Tabela 3.35. Pene înclinate subțiri (STAS 431-73)

Dimensiuni în mm

| | 8 | 10 | 12 | 14 | 16 | 18 | 20 | 22 | 25 | 28 | 32 | 36 | 40 | 45 | 50 |
|---------------------|------|--------|------|--------|------|--------|------|--------|------|--------|------|--------|------|--------|------|
| b | | | | | | | | | | | | | | | |
| nominal | | | | | | | | | | | | | | | |
| abateri limită h 9 | 0 | -0,036 | 0 | -0,043 | 0 | -0,052 | 0 | -0,052 | 0 | -0,062 | 0 | -0,062 | 0 | -0,062 | 0 |
| nominal | | | | | | | | | | | | | | | |
| h | 5 | 6 | 7 | 8 | 9 | 10 | 11 | 12 | 14 | 16 | 18 | 20 | 22 | 25 | 28 |
| nominal | | | | | | | | | | | | | | | |
| abateri limită h 11 | 0 | -0,075 | 0 | -0,090 | 0 | -0,090 | 0 | -0,090 | 0 | -0,110 | 0 | -0,110 | 0 | -0,110 | 0 |
| min. | 0,40 | 0,40 | 0,40 | 0,40 | 0,40 | 0,40 | 0,40 | 0,40 | 0,40 | 0,40 | 0,40 | 0,40 | 0,40 | 0,40 | 0,40 |
| max. | 0,25 | 0,60 | 0,60 | 0,60 | 0,60 | 0,60 | 0,60 | 0,60 | 0,60 | 0,60 | 0,60 | 0,60 | 0,60 | 0,60 | 0,60 |

Observație. Rugozitatea se stabilește de către proiectant, în conformitate cu standardele în vigoare: Rugozitatea suprafețelor. Terminologie și clasificare (STAS 5730/1-75) și Principii de alegere a rugozității (STAS 5730/2-75). 2. Exemplu de notare a unei pene înclinate subțiri, forma A, cu lățimea $b = 10$ mm, înălțimea $h = 6$ mm și lungimea $l = 28$ mm: Pană înclinaată subțire A 10 × 6 × 28 STAS 431-73.

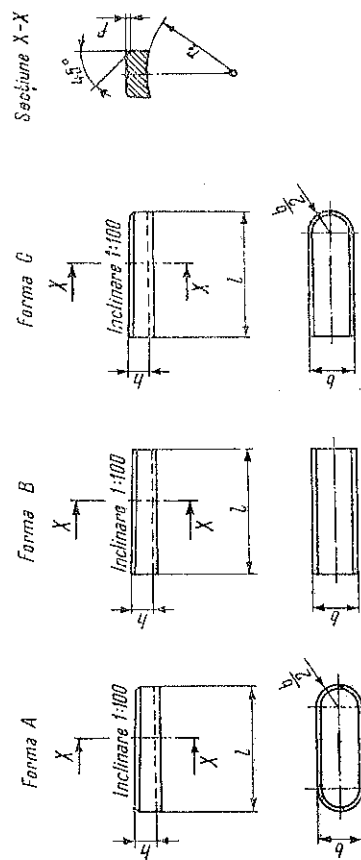


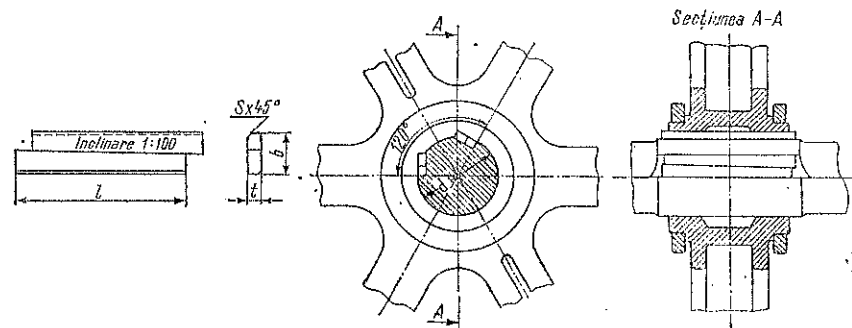
Tabela 3.36. Pene înclinate concave (STAS 433-73)

Dimensiuni în mm

| | 8 | 10 | 12 | 14 | 16 | 18 | 20 | 22 | 25 | 28 | 32 | 36 |
|---------------------|------|--------|------|--------|------|--------|------|--------|------|--------|------|--------|
| b | | | | | | | | | | | | |
| nominal | | | | | | | | | | | | |
| abateri limită h 9 | 0 | -0,036 | 0 | -0,043 | 0 | -0,052 | 0 | -0,052 | 0 | -0,062 | 0 | -0,062 |
| nominal | | | | | | | | | | | | |
| h | 3,5 | 4 | 4,5 | 5 | 6 | 7 | 7,5 | 8,5 | 9 | | | |
| abateri limită h 11 | 4,5 | -0,075 | 4,5 | -0,075 | 4,5 | -0,090 | 4,5 | -0,090 | 4,5 | -0,090 | 4,5 | -0,090 |
| min. | 0,25 | 0,40 | 0,40 | 0,40 | 0,40 | 0,40 | 0,40 | 0,40 | 0,40 | 0,40 | 0,40 | 0,40 |
| max. | 0,40 | 0,60 | 0,60 | 0,60 | 0,60 | 0,60 | 0,60 | 0,60 | 0,60 | 0,60 | 0,60 | 0,60 |
| f | 15 | 19 | 22 | 25 | 29 | 33 | 38 | 43 | 48 | 55 | 65 | 75 |
| r_1 | | | | | | | | | | | | |

Observație. — Rugozitatea se stabilește de către proiectant, în conformitate cu standardele în vigoare: Rugozitatea suprafețelor. Terminologie și clasificare (STAS 5730/1-75). Principii de alegere a rugozității (STAS 5730/2-75). Exemplu de notare a unei pene înclinate concave, forma B, cu lățimea $b = 16$ mm înălțimea, $h = 5$ mm și lungimea $l = 50$ mm: Pană înclinaată concavă B 16 × 5 × 50 STAS 433-73.

Tabela 3.37. Pene tangențiale (STAS 1011-74)



Dimensiuni în mm

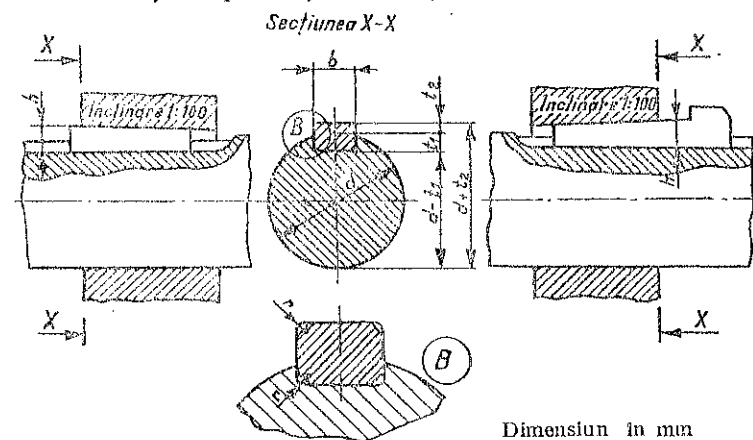
| d | b | PANA | | CANAL | | | |
|-----|------|-----------|------|-------|---------|-------------------|------|
| | | t h 11 | s | | nominal | abatere limită | max. |
| | | | min. | max. | | | min. |
| 100 | 30 | 10 | | | 10 | +0,5 +0,03 | |
| 110 | 33 | 11 | | | 11 | +0,6 +0,4 | |
| 120 | 36 | 12 | | | 12 | | |
| 125 | 37,5 | 12,5 | | | 12,5 | | |
| 130 | 39 | 13 | 1,0 | 1,2 | 13 | | 0,7 |
| 140 | 42 | 14 | | | 14 | | |
| 150 | 45 | 15 | | | 15 | | |
| 160 | 48 | 16 | | | 16 | | |
| 170 | 51 | 17 | | | 17 | | |
| 180 | 54 | 18 | | | 18 | | |
| 190 | 57 | 19 | 1,6 | 2,0 | 19 | | 1,2 |
| 200 | 60 | 20 | | | 20 | | |
| 220 | 66 | 22 | | | 22 | | |
| 240 | 72 | 24 | | | 24 | | |
| 250 | 75 | 25 | | | 25 | +0,7 +0,4 | |
| 260 | 78 | 26 | | | 26 | | |
| 280 | 84 | 28 | 2,5 | 3,0 | 28 | | 2,0 |
| 300 | 90 | 30 | | | 30 | | |
| 320 | 96 | 32 | | | 32 | | |
| 340 | 102 | 34 | | | 34 | | |
| 360 | 108 | 36 | | | 36 | | |
| 380 | 114 | 38 | | | 38 | | |
| 400 | 120 | 40 | | | 40 | | |
| 420 | 126 | 42 | | | 42 | | |
| 440 | 132 | 44 | | | 44 | | |
| 450 | 135 | 45 | 3,0 | 4,0 | 45 | | 3,0 |
| 460 | 138 | 46 | | | 46 | | |
| 480 | 144 | 48 | | | 48 | | |

Tabela 3.37 (continuare)

| d | b | PANA | | CANAL | | | |
|-----|-----|-----------|------|-------|---------|-------------------|------|
| | | t h 11 | s | | nominal | abatere limită | max. |
| | | | min. | max. | | | min. |
| 500 | 150 | 50 | | | 50 | | |
| 530 | 159 | 53 | | | 53 | | |
| 560 | 168 | 56 | | | 56 | +0,8 | 2,5 |
| 600 | 180 | 60 | | | 60 | +0,5 | |
| 630 | 189 | 63 | | | 63 | | |

Observații. 1. Lungimea l a penei, fiind dependentă de construcția îmbinării respective, se stabilește de către proiectant. Se recomandă a se alege lungimea penei cu aproximativ 10 ... 15 % mai mare ca lungimea butucului. 2. Pentru valori intermediare ale diametrului arborelui, se recomandă a se alege valoarea t corespunzătoare diametrului imediat superior indicat în tabel. Cota b se calculează cu ajutorul relației: $b = \sqrt{l(d - t)}$. 3. Pentru diametrele ale arborilor peste 630 mm până la 1000 mm se recomandă a se utiliza următoarele relații de calcul: $t = 0,1 d$; $b = 0,3 d$. 4. Unghiul dintre perechile de pene poate fi modificat la 180° dacă unghiul de 120° provoacă dificultăți la montaj. 5. Pentru pene se recomandă a se utiliza 601.k conform STAS 500/2-68 sau alte oțeluri cu rezistențe de rupere la tracțiune de minimum 590 N/mm² (60 kgf/mm²).

Tabela 3.38. Secțiunile penelor și canalelor pentru pene înclinate STAS 1007-71)



Dimensiuni în mm

| Diametrul arborelui <i>d</i> | | Dimensiunile penelor <i>b</i> × <i>h</i> | Dimensiunile canalului | | | | | | Raza <i>r</i> | |
|------------------------------------|---------|--|-----------------------------|------------------------|---------------------------------|----------------|--------------------------------|----------------|------------------|------|
| | | | Lățime | | Adâncime | | | | | |
| | | | arbore și butuc <i>b</i> | | arbore <i>t</i> ₁ | | butuc <i>t</i> ₂ | | | |
| peste | pînă la | | nominal | abatere limită D 10 | nominal | abatere limită | nominal | abatere limită | max. | min. |
| 6 | 8 | 2 × 2 | 2 | +0,060 | 1,2 | +0,1 0 | 0,5 | +0,1 0 | 0,16 | 0,08 |
| 8 | 10 | 3 × 3 | 3 | +0,020 | 1,8 | | 0,9 | | 0,16 | 0,08 |
| 10 | 12 | 4 × 4 | 4 | +0,078 | 2,5 | | 1,2 | | 0,16 | 0,08 |
| 12 | 17 | 5 × 5 | 5 | +0,030 | 3,0 | | 1,7 | | 0,25 | 0,16 |
| 17 | 22 | 6 × 6 | 6 | | 3,5 | | 2,2 | | 0,25 | 0,16 |

Tabela 3.38 (continuare)

| Diametrul arborelui <i>d</i> | | Dimensiunile penelor <i>b</i> × <i>h</i> | Dimensiunile canalului | | | | | | | |
|------------------------------------|---------|--|-----------------------------|------------------------|---------------------------------|----------------|--------------------------------|----------------|------------------|------|
| | | | Lățime | | Adâncime | | | | Raza <i>r</i> | |
| | | | arbore și butuc <i>b</i> | | arbore <i>t</i> ₁ | | butuc <i>t</i> ₂ | | | |
| peste | pină la | | nominal | abatere limită D 10 | nominal | abatere limită | nominal | abatere limită | max. | min. |
| 22 | 30 | 8 × 7 | 8 | + 0,098 | 4,0 | + 0,2 0 | 2,4 | + 0,2 0 | 0,25 | 0,16 |
| 30 | 38 | 10 × 8 | 10 | + 0,040 | 5,0 | | 2,4 | | 0,40 | 0,25 |
| 38 | 44 | 12 × 8 | 12 | + 0,120 + 0,050 | 5,0 | | 2,4 | | 0,40 | 0,25 |
| 44 | 50 | 14 × 9 | 14 | | 5,5 | | 2,9 | | 0,40 | 0,25 |
| 50 | 58 | 16 × 10 | 16 | | 6 | | 3,4 | | 0,40 | 0,25 |
| 58 | 65 | 18 × 11 | 18 | 7,0 | 3,4 | | 0,40 | | 0,25 | |
| 65 | 75 | 20 × 12 | 20 | + 0,149 + 0,065 | 7,5 | 3,9 | 0,60 | 0,40 | | |
| 75 | 85 | 22 × 14 | 22 | | 9,0 | 4,4 | 0,60 | 0,40 | | |
| 85 | 95 | 25 × 14 | 25 | | 9,0 | 4,4 | 0,60 | 0,40 | | |
| 95 | 110 | 28 × 16 | 28 | + 0,180 + 0,080 | 10,0 | 5,4 | 0,60 | 0,40 | | |
| 110 | 130 | 32 × 18 | 32 | | 11,0 | 6,4 | 0,60 | 0,40 | | |
| 130 | 150 | 36 × 20 | 36 | | 12,0 | 7,1 | 1,00 | 0,70 | | |
| 150 | 170 | 40 × 22 | 40 | | 13,0 | 8,1 | 1,00 | 0,70 | | |
| 170 | 200 | 45 × 25 | 45 | | 15,0 | 9,1 | 1,00 | 0,70 | | |
| 200 | 230 | 50 × 28 | 50 | | 17,0 | 10,1 | 1,00 | 0,70 | | |
| 230 | 260 | 56 × 32 | 56 | + 0,220 + 0,100 | 20,0 | + 0,3 0 | 11,1 | + 0,3 0 | 1,60 | 1,20 |
| 260 | 290 | 63 × 32 | 63 | | 20,0 | 11,1 | 1,60 | 1,20 | | |
| 290 | 330 | 70 × 36 | 70 | | 22,0 | 13,1 | 1,60 | 1,20 | | |
| 330 | 380 | 80 × 40 | 80 | + 0,260 + 0,120 | 25,0 | 14,1 | 2,50 | 2,00 | | |
| 380 | 440 | 90 × 54 | 90 | | 28,0 | 16,1 | 2,50 | 2,00 | | |
| 440 | 500 | 100 × 50 | 100 | | 31,0 | 18,1 | 2,50 | 2,00 | | |

Observații. 1. Relația dintre diametrul arborelui și secțiunea penei este valabilă pentru îmbinări normale. Se admite utilizarea unei pene standardizate de secțiune mai mică decât cea indicată pentru diametrul corespunzător al arborelui, dacă rezistența penei este suficientă pentru transmiterea efortului respectiv (pentru arbori tabulari, arbori în trepte, sau la transmiterea de momente de rășucire reduse). În acest caz, adâncimile t_1 și t_2 se vor recalcula pentru a menține înălțimile laterale de contact egale cu $h/2$. Nu se admite utilizarea unei pene de secțiune mai mare decât cea indicată pentru diametrul corespunzător al arborelui. 2. Verificarea adâncimii canalului în arbore și în butuc se efectuează fie prin măsurare directă, fie prin măsurarea dimensiunilor $(d - t_1)$ și $(d + t_2)$. Abaterile limită indicate pentru t_1 și t_2 rămân valabile și pentru cotele $(d - t_1)$ și $(d + t_2)$, cu observația că abaterea limită dată în tabel pentru t_1 își schimbă semnul. Cota t_2 reprezintă adâncimea maximă a canalului în butuc și este măsurată la capătul butucului, în partea prin care se introduce pana. 3. Îmbinarea prin pene înclinate necesită un ajustaj al penelor la montaj. Dimensiunile și abaterile limită indicate în tabel au fost stabilite astfel încât acest ajustaj să fie posibil în toate cazurile. 4. Pentru reparațiile utilajelor existente sau în curs de execuție la data intrării în vigoare a prezentului standard se admite utilizarea penelor și de alte dimensiuni. 5. Detaliile nereglementate prin prezentul standard se vor stabili de către proiectant, în conformitate cu standardele în vigoare: STAS 5730/1-75 Rugozitatea suprafeței. Terminologie și clasificare STAS 5730/2-75. Principii de alegere a rugozității.

1. GENERALITĂȚI.

Angrenajul este un mecanism alcătuit în general, din două roți dințate — una conducătoare și alta condusă — pentru transmiterea unei mișcări de rotație de la un arbore conducător la un arbore condus. După poziția celor doi arbori între care se transmite mișcarea și după tipurile de danturi ale roților dințate, angrenajele se pot clasifica astfel:

a. Angrenaje cu roți cilindrice

- 1) Angrenaje cu axe paralele:
 - angrenajul cilindric cu dinți drepti;
 - angrenajul cilindric cu dinți înclinați;
 - angrenajul cilindric cu dinți curbi.
- 2) Angrenaje cu axe neparalele și necon-
curente:
 - angrenajul elicoidal;
 - angrenajul cu melc.

b. Angrenaje cu roți conice

- 1) Angrenaje cu axe concurente:
 - angrenajul conic cu dinți drepti;
 - angrenajul conic cu dinți înclinați;
 - angrenajul conic cu dinți curbi.
- 2) Angrenaje cu axe neparalele și necon-
curente:
 - angrenajul hipoid cu dinți înclinați;
 - angrenajul hipoid cu dinți curbi.

În acest subcapitol sînt descrise angrenajele cele mai des folosite în construcțiile de mașini.

Roțile dințate se execută prin prelucrare la mașini-unelte, prin turnare, prin ștanțare etc. Ultimele se folosesc la angrenaje care nu necesită o precizie de construcție și funcționare prea mare și au avantajul că sînt mai puțin costisitoare decât primele. Roțile turnate se utilizează în construcția mașinilor agricole, a unor mașini de ridicat etc. Roțile ștanțate se întrebuințează la aparatele de măsurat, în ceasornicărie etc. Pentru angrenajele care necesită o precizie mai mare, se folosesc roțile dințate prelucrate cu ajutorul mașinilor-unelte.

Elementele care definesc dintele unei roți dințate (fig. 4.1) sînt următoarele:

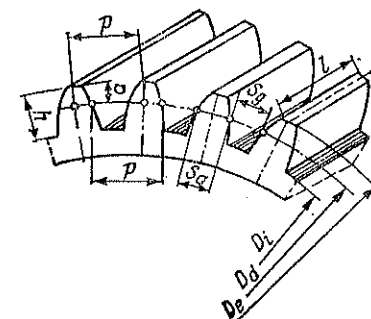


Fig. 4.1.

— *Capul dintelui* este partea dintelui situată la exteriorul cercului de divizare.

— *Înălțimea capului* a este distanța pe rază, între cercul de divizare și cercul exterior.

— *Piciorul dintelui* este partea dintelui situată între corpul roții și cercul de divizare.

— *Înălțimea piciorului* b este distanța pe rază, între cercul de divizare și cercul interior.

— *Oreștetul dintelui* este suprafața care mărginește dintele deasupra.

— *Rădăcina dintelui* este partea dintelui comună cu partea plină a roții.

— *Înălțimea sau adâncimea golului* $h = a + b$ este distanța măsurată pe rază între cercul exterior și cercul interior.

— *Grosimea dintelui* s_a este distanța dintre flancuri măsurată pe cercul de divizare (primitiv).

— *Lărgimea golului* s_g este distanța măsurată pe cercul de divizare (primitiv) între flancurile a doi dinți alăturați.

Între grosimea dintelui, lățimea golului și pas există relația

$$s_a + s_g = p.$$

Lungimea dintelui l al unei roți dințate, este distanța dintre suprafețele care limitează corpul dintelui (egală cu lățimea L a coroanei roții dințate în cazul dinților dreپti).

Dintre elementele geometrice ale angrenajelor se menționează:

— *Cercul exterior*, notat prin diametrul D_e , este cercul care mărginește dinții în exterior.

— *Cercul interior*, notat prin diametrul D_i , este cercul care mărginește fundul golurilor dintre dinții unei roți.

— *Cercul de divizare* (D_d) este un cerc convențional pe care se face împărțirea în dinți a roții (modulul, pasul). La angrenajele cu profil în evolută nedepășat cercul de divizare coincide cu cercul primitiv.

— *Linia centrelor* este linia dreaptă care unește axele a două roți dințate care angrenează.

— *Pasul* (sau *pasul circular*) p este distanța dintre flancurile de același sens a doi dinți alăturați ai roții, măsurată pe cercul de divizare (primitiv): $p = \pi D_d / z$, în care z este numărul de dinți ai roții dințate

— *Modulul* (sau *pasul diametral*) m este lungimea ce revine pe diametrul cercului de divizare (primitiv) pentru un dinte al roții. Numeric, modulul este egal cu raportul dintre diametrul de divizare (primitiv) și numărul de dinți $m = D_d / z$.

Modulul se măsoară în milimetri și este legat de pas prin relația: $m = p / \pi$.

Notații uzuale la angrenaje. La angrenaje se folosesc următoarele notații uzuale (fig. 4.2.):

$O_1 O_2$ — linia centrelor (dreapta care unește centrele O_1 și O_2 ale celor două roți care angrenează);

A — distanța dintre centre (axe) (lungimea segmentului de dreaptă cuprins între centre);

R_{d1}, R_{d2} } razele și diametrele cercurilor de divizare; pe aceste cercuri se măsoară pasul și unghiul de angrenare al roților, în cazul când roțile dințate au danturi deplasate;

R_{b1}, R_{b2} } razele și diametrele cercurilor de bază. Pe aceste cercuri se rostogolește linia generatoare pentru a obține profilul în evolută al dintelui;

R_{e1}, R_{e2} } razele și diametrele cercurilor exterioare;

R_{i1}, R_{i2} } razele și diametrele cercurilor interioare.

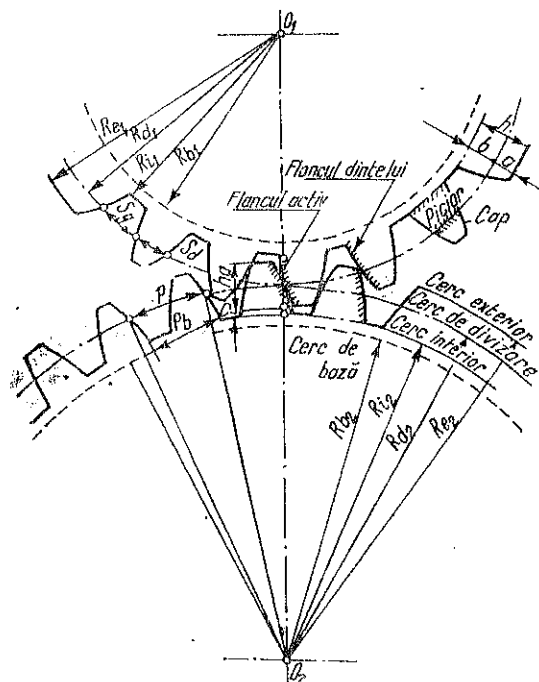


Fig. 4.2.

2. ANGRENAJE CILINDRICE

2.1. GENERALITĂȚI

Cele ce urmează se referă la angrenajele standardizate formate din roți dințate cu dantură în evolută. Profilul flancurilor dinților acestor roți dințate este deci o curbă care este o porțiune dintr-o evolută.

Pentru angrenajele cilindrice cu profil în evolută, *unghiul de angrenare* α este unghiul caracteristic al angrenării și reprezintă unghiul dintre linia de angrenare fixă $K_1 K_2$ și normala la linia centrelor O_1 și O_2 (fig. 4.3).

Linia de angrenare K_1K_2 reprezintă linia fixă față de linia centrelor O_1O_2 pe care se deplasează, în timpul angrenării, punctul de contact al profilelor conjugate.

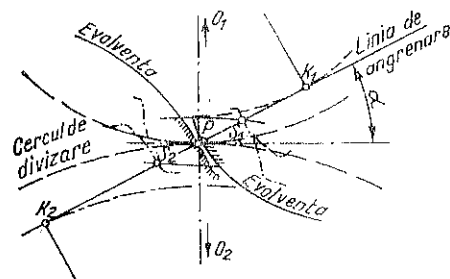


Fig. 4.3.

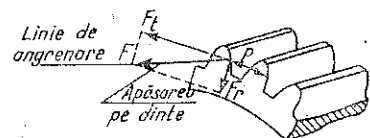


Fig. 4.4.

Apăsarea pe dinte F se exercită pe dinte în direcția liniei de angrenare și se descompune într-o componentă tangențială F_t , la cercul primitiv și o componentă radială F_r , (fig. 4.4).

Profilul de referință pentru roțile dințate cu același modul și unghi de angrenare α este profilul unei cremalieri de referință care angrenează corect cu toate roțile necorijate având același modul și unghi de angrenare.

Cremaliera de referință este o porțiune a unei roți dințate cilindrice cu diametrul infinit și cu număr infinit de dinți, al cărui profil servește ca bază pentru sistemul de angrenaje cu roți dințate cilindrice cu dinți dreپți sau înclinați, având profilul frontal în evolventă.

Cremaliera inversă este cremaliera generatoare, care prin rostogolire pe cercul de divizare al roții dințate generează dantura acestei roți.

Profilul cremalierii de referință este prezentat în fig. 4.5. În STAS 821-75 sînt stabilite caracteristicile cremalierii de referință pentru angrenajele cilindrice în evolventă (interioare sau exterioare), utilizate în industria de mașini de uz general și în industria de mașini grele, cu modulul cuprins între $1 \leq m \leq 50$. Înălțimea danturilor acestor angrenaje trebuie calculată pentru fiecare caz în parte.

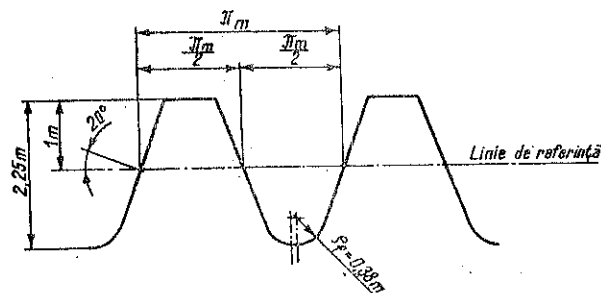


Fig. 4.5.

Profilul cremalierii de referință are următoarele caracteristici:

- flancuri rectilinii;
- unghiul de presiune de 20° ;
- înălțimea dintelui 2,25 m .

Capetele dinților sînt situate față de linia de referință la o distanță egală cu modulul. Grosimea dinților, măsurată pe această linie, este egală cu lățimea golului. Valoarea razei de racordare la fundul dintelui este de 0,38 m .

În cazul în care se consideră necesară flancarea profilului, aceasta trebuie să se realizeze de preferință prin flancarea capului (fig. 4.6).

Cremaliera de referință avînd raza de racordare standard de 0,38 m se notează: Cremalieră de referință STAS 821-75. În notarea cremalierii de referință cu raza de racordare diferită de 0,38 m se indică valoarea razei de racordare, iar în notarea cremalierii de referință flancate se adaugă litera F.

Exemplu de notare: Cremalieră de referință $\delta_r = 0,25 \cdot F$ STAS 821-75.

Jocul la fund al unui angrenaj nu trebuie să coincidă neapărat cu cel corespunzător cremalierii de referință; în unele cazuri se obține un joc la fund mai mare, depinzînd de tehnologia de generare a danturii (scula de danturare realizînd o tăiere mai adîncă decît valoarea nominală indicată).

Pentru profilul cremalierii de referință, valoarea maximă admisibilă a razei de racordare pentru un anumit joc la fund (c) se obține

$$\text{cu relația: } \rho_{f \max} = \frac{c}{1 - \sin \alpha}.$$

Gama modulilor standardizați pentru angrenajele cilindrice cu profilul în evolventă, angrenajele conice cu dinți dreپți sau înclinați și angrenajele melcate cu melc cilindric sînt indicate, după STAS 822-61, în tabela 4.1.

Modulii din coloana I sînt de preferat.

Tabela 4.1. Gama modulilor (STAS 822-61) (valori în mm)

| | | | | | | | | | | | | | | | |
|----|-------|------|------|------|------|------|------|------|------|------|------|-----|-----|-------|-------|
| I | 0,05 | 0,06 | 0,08 | 0,1 | 0,12 | 0,15 | 0,2 | 0,25 | 0,3 | 0,4 | 0,5 | 0,6 | 0,8 | 1 | 1,25 |
| II | 0,055 | 0,07 | 0,09 | 0,11 | 0,14 | 0,18 | 0,22 | 0,28 | 0,35 | 0,45 | 0,55 | 0,7 | 0,9 | 1,125 | 1,375 |
| I | 1,5 | 2 | 2,5 | 3 | 4 | 5 | 6 | 8 | 10 | 12 | 16 | 20 | 25 | 32 | 40 |
| II | 1,75 | 2,25 | 2,75 | 3,5 | 4,5 | 5,5 | 7 | 9 | 11 | 14 | 18 | 22 | 28 | 36 | 45 |

Observații. 1. Se admite folosirea modurilor 3,25 mm, 3,75 mm și 4,25 mm pentru construcția de automobile și a modulului 6,5 mm pentru construcția de tractoare. 2. În cazuri excepționale se admite folosirea modurilor 0,16 mm, 56 mm și 63 mm. 3. În STAS sînt prevăzute și moduli: 50; 55; 60; 70; 80; 90 și 100 mm, utilizați în industrie pentru construcții speciale.

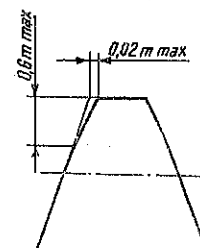


Fig. 4.6.

În cazul roților dințate cilindrice cu dinți înclinați în V, W etc., valorile din tabelă se referă la modulul normal al danturii; în cazuri excepționale se admite adoptarea acestor valori pentru modulul frontal al danturii.

În cazul roților dințate conice, valorile din tabelă se referă la modulul maxim al danturii.

În cazul angrenajelor melcate cu melc cilindric, valorile din tabelă se referă la modulul axial al melcului; în cazuri excepționale, se admite adoptarea acestor valori pentru modulul normal al melcului.

2.2. ANGRENAGE CILINDRICE CU DINȚI DREPTI

Roțile dințate cilindrice cu dinți drepti se execută, în general, cu dinți exteriori (fig. 4.7) și, uneori, cu dinți interiori. Aceste roți, fără corijare, se pot prelucra până la un anumit număr minim de dinți în funcție de cele trei valori admise pentru unghiul de angrenare α și anume:

$$z_{min} = 14 \text{ dinți, pentru } \alpha = 20^\circ;$$

$$z_{min} = 25 \text{ dinți, pentru } \alpha = 15^\circ;$$

$$z_{min} = 27 \text{ dinți, pentru } \alpha = 14^\circ 30'$$

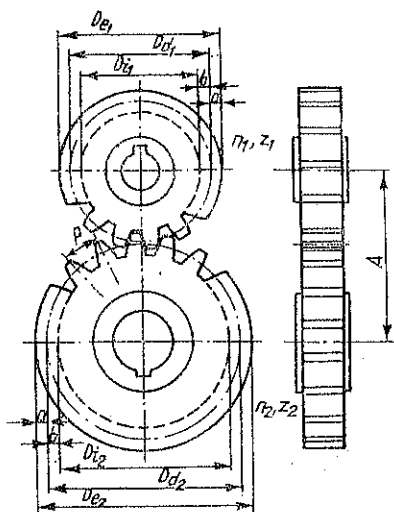


Fig. 4.7.

Pentru prelucrarea roților cu un număr mai mic de dinți, trebuie folosite scule speciale sau un anumit procedeu de lucru cu mașina la care se taie dinții. Formulele de calcul pentru angrenajele normale (necorijate) de roți dințate cilindrice cu dinți interiori drepti sînt date în tabela 4.2.

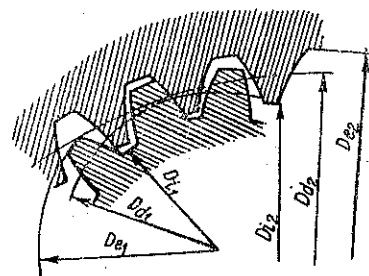


Fig. 4.8.

Tabela 4.2. Formule de calcul pentru angrenaje cilindrice cu dinți drepti cu profil în evaluată, normal

| Elemente căutate | | Formule de calcul | | | | | | |
|--|---------------------|--|------------------------------|---------------------|--|----------|-----------------|------------------|
| Turația roții conducătoare | n_1 | $i \cdot n_2; n_2 \cdot \frac{z_2}{z_1}$ | | | | | | |
| Turația roții conduse | n_2 | $\frac{n_1}{i}; n_1 \cdot \frac{z_1}{z_2}$ | | | | | | |
| Numărul de dinți ai roții conducătoare | z_1 | $\frac{z_2}{i}; z_2 \cdot \frac{n_2}{n_1}; \frac{D_{d1}}{m}; \frac{D_{e1} - 2m}{m}; \frac{\pi \cdot D_{d1}}{p}$ | | | | | | |
| Numărul de dinți ai roții conduse | z_2 | $i \cdot z_1; z_1 \cdot \frac{n_1}{n_2}; \frac{D_{d2}}{m}; \frac{D_{e2} - 2m}{m}; \frac{\pi \cdot D_{d2}}{p}$ | | | | | | |
| Raportul de transmitere | i | $\frac{n_1}{n_2}; \frac{z_1}{z_2}; \frac{D_{d1}}{D_{d2}}$ | | | | | | |
| Modulul (mm) | m | $\frac{p}{\pi}; \frac{D_g}{z+2}; \frac{D_d}{z}; \frac{D_e - D_d}{2}$ | | | | | | |
| Pasul (mm) | p | $\pi \cdot m; \frac{\pi \cdot D_d}{z}; \frac{\pi \cdot D_e}{z+2}; s_g + s_d; \frac{F_l}{b_1 \cdot c_r}; \frac{75P}{l \cdot v \cdot c_r}$ | | | | | | |
| Diametrele cercurilor exterioare (mm) | D_{e1}, D_{e2} | $m(z+2); D_d - 2m; \frac{p}{\pi} (z+2)$ | | | | | | |
| Diametrele cercurilor de divizare (mm) | D_{d1}, D_{d2} | $D_e - 2m; m \cdot z; \frac{p}{\pi} \cdot z$ | | | | | | |
| Înălțimea dintelui (adîncimea golului), (mm) | h | $a + b; 2m + c$ | | | | | | |
| Înălțimea capului dintelui (mm) | a | $m; \frac{p}{\pi}$ | | | | | | |
| Înălțimea piciorului dintelui (mm) | b | $m + c$ | | | | | | |
| Jocul la flancuri (mm) | j | $\begin{cases} p/20 \text{ la dinți turnați} \\ p/40 \text{ la dinți prelucrați} \\ p/80 \text{ la dinți rectificați} \end{cases}$ | | | | | | |
| Jocul la fund (mm) | c | $= (0,2 \dots 0,3) m$ | | | | | | |
| Lungimea dintelui (mm) | | <table border="1"> <thead> <tr> <th>Angrenaje pentru puteri mici</th> <th>Angrenaje obișnuite</th> <th>Angrenaje pentru puteri și viteze mari</th> </tr> </thead> <tbody> <tr> <td>$2p; 6m$</td> <td>$2p-3p; 6m-10m$</td> <td>$3p-5p; 10m-15m$</td> </tr> </tbody> </table> | Angrenaje pentru puteri mici | Angrenaje obișnuite | Angrenaje pentru puteri și viteze mari | $2p; 6m$ | $2p-3p; 6m-10m$ | $3p-5p; 10m-15m$ |
| Angrenaje pentru puteri mici | Angrenaje obișnuite | Angrenaje pentru puteri și viteze mari | | | | | | |
| $2p; 6m$ | $2p-3p; 6m-10m$ | $3p-5p; 10m-15m$ | | | | | | |

Tabela 4.2 (continuare)

| Elemente căutate | | Formule de calcul |
|---|-----------|---|
| Grosimea dintelui (pe cercul de divizare (mm) | s_d | $\frac{p}{2}; \frac{\pi \cdot m}{2}$ |
| Lărgimea golului (pe cercul de divizare), (mm) | s_g | $\frac{p}{2}; \frac{\pi \cdot m}{2}$ |
| Unghiul de angrenare | α | 20° |
| Unghiul flancurilor | 2α | 40° |
| Lăţimea coroanei $l = L$ (mm) | L | Minimum 1,6 m |
| Distanţa între axe (centrele) roţilor (mm) | A | $m \cdot \frac{z_1 + z_2}{2}; \frac{D_{d1} + D_{d2}}{2}$ |
| Viteza tangenţială pe cercul de divizare (m/s) | v | $\frac{\pi D_d \cdot n}{60 \cdot 100} (D_d \text{ în cm})$ |
| Componenta tangenţială la cercul de divizare a presiunii pe dinţi (kgf) | F_t | $\frac{75 P \cdot 75}{v} \approx \frac{143 200 \cdot P}{\frac{\pi \cdot D_d}{(l, p \text{ şi } D_d \text{ în cm})}}; c_r \cdot l \cdot p$ |
| Puterea transmisă prin roata conducătoare (CP) | P_1 | $\frac{F_t \cdot v}{75}; \frac{P_2}{\eta}$ |
| Puterea transmisă prin roata condusă (CP) | P_2 | $P_1 \cdot \eta$ |
| Coefficientul de solicitare a materialului (kgf/cm ²) | c_r | v. tabela 4.6 |
| Randamentul transmisiei | η | $\frac{P_2}{P_1}$ |

Pentru angrenajele cilindrice cu dinţi interiori dreپتی (fig. 4.8) se folosesc aceleaşi formule. Piciorul dintelui $b = 1,25m$, iar distanţa între axe este: $A = \frac{D_{d2} - D_{d1}}{2} = \frac{z_2 - z_1}{2} m$.

Angrenarea în acest caz este posibilă numai cînd $z_2 - z_1 \geq 8$.

Exemple pentru calculul angrenajelor cilindrice cu dinţi dreپتی

1. O roată cu 40 dinţi cu modulul 3 trebuie să angreneze o roată cu 50 dinţi. Să se determine D_e , D_d , A şi h .

$D_d = zm = 40 \times 3 = 120 \text{ mm}$; $D_e = (z + 2)m = (40 + 2)3 = 126 \text{ mm}$;

$p = m\pi = 3\pi = 9,42 \text{ mm}$; $h = 2m + c = 2 \times 3 + 0,2 \times 3 = 6,6 \text{ mm}$;

$$A = \frac{z_1 + z_2}{2} m = \frac{40 + 50}{2} 3 = 135 \text{ mm}.$$

2. Să se calculeze modulul şi pasul unei roţi cu 24 dinţi şi cu diametrul exterior de 260 mm.

$$\text{Modulul } m = \frac{D_e}{z + 2} = \frac{260}{24 + 2} = 10 \text{ mm}.$$

Pasul măsurat pe diametrul primitiv este $p = m\pi = 10 \times 3,14 = 31,4 \text{ mm}$.

În tabela 4.3 sînt date valorile coeficientului c_r al materialului pentru roţi dinţate cilindrice şi conice cu dinţi prelucraţi.

Tabela 4.3. Coeficient de solicitare a materialului c_r , kgf/cm² (v. tabelele 4.5 şi 4.6)

| Material | Viteza periferică v , în m/s | | | | | | | | | | | | | | |
|--|--------------------------------|-----|-----|-----|-----|-----|-----|-----|-----|-----|-----|----|----|---------|--|
| | 0,25 | 0,5 | 1 | 2 | 3 | 4 | 5 | 6 | 7 | 8 | 9 | 10 | 11 | 12...15 | |
| Fontă | 28 | 27 | 26 | 23 | 21 | 19 | 18 | 17 | 16 | 14 | 13 | 12 | 11 | 10 | |
| Oțel turnat | 56 | 54 | 52 | 46 | 42 | 38 | 36 | 34 | 32 | 28 | 26 | 24 | 22 | 20 | |
| Oțel forjat | 84 | 81 | 78 | 69 | 63 | 57 | 54 | 51 | 48 | 42 | 39 | 36 | 33 | 30 | |
| Bronz fosforos | 48 | 46 | 44 | 39 | 36 | 32 | 31 | 29 | 27 | 24 | 22 | 20 | 19 | 17 | |
| Bronz | 36 | 35 | 34 | 30 | 27 | 25 | 23 | 22 | 21 | 18 | 17 | 16 | 14 | 13 | |
| Oțel cu nichel | 168 | 162 | 156 | 138 | 126 | 114 | 108 | 102 | 96 | 84 | 78 | 72 | 66 | 60 | |
| Roți din oțel crom-nichel călit în ulei | 224 | 216 | 208 | 184 | 168 | 152 | 144 | 136 | 128 | 112 | 104 | 96 | 88 | 80 | |
| Fibră Vulkan | 9 | 8 | 8 | 7 | 7 | 6 | 6 | 5 | 5 | 4 | 4 | 4 | 4 | 3 | |

2.3. ANGRENAGE CILINDRICE CU DINŢI ÎNCLINAŢI

Angrenajele cilindrice cu dinţi înclinaţi pot fi cu axe paralele sau cu axe încrucişate sub un unghi δ , cînd se mai numesc şi *angrenaje elicoidale*. În primul caz, flancurile dinţilor sînt înclinate cu acelaşi unghi β (fig. 4.9, a) faţă de axe paralele ale roţilor, însă cu sensuri diferite: la roţile elicoidale flancurile dinţilor sînt înclinate cu unghiurile β_1 şi β_2 (fig. 4.9, b) astfel că $\beta_1 + \beta_2 = \delta$; în acest caz, înclinarea dinţilor are acelaşi sens, adică ambele roţi au dinţii înclinaţi fie spre dreapta, fie spre stînga.

În calculul roţilor cilindrice cu dinţi înclinaţi intervin noi elemente ca: pas normal, pas aparent, modul aparent etc. (fig. 4.9, a şi 4.10).

Pasul normal p_n — sau *pasul dinţilor* este distanţa dintre axe ale doi dinţi alăturaţi, măsurată într-un plan perpendicular pe axa roţilor.

Pasul aparent p_a — este distanța dintre doi dinți alăturați, măsurată într-un plan perpendicular pe axa roții; valoarea acestuia este dată de raportul dintre pasul normal p_n și cosinusul unghiului β (de

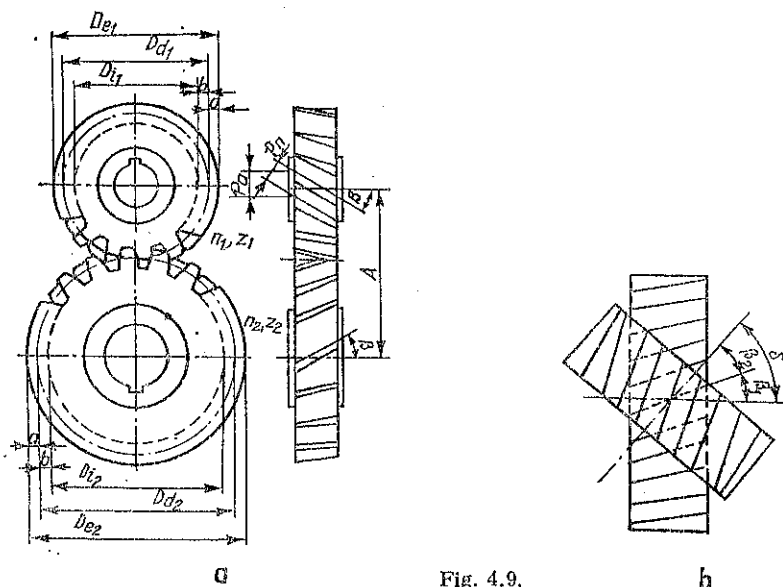


Fig. 4.9.

înclinare a elicei) pe care-l fac dinții cu axa roții, sau raportul dintre circumferința primitivă și numărul de dinți :

$$p_a = \frac{p_n}{\cos \beta} = \frac{\pi D_a}{z}$$

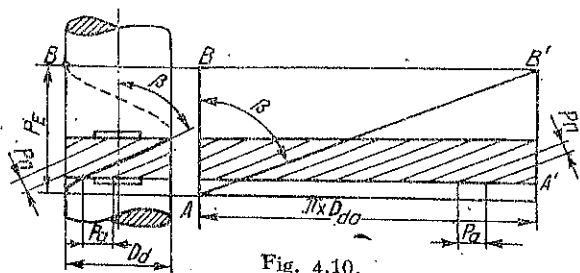


Fig. 4.10.

$$m_n = \frac{p_n}{\pi} = \frac{p_a \cdot \cos \beta}{\pi} = m_a \cdot \cos \beta.$$

În cazul angrenajului elicoidal, fiecare roată are un pas aparent diferit: $p_{a1} = \frac{p_n}{\cos \beta_1}$ și $p_{a2} = \frac{p_n}{\cos \beta_2}$.

Modulul normal m_n este raportul dintre pasul normal și π ;

Modul normal este același pentru roțile unui angrenaj elicoidal în timp ce modulul aparent variază pentru fiecare roată dințată după valorile unghiurilor β_1 și β_2 .

Modulul aparent m_a este raportul dintre modulul normal m_n și cosinusul unghiului β : $m_a = \frac{m_n}{\cos \beta}$.

În cazul angrenajului elicoidal modulele aparente ale roților au valori diferite pentru același modul normal m_n :

$$m_{a1} = \frac{m_n}{\cos \beta_1} \text{ și } m_{a2} = \frac{m_n}{\cos \beta_2}.$$

Pasul elicei P_E se calculează cu formula: $P_E = \frac{\pi D_a}{\tan \beta}$.

La angrenajul elicoidal, roata conducătoare și roata condusă au pentru pasul elicei valori diferite:

$$P_{E1} = \frac{D_{a1}}{\tan \beta_1} \text{ și } P_{E2} = \frac{D_{a2}}{\tan \beta_2}.$$

Înclinarea elicei se obține din relația: $\tan \beta = \frac{\pi D_a}{P_E}$.

La angrenajul elicoidal, se folosesc relațiile:

$$\tan \beta_1 = \pi D_{a1} / P_{E1} \text{ și } \tan \beta_2 = \pi D_{a2} / P_{E2}.$$

Numărul minim de dinți z_{min} . La roțile cu dinți înclinați, numărul minim de dinți este dat de următoarele relații:

$$z_{min} = 14 \cos^3 \beta \text{ pentru unghiul de angrenare } \alpha = 20^\circ;$$

$$z_{min} = 25 \cos^3 \beta \text{ pentru unghiul de angrenare } \alpha = 15^\circ;$$

$$z_{min} = 27 \cos^3 \beta \text{ pentru unghiul de angrenare } \alpha = 14^\circ 30'.$$

Forța de apăsare pe dinți F . La angrenajele cu dinți înclinați (axele roților paralele) ca și la angrenajele elicoidale (axele roților întretăiate sub un unghi δ), componentele forței F de apăsare pe dinți se descompun astfel cum se indică în figura 4.11, dacă nu se ține seama de frecare.

În cazul roților înclinate, componentele lui F sînt:

$$F_n \text{ și } F_a = F_n \cdot \tan \beta.$$

În cazul roților elicoidale, componentele lui F au valorile:

$$F_{a1} = F_1 \cdot \tan(\beta_1 - \rho); F_{a2} = F_2 \cdot \tan(\beta_2 - \rho),$$

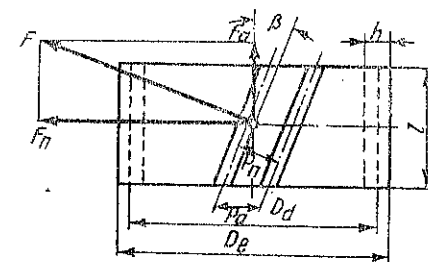


Fig. 4.11.

în care ρ este unghiul de frecare, legat de coeficientul de frecare μ prin relația: $\mu = \operatorname{tg} \rho$.

Viteze de alunecare. Când axele roților dințate ale angrenajului elicoidal se intersectează sub un unghi δ , se naște o viteză de alunecare v_a între suprafețele de contact ale dinților.

Valoarea vitezei de alunecare este:

$$v_a = \frac{v_1}{\cos \beta_2} \sin \delta = \frac{v_2}{\cos \beta_1} \sin \delta;$$

pentru $\delta = 90^\circ$, se obține: $v_a = \frac{v_1}{\cos \beta_2} = \frac{v_1}{\sin \beta_1} = \frac{v_2}{\sin \beta_2}$,

în care: v_1 este viteza periferică a roții conducătoare;

v_2 — viteza periferică a roții conduse.

La roțile cu dinți înclinați, cu axele paralele, valoarea vitezei de alunecare este nulă.

Unghiul de înclinare a dinților. Angrenajele cilindrice elicoidale se pot executa cu următoarele caracteristici:

— diametrele primitive egale și unghiurile de înclinare ale dinților diferite;

— diametrele primitive diferite și unghiurile de înclinare ale dinților diferite;

— diametrele primitive diferite și unghiurile de înclinare ale dinților egale.

În tabela 4.4 sînt date valorile în grade ale înclinării dinților la angrenajele elicoidale, când $\delta = 90^\circ$, în funcție de raportul de transmitere i al roților conducătoare și conduse.

Se ia totdeauna $\beta_1 > \beta_2$, deoarece randamentul angrenajului este mai mare decît în cazul cînd $\beta_1 < \beta_2$.

În tabela 4.5 sînt date formulele de calcul pentru angrenajele cilindrice elicoidale. Aceste formule rămîn valabile și pentru roțile cilin-

Tabela 4.4. Unghiurile de înclinare β_1 și β_2 în funcție de raportul de transmitere la angrenaje elicoidale cu unghiul $\delta = 90^\circ$

| Raportul de transmitere $i = \frac{n_1}{n_2} = \frac{z_2}{z_1} = \frac{D_{d2} \cos \beta_2}{D_{d1} \cos \beta_1}$ | Unghiul de înclinare a dinților | |
|--|---------------------------------|----------------------------|
| | la roata conducătoare β_1 | la roata condusă β_2 |
| 1:1 | 45° | 45° |
| 1 $\frac{1}{2}$:1 | 56°19' | 33°45' |
| 2:1 | 63°26' | 26°34' |
| 2 $\frac{1}{2}$:1 | 68°12' | 21°48' |
| 3:1 | 71°34' | 18°26' |
| 3 $\frac{1}{2}$:1 | 74°3' | 15°57' |
| 4:1 | 75°58' | 14°3' |
| 4 $\frac{1}{2}$:1 | 77°28' | 12°32' |
| 5:1 | 78°41' | 11°19' |

Tabela 4.5. Formule de calcul pentru angrenajele cilindrice elicoidale cu profil în evlventă, normal

| Elementele căutate | | Formule pentru rezolvare |
|---|----------|--|
| Turația roții conducătoare | n_1 | $i \cdot n_2; n_2 \cdot \frac{z_2}{z_1}$ |
| Turația roții conduse | n_2 | $\frac{n_1}{i}; n_1 \cdot \frac{z_1}{z_2}$ |
| Numărul de dinți al roții conducătoare | z_1 | $\frac{z_2}{i}; z_2 \cdot \frac{n_2}{n_1}; \frac{D_{d1}}{m_{a1}}$ |
| Numărul de dinți al roții conduse | z_2 | $i \cdot z_1; z_1 \cdot \frac{n_1}{n_2}; \frac{D_{d2}}{m_{a2}}$ |
| Raportul de transmitere | i | $\frac{n_1}{n_2}; \frac{z_2}{z_1}; \frac{D_{d2} \cos \beta_2}{D_{d1} \cos \beta_1}$ |
| Modulul normal, mm | m_n | $\frac{p_n}{\pi}; m_{a1} \cos \beta_1; m_{a2} \cos \beta_2; \frac{D_{d1}}{z_1} \cos \beta_1;$ $\frac{D_{d2}}{z_2} \cos \beta_2$ |
| Modulul aparent al roții conducătoare, mm | m_{a1} | $\frac{m_n}{\cos \beta_1}; \frac{p_{a1}}{\pi}$ |
| Modulul aparent al roții conduse, mm | m_{a2} | $\frac{m_n}{\cos \beta_2}; \frac{p_{a2}}{\pi}$ |
| Pasul normal, mm | p_n | $m_n \pi; p_{a1} \cos \beta_1; p_{a2} \cos \beta_2$ |
| Pasul aparent al roții conducătoare, mm | p_{a1} | $m_{a1} \pi; \frac{p_n}{\cos \beta_1}$ |
| Pasul aparent al roții conduse, mm | p_{a2} | $m_{a2} \pi; \frac{p_n}{\cos \beta_2}$ |
| Diametrul de divizare al roții conducătoare, mm | D_{d1} | $m_{a1} z_1; \frac{m_n \cdot z_1}{\cos \beta_1}; \frac{p_{a1} z_1}{\pi}$ |
| Diametrul de divizare al roții conduse, mm | D_{d2} | $m_{a2} z_2; \frac{m_n \cdot z_2}{\cos \beta_2}; \frac{p_{a2} z_2}{\pi}$ |
| Diametrul exterior al roții conducătoare, mm | D_{e1} | $D_{d1} + 2m_n$ |
| Diametrul exterior al roții conduse, mm | D_{e2} | $D_{d2} + m_n$ |
| Înălțimea dintelui, mm | h | $a + b; 2 \frac{1}{6} m_n$ |

Tabela 4.5 (continuare)

| Elementele căutate | | Formule pentru rezolvare |
|--|------------|--|
| Înălțimea capului dintelui, mm | a | $m_n; \frac{P_n}{\pi}$ |
| Înălțimea piciorului dintelui, mm | b | $a + c; m_n + c; 1 \frac{1}{6} m_n$ |
| Jocul la fund, mm | c | $\frac{1}{6} m_n$ |
| Lungimea dintelui, mm | l | cira 10 m sau 3 p |
| Distanța între axe (centrele) roților, mm | A | $\frac{1}{2} (D_{d1} + D_{d2})$ |
| Unghiul de întretăiere a axelor, grade | δ | $\beta_1 + \beta_2$ |
| Unghiul de angrenare, grade | α | 20° |
| Unghiul de înclinare a elicei la roata conducătoare, grade | β_1 | $\beta_1 \geq \beta_2$ |
| Unghiul de înclinare a elicei la roata condusă, grade | β_2 | $\beta_2 \leq \beta_1$ |
| Unghiul de pantă a elicei la roata conducătoare, grade | γ_1 | $90^\circ - \beta_1$ |
| Unghiul de pantă a elicei la roata condusă, grade | γ_2 | $90^\circ - \beta_2$ |
| Viteza periferică pe cercul de divizare m/s | v | $\frac{\pi D_d n}{60 \cdot 000}$ |
| Viteza de alunecare, m/s | v_a | $\frac{v_1}{\cos \beta_2} \cdot \sin (\beta_1 + \beta_2); \frac{v_2}{\cos \beta_2} \cdot \sin (\beta_1 + \beta_2)$ |
| Componenta P_1 pentru roata conducătoare, kgf | F_1 | $\frac{75 P}{v_1}; c_r \cdot l \cdot p_n (l \text{ și } p_n \text{ în cm})$ |
| Componenta F_2 pentru roata condusă, kgf | F_2 | $\frac{75 P_1}{v_2}$ |
| Puterea transmisă prin roata conducătoare, CP | P_1 | $\frac{P_1 \cdot 75}{v_1}; \frac{F_2}{\eta}$ |
| Puterea transmisă prin roata condusă, CP | P_2 | $\frac{F_2 \cdot v_2}{75}; \eta \cdot P_1$ |

Tabela 4.5 (continuare)

| Elementele căutate | | Formule pentru rezolvare |
|---|----------|--|
| Împingerea axială la roata conducătoare, kgf | F_{a1} | $F_1 \cdot \operatorname{tg} \beta_1$ pentru $\delta = 0$; astfel, $F_1 \cdot \operatorname{tg} (\beta_1 - \rho)$ |
| Împingerea axială la roata condusă, kgf | F_{a2} | $F_2 \cdot \operatorname{tg} \beta_2$ pentru $\delta = 0$; astfel, $F_2 \operatorname{tg} (\beta_2 - \rho)$ |
| Coefficientul de frecare | μ | $\operatorname{tg} \rho; \mu \approx 0,1$ pentru o ungere bună |
| Unghiul de frecare, grade | ρ | $\rho = 5^\circ 45'$ |
| Coefficientul de solicitare a materialului, kgf/cm ² | c_r | v. tabela 4.6 |
| Randamentul de angrenare | η_a | $\frac{1 - \mu \cdot \operatorname{tg} \beta_2}{1 + \mu \cdot \operatorname{tg} \beta_1}; \frac{\cos \beta_1 \cos (\beta_2 + \rho)}{\cos \beta_2 \cos (\beta_1 - \rho)}$ |
| Randamentul total al transmisiei | η | $0,92 \dots 0,96 \eta_n$ |

drice cu dinți înclinați și axele roților paralele, cu observația că $\beta_1 = \beta_2 = \beta$ (v. fig. 5.24, a)

Pentru angrenajele cu axele paralele, valorile c , sînt indicate la angrenajele cu roți dințate cilindrice; pentru angrenajele ale căror axe se intersectează, roata conducătoare fiind de oțel și roata condusă de bronz, valorile lui c , sînt indicate în tabela 4.6.

Dacă ambele roți ale angrenajului sînt din fontă, valorile lui c_r , vor fi 6/10 din cele indicate în tabela 4.6.

Tabela 4.6. Valorile coeficientului c_r

| v_a , m/s | 1 | 2 | 3 | 4 | 5 | 6 | 7 | 8 |
|---------------------------------------|----|----|----|----|----|---|---|---|
| c_r , kgf/cm ² | 22 | 17 | 14 | 12 | 10 | 9 | 8 | 7 |

Exemple numerice 1. Axe paralele. Să se determine elementele principale ale unui angrenaj cilindric cu dinți înclinați și axele roților paralele, cunoscînd: materialul roților — fontă, puterea transmisă prin roata conducătoare $P_1 = 10$ CP, turația $n_1 = 120$ rot/min, raportul de transmitere $i = 2:1$, diametrul de divizare $D_{d1} \approx 300$ mm și unghiul de înclinare a dinților $\beta_1 = -\beta_2 = 15^\circ, \delta = 0^\circ$.

$$v_1 \approx \frac{D_{d1} n_1}{60 \cdot 000} = \frac{3,14 \cdot 300 \cdot 120}{60 \cdot 000} = 1,9 \text{ m/s}; F_1 = \frac{75 P_1}{v_1} = \frac{75 \cdot 10}{1,9} = 395 \text{ kgf.}$$

Introducînd valorile $l = 10 m_n, p_n = \pi m_n$ și $c_r = 23$ kgf/cm² (v. tabela 4.3) în relația $P_1 = l c_r p_n = 395$, se obține $P_1 = 23 \cdot 10 \cdot 3,14 \cdot m^2 = 395$.

Din această relație se deduce: $m_n = \sqrt{\frac{395}{23 \cdot 10 \cdot 3,14}} = 0,738 \text{ cm}$.

Din seria modulelor standardizate (tabela 4.1) se ia $m_n = 8 \text{ mm}$. Rezultă:

$$h = 2 \frac{1}{6} m_n = 17,3 \text{ mm}; a = m_n = 8 \text{ mm}; b = 1 \frac{1}{6} m_n = 9,3 \text{ mm}.$$

Cu ajutorul modulului aparent rezultat din relația

$$m_{a1} = \frac{m_n}{\cos \beta_1} = \frac{8}{\cos 15^\circ} = 8,3 \text{ mm}$$

se calculează: $z_1 = \frac{D_{d1}}{m_{a1}} = \frac{300}{8,3} = 36,14 \approx 37$ dinți.

Diametrul de divizare corectat va fi deci $D_{d1} = m_{a1} \cdot z_1 = 8,3 \cdot 37 = 307,1 \text{ mm}$, cu care se poate calcula $D_{e1} = D_{d1} + 2m = 307,1 + 2 \cdot 8 = 323,1 \text{ mm}$.

Elementele roții dințate conduse sînt:

$$z_2 = iz_1 = 2 \cdot 37 = 74 \text{ dinți}; n_2 = n_1/i = 120/2 = 60 \text{ rot/min};$$

$$m_{a2} = m_n/\cos \beta_2 = 8/\cos 15^\circ = 8,3 \text{ mm}; D_{d2} = m_{a2} \cdot z_2 = 8,3 \cdot 74 = 614,2 \text{ mm};$$

$$D_{e2} = D_{d2} + 2m_n = 614,2 + 2 \cdot 8 = 630,2 \text{ mm}; r_a = (1 - \mu \cdot \lg \beta_2)/(1 + \mu \cdot \lg \beta_1) = 1/1 = 100\%.$$

deoarece $\beta_1 = -\beta_2$. Rezultă

$$\eta = 0,92 \dots 0,96 \quad r_v \approx 94\% \text{ cind ungerea este perfectă iar } P_2 = r_v P_1 = 0,94 \cdot 10 = 9,4 \text{ CP.}$$

$$\text{Viteza corectă } v_1 = \frac{\pi D_{d1} n_1}{60 \cdot 1000} = \frac{3,14 \cdot 307,1 \cdot 120}{60 \cdot 1000} = 1,93 \text{ m/s.}$$

Componenta P_1 corectată $P_1 = 75 P_1/v_1 = 75 \cdot 10 : 1,93 = 388 \text{ kgf}$.

Împingerea axială va fi $F_{a1} = F_{a2} = F_1 \cdot \lg \beta_1 = 388 \lg 15^\circ = 104 \text{ kgf}$.

2. *Axe perpendiculare.* Să se determine elementele principale ale unui angrenaj elicoidal cu axele roților perpendiculare, adică $\delta = 90^\circ$, cunoscînd că roata conducătoare este din oțel roata condusă din bronz, $P_1 = 3 \text{ CP}$, $n_1 = 350 \text{ rot/min}$ și $i = 2:1$.

Pentru exemplificare, se ia: $\beta_1 = \beta_2 = \delta/2 = 45^\circ$; rezultă

$$i = \frac{D_{d2} \cdot \cos \beta_2}{D_{d1} \cdot \cos \beta_1} = \frac{D_{d2} \cdot \cos \beta}{D_{d1} \cdot \cos \beta} = \frac{D_{d2}}{D_{d1}}, \text{ iar } v_1 = v_2 \text{ sau } v_1 = \frac{D_{d1} \cdot \pi \cdot n_1}{60 \cdot 1000}$$

Considerînd $D_{d1} \approx 200 \text{ mm}$, rezultă că:

$$v_1 \approx \frac{200 \cdot \pi \cdot 350}{60 \cdot 1000} = 3,66 \text{ m/s}; F_1 \approx \frac{75 P_1}{v_1} = \frac{75 \cdot 3}{3,66} = 61,5 \text{ kgf.}$$

Introducînd valorile: $i \approx 10$ (m_n ales), $p_n = \pi m_n$ și $c_r = 10 \text{ kgf/cm}^2$ (pentru oțel pe bronz) în relația: $F_1 = c_r l p_n$, se obține:

$$m_n = \sqrt{\frac{F_1}{10 \pi c_r}} = \sqrt{\frac{61,5}{10 \cdot 3,14 \cdot 10}} = 0,442 \approx 4,5 \text{ mm},$$

care este un modul standardizat (v. tabela 5.62). $m_n = m = 4,5 \text{ mm}$.

În acest caz $m_{a1} = m_n/\cos \beta_1 = 4,5/0,707 = 6,28 \text{ mm}$ și $m_{a2} = m_n/\cos \beta_2 = 6,28 \text{ mm}$. Celelalte elemente se deduc astfel:

$$z_1 = \frac{D_{d1}}{m_{a1}} = \frac{200}{6,28} = 31,8 = 32 \text{ dinți}; D_{d1} (\text{corectat}) = m_{a1} z_1 = 6,28 \cdot 32 = 201 \text{ mm};$$

$D_{e1} = D_{d1} + 2m_n = 201 + 2 \cdot 4,5 = 210 \text{ mm}; D_{d2} = i D_{d1} = 2 \cdot 201 = 402 \text{ mm}; D_{e2} = 411 \text{ mm}$. Celelalte elemente se calculează ca în exemplul precedent.

În cazul cînd elementele geometrice ale roților dințate cilindrice cu dinți înclinați se stabilesc în raport cu cercul de divizare, pasul și modulul se definesc conform indicațiilor date în tabela 4.7 și

fig. 4.12, *a* iar unghiurile de înclinare a dintelui și elicei dintelui conform indicațiilor date în tabela 4.8 și fig. 4.12, *b*. Definițiile celorlalte elemente geometrice se găsesc în STAS 6522-62.

La angrenajele cilindrice indicarea elementelor danturii pe desen este cuprinsă în STAS 5013-74, iar toleranțele în STAS 6273-60.

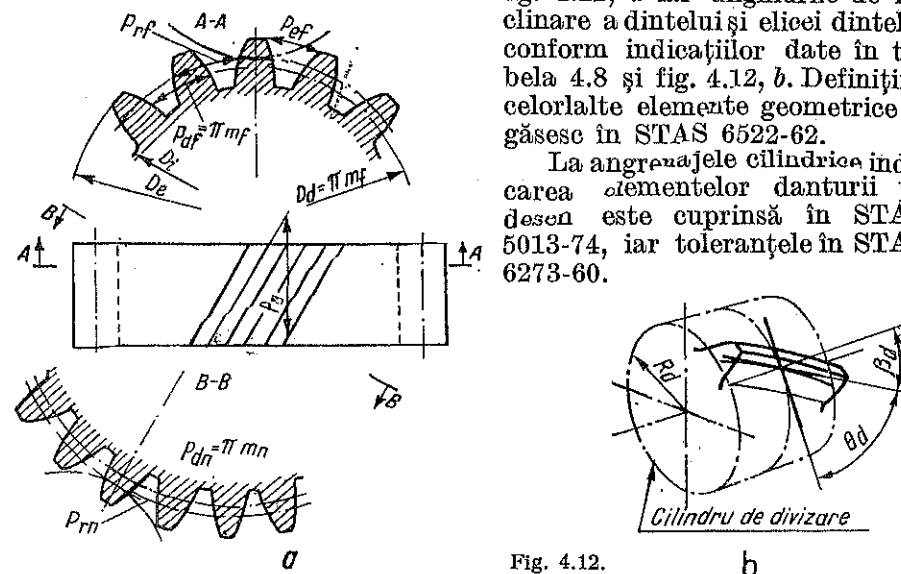


Fig. 4.12.

Tabela 4.7. Pasul și modulul roților dințate cilindrice cu dinți înclinați cu profil în evolută, normal

| Termen | Simbol | Definiție |
|----------------------------|----------|---|
| Pas frontal | p_{df} | Pasul frontal măsurat pe cercul de divizare ($d_{df} = \pi D_d/z$) |
| Pas normal | p_{dn} | Pasul normal măsurat pe cilindrul de divizare ($p_{dn} = p_{df} \cos \beta_d$) |
| Pas axial | p_a | Distanța dintre două flancuri omologe consecutive măsurată pe generatoarea cilindrului de divizare ($p_a = p_{df} \lg \beta_d$) |
| Pasul elicei | P_E | Produsul dintre numărul de dinți și pasul axial ($E = z \cdot p_a$) |
| Pas de rostogolire frontal | p_{rf} | Lungimea arcului de cerc măsurat pe cercul de rostogolire |
| Pas de rostogolire normal | p_{rn} | Lungimea arcului de elice ortogonală liniei de rostogolire a flancului |

Tabela 4.7 (continuare)

| Termen | Simbol | Definiție |
|-----------------------|----------|---|
| Pas unghiular frontal | χ_f | Mărimea unghiului la centru corespunzător pasului frontal ($\chi_f = 2\pi/z = 360^\circ/z$) |
| Modulul frontal | m_f | Raportul dintre pasul frontal și numărul π ($m_o = p_{df}/\pi$) sau raportul dintre diametrul de divizare și numărul de dinți ($m_f = D_d/z$) |
| Modulul normal | m_n | Raportul dintre pasul normal și numărul π ($m_n = p_{dn}/\pi$) |

Tabela 4.8. Unghiul de înclinare a dintelui și unghiul elicei dintelui la roțile dințate cilindrice cu dinți înclinați

| Termen | Simbol | Definiție |
|---------------------------------|------------|---|
| Unghiul de înclinare a dintelui | β_d | Unghiul de înclinare a dintelui pe cilindrul de divizare |
| Unghiul elicei dintelui | θ_d | Unghiul elicei pe cilindrul de divizare $\theta_d = 90^\circ - \beta_d$ |

2.4. TĂIEREA DINȚILOR LA ANGRENACHELE CILINDRICE

1. *Tăierea dinților la roțile cilindrice cu dinții drepți* se execută prin două metode principale și anume: *metoda prin copiere și metoda prin rostogolire (rulare)*.

— *Metoda prin copiere* se bazează pe utilizarea la tăierea dinților a unei scule profilate, al cărei tăiș are aceeași formă cu golul dintre dinții roții dințate; așchieria se face de obicei la mașinile de frezat, cu ajutorul frezelor modul, disc sau deget și uneori la mașini de mortezat cu ajutorul capetelor profil de tăiat dinți.

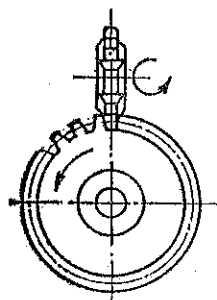


Fig. 4.13.

Frezele modul execută prelucrarea dinte cu dinte (fig. 4.13), efectuând în timpul așchierii o mișcare de rotație în jurul axei lor și o mișcare de avans paralelă cu axa roților dințate. Cu toate că forma golului este diferită pentru roți cu un număr de dinți diferit, totuși, cu o freză, corespunzătoare unui anumit număr de dinți, se pot tăia dinții unei roți cu număr mai mare de dinți cu același pas; aceasta este posibil din cauza diferenței mici de profil. În acest mod

se poate executa orice număr de dinți de la 12 în sus, cu o serie de 8 freze pînă la modulul 8 inclusiv (tabela 4.9) și cu o serie de 15 freze pentru modulele 9–16 (tabela 4.10).

Tabela 4.9. Seria de 8 freze modul

| Freza nr.: | 1 | 2 | 4 | 3 | 5 | 6 | 7 | 8 |
|------------------|-------|-------|-------|-------|-------|-------|--------|------------------------|
| Numărul dinților | 12–13 | 14–16 | 17–20 | 21–25 | 26–34 | 35–54 | 55–134 | 135 pînă la cremalieră |

Tabela 4.10. Seria de 15 freze modul

| Freza nr.: | 1 | 1 1/2 | 2 | 2 1/2 | 3 | 3 1/2 | 4 | 4 1/2 |
|------------------|-------|-------|-------|-------|-------|--------|------------------------|-------|
| Numărul dinților | 12 | 13 | 14 | 15–16 | 17–18 | 19–20 | 21–22 | 23–25 |
| Freza nr.: | 5 | 5 1/2 | 6 | 6 1/2 | 7 | 7 1/2 | 8 | |
| Numărul dinților | 26–29 | 30–34 | 35–41 | 42–54 | 55–79 | 80–134 | 135 pînă la cremalieră | |

Cu cît modulul roții dințate este mai mare, cu atît abaterile rezultate din reunirea mai multor numere de dinți într-o singură grupă vor fi mai mari. De aceea, numărul de dinți se împarte în 15 grupe în loc de 8, iar pentru roțile dințate mai precise și cu module foarte mari, chiar în 26 grupe.

La determinarea profilului frezei cu care se prelucrează, de exemplu roțile dințate cu 21–25 dinți (freza nr. 4 din seria de 8 buc.), se ia numărul minim de dinți.

— *Metoda prin rostogolire* se bazează pe formarea dinților în urma mișcării relative a sculei (freză melc, pieptene de tăiat dinți, roată cuțit de mortezat dinți) al cărei tăiș reprezintă profilul cremalierii conjugate sau profilul dintelui unei roți dințate conjugate. Profilul dintelui se obține prin angrenarea sculei cu piesa care se prelucrează prin frezare, rabotare sau mortezare.

Avantajul acestei metode este că folosind aceeași freză melc sau pieptene, se pot tăia roți dințate cu orice număr de dinți, însă de același modul. Tăierea dinților prin această metodă se execută continuu și uniform, ceea ce permite obținerea unei precizii și productivități mai mari decît în cazul prelucrării prin copiere.

O descriere a procedurii de tăiere a dinților prin frezare este făcută la subcapitolele „Operații de frezare speciale” și „Operații cu capul divizor”.

2. *Tăierea dinților la roțile dințate cu dinți înclinați* se execută ca și la roțile cilindrice cu dinți drepți, prin două metode: metoda prin copiere și metoda prin rostogolire.

— *Metoda prin copiere* se realizează în mod obișnuit la mașinile de frezat universale cu ajutorul frezelor modul, a căror muchie așchietoare are același profil cu golul dintre dinți. Freza modul se montează astfel ca înclinarea ei față de generatoarea cilindrului să fie egală cu unghiul de înclinare a dinților (fig. 4.14). Freza modul execută mișcarea principală de rotație în jurul axei sale, iar roata (fixată în capul divizor) execută mișcarea de avans.

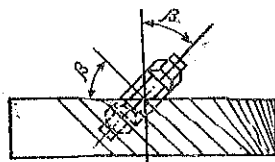


Fig. 4.14.

Modulul frezei trebuie să fie egal cu modulul normal al roții dințate și numărul frezei se alege să corespundă unui număr ideal de dinți $z_t = \frac{z}{\cos^3 \beta}$.

Exemplu: Să se determine elementele principale ale unei freze modul, cu care trebuie să se taie dinții unei roți elicoidale cu $z = 60$ dinți; $m_n = 4$; $\beta = 45^\circ$.

$$z_t = \frac{z}{\cos^3 \beta} = \frac{60}{\cos^3 45^\circ} = \frac{600}{0,707^3} = 170 \text{ dinți.}$$

Se va utiliza deci o freză nr. 8 modul 4 (v. tabela 4.10), care se va monta la 45° față de generatoarea roții dințate.

— *Metoda prin rostogolire* folosește o freză melc, care execută concomitent cu mișcarea de rotație în jurul axei sale și o mișcare de avans în sensul săgeții, indicată în fig. 4.15. Această ultimă mișcare se combină cu mișcarea de rotație a roții dințate. Freza se montează astfel ca să formeze cu axa roții unghiul $\alpha + \beta$, când dinții frezei și dinții roții sînt înclinați în același sens, și unghiul $\beta - \alpha$, când sînt înclinați în sens contrar.

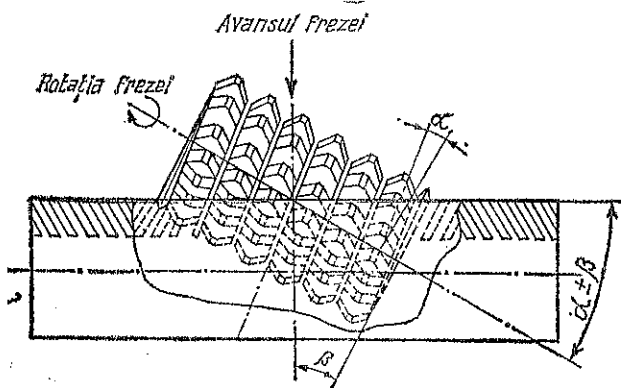


Fig. 4.15.

Indicații suplimentare asupra tăierii dinților la roțile elicoidale sînt date și la subcapitolul „Operații de prelucrare cu capul divizor”.

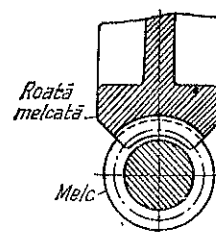


Fig. 4.16

3. ANGRENAGE MELC-ROATĂ MELCATĂ

Melcul cu unul, două sau mai multe începuturi, este format dintr-un cilindru pe suprafața căruia dinții sînt dispuși în elice, asemănător filetului (fig. 4.16).

Melcul (șurubul fără sfîrșit) se execută în general din oțel, iar roata melcată (roata elicoidală) din fontă, bronz, bronz fosforos sau bronz de aluminiu.

Indicarea elementelor danturii pe desen este cuprinsă în STAS 6649-74 iar toleranțele angrenajelor melcate în STAS 6461-61.

3.1. CALCULUL ANGRENAJELOR MELC-ROATĂ MELCATĂ

În tabela 4.11 sînt date formulele de calcul pentru angrenaje melc-roată melcată.

Tabela 4.11 Formule de calcul pentru angrenaje melc-roată melcată cu profil în evolventă, normal

| Elementele căutate | | Formule pentru rezolvare |
|--|----------|--|
| Modulul roții melcate, mm | m | $\frac{p}{\pi}$ |
| Pasul roții melcate, mm. | p | $m \cdot \pi$; $p_1, \frac{p_1}{2}, \frac{p_1}{3} \dots$, cînd șurubul fără sfîrșit are unul, două, trei ... începuturi |
| Pasul melcului, mm. | p_1 | p cînd melcul este cu un început $2p$ cînd melcul este cu două începuturi $3p$ cînd melcul este cu trei începuturi |
| Numărul pașilor melcului | g | $\frac{p_1}{p}$ |
| Numărul dinților roții melcate . . . | z_2 | $\frac{D_{d2}}{m}$ |
| Numărul dinților melcului | z_1 | g |
| Diametrul de divizare al roții melcate, mm | D_{d2} | $m \cdot z_2$ cînd $z_2 \geq 30$ $0,937 m \cdot z_2 + m$ cînd $z_2 < 30$ |
| Diametrul de divizare al melcului, mm | D_{d1} | $\frac{60\,000 \cdot v_1}{\pi \cdot n_1} ; \frac{p_1}{\pi \cdot \tan \gamma}$ |
| Diametrul exterior al roții melcate, mm | D_{e2} | $D_{d2} + 2m$ |
| Diametrul exterior al melcului, mm | D_{e1} | $D_{d1} + 2m \cdot \cos \gamma$ |

Tabela 4.11 (continuare)

| Elementele căutate | | Formule pentru rezolvare | | | | | | | | | | | | | | | | |
|---|---|---|--------------------|---|-----|-----|-----|------|----|-------|------------------------------------|-------|-----|-----|-----|-----|-----|-----|
| Lungimea dintelui roții melcate, mm | l | $1,5 \dots 2p$ (pentru D_{e1} mic, $l = p$); $D_{e1} \sin \delta$ | | | | | | | | | | | | | | | | |
| Lățimea roții melcate, mm | B | $1 + 0,25 p$ | | | | | | | | | | | | | | | | |
| Lungimea melcului, mm | L | $2m \cdot \sqrt{z_2 + 2m}$ | | | | | | | | | | | | | | | | |
| Unghiul de înclinare γ al dintelui melcului, grade | γ | $\operatorname{tg} \gamma = \frac{p_1 \cdot M}{\pi \cdot D_{d1}}$ <table> <tr> <th>M</th><th>γ°</th></tr> <tr> <td>1</td><td>4—8</td></tr> <tr> <td>2</td><td>5—10</td></tr> <tr> <td>3</td><td>10—35</td></tr> <tr> <td>≥ 3</td><td>30—25</td></tr> </table> | M | γ° | 1 | 4—8 | 2 | 5—10 | 3 | 10—35 | ≥ 3 | 30—25 | | | | | | |
| M | γ° | | | | | | | | | | | | | | | | | |
| 1 | 4—8 | | | | | | | | | | | | | | | | | |
| 2 | 5—10 | | | | | | | | | | | | | | | | | |
| 3 | 10—35 | | | | | | | | | | | | | | | | | |
| ≥ 3 | 30—25 | | | | | | | | | | | | | | | | | |
| Unghiul δ , grade | δ | $\operatorname{tg} \delta = 2 \frac{2a_1 \cdot p}{D_{p1} + 1,2p}$ | | | | | | | | | | | | | | | | |
| Pasul elicei | P_{B1} | $M \cdot p_1$; $\pi \cdot D_{d1} \cdot \operatorname{tg} \gamma$ | | | | | | | | | | | | | | | | |
| Constanta a_1 | a_1 | <table> <tr> <td>z_2</td><td>28</td><td>35</td><td>45</td><td>55</td><td>65</td><td>75</td><td>85</td></tr> <tr> <td>a_1</td><td>1,9</td><td>2,1</td><td>2,3</td><td>2,5</td><td>2,6</td><td>2,8</td><td>2,9</td></tr> </table> | z_2 | 28 | 35 | 45 | 55 | 65 | 75 | 85 | a_1 | 1,9 | 2,1 | 2,3 | 2,5 | 2,6 | 2,8 | 2,9 |
| z_2 | 28 | 35 | 45 | 55 | 65 | 75 | 85 | | | | | | | | | | | |
| a_1 | 1,9 | 2,1 | 2,3 | 2,5 | 2,6 | 2,8 | 2,9 | | | | | | | | | | | |
| Numărul de începuturi | M | $\frac{P_{B1}}{p}$ | | | | | | | | | | | | | | | | |
| Unghiul flancurilor la dinții melcului | 2α | în general 30° | | | | | | | | | | | | | | | | |
| Turația roții melcate, rot/min | n_2 | $\frac{n_1 \cdot g}{z_2}$ | | | | | | | | | | | | | | | | |
| Turația melcului, rot/min | n_1 | $\frac{n_2 \cdot z_2}{g}$ | | | | | | | | | | | | | | | | |
| Viteza periferică a roții melcate, m/s | v_2 | $\frac{\pi \cdot D_{d2} \cdot n_2}{60\,000}$ | | | | | | | | | | | | | | | | |
| Viteza periferică a melcului, m/s | v_1 | $\frac{\pi \cdot D_{d1} \cdot n_1}{60\,000}$ | | | | | | | | | | | | | | | | |
| Viteza de alunecare, m/s | v_a | $\frac{v}{\cos \gamma}$; trebuie ca $v_a \leq 10$ m/s | | | | | | | | | | | | | | | | |
| Puterea transmisă, CP | P_1 | $\frac{F_1 \cdot v_1}{75}$ | | | | | | | | | | | | | | | | |
| Apăsarea pe dinte, kgf | F | $\frac{75 P_1}{v_1} c_r \cdot l \cdot p$ (l și p în cm) | | | | | | | | | | | | | | | | |
| Coefficientul de solicitare a materialului | c_r | <table> <tr> <td>Pentru fontă</td><td> $c_r = 18 \dots 28$ kgf/cm², dacă se ține seamă numai de rezistența materialului $c_r = 8 \dots 12$ kgf/cm², dacă se ia în considerare uzura </td></tr> </table> | Pentru fontă | $c_r = 18 \dots 28$ kgf/cm ² , dacă se ține seamă numai de rezistența materialului $c_r = 8 \dots 12$ kgf/cm ² , dacă se ia în considerare uzura | | | | | | | | | | | | | | |
| Pentru fontă | $c_r = 18 \dots 28$ kgf/cm ² , dacă se ține seamă numai de rezistența materialului $c_r = 8 \dots 12$ kgf/cm ² , dacă se ia în considerare uzura | | | | | | | | | | | | | | | | | |
| | | <table> <tr> <td>Pentru v_1 (m/s)</td><td>1</td><td>2</td><td>3</td><td>4</td><td>5</td><td>6</td><td>7</td></tr> <tr> <td>bronz c_r (kgf/cm²)</td><td>40</td><td>30</td><td>25</td><td>21</td><td>18</td><td>15</td><td>13</td></tr> </table> | Pentru v_1 (m/s) | 1 | 2 | 3 | 4 | 5 | 6 | 7 | bronz c_r (kgf/cm ²) | 40 | 30 | 25 | 21 | 18 | 15 | 13 |
| Pentru v_1 (m/s) | 1 | 2 | 3 | 4 | 5 | 6 | 7 | | | | | | | | | | | |
| bronz c_r (kgf/cm ²) | 40 | 30 | 25 | 21 | 18 | 15 | 13 | | | | | | | | | | | |

3.2. TĂIEREA DINȚILOR LA ANGRENAJELE MELC-ROATĂ MELCATĂ

Roțile melcate se execută, în general, prin procedeul rostogolirii, deoarece pentru același modul este suficientă o singură freză melc oricare ar fi numărul de dinți. Frezarea se face de obicei în două faze: degroșare și finisare. Degroșarea se face cu freze frontale de profil trapezoidal apropiat și de același diametru exterior cu al melcului

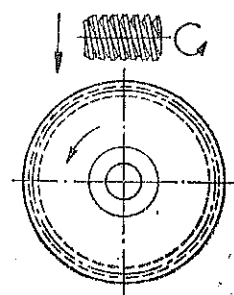


Fig. 4.17.

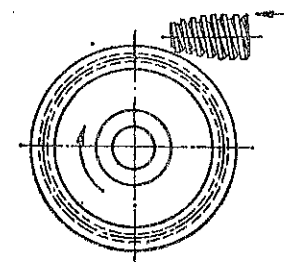


Fig. 4.18.

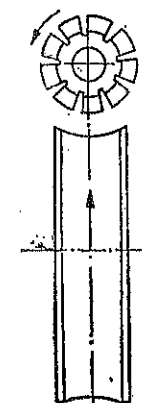


Fig. 4.19.

cu care trebuie să angreneze roata elicoidală. Această freză se așază exact deasupra mijlocului roții, iar masa mașinii se rotește (la dreapta sau la stînga) cu unghiul de înclinare γ al elicei melcului.

Se începe apoi frezarea de degroșare dinte cu dinte prin ridicarea mesei.

Finisarea se face prin rostogolire cu ajutorul unei freze melc care are exteriorul fie complet cilindric (fig. 4.17), fie cu o porțiune conică (fig. 4.18).

Alte indicații sînt arătate la subcapitolul „Operații de prelucrare cu cap divizor”.

Uneori, prelucrarea roților melcate se face și prin metoda copierii (fig. 4.19).

Melcul se execută la strung.

4. ANGRENAGE CU ROȚI CONICE

Indicarea elementelor danturii la roțile dințate conice cu dinți drepți și înclinați se face conform indicațiilor din STAS 5996-74.

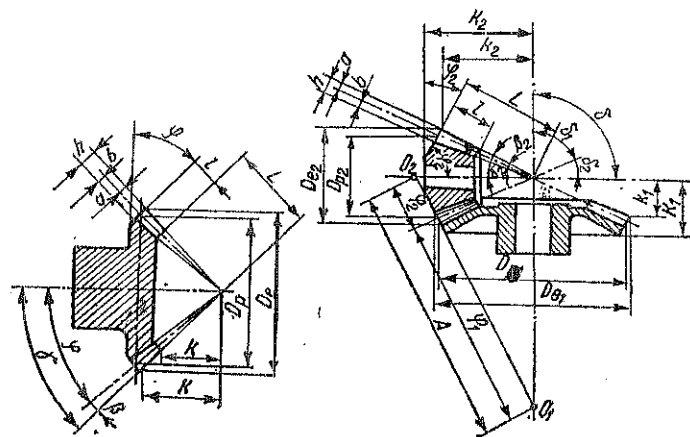
Toleranțele pentru angrenajele conice sînt date în STAS 6460-61.

4.1. CALCULUL ANGRENAJELOR CU ROȚI CONICE

Elementele geometrice ale angrenajelor cu roți dințate conice sînt date în tabela 4.12 pentru angrenaje conice cu $\delta = 90^\circ$ și în tabela 4.13 pentru angrenaje conice cu $\delta \neq 90^\circ$.

Pentru alegerea unghiurilor conurilor primitive ale celor două roți s-au introdus în tabela 4.14 valorile acestor unghiuri la angrenajele conice cu $\delta = 90^\circ$, în funcție de raportul de transmitere $i = n_1/n_2$.

Tabela 4.12. Formule de calcul pentru angrenaje conice cu profil în evolventă, normal ($\delta_1 + \delta_2 = 90^\circ$)

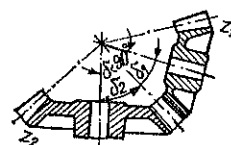


| Elementele căutate | | Formule pentru rezolvare |
|--|-------|--|
| Turația roții conducătoare, rot/min | n_1 | $i \cdot n_2; n_2 \cdot \frac{z_2}{z_1}$ |
| Turația roții conduse, rot/min | n_2 | $\frac{n_1}{i}; n_1 \cdot \frac{z_1}{z_2}$ |
| Numărul de dinți al roții conducătoare | z_1 | $\frac{z_2}{i}; z_2 \cdot \frac{n_2}{n_1}; \frac{D_{d1}}{m}$ |
| Numărul de dinți al roții conduse | z_2 | $i \cdot z_1; z_1 \cdot \frac{n_1}{n_2}; \frac{D_{d2}}{m}$ |
| Raportul de transmitere | i | $\frac{n_1}{n_2}; \frac{z_2}{z_1}; \frac{D_{d2}}{D_{d1}}$ |
| Modulul, mm | m | $\frac{p}{\pi}; \frac{D_{d1}}{z_1}; \frac{D_{d2}}{z_2}$ |

Tabela 4.12 (continuare)

| Elementele căutate | | Formule pentru rezolvare |
|---------------------------------------|------------------|---|
| Pasul, mm | p | $\pi \cdot m; \frac{\pi \cdot D_{d1}}{z_1}; \frac{\pi \cdot D_{d2}}{z_2}$ |
| Diametrele cercurilor exterioare mm | D_{e1}, D_{e2} | $D_{d1} + 2m \cdot \cos \delta_1; D_{d2} + 2m \cdot \cos \delta_2$ |
| Diametrele cercurilor de divizare, mm | D_{d1}, D_{d2} | $m \cdot z_1; m \cdot z_2$ |
| Lungimea dintelui, mm | l | $\leq \frac{1}{3} L$ |
| Unghiul dintre axe, grade | δ | $\delta_1 + \delta_2 = 90^\circ$ |
| Unghiul δ_1 , grade | δ_1 | $90^\circ - \delta_2; \operatorname{tg} \delta_1 = \frac{D_{d1}}{D_{d2}} = \frac{z_1}{z_2} = \frac{1}{i}$ |
| Unghiul δ_2 , grade | δ_2 | $90^\circ - \delta_1; \operatorname{tg} \delta_2 = \frac{D_{d1}}{D_{d2}} = \frac{z_2}{z_1} = i$ |
| Unghiul γ_1 , grade | γ_1 | $\delta_1 + \beta_1; \operatorname{tg} \gamma_1 = \frac{z_1 + 2 \cos \delta_1}{z_2 - 2 \sin \delta_1}$ |
| Unghiul γ_2 , grade | γ_2 | $\delta_2 + \beta_2; \operatorname{tg} \gamma_2 = \frac{z_2 + 2 \cos \delta_2}{z_1 - 2 \sin \delta_2}$ |
| Unghiul φ_1 , grade | φ_1 | $90^\circ - \delta_1; \operatorname{cotg} \varphi_1 = \frac{D_{d1}}{D_{d2}} = \frac{z_1}{z_2} = \frac{1}{i}$ |
| Unghiul φ_2 , grade | φ_2 | $90^\circ - \delta_2; \operatorname{cotg} \varphi_2 = \frac{D_{d2}}{D_{d1}} = \frac{z_2}{z_1} = i$ |
| Distanța centrelor, L, mm | L | $\frac{D_{d1}}{2 \sin \gamma_1}; \frac{D_{d2}}{2 \sin \gamma_2}$ |
| Distanța k_1 , mm | k_1 | $0,5 D_{e1} \cdot \operatorname{cotg} \gamma_1$ |
| Distanța k_2 , mm | k_2 | $0,5 D_{e2} \cdot \operatorname{cotg} \gamma_2$ |
| Distanța K_1 , mm | K_1 | $k_1 + \frac{D_{d2}}{2} \cdot \operatorname{cotg} \delta_1; \frac{D_{d1}}{2} (\operatorname{cotg} \gamma_2 + \operatorname{cotg} \delta_1)$ |
| Distanța K_2 , mm | K_2 | $k_2 + \frac{D_{d2}}{2} \cdot \operatorname{cotg} \delta_2; \frac{D_{d2}}{2} (\operatorname{cotg} \gamma_2 + \operatorname{cotg} \delta_1)$ |

Tabela 4.13. Formule de calcul pentru angrenaje conice ($\delta_1 + \delta_2 \leq 90^\circ$)



Cazul 1: $\delta \leq 90^\circ$

$$\operatorname{tg} \delta_1 = \frac{\sin \delta}{\frac{z_2}{z_1} + \cos \delta}$$

$$\operatorname{tg} \delta_2 = \frac{\sin \delta}{\frac{z_1}{z_2} + \cos \delta}$$

Tabela 4.13 (continuare)

| | |
|--|--|
| | <p>Cazul 2: $\delta > 90^\circ$; $\delta_1 < 90^\circ$</p> $\operatorname{tg} \delta_1 = \frac{\sin(180^\circ - \delta)}{\frac{z_2}{z_1} - \cos(180^\circ - \delta)}$ $\operatorname{tg} \delta_2 = \frac{\sin(180^\circ - \delta)}{\frac{z_1}{z_2} - \cos^2(180^\circ - \delta)}$ |
| | <p>Cazul 3: $\delta > 90^\circ$; $\delta_2 = 90^\circ$</p> $\sin \delta_1 = \frac{z_1}{z_2}$ |
| | <p>Cazul 4: $\delta > 90^\circ$; $\delta_2 > 90^\circ$</p> $\operatorname{tg} \delta_1 = \frac{\sin(180^\circ - \delta)}{\cos(180^\circ - \delta) - \frac{z_2}{z_1}}$ $\operatorname{tg} \delta_2 = \frac{\sin(180^\circ - \delta)}{\frac{z_1}{z_2} - \cos(180^\circ - \delta)}$ |

Tabela 4.14. Unghiurile conurilor primitive la angrenaje conice ($\delta = 90^\circ$) în funcție de raportul de transmitere

| Raportul de transmitere i | Roată conducătoare δ_1 | Roata condusă δ_2 | Raportul de transmitere i | Roata conducătoare δ_1 | Roata condusă δ_2 |
|--------------------------------|----------------------------------|-----------------------------|--------------------------------|----------------------------------|-----------------------------|
| 1 | 45° | 45° | 1 : 3,5 | 15°57' | 74°03' |
| 1 : 1,5 | 33°41' | 56°19' | 1 : 4 | 14°02' | 75°58' |
| 1 : 2 | 26°34' | 63°26' | 1 : 4,5 | 12°32' | 77°28' |
| 1 : 2,5 | 21°48' | 68°12' | 1 : 5 | 11°19' | 78°41' |
| 1 : 3 | 18°26' | 71°34' | 1 : 6 | 9°28' | 80°32' |

4.2. TĂIEREA DINȚILOR LA ANGRENAJELE CONICE

Prelucrarea precisă a dinților roților conice nu poate fi efectuată decât la mașini speciale. Dacă dinții prelucrați nu necesită o precizie dimensională prea mare, atunci dinții se pot tăia la mașinile de frezat

universale cu condiția ca la aceste roți:

$$z \geq 28 \text{ dinți și } l \leq L/3.$$

Pentru frezarea roților conice, axul de divizare al capului divizor trebuie înclinat cu jumătatea unghiului conului de frezare, adică astfel ca linia fundului dinților ce se frezează să devină orizontală; acest unghi se ia ceva mai mare pentru degroșare și numai la finisare i se dă valoarea exactă.

Unul dintre procedeele de lucru la mașina de frezat universală este frezarea prealabilă a golurilor dinților cu o freză al cărei profil corespunde celui mai mic profil interior al golului dinților. În continuare se utilizează o freză al cărei profil are ca flancuri, flancurile dinților de pe suprafața frontală exterioară a roții, iar ca lățime, lățimea golului de pe suprafața frontală interioară (măsurată pe cercul de divizare). Cu această freză se frezează inițial toate flancurile dintr-o parte a dinților și apoi flancurile din cealaltă parte. Pentru aceasta capul divizor trebuie rotit pe masa mașinii (masa rămânând fixă) față de axa ei longitudinală, cu atât, încât să se obțină lățimea necesară golului dintelui de la interior către exterior. Unghiul de rotire a capului

$$\text{divizor este dat de relația } \operatorname{tg} \alpha = \frac{s_{ge} - s_{gi}}{2l},$$

în care: s_{ge} este lățimea golului pe fața frontală exterioară;

s_{gi} — lățimea golului pe fața interioară;

l — lățimea coroanei dinților.

Tăierea dinților se execută cu precizie numai la mașinile de rabotat și mașinile de frezat construite special pentru acest scop.

Dintre mașinile de rabotat dinții roților dințate conice, distingem mașinile care lucrează cu dispozitive reproducătoare și mașinile care lucrează prin procedeul rostogolirii.

La mașinile-unelte din prima categorie, scula execută mișcarea principală, cu condiția ca deplasarea ei să se facă spre vârful conului primitiv al roții. Mișcarea de avans se poate imprima fie sculei, fie roții dințate; în ambele cazuri ea se face cu ajutorul unui dispozitiv (șablon) al cărui profil reproduce exact pe acel al dintelui de tăiat.

Tăierea dinților prin procedeul rostogolirii este cea mai indicată, deoarece precizia obținută este superioară celei obținute prin prima metodă. Scula execută o mișcare rectilinie alternativă, în timp ce roata dințată este supusă la două mișcări de rotație; o mișcare de rotație în jurul axei sale, prin care flancurile dinților se succed pe rând în dreptul sculei și o mișcare de rotație prin care flancul de tăiat se desfășoară în fața sculei.

Tot pe procedeul rostogolirii sînt construite și mașinile de rectificat dinții roților dințate conice.

Capitolul 5

ARCURI

1. GENERALITĂȚI

Arcurile sînt organe de mașini utilizate ca legături elastice între diferitele părți sau piese de mașini, aparate, mecanisme sau dispozitive.

În construcțiile de mașini, arcurile diferă în general, după scopul utilizării, după forma constructivă și după solicitarea materialului.

După scopul utilizării, arcurile se clasifică în: arcuri de amortizare (de exemplu, arcurile pentru vehicule), arcuri pentru acumulare de energie cu scopul de a fi folosite la antrenarea unor mecanisme (de exemplu, arcurile pentru supapele motoarelor cu ardere internă), arcuri pentru exercitarea unei forțe elastice permanente (de exemplu, arcurile de repulsie de la mecanismele cu roată dințată și clichet), arcuri de reglare (de exemplu, arcurile supapelor de reglare a presiunii), arcuri de măsurare (de exemplu, arcurile dinamometrelor) etc.

După forma constructivă, arcurile se clasifică în: arcuri cu foi lamelare (tabela 5.1) sau cu foi multiple (fig. 5.1), arcuri spirale plane (tabela 5.2), arcuri bare de torsiune (tabela 5.3), arcuri elicoidale (tabela 5.4), arcuri inelare, arcuri disc.

După solicitarea principală a arcului, deosebim: arcuri solicitate la încovoiere (de exemplu, arcurile cu foi, elicoidale, spirale, plane, disc), arcurile solicitate la răsucire (de exemplu, barele de torsiune și arcurile cilindrice, conice, dublu conice, volute și hiperboloidale) și arcurile solicitate la tracțiune sau compresiune (de exemplu, arcurile cilindrice).

Arcurile se confecționează, în general, din oțeluri aliate (cu Cr, Mn, Si, V) și nealiate, cu caracteristici speciale și uneori, din bronz, alamă, etc. Caracteristicile oțelurilor pentru arcuri laminate la cald sînt indicate în STAS 795-71. Dimensiunile barelor laminate și trase pentru oțelurile de arc sînt și ele standardizate (de exemplu, STAS 909-68 pentru dimensiunile oțelului canelat pentru arcuri cu foi multiple).

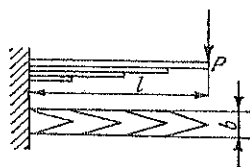


Fig. 5.1

Tabela 5.1. Arcuri lamelare

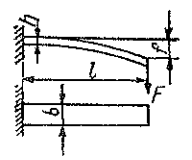
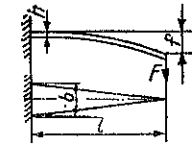
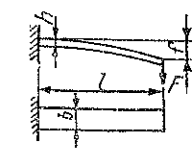
| Denumirea și forma arcului | F kgf | f cm | L kgf·cm |
|---|---|---|--|
|  Arc dreptunghiular | $\frac{b \cdot h^3}{6} \cdot \frac{\sigma_{ia}}{l}$ | $\frac{F}{EI} \cdot \frac{l^3}{3} = 4 \cdot \frac{l^3}{bh^3} \cdot \frac{F}{E} =$ $= \frac{2}{3} \cdot \frac{l^2}{h} \cdot \frac{\sigma_{ia}}{E}$ | $\frac{1}{18} \cdot \frac{\sigma_{ia}^2}{E} \cdot V$ |
|  Arc triunghiular | $\frac{b \cdot h^3}{6} \cdot \frac{\sigma_{ia}}{l}$ | $\frac{F}{EI} \cdot \frac{l^3}{2} = 6 \cdot \frac{l^3}{bh^3} = \frac{l^2}{h} \cdot \frac{\sigma_{ia}}{E}$ | $\frac{1}{6} \cdot \frac{\sigma_{ia}^2}{E} \cdot V$ |
|  Arc dreptunghiular cu profil parabolic | $\frac{b \cdot h^3}{2} \cdot \frac{\sigma_{ia}}{l}$ | $\frac{P}{EI} \cdot \frac{l^3}{2} = 6 \cdot \frac{l^3}{bh^3} \cdot \frac{F}{E} = \frac{l^2}{h} \cdot \frac{\sigma_{ia}}{E}$ | $\frac{1}{9} \cdot \frac{\sigma_{ia}^2}{E} \cdot V$ |

Tabela 5.2. Arcuri elicoidale cilindrice și spirale flexionale

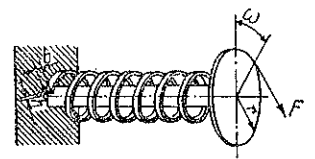
| Denumirea și forma arcului | F kgf | Ară de răsucire cm | L kgf·cm |
|--|--|---|---|
|  Arc elicoidal cu secțiune dreptunghiulară | $\frac{bh^3}{6} \cdot \frac{\sigma_{ia}^2}{r}$ | $r\omega = \frac{F}{EI} \cdot lr^2 =$ $12 \cdot \frac{Flr^2}{Ebh^3} =$ $= 2 \cdot \frac{lr}{h} \cdot \frac{\sigma_{ia}}{E}$ | $\frac{1}{6} \cdot \frac{\sigma_{ia}^2}{E} \cdot V$ |

Tabela 5.2 (continuare)

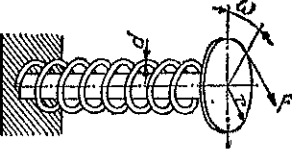
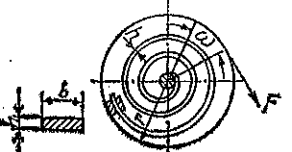
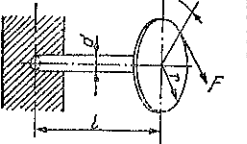
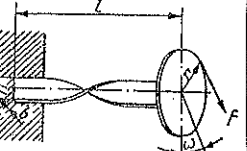
| Denumirea și forma arcului | F kgf | Arc de răsucire cm | L kgf·cm |
|--|--|---|---|
|  Arc elicoidal cu secțiune circulară | $\frac{\pi d^3}{32} \cdot \frac{\sigma_{ia}^2}{r}$ | $r\omega = \frac{F}{EI} l r^2 =$ $= \frac{64}{\pi} \cdot \frac{F l r^2}{E d^4} =$ $= 2 \cdot \frac{r l}{d} \cdot \frac{\sigma_{ia}}{E}$ | $\frac{1}{6} \cdot \frac{\sigma_{ia}^2}{E} \cdot V$ |
|  Arc spiral | $\left(\frac{b h^3}{6}\right) \cdot \frac{\sigma_{ia}^2}{r}$ | $r\omega_s = \frac{F}{E l} l r^2 =$ $= 12 \cdot \frac{F l r^2}{E b h^3} =$ $= 2 \cdot \frac{l r}{h} \cdot \frac{\sigma_{ia}}{E}$ | $\frac{1}{6} \cdot \frac{\sigma_{ia}^2}{E} \cdot V$ |

Tabela 5.3. Arcuri bare

| Denumirea și forma arcului | F kgf | Arc de răsucire cm | L kgf·cm |
|---|---|---|---|
|  Bară cu secțiune circulară | $\frac{\pi}{16} \cdot \frac{d^3}{r} \cdot \tau_{ra}$ | $r\omega = \frac{32 l r^2}{\pi d^4} \cdot \frac{F}{G} = 2 \cdot \frac{l r}{d} \cdot \frac{\tau_{ra}}{G}$ | $\frac{3}{8} \cdot \frac{\sigma_{ia}^2}{E} \cdot V$ |
|  Bară cu secțiune dreptunghiulară | $\frac{2}{9} \cdot \frac{b^2 \cdot h}{r} \cdot \tau_{ra}$ | $r\omega = 3,6 l r^2 \cdot \frac{b^2 + h^2}{b^3 h^3} \cdot \frac{F}{G} =$ $= 0,8 l r \cdot \frac{b^2 + h^2}{b h^2} \cdot \frac{\tau_{ra}}{G}$ | $\alpha \cdot \frac{1}{9} (a+1) \times$ $\frac{\tau_{ia}^2}{E} \cdot V$ |

$$\frac{\sigma_{ia}^2}{E} = \frac{5}{8} \cdot \frac{\tau_{ra}^2}{G} \text{ pentru metale și } \frac{\sigma_{ia}^2}{E} = \frac{2}{3} \cdot \frac{\tau_{ra}^2}{G} \text{ pentru lemn}$$

Tabela 5.4. Arcuri elicoidale și conice torsionale

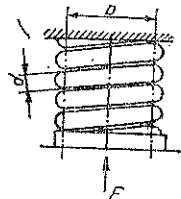
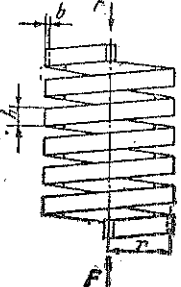
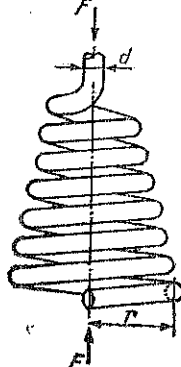
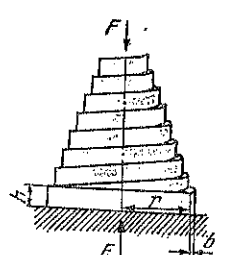
| Denumirea și forma arcului | F kgf | f cm | L kgf·cm |
|--|--|---|---|
|  Arc elicoidal cilindric cu secțiune circulară | $\frac{\pi}{16} \cdot \frac{d^3}{r} \cdot \tau_{ra}$ | $\frac{64 \pi r^3}{d^4} \cdot \frac{F}{G} = \frac{4 \pi r^2}{d} \cdot \frac{\tau_{ra}}{G}$ | $\frac{3}{8} \cdot \frac{\sigma_{ia}^2}{E} \cdot V$ |
|  Arc elicoidal cu secțiune dreptunghiulară | $\frac{2}{9} \cdot \frac{b^2 h}{r} \cdot \tau_{ra}$ | $7,2 \pi n r^3 \cdot \frac{b^2 + h^2}{b^3 h^3} \cdot \frac{F}{G} =$ $= 1,6 \pi n r^2 \cdot \frac{b^2 + h^2}{b h^2} \cdot \frac{\tau_{ra}}{G}$ | $\alpha \cdot \frac{1}{9} (a^2 + 1) \times$ $\frac{\sigma_{ia}^2}{E} \cdot V$ |
|  Arc elicoidal conic cu secțiune circulară | $\frac{\pi}{16} \cdot \frac{d^3}{r} \cdot \tau_{ra}$ | $\frac{16 l r^3}{\pi d^4} \cdot \frac{F}{G} = \frac{l r}{d} \cdot \frac{\tau_{ra}}{G} =$ $= 16 n \cdot \frac{r^3}{d^4} \cdot \frac{F}{G} =$ $= \pi \cdot n \cdot \frac{r^3}{d} \cdot \frac{\tau_{ra}}{G}$ | $\frac{1}{5} \cdot \frac{\sigma_{ia}^2}{E} \cdot V$ |

Tabela 5.4 (continuare)

| Denumirea și forma arcului | F kgf | f cm | L kgf·cm |
|--|---|--|---------------------------------------|
|  <p>Arc elicoidal conic cu secțiune dreptunghiulară</p> | $\frac{2}{9} \cdot \frac{b^2 h}{r} \cdot \tau_{ra}$ | $1,8 \, l r^2 \cdot \frac{b^2 + h^2}{b^3 h^3} \cdot \frac{F}{G} =$ $= 0,4 l r \cdot \frac{b^2 + h^2}{b h^2} \cdot \frac{\tau_{ra}}{G} =$ $= 1,8 \, \pi n r^3 \cdot \frac{b^2 + h^2}{b^3 h^3} \cdot \frac{F}{G} =$ $= 0,4 \, \pi n r^2 \cdot \frac{b^2 + h^2}{b h^2} \cdot \frac{\tau_{ra}}{G}$ | $\alpha \cdot \frac{1}{18} (a^2 - 1)$ |

Indicații asupra oțelurilor de arc sînt date la capitolul „Materiale metalice” unde sînt indicate și tratamente termice.

Materialul arcurilor de oțel este tratat termic (călit și revenit). La arcurile cu secțiune mică, tratamentul termic este efectuat în mod obișnuit asupra materialului nefasonat; arcurile din bare cu secțiune mare se execută de obicei la cald și, în acest caz, tratamentul termic se aplică după ce arcurile sînt gata confecționate.

2. CALCULUL ARCURILOR

2.1. NOTĂȚII

Se notează prin :

- F — sarcina sau încărcarea suportată de arc, în kgf;
- f — săgeata corespunzătoare sarcinii F , în cm;
- τ_{ia} — rezistența admisibilă la încovoiere, în kgf/cm².
- τ_{ra} — rezistența admisibilă la răsucire, în kgf/cm².
- L — lucrul mecanic de deformare, în kgf/cm;
- l — lungimea desfășurată a arcului, în cm;
- n — numărul spirelor;
- V — volumul arcului, în cm³;
- E — modulul de elasticitate longitudinal, în kgf/cm²;
- G — modulul de elasticitate transversal, în kgf/cm²;
- θ — unghiul de răsucire la distanța considerată de la capătul încastrat;

- $\alpha = 1,2$ pentru secțiunile pătrate; $\alpha = 1,2 \dots 1,5$ pentru secțiunile dreptunghiulare din ce în ce mai alungite;
- a — constantă care diferă numai cu forma secțiunii arcului.

2.2. DEFINIȚII

Sarcina sau încărcarea F care acționează asupra unui arc este forța care soliciță întreg arc.

Săgeata f a unui arc este deformația lui elastică măsurată pe direcția sarcinii. Pentru arcurile solicițate numai la răsucire se consideră deformația unghiulară.

Rigiditatea unui arc c (kgf/cm) este raportul $c = F/f$, adică raportul dintre sarcină și deformația provocată de aceasta.

Lucrul mecanic L , acumulat de un arc prin variația săgeții de la valoarea zero la valoarea f , este dat de relațiile:

$$L = \frac{Ff}{2} = a \frac{\sigma_{ia}^2}{E} V \text{ [kgf} \cdot \text{cm]}.$$

2.3. FORMULE DE CALCUL

Arcuri cu foi multiple. Aceste arcuri sînt compuse din mai multe lame (v. fig. 5.1) numite foi de arc, suprapuse și strînse cu o brățară numită legătură de arc. Se caută ca ansamblul astfel definit să se apropie în comportare, pe cît posibil, de un solid de egală rezistență la încovoiere, așezînd foile componente una sub alta.

Pentru determinarea numărului n de foi, atunci cînd se cunosc celelalte elemente ale arcului, se folosește formula $n = \frac{6Fl}{\sigma_{in} b \cdot h^2}$,

în care n este numărul de foi, b — lățimea arcului, iar h — grosimea unei foi de arc.

Arcuri elicoidale cilindrice de compresiune și de tracțiune. O metodă generală de calcul pentru arcurile elicoidale cilindrice de compresiune și de tracțiune, avînd pasul constant, executate din sîrmă sau bară rotundă și supuse unor sarcini axiale constante sau oscilante, este dată în STAS 7067-67.

Comportarea elastică și variația înălțimii unui arc elicoidal cilindric de compresiune, cu pretensionare este redată în fig. 5.26. În stare liberă, fără nici o forță exterioară, arc are înălțimea H_0 . Cînd se montează, arc ajunge în starea de încărcare dată de forța P_1 (daN), sub acțiunea căreia el își micșorează înălțimea cu săgeata f_1 , ajungînd

la înălțimea H_1 . Sarcina de lucru P_n (daN) provoacă săgeata f_n , reducând înălțimea arcului la H_n .

Cursa arcului h , adică săgeata provocată de forța de lucru, devine în acest caz $h = f_n - f_1 = H_1 - H_n$.

Folosind relația pentru săgeți, cursa arcului are valoarea:

$$h = 8 \frac{D_m^3 n}{G d^4} (P_n - P_1),$$

în care: G este modulul de elasticitate transversal, în daN/mm²; D_m — diametrul mediu al arcului, în mm, d — diametrul sîrmei sau al barei, în mm.

Lucrul mecanic L are mărimea:

$$L = \frac{1}{2} (P_1 + P_n) h.$$

Dacă prin acțiunea unei forțe limită exterioare, arcu ar ajunge la înălțimea de blocare H_b , cînd se așază spiră pe spiră, încetează preluarea unui plus de forță prin deformare elastică.

În aceste condiții:

— la arcu cu capete închise, neprelucrate,

$$H_0 = tn + (n_r + 1) d \text{ și } H_b \cong (n_1 + 1,5) d;$$

— la arcu cu capete închise, prelucrate.

$$H_0 = tn + (n_r + 0,5) d \text{ și } H_b \cong n_1 d;$$

— la arcu cu capete deschise,

$$H_0 = tn + d \text{ și } H_b \cong (n_1 + 1) d;$$

în care:

n este numărul de spire active;

n_r — numărul spirelor de reazem;

n_1 — numărul total de spire;

t — pasul spirelor active în stare liberă, în mm;

α — unghiul elicei spirei.

Lungimea sîrmei necesare pentru executarea arcului este dată de

$$\text{relația } l' = \frac{D_m n_1}{\cos \alpha}.$$

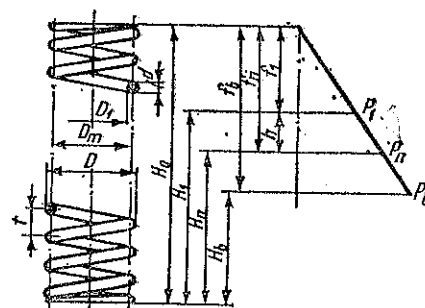


Fig. 5.2. Arc de compresiune:

P_1 — sarcina inițială de montaj; P_n — sarcina maximă de lucru; H_1 — înălțimea în stare montată; H_b — înălțimea sub sarcină maximă de lucru; H_n — înălțimea arcului de blocare; f_1 — săgeata în stare montată; f_n — săgeata sub sarcină maximă de lucru; f_b — săgeata arcului de blocare; D — diametrul exterior al arcului; D_1 — diametrul interior al arcului; D_m — diametrul mediu al arcului; d — diametrul sîrmei sau al barei.

Pentru determinarea rigidității arcului se folosește relația

$$c = \frac{P'}{f} = \frac{G}{8} \frac{d^4}{D_m^3 n}.$$

Indicele arcului $i = D_m/d$, numit și raport de înfășurare, are recomandate următoarele valori:

— pentru arcu înfășurate la rece: $4 \leq i \leq 16$;

— pentru arcu înfășurate la cald: $4 \leq i \leq 10$.

Coefficientul de formă este dat de relația $k = 1 + 1,6/i$.

Tensiunea tangențială admisibilă τ_a , în daN/mm², pentru arcu înfășurate la rece este indicată în tabela 5.5.

Tabela 5.5 Tensiunea tangențială admisibilă τ_a , în daN/mm² (STAS 7067-67)

| Marca de oțel pentru arcu conform STAS 795-71 | τ_a pentru | | Indicații pentru utilizare |
|---|-----------------|---------------------|---|
| | $d < 8$ mm | $d = 8 \dots 40$ mm | |
| ARC 1 | 65 | 60 | Arcu supuse la solicitări statice sau oscilante de lungă durată; temperatura de regim max. 150°C |
| ARC 2 | 68 | 65 | Arcu supuse la solicitări ridicate statice sau oscilante, de durată medie; temperatura de regim max 150°C |
| ARC 3 | 68 | 60 | Arcu supuse la solicitări ridicate, statice sau oscilante, de durată medie; temperatura de regim max. 180°C |
| ARC 4 | 63 | 50 | Arcu supuse la solicitări moderate, statice sau oscilante de durată medie; temperatura de regim max. 180°C |
| ARC 8 | 70 | 65 | Arcu supuse la solicitări ridicate sau oscilante, de lungă durată, temperatura de regim max. 200°C |
| ARC 9 | 68 | 65 | Arcu supuse la solicitări moderate, statice sau oscilante, de lungă durată, temperatura de regim max. 200°C |

Observații. 1. Pentru arcu cu $d \geq 20$ mm se vor utiliza mărcile ARC 3, ARC 4, ARC 8 și ARC 9. La arcuile cu $d \geq 30$ mm se vor prefera ARC 3 sau ARC 9. 2. Pentru arcuile la care este necesară o înaltă precizie de funcționare (de exemplu arcu pentru relee, regulatoare etc.) se recomandă alegerea tensiunii tangențiale admisibile cu 25% mai mică decît cea indicată în tabel. 3. Oțelurile ARC 5, ARC 6 și ARC 7, conform STAS 795-71, nu se folosesc la arcuile elicoidale de compresiune și de tracțiune. 4. Tensiunea tangențială admisibilă τ_a , în daN/mm², poate fi calculată astfel: $\tau_a = 0,5 \sigma_{r\max}$ pentru sîrma ecruisată prin trefilare din oțel austenitic rezistent la coroziune și pentru sîrmă de arcu din alamă cu nichel (STAS 3439-68).

Arcul elicoidal cilindric de tracțiune, teoretic, are caracteristică elastică asemănătoare celei a arcului de compresiune. La aceste arcuri, spirele fiind de obicei, în contact strâns, ia naștere o forță inițială de întindere P_0 . În fig. 5.3 este reprezentat cazul general al unui arc de întindere, supus în exploatare unei forțe cu valori cuprinse între $P_1 = P_{min}$ și $P_n = P_{max}$.

Înălțimea liberă a arcului este dată de relația $H_0 = (n + 1) d + 2H_c$, iar lungimea sîrmei, necesare executării acestuia, va fi $l \approx D_m n_1 / \cos \alpha + 2l_c$, în care l_c este lungimea desfășurată a ochiului de prindere.

2.4. CALCULUL ARCURILOR ELICOIDALE CILINDRICE, CU SECȚIUNE ROTUNDĂ, CU AJUTORUL NOMOGRAMELOR

Pentru predimensionări, determinarea elementelor principale ale arcurilor elicoidale cilindrice, cu secțiune rotundă, se obține în timp foarte scurt cu ajutorul unor nomograme, care există în variante multiple.

Exemplele următoare arată modul de folosire a nomogramelor din fig. 5.4 și 5.5.

1. Se cunosc sarcina maximă de lucru $P_{nmax} = 100$ daN și diametrul mediu al arcului $D_m = 35$ mm (fig. 5.4).

Punctul de intersecție pe linia de frîntură este determinat de dreapta care unește valorile lui P_n și D_m pe scările respective.

Variantele posibile se obțin rotind o dreaptă în jurul punctului de pe linia de frîntură. S-au ales: $\tau_a/k = 48$ daN/mm² și $d = 5,7$ mm.

2. Se cunosc: sarcina maximă de lucru $P_{nmax} = 3180$ daN, tensiunea tangențială admisibilă redusă cu coeficientul de formă $\tau_a/k = 70$ daN/mm² și diametrul mediu al arcului $D_m = 130$ mm (fig. 5.5),

Dreapta care unește aceste valori ale lui P și D_m pe scările respective, intersectează linia de frîntură într-un punct.

Ducînd prin acest punct o dreaptă care pornește din punctul corespunzător valorii $\tau_a/k = 70$ daN/mm², se obține $d = 25$ mm.

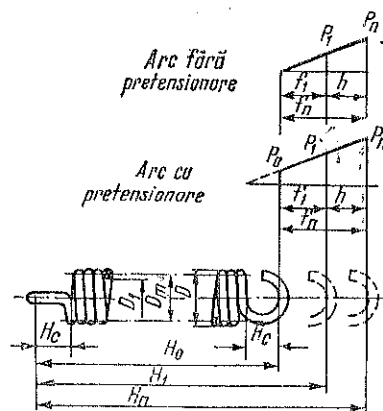


Fig. 5.3. Arc de tracțiune:

P_0 — sarcina inițială de întindere; P_n — sarcina maximă de lucru; P_1 — sarcina inițială de montaj; f_1 — săgeata în stare montată; f_n — săgeata sub sarcina maximă de lucru; h — cursa arcului; H_0 — înălțimea (lungimea) arcului în stare liberă; H_1 — înălțimea arcului în stare montată; H_n — înălțimea arcului la blocare; H_c — înălțimea ochiului de prindere; H_n — înălțimea arcului sub sarcina maximă de lucru P_n ; D_1 — diametrul interior al arcului; D_m — diametrul mediu al arcului; D — diametrul sîrmei sau al barei.

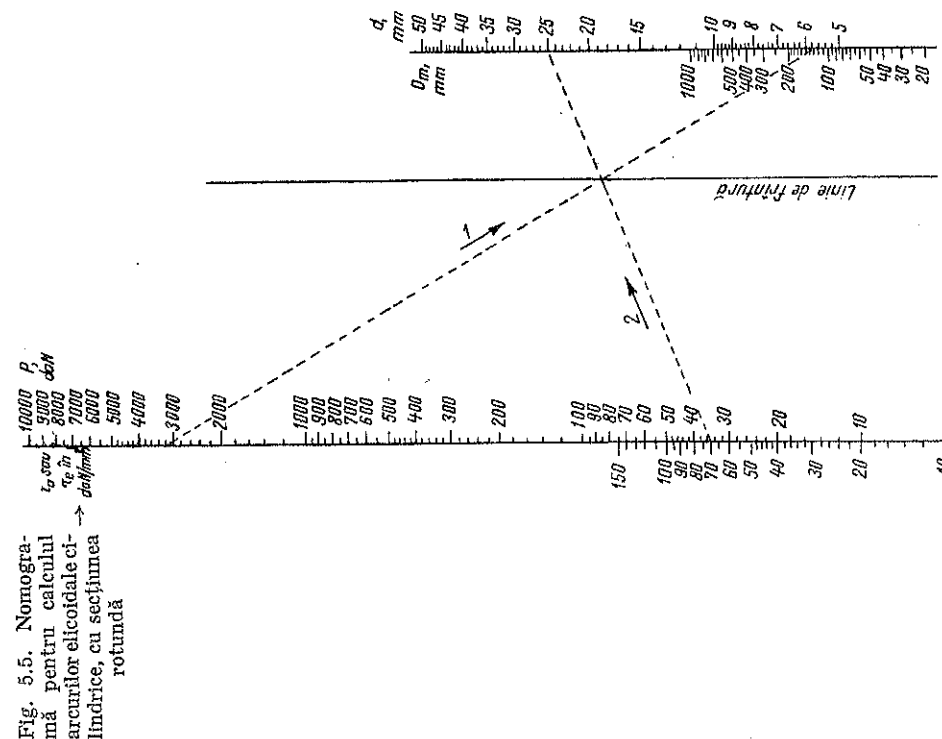


Fig. 5.5. Nomogramă pentru calculul arcurilor elicoidale cilindrice, cu secțiune rotundă

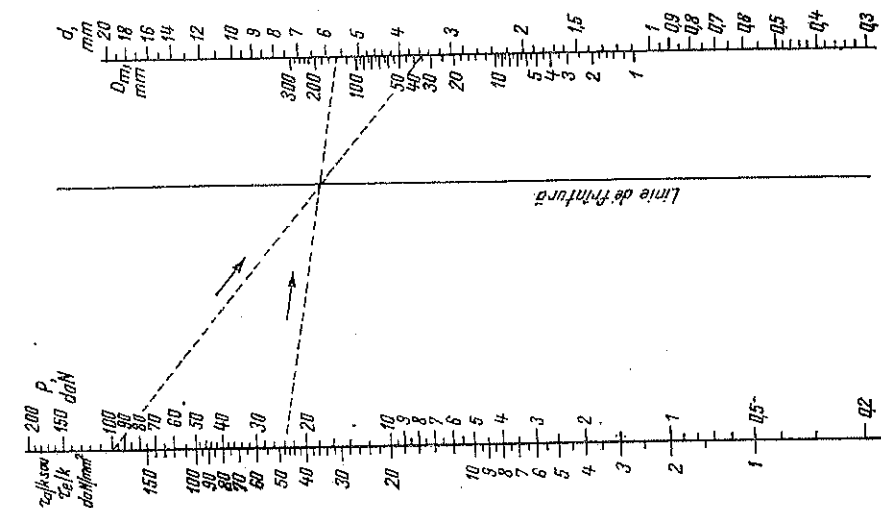


Fig. 5.4. Nomogramă pentru calculul arcurilor elicoidale cilindrice, cu secțiune rotundă.

1. ARBORI

1.1. GENERALITĂȚI

Arborii de transmisie transmit mișcarea de la un motor la una sau mai multe mașini-unelte, cu ajutorul roților de curea, roților cu lanțuri etc. Spre deosebire de axe (osii), care sînt supuse în special la încovoiere (de exemplu, osiile vehiculelor de cale ferată), arborii sînt solicitați în principal la răsucire.

Arborii de transmisie se execută, de obicei, din oțel carbon obișnuit OL 37, OL 42, OL 50 (STAS 500-68) și, uneori, din oțel aliat. Pentru arborii cu diametrul pînă la 140 mm, se folosește material laminat; pentru diametre de 140—200 mm, material laminat sau forjat, iar peste 200 mm, numai material forjat.

Pentru ușurința montajului și transportului, lungimea arborilor este în mod obișnuit de:

- 5 m pentru arborii de transmisie cu diametrul pînă la 45 mm;
 - 6 m pentru arborii de transmisie cu diametrul pînă la 55 mm;
 - 7 m pentru arborii de transmisie cu diametrul peste 55 mm.
- Săgeata maximă admisă este de 0,3 mm pentru 1 m lungime. Diametrele arborilor de transmisie variază și ele astfel:
- din 5 în 5 mm pentru arborii cu diametre de la 25 la 60 mm;
 - din 10 în 10 mm pentru arborii cu diametre de la 60 la 140 mm;
 - din 15 în 15 mm pentru arborii cu diametre de la 140 la 500 mm.

Turațiile uzuale pentru arborii de transmisie sînt arătate în tabela 6.1.

Tabela 6.1. Turații uzuale pentru arbori de transmisie

| | | | | | | | | | | | | |
|-----|-----|-----|-----|-----|-----|------|------|------|------|------|-----|-----|
| 25 | 28 | 32 | 36 | 40 | 45 | 50 | 56 | 63 | 71 | 80 | 90 | 100 |
| 112 | 125 | 140 | 160 | 180 | 200 | 225 | 250 | 280 | 320 | 360 | 400 | 450 |
| 500 | 560 | 630 | 710 | 800 | 900 | 1000 | 1120 | 1250 | 1400 | 1600 | | |

Asigurarea transmisiilor împotriva jocurilor axiale se face, de obicei, cu ajutorul unor gulere fixe. În general, gulerile fixe se prelucerează separat și se montează la cald, fără racordare. În cazuri speciale, ele pot fi strunjite din corpul arborelui cu o reducere r (fig. 6.1).

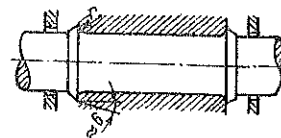


Fig. 6.1.

Pentru prelucrarea arborilor de transmisie s-a adoptat sistemul de ajustaj arbore unitar.

1.2. CALCULE ȘI DIMENSIUNI

Se notează prin:

- P — puterea de transmis, în CP;
- F — forța de torsiune, în kgf;
- l — brațul la extremitatea căruia acționează F , în cm;
- d — diametrul arborelui, în cm;
- L — lungimea arborelui, în cm;
- n — turația, în rot/min;
- τ_{ra} — rezistența admisibilă la torsiune, în kgf/cm²;
- M_r — momentul de torsiune, în kgf·cm;
- W_p — modulul de rezistență la răsucire (polar) al secțiunii arborelui, în cm³;
- G — modulul de elasticitate transversal, în kgf/cm²;
- φ — unghiul de torsiune, în grade.

a. Cunoscînd rezistența admisibilă la torsiune și momentul de torsiune, determinarea diametrului teoretic la arborii netezi pentru transmisiile se face cu ajutorul relațiilor:

$$F \cdot l = M_r = W_p \tau_{ra} = \frac{\pi d^3}{16} \tau_{ra} = \frac{1}{5,09} d^3 \tau_{ra}$$

Cînd se cunoaște numai P , formula de calcul este

$$75P = \frac{M_r}{100} \cdot \frac{\pi n}{30} = \frac{\pi^2}{16} \cdot \frac{nd^3}{3000} \tau_{ra}$$

în care: $\tau_{ra} = 210$ kgf/cm² pentru arborii din oțel carbon;

$\tau_{ra} = 315$ kgf/cm² pentru arborii din oțel aliat.

Substituind aceste valori în relațiile de mai sus, se obține:

$$d = 0,29 \sqrt[3]{Fl} = 0,29 \sqrt[3]{M_r}, \text{ respectiv } d = 12 \sqrt[3]{P/n} \quad (1)$$

pentru arborii din oțel carbon și

$$d = 0,253 \sqrt[3]{Fl} = 0,253 \sqrt[3]{M_r}, \text{ respectiv } d = 9,6 \sqrt[3]{P/n} \quad (2)$$

pentru arborii din oțel aliat.

În tabela 6.2 sînt indicate diametrele arborilor de transmisie din oțel carbon și oțel aliat pentru diferite valori ale raportului P/n .

Tabela 6.2. Diametrele arborilor pentru diferite valori ale raportului P/n (formulele 1 și 2)

| $\frac{P}{n}$ | d cm | | $\frac{P}{n}$ | d cm | | $\frac{P}{n}$ | d cm | |
|---------------|------------------------|-----------------------|---------------|------------------------|-----------------------|---------------|------------------------|-----------------------|
| | Arbori din oțel carbon | Arbori din oțel aliat | | Arbori din oțel carbon | Arbori din oțel aliat | | Arbori din oțel carbon | Arbori din oțel aliat |
| 0,0156 | 3,00 | 2,40 | 0,1589 | 6,50 | 5,20 | 1,0000 | 12,00 | 9,60 |
| 0,0199 | 3,25 | 2,60 | 0,1985 | 7,00 | 5,60 | 1,2698 | 13,00 | 10,40 |
| 0,0248 | 3,50 | 2,80 | 0,2441 | 7,50 | 6,00 | 1,5860 | 14,00 | 11,20 |
| 0,0305 | 3,75 | 3,00 | 0,2963 | 8,00 | 6,40 | 1,9507 | 15,00 | 12,00 |
| 0,0371 | 4,00 | 3,20 | 0,3554 | 8,50 | 6,80 | 2,3630 | 16,00 | 12,80 |
| 0,0527 | 4,50 | 3,60 | 0,4219 | 9,00 | 7,20 | 2,8397 | 17,00 | 13,60 |
| 0,0723 | 5,00 | 4,00 | 0,4962 | 9,50 | 7,60 | 3,3710 | 18,00 | 14,40 |
| 0,0963 | 5,50 | 4,40 | 0,5787 | 10,00 | 8,00 | 3,9640 | 19,00 | 15,20 |
| 0,1250 | 6,00 | 4,80 | 0,7703 | 11,00 | 8,80 | 4,6300 | 20,00 | 16,00 |

Exemplu: Să se determine diametrul unui arbore, care transmite o putere $P = 55$ CP și are o turație $n = 255$ rot/min. $P/n = 55 : 255 = 0,1961$.

Valoarea superioară acestei cifre, în tabela 6.2, este 0,1985, la care corespund: $d = 7$ cm pentru un arbore de transmisie din oțel carbon și $d = 5,6$ cm pentru un arbore de transmisie din oțel aliat.

b. Pentru arborii de transmisie al căror unghi de torsiune se consideră proporțional cu lungimea, formulele de calcul, independent de diametru, sînt:

$$d = 12\sqrt[4]{P/n} \text{ pentru arborii din oțel carbon} \quad (3)$$

și

$$d = 9,6\sqrt[4]{P/n} \text{ pentru arborii din oțel aliat.} \quad (4)$$

În tabela 6.3 sînt date diametrele arborilor de transmisie din oțel carbon și oțel aliat pentru diferite valori ale raportului P/n .

c. Distanța între lagăre (fig. 6.2) se calculează cu relațiile:

$$l_1 \approx 100\sqrt{d} \text{ pentru tronsoanele marginale;}$$

$$l_2 \approx 125\sqrt{d} \text{ pentru tronsoanele intermediare,}$$

în care d este diametrul arborelui.



Fig. 6.2.

Tabela 6.3. Diametrele arborilor pentru diferite valori ale raportului P/n (formulele 3 și 4)

| $\frac{P}{n}$ | d cm | | $\frac{P}{n}$ | d cm | | $\frac{P}{n}$ | d cm | |
|---------------|------------------------|-----------------------|---------------|------------------------|-----------------------|---------------|------------------------|-----------------------|
| | Arbori din oțel carbon | Arbori din oțel aliat | | Arbori din oțel carbon | Arbori din oțel aliat | | Arbori din oțel carbon | Arbori din oțel aliat |
| 0,0039 | 3,00 | 2,40 | 0,0861 | 6,50 | 5,20 | 1,0000 | 12,00 | 9,60 |
| 0,0054 | 3,25 | 2,60 | 0,1158 | 7,00 | 5,60 | 1,3774 | 13,00 | 10,40 |
| 0,0072 | 3,50 | 2,80 | 0,1526 | 7,50 | 6,00 | 1,8526 | 14,00 | 11,20 |
| 0,0095 | 3,75 | 3,00 | 0,1975 | 8,00 | 6,40 | 2,4414 | 15,00 | 12,00 |
| 0,0123 | 4,00 | 3,20 | 0,2517 | 8,50 | 6,80 | 3,1605 | 16,00 | 12,80 |
| 0,0199 | 4,50 | 3,60 | 0,3164 | 9,00 | 7,20 | 4,0279 | 17,00 | 13,60 |
| 0,0301 | 5,00 | 4,00 | 0,3928 | 9,50 | 7,60 | 5,0620 | 18,00 | 14,40 |
| 0,0441 | 5,50 | 4,40 | 0,4823 | 10,00 | 8,00 | 6,2850 | 19,00 | 15,20 |
| 0,0625 | 6,00 | 4,80 | 0,7061 | 11,00 | 8,80 | 7,7160 | 20,00 | 16,00 |

1.3. DIMENSIUNI

Dacă se cunoaște puterea ce trebuie transmisă, precum și turația arborelui de transmisie, diametrul arborelui de transmisie respectiv se găsește în tabela 6.4.

Tabela 6.4. Diametrele arborilor în funcție de puterea transmisă și de turație

| Puterea transmisă CP | Turația n , rot/min | | | | | | | | | | | | | | | Puterea transmisă CP |
|----------------------|-----------------------|-----|----|-----|-----|-----|-----|-----|-----|-----|-----|-----|-----|-----|-----|----------------------|
| | 40 | 60 | 80 | 100 | 120 | 140 | 160 | 180 | 200 | 225 | 250 | 275 | 300 | 350 | 400 | |
| 1 | 50 | 45 | 45 | 40 | 40 | 35 | 35 | 35 | 35 | 35 | 35 | 30 | 30 | 30 | 30 | 1 |
| 2 | 60 | 55 | 50 | 50 | 45 | 45 | 40 | 40 | 40 | 40 | 40 | 35 | 35 | 35 | 35 | 2 |
| 3 | 65 | 60 | 55 | 50 | 50 | 50 | 45 | 45 | 45 | 45 | 45 | 40 | 40 | 40 | 40 | 3 |
| 4 | 70 | 65 | 60 | 55 | 55 | 50 | 50 | 50 | 50 | 45 | 45 | 45 | 45 | 40 | 40 | 4 |
| 5 | 75 | 65 | 60 | 60 | 55 | 55 | 55 | 50 | 50 | 50 | 50 | 45 | 45 | 45 | 45 | 5 |
| 6 | 75 | 70 | 65 | 60 | 60 | 55 | 55 | 55 | 50 | 50 | 50 | 50 | 50 | 45 | 45 | 6 |
| 8 | 85 | 75 | 70 | 65 | 65 | 60 | 60 | 55 | 55 | 55 | 55 | 50 | 50 | 50 | 50 | 8 |
| 10 | 85 | 80 | 75 | 70 | 65 | 65 | 60 | 60 | 60 | 55 | 55 | 55 | 55 | 55 | 50 | 10 |
| 12 | 90 | 85 | 75 | 75 | 70 | 65 | 65 | 65 | 60 | 60 | 60 | 60 | 60 | 55 | 55 | 12 |
| 14 | 95 | 85 | 80 | 75 | 75 | 70 | 70 | 65 | 65 | 60 | 60 | 60 | 60 | 55 | 55 | 14 |
| 15 | 95 | 85 | 80 | 75 | 75 | 70 | 70 | 65 | 65 | 65 | 60 | 60 | 60 | 55 | 55 | 15 |
| 16 | 100 | 90 | 85 | 80 | 75 | 70 | 70 | 70 | 65 | 65 | 65 | 60 | 60 | 60 | 55 | 16 |
| 18 | 100 | 90 | 85 | 80 | 75 | 75 | 70 | 70 | 70 | 65 | 65 | 65 | 60 | 60 | 60 | 18 |
| 20 | 105 | 95 | 85 | 85 | 80 | 75 | 75 | 70 | 70 | 70 | 65 | 65 | 65 | 60 | 60 | 20 |
| 25 | 110 | 100 | 90 | 85 | 85 | 80 | 80 | 75 | 75 | 70 | 70 | 70 | 65 | 65 | 60 | 25 |

Tabela 6.4. (continuare)

| Puterea transmisă CP | Turația n, rot/min | | | | | | | | | | | | | | | Puterea transmisă CP |
|----------------------|--------------------|-----|-----|-----|-----|-----|-----|-----|-----|-----|-----|-----|-----|-----|-----|----------------------|
| | 40 | 60 | 80 | 100 | 120 | 140 | 160 | 180 | 200 | 225 | 250 | 275 | 300 | 350 | 400 | |
| 30 | 115 | 105 | 95 | 90 | 85 | 85 | 80 | 80 | 75 | 75 | 70 | 70 | 70 | 65 | 65 | 30 |
| 35 | 120 | 105 | 100 | 95 | 90 | 85 | 85 | 80 | 80 | 80 | 75 | 75 | 75 | 70 | 70 | 35 |
| 40 | 120 | 110 | 105 | 100 | 95 | 90 | 85 | 85 | 80 | 80 | 75 | 75 | 75 | 70 | 70 | 40 |
| 45 | 125 | 115 | 105 | 100 | 95 | 95 | 90 | 85 | 85 | 85 | 80 | 80 | 75 | 75 | 70 | 45 |
| 50 | 130 | 115 | 110 | 105 | 100 | 95 | 90 | 90 | 85 | 85 | 85 | 80 | 80 | 75 | 75 | 50 |
| 55 | 130 | 120 | 110 | 105 | 100 | 95 | 95 | 95 | 90 | 85 | 85 | 85 | 80 | 80 | 75 | 55 |
| 60 | 135 | 120 | 115 | 110 | 105 | 100 | 95 | 95 | 90 | 90 | 85 | 85 | 85 | 80 | 75 | 60 |
| 65 | 140 | 125 | 115 | 110 | 105 | 100 | 100 | 95 | 95 | 90 | 90 | 85 | 85 | 80 | 80 | 65 |
| 70 | 140 | 125 | 120 | 110 | 105 | 105 | 100 | 95 | 95 | 90 | 90 | 85 | 85 | 85 | 80 | 70 |
| 75 | 145 | 130 | 120 | 115 | 110 | 105 | 100 | 100 | 95 | 95 | 95 | 90 | 85 | 85 | 80 | 75 |
| 80 | 145 | 130 | 120 | 115 | 110 | 105 | 105 | 100 | 100 | 95 | 95 | 90 | 90 | 85 | 85 | 80 |
| 85 | 145 | 135 | 125 | 120 | 115 | 110 | 105 | 100 | 100 | 95 | 95 | 90 | 90 | 85 | 85 | 85 |
| 90 | 150 | 135 | 125 | 120 | 115 | 110 | 105 | 105 | 100 | 100 | 95 | 95 | 90 | 90 | 85 | 90 |
| 95 | 150 | 135 | 130 | 120 | 115 | 110 | 110 | 105 | 100 | 100 | 95 | 95 | 90 | 90 | 85 | 95 |
| 100 | 155 | 140 | 130 | 120 | 115 | 110 | 110 | 105 | 105 | 100 | 100 | 95 | 95 | 90 | 85 | 100 |

2. CUPLAJE

Asamblarea arborilor se realizează cu ajutorul cuplajelor, urmărindu-se ca axele geometrice ale acestora să formeze o linie dreaptă. După sistemul de asamblare a arborilor, cuplajele se clasifică în cuplaje rigide și cuplaje mobile.

2.1. CUPLAJE RIGIDE

Cuplajele rigide leagă capetele arborilor fără joc. Din această categorie fac parte: cuplajele cu inele, cuplajele-manșon și cuplajele cu flanșe.

a. **Cuplajele cu inele** sînt formate dintr-un manșon compus din două jumătăți, cu profilul exterior conic (fig. 6.3); strîngerea acestora pe capetele arborilor se face cu ajutorul unor inele conice. Cuplajele cu inele se pot utiliza la arborii de transmisie cu diametre d , pînă la 80 mm.

b. **Cuplajele-manșon** se utilizează la cuplarea arborilor a căror capete au diametre egale sau diametre diferite, care însă corespund unei singure mărimi de cuplaj. Ele se pot utiliza și la cuplarea arborilor ale căror capete au diametre diferite care nu corespund unei singure mărimi

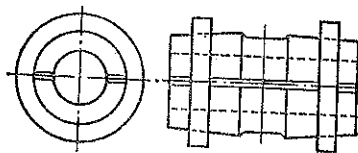


Fig. 6.3.

de cuplaj, numai dacă respectivele capete de arbore fac parte din aceeași grupă de lungimi. În acest caz, dimensiunile cuplajului ales, cu excepția alezajelor, corespund capătului de arbore cu diametrul mare.

După destinația lor, cuplajele-manșon se execută în două tipuri constructive:

- tipul CMO, pentru cuplarea directă a arborilor orizontali;
- tipul CMV, pentru cuplarea directă a arborilor verticali.

Cele două execuții se pot realiza:

- fără apărătoare de protecție (tip CMO și tip CMV);
- cu apărătoare de protecție (tip CMOa și tip CMVa).

Un cuplaj-manșon tip CMO pentru cuplarea a doi arbori ale căror capete au diametrul $d = 100$ mm, se notează: Cuplaj CMO 16 STAS 870-73.

Un cuplaj-manșon tip CMVa, destinat cuplării a doi arbori ale căror capete au unul diametrul $d = 63$ mm și altul diametrul $d = 70$ mm se notează: Cuplaj CMVa 13 — 63/70 STAS 870-73.

În tabela 6.5 sînt indicate, după STAS 870-73, dimensiunile cuplajelor-manșon tip CMO.

c. **Cuplaje cu flanșe** se utilizează la cuplarea arborilor ale căror capete au diametre egale sau diametre diferite, care însă corespund aceleiași mărimi de cuplaj.

Cuplarea arborilor ale căror capete au diametre diferite se poate realiza și prin utilizarea de semicuplaje de mărimi diferite, care au însă același diametru de montaj al șuruburilor de strîngere.

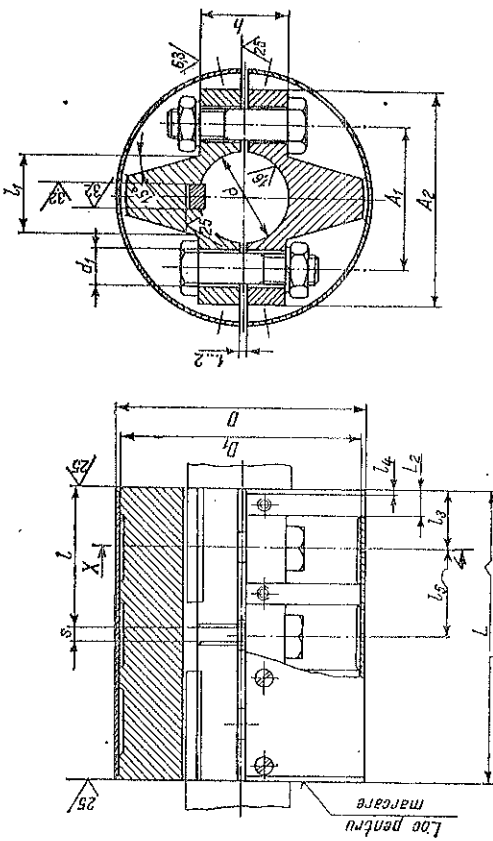
Cuplajul cu flanșe, tip CFO, destinat cuplării a doi arbori ale căror capete au diametrul $d = 40$ mm, se notează: Cuplaj CFO 7 — 70 STAS 769-73.

Cuplajul cu flanșe tip CFV, destinat cuplării a doi arbori ale căror capete au unul diametrul $d = 70$ mm și altul $d = 65$ mm, se notează: Cuplaj CFV 13—70/65 STAS 769-73.

Cuplajul cu flanșe tip CFO, destinat cuplării, prin semicuplajele de mărimi diferite, a doi arbori ale căror capete au unul diametrul $d = 48$ mm și altul $d = 50$ mm, se notează: Cuplaj CFO 8/9—48/50 STAS 769-73.

În tabela 6.6 sînt arătate dimensiunile celor două tipuri de cuplaje.

Secțiunea X-X

Tabela 6.5. Cuplaj-manshon tip CMO
(STAS 870-73)

Dimensiuni liniare în mm

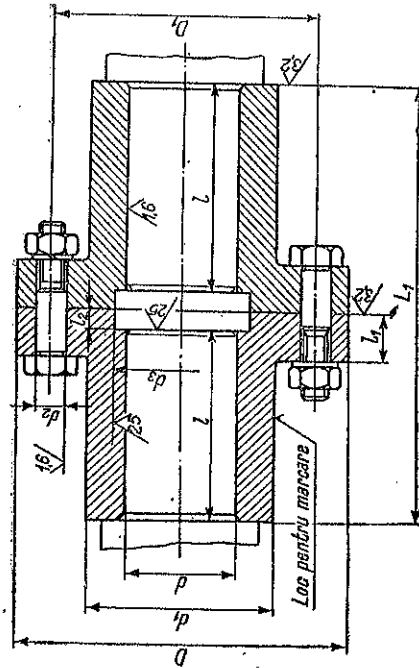
| Mărimea cuplajului | Capătul de arbore | | Turația maximă rot/min | | D | L | D ₁ | A ₁ | A ₂ | s | h | Șurub cu cap hexagonal | | d ₁ | l ₁ | l ₂ | l ₃ | l ₄ | l |
|-----------------------|-------------------|----|---------------------------|-------------|-----|-----|----------------|----------------|----------------|---|----|---------------------------|------------|----------------|----------------|----------------|----------------|----------------|----|
| | d H7 | l | Tip CMO | Tip CMOa | | | | | | | | buc. | dimensiuni | | | | | | |
| 1 | 18; 19 | 28 | | | 65 | 60 | 64 | 36 | 55 | | 20 | | M8×30 | 8,5 | 14 | 4 | 16 | 1 | 28 |
| 2 | 20 | 36 | 4500 | 2250 | 75 | 76 | 74 | 40 | 64 | 4 | | 4 | M10×35 | 10,5 | 16 | 6 | 20,5 | 2 | 35 |
| 3 | 22; 24 | | | | 85 | | 84 | 50 | 72 | | 22 | | M12×45 | 13 | 26 | | 23,5 | | 41 |
| 4 | 25; 28 | 42 | 4000 | 2000 | 95 | 88 | 94 | 53 | 80 | | 28 | | M12×50 | | 28 | 8 | 22 | 3 | 38 |
| 5 | 30; 32 | 58 | 3800 | 1900 | 100 | 120 | 99 | 56 | 84 | | 32 | 6 | | | | | | | |

Tabela 6.5 (continuare)

| Mărimea cuplajului | Capătul de arbore | | Turația max. rot/min | | D | L | D ₁ | A ₁ | A ₂ | s | h | Șurub cu cap hexagonal | | d ₁ | l ₁ | l ₂ | l ₃ | l ₄ | l ₅ |
|-----------------------|-------------------|-----|-------------------------|-------------|-----|-----|----------------|----------------|----------------|---|-----|---------------------------|------------|----------------|----------------|----------------|----------------|----------------|----------------|
| | d H7 | l | Tip CMO | Tip CMOa | | | | | | | | buc. | dimensiuni | | | | | | |
| 6 | 35; 38 | 58 | 3480 | 1740 | 110 | 120 | 109 | 65 | 94 | | 34 | | M12×50 | 13 | 36 | 22 | 3 | 38 | |
| 7 | 40; 42 | | 3300 | 1650 | 115 | | 114 | 70 | 100 | | 40 | | M12×55 | | | 8 | | | 54 |
| 8 | 45; 48 | 82 | 3200 | 1600 | 120 | 168 | 119 | 75 | 106 | | 45 | | M12×60 | | 42 | 30 | | | |
| 9 | 50 | | 2940 | 1470 | 130 | | 129 | 85 | 115 | 4 | 50 | 6 | M12×65 | | 46 | | | | |
| 10 | 55; 56 | | 2720 | 1360 | 140 | | 139 | 90 | 125 | | 55 | | M16×75 | 17 | 55 | | | | |
| 11 | 60 | | 2540 | 1270 | 150 | | 149 | 100 | 135 | | 60 | | M16×80 | | 65 | 10 | 4 | 68 | |
| 12 | 63; 65 | 105 | 2380 | 1190 | 160 | 214 | 158 | 110 | 145 | | 65 | | M20×90 | | 76 | | | | 63 |
| 13 | 70; 71; 75 | | 2240 | 1120 | 170 | | 168 | 118 | 162 | | 75 | 8 | M20×100 | 21 | 88 | | | | |
| 14 | 80; 85 | 130 | 2000 | 1000 | 190 | 264 | 188 | 130 | 176 | | 80 | | M24×110 | | 105 | 12 | | | |
| 15 | 90; 95 | | 1820 | 910 | 210 | | 208 | 155 | 205 | | 85 | | M24×120 | 25 | 110 | | 5 | 81 | |
| 16 | 100 | 165 | 1600 | 800 | 240 | | 238 | 175 | 225 | | 90 | | M30×140 | | 125 | | | | |
| 17 | 110 | | 1520 | 760 | 250 | 336 | 248 | 180 | 210 | | 100 | 10 | M30×150 | | 135 | 16 | 6 | 78 | |
| 18 | 120; 125 | | 1440 | 720 | 265 | | 263 | 200 | 260 | | 110 | | M30×160 | 31 | 145 | | | | 92 |
| 19 | 130; 140 | 200 | 1220 | 610 | 315 | 408 | 333 | 210 | 280 | | 120 | | M30×170 | | 175 | 20 | 8 | | |
| 20 | 150 | | 1140 | 570 | 335 | | 348 | 240 | 310 | | 130 | | M30×190 | | 180 | | | | 95 |
| 21 | 160; 170 | 240 | 1080 | 540 | 350 | 488 | 358 | 260 | 340 | | 150 | 12 | | | | | | | |
| 22 | 180 | | 1020 | 510 | 360 | | 408 | 260 | 340 | | 150 | | | | | | | | |
| 23 | 190; 200 | 280 | 900 | 450 | 408 | 658 | 488 | 260 | 340 | | 150 | | | | | | | | |

Observații. 1. Diametrele și lungimile capetelor de arbore, conform STAS 8724/2-71 2. Canalul de pană conform STAS 1004-71.

Tabela 6.6. Cuplaje cu flanșe tip CFO și CFV (STAS 769-73)



Dimensiuni liniare în mm

| Mărimile cuplajului | | Capătul de arbore | | Turăția max. rot/min | D | L ₁ | L ₂ | D ₁ | d ₁ | Șurub | | d ₂ | | l ₁ | l ₂ | l ₃ |
|------------------------|---------|-------------------|------|----------------------------|-----|----------------|----------------|----------------|----------------|--------------------|---------|-------------------|----|----------------|----------------|----------------|
| | | d H7 | l | | | | | | | buc. dimensiuni | nominal | abateri limită | | | | |
| 1 | 18 ; 19 | 28 | 2360 | 100 | 60 | 74 | 70 | 40 | 3 | M10×45 | 11 | +0.018 0 | 35 | 16 | 2 | 8 |
| 2 | 20 | 36 | 2340 | 105 | 76 | 90 | 75 | 45 | | | | | | | | |
| 3 | 22 ; 24 | 42 | 2240 | 115 | 88 | 106 | 85 | 55 | | | | | | | | |
| 4 | 25 ; 28 | 58 | 2180 | 130 | 120 | 138 | 100 | 70 | | | | | | | | |
| 5 | 30 ; 32 | 82 | 2120 | 135 | 168 | 190 | 105 | 75 | | | | | | | | |
| 6 | 35 ; 38 | | | | | | | | | | | | | | | 10 |
| 7 | 40 ; 42 | | | | | | | | | | | | 55 | | | |

Transmisii

Tabela 6.6. (continuare)

| Mărimile cuplajului | Capătul de arbore | | Turăția max. rot/min | D | L ₁ | L ₂ | D ₁ | d ₁ | Șurub | | d ₂ | | l ₁ | l ₂ | l ₃ |
|------------------------|-------------------|-----|----------------------------|-----|----------------|----------------|----------------|----------------|-------|------------|----------------|-------------------|----------------|----------------|----------------|
| | d H7 | l | | | | | | | buc. | dimensiuni | nominal | abateri limită | | | |
| 8 | 45; 48 | 82 | 2000 | 150 | 168 | 190 | 120 | 90 | 3 | M10×50 | | 68 | 18 | 12 | |
| 9 | 50 | | 1950 | 160 | | 130 | 100 | | | | | | | | |
| 10 | 55; 56 | | | | | | | | | | | | | | |
| 11 | 60 | 105 | 1850 | 175 | 214 | 246 | 145 | 115 | 4 | M12×65 | 13 | +0,018 0 | 25 | 16 | |
| 12 | 63; 65 | | 1700 | 190 | | 160 | 130 | | | | | | | | |
| 13 | 70; 71; 75 | | 1600 | 220 | 266 | 304 | 185 | 150 | | | | | | | |
| 14 | 80; 85 | 130 | 1500 | 240 | | | 200 | 160 | | | | 105 | | 20 | |
| 15 | 90; 95 | | 1400 | 260 | | | 220 | 180 | | | | | | | |
| 16 | 100 | | 1350 | 270 | 336 | 382 | 230 | 190 | | | | | | | |
| 17 | 110 | 165 | 1300 | 290 | | | 250 | 210 | 8 | M16×85 | 17 | | 32 | 24 | |
| 18 | 120; 125 | | 1250 | 340 | | | 290 | 240 | | | | | | | |
| 19 | 130; 140 | | 1180 | 380 | 406 | 460 | 320 | 260 | | | | | | | |
| 20 | 150 | 200 | 1120 | 420 | | | 360 | 300 | 10 | M20×100 | 21 | +0,021 0 | 36 | 28 | |
| 21 | 160; 170 | | 1060 | 440 | 490 | 550 | 380 | 320 | | | | | | | |
| 22 | 180 | | 1000 | 460 | 570 | 638 | 400 | 340 | | | | | | | |
| 23 | 190; 200 | 280 | 950 | 520 | | | 450 | 380 | 12 | M24×110 | 25 | | 40 | 32 | |
| 24 | 220 | | 900 | 560 | 670 | 738 | 490 | 420 | | | | | | | |
| 25 | 240; 250 | | 330 | | | | | | | | | | | | |

Observație. Diametrele și lungimile capetelor de arbore conform STAS 8724/2-71.

2.2. CUPLAJE MOBILE

Cuplajele mobile sînt superioare cuplajelor rigide, deoarece înlătură dezavantajele datorite solicitărilor axiale și de dilatație. Din această categorie fac parte : cuplajele de fricțiune, cuplajele cu gheare, cuplajele elastice și cuplajele flexibile.

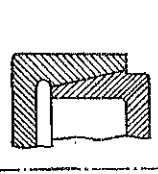


Fig. 6.4.

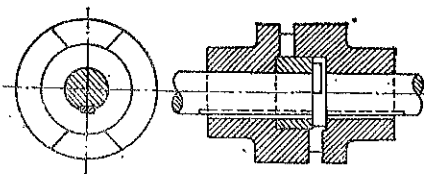


Fig. 6.5.

careea care se produce între suprafețele de contact ale cuplajelor (fig. 6.4). Manipularea cuplajelor pentru cuplarea și decuplarea arborilor se poate executa chiar în timpul mersului.

b. Cuplajele cu gheare se folosesc la arbori de transmisie solicitați la eforturi relativ mari. Acestea au dezavantajul, față de cele cu fricțiune, că nu permit cuplarea în timpul mersului. În fig. 6.5 este reprezentat un cuplaj cu gheare cu inel de centrare.

c. Cuplajele elastice. Aceste cuplaje (fig. 6.6) sînt întrebuințate pentru solidarizarea arborilor ale căror axe sînt în prelungire și pentru a compensa micile diferențe de coaxialitate. Acestea se realizează

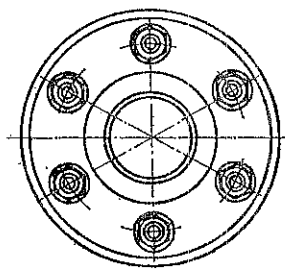
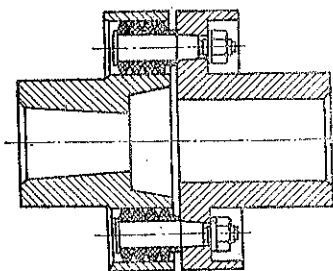


Fig. 6.6.

prin inele de piele sau de pînză cauciucată, interpuși în găurile discurilor fixate pe extremitățile celor două axe, astfel ca solidarizarea discurilor prin șuruburi să se facă în mod elastic. Formele și dimensiunile cuplajelor elastice cu bolțuri sînt indicate în STAS 5982-74.

d. Cuplajele flexibile sînt utilizate la asamblarea arborilor ale căror axe formează între ele un unghi. Cele mai des utilizate sînt cuplajele cu articulație cardanică (fig. 6.7).

3. LAGĂRE

3.1. GENERALITĂȚI

Fiecare arbore trebuie să fie susținut de cel puțin două lagăre. Lagărele pentru transmisii, după felul de așezare, sînt două tipuri : lagăre obișnuite (fig. 6.8) și lagăre suspendate (fig. 6.9).

La subcapitolul 1.2 (arbori de transmisie) s-au indicat formulele pentru calculul distanțelor dintre lagărele tronsoanelor marginale și dintre lagărele tronsoanelor intermediare. În tabela 6.7 sînt date distanțele la care trebuie montate lagărele, în funcție de diametrele arborilor.

Tabela 6.7. Distanțele între lagăre

| Diametrul arborelui mm | dela pînă la | 30 | 50 | 70 | 90 |
|-------------------------|--------------|------|------|------|------|
| | | 45 | 60 | 80 | 140 |
| Distanța între lagăre m | I | 1,75 | 2,50 | 3,00 | 3,50 |
| | II | 1,50 | 2,00 | 2,50 | 3,00 |

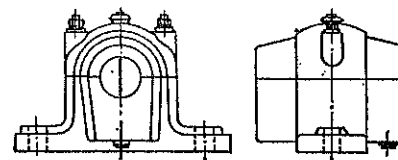


Fig. 6.8.

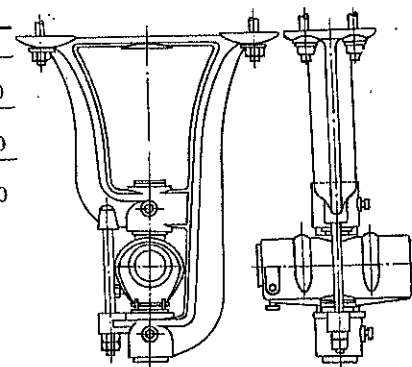


Fig. 6.9.

rilor, pentru cazul cînd sarcina este uniform repartizată pe lungimea transmisiei (I) și pentru cazul cînd sarcina este repartizată neuniform (II)

Roțile de curea și cuplajele trebuie montate în imediată apropiere a lagăreelor ; dacă există mai multe roți de curea, cele mai mari se vor monta în apropierea cuplajelor.

Pentru protejarea arborilor de transmisie și pentru micșorarea frecărilor între suprafețele de contact, lagărele sînt prevăzute de obicei cu cuzineți și, uneori, cu rulmenți.

După felul frecării care ia naștere în diferite tipuri de lagăre, acestea se împart în : lagăre de alunecare, lagăre de rostogolire și lagăre combinate.

La rîndul lor, după direcția forțelor principale care lucrează asupra lor, lagărele se subîmpart în lagăre radiale, lagăre axiale și lagăre radial-axiale.

3.2. LAGĂRE CU ALUNECARE

În construcția mașinilor-unelte și în general cînd se cere o precizie în funcționare, se folosește în mod obișnuit lagărele cu alunecare cu cuzineți.

Cuzineții sînt manșoane dintr-o singură sau din două jumătăți; aceștia se execută, în general, din bronz și, uneori, pentru sarcini mai mici din fontă. Cuzineții pot fi căptușiți cu compoziție pentru lagăre (STAS 202-73), turnată direct pe fața interioară a cuzineților.

Ca ungerea fusurilor arborilor să fie posibilă și eficace, pe suprafața cuzineților se execută canale de ungere cu un anumit profil; acestea sînt puse în comunicație fie cu canalul care conduce la vasul de ungere, fie cu inelul de ungere care, prin mișcarea pe care o execută în jurul arborelui, antrenează cu el uleiul depozitat în corpul lagărului.

Corpurile de lagăre cu alunecare (cu baza de fixare în plan orizontal), cu inele de ungere, pentru arbori orizontali, sînt standardizate prin STAS 771-67 în trei tipuri: lagăr scurt (tip US), lagăr lung (tip UL) și lagăr compact (UC). În tabela 6.8 sînt indicate dimensiunile acestor lagăre.

Cuzineții folosiți pentru lagărele transmisiiilor sînt, de obicei bușe din bronz, alamă sau fontă, conform STAS 772-67.

Dimensiunile bușelor pentru lagărele de alunecare sînt arătate în tabela 6.9, iar forma și dimensiunile canalelor de ungere în aceste bușe, în tabela 6.10.

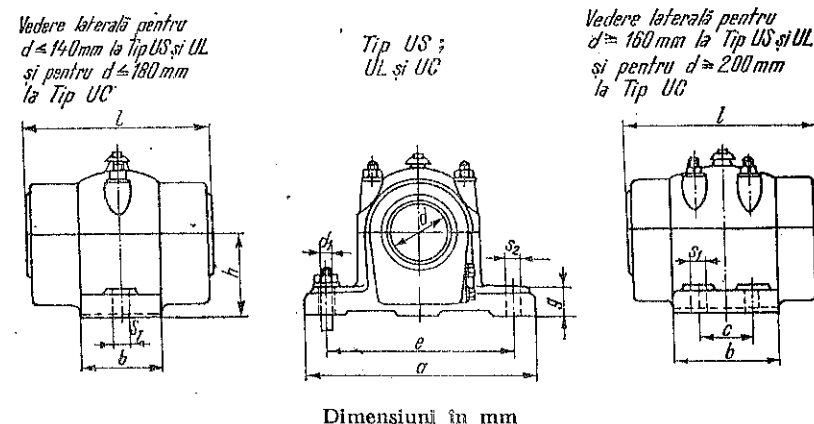
Inelele de ungere pentru lagăre se execută, de obicei, din oțel, și în cazuri speciale, din alamă. Formele și dimensiunile acestor inele pentru lagăre cu diametrul nominal de la 10—200 mm sînt standardizate (STAS 773-70).

3.3. LAGĂRE CU RULMENȚI

Lagărele cu rulmenți fac parte din grupa lagărelor de rostogolire.

Rulmenții au rolul cuzinetului din lagărul cu alunecare. Ei se introduc între fus sau arbore și carcasă. Corpurile de rostogolire montate între inelul exterior și inelul interior al rulmentului sînt despărțite între ele printr-o colivie care le cuprinde și le ghidează. Colivia se confecționează din tablă de oțel moale, de bronz, alamă, aluminiu sau,

Tabela 6.8. Lagăre cu alunecare cu inel de ungere (STAS 771-67)

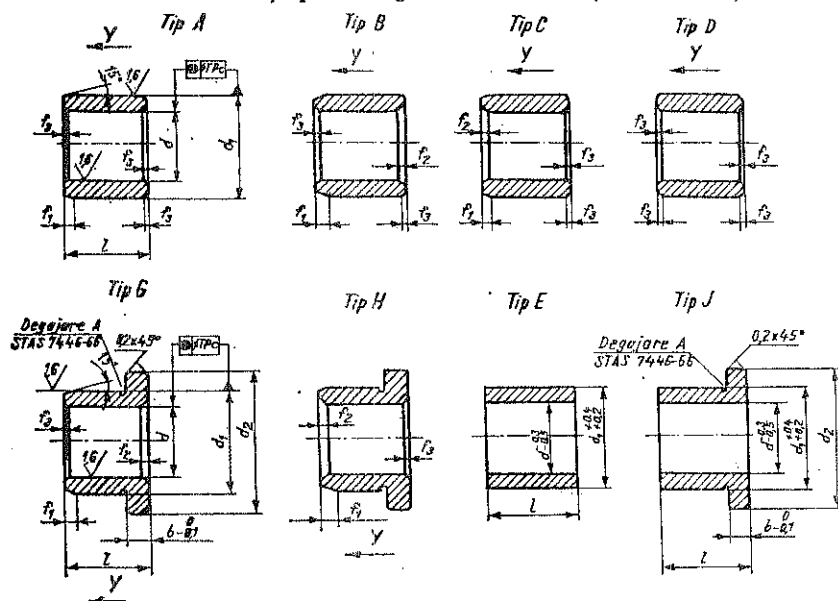


Dimensiuni în mm

| d | h | l max | | | a | b | g | e | o | d ₁ | S ₁ | S ₂ max. | Numărul de șuruburi |
|------------|-----|--------|--------|--------|------|-----|-----|-----|-----|----------------|----------------|---------------------|---------------------|
| | | tip UL | tip US | tip UC | | | | | | | | | |
| 25; 28 | 60 | — | — | 100 | 180 | 45 | 20 | 140 | — | M10 | 13 | 18 | 2 |
| 32; 36; 40 | 63 | 120 | 110 | 110 | 200 | 55 | 25 | 150 | — | M12 | 15 | 20 | |
| | 75 | 150 | 125 | 125 | 220 | 65 | — | 170 | — | — | — | — | |
| 45; 50 | 90 | 180 | 140 | 140 | 260 | 75 | 30 | 200 | — | M16 | 20 | 25 | |
| 55 | 100 | 210 | 160 | 160 | 290 | 85 | — | 230 | — | — | — | — | 2 |
| 63; 70 | 112 | 240 | 180 | 180 | 330 | 95 | 35 | 260 | — | M20 | 25 | 30 | |
| 80 | 125 | 270 | 200 | 200 | 370 | 110 | — | 290 | — | — | — | — | |
| 90 | 140 | 300 | 224 | 224 | 410 | 125 | 50 | 320 | — | M24 | 30 | 34 | |
| 100; 110 | 170 | 360 | 250 | 250 | 470 | 150 | — | 370 | — | — | — | — | 4 |
| 125; 140 | 200 | 450 | 315 | 315 | 560 | 195 | 70 | 450 | — | M30 | 36 | 44 | |
| 160; 180 | 250 | 550 | 355 | 355 | 660 | 250 | — | 540 | 130 | — | — | — | |
| 200; 220 | 300 | 650 | 425 | 425 | 760 | 310 | 95 | 630 | 170 | M36 | 42 | 52 | |
| 250 | 355 | 750 | 500 | 500 | 860 | 370 | — | 720 | 210 | — | — | — | 4 |
| 280 | 400 | 850 | 560 | 560 | 960 | 440 | 110 | 810 | 250 | M42 | 49 | 66 | |
| 320 | 450 | 950 | 630 | 630 | 1070 | 510 | 125 | 900 | 300 | M48 | 56 | 75 | |
| | | | | | | | | | | | | | |

Observații. 1. Lagărele cu alunecare, cu inel de ungere se execută în trei tipuri: tip UL, lagăr lung; tip US, lagăr scurt; tip UC, lagăr compact. 2. Corpul și capacul lagărului se execută din Fe 20 STAS 568-75. Atenție! 3. Pentru tipul UC, dimensiunile din rîndul 1 corespund pentru diametrele d din rîndul 2, cele din rîndul 2 pentru diametrele din rîndul 3 și așa mai departe. De exemplu, pentru tipul UC, pentru diametrul d = 80, corespund dimensiunile: h = 112; l_{max} = 180; a = 330; b = 95; g = 35 etc.

Tabela 6.9. Bueșe pentru lagăre cu alunecare (STAS 772-67)



Dimensiuni în mm

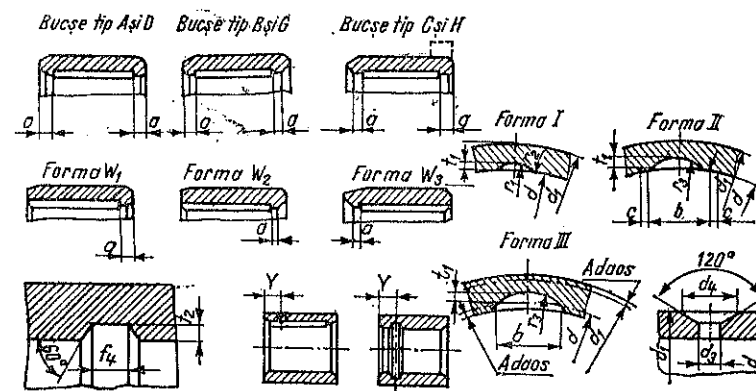
| d | d ₁ | | d ₂ | b | f ₁ | f ₂ | f ₃ | | | | | | | | | | |
|----|----------------|----------|----------------|-----|----------------|----------------|----------------|----|----|----|----|----|----|----|----|--|--|
| | Seria I | Seria II | | | | | | | | | | | | | | | |
| 3 | 5 | 6 | 8 | | | | | 3 | 4 | | | | | | | | |
| 4 | 6 | 8 | 10,5 | 1 | — | — | 0,1 | 4 | 6 | 8 | | | | | | | |
| 5 | 8 | 9 | 12 | 1,2 | | | | 6 | 8 | 10 | | | | | | | |
| 6 | 9 | 10 | 14 | 1,6 | | | | 6 | 8 | 10 | | | | | | | |
| 8 | 11 | 12 | 16 | 2 | | | 0,2 | 6 | 8 | 10 | | | | | | | |
| 10 | 14 | 16 | 20 | 3 | | | | 8 | 10 | 12 | | | | | | | |
| 12 | 16 | 18 | 22 | 4 | | 0,5 | | 8 | 10 | 12 | | | | | | | |
| 14 | 18 | 20 | 25 | | | | | 8 | 10 | 12 | 14 | 16 | | | | | |
| 15 | 20 | 22 | 26 | | | | | 8 | 10 | 12 | 14 | 16 | | | | | |
| 16 | 20 | 22 | 28 | | 0,4 | 0,8 | 0,3 | 8 | 10 | 12 | 14 | 16 | | | | | |
| 18 | 22 | 25 | 30 | 5 | | | | 10 | 12 | 14 | 16 | 18 | | | | | |
| 20 | 25 | 26 | 32 | | | | | 10 | 12 | 14 | 16 | 18 | 20 | | | | |
| 22 | 26 | 28 | 35 | | | 1,2 | | 10 | 12 | 14 | 16 | 18 | 20 | 22 | | | |
| 25 | 30 | 32 | 40 | | | | | 12 | 14 | 16 | 18 | 20 | 22 | 25 | 28 | | |
| 28 | 34 | 36 | 44 | 6 | 0,6 | | | 12 | 14 | 16 | 18 | 20 | 22 | 25 | 28 | | |
| 30 | 36 | 38 | 46 | | | | | 14 | 16 | 18 | 20 | 22 | 25 | 28 | 32 | | |
| 32 | 38 | 40 | 48 | | | | | 16 | 18 | 20 | 22 | 25 | 28 | 32 | 36 | | |
| 34 | 42 | 45 | 50 | | | | | 16 | 18 | 20 | 22 | 25 | 28 | 32 | 36 | | |
| 36 | 42 | 45 | 52 | | | | | 16 | 18 | 20 | 22 | 25 | 28 | 32 | 36 | | |
| 38 | 45 | 48 | 55 | | | | | 16 | 18 | 20 | 22 | 25 | 28 | 32 | 36 | | |
| 40 | 48 | 50 | 58 | | 2 | 0,4 | | 16 | 18 | 20 | 22 | 25 | 28 | 32 | 36 | | |

Tabela 6.9. (continuare)

| d | d ₁ | | d ₂ | b | f ₁ | f ₂ | f ₃ | l | | | | | | | | | |
|-----|----------------|----------|----------------|----|----------------|----------------|----------------|----|----|----|----|----|----|----|----|-----|--|
| | Seria I | Seria II | | | | | | | | | | | | | | | |
| 42 | 50 | 52 | 60 | | | | | 18 | 20 | 22 | 25 | 28 | 32 | 36 | 40 | 45 | |
| 45 | 52 | 56 | 64 | 7 | 0,8 | | | 18 | 20 | 22 | 25 | 28 | 32 | 36 | 40 | 45 | |
| 48 | 56 | 58 | 66 | | | | | 20 | 22 | 25 | 28 | 32 | 36 | 40 | 45 | 50 | |
| 50 | 58 | 60 | 68 | | | | | 20 | 22 | 25 | 28 | 32 | 36 | 40 | 45 | 50 | |
| 52 | 60 | 63 | 70 | | | | | 22 | 25 | 28 | 32 | 36 | 40 | 45 | 50 | 55 | |
| 55 | 65 | — | — | | | | | 25 | 28 | 32 | 36 | 40 | 45 | 50 | 55 | — | |
| 60 | 72 | 75 | 84 | | | | | 25 | 28 | 32 | 36 | 40 | 45 | 50 | 55 | 63 | |
| 63 | 75 | — | 86 | 8 | | 3 | | 25 | 28 | 32 | 36 | 40 | 45 | 50 | 55 | 63 | |
| 65 | 78 | 80 | 90 | | | | | 25 | 28 | 32 | 36 | 40 | 45 | 50 | 55 | 63 | |
| 70 | 82 | 85 | 95 | | | | | 28 | 32 | 36 | 40 | 45 | 50 | 55 | 63 | 70 | |
| 75 | 90 | — | 105 | | | | 0,5 | 32 | 36 | 40 | 45 | 50 | 55 | 63 | 70 | 80 | |
| 80 | 95 | 100 | 110 | | 1 | | | 32 | 36 | 40 | 45 | 50 | 55 | 63 | 70 | 80 | |
| 85 | 100 | — | 115 | 10 | | 4,5 | | 36 | 40 | 45 | 50 | 55 | 63 | 70 | 80 | 90 | |
| 90 | 105 | 110 | 120 | | | | | 36 | 40 | 45 | 50 | 55 | 63 | 70 | 80 | 90 | |
| 95 | 110 | — | 125 | | | | | 40 | 45 | 50 | 55 | 63 | 70 | 80 | 90 | 100 | |
| 100 | 115 | 120 | 140 | | | | | 40 | 45 | 50 | 55 | 63 | 70 | 80 | 90 | 100 | |

Observații. 1. Cotele neindicate la tipurile B, C și D sînt identice cu cele de la tipul A, iar cotele neindicate la tipul H sînt identice cu cele de la tipul G. 2. Muchiile interioare și exterioare cotate cu f_2 și f_3 se teșesc la 45° . 3. Săgeata Y arată sensul introducerii bușei în alezaj la montare (bușea se introduce în alezaj cu capătul teșit la $f_1 \times 15^\circ$). 4. Se recomandă următoarele simboluri ale cimpurilor de toleranță la diametrele bușelor finite (tip A, B, C, D, G și H), înainte de montajul lor în lagăr: pentru diametrul interior d , F 7 iar pentru diametrul exterior, d_1 , r6.

Tabela 6.10. Canale de ungere la lagărele cu alunecare tip bușă (STAS 772-67)



Dimensiuni în mm

| Diametrul interior al bușei d | Găuri radiale | | Canale longitudinale | | | | | | | Canale circulare | | Deplasarea Y min |
|-------------------------------|----------------|----------------|----------------------|----------------|----------------|-----|-----|----------------|---|------------------|----------------|------------------|
| | d ₂ | d ₄ | r ₁ | r ₂ | r ₃ | b | c | t ₁ | a | f ₁ | f ₂ | |
| 10...25 | 3 | 6,5 | 1 | 3 | 2,5 | 3,5 | 0,8 | 0,8 | 3 | 2 | 0,8 | 6 |
| 28...38 | 3 | 6,5 | 1,5 | 4,5 | 4 | 6 | 1 | 1 | 3 | 2 | 1 | 6 |
| 40...55 | 4 | 9 | 2 | 6 | 6 | 8 | 1,2 | 1,2 | 4 | 2,6 | 1,2 | 8 |

Tabela 6.10 (continuare)

| Diametrul interior al bucei d | Găuri radiale | | Canale longitudinale | | | | | | | Canale circulare | | Deplasarea |
|------------------------------------|---------------|-------|----------------------|-------|-------|-----|-----|-------|-----|------------------|-------|------------|
| | d_2 | d_1 | r_1 | r_2 | r_3 | b | c | t_1 | a | f_1 | f_2 | Y mm. |
| 60... 70 | 6 | 14,5 | 3 | 9 | 8 | 11 | 1,5 | 1,5 | 6 | 4,3 | 1,5 | 12 |
| 75...100 | 6 | 14,5 | 4 | 12 | 12 | 15 | 2 | 1,8 | 6 | 4,3 | 1,8 | 12 |
| 105...150 | 8 | 18,5 | 5 | 15 | 20 | 22 | 3 | 2,2 | 8 | 7,5 | 2,2 | 16 |
| 160...200 | 10 | 27,5 | 7 | 21 | 28 | 30 | 4 | 2,7 | 10 | 11 | 2,7 | 20 |
| 210...250 | 10 | 27,5 | 9 | 27 | 35 | 39 | 5 | 3,5 | 12 | 14 | 3,5 | 26 |

Observații. 1. Găuri radiale sau canale circulare deplasate pot fi prevăzute numai dacă $d \geq 2 Y$. 2. Exemple de notare a unei buce finite tip C, având diametrul interior $d = 40$ mm cu simbolul cimpului de toleranță F7, diametrul exterior $d_1 = 48$ mm cu simbolul r 6, lungimea $l = 38$ mm, două canale longitudinale, deschise spre capătul de introducere în alezaj și opus țesăturii f_2 , executată din oțel carbon de calitate OCL 45; Bucea C 40 F7/48 r6 \times 38 U2 W2 STAS 772-67/OCL 45 STAS 830-66.

uneori, din mase plastice sintetice. Inelele rulmentului și corpurile de rostogolire (rulare) se execută din oțel aliat cu crom, având aproximativ următoarea compoziție: 0,95—1,15% C, 0,4—1,65% Cr, 0,2—0,4% Mn, 0,15—0,35% Si, max. 0,02% S, max. 0,027% P. După tratamentul termic, duritatea inelelor variază între 61 și 64 HRC, iar a corpurilor de rostogolire este de 62—65 HRC.

Bulmenții în funcție de sarcina la care sînt solicitați se împart în următoarele grupe:

— rulmenți radiali (fig. 6.10, a și b), solicitați numai de sarcini radiale sau care sînt destinați, de obicei, pentru sarcini radiale, putînd însă suporta și sarcini axiale;

— rulmenți axiali (fig. 6.10, c și d), destinați pentru a suporta numai sarcini axiale;

— rulmenți radial-axiali, destinați pentru a suporta sarcini combinate, adică sarcini radiale și axiale, care acționează simultan, putînd predomina atît sarcina radială cît și sarcina axială;

— rulmenți axial-radiali, destinați, de obicei, pentru a suporta sarcini axiale și concomitent și mici sarcini radiale.

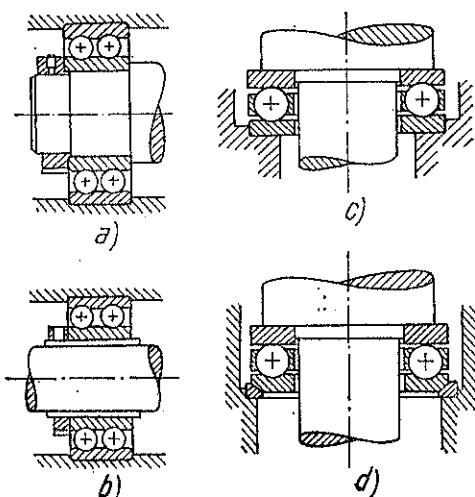


Fig. 6.10.

După forma corpurilor de rulare, rulmenții se clasifică în rulmenți cu bile și rulmenți cu role (cilindrice, conice, ace, butoi).

După particularitățile constructive, rulmenții se împart în rulmenți cu autoreglare (oscilanți) și rulmenți fără autoreglare (neoscilanți).

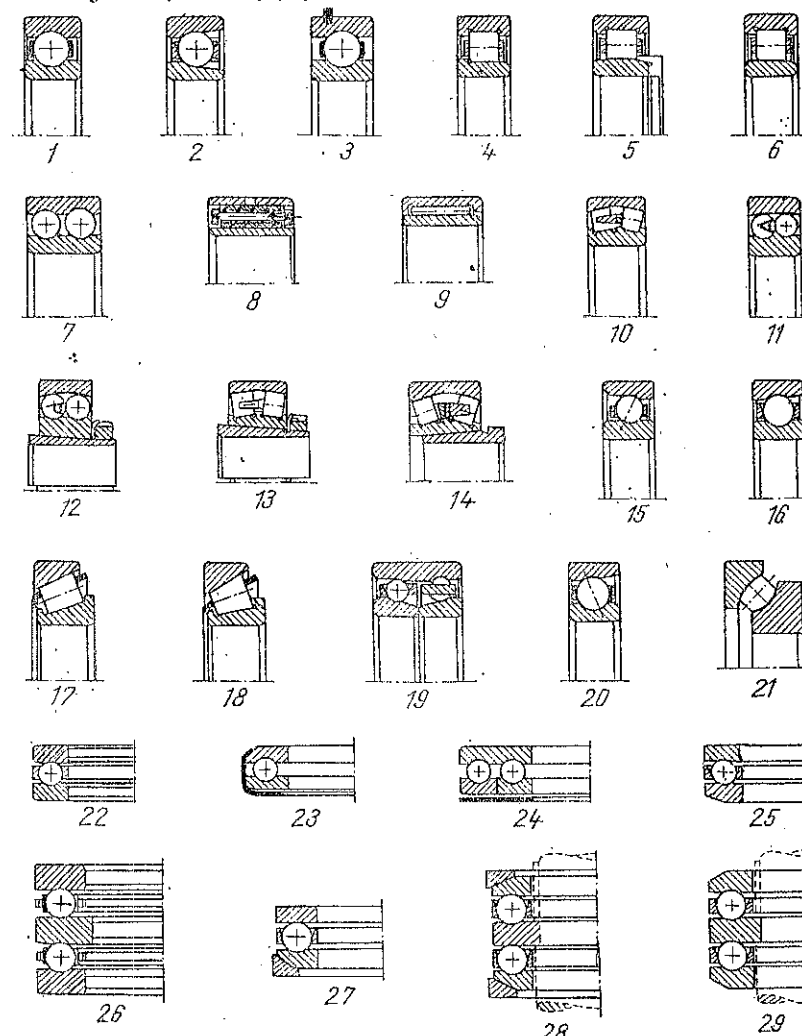


Fig. 6.11.

După numărul rîndurilor corpurilor de rulare rulmenții se clasifică în rulmenți cu un rînd, cu două rînduri și cu mai multe rînduri.

În funcție de condițiile de utilizare, în STAS 5115-71 se stabilesc trei clase de utilizare:

— rulmenții din clasa de utilizare 1 sînt recomandați în general a se folosi cu precădere;

— rulmenții din clasa de utilizare 2 pot fi utilizați numai atunci cînd nu se pot utiliza rulmenți din clasa de utilizare 1;

— rulmenții din clasa de utilizare 3, sînt nerecomandați și pot fi utilizați numai atunci cînd nu se pot utiliza rulmenți din clasele de utilizare 1 și 2.

În același standard se găsesc tabelele claselor de utilizare pentru următoarele tipuri de rulmenți:

- rulmenți radiali cu bile pe un rînd;
- rulmenți radiali cu bile pe un rînd — variante constructive;
- rulmenți radial-axiali cu bile pe un rînd și două rînduri;
- rulmenți radial-oscilanți cu bile pe două rînduri;
- rulmenți radiali cu role cilindrice pe un rînd;
- rulmenți radiali cu role cilindrice pe două rînduri;
- rulmenți, radiali-oscilanți cu role butoi pe două rînduri;
- rulmenți axial-oscilanți cu role butoi;
- rulmenți radial-axial cu role conice pe un rînd;
- rulmenți axiali cu bile pe un rînd, cu simplu și dublu efect;
- rulmenți radiali cu ace.

Simbolizarea rulmenților este tratată în STAS 1679-75, iar corespondența simbolurilor după STAS și ISO se găsește în STAS R 7760-67.

Simbolul unui rulment cuprinde două părți distincte: simbolul de bază și simbolurile suplimentare (prefixe și sufixe).

Simbolul de bază este format din simbolul seriei de rulmenți și simbolul alezajului rulmentului.

Simbolul seriei de rulmenți este format din simbolul tipului rulmentului și simbolul seriei de dimensiuni.

Pentru rulmenții care au dimensiuni de gabarit conform STAS 5916-69, STAS 5975-69, STAS 6112-69 și STAS 6189-69, simbolurile seriilor de dimensiuni sînt cele prevăzute în aceste standarde.

Simbolurile principalelor serii de rulmenți după STAS 1679-75 se găsesc în tabela 1.19 din manualul „Rulmenții” de I. Rabinovici ș.a. (Editura tehnică, 1977).

Simbolul alezajului rulmentului se notează prin cifre care exprimă diametrul alezajului în mm, acestea fiind situate imediat după simbolul seriei de rulmenți. În tabela 6.11 sînt indicate regulile și modul de simbolizare a alezajului rulmentului. În cazul în care simbolul de bază este format atît din litere cît și din cifre, partea literală se separă de cea numerică printr-un interval de un semn. Exemplu: NU 205.

Tabela 6.11. Simbolizarea alezajului rulmentului (STAS 1679-75)

| Diametrul alezajului mm | | Modul de simbolizare a alezajului | Exemple |
|-------------------------|---------|---|---|
| de la | pînă la | | |
| 0,6 | 9 | Valoarea alezajului, exprimat în mm. Valoarea se notează după seria rulmentului. Dacă seria rulmentului e formată din trei cifre, se separă printr-o linie oblică de aceasta. Dacă diametrul alezajului este o fracție zecimală, se separă întotdeauna de simbolul seriei printr-o linie oblică | Rulment radial cu bile din seria 62 cu diametrul alezajului de 5 mm: 625 Rulment axial cu bile din seria 512 cu diametrul alezajului șabei de fus de 8 mm: 512/8 Rulment radial cu bile, din seria 62, cu diametrul alezajului de 1,5 mm: 62/1,5 |
| 10 | 17 | Valoarea alezajului se exprimă printr-un simbol și anume: 00 pentru alezajul de 10 mm diametru 01 pentru alezajul de 12 mm diametru 02 pentru alezajul de 15 mm diametru 03 pentru alezajul de 17 mm diametru Acest simbol se notează după seria rulmentului. Valabil pentru toate seriile cu excepția seriilor: BO; E; L; EA; M; Wa 1; Wa 2 ¹⁾ | Rulment radial cu bile din seria 62 cu diametrul alezajului de 12 mm: 6201 Rulment radial cu role cilindrice, seria NU 22 cu diametrul alezajului de 17 mm: NU 2 203 |
| 20 | 480 | Valoarea alezajului se exprimă printr-un simbol egal cu 1/5 din diametrul alezajului în mm. Acest simbol se notează după seria rulmentului. OBSERVAȚIE: Pentru diametre pînă la 45 mm, înaintea simbolului alezajului se pune zero. Valabil pentru toate seriile, cu excepția seriilor: BO; E; L; EA; M; Wa 1; Wa 2 ¹⁾ și cu excepția alezajelor avînd valori intermediare față de seria prevăzută în planul general de dimensiuni ²⁾ . | Rulment radial-axial cu bile din seria 73 cu diametrul alezajului de 30 mm: 7306 Rulment oscilant cu role din seria 232 cu diametrul alezajului de 120 mm: 23224 |
| 500 | — | Valoarea alezajului, exprimată în mm. Acest simbol se separă de seria rulmentului printr-o linie oblică. | Rulment oscilant cu role din seria 230 cu diametrul alezajului de 530 mm: 230/530 |

Observații. 1. Pentru seriile BO; E; L; EA; M; Wa 1 și Wa 2 diametrul alezajului, exprimat în mm, se notează după simbolul rulmentului. La seriile Wa 1 și Wa 2 diametrul se exprimă întotdeauna cu trei cifre (de ex. diametrul de 5 mm se notează 005, cel de 25 mm, se notează 025 etc.). 2. Pentru alezajele intermediare, alezajul se simbolizează prin valoarea diametrului exprimată în mm, separată cu o linie oblică de simbolul seriei rulmentului.

Simbolurile suplimentare se referă la prefixe și la sufixe.

Prin prefixe se simbolizează:

— materialul — altul decât oțelul pentru rulmenți — din care se execută inelele și corpurile de rostogolire (de exemplu: H — oțel refractar; X — oțel inoxidabil; M — aliaj pe bază de cupru; T — oțel de cementare; UR — oțel de înaltă puritate pentru rulmenți; URE — oțel elaborat la cuptoare electrice; URV — oțel elaborat sub vacuum; S — mase plastice, sticlă, ceramică etc.);

— părți ale rulmenților compleți (de exemplu: K — colivia cu corpuri de rostogolire a rulmentului demontabil; L — inelul liber al rulmentului demontabil etc.).

Prin sufixe se indică variantele constructive ale rulmentului sau modificări ale construcției interioare sau exterioare.

Condițiile generale pentru rulmenți sunt precizate în STAS 4207-70. Ele se referă la condițiile tehnice (calitatea materialului, execuție și funcționare, aspectul suprafețelor, abaterilor limită privind montajul și precizia rulării), condițiile de recepție, metodele de încercare și verificare, marcare, protejare și ambalare.

Formele diferitelor tipuri de rulmenți sunt arătate în fig. 6.11.

Dintre rulmenții standardizați până în prezent, se menționează următorii: radial cu bile pe un rând (STAS 3041-68), radial-axial cu bile pe un rând (STAS 7416-69), radial-oscilant cu bile pe două rânduri (STAS 6846-68), axial cu bile cu simplu efect (STAS 3921-68), axial cu bile cu dublu efect (STAS 3922-68) radial cu role cilindrice (STAS 3043-68), radial cu role cilindrice pe două rânduri (STAS 6190-68), radial-axial cu role conice (STAS 3920-73), axial-oscilant cu role butoi (STAS 7651-73), radial-oscilant cu role butoi pe două rânduri (STAS 3918-68), cu ace (STAS 7016/1-69).

4. ROȚI DE CUREA

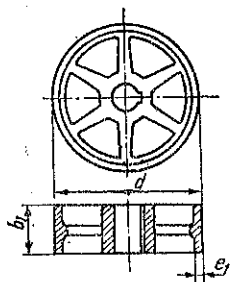


Fig. 6.12.

După profilul curelelor, roțile de curea, folosite curent la transmisii, se pot clasifica în roți pentru curele late și roți pentru curele trapezoidale.

4.1. ROȚI PENTRU CURELE LATE

Sunt executate, în general, din fontă și, uneori, din lemn (arțar sau fag) sau tablă de oțel ambutisată.

Lățimea b_1 a roților (fig. 6.12) se stabilește în raport cu lățimea curelelor.

În tabela 6.12 sunt indicate lățimile roților de curea pentru diferite lățimi ale curelei.

Tabela 6.12 Lățimea roților pentru curele late

| Lățimea mm | curelei | b | 30 | 40 | 50 | 60 | 70 | 85 | 100 | 120 | 140 |
|------------|---------|-------|-----|-----|-----|-----|-----|-----|-----|-----|-----|
| | obezii | b_1 | 40 | 50 | 60 | 70 | 85 | 100 | 120 | 140 | 170 |
| | curelei | b | 170 | 200 | 230 | 260 | 300 | 350 | 400 | 450 | 550 |
| | obezii | b_1 | 200 | 230 | 260 | 300 | 350 | 400 | 450 | 500 | 600 |

Grosimea obezii e_1 se calculează după formula: $e_1 = 0,01 b_1 + 0,3$ cm.

În tabela 6.13 sunt indicate informativ diametrele exterioare ale roților pentru curele late.

Tabela 6.13 Diametrele roților pentru curele late

| | | | | | | | | | | | | | | |
|-------|-------|-------|-------|-------|-------|-------|-------|-------|-------|-------|-------|-------|-------|--------|
| 50 | 63 | 80 | 90 | 100 | 112 | 125 | 140 | 160 | 180 | 200 | 225 | 250 | 280 | 320 |
| 360 | 400 | 450 | 500 | 560 | 630 | 710 | 800 | 900 | 1 000 | 1 120 | 1 250 | 1 400 | 1 600 | 1 800 |
| 2 000 | 2 250 | 2 500 | 2 800 | 3 200 | 3 600 | 4 000 | 4 500 | 5 000 | 5 600 | 6 300 | 7 100 | 8 000 | 9 000 | 10 000 |

Roțile de curea se execută, în general, cu profil bombat, deoarece au avantajul că mențin cureaua pe partea cea mai ridicată a profilului. Profilul bombat nu poate fi folosit la roțile de curea semiîncrucșate.

Între diametrul roții conducătoare D , roții conduse D_1 și numărul rotațiilor pe minut respective, n și n_1 , există relația:

$$\frac{D}{D_1} = \frac{n_1}{n}$$

Din această relație se deduc valorile pentru D , D_1 , n și n_1 :

$$D = D_1 n_1 / n; D_1 = D n / n_1; n = n_1 D_1 / D; n_1 = n D / D_1.$$

Din nomograma din fig. 6.13 se pot stabili valorile diametrelor exterioare și numărul rotațiilor pe minut ale roților conducătoare și conduse.

Exemplu: Să se deducă diametrul D_1 al roții conduse din nomograma din fig. 6.13 cunoscând că diametrul roții conducătoare $D = 160$ mm și turațiile ambelor roți sunt $n = 800$ rot/min și $n_1 = 280$ rot/min.

Abscisa punctului de intersecție a dreptei oblice a diametrului de 160 mm, cu verticala lui $n=800$, se intersectează cu verticala corespunzătoare lui $n_1=280$ în punctul prin care trece dreapta oblică corespunzătoare diametrului de 450, care este diametrul roții conduse D_1 .

Raportul de transmitere i , în cazul când se adaugă o transmisie intermediară (fig. 6.14) este:

$$i = i_1 \cdot i_2 = \frac{D}{d_2} \cdot \frac{D_2}{D_1} = \frac{n_1}{n_2} \cdot \frac{n_2}{n} = \frac{n_1}{n}$$

Roțile de transmisie în trepte (fig. 6.15) se dimensionează astfel ca numărul rotațiilor pe minut ale arborelui condus să formeze o progresie geometrică.

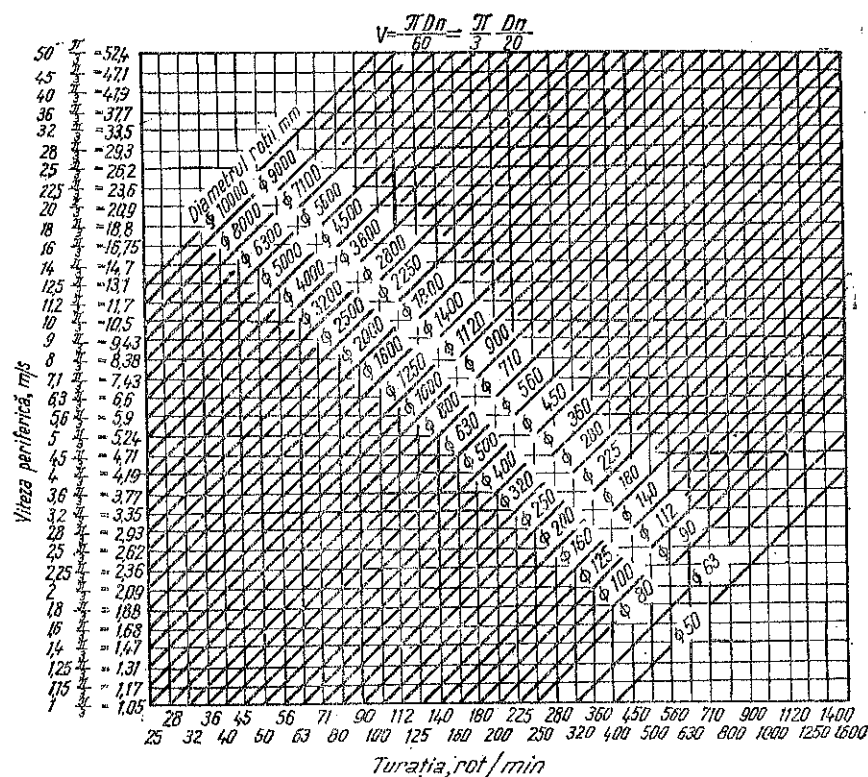


Fig. 6.13.

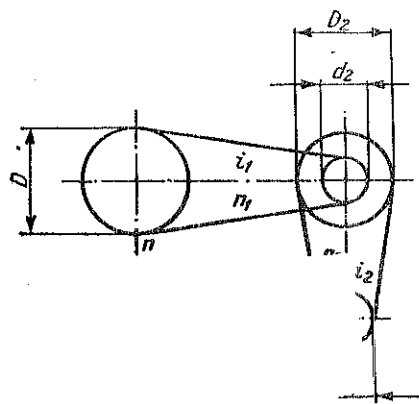


Fig. 6.14.

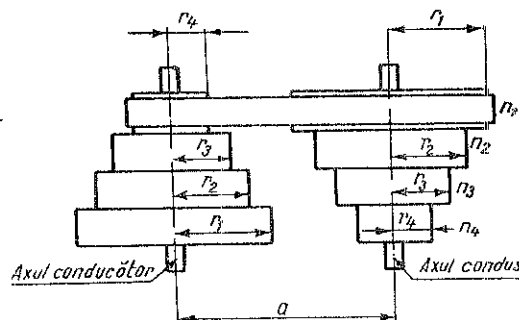


Fig. 6.15.

Raportul de transmitere total este : $i = \frac{n_2}{n_1} = \frac{n_3}{n_2} = \dots = \frac{n_m}{n_{m-1}}$

se obțin, pentru n_2, n_3, \dots, n_m , valorile

$$n'_2 = i \cdot n_1; n'_3 = i \cdot n_2 = i^2 \cdot n_1; \dots; n_m = i^{m-1} \cdot n_1.$$

Din ultima relație rezultă, pentru i și m , valorile :

$$i = \sqrt[m-1]{n_m/n_1}; m = 1 + \log n_m/n_1 : \log i.$$

Raportul de transmitere i , pentru o variație mică a vitezelor cum este cazul mașinilor-unelte grele, va primi valori până la 1,5; pentru variații mai mari ale vitezelor, va primi valori între 1,5 și 2.

4.2. ROȚI PENTRU CURELE TRAPEZOIDALE

Indicațiile de calcul și proiectare pentru transmisiile prin curele trapezoidale sînt date în STAS 1163-71.

Forma și dimensiunile canalelor roților de curea avînd secțiunile Y, Z, A, B, C, D, E și (16) sînt stabilite prin STAS 1162-67.

În tabela 6.14 sînt indicate tipurile de canale pentru curelele trapezoidale clasice (STAS 1164-71) și curelele trapezoidale înguste (STAS 7192-65).

Tabela 6.14. Secțiunile canalelor în funcție de tipul curelelor

| Secțiunea canalului | Y | Z | A | B | C | D | E | (16) |
|---|---|-----|-----|-----|-----|---|---|---------|
| Tipul curelei trapezoidale clasice (STAS 1164-71) | Y | Z | A | B | C | D | E | — |
| Tipul curelei trapezoidale înguste (STAS 7192-65) | — | SPZ | SPA | SPB | SPC | — | — | (16×16) |

Observație. Folosirea curelei trapezoidale înguste (16 × 15) și deci a secțiunii de canal (16), nu este permisă la construcții noi.

Tipurile de canale Y și Z sînt specifice roților de transmisie cinematică, la care factorul principal care se transmite este viteza, mișcarea forțelor tangențiale la roți fiind neglijabilă.

Tipurile de canale A, B, C, D și E sînt specifice transmisiilor de puteri la care atât vitezele cît și forțele tangențiale la roți sînt factor deopotrivă de importanți.

Dimensiunile secțiunilor canalelor sînt arătate după STAS 1162-67 în tabela 6.15.

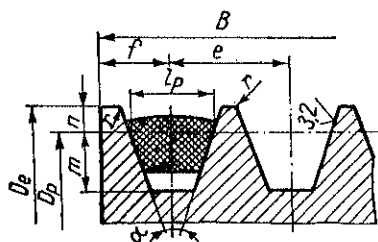


Tabela 6.15. Dimensiunile secțiunilor canalelor (STAS 1162-67)

- l_p lățimea primitivă a canalului — egală cu lățimea primitivă a curelei respective — este dimensiunea de bază a ansamblului roată-curea și determină caracteristicile geometrice funcționale principale ale transmisiei;
- n înălțimea canalului deasupra liniei primitive;
- m adâncimea canalului sub linia primitivă;
- f distanța dintre axa secțiunii canalului extrem și marginea vecină a roții;
- e distanța dintre axe secțiunilor la două canale vecine;
- α unghiul canalului;
- r raza de rotunjire a marginii canalului;
- D_p diametrul primitiv al roții de curea (vezi pct. 4.2) reprezentînd diametrul la care canalul are lățimea egală cu lățimea primitivă l_p ;
- D_e diametrul exterior al roții: $D_e = D_p + 2n$
- B lățimea totală a roții: $B = (z - 1)e + 2f$, în care z este numărul de canale

| Secțiunea canalului | Y | Z | A | B | C | D | E | (16) |
|---------------------|------------------------|------------------------|------------------------|-------------------------|-----------------------|-----------------------|-----------------------|-------------------------|
| l_p | 5,3 | 8,5 | 11 | 14 | 19 | 27 | 32 | 16 |
| n_{min} | 1,6 | 2,5 | 3,3 | 4,2 | 5,7 | 8,1 | 9,6 | 4,7 |
| m_{min} | 4,7 | 9 | 11 | 14 | 19 | 19,9 | 25,4 | 16 |
| f | 7 ± 1 | 8 ± 1 | $10 \pm \frac{2}{-1}$ | $12,5 \pm \frac{2}{-1}$ | $17 \pm \frac{2}{-1}$ | $24 \pm \frac{3}{-1}$ | $29 \pm \frac{4}{-1}$ | $14,5 \pm \frac{2}{-1}$ |
| e | $8 \pm 0,3$ | $12 \pm 0,3$ | $15 \pm 0,3$ | $19 \pm 0,4$ | $25,5 \pm 0,5$ | $37 \pm 0,6$ | $44,5 \pm 0,7$ | $22 \pm 0,4$ |
| α | $36^\circ \pm 1^\circ$ | $38^\circ \pm 1^\circ$ | $38^\circ \pm 1^\circ$ | $38^\circ \pm 1^\circ$ | $36^\circ \pm 30'$ | $38^\circ \pm 30'$ | $38^\circ \pm 30'$ | $38^\circ \pm 1^\circ$ |
| r | $32^\circ \pm 1^\circ$ | $34^\circ \pm 1^\circ$ | $34^\circ \pm 1^\circ$ | $34^\circ \pm 1^\circ$ | $36^\circ \pm 30'$ | $36^\circ \pm 30'$ | $36^\circ \pm 30'$ | $34^\circ \pm 1^\circ$ |
| | 0,5 | 0,5 | 1,0 | 1,0 | 1,5 | 2,0 | 2,0 | 1,0 |

5. CURELE

5.1. GENERALITĂȚI

Unul dintre sistemele de transmitere a puterii de la un arbore la altul este sistemul transmisiei prin curele. Transmisiiile prin curele pot fi: deschise, încrucișate și semiîncrucișate.

Transmisia deschisă prin curea este o transmisie între arbori paraleli care se rotesc într-un singur sens.

Transmisia încrucișată prin curea este o transmisie între arbori paraleli, care au cureaua de transmisie încrucișată. Cu această transmisie se obține o mișcare de rotație a arborilor în sensuri diferite.

Transmisia semiîncrucișată prin curea este o transmisie între arbori a căror axe sînt perpendiculare una pe cealaltă.

Raportul de transmitere i nu trebuie să depășească $1/5$ sau maximum $1/6$; cînd aceste raporturi sînt depășite, se vor utiliza role de întindere.

La transmisia încrucișată se recomandă ca distanța dintre punctul de încrucișare al curelei și axa roții de curea cea mai apropiată să fie minimum de 10 ori lățimea curelei. La transmisia semiîncrucișată, distanța dintre axele celor două roți de curea trebuie să fie de 20 ori lățimea curelei și minimum de 4 ori diametrul roții mari; roțile de curea, după ce s-au montat curelele pe ele, se vor lăsa să se rotească liber în ambele sensuri și, după ce și-au fixat astfel poziția lor pe axele respective, se introduc penele pentru fixare.

După forma secțiunii, curelele de transmisie pot fi: late (secțiune dreptunghiulară), trapezoidale, rotunde.

După numărul foilor suprapuse, se deosebesc: curele simple, curele duble (avînd două foi suprapuse), curele triple (avînd trei foi suprapuse) și curele multiple (cu mai multe foi suprapuse).

După materialul din care se confecționează, curelele de transmisie se clasifică în: curele de piele, curele de pînză cauciucată, curele de cauciuc, curele de bumbac, curele de cîneapă etc.

Pînă în prezent s-au standardizat curelele de piele, de pînză cauciucată și de cauciuc.

Curelele de transmisie obișnuite din piele se clasifică (după STAS 615-58) în patru grupe: grupa A, *curele late* (simple sau duble); grupa B, *curele pe muchie*; grupa C, *curele rotunde*; grupa D, *curele răsucite*.

După sistemul de tăbăcire, curelele de transmisie se împart în: curele tăbăcite vegetal sau combinat și curele tăbăcite mineral.

După modul de ungere curelele pot fi: brenuite, unse la cald, unse la rece.

Viteza periferică a curelelor late și a celor pe muchie poate ajunge, pînă la maximum 30 m/s, iar a celor rotunde, pînă la maximum 20 m/s. Raportul e/D este de maximum $1/25$ la curelele din grupele A și B și de maximum $1/30$ la cele din grupele C și D; e este grosimea curelei, iar numitorul fracției, diametrul saibei.

Curelele de pînză cauciucată se clasifică după STAS 1815-69 în trei tipuri; în același standard sînt arătate metodele de încercare, condițiile tehnice și condițiile de recepție ale acestor curele.

Îmbinarea capetelor curelelor se face prin lipire, nituire, cusături sau agrafe de sîrmă; îmbinarea trebuie astfel executată încît să fie evitate loviturile pe roata de curea.

Curelele de piele trebuie ferite de acțiunea uleiurilor minerale sau a colofoniului, ultimul fiind deseori greșit utilizat pentru mărirea aderenței pe roata de curea. Din timp în timp, curelele de piele trebuie

spălate cu apă și săpun sau cu o soluție de carbonat de sodiu, după care se vor unge cu o unsoare specială.

1.2. CALCULE ȘI DIMENSIUNI

5.2.1. Curele de secțiune dreptunghiulară. Se notează cu :

- P — puterea transmisă, în CP;
 F — forța tangențială efectivă, în kgf;
 v — viteza curelei, în m/s;
 n — turația roții de curea conducătoare, în rot/min;
 b — lățimea curelei, în cm;
 e — grosimea curelei, în cm;
 r — raza roții de curea condusă, în cm;
 σ_a — rezistența admisibilă pentru curea, în kgf/cm² (considerând pe F ca o forță de tracțiune).

Lățimea curelei rezultă din relația $F = b \cdot e \cdot \sigma_a$, în care $\sigma_a = 10 \dots 15$ kgf/cm².

Cunoscând că $P = F \cdot v / 75$ și că $v = 2r \cdot \pi \cdot n / 60$, valoarea lui b dedusă din prima ecuație va fi $b = F / e \cdot \sigma_a = 75 \cdot P / e \cdot \sigma_a \cdot v = 716\,201 \cdot P / e \cdot \sigma_a \cdot n \cdot r$.

Tabela 6.16. Lățimile curelelor de piele, late (grupa A)

| Lățime mm | Abateri limită mm | Lățime mm | Abateri limită mm | Lățime mm | Abateri limită mm | Lățime mm | Abateri limită mm |
|--------------|-------------------------|--------------|-------------------------|--------------|-------------------------|--------------|-------------------------|
| 20 | | 71 | | 140 | | 280 | |
| 25 | | 80 | | 160 | | 315 | |
| 32 | ±2 | 90 | ±3 | 180 | ±4 | 355 | ±5 |
| 40 | | 100 | | 200 | | 400 | |
| 50 | | 112 | | 224 | | 450 | |
| 63 | | 125 | | 250 | | 500 | |

metru din lățimea curelei și 12 kgf/cm la mașinile-unelte grele. Lățimile curelelor de piele, late sînt notate (după STAS 5917-71) în tabela 6.16.

Tabela 6.17. Grosimile curelelor de piele, late (grupa A)

| Lățimea curelei mm | Grosimea, mm | |
|-----------------------|--------------|-------------|
| | curea simplă | curea dublă |
| pînă la 40 | 3-5 | — |
| 45-125 inclusiv | 4-6 | 8-10 |
| Peste 125 | 5-7 | 10-14 |

în care a este distanța între axele roților din curea cu diametrele D și D_1

Grosimea curelei late pentru diferite lățimi ale ei trebuie să corespundă (conform STAS 5917-71) cu datele din tabela 6.17.

Lungimea aproximativă a curelei se deduce din relația :

$$L = \pi \cdot \frac{D + D_1}{2} + \frac{1}{2} \cdot \left(\frac{D - D_1}{2} \right)^2 + 2a,$$

Pentru curelele încrucișate se folosește formula :

$$L = \pi \cdot \frac{D + D_1}{2} + \frac{1}{a} \cdot \left(\frac{D - D_1}{2} \right)^2 + 2a.$$

În STAS 5917-71 sînt indicate lungimile standardizate.

Încărcarea admisibilă pentru 1 cm lățime a curelelor simple și duble pentru diferite diametre D ale roții mici și pentru diferite viteze v ale curelei sînt indicate în tabela 6.18.

Forța tangențială efectivă, F , în funcție de puterea transmisă și viteza curelei v , are valorile arătate în tabela 6.19.

5.2.2. Curele trapezoidale. Prescripții de calcul și proiectare pentru transmisii prin curele trapezoidale clasice și înguste (transmisii cu arborii paraleli) sînt stabilite în STAS 1163-71. Ele se aplică transmisiilor la care puterea efectivă repartizată unei curele depășește 0,008 kW și nu se referă la transmisiile autovehiculelor de orice fel.

a. Raportul de transmitere i se calculează cu ajutorul formulei

$$i = n_1 / n_2 = D_{p2} / D_{p1},$$

în care : n_1 este numărul de rotații pe minut ale roții mici;

n_2 — numărul de rotații pe minut ale roții mari;

D_{p1} — diametrul primitiv al roții mici;

D_{p2} — diametrul primitiv al roții mari.

Tabela 6.18. Încărcările admisibile pentru curele late

| Încărcările admisibile pentru curelele late, simple, kgf/cm | | | | | | | |
|---|------------|-----|----|------|------|------|------|
| Diametrul roții mici de curea d mm | v m/s | | | | | | |
| | 3 | 5 | 10 | 20 | 30 | 40 | 50 |
| 100 | 2 | 2,5 | 3 | 3,5 | 3,5 | 3,5 | 3 |
| 200 | 3 | 4 | 5 | 6 | 6,5 | 6,5 | 6,5 |
| 300 | 4 | 5 | 6 | 7,5 | 8,5 | 9 | 9 |
| 400 | 5 | 6 | 7 | 9 | 10 | 10,5 | 11 |
| 500 | 6 | 7 | 8 | 10 | 11 | 11,5 | 12 |
| 600 | 7 | 8 | 9 | 11 | 12,5 | 13 | 13,5 |
| 750 | 8 | 9 | 10 | 12 | 13 | 13,5 | 14 |
| 1 000 | 9 | 10 | 11 | 13 | 14 | 14,5 | 15 |
| 1 500 | 10 | 11 | 12 | 13,5 | 14,5 | 15 | 15,5 |
| 2 000 | 11 | 12 | 13 | 14 | 15 | 15,5 | 16 |

Încărcările admisibile pentru curelele late, duble, kgf/cm

| Diametrul roții mici de curea d mm | v m/s | | | | | | |
|--|------------|------|----|------|------|------|------|
| | 3 | 5 | 10 | 20 | 30 | 40 | 50 |
| 300 | 5 | 6 | 7 | 9 | 10 | 10 | 10 |
| 400 | 6,5 | 8 | 9 | 11 | 12 | 12,5 | 12,5 |
| 500 | 8 | 9,5 | 11 | 13 | 13,5 | 14 | 14 |
| 600 | 9,5 | 11 | 12 | 15 | 16 | 16,5 | 17 |
| 750 | 11 | 12,5 | 14 | 17,5 | 18,5 | 19,5 | 20 |
| 1 000 | 13 | 15 | 17 | 21 | 22 | 23 | 24 |
| 1 500 | 15 | 17 | 19 | 23 | 26 | 27 | 28 |
| 2 000 | 17 | 19 | 21 | 25 | 28 | 29 | 30 |

Tabela 6.19. Valorile lui F în funcție de P și v , kgf

| P | v m/s | | | | | | | | | | | | | |
|-----|------------|-------|-------|-------|-------|-------|-------|-------|-------|-------|-----|-----|-----|-----|
| | 2,5 | 5 | 8 | 10 | 12 | 14 | 16 | 18 | 20 | 22 | 24 | 26 | 28 | 30 |
| 5 | 150 | 75 | 47 | 38 | 31 | 27 | 23 | 21 | 19 | 17 | 16 | 14 | 13 | 12 |
| 17 | 300 | 150 | 94 | 75 | 63 | 54 | 47 | 42 | 38 | 34 | 31 | 29 | 27 | 25 |
| 15 | 450 | 225 | 141 | 113 | 94 | 80 | 70 | 63 | 56 | 51 | 47 | 43 | 40 | 38 |
| 20 | 600 | 300 | 188 | 150 | 125 | 107 | 94 | 83 | 75 | 68 | 63 | 58 | 54 | 50 |
| 25 | 750 | 375 | 234 | 188 | 156 | 134 | 117 | 104 | 94 | 85 | 78 | 72 | 67 | 63 |
| 30 | 900 | 450 | 281 | 225 | 188 | 161 | 141 | 125 | 113 | 102 | 94 | 87 | 80 | 75 |
| 35 | 1 050 | 525 | 328 | 263 | 219 | 188 | 164 | 146 | 131 | 119 | 109 | 101 | 94 | 88 |
| 40 | 1 200 | 600 | 375 | 300 | 250 | 214 | 188 | 167 | 150 | 136 | 125 | 115 | 107 | 100 |
| 45 | 1 350 | 675 | 422 | 338 | 281 | 241 | 211 | 188 | 169 | 153 | 141 | 130 | 120 | 113 |
| 50 | 1 500 | 750 | 469 | 375 | 313 | 268 | 234 | 208 | 188 | 170 | 156 | 144 | 134 | 125 |
| 55 | 1 650 | 825 | 516 | 413 | 344 | 295 | 258 | 229 | 206 | 188 | 172 | 159 | 147 | 138 |
| 60 | 1 800 | 900 | 562 | 450 | 375 | 321 | 281 | 250 | 225 | 205 | 188 | 173 | 160 | 150 |
| 65 | 1 950 | 975 | 609 | 488 | 406 | 348 | 305 | 271 | 244 | 222 | 203 | 188 | 174 | 163 |
| 70 | 2 100 | 1 050 | 656 | 525 | 438 | 375 | 328 | 292 | 263 | 239 | 219 | 202 | 187 | 175 |
| 75 | 2 250 | 1 125 | 703 | 563 | 469 | 402 | 352 | 313 | 281 | 256 | 234 | 216 | 200 | 188 |
| 80 | 2 400 | 1 200 | 750 | 600 | 500 | 429 | 375 | 333 | 300 | 273 | 250 | 230 | 214 | 200 |
| 85 | 2 550 | 1 275 | 797 | 638 | 531 | 455 | 398 | 354 | 319 | 290 | 266 | 245 | 228 | 213 |
| 90 | 2 700 | 1 350 | 844 | 675 | 563 | 482 | 422 | 375 | 338 | 307 | 281 | 260 | 242 | 225 |
| 95 | 2 850 | 1 425 | 891 | 713 | 594 | 509 | 445 | 396 | 356 | 324 | 297 | 274 | 255 | 238 |
| 100 | 3 000 | 1 500 | 938 | 750 | 625 | 536 | 469 | 417 | 375 | 341 | 313 | 288 | 268 | 250 |
| 110 | 3 300 | 1 650 | 1 031 | 825 | 688 | 589 | 516 | 458 | 413 | 375 | 344 | 317 | 295 | 275 |
| 120 | 3 600 | 1 800 | 1 125 | 900 | 750 | 643 | 562 | 500 | 450 | 409 | 375 | 346 | 322 | 300 |
| 130 | 3 900 | 1 950 | 1 219 | 975 | 813 | 696 | 609 | 542 | 488 | 443 | 406 | 375 | 348 | 325 |
| 140 | 4 200 | 2 100 | 1 312 | 1 050 | 875 | 750 | 656 | 583 | 525 | 477 | 438 | 404 | 375 | 350 |
| 150 | 4 500 | 2 250 | 1 406 | 1 125 | 938 | 804 | 703 | 625 | 563 | 511 | 469 | 433 | 400 | 375 |
| 160 | 4 800 | 2 400 | 1 501 | 1 200 | 1 000 | 858 | 750 | 667 | 600 | 546 | 500 | 461 | 430 | 400 |
| 170 | 5 100 | 2 550 | 1 594 | 1 275 | 1 063 | 911 | 797 | 708 | 638 | 580 | 531 | 490 | 455 | 425 |
| 180 | 5 400 | 2 700 | 1 688 | 1 350 | 1 125 | 964 | 844 | 750 | 685 | 614 | 563 | 519 | 480 | 450 |
| 190 | 5 700 | 2 850 | 1 781 | 1 425 | 1 188 | 1 018 | 891 | 792 | 713 | 648 | 594 | 548 | 510 | 475 |
| 200 | 6 000 | 3 000 | 1 875 | 1 500 | 1 250 | 1 071 | 938 | 833 | 750 | 682 | 625 | 577 | 540 | 500 |
| 220 | 6 600 | 3 300 | 2 062 | 1 650 | 1 375 | 1 179 | 1 031 | 917 | 825 | 750 | 688 | 635 | 590 | 550 |
| 240 | 7 200 | 3 600 | 2 250 | 1 800 | 1 500 | 1 286 | 1 125 | 1 000 | 900 | 818 | 750 | 692 | 645 | 600 |
| 260 | 7 800 | 3 900 | 2 438 | 1 950 | 1 625 | 1 393 | 1 219 | 1 083 | 985 | 886 | 813 | 750 | 700 | 650 |
| 280 | 8 400 | 4 200 | 2 625 | 2 100 | 1 750 | 1 500 | 1 312 | 1 167 | 1 050 | 954 | 875 | 808 | 705 | 700 |
| 300 | 9 000 | 4 500 | 2 812 | 2 250 | 1 875 | 1 607 | 1 406 | 1 250 | 1 125 | 1 023 | 938 | 865 | 805 | 750 |

Se recomandă : $i \leq 10$ la transmisii cu arbori paraleli și $i \leq 2,5$ la transmisii cu arbori încrucișați.

b. Viteza periferică v , în m/s, se calculează cu ajutorul formulei :

$$v = 3,14 \frac{n_1 \cdot D_{p1}}{60 \cdot 1\,000} = 3,14 \frac{n_2 \cdot D_{p2}}{60 \cdot 1\,000},$$

în care n și n_1 se exprimă în rot/min, iar D_{p1} și D_{p2} în mm.

Se recomandă ca viteza periferică a curelei să nu depășească :

$v = 30$ m/s, la curele trapezoidale clasice;

$v = 40$ m/s la curele trapezoidale înguste.

c. Distanța dintre axe A se calculează inițial preliminar și apoi după stabilirea lungimii primitive L_p a curelei se calculează distanța efectivă A dintre axe.

Formulele pentru alegerea preliminară a distanței dintre axe sînt următoarele :

— arbori paraleli, două roți de curea

$$0,70(D_{p1} + D_{p2}) \leq A \leq 2(D_{p1} + D_{p2});$$

— arbori încrucișați, două roți de curea

$$A \geq 5,5(D_{p2} + B),$$

în care : D_{p1} este diametrul primitiv al roții mici;

D_{p2} — diametrul primitiv al roții mari;

B — lățimea roții de curea.

Pentru distanța efectivă dintre axe se folosesc formulele :

— arbori paraleli, două roți de curea

1) pentru orice valoare a unghiului β_1 :

$$A = [L_p - \pi(\beta_1 D_{p1} + \beta_2 D_{p2})/360^\circ] / [2 \sin(\beta_1/2)]$$

unde β_1 este unghiul de înfășurare la roata mică de curea, iar β_2 — unghiul de înfășurare la roata mare de curea.

2) pentru $\beta_1 \geq 110^\circ$ rezultă $A \approx p + \sqrt{p^2 - q}$, unde $p_1 = 0,25 L_p - 0,393(D_{p1} + D_{p2})$, iar $q = 0,125 (D_{p2} - D_{p1})^2$;

— arbori încrucișați, două roți de curea

$$A = 0,25[(L_p - \pi D_{pm}) + \sqrt{(L_p - \pi D_{pm})^2 - 16 D_{pm}^2}],$$

în care D_{pm} este diametrul primitiv mediu al roților de curea.

Pe baza distanței dintre axe aleasă preliminar, se calculează lungimea primitivă a curelei L_p , care se rotunjește la valoarea standar-

dizată cea mai apropiată și apoi se face calculul de definitivare al distanței dintre axe.

d. Lungimea primitivă a curelei L_p se obține astfel:

— arbori paraleli, două roți de curea:

$$L_p \approx 2A + \pi D_{pm} + (D_{p2}^2 - D_{p1}^2)/4A, \text{ cînd } \beta_1 \geq 110^\circ,$$

$$L_p = 2A \sin(\beta_1/2) + (\beta_1 D_{p1} + \beta_2 D_{p2}) \pi/360, \text{ cînd } \beta_1 < 110^\circ;$$

— arbori încrucișați, două roți de curea

$$L_p = 2A + \pi D_{pm} + (D_{p1}^2 + D_{p2}^2)/2A,$$

e. Forma și dimensiunile curelelor trapezoidale clasice sînt prezicate în STAS 1164-71.

După secțiunile lor, curelele trapezoidale clasice se clasifică în următoarele șapte tipuri:

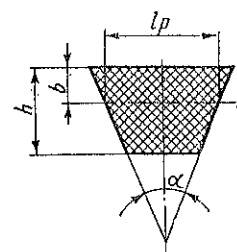


Tabela 6.20. Dimensiunile secțiunii curelelor trapezoidale clasice (STAS 1164-71)

Dimensiuni în mm

| Tipul curelei | Dimensiuni aproximative ale secțiunii (a × h) | l_p | h | b max. | α |
|---------------|---|-------|----------|----------|----------|
| Y | 6 × 4 | 5,3 | 4 ± 0,2 | 1,3 | 40° ± 1° |
| Z | 10 × 6 | 8,5 | 6 ± 0,2 | 2 | |
| A | 13 × 8 | 11 | 8 ± 0,3 | 2,8 | |
| B | 17 × 11 | 14 | 11 ± 0,5 | 3,5 | |
| C | 22 × 14 | 19 | 14 ± 0,5 | 4,8 | |
| D | 32 × 19 | 27 | 19 ± 0,6 | 6,4 | |
| E | 38 × 25 | 32 | 25 ± 0,7 | 8,3 | |

Observații. Simbolurile dimensiunilor din figură au următoarele semnificații: l_p — lățimea primitivă, egală cu lățimea în dreptul fibrelor primitive, care nu se comprimă și nu se întind în urma încovoierii curelei în timpul funcționării ei, determinînd raportul de transmitere realizat; h — înălțimea curelei trapezoidale; b — distanța de la latura superioară a curelei la fibra primitivă; α — unghiul curelei trapezoidale, format de cele două laturi neparalele ale secțiunii ei.

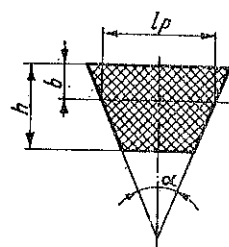


Tabela 6.21. Dimensiunile secțiunii curelelor trapezoidale înguste (STAS 7192-65)

Dimensiuni în mm

| Tipul curelei ($l_p \times h$) | l_p/h | h | b max. | α |
|----------------------------------|---------|----------|----------|----------|
| SPZ (8,5 × 8) | 8,5 | 8 ± 0,4 | 2 | 40° ± 1° |
| SPA (11 × 10) | 11 | 10 ± 0,5 | 2,8 | |
| SPB (14 × 13) | 14 | 13 ± 0,5 | 3,5 | |
| (16 × 15) | 16 | 15 ± 0,5 | 4 | |
| SPC (19 × 18) | 19 | 18 ± 0,6 | 4,8 | |

Observații. 1. Nu este permisă folosirea curelei înguste (16 × 15) în construcții noi. 2. Simbolurile dimensiunilor din figură și tabel au următoarele semnificații: l_p — lățimea primitivă, egală cu lățimea în dreptul fibrelor primitive, care nu se comprimă și nu se întind în timpul funcționării curelei determinînd raportul de transmitere realizat; h — înălțimea curelei trapezoidale; b — distanța de la latura superioară a curelei la fibrele primitive; α — unghiul curelei trapezoidale, format de cele două laturi neparalele ale secțiunii ei.

— tipurile Y și Z, specifice transmisiilor cinematice, la care factorul principal care se transmite este viteza, forțele de tracțiune din curele fiind neglijabile și

— tipurile A, B, C, D și E, specifice transmisiilor de puteri la care atât vitezele cît și forțele de tracțiune sînt factori deopotrivă de importanți.

Elementele secțiunii acestor tipuri de curele sînt arătate în tabela 6.20, iar valoarea nominală a lungimilor primitive L_p se găsește în STAS 1164-71.

Se recomandă să nu se folosească curelele trapezoidale clasice la construcții noi, acestea urmînd a fi înlocuite prin curele înguste.

După secțiunile lor, curelele trapezoidale înguste se clasifică în următoarele tipuri: SPZ, SPA, SPB, (16 × 15) și SPC.

Dimensiunile și abaterile limită ale secțiunii curelelor înguste sînt indicate după STAS 7192-65 în tabela 6.21, iar lungimile primitive a acestor curele, în tabela 6.22.

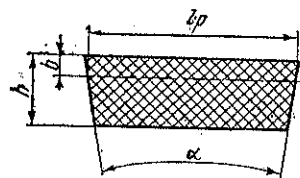
În tabela 6.23 sînt arătate după STAS 7503-66 dimensiunile și abaterile limită ale secțiunii curelelor trapezoidale late.

Tabela 6.22. Lungimile primitive ale curelelor trapezoidale înguste și folosirea lor la diferite tipuri de curele (STAS 7192-65)

| Lungimea primitivă L_p | | Curea trapezoidală îngustă tip | | | | | Diferența maximă admisă între lungimile primitive ale curelelor din același set, la transmisii cu mai multe curele | |
|--------------------------|----------------|--------------------------------|-----|-----|-----------|-----|--|-----------------------|
| Nominală m | Abateri limită | SPZ | SPA | SPB | (16 × 15) | SPC | La seturi de fabricație curentă | La seturi de precizie |
| 630 | ± 6 | ++ | | | | | 2 | 1 |
| 800 | ± 8 | ++ | ++ | | | | | |
| 1 000 | ± 10 | ++ | ++ | | | | 3 | 1,6 |
| 1 250 | ± 13 | ++ | ++ | ++ | | | | |
| 1 600 | ± 16 | ++ | ++ | ++ | ++ | | 5 | 2,5 |
| 2 000 | ± 20 | ++ | ++ | ++ | ++ | ++ | | |
| 2 500 | ± 25 | ++ | ++ | ++ | ++ | ++ | 8 | 4 |
| 3 150 | ± 32 | ++ | ++ | ++ | ++ | ++ | | |
| 4 000 | ± 40 | | ++ | ++ | ++ | ++ | 12 | 6,3 |
| 5 000 | ± 50 | | | ++ | ++ | ++ | | |
| 6 300 | ± 63 | | | ++ | ++ | ++ | 20 | 10 |
| 8 000 | ± 80 | | | ++ | ++ | ++ | | |
| 10 000 | ± 100 | | | | ++ | ++ | 30 | 16 |
| 12 500 | ± 125 | | | | | ++ | | |

Observații. 1. Lungimea primitivă L_p este egală cu lungimea fibrelor primitive, care nu se întind și nu se comprimă în timpul funcționării curelei, adică este lungimea curelei, la nivelul lățimii primitive l_p a secțiunii ei. 2. Lungimile primitive nominale, cuprinse în tabel, corespund numerelor normale ale seriei R20.

Tabela 6.23. Dimensiunile secțiunilor curelelor trapezoidale late (STAS 7503-66)



Dimensiuni în mm

| Tipul curelei | l_p | h | b_{max} |
|---------------|-------|---------------------|-----------|
| W 16 | 16 | $5+0,9$ $-1,1$ | 1,7 |
| W 20 | 20 | $6,5+0,9$ $-1,6$ | 2,1 |
| W 25 | 25 | $8+1,0$ $-1,5$ | 2,5 |
| W 32 | 32 | $10+1,2$ $-1,8$ | 3,1 |
| W 40 | 40 | $13+1,2$ $-2,3$ | 3,9 |
| W 50 | 50 | $16+1,6$ $-2,4$ | 4,8 |
| W 63 | 63 | $20+1,8$ $-2,7$ | 5,9 |
| W 80 | 80 | $25+2,2$ $-2,8$ | 7,3 |
| W 100 | 100 | $32+2,2$ $-3,3$ | 9,1 |

5.2.3. **Curele rotunde și curele răsucite.** Curelele rotunde se execută după STAS 5917-71, cu diametre de 5, 6 și 7 mm, iar curelele răsucite, conform aceluiași standard, cu diametre de 8, 10, 12, 15, 18 și 20 mm.

MAȘINI-UNELTE ȘI OPERAȚII DE PRELUCRARE LA MAȘINI-UNELTE

1. NOȚIUNI GENERALE DESPRE MAȘINI-UNELTE

1.1. CLASIFICAREA MAȘINILOR -UNELTE

În funcționarea mașinilor-unelte distingem două mișcări caracteristice: o mișcare principală și o mișcare de avans.

Mișcarea principală poate fi circulară sau rectilinie și se caracterizează prin viteze de așchiere, exprimate de obicei în metri pe minut.

Mișcarea de avans este realizată prin deplasarea continuă sau intermitentă a piesei sau a sculei. La mașinile cu mișcare principală circulară, avansul piesei sau al sculei se exprimă în milimetri pentru o rotație a arborelui principal; pentru mașinile cu mișcare principală rectilinie, avansul piesei sau al sculei se exprimă în milimetri pentru o cursă utilă.

După felul mișcării principale, mașinile-unelte se grupează în două categorii: *mașini-unelte cu mișcarea principală circulară*, din care fac parte: strungurile, mașinile de găurit, mașinile de frezat, mașinile de filetat, ferăstraiele circulare etc. și *mașini-unelte cu mișcarea principală rectilinie*, din care fac parte: mașinile de rabotat; mașinile de mortezat, șepingurile, ferăstraiele cu mișcare rectilinie alternativă etc.

După felul mișcării de avans, mașinile-unelte se clasifică în: *mașini-unelte cu avans continuu*, cum sînt de exemplu: strungurile, la care piesa de prelucrat execută o mișcare circulară în raport cu scula, mașinile de găurit etc. și *mașinile-unelte cu avans intermitent*, din care fac parte: mașinile de rabotat, mașinile de mortezat, șepingurile, ferăstraiele mecanice cu mișcare rectilinie alternativă etc.

După natura suprafeței piesei de prelucrat (plană, cilindrică sau curbă) deosebim: *mașini pentru prelucrat suprafețe plane* (de exemplu, mașini de frezat, raboteze, morteze, șepinguri, mașini de rectificat plan etc.), *mașini pentru prelucrat suprafețe rotunde* (de exemplu, strunguri, mașini de rectificat rotund etc.), *mașini pentru prelucrat găuri* (de exemplu, mașini de găurit, mașini de rectificat interior etc.),

mașini pentru prelucrat filet (de exemplu, mașini de frezat și rectificat filet), *mașini pentru tăiat roți dințate* (de exemplu mașini de frezat, mașini de rabotat speciale etc.), *mașini pentru prelucrat suprafețe curbe* (de exemplu, mașini de copiat prin strunjire).

După felul operațiilor de prelucrare se deosebesc: *strungul* (folosit în principal pentru strunjire și în secundar pentru filetare, găurire, retezare), *mașina de găurit* (folosită în principal pentru burghiere și în secundar pentru teșire, alezare, filetare), *mașina de frezat* (folosită în principal pentru frezare și în secundar pentru fasonare, copiere, filetare), *mașina de rabotat*, *mașina de rectificat*, *polizorul*, *ferăstrăul mecanic* etc.

La alegerea mașinilor-unelte trebuie să se țină seamă de criteriile tehnologice, adică de calitatea și cantitatea pieselor ce trebuie prelucrate, de forma și mărimea lor, precum și de gradul de precizie cerut acestor piese.

După criterii tehnologice, mașinile-unelte se clasifică în:

— *mașini-unelte universale*; acestea au o gamă mare de posibilități de prelucrare și se folosesc în special la producția individuală (de exemplu, strunguri universale, mașini de frezat universale, mașini de frezat orizontale și verticale, mașini de rectificat universale etc.);

— *mașini-unelte de mare productivitate*: acestea se caracterizează prin micșorarea universalității lor, prin mărirea rigidității și micșorarea numărului de trepte de viteză (de exemplu, strunguri cu mai multe cuțite, strunguri automate și semiautomate, mașini de rectificat fără vîrfuri, mașini de frezat portale etc.);

— *mașini-unelte monooperație*; acestea execută o anumită operație la o anumită categorie de piese, de diferite mărimi (de exemplu, mașini-unelte pentru prelucrarea manetoanelor la arbori cotiți, mașini-unelte pentru prelucrarea camelor etc.);

— *mașini-unelte specializate* sînt mașini-unelte din grupele enumerate mai înainte care au fost amenajate pentru executarea unei anumite operații la prelucrarea unei anumite piese (de exemplu, mașină de găurit cu capul înclinat corespunzător înclinației canalelor de ungere ale unui anumit arbore cotit, mașinile agregat pentru prelucrarea completă a blocurilor de cilindri etc.);

— *mașinile unelte speciale* sînt mașini-unelte proiectate și executate în mod special pentru executarea unei anumite operații la o anumită piesă; executarea lor costă foarte mult și din această cauză ele se folosesc numai la producția în masă.

1.2. ACȚIONAREA MAȘINILOR-UNELTE

Mașinile-unelte pot avea acționarea pe grupe sau acționare individuală.

1.2.1. Acționarea pe grupe. Acționarea pe grupe a două sau mai multe mașini-unelte se realizează cu ajutorul unor transmisii prin curele.

Transmisia pentru un grup de mașini-unelte este acționată în majoritatea cazurilor prin motoare electrice trifazate (de obicei motoare asincrone). Puterea acestor motoare se ia aproximativ 0,7 din suma puterilor maxime ale mașinilor-unelte acționate de transmisia respectivă.

Acționarea pe grupe, în comparație cu acționarea individuală, are avantajul că necesită cheltuieli de investiție mai mici. Ea este recomandată la acționarea mașinilor-unelte care necesită puteri mai mici de 1 kW.

Datorită dezavantajelor pe care le prezintă, acest sistem de acționare este în prezent rareori folosit. Dintre dezavantajele mai importante se menționează:

- consum de energie mărit;
- ruperea curelei de la motorul de antrenare imobilizează întreg grupul de mașini acționat de la transmisia respectivă;
- curelele micșorează luminozitatea atelierului, iar prin mișcarea lor mențin continuu atmosfera atelierului încărcată cu praf;
- întreținerea transmisiei și a curelelor este costisitoare.

1.2.2. Acționarea individuală. Acționarea individuală, neprezentînd deficiențele menționate la acționarea pe grupe, este utilizată astăzi pe scară întinsă în toate uzinele.

Dintre avantajele pe care le oferă acționarea individuală se menționează următoarele:

- consumul de energie pentru acționarea unei mașini-unelte este proporțional cu timpul cît aceasta lucrează;
- acționarea individuală realizează independența mașinilor între ele și astfel ușurează instalarea sau mutarea lor;
- posibilitățile de accidentare a muncitorilor sînt mai mici decît la acționarea pe grupe.

1.3. MOTOARE ELECTRICE PENTRU ACȚIONAREA MAȘINILOR-UNELTE

Pentru acționarea mașinilor-unelte se folosesc atît motoarele electrice de curent continuu cît și cele de curent alternativ.

a. **Motoare electrice de curent continuu** folosite în mod obișnuit sînt motoarele cu excitația în derivație și cu excitația compound.

— *Motoarele în derivație* se utilizează pentru acționarea mașinilor-unelte la care eforturile ce intervin în timpul funcționării mașinilor-unelte prezintă variații mici; această situație există la strunguri, mașini de rabotat, mașini de găurit, mașini de frezat etc.

— *Motoarele compound* sint indicate pentru acționarea mașinilor-unelte la care eforturile prezintă variații bruște, cum este cazul preselor cu excentric sau al foarfecelor ghilotină.

b. *Motoarele electrice de curent alternativ trifazat* sint folosite la acționarea celor mai multe mașini-unelte.

— *Motorul asincron trifazat, cu rotorul în scurtcircuit*, este utilizat de obicei la mașinile-unelte care necesită o putere sub 5 kW. Viteza lui este constantă, nefiind influențată decît de frecvența curentului de alimentare.

— *Motorul asincron trifazat, cu rotorul prevăzut cu inele colectoare*, avînd un cuplu de pornire ridicat, este folosit la mașinile-unelte care necesită o putere mai mare de 5 kW.

1.4. PUTEREA NECESARĂ ACȚIONĂRII MAȘINILOR-UNELTE

Determinarea aproximativă a puterii P , necesară unei mașini-unelte, se face prin calcul, fie în funcție de apăsarea principală de tăiere P_z și viteza de tăiere v , fie în funcție de greutatea orară a așchii-lor G_h .

1.4.1. *Calculul puterii în funcție de viteza de tăiere și apăsarea principală*. Puterea necesară unei mașini-unelte este dată, în acest caz,

$$\text{de relația: } P = \frac{P_z \cdot v}{60 \cdot 75} \cdot \frac{1}{\eta},$$

în care: P este puterea necesară mașinii-unelte, în CP;

P_z — apăsarea principală de tăiere, în kgf;

v — viteza de așchiere, în m/min;

η — randamentul mașinilor-unelte (0,6—0,9).

Cunoscînd că apăsarea principală de tăiere $P_z = K_t q$, formula de

$$\text{mai sus devine } P = \frac{K_t \cdot q \cdot v}{60 \cdot 75} \cdot \frac{1}{\eta} [\text{CP}],$$

în care: K_t este rezistența specifică de tăiere corespunzătoare materialului respectiv, în kgf/mm²;

q — secțiunea transversală a așchiei, în mm².

Exemplu de calcul Să se determine puterea absorbită de un strung, la care se strunjește o piesă din fontă, avînd dritatea $HB = 170$, cu o așchie de 20 mm² și cu o viteză de tăiere de 15 m/min.

$q = 20 \text{ mm}^2$; $v = 15 \text{ m/min}$; $\eta = 0,75$; $K_t = 90 \text{ kgf/mm}^2$ (v. tabela 7.18).

$$P = \frac{K_t \cdot q \cdot v}{60 \cdot 75} \cdot \frac{1}{\eta} = \frac{90 \cdot 20 \cdot 15}{60 \cdot 75} \cdot \frac{1}{0,75} = 8 \text{ CP}.$$

1.4.2. *Calculul puterii în funcție de debitul de așchii*. Puterea necesară pentru acționarea unei mașini-unelte, ținînd seamă de cantitatea de așchii produsă într-o oră G_h și puterea absorbită de mersul în gol, este dată de relația $P = P_1 + P_2$,

în care: P este puterea necesară acționării mașinii-unelte, în CP;

P_1 — puterea necesară pentru mersul în gol al mașinii-unelte, în CP;

P_2 — puterea efectivă necesară pentru executarea operației de așchiere, în CP.

Valoarea lui P_2 se deduce din formula: $P_2 = \epsilon G_h$,
în care: G_h este debitul de așchii al mașinii într-o oră, în kg/h;

ϵ — energia necesară pentru realizarea așchierii cu un debit de 1 kg așchii pe oră, în CP h/kg.

Valoarea lui ϵ pentru diferite materiale, la diferite mașini-unelte, precum și valorile lui P_1 (pentru mașini de mărime mijlocie), sînt următoarele:

— *Strunguri (secțiunea medie a așchiei $s = 2,8 \text{ mm}^2$)*: puterea necesară pentru mersul în gol $P_1 = 0,1 \dots 0,7 \text{ CP}$.

Fontă: $\epsilon = 0,069$

Oțel moale: $\epsilon = 0,072$

Oțel tare: $\epsilon = 0,104$.

— *Mașini de găurit*: $P_1 = 0,05 \dots 0,5 \text{ CP}$.

Fontă: $\epsilon = 0,135 + 0,135/d$; oțel forjat: $\epsilon = 0,135 + 0,55/d$, d fiind diametrul burghiului, în mm.

— *Mașini de alezat*: $P_1 = 0,05 \dots 0,5 \text{ CP}$.

Fontă: $\epsilon = 0,034 + 0,13/q$.

în care q este secțiunea așchiei, în mm².

— *Mașini de frezat*: $P_1 = 0,55 \dots 1 \text{ CP}$.

Fontă: $\epsilon = 0,07$.

— *Mașini de rabotat*: $P_1 = 0,6 \dots 1 \text{ CP}$.

Fontă: $\epsilon = 0,034 + 0,13/q$.

Oțel moale: $\epsilon = 0,114$.

Oțel tare: $\epsilon = 0,246$.

Bronz: $\epsilon = 0,028$.

— *Mașini de ștanțat*: $P_1 = 0,16 \dots 0,82 \text{ CP}$, $P_2 = 3,71 \cdot \alpha \cdot ACP$ în care A este suprafața tăiată, în m²/h, iar $\alpha = 0,25 + 0,0145h$, unde h este grosimea tablei, în mm.

Exemplu de calcul: Să se determine puterea necesară unui strung la care se strunjește un cilindru din fontă cu o așchiere de 6 mm² și o viteză de tăiere de 15 m/min.

$\epsilon = 0,069 \text{ CPh/kg}$; $q = 6 \text{ mm}^2$; $v = 15 \text{ m/min}$; $\gamma = 7,6 \text{ kg/dm}^3$;

$P_2 = \epsilon G_h = \epsilon \cdot \gamma \cdot q \cdot v \cdot 60 / 1000 = 0,069 \cdot 7,6 \cdot 6 \cdot 15 \cdot 60 / 1000 = 2,83 \text{ CP}$; $P_1 = 0,5 \text{ CP}$.

Deci: $P = P_1 + P_2 = 0,5 + 2,83 = 3,33 \text{ CP}$.

1.4.3. *Tabele cu puterile necesare mașinilor-unelte*. În tabelele 7.1—7.17 sînt indicate puterile aproximative necesare acționării individuale a mașinilor-unelte. Cînd acționarea acestor mașini-unelte se face pe grupe, puterea totală necesară se ia 0,6—0,7 din suma puterilor parțiale, afară de cazuri speciale cînd puterea totală necesară poate ajunge pînă la 0,9 din suma acestor puteri.

Tabela 7.1. Strunguri paralele

| Înălțimea virfurilor mm | Tipul mașinilor | | | Înălțimea virfurilor mm | Tipul mașinilor | | |
|-------------------------------|-----------------|----------|-------|-------------------------------|-----------------|----------|-------|
| | ușoare | mijlocii | grele | | ușoare | mijlocii | grele |
| | | | | | | | |
| Puterea necesară, CP | | | | Puterea necesară, CP | | | |
| 150 | 0,6 | 1 | 2— 4 | 400 | 6 | 6—12 | 8—15 |
| 170 | 0,8 | 1,5 | 2— 5 | 500 | 7 | 8—15 | 10—20 |
| 200 | 1,5 | 2,5 | 3— 6 | 600 | 7 | 8—15 | 12—20 |
| 250 | 2,5 | 3— 4 | 4— 7 | 750 | 8 | 8—15 | 12—20 |
| 300 | 3,5 | 4— 7 | 6—12 | 1 000 | 10 | 10—18 | 12—25 |
| 350 | 5 | 5—10 | 7—12 | 1 500 | 10 | 12—20 | 12+25 |

Tabela 7.2. Strunguri frontale

| | | | | | | |
|-----------------------------|-------|-------|-------|-------|-------|--------|
| Diametrul de strunjit, mm | 1 000 | 1 250 | 1 500 | 1 700 | 2 000 | 2 500 |
| Puterea necesară, CP, circa | 2 | 2,5 | 3 | 3,5 | 4 | 5 |
| Diametrul de strunjit, mm | 3 000 | 4 000 | 5 000 | 6 000 | 8 000 | 10 000 |
| Puterea necesară, CP, circa | 6 | 8 | 10 | 12 | 18 | 25-30 |

Tabela 7.3. Strunguri carusel

| | | | | | | | | | |
|-----------------------------|-----|-------|-------|-------|-------|-------|-------|-------|-------|
| Diametrul de strunjit, mm | 750 | 1 000 | 1 250 | 1 500 | 2 000 | 2 500 | 3 000 | 4 000 | 5 000 |
| Puterea necesară, CP, circa | 5 | 8 | 12 | 15 | 18 | 20 | 25 | 25 | 30 |

Tabela 7.4. Strunguri revolver și automate cu un ax

| | | | | | | | | | | | | |
|---|------|----|-----|-----|----|-----|----|----|----|-----|-----|-----|
| Diametrul interior al arborelui principal, mm | 10 | 15 | 20 | 25 | 30 | 40 | 50 | 70 | 85 | 100 | 120 | 150 |
| Puterea necesară, CP, pentru mașini: | 0,75 | 1 | 1,5 | 1,5 | 2 | 2,5 | 3 | 4 | — | — | — | — |
| | — | — | 2,5 | 3 | 4 | 5 | 6 | 7 | 7 | 8 | 10 | 12 |

Tabela 7.5. Strunguri revolver automate cu 4 axe

| | | | | | | | |
|---|---|----|-----|----|----|----|----|
| Diametrul interior al arborelui principal, mm | 7 | 14 | 20 | 25 | 35 | 42 | 57 |
| Puterea necesară, CP, circa | 1 | 2 | 2,5 | 3 | 4 | 5 | 6 |

Tabela 7.6. Mașini de găurit

| | | | | | | | |
|---|-------|-------|-----|-----|-----|------|------|
| Diametrul maxim al găurii, mm | 20 | 30 | 40 | 50 | 75 | 100 | 120 |
| Puterea necesară, normale de CP, pentru mașini: | 1-1,5 | 1,5-3 | 2-4 | 3-5 | 4-8 | 5-10 | 6-12 |
| mare viteză | — | — | — | 10 | 15 | 20 | 25 |

Tabela 7.7. Mașini de găurit radiale

| | | | | | |
|-------------------------------|-----|-----|------|------|-------|
| Diametrul maxim al găurii, mm | 60 | 75 | 90 | 100 | 125 |
| Puterea necesară, CP, circa | 2-5 | 4-8 | 6-10 | 7-12 | 10-15 |

Tabela 7.8. Mașini de găurit și frezat orizontale

| | | | | | | |
|-----------------------------|----|------|------|-------|-------|-------|
| Diametrul arborelui, mm | 80 | 100 | 120 | 150 | 200 | 250 |
| Puterea necesară, CP, circa | 6 | 7-10 | 8-12 | 10-15 | 15-20 | 20-25 |

Tabela 7.9. Mașini de frezat orizontale și universale

| | | | | |
|--------------------------------------|-------------|-------------|-------------|-------------|
| Suprafața mesei, mm | 450 × 145 | 600 × 200 | 700 × 225 | 900 × 250 |
| Puterea necesară, CP, pentru mașini: | 0,75 | 1-1,5 | 1,5-2 | 2-2,5 |
| | — | — | 4-7 | 5-10 |
| Suprafața mesei, mm | 1 045 × 265 | 1 200 × 285 | 1 500 × 350 | 1 700 × 400 |
| Puterea necesară, CP, pentru mașini: | 2-3 | 2-3 | 3-5 | 5-7 |
| | grele 6-12 | 6-15 | 6-15 | 8-20 |

Tabela 7.10. Mașini de frezat verticale

| | | | | | | |
|-----------------------------|-----------|-----------|-------------|-----|-------|-------|
| Deschiderea, mm | 150 | 200 | 350 | 500 | 800 | 1 000 |
| Suprafața mesei, mm | 500 × 125 | 750 × 200 | 1 000 × 300 | — | — | — |
| Diametrul mesei rotunde, mm | — | — | 450 | 650 | 1 000 | 1 500 |
| Puterea necesară, CP, circa | 1 | 2 | 3 | 4-7 | 6-10 | 8-15 |

Tabela 7.11. Mașini de frezat roți dințate

| | | | | | | | | | |
|--------------------------------------|-------|-----|-----|-----|---|------|-------|-------|-------|
| Modulul maxim | 1 | 2,5 | 4 | 6 | 9 | 14 | 20 | 25 | 30 |
| Puterea necesară, CP, pentru mașini: | 0,75 | 1 | 1,5 | 2,5 | 3 | 4 | 6 | 10 | 15 |
| | grele | — | — | — | — | ...8 | ...10 | ...15 | ...20 |

Tabela 7.12. Mașini de rabotat

| | | | | | | | | | |
|---|-----|-----|-------|-------|-------|-------|-------|-------|-------|
| Lungimea mesei și deschiderea verticală, mm | 600 | 800 | 1 000 | 1 250 | 1 500 | 2 000 | 2 500 | 3 000 | 4 000 |
| Puterea necesară, CP, circa | 3 | 5 | 6,5 | 8 | 10 | 15 | 20 | 25 | 30-35 |

Tabela 7.13. Mașini de mortezat

| | | | | | |
|---|-----|-----|-------|-------|-------|
| Cursa, mm | 175 | 200 | 250 | 300 | 350 |
| Deschiderea verticală, mm | 350 | 450 | 550 | 600 | 700 |
| Puterea necesară pentru mașini cu culisă, CP, circa | 1,5 | 2 | 2,5 | 3 | 4 |
| Cursa, mm | 400 | 500 | 600 | 700 | 800 |
| Deschiderea verticală, mm | 800 | 900 | 1 000 | 1 150 | 1 300 |
| Puterea necesară pentru mașini cu culisă, CP, circa | 4 | 5 | 6 | 9 | 10 |

Tabela 7.14. Șepinguri

| | | | | | | | |
|-----------------------------|-----|-----|-----|-----|-----|-----|-------|
| Cursa, mm | 200 | 300 | 400 | 500 | 600 | 800 | 1 000 |
| Puterea necesară, CP, circa | 1,5 | 2 | 3 | 4,5 | 6 | 7,5 | 9 |

Tabela 7.15. Mașini de reectificat rotund

| | | | | |
|-----------------------------|-----|------|-------|-------|
| Diametrul pietrei, mm | 250 | 300 | 500 | 600 |
| Puterea necesară, CP, circa | 5-8 | 6-10 | 10-15 | 15-25 |

Tabela 7.16. Mașini de reectificat plan

| | | | | | |
|-----------------------------|------|-----|-----|--------|-----|
| Piatră în formă de: | disc | | | clopot | |
| Diametrul pietrei, mm | 175 | 200 | 250 | 200 | 400 |
| Puterea necesară, CP, circa | 2 | 3 | 4 | 5 | 20 |

Tabela 7.17. Mașini de ascuțit seule

| | | | |
|-------------------------------|---|--|---------|
| Puterea necesară CP, pentru : | Mașini de ascuțit burghie spirale și mașini de ascuțit universale | | 0,5-2 |
| | Mașini de ascuțit cuțite de strung | | 1,5-2,5 |

1.5. SCHEMĂ CINEMATICĂ ȘI LANȚ CINEMATIC

Schema cinematică a unei mașini-unelte reprezintă schema în care este reprezentat, prin semne convenționale, modul cum diferitele organe mobile ale mașinii se îmbină pentru a produce mișcările necesare procesului de așchiere sau de deformare a materialului, pentru a se obține piese finite sau semifabricate.

Lanț cinematic al unei mașini-unelte se numește totalitatea organelor care se îmbină pentru a primi și transmite o mișcare.

O mașină-unelte poate avea unul sau mai multe cinematice.

În funcție de caracterul mișcării ce se execută se deosebesc: lanțurile cinematice ale mișcării principale, ale mișcării de avans, lanțul cinematic de mers rapid etc. Elementele care apar deoseori într-un lanț cinematic sînt: roțile de curea, roțile dințate, șuruburile conducătoare, camele, antrenorii și alte piese care execută transmiterea mișcării.

Lanțurile cinematice pot avea o sursă unică de antrenare sau pot fi acționate fiecare în mod separat. În ultimul caz, mașinile-unelte sînt mai practice.

În construcția oricărei mașini-unelte se urmărește ca schema cinematică să fie cît mai simplă deoarece, în acest caz, și construcția mașinii-unelte este simplă. Acest deziderat se realizează prin folosirea în lanțurile cinematice de elemente de mașini puține și cît mai simple (de exemplu, arbori, transmisii cu curele, cu roți dințate, cu cremalieră, cu culise etc.), precum și prin montarea arborilor astfel ca axele acestora să fie paralele sau perpendiculare.

În fig. 7.1 este arătată schema cinematică a strungului normal IA 62, construit în țară.

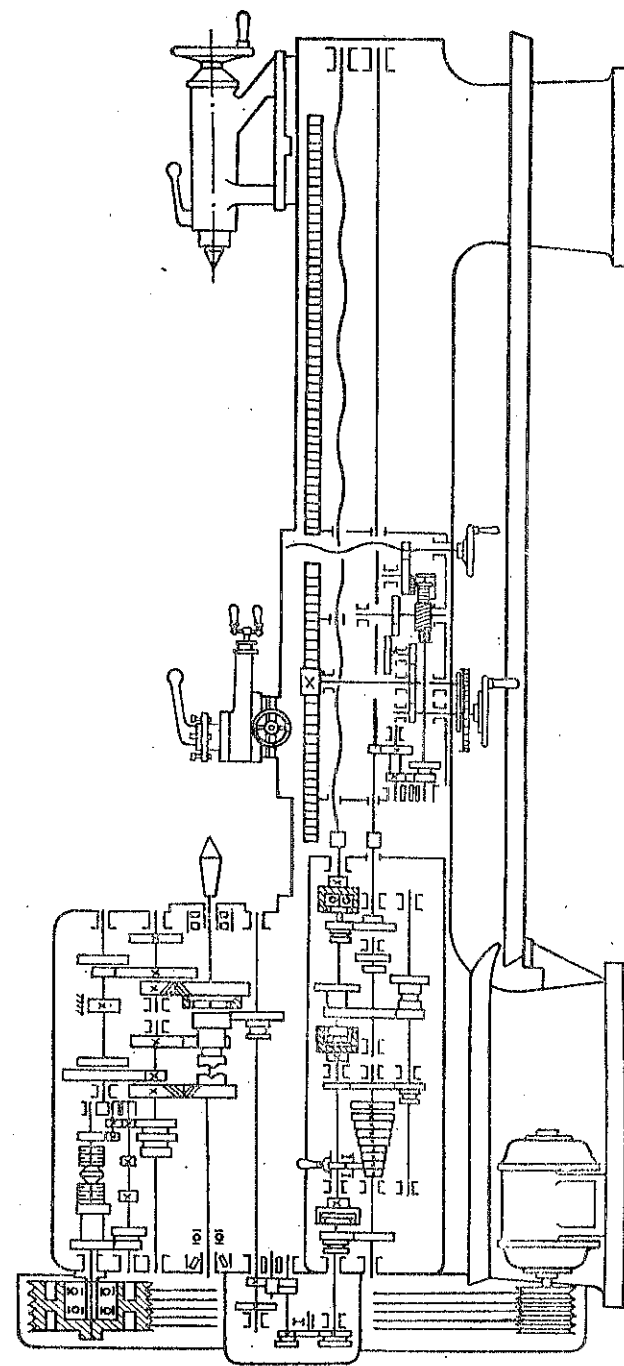


Fig. 7.1. Schema cinematică a strungului normal IA 62.

2. NOȚIUNI DESPRE AȘCHIEREA METALELOR

2.1. CARACTERISTICILE PROCESULUI DE AȘCHIERE

Pentru clarificarea noțiunilor, acest subcapitol se referă la strunjire și rabotare.

Elementele care intervin în procesul de așchiere sînt: mișcările principală și secundară, viteza de așchiere, adîncimea de așchiere, avansul, dimensiunile așchiei, apăsările care se exercită asupra cuțitului, apăsarea specifică de așchiere și rezistența specifică de așchiere.

Noțiunile și mărimile de bază utilizate în tehnica așchierii și în construcția sculelor așchietoare sînt definite în STAS 6599-71.

Mișcările prin care se obține așchiera sînt:

— *mișcarea principală*, cu ajutorul căreia se produce desprinderea așchiilor. Mișcarea principală poate fi de rotație (de exemplu, la strung, la mașina de găurit etc.) sau rectilinie alternativă (de exemplu, la rabotează, șeping, morteză);

— *mișcarea secundară* (de avans) pentru îndepărtarea fiecărei așchii noi.

a. **Viteza de așchiere v** este drumul parcurs de tăiș în unitatea de timp, pe suprafața de așchiat; se exprimă în m/min. Notînd cu v — viteza de așchiere, în m/min; D — diametrul arborelui de prelucrat (înainte de prelucrare) în mm, și n — turația, în rot/min, viteza de așchiere va fi dată de relația $v = \frac{\pi \cdot D \cdot n}{1000}$ [m/min].

Exemple 1. Determinarea vitezei de așchiere v . Dacă un arbore se prelucurează la strung cu 100 rot/min, diametrul arborelui înainte de prelucrare fiind de 50 mm, atunci

$$v = \frac{\pi \cdot D \cdot n}{1000} = \frac{3,14 \cdot 50 \cdot 100}{1000} = 15,7 \text{ m/min.}$$

2. Determinarea turației. Dacă o roată cu $D = 600$ mm trebuie prelucrată cu

$$v = 11,3 \text{ mm atunci } n = \frac{1000 \cdot v}{\pi \cdot D} = \frac{1000 \cdot 11,3}{3,14 \cdot 600} = 6 \text{ rot/min.}$$

b. **Adîncimea de așchiere t** este distanța dintre suprafața care urmează a fi prelucrată și cea prelucrată, măsurată pe o perpendiculară dusă pe aceasta din urmă; ea se exprimă în mm (fig. 7.2, 7.3., 7.4).

c. **Avansul s** este mărimea deplasării cuțitului în mișcarea secundară, în cursul unei rotații complete la strung sau într-o cursă de raboteză sau șeping; se exprimă în mm/rot, respectiv în mm/cursă.

La prelucrarea pe diferite mașini-unelte, avansul poate fi: longitudinal, transversal, vertical sau orizontal.

d. **Dimensiunile așchiei sînt:**

— *lățimea așchiei b* este distanța dintre suprafața de așchiat și cea așchiată, măsurată pe suprafața de tăiere; se exprimă în mm;

— *grosimea așchiei a* este distanța dintre două poziții succesive ale suprafeței, măsurată perpendicular pe lățimea așchiei; se exprimă în mm;

— *secțiunea așchiei q* este suprafața patrulateră, avînd ca laturi: grosimea așchiei și lățimea ei sau avansul și adîncimea de așchiere; se exprimă în mm² (fig. 7.5).

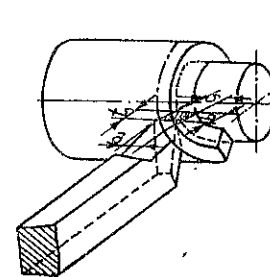


Fig. 7.2.;

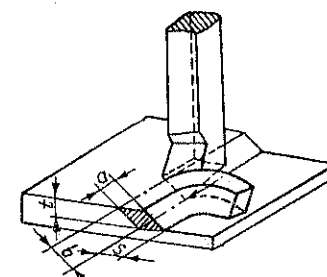


Fig. 7.3.;

Mărimea acesteia se obține cu relația $q = a \cdot b = s \cdot t$.

Forțele care acționează asupra cuțitului. Apăsarea de așchiere P (fig. 7.6) este forța care se exercită asupra cuțitului în mersul așchierii și se exprimă în kgf.

Apăsarea de așchiere P se poate descompune, corespunzător mișcărilor piesei și ale cuțitului, în trei componente:

— *componenta verticală P_z* , denumită *apăsarea principală de așchiere* (forță de așchiere), caracterizează apăsarea așchiei asupra cuțitului;

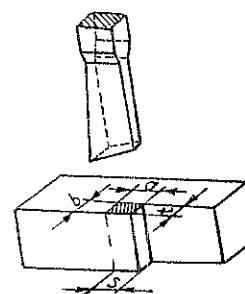


Fig. 7.4.;

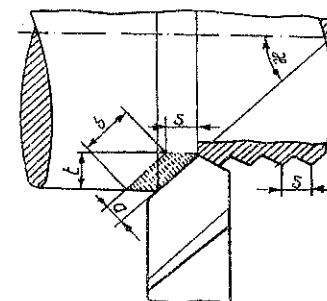


Fig. 7.5.;

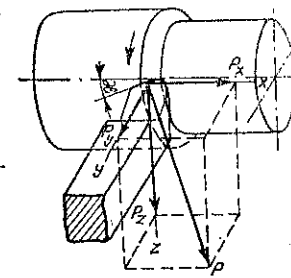


Fig. 7.6.;

— *componenta axială P_x* , denumită *apăsare de avans*, este orientată în sens opus avansului longitudinal;

— *componenta P_y* , denumită *apăsare de respingere* este orientată în sens opus avansului transversal.

Ca și forța P , componentele se exprimă în kgf.

Prin experiențe s-a stabilit că valoarea componentei verticale P_z este influențată de mai mulți factori: duritatea materialului prelucrat, mărimea secțiunii așchiei, forma capului cuțitului etc.

Pentru calcularea aproximativă a apăsării principale de tăiere P_z , care este componenta cea mai importantă în procesul de așchiere, se folosește de obicei formula: $P_z = K_t \cdot q$, în care: K_t este rezistența specifică de așchiere corespunzătoare materialului respectiv, în kgf/mm²;

q — secțiunea transversală a așchiei, în mm².

Această formulă nu dă rezultate precise, deoarece nu prevede variația rezistenței specifice de așchiere în funcție de variația secțiunii transversale a așchiei, de componenta $t \cdot s$ pentru aceeași secțiune de așchiere, precum și de forma capului cuțitului. În realitate, cu cât secțiunea așchiei este mai mare, cu atât rezistența specifică de așchiere descrește.

Cu toate că valoarea apăsării principale de așchiere P_z , calculată după formula indicată, de multe ori nu corespunde întocmai cu rezultatele obținute prin calcule mai precise, care țin seamă de toți parametrii care influențează valoarea acesteia, totuși această formulă, datorită simplității ei, este folosită în practică, exactitatea ei fiind suficientă la lucrările de atelier.

Exemplu. Să se determine apăsarea principală de tăiere la prelucrarea unui oțel cu $\sigma_r = 70$ kgf/mm², secțiunea așchiei desprinse fiind $q = 3$ mm². Rezistența specifică de așchiere pentru oțelul respectiv este $K_t = 200$ kgf/mm².

Aplicind formula cunoscută se obține $P_z = K_t q = 200 \cdot 3 = 600$ kgf.

Apăsarea specifică (presiunea) de așchiere p este raportul dintre apăsarea principală de așchiere (forța de așchiere) P_z și secțiunea așchiei q ; ea se exprimă în kgf/mm².

Valoarea acesteia se calculează cu relația $p = P_z/q$.

Pentru un material dat, apăsarea specifică de așchiere este variabilă, ea depinzând de aceiași parametri de care depinde și apăsarea principală de așchiere P_z .

— **Rezistența specifică de așchiere K_t** a unui material este apăsarea specifică în următoarele condiții de așchiere:

unghiul de tăiere: $\delta = 75^\circ$; unghiul de atac: $\alpha = 45^\circ$; adâncimea de așchiere: $t = 5$ mm; avansul: $s = 1$ mm/rot; tăișul cuțitului: rectiliniu, orizontal; vârful cuțitului: rotunjit cu $r = 1$ mm; condiții de lucru (de așchiere): uscat.

Rezistența (apăsarea) specifică de așchiere se exprimă, ca și rezistența la rupere, în kgf/mm² (tabela 7.18).

Tabela 7.18. Rezistențe specifice de așchiere

| Materialul de prelucrat | Rezistența la rupere kgf/mm ² | Duritatea Brinell HB | Rezistența specifică de așchiere kgf/mm ² K_t |
|-------------------------------|---|----------------------------|---|
| Oțel pentru construcții | 50 | — | 130 |
| | 60 | — | 160 |
| | 70 | — | 200 |
| | 80 | — | 220 |
| | 90 | — | 270 |
| Fontă cenușie | — | 150 | 70 |
| | — | 170 | 90 |
| | — | 190 | 100 |
| | — | 210 | 110 |
| Bronz | — | — | 60 |
| | — | — | 100 |

2.2. CONDIȚII ECONOMICE DE AȘCHIERE

Pentru a se reduce la minimum prețul de cost al operațiilor de prelucrare, este necesar ca mașina-unelte să fie încărcată integral și să se obțină o cantitate maximă de așchii în unitatea de timp, cu ajutorul unei scule avînd cea mai lungă durată de tăiere continuă.

La realizarea acestor condiții economice optime intervin o serie de factori dintre care fac parte următorii:

a. **Căldura de așchiere.** Căldura degajată în timpul așchierii cauzează încălzirea sculei așchietoare. Dacă temperatura depășește o anumită limită, urmarea este o reducere a durității tăișului și accelerarea uzurii sculei așchietoare.

Căldura de așchiere se compune din căldura de deformare plastică (care crește cu apăsarea de așchiere) provocată de deformările din corpul așchiei, căldura de deformare elastică (care crește cu viteza de așchiere) provocată de deformarea materialului din fața sculei și căldura de frecare (care crește cu viteza de așchiere).

Căldura de așchiere este influențată de duritatea materialului așchiat, de mărimea secțiunii așchiei și de viteza de așchiere.

În practică, pentru prelungirea duratei de folosire a sculei între două ascuțiri, se obișnuiește a se lucra cu secțiunea maximă a așchiei permisă de puterea strungului și de duritatea materialului piesei,

alegându-se viteza de așchiere corespunzătoare acestei secțiuni de așchiere.

Repartizarea căldurii între așchie și sculă, precum și viteza de propagare a căldurii depind și de forma secțiunii așchiei. Așchiile late și subțiri transmit mai repede căldura la tășul cuțitului decât așchiile înguste și groase, deoarece sînt în contact pe o porțiune mai mare cu scula. Din acest motiv, în primul caz sînt admise viteze mai mari de așchiere.

Forma cuțitului influențează, de asemenea, căldura de așchiere și anume la prelucrarea metalelor tenace și maleabile (de exemplu, oțelul moale) se folosesc unghiuri de degajare mari, deoarece așchia avînd formă continuă, aceasta freacă continuu fața de degajare a sculei, încălzind-o intens. Pentru prelucrarea carburilor metalice și casante (de exemplu, oțel dur, fontă, bronz) se folosesc scule cu unghiuri de degajare mici (tabela 7.19), deoarece așchiile acestor metale se fărîmîțază, și, ca atare, se freacă mai puțin de fața de degajare. Pentru motive similare unghiul de așezare α trebuie să fie mai mare la prelucrarea materialelor tenace și moi și mai mic la materialele dure și casante.

Tabela 7.19. Elemente constructive la cuțitele cu plăcuțe din carburi metalice

| Felul prelucrării | Materialul prelucrat | Unghiuri ale cuțitului | | | Raza de rotunjire a vârfului cuțitului mm |
|-------------------------|---|------------------------------|-----------------------------|--------------------------------|---|
| | | Unghiul de degajare γ | Unghiul de așezare α | Unghiul de înclinare λ | |
| Degroșare cu izbituri | Oțel moale și semidur: $\sigma_r < 70 \text{ kgf/mm}^2$ | -10 | 8 | +10 | 1,5 |
| | Oțel tare: $\sigma_r > 70 \text{ kgf/mm}^2$ | -10 | 8 | +20 | 1,5 |
| | Fontă moale medie: $HB < 220 \text{ kgf/mm}^2$ | +5...0 | 8 | +10 | 3,0 |
| | Fontă dură: $HB = 220 \text{ kgf/mm}^2$ | -5 | 8 | +20 | 3,0 |
| Degroșare fără izbituri | Oțel moale și semidur: $\sigma_r < 70 \text{ kgf/mm}^2$ | -5 | 8 | 0 | 1,0 |
| | Oțel tare: $\sigma_r > 70 \text{ kgf/mm}^2$ | -10 | 8 | +5 | 1,0 |
| | Oțel rapid călit: $\sigma_r = 260 \text{ kgf/mm}^2$ | -15 | 12 | +15 | 2,0 |
| | Fontă moale și medie: $HB = 220 \text{ kgf/mm}^2$ | +5 | 8 | 0 | 3,0 |
| | Fontă dură: $HB > 220 \text{ kgf/mm}^2$ | 0 | 8 | +5 | 3,5 |
| Finisare | Oțel moale și semidur: $\sigma_r < 70 \text{ kgf/mm}^2$ | -2 | 15 | 0 | 1,0 |
| | Oțel tare $\sigma_r > 70 \text{ kgf/mm}^2$ | -5 | 12 | 0 | 1,5 |
| | Oțel rapid călit: $\sigma_r = 260 \text{ kgf/mm}^2$ | -6 | 12 | 0 | 1,0 |
| | Fontă moale și medie: $HB < 220 \text{ kgf/mm}^2$ | +5 | 15 | 0 | 3,0 |
| | Fontă dură: $HB > 220 \text{ kgf/mm}^2$ | 0 | 12 | 0 | 3,0 |

Observație. Pentru cunoașterea unghiurilor γ , α și λ , precum și a razei de rotunjire, se va urmări descrierea și figurile de la capitolul 8 (Scule), primele subcapitole.

Pentru micșorarea influenței dăunătoare a căldurii degajate al așchiere se folosește răcirea sculelor așchietoare cu lichide de răcire. Lichidul de răcire se alege după caz, atît după capacitatea lui de răcire, cît și după proprietățile lui de ungere.

b. **Durata de așchiere continuă** T , a unei scule este timpul de folosire al acesteia între două reascuțiri. Pentru același material al piesei și aceeași sculă, durata de așchiere continuă descrește cu creșterea vitezei de așchiere și invers. Ea se stabilește în funcție de felul prelucrării și al mașinii-unelte folosite. Astfel, pentru strunguri paralele, durata de așchiere se prevede de circa 60 min; la un strung automat ea trebuie să fie de cel puțin 480 min, deoarece în acest din urmă caz înlocuirea cuțitelor necesită un timp mai mare.

c. **Durata economică de așchiere continuă** este durata de așchiere continuă la care se însumează timpul, în minute, necesar recondiționării și înlocuirii sculei uzate.

Ca valori aproximative pentru durata economică de așchiere continuă, la unele scule se indică următoarele:

cuțite din oțel special pentru scule: 60 min; cuțite cu plăcuțe din carburi metalice: 90 min; cuțite profilate: 120 min; burghie spirale, cu $d = 2 \dots 80 \text{ mm}$: 6-120 min; alezoare, cu $d = 3 \dots 32 \text{ mm}$: 12-108 min; freze cilindrice, cu $d = 60 \dots 110 \text{ mm}$: 84-150 min; freze frontale, cu $d = 60 \dots 110 \text{ mm}$: 120-270 min; tarozi cu $d = 3 \dots 52 \text{ mm}$: 18-180 min; broșe: 60-240 min.

d. **Viteza de așchiere economică** V_e este viteza de așchiere corespunzătoare unei durate de așchiere optimă a sculei.

Viteza de așchiere economică depinde de calitatea materialului cuțitului și al piesei (tabela 7.20), precum și de mărimea și forma secțiunii așchiei.

Tabela 7.20. Viteze de așchiere pentru operații de strunjire obișnuită, m/min

| Materialul | | Degroșare | | | Finisare | | | Retezare | | |
|--|---------|-----------|------|-----|----------|----|-----|----------|----|-----|
| | | I | II | III | I | II | III | I | II | III |
| Oțel laminat σ_r , kgf/mm ² | 35—45 | pînă la | | | | | | | | |
| | 50— 60 | 50 | 30 | 14 | 30 | 24 | 18 | 35 | 20 | 12 |
| | 60— 80 | 35 | 25 | 11 | 26 | 20 | 16 | 25 | 18 | 10 |
| | 80—100 | 25 | 18 | 9 | 20 | 16 | 13 | 16 | 14 | 8 |
| | | 15 | 12 | 5 | 16 | 12 | 9 | 12 | 12 | 6 |
| Oțel turnat | moale | | 16 | 12 | 24 | 18 | 12 | | 14 | 8 |
| | semidur | | 13 | 9 | 20 | 12 | 8 | | 10 | 5 |
| | tare | | 10 | 6 | 15 | 6 | 4 | | 4 | 2 |
| Oțel de scule | moale | 20 | | | 15 | 8 | | | | |
| | tare | 12 | 12—8 | 8—4 | | | | 10—6 | | 7—4 |

Tabela 7.20 (continuare)

| Materialul | | Degroșare | | | Finisare | | | Retezare | | |
|-------------------------|---------------------------|-----------|--------|-------|----------|----|-----|----------|--------|-------|
| | | I | II | III | I | II | III | I | II | III |
| Fontă | moale semidură tare | 30 | 20 | 15 | 24 | 15 | | 18 | 12 | |
| | | 22 | 15 | 12 | 18 | 12 | | 12 | 8 | |
| | | 15 | 10 | 6 | 14 | 8 | | 6 | 6 | |
| Fontă malea- bilă | moale semidură tare | 22 | 18 | 14 | 20 | 16 | | 16 | | 9 |
| | | 17 | 14 | 10 | 14 | 12 | | 10 | | 6 |
| | | 14 | 10 | 6 | 8 | 6 | | 4 | | 3 |
| Alamă | moale semidură tare | 90 | 60 | 35 | 80 | 50 | | | | |
| | | 48 | 50 | 25 | 65 | 40 | | 40 | 30-15 | 20-12 |
| | | 30 | 40 | 15 | 50 | 30 | | | | |
| Bronz | moale | | | | 26 | 18 | | | | |
| | dur | 50-50 | 25-10 | 18-6 | 14 | 6 | | 30 | 18-10 | 12-6 |
| Metale ușoare | | 400-150 | 250-80 | 40-25 | 250-80 | | | 150 | 100-50 | 30-15 |
| Silumin | | 250-80 | 150-80 | 25-15 | 150-80 | | | 80 | 50-20 | 20-10 |

Observații: I — Valori pentru mașini-unelte cu capacitate mare de producție și cuțite din oțeluri rapide superioare. II — Valori pentru mașini-unelte normale și cuțite din oțeluri rapide obișnuite. III — Valori pentru mașini-unelte normale și cuțite din oțeluri carbon pentru scule de calitate superioară.

Astfel, cu scule din oțeluri aliate pentru scule, viteza de așchiere economică este mai mare decât pentru scule din oțel carbon. Viteza de așchiere economică descrește când duritatea materialului piesei de prelucrat și secțiunea așchii cresc și invers. De asemenea, această viteză crește când raportul între lățimea b și grosimea așchii b/a , respectiv între adâncimea de așchiere și avans t/s cresc și invers.

Viteza economică se stabilește, de obicei, pentru o durată de așchiere continuă de:

- 60 min la strungurile paralele;
- 120 și 240 min la strungurile revolver;
- 480 min la strungurile automate.

Aceste viteze se mai notează prin simbolurile v_{60} , v_{120} , v_{240} și v_{480} ele se stabilesc în funcție de v_{60} .

În practică se folosesc următoarele relații: $v_{120} = (0,92 \dots 0,86)v_{60}$; $v_{240} = (0,84 \dots 0,72)v_{60}$; $v_{480} = (0,68 \dots 0,44)v_{60}$.

Datorită faptului că oțelurile aliate pentru scule (rapide) își mențin duritatea necesară așchierii până la aproximativ 600°C, vitezele de așchiere pot fi de 2,5 — 4 ori mai mari la folosirea sculelor executate din aceste oțeluri decât vitezele care se pot obține cu sculele executate

din oțel carbon pentru scule. Pentru motive similare, cu scule prevăzute cu plăcuțe din carburi metalice care își mențin calitățile așchietoare până la temperaturi de circa 900°C, vitezele de așchiere pot fi de 2—4 ori mai mari decât vitezele obținute la folosirea sculelor din oțeluri aliate (rapide).

În tabela 7.21 sunt indicate valorile medii ale vitezei economice de așchiere v_{60} în funcție de secțiunea așchii pentru operații de strunjire fără răcire, cu cuțite din oțel aliat (oțel rapid) cu 16—18% wolfram.

Tabela 7.21. Viteze economice de așchiere v_{60} în funcție de secțiunea așchii, m/min

| Materialul piesei | Secțiuni de așchiere q , mm ² | | | | | | | | | | | | | | Valorile unghiurilor | | | |
|---|--|----|------|------|------|------|------|------|------|------|-----|-----|-----|---|----------------------|---------------|----------------|--------------|
| | 0,7 | 1 | 2 | 3 | 4 | 6 | 8 | 10 | 20 | 30 | 40 | 50 | 60 | | α° | β° | γ° | χ° |
| Fontă | | | | | | | | | | | | | | | | | | |
| HB = 140 — 160 | 28 | 26 | 22 | 19 | 17,5 | 16 | 15 | 14 | 11,7 | 10,5 | 9,7 | 9,1 | 8,8 | 8 | 75 | | 7 | 45 |
| Oțel cu $\sigma_r = 30-40$ kgf/mm ² | 65 | 55 | 42 | 35 | 31 | 26 | 24 | 22 | 16 | 13,5 | 12 | 11 | 10 | 8 | 57 | | 25 | 45 |
| Oțel cu $\sigma_r = 40-50$ kgf/mm ² | 50 | 44 | 33 | 28 | 25 | 21 | 18,5 | 17 | 13,5 | 10,5 | 9,5 | 8,5 | 8 | 8 | 57 | | 25 | 45 |
| Oțel cu $\sigma_r = 50-60$ kgf/mm ² | 40 | 35 | 27 | 23 | 20 | 17 | 15 | 13,5 | 10,5 | 8,7 | 7,7 | 7 | 6,5 | 6 | 65 | | 17 | 45 |
| Oțel cu $\sigma_r = 60-70$ kgf/mm ² | 33 | 28 | 22 | 18 | 16 | 13 | 11,4 | 10,8 | 8 | 6,6 | 6 | 5,5 | 5 | 5 | 65 | | 17 | 45 |
| Oțel cu $\sigma_r = 70-85$ kgf/mm ² | 22 | 18 | 13,5 | 11,5 | 10 | 8,5 | 7,6 | 7 | 5,4 | 4,5 | 4 | 3,6 | 3,4 | 3 | 75 | | 7 | 45 |
| Oțel CrNi cu $\sigma_r = 100$ kgf/mm ² | 35 | 29 | 20 | 15 | 13 | 10,5 | 8,5 | 7,5 | 5,2 | 4 | 3,4 | 3 | 2,7 | 2 | 68 | | 14 | 45 |
| Oțel turnat HB = 135 — 150 | 33 | 28 | 23 | 19 | 16,5 | 14,3 | 13,5 | 12,5 | 9,6 | 8,2 | 7,3 | 6,7 | 6,3 | 6 | 65 | | 17 | 45 |
| Bronz | | | | | | | | | | | | | | | | | | |
| HB = 60 — 70 | 90 | 78 | 58 | 48 | 42 | 35 | 31 | 27 | — | — | — | — | — | — | 10 | 80 | 0 | 60 |

2.2.1. Debitul specific de așchii. Cantitatea maximă de așchii obținută în unitatea de timp se numește *debit specific de așchii* și se exprimă fie prin volumul specific al așchiilor, fie prin greutatea orară a așchiilor.

— Volumul specific al așchiilor V_s se calculează cu formula $V_s = q \cdot v$ [cm³/min], în care q este secțiunea așchii, în mm² iar v — viteza de așchiere, în m/min.

Exemplu: Să se stabilească volumul specific al așchiilor pentru $q = 4$ mm² și $v = 12$ m/min. Rezultă $V_s = q \cdot v = 4 \cdot 12 = 48$ cm³/min.

Greutatea orară a așchiilor G_h va fi: $G_h = 60 \gamma \cdot V_s / 1000$ [kg/h], unde γ este greutatea specifică a materialului care se așchiază, în g/cm³, iar V_s — volumul specific de așchii, în cm³/min.

Exemplu : Să se calculeze G_h cunoscând că $\gamma = 7,8 \text{ g/cm}^3$ și $V_s = 80 \text{ cm}^3/\text{min}$. Rezultă $G_h = 60\gamma \cdot V_s/1000 = 7,8 \cdot 80 \cdot 60/1000 = 34,44 \text{ kg/h}$.

3. PRELUCRĂRI PRIN AȘCHIERE

3.1. GENERALITĂȚI

Prelucrările prin așchiere sînt operații de desprindere de material sub formă de așchii, dintr-o piesă, cu scopul de a se obține forma, dimensiunile și calitatea suprafeței prelucrate, impuse prin desen, prin model sau alte indicații.

Prelucrările prin așchiere se execută cu scule așchietoare (de exemplu, cuțite de strunjire sau rabotare, burghie, freze, tarozi, pietre abrazive etc.), manual (de exemplu, prin pilire, dăltuire etc.) sau la mașini-unelte (de exemplu, la strunguri, mașini de rabotat, mașini de frezat, mașini de rectificat etc.).

3.2. CLASIFICARE

Prelucrările prin așchiere se clasifică după calitatea suprafețelor prelucrate, după succesiunea în timp a fazelor unei operații, după mijlocul de așchiere folosit (fig. 7.7—7.24) și după rezultatul urmărit (fig. 7.25—7.40). În figurile explicative notațiile au următoarele semnificații : 1 — sensul mișcării principale; 2 — sensul avansului; 3 — sensul mișcării secundare; a — scula; b — piesa prelucrată.

3.2.1. Clasificarea prelucrărilor prin așchiere după calitatea suprafețelor obținute. Prelucrările prin așchiere, în acest caz, pot fi prelucrări de degroșare și prelucrări de finisare.

— *Prelucrări de degroșare* sînt operațiile de așchiere ale semifabricatului, pentru obținerea dimensiunilor apropiate ale piesei; de obicei, după degroșare, se lasă un surplus de material pentru operația următoare de finisare.

— *Prelucrările de finisare* sînt operațiile de așchiere cu ajutorul cărora piesele obțin dimensiunile nominale cu toleranțe admise precum și condițiile de calitate a suprafeței.

3.2.2. *Secțiunea economică*. În cazul vitezelor de așchiere uzuale (tabela 7.22) și folosind cuțite executate din oțel carbon pentru scule sau din oțel aliat pentru scule, mărirea secțiunii așchiei influențează asupra produsului $q \cdot v$ în sensul că maximul volumului specific V_s este mai economic dacă se mărește secțiunea așchiei (q) decît dacă se mărește viteza de așchiere (v).

Tabel 7.22. Avansuri pentru operații de strunjire obișnuită, mm/rot

| Materialul | Degroșare | | | Finisare | | | Retezare | | |
|---------------------|-----------|---------|---------|----------|------|------|----------|--------|---------|
| | I | II | III | I | II | III | I | II | III |
| Oțel laminat | pînă la | | | pînă la | | | 0,1—0,4 | 0,02—1 | |
| σ_r | | | | | | | | | |
| kgf/mm ² | | | | | | | | | |
| | | | | | | | | | |
| 35—45 | 10 | 5 | 2 | 0,2 | 0,2 | 0,2 | 0,1—0,4 | 0,02—1 | |
| 50—60 | 5 | 2 | 1 | 0,2 | 0,2 | 0,2 | | | |
| 60—80 | 2 | 1 | 0,5 | 0,1 | 0,1 | 0,05 | | | |
| 80—100 | 1 | 0,5 | 0,3 | 0,05 | 0,05 | | | | |
| Oțel turnat | 0,3—5 | 0,3—5 | 0,3—3,5 | | | | 0,2—0,3 | 0,02—1 | 0,5—1,5 |
| Fontă | | 0,3—6 | 0,3—5 | | | | | | |
| Fontă maleabilă | | | | | | | | | |
| semi-dură | | | | | | | | | |
| Alamă | 0,3—3,5 | 0,3—3,5 | 0,3—3,5 | | | | 0,1—0,5 | 0,02—1 | 0,02—1 |
| Bronz | 0,35—2,5 | 0,3—5 | 0,3—3 | | | | | | |
| Metale ușoare | 0,3—1,5 | 0,3—3 | 0,3—2 | | | | | | |
| Silumin | 0,1—1 | 0,1—2 | | | | | | | |
| | 0,1—1 | 0,1—2 | | | | | | | |

I — Valori pentru mașini-unelte cu capacitate mare de producție și cuțite din oțeluri rapide superioare.

II — Valori pentru mașini-unelte normale și scule din oțeluri rapide obișnuite.

III — Valori pentru mașini-unelte normale și scule din oțel-carbon pentru scule de calitate superioară.

Pentru fiecare strung și pentru fiecare fel de material există o anumită valoare a lui q , care corespunde valorii maxime a lui V_s . Această mărime se numește *secțiune economică* și se notează cu q_e . Dacă se folosește secțiunea economică a așchiei, atunci viteza de așchiere are o valoare mai mică decît viteza economică de așchiere; acestea îi corespunde o durată de așchiere continuă mai lungă decît pentru V_s .

Cunoscînd secțiunea economică a așchiei, pot fi stabilite adîncimea de așchiere și avansul.

Prin încercări experimentale s-au întocmit tabele în care se indică avansul s în funcție de mărimea adîncimii de așchiere t sau în funcție de dimensiunile cuțitului și felul prelucrării.

Astfel, în tabela 7.23 sînt indicate valorile medii ale avansului pentru strunjirea exterioară longitudinală de degroșare, în funcție de adîncimea de așchiere și diametrul piesei care se prelucurează.

În tabela 7.24 se găsesc valorile medii ale avansului pentru prelucrări de finisare pentru strunjiri longitudinale, transversale și interioare, în funcție de adâncimea de așchiere și diametrul piesei care se prelucurează.

În tabela 7.25 sînt arătate valorile medii ale avansului pentru, strunjirea interioară de degroșare, în funcție de diametrul cuțitului, de adâncimea de așchiere și de materialul piesei care se prelucurează.

3.2.3. Concluzii. Pentru stabilirea regimului de așchiere optim la prelucrarea unei piese la o anumită mașină-unelte, regim care să asigure un timp de prelucrare și preț de cost minim, este necesar să se aleagă valori corespunzătoare pentru avans, viteza de așchiere, secțiunea așchiei și durata de tăiere economică a sculei.

Inițial, se stabilește secțiunea așchiei, alegînd o adâncime de așchiere t cît mai mare, în funcție de mașină-unelte la care se lucrează, cum și de calitatea, forma și rigiditatea piesei care se prelucurează. Urmează apoi alegerea unui avans s cît mai mare posibil în funcție de condițiile tehnologice de prelucrare. După aceasta se stabilește viteza economică de așchiere v , care să asigure sculei o durată economică de tăiere continuă.

3.2.4. Clasificarea prelucrărilor prin așchiere după mijlocul de așchiere folosit. — *Burghierea* (fig. 7.7) este prelucrarea prin așchiere executată manual (de exemplu cu coarba) sau mecanic (la mașina de găurit sau la strung) cu ajutorul burghiului. În general, piesa rămîne imobilă și scula execută mișcările de rotire și de avans; uneori, piesa execută mișcarea de rotire, iar scula mișcarea rectilinie de avans (de exemplu, la strung).

— *Broșarea* (fig. 7.8) este prelucrarea prin așchiere executată mecanic (la presă sau la mașini de broșat) cu ajutorul broșelor. Piesa rămîne imobilă, iar scula execută, de obicei, o mișcare rectilinie și uneori elicoidală.

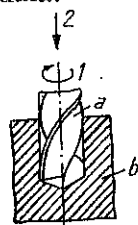


Fig. 7.7.;

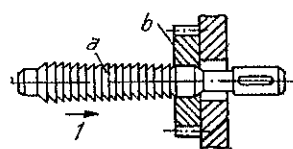


Fig. 7.8.;

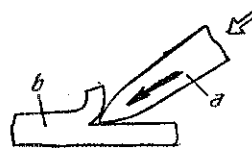


Fig. 7.9.;

— *Dălțuirea* (fig. 7.9) este prelucrarea prin așchiere executată de obicei manual și uneori mecanic (cu aparate pneumatice sau electrice) cu ajutorul unei dălți.

— *Ferăstruirea* (fig. 7.10) este prelucrarea prin așchiere executată manual (cu ferăstrăul de mînă) sau mecanic (la ferăstrăul mecanic) cu ajutorul pinzei de ferăstrău; mișcarea secundară de avans rectiliniu este executată în general tot de sculă și uneori de piesă.

— *Frezarea* (fig. 7.11) este prelucrarea prin așchiere executată mecanic (la mașina de frezat) cu ajutorul sculelor numite freze. Sculele execută mișcarea principală, de rotire; mișcarea secundară, rectilinie, este executată de sculă sau de piesă.

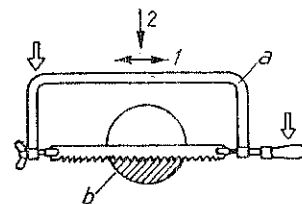


Fig. 7.10.;

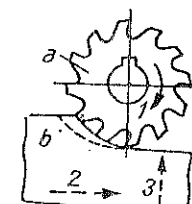


Fig. 7.11.;

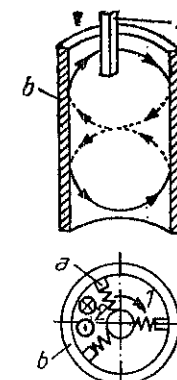


Fig. 7.12.;

— *Honuirea* (honing) este prelucrarea prin așchiere a unei suprafețe interioare (fig. 7.12) executată mecanic (la mașina de honuit) cu ajutorul unei scule numită *hon*. Scula execută o mișcare principală elicoidală, iar piesa este imobilă.

— *Lepuirea* (lapping) este prelucrarea prin așchiere executată mecanic (la mașina de lepuit) cu ajutorul unor dispozitive de lepuit (discuri, manșoane) pe a căror suprafață de frecare cu piesa de prelucrat se depun particule abrazive. Dispozitivul de lepuit execută mișcarea principală de rotire complexă (fig. 7.13), iar piesa execută mișcările secundare.

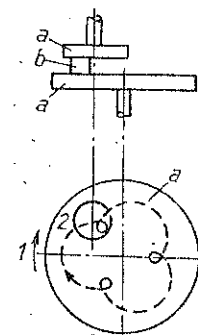


Fig. 7.13.

— *Mortezarea* (fig. 7.14) este prelucrarea prin așchiere executată mecanic (la morteză) cu ajutorul cuțitelor



Fig. 7.14.

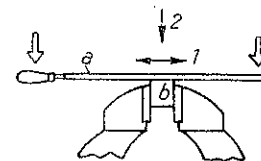


Fig. 7.15.

de mortezat. Sculele execută mișcarea principală rectilinie alternativă într-un plan vertical, iar piesa execută mișcarea secundară.

— *Pilirea* (fig. 7.15) este prelucrarea prin așchiere executată manual sau mecanic (la mașina de pilit) cu ajutorul unei pile. Scula exe-

cută mișcarea principală rectilinie alternativă și uneori de rotire; mișcarea secundară la pilirea manuală este executată de sculă, iar la pilirea mecanizată rectilinie este executată de către piesa care se prelucrează.

— *Polizarea* (fig. 7.16) este prelucrarea prin aşchiere executată mecanic (la polizor) cu ajutorul unei pietre de polizor (disc abraziv)

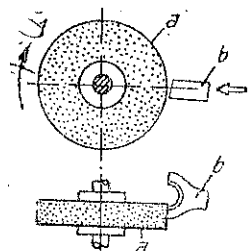


Fig. 7.16.

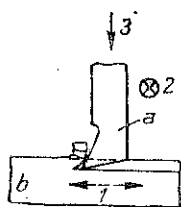


Fig. 7.17.

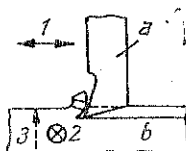


Fig. 7.18.

cu scopul de a curăți sau a fazona piesele brute, fără a se urmări o precizie dimensională sau o ovalitate superioară a suprafeței. Piatra de polizor execută mișcarea principală de rotire, iar piesa — mișcarea secundară.

— *Rabotarea* (fig. 7.17 și 7.18) este prelucrarea prin aşchiere executată mecanic (la raboteză, șeping) cu ajutorul cuțitelor de rabotat. Mișcarea principală rectilinie alternativă în plan orizontal este executată de piesă în cazul rabotezei și de sculă în cazul șepingului; mișcarea secundară rectilinie la raboteză este realizată de către sculă, iar la șeping de către piesă.

— *Răzuirea* (fig. 7.19) este prelucrarea prin aşchiere executată manual cu ajutorul unei scule numită răzuitor. Prelucrarea constă în scoaterea proeminențelor de pe suprafața prelucrată a piesei cu scopul de a realiza fie planitate, fie cilindricitate, fie sfericitate etc.

— *Rectificarea* (fig. 7.20) este prelucrarea prin aşchiere executată mecanic (în

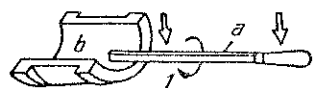


Fig. 7.19.

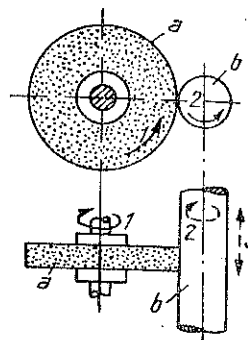


Fig. 7.20.

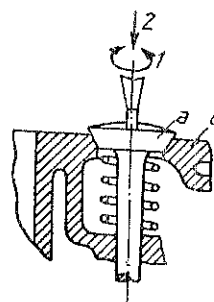


Fig. 7.21.

general la mașini de rectificat și uneori la strung, raboteză etc. cu un polizor fixat pe aceste mașini) cu ajutorul unui corp abraziv. Aceasta execută mișcarea principală de rotire și uneori și mișcările secundare; mișcarea secundară de rotire este executată de piesă, iar mișcarea rectilinie fie de piesă, fie de sculă.

— *Rodarea (rodare naturală)* este prelucrarea prin aşchiere executată manual sau mecanic cu ajutorul unei pietre abrazive sau a unei pulberi brazive depusă pe suprafețele de frecare ale pieselor care urmează să se asambleze împreună sau pe suprafețele piesei și a sculei cu care se rodează (fig. 7.21).

— *Șeveruirea (shawing)* este prelucrarea prin aşchiere executată mecanic (la mașini de șeveruit) cu ajutorul unor scule numite șevere (disc, melc sau cremalieră) pentru operația finală de răzuire a dinților roților dințate, precum și a suprafețelor cilindrice și conice. Scula (disc sau melc) execută o mișcare de rotație și una rectilinie alternativă (fig. 7.22). Șeverul-cremalieră are o mișcare rectilinie alternativă.

— *Strunjirea* (fig. 7.23) este prelucrarea prin aşchiere executată mecanic (la strung) cu ajutorul cuțitelor de strunjit. Mișcarea principală de rotire este executată de piesă și uneori de cuțite. Mișcările secundare rectilinii sau curbilunii sînt efectuate de scule. Uneori, piesa este fixată și scula execută mișcarea de rotație.

— *Suprafinisarea* este prelucrarea prin aşchiere executată mecanic (la mașina de suprafinisat) cu ajutorul unor prisme abrazive care apasă elastic pe suprafața piesei (fig. 7.24). Sculele (prisme abrazive) execută mișcări rectilinii alternative, rapide, concomitent cu mișcări de avans, iar piesa execută o mișcare lentă rectilinie transversală pe direcția comună a celorlalte mișcări (în cazul suprafețelor plane) sau o mișcare de rotație (în cazul suprafețelor rotunde).



Fig. 7.22.

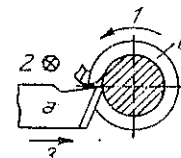


Fig. 7.23.

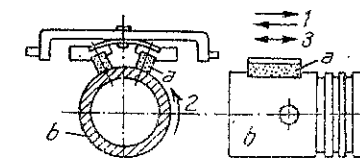


Fig. 7.24.

3.2.5. Clasificarea prelucrărilor de aşchiere după rezultatul urmărit. — *Ajustarea* este prelucrarea prin aşchiere a unor suprafețe, executată manual (folosind răzuitor, pilă abrazivă etc.) pentru obținerea asamblării a două sau mai multe piese cu un anumit ajustaj (de exemplu, ajustaj cu joc, cu strângere, intermediar).

— *Alezarea* (fig. 7.25) este prelucrarea prin așchiere executată manual sau mecanic (la mașina de alezat, strung, mașină de burghiat etc.) cu ajutorul alezoarelor sau cuțitelor de strung, pentru obținerea

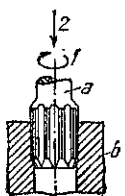


Fig. 7.25.

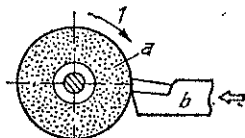


Fig. 7.26.

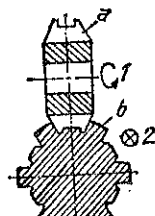


Fig. 7.27.

unei suprafețe interioare (alezaj) cu formă și netezime de calitate superioară, în general în vederea unei asamblări.

— *Ascuțirea* (fig. 7.26) este prelucrarea prin așchiere executată manual sau mecanic (la mașina de ascuțit scule) cu ajutorul unor corpi abrazivi pentru a se realiza sau recondiționa tășurile unei scule.

— *Canelarea* (fig. 7.27) este prelucrarea prin așchiere executată mecanic la mașini de frezat, de rabotat și de burghiat) cu ajutorul unor freze, broșe, cuțite etc. pentru a se obține suprafețe cu caneluri axiale.

— *Centruirea* (fig. 7.28) este prelucrarea prin așchiere executată de obicei la mașini, cu burghiul de centruit, pentru a se obține găuri de centrare pe o anumită axă a piesei.

— *Cojirea* (fig. 7.29) este prelucrarea prin așchiere executată mecanic (la strunguri de cojit sau la raboteze de cojit) cu ajutorul cuțitelor, pentru a se desprinde prin strunjire sau rabotare de pe supra-

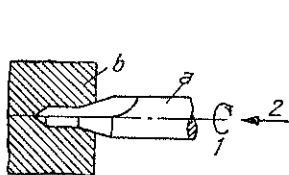


Fig. 7.28.

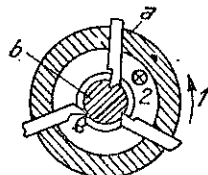


Fig. 7.29.

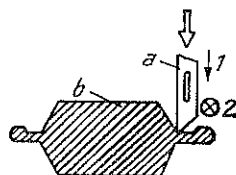


Fig. 7.30.

fața lingourilor sau a produselor laminate stratul exterior de calitate necorespunzătoare (oxizi, scorii, incluziuni, fisuri, decarburări).

— *Debavurarea* (fig. 7.30) este prelucrarea prin așchiere executată manual sau mecanic pentru îndepărtarea bavurilor unei piese.

— *Debitarea* (fig. 7.31) este prelucrarea prin așchiere executată manual sau mecanic pentru detașarea dintr-un material a mai multor bucăți de utilizat.

— *Detalonarea* (fig. 7.32) este prelucrarea prin așchiere executată mecanic (la strunguri de detalonat sau mașini de detalonat) pentru obținerea feței de așezare a unei scule, după o anumită curbă.

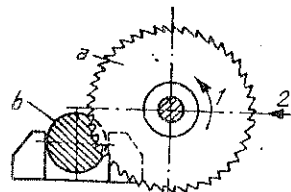


Fig. 7.31.

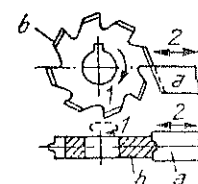


Fig. 7.32.

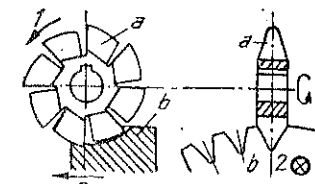


Fig. 7.33.

— *Dintarea* (tăierea de dinți) este prelucrarea prin așchiere executată mecanic (la mașini de tăiat dinți, mașini de frezat mașini de mortezat, mașini de rectificat) pentru a se obține o suprafață de angrenare a unei piese (fig. 7.33).

— *Filetarea* (fig. 7.34) este prelucrarea prin așchiere executată manual sau mecanic (la strung, mașină de găurit, mașină de frezat filet, mașină de filetat) cu ajutorul unui cuțit, pieptene de filet, freză, tarod, filieră, pentru obținerea unui filet pe suprafața exterioară sau interioară a unei piese.

— *Găurirea* este prelucrarea prin așchiere executată manual sau mecanic (la strung, mașină de găurit, mașină de frezat etc.) pentru a se obține o gaură străpunsă sau infundată.

— *Gravarea* este prelucrarea prin așchiere executată manual sau mecanic (la mașini speciale) pentru obținerea unor figuri, inscripții sau repere pe suprafața unei piese.

— *Înflorarea* este prelucrarea prin așchiere executată manual cu ajutorul unor abrazivi fixați pe un suport elastic, pentru a se obține un aspect decorativ pe anumite suprafețe.

— *Lamarea* (fig. 7.35) este prelucrarea prin așchiere executată mecanic (la strung, mașină de găurit, mașină de frezat etc.) pentru obținerea suprafeței plane perpendiculare pe axa unei găuri.

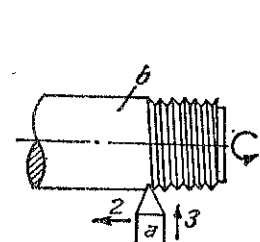


Fig. 7.34.

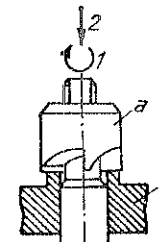


Fig. 7.35.

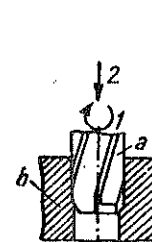


Fig. 7.36.

— *Lărgirea* (fig. 7.36) este prelucrarea prin aşchiere executată mecanic (la strung, mașină de găurit etc.) cu ajutorul unui adâncitor, pentru mărirea diametrului unei găuri.

— *Lustruirea* este prelucrarea prin aşchiere executată manual sau mecanic cu ajutorul pânzei de şlefuit, cu paste abrazive sau abrazivi în suspensie, pentru obținerea unei suprafețe cu aspect lucios fără a se impune respectarea unei precizii dimensionale.

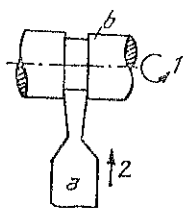


Fig. 7.37.

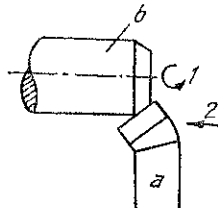


Fig. 7.38.

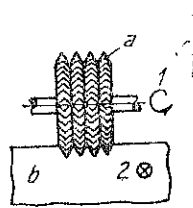


Fig. 7.39.

— *Retezarea* (fig. 7.37) este prelucrarea prin aşchiere executată mecanic, pentru a se detașa o piesă sau un surplus de material prin tăiere transversală.

— *Teșirea* (fig. 7.38) este prelucrarea prin aşchiere executată manual sau mecanic, pentru a se obține în locul muchiei dintre două suprafețe, o suprafață înclinată în raport cu acestea.

— *Zimțuirea* (fig. 7.39) este prelucrarea prin aşchiere executată cu dispozitive sau scule adecvate pentru obținerea unei suprafețe cu șanțuri relativ puțin adânci cu scopul de a mări aderența.

— *Adâncirea* este prelucrarea prin aşchiere executată mecanic (la mașina de găurit, strung etc.) pentru a se obține o gaură cilindrică, conică etc. la extremitatea unei găuri față de care este coaxială, în special pentru șuruburi sau nituri cu cap înecat (fig. 7.40).

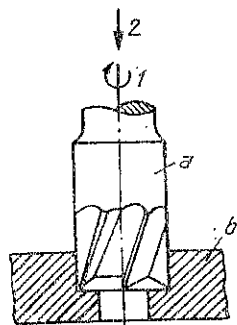


Fig. 7.40.

3.3. STRUNJIREA

3.3.1. Generalități. Strunjirea este operația de prelucrare prin aşchiere efectuată la strung cu ajutorul cuțitelor de strung. Piesa fixată în dispozitivele de prindere ale strungului execută în general mișcarea

principală de rotire, iar cuțitele fixate în sania port-cuțit execută mișcarea secundară de avans, rectilinie sau curbilinie. Mișcarea rectilinie poate fi paralelă cu arborele principal al strungului (avans, longitudinal), perpendiculară pe arborele principal (avans transversal) sau înclinată față de axa arborelui principal (de exemplu, la suprafețele conice). Uneori, strunjirea se poate efectua cu piesa fixă, sculele executând mișcarea principală de rotire.

Prinderea pieselor pentru operația de strunjire se realizează cu dispozitive de prindere mecanice (universal, platou cu făci, între virfuri și inimă de antrenare etc.), electromagnetice, pneumatice sau hidraulice.

Instrumentele de măsurat folosite la operațiile de strunjire corespunzător cu clasa de precizie de prelucrare a piesei sînt următoarele: șublerile (pentru exterior, interior sau adâncime), micrometrele (pentru exterior, interior sau pentru filet), comparatoarele, pasametrele, minimeetrele, calibrele de lucru (tampon sau potcoavă) etc.

3.3.2. Operații de strunjire. 3.3.2.1. *Operații de strunjire după forma suprafețelor prelucrate.* După forma suprafețelor prelucrate se disting următoarele operații uzuale de strunjire:

— *Strunjire longitudinală.* Piesa execută mișcarea principală de rotație, iar cuțitul efectuează mișcarea secundară de avans, deplasându-se paralel cu arborele principal al strungului. După cum suprafața piesei care se strunjește este exterioară sau interioară, deosebim: *strunjirea longitudinală exterioară și strunjirea longitudinală interioară.*

Avansul longitudinal al cuțitului poate fi manual sau automat.

— *Strunjire transversală.* La strunjirea transversală numită și plană, piesa prinsă între virfurile strungului execută mișcarea principală de rotație, iar cuțitul execută mișcarea de avans în direcție perpendiculară pe arborele principal al strungului.

— *Strunjire frontală.* Piesa, fixată de obicei în universal sau în platoul cu făci, execută mișcarea principală de rotație, iar cuțitul, fixat în sania portcuțit, este antrenat manual sau automat în mișcarea secundară de avans în direcție perpendiculară pe axa de rotație.

Strunjirea frontală se poate executa la strungurile normale, la strungurile frontale și la strungurile carusel.

— *Retezare.* Prin această operație se urmărește detașarea extremității unei piese prin tăiere transversală la un strung normal cu ajutorul unui cuțit de retezat. Piesa execută, în acest caz, mișcarea principală de rotație, iar cuțitul pe lângă mișcarea de avans în direcție perpendiculară pe arborele principal al strungului, execută și o mișcare alternativă cu deplasări laterale mai mici decât lățimea cuțitului.

— *Strunjire cu praguri.* Această operație are drept scop executarea unor canale cu diametre diferite pe suprafața pieselor. În acest

scop, cuțitele de strung execută mișcarea de avans atât longitudinal, cât și transversal.

— **Strunjire profilată.** Pentru obținerea profilului cerut al piesei, strunjirea se poate efectua fie cu un cuțit profilat, al cărui tăiș are forma corespunzătoare negativului profilului urmărit, fie prin copiere pe strunguri normale sau pe strunguri de copiat.

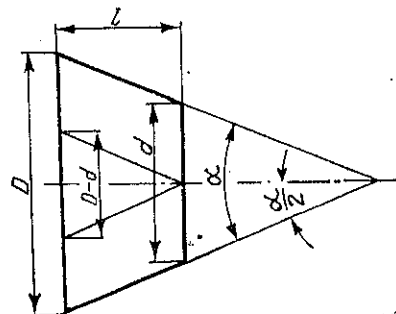


Fig. 7.41.

— **Strunjire de filetare.** Filetarea este o strunjire longitudinală, executată cu cuțite de filet având forma profilului filetelui. Ea poate fi *exterioară* sau *interioară*; ambele operații de filetare se efectuează din mai multe treceri de degroșare și finisare. Avansul longitudinal este egal cu pasul filetelui.

— **Strunjire conică.** Prin *conicitate* $1:k$ se înțelege raportul dintre diferența diametrelor a două secțiuni transversale ale unui con și distanța dintre aceste secțiuni (fig. 7.41): $1/k = (D - d)/l = 2 \operatorname{tg} \alpha/2$, unde D este diametrul secțiunii mari a conului, d — diametrul secțiunii mici a conului, iar l — distanța dintre cele două secțiuni.

Prin *înclinație* (sau înclinarea conului) se înțelege raportul dintre diferența razelor celor două secțiuni și distanța dintre secțiuni; ea reprezintă deci jumătate din conicitate.

Conicitatea se exprimă de obicei printr-o formulă simplă ($1:20$; $1:30$; $1:50$; etc.) și rareori, în procente (simbolizându-se prin litera $p = 100 (D - d)/l = 200 \operatorname{tg} \alpha/2$).

Astfel conicitatea $1:10$ înseamnă că pe o lungime de 20 mm, diametrul piesei se micșorează cu 2 mm, adică de fiecare milimetru din lungimea piesei, diametrul acesteia se micșorează cu $1:10 = 0,1$ mm.

Dacă o piesă are conicitatea de $1:10$ și lungimea de 120 mm, atunci diferența dintre diametrul maxim și diametrul minim ale acestui con este de $120 \times 0,1 = 12$ mm.

Strunjirea pieselor conice se poate realiza prin următoarele procedee:

a. **Rotirea saniei portsculă.** La acest procedeu trebuie să se țină seamă dacă platoul portsculă este divizat în milimetri sau grade.

— *Platoul saniei portsculă este divizat în milimetri.*

În acest caz pentru conicități mici (sub 6°), se va roti cu distanța a , care se deduce din formula: $a = D_1(D - d)/4l = 3$ mm.

în care: D este diametrul bazei mari a trunchiului de con, în mm;

d — diametrul bazei mici a trunchiului de con, în mm;

l — înălțimea trunchiului de con, în mm;

D_1 — diametrul platoului saniei portsculă, în mm.

Exemplu: Pentru $D_1 = 300$ mm, $D = 45$ mm, $d = 35$ mm și $l = 250$ mm sania portsculă trebuie rotită cu $a = D_1(D - d)/4l = 300(45 - 35)/(4 \cdot 250) = 3$ mm

În cazul unei conicități mari această formulă dă erori exagerate. De aceea se desenează în mărime naturală cercul care reprezintă platoul saniei portsculă; se trasează tangenta la cerc AB perpendiculară pe diametru și cu lungimea egală cu valoarea obținută prin relația precedentă; se unește extremitatea dreptei AB cu centrul cercului. Platoul se va roti cu arcul de cerc AC , respectiv cu unghiul γ (fig. 7.42).

— *Platoul saniei portsculă este divizat în grade.*

Sania portsculă se va roti cu un număr de grade (respectiv diviziuni) deduse din relația $\operatorname{tg} \gamma = (D - d)/2l$.

Exemplu: Se dau $D = 50$ mm; $d = 30$ mm și $l = 71$ mm. Să se determine unghiul γ cu care trebuie rotit platoul saniei portsculă.

Utilizând relația precedentă, se obține:

$$\operatorname{tg} \gamma = (D - d)/(2l) = (50 - 30)/(2 \cdot 71) = 0,14084.$$

În tabela funcțiilor trigonometrice se găsește pentru $\operatorname{tg} 0,14054$, $\gamma = 8^\circ$.

b. **Deplasarea transversală a păpușii mobile.** Când se cunosc D , d și l (v. fig. 7.41) păpușa mobilă se va deplasa transversal cu cantitatea $a = L(D - d)/(2l)$ [mm], în care L este distanța între virfurile strungului când piesa este fixată între ele, în mm.

Dacă distanța dintre virfuri este egală cu lungimea trunchiului de con ($L = l$), formula de mai sus devine $a = (D - d)/2$

Exemplu: Cunoscând că $L = 300$ mm; $l = 250$ mm; $D = 50$ mm și $d = 40$ mm, să se stabilească deplasarea transversală a a păpușii mobile pentru a se obține conicitatea propusă. Rezolvare:

$$a = \frac{D - d}{2l} L = \frac{50 - 40}{2 \cdot 250} 300 = 6 \text{ mm.}$$

Deci păpușa mobilă trebuie deplasată transversal cu 6 mm.

În cazul când am fi avut $L = l$, păpușa mobilă ar fi trebuit deplasată cu cantitatea:

$$a = (D - d)/2 = 5 \text{ mm.}$$

c. **Conducerea suportului portsculă cu ajutorul linealului de copiat** (fig. 7.43).

Pentru obținerea unei anumite conicități, cu ajutorul unui lineal care are scara cu diviziuni milimetrice, linealul de copiat se rotește cu a , diviziuni:

$$a = L(D - d)/(2l) [\text{mm}],$$

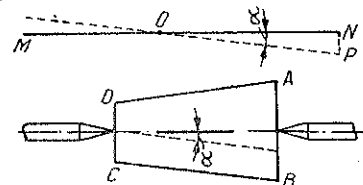


Fig. 7.43.

în care: $D = AB$ reprezintă diametrul bazei mari a trunchiului de con, în mm;
 $d = CD$ — diametrul bazei mici a trunchiului de con, în mm;
 l — înălțimea trunchiului de con, în mm;
 $L = MN$ — lungimea linealului de copiat în mm.

Exemplu: Pentru $D = 80$ mm, $d = 50$ mm, $l = 120$ mm și $L = 400$ mm, linealul de copiat trebuie rotit cu $\alpha = NP = L(D - d)/(2l) = 400(80 - 50) : (2 \cdot 120)$

În cazul când scala linealului de copiat are diviziuni în grade și se cunoaște unghiul de înclinare al conului, de exemplu 8° , atunci și linealul trebuie rotit cu același unghi de 8° . Dacă pe desen este indicat unghiul conului, atunci unghiul de rotire al linealului trebuie să fie egal cu jumătatea acestui unghi.

3.3.2.2. *Operații de strunjire după calitatea suprafețelor prelucrate.* Operațiile de strunjire pot fi: strunjiri de degroșare și strunjiri de finisare.

— *Strunjirea de degroșare* este operația prin care se îndepărtează primele straturi de material ale piesei semifabricate sau laminate pentru obținerea dimensiunilor apropiate de cele normale și a unei anumite calități a suprafeței strunjite; de obicei, după strunjirea de degroșare se mai lasă piesei un adaos de prelucrare pentru operațiile de finisare.

Strunjirea de degroșare se execută cu cuțite având geometria tăișului specifică acestei operații, obținând așchii de secțiune mare sau lucrând cu o viteză mare de așchiere, ca în cazul strunjirii rapide.

— *Strunjirea de finisare* este operația de așchiere care, de obicei, este precedată de strunjirea de degroșare. La strunjirea de finisare se obțin atit dimensiunile nominale cu toleranțe admise cit și condițiile de calitate ale suprafeței strunjite.

În general, strunjirea de finisare se realizează cu secțiuni de așchii mici și cu viteze de așchiere mari; indicații asupra acestora sînt date la subcapitolul „Regim de așchiere”.

3.3.2.3. *Operații de strunjire după felul regimului de așchiere.* După regimul de așchiere se deosebesc: strunjirea obișnuită, strunjirea rapidă și strunjirea intensivă.

— *Strunjirea obișnuită*, denumită și strunjire normală, este strunjirea la care de obicei strungul este încărcat sub valoarea nominală a puterii motorului de antrenare și regimul de așchiere ales asigură o cantitate maximă de așchii în unitatea de timp, concomitent cu cea mai lungă durată de tăiere continuă a cuțitelor. Se aplică, în general, la prelucrarea pieselor de forme și dimensiuni diferite, precum și la piesele care nu pot fi supuse altor regimuri de așchiere.

— *Strunjirea rapidă* este strunjirea la care se folosesc integral, posibilitățile tehnice ale strungului ca putere și cinematică, cu o reducere maximă a timpilor auxiliari, folosind cit mai complet proprietățile așchietoare ale sculelor cu plăcuțe din carburi metalice.

Cuțitele armate cu plăcuțe de carburi metalice (de exemplu T15K6 la oțel și VKS la fontă) pentru strunjirea rapidă sînt executate cu unghiul de degajare atit pozitiv cit și negativ.

Strunjirea rapidă se poate folosi atit la degroșare, cit și la finisare.

Urmărind direcția apăsării de tăiere, se observă că în cazul cuțitului cu un unghi de degajare pozitiv (fig. 7.44), virful plăcuței este

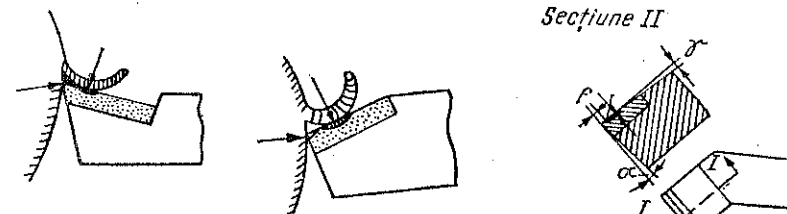


Fig. 7.44.

Fig. 7.45.

Fig. 7.46.

supus la încovoiere și se poate rupe mai ușor decît cuțitul cu unghi de degajare negativ (fig. 7.45), la care plăcuța este supusă la compresie.

Cuțitul cu unghi de degajare pozitiv (fig. 7.46) se folosește la toate strungurile cu turație mai mare de 500 rot/min. Pentru răsucirea așchiei, aceste cuțite sînt prevăzute cu un șanț pe fața de degajare (fig. 7.47).

Pentru aceeași secțiune de așchie, puterea necesară acționării strungului este mult mai mică în cazul folosirii cuțitelor cu unghi de

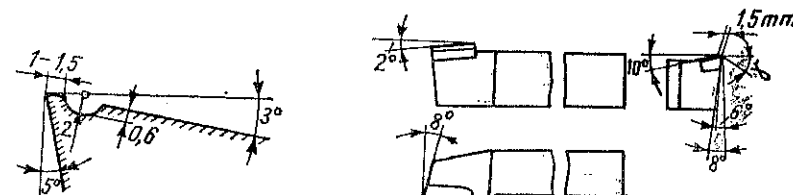


Fig. 7.47.

Fig. 7.48.

degajare pozitiv decît în cazul folosirii cuțitelor cu unghi de degajare negativ.

Cuțitul cu unghiul de degajare negativ (fig. 7.48) poate fi folosit numai la strunguri al căror arbore principal depășește turația de

1 000 rot/min și au o construcție mai robustă decât cele folosite pentru cuțite cu unghi de degajare pozitiv. Din această cauză, cuțitele cu unghi de degajare negativ se folosesc mai puțin decât primele, și, în special, pentru strunjirea pieselor din fontă dură sau finisarea pieselor din oțel călit.

Porțiunea de la vârful cuțitului Bortkievici este arătată în fig. 7.49 și la aceste cuțite se practică un șanț pentru răsucirea așchii.

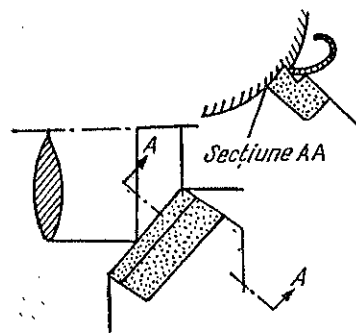


Fig. 7.49.

La strunjirea rapidă cu unghiuri de degajare negative trebuie respectate următoarele reguli:

— Mașina-unelte trebuie să fie foarte robustă și să nu vibreze. Jocurile între piesele în mișcare trebuie să se afle în limite admisibile strinse.

— Fixarea pieselor în universal sau între vîrfurile rotative trebuie făcută foarte rigid. Suportul cuțitului să fie robust și cuțitul să fie montat cu partea care iese în afară de suport cît mai scurtă.

— Pentru a feri vîrfurile sculei de o suprasolicitare și a evita împingerea acestuia

în material, se recomandă montarea cuțitului astfel ca vîrfurile să fie cu 0,6—2 mm sub planul orizontal care trece prin linia vîrfurilor strungului. Valorile mai mari se iau pentru diametrele mai mari.

— Fețele cuțitului trebuie să fie bine finisate. Cuțitul trebuie reascutit înainte de a se fi tocit complet.

— Cuțitul trebuie apropiat de piesă numai în timpul rotirii acesteia, iar cînd se retrage, piesa trebuie să fie încă în mișcare.

— Lățimea așchii nu trebuie să depășească 2/3 din lungimea tăișului principal.

— Strunjirea rapidă cu cuțite avînd unghi de degajare negativ trebuie aplicată numai la viteze mari de așchiere și numai atunci cînd prelucrarea cu cuțitele cu un unghi de degajare pozitiv nu dă rezultate satisfăcătoare.

Elementele constructive ale cuțitelor cu plăcuțe din carburi metalice pentru strunjirea rapidă a fontei și oțelului sînt indicate în tabela 7.19.

— *Strunjirea intensivă* constă în realizarea unei foarte mari cantități de așchii în unitatea de timp și obținerea unei netezimi de calitate bună prin reunirea într-o singură prelucrare a operațiilor de degroșare și finisare cu ajutorul unor cuțite speciale.

Regimul de așchiere diferă de cel folosit la strunjirea rapidă, deoarece se realizează cu viteze de așchiere medii și cu secțiuni de așchie foarte mari, limitate de puterea motorului de antrenare a strungului.

Cuțitele pentru această metodă de strunjire (fig. 7.50) prevăzute cu plăcuțe de carburi metalice (de exemplu, T15K6) au: un tăiș prin-

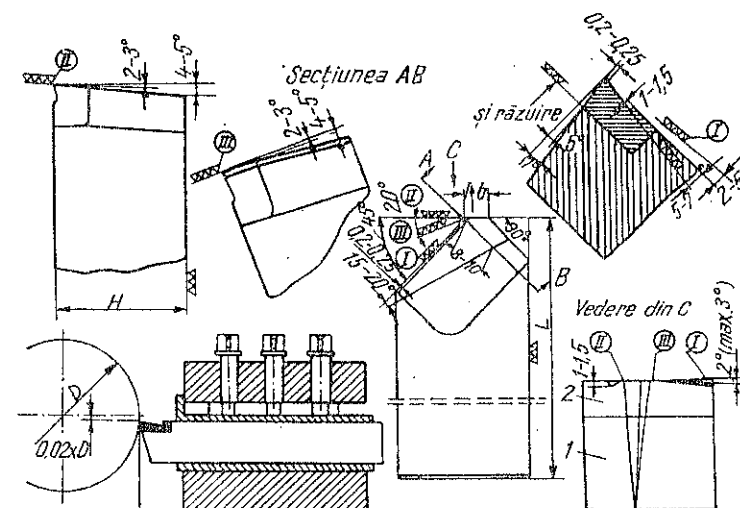


Fig. 7.50.

cipal I cu un unghi de atac de 45° (care execută degroșarea), un tăiș auxiliar II paralel cu axa longitudinală a strungului (care execută finisarea) și un tăiș scurt III de racordare a tăișurilor I și II.

Lungimea tăișului II este cu circa 0,3—0,5 mm mai mare decât avansul. Tăișul III are o lungime de circa 1 mm și este dispus sub un unghi de atac de 20° față de axa piesei de prelucrat.

Tăișurile I, II și III sînt executate cu un unghi de degajare pozitiv de 5—7° și sînt prevăzute cu cîte o fațetă de 0,2—0,25 mm lățime, cu un unghi negativ de circa 5°. Unghiurile de așezare ale tăișurilor se iau de 2—3° pentru tăișurile II și III și de 5° pentru tăișul I.

În planul de degajare al tăișului principal I, este executat un șanț pentru răsucirea așchii; acest șanț cu lățimea de 8—10 mm și adîncimea de 1—1,5 mm este așezat sub un unghi de 15—20° față de tăișul principal. Pentru evitarea atacului nefavorabil între așchii și suprafața prelucrată, șanțul pentru răsucirea așchii are o înclinare de 3°.

Avansul maxim la strunjirea intensivă este limitat de rigiditatea piesei care se prelucurează și de puterea motorului care antrenează

strungul. Adâncimea de așchiere și viteza de așchiere sînt cele folosite la strunjirea obișnuită.

Condiții bune de așchiere sînt asigurate cînd vârful cuțitului se așază cu $0,02 D$ mm sub planul orizontal care trece prin axa piesei care se strunjește (D este diametrul piesei de prelucrat).

Pentru asigurarea duratei normale de lucru între două ascuțiri, este necesar ca tășurile cuțitului să fie răsucite direct cu un jet abundent de lichid de răcire și ungere.

Ca să se asigure și rigiditatea cuțitului, trebuie ca înălțimea H să fie de 4–5 ori mai mare decît grosimea plăcii din carbură metalică și corpul cuțitului să fie executat din oțel cu o rezistență $\sigma_r = 90 \dots 100 \text{ kgf/mm}^2$.

3.3.2.4. *Operații speciale de strunjire.* Detalonarea, cojirea și strunjirea prin copiere sînt operații speciale de strunjire.

— *Strunjirea de detalonare* este operația de așchiere efectuată în general pe un strung de detalonat și uneori pe un strung normal cu un dispozitiv de detalonat pentru prelucrarea fețelor de așezare a sculelor așchietoare cu tăș profilat (de exemplu: freze de filet, tarozi etc.) după o spirală logaritmă și de cele mai multe ori după o spirală arhimedică. În acest scop mișcarea de avans transversal a sculei este realizată cu ajutorul unei came. Arborele acestei came se rotește cu o viteză care variază cu numărul de dinți al piesei care se detalonează. Regimul de așchiere pentru strunjirea de detalonare necesită viteze de așchiere și secțiuni de așchie mici. În figura 7.51 este indicată schema pentru comanda mișcării de avans transversal la strunjirea de detalonare.

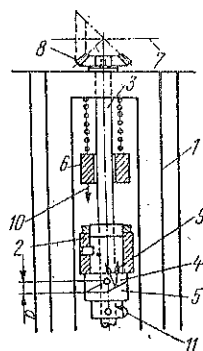


Fig. 7.51. Schema transmisiei mișcării de avans pentru detalonare:

1 — pat; 2 — ureche la sania transversală; 3 — arborele camei de comandă; 4 — camă; 5 — camă solidă cu sania transversală; 6 — arc de rapel; 7 — axa arborelui avansurilor; 8 — angrenaj conic; 9 — mișcare de lucru; 10 — mișcare de revenire; 11 — sensul de mișcare a arborelui camei de comandă; a — avans de detalonare.

— *Strunjirea de cojire* este operația de strunjire a unor bare, în general de lungimi mari, la strunguri de cojit, la care piesa execută mișcarea de avans longitudinal, iar scula așchietoare fixată în portcuțit efectuează mișcarea de rotație. În acest caz pentru regimul de așchiere se recomandă viteze de așchiere mici și secțiuni de așchie mari.

— *Strunjirea prin copiere* este operația de strunjire a pieselor cu diferite profile, fie la strunguri normale cu ajutorul șabloanelor de

copiat, fie pe mașini-unelte de construcții speciale (de exemplu, strung de strunjit oval, strung de strunjit pătrat etc.).

Cînd se folosesc șabloane de copiat pentru prelucrări cu avans longitudinal, sania transversală este decuplată și condusă cu ajutorul unei role de canalul șablonului de copiat care se fixează pe batiul strungului, în spate. În figura 7.52 este arătată strunjirea prin acest procedeu a unei piese în formă de butoi.

La strunjiri cu șablon pentru prelucrare cu avans transversal, se decuplează șurubul conducător al saniei port-cuțit de piulița de cuplare și cu ajutorul unei role această sanie este condusă după canalul șablonului de copiat, fixat pe sania longitudinală a strungului. Prin deplasarea manuală sau automată a saniei transversale se obține o suprafață cu profilul după acela al șablonului de copiat. În fig. 7.53 se arată prelucrarea prin acest procedeu a unei piese fixate în universal.

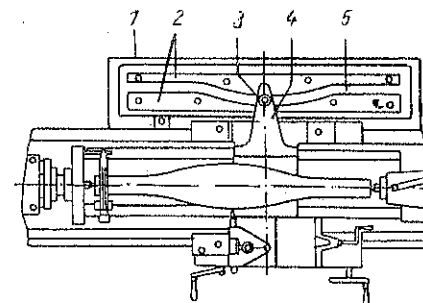


Fig. 7.52. Strunjire prin copiere cu avans longitudinal:

1 — coțar; 2 — șabloane; 3 — rolă; 4 — suport solidar cu sania longitudinală; 5 — canal de ghidare al rolei.

— *Strunjire de suprafinisare* (strunjirea fină) este operația de strunjire exterioară sau interioară care constă în scoaterea unor așchii de secțiune foarte mică la viteze de așchiere foarte mari, pentru a se obține o netezime (microgeometrie) foarte bună a fețelor prelucrate.

Această operație se execută fie la mașini speciale orizontale sau verticale cu unul sau mai mulți arbori principali, fie la strunguri obișnuite rapide lipsite de vibrații, cu ajutorul cuțitelor prevăzute cu plăcuțe de carburi metalice (de exemplu, T15K6, T30K4) pentru prelucrarea pieselor din materiale feroase sau cu ajutorul cuțitelor cu diamant la prelucrarea pieselor din materiale neferoase și mase plastice (ebonit, fibră).

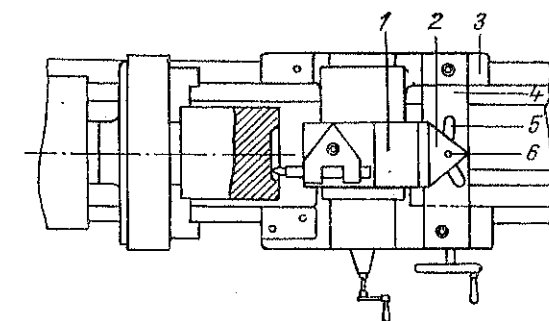


Fig. 7.53. Strunjire prin copiere cu avans transversal:

1 — sanie transversală; 2 — suport solidar cu sania portcuțit; 3 — sanie longitudinală; 4 — șablon; 5 — canal de ghidare a rolei; 6 — rolă.

Strunjirea de suprafinisare asigură o calitate a suprafeței prelucrate caracterizată prin asperități cu înălțime maximă de $0,5-4 \mu$ (microni) și o precizie a dimensiunilor corespunzătoare claselor 2–4

de precizie, ceea ce pentru diametre de 15–100 mm reprezintă abateri de 5–8 μ . Ea se folosește și ca operație de prelucrare pregătitoare pentru operațiile de honuire (honing).

Adaosul de prelucrare pe diametru pentru strunjirea de suprafinisare este de:

- 0,20–0,25 mm pentru diametre până la 25 mm;
- 0,25–0,40 mm pentru diametre de 25–120 mm;
- 0,30–0,50 mm pentru diametre peste 120 mm.

Pentru un adaos de prelucrare mai mare, strunjirea de suprafinisare se execută în două operații, și anume: o operație de eboșare la care se prelucurează circa 2/3 din adaos și o operație de finisare la care se prelucurează restul.

Vitezele de așchiere se iau de 120–250 m/min pentru metalele feroase și de 250–3 000 m/min pentru metalele neferoase.

Mărimea avansului se ia de 0,1–0,2 mm/rot pentru operațiile de eboșare și de 0,05–0,10 mm/rot pentru operațiile de finisare. Adâncimea de așchiere se ia de 0,3–0,5 mm pentru operațiile de eboșare și de 0,05–0,5 mm pentru operațiile de finisare. Pentru metalele neferoase se poate lua o adâncime de așchiere și mai mare.

3.3.3. Regim de lucru. Vitezele de așchiere și avansurile pentru strunjirea obișnuită sunt indicate în tabelele 7.20–7.24.

Valorile din tabela 7.21 se pot majora, după caz, cu maximum 40% la strunjirea cu răcire.

Tabela 7.23. Valorile medii ale avansului pentru strunjire longitudinală de degroșare

| Diametrul piesei d , mm | Pentru adâncimea de așchiere t , mm | | | |
|------------------------------|---------------------------------------|-----------|-----------|-----------|
| | 0–5 | 5–8 | 8–12 | 12–30 |
| | Avansuri s , mm/rot | | | |
| 10–18 | $s < 0,25$ | — | — | — |
| 18–30 | 0,20–0,50 | — | — | — |
| 30–50 | 0,40–0,80 | 0,30–0,60 | — | — |
| 50–80 | 0,60–1,20 | 0,50–1,00 | — | — |
| 80–120 | 1,00–1,60 | 0,70–1,50 | 0,50–1,00 | — |
| 120–180 | 1,40–2,00 | 1,10–1,80 | 0,80–1,50 | — |
| 180–260 | 1,80–2,60 | 1,50–2,00 | 1,10–2,00 | 1,00–1,50 |
| 260–360 | 2,30–3,20 | 2,50–2,80 | 1,50–2,50 | 1,30–2,00 |
| $d > 360$ | — | 2,80–3,50 | 2,00–3,00 | 1,50–2,50 |

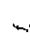
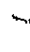


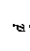

Tabela 7.24. Valorile medii ale avansului pentru diverse prelucrări de finisare

| Diametrul piesei d , mm | Strunjire longitudinală și transversală (cu cuțit normal) | Strunjire longitudinală (cu cuțit lat) | Strunjire interioară (cu cuțit normal) |
|---------------------------|---|--|--|
| | Pentru adâncimea de așchiere t , mm | | |
| | $t < 2$ | 0,2–0,5 | $t > 2$ |
| | Avansul s , mm | | |
| $d < 30$ | 0,08–0,13 | 0,30–0,80 | 0,04–0,08 |
| 30–50 | 0,10–0,15 | 0,70–1,50 | 0,06–0,10 |
| 50–80 | 0,13–0,20 | 1,20–2,00 | 0,08–0,13 |
| 80–120 | 0,18–0,25 | 1,80–2,50 | 0,10–0,15 |
| 120–180 | 0,20–0,30 | 2,00–3,00 | 0,12–0,18 |
| 180–200 | 0,25–0,35 | 2,50–3,50 | 0,15–0,20 |
| 200–360 | 0,30–0,45 | 3,00–4,00 | 0,18–0,25 |
| $d > 360$ | 0,35–0,55 | 3,50–5,00 | 0,20–0,30 |







Tabela 7.25. Viteze de așchiere pentru strunjirea rapidă

| Felul prelucrării | Materialul de prelucrat | Adâncimea de așchiere t , mm | Avansul s , mm/rot | Viteza de așchiere v , m/min |
|-------------------|--|--------------------------------|----------------------|--------------------------------|
| Degroșare | Oțel moale și semidur cu $\sigma_r \leq 70$ kgf/mm ² | 5–10 | 0,5–1 | 240–120 |
| | Oțel dur cu $\sigma_r > 70$ kgf/mm ² | 5–10 | 0,5–1 | 150–80 |
| | Oțel rapid călit, cu $\sigma_r = 260$ kgf/mm ² | 5–10 | 0,5–1 | 40–30 |
| | Fontă moale și semidură, cu $HB \leq 200$ | 5–10 | 0,5–1 | 100–50 |
| | Fontă dură cu $HB > 200$ | 5–10 | 0,5–1 | 80–40 |
| | Bronz, alamă, zinc | 5–10 | 1–1,5 | 400–200 |
| Finisare | Oțel moale și semidur, cu $\sigma_r \leq 70$ kgf/mm ² | 1–3 | 0,1–0,4 | 400–200 |
| | Oțel dur cu $\sigma_r > 70$ kgf/mm ² | 1–3 | 0,1–0,4 | 240–120 |
| | Oțel rapid călit, cu $\sigma_r = 260$ kgf/mm ² | 0,5–1 | 0,1–0,2 | 120–80 |
| | Fontă molae și semidură, cu $HB \leq 200$ | 1–2 | 0,2–0,4 | 150–120 |
| | Fontă dură cu $HB > 200$ | 1–2 | 0,1–0,3 | 120–90 |
| | Bronz, alamă | 1–2 | 0,1–0,5 | ...400 |
| | Aliaje de zinc | 1–2 | 0,1–0,5 | 200–150 |

Tabela 7.26. Valori medii pentru avans și viteză de așchiere la strunjire cu plăcuțe din carburi metalice

| | | Grupa de utilizare (v. tabela 17,41) | | | | | |
|-------------|-----------------------------------|---|---|---|---|---|---|
| | | P61 | P10 | P20 | P30 | P40 | M20 |
| Materiale | σ_r daN/mm ² | Avansul mm/rot | | | | | |
| | | 0,5 - 0,05 | 0,7 - 0,3 - 0,1 | 1,2 - 0,3 - 0,2 | 2 - 0,4 - 0,2 | 3 - 0,4 | 2 - 0,4 - 0,2 |
| | | Viteza de aşchiere, m/min | | | | | |
| | |  |  |  |  |  |  |
| Oţel carbon | $\sigma_r < 50$ | 200 - 350 | 120 - 200 - 300 | 100 - 150 - 220 | 60 - 100 - 150 | 40 - 60 | 50 - 80 - 120 |
| | 50 - 70 | 180 - 300 | 100 - 180 - 250 | 80 - 120 - 180 | 50 - 80 - 120 | 30 - 50 | 40 - 60 - 100 |
| | 70 - 90 | 150 - 250 | 80 - 120 - 200 | 60 - 100 - 150 | 40 - 60 - 100 | | 30 - 50 - 80 |
| | 50 - 90 | 120 - 250 | 60 - 110 - 200 | 50 - 90 - 150 | 40 - 70 - 100 | 20 - 50 | 25 - 45 - 80 |
| Oţel aliat | 90 - 150 | 60 - 150 | 30 - 60 - 120 | 25 - 50 - 80 | 20 - 40 - 60 | | 20 - 30 - 50 |
| | $\sigma_r < 50$ | 120 - 200 | 80 - 100 - 140 | 60 - 80 - 120 | 40 - 60 - 100 | 25 - 40 | 40 - 80 - 120 |
| Oţel turnat | 50 - 80 | 100 - 150 | 60 - 80 - 120 | 40 - 60 - 100 | 30 - 50 - 80 | 20 - 30 | 30 - 60 - 100 |

Tabelul 7.25 (continuare)

| Materialul rezenței | Grupa de utilizare | | | | | |
|------------------------|---|---|---|---|---|---|
| | K01 | K10 | K20 | K30 | K40 | M20 |
| | Avasul, mm/rot | | | | | |
| HB daN/mm² | 0,15 - 0,1 | 1 - 0,5 - 0,2 | 1,2 - 0,7 | 1,5 - 1 | | |
| | Viteza de aşchiere, m/min | | | | | |
| Fontă comune |  |  |  |  |  |  |
| | 140 - 180 | 100 - 150 | 60 - 100 - 120 | 30 - 80 - 100 | 30 - 50 - 80 | 50 - 80 - 100 |
| | 100 - 150 | 80 - 120 | 40 - 80 - 100 | 30 - 50 - 90 | 20 - 40 - 60 | 30 - 50 - 80 |
| Fontă maleabilă | | | 50 - 80 - 100 | 30 - 60 - 90 | | 40 - 70 - 100 |

Pentru strunjirea transversală, valorile din tabela 7.23 se majorează cu 30—50%. Valorile mai mari se iau pentru strunjirea pieselor din oțel cu duritate mică, iar cele mici pentru piesele din oțel cu duritate mare și pentru piesele din fontă cenușie.

În tabela 7.24 valorile mari se iau pentru metale feroase cu duritate mică, iar valorile mici pentru cele cu duritate mai mare. Pentru metale neferoase aceste valori se majorează cu 20—30%.

Vitezele de aşchiere pentru strunjirea rapidă sînt indicate în tabela 7.25, la operaţii de degroşare şi finisare a diferitelor metale feroase şi neferoase în funcţie de adîncimea de aşchiere şi avans.

Vitezele medii pentru avans și de
așchiere la strunjirea cu plăcuțe din car-
buri metalice sînt arătate în tabela 7.26.

3.3.4. Strunguri 3.3.4.1. *Generalități.* Strungul este o mașină-unealtă pentru prelucrarea prin așchiere, în general, a suprafețelor de revoluție sau a suprafețelor elicoidale, ale pieselor, cu ajutorul sculelor așchietoare (de obicei cuțite de strung). Piesa execută, în acest caz, mișcarea principală de rotație, iar sculele mișcarea de avans longitudinal (întărirea) și de avans transversal (pătrunderea). Prelucrarea pieselor pe strung se poate face nu numai cu cuțitele de strung, ci și cu alte scule așchietoare (de exemplu, burghie, tarozi, alezoare etc.).

3.3.4.2. *Clasificare și descriere.* Construcția strungurilor depinde de caracterul producției, de forma și dimensiunile pieselor de prelucrat. Ele pot fi clasificate după diferite criterii; mai importante sînt următoarele :

După domeniul în care sînt folosite, strungurile se clasifică în strunguri normale strunguri speciale. *Strungurile normale* (denumite și strunguri paralele,

Observație S-au utilizat notațiile: f — finisare; d — degroșare

obișnuite, longitudinale) au un domeniu larg de utilizare și sînt echipate cu păpușă fixă, păpușă mobilă, vîrfuri pentru prinderea piesei etc. *Strungurile speciale* au un domeniu restrîns de utilizare, ele folosindu-se numai pentru anumite piese sau operații de prelucrare.

După poziția axei în jurul căreia se execută mișcarea principală de rotație, deosebim: *strunguri orizontale* (de exemplu, strungurile paralele), *strunguri verticale* (de exemplu, strungurile carusel) și *strunguri cu axa înclinată* (de exemplu, unele strunguri multiaxe).

După dimensiunile maxime ale pieselor care se prelucreează, strungurile se clasifică în: *strunguri mici* (de exemplu, strungul de banc, strungul de ceasornic), *strunguri mijlocii*, *strunguri mari* și *strunguri foarte mari*; ultimele două categorii se mai numesc și *strunguri grele*.

După gradul de precizie a dimensiunilor și a calității suprafeței prelucrate, deosebim: *strunguri de degroșare*, *strunguri de netezire* (de exemplu, strungurile pentru strunjirea de suprafinisare cu diamant) și *strunguri universale* care execută atît degroșarea cît și netezirea pînă la un anumit grad al calității suprafeței prelucrate.

După turația maximă a arborelui principal strungurile se clasifică în *strunguri cu viteză normală* și *strunguri rapide*.

După principiul fixării, și folosirii sculelor, se deosebesc: *strunguri simple* (de exemplu, strungurile cu vîrfuri) și *strunguri revolver*.

După numărul axelor principale deosebim: *strunguri cu un ax* și *strunguri cu axe multiple*.

După felul de prindere (de fixare) a piesei de prelucrat, strungurile se împart în *strunguri cu vîrfuri*, *strunguri cu prindere a pieselor în universal (sau platou)* și *combinate*.

După gradul de automatizare a mișcărilor de comandă pentru executarea operațiilor auxiliare, se deosebesc: *strunguri neautomate* (de exemplu, strungul normal, strungul frontal), *strunguri semiautomate* și *strunguri automate*. Strungurile automate se mai împart în strunguri automate pentru bare și strunguri automate cu magazin.

După tipul subansamblurilor și modul de antrenare, strungurile se mai clasifică în *strunguri cu con în trepte*, *strunguri cu cutie de viteze*, *strunguri cu acționare individuală*, *strunguri cu acționare prin transmisie intermediară*.

a. **Strunguri normale.** Aceste strunguri se caracterizează prin modul de prindere a pieselor de prelucrat pe arborele principal (cu ajutorul universalului etc.) și uneori și cu păpușă mobilă; ele au mecanisme de avans longitudinal și de avans transversal; ele se folosesc la producția individuală sau în serii mici și mijlocii.

La strungurile normale se pot executa operații de strunjire a suprafețelor cilindrice sau conice, exterioare sau interioare, cum și operații auxiliare de găurire, filetare, retezare, rectificare, zimțare etc.

Dimensiunile caracteristice ale strungurilor normale sînt înălțimea vîrfurilor deasupra patului și distanța maximă între vîrfuri.

După distanța între vîrfuri L , strungurile se clasifică astfel: strunguri mici, cu $L \leq 1000$ mm; strunguri mijlocii, cu $L = 1000 - 3000$ mm; strunguri mari, cu $L = 3000 - 8000$ mm, strunguri foarte mari, cu $L > 8000$ mm.

Dintre strungurile normale fabricate în țară se menționează următoarele tipuri: SN 280 (diametrul maxim de strunjire deasupra ghidajelor $\varnothing = 280$ mm și distanța între vîrfuri $L = 500$ mm), SNA 280 ($\varnothing = 280$ mm și $L = 500$ mm), SNA 320-G ($\varnothing = 320$ mm și $L = 750$ mm), SNA 320-U (strung normal ușor cu $\varnothing = 320$ mm și $L = 750$ mm), SNA 360 ($\varnothing = 360$ mm și $L = 750$ mm), SNA 400 ($\varnothing = 400$ mm și $L = 750$ mm; 1000 mm; 1500 mm); SNA 450 ($\varnothing = 450$ mm și $L = 750$ mm; 1000 mm; 1500 mm), SNA 500 ($\varnothing = 500$ mm și $L = 1000$ mm; 1500 mm; 2000 mm; 3000 mm), SNA 560 ($\varnothing = 560$ mm și $L = 1000$ mm; 1500 mm; 2000 mm; 3000 mm).

Pentru exemplificare, se descriu următoarele strunguri normale: — **Strung normal mijlociu.** În figura 7.54 este arătat strungul normal universal, mijlociu 1A 62-S₃ (cu distanța între vîrfuri de 1000 mm); schema lui cinematică este redată în figura 7.1.

Strungul este compus din următoarele subansambluri: batiul A, păpușă fixă B, păpușă mobilă C, mecanismul de avansuri și filete D, căruciorul E, dispozitive de comandă și dispozitive și instalații auxiliare.

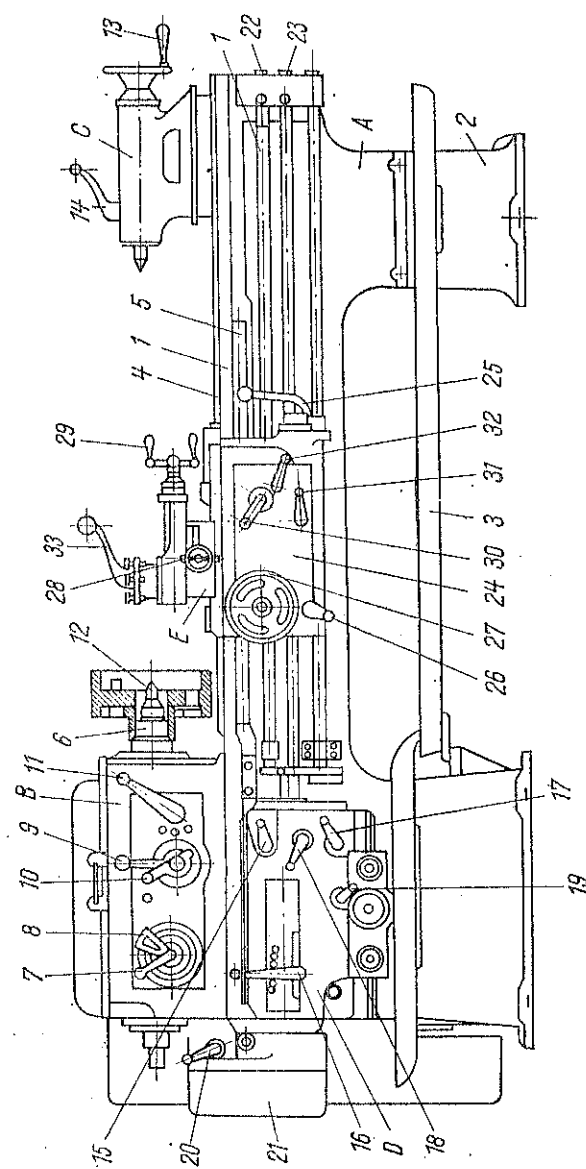
Batiul se compune dintr-un pat din fontă prevăzut cu două ghidaje prismatice; ghidajul din față servește la conducerea saniei, iar cel din spate la conducerea păpușii mobile. Patul este fixat cu șuruburi de două picioare din fontă. La alte strunguri, patul are o scobitură (care poate fi acoperită de un adaos) lîngă păpușă fixă, pentru a se face posibilă strunjirea pieselor cu diametre mai mari decît cel corespunzător înălțimii vîrfurilor deasupra patului.

Păpușă fixă constă dintr-o carcasă din fontă care se închide etanș cu un capac. Ea conține arborele principal, precum și mecanismele pentru schimbarea turației, inversarea sensului de rotație, pornire și oprire.

Păpușă mobilă, prevăzută cu pinolă și vîrf, poate fi deplasată în lungul patului, precum și transversal (pentru strunjiri conice).

Cutia roților de schimb servește pentru montarea roților dințate de schimb, care transmit mișcarea de la cutia de viteze la cutia avansurilor. Cu ajutorul a două perechi de roți dințate de schimb, se pot obține aproape toate filetele standardizate.

Căruciorul este destinat pentru transmiterea mișcării de la arborele avansurilor sau șurubul conducător la sanie. În partea stîngă a cutiei căruciorului există mecanismul de inversare pentru schimbarea sensu-

Fig. 7.54. Strung normal mijlociu tip 1A 62-S₃;

1 — pat; 2 — picior; 3 — tavă; 4 — ghidaj prismatic; 5 — cremalieră; 6 — arbore principal; 7, 9 și 11 — manete pentru schimbarea vitezelor; 8 — indicator de turații ale arborelui principal; 10 — manetă pentru mărirea pasului; 12 — virf; 13 — roată de mină pentru mișcarea pinolei; 14 — manetă pentru blocarea pinolei; 15, 16 și 17 — manete pentru avansuri și pasuri de filete; 18 — manetă pentru cuplarea șurubului conducător sau a axului avansurilor; 19 — manetă pentru filete cu pas metric și pas în țoli; 20 — manetă pentru inversarea sensului de mișcare al căruciorului la filetare; 21 — apăsătoare liberă; 22 — șurub conducător; 23 — cutia căruciorului; 24 — manetă pentru pornirea, oprirea și inversarea sensului de rotație al arborelui principal; 25 — manetă pentru inversarea sensului de mișcare al căruciorului; 26 — roată de mină pentru avansul longitudinal; 27 — roată de mină pentru acționarea manuală a saniei port-cuțit; 28 — manetă pentru cuplarea avansului automat transversal și longitudinal; 29 — manetă pentru cuplarea și decuplarea avansului automat (cuplarea și decuplarea pinolei secționare cu șurubul conducător); 30 — manetă pentru rotirea și blocarea port-cuțitului

lui de deplasare a căruciorului în timpul strunjirii. Pe cărucior se găsesc patru manete pentru: inversarea sensului avansului, cuplarea avansului transversal sau longitudinal, cuplarea avansului automat și cuplarea căruciorului la șurubul conducător, precum și o roată de mină cu tambur gradat, pentru deplasarea manuală a căruciorului.

Sania servește pentru fixarea și deplasarea cuțitului. Ea conține: sania principală (deplasabilă manual sau mecanic concomitent cu căruciorul), sania transversală (deplasabilă manual sau mecanic) suportul intermediar (deplasabil în ambele sensuri cu 45°), sania port-cuțit (deplasabilă numai manual) și port-cuțitul multiplu.

Dispozitive și instalații auxiliare. Strungul este prevăzut cu două lunete (fixă și mobilă), electropompă pentru lichidul de răcire a sculelor, pompă de ulei cu piston pentru ungerea locurilor inaccesibile din păpușa fixă.

Un strung normal universal de construcție specială este și strungul de precizie SV 18R-S₄ construit în țară după anul 1944. Acesta are distanța între virfuri de 1 250 mm și înălțimea virfurilor de 180 mm. Turația maximă a arborelui principal este de 2 800 rot/min.

— *Strungul de banc* (fig. 7.55) este un strung universal mic cu distanța între virfuri până la 500 mm și înălțimea virfurilor de 50—125 mm. Batiul, turnat din fontă, cu picioare de înălțime mică, este așezat pe un suport special care servește ca masă postament și ca suport pentru electromotorul de antrenare.

Păpușa fixă este prevăzută cu un con în trepte și un angrenaj intermediar pentru schimbarea vitezei de rotație a arborelui principal. Pe capul filetat al arborelui principal se pot fixa universalul, flanșa de antrenare, platoul sau alte dispozitive de fixare.

Păpușa mobilă este deplasabilă în lungul patului; virful fix cu pinola se pot deplasa axial cu ajutorul unei manete.

Căruciorul este prevăzut cu săniile principală, transversală și port-cuțit. La strungurile construite fără șurub conducător, mișcarea principală și transversală a săniilor, se face manual.

Strungurile de banc, numite și strunguri de mecanică fină sau strunguri de mecanică de precizie, se folosesc la prelucrarea pieselor mici pentru construcția de aparate, de mașini ușoare etc.

— *Strungul greu* este un strung normal universal cu distanța între virfuri de 1 500 — 15 000 mm și înălțimea virfurilor de 450 — 1 500 mm.

În figura 7.56 este arătat un strung normal greu cu înălțimea virfurilor de 450 mm și distanța între virfuri de 4 500 mm. Se folosește strunjirea, găurirea și alezarea pieselor lungi și grele, precum și la tăierea de filete metrice, în țoli și modul. Antrenarea se face de un motor electric, prin intermediul unor curele trapezoidale. Pornirea, oprirea și schimbarea sensului de rotație a arborelui principal se face cu un ambreiaj

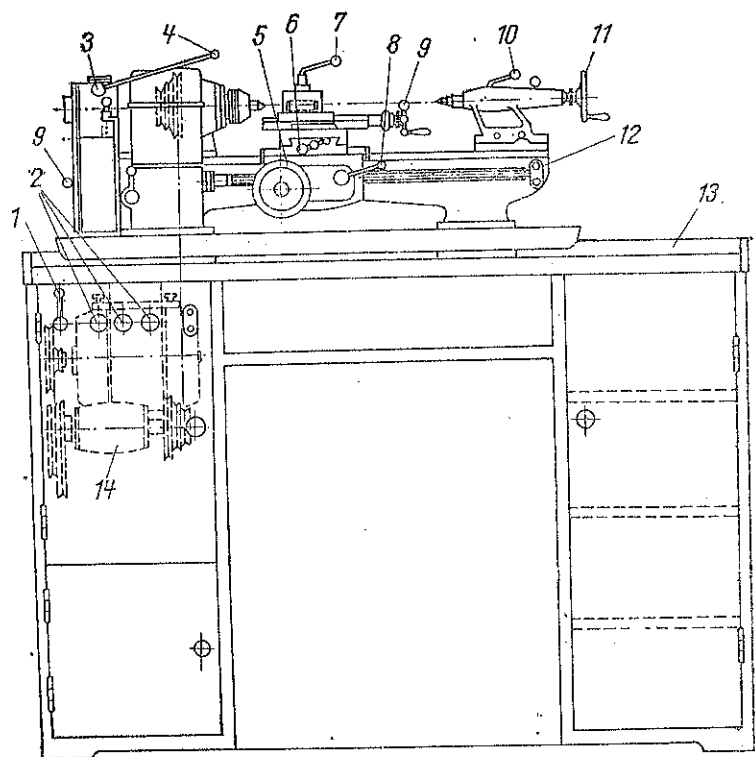


Fig. 7.55. Strung de banc :

1 — manetă pentru schimbarea curelei; 2 — siguranțe; 3 — ungător; 4 — manetă de pornire; 5 — roată de mină pentru deplasarea căruciorului; 6 — manivelă pentru deplasarea saniei transversale; 7 — manetă de blocare a capului port-cuțit; 8 — manetă pentru cuplarea piuliței sectionate; 9 — manivelă pentru deplasarea saniei port-cuțit; 10 — manivelă pentru blocarea pinolei; 11 — roată de mină pentru avansul pinolei; 12 — batiu; 13 — masă; 14 — motor.

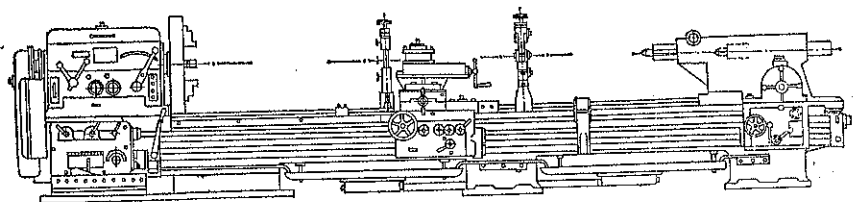


Fig. 7.56. Strung greu.

dublu cu lamele. Schimbarea turărilor și avansurilor se face cu roți dințate baladoare, acționate prin manete. Căruciorul se deplasează automat sau manual, longitudinal și transversal și este prevăzut cu un melezător pentru declanșarea automată. Păpușa mobilă poate fi simplă sau semiautomată, cu patru avansuri ale pinolei pentru găurire. Greutatea strungului este de circa 12 000 kg.

— **Strungul de degroșare** este un strung normal, de construcție robustă și de obicei fără șurub conducător. El folosește la degroșarea pieselor.

Atât cutia de viteze cât și cutia de avansuri au un număr mic de trepte.

— **Strungul de producție** este un strung mijlociu utilizat la strunjirea rapidă a pieselor scurte, de serie, pentru operații de degroșare și de netezire.

În figura 7.57 este arătat strungul de producție AWO, cu înălțimea vîrfurilor de 315 mm și distanță între vîrfuri de 750 mm.

Cînd se lucrează deasupra saniei se pot strunji piese scurte cu diametre de 340—430 mm, iar cînd se lucrează deasupra patului — piese cu diametre de 750 mm.

Căruciorul este prevăzut cu două port-cuțite, unul rotitor în față, și unul demontabil pentru patru cuțite, în spate. Pentru deplasarea căruciorului există numai un arbore de avans.

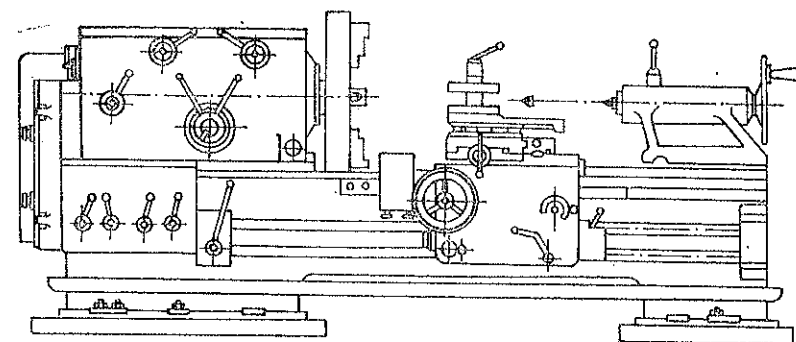


Fig. 7.57.

Există strunguri de producție pentru filetare la care arborele avansurilor este înlocuit prin șurub conducător.

b. **Strunguri speciale.** Aceste strunguri au un domeniu restrîns de utilizare; ele se folosesc fie pentru prelucrarea anumitor piese, fie pentru executarea anumitor operații de prelucrare. Ele pot fi orizontale sau verticale, uniax sau multiax, iar funcționarea acestora poate fi neautomată, semiautomată sau automată.

Pentru exemplificare se descriu următoarele strunguri speciale:
 — **Strungul carusel** se folosește de obicei la strunjirea pieselor cu înălțimea mică și diametrul mare. Platoul de prindere a pieselor are axa de rotație verticală. Există strunguri carusel cu o singură coloană și strunguri carusel cu două coloane.

Strungul carusel cu o coloană are batiul constituit dintr-o placă de bază și o coloană turnată monobloc sau îmbinată cu aceasta. Platoul este acționat de un arbore paralel cu arborele principal, conducerea lui fiind realizată prin roți de transmisie în trepte sau este acționat de un motor separat; în ultimul caz pentru schimarea turății platoului se folosește o cutie de viteze. Prin deplasarea verticală a traversei orizontale pe care se mișcă căruciorul cu suportul sculei acest strung se poate utiliza pentru strunjiri cilindrice sau conice, pentru găurire, alezare și uneori chiar pentru filetare. Suportul portscule este în general de tipul capului revolver.

Strungurile carusel cu două coloane (fig. 7.58) se folosesc la strunjirea pieselor cu diametre de 1 650—8 000 mm. Pe ghidajele celor două coloane verticale legate la partea de sus cu o traversă fixă, se deplasează traversa orizontală care susține două cărucioare cu suporturi portscule.

Cu ajutorul arborilor filetați, traversa orizontală ca și cărucioarele cu suportii portscule se pot deplasa manual sau mecanic.

Strungurile carusel sunt preferate strungurilor frontale, deoarece fi-

laxarea și centrarea pieselor se fac mai ușor pe strunguri carusel, mai ales când se prelucerează piese grele și cu profile geometrice neregulate.

În țară s-au construit până în prezent următoarele tipuri de strunguri carusel: SC 1 250—M cu diametrul platoului (\varnothing) de 1 120 mm, diametrul

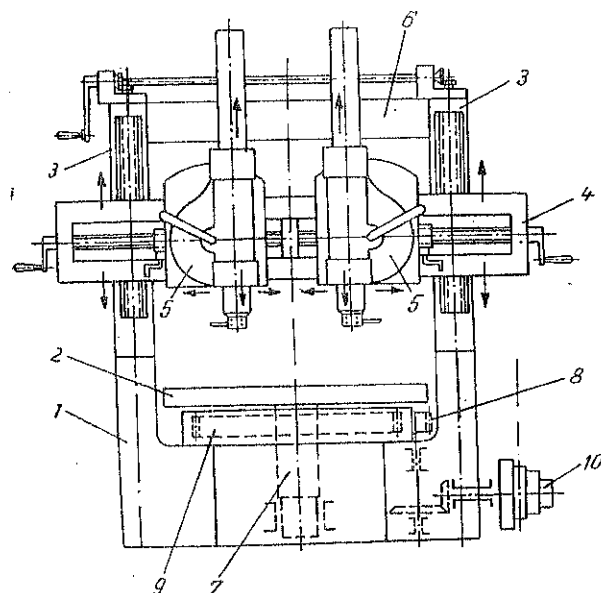


Fig. 7.58. Strung carusel cu două coloane:

1 - batiu; 2 - platou orizontal; 3 - coloane; 4 - traversă orizontală; 5 - cărucioare cu suporturi portscule; 6 - traversă fixă; 7 - ax principal; 8 - roata dințată conducătoare; 9 - coroana dințată a platoului; 10 - con în trepte.

maxim de prelucrare cu căruciorul vertical (\varnothing_1) de 1 250 mm, diametrul maxim de prelucrare cu căruciorul lateral (\varnothing_2) de 1 920 mm, înălțimea maximă a piesei (H) de 1 000 mm și greutatea maximă a piesei (G) de 2 500 kg; FMUAB—SC 1 000 ($\varnothing = 900$ mm, $\varnothing_1 = 1 100$ mm, $\varnothing_2 = 1 000$ mm, $H = 800$ mm, $G = 5 000$ kg); FMUAB—SC 1 250 ($\varnothing = 1 200$ mm, $\varnothing_1 = 1 400$ mm, $\varnothing_2 = 1 300$ mm, $H = 1 000$ mm, $G = 6 000$ kg); FMUAB—SC 1 600 ($\varnothing = 1 450$ mm, $\varnothing_1 = 1 650$ mm, $\varnothing_2 = 1 550$ mm, $H = 1 200$ mm, $G = 8 000$ kg); FMUAB—SC 2 000 ($\varnothing = 2 000$ mm, $\varnothing_1 = 2 200$ mm, $\varnothing_2 = 2 100$ mm, $H = 1 500$ mm, $G = 12 000$ kg); FMUAB—SC 2 500 ($\varnothing = 2 500$ mm, $\varnothing_1 = 2 700$ mm, $\varnothing_2 = 2 600$ mm, $H = 1 900$ mm, $G = 15 000$ kg); FMUAB—SC 3 200 ($\varnothing = 3 000$ mm, $\varnothing_1 = 3 300$ mm, $\varnothing_2 = 3 150$ mm, $H = 2 300$ mm, $G = 18 000$ kg).

La Întreprinderea Mecanică Roman s-a construit strungul carusel tip SC 1250—M cu montant și traversă mobilă și strungul carusel SC 1600—M.

— **Strung frontal** (fig. 7.59). Pentru strunjirea pieselor scurte cu diametru mare se folosește deseori un strung frontal numit și strung de planat. Acesta se deosebește de strungul normal prin lipsa păpușii mobile și prin faptul că în general acest strung are batiuri separate pentru păpușă fixă și sănii; numai rareori acestea au un batiu comun.

În timp ce la strungurile frontale cu batiu comun pentru păpușă fixă a sănii mecanismul de avansuri este asemănător cu acela de la strungurile normale (cu excepția șurubului conducător), la strungurile frontale cu batiuri separate, mișcarea de avans este transmisă de la cutia de viteze, printr-un mecanism cu manivelă și balansier, la un sistem de arbori montați în placa de fundație și, de la acesta, la un mecanism cu clichet care acționează săniile, imprimându-le un avans intermitent.

Sînt și strunguri frontale la care un electromotor montat pe batiul săniilor asigură mișcarea de avans continuu.

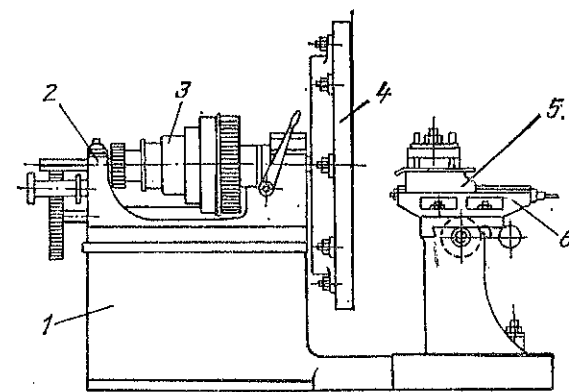


Fig. 7.59. Strung frontal:

1 - batiu; 2 - păpușă fixă; 3 - con în trepte; 4 - platou; 5 și 6 - sănii.

— **Strungul revolver** este un strung caracterizat prin suportul special al sculelor, numit cap revolver, fixat pe sania longitudinală și care poate fi orizontal sau vertical, după poziția axei de rotație.

Deoarece capul revolver permite montarea simultană a șase sau mai multe scule diferite, utilizarea acestor strunguri este indicată la

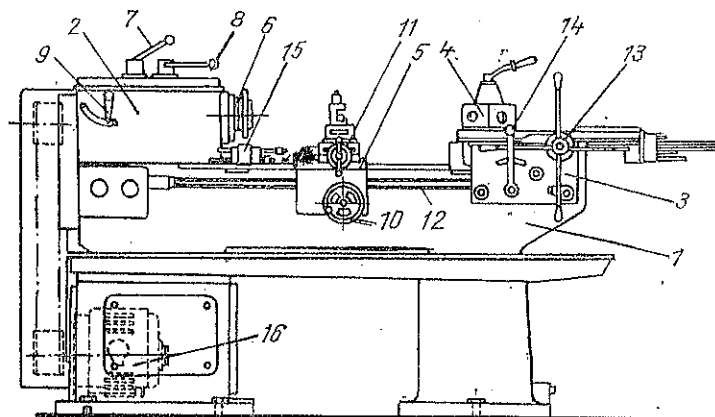


Fig. 7.60. Strung revolver cu turelă :

1 — bazin; 2 — păpușă fixă; 3 — cărucior longitudinal; 4 — cap revolver cu ax vertical; 5 — cărucior transversal; 6 — arbore principal; 7 și 8 — manete pentru schimbarea turației arborelui principal; 9 — manetă pentru schimbarea sensului de rotație al arborelui principal; 10 — roată de mână pentru deplasarea căruciorului; 11 — roată de mână pentru deplasarea saniei transversale; 12 — șurub conducător; 13 — roată de mână pentru deplasarea căruciorului cu capul-revolver; 14 — manetă pentru cuplarea căruciorului cu șurubul conducător; 15 — limitatori de cursă; 16 — motor.

executarea pieselor în serie, unde se cere concentrarea operațiilor de prelucrare.

După poziția capului revolver, deosebim strunguri revolver cu axă de rotație verticală (fig. 7.60) (numite și strunguri revolver cu turelă) și strunguri revolver cu axă de rotație orizontală a capului-revolver (numite și strunguri revolver cu disc). În figurile 7.61 și 7.62 se arată schema de lucru a acestor strunguri revolver.

Păpușa fixă a strungului revolver este asemănătoare cu păpușa fixă a unui strung normal universal. Arborele principal are un alezaj care permite introducerea barelor de material spre a fi prelucrate. Mișcarea electromotorului se transmite arborelui principal prin intermediul cutiei de viteze. Prin așezarea manetei în poziția indicată în tabela fixată pe strungul revolver, se obține turația dorită a arborelui principal.

Păpușa mobilă la aceste strunguri lipsește. Ele sînt prevăzute și cu un cărucior de deplasare transversală, pe care se fixează sculele pentru operațiile secundare (de exemplu, strunjire plană sau retezare).

Cursele de avans ale diferitelor scule fixate pe capul revolver sînt limitate prin opritori așezați la distanțe corespunzătoare.

Operațiile de filetare pentru filete exterioare se execută fie cu aparate de filetat cu declanșare automată, cu piepteni de filetat montați pe capul revolver, fie cu un dispozitiv de filetat prin copiere.

Dintre strungurile revolver construite în țara noastră se menționează :

— strungul revolver cu turelă tip SRV 25 (cu diametrul alezajului arborelui principal 40 mm, înălțimea arborelui principal deasupra prismelor ghidajelor batiului 150 mm, diametrul maxim de prelucrare

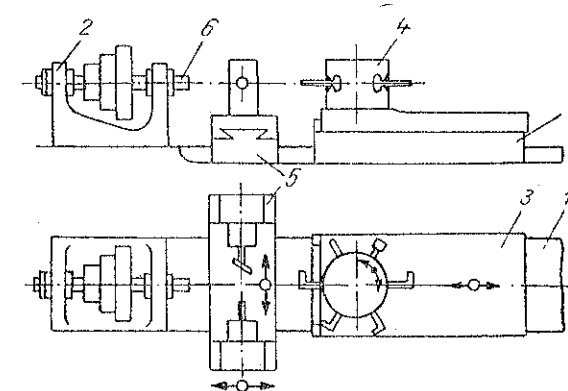


Fig. 7.61. Schema unui strung revolver cu turelă :

1 — batiu; 2 — păpușă fixă; 3 — căruciorul capului revolver; 4 — cap-revolver cu ax vertical; 5 — cărucior transversal; 6 — arbore principal.

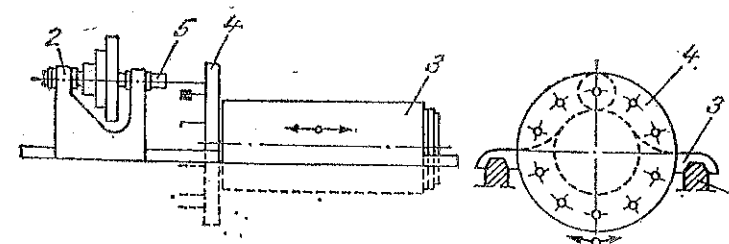


Fig. 7.62. Schema unui strung revolver cu disc :

1 — batiu; 2 — păpușă fixă; 3 — căruciorul capului revolver; 4 — cap revolver cu ax orizontal; 5 — arbore principal.

peste ghidaje 350 mm) și tip SRV 40 (cu diametrul alezajului arborelui principal 52 mm, înălțimea arborelui principal deasupra prismelor ghidajului batiului 200 mm, diametrul maxim de prelucrare peste ghidaje 450 mm);

— strungul revolver cu disc tip SARO 25 (cu diametrul alezajului arborelui principal 40 mm, înălțimea arborelui principal deasupra prismelor ghidajului batiului 150 mm, diametrul maxim de prelucrare peste ghidaje 350 mm) și tip SARO 40 (cu diametrul alezajului arborelui principal 52 mm, înălțimea arborelui principal deasupra prismelor ghidajelor batiului 180 mm și diametrul maxim de prelucrare peste ghidaje 400 mm).

— Strungul revolver semiautomat se construiește cu un ax sau cu axe multiple, fie pentru prelucrarea pieselor din bare, fie pentru piese prinse în dispozitivele de prindere (universal, platouri etc.). La strungul revolver semiautomat cu axe multiple, pentru prelucrarea pieselor fixate în dispozitive de prindere, operațiile de prelucrare se execută automat, în afară de prinderea și scoaterea pieselor, operații care se execută manual.

— Strung revolver automat. Asemănător strungului revolver semiautomat și acest strung se construiește cu un ax sau cu mai multe axe, pentru prelucrarea pieselor din bară sau în dispozitivele de prindere.

Mișcările suporturilor laterali, ale suportului capului revolver, mișcarea de avans a barei de material, precum și stringerea materialului, se realizează automat cu ajutorul unor arbori cu came, comandând fiecare câte o fază de lucru.

Forma curbilor suprafețelor camelor se determină prin calcul sau grafic, în funcție de mișcările sculelor date de procesul tehnologic și în funcție de raporturile de transmitere ale legăturii cinematice dintre dispozitivul de distribuție și suportii sculelor.

La strungul revolver automat pentru prelucrarea pieselor brute (turnate sau forjate), depozitarea acestora se face într-un magazin al strungului. Atribuțiile muncitorului se rezumă la alimentarea mașinii-unelte cu material, bară sau piese brute și la controlul prin sondaj al cotelor și toleranțelor pieselor.

Strungurile revolver automate sînt indispensabile atelierelor care fabrică piese în serii mari sau în masă, cum sînt de exemplu, șuruburile, piulițele, fittingurile etc.

În figura 7.63 este arătat un strung revolver automat cu un ax principal, pentru prelucrarea pieselor din bare.

În R. S. R. se mai construiesc: strungul revolver automat monoax, cu cap revolver cu axa orizontală, tip SARO 16, pentru prelucrarea pieselor din bare cu diametrul pînă la $\varnothing 16$ mm; strungul revolver automat monoax cu cap revolver cu axa orizontală SARO 25, pentru $\varnothing = 25$ mm; strungul revolver automat monoax cu cap revolver cu axa orizontală, SARO 60, pentru $\varnothing = 60$ mm; strungul revolver automat multiax SMA 4 cu patru axe și strungul revolver automat multiax SMA 5 cu cinci axe.

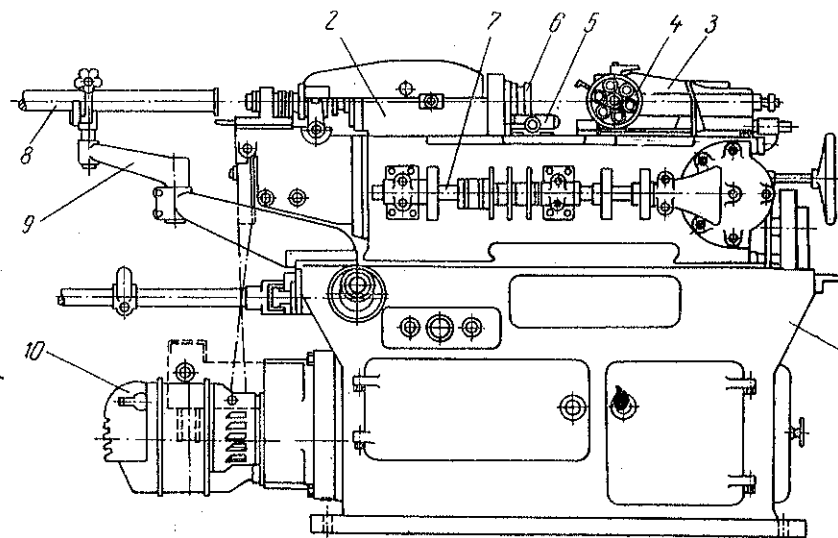


Fig. 7.63. Strung revolver automat:

1 — batiu; 2 — păpușă fixă; 3 — căruciorul capului revolver; 4 — cap revolver; 5 — cărucior transversal; 6 — arbore principal; 7 — arbore de comandă; 8 — tub protector; 9 — braț susținător; 10 — motor.

3.4. GĂURIREA

3.4.1. Generalități. Găurirea prin așchiere este operația prin care se realizează în piesele de prelucrat găuri pătrunse sau înfundate, cu ajutorul mașinilor-unelte și al sculelor așchietoare (burghie de găurit, adâncitori, cuțite de strung).

Găurirea executată cu ajutorul burghiilor se numește și *burghiere*. Despre această operație de prelucrare tratează acest subcapitol.

Burghierea se efectuează, în general, mecanic, la mașini de găurit, strunguri, mașini de frezat, mașini de găurit și alezat etc., și uneori, manual, cu ajutorul mașinii de găurit, de mină, a vrilei sau a coarbei.

Dacă operația de burghiere se execută la mașinile de găurit (cu coloană, radiale, de masă), piesa de prelucrat rămâne imobilă și burghiul execută mișcarea principală de rotație, precum și mișcarea secundară de avans, rectilinie. La mașinile de frezat, piesa fixată pe masa mașinii execută mișcarea rectilinie de avans, iar scula execută mișcarea principală de rotație. În cazul strungurilor universale, piesa de prelucrat, fixată cu dispozitive de prindere pe arborele principal al mașinii-unelte, execută mișcarea principală de rotație, iar burghiul, fixat în pinola păpușii mobile, execută mișcarea secundară de avans rectilinie.

Precizia de prelucrare a găurilor scurte (de exemplu, rectilinitatea axei găurii, paralelismul axelor a două găuri etc.) și forma pieselor indică de obicei mașina-unelte la care trebuie executată găurirea. Astfel, găurile în piese mici se pot executa la mașina de găurit sau la strunguri. Piese de dimensiune mari, din cauza greutății și a gabaritelor mari, dacă nu sînt legate de operații de strunjire, se găuresc în mod obișnuit la mașini de găurit radiale.

Pentru executarea găurilor scurte (cu raportul dintre lungime și diametru de cel mult 5), se folosesc următoarele metode de lucru, după gradul de precizie cu care trebuie executate:

— *Găurirea cu trasarea prealabilă a găurilor*; acest procedeu se utilizează, de obicei, la piesele executate în număr mic.

— *Găurirea cu ajutorul șabloanelor sau dispozitivelor de găurit* pentru ghidarea burghiilor, asigurînd astfel poziția axei găurilor; această metodă se folosește la prelucrarea pieselor în serie la mașinile de găurit.

— *Găurirea folosind măsurarea prin coordonate*; acest procedeu se utilizează la prelucrarea cu mare precizie a distanțelor dintre axele găurilor. Operația se execută de obicei la mașinile de găurit prin coordonate, prevăzute cu dispozitive de măsurare a lungimilor și a unghiurilor.

— *Găurirea prin rotirea pieselor*. Acest procedeu are ca efect auto-centrarea burghiului, împiedicînd astfel devierea axei găurii.

Dacă o gaură trebuie să fie coaxială cu suprafața cilindrică exterioară, se execută mai întîi gaura și apoi se strunjește suprafața exterioară.

Din cauza rezistenței și rigidității mici la torsiune și încovoiere a burghiilor, precum și pentru obținerea unei precizii de prelucrare mai ridicate a găurilor, se recomandă ca executarea unei găuri cu diametrul relativ mare să se facă cu cel puțin două burghie; cu primul burghiu se prelucrează o gaură cu diametrul mai mic (aproximativ 0,5—0,7 din diametrul necesar), iar cu al doilea burghiu se execută gaura la diametrul cerut.

Deseori, operațiile de burghiere sînt urmate de operații de adîncire, țesire, alezare, strunjire sau filetare.

La subcapitolul „Filetare” este dată tabela cu dimensiunile burghiilor pentru găurile care trebuie filetate, iar la subcapitolul „Șuruburi” este dată tabela cu dimensiunile găurilor de trecere pentru șuruburi.

3.4.2. Caracteristicile așchierii prin găurire (fig. 7.64). Viteza de așchiere este viteza celui mai îndepărtat punct al tăișului față de axa bur-

$$v = \frac{\pi \cdot D \cdot n}{1000} \text{ [m/min]},$$

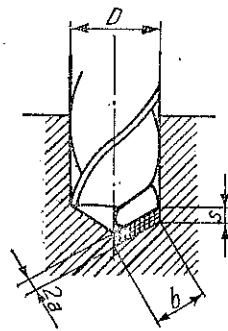


Fig. 7.64.

în care: D este diametrul exterior al burghiului, în mm;

n — turația burghiului, în rot/min.

Avansul s este mărimea deplasării burghiului sau a piesei pe axă, în cursul unei rotații complete; el se exprimă în mm/rot.

Dimensiunile așchiei sînt:

Lățimea așchiei b , care este distanța dintre suprafața prelucrată a găurii și muchia transversală, măsurată în lungul tăișului.

Grosimea așchiei a , care este jumătatea distanței dintre două poziții consecutive ale tăișului, pentru o rotație completă a burghiului sau piesei.

Secțiunea așchiei A , care este secțiunea stratului de material scos de un singur tăiș al burghiului, după o singură rotație. Secțiunea așchiei, măsurată în milimetri pătrați, se exprimă aproximativ prin formula

$$A = b \cdot a = D \cdot s \text{ [mm}^2\text{]}.$$

3.4.3. Regimul de așchiere. La burghiere, regimul de așchiere are ca elemente numai avansul și viteza de așchiere care se stabilesc în funcție de diametrul burghiului și de materialul prelucrat.

În tabela 7.27 sînt indicate avansurile manuale pentru burghierea la strung, în funcție de diametrul burghiului și de materialul prelucrat.

Tabela 7.27. Avansuri manuale pentru burghiere la strung

| Materialul de prelucrat | Diametrul burghiului D , mm | | | | | | | | | |
|---|-------------------------------|------|------|------|------|------|------|------|------|------|
| | 6 | 8 | 10 | 12 | 14 | 16 | 20 | 24 | 30 | 40 |
| | Avansul s , mm/rot | | | | | | | | | |
| Oțel $\sigma_r = 60 \text{ kgf/mm}^2$ | — | — | 0,30 | 0,35 | 0,30 | 0,25 | 0,19 | 0,15 | 0,11 | — |
| Oțel, $\sigma_r = 65 \dots 90 \text{ kgf/mm}^2$ | 0,15 | 0,18 | 0,22 | 0,26 | 0,22 | 0,18 | 0,14 | 0,11 | 0,08 | 0,06 |
| Oțel, $\sigma_r = 90 \dots 100 \text{ kgf/mm}^2$ | 0,11 | 0,14 | 0,16 | 0,19 | 0,16 | 0,14 | 0,10 | 0,08 | 0,06 | 0,04 |
| Fontă $HB \leq 170$, bronz alamă, aliaje de aluminiu | 0,38 | 0,45 | 0,50 | 0,50 | 0,40 | 0,35 | 0,25 | 0,21 | 0,16 | 0,12 |
| Fontă $HB \geq 170$ | 0,22 | 0,22 | 0,30 | 0,30 | 0,24 | 0,21 | 0,15 | 0,12 | 0,10 | 0,07 |

Tabela 7.30. Viteze de așchiere și avansuri pentru burghierea cu burghie cu vîrf din carburi metalice

| Materialul de prelucrat | Viteza de așchiere m/min | Avansul pentru burghie cu diametrul de | | Răcire |
|---|--------------------------|--|-----------|-------------------|
| | | 10 mm | 20 mm | |
| Oțel crom-nichel $\sigma_r = 140 \text{ kgf/mm}^2$ | 30 | 0,05 | 0,08 | Emulsie de răcire |
| Oțel pentru scule $\sigma_r = 180 \dots$... 200 kgf/mm ² | 10 | 0,03 | 0,06 | Idem |
| Oțel mangan 12 % | 20 | 0,03 | 0,06 | Uscat |
| Fontă cenușie HB < 200 | 75—125 | 0,15 | 0,30 | Idem |
| Fontă cenușie HB > 200 | 60—80 | 0,10 | 0,25 | Idem |
| Marmură | 20—30 | 0,08 | 0,15 | Apă |
| Granit | 6—10 | 0,02 | 0,05 | Idem |
| Sticlă | 20—30 | 0,04 | 0,05 | Terebentină |
| Porțelan | 10—20 | 0,01—0,03 | 0,02—0,05 | Idem |
| Materiale izolante | 200 | 0,30 | 0,50 | Uscat |

3.4.4. Mașini de găurit. 3.4.4.1. *Generalități.* La mașinile de găurit prin burghiere, piesa de prelucrat este fixă, iar arborele principal cu burghiul execută mișcarea principală de rotație și mișcarea secundară de avans, rectilinie.

Părțile componente principale ale diferitelor mașini de găurit mecanice fixe sînt: arborele principal, masa pentru fixarea piesei de prelucrat coloana sau batiul, cutia de avansuri și cutia de viteze.

3.4.4.2. *Clasificare și descriere.* După modul de acționare, mașinile de găurit prin burghiere se clasifică în *mașini de găurit manuale* și *mașini de găurit mecanice*.

a. *Mașinile de găurit manuale* se caracterizează prin faptul că antrenarea arborelui principal portburghiu este realizată manual. Din această categorie fac parte mașinile de găurit de banc, mașinile de găurit de piept, coarba, vrila.

b. *Mașinile de găurit mecanice* se caracterizează prin antrenarea arborelui principal cu ajutorul unui motor, prin acționarea individuală sau pe grupe. Mașinile de găurit mecanice pot fi *fixe* (de exemplu, mașina de găurit radială) sau *portative* (de exemplu, mașina de găurit portativă electrică sau cu aer comprimat.) După poziția arborelui principal, mașinile de găurit pot fi *verticale* (de exemplu, mașina de găurit cu coloană) și *orizontale* (de exemplu, mașina de găurit și alezat orizontală).

După forma elementului de susținere a capului portsculă, mașinile de găurit verticale se clasifică în mașini de găurit cu coloană

(fig. 7.66), mașini de găurit cu montant și mașini de găurit cu coloană și montant (fig. 7.67).

În țara noastră s-au construit următoarele mașini de găurit:

- mașina de găurit de masă cu coloană tip G6, pînă la $\varnothing 6 \text{ mm}$;
- mașina de găurit de masă cu coloană tip G10, pînă la $\varnothing 10 \text{ mm}$;
- mașina de găurit de masă cu coloană tip G 12,5, pînă la $\varnothing 12,5 \text{ mm}$;
- mașina de găurit cu coloană și montant tip G 16, pînă la $\varnothing 16 \text{ mm}$;
- mașina de găurit cu montant tip G 25, pînă la $\varnothing 25 \text{ mm}$;
- mașina de găurit cu montant tip G 40, pînă la $\varnothing 40 \text{ mm}$.

Tipurile G 6 și G 10 se fabrică în două variante:

- cu soclu metalic;
- fără soclu (ca mașină de masă).

Mașina de găurit G 10 este prevăzută cu un motor cu două trepte de turații și cu o instalație pentru luminat locul de găurire.

Mașina de găurit G 16 are elemente comune și asemănătoare cu mașinile de tipul G 25 și G 45, în afară de coloană, care este cilindrică și permite rotirea mesei cu 360° .

Mașinile de găurit G 25 și G 45 sînt prevăzute cu batiuri cu ghidaje în coadă de rîndunică, fără posibilitatea de rotire a mesei.

În prezent se mai construiesc și următoarele tipuri de mașini de găurit:

- mașina de găurit cu coloană GCO 20 pentru găuri cu diametre pînă la $\varnothing 20 \text{ mm}$;
- mașina de găurit cu suport magnetic MGM 23 pentru găuri pînă la $\varnothing 23 \text{ mm}$;
- mașina de găurit cu montant GM 40 pentru găuri pînă la $\varnothing 40 \text{ mm}$;
- mașinile de găurit radiale: GR 40 pentru găuri pînă la $\varnothing 40 \text{ mm}$, GR 50 ($\varnothing = 50 \text{ mm}$), GR 55 ($\varnothing = 55 \text{ mm}$), GR 63 ($\varnothing = 63 \text{ mm}$) și GR 70 ($\varnothing = 70 \text{ mm}$).

Din grupa mașinilor de găurit mecanice fixe se descriu:

— *Mașina de găurit de masă (de banc).* Se folosește în ateliere mecanice, sculării sau în ateliere de întreținere, la găurirea cu avans manual a pieselor mici. Uneori, aceste mașini sînt prevăzute și cu dispozitiv de avans automat (mecanic). Diametrul maxim al burghiului este, de obicei, pînă la 6 mm și mai rar pînă la 12 mm. Se fixează, de obicei, pe masa de lucru.

În figura 7.65 este arătată o mașină de găurit cu diametrul maxim de găurire de 12 mm. Mașina este acționată de un motor de 0,75 kW, montat pe carcasa mașinii care, prin intermediul curelelor trapezoidale, antrenează arborele principal.

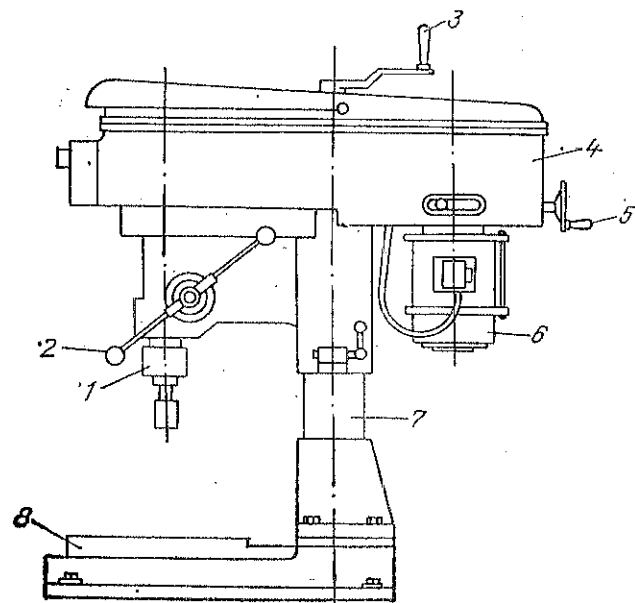


Fig. 7.65. Mașină de găurit de masă :

1 — arbore principal; 2 — manetă pentru avans; 3 — manivelă pentru deplasarea în sens vertical a carcasei; 4 — carcasă; 5 — roată de mână pentru schimbarea turațiilor; 6 — motor; 7 — coloană; 8 — masă de lucru.

Mașina este acționată de un motor de 0,75 kW, prin intermediul unei curele obținându-se două game de turații (56—560 rot/min și 224—2 240 rot/min). La partea superioară a coloanei se află carcasa în care sînt montate cutiile de viteze și de avansuri. Carcasa se poate deplasa în sens vertical cu ajutorul unei cremaliere sau se poate roti în plan orizontal în jurul coloanei.

În figura 7.66 se arată o mașină de găurit cu coloană, pentru găuri cu diametre de 5 pînă la 25 mm, precum și operații de alezare și filetare a pieselor din oțel, fontă și metale neferoase. Masa este rotativă în jurul coloanei și deplasabilă vertical. Pe masă se pot prelucra piese cu înălțimea pînă la 650 mm; pentru înălțimi mai mari, piesele se fixează pe placa de bază a mașinii. Mașina este acționată de un motor de 1,7 kW, prin intermediul unei curele obținându-se două game de turații (56—560 rot/min și 224—2 240 rot/min). La partea superioară a coloanei se află carcasa în care sînt montate cutiile de viteze și de avansuri. Carcasa se poate deplasa în sens vertical cu ajutorul unei cremaliere sau se poate roti în plan orizontal în jurul coloanei.

— Mașina de găurit cu coloană și montant este o mașină de găurit fixă cu axa burghiului verticală. În figura 7.67 este arătată mașina de găurit, construită în țară, pentru prelucrarea automată sau manuală a găurilor cu diametre pînă la 40 mm, în piese mici și mijlocii.

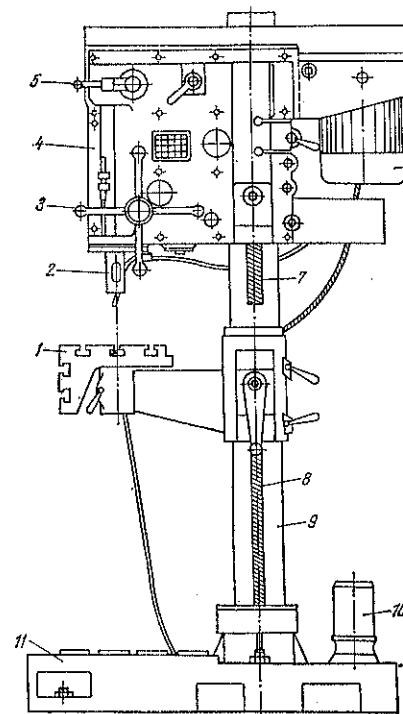


Fig. 7.66. Mașină de găurit cu coloană :

1 — masă rotativă de lucru; 2 — arbore principal; 3 — manetă pentru avans manual; 4 — carcasă; 5 — manetă pentru schimbarea vitezelor; 6 — motor; 7 și 8 — cremaliere; 9 — coloană; 10 — pompă de răcire; 11 — placă de bază.

Găurirea pieselor mici se face pe masa rotativă, deplasabilă pe coloană cu ajutorul unei cremaliere. Pentru piesele mari cu înălțimea pînă la 1 070 mm, fixarea se face pe placa de bază. Adîncimea de găurire se controlează cu ajutorul unui tambur gradat.

Mașina este acționată de un motor de 2,8 kW, care, printr-un cuplaj cu fricțiune, antrenează arborele principal prin intermediul cutiei de viteze. Electromotorul și cutia de viteze sînt montate pe o sanie deplasabilă pe coloană.

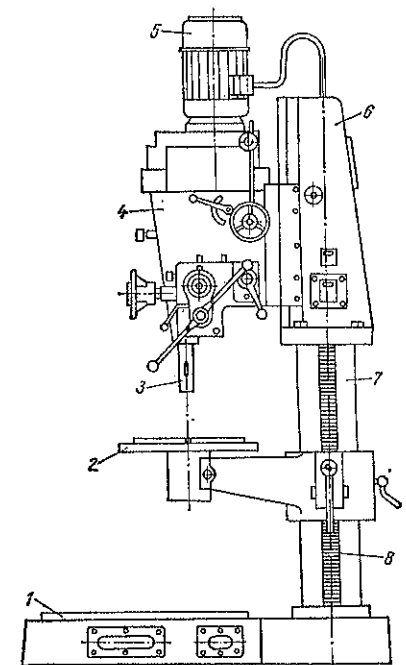


Fig. 7.67. Mașină de găurit cu coloană și montant :

1 — placă de bază; 2 — masă rotativă; 3 — arbore principal; 4 — carcasă cu cutie de viteze; 5 — motor; 6 — capul coloanei; 7 — coloană; 8 — cremaliere.

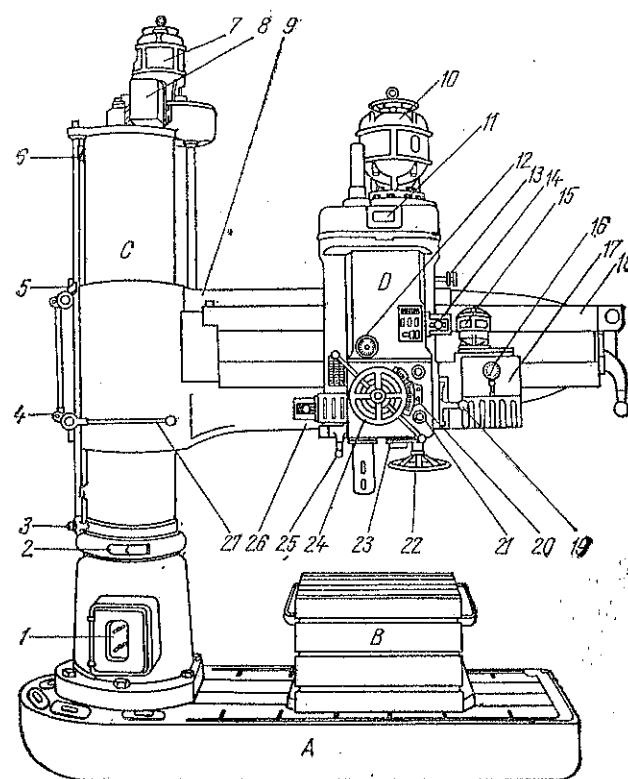


Fig. 7.68. Mașină de găurit radială :

A — soclu; B — masă; C — coloană; 1 — tablou electric de comandă; 2 — inel de prindere (acționat manual sau electric); 3 — întrerupător automat de fine de cursă verticală; 4 și 5 — fixatori de braț; 6 — întrerupător automat de fine de cursă; 7 — motor de cursă verticală; 8 — întrerupătorul cursei verticale; 9 — braț; 10 — motor pentru găurire; 11 — vizor de mecanism; 12 — tahometru; 13 — pană cu roți; 14 — întrerupător de avans; 15 — motor pentru deplasarea căruciorului; 16 — ampermetru; 17 — cutia mecanismului de deplasare; 18 — glisieră; 19 — pârghie de cuplare pentru deplasare; 20 — indicator de adâncime a găurii; 21 — indicator de ulei; 22 — roată de mină pentru avansul burghiului; 23 — întrerupător de avans; 24 — roată de mină pentru deplasarea laterală a căruciorului; 25 — braț palier; 26 — pârghie de accelerație; 27 — pârghie de fixare a brațului.

ționați individual de către un electromotor; uneori aceștia sînt antrenați de la același arbore de transmisie. Mașina de găurit multiplă se folosește de obicei la prelucrarea pieselor de mare serie; în cursul unei operații, acestea se găuresc cu mai multe burghie de diametre diferite; burghiile se fixează în arborii portsculă în ordinea în care trebuie executate operațiile de găurit.

Turația arborelui principal (85—850 rot/min) poate fi variată continuu, iar avansul burghiului se poate regla în patru trepte (0,18—0,48 mm/rot).

— Mașina de găurit radială (fig. 7.68) este caracterizată prin brațul orizontal care se poate roti în jurul unei coloane-suport și pe care braț se deplasează un cărucior cu arborele principal port-burghiu; avansul burghiului este manual sau mecanic. Ea folosește la găurirea pieselor de dimensiuni mari sau cu greutatea mari.

— Mașina de găurit multiplă (fig. 7.68) este o mașină de găurit fixă, care are un soclu, un batiu, o masă deplasabilă în sus și în jos și mai multe coloane prevăzute fiecare cu câte un arbore portburghiu.

În general arborii portburghiu sînt ac-

— Mașina de găurit multiax. Se folosește aproape exclusiv la fabricația în serie a unor piese cu mai multe găuri, care pot fi executate concomitent (de exemplu, blocuri de motoare). În acest scop, mașina de găurit este prevăzută cu unul sau mai multe batiuri pe care se montează câte un cap cu mai multe axe portburghie, acționate în comun prin legături cardanice sau angrenaje de roți dințate.

3.5. ZENCUIREA

3.5.1. Generalități. Zencuirea este operația de așchiere executată mecanic (de exemplu, la strunguri, mașini de găurit) pentru prelucrarea unor găuri existente într-o piesă, cu ajutorul diferitelor tipuri de zencuitoare (de exemplu, lărgitor, teșitor, lamator etc.).

3.5.2. Operații de zencuire. După rezultatul urmărit deosebim următoarele operații de zencuire: lărgire, adîncire, teșire, lamare și centrare.

3.5.2.1. Lărgirea. Lărgirea este prelucrarea de așchiere executată de obicei la strung sau la mașina de găurit cu ajutorul unui lărgitor (zencuitor cilindric) pentru mărirea secțiunii unei găuri existente (fie dintr-o pregăurire cu burghiu, fie prin turnare sau matrițare), în scopul de a se da acestei găuri o formă geometrică mai regulată, o calitate mai bună a suprafeței și o precizie dimensională mai înaltă.

Uneori, lărgirea se face cu burghie; astfel, la prelucrarea găurilor mari din plin, burghierea nu se face dintr-o singură trecere, ci prin lărgirea treptată cu ajutorul burghiilor cu diametre din ce în ce mai mari.

Lărgirea este de obicei o operație intermediară între găurire prin burghiere și alezare; ea poate fi o operație de eboșare (preliminară) sau de finisare. Adaosurile pentru lărgire se lasă aproximativ de 1/8 din diametrul găurii, adică 2—3 mm pentru diametre de 10—25 mm și 3—6 mm pentru diametre de 25—50 mm.

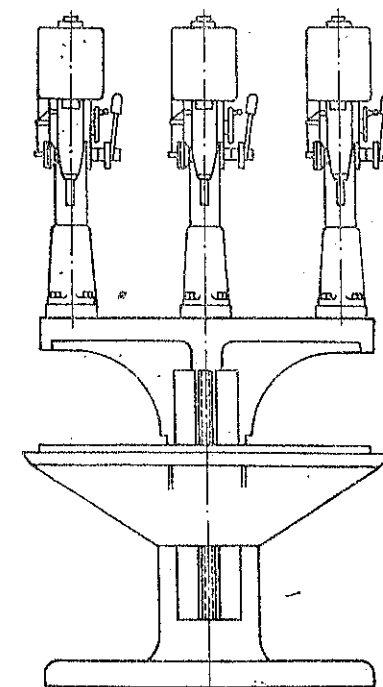


Fig. 7.69.

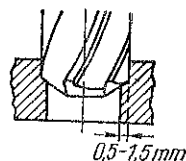
Adâncimea de așchiere (fig. 7.70) se ia 0,5—1,5 mm, crescând cu diametrul lărgitorului. Când lărgirea se face cu burghiul, adâncimea de așchiere trebuie să fie de minimum 5 mm pentru a se evita ruperea colțurilor burghiului.

3.5.2.2. *Adâncirea*. Adâncirea este prelucrarea prin așchiere executată, în general, la mașina de găurit sau la strung, pentru formarea la extremitatea unei găuri cilindrice a unui locaș coaxial cilindric (fig. 7.71, b) cu ajutorul unui adâncitor. Prelucrarea locașurilor tronconice se numește teșire și se execută cu un teșitor (fig. 7.71, a).

Această operație se folosește de obicei la formarea locașurilor pentru îngroparea sub nivelul sau la nivelul suprafeței piesei a capului șuruburilor cu cap înecat.

3.5.2.3. *Lamarea*. Lamarea este prelucrarea prin așchiere executată, în general, la mașina de găurit, mașina de frezat sau strung, pentru obținerea unei suprafețe plane perpendiculare pe axa unei găuri (fig. 7.72), cu ajutorul unui lamator. Asemenea suprafețe laminate se

← Fig. 7.70.



← Fig. 7.72.

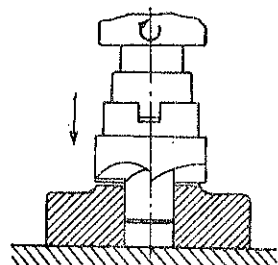
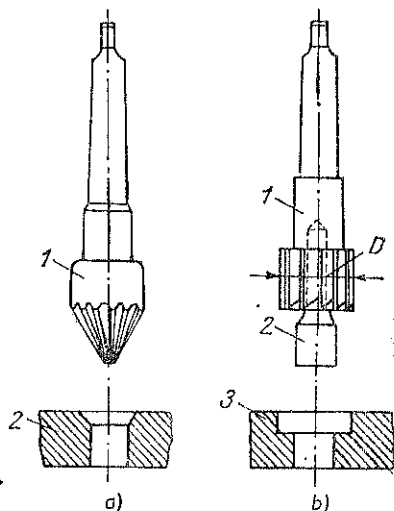


Fig. 7.71. →



execută, de exemplu, în jurul găurii pentru așezarea corectă a unei piulițe, a unui cap de șurub etc.

3.5.2.4. *Centruirea*. Centruirea este prelucrarea de așchiere executată de obicei la mașini (de exemplu, la strunguri), cu ajutorul burghiilor (teșitorilor) de centruire, pentru a se obține pe fețele frontale ale pieselor găuri de centruire pe o anumită axă.

Dimensiunile găurilor de centruire pentru piese prelucrate sînt arătate, după STAS 1361-73, în tabela 7.31.

Găurile de centruire, de uz general, în construcțiile de mașini sînt de patru forme (tabela 7.31):

- forma A, fără con de protecție (fig. 1, tabela 7.31);
- forma B, cu con de protecție (fig. 2);
- forma C, cu degajare pentru finisarea frontală ulterioară a pieselor centruite (fig. 3);
- forma R, cu rază (fig. 4).

Mărimea găurii de centruire se alege ținînd seama de diametrul exterior al piesei prelucrate în care se va executa gaura de centruire, de masa piesei respective, precum și de forțele de așchiere (în funcție de secțiunea așchii și de materialul prelucrat).

Orientativ, pentru piese cilindrice (arbori) prelucrate în condiții tehnologice ușoare sau medii, diametrul d al găurii de centruire, în funcție de diametrul exterior D_0 al piesei prelucrate, se alege astfel:

- pentru $D_0 = 2 \dots 6$ mm, se ia $d = 0,5$; $0,63$; $0,8$ mm;
- pentru D_0 peste $6 \dots 16$ mm, se ia $d = 1$; $1,25$ mm;
- pentru D_0 peste $16 \dots 32$ mm, se ia $d = 1,6$; 2 mm;
- pentru D_0 peste $32 \dots 56$ mm, se ia $d = 2,5$; $3,15$ mm;
- pentru D_0 peste $56 \dots 80$ mm, se ia $d = 4$; 5 mm;
- pentru D_0 peste $80 \dots 120$ mm, se ia $d = 6,3$; 8 mm;
- pentru D_0 peste 120 mm, se ia $d = 10$ mm.

Găurile de centruire de formele A, B și R se execută cu burghie de centruire conform STAS 1114-73. Găurile de centruire forma C se execută prin operații succesive sau cu scule combinate.

Rugozitatea maximă a găurii de centruire se ia $R_a = 3,2 \mu\text{m}$; rugozitățile mai mici se înscriu pe desen.

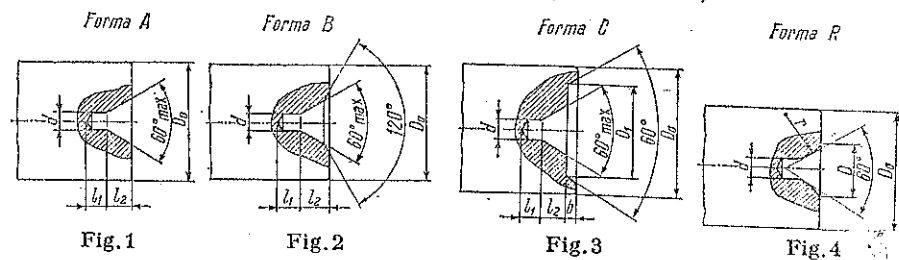
Indicarea găurilor de centruire în desene, precum și a rugozității părții conice a acestora, atunci cînd $R_a < 3,2 \mu\text{m}$, se va face conform exemplurilor din tabela 4 din STAS 1361-73.

Exemplu de notare a unei găuri de centruire de forma A, cu $d = 4$ mm; Gaură de centruire A4 STAS 1361-73.

3.5.3. *Regim de așchiere*. Avansurile pentru lărgirea găurilor cu ajutorul burghiilor se iau de 1,2—2 ori mai mari decît la găurirea în plin, datorită adâncimii de așchiere mai mici. În tabela 7.32 sînt arătate avansurile mecanice pentru burghie din oțel rapid.

Pentru operațiile de lărgire a găurilor cu ajutorul adâncitoarelor, avansurile sînt date în tabela 7.33. Valorile maxime se aleg în cazul lărgirii fără toleranță a găurilor turnate sau forjate, care după burghiere și lărgire urmează a fi alezate de două ori. Valorile medii se aleg în cazul lărgirii pentru filetare a găurilor turnate sau forjate sau a lărgirii găurilor date cu burghiul și care urmează a fi alezate o singură dată. Valorile mici se folosesc la lărgirea găurilor turnate sau forjate care urmează a fi finisate prin alezare.

Tabela 7.31. Găuri de centrare (STAS 1361-73)



Dimensiunile în mm

| d | Forma A | | Forma B | | d | Forma C | | | | Forma R | | |
|--------|---------------|-------|---------------|-------|--------|---------------|-------|-----|-------|---------|------|------|
| | l_1 min. | l_2 | l_1 min. | l_2 | | l_1 min. | l_2 | b | D_1 | D | r | |
| | | | | | | | | | | | min. | max. |
| (0,5) | 0,8 | 0,48 | — | — | 1 | 1,3 | 0,97 | 0,6 | 5 | 2,12 | 2,5 | 3,15 |
| (0,63) | 0,9 | 0,60 | — | — | (1,25) | 1,6 | 1,21 | 0,6 | 6 | 2,65 | 3,15 | 4 |
| (0,8) | 1,1 | 0,78 | — | — | 1,6 | 2 | 1,52 | 0,9 | 7 | 3,35 | 4 | 5 |
| 1,0 | 1,3 | 1,97 | 1,3 | 1,27 | 2 | 2,5 | 1,95 | 0,9 | 8,5 | 4,25 | 5 | 6,3 |
| (1,25) | 1,6 | 1,21 | 1,6 | 1,60 | 2,5 | 3,1 | 2,42 | 1,1 | 10 | 5,3 | 6,3 | 8 |
| 1,6 | 2,0 | 1,52 | 2,0 | 1,99 | 3,15 | 3,9 | 3,07 | 1,7 | 13 | 6,7 | 8 | 10 |
| 2,0 | 2,5 | 1,95 | 2,5 | 2,54 | 4 | 5 | 3,90 | 1,7 | 16,5 | 8,5 | 10 | 12,5 |
| 2,5 | 3,1 | 2,42 | 3,1 | 3,20 | (5) | 6,3 | 4,85 | 2,3 | 20,5 | 10,6 | 12,5 | 16 |
| 3,15 | 3,9 | 3,07 | 3,9 | 4,03 | 6,3 | 8 | 5,98 | 2,9 | 25 | 13,2 | 16 | 20 |
| 4,0 | 5,0 | 3,90 | 5,0 | 5,05 | (8) | 10,1 | 7,79 | 3,5 | 30 | 17 | 20 | 25 |
| (5,0) | 6,3 | 4,85 | 6,3 | 6,41 | 10 | 12,8 | 9,70 | 4,3 | 36 | 21,2 | 25 | 31,5 |
| 6,3 | 8,0 | 5,98 | 8,0 | 7,36 | | | | | | | | |
| (8,0) | 10,1 | 7,79 | 10,1 | 9,35 | | | | | | | | |
| 10,0 | 12,8 | 9,70 | 12,81 | 11,66 | | | | | | | | |

Observație. Găurile de centrare cu mărimea diametrului d între paranteze se vor evita pe cât posibil.

Tabela 7.32. Avansuri mecanice pentru lărgire cu burghie

| Diametrul final D , mm | Diametrul inițial d , mm | Oțel cu σ_r , kgf/mm ² | | | Fontă cenușie, cu HB | |
|--------------------------|----------------------------|--|-----------|-----------|------------------------|-----------|
| | | <60 | 60—90 | >90 | <170 | >170 |
| | | Avansul s , mm/rot | | | | |
| 25 | 10—15 | 0,35—0,80 | 0,25—0,70 | 0,20—0,60 | 0,50—0,90 | 0,40—0,80 |
| 30 | 10—20 | 0,40—0,80 | 0,30—0,80 | 0,25—0,70 | 0,60—1,20 | 0,40—0,90 |
| 40 | 15—30 | 0,45—1,00 | 0,35—0,90 | 0,30—0,80 | 0,70—1,40 | 0,50—1,00 |
| 50 | 20—40 | 0,50—1,10 | 0,40—1,00 | 0,30—0,90 | 0,75—1,50 | 0,50—1,10 |

Observație: La prelucrarea metalelor neferoase moi, se iau valorile din coloana ($6 > 170$) majorate cu 20...30%.

Tabela 7.33. Avansuri și viteze de așchiere pentru lărgire cu adâncitoare

| Materialul de prelucrat | Avans s , mm/rot | Viteza de așchiere v , m/min |
|---|--------------------|--------------------------------|
| Oțel cu $\sigma_r = 30—50$ kgf/mm ² | 0,20—0,70 | 12—15 |
| Oțel cu $\sigma_r = 50—60$ kgf/mm ² | 0,20—0,70 | 15—18 |
| Oțel cu $\sigma_r = 60—80$ kgf/mm ² | 0,20—0,70 | 12—15 |
| Oțel cu $\sigma_r = 80—100$ kgf/mm ² | 0,20—0,70 | 6—10 |
| Fontă cu $HB = 200$ | 0,20—0,70 | 8—10 |
| Fontă cu $HB = 300...400$ | 0,20—0,70 | 6—8 |
| Bronz | 0,20—0,70 | 6—10 |
| Alamă | 0,20—0,70 | 10—20 |
| Aliaje de aluminiu | 0,50—2,00 | 30—50 |

Vitezele de așchiere la operațiile de lărgire, cu ajutorul burghiilor, sînt cu puțin mai mari decît cele indicate la operațiile de burghiere. Pentru cazul folosirii adâncitoarelor din oțel rapid, vitezele de așchiere sînt cele arătate în tabela 7.33.

3.6. ALEZAREA

3.6.1. Generalități. Alezarea este prelucrarea de așchiere executată manual sau mecanic (la mașini de alezat, mașini de găurit, strunguri normale) cu ajutorul alezoarelor sau cuțitelor de strung, pentru îmbunătățirea formei geometrice, a netezimii și a preciziei dimensiunilor unei suprafețe interioare cilindrice sau conice.

În general, atît la alezarea manuală cît la cea mecanizată, piesa stă nemișcată, iar sculele de alezare execută mișcarea principală de rotație și mișcarea de avans.

Alezarea poate fi de eboșare (preliminară) sau de finisare. Valorile medii ale adaosului pentru alezarea de eboșare se iau de 0,25—0,5 mm din diametru și de 0,05—0,15 mm din diametru pentru alezarea de finisare, în funcție de dimensiunea diametrului găurilor (de 5—80 mm).

Alezoarele se folosesc, în general, pentru găuri cu diametre mici, deoarece pentru diametre mari costul alezării este foarte ridicat. Pentru alezaje mai mari se folosesc cuțitele.

3.6.2. Regim de așchiere. Avansurile pentru operațiile de alezare sînt indicate în tabela 7.34. Valorile maxime se aleg pentru alezarea de eboșare (preliminară). Valori-

Tabela 7.34. Avansuri și viteze de așchiere pentru alezare

| Material | Avans s , mm/rot | Viteza de așchiere v , m/min, pînă la |
|---|--------------------|---|
| Oțel cu $\sigma_r = 35—50$ kgf/mm ² | 0,20—0,80 | 10 |
| Oțel cu $\sigma_r = 50—60$ kgf/mm ² | 0,20—0,80 | 12 |
| Oțel cu $\sigma_r = 60—80$ kgf/mm ² | 0,20—0,80 | 8 |
| Oțel cu $\sigma_r = 80—100$ kgf/mm ² | 0,20—0,80 | 6 |
| Fontă cu $HB = 200$ | 0,20—1,00 | 10 |
| Fontă cu $HB = 200—400$ | 0,20—1,00 | 6 |
| Bronz | 0,20—0,80 | 10 |
| Alamă | 0,20—1,00 | 16 |
| Aliaje de aluminiu | 0,50—2,00 | 30 |

le medii se iau pentru alezarea de finisare. Valorile minime se aleg pentru finisarea alezajelor care urmează a fi supuse ulterior unei operații de rectificarea sau de honuire.

Vitezele de așchiere la alezare cu scule din oțel rapid sînt indicate în aceeași tabelă, atît pentru materialele feroase, cît și pentru unele neferoase; dacă se folosesc scule din oțel carbon, valorile din tabelă se reduc la jumătate.

3.6.3. Mașini de alezat. 3.6.3.1. *Generalități.* Pentru găurile de diametre relativ mari, neputîndu-se folosi alezoarele, operația de alezare se efectuează la mașinile de alezat, cu ajutorul cuțitelor fixate în capetele sau arborii port-scule.

3.6.3.2. *Clasificare și descriere.* După poziția arborelui principal, mașinile de alezat se clasifică în *mașini de alezat vertical* și *mașini de alezat orizontal*.

— **Mașina de alezat vertical** (fig. 7.73). La această mașină se execută de obicei numai operații de alezare pentru piese de mărime mijlocie (de exemplu, cilindri de motoare cu explozie, cilindri de frînă la vehicule de cale ferată).

Piesa fixată pe masa mașinii rămîne imobilă în timpul lucrului. Cuțitele din oțel rapid sau cu plăcuțe din aliaj dur sînt fixate în capul port-sculă pe arborele principal care execută mișcarea principală de rotație și mișcarea de avans. Pentru asigurarea preciziei prelucrării, arborele principal este ghidat în lagăre lungi: el se deplasează vertical în ambele sensuri cu ajutorul unui cărucior cu avans automat.

— **Mașina de alezat orizontal** (fig. 7.74), numită și mașină de alezat și frezat orizontal, se folosește de obicei pentru operații multiple, ca: găurire, alezare, frezare, strunjire plană, filetare.

Arborele principal se poate roti independent sau cuplat cu platoul astfel că este posibilă executarea simultană a operațiilor

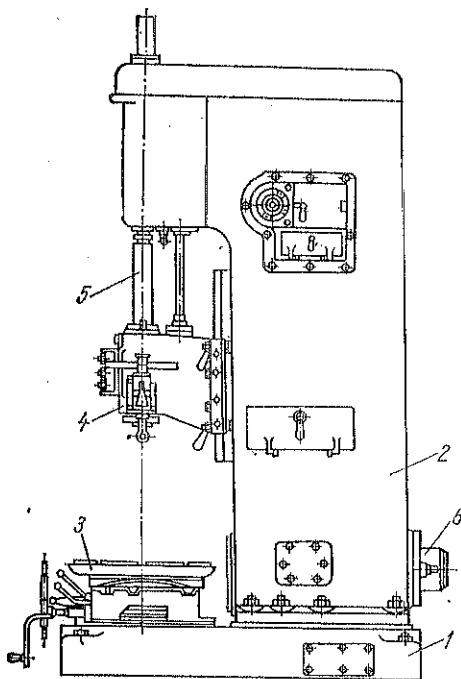


Fig. 7.73. Mașină de alezat vertical:
1 — soclu; 2 — batin; 3 — masă; 4 — cărucior;
5 — arbore principal; 6 — motor.

de găurire și strunjire plană. Mișcările de rotație ale arborelui și platoului, ca și toate mișcările de avans, sînt acționate de un singur motor electric, prin intermediul a trei cutii de viteze. Schimbarea

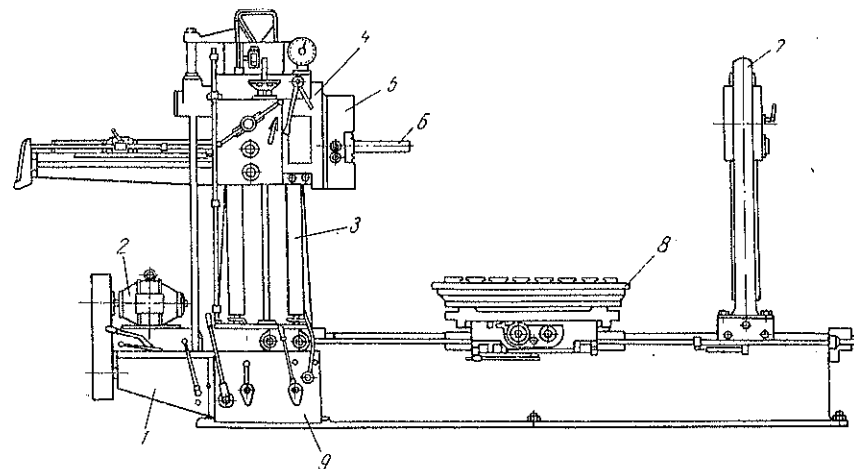


Fig. 7.74. Mașină de alezat orizontal:

1 — soclu; 2 — motor; 3 — coloană; 4 — cutie de antrenare a arborelui port-sculă; 5 — platou; 6 — arbore port-sculă; 7 — coloană suport deplasabilă; 8 — masă; 9 — cutie de antrenare.

turațiilor arborelui principal și platoului, cum și a avansurilor mesei și păpușii, se face cu roți dințate baladoare, acționate prin manete.

Masa mașinii are trei mișcări: longitudinală, transversală și rotativă. Pentru citirea deplasării axiale a arborelui principal, a deplasării căruciorului în sus și în jos și a deplasării meselor, sînt prevăzute lineale gradate, cu verniere.

În prezent, în țara noastră, se fabrică o serie de mașini de alezat și frezat orizontal de tip AF și tip AFM, cu caracteristici tehnice și constructive la nivelul mașinilor moderne, asigurînd astfel o mare precizie de prelucrare și productivitate ridicată. Mașinile tip AF sînt cu montant fix și cu masă rotativă, iar cele de tip AFM, cu montant mobil și masă fixă.

Caracteristicile tehnice ale acestor mașini sînt următoarele:

— tipul AF 85 are diametrul arborelui de alezare (d) de 85 mm, conul arborelui de alezare (K) Morse 5, diametrul platoului (D) de 500 mm, cursa axială a arborelui de alezat (L) 700 mm, cursa longitudinală a mesei (L_1) de 1 250 mm, cursa transversală a mesei (L_2) de 900 mm, dimensiunile mesei ($a \times b$) de 900 \times 1 100 mm² și greutatea mașinii (G) de 11 000 kg;

— tipul AF 100 are: $d = 100$ mm; $K = \text{Morse}$; $D = 550$ mm; $L = 800$ mm; $L_1 = 1250$ mm; $L_2 = 1250$ mm; $a \times b = 1100 \times 1400$ mm²; $G = 16000$ kg;

— tipul AF 125 are: $d = 125$ mm; $K = \text{Morse } 6$; $D = 750$ mm; $L = 1000$ mm; $L_1 = 2000$ mm; $L_2 = 1500$ mm; $a \times b = 1500 \times 1800$ mm²; $G = 33000$ kg;

— tipul AF 150 are: $d = 150$ mm; $K = \text{Metric } 50$; $D = 750$ mm; $L = 1000$ mm; $L_1 = 1500$ mm; $a \times b = 2200 \times 2500$ mm²; $G = 28500$ kg.

— tipul AFM 150 cu diametrul arborelui de alezat $d = 150$ mm.

La Întreprinderea Mașini-Unelte Bacău se mai construiesc și următoarele tipuri de mașini de alezat și frezat:

AF 63-2 cu diametrul arborelui de alezat $d = 63$ mm;

AF 80-2 cu diametrul arborelui de alezat $d = 80$ mm.

3.7. FILETAREA

3.7.1. Generalități. Filetarea prin așchiere este prelucrarea executată manual sau mecanic (la strung, mașină de găurit, mașină de filetat, mașină de frezat filet), cu ajutorul unei scule de filetat (cuțit de filet, pieptene de filet, tarod, filieră), pentru obținerea unui filet pe suprafața exterioară sau interioară a unei piese.

3.7.2. Procedee de filetare. **3.7.2.1. Filetarea manuală.** Filetarea manuală exterioară sau interioară se realizează prin antrenarea cu mîna a filierelor și tarozilor, cărora li se imprimă atît mișcarea principală de rotație cît și mișcarea de avans, și prin menținerea fixă a piesei care se filetează.

Filetarea găurilor se face cu ajutorul tarozilor în operații succesive de degroșare și de netezire, cu ajutorul a două sau trei serii de tarozi cilindrici de diametre diferite sau cu un singur tarod conic.

Filetarea exterioară se execută cu ajutorul filierelor; acestea primesc manual mișcarea principală de rotație și mișcarea de avans, în timp ce piesa este fixă.

La începerea prelucrării trebuie observat ca tarozii să fie coaxiali cu găurile în care se introduc; la fel filierele trebuie să fie coaxiale cu tijele care se filetează.

Deoarece, la tăierea filetului exterior și interior în materiale tenace, se produce o supraîncălzire a spirelor, pentru evitarea înțepenirii tarozilor și filierelor, este necesar ca diametrul tijei care se filetează (respectiv diametrul găurii care se filetează) să fie cu ceva mai mic decît diametrul exterior (respectiv interior) al filetului.

Diametrul găurii care urmează a fi filetată este funcție de valoarea diametrului sculei, de parametrii geometrici ai părții așchietoare realizați prin ascuțire și de alte condiții tehnologice, de exemplu, de precizia mașinii-unelte, răcirea și ungerea în timpul așchierii etc.

Diametrul interior al filetului tarodat este funcție de diametrul găurii prelucrate înainte de tarodare, de parametrii geometrici ai părții de atac a tarodului și de felul materialului prelucrat.

În scopul ușurării operației de tarodare și micșorării pericolului de rupere a tarodului, diametrul găurii, înainte de filetare, trebuie să fie cît mai mare posibil, rămînînd însă în limita maximă a diametrului interior al filetului piuliței.

Pentru găurile care urmează a fi filetate cu filet metric cu profil ISO, cu diametrele nominale între 1 mm și 48 mm, în tabelă 7.35 sînt arătate după STAS R 584/1-69 valorile recomandate ale diametrelor sculelor folosite la executarea găurilor.

Valorile diametrelor sculelor cuprinse în această tabelă sînt calculate după relația: *diametrul sculei este egal cu diametrul nominal al filetului minus pasul filetului.*

Tabela 7.35. Diametrele sculelor pentru găuri care urmează a fi filetate (STAS R 584/1-69)

| Diametrul nominal al piuliței | Diametrul nominal al sculei | | Diametrul nominal al piuliței | Diametrul nominal al sculei | | Diametrul nominal al piuliței | Diametrul nominal al sculei | | Diametrul nominal al piuliței | Diametrul nominal al sculei | | Diametrul nominal al piuliței | Diametrul nominal al sculei | |
|-------------------------------|-----------------------------|-------|-------------------------------|-----------------------------|-------|-------------------------------|-----------------------------|-------|-------------------------------|-----------------------------|-------|-------------------------------|-----------------------------|-------|
| | Pasul p | sculă | | Pasul p | sculă | | Pasul p | sculă | | Pasul p | sculă | | Pasul p | sculă |
| 1,0 | 0,2 | 0,8 | 6,0 | 1,0 | 5,0 | 14 | 1,5 | 12,5 | 24 | 1,5 | 22,5 | 36 | 1,5 | 34,5 |
| | 0,25 | 0,75 | | 0,5 | 6,5 | | 2,0 | 12,0 | | 2,0 | 22,0 | | 2,0 | 34,0 |
| 1,1 | 0,2 | 0,9 | 7,0 | 0,75 | 6,2 | 15 | 1,0 | 14,0 | 25 | 3,0 | 21,0 | 38 | 3,0 | 33,0 |
| | 0,25 | 0,85 | | 1,0 | 6,0 | | 1,5 | 13,5 | | 1,0 | 24,0 | | 4,0 | 32,0 |
| 1,2 | 0,2 | 1,0 | 8,0 | 0,5 | 7,5 | 16 | 0,5 | 15,5 | 26 | 1,5 | 23,5 | 39 | 1,5 | 36,5 |
| | 0,25 | 0,95 | | 0,75 | 7,2 | | 0,75 | 15,2 | | 2,0 | 23,0 | | 1,0 | 38,0 |
| 1,4 | 0,2 | 1,2 | 9,0 | 1,0 | 7,0 | 17 | 1,0 | 15,0 | 27 | 1,5 | 24,5 | 40 | 1,5 | 37,5 |
| | 0,3 | 1,1 | | 1,25 | 6,8 | | 1,5 | 14,5 | | 0,75 | 26,2 | | 2,0 | 37,0 |
| 1,6 | 0,2 | 1,4 | 9,0 | 0,5 | 8,5 | 17 | 2,0 | 14,0 | 27 | 1,0 | 26,0 | 40 | 3,0 | 36,0 |
| | 0,35 | 1,25 | | 0,75 | 8,2 | | 1,0 | 16,0 | | 1,5 | 25,5 | | 4,0 | 35,0 |
| 1,8 | 0,2 | 1,6 | 9,0 | 1,0 | 8,0 | 18 | 1,5 | 15,5 | 28 | 2,0 | 25,0 | 40 | 1,5 | 38,5 |
| | 0,35 | 1,45 | | 1,25 | 7,8 | | 0,5 | 17,5 | | 3,0 | 24,0 | | 2,0 | 38,0 |
| 2,0 | 0,25 | 1,75 | 9,0 | 0,5 | 9,5 | 18 | 0,75 | 17,2 | 28 | 1,0 | 27,0 | 40 | 3,0 | 37,0 |
| | 0,4 | 1,6 | | 0,75 | 9,2 | | 1,0 | 17,0 | | 1,5 | 26,5 | | 1,0 | 41,0 |

Tabela 7.35 (continuare)

| Φ nominal | Filetul piuliței | | Φ sculă | Φ nominal | Filetul piuliței | | Φ sculă | Φ nominal | Filetul piuliței | | Φ sculă | Φ nominal | Filetul piuliței | | Φ sculă | Φ nominal | Filetul piuliței | | Φ sculă |
|--------------|---------------------|------|------------|--------------|---------------------|------|------------|--------------|---------------------|------|------------|--------------|---------------------|------|------------|--------------|---------------------|------|------------|
| | Pasul p | | | | Pasul p | | | | Pasul p | | | | Pasul p | | | | Pasul p | | |
| 2,2 | 0,25 | 1,95 | 10 | 18 | 1,0 | 9,0 | 18 | 30 | 1,5 | 16,5 | 18 | 42 | 2,0 | 26,0 | 18 | 42 | 1,5 | 40,5 | 42 |
| | 0,45 | 1,75 | | | 1,25 | 8,8 | | | 2,0 | 16,0 | | | 0,75 | 29,2 | | | 2,0 | 40,0 | |
| 2,5 | 0,35 | 2,15 | 11 | 20 | 1,5 | 8,5 | 20 | 32 | 2,5 | 15,5 | 20 | 45 | 1,0 | 29,0 | 20 | 45 | 3,0 | 39,0 | 45 |
| | 0,45 | 2,05 | | | 0,5 | 10,5 | | | 0,5 | 19,5 | | | 1,5 | 28,5 | | | 4,0 | 38,0 | |
| 3,0 | 0,35 | 2,65 | 12 | 22 | 0,75 | 10,2 | 22 | 33 | 0,75 | 19,2 | 22 | 48 | 2,0 | 28,0 | 22 | 48 | 4,5 | 37,5 | 48 |
| | 0,5 | 2,5 | | | 1,0 | 10,0 | | | 1,0 | 19,0 | | | 3,0 | 27,0 | | | 1,0 | 44,0 | |
| 3,5 | 0,35 | 3,15 | 14 | 24 | 1,5 | 9,5 | 24 | 36 | 1,5 | 18,5 | 24 | 48 | 3,5 | 26,5 | 24 | 48 | 1,5 | 43,5 | 48 |
| | 0,6 | 2,9 | | | 0,5 | 11,5 | | | 2,0 | 18,0 | | | 1,5 | 30,5 | | | 2,0 | 43,0 | |
| 4,0 | 0,5 | 3,5 | 14 | 24 | 0,75 | 11,2 | 24 | 36 | 2,5 | 17,5 | 24 | 48 | 2,0 | 30,0 | 24 | 48 | 3,0 | 42,0 | 48 |
| | 0,7 | 3,3 | | | 1,0 | 11,0 | | | 0,5 | 21,5 | | | 0,75 | 32,2 | | | 4,0 | 41,0 | |
| 4,5 | 0,5 | 4,0 | 14 | 24 | 1,25 | 10,8 | 24 | 36 | 0,75 | 21,2 | 24 | 48 | 1,0 | 32,0 | 24 | 48 | 4,5 | 40,5 | 48 |
| | 0,75 | 3,7 | | | 1,5 | 10,5 | | | 1,0 | 21,0 | | | 1,5 | 31,5 | | | 1,0 | 47,0 | |
| 5,0 | 0,5 | 4,5 | 14 | 24 | 1,75 | 10,2 | 24 | 36 | 1,5 | 20,5 | 24 | 48 | 2,0 | 31,0 | 24 | 48 | 1,5 | 46,5 | 48 |
| | 0,8 | 4,2 | | | 0,5 | 13,5 | | | 2,0 | 20,0 | | | 3,0 | 30,0 | | | 2,0 | 46,0 | |
| 5,5 | 0,5 | 5,0 | 14 | 24 | 0,75 | 13,2 | 24 | 36 | 2,5 | 19,5 | 24 | 48 | 3,5 | 29,5 | 24 | 48 | 3,0 | 45,0 | 48 |
| | 0,5 | 5,5 | | | 1,0 | 13,0 | | | 0,75 | 23,2 | | | 1,5 | 33,5 | | | 4,0 | 41,0 | |
| 6,0 | 0,75 | 5,2 | 14 | 24 | 1,25 | 12,8 | 24 | 36 | 1,0 | 23,0 | 24 | 48 | 1,0 | 35,0 | 24 | 48 | 5,0 | 43,0 | 48 |

3.7.2.2. *Filetarea mecanică.* Filetarea mecanică se diferențiază de cea manuală prin faptul că mișcările de rotație și de avans care se imprimă sculei sau piesei se realizează prin mecanismele de antrenare ale diferitelor mașini-unelte.

După felul mașinii-unelte, folosite în acest scop, deosebim : filetare la strung, filetare la mașina de găurit, filetare prin frezare, filetare prin rectificare, filetare prin broșare etc.

a. *Filetarea la strung* se poate realiza fie cu ajutorul cuțitelor, fie cu ajutorul tarozilor (filetare interioară) și a filierelor (filetare exterioară).

— *Filetarea cu cuțitul* se obține prin reproducerea directă sau indirectă a unui filet existent cu ajutorul unei scule de filetat (cuțit de filetat, cuțit pieptene). Fi-

letarea prin reproducere indirectă se execută la strungurile normale prevăzute cu cutie de viteze, cutie de avansuri și șurub conducător; acesta este sistemul de filetare folosit în mod curent în toate atelierele mecanice. Filetarea prin reproducere directă se execută de obicei cu ajutorul unor strunguri-revolver care sînt prevăzute cu un dispozitiv special ca cel indicat în fig. 7.75.

Filetul tăiat se obține în ambele cazuri prin mai multe treceri; după fiecare trecere, cuțitul primește un avans transversal.

— *Filetarea cu tarodul.* La acest procedeu de filetare interioară, piesa fixată în universal execută mișcarea principală de rotație, iar tarodul, cu coada fixată în pinola păpușii mobile execută mișcarea de avans. Pentru evitarea gripării tarozilor, găurile care se filetează se execută cu diametre ceva mai mari, conform indicațiilor din tabela 7.35.

— *Filetarea cu filiere* se folosește la executarea filetelor exterioare. Piesa de filetat, fixată în universal, execută mișcarea principală de rotație; filiera, fixată cu ajutorul port-filiei în pinola păpușii mobile, execută mișcarea de avans.

b. *Filetarea la mașina de găurit* constă, în general, din filetarea interioară a pieselor, cu tarozi fixați prin dispozitive de prindere la arborele principal al mașinii-unelte. Tarozi execută atât mișcarea principală de rotație cît și mișcarea de avans, iar piesa de filetat stă fixă pe masa mașinii de găurit.

Pentru filetarea găurilor cu fund se recomandă ca dispozitiv de prindere a tarozilor, mandrinele autodecuplabile la suprasarcini (fig. 7.76).

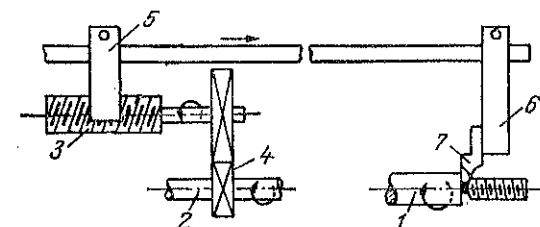


Fig. 7.75. Filetele prin reproducere directă:

1 — piesă de filetat; 2 — arbore principal al unui strung-revolver; 3 — șurub cu filet de reproducere; 4 — angrenaj cu raport de transmitere constantă; 5 — falcă de cuplare cu șurubul 3; 6 — suport port-cuțit; 7 — cuțit de filetat.

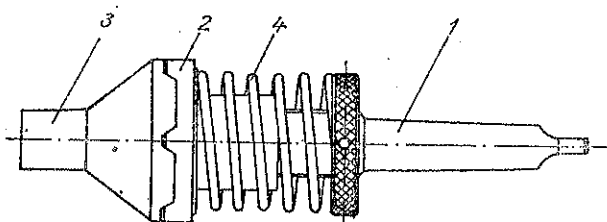
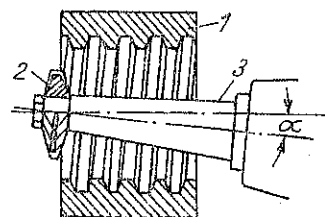
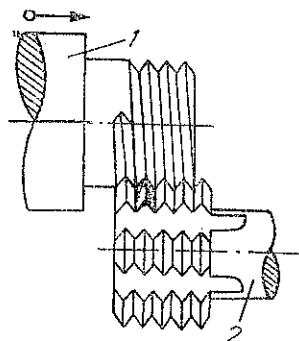


Fig. 7.76. Mandrină autodecuplabilă :

1 — corpul mandrinei; 2 — bușă de ghidare; 3 — bușă de ghidare a tarozului; 4 — arc.

față de sensul de rotație al piesei și este înclinată față de axa piesei filetate cu un unghi α egal cu înclinarea filetului (fig. 7.77). Prin acest procedeu secțiunea filetului este deformată, dacă unghiul flancurilor este sub 10° . Frezarea filetului cu freze-disc sau cu freze cilindrice cu un singur profil se folosește atât pentru filete lungi, cât și pentru filete scurte interioare și exterioare. Filetele scurte se frezează de obicei cu ajutorul frezelor cilindrice la mașini-unelte speciale. Axele piesei și ale frezei sînt paralele. Freza care se rotește în același sens cu piesa (pentru filete exterioare), primește o mișcare de avans transversal (pe circa o șesime de rotație a piesei) pînă ce atinge adîncimea filetului și, apoi, un avans longitudinal egal cu pasul filetului, în timp ce piesa execută o rotație completă (fig. 7.78). La aceste freze, canalele longitudinale și deci tăișurile sînt de obicei paralele cu axa sculei și numai rareori înclinate. Pentru filetele exterioare, frezele se construiesc cu diametre de 45—75 mm, iar pentru filetul interior frezele (cu diametre de 15—40 mm) se aleg cu diametrul de 0,50 sau 0,75 din diametrul filetului care se frezează.

Fig. 7.77. Filetare interioară cu freză-disc:
1 — piesă de filetat; 2 — freză-disc; 3 — axul frezei.Fig. 7.78. Filetare exterioară cu freză-pieptene:
1 — piesă de filetat; 2 — freză-pieptene cu coadă.

d. Filetarea prin rectificare Se utilizează la rectificarea pieselor filetate călite, de precizie, (de exemplu, tarozi, calibre de filet etc.) sau la tăierea filetului de semifabricate cilindrice, călite, de diametre mici (de exemplu, tarozi), cu ajutorul discurilor abrazive.

Prelucrarea se realizează cu un disc cu un singur profil sau cu mai multe profile. În primul caz, discul 1 este înclinat față de axa filetului și execută mișcarea principală de rotație, în timp ce piesa 2 execută mișcările auxiliare de rotație și de avans (fig. 7.79, a). În al doilea caz, discul cu mai multe profile, avînd axa paralelă cu axa piesei

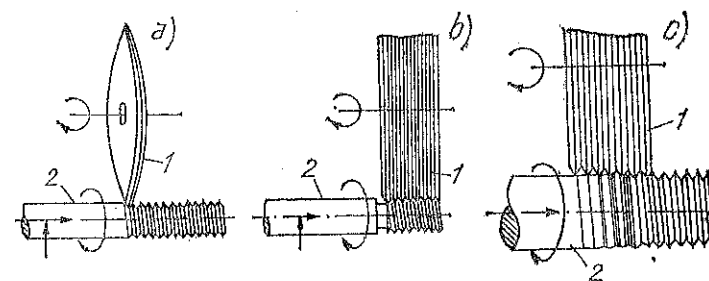


Fig. 7.79.

(fig. 7.79, b), execută un avans transversal egal cu pasul filetului și o mișcare de rotație de 360° . Acest procedeu de filetare, deși mai puțin precis decît primul, este folosit pentru piese în serie. O prelucrare mai precisă se realizează cu un disc abraziv cu mai multe profile, avînd axa paralelă cu axa piesei și muchiile înscrise într-un trunchi de con. Discul execută mișcarea principală de rotație, iar piesa o mișcare de rotație și de avans longitudinal (fig. 7.79, c).

3.7.3. Regim de așchiere. Oricare ar fi procedeu de prelucrare al filetului, avansul este egal cu pasul filetului.

Vitezele de așchiere pentru operația de filetare la mașinile-unelte cu ajutorul tarozilor și filierelor sînt indicate în tabela 7.36. Pentru filetare la strung, vitezele de așchiere sînt arătate în tabela 7.37.

Tabela 7.36. Viteze de așchiere pentru filetarea mecanică cu tarozi și filiere

| Materialul piesei de filetat | Diametrul filetului, mm | | |
|--------------------------------|-------------------------|--------|----------|
| | pînă la 3 | 3 — 10 | peste 10 |
| Viteza de așchiere v , m/min | | | |
| Fontă și oțel moale | 2—3 | 3—5 | 6—8 |
| Fontă și oțel dur | 1,5—2 | 2—3 | 3—5 |
| Bronz și alamă | 4—7 | 8—10 | 10—15 |

Tabela 7.37. Viteze de așchiere pentru filetare la strung, m/min

| Materialul piesei de filetat | Calitatea | Viteza de așchiere v |
|--|-----------|------------------------|
| Oțel cu σ_r , kgf/mm ² | 40 | 6 |
| | 60 | 5 |
| | 80 | 4 |
| | 90 | 3 |
| Fontă dură | moale | 5 |
| | semidură | 4 |
| | dură | 3 |
| Fontă maleabilă | moale | 5 |
| | semidură | 4 |
| | dură | 3 |
| Alamă, aluminiu | moale | 12 |
| | semidură | 10 |
| | dură | 8 |
| Bronz | moale | 5 |
| | dur | 3 |
| Oțel de scule | moale | 4 |
| | dur | 3 |

— *Mașina de filetat exterior cu arbore orizontal* comportă o păpușă fixă, în care se prinde capul de filetat, și o păpușă mobilă, în care se fixează piesa care se filetează (de exemplu, șurubul). Păpușa mobilă execută manual mișcarea de avans longitudinal până când începe așchieria (fig. 7.80); uneori, avansul longitudinal este realizat cu aju-

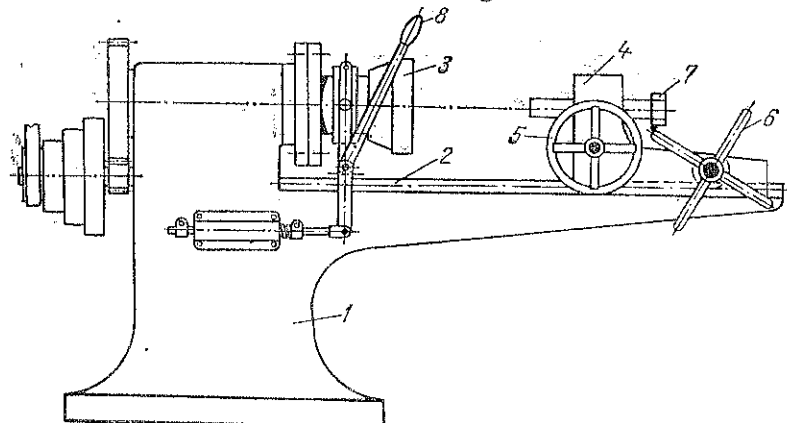


Fig. 7.80. Mașină de filetat șuruburi:

1 — batiu; 2 — patul cu cremalieră; 3 — cap de filetat; 4 — păpușă mobilă; 5 — roată de aluminiu pentru fixarea piesei; 6 — cruce pentru deplasarea păpușii mobile; 7 — piesă; 8 — dispozitiv de strângere a falcilor filerilor.

3.7.4. Mașini de filetat. *Mașinile de filetat* sînt mașini-unelte construite special pentru filetarea în serie a filetelor interioare sau exterioare. Ele sînt denumite după destinația lor sau după caracteristicile constructive: mașini de filetat interior cu arborele principal vertical sau orizontal, automate de filetat pentru piulițe, mașini de frezat filet exterior etc.

— *Mașina de filetat interior cu arborele vertical* este asemănătoare constructiv cu mașina de găurit, cu diferența că arborele principal, la capătul căruia se fixează tarozii, permite tarodului să-și schimbe sensul de rotație, cu ajutorul unui mecanism cu fricțiune, după ce piesa fixată pe masa mașinii a fost filetată.

torul unui șurub conducător. La unele mașini de filetat țevi, capul de filetat este fixat în păpușa mobilă, iar țeava este fixată în alezajul arborelui principal al păpușii fixe. În acest caz, țeava execută mișcarea de rotație și scula mișcarea de avans.

În țară se construiesc în prezent următoarele mașini de filetat interior vertical, cu tarod:

- tipul MFIV — 4 pentru filet interior până la M4;
- tipul MFIV-8 pentru filet interior până la M8;
- tipul MFIV-16 pentru filet interior până la M16.

3.8. FREZAREA

3.8.1. Generalități. Frezarea este operația de așchiere executată la mașini de frezat, cu ajutorul sculelor numite freze. Mișcarea principală este executată de freza care se rotește în jurul axei sale, iar mișcarea de avans rectilinie-orizontală (longitudinală sau transversală) și verticală este executată de piesă sau de sculă.

Așchiile rezultate din frezarea materialelor au formă de virgulă.

Fixarea pieselor pe masa mașinilor de frezat se face de obicei mecanic (cu prisme, eclise, șuruburi etc., dispozitive cu cap divizor) și uneori electromagnetic sau pneumatic.

Frezele se montează fie în arborele principal al mașinii (direct sau cu ajutorul unei reducții sau dorn portfreză), fie cu un dorn, între bușe de blocare (la mașinile de frezat orizontale și universale).

Prin frezare pot fi prelucrate: suprafețe plane, suprafețe conice, alezaje, canale de pană sau elicoidale, roți dințate etc.

La prelucrarea pieselor prin frezare se recomandă următoarele:

— Montarea frezelor să se facă pe dornuri care să nu bată și cît mai aproape de arborele mașinii;

— Fixarea pe dornuri a frezelor cu gaură trebuie să se facă cu pene dreptunghiulare, evitîndu-se penele rotunde;

— La frezele cu dinți elicoidali, sensul înclinațiilor dinților se va alege astfel ca depășirile de tăiere să împingă freza spre arbore; ca atare frezele cu tăiere la dreapta vor avea dinții înclinați la stînga. La frezele-deget și cilindro-frontale cu șurub de fixare în capul conului, această condiție nu este necesară; deci aceste freze pot avea atît tăierea cît și elicea de același sens, ambele dreapta sau stînga; în acest caz dinții frontali vor tăia mai bine.

Direcția de avans a mesei se va lua în sens contrar sensului de mișcare al frezei.

3.8.2. Operații de frezare. a. *Operații de frezare după calitatea suprafeței prelucrate.* După calitatea suprafeței prelucrate, deosebim: frezarea de degroșare și frezarea de finisare.

— *Frezarea de degroșare* este operația prin care se îndepărtează primele straturi de material ale piesei; ea este urmată de obicei de frezarea de finisare. Se realizează cu un regim de așchiere cu avans longitudinal mare și viteză de așchiere mică.

— *Frezarea de finisare* este de obicei precedată de frezarea de degroșare; prin această operație, piesele care se prelucurează obțin atît dimensiunile nominale cu toleranțele admise, cît și condițiile de calitate pentru suprafața prelucrată. În general, frezarea de finisare se execută cu avans mic și viteză de așchiere mare.

b. *Operații de frezare după sensul de rotire al frezei în raport cu sensul de deplasare al piesei.* După acest criteriu, se deosebesc: frezarea *contra avansului* și frezarea *în sensul avansului*.

— *Frezarea contra avansului*, numită și *frezare normală*, se caracterizează prin rotirea frezei în sens invers față de sensul mișcării de avans al piesei. Acest procedeu este folosit în mod obișnuit, deoarece în timpul așchierii solicitarea dinților crește pe măsură ce aceștia pătrund în material și nu în mod brusc (fig. 7.81, a). Înainte de a pătrunde în material, dinții alunecă pe suprafața prelucrată de dinții anteriori.

— *Frezarea în sensul avansului*, numită și *frezare prin înghițire* (fig. 7.81, b), se referă la așchieria în care sensul de rotire al frezei este același cu sensul mișcării de avans al piesei. În acest caz, dinții frezei pătrund brusc în materialul piesei, atacînd la început partea groasă a așchiei. Calitatea suprafeței prelucrate este mai bună decît la fre-

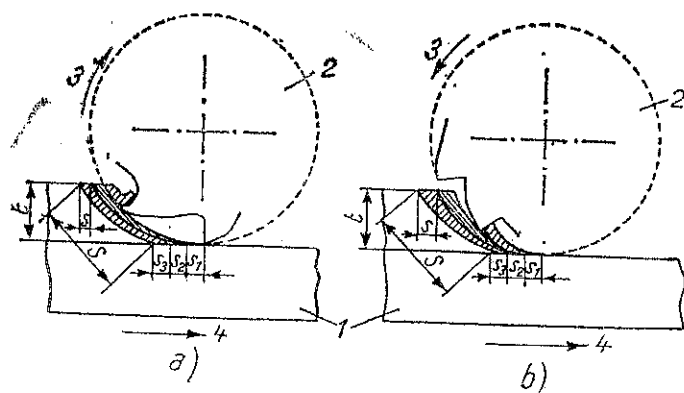


Fig. 7.81. Frezarea :

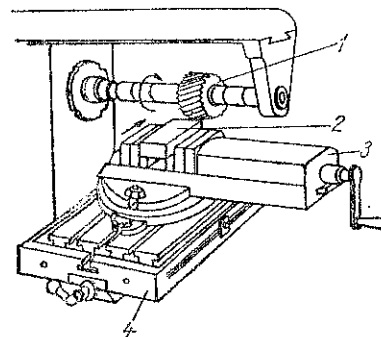
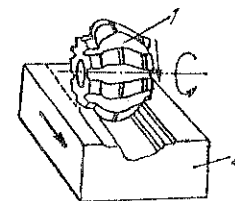
a — frezare contra avansului;
b — frezare în sensul avansului;
1 — piesă; 2 — freză; 3 — sensul de rotație al frezei; 4 — sensul de avans al piesei; s — avansul pe dinte; s_1 , s_2 și s_3 — avansurile succesive ale dinților; S — lungimea așchiei; t — adîncimea de așchiere.

zarea contra avansului; este însă necesar să nu existe jocuri între șuruburile conducătoare și piulițele mesei de lucru.

c. *Operații de frezare după forma suprafeței prelucrate.* După forma suprafeței prelucrate, distingem: frezare plană, frezare rotundă și frezare profilată.

— *Frezarea plană* se folosește la prelucrarea suprafețelor plane cu ajutorul frezelor cilindrice, frontale, cilindro-frontale sau disc.

Prin frezare plană se pot prelucra suprafețe plane paralele cu axa de rotație a frezei (fig. 7.82), suprafețe plane perpendiculare pe axa de rotație a frezei, cum este cazul suprafețelor retezate sau frezate frontal și suprafețe paralele și perpendiculare pe axa de rotație a frezei, cum sînt, de exemplu, suprafețele canalelor de pană.

Fig. 7.82. Frezare plană :
1 — freză; 2 — piesă de prelucrat; 3 — mângâie;
4 — masa mașinii de frezat.Fig. 7.83. Frezare profilată :
1 — freză profil; 2 — piesă de frezat.

— *Frezarea rotundă* este operația de frezare prin care se obțin suprafețe cilindrice. La această prelucrare, piesa execută o mișcare de rotație în jurul axei sale și, uneori, o mișcare de avans lateral, iar freza execută mișcarea principală de rotație. După cum prelucrarea se face în exteriorul sau interiorul unei piese, frezarea rotundă este exterioară sau interioară. În acest caz, piesele se fixează pe platoul rotativ.

— *Frezarea profilată* se folosește la obținerea cu ajutorul frezelor profil sau frezelor combinate a unor suprafețe cu profil identic cu al dinților frezei (fig. 7.83).

d. *Operații de frezare după direcția de acțiune a frezei în raport cu axa ei.* După acest criteriu de clasificare se pot da ca exemple următoarele operații de frezare :

— *Frezarea cilindrică* (fig. 7.84). Este operația de așchiere executată numai cu suprafața laterală a frezelor (cilindrice sau disc). Se folosește la prelucrarea de suprafețe plane (v. fig. 7.82) cu ajutorul frezelor cilindrice, la retezarea pieselor cu ajutorul frezelor disc (cu dințare numai pe suprafața cilindrică). Adîncimea de așchiere se va lua egală cu adaosul de prelucrare, ori de cîte ori aceasta este posibil.

— *Frezarea cilindro-frontală*. Prelucrarea se execută atît cu suprafața laterală, cît și cu suprafața frontală a frezelor cilindro-frontale.

Acest procedeu se aplică la frezarea suprafețelor plane, în trepte și mai ales a canalelor (fig. 7.85), cu ajutorul frezelor cilindro-frontale sau a frezelor disc cu trei tăișuri.

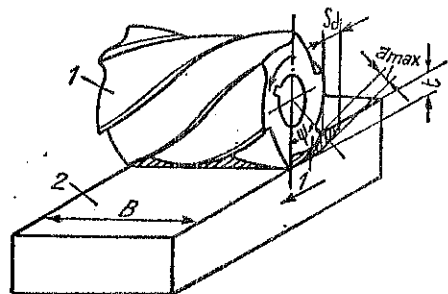


Fig. 7.84. Frezare cilindrică :

1 — freză; 2 — piesă; ψ — unghiul de contact; a_{max} — grosimea maximă a așchiei; s_d — avansul pe dinte; t — adâncimea de așchiere.

— **Frezarea frontală** (fig. 7.86) se folosește la prelucrarea suprafețelor perpendiculare la axa de rotație a frezelor. Prin acest procedeu avansul de adâncime este paralel cu axa piesei și așchierea se execută numai cu suprafața frontală a frezelor cilindro-frontale. La prelucrarea cu freze cilindro-frontale se alege diametrul acestora mai mare decât una dintre dimensiunile suprafețelor astfel ca frezarea să se poată face dintr-o singură trecere.

— **Frezarea elicoidală** este operația pentru prelucrarea canalelor elicoidale pe suprafața exterioară a pieselor (de exemplu, canale elicoidale la alezoare, freze cilindrice, burghie simple etc., sau la filetele șuruburilor conducătoare de la mașinile-unelte). Prelucrarea se execută la mașini de frezat universale sau mașini de frezat speciale, cu ajutorul frezelor profilate pentru scule, a frezelor disc modul etc. Pentru realizarea canalului elicoidal de un anumit pas sînt necesare : o deplasare relativă între piesă și freză, paralelă cu axa piesei și egală cu avansul și o mișcare de rotație relativă între piesă și freză corespunzătoare unei rotiri a piesei cu 360° .

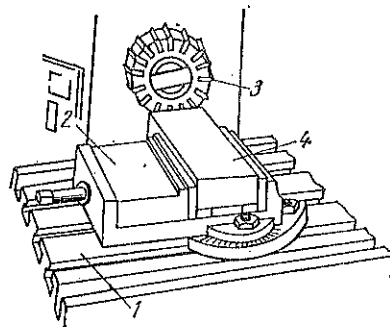


Fig. 7.86. Frezare frontală :

1 — masă de lucru; 2 — menghină; 3 — freză cilindro-frontală; 4 — piesă de frezat.

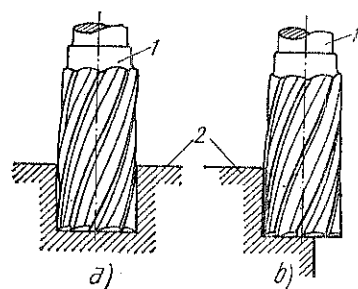


Fig. 7.85. Frezare cilindro-frontală :

a — frezare de canal; b — frezare în trepte; 1 — freză; 2 — piesă de frezat.

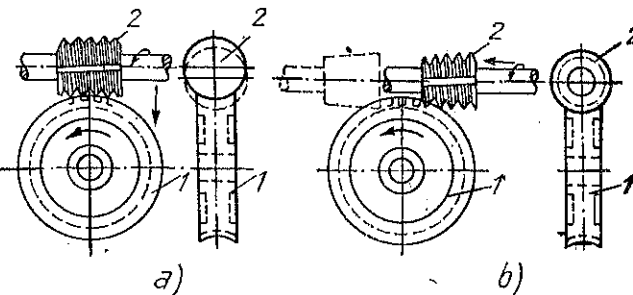
— **Frezarea prin rostogolire** se folosește de obicei la frezarea roților dințate elicoidale cu ajutorul frezelor cu dinți

tăiați după o elice. La această prelucrare, în timp ce freza se rotește cu 360° , piesa se rotește cu un unghi la centru egal cu pasul dințării.

După direcția mișcării de avans dintre freză și piesă, frezarea prin rostogolire poate fi radială sau tangențială.

Fig. 7.87. Frezare prin rostogolire :

a — frezare radială; b — frezare tangențială; 1 — roată dințată; 2 — freză.



— La **frezarea radială prin rostogolire** (fig. 7.87, a) în timpul rotației piesei se produce o mișcare rectilinie de apropiere a frezei pe direcția radială față de piesă.

La **frezarea tangențială prin rostogolire** (fig. 7.87, b), după fiecare rotație a piesei, se produce o mișcare rectilinie de avans a sculei (freză conică cu dinți în elice) în direcția tangențială față de periferia piesei.

e. **Regimul de așchiere la frezat.** Sub aspectul regimului de așchiere, operațiile de frezare se pot clasifica în operații de frezare obișnuite și operații de frezare rapidă.

— **Frezarea obișnuită**, numită și frezare normală, este frezarea la care se lucrează, în general, fără a se folosi la maximum puterea mașinii de frezat. Se folosește la prelucrarea pieselor care nu pot fi supuse la regimuri speciale de așchiere (de exemplu, frezarea filetelor). Se lucrează, de obicei, cu freze avînd unghiuri de degajare și de înclinare pozitive (atît radial cît și axial).

— **Frezarea rapidă** se execută la mașini de frezat robuste și lipsite de vibrații (atît pentru piesă cît și pentru sculă), care permit încărcarea motoarelor de acționare la valoarea nominală a puterii lor. Operațiile de frezare rapidă a metalelor se caracterizează prin viteze de așchiere foarte mari.

De obicei, se aplică așchierea în sensul avansului, în general cu freze cu unghi de degajare negativ și, uneori și cu unghi de degajare pozitiv. Frezele folosite în acest caz sînt freze frontale pentru operații de frezare plană, freze disc pentru canale și freze profilate pentru frezarea profilelor. Frezarea rapidă se aplică în special la prelucrarea suprafețelor cu freze frontale, deoarece acestea permit o folosire mai ușoară a plăcilor de carburi metalice.

3.8.3. Regim de lucru. Pentru stabilirea regimului optim de lucru, trebuie să se aleagă în mod corespunzător diametrul frezei, adâncimea și lățimea de frezare, avansul piesei și viteza de așchiere, astfel ca prelucrarea să fie economică, adică să se consume cât mai puțină energie, durata de așchiere a sculei să fie cât mai mare și eforturile să nu depășească posibilitățile mecanismelor mașinii.

Forma geometrică optimă a dinților pentru frezarea rapidă are caracteristicile indicate în tabela 7.38. Fețele dinților trebuie finisate după ascuțire.

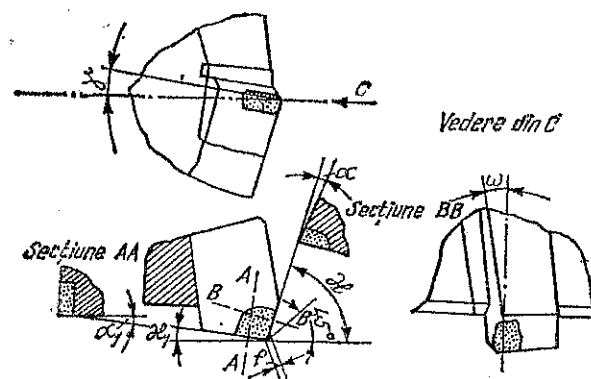


Tabela 7.38. Geometria dinților frezei pentru frezarea rapidă

| Specificare | Valorile unghiului, în grade |
|--|------------------------------|
| Unghiul de degajare principal, γ | -10 |
| Unghiul de înclinație al canalului elicoidal, ω | -10 |
| Unghiul de atac principal, κ | 75 |
| Unghiul de atac secundar, κ_1 | 12 |
| Unghiul de așezare principal, α | 16 |
| Unghiul de așezare secundar, α_1 | 12 |

a. **Alegerea frezelor de lucru.** Pentru alegerea frezelor de lucru, în tabela 7.39 sunt indicate diametrele recomandabile ale diferitelor tipuri de freze în funcție de adâncimea de frezare t și lățimea de frezare B .

b. **Avansuri și viteze de așchiere pentru frezare obișnuită.** Mărimea avansului pe dinte s_d (v. fig. 7.84) este limitată în general de volumul de așchii care pot intra în canalele frezei. Dacă adaosul de prelucrare este mare, pentru a mări avansul trebuie ca degroșarea să se facă din mai multe treceri.

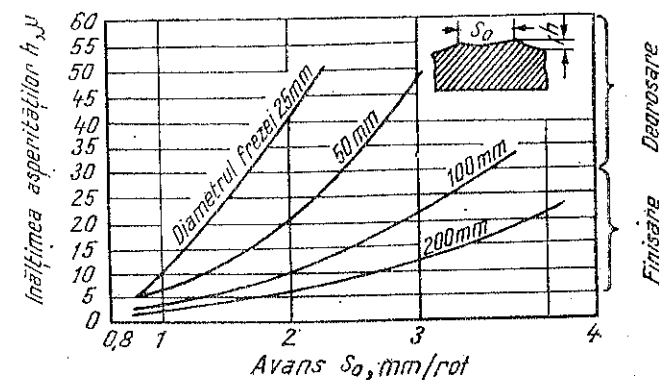
La stabilirea avansului trebuie să se țină seama și de calitatea suprafeței care trebuie să se obțină. În nomograma din figura 7.88 se poate alege avansul s_0 în funcție de operația de frezare (degroșare sau finisare) sau de înălțimea asperităților h , în microni, și de diametrul frezei. Astfel, presupunând că trebuie executată o prelucrare cu freza cu diametrul de 50 mm și cu o suprafață ale cărei asperități să nu depășească 20μ , se trage o linie orizontală în dreptul cifrei 20 și la intersecția cu curba corespunzătoare frezei de 50 mm se coboară o verticală; se obține avansul maxim admisibil, în acest caz: $s_0 = 2 \text{ mm/rot}$.

În tabela 7.40 sunt indicate avansurile pentru lucrări de frezare obișnuită a diferitelor metale, iar în tabela 7.41 sunt arătate vitezele de așchiere la operații de frezare obișnuită.

Tabela 7.39. Alegerea frezelor de lucru

| Tipul frezelor | Adâncimea de frezare t până la (mm) | Lățimea de frezare B până la (mm) | Diametrul recomandabil al frezei (mm) |
|--------------------------|---------------------------------------|-------------------------------------|---------------------------------------|
| Freze cilindrice | 5 | 70 | 60—75 |
| | 8 | 90 | 90—110 |
| | 10 | 100 | 110—130 |
| Freze frontale | 4 | 40 | 50—75 |
| | 4 | 60 | 75—90 |
| | 6 | 90 | 110—130 |
| | 6 | 120 | 150—175 |
| | 6 | 150 | 200—250 |
| | 8 | 200 | 300—350 |
| Freze disc | 10 | 350 | 400—500 |
| | 8 | 20 | 60—75 |
| | 12 | 25 | 90—110 |
| | 20 | 35 | 130—150 |
| Freze disc cu dinți rari | 50 | 50 | 175—200 |
| | 10 | 4 | 60—75 |
| | 20 | 5 | 75 |
| | 25 | 10 | 110 |

Fig. 7.88.



c. **Avansuri și viteze de așchiere pentru frezare rapidă.** În tabela 7.42 sunt date vitezele de așchiere pentru frezare rapidă cu freze cu unghi de degajare negativ.

Tabela 7.40. Avansuri pentru lucrări de frezare obișnuite, mm/min

| Materialul | Frezare plană | | | Frezare rotundă | | | Frezare dinților | | | Frezarea fileului | |
|----------------------------------|---------------|---------|----------|-----------------|---------|--------|------------------|--------|-------|-------------------|--------|
| | I | II | III | I | II | III | I | II | III | I | II |
| σ_r , kgf/mm ² | | | | | | | | | | | |
| 35-45 | 250-40 | 200-50 | | 200-40 | | 15-50 | 100-35 | 25-70 | 15-50 | 100-40 | |
| Oțel laminat 50-60 | 150-30 | | | | | | | | | 60-15 | |
| 60-80 | 50-30 | | | 30-15 | | 15-50 | 25-15 | | | 40-12 | |
| 80-100 | | 200-50 | | | | | | | | | |
| Oțel turnat | | 100-50 | | | | | | | | | |
| Oțel pentru scule | | 200-50 | | | | | | | | | |
| Fontă | 300-30 | 200-50 | finisare | | | | 90-30 | 25-90 | 15-75 | 25-15 | |
| Alamă | 200-100 | 250-75 | 40-30 | 80-90 | 25-100 | | 90-50 | 25-100 | | sub 50 | |
| Bronz | 200-100 | 250-75 | 40-30 | | | | 90-50 | 25-100 | | sub 50 | |
| Metale ușoare | sub 600 | sub 400 | | 350 | 150-80 | 100-50 | | | | sub 100 | sub 80 |
| Situmîn | | sub 250 | | | sub 100 | | | | | | |

Tabela 7.41. Viteze de așchiere pentru lucrările de frezare obișnuite, m/min

| Materialul | Frezare plană | | | Frezare rotundă | | | Frezarea dinților | | | Frezarea fileului | |
|----------------------------------|---------------|-------|-----|-----------------|-------|------|-------------------|------|------|-------------------|-----|
| | I | II | III | I | II | III | I | II | III | I | II |
| σ_r , kgf/mm ² | | | | | | | | | | | |
| 35-45 | 40-20 | 22-18 | | 18-16 | 26 | 18 | | | | | |
| Oțel laminat 50-60 | 35-18 | 18-14 | | | 20 | 14 | 36-18 | 25 | 14 | 50-20 | 20 |
| 60-80 | | 14-10 | | 20-10 | 14 | 10 | 20-10 | 15 | 12 | | 16 |
| 80-100 | 20-10 | 10-6 | | | 10 | 6 | | 10 | 6 | 15-10 | 8 |
| moale | | 18-15 | | | 18-13 | | | 20 | 10 | | 16 |
| Oțel turnat semidur | | 14-12 | | | 14-12 | 12-6 | | 15 | 8 | | 12 |
| dur | | 18-8 | | | 10-8 | | | 10 | 5 | | 8 |
| Oțel pentru scule | | 10-4 | | | | | | | | | |
| | | | | | 15-10 | 10-4 | | 15-8 | 10-6 | | 8-4 |

Tabela 7.42. Viteze de așchiere pentru frezare rapidă

| Materialul piesei | Viteze de așchiere v, m/min | |
|---|-----------------------------|---------------------------------|
| | Freze frontale | Freze cilindrice și freze disco |
| Oțel $\sigma_r = 50-60$ kgf/mm ² | 170-180 | 150-200 |
| Oțel $\sigma_r = 60-75$ kgf/mm ² | 150-170 | 130-170 |
| Oțel $\sigma_r = 75-100$ kgf/mm ² | 110-150 | 110-145 |
| Oțel $\sigma_r = 100-120$ kgf/mm ² | 75-110 | 90-120 |
| Fontă | 100-130 | 180-230 |
| Bronz, alamă | 150-200 | 500-750 |

În tabela 7.43 sînt indicate valorile grosimii maxime ale așchii a_{max} (v. fig. 7.84), în cazul frezelor cu unghi de degajare negativ pentru frezare rapidă.

Tabela 7.43. Grosimile maxime ale așchii la frezare rapidă

| Materialul piesei | Grosimea așchii a_{max} , mm | |
|---|--------------------------------|------------------|
| | Freze frontale | Freze cilindrice |
| Oțel $\sigma_r = 50-60$ kgf/mm ² | 0,2-0,40 | 0,10-0,40 |
| Oțel $\sigma_r = 60-75$ kgf/mm ² | 0,2-0,35 | 0,10-0,40 |
| Oțel $\sigma_r = 75-100$ kgf/mm ² | 0,15-0,30 | 0,05-0,25 |
| Oțel $\sigma_r = 100-120$ kgf/mm ² | 0,10-0,25 | 0,05-0,25 |
| Fontă | 0,20-0,65 | 0,25-0,60 |
| Bronz, alamă | 0,25-1,00 | 0,15-0,10 |

Cunoscând grosimea maximă a așchiei, avansurile pentru frezarea rapidă se deduc din tabela 7.44 pentru diferite valori ale unghiului κ (unghiul de atac al tășului frezei sau al cuțitului frezei).

Tabela 7.44. Avansul pentru un dinte al frezei s_d la frezarea rapidă

| Freze cilindrice | Freze frontale |
|--|---|
| $s_d = a \frac{a_{max}}{\sqrt{1 - \left(\frac{D-2l}{D}\right)^2}}$ | $s_d = a_{max}$ pentru $\kappa = 96^\circ$ $s_d = 1,035 a_{max}$ „ $\kappa = 75^\circ$ $s_d = 1,15 a_{max}$ „ $\kappa = 60^\circ$ $s_d = 1,41 a_{max}$ „ $\kappa = 45^\circ$ |

D este diametrul frezei, κ este unghiul de atac al tășului frezei sau al cuțitului frezei
 iar l — adâncimea de frezare

a oțelurilor aliate dure sînt de 0,05—0,12 mm, la frezarea oțelurilor carbon de 0,15—0,18 mm și la fontă de 0,3—1 mm.

3.8.4. Mașini de frezat. 3.8.4.1. Generalități. Mașinile de frezat sînt mașini-unelte folosite la prelucrarea prin așchiere a metalelor cu ajutorul frezelor. La unele mașini de frezat se mai pot executa și alte operații ca: găurire (cu burghie spirale, zencuitori), alezare (cu cuțite sau alezoare), strunjire plană (cu dispozitiv de strunjit plan montat pe arborele principal) etc.

O mașină de frezat cuprinde în general: un batiu rigid din fontă, o consolă care servește ca reazem pentru masa de lucru, unul sau mai mulți arbori port-sculă, mecanismul cutiei de viteze care imprimă arborelui principal și deci sculei o mișcare principală de rotație, mecanismul cutiei de avansuri care imprimă de obicei mesei și deci piesei de frezat mișcările de avans, organul de antrenare, dispozitive de comandă, dispozitive de prindere a sculei și piesei, instalații și aparataj anexă (instalație de ungere, instalație de răcire, instalație electrică de forță și lumină) etc.

Caracteristicile mașinii de frezat sînt: distanța maximă și minimă dintre arborele principal și masa de lucru; distanța maximă și minimă de la ghidajele batiului la mijlocul mesei, distanța de la arborele principal la braț (la mașinile de frezat orizontale), limitele turățiilor arborelui principal, limitele avansurilor, dimensiunile mesei de lucru și cursa maximă a acesteia (longitudinal, transversal și vertical); caracteristicile motoarelor de acționare ale mișcării principale și mișcării de avans.

3.8.4.2. Clasificare și descriere. Prin construcția, prin sistemul de a lucra și felul pieselor pe care le prelucurează, mașinile de frezat se pot clasifica în mașini de frezat normale și mașini de frezat speciale.

Carburile metalice utilizate pentru frezarea oțelului sînt T15K6 și T30K4, iar pentru frezarea fontei VK8.

În general, avansurile pentru un dinte al frezei la frezarea rapidă

a. Mașini de frezat normale. După mișcările mesei de lucru, poziția și numărul arborilor principali, mașinile de frezat normale se grupează în mașini de frezat orizontale (cu unul sau mai mulți arbori principali orizontali), mașini de frezat verticale (cu unul sau mai mulți arbori principali verticali) și mașini de frezat longitudinale.

Pentru exemplificare, se descriu următoarele mașini de frezat normale:

— Mașina de frezat orizontală (fig. 7.89) are arborele principal orizontal, montat în batiul mașinii, în capătul căruia se poate fixa un arbore port-freză sau dorn port-sculă. Pe ghidajele verticale ale batiului culisează vertical o consolă cu masa de lucru. Cu ajutorul a două sănii suprapuse, masa de lucru se poate deplasa atât longitudinal, cît și transversal. Avansurile mesei pe cele trei direcții se pot obține manual sau mecanic. Pentru rigidizarea arborelui port-sculă, capătul liber al acestuia se introduce în contrasuportul care culisează pe brațul suport.

Cu această mașină se pot executa frezări plane, șanțuri profilate etc. La unele mașini de frezat orizontale se poate freza și vertical prin montarea unui cap de frezat amovibil.

— Mașina de frezat orizontală dublă (fig. 7.90) este prevăzută cu doi arbori principali orizontali, care sînt montați pe cărucioare deplasabile în direcție verticală pe ghidajele a două coloane. Cele două coloane se pot și ele deplasa orizontal pe ghidajele batiului. Masa de lucru alunecă longitudinal pe o masă-suport fixă. La această mașină se poate lucra concomitent cu două freze, ceea ce prezintă avantaje la lucrările de serie.

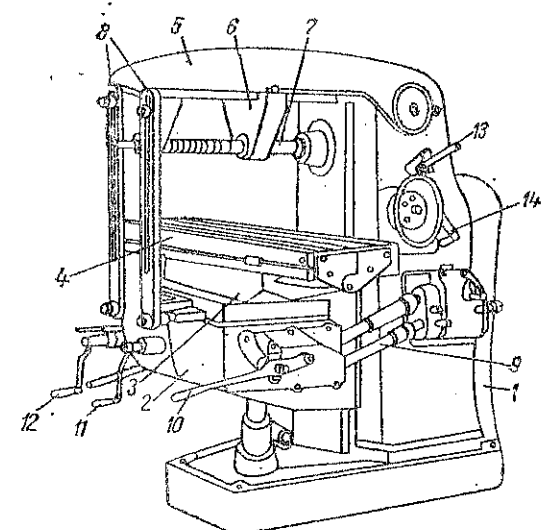


Fig. 7.89. Mașină de frezat orizontală:

1 — batiu; 2 — consolă; 3 — sanie transversală; 4 — masă de lucru; 5 — contra-suport; 6 — suportul arborelui port-freză; 7 — arbore port-freză; 8 — bretele; 9 — mecanism de avans; 10 — manetă pentru cuplarea avansului; 11 — manivelă pentru deplasarea saniei transversale; 12 — manivelă pentru deplasarea verticală a consolei; 13 — manetă de pornire; 14 — manetă pentru schimbarea vitezelor.

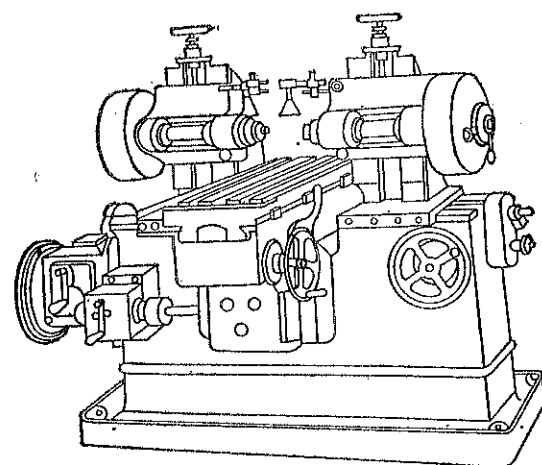


Fig. 7.90. Mașină de frezat orizontală dublă.

tical. De obicei, aceste mașini de frezat sînt prevăzute cu motoare separate pentru mișcarea principală și mișcarea de avans.

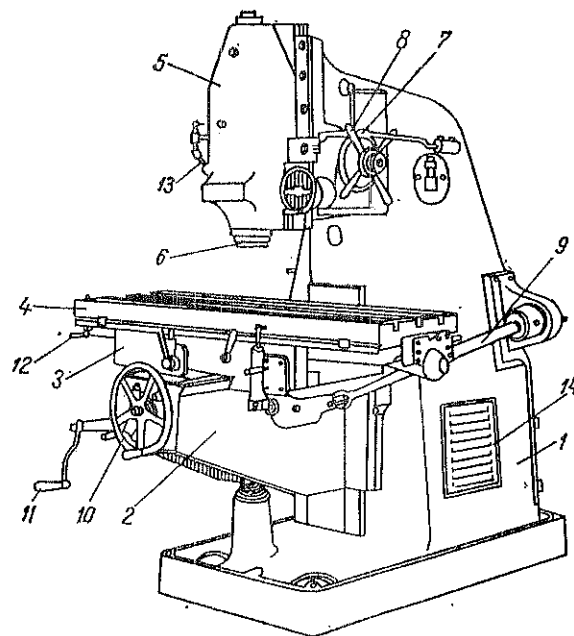


Fig. 7.91. Mașină de frezat verticală:

1 — batiu; 2 — consolă; 3 — sanie transversală; 4 — masă de lucru (sanie longitudinală); 5 — cap portfreză; 6 — arbore principal; 7 — manetă pentru schimbarea vitezelor arborelui principal; 8 — cruce pentru rotirea arborelui principal; 9 — arbore cardanic pentru avansul automat al mesei de lucru; 10 — roată de mină pentru deplasarea saniei transversale; 11 — manetă pentru deplasarea verticală a consolei cu masa de lucru; 12 — manetă pentru deplasarea longitudinală a mesei; 13 — conductă pentru lichid de răcire; 14 — ușă pentru controlul motorului.

— Mașina de frezat verticală (fig. 7.91). Se caracterizează prin poziția verticală a arborelui principal. La unele mașini, arborele principal este montat într-un cap portfreză care se poate deplasa vertical pe două ghidaje fixate pe batiu; la alte mașini există un cap portfreză fix sau rotitor (permițînd astfel frezarea suprafețelor oblice). Masa de lucru, împreună cu piesa, execută trei mișcări: longitudinală, transversală și verticală.

În țară se construiesc următoarele mașini de frezat verticale:

— mașina de frezat tip FV 1, cu masa de 1 250 × 300 mm, destinată operațiilor de frezare în fabricația de unicate sau de serie;

— mașina de frezat tip FV 320, cu consolă și suprafața mesei de 1 400 × 320 mm, destinată operațiilor de frezare pentru lucrări de sculărie și cu posibilități de realizare a unor cicluri de lucru automate liniare și dreptunghiulare în planul mesei;

— mașina de frezat tip FV 400, cu masa de lucru avînd dimensiunile de 1 600 × 400 mm și următoarele curse: longitudinală de 700 mm, transversală de 250 mm și verticală de 370 mm; turațiile arborelui principal 32—1 600 rot/min; mașina este dotată cu menghină rotativă, masă rotativă, cap divizor universal și dispozitiv de programare.

— Mașina de frezat universală. Această mașină este asemănătoare mașinii de frezat orizontale; diferă de aceasta prin aceea că în afară de mișcările în direcție longitudinală, transversală și verticală, masa de lucru se poate deplasa și circular. Ea mai este utilizată cu un cap divizor, cu ajutorul căruia se poate realiza frezarea elicoidală, tăierea roților dințate cilindrice și conice; capul divizor poate fi acționat și de la mecanismul de avans automat longitudinal. Mașina de frezat universală mai este prevăzută cu o păpușă mobilă și cu un cap portfreză demontabil care permite sculei să lucreze și în poziție verticală sau înclinată.

În fig. 7.92 este arătată o mașină de frezat universală cu suprafața de lucru a mesei de 1 250 × 320 mm. Cursele maxime ale acesteia sînt: 700 mm (longitudinal), 250 mm (transversal) și 370 mm (vertical), unghiul de rotire al mesei este de 45°. Limitele turațiilor arborelui principal sînt 30—1 500 rot/min, iar ale avansurilor longitudinale și transversale de 19—950 mm/min.

Schimbarea turațiilor arborelui principal și a avansurilor mesei se face prin monoselectoare, reducîndu-se la minimum numărul manetelor.

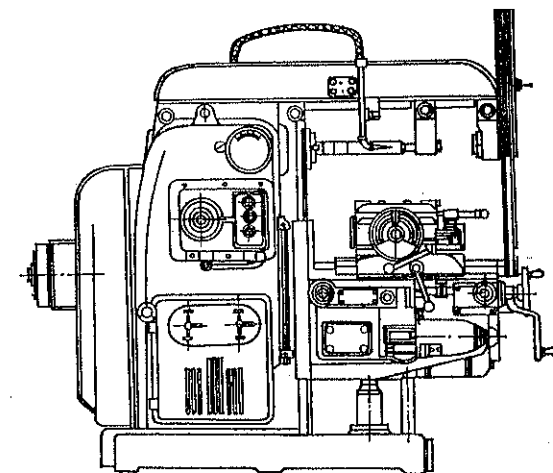


Fig. 7.92. Mașină de frezat universală.

Dintre mașinile de frezat universale fabricate în țară se menționează următoarele:

— mașina de frezat tip FU 1 cu suprafața de lucru a mesei de 1250×320 mm, pentru operațiile de frezare la lucrări de fabricație de unicat sau de serie;

— mașina de frezat tip FU 320 cu suprafața mesei de 1400×320 mm, destinată operațiilor de frezare pentru lucrări de sculărie, cu posibilități de realizare a unor cicluri de lucru automate liniare și dreptunghiulare în planul mesei;

— mașina de frezat tip FU 400 cu următoarele caracteristici tehnice: dimensiunile mesei de 1600×400 mm²; cursa longitudinală a mesei 1200 mm, cursa transversală 320 mm, cursa verticală 450 mm; turațiile arborelui principal 32—1600 rot/min; gama avansurilor, longitudinal și transversal 16—300 mm/min, iar vertical 5—266 mm/min; este echipată cu cap de frezat vertical, cap de mortezat, menghină rotativă, masă rotativă și dispozitiv de programare.

— *Mașina de frezat longitudinală, orizontală* (fig. 7.93). Această mașină are două axe portfreză orizontale deplasabile pe două coloane verticale fixe. Masa mașinii se deplasează longitudinal pe ghidajele batiului. Este o mașină cu mare capacitate de producție.

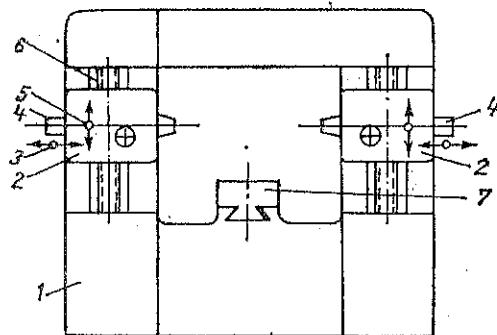


Fig. 7.93. Mașină de frezat longitudinală orizontală:

1 — batiu; 2 — cărucior portfreză; 3 — sensurile de deplasare a arborelui portfreză; 4 — arbore portfreză; 5 — sensurile de deplasare a căruciorului portfreză; 6 — coloană verticală fixă; 7 — sanie longitudinală.

ax orizontal portfreză (fig. 7.94). Pe ghidajele traversei orizontale alunecă alte două cărucioare cu câte un arbore vertical portfreză, astfel că piesele fixate pe masa longitudinală a mașinii pot fi frezate simultan, atât în plan orizontal, cât și în plan vertical.

Aceste mașini de frezat acționează deci și ca mașini de frezat orizontale și ca mașini de frezat verticale, de unde și denumirea lor. Ele sunt caracterizate printr-o mare productivitate, ceea ce le face foarte utile la lucrările de masă și de serie mare.

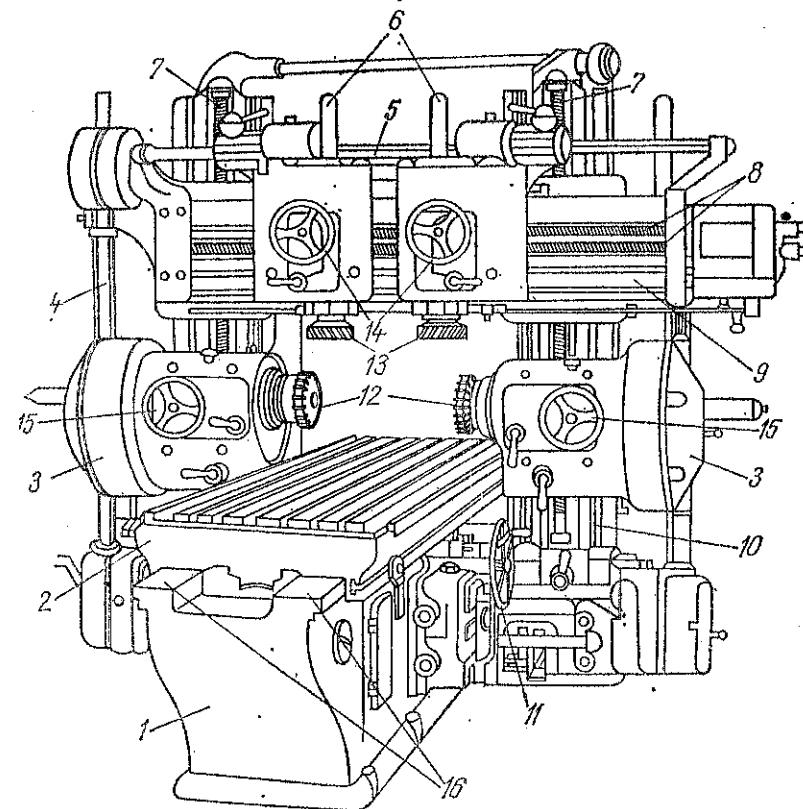


Fig. 7.94. Mașină de frezat longitudinală mixtă:

1 — batiu; 2 — cărucior longitudinal cu masa de lucru; 3 — cărucior cu ax portfreză orizontală și cu motor individual; 4 — ax intermediar de antrenare a cărucioarelor de pe montanți și a axelor portfreză verticale; 5 — ax de antrenare a axelor portfreză verticale; 6 — cărucior portfreză cu ax vertical; 7 — ax filetat pentru deplasarea pe verticală a traversei orizontale; 8 — ax filetat pentru deplasarea orizontală a cărucioarelor de pe traversă; 9 — traversă orizontală; 10 — coloană (montant) verticală cu ghidaje (glisier); 11 — roată de mină pentru deplasarea mesei pe batiu; 12 — frezele axelor portfreză orizontale; 13 — frezele axelor portfreză verticale; 14 — roată de mină pentru deplasarea axului portfreză vertical; 15 — roată de mină pentru deplasarea axului portfreză orizontal; 16 — ghidajele batiului pentru masa de lucru.

b. *Mașini de frezat speciale.* Aceste mașini se folosesc la prelucrări speciale sau numai pentru prelucrarea anumitor piese. Din această categorie fac parte mașinile de filetat exterior sau interior, mașinile de frezat axe canelate, mașinile de frezat prin copiere, mașinile de frezat

roți dințate prin rostogolire, roți dințate conice cu dinți curbilini, roți dințate cilindrice (frontale) cu dinți drepecți și elicoidali etc.

Pentru exemplificare, se descriu următoarele mașini de frezat speciale :

— *Mașina de frezat roți dințate prin rostogolire* (fig. 7.95). Pe ghidajele batiului culisează căruciorul portpiesă, prevăzut cu un arbore vertical pe care se centrează roțile dințate care urmează să fie executate prin procedeul de frezare prin rostogolire. Pe o coloană verticală culisează un cărucior pe care se mișcă transversal un cap de frezat; aceasta permite frezei să se deplaseze axial. Astfel, freza poate executa o mișcare principală de rotație, o mișcare de avans verticală și o deplasare orizontală-axială. Piesa de prelucrat primește un avans, longitudinal și, în același timp, se poate roti în jurul axului de centrare, datorită angrenării cu freza după procedeul de frezare prin rostogolire.

— *Mașina de frezat prin copiere* se utilizează la prelucrarea diferitelor suprafețe profilate, cît și pentru prelucrarea de reliefuri (frezare în spațiu).

Frezarea suprafețelor profilate prin copiere se poate executa cu ajutorul unui șablon sau al unui pantograf. La frezarea în spațiu, reproducerea exactă a reliefului piesei model se realizează cu un dispozitiv de copiere care urmărește cu ajutorul unui deget profilul modelului pe care-l transmite frezei deget prin mecanisme acționate electric, hidropneumatic sau electronic.

În fig. 7.96 este arătată o mașină de frezat prin copiere, cu ajutorul unui șablon. Piesa și șablonul se montează pe aceeași masă de

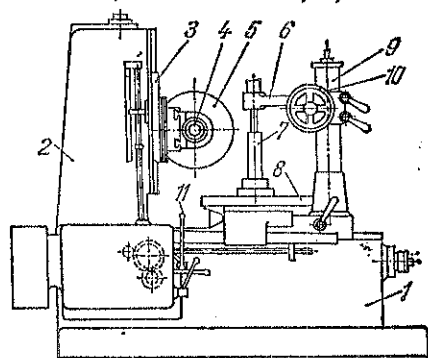


Fig. 7.95. Mașină de frezat roți dințate prin rostogolire :

1 - batiu; 2 - coloană; 3 - cărucior portpiesă; 4 - cap de frezat; 5 - freză; 6 - suport; 7 - ax de centrare a roții dințate; 8 - cărucior portpiesă; 9 - coloana căruciorului; 10 - roată de mină pentru deplasarea suportului; 11 - manetă de comandă.

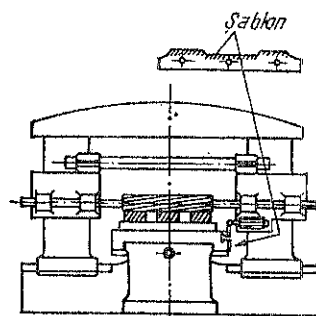


Fig. 7.96. Mașină de frezat prin copiere.

lucru. Cărucioarele portfreză urmăresc conturul șablonului cu ajutorul unei role.

Aceste mașini se folosesc la prelucrarea pieselor de serie (de exemplu, biebele de locomotivă care se pot prelucra în pachet).

În țara noastră se construiește mașina de frezat prin copiere cu două axe tip 2FC-105 cu suprafață de lucru a mesei de 300×600 mm. Ea este destinată operațiilor de frezare prin copiere în două coordonate. Copierea se realizează cu dorn de urmărire și șablon, prin deplasarea longitudinală a suportului arborilor portsculă și deplasarea transversală a mesei, acționate manual.

Dintre mașinile de frezat construite în R.S.R. se mai menționează cele executate la :

— I.M.U.A. București :

— mașina de frezat longitudinal, cu portal, tipul FLP 660, cu următoarele caracteristici tehnice : dimensiunile mesei $a \times b$ de $2\,200 \times 660$ mm; lungimea de frezare $L = 2\,000$ mm; cursa mesei $l = 2\,700$ mm; diametrul arborilor portsculă $d = 180$ mm; gama turațiilor arborilor portsculă $n = 12,5 \dots 630$ rot/min pentru frezarea specială; avansurile de lucru ale mesei $s = 16 \dots 960$ mm/min;

— mașina de frezat longitudinal, cu portal, tipul FLP 1 000 cu următoarele caracteristici tehnice : $a \times b = 4\,750 \times 1\,600$ mm; $L = 2\,500$ mm; $l = 3\,300$ mm; $d = 220$ mm; $n = 12,5 \dots 630$ rot/min; $n_1 = 24 \dots 1\,200$ rot/min; $s = 20 \dots 80$ mm/min;

— mașina de frezat longitudinal, cu portal, tipul FLP 1 600 cu următoarele caracteristici tehnice : $a \times b = 4\,750 \times 1\,600$ mm; $L = 4\,000$ mm; $l = 5\,100$ mm; $d = 270$ mm; $n = 12 \dots 600$ rot/min; $n_1 = 1\,000$ rot/min; $s = 20 \dots 800$ mm/min

— Întreprinderea Înfrățirea Oradea :

— mașina de frezat verticală FV 500, cu lățimea mesei de lucru $l = 500$ mm;

— mașina de frezat pentru sculărie FUS 22, cu $l = 220$ mm

— mașina de frezat pentru sculărie FUS 250, cu $l = 250$ mm;

— mașina de frezat pentru sculărie FUS 500, cu $l = 500$ mm.

— Întreprinderea Mecanică Cugir :

— mașinile de frezat universale : FU 32-HK cu dimensiuni mesei de lucru $l = 325$ mm și $L = 1\,525$ mm, FU 32×132-A ($l = 325$ mm; $L = 1\,325$ mm), FU 32×152-A ($l = 325$ mm; $L = 1\,525$ mm), FU 400 ($l = 400$ mm; $L = 1\,600$ mm), FU 35×160 ($l = 355$ mm; $L = 1\,600$ mm);

— mașinile de frezat verticale : FV 32-HK ($l = 325$ mm; $L = 1\,525$ mm), FV 32×152-A ($l = 325$ mm; $L = 1\,525$ mm)

- FV 400 ($l = 400$ mm; $L = 1\ 600$ mm), FV 35 \times 160-CR ($l = 355$ mm; $L = 1\ 600$ mm), FV 35 \times 160-CF ($l = 355$ mm; $L = 1\ 600$ mm);
- mașina de frezat caneluri FC 200 ($l = 200$ mm; $L = 1\ 000$ mm);
 - mașina de frezat orizontală de producție FO-P 25 \times 70 ($l = 250$ mm; $L = 700$ mm);
 - mașini de frezat roți dințate:
 - tipul FD 320 destinat frezării roților dințate cilindrice cu dinți drepti sau înclinați, a roților, melcate prin avans radial tangențial sau combinat, a roților de lanț, a arborilor dințati sau canelați etc.; caracteristicile tehnice ale mașinii sînt: diametrul maxim al roții dințate $D = 320$ mm; modulul maxim $m = 6$; gama turațiilor $n = 60 \dots 300$ rot/min; diametrul mesei $d = 320$ mm;
 - tipul FD 500 cu următoarele caracteristici tehnice: $D = 500$ mm; $m = 8$; $n = 56 \dots 280$ rot/min; $d = 500$ mm;
 - tipul FD 800 cu următoarele caracteristici tehnice: $D = 800$ mm; $m = 10$; $n = 40 \dots 220$ rot/min; $d = 800$ mm;
 - tipul FD 250 pentru $D = 250$ mm și $m = 4$;
 - tipul FD 500-P pentru frezare de precizie a danturii cu $D = 500$ mm și $m = 8$.

3.8.5. Capul divizor. 3.8.5.1. *Generalități.* Capul divizor este dispozitivul cel mai important al mașinilor de frezat universale; el se folosește ca dispozitiv auxiliar și la alte mașini-unelte (de exemplu, mașinile de ascuțit scule), precum și la trasarea pieselor.

Pentru mașinile de frezat universale, utilitatea capului divizor constă în fixarea pieselor și divizarea periferiei cilindrice sau conice a acestora într-un număr de părți, în general, egale. Astfel, la frezarea canalelor elicoidale de diferitele scule (de exemplu, burghie elicoidale, freze elicoidale etc.) sau la tăierea dinților roților dințate elicoidale, utilizarea capului divizor este indispensabilă.

3.8.5.2. *Clasificare, descriere și operații de divizare.* După felul construcției și după procedeul de divizare se dau ca exemple următoarele tipuri de cap divizor:

— *Capul divizor simplu cu roată dințată* (fig. 7.97) este tipul cel mai simplu de cap divizor folosit pentru divizarea directă; numărul de diviziuni posibile este egal cu numărul de dinți ai roții dințate sau cu submultiplii acestuia.

— *Capul divizor simplu cu disc divizor și roată dințată* (fig. 7.98). Roata dințată 2 și discul divizor 3, fixate rigid (între ele, sînt libere pe arborele aparatului. Prin rotirea alidadei 5, fixată strîns pe axul capului divizor, se obține mișcarea piesei care se prelucurează. Prin schimbarea discurilor divizoare sau a roților dințate se poate face orice

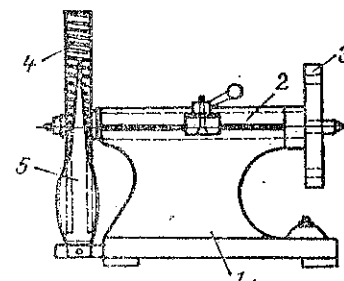


Fig. 7.97. Cap divizor simplu cu roată dințată:

1 — corp; 2 — ax; 3 — platou pentru fixarea piesei; 4 — roată dințată; 5 — arc opritor.

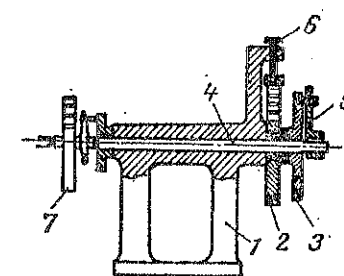


Fig. 7.98. Cap divizor simplu cu disc divizor și roată dințată:

1 — corp; 2 — roată dințată; 3 — disc divizor; 4 — ax; 5 — alidadă; 6 — opritor; 7 — piesă de frezat.

divizare dorită. Prin intermediul unui angrenaj convenabil de roți dințate, între arborele capului divizor și arborele filetat al mesei mașinii de frezat (fig. 7.99), se pot freza și canalele elicoidale.

Exemple numerice: 1. Să se frezeze dinții unei roți dințate cu 15 dinți.

Utilizând pe discul divizor un cerc cu numărul de găuri multiplu de 15, de exemplu cercul cu 120 găuri, se va deplasa cuiul de fixare a minierului, pentru fiecare dinte, din opt în opt găuri.

2. Să se taie la un alezor cinci canale elicoidale cu pasul de 280 mm, cunoscând că pasul șurubului conducător de la masa mașinii de frezat (v. fig. 7.99) este de 4 mm.

$$\text{Raportul de transmitere fiind } i = \frac{P}{p} = \frac{280}{4} = \frac{70}{1},$$

$$\text{se pot monta următoarele roți dințate: } i = \frac{70}{1} = \frac{2}{1} \cdot \frac{5}{1} \cdot \frac{7}{1} = \frac{80}{40} \cdot \frac{100}{20} \cdot \frac{175}{25}.$$

Roata de 80 de dinți se montează pe axul capului divizor a , iar roata de 25 dinți pe șurubul conducător al mesei b .

Cuiul de fixare al capului divizor se va roti din 20 în 20 găuri pe cercul de 100 găuri al discului divizor.

— *Capul divizor cu melc* (fig. 7.100) este prevăzut cu un melc 2, angrenat cu o roată melcată 3, fixată rigid pe axul 4 al capului divizor. Pe axul melcului 1 se fixează alidada 4 și discul divizor 6 care nu se poate roti. Rotind melcul cu o rotație, dacă roata melcată are n dinți, axul capului divizor se va roti cu $1/n$ dintr-o rotație. Cu acest cap divizor se poate obține un număr foarte mare de diviziuni: se pot de asemenea freza și canale elicoidale, dacă între axul melcului și șurubul conducător al mesei mașinii de frezat se intercalează un angrenaj cu roți dințate.

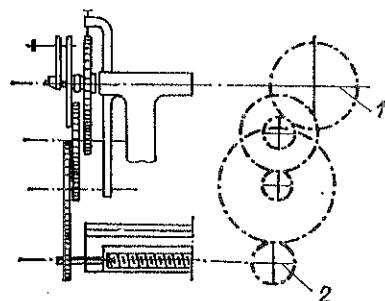


Fig. 7.99. Angrenaj între axul capului divizor și șurubul conducător:
1 — axa aparatului divizor; 2 — axa șurubului conducător al mesei.

Exemplul numeric. Să se taie o roată dințată cu 14 dinți, cunoscând că roata melcată a capului divizor are 40 de dinți.

Piesa trebuie rotită cu $\frac{40}{14} = 2 + \frac{12}{14}$ rotații.

Cu minierul care rotește melcul se vor executa două rotații complete, după care cuiul minierului se va deplasa cu 12 găuri pe cercul cu 14 găuri al discului divizor.

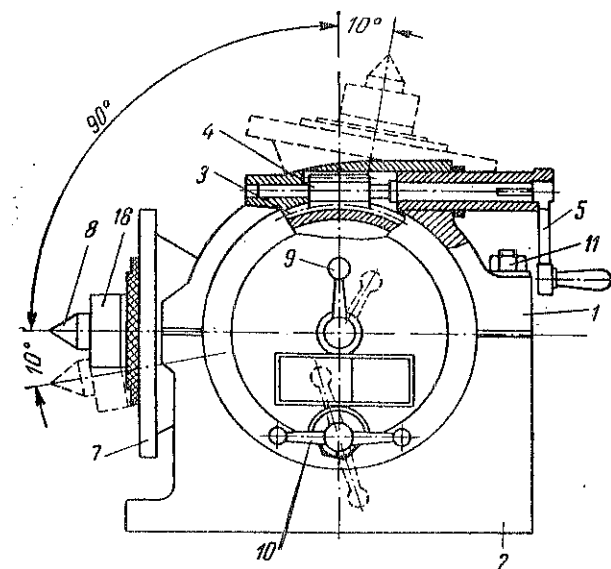


Fig. 7.101. Cap divizor universal cu discuri:
1 — corp principal; 2 — suport; 3 — roată melcată; 4 — melc; 5 — manivelă; 6 — ax de divizare; 7 — disc divizor; 8 — vîrf; 9 — minier pentru blocarea axului de divizare; 10 — minier pentru dezangrenarea roții elicoidale; 11 — piuliță de blocare a capului divizor la unghiul de înclinare dorit.

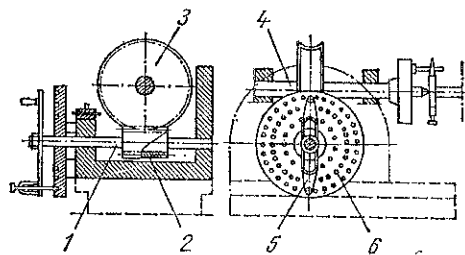


Fig. 7.100. Cap divizor cu melc.

— Capul divizor universal cu discuri. Spre deosebire de celelalte capete divizoare simple, corpul acestui cap divizor (fig. 7.101) se poate roti în jurul axei sale cu un unghi de 110° , permițînd astfel frezarea roților dințate conice și a pieselor care se prelucurează cu axul în poziție verticală.

Axul de divizare F este rotit cu ajutorul roții melcate L și a melcului K (fig. 7.102). În timpul frezării, axul de divizare se blochează prin stringerea minierului 9 (fig. 7.101).

La unele capete divizoare, roata melcată L poate fi scoasă din angrenarea cu melcul K pentru a face posibilă împărțirea directă cu discul divizor prin rotirea cu mina a axului de divizare F . Această

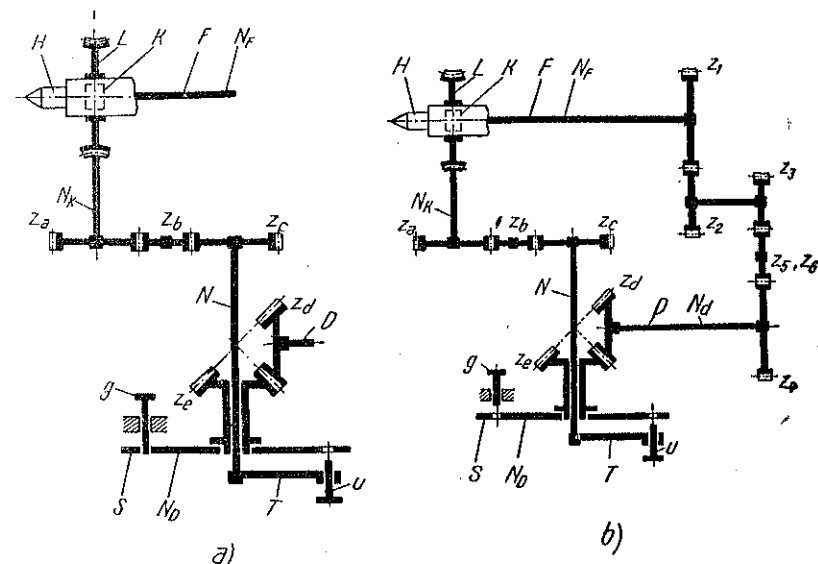


Fig. 7.102. Schema de funcționare a capului divizor universal cu discuri:

a — schemă pentru divizare indirectă; b — schemă pentru divizare diferențială; N_F — numărul de rotații ale axului de divizare F ; F — ax de divizare; K — melc; L — roată melcată; H — vîrf de prindere al piesei; N_D — numărul de rotații ale melcului; z_a, z_b și z_c — roți dințate cilindrice de transmisie; N_K — numărul de rotații ale discului divizor; S — disc de divizare; T — manivelă pentru rotirea melcului K ; u — cui de blocare a minivelei T ; E — ax; z_1, z_2, z_3, z_4, z_5 și z_7 — roți dințate de schimb pentru împărțirea diferențială.

dezangrenare a melcului se obține cu ajutorul unui excentric acționat de minierul 10 (v. fig. 7.101 și 7.102).

Majoritatea capetelor divizoare de acest tip au ca accesorii o păpușă mobilă, mai multe discuri divizoare (cu cercuri avînd 15, 16, 17, 18, 19, 20, 21, 23, 27, 29, 31, 33, 37, 39, 41, 43, 47 și 49 găuri) o trusă cu roți de schimb pentru împărțirea diferențială (roți cu 24, 28, 30, 32, 39, 40, 44, 48, 56, 64, 68, 82, 76, 86, 96, 100 și 127 dinți), o trusă cu roți de schimb pentru frezarea elicelor (roți cu 24, 28, 28, 30, 32, 39, 40, 44, 48, 48, 56, 64, 68, 72, 86, 96, 100 și 127 dinți și eventual și alte roți cu numere de dinți multiple de 5).

Cu ajutorul capului divizor universal cu discuri, divizarea se poate face prin: divizare directă, divizare indirectă și divizare diferențială.

a. **Divizare directă.** Axul de divizare avînd piesa fixată pe el (între virfuri sau universal) se rotește direct cu mina, regîndu-se poziția pentru divizarea dorită după cele 24 sau 60 găuri existente pe discul 7; în timpul frezării piesei, axul de divizare și discul 7 se blochează cu ajutorul unui cui de fixare.

Astfel, dacă axul cu discul se rotește, și cuiul se introduce din trei în trei găuri ale discului (cu 24 găuri), piesa care se prelucurează va fi divizată în opt părți egale.

b. **Divizare indirectă.** Schema de funcționare a capului divizor pentru divizarea indirectă este arătată în fig. 7.102, a. În acest caz, este necesară antrenarea roții melcate L și a melcului K cu ajutorul manivelei T , cum și folosirea unui disc divizor a cărui poziție se blochează prin cuiul de fixare g .

Pentru stabilirea formulelor de calcul pentru divizarea indirectă se notează, prin:

- i — raportul de transmitere al capului divizor;
- i_1 — raportul de transmitere pentru angrenajul melc-roată melcată;
- i_2 — raportul de transmitere al roților de transmisie z_c și z_a ;
- N_F — numărul de rotații ale axului de divizare F , respectiv al piesei de divizat;
- N_K — numărul de rotații ale melcului K ;
- M — numărul de începuturi ale melcului K ;
- z — numărul de dinți ai roții melcate L ;
- N — numărul de rotații ale manivelei T ;
- Z — numărul de divizări egale pe piesă;
- K_d — caracteristica capului divizor;
- N_g — numărul de găuri pentru mutarea indicatorului pe discul divizor S ;
- G — numărul găurilor unui cerc de pe discul divizor S .

Cunoscînd că, în general, în construcția capului divizor cu discuri, avem: $z_a = z_c$; $z = 40$ și $M = 1$, raportul de transmitere al capului divizor este dat de relația $i = i_1 \times i_2 = \frac{N_F}{N_K} \times \frac{N}{Z} = \frac{M}{z} \times \frac{z_c}{z_a} = \frac{M}{z}$.

Caracteristica capului divizor se ia: $K_d = \frac{1}{i} = \frac{Z}{M} = \frac{40}{1} = 40$.

În mod obișnuit, capetele divizoare se construiesc cu una din următoarele caracteristici: $K_d = 40$, $K_d = 60$ sau $K_d = 80$.

Formula de calcul I. Pentru o singură divizare $\left(\frac{1}{Z}$ din circumferință), manivela T trebuie rotită cu: $N_F = \frac{1 \text{ (rotație)}}{Z \text{ (numărul de împărțiri)}} = \frac{1}{Z}$ rotații.

În acest caz $K_d = \frac{N}{N_F} = \frac{N}{\frac{1}{Z}} = N \times Z$, deci $N = \frac{K_d}{Z}$. (1)

Exemplu: Să se taie un alez cu 25 dinți folosind un cap divizor a cărui caracteristică $K_d = 40m$.

Folosind formula (1), se obține $N = \frac{K_d}{Z} = \frac{40}{24} = 1 + \frac{16}{24} = 1 + \frac{2}{3} = 1 + \frac{12}{18}$.

S-a ales o fracție cu numitorul 18 pentru ca să se poată folosi unul din discurile de divizare pe care le are în mod obișnuit un cap divizor.

După tăierea primului canal al alezului, manivela T va face o rotație completă, plus 12 găuri pe cercul de 18 găuri al discului divizor.

Dacă se folosește indicatorul, atunci între limbi se vor lua $12 + 1 = 13$ găuri.

Formula de calcul II. Numărul de rotații ale manivelei se deduce din formula $N = N_g/G$. Din această relație rezultă numărul de găuri N_g pentru indicator:

$$N_g = G \cdot N = \frac{G \cdot K_d}{Z}. \quad (2)$$

Pentru simplificare, se descompun în prealabil valorile lui K_d și Z în factori primi și se simplifică factorii comuni. Se caută apoi numărul de găuri G de pe un cerc al unui disc în care să se cuprindă numerele prime rămase la numitorul fracției K_d/Z .

Exemplu: Să se taie o roată dințată cu 156 dinți, folosind un cap divizor cu caracteristica $K_d = 40$.

Aplicînd formula (2), se obține: $N_g = \frac{G \cdot K_d}{Z} = \frac{G \cdot 40}{156} = \frac{G \cdot 2 \cdot 2 \cdot 2 \cdot 5}{2 \cdot 2 \cdot 3 \cdot 13} = \frac{G \cdot 2 \cdot 5}{3 \cdot 13}$.

Se observă că numitorul ultimei fracții are aceiași factori ca și cercul cu 39 găuri; deci $G = 39$.

În acest caz: $N_g = \frac{G \cdot K_d}{Z} = \frac{39 \cdot 40}{156} = 10$.

Rezultă că manivela T se va deplasa pe cercul cu 39 găuri cu cite 10 găuri + (10 distanța între găuri) pentru fiecare divizare.

c. **Divizarea diferențială.** Schema de funcționare a capului divizor universal cu discuri în acest caz este arătată în fig. 7.102, b. Eliberînd discul divizor S de cuiul de blocare g și rotînd manivela T , se rotește melcul K și cu el roata melcată L și axul de divizare F . Axul de divizare transmite mai departe această mișcare cu ajutorul unui angrenaj deroți de schimb ($z_1, z_2, z_3, z_4, z_5, z_6$) la roțile conice (z_a, z_c) și acestea

la discul divizor S . După numărul de roți de schimb, mișcarea discului divizor se face în același sens, sau în sens contrar deplasării manivelei T cu care se antrenează axul de divizare. Se obține astfel o *mișcare diferențială* a manivelei T (și deci și axului de divizare) față de discul divizor S . După cum mișcarea discului divizor se face în același sens sau în sens contrar deplasării manivelei T , unghiul real de deplasare al axului de divizare este egal cu unghiul descris de manivela T , la care se adaugă sau se scade, după caz, unghiul de deplasare al discului divizor.

Principiul divizării diferențiale constă în alegerea unei divizări superioare sau inferioare (X) față de divizarea cerută (Z), care să se poată efectua prin metoda indicată cu unul din discurile S din trusa capului divizor și în calcularea unei transmisii cu roți de schimb prin care să se poată da discului S mișcarea necesară pentru divizarea cerută.

Prin această metodă de divizare diferențială se poate executa orice număr de divizări și în special acele divizări care reprezintă un număr prim (în cazurile când divizarea indirectă nu este posibilă).

Pentru calculul divizării diferențiale, se notează prin:

Z — numărul de divizări ale piesei (divizarea reală);

X — un număr oarecare, foarte apropiat de Z , și prin care se poate face divizarea prin metoda indirectă.

Formulele de calcul I. Considerând că z_1, z_2, z_3 și z_4 sînt roți de schimb; z_5 și z_6 sînt roți intermediare și $z_4/z_6 = 1$, formulele de calcul pentru numărul N de rotații ale manivelei T față de discul S și pentru raportul de transmitere i al roților de schimb sînt următoarele:

$$N = K_d/X \quad (3)$$

$$i = \frac{z_1}{z_2} \cdot \frac{z_3}{z_4} = \frac{K_d}{X} (X - Z). \quad (4)$$

Formulele de calcul II. Numărul de găuri N cu care se deplasează manivela T de cercul cu G găuri este $N_g = \frac{G \times K_d}{X}$, iar raportul de transmitere pentru roțile de schimb:

$$i = \frac{z_1}{z_2} \cdot \frac{z_3}{z_4} = \frac{N_g}{G} (X - Z). \quad (6)$$

Se menționează că formulele (4) și (6) se aplică dacă Z este mai mic decât X ; în cazul când Z este mai mare decât X , pentru a se evita valori negative pentru i , se aplică formulele:

$$i = \frac{K_d}{X} (Z - X), \quad (4')$$

$$i = \frac{N_g}{G} (Z - X). \quad (6')$$

Este de observat că în cazul când $Z < X$, discul divizor se rotește în același sens cu manivela T ; dacă $Z > X$, atunci discul divizor S se rotește în sens contrar celui al manivelei T .

Exemple: 1. Să se dividă un cerc într-un număr de 172,5 părți egale, cu ajutorul unui cap divizor universal a cărui caracteristică este $K_d = 40$.

Pentru acest număr de diviziuni (172,5) nefiind posibilă divizarea indirectă, se aplică metoda diferențială alegînd o divizare aparentă $X = 280$, care este apropiată de 172,5 și prin care divizarea indirectă este posibilă.

$$\text{Aplicînd formulele (3) și (4) se obține } N = \frac{K_d}{X} = \frac{40}{280} = \frac{1}{7} = \frac{3}{21};$$

$$i = \frac{K_d}{X} (X - Z) = \frac{40}{280} (280 - 273,5) = \frac{7,5}{7} = \frac{30}{28} = \frac{z_1}{z_4}.$$

Rezultă că se poate folosi discul cu 21 găuri ($G = 21$) pe care se va deplasa manivela pentru fiecare divizare cu 3 + 1 găuri ($N_g = 3$).

Ca roți de schimb se iau: roata $z_1 = 30$ dinți și roata $z_4 = 28$ dinți (v. fig. 7.102, b). În acest caz avînd $Z < X$, manivela T și discul S se vor roti în același sens.

2. Să se taie la o freză disc un număr de 63 dinți cu un cap divizor universal a cărui caracteristică este $K_d = 40$.

Dacă se ia $X = 64$ și se aplică această valoare în formulele (3) și (4), se obține:

$$N = \frac{K_d}{X} = \frac{40}{64} = \frac{5}{8} = \frac{15}{24} = \frac{20}{32}$$

și

$$i = \frac{K_d}{X} (X - Z) = \frac{40}{64} (64 - 63) = \frac{40}{64} = \frac{z_1}{z_4}.$$

Din prima formulă rezultă că $G = 24$ sau 32 și $N_g = 16$, respectiv 20.

Roțile de schimb vor fi: $z_1 = 40$ dinți și $z_4 = 64$ dinți.

Deoarece $X > Z$, discul S și manivela T se vor roti în sensuri opuse.

Dacă se ia $X = 62$, formulele (3) și (4') devin: $N = \frac{K_d}{X} = \frac{40}{62} = \frac{20}{31}$ și

$$i = \frac{K_d}{X} (Z - X) = \frac{40}{62} (63 - 62) = \frac{40}{62} = \frac{z_1}{z_4}.$$

Din prima formulă reiese că: $N_g = 20$ și $G = 31$.

Rezultă deci că manivela T se va roti cu 20 găuri pe cercul cu 31 găuri și va avea același sens de rotație cu cel al discului divizor.

Din a doua formulă se deduce că sînt necesare numai două roți de schimb și anume: $z_1 = 40$ dinți și $z_4 = 62$ dinți.

d. Tabelă generală de divizări. De obicei, în instrucțiunile de folosire a capului divizor universal sînt date și tabelele generale de divizări, din care se pot deduce pentru divizările diferențiale următoarele date:

- valorile lui X pentru divizarea aparentă;
- numărul de dinți ai roților de schimb, z_1, z_2, z_3 și z_4 ;
- numărul de dinți ai roților intermediare.

Capul divizor universal cu mecanism planetar.

Cu acest cap divizor (fig. 7.103) se pot face toate operațiile care se pot realiza cu capul divizor universal cu discuri divizoare. Față de acesta prezintă însă o serie de avantaje, deoarece nu necesită dis-

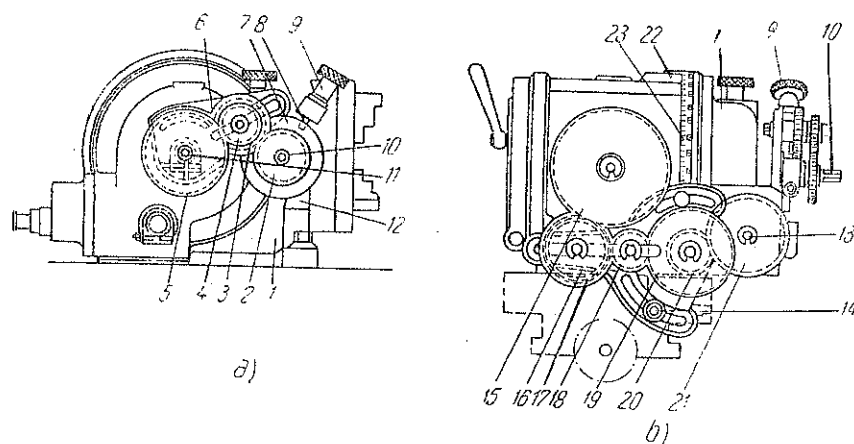


Fig. 7.103. Cap divizor universal cu mecanism planetar (v. și fig. 7.104):

a - vedere laterală; b - vedere din spate; 1 - carcasă; 2, 3, 4 și 5 - roți dințate de schimb pentru transmiterea manivelei; 6 - lăcă; 7 - discul; 8 - cuiul de blocare p ; 9 - buton pentru cuiul p ; 10 - axul t ; 11 - axul M ; 12 - axul de divizare F ; 13 și 14 - șuruburi de fixare; 15, 16, 17, 18, 19, 20, și 21 - roți dințate de schimb (z_1, z_2, z_3, z_4) și roți intermediare; 22 - corpul; 23 - cerc gradat pentru așezarea capului divizor la unghiul necesar.

curi divizoare și majoritatea divizărilor se pot face cu o singură rotație a manivelei T sau cu un număr întreg de rotații ale acesteia.

Caracteristic în construcția acestui cap divizor este prezența unui mecanism planetar, formulat dintr-o roată dințată cu dantură exterioră (z_b) și interioră (z_i), două roți satelite (z_s) și un disc (f) care poartă sateliții (fig. 7.104).

La divizarea indirectă (fig. 7.104 a), cuiul de blocare s este desfăcut, iar cuiul i este strâns, blocând astfel axul D și roata cu dantură dublă ($z_b - z_i$). Mișcarea de rotație a axului t cu ajutorul manivelei T este transmisă prin sateliții z_s și roata dințată z_p la axul de divizare F .

La divizarea diferențială (fig. 7.104, b) cuiul s și cuiul i sînt desfiute. În acest caz, roata cu dantură exterioră și interioră primește mișcarea de la manivela T , respectiv axul t , peste care se suprapune mișcarea suplimentară de la axul de divizare prin roțile de schimb ($z_{d1}, z_{d2}, z_{d3}, z_{d4}$) și axul D . Cu rezultanta acestor două mișcări se rotește axul de divizare F .

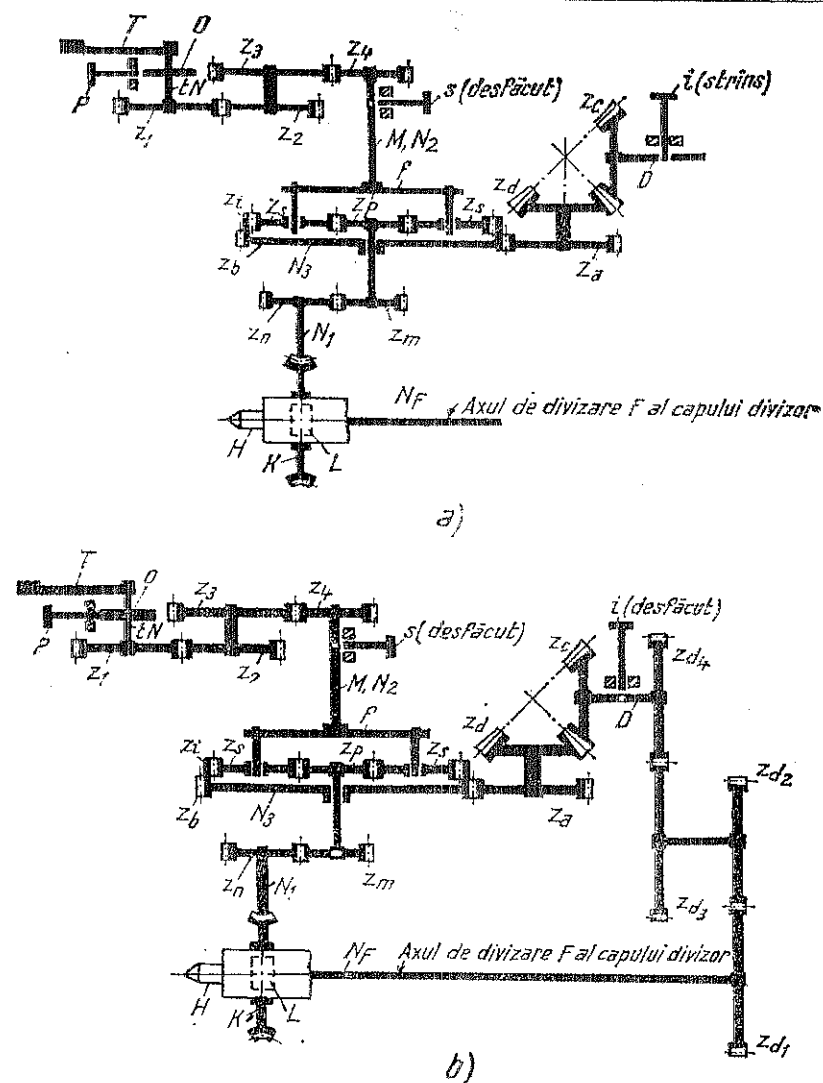


Fig. 7.104. Schema de funcționare a capului divizor universal cu mecanism planetar:

a - schemă pentru divizare indirectă; b - schemă pentru divizare diferențială; T - manivelă; \bullet - disc solidat cu axul t ; p - cui de blocare a axului t ; N_1 - numărul de rotații ale axului t și ale manivelei T ; z_1, z_2, z_3 și z_4 - roți de schimb pentru transmiterea manivelei T ; s - cui de blocare a axului M ; N_2 - numărul de rotații ale axului M ; f - discul care poartă sateliții; z_p, z_s - roți dințate satelite; $z_b - z_i$ - roată dințată cu dantură interioră și exterioră; N_3 - numărul de rotații ale roții cu dantură dublă; z_m, z_n și z_p - roți dințate; N_4 - numărul de rotații ale melcui K ; L - roată melcată; K - melc; F - axul de divizare; N - numărul de rotații ale axului de divizare; z_{d1}, z_{d2}, z_{d3} și z_{d4} - roți dințate de schimb pentru transmiterea diferențială; i - cui de fixare a axului D ; z_c și z_d - roți dințate conice.

La frezarea elicoidală, prin cuiul s strins se blochează discul f . Roata dințată cu dantură dublă primește, în acest caz, mișcarea de la șurubul conducător al mesei mașinii de frezat prin roțile de schimb ($z_{a1}, z_{a2}, z_{a3}, z_{a4}$) și axul D și o transmite prin sateliții z_i și z_p axului de divizare F . În acest caz, în fig. 7.104, b , legătura dintre axul de divizare F și roata dințată z_{a1} trebuie considerată întreruptă.

Trusele cu roți de schimb conțin următoarele roți dințate:

- pentru transmisia manivelei 20, 24, 25, 27, 28, 30, 36, 40, 45, 60, 74, 76, 78, 80, 84, 85, 86, 87, 88, 90, 92, 93, 94, 98, 100, 112 și 120;
- pentru transmisia diferențială: 20, 24, 25, 27, 28, 30, 32, 36, 40, 45, 48, 50, 60, 65, 70, 75, 80, 88, 90, 100, 120 și 127;
- pentru transmisia la frezarea elicelor: 20, 24, 27, 28, 30, 36, 40, 45, 50, 60, 65, 70, 75, 80, 88, 90 și 127.

Pentru calculul divizărilor se mențin notațiile indicate mai sus, precum și cele de la capul divizor universal cu discuri.

Divizarea indirectă. În acest caz, roțile de schimb pentru transmisia diferențială lipsesc, iar formula cu ajutorul căreia se calculează raportul de transmitere i pentru roțile de schimb din transmisia manivelei este

$$i = \frac{z_1 \cdot z_3}{z_2 \cdot z_4} = \frac{1}{N} \times \frac{15}{Z} \quad (7)$$

În acest caz caracteristica capului divizor este $K_d = 15$.

Deoarece capul divizor este construit pentru rotații complete ale manivelei T , valoarea lui N se ia: $N = 1, N = 2, N = 3$ etc., după cum se pot aranja roțile dințate z_1, z_2, z_3, z_4 . De obicei, roțile dințate se aranjează astfel ca să se obțină $N = 1$.

Exemple: 1. Să se determine roțile dințate de schimb de la transmisia manivelei T pentru divizarea periferiei unei roți în 90 părți, printr-o singură rotație a manivelei.

Înlocuind în formula (7) pe $N = 1$ și $Z = 90$ se obține:

$$i = \frac{z_1}{z_2} \cdot \frac{z_3}{z_4} = \frac{1}{1} \cdot \frac{15}{90} = \frac{3}{6} = \frac{5}{15} = \frac{30}{60} = \frac{40}{120}$$

Roțile de schimb vor fi: $z_1 = 30$; $z_2 = 60$; $z_3 = 40$ și $z_4 = 120$ dinți.

2. Să se stabilească roțile de schimb pentru $N = 1$ și $Z = 18$. Raportul de transmitere,

$$\text{în acest caz, este: } i = \frac{z_1}{z_2} \cdot \frac{z_3}{z_4} = \frac{1}{1} \cdot \frac{15}{18} = \frac{5}{6} = \frac{1}{1} \cdot \frac{15}{18} = \frac{30}{36}$$

Roțile de schimb vor fi: $z_1 = 30$ și $z_4 = 36$ dinți.

Dacă ele nu se pot angrena, se pot introduce roți de schimb intermediare, deoarece acestea nu schimbă raportul de transmitere.

Divizarea diferențială. Pentru un cap divizor universal cu mecanism planetar, rapoartele de transmitere i și i_d se calculează cu formulele

$$i = \frac{z_1}{z_2} \cdot \frac{z_3}{z_4} = \frac{1}{N} \cdot \frac{15}{X} \quad (8)$$

pentru raportul de transmitere al roților de schimb de la transmisia manivelei și $i_d = \frac{z_{a1} \cdot z_{a3}}{z_{a2} \cdot z_{a4}} = \frac{60}{X} (X - Z)$ (9)

pentru raportul de transmitere al roților de schimb de la transmisia diferențială.

Construcția acestui cap divizor este realizată pentru $K_d = 60$, $z_i = 3z_p$ și $z_b = 3z_a$ ($z_i = 66$ dinți; $z_p = 22$ dinți; $z_a = 28$ dinți și $z_b = 84$ dinți).

În cazul când $Z > X$, se va introduce în transmisia diferențială o roată intermediară pentru schimbarea sensului de rotire.

Exemplu: Să se dividă un disc în 171 părți folosind un cap divizor universal cu mecanism planetar (avind $K_d = 60$; $z_i = 3z_p$ și $z_b = 3z_a$) și printr-o singură rotație a manivelei ($N = 1$).

Divizarea $Z = 171$ neputîndu-se efectua prin metoda indirectă, se alege o divizare aparentă $X = 170$.

Înlocuind în formulele (8) și (9) valorile cunoscute din enunț, se obține:

— raportul de transmitere pentru transmisia manivelei

$$i = \frac{z_1}{z_2} \cdot \frac{z_3}{z_4} = \frac{1}{N} \cdot \frac{15}{X} = \frac{1}{1} \cdot \frac{15}{170} = \frac{3 \cdot 5}{10 \cdot 17} = \frac{24}{80} \cdot \frac{25}{85};$$

deci: $z_1 = 24$; $z_2 = 80$; $z_3 = 25$ și $z_4 = 85$ dinți;

— raportul de transmitere pentru transmisia diferențială:

$$i_d = \frac{60}{X} (X - Z) = \frac{60}{170} (170 - 171) = -\frac{60}{170} = -\frac{6}{17}.$$

Dacă se folosesc două angrenaje, dintre care unul trebuie să aibă roțile capului divizor ($z_{a3} = 27$ și $z_{a4} = 54$ dinți), atunci raportul de transmitere devine:

$$i_d = \frac{z_{a1}}{z_{a2}} \cdot \frac{27}{54} = \frac{6}{17}.$$

Rezultă că $\frac{z_{a1}}{z_{a2}} = \frac{54}{27} \cdot \frac{6}{17} = \frac{12}{17} = \frac{60}{85}$, deci: $z_{a1} = 60$ și $z_{a2} = 85$ dinți.

Pentru schimbarea sensului de rotație al axului de divizare F , se poate introduce o roată intermediară în transmisia diferențială.

Divizarea cu capul divizor optic. La executarea lucrărilor deosebit de precise, cum sînt, de exemplu, controlul capetelor divizoare, executarea diviziunilor de precizie etc., se folosesc capete divizoare optice. Un astfel de cap este prevăzut cu un microscop și cu scări gradate care permit măsurarea gradelor și a minutelor, făcînd astfel posibilă verificarea cu mare precizie a fracțiunilor de rotație.

3.8.5.3. Operații de frezare cu capul divizor. Cu ajutorul capului divizor universal se pot executa la mașina de frezat universală importante operații de frezare la diferite scule așchietoare (de exemplu, tarozi, alezoare, adîncitori, freze, burghie elicoidale etc.) sau la piese pentru

construcția aparatelor și mașinilor (de exemplu, roți dințate melcate, came cu profile în spirală, cremaliere cu dinți drepti sau înclinați etc.).

a. **Frezarea canalelor elicoidale.** În acest caz, piesa de prelucrat se prinde în capul divizor, care este fixat pe masa mașinii de frezat universal. Piesa execută o mișcare de avans longitudinală prin deplasarea masei mașinii și o mișcare de rotație imprimată de șurubul conducător al masei prin intermediul capului divizor al roților de schimb care stabilesc legătura cinematică între șurubul conducător și capul divizor.

Pentru realizarea pasului elicei de frezat (P_F) și a unghiului de înclinare (β) a canalului față de axa piesei, este necesar ca masa mașinii să fie rotită din poziția sa zero cu același unghi (β) și ca axul de divizare F al capului divizor să execute cu piesa o rotație completă, în timp ce masa mașinii de frezat înaintază cu un pas al elicei. Sensul de rotație se stabilește după înclinarea elicei.

La calcularea roților de schimb trebuie să se aibă în vedere tipul capului divizor care se folosește.

1. **Frezarea canalelor elicoidale cu cap divizor cu discuri** (fig. 7.105, a). Formulele de calcul pentru raportul de transmitere i_e al roților de schimb dintre șurubul conducător și capul divizor și pentru unghiul de înclinare β al mașinii de frezat sînt următoarele:

$$i_e = \frac{z_{e1} \cdot z_{e3}}{z_{e2} \cdot z_{e4}} = \frac{K_d \cdot p}{P_F} \quad (10)$$

$$\text{și } \tan \beta = \frac{L_c}{P_F} = \frac{\text{Lungimea cercului}}{\text{Pasul elicei}} = \frac{\pi \cdot D}{P_F}, \quad (11)$$

în care: K_d este caracteristica capului divizor;

P_F — pasul elicei de frezat;

$z_{e1}, z_{e2}, z_{e3}, z_{e4}$ — roțile de schimb dintre capul divizor și șurubul conducător;

p — pasul șurubului conducător al masei mașinii de frezat;

D — diametrul de divizare al piesei.

Trebuie avut în vedere că în formula (10) să se introducă p și P_F în aceleași unități de măsură, adică în milimetri sau în țoli.

Exemplu: Pe un cilindru cu diametrul de 100 mm să se taie o elice $P_F = 800$ mm, folosind un cap divizor cu discuri, avînd caracteristica $K_d = 40$ și o mașină de frezat universală cu pasul șurubului conducător $p = 6$ mm.

Înlocuind în formula (10) valorile cunoscute din enunț, se obține:

$$i_e = \frac{z_{e1} \cdot z_{e3}}{z_{e2} \cdot z_{e4}} = \frac{K_d \cdot p}{P_F} = \frac{40 \times 6}{800} = \frac{3}{10} = \frac{1}{2} \cdot \frac{3}{5} = \frac{24}{48} \cdot \frac{30}{50};$$

deci roțile de schimb vor fi: $z_{e1} = 24$; $z_{e2} = 48$; $z_{e3} = 30$; $z_{e4} = 50$ dinți.

Pentru stabilirea unghiului β se înlocuiesc în formula (11) valorile cunoscute, obținîndu-se: $\tan \beta = \frac{L_c}{P_F} = \frac{\pi \cdot D}{P_F} = \frac{3,14 \cdot 100}{800} = 0,3926$, iar $\beta = 21^\circ 26'$. (12)

Deci masa mașinii de frezat trebuie rotită cu $21^\circ 26'$.

Caracteristica mașinii de frezat (K_m). Dacă raportul de transmitere al roților de schimb dintre capul divizor și șurubul conducător al masei de frezat este 1/1, atunci, la o rotație a axului de divizare F , șurubul conducător execută 40 rotații (fig. 7.105 a). În acest caz, caracteristica mașinii de frezat este $K_m = K_d \cdot p$, în care p este pasul șurubului conducător al masei.

$$\text{Raportul roților de schimb se modifică: } i_e = \frac{K_d \cdot p}{P_F} = \frac{K_m}{P_F} \text{ sau: } i_e = \frac{z_{e1} \cdot z_{e3}}{z_{e2} \cdot z_{e4}} = \frac{K_m}{P_F}. \quad (13)$$

Exemplu: Să se taie un canal elicoidal cu pasul $P_F = 300$ mm la o mașină de frezat al cărei șurub conducător are pasul $p = 6$ mm. Caracteristica capului divizor $K_d = 40$. Raportul de transmitere se obține folosind formula (13):

$$i_e = \frac{K_m}{P_F} = \frac{z_{e1} \cdot z_{e3}}{z_{e2} \cdot z_{e4}} = \frac{240}{300} = \frac{8 \cdot 3}{5 \cdot 6} = \frac{64}{40} \cdot \frac{24}{48}.$$

Roțile de schimb vor fi deci: $z_{e1} = 64$; $z_{e2} = 40$; $z_{e3} = 24$ și $z_{e4} = 48$ dinți.

2. **Frezarea canalelor elicoidale cu cap divizor cu mecanism planetar.** Schema de funcționare a capului divizor, în acest caz, diferă de schema capului divizor pentru împărțirea diferențială numai prin faptul că manivela T este blocată prin cuiul s și roata z_{e1} nu este montată pe axul de divizare F , ci pe axul șurubului conducător al masei mașinii de frezat (fig. 7.105, b).

Formula de calcul pentru roțile de schimb, cînd se folosește un cap divizor cu caracteristica $K_d = 60$ și cu $z_1 = 3z_p$, $z_2 = 3z_d$, este următoarea: $i_e = \frac{z_{e1} \cdot z_{e3}}{z_{e2} \cdot z_{e4}} = \frac{60 \cdot p}{P_F}$. (14)

Exemplu: Să se taie un melc cu diametrul primitiv $D_p = 26$ mm și modulul $m = 28$, cunoscînd că șurubul conducător al masei mașinii de frezat are pasul $p = 4$ mm și capul divizor are caracteristica $K_d = 60$.

Raportul de transmitere al roților de schimb i_e se stabilește cu ajutorul formulei (14), în care se înlocuiește pasul melcului P_F prin produsul $\pi \cdot m$.

Înlocuind π cu fracția echivalentă $\frac{22}{7}$, rezultă $P_F = \pi \cdot m = \frac{22}{7} \cdot 28$.

Deci raportul de transmitere i_e se poate scrie sub forma:

$$i_e = \frac{z_{e1} \cdot z_{e3}}{z_{e2} \cdot z_{e4}} = \frac{60 \cdot p}{P_F} = \frac{60 \cdot 4}{\frac{22}{7} \cdot 28} = \frac{10 \cdot 6}{2 \cdot 11} = \frac{80}{20} \cdot \frac{60}{88}.$$

Roțile de schimb vor fi $z_{e1} = 80$; $z_{e2} = 20$; $z_{e3} = 60$ și $z_{e4} = 88$ dinți.
Pentru stabilirea unghiului de rotire a mesei mașinii de frezat se folosește formula (11):

$$\operatorname{tg} \beta = \frac{L}{P_E} = \frac{\pi \cdot D_p}{P_E} = \frac{3,14 \cdot 26}{\frac{22}{7} \cdot 28} = \frac{81,64}{88} = 0,9277, \text{ rezultînd}$$

$\beta \approx 42^\circ 50'$; masa mașinii de frezat trebuie deci rotită cu unghiul $42^\circ 50'$.

Este de observat că în cazurile cînd din calculul efectuat pentru raportul de transmitere i_e nu rezultă roți de schimb existente în trusa

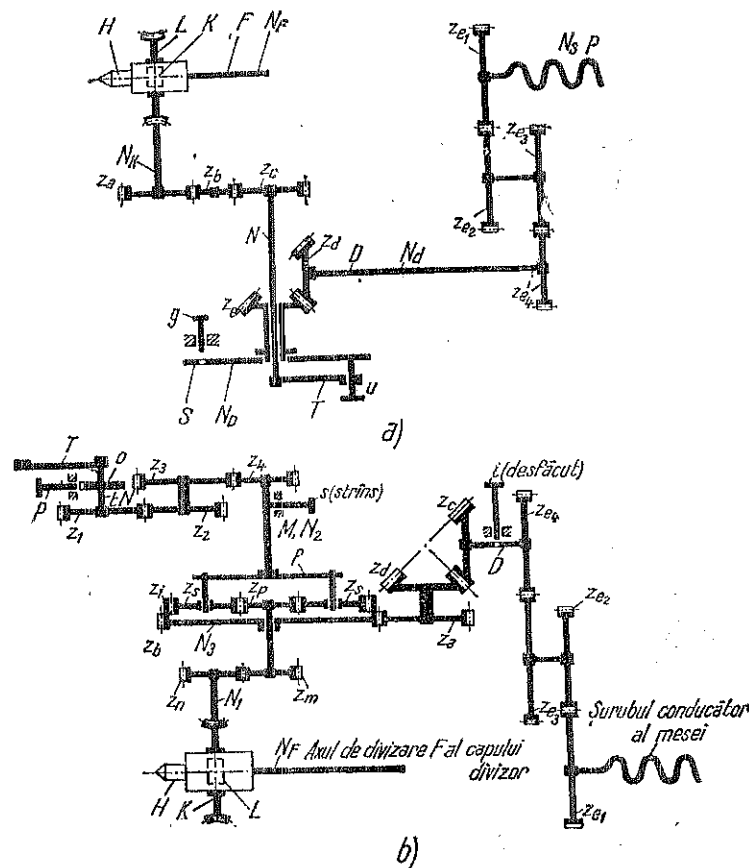


Fig. 7.105. Schema de funcționare a capului divizor universal pentru frezarea canalelor elicoidale:

a — cap divizor universal cu discuri; b — cap divizor universal cu mecanism planetar.

capului divizor, se obișnuiește să se facă legătura direct între șurubul conducător al mesei și axul de divizare al capului divizor.

În acest caz, formula pentru raportul de transmitere al roților

$$\text{de schimb devine: } i_e = \frac{p}{P_E}. \quad (15)$$

b. **Frezarea roților cilindrice cu dinți drepecți.** Operația de divizare a roții se face cu ajutorul capului divizor după unul din procedeele arătate în subcapitolul precedent (3.8.5.2).

Alegerea frezei modul se face după numărul de dinți ai roții, după modulul roții și după unghiul de angrenare α (20° , 15° sau $14^\circ 30'$); acest unghi este gravat pe frezele modul și se dă de către constructor.

c. **Frezarea roților cilindrice cu dinți înclinați.** Alegerea frezei modul se face după modulul normal m_n al roții și după numărul ideal de dinți Z_i ; unghiul de angrenare este cel indicat de constructor (20° , 15° sau $14^\circ 30'$).

Numărul ideal de dinți Z_i se stabilește cu formula:

$$Z_i = Z / \cos^3 \beta, \text{ în care} \quad (16)$$

Z este numărul de dinți ai roții, iar β — unghiul de înclinare a dinților.

Exemplu: La o mașină de frezat universală cu caracteristica $K_m = K_d \cdot p = 240$, cu ajutorul unui cap divizor universal cu discuri cu caracteristica $K_d = 40$, să se frezeze la o roata cilindrică dinți înclinați cu următoarele caracteristici: modulul normal $m_n = 3$; numărul de dinți $Z = 58$; unghiul de înclinare a dinților $\beta = 20^\circ$ și unghiul de angrenare $\alpha = 20^\circ$.

— Alegerea frezei modul. Numărul ideal de dinți se deduce din formula (16):

$$Z_i = \frac{Z}{\cos^3 \beta} = \frac{58}{\cos^3 20^\circ} = 70 \text{ dinți.}$$

Pentru $Z_i = 70$, corespundă o freză modul nr. 7.

— Frezarea elicei. Pentru determinarea raportului de transmitere i_e se aplică formula (13):

$$i_e = \frac{K_m}{P_E} = \frac{z_{e1}}{z_{e2}} \cdot \frac{z_{e3}}{z_{e4}},$$

$$\text{în care pasul elicei este } P_E = \frac{\pi \cdot D_d}{\operatorname{tg} \beta} = \frac{\pi \cdot m_a \cdot Z}{\operatorname{tg} \beta}.$$

Înlocuind modulul aparent $m_a = \frac{m_n}{\cos \beta} = \frac{3}{0,9397} = 3,19 \text{ mm}$, se obține:

$$P_E = \frac{3,14 \cdot 3,19 \cdot 58}{0,3640} = 1600 \text{ mm.}$$

Deci:

$$i_e = \frac{K_m}{P_E} = \frac{240}{1600} = \frac{3 \cdot 8}{8 \cdot 20} = \frac{24}{64} \cdot \frac{40}{100} = \frac{z_{e1}}{z_{e2}} \cdot \frac{z_{e3}}{z_{e4}}$$

și roțile de schimb vor fi: $z_{e1} = 24$; $z_{e2} = 64$; $z_{e3} = 40$ și $z_{e4} = 100$ dinți.

— *Divizarea cu capul divizor.* Se utilizează metoda indirectă, folosind formula (1):

$$N = \frac{K_d}{Z} = \frac{40}{58} = \frac{20}{29}.$$

Pentru fiecare divizare, maneta T se va deplasa peste 20 găuri pe cercul de 29 găuri.

— *Rotirea mesei mașinii de frezat.* Masa mașinii de frezat trebuie rotită cu unghiul $\beta = 20^\circ$.

d. Frezarea roților. La frezarea roților se procedează la fel ca la frezarea canalelor elicoidale. Formulele pentru rapoartele de transmitere din care se deduc roțile de schimb, precum și calculul pentru determinarea unghiului de înclinare al mesei mașinii de frezat sînt ca atare identice cu cele arătate la prelucrarea canalelor elicoidale.

Alegerea frezei modul se face după criteriile indicate la roțile dințate cilindrice cu dinți înclinați, adică pentru modulul normal, pentru numărul ideal de dinți și pentru unghiul de angrenare α° .

Exemplu: Să se frezeze dinții la două roți elicoidale care fac parte dintr-un angrenaj și ale căror axe se intersectează sub un unghi drept ($\pi = 90^\circ$), cunoscînd următoarele date: șurubul conducător al mesei mașinii de frezat are pasul $p = 5/8''$; caracteristica capului divizor este $K_d = 40$; $z_1 = 30$ dinți; $z_2 = 36$ dinți; înclinarea dinților este $\beta_1 = 50^\circ$ și $\beta_2 = 40^\circ$, iar $m_n = 2$.

Roata I

$$\text{Modulul aparent } m_{a1} = \frac{m_n}{\cos \beta_1} = \frac{2}{\cos 50^\circ} = \frac{2}{0,6428} = 3,111 \text{ mm.}$$

$$\text{Diametrul de divizare } D_{d1} = m_{a1} \cdot Z_1 = 3,111 \cdot 30 = 93,33 \text{ mm.}$$

$$\text{Pasul elicei } P_{E1} = \frac{\pi \cdot D_{d1}}{\text{tg } 50^\circ} = \frac{3,14 \cdot 93,33}{1,1918} = 246 \text{ mm} = 9\frac{11}{16}''.$$

Frezarea dinților Raportul roților de schimb i_{e1} rezultă din formula (10):

$$i_{e1} = \frac{K_d \cdot p}{P_{E1}} = \frac{40 \cdot \frac{5''}{8}}{9 \frac{11}{16}} = \frac{\frac{325}{8}}{\frac{155}{16}} = \frac{130}{31} \approx \frac{130}{32} = \frac{10 \cdot 13}{4 \cdot 8} = \frac{100}{40} \cdot \frac{38}{24}.$$

Roțile de schimb vor fi deci: $z_{e1} = 100$; $z_{e2} = 40$; $z_{e3} = 39$ și $z_{e4} = 24$ dinți.

$$\text{În acest caz: } P_{E1} = \frac{40 \cdot p}{i_{e1}} = \frac{40 \cdot \frac{5''}{8}}{\frac{130}{32}} = \frac{325 \cdot 32}{130 \cdot 8} = 10'' = 254 \text{ mm.}$$

Pasul elicei fiind mare, eroarea de 8 mm a pasului elicei nu are influență defavorabilă asupra calității angrenajului.

— *Rotirea mesei mașinii de frezat se face cu unghiul $\beta_1 = 50^\circ$.*

— *Alegerea frezei modul se face după numărul ideal de dinți care este dat de relația:*

$$Z_{t1} = \frac{z_1}{\cos^3 \beta_1} = \frac{30}{0,6428^3} \approx 112 \text{ dinți.}$$

Pentru acest număr de dinți corespunde freza modul nr. $7\frac{1}{2}$.

Roata II

$$\text{Modulul aparent } m_{a2} = \frac{m_n}{\cos \beta_2} = \frac{2}{\cos 40^\circ} = \frac{2}{0,7660} = 2,61 \text{ mm.}$$

$$\text{Diametrul de divizare } D_{d2} = m_{a2} \cdot Z_2 = 2,61 \cdot 36 = 83,96 \text{ mm,}$$

$$\text{Pasul elicei } P_{E2} = \frac{\pi \cdot D_{d2}}{\text{tg } \beta_2} = \frac{3,14 \cdot 83,96}{\text{tg } 40^\circ} = \frac{295,03}{0,8391} = 351 \text{ mm} \approx 12\frac{13}{16}''.$$

— *Frezarea dinților.* Raportul roților de schimb i_{e2} se deduce din formula (10):

$$i_{e2} = \frac{K_d \cdot p}{P_{E2}} = \frac{40 \cdot \frac{5''}{8}}{13 \frac{13}{16}} = \frac{\frac{325}{8}}{\frac{221}{16}} = \frac{650}{221} = \frac{25 \cdot 2}{17 \cdot 1} = \frac{100 \cdot 40}{68 \cdot 24} = \frac{100}{24} \cdot \frac{48}{68};$$

roțile de schimb vor fi: $z_{e1} = 100$; $z_{e2} = 24$; $z_{e3} = 48$; $z_{e4} = 68$ dinți.

— *Rotirea mesei mașinii de frezat se face cu unghiul $\beta_2 = 40^\circ$.*

— *Alegerea frezei modul se stabilește după numărul ideal de dinți;*

$$Z_{t2} = \frac{z_2}{\cos^3 \beta_2} = \frac{36}{0,7660^3} \approx 80 \text{ dinți.}$$

Pentru acest număr de dinți corespunde o freză modul nr. $7\frac{1}{2}$.

e. Frezarea roților elicoidale ale angrenajelor mele — roată melcată. Prelucrarea la mașina de frezat universală a acestor roți se realizează printr-o frezare de degroșare și o frezare de finisare.

Prima operație se realizează cu o freză frontală de profil trapezoidal apropiat; această freză avînd diametrul exterior egal cu cel al melcului cu care trebuie să angreneze roata, se așază deasupra și la mijlocul roții melcate. Masa mașinii de frezat, după ce se rotește cu unghiul de înclinare γ al elicei melcului, se ridică treptat, astfel ca adîncimea dintelui să fie aceeași stabilită pentru degroșare. După prelucrarea unui dinte, masa mașinii se coboară și cu ajutorul capului divizor piesa se rotește pentru poziția dintelui următor.

Unghiul de înclinare al elicei melcului se obține din relația:

$$\text{tg } \gamma = \frac{P_{E1}}{\pi \cdot D_{d1}} \quad (17)$$

în care: D_{d1} este diametrul de divizare al melcului;

P_{E1} — pasul melcului.

Pentru operația de finisare, roata cu dinții degroșați se montează liber între vârful capului divizor și al păpușii mobile. Freza melc cu același profil pe care-l are melcul se fixează în capul arborelui principal al mașinii de frezat și în poziție de angrenare cu roata dințată degroșată.

Masa mașinii de frezat se află în poziția zero. Pentru prelucrare, în timp ce freza se rotește, masa mașinii de frezat execută o mișcare de avans vertical până când se obține formarea dinților și distanța prevăzută între axele melcului și roții melcate.

În formulă, atât pasul cît și diametrul de divizare trebuie introduși în aceleași unități de măsură (milimetri sau țoli).

Exemplu: Să se determine unghiul de rotire a mesei mașinii de frezat pentru degroșarea unei roți melcate, cunoscînd următoarele elemente ale melcului cu care angrenează: pasul $P_{E1} = 2''$; diametrul de divizare $D_{d1} = 120$ mm și numărul de începuturi $M=1$.

Introducînd în formula (17) valorile date în enunț, se obține:

$$\operatorname{tg} \gamma = \frac{P_{E1}}{\pi \cdot D_{d1}} = \frac{2''}{\pi \cdot 120} = \frac{2 \cdot 25,4}{3,14 \cdot 120} = 0,134,$$

de unde $\gamma = 7^\circ 40'$.

f. Prelucrarea danturii frezelor frontale și unghiulare. La frezarea dinților frontali ai frezelor frontale sau unghiulare trebuie ca marginile tăietoare să aibă aceeași lățime pe toată lungimea lor. De asemenea trebuie să se asigure coincidența precisă a canalelor de pe suprafața frontală, cu cele tăiate anterior pe partea cilindrică sau conică a frezei. În acest scop, este necesar ca axul capului divizor să fie astfel înclinat încît primul canal frontal, adică acela care se frezează la prima

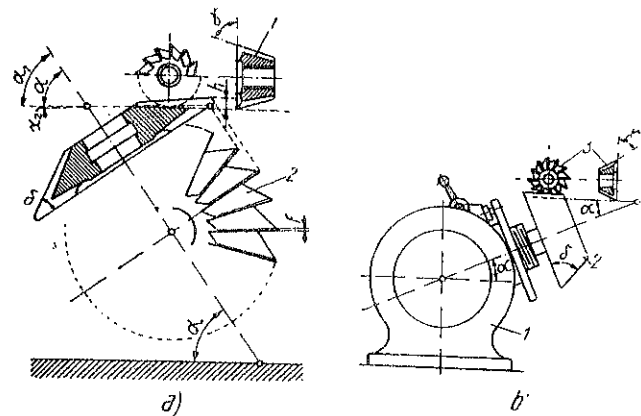


Fig. 7.106. Frezarea dinților la o freză frontală:
a - schemă de calcul; b - schemă de montaj a frezei de lucru și a frezei care se prelucurează; 1 - cap divizor; 2 - freză frontală care se prelucurează; 3 - freza de lucru; γ - unghiul la vîrf al frezei de lucru; β - pasul unghiular; h - adîncimea de frezare; f - lățimea fașetei.

în care: β este pasul unghiular al frezei ($\beta = 360^\circ/Z$) care se prelucurează;
 γ - unghiul la vîrf al frezei de lucru (de obicei acest unghi are valorile: $50^\circ, 55^\circ, 60^\circ, 65^\circ, 70^\circ, 75^\circ, 80^\circ, 85^\circ$);

trecere, să coincidă exact cu canalul respectiv frezat mai înainte pe partea cilindrică sau conică.

Înclinarea capului divizor depinde de numărul de dinți ai frezei ce se prelucurează și de unghiul frezei conice cu care se taie dinții.

1. Frezarea dinților frezelor frontale (fig. 7.106). Unghiul de înclinare a axului capului divizor se determină cu formula:

$$\cos \alpha = \operatorname{tg} \beta \cdot \operatorname{ctg} \gamma, \quad (18)$$

Z - numărul de dinți ai frezei care se prelucurează;

α - unghiul de înclinare a capului divizor.

Exemplu: Să se determine unghiul de înclinare a capului divizor, cunoscînd că freza frontală care se prelucurează are 30 dinți și unghiul la vîrf al frezei de lucru este de 75° .

Pasul unghiular β este dat de relația: $\beta = 360^\circ/Z = 360^\circ/30 = 12^\circ$.

Introducînd valorile cunoscute pentru β și γ în formula (18) se obține:

$$\cos \alpha = \operatorname{tg} 12^\circ \cdot \operatorname{ctg} 75^\circ = 0,2125 \cdot 0,2679 = 0,0569, \text{ sau } \alpha = 86^\circ 44'.$$

2. Frezarea dinților frezelor unghiulare conice (fig. 7.107). Unghiul de înclinare α al capului divizor este dat de relația:

$$\alpha = \alpha_1 - \alpha_2, \quad (19)$$

în care unghiurile α_1 și α_2 au următoarele valori:

$$\operatorname{tg} \alpha_1 = \cos \beta \cdot \operatorname{ctg} \delta; \quad (20)$$

$$\sin \alpha_2 = \operatorname{tg} \beta \cdot \operatorname{ctg} \gamma \cdot \sin \alpha_1 \quad (21)$$

în care δ este unghiul la vîrf al frezei care se prelucurează.

Exemplu: Să se determine unghiul de înclinare al capului divizor pentru prelucrarea unei freze unghiulare cu 26 dinți și unghiul la vîrf $\delta = 70^\circ$; unghiul la vîrf al frezei de lucru $\gamma = 70^\circ$.

Pasul unghiular β este dat de relația: $\beta = 360^\circ/26 = 13,84' = 13^\circ 50'$;

$$\operatorname{tg} \alpha_1 = \cos 13^\circ 50' \cdot \operatorname{ctg} 70^\circ = 0,9710 \cdot 0,3640 = 0,3534, \text{ de unde: } \alpha_1 \approx 19^\circ 40';$$

$$\sin \alpha_2 = \operatorname{tg} 13^\circ 50' \cdot \operatorname{ctg} 70^\circ \cdot \sin 19^\circ 40' = 0,2462 \cdot 0,3639 \cdot 0,3365 = 0,0301.$$

Rezultă că $\alpha_2 = 1^\circ 40'$. Înlocuind în formula (19) valorile lui α_1 și α_2 , se obține $\alpha = \alpha_1 - \alpha_2 = 19^\circ 40' - 1^\circ 40' = 18^\circ$.

Deci capul divizor trebuie înclinat față de orizontală cu un unghi de 18° .

3. Frezarea dinților frezelor unghiulare biconice. În acest caz, se determină separat unghiul de înclinare pentru fiecare din cele două danturi ale frezei unghiulare biconice (fig. 7.108).

Valorile unghiului de înclinare α se determină în ambele cazuri cu aceleași formule (19), (20) și (21) ca în cazul precedent.

Formulele de calcul pentru cele două poziții de înclinare ale capului divizor vor fi deci:

P o z i ț i a I:

$$\alpha' = \alpha'_1 - \alpha'_2;$$

$$\operatorname{tg} \alpha'_1 = \cos \beta \cdot \operatorname{ctg} \delta';$$

$$\sin \alpha'_2 = \operatorname{tg} \beta \cdot \operatorname{ctg} \gamma \cdot \sin \alpha'_1$$

P o z i ț i a II

$$\alpha'' = \alpha''_1 - \alpha''_2;$$

$$\operatorname{tg} \alpha''_1 = \cos \beta \cdot \operatorname{ctg} \delta'';$$

$$\sin \alpha''_2 = \operatorname{tg} \beta \cdot \operatorname{ctg} \gamma \cdot \sin \alpha''_1.$$

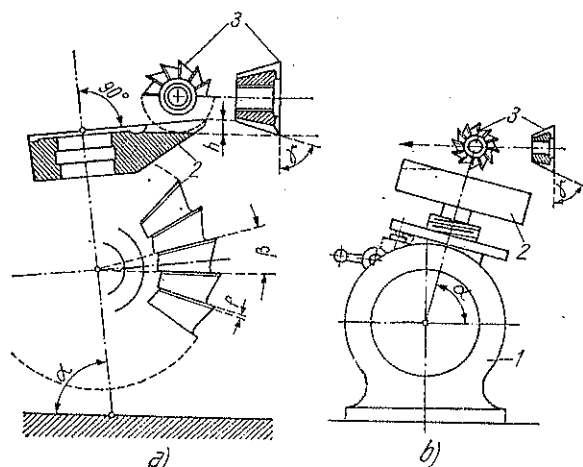


Fig. 7.107. Frezarea dinților la o freză unghiulară
a — schema de calcul; b — schema de montaj a frezei de lucru și a frezei care se prelucurează; γ — unghiul la vîrf al frezei unghiulare. Celelalte notații ca pe figura 7.106.

3.9. RABOTAREA

3.9.1. Generalități. Rabotarea este o prelucrare prin care dimensiunile unei piese brute sau semifabricate se reduc prin așchieri orizontale succesive, pentru a se obține suprafețe de obicei plane și, uneori, cu ajutorul dispozitivelor speciale, suprafețe cilindrice, suprafețe conice, roți dințate etc.

Mașinile-unelte folosite în acest scop sînt caracterizate printr-o mișcare principală rectilinie alternativă, efectuată de masa port-piesă (la raboteze) sau de dispozitivul port-cuțit (la șepinguri) și de o mișcare de avans rectilinie intermitentă perpendiculară pe prima, aceasta fiind efectuată după fiecare cursă de așchiere de către sculă (la raboteze) sau piesă (la șepinguri).

Mașinile de rabotat au, în general, o cursă activă, aceasta fiind urmată de o cursă în gol, de întoarcere; cursa de întoarcere se face de obicei cu o viteză mai mare decît viteza de la cursa activă, cînd are loc așchieria.

Înainte de a începe cursa activă următoare, are loc mișcarea de avans, transversal, făcîndu-se o deplasare a piesei (la șeping) sau a cuțitului (la raboteză). O cursă activă și o cursă în gol formează o cursă dublă. Cuțitele de rabotat sînt solicitate în timpul așchierii la încovoiere; ele se aseamănă foarte mult cu cuțitele de strung în ce privește forma geometrică a tăișului. Modul de lucru al cuțitului de rabotat, adîncimea

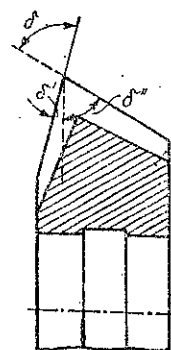


Fig. 7.108

de așchiere (t), avansul (s) și dimensiunile așchii (a și b) sînt arătate în fig. 7.109.

Cursa L a cuțitului sau a mesei este mai lungă decît lungimea piesei care se prelucurează; această depășire la ambele capete este necesară pentru a se face posibilă atît angajarea cît și degajarea cuțitului.

Cursa longitudinală este dată de relația $L = l + d$, în care: L este lungimea cursei cuțitului sau a mesei mașinii de rabotat;

l — lungimea de prelucrat a piesei;

d — depășirea totală la ambele capete ale piesei.

În tabela 7.45 sînt indicate valorile pentru depășirea totală, în funcție de lungimea de prelucrat a piesei.

Depășirea l_1 în sensul lățimii B a piesei se stabilește cu ajutorul formulei $l_1 = t/\tan \alpha$, în care α este unghiul de atac principal al cuțitului de rabotat.

Depășirea l_2 se ia de 2—5 mm; valorile mici se referă la operațiile de netezire, iar cele mari la degroșare.

3.9.2. Operații de rabotare. Operațiile de rabotare sînt denumite după mișcările relative între unealtă și piesă, astfel: operații de rabotare longitudinală, operații de rabotare transversală și operații de rabotare speciale.

— *Rabotarea longitudinală* este prelucrarea de așchiere executată de obicei mecanic cu ajutorul mașinilor de rabotat longitudinal. Mișcarea principală rectilinie alternativă în plan orizontal este executată de către masa mașinii-unelte împreună cu piesa fixată strîns pe ea. Cuțitul de rabotat fixat în suportul port-cuțit execută mișcarea secundară atît pentru avansul transversal perpendicular pe direcția mișcării principale, cît și pentru avansul de pătrundere perpendicular

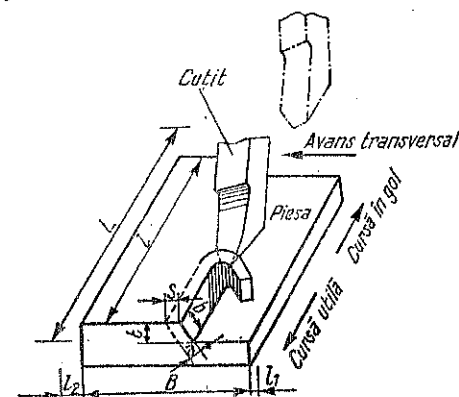


Fig. 7.109

Tabela 7.45. Depășirile cuțitului sau ale mesei de rabotare

| Prelucrarea se efectuează la mașina de rabotat | Lungimea de prelucrat l , mm | Depășirea totală d , mm |
|--|--------------------------------|---------------------------|
| Longitudinal (raboteză) | sub 2 000 | 200 |
| | 2 000 — 4 000 | 200—325 |
| | 4 000 — 6 000 | 330—375 |
| | 6 000 — 10 000 | 390—475 |
| Transversal (șeping) | sub 100 | 35 |
| | 100—200 | 48 |
| | 200—300 | 58 |
| | peste 300 | 75 |

pe suprafața prelucrată. Se folosește în general la prelucrarea pieselor de dimensiuni sau greutate mari.

— *Rabotarea transversală.* Această prelucrare se execută mecanic, cu ajutorul mașinilor de rabotat transversal, numite și șepinguri. Ea se deosebește de rabotarea longitudinală prin aceea că mișcarea principală rectilinie alternativă în plan orizontal este executată de către căruciorul port-unealtă al mașinii o dată cu cuțitul de rabotat, în timp ce mașina împreună cu piesa execută mișcarea secundară pentru avansul transversal. Rabotarea transversală este folosită la prelucrarea pieselor de dimensiuni mici.

— *Rabotarea specială.* În acest caz, în afară de mișcările principale și secundare rectilinii, mai apar și alte mișcări (de exemplu, circulară) executate de masa mașinii de rabotat transversal, sau de port-unealtă la mașinile de rabotat longitudinal. Operații de rabotare specială sînt și prelucrările de rabotare a danturii roților dințate.

După gradul de netezime al suprafeței care se prelucurează, se deosebesc: rabotarea de degroșare și rabotarea de finisare.

Rabotarea de finisare se execută cu avans și viteză de așchiere mici.

3.9.3. Regim de așchiere. *Viteza medie de așchiere.* În calculele pentru stabilirea regimului de lucru este necesar să se țină seama de viteza medie a cursei active, viteza medie a cursei în gol și viteza medie a unei curse duble.

Astfel, viteza medie a unei curse duble v este dată de relația:

$$v = \frac{L \cdot n}{1000} \left(1 + \frac{v_a}{v_g} \right) \text{ [m/min]}, \quad (1)$$

în care: L este lungimea cursei (inclusiv depășirea totală d), în mm;

n — numărul de curse duble pe minut;

v_a — viteza medie a cursei active, în m/min;

v_g — viteza medie a cursei în gol, în m/min.

Această formulă este aplicabilă la rabotezele și șepingurile a căror cursă în gol se face cu o viteză mai mare decât aceea a curselor active. De obicei, cursa în gol se face cu viteză de 1,5–3 ori mai mare decât viteza cursei active.

La mașinile-unelte, la care aceste viteze sînt egale, formula de mai sus devine: $v = \frac{2L \cdot n}{1000}$ [m/min]. (2)

Numărul curselor duble pe minut (c.d./min) ale cuțitului de șeping sau ale mesei la rabotare se deduce din formulele (1) și (2):

$$n = \frac{1000 \cdot v}{L} \cdot \frac{1}{1 + v_a/v_g}, \text{ cînd } v_a < v_g \quad (3)$$

și

$$n = \frac{1000 \cdot v}{2L}, \text{ cînd } v_a = v_g. \quad (4)$$

Vitezele de așchiere pentru rabotarea longitudinală de finisare și degroșare sînt indicate în tabelele 7.46 și 7.47. Aceste viteze de așchiere, micșorate cu 20%, sînt valabile și pentru prelucrarea transversală.

Tabela 7.46. Viteza de așchiere pentru rabotarea longitudinală de finisare

| Avansul s , mm/c.d. | Adîncimea de aşchiere', mm | | | | | |
|--------------------------|---------------------------------|----|-----|----|-----|----|
| | 1,0 | | 1,5 | | 2,0 | |
| | Viteza de aşchiere v , m/min. | | | | | |
| | I | II | I | II | I | II |
| 0,10 | — | 49 | — | 47 | — | — |
| 0,15 | 79 | 44 | 71 | 41 | 66 | 36 |
| 0,20 | 68 | 40 | 62 | 37 | 57 | 36 |
| 0,25 | 61 | 37 | 55 | 35 | 51 | 34 |
| 0,30 | 54 | 35 | 49 | 33 | 45 | 32 |
| 0,40 | — | — | 40 | 30 | 37 | 29 |
| 0,60 | — | — | — | — | 29 | 26 |

Tabela 7.47. Viteza de așchiere pentru rabotarea longitudinală de degroșare

| Avansul s , mm/c.d. | Adâncimea de aşchiere, t , mm | | | | | | | |
|--------------------------|-----------------------------------|----|-----|----|-----|----|-----|----|
| | 3,0 | | 4,0 | | 6,0 | | 8,0 | |
| | Vitezele de aşchiere v , m/min. | | | | | | | |
| | I | II | I | II | I | II | I | II |
| 0,4 | 33 | 29 | 31 | 27 | 28 | 26 | — | — |
| 0,5 | 29 | 26 | 27 | 25 | 24 | 24 | 23 | 23 |
| 0,7 | 23 | 23 | 22 | 22 | 20 | 21 | 18 | 20 |
| 1,0 | 18 | 20 | 17 | 19 | 15 | 18 | 14 | 17 |
| 1,4 | — | — | 14 | 17 | 12 | 16 | 11 | 15 |
| 2,0 | — | — | — | — | 10 | 14 | 9 | 11 |
| 3,0 | — | — | — | — | — | — | 7 | 13 |

Observații. 1. Cifrele din coloana I se referă la oțel carbon $\sigma_r = 75 \text{ kg/mm}^2$, iar cele din coloana II la fontă cenușie cu $HB = 190$. 2. La prelucrare se folosesc cuțite din oțel rapid.

Observațiile de la tabela 7.40 sînt valabile și pentru acest caz.

Avansul este mărimea deplasării transversale a cuțitului (la raboteze) sau a mesei (la șepinguri) pentru fiecare cursă dublă. În tabela 7.48 sînt indicate avansurile pentru degroșarea suprafețelor plane.

Tabela 7.48. Avansuri pentru rabotarea de degroșare a suprafețelor plane

| Materialul piesei | Adîncimea de așchiere t , mm | | | |
|--|--------------------------------|---------|---------|---------|
| | 3,0 | 4,0 | 6,0 | 8,0 |
| | Avansul s , mm/c.d. | | | |
| Oțel carbon cu $\sigma_r \leq 60 \text{ kgf/mm}^2$ | 1,0–1,2 | 0,8–1,0 | 0,6–0,8 | 0,5–0,7 |
| Idem $\sigma_r > 60 \text{ kgf/mm}^2$ | 0,8–1,0 | 0,6–0,8 | 0,5–0,7 | 0,3–0,5 |
| Oțel aliat $\sigma_r \leq 70 \text{ kgf/mm}^2$ | 0,8–1,0 | 0,6–0,7 | 0,5–0,6 | 0,3–0,4 |
| Idem $\sigma_r > 70 \text{ kgf/mm}^2$ | 0,6–1,8 | 0,4–0,6 | 0,3–0,5 | 0,2–0,4 |
| Fontă, cu $HB \leq 180$ | 1,2–1,4 | 1,0–1,2 | 0,8–1,0 | 0,6–0,8 |
| Idem $HB = 181 \dots 220$ | 1,0–1,2 | 0,8–1,0 | 0,6–0,8 | 0,5–0,7 |

În tabela 7.49 sînt arătate avansurile pentru finisare cu cuțite normale și late pentru diferite calități ale suprafeței de prelucrat; cifrele din coloana I se referă la fontă ($HB=100 \dots 140$), oțel carbon de construcții

Tabela 7.49. Avansuri pentru rabotarea de finisare

| Calitatea suprafeței de prelucrare | Tipul cuțitului de rabotat | Adâncimea de așchiere t , mm | Materialul piesei | | |
|---|----------------------------|--------------------------------|-----------------------|----------|----------|
| | | | I | II | III |
| | | | Avansul s , mm/c.d. | | |
| Pregătită pentru finisare | Normal | 2,0 | 0,6–0,8 | 0,5–0,7 | 0,4–0,6 |
| Curată, cu urme grosolane de prelucrare | Normal | 1,5 | 0,3–0,6 | 0,25–0,5 | 0,2–0,4 |
| Curată, cu urme de prelucrare puțin vizibile | Normal | 1,0 | 0,25–0,5 | 0,2–0,4 | 0,15–0,3 |
| Pregătită pentru rectificare | Lat | 0,5 | 1,0–4,0 | 1,0–3,0 | 1,0–2,5 |
| Definitivă, fără nici o prelucrare ulterioară | Lat | 0,3 | 1,0–6,0 | 1,0–5,0 | 1,0–4,0 |

($\sigma_r = 30 \dots 40 \text{ kgf/mm}^2$), bronz ($\sigma_r = 20 \dots 30 \text{ kgf/mm}^2$), bronz de aluminiu; cifrele din coloana II se referă la fontă ($HB = 141 \dots 180$), oțel carbon de construcții ($\sigma_r = 41 \dots 70 \text{ kgf/mm}^2$), oțel aliat de construcție ($\sigma_r = 50 \dots 70 \text{ kgf/mm}^2$), oțel turnat și bronz ($\sigma_r > 30 \text{ kgf/mm}^2$); cifrele din coloana III sînt valabile pentru fontă ($HB = 180 \dots 220$), oțel carbon de construcții ($\sigma_r > 70 \text{ kgf/mm}^2$), oțel aliat de construcție ($\sigma_r > 70 \text{ kgf/mm}^2$). În tabelele 7.48 și 7.49 sînt indicate avansurile pentru rabotarea longitudinală. Pentru rabotarea transversală (la șeping), valorile acestor avansuri trebuie înmulțite cu 0,8.

3.9.4. Mașini de rabotat. 3.9.4.1 *Generalități* Mașinile de rabotat sînt mașini-unelte pentru prelucrarea suprafețelor de obicei plane și uneori curbilinii sau cu forme speciale (de exemplu, flancurile dinților la roți dințate).

Așchieria se realizează cu ajutorul cuțitelor fixate perpendicular sau aproape perpendicular pe direcția mișcării principale.

4.9.4.2. Clasificare și descriere. După deplasările efectuate de masa de lucru port-piesă sau de suportul port-cuțit, în raport cu mișcarea principală, mașinile de rabotat se clasifică în mașini de rabotat longitudinal (raboteze), mașini de rabotat transversal (șepinguri) și mașini de rabotat speciale.

a. Mașini de rabotat longitudinal. Aceste mașini-unelte poartă în mod obișnuit numirea prescurtată de raboteze. Masa port-piesă execută mișcarea principală rectilinie alternativă, iar suportul port-cuțit execută mișcarea secundară pentru avansul transversal perpendicular pe direcția mișcării principale și avansul de pătrundere perpendicular pe supra-

fața prelucrată. Rabotezele se folosesc de obicei la prelucrarea suprafețelor plane de dimensiuni mari sau cu greutate mare.

La fixarea pieselor pe masa rabotezei, trebuie observat ca acestea să nu fie deformată de forțele de strângere.

Piese de dimensiuni mari din fontă suferă, de obicei, după rabotarea de degroșare, deformații datorită tensiunilor interne. Pentru eliminarea acestor deformații, piesele se supun înaintea operațiilor de finisare unui tratament termic de îmbătrînire artificială sau se depozitează pentru îmbătrînire naturală.

Rabotezele se compun din următoarele părți principale (fig. 7.110):

— un batiu rigid din fontă 1, fixat solid de fundație prin șuruburi de ancorare, pe suprafața căruia se găsesc două canale de ghidare, în care alunecă tălpile mesei de susținere a pieselor de prelucrat;

— o masă mobilă 2 cu mișcare rectilinie alternativă, pe care se fixează piesele care urmează a fi rabotate;

— unul sau, în general, doi montanți 3, fixați rigid de fundație și batiu; la rabotezele cu doi montanți, extremitățile superioare sînt solidarizate cu o

traversă orizontală 5, deplasabilă vertical pe ghidajele montanților și care permite deplasarea transversală sau circulară a suportului port-cuțit.

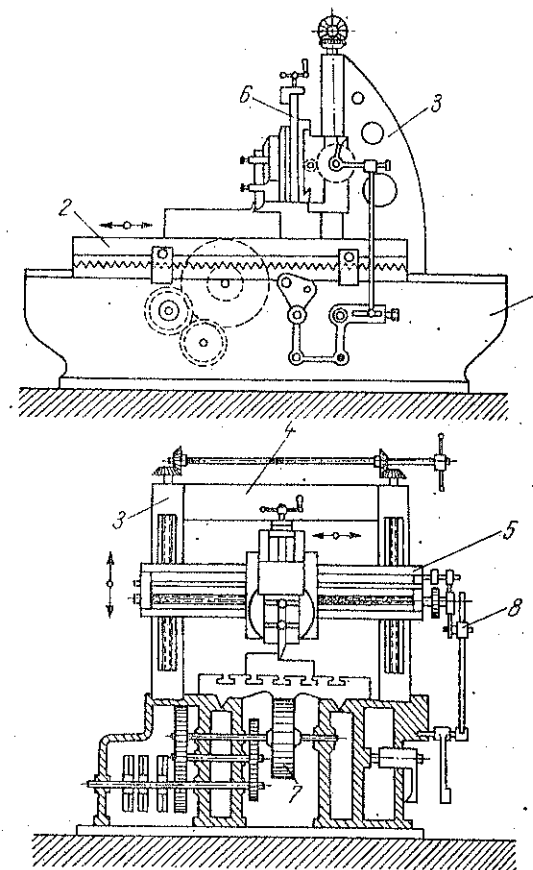


Fig. 7.110. Raboteză cu doi montanți:

1 - batiu; 2 - masa mobilă; 3 - montanți; 4 - traversă de legătură; 5 - traversă orizontală; 6 - cărucior portuncaltă; 7 - roată dințată pentru antrenarea mesei; 8 - mecanism de avans al căruciorului portuncaltă.

Mișcarea mesei se obține cu diferite mecanisme de antrenare: mecanic (de exemplu, angrenaj cilindric cu cremalieră), hidraulic (de exemplu, piston cu cilindru de presiune) sau electric.

Schimbarea sensului de mișcare al mesei este comandat de însăși masa mașinii. La rabotezele mici sau la cele de construcție veche se folosește schimbătorul sensului de mișcare alcătuit dintr-o transmisie intermediară, o roată fixă, o roată liberă, o curea dreaptă și una încrucișată. Prin opritori și pirghii, convenabil aranjate pe batiu și masă, se poate stabili lungimea curselor și deci punctul de întoarcere; aceste opritoare lovesc în pirghia prin care se efectuează deplasarea curelelor de pe roata fixă pe cea mobilă și invers, producându-se astfel schimbarea sensului de mișcare. O inversare rapidă și lipsită de șocuri se realizează la mașinile moderne cu ajutorul unui motor de curent continuu, reglabil, sau prin folosirea unui sistem de acționare hidraulic. Mecanismul de avans care acționează în momentul trecerii de la cursa în gol la cursa activă, poate fi acționat manual sau automat.

Caracteristicile tehnice ale unei raboteze cu masă alunecătoare sunt: lungimea de rabotat, lățimea de rabotat și înălțimea de rabotat.

După forma și mărimea pieselor prelucrate, rabotezele cu masă alunecătoare pot fi: raboteze de tipul obișnuit, descris mai sus; raboteze cu o coloană; raboteze cu cursa scurtă (pentru piese cu dimensiuni peste 600 mm lățime, sub 500 mm înălțime și sub 1000 mm lungime).

După scopul utilizării lor, rabotezele pot avea și alte forme constructive ca, de exemplu: raboteză pentru prelucrat canale de pană (cu port-cuțit alunecător în direcție verticală); raboteză pentru marginea tablelor (cu căruciorul port-unealtă mobil); raboteză cu masă îngropată (pentru piese de 2 000—6 000 mm lățime, peste 1 500 mm înălțime și până la 12 000 mm lungime) etc.

La uzina „Independența” Sibiu se fabrică mașinile de rabotat tip RT 6 și tip RT 10 pentru prelucrarea marginilor tablelor de oțel, destinate atelierelor de cazangerie sau de construcții metalice.

Cu mașina de rabotat tip RT 6 se pot prelucra table cu grosimi până la 80 mm și lungimi până la 6 000 mm, iar cu mașina de rabotat table tip RT 10 se pot prelucra margini la table de oțel cu grosimi până la 80 mm și lungimi până la 10 000 mm.

b. Mașini de rabotat transversal. Mașinile de rabotat transversal, numite și șepinguri, se caracterizează prin executarea mișcării principale rectilinii alternative de către căruciorul port-cuțit și a mișcării secundare pentru avansul transversal de către masa port-piesă; avansul de pătrundere de realizează cu suportul port-cuțit fixat la partea anterioară a căruciorului port-unealtă.

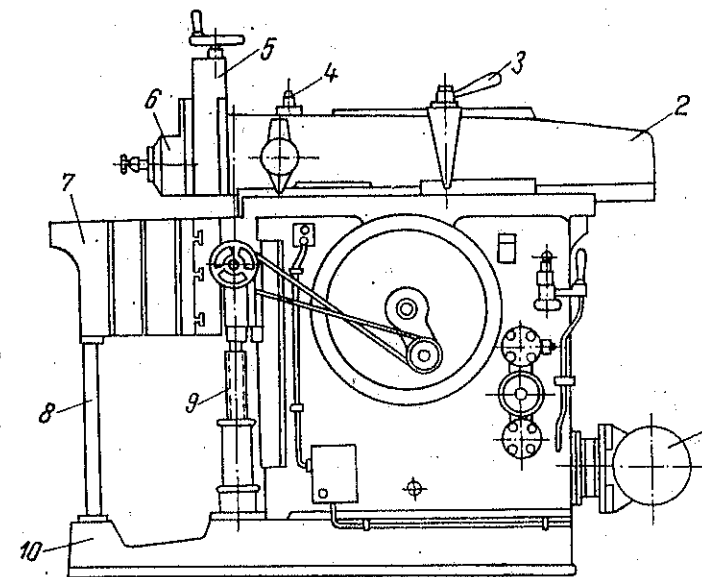
Șepingul se folosește de obicei la prelucrarea suprafețelor plane la piese de dimensiuni mici.

El se compune din următoarele părți principale (fig. 7.111):
— un batiu din fontă cu ghidaje pentru căruciorul port-unealtă și masa port-piesă;

— o masă port-piesă 7 din fontă, prevăzută cu canale în T pentru fixarea cu dispozitive de prindere a pieselor care se prelucurează; ea se poate deplasa atât orizontal cât și vertical;

Fig. 7.111. Șeping cu cursa berbecului de 650 mm

1 — motor; 2 — berbec; 3 — șurub de blocarea mecanismului pentru schimbarea cursei berbecului; 4 — mecanism pentru schimbarea cursei berbecului; 5 — sanie intermediară mică; 6 — sanie port-cuțit; 7 — masă port-piesă; 8 — susținător al mesei; 9 — șurub conducător pentru ridicarea mesei; 10 — soclu.



— un cărucior 2 (sania principală) prevăzută la extremitatea anterioară cu sania port-cuțit 6 care poate primi o deplasare manuală pentru avansul de pătrundere al cuțitului și o rotire în jurul unui ax orizontal pentru rabotarea suprafețelor înclinate; acest cărucior, numit și berbec, execută mișcarea principală rectilinie alternativă.

Antrenarea se face, de obicei, mecanic, printr-o roată de curea sau cu un motor individual. Acționarea berbecului de la organul de antrenare se face cu ajutorul unui mecanism mecanic (cu culisă simplă sau oscilantă, cu angrenaj roată dințată-cremalieră etc.) sau hidraulic. Schema unei antrenări mecanice este arătată în fig. 7.112.

Avansul transversal se realizează manual sau mecanic, cu ajutorul unui mecanism cu clichet care acționează în momentul trecerii de la cursa în gol la cursa activă. Avansul de pătrundere se obține manual prin deplasarea cu ajutorul unei manivele a saniei port-cuțit.

Cursa și viteza berbecului pot fi variate.

Caracteristicile șepingului sînt următoarele: cursa maximă a berbecului, suprafața utilă a mesei (lungime și lățime), cursa transversală maximă a masei, numărul curselor duble ale berbecului pe minut, limitele avansurilor pe cursa dublă, cursa verticală maximă a mesei, cursa verticală maximă a saniei portcuțit.

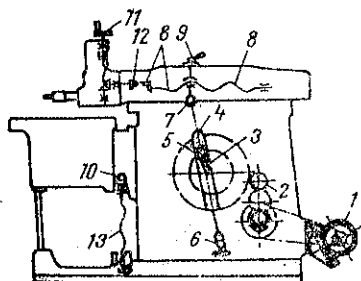


Fig. 7.112. Schema de lucru a unui șeping:

1 — motor; 2 — angrenaje de antrenare; 3 — manivela mecanismului cu culisă; 4 — culisă oscilantă; 5 — placă culisei; 6 — articulație fixă; 7 — articulație mobilă; 8 — mecanism pentru variația cursei berbecului; 9 — șurub de blocare a mecanismului de avans orizontal al mesei; 11 — manivelă pentru deplasarea saniei portcuțit; 12 — comandă automată a saniei portcuțit; 13 — mecanism de ridicare a mesei.

= 425 mm, $S = 425 \times 310 \text{ mm}^2$, c.d./min = 14 — 105, $P = 2,2 \text{ kW}$.

c. Mașini de rabotat speciale. Acestea sînt construite special, pentru efectuarea unei anumite prelucrări sau pentru prelucrarea anumitor piese.

— *Mașina de rabotat radială* este o mașină de rabotat cu ajutorul căreia se pot prelucra suprafețe cilindrice convexe sau concave cu generatoarea verticală. În acest scop, concomitent cu mișcarea principală alternativă a mesei portpiesă, căruciorul portcuțit, fixat pe o traversă orizontală (deplasabilă vertical pe o coloană) execută avansul de-a lungul unui arc de cerc datorită legăturii cu un ax vertical de rotație, prin intermediul unui braț de lungime reglabilă, articulat cu sania inferioară a căruciorului portcuțit (fig. 7.113).

— *Mașina de rabotat prin reproducere* (fig. 7.114). De obicei, această mașină-unealtă are masa lunecătoare; cu ajutorul unui șablon fixat pe corpul rigid al mașinii, suportul portunealtă reproduce pe piesă o suprafață profilată asemănătoare conturului șablonului.

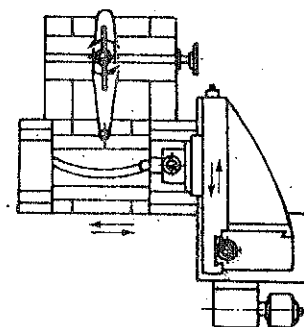


Fig. 7.113. Mașină de rabotat radială.

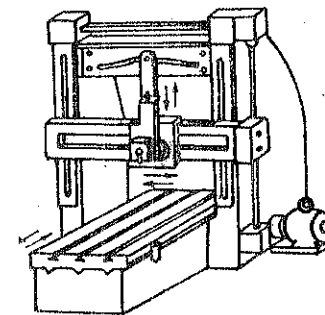


Fig. 7.114. Mașină de rabotat prin reproducere.

3.10. MORTEZAREA

3.10.1. Generalități. La mortezare cuțitul de mortezat se mișcă în direcția axei lui longitudinale, de obicei verticală, și este solicitat la compresiune.

Mișcarea principală rectilinie alternativă verticală este executată de sania portcuțit. Mișcarea de avans, perpendiculară pe mișcarea principală și tangentă la fața prelucrată, precum și mișcarea de pătrundere perpendiculară pe suprafața prelucrată, sînt executate, în general, de masa portpiesă; uneori, pentru obținerea de suprafețe curbe, piesa se fixează pe o masă rotitoare cu ajutorul căreia se imprimă piesei mișcarea de avans.

Mașinile de mortezat au o cursă activă urmată de o cursă în gol care se face cu viteză mărită și corespunde ridicării berbecului portcuțit. Așchierea se produce prin atacul continuu al cuțitului în timpul cursei active.

Cursa cuțitului trebuie să fie mai lungă decît lungimea de prelucrat a piesei. Depășirile cuțitului față de lungimile de prelucrat ale pieselor sînt aceleași ca și pentru rabotarea la șeping (v. tabela 7.45).

Operația de mortezare se aplică, în general, la prelucrarea suprafețelor plane, înguste și lungi, a pieselor cu contur complicat și cu generatoare drepte, a pieselor cu caneluri strîmte, care nu pot fi prelucrate prin frezare și, în special, a suprafețelor interioare și a găurilor mari.

3.10.2. Regim de așchiere. *Viteza medie de așchiere* se stabilește tot cu formula (1) de la prelucrarea prin rabotare:

$$v = \frac{L \cdot n}{1000} \left(1 + \frac{v_a}{v_g} \right) [\text{m/min}].$$

Cunoscând că de obicei la mașina de mortezat viteza în cursa activă este egală cu viteza în cursa în gol, formula pentru calculul vitezei medii de așchiere la mortezare devine: $v = \frac{2L \cdot n}{1000}$,

în care: L este cursa, în mm, inclusiv depășirea totală d a cuțitului de o parte și alta a piesei;

n — numărul de curse duble pe minut.

Numărul curselor duble pe minut se calculează cu formula

$$n = \frac{1000 v}{L} \cdot \frac{1}{1 + \frac{v_a}{v_o}} \text{ [c.d./min]}, \text{ în care } v_a = v_o.$$

Deci pentru mortezare, această formulă devine: $n = \frac{1000 v}{2L}$.

Avansurile pentru mortezare sînt aceleași ca și pentru rabotarea transversală; acestea se obțin prin înmulțirea cu 0,8 a avansurilor indicate în tabelele 7.48 și 7.49.

Vitezele de așchiere pentru mortezare se pot lua din tabelele 7.46 și 7.47, cu observația ca valorile indicate în aceste tabele să fie înmulțite cu 0,6 în cazul mortezelor cu porteuțit rabatabil și cu 0,5 în cazul mortezelor cu port-cuțit nerabatabil.

3.10.3. Mașini de mortezat. Mașinile de mortezat, numite prescurtat morteze, sînt principal asemănătoare șepingului; se deosebesc de acesta numai prin formele constructive și în special prin așezarea verticală a berbecului portsculă.

Ele comportă în general următoarele părți principale:

- un batiu din fontă prevăzut cu ghidaje verticale pentru culisarea berbecului porteuțit și ghidaje orizontale pentru deplasarea mesei portpiesă;

- o masă pe care se fixează piesele și care se poate deplasa longitudinal, transversal și circular;

- un berbec cu suportul sculei; la unele morteze berbecul se poate înclina;

- mecanismul de antrenare și mecanismul de avans.

Mișcarea principală de așchiere se realizează prin mișcarea alternativă verticală a berbecului portsculă, cu ajutorul mecanismului principal, care poate fi cu culisă, cu excentric, hidraulic etc. La unele mașini, berbecul este echilibrat cu o contragreutate. Cursa berbecului este reglabilă. Antrenarea se poate face mecanic (cu con în trepte sau cutie de viteze), prin motor individual sau hidraulic. Avansul mesei

portpiesă se obține cu ajutorul unei roți cu clichet și a unui angrenaj cu roți dințate.

Caracteristicile tehnice ale mașinilor de mortezat sînt următoarele: lungimea cursei berbecului, numărul de curse duble pe minut (maxim și minim) ale berbecului, distanța de la masă pînă la capătul inferior al berbecului, distanța de la suprafața de sprijin a sculei la marginea suportului vertical superior și dimensiunile mesei.

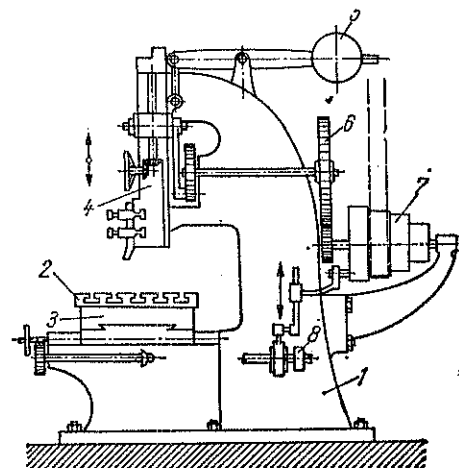


Fig. 7.115. Schema de lucru a unei mașini de mortezat cu con în trepte:

1 — batiu; 2 — platou; 3 — suportul platoului; 4 — berbec; 5 — contragreutate; 6 — angrenaj de antrenare; 7 — con în trepte; 8 — mecanism de avans.

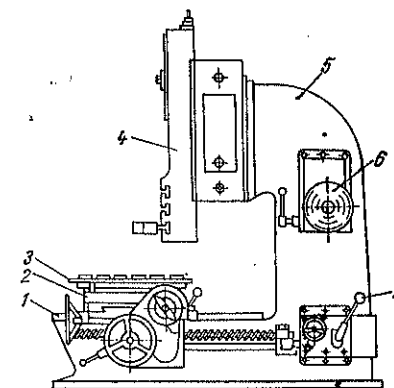


Fig. 7.116. Mașină de mortezat:

1 — sanie longitudinală; 2 — sanie transversală; 3 — platou portpiesă; 4 — berbec portunealtă; 5 — batiu; 6 — roată de mînă pentru schimbarea vitezei; 7 — manetă pentru cutia de avansuri.

Figura 7.115 reprezintă o morteză cu con în trepte iar figura 7.116 o morteză construită în țară, cu cursa maximă de mortezat de 300 mm. Această morteză este acționată de două motoare: unul antrenează berbecul porteuțit, iar celălalt antrenează masa portpiesă în direcție longitudinală, transversală și circular. Acționarea arborelui principal al cutiei de viteze se face de la arborele motorului printr-un ambreiaj cu lamele. Reglarea lungimii cursei de mortezat se face cu ajutorul capului pivotant și al excentricului. Deplasarea mesei portpiesă se poate face manual sau automat. Numărul curselor pe minut variază între 14 și 80. Avansurile în sens longitudinal variază între 0,12 și 0,18 mm/c.d., iar cele în sens transversal, între 0,48 și 0,75 mm./c.d.

În afară de mașinile de mortezat descrise mai sus, mai există și morteze cu forme constructive diferite, după forma, mărimea sau felul pieselor pe care le prelucurează. Astfel, există morteze cu berbec cu avans

transversal, morteze prevăzute cu doi montanți, legați printr-o traversă orizontală pe care berbecul se poate deplasa și transversal, morteze pentru tăiatul danturii la roțile dințate cilindrice, mașini de mortezat prin copiere etc.

3.11. RECTIFICAREA

3.11.1. Generalități. Rectificarea este o operație de așchiere a pieselor metalice efectuată mecanic (la mașini de rectificat), cu ajutorul pietrelor abrazive, în scopul obținerii unor suprafețe foarte netede sau unor dimensiuni foarte precise. Rectificarea se folosește în special la prelucrarea fină a pieselor metalice cu duritate mare. Granulele abrazive ale pietrei de rectificat desprind de pe suprafața piesei care se prelucurează un număr foarte mare de așchii mărunte, cu muchiile ascuțite ale granulelor abrazive. Pe măsură ce muchiile de tăiere se uzează, granulele abrazive se desprind din masa liantului și apar altele noi, cu muchii de tăiere ascuțite, ceea ce face ca piatra să-și păstreze proprietatea de a așchia pînă la uzura ei totală. Ca detașarea granulelor abrazive să se facă corect, este necesar ca alegerea pietrei abrazive să fie corespunzătoare. Astfel, de exemplu, dacă liantul pietrei abrazive este prea moale, granulele abrazive se desprind fără a fi tocite și ca atare piatra abrazivă se uzează prea repede; cînd liantul este prea dur, nu permite granulelor abrazive tocite să se detașeze și piatra lustruindu-se necesită o reascuțire.

La stabilirea pietrelor de polizor pentru o rectificare corectă a pieselor trebuie să se aleagă caracteristicile lor (de exemplu, natura liantului, natura materialului abraziv, duritatea, granulația, structura) în funcție de materialul piesei, forma suprafețelor care se rectifică, gradul de netezime urmărit (degroșare sau finisare), precizia dimensiunilor care trebuie obținută, procedeele de prelucrare etc. La subcapitolul „Pietre abrazive” (capitolul „Scule așchietoare”) sînt date indicații asupra alegerii pietrelor de polizor, în funcție de materialul de prelucrat și operația de executat.

Mașinile de rectificat se aleg ținînd seama de materialul piesei, de profilul suprafețelor de prelucrat și de felul operațiilor de prelucrare. Fixarea pieselor pe masa de lucru a mașinilor de rectificat se face de obicei mecanic (de exemplu, în universal, între vîrfuri, pe dornuri, cu dispozitive speciale etc.), pneumatic (de exemplu, dispozitiv pneumatic pentru fixarea pieselor), magnetic (de exemplu, platou de fixare magnetic), electromagnetic (de exemplu, platou de fixare electromagnetic). Fixarea pietrelor abrazive diferă după felul mașinilor de rectificat. Ascuțirea (reprofilarea) și fasonarea pietrelor de polizor se fac de obicei cu ajutorul unui diamant fixat într-un suport sau cu role de

oțel. Dimensiunile și netezimea suprafețelor rectificate se controlează cu ajutorul instrumentelor de măsurat (de exemplu, micrometre, calibre tampon sau potcoavă, pasometre, pasimetre, măsurătoare de netezime etc.); măsurarea trebuie făcută cînd mașina de rectificat este în stare de repaus.

3.11.2. Operații de rectificare. *Operații de rectificare după gradul de netezime și precizia dimensiunilor suprafeței prelucrate.* Aceste operații de așchiere se clasifică în rectificare de degroșare și rectificare de finisare.

— *Rectificarea de degroșare* este operația prin care se îndepărtează aproximativ două treimi din surplusul de rectificat; ea este urmată de rectificare de finisare. Se execută de obicei cu pietre abrazive, avînd granule mari și rare.

— *Rectificarea de finisare* este operația prin care se detașează în câteva treceri restul din surplusul de rectificat rămas de la rectificarea de degroșare. Se lucrează cu adîncime de tăiere și cu avans axial mic și cu pietre de polizor avînd granule fine.

Operații de rectificare după forma suprafeței prelucrate. După forma suprafeței prelucrate se deosebesc: rectificarea rotundă, rectificarea plană și rectificarea suprafețelor cu profile speciale.

3.11.2.1. Rectificarea rotundă. Rectificarea rotundă este operația de rectificare a pieselor cu suprafețe cilindrice, conice, în trepte sau speciale (de exemplu, filetul tarodului). După poziția suprafeței care se rectifică, rectificarea rotundă poate fi exterioară sau interioară.

a. Rectificarea rotundă exterioară, se folosește la rectificarea suprafețelor exterioare ale pieselor și se caracterizează prin următoarele mișcări: o mișcare principală de rotație a pietrei de polizor; o mișcare secundară de rotație a piesei care se prelucurează; o mișcare de avans longitudinal, rectilinie alternativă, executată în mod obișnuit de piesă și uneori de către piatra de polizor, și o mișcare de avans transversală, de pătrundere, efectuată la finele fiecărei curse de către piatra de polizor (fig. 7.117). Această prelucrare se execută de obicei la mașinile de rectificat rotund sau universale și uneori, la strunguri universale cu ajutorul dispozitivului de rectificat fixat în sania port-cuțit.

După felul cum este așezată piesa în timpul prelucrării, deosebim: rectificarea rotundă exterioară între vîrfuri și rectificarea rotundă exterioară fără vîrfuri.

— *Rectificarea rotundă exterioară între vîrfuri,* este numită astfel deoarece piesa care se prelucurează se fixează între vîrfurile mașinii de rectificat. Această rectificare se poate realiza cu avans longitudinal, cu avans transversal, fără avans transversal și în trepte.

Rectificarea cu avans longitudinal se folosește la prelucrarea pieselor lungi și cu diametru mic; mișcările pietrei de polizor, ale piesei și ale mesei port-piesă, sînt cele arătate în fig. 7.117.

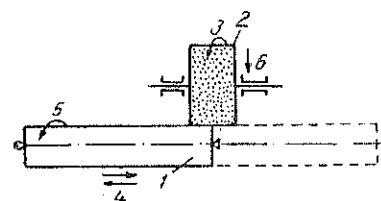


Fig. 7.117. Schema rectificării rotunde exterioare cu avans longitudinal al piesei:

1 - piesă; 2 - piatră de polizor; 3 - mișcarea principală; 4 - mișcarea de avans a mesei; 5 - sensul de rotație al piesei; 6 - avans de pătrundere.

Rectificarea cu avans transversal (radial) se aplică de obicei la prelucrarea pieselor scurte și cu profil complicat; în acest caz, în timp ce piesa se rotește fără avans longitudinal, piatra de polizor, având forma profilului piesei, execută avansul transversal (fig. 7.118, a).

Rectificarea fără avans transversal se execută dintr-o singură trecere a pietrei de polizor; pentru ușurința prelucrării, se obișnuiește a se da pietrei de polizor o mică conicitate (fig. 7.118, b).

Rectificarea în trepte se execută numai prin avansul transversal al pietrei de polizor pe porțiuni succesive ale piesei, astfel ca marginile acestor porțiuni să se acopere cu 5—15 mm; se procedează apoi la o rectificarea finală cu avans longitudinal (fig. 7.119).

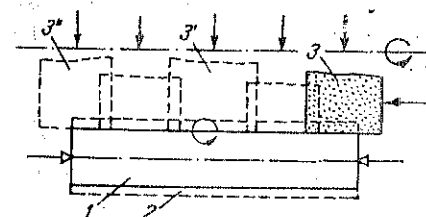


Fig. 7.119. Schema rectificării în trepte:
1 - piesă; 2 - adânc de prelucrare; 3, 3' și 3'' - poziții succesive ale pietrei abrazive.

ei în mișcarea de avans. Piesa așezată între cele două discuri abrazive se rotește și ea cu o viteză apropiată de cea periferică a pietrei de avans (cu 1—3% mai mică). Piese scurte se așază cu ajutorul riglei de reazem astfel ca axa lor să fie la aproximativ 10—13 mm deasupra liniei care unește centrele celor două discuri; piesele lungi se așază cu axele sub linia centrelor. La rectificarea cu avans longitudinal (fig. 7.120, a) axa discului conducător (de avans) se înclină cu un unghi de 1—10° față de

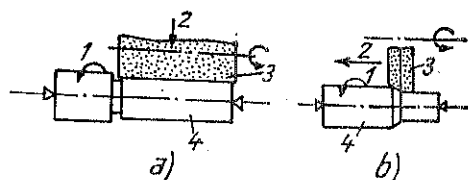


Fig. 7.118. Schema rectificării:

a - cu avans transversal; b - fără avans transversal; 1 - sensul de rotație al piesei; 2 - avansul pietrei de polizor; 3 - piatră de polizor; 4 - piesă.

axa discului de rectificat; înclinarea mai mare, mărind viteza mișcării de avans, se folosește la degroșare, iar înclinarea mai mică, la finisare. La rectificarea cu avans transversal, axa discului de avans se înclină numai cu un unghi de circa 30°, ca piesa să apese continuu pe limitatorul de cursă (fig. 7.120, b); această rectificare se folosește de obicei la prelucrarea pieselor cu diametre diferite și lungimi de rectificat mai mici decât lățimea pietrelor de polizor.

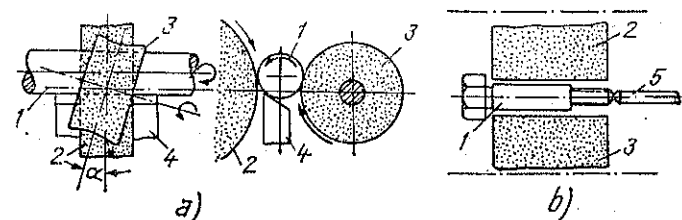


Fig. 7.120. Schema rectificării rotunde exterioare, fără vîrfuri:
a - cu avans longitudinal; b - cu avans transversal; 1 - piesa de prelucrat; 2 - piatră de rectificat; 3 - piatră de avans; 4 - rigla de reazem; 5 - limitator de cursă; α - unghi de înclinare a discului de avans.

b. Rectificarea rotundă interioară se utilizează la rectificarea alezajelor care în prealabil au fost prelucrate, de obicei prin strunjire de netezire. În general, această operație de rectificare se execută la mașinile de rectificat interior sau universale, la mașinile de rectificat planetare și uneori la strung cu dispozitivul de rectificat fixat pe sania port-cuțit.

Procedeele de rectificare rotundă interioară mai des folosite sînt: rectificarea cu rotirea piesei și rectificarea planetară.

— Rectificarea interioară cu rotirea piesei este reprezentată schematic în fig. 7.121. Piatra abrazivă se rotește în jurul axei sale; în același timp mișcarea de avans longitudinal se execută de către piatră sau de către masa portpiesă; piesa fixată în universal execută o mișcare secundară de avans circular în sens invers sensului de rotire al pietrei abrazive. Diametrul pietrei de rectificat se ia de obicei 0,5—0,9 din diametrul alezajului.

— Rectificarea interioară planetară se folosește de obicei la piesele de dimensiuni mari care nu pot fi fixate în universalul mașinii de rectificat. Prelucrarea se execută, în acest caz, la mașinile de rectificat planetare, piesa fiind fixată pe masa mașinii. Piatra de rectificat execută o mișcare planetară, adică o mișcare de rotație în jurul axei sale, axă care are o mișcare de revoluție în jurul axei piesei (fig. 7.122). Mișcarea de avans longitudinal (mișcarea de translație alternativă) se realizează prin deplasarea suportului pietrei de rectificat, iar mișcarea de avans transversal, prin deplasarea pietrei de rectificat. Pentru alezaje cu diametre

de 30—40 mm, diametrul pietrei abrazive se ia apropiat de al alezajului; pentru alezaje mai mari, diametrul pietrelor abrazive se ia aproximativ 0,9—0,6 din diametrul alezajului; pentru alezaje peste 150 mm, diametrul pietrei de rectificat se ia mai mic decât jumătatea alezajului. Lățimea pietrelor se ia de obicei: de 50 mm pentru găuri cu diametre peste 50 mm și de 13—16 mm pentru diametre sub 50 mm.

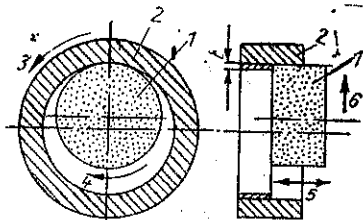


Fig. 7.121. Schema pentru rectificare interioară cu rotirea piesei:

1 — piatră de rectificat; 2 — piesa de prelucrat; 3 — sensul de rotire a piesei; 4 — mișcarea principală; 5 — mișcarea de avans transversal a pietrei de rectificat; 6 — adâncimea de așchiere; 6 — avans transversal.

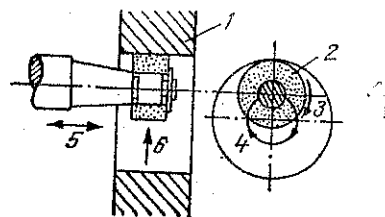


Fig. 7.122. Rectificarea interioară planară:

1 — piesă de prelucrat; 2 — piatră de rectificat; 3 — mișcare principală; 4 — sensul mișcării planetare; 5 — avansul longitudinal alternativ; 6 — avans transversal.

3.11.2.2. Rectificarea plană. Rectificarea plană se aplică în scopul obținerii unei mari precizii a dimensiunilor piesei sau a planității suprafeței, sau a unui înalt grad de netezime a acesteia. Prelucrarea se execută la mașini de rectificat plan, piesa fiind fixată pe masa mașinii. După suprafața de lucru a discului de rectificat cu care se face prelucrarea, rectificarea plană poate fi periferică sau frontală.

— **Rectificarea plană periferică** se execută cu suprafața cilindrică exterioară a discului de rectificat. Prelucrarea se execută la mașini de rectificat plan cu masa port-piesă dreptunghiulară cu mișcare de avans longitudinală alternativă și la mașini de rectificat plan cu masa rotundă cu mișcare de rotație. În ambele cazuri, avansul transversal, avansul de pătrundere și mișcarea principală sînt realizate cu ajutorul discului de rectificat (fig. 7.123). La mașinile cu masa port-piesă rotundă se rectifică de obicei piesele în formă de disc și în special frezele subțiri spre centru.

— **Rectificarea plană frontală** se obține la mașini de rectificat plan cu suprafața frontală a discului abraziv. Discul de rectificat, montat cu axa sa perpendicular pe suprafața de rectificat, execută atît mișcarea principală de rotație rapidă, cît și avansul de pătrundere după fiecare rotație sau cursă a mesei. Masa port-piesă, care poate fi dreptunghiulară sau rotundă, execută mișcarea de avans rectilinie alternativă, în primul caz, și de rotație, în ultimul. De obicei, suprafețele plane cu dimensiuni mari se prelucrează la mașinile de rectificat plan cu masă

dreptunghiulară, iar la suprafețele frontale ale pieselor de revoluție (de exemplu, inele de rulmenți), la mașinile de rectificat plan cu masă rotundă. Discurile de rectificat sînt cilindrice (inele sau segmente).

3.11.2.3. Rectificarea suprafețelor cu profile specifice. Din această categorie de prelucrări fac parte, de exemplu: rectificarea roților dințate, rectificarea filetului, rectificarea arborilor cotiți, rectificarea arborilor cu came, ascuțirea sculelor etc.

a. Rectificarea roților dințate cilindrice, se folosește la netezirea dinților după ce roțile dințate au fost supuse în prealabil unui tratament termic de îmbunătățire. Operația de rectificare se aplică prin două procedee: prin copiere și prin rostogolire.

— **Rectificarea dinților prin copiere** se execută cu una sau cu două pietre abrazive profilate.

Rectificarea cu o singură piatră, avînd profil în evolută (fig. 7.124, a), se execută pe o mașină de rectificat specială, cu cap divizor. Piatra are forma unui disc cu profil ascuțit după profilul golului dintre doi dinți alăturați ai roții dințate, astfel că rectificarea se obține la o singură trecere. Această metodă este puțin economică deoarece piatra de rectificat se uzează repede și trebuie ascuțită (îndreptată) des cu diamantul. Pentru realizarea rectificării suprafeței dinților, discul abraziv execută o mișcare de rotație și o mișcare rectilinie alternativă de-a lungul dintelui care se rectifică. După rectificarea completă a flancurilor dinților dintr-un gol, cu ajutorul capului divizor se trece la golul următor.

Rectificarea cu două pietre disc elimină unele deficiențe de la prelucrarea cu o singură piatră abrazivă. Cele două pietre au fața din stînga, respectiv fața din dreapta, profilată ca să rectifice simultan flancurile a doi dinți alăturați din același gol sau din două goluri succesive (pentru dinți cu modulul mic).

— **Rectificarea dinților prin rostogolire** se poate executa cu un singur disc abraziv sau cu două discuri abrazive avînd axe înclinate între ele.

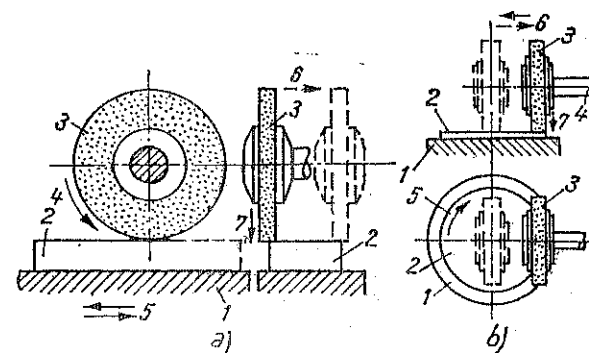


Fig. 7.123. Schema rectificării plane:

a — la mașini cu masă dreptunghiulară; b — la mașini cu masă rotundă; 1 — masă port-piesă; 2 — piesă de prelucrat; 3 — disc de rectificat; 4 — mișcare principală; 5 — mișcarea mesei port-piesă; 6 — avansul transversal al discului de rectificat; 7 — avans de pătrundere.

La rectificarea cu un singur disc abraziv acesta are profilul astfel ascuțit, încât formează în secțiune dintele cremalierii de referință. Discul abraziv execută o mișcare de rotație și o mișcare rectilinie alternativă de-a lungul dintelui care se rectifică, iar roata dințată care se prelucurează execută o mișcare de oscilație pe cremaliera de referință (fig. 7.124, b). După rectificarea completă a unui dinte, roata dințată este rotită cu ajutorul capului divizor pentru a trece la prelucrarea dintelui următor.

La rectificarea dinților cu două discuri abrazive (fig. 7.124, c), acestea au fețele de lucru drepte, ceea ce ușurează ascuțirea pietțelor când se uzează. Fața pietrei este înclinată în raport cu axa piesei cu unghiul corespunzător înclinării cremalierii de referință care generează evolventa dintelui roții. În timpul prelucrării, piesa execută o mișcare de rostogolire de-a lungul cremalierii de referință, într-o parte sau alta.

b. Rectificarea filetului se aplică pentru obținerea unei precizii înalte a dimensiunilor filetului la anumite piese ale mașinilor-unelte, instrumentelor și aparatelor de măsurat etc. Rectificarea filetului se execută de obicei la mașini de rectificat filet și uneori la strunguri cu discuri abrazive cu profil simplu sau cu profil multiplu; profilul executat pe periferia pietrelor abrazive este identic cu cel al filetului piesei care trebuie rectificat. Pietrele abrazive cu profil simplu se folosesc la rectificarea pieselor lungi, iar cele cu profil multiplu, la piesele scurte; în ultimul caz, lățimea discului este mai mare decât lungimea

de filetat. În ambele cazuri, discurile abrazive au turație mare și avans transversal, iar piesa execută o mișcare de rotație (50–60 rot/min); în primul caz, piesa execută și avansul longitudinal.

3.11.2.4. *Ascuțirea sculelor.* Așierea cu scule corect ascuțite asigură calitatea suprafețelor prelucrate, menținerea toleranțelor și păstrarea muchiei

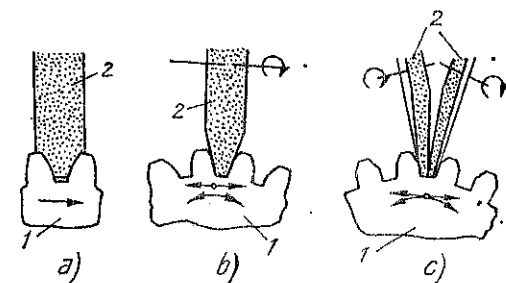


Fig. 7.124. Schema rectificării roților dințate cilindrice: a) prin copiere; b) prin rostogolire, cu o singură piatră abrazivă; c) prin rostogolire, cu două pietre abrazive; 1 - roată dințată; 2 - disc abraziv.

tăietoare a sculei.

a. *Ascuțirea cuțitelor de strung, raboteză și morteză.* Ascuțirea se face, în general pe cale mecanică (cu abrazivi) și, în prezent, și prin procedee electrice (prin scînteii) sau procedee anodo-mecanice.

La cuțitele cu plăcuțe din carburi metalice, ascuțirea cu abrazivi comportă degroșarea fețelor de așezare a corpului, degroșarea fețelor plăcuței, netezirea plăcuței și lepuirea fațetelor f de pe fețele de așezare și de degajare ale plăcuței, așa cum este arătat în fig. 7.125. Pentru degroșarea feței de așezare a corpului cuțitului, ascuțirea se poate face cu periferia unui disc de polizor (fig. 7.126). Unghiul de așezare sub care se rectifică corpul cuțitului este $\alpha + 6^\circ$. În tabela 8.73 sînt date indicații asupra caracteristicilor discurilor de polizor pentru ascuțirea de degroșare, de semifinisare și de finisare.

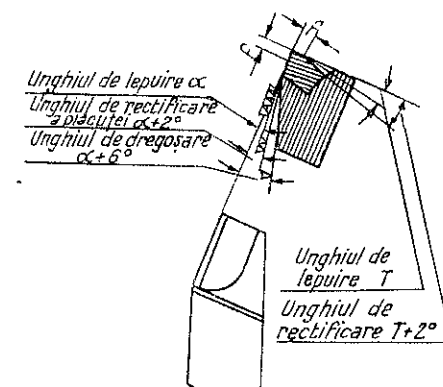


Fig. 7.125.

Atît rectificarea de degroșare, cît și cea de finisare este recomandabil să se execute cu fețele frontale ale pietrelor abrazive disc sau oală; contactul cuțitului cu discul abraziv trebuie astfel făcut ca efor-

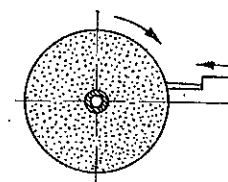


Fig. 7.126.

tul pietrei să tindă a apăsa plăcuța pe suportul său (fig. 7.127). În timpul ascuțirii, trebuie controlate cu atenție unghiurile de tăiere prescrise pentru diferite materiale și operații de prelucrare; acest control se face cu ajutorul calibrelor sau șabloanelor (fig. 7.128). Ascuțirea cu răcire continuă cu apă cu 1–2% sodă calcinată este mai economică decât ascuțirea uscată. Nu este permisă răcirea cuțitelor în apă cînd se folosește rectificarea uscată. Ascuțirea cu mina este deseori preferabilă ascuțirii mecanice; în ultimul caz, avansul de pătrundere al discului de polizor nu trebuie să depășească 0,02–0,03 mm.

Lepuirea plăcuțelor după rectificarea de netezire se face cu discuri de fontă (HB = 130...

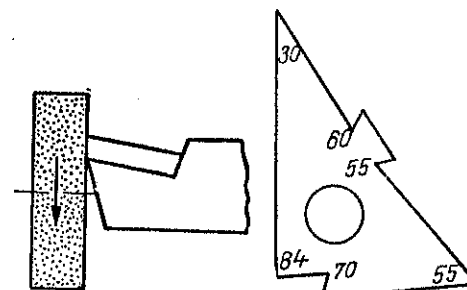


Fig. 7.127.

Fig. 7.128.

...160) cu structură fină sau discuride cupru pe suprafața cărora se aplică un strat subțire de pastă abrazivă (amestec de pulbere de diamant sau carbură de bor, ulei de parafină și roșu de Paris). Această ultimă prelucrare se execută pe fațeta f a feței de degajare (la un unghi de degajare γ) și pe aceeași porțiune f a feței de așezare (la un unghi de așezare α); mărimea acestei fațete (v. fig. 7.125), în funcție de secțiunea cuțitului, este indicată în tabela 7.50.

Tabela 7.50. Mărimea fețelor cuțitelor

| Secțiunea cuțitului | 10 × 16 12 × 20 | 18 × 25 20 × 30 25 × 40 | 30 × 45 40 × 60 |
|---|--------------------|-------------------------------|--------------------|
| Mărimea fațetei f (v. fig. 7.125), mm | 1,0 | 1,5 | 2,0 |

granulația și duritatea 46/M, iar la operația de netezire 60/M—80/M. Viteza periferică a discului abraziv se ia de circa 5 m/s; la discuri de polizor cu duritate mare, viteza se micșorează (până la 2 m/s). Pentru operația finală de lepuire se folosesc discuri de fontă pe care se aplică un strat foarte subțire de carbură de bor cu granulația 200—230.

Ascuțirea cuțitelor din oțel rapid sau cu plăcuțe din oțel rapid se execută la polizor sau la mașini de ascuțit scule, de obicei cu partea periferică a discului abraziv. Sensul de rotație al pietrei trebuie să fie spre muchia de tăiere, pentru realizarea unui tăiș ascuțit și evitarea spargerii sau desprinderii plăcuțelor din oțel rapid din cauza unei lipiri slabe. Apăsarea cuțitului în timpul ascuțirii trebuie să fie uniformă și nu prea mare, pentru a nu se produce o decălire. Când ascuțirea se face la polizor, cuțitul trebuie deplasat paralel cu axa pietrei ca să se obțină un tăiș drept și o uzură uniformă a pietrei. Este recomandabil ca ascuțirea să se execute cu o răcire abundentă (10—20 l/min); trebuie evitată răcirea cuțitului prin introducerea lui în apă. La ascuțirea cuțitelor, se ascute la început fața de degajare, după aceea fețele de așezare principale și secundare și la sfârșit raza la vîrf. Pentru ascuțirea cuțitelor cu plăcuțe din oțel rapid, este preferabil ca ascuțirea să se facă dinspre partea feței libere a cuțitului.

b. Ascuțirea burghiilor elicoidale. Ascuțirea corectă a burghiilor elicoidale se poate realiza numai cu ajutorul unor mașini sau dispozitive de ascuțit speciale. Pentru ascuțirea suprafețelor de așezare, se folosește fie ascuțirea elicoidală, fie ascuțirea conică.

Ascuțirea elicoidală se folosește de obicei la burghiile pentru prelucrarea găurilor în materiale moi, deoarece unghiul de așezare are o creștere mai accentuată către centrul burghiului. Schema dispozitivu-

Pentru ascuțirea cuțitelor cu plăcuțe din materiale ceramice se recomandă discuri abrazive din carbură de siliciu verde cu liant ceramic. La operația de degroșare se utilizează discuri abrazive cu

lui de ascuțire elicoidală este arătat în fig. 7.129. Discul de polizor execută, concomitent cu mișcarea principală de rotație în jurul axei sale AA , o mișcare de rotație în jurul axei BB și o mișcare rectilinie alternativă de-a lungul axei sale; în același timp, și burghiul elicoidal execută o mișcare de rotație. Prin acest procedeu se realizează o creștere a unghiului de așezare spre centrul burghiului cu circa 25 %.

Ascuțirea conică se utilizează la executarea găurilor în materiale dure. În fig. 7.130, *a* este arătată schema unui dispozitiv pentru ascuțirea conică a suprafeței de așezare pentru cazurile când distanța de la vârful conului de ascuțire la axa burghiului este $1,16 D$, D fiind diametrul burghiului (procedeu I). În fig. 7.130, *b* este prezentat același dispozitiv, însă pentru cazurile când distanța de la vârful conului de ascuțire la axa burghiului este $1,9 D$ (procedeu II). În ambele cazuri, burghiul elicoidal este fixat într-un suport special care se rotește față de axa OO a unui con imaginar, care este diferit la cele două dispozitive. O utilizare mai mare o are ultimul dispozitiv, deoarece asigură o creștere mai accentuată a unghiului de așezare spre centrul burghiului.

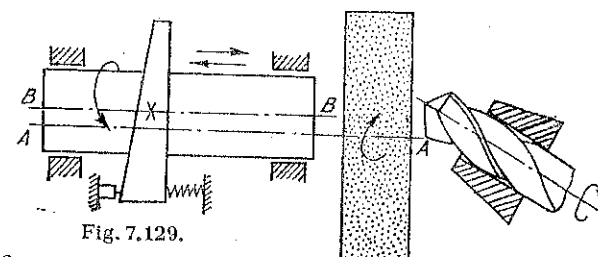


Fig. 7.129.

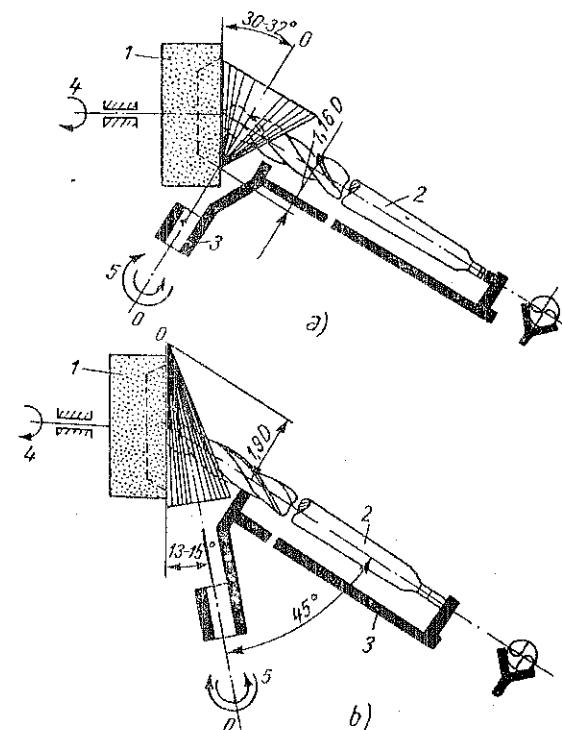


Fig. 7.130. Schema dispozitivului pentru ascuțirea conică:

a—procedeu I; *b*—procedeu II; 1—disc abraziv; 2—burghi spiral; 3—dispozitiv portburghi; 4—mișcarea discului de polizor; 5—mișcările dispozitivului portburghi.

Prin folosirea procedeelor de ascuțire descrise mai sus, nu pot fi eliminate unele deficiențe, cum sînt, de exemplu: unghiul de degajare mai mic în punctele dinspre centrul burghiului și frecarea mare pe fațeta cilindrică, deoarece lipsește unghiul de așezare. Pentru reducerea parțială a acestor deficiențe se recomandă ascuțirea burghiilor elicoidale după una din formele indicate în fig. 7.131, și anume:

- forma simplă normală (fig. 7.131, a) pentru prelucrări în oțel și fontă cu burghie elicoidale cu diametre de 0,25–12 mm;
- forma simplă cu ascuțirea tăișului transversal (fig. 7.131, b) pentru prelucrări în oțel cu $\sigma < 50 \text{ kgf/mm}^2$, cu burghie elicoidale cu diametre de 12–80 mm.

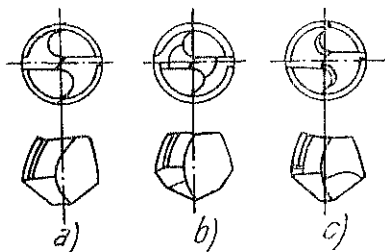


Fig. 7.131. Forme de ascuțire a burghiului spiral:

a — ascuțirea simplă normală; b — ascuțire dublă; c — ascuțire simplă cu mișcarea tăișului transversal.

— forma dublă cu ascuțirea tăișului transversal (fig. 7.131, c) pentru prelucrări în oțel cu $\sigma > 50 \text{ kgf/mm}^2$, cu burghie elicoidale cu diametre de 12–80 mm.

Prin ascuțirea dublă (fig. 7.132) se obține o micșorare a unghiului la vîrf în punctele cele mai solicitate ale burghiului, spre diametrul exterior. Așchiile obținute sînt mai late, însă cu o grosime mai mică. Burghiile elicoidale, prin ascuțire dublă, au o durată de așchiere continuă de circa 2,5–3 ori mai mare decît a burghiilor elicoidale ascuțite cu unghi la vîrf simplu.

Pentru îmbunătățirea condițiilor de așchiere ale burghiilor cu diametre mari sau la cele destinate pentru prelucrări în oțeluri cu duritate mică sau mijlocie, este necesar ca lungimea tăișului transversal BB (fig. 7.133) să fie redusă la circa $0,1 D$ (D este diametrul burghiului). În acest scop muchiile așchietoare AB se prelungesc prin ascuțire pe porțiunile BC .

Fațetele cilindrice ale burghiului se uzează în mod obișnuit pe porțiunea în care se intersectează cu muchiile așchietoare. Este recoman-

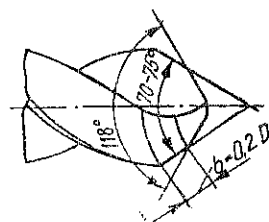


Fig. 7.132. Ascuteala dublă a burghiului spiral.

dabil ca fațetele în acest loc să fie ajustate sub un unghi de așezare de $6-8^\circ$, astfel ca lățimea fațetei pe porțiunea cilindrică să rămînă de 0,1–0,2 mm; lungimea fațetei variază între 1,5 și 5 mm în funcție de diametrul burghiului (fig. 7.134).

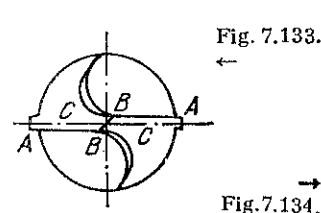


Fig. 7.133.

Fig. 7.134.

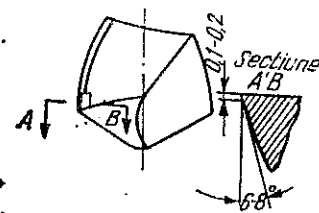


Fig. 7.135. Echer de control.



Verificarea burghiilor elicoidale în timpul ascuțirii se face cu un echer de control (fig. 7.135).

c. **Ascuțirea adîncitoarelor.** După forma constructivă a adîncitorului, ascuțirea se execută pe fața de așezare sau pe fața de degajare. Adîncitoare, folosite în mod curent, se ascut prin rectificarea feței de așezare (fig. 7.136) cu ajutorul pietrelor oală, la mașini universale de ascuțit scule. Un reazem reglabil servește la rezemarea dintelui adîncitorului într-o anumită poziție. Dacă ascuțirea adîncitorului se face după fața de degajare, este necesar ca în prealabil să fie ascuțită fața de așezare; în acest caz, adîncitorul este așezat pe mașina universală de ascuțit scule, prins pe un dorn plasat între vîrfuri. La adîncitoare cu dinți detalonați, așezarea acestora pe mașinile universale de ascuțit scule se face cu ajutorul unui dorn fixat pe un suport mobil; prin orientarea convenabilă a acestui dorn, ascuțirea adîncitorului se poate face numai pe fețele de degajare. Pentru ascuțirea fețelor de degajare se folosesc pietre abrazive în formă de disc.

d. **Ascuțirea alezoarelor.** Operațiile de rectificare la ascuțirea alezoarelor se succed astfel: rectificarea feței de degajare a dinților, după care urmează rectificarea diametrului exterior (fațetele) la mașini de rectificat rotund și apoi rectificarea feței de așezare a dinților (fig. 7.137). Prima și ultima operație de rectificare se execută la mașini universale de ascuțit scule. Pentru alezoare din oțel carbon pentru scule sau din oțel rapid se folosesc discuri abrazive din electrocorund (corindon sintetic) cu granulația 80, iar pentru alezoarele cu plăci din carbură metalică se folosesc discuri abrazive din carbură de siliciu (verde) cu granulația 46–60. După ultima operație de ascuțire se recomandă să se facă o supranetezire a alezoarelor cu pietre de granulație fină sau, în cazul alezoarelor cu plăcuțe de carburi metalice, cu discuri de fontă

pe care se aplică un strat foarte subțire de pastă abrazivă de carbură de bor (cu granulația 170—325).

e. Așcuțirea tarozilor și filierelor. Tarozii se ascut pe fața de degajare, cu ajutorul pietrelor abrazive disc sau oală, la mașini universale de ascuțit scule. Pentru ascuțire, tarodul este prins într-un cap divizor sau între virfuri și cu fața de degajare în plan vertical la distanța h de planul vertical care trece prin axa tarodului (fig. 7.138).

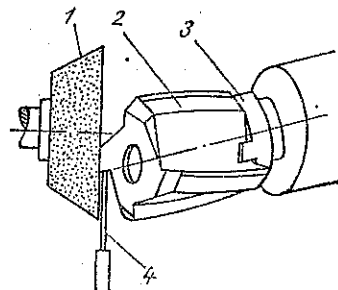


Fig. 7.136. Ascuțirea feței de așezare la un adâncitor cu gaură:
1 — disc de rectificat; 2 — adâncitor;
3 — dorn; 4 — reazem.

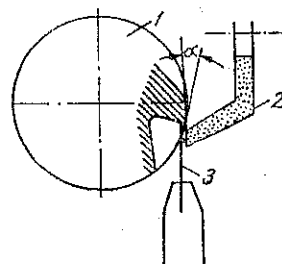


Fig. 7.137. Ascuțirea feței de așezare la un alezor:
1 — alezor; 2 — disc de rectificat;
3 — reazem.

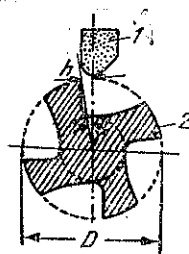


Fig. 7.138. Ascuțirea feței de degajare a tarodului:
1 — disc de rectificat;
2 — tarod.

Distanța h este dată de relația $h = (D \sin \gamma)/2$, în care D este diametrul exterior al filetului tarodului iar γ — unghiul de degajare.

Pe conul de atac al tarodului, se ascute și fața de așezare, prin detalonare, cu ajutorul unor mașini speciale și al unor discuri abrazive având același profil și lățime cu cele ale conului de atac. Această operație se poate executa și pe mașini universale de ascuțit scule sau pe mașini de rectificat rotund, cu ajutorul unor dispozitive speciale.

Filierele rotunde se ascut pe fața de degajare, atît pe lungimea părții filetate, cît și pe suprafața detalonată a părții de atac. Ambele operații se execută pe mașini speciale de rectificat.

f. Așcuțirea frezelor. Pentru asigurarea unei durate optime de așchiere continuă a frezelor, este necesar ca acestea să se ascute imediat ce lățimea fațetelor a atins limita de uzură. Experimental s-au stabilit următoarele lățimi limită de uzură a fațetelor:

- 0,4—0,6 mm la frezarea de degroșare cu freze cilindrice, cu freze cilindro-frontale și cu freze disc cu trei tășuri;
- 1,5—2,0 mm la frezarea de degroșare cu freze cilindro-frontale cu dinți demontabili;
- 0,15—0,2 mm la frezarea de degroșare cu freze cu coadă, cu freze disc de diferite tipuri și cu alte freze;

0,3—0,5 mm la frezarea de finisare cu freze frontale cu dinți demontabili;

0,15—0,25 mm la frezarea de finisare cu freze de alte tipuri.

Operația de ascuțire a frezelor diferă după cum frezele sînt cu dinți frezați sau cu dinți detalonati.

La frezele cu dinți frezați, ascuțirea se face cu ajutorul pietrelor de rectificat în fontă de oală dreaptă sau conică. Se execută mai întîi ascuțirea feței de degajare a dinților și apoi spatele dinților. Tășul dintelui a cărui față de așezare se ascute se așază la distanța d sub planul care trece prin axa frezei și este paralel cu masa mașinii. Valoarea

distanței este dată de relația $d = \frac{D}{2} \sin \alpha$,

D fiind diametrul frezei, iar α — unghiul de așezare a dinților.

Piatra de rectificat se montează înclinat față de axa frezei și sensul de rotație este astfel ales încît să se evite formarea așchiilor filiforme (fig. 7.139). La operațiile de degroșare, unghiul α variază între 5 și 7° pentru metale cu duritate mare și se ia de 5° pentru metale cu duritate mică; la operațiile de finisare, unghiul α se micșorează pînă la 3°.

La frezele cu dinți elicoidali, valoarea unghiului α este dată de relația: $\tan \alpha = \tan \alpha_n \cdot \cos \omega$,

în care: α este unghiul principal de așezare (unghiul format în planul perpendicular pe axa frezei);

α_n — unghiul normal de așezare (unghiul format în planul perpendicular pe elicea dintelui);

ω — unghiul elicei dinților.

La frezele cilindrice cu dinți drepti, degroșarea se face prin rectificarea pe întreaga circumferință a frezei; pentru finisare, ascuțirea se face dinte cu dinte, imprimîndu-se frezei o mișcare de translație axială; mișcarea de rotație a frezei este împiedicată de un reazem (p) a cărui poziție este reglată la primul dinte și se menține constantă pentru toți dinții care se succed pentru ascuțire. La frezele cilindrice cu dinți elicoidali, pe lîngă deplasarea axială, piesele execută și o mișcare de rotație imprimată de un cap divizor sau de un reazem (p). Fețele

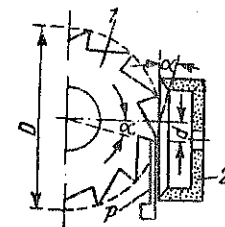


Fig. 7.139. Ascuțirea frezelor cu dinți frezați:
1 — freză; 2 — piatră de rectificat;
3 — reazem.

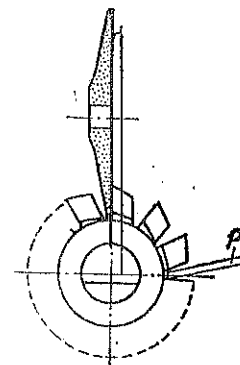


Fig. 140.

de degajare la aceste freze se ascut cu pietre de polizor în formă de taler; axa frezei se înclină față de axa pietrei de rectificat cu un unghi corespunzător unghiului ω al elicei dinților frezei.

La frezele cilindro-frontale, ascuțirea se face și pe partea frontală, cu ajutorul pietrelor de rectificat în formă de oală; în acest caz, axa pietrei este înclinată față de axa frezei cu valoarea unghiului de așezare a dinților pe partea frontală a frezei.

La frezele cu dinți detalonați, drepti sau elicoidali, ascuțirea se face pe fața de degajare cu indicația ca planul feței după ascuțire să treacă prin axa frezei (fig. 7.140). Verificarea acestei operații se face cu ajutorul unui șablon de control. Un reazem (p) asigură poziția necesară frezei în timpul ascuțirii. Pentru rectificarea se folosesc pietre de polizor cilindrice cu tăietură conică simplu sau dublu subțiată precum și pietre de polizor tip taler.

3.11.3. Regim de lucru. Regimul de lucru se alege în funcție de felul operației de rectificare, de materialul care se prelucurează și de diametrul piesei. Astfel, pentru rectificarea exterioară, vitezele periferice ale pietrei de rectificat se aleg în funcție de materialul care se prelucurează (tabela 7.51); avansurile transversale se stabilesc în funcție

Tabela 7.51. Vitezele periferice ale pietrelor de rectificat, m/s

| Materialul piesei de rectificat | Rectificare de degroșare, cu avansul | | Rectificare de finisare, cu avansul | |
|---------------------------------|--------------------------------------|---------|-------------------------------------|---------|
| | manual | automat | manual | automat |
| Fontă | 18 | 23 | 20 | 25 |
| Oțel necălit | 25 | 30 | 30 | 40 |
| Oțel călit | 25 | 30 | 30 | 40 |

Tabela 7.52. Avansuri transversale, mm/cursă mesei

| Operația de rectificare | Avansul longitudinal mai mic decât jumătate din lățimea pietrei de rectificat | Avansul longitudinal mai mare decât jumătate din lățimea pietrei de rectificat |
|-------------------------|---|--|
| Degroșare | 0,025 | 0,01 |
| Finisare | 0,015 | 0,005 |

Avansul longitudinal pentru netezire se ia 0,2—0,3 din lățimea pietrei de rectificat, indiferent de materialul care se prelucurează și de diametrul piesei.

Viteza periferică a pieselor călite la operațiile de degroșare se stabilește în funcție de avansul longitudinal folosit și de diametrul pie-

șiei de felul operației de rectificare (tabela 7.52); avansurile longitudinale ale pietrei de rectificat pentru operația de degroșare se aleg în funcție de felul materialului (tabela 7.53).

Tabela 7.53. Avansuri longitudinale la rectificarea de degroșare

| Materialul piesei de rectificat | Diametrul pietrei de rectificat, mm | Avansul longitudinal rectificat la o rotație, în fracțiuni din lățimea pietrei de rectificat |
|---------------------------------|-------------------------------------|--|
| Fontă | Pină la 20 | 0,30—0,50 |
| | Peste 20 | 0,85 |
| Oțel necălit | Pină la 20 | 0,30—0,50 |
| | Peste 20 | 0,75 |
| Oțel călit | Pină la 20 | 0,30—0,50 |
| | Peste 20 | 0,70 |

sei respective (tabela 7.54). Valorile vitezelor din tabela 7.54 se măsoară cu 10% la rectificarea pieselor necălite și se micșorează cu 10—20% la piesele de fontă.

Tabela 7.54. Viteza periferică a pieselor călite, la operații de degroșare, m/min

| Diametrul piesei care se rectifică | Avansul longitudinal, în fracțiuni din lățimea pietrei | | | | | | | | | |
|---------------------------------------|--|------|------|------|------|------|------|------|------|------|
| | 0,3 | | 0,4 | | 0,5 | | 0,6 | | 0,7 | |
| | Avansul transversal pentru o cursă a mesei, mm | | | | | | | | | |
| | 0,01 | 0,02 | 0,01 | 0,02 | 0,01 | 0,02 | 0,01 | 0,02 | 0,01 | 0,02 |
| 20 | 29 | 13 | 21,5 | 9 | 17,5 | 7,8 | 14,5 | 6,5 | 12,5 | 5,0 |
| 40 | 35,5 | 16 | 26,5 | 11,8 | 21,5 | 9,6 | 17,8 | 7,9 | 15,2 | 5,4 |
| 60 | 40 | 18 | 30 | 13,5 | 24 | 10,8 | 20 | 9,0 | 17,2 | 5,6 |
| 80 | 44 | 19,5 | 33 | 14,5 | 26,5 | 11,8 | 22 | 9,8 | 18,8 | 6,4 |
| 100 | 47 | 21 | 35 | 15,5 | 28 | 12,5 | 23,5 | 10,5 | 20 | 7,0 |
| 140 | 52 | 23 | 39 | 17,2 | 31 | 14 | 26 | 11,5 | 22 | 7,3 |
| 200 | 57,5 | 25,5 | 43 | 19,2 | 35 | 15,5 | 29 | 12,8 | 25 | 8,2 |
| 250 | 61,5 | 2,75 | 46 | 20,5 | 37 | 16,5 | 31 | 13,8 | 26,5 | 8,7 |
| 300 | 65 | 29 | 49 | 21 | 39 | 17,5 | 32,5 | 14,5 | 28 | 9,2 |

Tabela 7.55. Adâncimea de așchiere pentru o cursă dublă a mesei la mașina de rectificat exterior, mm/c.d.

| Rectificare de: | Materialul piesei care se rectifică | Diametrul piesei de rectificat, mm | | | |
|-----------------|-------------------------------------|------------------------------------|-------------|-------------|-------------|
| | | 20—40 | 60—80 | 120—200 | 250—300 |
| Degroșare | Oțel călit | 0,015—0,02 | 0,02—0,035 | 0,025—0,045 | 0,35—0,06 |
| | Oțel necălit | 0,015—0,025 | 0,025—0,040 | 0,030—0,055 | 0,05—0,07 |
| | Fontă | 0,02—0,03 | 0,035—0,055 | 0,05—0,08 | 0,06—0,08 |
| Finisare | Oțel călit | 0,005—0,01 | 0,005—0,01 | 0,005—0,012 | 0,005—0,015 |
| | Oțel necălit | 0,005—0,01 | 0,005—0,012 | 0,005—0,015 | 0,007—0,015 |
| | Fontă | 0,005—0,012 | 0,005—0,015 | 0,007—0,015 | 0,007—0,018 |

Adâncimea de așchiere pentru rectificarea exterioară de degroșare și rectificarea de finisare, în funcție de diametrul piesei de rectificat, este indicată în tabela 7.55. Valorile din această tabelă se micșorează puțin în cazul rectificării interioare.

3.11.4. Adaosuri de prelucrare. Operațiile de rectificare sînt, în general precedate de alte operații de așchiere, cum sînt, de exemplu, strunjirea de finisare, frezarea de finisare etc. Pentru obținerea dimensiunilor impuse pieselor după rectificare este necesar a se lăsa acestora după operațiile preliminare de așchiere un strat suplimentar de material ca adaos pentru rectificare.

Adaosurile de prelucrare trebuie să aibă asemenea valori încît să poată fi îndepărtate în timp minim și să permită obținerea după rectificare a dimensiunilor cerute piesei cu abaterile limită admise.

Mărimea adaosurilor de prelucrare mai este în funcție și de tehnologia de prelucrare a pieselor înainte și după rectificare, precum și de gradul de netezime pe care trebuie să-l aibă suprafața rectificată. Astfel, dacă rectificarea de degroșare este executată înainte de tratamentul termic, adaosurile de prelucrare totale pentru rectificare trebuie să fie de aproximativ de 1,5 ori mai mare decât adaosurile normale de prelucrare pentru rectificare. O mărime a adaosurilor de prelucrare se impune și în cazul când, după rectificarea suprafețelor metalice, acestea urmează a fi supuse și altor prelucrări (de exemplu, rodare). Când suprafața rectificată a pieselor trebuie să aibă un grad înalt de netezime, este necesar ca adaosurile de prelucrare să fie de asemenea mai mari, deoarece înaintea rectificării de finisare trebuie executată și o rectificare de degroșare.

În tabelele 7.56—7.58 sînt arătate adaosurile de prelucrare pentru operațiile de rectificare rotundă exterioară, între vîrfuri și fără vîrfuri precum și pentru rectificarea rotundă interioară. Valorile acestor adaosuri trebuie majorate cu 50% în cazul când rectificarea de degroșare se efectuează înainte de tratamentul termic al pieselor. Din aceste adaosuri, 40% se îndepărtează înainte de tratamentul termic și restul de 60% după tratamentul termic.

3.11.5. Mașini de rectificat. 3.11.5.1. Generalități. O mașină de rectificat se compune, în general, din următoarele părți mai importante: batiul, o masă dreptunghiulară sau rotundă portpiesă, suportul pietrei de rectificat, păpușa fixă și păpușa mobilă, mecanismul de antrenare al pietrei de rectificat pentru mișcarea de rotație, mecanismele de avans pentru masa portpiesă și suportul pietrei de rectificat, dispozitivul de antrenare al axului păpușii fixe pentru mișcarea de rotație a piesei, motoarele pentru antrenarea pietrei de rectificat a axului păpușii fixe etc.

Mișcările de avans ale mesei se obțin de obicei prin mecanisme cu acționare hidraulică.

Caracteristicile unei mașini de rectificat obișnuite sînt: distanța dintre vîrfuri, cursa maximă a mesei, cursa maximă transversală sau verticală a suportului pietrei de rectificat diametrul maxim al pietrei de rectificat și turațiile maxime și minime ale axului de rectificat, avansurile mesei și ale pietrei de rectificat, precum și turațiile maxime și minime ale axului păpușii fixe.

3.11.5.2. Clasificare și descriere. După forma suprafețelor și după felul pieselor care se rectifică, mașinile de rectificat se clasifică în mașini de rectificat rotund, mașini de rectificat plan și mașini de rectificat speciale.

a. Mașini de rectificat rotund. Aceste mașini sînt folosite pentru operațiile de rectificare rotundă. Mașinile de rectificat rotund se împart

Tabela 7.56. Adaosuri de prelucrare pentru rectificarea rotundă, între vîrfuri

| Materialul; de rectificat | Diametrul nominal al piesei, mm | Lungimea de rectificat, mm | | | | | | | | |
|------------------------------|---|----------------------------|-----------|-----------|-----------|-----------|-----------|-----------|------------|---|
| | | Pînă la 50 | 50—100 | 100—400 | 400—800 | 800—1200 | 1200—1600 | 1600—2000 | peste 2000 | |
| Piese că- lite | 3—10 | 0,20—0,23 | 0,20—0,30 | 0,25—0,35 | | | | | — | |
| | 10—18 | 0,25—0,30 | 0,25—0,35 | 0,30—0,40 | — | — | — | — | — | |
| | 18—30 | 0,25—0,30 | 0,25—0,40 | 0,30—0,45 | 0,35—0,50 | — | — | — | — | |
| | 30—50 | 0,35—0,40 | 0,35—0,50 | 0,40—0,55 | 0,45—0,60 | 0,55—0,65 | — | — | — | |
| | 50—120 | 0,40—0,45 | 0,40—0,55 | 0,45—0,60 | 0,50—0,60 | 0,60—0,75 | 0,70—0,85 | 0,75—0,95 | 0,80—1,00 | |
| | 120—180 | — | 0,50—0,65 | 0,55—0,70 | 0,60—0,75 | 0,65—0,80 | 0,75—0,90 | 0,80—0,95 | 0,80—1,00 | |
| | 180—260 | — | 0,55—0,70 | 0,60—0,75 | 0,70—0,85 | 0,70—0,85 | 0,80—0,95 | 0,85—1,05 | 0,90—1,10 | |
| | 260—360 | — | 0,60—0,80 | 0,65—0,85 | 0,70—0,90 | 0,80—1,00 | 0,85—1,10 | 0,90—1,10 | 0,95—1,15 | |
| | peste 360 | — | 0,70—0,90 | 0,80—1,00 | 0,85—1,05 | 0,90—1,10 | 0,95—1,15 | 0,95—1,15 | 0,95—1,15 | |
| | Piese ne- călitate, din ma- teriale diferite | 2—10 | 0,15—0,17 | 0,15—0,25 | 0,20—0,30 | — | — | — | — | — |
| 10—18 | | 0,20—0,23 | 0,20—0,30 | 0,20—0,30 | — | — | — | — | — | |
| 18—30 | | 0,20—0,23 | 0,20—0,35 | 0,20—0,35 | 0,25—0,40 | — | — | — | — | |
| 30—50 | | 0,25—0,28 | 0,25—0,40 | 0,25—0,40 | 0,30—0,45 | 0,40—0,55 | 0,45—0,60 | 0,50—0,70 | 0,60—0,80 | |
| 50—120 | | 0,30—0,34 | 0,30—0,45 | 0,30—0,45 | 0,30—0,45 | 0,40—0,55 | 0,45—0,60 | 0,50—0,70 | 0,60—0,80 | |
| 120—180 | | — | 0,40—0,55 | 0,40—0,55 | 0,40—0,55 | 0,45—0,60 | 0,45—0,60 | 0,50—0,70 | 0,60—0,80 | |
| 180—260 | | — | 0,45—0,60 | 0,45—0,60 | 0,45—0,60 | 0,45—0,60 | 0,45—0,60 | 0,50—0,70 | 0,60—0,80 | |
| 260—360 | | — | 0,50—0,70 | 0,50—0,70 | 0,50—0,70 | 0,50—0,70 | 0,50—0,70 | 0,50—0,80 | 0,60—0,80 | |
| peste 360 | | — | 0,60—0,80 | 0,60—0,80 | 0,60—0,80 | 0,60—0,80 | 0,60—0,80 | 0,50—0,80 | 0,60—0,80 | |

Tabela 7.57. Adaosuri de prelucrare pentru rectificarea rotundă, fără vîrfuri

| Materialul de rectificat | Diametrul nominal al piesei, mm | Lungimea de rectificat, mm | | | | | |
|--------------------------|---------------------------------|----------------------------|-----------|-----------|-----------|-----------|-----------|
| | | Pînă la 50 | 50—100 | 100—250 | 250—500 | 500—750 | 750—1000 |
| Piese călite | 1—3 | 0,12—0,15 | 0,13—0,17 | 0,14—0,18 | 0,15—0,20 | 0,15—0,20 | 0,17—0,22 |
| | 3—10 | 0,15—0,20 | 0,17—0,22 | 0,20—0,25 | 0,22—0,27 | 0,25—0,30 | 0,25—0,30 |
| | 10—18 | 0,18—0,25 | 0,25—0,32 | 0,25—0,32 | 0,28—0,35 | 0,30—0,37 | 0,30—0,37 |
| | 18—30 | 0,20—0,30 | 0,28—0,38 | 0,28—0,38 | 0,32—0,42 | 0,35—0,45 | 0,35—0,45 |
| | 30—50 | 0,25—0,38 | 0,38—0,45 | 0,35—0,45 | 0,40—0,50 | 0,45—0,55 | 0,50—0,60 |
| | 50—120 | 0,35—0,45 | 0,40—0,50 | 0,40—0,50 | 0,45—0,55 | 0,50—0,65 | 0,60—0,75 |
| Piese necălite | 120—180 | 0,45—0,55 | 0,50—0,65 | 0,50—0,65 | 0,55—0,70 | 0,65—0,80 | 0,75—0,90 |

Tabela 7.57. (continuare)

| Materialul de rectificat | Diametrul nominal al piesei, mm | Lungimea de rectificat, mm | | | | | |
|--------------------------|---------------------------------|----------------------------|-----------|-----------|-----------|-----------|-----------|
| | | Până la 10 | 50—100 | 100—250 | 250—500 | 500—750 | 750—1000 |
| Piese necălite | 1—3 | 0,10—0,13 | 0,10—0,13 | 0,12—0,15 | 0,12—0,15 | 0,13—0,17 | 0,15—0,20 |
| | 3—10 | 0,13—0,17 | 0,13—0,18 | 0,15—0,20 | 0,17—0,22 | 0,20—0,25 | 0,20—0,25 |
| | 10—18 | 0,17—0,23 | 0,18—0,25 | 0,20—0,27 | 0,20—0,28 | 0,20—0,30 | 0,20—0,30 |
| | 18—30 | 0,20—0,28 | 0,20—0,30 | 0,22—0,32 | 0,23—0,33 | 0,25—0,35 | 0,30—0,40 |
| | 30—50 | 0,25—0,33 | 0,25—0,35 | 0,27—0,37 | 0,28—0,38 | 0,30—0,40 | 0,35—0,45 |
| | 50—120 | 0,30—0,38 | 0,30—0,40 | 0,32—0,42 | 0,33—0,44 | 0,35—0,47 | 0,40—0,52 |
| | 120—180 | 0,33—0,43 | 0,35—0,45 | 0,38—0,50 | 0,40—0,53 | 0,42—0,57 | 0,45—0,60 |

Tabela 7.58. Adăsurii de prelucrare pentru rectificarea rotundă interioară

| Materialul de rectificat | Diametrul nominal al piesei, mm | Lungimea de rectificat, mm | | | | | |
|--------------------------|---------------------------------|----------------------------|-----------|-----------|-----------|-----------|-----------|
| | | Până la 10 | 10—25 | 25—50 | 50—100 | 100—150 | 150—200 |
| Piese călite | 3—10 | 0,15—0,17 | 0,17—0,20 | 0,20—0,25 | 0,27—0,32 | 0,35—0,45 | — |
| | 10—18 | 0,17—0,20 | 0,20—0,25 | 0,22—0,27 | 0,30—0,35 | 0,40—0,50 | — |
| | 18—30 | 0,20—0,25 | 0,22—0,27 | 0,25—0,30 | 0,35—0,45 | 0,50—0,65 | 0,45—0,60 |
| | 30—50 | 0,25—0,35 | 0,27—0,37 | 0,30—0,40 | 0,45—0,55 | 0,60—0,75 | 0,55—0,70 |
| | 50—120 | 0,35—0,40 | 0,35—0,45 | 0,40—0,50 | 0,50—0,60 | 0,60—0,80 | 0,65—0,80 |
| | 120—180 | 0,40—0,50 | 0,40—0,50 | 0,45—0,55 | 0,50—0,60 | 0,70—0,80 | 0,75—0,90 |
| | 180—260 | 0,45—0,55 | 0,45—0,55 | 0,50—0,65 | 0,55—0,70 | 0,80—1,00 | 0,85—1,05 |
| | 260—360 | 0,55—0,65 | 0,55—0,65 | 0,60—0,75 | 0,65—0,80 | — | — |
| Piese necălite | 3—10 | 0,12—0,15 | 0,12—0,15 | 0,15—0,20 | 0,20—0,25 | — | — |
| | 10—18 | 0,15—0,17 | 0,15—0,17 | 0,17—0,22 | 0,20—0,27 | — | — |
| | 18—30 | 0,15—0,17 | 0,15—0,17 | 0,17—0,22 | 0,20—0,27 | 0,27—0,35 | 0,35—0,45 |
| | 30—50 | 0,17—0,20 | 0,17—0,22 | 0,20—0,25 | 0,25—0,32 | 0,30—0,35 | 0,35—0,45 |
| | 50—120 | 0,22—0,27 | 0,22—0,27 | 0,25—0,32 | 0,32—0,40 | 0,35—0,45 | 0,40—0,50 |
| | 120—180 | 0,30—0,35 | 0,32—0,37 | 0,35—0,40 | 0,37—0,45 | 0,40—0,50 | 0,45—0,55 |
| | 260—360 | 0,40—0,50 | 0,45—0,55 | 0,45—0,55 | 0,50—0,60 | 0,50—0,60 | 0,55—0,70 |

în mașini de rectificat rotund exterior, mașini de rectificat rotund interior și mașini de rectificat universale.

1. *Mașini de rectificat rotund exterior* se caracterizează de obicei prin turația mare a pietrei de rectificat, turația mică a piesei care se prelucurează, avansul longitudinal al mesei portpiesă și avansul transversal al pietrei abrazive; în general, aceste avansuri se obțin prin mecanisme hidraulice. După felul construcției și al operațiilor de prelucrare care pot fi executate, aceste mașini se mai clasifică în: mașini de rectificat rotund simple și mașini de rectificat rotund fără vîrfuri.

— *Mașina de rectificat rotund simplă* diferă de mașina de rectificat rotund universală, prin faptul că nu are dispozitivul de rectificat interior și nu permite decât rectificarea suprafețelor cu conicitate mică, în care scop este posibilă rotirea mesei portpiesă numai cu un unghi pînă la 5—10°. Cu această mașină se mai pot rectifica și suprafețele frontale ale pieselor, prin avansul transversal al suportului pietrei abrazive.

În țară, la I.M.U.A.B., se fabrică și mașinile de rectificat rotund exterior simple: RE 100 pentru arbori cu diametrul exterior pînă la $\varnothing = 100$ mm, RE 350-1 ($\varnothing = 350$ mm) și RE 350-2 ($\varnothing = 350$ mm).

— *Mașina de rectificat rotundă fără vîrfuri* se utilizează la rectificarea fără vîrfuri a suprafețelor cilindrice exterioare ale unei piese. Procedul de lucru la această mașină este arătat la subcapitolul „Rectificarea rotundă exterioară” (fig. 7.141).

Întreprinderea Mașini-Unelte și Agregate București (I.M.U.A.B.) construiește în prezent mașinile de rectificat fără vîrfuri tip RFC 200, pentru rectificări universale, și mașina de rectificat fără vîrfuri tip RFC 200-LM, cu lagăr hidrostatic pentru arborele pietrei de rectificat.

Mașinile sînt dotate cu dispozitive de oscilare axială a pietrei de rectificat, pentru operațiile de suprafinisare. Piatra de avans are posibilitatea de variație liniară continuă a turației și variație unghiulară în două plane a poziției arborelui, ceea ce permite reglarea optimă a avansului de rectificarea prin trecere.

Caracteristicile tehnice principale ale acestor mașini sînt:

- diametrul de prelucrare minim/maxim 1,5/200 mm;
- diametrul minim/maxim al pietrei de rectificat 360/508 mm;
- diametrul minim/maxim al pietrei de avans 225/305 mm;
- turația maximă a pietrei de rectificat 1 200 rot/min;
- turația pietrei de avans 17 ... 72 rot/min;
- puterea motorului pietri de rectificat 13 kW;
- puterea motorului instalației hidraulice 1,1 kW.

2. *Mașinile de rectificat rotund interior* se utilizează la rectificarea alezajelor. După construcția și modul de lucru, aceste mașini se clasi-

fică în : mașini de rectificat rotund interior cu dispozitiv de prindere, mașini de rectificat rotund interior planetare și mașini de rectificat rotund interior fără vîrfuri.

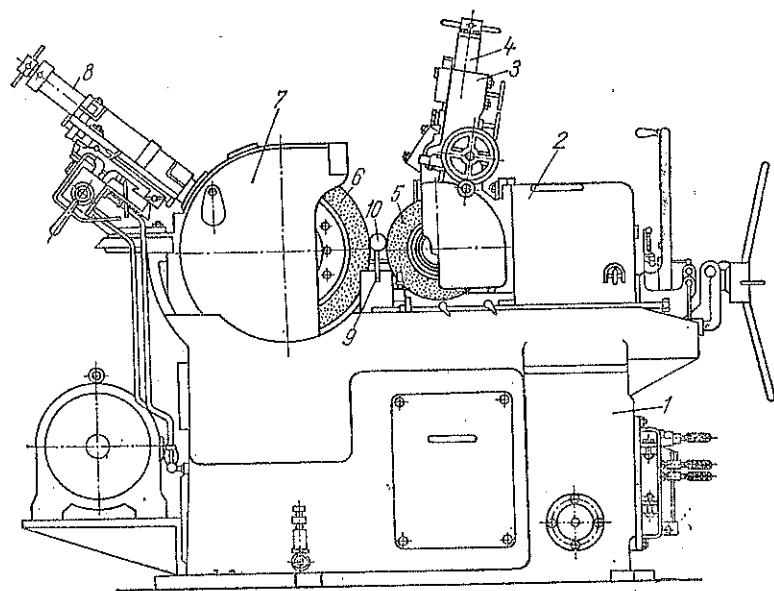


Fig. 7.141. Mașină de rectificat rotund, exterior, fără vîrfuri :

1 — batiu; 2 — suportul discului de avans; 3 — suportul dispozitivului de ascuțit discul de avans; 4 — dispozitivul reglabil de ascuțit discul de avans; 5 — discul de avans; 6 — discul de rectificat; 7 — suportul discului de rectificat; 8 — dispozitivul de ascuțit discul de rectificat; 9 — riglă de reazem a piesei; 10 — piesa care se prelucurează.

— Mașina de rectificat rotund interior, cu dispozitiv de prindere. La această mașină se pot rectifica suprafețele cilindrice și conice ale alezajelor, precum și suprafețe frontale mici. Piesa fixată în universal se rotește; în același timp se rotește și discul de rectificat; acesta execută de asemenea avansul longitudinal și avansul transversal.

În fig. 7.142 este arătată mașina de rectificat interior R.I. 12, construită în țară, pentru rectificarea interioară și frontală a pieselor rotunde. Retragerea și readucerea pietrei se realizează cu un mecanism cu acționare hidraulică. Mașina este prevăzută cu două broșe cu diametrele de 60 și 80 mm. Dimensiunile maxime de rectificat sînt : diametrul 250 mm și lungimea 225 mm; limitele turațiilor arborelui principal sînt 40—400 rot/min; avansul mesei port-piesă este : 0,3—6 m/min

Uzina mecanică Cugir a construit mașinile de rectificat interior RI 80—65, RI 80—65 A, RI 80—50 și RI 80—35.

Mașinile de rectificat tip RI 80—65 sînt destinate operațiilor de rectificare a alezajelor cilindrice sau conice, precum și a suprafețelor plan-frontale la piese cu configurații diferite. Ciclul de lucru este comandat prin măsurare indirectă după poziția dispozitivului de corectare a pietrei (care măsoară indirect diametrul pe piesă). Acționarea este hidraulică.

Aceste mașini au două variante :

— RI 80 — 65, cu dispozitiv de corectat diametrul pietrei de interior în timpul lucrului;

— RI 80—65 A, cu același dispozitiv și avînd în plus dispozitiv de corectat frontal piatra.

Mașinile de rectificat tip RI 80—50 sînt destinate fabricației în serie mare executînd aceleași operații ca cele din grupa precedentă cu deosebirea că lucrează în ciclu automat, prin măsurări electronice directe cu ajutorul unui palpator cu vîrf de diamant. Mașina este alimentată automat cu piese prin intermediul unui vibrator. Acest tip de mașină este destinat exclusiv rectificării interioare a inelelor de rulmenți cu alezaj cilindric sau conic.

Mașinile de rectificat tip RI 80 — 35 sînt destinate exclusiv fabricației în serie pentru operația de rectificare a fundului interior al alezajelor înfundate. Se folosesc în producția de rulmenți, casete cardanice pentru auto etc.

La aceeași întreprindere se mai execută în prezent mașinile de rectificat interior SM32—A (pentru alezaje cu diametre de la $\Phi_1 = 10$ mm pînă la $\Phi_2 = 100$ mm), SM—ME 63A ($\Phi_1 = 10$ mm; $\Phi_2 = 100$ mm), SM — MEP 69A ($\Phi_1 = 10$ mm; $\Phi_2 = 135$ mm), SM — MEPG 71A ($\Phi_1 = 15$ mm; $\Phi_2 = 135$ mm) și mașina de rectificat interior și frontal RIF 10/100 ($\Phi_1 = 10$ mm; $\Phi_2 = 100$ mm).

— Mașina de rectificat rotund planetară se folosește la rectificarea a lezajelor mari pentru piese care nu pot fi

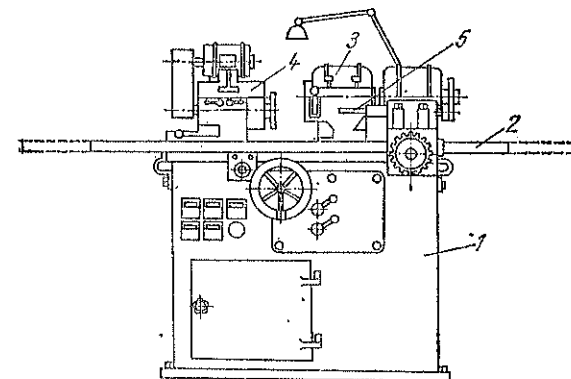
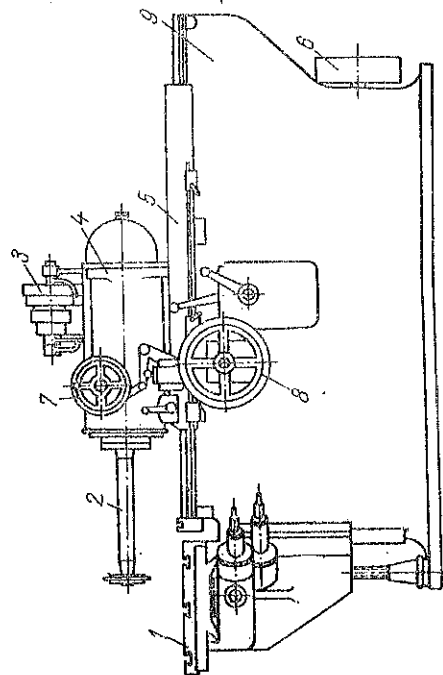
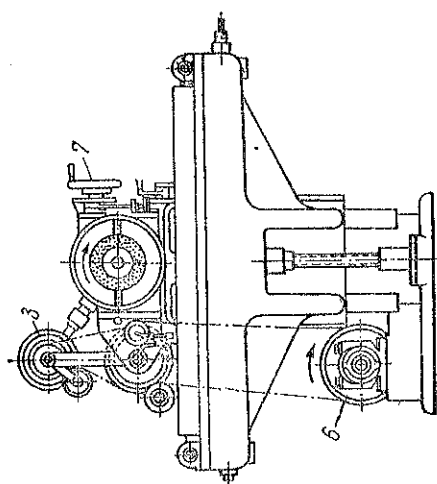


Fig. 7.142. Mașină de rectificat interior :

1 — batiu; 2 — masă portpiesă; 3 — suport pentru discul de rectificat; 4 — păpușă portpiesă; 5 — broșă.

antrenate în mișcare de rotație. După poziția arborelui discului de rectificat, aceste mașini pot fi orizontale (fig. 7.143) sau verticale.



Masa portpiesă se poate deplasa în două direcții perpendiculare una pe cealaltă, iar arborele discului de rectificat execută atât mișcarea de rotație în jurul axei sale, cât și mișcarea planetară. Suportul pietrei abrazive se deplasează pe ghidajele batiului pentru realizarea avansului longitudinal în direcția axei găurii. Cu ajutorul unei roți de mină, sau mecanic, se imprimă pietrei de rectificat avansul transversal după fiecare cursă dublă longitudinală.

3. Mașina de rectificat rotund universală este numită astfel deoarece cu ea se pot rectifica suprafețe cilindrice sau conice (cu conicități mici sau mari), exterioare sau interioare, precum și suprafețe plane. Pentru rectificarea conică a pieselor lungi, masa portpiesă se poate roti cu un unghi până la 10° , pentru conicități mari și pentru rectificarea plană, păpușa portpiesă se poate roti în plan orizontal cu 360° . Cu ajutorul unui suport special pentru broșa pietrei abrazive, se realizează rectificarea suprafețelor interioare cilindrice sau conice. Mișcarea principală de rotație rapidă a discului de rectificat se obține de la un motor

Fig. 7.143. Mașină de rectificat rotund planetară, orizontală:

1 — masa portpiesă; 2 — axul discului de rectificat; 3 — con în trepte pentru vitezele discului de rectificat; 4 — suportul discului de rectificat; 5 — sania suportului discului de rectificat; 6 — roată de antrenare; 7 — roată de mină pentru schimbarea excentricității axului pietrei; 8 — roată de mină pentru deplasarea orizontală a saniei 5; 9 — batiul.

special; suportul discului de rectificat execută mișcarea de apropiere și îndepărtare a discului față de piesa care se prelucurează, precum și avansul radial (de pătrundere). Masa portpiesă execută mișcarea de avans longitudinal, iar printr-un motor separat păpușa din față imprimă piesei o mișcare de rotație lentă. În afară de mișcările de rotație și mișcarea de pătrundere a pietrei abrazive, restul mișcărilor se obțin de obicei prin mecanisme cu acționare hidraulică.

În fig. 7.144 sînt arătate părțile componente ale unei mașini de rectificat rotund, universală.

În țara noastră se construiește mașina de rectificat rotund universală RU 200. Diametrul de prelucrare maximă \varnothing este de 200 mm, iar cursa maximă a mesei este de 650 mm.

La I.M.U.A.B. se fabrică și mașinile de rectificat rotund universale: RU 100 ($\varnothing = 100$ mm), RU 350-1 ($\varnothing = 350$ mm) și RU 350-2 ($\varnothing = 350$ mm).

Mașina este destinată lucrărilor de fabricație individuală și de serie și operațiilor de sculărie pentru rectificarea suprafețelor exterioare sau interioare de formă cilindrică, conică sau plan-frontală.

Deplasările mesei și ale păpușii portpiatră se realizează hidraulic prin comenzi automate sau individuale.

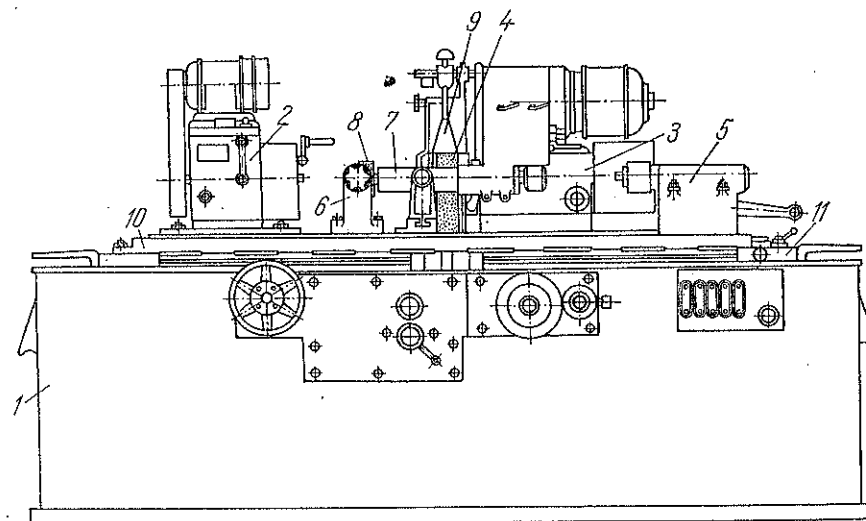


Fig. 7.144. Mașină de rectificat rotund universală:

1 — batiul; 2 — păpușa portpiesă; 3 — suportul discului de rectificat; 4 — disc abraziv pentru rectificarea exterioară; 5 — păpușa din spate; 6 — dispozitiv de sprijinire; 7 — broșă pentru rectificarea interioară; 8 — piatră abrazivă pentru rectificarea interioară; 9 — dispozitiv de răcire cu apă; 10 — masa superioară; 11 — masa inferioară.

b. **Mașina de rectificat plan.** După poziția arborelui sculei abrazive, mașinile de rectificat plan se clasifică în mașini orizontale și verticale. Ambele tipuri de mașini pot fi cu masă portpiesă dreptunghiulară sau rotundă.

— *Mașina de rectificat plan orizontală, cu masa dreptunghiulară* se folosește la rectificarea suprafețelor plane cu partea periferică a discului abraziv, a cărui axă este orizontală. Masa portpiesă execută manual sau mecanic mișcarea rectilinie alternativă și avansul transversal, iar suportul piesei — mișcarea verticală și avansul de pătrundere. Atât mișcarea longitudinală cât și avansul transversal se obțin de obicei fie manual fie mecanic. Piese se fixează în mod obișnuit de platouri de fixare magnetice sau electromagnetice.

În țara noastră se construiește mașina de rectificat plan RP250 destinată operațiilor de rectificare plană, de înaltă precizie.

Suprafața mesei este de 250×710 mm, iar cursa maximă a suportului transversal, de 299 mm.

Comenzile mașinii și mișcările principale sînt acționate electrohidraulic. Mașina poate lucra cu comenzi individuale sau în ciclu automat.

— *Mașina de rectificat plan orizontală, cu masă rotundă.* Această mașină are arborele discului orizontal și masa portpiesă rotundă; acționarea acestora se face de obicei cu motoare separate. Avansul transversal și avansul de pătrundere se efectuează de către suportul discului abraziv. Cu această mașină se rectifică, în mod obișnuit, suprafețele frontale ale pieselor în formă de disc.

— *Mașina de rectificat plan verticală, cu masă dreptunghiulară* (fig. 7.145) are arborele sculei abrazive vertical și masa portpiesă dreptunghiulară. Prelucrarea pieselor se face prin procedeul rectificării plane frontale, folosindu-se de cele mai deseori capete de rectificat cu segmenti abrazivi și uneori discuri abrazive avînd formă de oală. Masa portpiesă execută manual sau mecanic mișcarea rectilinie alternativă, iar suportul sculei abrazive execută avansul de pătrundere după fiecare cursă dublă a mesei.

La întreprinderea Unirea Cluj se fabrică mașina de rectificat plan orizontală RPO 200 cu lățimea mesei de lucru $l = 200$ mm, RPO 320 cu $l = 320$ mm și mașina de rectificat plan verticală RPV 320 cu $l = 320$ mm.

La întreprinderea Mecanică Cugir se fabrică mașina de rectificat plan orizontală RPO 125 cu dimensiunile mesei de lucru de 125×300 mm.

— *Mașina de rectificat plan verticală, cu masă rotundă.* Prelucrarea se face la fel ca la mașina cu masa dreptunghiulară. Masa mașinii este construită uneori sub formă de platou magnetic, asigurînd astfel

prinderea pieselor care se prelucurează. Mișcarea de avans transversal și avansul de pătrundere se execută de suportul sculei abrazive. Productivitatea acestor mașini este mai mare decît a mașinilor de rectificat plan orizontale, însă calitatea suprafețelor prelucrate este inferioară.

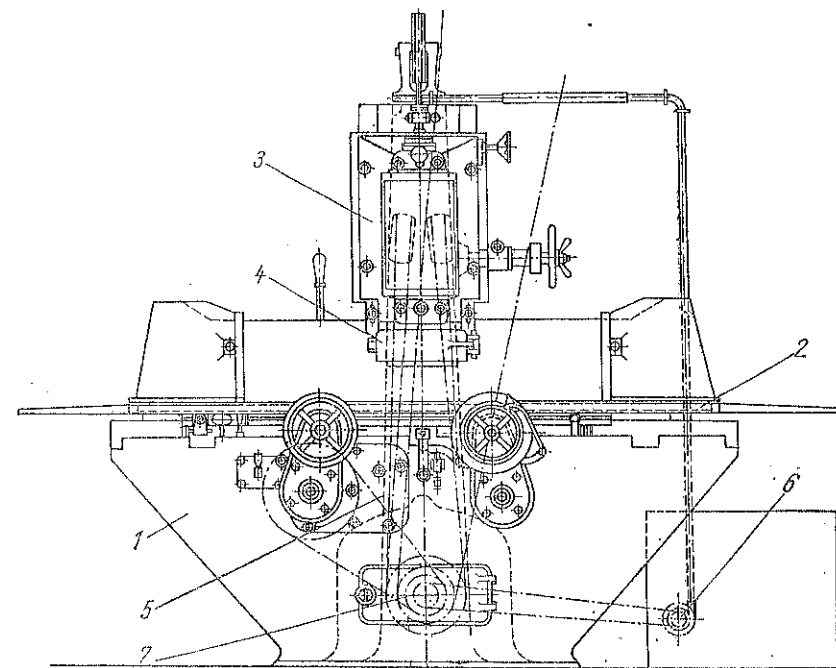


Fig. 7.145. Mașina de rectificat plan, verticală, cu masa dreptunghiulară:
1 — batiu; 2 — masă portpiesă; 3 — suportul uneltei abrazive; 4 — cap de rectificat cu segmenti abrazivi; 5 — panou de comandă; 6 — pompă de răcire; 7 — motor.

c. **Mașini de rectificat speciale.** Din această grupă fac parte mașinile construite pentru anumite operații de rectificare sau care servesc la rectificarea anumitor piese. Pentru exemplificare, se menționează mașinile de rectificat roți dințate, mașinile de rectificat filet, mașinile de rectificat arbori motori sau arbori cu came, mașinile de ascuțit scule.

— *Mașina de rectificat roți dințate cilindrice.* După procedeul de rectificare a dinților folosit — prin copiere sau rostogolire, — se deosebesc: mașinile de rectificat prin copiere și mașinile de rectificat prin rostogolire. Principiile de lucru la ambele procedee sînt descrise la subcapitolul „Rectificarea suprafețelor cu profile speciale”.

Mașina de rectificat prin rostogolire se compune din următoarele părți principale (fig. 7.146): un batiu 1, pe care culisează orizontal un berbec portdisc abraziv 2 și vertical o masă în consolă 3. Pe masa consolă se deplasează în direcție orizontală masa portpiesă 4 cu un arbore 5, având, la o extremitate roata dințată 6, iar la cealaltă extremitate un cilindru 7 pentru comanda mișcării de rostogolire; în acest scop acest cilindru este antrenat în mișcare de oscilație cu ajutorul a două benzi de oțel 8, care au câte o extremitate fixată pe sania de comandă 9 a acestei mișcări. Pe același arbore este montat

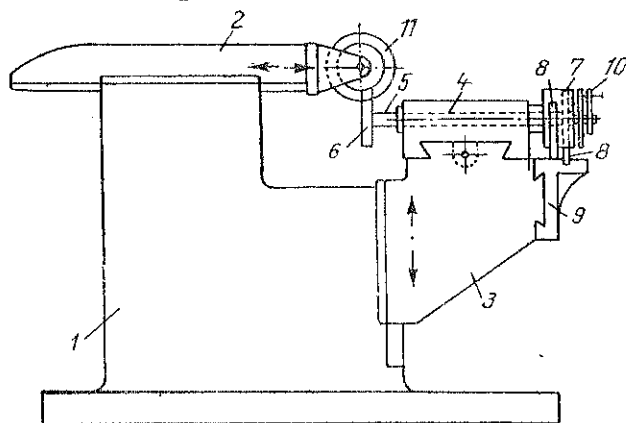


Fig. 7.146.

la capăt un dispozitiv divizor 10, pentru rotirea roții după rectificarea fiecărui dinte. Discul abraziv 11 are o turație mare și execută împreună cu berbecul 2 o mișcare rectilinie alternativă, comandă printr-un mecanism cu culisă.

— *Mașina de rectificat filete.* Mașina de rectificat filete, universală, se folosește la rectificarea filetelor de înaltă precizie, exterioare sau interioare, cilindrice sau conice, cu unul sau mai multe începuturi.

Părțile și accesoriile importante ale acestei mașini sunt: batiul, masa de lucru, compusă din masă inferioară și masa superioară, sania-suport a discului de rectificat, mecanismele mișcărilor de avans, motorul de antrenare al discului de rectificat, păpușile fixă și mobilă, dispozitivul de corectare a filetului, dispozitivul de ascuțit piatra abrazivă etc. Mișcarea de avans longitudinal a piesei este executată de către masa de lucru. Piesa de filetat fixată pe arborele principal între vîrfuri sau în universal, execută mișcarea de rotație; de la același arbore principal se transmite în același timp o mișcare de rotație și șurubului conducător care imprimă mesei de lucru mișcarea de avans longitudinal. Reglarea acestor mișcări în acord cu pasul filetului de rectificat se obține cu ajutorul roților de schimb alese în mod corespunzător. Discul abraziv execută mișcarea principală de rotație transmisă de la un motor separat, iar sania portdisc abraziv execută cu discul avansul transversal de așchiere. Pentru corectarea pasului filetului (pînă la $\pm 0,2\%$) se folo-

sește un dispozitiv de corectare. Filetele cu pasul pînă la 1,5 mm pot fi executate prin abraziune la aceste mașini de rectificat, fără a mai fi necesară o strunjire prealabilă. Pentru rectificarea filetelor conice, se rotește cu unghiul necesar masa superioară pe care sînt fixate păpușile fixă și mobilă.

— *Mașina de rectificat plan, cu ax orizontal RP 11,* construită în țară, este o mașină de rectificat specială și se folosește la rectificarea suprafețelor plane ale sculelor, calibrelor etc. Mașina (fig. 7.147) este acționată de un singur motor, care antrenează axul pietrei. Deplasările mesei și pietrei de rectificat se execută manual; mișcările de avans sînt reglabile. Fixarea pieselor se face pe un platou magnetic.

— *Mașina de rectificat bile de rulmenți* face parte tot din grupa mașinilor de rectificat speciale; în țara noastră se fabrică mașinile de rectificat bile de rulmenți MRB 30A, pentru diametre de la $\varnothing = 3,175 \dots \varnothing = 25,4$ mm, și MRB 36A, pentru diametre de la $\varnothing = 4,76 \dots \varnothing = 50,8$ mm.

d. *Mașini de ascuțit scule.* După felul operațiilor sau al sculelor care pot fi ascuțite, aceste mașini-unelte se clasifică în: mașini de ascuțit simple (de exemplu, polizorul), mașini de ascuțit speciale (de exemplu, mașinile de ascuțit burghie spirale, mașinile de ascuțit filiere, mașinile de ascuțit tarozi etc.) și mașini de ascuțit universale.

Polizorul face parte din grupa mașinilor de ascuțit simple și se folosește la ascuțirea manuală a anumitor scule, cum sînt: cuțitele de strung, rabotează și mortează, burghiile spirale etc. (fig. 7.148). El se compune dintr-un batiu rigid în care se montează un arbore, la extremitățile căruia se fixează pietrele de polizor. Pe arborele portpiatră se montează fie rotorul motorului de antrenare, fie roțile cu

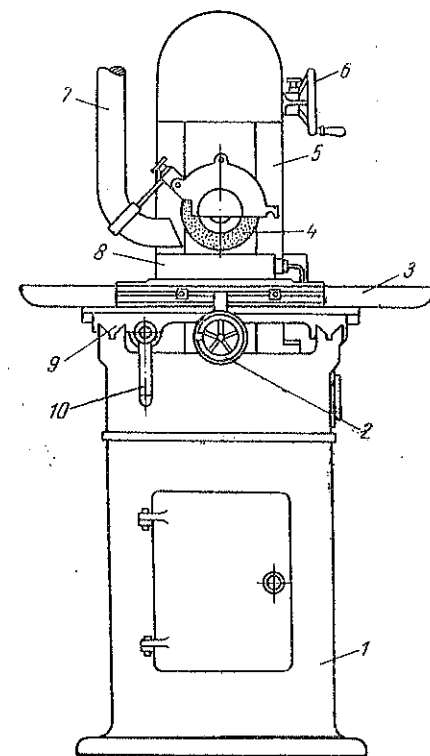


Fig. 7.147. Mașină de rectificat plan:

1 — batiu; 2 — roată de mină pentru deplasarea longitudinală a mesei; 3 — masă (sania longitudinală); 4 — piatră de rectificat; 5 — ghidaje; 6 — roată de mină pentru deplasarea verticală a pietrei de rectificat; 7 — tub exhaustor; 8 — platou magnetic; 9 — sanie pentru deplasarea transversală a mesei.

curea cînd antrenarea polizorului se face de la o transmisie prin curele. Pentru evitarea accidentelor, în cazul spargerii pietrelor acestea sînt acoperite parțial cu apărători metalice. Doi suporti montați în fața pietrelor de polizor ajută rezemarea sculelor în timpul ascuțirii.

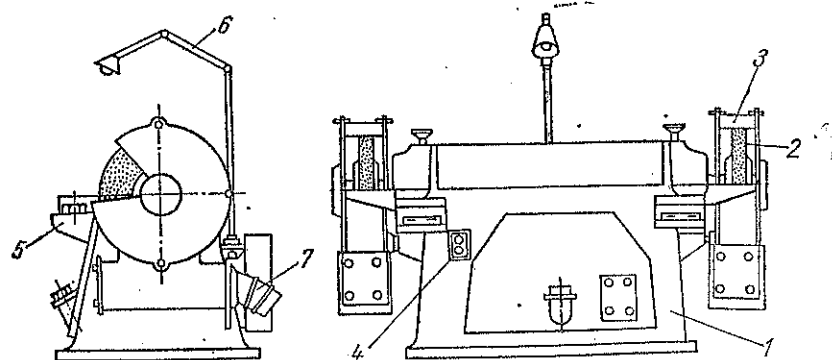


Fig. 7.148. Polizor pentru ascuțit scule :

1—batiu ; 2 —piatră de polizor ; 3 — apărătoare ; 4 — butoane pentru pornirea și oprirea motorului ; 5 — portcrează pentru scule ; 6 — lampă electrică ; 7 — tub exhaustor.

Mașina de ascuțit cuțite este o mașină de ascuțit specială și se folosește la ascuțirea cuțitelor pentru strung, rabotează, șeping și morteză. Mașina are pietrele abrazive antrenate de motoare separate (fig. 7.149). Una dintre pietrele abrazive servește la degroșarea corpului cuțitului, iar a doua piatră pentru ascuțirea plăcuței de carbură metalică. Masa port-cuțit se poate deplasa și transversal și se poate înclina în jurul axei longitudinale. Dintre accesoriile mașinii fac parte : dispozitivele pentru ascuțirea fețelor de degajare și de așezare ale cuțitului, dispozitivul pentru rotunjirea vârfului cuțitului și dispozitivul pentru îndreptarea pietrelor abrazive.

Mașina universală de ascuțit scule servește la ascuțirea diferitelor scule : cuțite, freze, burghie, alezoare etc. și la rectificări exterioare, interioare și plane. Ea este prevăzută de obicei cu un cap universal destinat pentru fixarea sculelor care se pot ascuți sub orice unghi, în plan orizontal sau vertical. Mașina comportă un batiu (fig. 7.150), prevăzut cu două ghidaje transversale, pe care lunecă sania transversală cu ajutorul unor roți de mină ; pe sanie este montată masa longitudinală, rezemată pe role ; ea se poate deplasa ușor cu mina sau cu roțile de mină ; partea superioară a mesei poate fi înclinată.

În R.S.R. se construiesc următoarele mașini de ascuțit scule : mașina universală de ascuțit scule AS 40 cu dimensiunile mesei de

Fig. 7.149. Mașină de ascuțit cuțite :

1 —batiu ; 2 — masă ; 3 — roată de mină pentru mișcarea de avans ; 4 — manetă pentru mișcarea rectilinie alternativă ; 5 — conductă pentru lichid de răcire ; 6, 7 și 8 — comenzi electrice ; 9 — axul pietrei de rectificat ; 10 — piatră de rectificat ; 11 — motor ; 12 — rezervor pentru lichid de răcire.

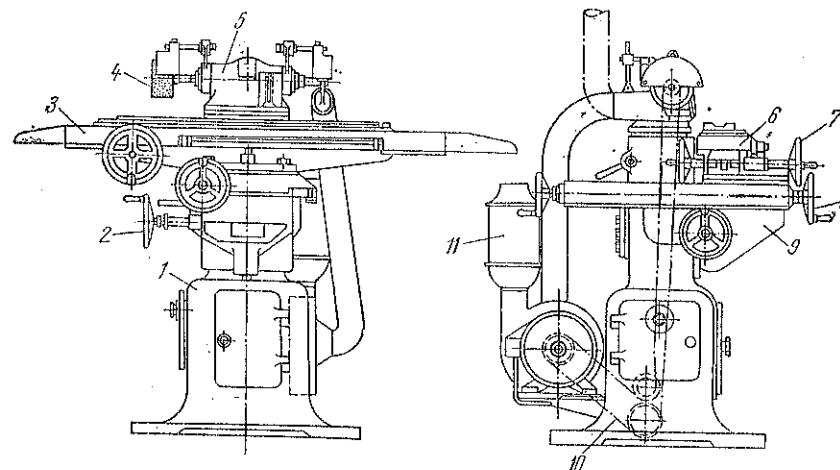
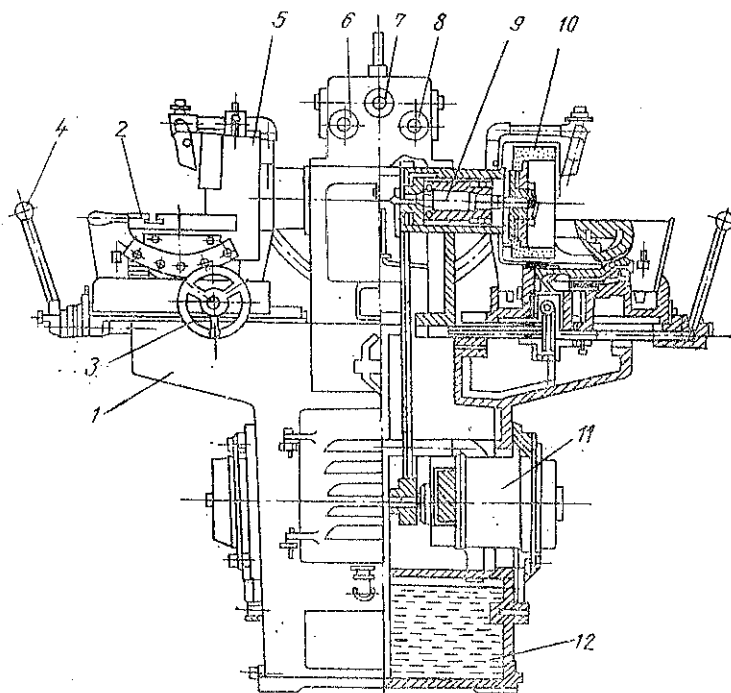


Fig. 7.150. Mașină de ascuțit scule universală :

1 — batiu ; 2 — roată de mină ; 3 — masă longitudinală ; 4 — piatră de polizor ; 5 — cap de rectificat ; 6 — sanie transversală ; 7 și 8 — roți de mină ; 9 — masă înclinabilă ; 10 — curea de transmisie ; 11 — exhaustor.

lucru : 200 mm × 500 mm; mașina de ascuțit burghie MAB; mașina de ascuțit freze și pinze cu plăcuțe din carburi metalice APPD 460 pentru scule cu diametrul exterior maxim de 460 mm.

3.12. BROȘAREA

3.12.1. Generalități. Broșarea este operația de prelucrare prin așchiere, de mare serie, efectuată de obicei la mașini de broșat cu ajutorul unor scule cu mai multe muchii așchietoare, numite broșe. În timpul prelucrării, piesa stă, în general, fixă, iar broșa execută mișcarea principală rectilinie; în cazul alezajelor elicoidale, prinderea piesei se face într-un dispozitiv rotativ.

Operația de broșare se poate efectua prin tragere (fig. 7.151, *a*) sau prin presare (fig. 7.151, *b*); în primul caz, broșa este trasă de-a lungul suprafeței interioare sau exterioare a piesei care se prelucurează,

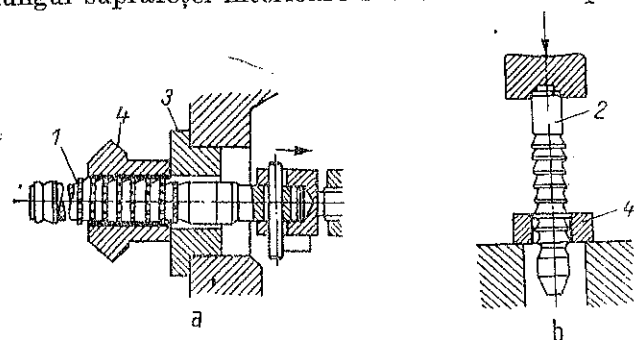


Fig. 7.151. Schema operațiilor de broșare:
a — broșare prin tragere; *b* — broșare prin presare; 1 — broșă; 2 — broșă-poanson; 3 — inel de reazem; 4 — piesă de broșat.

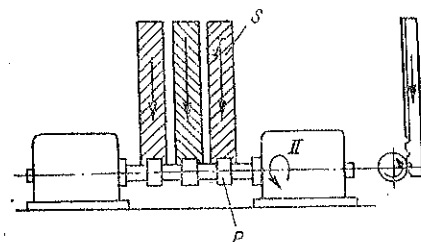


Fig. 7.152. Principiul de lucru la broșarea circulară exterioară:
P — piesă; *S* — sculă; *I* — mișcare rectilinie; *II* — mișcarea circulară.

iar în al doilea caz, ea este împinsă cu ajutorul unei mașini de presat cu acționare progresivă (de exemplu, presă hidraulică).

O metodă modernă de broșare este broșarea circulară exterioară (fig. 7.152); la acest procedeu piesa *P* execută o mișcare circulară *II*, în timp ce scula *S* execută micșorarea rectilinie *I*.

Prelucrarea se realizează într-o rotație a piesei.

Prin broșare se poate realiza degroșarea suprafețelor după operații preliminare de așchiere (de exemplu, găurire, rabotare, frezare etc.), deformare plastică (de exemplu, forjare) sau turnare, precum și netezirea sau calibrarea suprafețelor exterioare sau interioare.

Prelucrarea prin broșare permite

obținerea unui grad de precizie ridicat (de exemplu 0,012 mm pentru găuri și 0,025 mm pentru contururi exterioare) și a unui înalt grad de netezime a suprafețelor prelucrate.

3.12.2. Operații de broșare. După forma suprafețelor care se prelucurează, broșarea poate fi exterioară sau interioară (fig. 7.153).

Broșarea exterioară se folosește la prelucrarea suprafețelor exterioare plane sau profilate ale pieselor. Acest procedeu de prelucrare a suprafețelor plane ale blocurilor de cilindri la motoare este mai productiv (de circa 3—8 ori) decât prelucrarea prin frezare. Tot prin broșare exterioară se pot executa caneluri exterioare de diferite forme, precum și suprafețe curbe.

Broșarea interioară este utilizată de obicei la prelucrarea de calibrare a găurilor cilindrice, la prelucrarea găurilor cu secțiuni poligonale, la prelucrarea găurilor canelate etc. Uneori se folosește și la prelucrarea canelurilor elicoidale cu un unghi al elicei mai mic de 45°. Canelurile cu un unghi ale elicei de peste 10° trebuie broșate cu o rotire condusă a sculei sau a piesei.

După gradul de netezire și precizia dimensiunilor suprafeței prelucrate se deosebesc: broșare de degroșare, broșare de finisare și broșare de calibrare.

Broșare de degroșare se folosește la prelucrări pregătitoare brute; ea este urmată de obicei de broșarea de finisare.

Broșarea de finisare se execută după broșarea de degroșare și are ca scop să îndepărteze urmele lăsate de scule în prelucrările de așchiere preliminară. Pentru broșarea de finisare se lasă un adaos de prelucrare până la 0,1 mm.

Broșarea de calibrare se aplică de obicei la rectificarea profilului diferitelor găuri deformate în timpul tratamentului termic sau la calibrarea suprafețelor de finisare. Valoarea adaosului lăsat pentru calibrare se alege în funcție de materialul piesei și de netezimea prelucrării preliminare și oscilează între 0,005 și 0,1 mm.

3.12.3. Adaosuri de prelucrare pentru broșare. Găuri rotunde. Pentru broșarea găurilor existente, adaosul de prelucrare se determină cu ajutorul formulei $\Delta_1 = 0,005D + (0,1 \dots 0,2) L$,

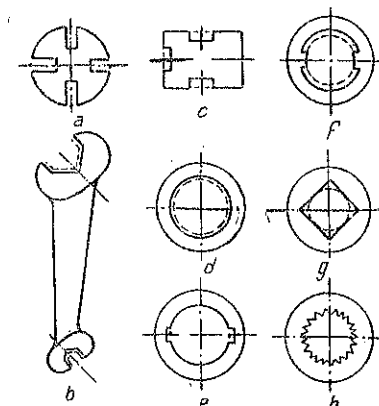


Fig. 7.153. Exemple de prelucrări prin broșare:
a, b, c, — broșare exterioară; *d, e, f, g, h* — broșare interioară.

în care: A_1 este adaosul nominal pentru diametrul găurii, în mm;
 D — diametrul nominal al găurii, în mm;
 L — lungimea găurii de broșat, în mm.

Diametrul D_1 al găurii, înainte de broșare, este $D_1 = D - A_1$.

Pentru o gaură executată cu burghiul, valoarea lui D_1 se rotunjește până la cea mai apropiată cotă a unui burghiu standardizat, cu diametrul D_c . În acest caz, adaosul real este $A = D - D_c$.

Găuri poligonale. Adaosul de prelucrat pentru broșarea de degroșare se determină cu ajutorul formulei $A = D - D_c$, în care D este dimensiunea diagonalei găurii, iar D — diametrul burghiului, respectiv diametrul cercului înscris.

Pentru broșarea de finisare, adaosul de prelucrare este dat de relația $A_2 = D - D_s + A_1$, în care A_1 se obține cu ajutorul formulelor stabilite pentru broșele rotunde.

Găuri pătrate. Broșarea se execută cu broșe combinate, care au la început dinți cu profil cilindric care calibrează gaura și apoi dinți care broșează pătratul găurii.

În acest caz, se ia același adaos de prelucrare A_1 ca la broșarea găurilor rotunde (fig. 7.154). La broșarea găurilor pătrate, se admite racordarea virfului unghiului drept format de două laturile pătratului astfel ca diferența $D' - D$, notată convențional cu j , să fie egală cu $\psi D'$, în care D' este diametrul cercului circumscris pătratului, D este diametrul peste colțurile racordate, iar ψ un coeficient egal cu 0,03 ... 0,05.

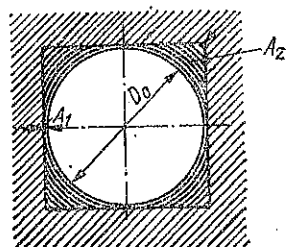


Fig. 7.154.

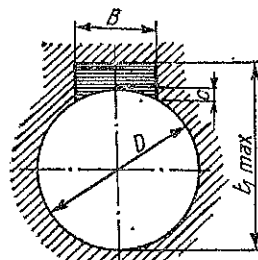


Fig. 7.155.

Adaosul de prelucrare pe ambele părți, la broșarea pătratului, va fi $A_2 = D - D_0 = D' - j - D_0$, în care D_0 este diametrul cercului înscris în pătrat.

Canale de pană. Pentru broșarea canalelor de pană (fig. 7.155), adaosul de prelucrare va fi $A = t_{1max} - D_{min} + c$,

în care D_{min} este diametrul minim al găurii, t_{1max} — înălțimea maximă a canalului de pană față de baza găurii, iar c — săgeata canalului de pană, dată de formula $c = 0,5 (D - D^2 - B^2)$, în care B este lățimea canalului de pană.

3.12.4. Regim de lucru. Vitezele de așchiere pentru operațiile de broșare a pieselor din fontă și oțel sînt indicate în tabela 7.59. Vitezele mici se iau pentru prelucrări de precizie și pentru suprafețele de calitate, precum și la broșarea profilelor cu perimetru mare de așchiere.

3.12.5. Mașini de broșat. Mașinile obișnuite de broșat pot fi orizontale și verticale.

Mașina de broșat orizontală se folosește de obicei pentru lucrări de broșare interioară. Ea se compune, în general, dintr-un batiu, o sanie port-unealtă, un dispozitiv de antrenare și un dispozitiv de fixare a piesei. În mod obișnuit, antrenarea este hidraulică și uneori mecanică (prin tijă filetată și piuliță, sau prin cremalieră și roată dințată).

Fig. 7.156 reprezintă o mașină de broșat orizontală acționată hidraulică. Partea superioară a batiului are ghidaje plane, pe care se

Tabela 7.59. Viteze de așchiere pentru broșare, m/min

| Felul broșei | Oțel cu σ_r , kgf/mm ² | | | Fontă, HB | |
|----------------------|--|----------|---------|-----------|----------|
| | 35—50 | 50—65 | 65—80 | 160—190 | 190—215 |
| Rotundă | 3,0—9,0 | 2,5—7,0 | 1,5—5,0 | 3,0—8,0 | 2,5—8,0 |
| Pentru canal de pană | 2,0—7,0 | 1,5—6,0 | 1,0—4,0 | 2,0—5,0 | 1,5—4,0 |
| Pentru caneluri | 5,0—12,0 | 3,0—8,0 | 2,0—5,0 | 5,0—12,0 | 4,0—10,0 |
| Pentru exterior | 5,0—15,0 | 3,0—10,0 | 2,0—8,0 | 10,0—15,0 | 3,0—8,0 |

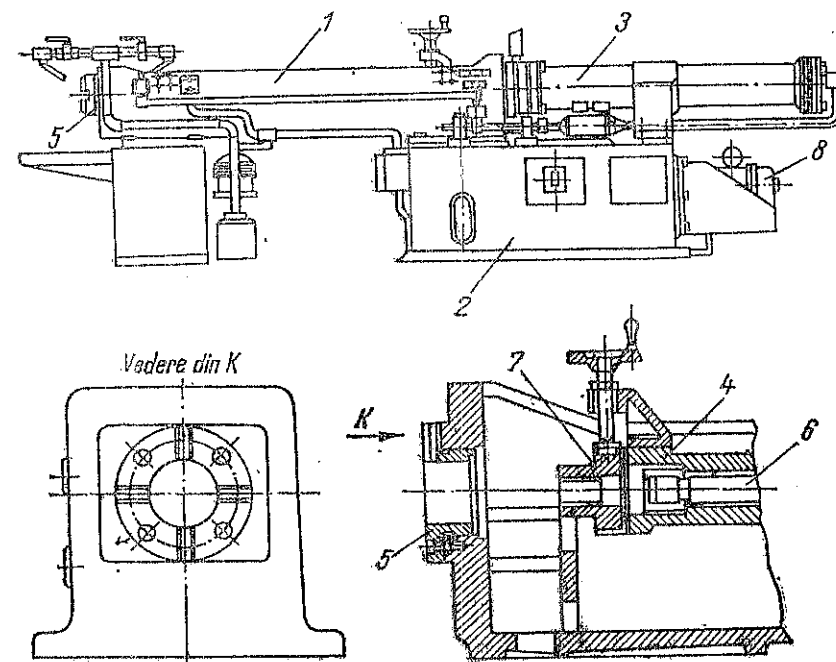


Fig. 7.156. Mașină de broșat orizontală:

1 — batiu superior; 2 — batiu inferior; 3 — cilindru; 4 — sanie; 5 — inel de reazem; 6 — tijă; 7 — ghidaj; 8 — motor.

deplasează sania. Dispozitivele de fixare a piesei și de ghidare a broșei se reazemă de partea anterioară a batiului superior. Sania este cuplată pe o parte cu tija cilindrului hidraulic iar pe cealaltă parte are ghidaje verticale, pe care se deplasează sania în care se prinde capul de fixare al broșei. Prin deplasarea saniei, axa broșei se deplasează în sus sau în jos față de axa mașinii. Broșele se prind în capetele de fixare, de obicei cu ajutorul unor pene.

La „Uzina mecanică Plopeni” se fabrică în prezent mașina de broșat orizontală MB 15, universală, semiautomată destinată lucrărilor de broșare interioară, în plan orizontal. Mașina este acționată hidraulic și este prevăzută cu un tensiometru gradat cu ajutorul căruia se citește forța de tracțiune în timpul broșării, evitându-se astfel posibilitatea de distrugere a sculelor.

Caracteristicile tehnice principale ale mașinii sînt:

| | |
|---|-------------|
| — cursa maximă a pistonului | 1 500 mm; |
| — forța de tracțiune (reglabilă) | 15 000 kgf; |
| — viteza de depasare a broșei (în trepte) | 6 m/min; |
| — puterea electrică instalată | 13,5 kW |

Mașina de broșat verticală este destinată în special lucrărilor de broșare exterioară. Mașina de broșat cu acțiune hidraulică are un batiu vertical prevăzut cu ghidaje, pe fața anterioară pentru culisarea saniei, de care se prinde capul de fixare al broșei. Sania este antrenată vertical de tija cilindrului hidraulic. În partea superioară a mesei mașinii există o gaură pentru fixarea manșoanelor de schimb folosite ca sprijin în timpul broșării pieselor. Pentru broșarea exterioară se așază o masă suplimentară cu un dispozitiv de fixare a piesei de prelucrat, iar pe sanie se fixează placa cu garnitura de scule pentru broșarea exterioară.

3.13. LEPUIREA

3.13.1. Generalități. Lepuirea este operația de supranetezire prin abraziune a suprafețelor cu ajutorul pulberilor abrazive aplicate între piesele metalice care urmează să se etanșeze reciproc (de exemplu, cepul de robinet în corpul său) sau pe unealta de lepuit (de exemplu, o placă, un dorn sau un inel de metal). În primul caz, lepuirea reciprocă sau mutuală a două piese se mai numește și *rodare*.

Lepuirea este, în mod obișnuit, precedată de operații de finisare (de exemplu, strunjire sau frezare de finisare, alezaj, rectificare) și se efectuează manual, mecanic sau semimecanic la piese cu suprafețe plane, de revoluție sau cu forme speciale.

Prin lepuire se obține o precizie foarte mare în ce privește macrogeometria suprafeței prelucrate (adică forma geometrică și dimensiunile ei) sau microgeometria acesteia (calitatea suprafeței); de asemenea

se obține o foarte bună etanșare între două piese care alunecă una pe alta.

Prelucrarea se face prin deplasarea relativă între piesa care se lepuiește și scula de lepuit, datorită căreia are loc o acțiune mecanică de îndepărtare a particulelor de metal de către pulberile abrazive.

Uneltele de lepuit pentru lepuirea manuală sînt executate din materiale mai moi decît piesa care se lepuiește și anume din fontă moale, cupru, alamă, antimoniu etc. Pentru lepuirea mecanică sau semimecanică, sculele de lepuit (discuri sau manșoane) sînt confecționate de obicei din fontă cenușie moale.

Ca material abraziv se folosește, în general, pulberea de corund cu granulație fină (80—120 pentru lepuirea de degroșare și 150—240 pentru lepuirea de finisare), oxid de crom, miniu de fier, var de Viena și rareori pulbere de diamant. Se mai folosesc uneori și paste, în compoziția cărora intră oxid de crom (abraziv), acid stearic și oleic (liant); acestea se aplică în strat subțire pe suprafața sculei de lepuit, care se umezește în prealabil cu petrol lampant.

Pentru subțierea pastelor abrazive, se folosește de obicei petrolul (pentru sculele de lepuit din fontă), terebentina sau acidul oleic tehnic (pentru sculele de lepuit din cupru sau alamă) și uleiul de mașini (pentru sculele de lepuit din oțel).

3.13.2. Operații de lepuire la mașini-unelte. Operațiile de lepuire executate la mașini-unelte pot fi mecanizate sau semimecanizate.

Lepuirea mecanică se folosește în special pentru suprafețele plane sau rotunde ale pieselor mici (de exemplu, segmenti de piston, cale plan-paralele, tije de supape etc.). Prelucrarea se execută la mașini de lepuit cu unelte de lepuit care execută de obicei fie o mișcare de rotație (de exemplu, discurile de lepuit la mașinile de lepuit plan), fie o mișcare de rotație combinată cu o mișcare rectilinie alternativă (de exemplu, dornurile de lepuit la mașinile de lepuit rotund interior, verticale). Piesele care se lepuiesc execută în timpul prelucrării fie o mișcare complexă (de exemplu, mișcarea rolelor ce se lepuiesc la mașinile de lepuit verticale, cu două discuri de lepuit), fie sînt fixate pe masa imobilă a unei mașini de lepuit (de exemplu, la lepuirea alezajului unui cilindru la mașina de lepuit interior, verticală).

Lepuirea mecanică se realizează, în mod normal, în două faze: lepuirea de degroșare, prin care se scoate adaosul de prelucrare și se corectează macrogeometria suprafeței și lepuirea de finisare, prin care se îmbunătățește microgeometria suprafeței (calitatea suprafeței). După lepuirea de finisare, înălțimea asperităților suprafeței poate fi redusă pînă la 0,25 μm .

Adaosurile de prelucrare pentru piesele rotunde sînt 0,005—0,012 mm pentru lepuirea de degroșare și pînă la 0,005 mm pentru

lepuirea de finisare; pentru suprafețele plane, adaosul este de 0,004—0,008 mm.

În timp ce la lepuirea manuală viteza de așchiere este de 10—30 min/m, la lepuirea mecanică viteza de așchiere poate crește până la 100 m/min.

Lepuirea semimecanică este caracterizată, în general, prin fixarea sculei de lepuit în dispozitivul de prindere al unei mașini-unelte obișnuite (de exemplu, mașină de găurit, strung) sau speciale (de exemplu, mașină de lepuit) și deplasarea manuală a piesei pe suprafața activă a sculei de lepuit; uneori piesa este aceea care se fixează în dispozitivul de prindere și scula de lepuit este antrenată manual pe suprafața de prelucrat a piesei. De obicei, sculele de lepuit (de exemplu, dornurile de lepuit) execută o mișcare de rotație într-un singur sens sau o mișcare de rotație oscilatorie, piesa fiind deplasată manual, alternativ în ambele sensuri, pe suprafețele de lucru ale sculei de lepuit.

3.13.3. Mașini de lepuit. După forma suprafețelor care se lepuiesc, mașinile de lepuit se clasifică în mașini de lepuit plan, mașini de lepuit rotund, mașini de lepuit universale și mașini de lepuit speciale.

Mașina de lepuit plan se utilizează la lepuirea plană, lepuirea plan-paralelă și lepuirea rotundă exterioară a diferitelor piese metalice. Ea este prevăzută cu unul sau cu două discuri plane de lepuit. După cum discul sau discurile de lepuit sînt montate pe arbori orizontali sau verticali, aceste mașini se numesc mașini de lepuit plan-orizontale sau mașini de lepuit plan-verticale.

Mașina de lepuit plan-orizontală se construiește de obicei pentru un singur disc de lepuit. Mașina de lepuit plan-verticală, cu două discuri, se utilizează, în general, pentru lepuirea simultană a mai multor piese cu suprafețe plane sau rotunde. Pe mașinile cu un singur disc, mișcarea de rotație este efectuată de disc, pe care se așază substanța abrazivă, iar piesa deplasată direct cu mina pe suprafața acestuia sau indirect, prin intermediul unei pîrghii (fig. 7.157).

La mașina de lepuit plan-verticală, cu două discuri (fig. 7.158), discul montat pe batiu se rotește în sens invers față de discul montat pe un suport fixat de coloana verticală; uneori, discul superior are numai o mișcare pendulară independentă pentru a urmări exact suprafețele piesei de prelucrat. Piese se așază pe un platou suport cu fante a cărui mișcare, comandată de un excentric, obligă piesele să atingă pe traectorii diferite întreaga suprafață a discurilor de fontă moale.

Mașina de lepuit rotund se folosește la rodarea suprafețelor exterioare sau interioare rotunde, cilindrice sau conice. După poziția arborelui principal, mașinile de lepuit rotund sînt verticale sau orizontale. La mașinile de lepuit verticale, arborele principal, pe care se fixează scula cu suprafață activă la interior sau exterior, execută pe lângă miș-

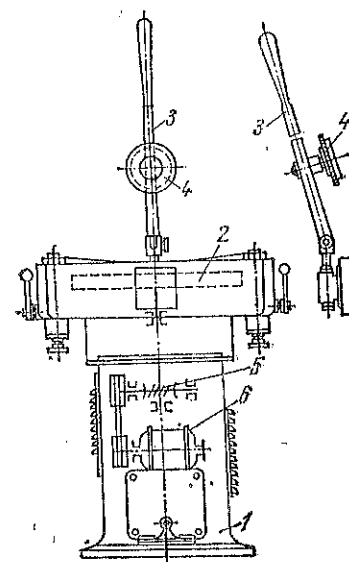


Fig. 7.157. Mașină de lepuit verticală, cu un disc — schema cinematică:

1 — batiu; 2 — disc de lepuit; 3 — pîrghie-suport pentru piesa de lepuit; 4 — piesa de lepuit; 5 — angrenaje reductoare; 6 — motor.

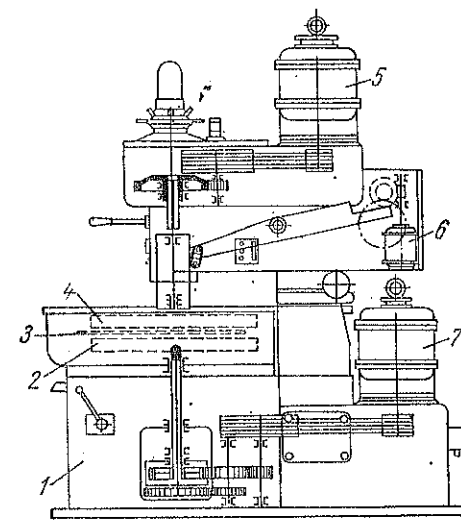


Fig. 7.158. Mașină de lepuit plan-verticală cu două discuri — schema cinematică:

1 — batiu; 2 — disc inferior; 3 — platou-suport pentru piesele de lepuit; 4 — disc superior; 5 — motor pentru antrenarea discului de lepuit superior; 6 — motor pentru acționarea mecanismului de ridicare a discului de lepuit superior; 7 — motor pentru antrenarea discului de lepuit inferior.

carea de rotație și o mișcare rectilinie alternativă în direcție verticală. Piesa de lepuit este fixată pe masa mașinii. La mașina de lepuit rotund orizontală, arborele principal, în poziție orizontală, execută cu scula de lepuit o mișcare de rotație și concomitent o mișcare rectilinie alternativă; piesa care se prelucurează stă fixată pe masa mașinii-unelte.

Mașina de lepuit universală (fig. 7.159) are două discuri de fontă pentru lepuirea plană, plan-paralelă, rotundă exterioară și interioară, precum și un arbore principal orizontal cu dispozitiv de ghidare a dornului de lepuit, pentru lepuirea cilindrică interioară și exterioară. Arborele principal orizontal, pe lângă mișcarea de rotație, mai execută și o mișcare rectilinie alternativă.

Mașinile de lepuit speciale diferă constructiv după felul piesei care se lepuiește. Dintre mașinile de lepuit speciale fac parte: mașina de lepuit bile de rulmenți, mașina de lepuit caneluri, mașina de lepuit cuțite de strung, mașina de lepuit roți dințate cilindrice etc.

În țara noastră se fabrică mașini de lepuit cu arbore vertical, tip MA 10-D, destinate lepuirii bilor de rulmenți. La aceste mașini lepuir-

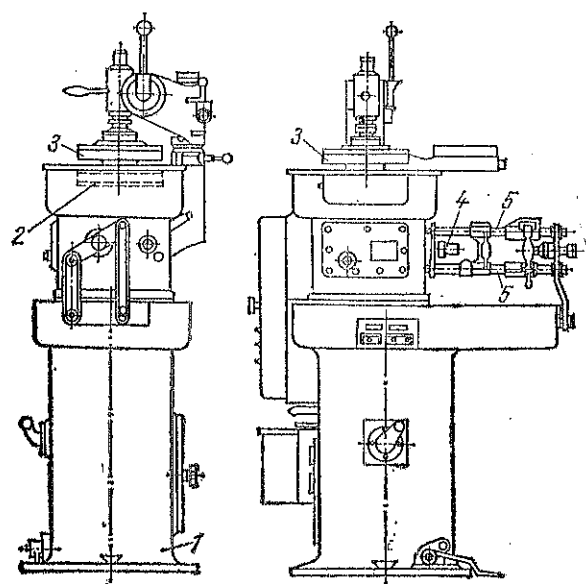


Fig. 7.159. Mașină de lepuit universală :

7 - batiu; 2 - disc de lepuit inferior; 3 - disc de lepuit superior; 4 - arbore principal orizontal; 5 - bare de ghidare pentru lepuirea rotundă interioară și exterioară.

mează o rețea caracteristică acestui procedeu (fig. 7.160). Pentru obținerea unei prelucrări uniforme a întregii suprafețe, prisme abrazive trebuie să iasă din alezaje depășind cu aproximativ 25 mm capătul

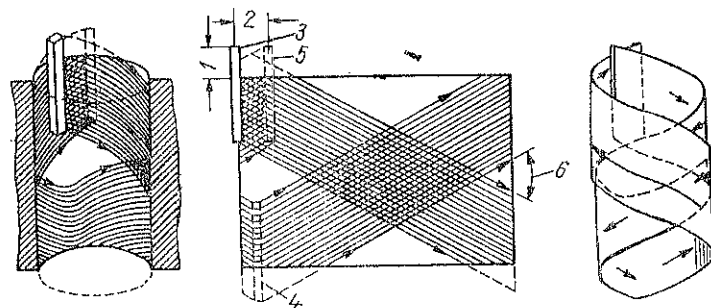


Fig. 7.160. Schema mișcărilor honului și rețeaua traiectoriilor granulelor abrazive dintr-o prismă abrazivă :

1 - lungimea cu care prisma abrazivă depășește capătul cursei; 2 - suprapunerea; 3 - poziția barei abrazive la începutul primei curse de translație; 4 - idem, la sfârșitul acestei curse; 5 - idem, la sfârșitul cursei de întoarcere; 6 - unghiul interior de intersecție a traiectoriilor.

rea se execută cu două discuri de fontă din care unul este fix, iar celălalt rotitor.

3.14. HONUIREA (Honing)

3.14.1. Generalități. Honuirea numită și honing este o operație de supranetezire, în general, a alezajelor cilindrice, cu ajutorul unor prisme abrazive cu granulație fină, fixate pe un cap special extensibil (hon), cărui i se imprimă prin arborele principal al mașinii honing o mișcare de rotație, concomitent cu o mișcare rectilinie alternativă.

Drumul parcurs de granulele abrazive formează o rețea caracteristică acestui procedeu (fig. 7.160). Pentru obținerea unei prelucrări uniforme a întregii suprafețe, prisme abrazive trebuie să iasă din alezaje depășind cu aproximativ 25 mm capătul

alezajului de ambele părți. De asemenea, numărul curselor alternative ale honului trebuie să fie diferit de numărul de rotații în unitatea de timp ale acestuia, pentru a se evita că granulele abrazive să parcurgă aceleași traiectorii.

Operația de honuire este precedată de obicei de prelucrări de aşchiere prin strunjire fină, alezare, broșare sau rectificare.

În funcție de caracterul prelucrării anterioare, de precizia și calitatea suprafeței, honuirea se face dintr-o singură operație sau din două operații: o honuire de degroșare și o honuire de finisare, care diferă prin granulația prismelor abrazive și mărimea adaosului de prelucrare.

Adaosul de prelucrare se ia în funcție de materialul piesei, de diametrul acesteia și de caracterul prelucrării anterioare. După strunjirea fină, broșare sau alezare, se lasă un adaos de prelucrare de 0,02 până la 0,1 mm pe diametru, iar după rectificare un adaos de 0,01 până la 0,03 mm.

Tabela 7.60. Adaosuri de prelucrare pentru honuire

| Diametrul alezajului, mm | Adaosul de prelucrare, mm | |
|--------------------------|---------------------------|-----------|
| | Oțel | Fontă |
| 25—125 | 0,01—0,04 | 0,02—0,10 |
| 150—175 | 0,02—0,05 | 0,08—0,16 |
| 300—600 | 0,04—0,06 | 0,12—0,20 |

Valorile adaosului de prelucrare, în funcție de materialul piesei și dimensiunile alezajului, sint indicate în tabela 7.60.

Prin honuire se poate obține nu numai o îmbunătățire a calității suprafeței, ci, într-o oarecare măsură, și eliminarea conicității sau ovalității alezajului. Precizia de prelucrare a alezajelor poate ajunge până la valori între 0,05—0,02 mm, deci cu toleranțe corespunzătoare claselor 1—2 de precizie după STAS. Se pot obține astfel alezaje de formă geometrică foarte corectă, conicitatea menținându-se în limita a 3—5 μ . Calitatea suprafeței prelucrate poate fi realizată cu toleranțe corespunzătoare claselor de calitate 9—13, când se lucrează cu honuiri de degroșare și de finisare și claselor 9—11 (după GOST 2789-51) când se lucrează dintr-o singură operație.

În fig. 7.161 este reprezentată construcția unui hon (cap de rodat) cu 6 prisme abrazive dreptunghiulare, a căror deplasare radială se face prin intermediul a două conuri, deplasabile axial cu ajutorul unui șurub.

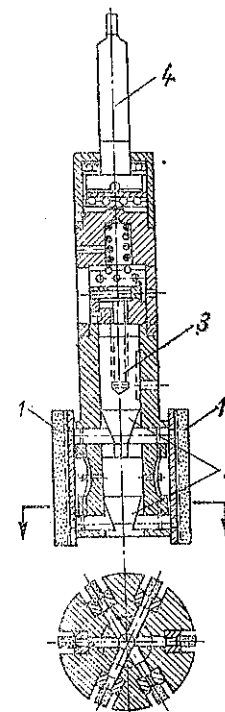


Fig. 7.161 Cap de rodat. 1 - prisme abrazive; 2 - conuri; 3 - șurub; 4 - con Morse.

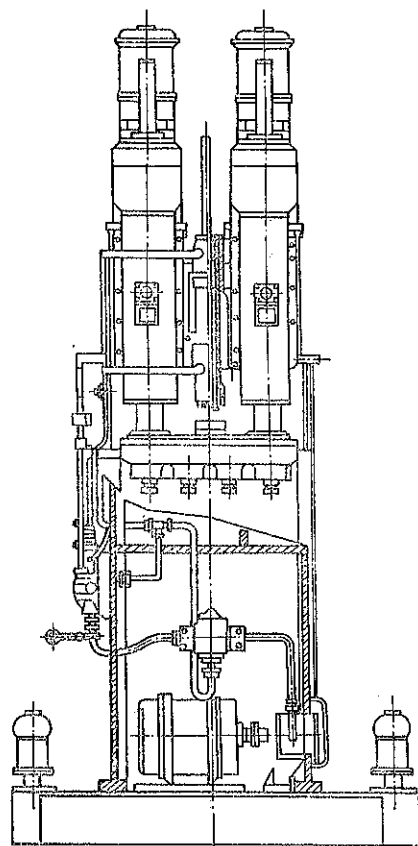


Fig. 7.162. Mașină honing verticală cu patru arbori principali. :

Barele abrazive pentru prelucrarea oțelului se aleg din electrocorund, iar pentru piesele de fontă și materiale neferoase în carborund (carbură de siliciu) cu liant ceramic. În tabela 7.61 sînt indicate granulația și duritatea prismelor abrazive pentru operațiile de honuire.

Ca lichid de răcire pentru prelucrarea oțelului, se recomandă un amestec de 90% petrol lampant și 10% ulei de mașini, iar pentru fontă petrol curat.

2 3.14.2. Regim de lucru. În general, regimul de lucru la honuire se alege astfel ca raportul dintre viteza liniară și viteza de rotație a honului să fie cuprinsă între 1,3 și 1,5. Cu cît valoarea acestui raport este mai mare, cu atît se obține o calitate mai bună a suprafeței prelucrate.

Vitezele de rotație și de translație ale honului, pentru diferite materiale, sînt indicate în tabela 7.62.

3 3.14.3. Mașini de honuit. Aceste mașini se construiesc, în general, cu arborele principal în poziție verticală (fig. 7.162) și cu posibilitatea de a efectua atît mișcarea de rotație, cît și mișcarea rectilinie alternativă cu vitezele necesare. La majoritatea mașinilor de honuit (mașini honing)

Tabela 7.61 Caracteristicile prismelor abrazive pentru honuit

| Caracterul prelucrării | Granulația prismelor abrazive | Duritatea |
|----------------------------------|-------------------------------|------------------|
| | | |
| Honuire dintr-o singură operație | 230—270 325—400 | S_1 S_4 |
| Honuire de degroșare | 100—270 | S_1 |
| Honuire de finisare | 325—400 500—600 | SM_2 SM_2 |

Tabela 7.62. Regim de lucru pentru honuire

| Materialul piesei | Viteza, m/min | |
|-------------------|---------------|---------------|
| | de rotație | de translație |
| Fontă | 60—75 | 15—20 |
| Bronz | 60—75 | 15—20 |
| Oțel moale | 45—65 | 10—15 |
| Oțel călit | 20—35 | 5—10 |

rotirea arborelui principal se face de un motor, iar mișcarea rectilinie alternativă prin acționare hidraulică. În timpul prelucrării, piesele de prelucrat se fixează pe masa mașinii-unelte. Mașinile de honuit se construiesc pentru diferite trepte de diametre ale alezajelor. Ele se folosesc în special la prelucrarea de supernetezire a cilindrilor pentru blocurile motoarelor cu ardere internă.

3.15. SUPRAFINISAREA

1 3.15.1. Generalități. Suprafinisarea (superfinish) numită și vibronetezire este o operație de micronetezire a anumitor piese pentru obținerea suprafețelor-oglină de formă cilindrică, plană sau profilată. Prelucrarea se realizează mecanic, cu ajutorul unor prisme abrazive care apasă elastic pe suprafața de prelucrat a piesei. Sculele (prismele abrazive) execută mișcări rectilinii, oscilatorii, rapide, cu amplitudini mici (3—6 mm), concomitent cu mișcări de avans. Piesele cu suprafețe plane execută o mișcare lentă transversală la mișcarea pietrelor abrazive, iar piesele cu suprafețe cilindrice execută o mișcare de rotație (fig. 7.163 și fig. 7.164). În timpul prelucrării, prismele abrazive sînt

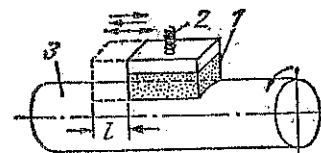


Fig. 7.163. Schema suprafinisării cu o prismă abrazivă :

7 — prismă abrazivă; 2 — arc; 3 — piesă de prelucrat; l — amplitudinea oscilației.

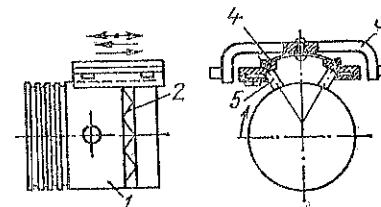


Fig. 7.164. Schema suprafinisării cu două prismele abrazive :

7 — piston; 2 — traiectoria unei granule abrazive în timpul prelucrării; 3 — portunealtă abrazivă; 4 — arc; 5 — bară abrazivă.

apăsate pe suprafața de prelucrat cu o presiune de 0,5—3 kgf/cm², mai mare la materiale dure și mai mică la cele moi și sînt umezite cu lubrifiant sau apă pentru îndepărtarea așchiilor metalice și a granulelor abrazive desprinse.

După eliminarea tuturor asperităților de pe suprafața piesei, lichidul formează o peliculă care separă suprafața piesei de suprafața activă a prismelor abrazive și așchiera încetează automat, deși mișcările sculei și ale piesei continuă. Dacă pe suprafața pieselor mai rămîn unele urme de la operațiile de așchiere anterioare (rectificare, strunjire fină etc.), se mărește presiunea de apăsare a prismelor abrazive pe suprafața care se prelucurează și se continuă operația de suprafinisare.

Prin suprafinisare se îmbunătățește la maximum microgeometria suprafeței pieselor metalice, obținindu-se suprafețe-oglină cu o înăl-

time a asperităților de $0,02-0,25 \mu$; macrogeometria suprafeței rămâne însă nemodificată și deci cu aceleași erori de formă (ovalitate, conicitate etc.) de la operațiile anterioare.

Sculele abrazive pentru suprafinisarea se execută în general fie sub formă de prisme cu secțiune pătrată (de exemplu, 10×10 , 18×18 sau 25×25 mm și lungimi de 50, 80, sau 100 mm), fie în formă de disc sau de oală conică. Lățimea totală a prismelor trebuie să fie de 30–60% din diametrul piesei, iar lungimea cu puțin mai mică decât lungimea suprafeței de prelucrat. Prismele abrazive se confecționează din corindon și carbură de siliciu, cu un liant ceramic vitrificat sau din rășini sintetice (de exemplu, bachelită). Pentru suprafinisarea pieselor de fontă, aluminiu, bronz sau alamă, se recomandă prisme abrazive din carbură de siliciu, iar pentru piesele de fontă maleabilă, bronz dur sau oțel aliat se recomandă oxidul de aluminiu. La piesele de oțel și fontă sînt folosiți de obicei lianți ceramici, iar la piesele de bronz, aluminiu și oțel moale, lianți de rășină sintetică (bachelită). Granulația abrazivului se alege de $180-320 \mu$ pentru suprafinisarea preliminară și de $320-600 \mu$ pentru suprafinisarea finală.

Mărimea adaosului de prelucrare nu depășește de obicei $5-7 \mu$ pe diametru pentru piesele de oțel rectificate în prealabil și $20-40 \mu$ pentru piesele de aluminiu după strunjirea fină. Când adaosul de prelucrare depășește 10μ pe diametru, se impune ca prelucrarea să se facă din două operații: preliminară și finală. Dacă nu sînt lăsate adaosuri de prelucrare, suprafinisarea pieselor se execută în limitele toleranței dimensiunii prescrise.

Ca lichide de răcire se folosesc: apa, amestecul de 10 părți petrol lampant cu o parte ulei de mașini cu vîscozitate 2,6–3,3°E la 50°C , petrol lampant (pentru oțeluri foarte dure) sau amestecul de apă cu săpun (pentru oțeluri foarte tenace).

2.3.15.2. Operații de suprafinisare. După forma suprafețelor care se prelucurează, operațiile de suprafinisare se clasifică în suprafinisare rotundă, suprafinisare plană și suprafinisare de profiluri.

Suprafinisarea rotundă se aplică la suprafețele cilindrice sau conice, de obicei exterioare (de exemplu, pistoanele motoarelor cu ardere internă, calibrele tampon conice etc.) și uneori interioare (de exemplu, alezajele blocurilor de cilindri la motoarele cu ardere internă). Suprafinisarea rotundă se execută în mod obișnuit la mașini de rectificat rotund exterior, cu ajutorul unui cap de suprafinisare.

Suprafinisarea plană se aplică la suprafețele plane exterioare (de exemplu, suprafețele calelor plan-paralele) sau interioare (de exemplu suprafețele locașului de sertar la tripla valvă) ale pieselor, cu ajutorul mașinilor de suprafinisat de construcție adecvată și uneori la mașini de construcție simplă, cu ajutorul unui cap de suprafinisat.

Suprafinisarea de profiluri este prelucrarea la care se supun suprafețele metalice cu anumite profiluri (de exemplu, suprafețele active ale camelor) la mașini de suprafinisat cu construcție specială).

2.3.15.3. Regim de lucru. Presiunea exercitată de pietrele abrazive pe suprafața care se prelucurează variază între $0,5$ și 3 kgf/cm^2 . Forța de apăsare se alege mai mare la începutul prelucrării (suprafinisarea preliminară) și mai mică la sfîrșit (suprafinisarea finală); de asemenea este necesară o presiune mai mare a prismelor abrazive la suprafinisarea pieselor din oțeluri dure și o presiune mai mică la oțelurile moi.

Pentru piesele cilindrice din oțel se recomandă: o viteză periferică a piesei de $15-18 \text{ m/min}$; o mișcare rectilinie oscilatorie a prismelor abrazive de $800-1000$ curse duble pe minut; lungimea curselor este de $1,5 \text{ mm}$ la piesele din oțel călit și $4,5-6 \text{ mm}$ la cele din oțel netratat termic. Pentru piesele din oțeluri dure, viteza periferică a acestora se ia de $4-10 \text{ m/min}$ și se mărește numărul de curse duble pe minut executate de prismele abrazive. Mărimea avansului longitudinal nu influențează calitatea suprafeței; ea depinde într-o oarecare măsură de unghiul rețelei, adică de unghiul care se formează între direcțiile urmelor de prelucrare, înainte de suprafinisare și direcția urmelor lăsate de prismele abrazive la suprafinisare.

Unghiul rețelei α se obține din relația $\text{tg } \alpha = \frac{n_b}{n_p} \cdot \frac{l}{d}$, în care

n_b este numărul curselor duble pe minut ale prismelor abrazive; n_p —turația piesei, l — lungimea cursei prismelor abrazive (amplitudinea oscilației), iar d —diametrul piesei.

Pentru suprafinisarea preliminară se alege un unghi de rețea $\alpha = 22^\circ$, iar pentru suprafinisarea finală, ca și pentru metale moi.

2.3.15.4. Mașini de suprafinisat. După forma suprafețelor care se prelucurează, aceste mașini se clasifică în mașini de suprafinisat rotund, plan, și pentru suprafețe profilate.

Mașina de suprafinisat rotund se folosește la prelucrarea suprafețelor exterioare sau interioare cu forme cilindrice sau conice. După poziția axei organului pentru fixarea piesei de prelucrat, precum și după poziția suprafeței prelucrate, mașinile de suprafinisat rotund pot fi orizontale sau verticale.

La mașina de suprafinisat rotund, verticală, cu masa fixă, piesa se fixează pe masa mașinii, iar capul de suprafinisat cu prisme abrazive pentru prelucrare interioară sau exterioară execută atît mișcările rectilinii oscilatorii verticale, cît și mișcarea de rotație. La mașina de suprafinisat rotund, orizontală, prinderea piesei se face de obicei cu ajutorul unui cap de prindere sau între vîrfuri. La mașinile de suprafinisat orizontale universale (fig. 7.165), piesa fixată pe masa

mașinii este antrenată în mișcarea de rotație de arborele principal al păpușii fixe; mișcarea de avans longitudinal în direcția axei piesei se obține prin deplasarea mesei și, uneori, prin deplasarea capului de suprafinisat, care execută totodată și mișcările rectilinii oscilatorii orizontale.

Mașina de suprafinisat plan se utilizează la prelucrarea suprafețelor plane. Aceste mașini se construiesc atât verticale, cât și orizontale. Scula abrazivă la aceste mașini este în formă de oală conică.

La mașinile verticale cu masă rotundă, piesa sau piesele sînt prinse pe masa mașinii cu ajutorul unui platou magnetic și execută împreună cu acesta o mișcare de rotație în sens invers rotirii arborelui principal de care este fixat capul de suprafinisat. În același timp, arborele principal cu piatra abrazivă execută o și mișcare orizontală rectilinie, oscilatorie. Capul de suprafinisat execută concomitent și o mișcare orizon-

tală lentă, cu ajutorul saniei pe care se fixează împreună cu motorul de antrenare al arborelui principal (fig. 7.166). Cu această mașină se poate face, de exemplu, suprafinisarea plană a segmentelor de piston.

Mașina de suprafinisat pentru suprafețe profilate se folosește la prelucrarea suprafețelor cu profile speciale. Din această categorie fac parte, de exemplu, mașina de suprafinisat pentru arbori cu came.

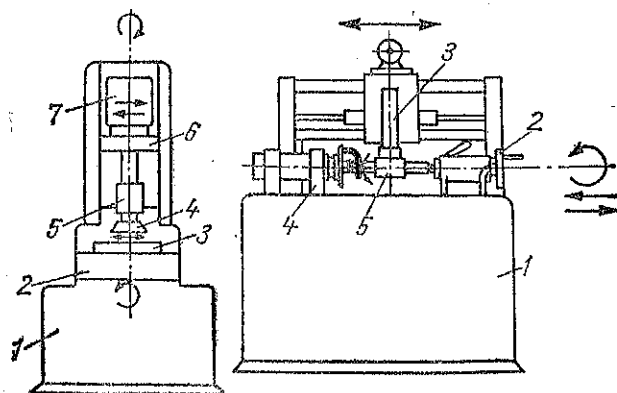


Fig. 7.165. Schema unei mașini de suprafinisat plan :

7 — batiu; 2 — masă de lucru; 3 — platou magnetic; 4 — disc abraziv; 5 — cap de suprafinisat; 6 — sanie; 7 — motor.

Fig. 7.166. Schema unei mașini de suprafinisat rotund :

7 — batiu 2 — păpușă mobilă; 3 — cap de suprafinisat; 4 — păpușă fixă; 5 — piesă de prelucrat.

Pentru prelucrarea la această mașină, arborele cu came se fixează între vîrfuri și execută concomitent o mișcare de rotație și o mișcare rectilinie oscilatorie; prismele abrazive (în formă de disc) așezate de ambele părți ale piesei execută o mișcare de rotație.]

4. UNGEREA TRANSMISIILOR ȘI A MAȘINILOR-UNELTE

4.1. GENERALITĂȚI

Ungerea suprafețelor în frecare are ca scop reducerea rezistențelor de frecare și a pierderilor de putere, reducerea uzurii și a încălzirii,

asigurarea unei funcționări line și fără zgomot și, în general, o ameliorare a randamentului mecanic și menținerea îndelungată a preciziei inițiale de funcționare a mecanismelor.

Condițiile pe care trebuie să le satisfacă un lubrifiant, pentru a se realiza o ungere cât mai eficace, sînt următoarele :

— Caracteristica de ungere a lubrifiantului, reprezentată prin viscozitatea lui, precum și aderența, trebuie să fie astfel alese, încît ungerea între suprafețele de frecare să fie completă; aceasta înseamnă că filmul de ulei dintre suprafețele de frecare să nu prezinte discontinuități prin efectul presiunii sau al turației mari a arborelui.

— Lubrifiantul trebuie să-și mențină cît mai mult timp calitățile de ungere normale și să nu se altereze sub acțiunea aerului sau a metalelor cu care este în contact. De asemenea, nu trebuie să se altereze la temperaturile rezultate din frecările ce au loc între suprafețele pieselor în mișcare.

— Să nu conțină nici o substanță susceptibilă de a ataca metalele cu care vine în contact și mai cu seamă să nu conțină acizi.

— Să nu conțină materii rășinoase sau corpuri solide în suspensie care pot închiide orificiile de scurgere ale ungătoarelor sau pot zgîria suprafețele de contact în timpul mișcării.

4.2. LUBRIFIANȚI

Lubrifiantii utilizați la ungerea transmisiilor și mașinilor-unelte sînt uleiurile și unsoarele consistente.

4.2.1. Uleiuri. Uleiurile sînt lubrifiantii cei mai des utilizați. Uleiurile de origine vegetală sau animală sînt evitate, deoarece pe lângă costul lor ridicat, cele de origine vegetală conțin urme de acid sulfuric din procesul de prelucrare, iar cele de origine animală conțin materiale improprii unei bune ungeri; uleiurile vegetale mai au și dezavantajul că se oxidează ușor la temperaturi înalte.

Uleiurile minerale, obținute prin distilarea fracționată a țițeiului, sînt lubrifiantii care îndeplinesc în cea mai mare măsură condițiile impuse pentru realizarea unei ungeri bune a transmisiilor și a mașinilor-unelte.

Cele mai importante proprietăți fizico-chimice ale lubrifiantilor sînt: viscozitatea, aderența și stabilitatea chimică și termică.

Pentru transmisiile care antrenează mașinile-unelte se recomandă uleiuri minerale cu o viscozitate de 10—30 grade Engler la 50°C.

La ungerea mașinilor-unelte se prescriu uleiuri minerale pure, avînd viscozitatea 1,3—8,5° E₅₀, uneori cu adaos de grafit coloidal (la finisaje de alunecare, în special în perioada de rodare); în mod obișnuit, viscozitatea medie se ia 3—4,5° E₅₀. Pentru angrenaje rapide

se folosesc uleiuri cu viscozitatea $4-4,5^\circ E_{50}$ sau chiar $2,8-3,2^\circ E_{50}$; pentru transmisii cu multe roți dințate sau cu mele, cu acționare lentă, se recomandă o viscozitate de $7,5-8,5^\circ E_{50}$ sau chiar $5,5-6,5^\circ E_{50}$. La transmisiile cu lanțuri, viscozitatea uleiurilor adecvate este de $5-10^\circ E_{50}$. Pentru fusuri cu turații mari, ca și pentru rulmenți, se aleg uleiuri cu viscozitatea $1,3-1,7^\circ E_{10}$.

În cazul jocurilor foarte mici (de ordinul $1-3\mu$) lubrifiantul trebuie să aibă o viscozitate foarte redusă; în acest caz, se utilizează amestecuri de uleiuri minerale cu petrol lampant sau numai petrol lampant.

Uzinele constructoare de mașini-unelte în indică cărțile mașinilor respective atît schema instalației cu locurile de ungere, cît și calitatea uleiurilor pentru diferite părți ale mașinilor.

În STAS 871-68 sînt date indicații asupra utilizării uleiurilor minerale și pentru fiecare calitate de ulei: standardul respectiv, limitele de viscozitate în $^\circ E$, precum și condițiile speciale impuse de scop.

4.2.2. **Unsoari consistente.** Unsoarele consistente se obțin din amestecul uleiurilor cu săpunuri. Ca unsoarele consistente să poată pătrunde ușor între suprafețele de frecare este necesar ca ele să devină fluide, ceea ce se obține datorită căldurii produse prin frecare.

Caracteristica importantă a unsoarelor consistente este *punctul de picurare*, adică temperatura la care unsoarea începe să picure sub acțiunea propriei sale greutate. Unsoarele consistente de bună calitate sînt cele cu temperatura de picurare ridicată și care asigură totuși o ungere bună a suprafețelor de frecare.

Unsoarele consistente se fabrică cu săpun de calciu sau cu săpun de sodiu; ultimele sînt calitativ superioare, deoarece au punctul de picurare mai ridicat și o mai bună aderență decît primele.

Condițiile tehnice pentru unsoarele consistente obișnuite utilizate pentru ungerea lagărelor și glisierelor sînt indicate în STAS 562-71; pentru ungerea lagărelor deschise lucrînd la temperaturi și presiuni mari, sînt indicate în STAS 2721-71; pentru unsoarele destinate rulmenților sînt indicate în STAS 1608-72.

5. RĂCIREA ȘI UNGEREA LA PRELUCRAREA METALELOR

5.1. GENERALITĂȚI

5.1.1. **Influența răcirii și ungerii.** În timpul formării așchiei, stratul de metal desprins din piesă sub formă de așchii, suportînd deformări mari, ia naștere o deplasare și frecare puternică a porțiunilor de metal între ele, însoțită de producerea unei importante cantități de căldură. O anumită cantitate de căldură este datorită și frecării așchiei pe fața de degajare a cuțitului, precum și frecării feței de așezare a cuțitului de

piesa prelucrată. Toate aceste trei surse de căldură formează *căldura de așchiere*.

Printr-o răcire rațională și abundentă a sculei poate fi eliminată o cantitate însemnată de căldură, reducîndu-se solicitarea termică a tăișului sculei.

La așchiera metalelor tenace, temperatura de așchiere este unul din factorii cei mai importanți care hotărăsc asupra duratei tăișului și din această cauză răcirea sculei este imperios necesară pentru obținerea unei *durate de așchiere continue* mai mari a tăișului sculei. Menținînd prin răcire o durată de tăiere mai mare, se mărește și *viteza economică* de așchiere. Astfel, la așchiera oțelurilor de construcție moi ($\sigma_r = 38 \dots 45 \text{ kgf/mm}^2$), cu cuțite din oțel aliat special (rapid), se poate atinge prin răcire o mărire a vitezei economice de așchiere pînă la 40%; la așchiera oțelurilor dure, această creștere atinge numai 20%.

La așchiera metalelor casante (de exemplu, fonta), temperatura de așchiere nu este hotărîtoare, ci rezistența la uzură a tăișului sculei; din această cauză, răcirea sculei are o importanță secundară. Astfel, la așchiera fontei, se observă că influența răcirii este foarte mică și numai în cazuri excepționale ea poate contribui la o mărire a viteze de așchiere cu 10—15%; de aceea fonta se prelucurează, de obicei, fără răcire.

Prin utilizarea cuțitelor cu plăci de carburi metalice, care rezistă foarte bine la temperaturi mari, în cele mai multe cazuri se elimină necesitatea răcirii.

Lichidele de răcire au în general nu numai un efect de răcire ci și unul de ungere, realizîndu-se o reducere a coeficientului de frecare față de prelucrarea uscată; prin aceasta se obține o creștere a duratei de așchiere a sculei și o îmbunătățire a calității suprafeței prelucrate. Acest efect de ungere apare mai evident la răcirea sculelor în timpul operațiilor de netezire.

5.1.2. **Condițiile unei bune răciri.** Mărirea duratei de așchiere a tăișului sculei, precum și a vitezei economice de așchiere, se obține prin alegerea corespunzătoare a lichidului de răcire, prin distribuția lui corectă și în cantitatea necesară (circa 10—12 l/min pentru cuțite de dimensiuni mijlocii).

Vîna lichidului de răcire nu trebuie să fie îndreptată pe cuțit, ci pe așchie, în locul unde aceasta se desprinde din piesă, deoarece tăișul cuțitului din cauza așchiilor nu poate fi răcit în mod direct.

La cuțitele cu plăcuțe de carburi metalice, lichidul de răcire trebuie dirijat în cantitate suficientă direct pe plăcuță, ca s-o acopere complet; o răcire a plăcuței, numai parțială și în cantitate insuficientă, provoacă fisurarea plăcuțelor din cauza variațiilor bruște de temperatură.

Lichidul de răcire trebuie să curgă cu presiune moderată ca să nu se împrăstie și să nu scadă efectul de răcire; de aceea conducta pentru alimentarea cu lichid de răcire se lărgeste la ieșirea lichidului, pentru a se reduce viteza acestuia.

Circulația lichidului este asigurată de o pompă. După răcirea sculei, lichidul se strânge într-un vas colector; după filtrare, el este pompat din nou spre sculă. În felul acesta se stabilește o circulație continuă a lichidului de răcire.

5.2. LICHIDE DE RĂCIRE-UNGERE

Lichidele folosite la prelucrarea metalelor, în afară de acțiunea lor de răcire și ungere, trebuie să mai satisfacă următoarele condiții:

- să nu fie vătămătoare pentru muncitori, deci să nu conțină: benzol, tetraclorură de carbon sau alte substanțe volatile;
- să se fabrice ușor și să nu necesite materii prime costisitoare;
- să nu fie corozive ca să nu atace mașina și metalul care se prelucurează;
- să aibă un punct de aprindere suficient de ridicat;
- să fie stabile; să nu se oxideze și să nu se descompună prin încălzire, în contact cu aerul, cu metalul sculei și al piesei;
- să spele bine așchiile și particulele abrazive;
- să fie suficient de transparente.

Cele mai bune proprietăți de ungere la așchiere le au uleiurile pure, amestecate cu grăsimi, uleiurile grase și sulfonate (sulfo-frezolurile), precum și emulsiile activate în sulf. Deseori, sînt folosite diferite soluții (sodă calcinată sau compuși alcalini), săpunuri și alte substanțe de activare, emulsii de uleiuri minerale în apă și diferite uleiuri minerale; mai rar, se utilizează uleiurile vegetale, animale, terebentină, petrol lampant și emulsii de petrol lampant.

Pentru prelucrarea metalelor prin așchiere, există, de exemplu, uleiul emulsionabil (soluție de săpunuri de acizi grași sau naftenici în produse petroliere care au o viscozitate de $2-11^{\circ}\text{E}_{50}$), conform STAS 2598-72; acesta se folosește sub formă de emulsie de 5-10% în apă. De asemenea, la așchieră oțelurilor cu viteze și avansuri mari se utilizează ca mediu de răcire și de ungere uleiul sulfonat Mx-120, conform STAS 2800-72.

Alegerea lichidelor de răcire și ungere se face ținîndu-se seamă de felul prelucrării (strunjire, frezare, filetare etc.), materialul de prelucrat (oțel, cupru, fontă etc.), viteza și adîncimea de așchiere, felul așchiilor, calitatea cerută pentru suprafața așchiată, precizie etc. Astfel,

în operațiile de degroșare se utilizează, de obicei, lichide cu calitate bune de răcire, ca: soluții apoase de sodă sau, preferabil, emulsii cu o concentrație de 2,5-3%. În operațiile de finisare, cînd trebuie obținută o calitate ridicată a suprafeței prelucrate, lichidul trebuie să fie lubrifiant, utilizîndu-se în acest caz emulsii 10-25% și uleiuri minerale activate. La viteze mici și mai ales cînd așchieră se face la adîncimi mari, trebuie alese lichide cu proprietăți bune de ungere, cum sînt uleiurile minerale activate.

În tabela 7.63 sînt indicate lichidele de răcire-ungere recomandate pentru prelucrarea metalelor, iar în tabela 7.64 sînt arătate efectele folosirii bisulfurii de molibden (MoS_2) în procesele de așchiere.

Tabela 7.63. Lichide de răcire-ungere folosite la prelucrarea materialelor prin așchiere

| Operația de prelucrare | Oțel forjat și laminat | Oțel turnat | Fontă | Alamă | Bronz | Cupru | Alne | Aluminiu | Duralumina | Electron |
|------------------------|------------------------|-------------|----------------|--------------------------|---------------------|---------------------|--------|-------------------|----------------|-----------------------|
| Strunjire | Degroșare | E | E | — | E | E | E | E | U | F |
| | Finisare | E | U | U | U | U | U | U P | P | U |
| Filetare | | E | E | — | U S _r | U S _r | E | E U P | S _r | E P+S _r |
| Găurire | | E | E | E U P | E U | E S _r | | E | E P+S | F U |
| Alezare | | S | S _r | U S _r M | U S _r | S _r | E | — M+P (4:5) | S _r | F U |
| Frezare | Degroșare | E | E | A | E | E | E | — | S | F |
| | Finisare | E | E | U | E | U | E | — | S | U |
| Tălere cu ferăstrăul | | E S | E | E U | E U | E U | E | — P M U | S | F U |
| Rabotare | | U | U | U | U | U | — | E P U | P U | F U |
| Mortezare | | S T | U E | U P | U | U S _r | U M | — E P U | — | F U |
| Rectificare | | A | A | A | A | A | A | — M+P (1:1) | S | F |

Observație. Literele din tabelă au semnificația: A — apă + 5% sodă; E — emulsie de ulei sulfonat; F — soluție apoasă de clorură de sodiu 4%; M — ulei mineral; P — petrol; S — amestec de uleiuri minerale și uleiuri grase (de rapiță, de oase etc.); S_r — ulei de rapiță; U — uscat.

SCULE AȘCHietoARE

Tabela 7.64. Efectele folosirii bisulfurii de molibden (MoS_2) în procesele de așchiere

| Materiile piesei prelucrate | Scula | Lichidul de răcire și ungere folosit inițial (fără MoS_2) | Lichidul de răcire și ungere folosit ulterior (cu MoS_2) | Durata soniei la folosirea lichidului fără MoS_2 | Durata soniei la folosirea lichidului cu MoS_2 |
|--|---|---|--|---|---|
| Oțel aliat având $\sigma_r = 125 \text{ kg/mm}^2$ Bronz | Burghiu elicoidal Burghiu elicoidal Tarod M 6 | Ulei de răcire și ungere Idem Petrol lampant | Ulei de răcire și ungere cu 3% MoS_2 Idem cu 6% MoS_2 Petrol cu 3% MoS_2 | 100% 10...12 min 500 găuri filetate 100% | 300% 6...8 h 14 000 găuri filetate 400% |
| Fontă | Burghiu elicoidal Tarod | Emulsie Idem | Emulsie cu 5% MoS_2 Idem | 100% Găurire imposibilă | 300% 54 găuri |
| Cupru electrolitic OL 40 sau OL 50 Oțel inoxidabil | Burghiu elicoidal Tarod | Ulei de răcire și ungere Idem | Ulei de răcire și ungere Idem | 24 găuri filetate 100% | 700 găuri filetate 600% |
| Oțel maleabil | Tarod | Diferite uleiuri de răcire și ungere Fără (uscat) | Aplicarea pe suprafețele de alunecare a pastei de MoS_2 după fiecare 15 filetări Aplicarea de pastă de MoS_2 pe suprafața de alunecare a cuțitului Aplicarea pe suprafețele de alunecare ale tășurilor, a pulberii de MoS_2 prin frecare Aplicarea inițială pe suprafețele de alunecare a pulberii de MoS_2 , urmată de adaugarea unui strat de pastă de MoS_2 | 100% | 240% |
| Bronz (bucșe și bare) — strunjire | Cuțit de strung | Petrol lampant Fără (uscat) | Idem | 100% | 8 200 găuri filetate |
| Oțel călit în ulei având $H_B = 275 \text{ kg/mm}^2$ Alamă, cupru | Burghiu elicoidal Tarod | Idem | Idem | 100% | 100% |

1. CUȚITE DE STRUNG, RABOTEZĂ ȘI MORTEZĂ

1.1. NOȚIUNI DESPRE FORMA AȘCHILOR

Prelucrarea metalelor prin așchiere se face cu ajutorul sculelor așchietoare.

Cuțitele întrebuințate la strunguri, raboteze și morteze reprezintă cea mai simplă formă a sculelor așchietoare. În timpul mișcării relative între sculă și piesă, tăișul cuțitului pătrunde în metalul piesei, ca o pană (fig. 8.1).

Cu cit unghiul penei, adică unghiul de ascuțire, este mai mic, cu atât el pătrunde mai ușor în metal și separă mai ușor așchia; în acest caz, tăișul cuțitului este însă mai puțin rezistent și se uzează mai repede. Din această cauză, unghiul penei cuțitului se alege ținând seamă de proprietățile metalului de prelucrat și de caracterul operației (degroșare sau finisare).

Pentru prelucrarea metalelor dure, trebuie utilizat un cuțit cu unghiul penei mai mare decât în cazul prelucrării metalelor moi.

În general, se disting la prelucrarea metalelor următoarele tipuri de așchii.

a. **Așchia de rupere.** La prelucrarea metalelor cu plasticitate foarte redusă, adică a metalelor fragile (fontă, bronz), sub apăsarea cuțitului particulele de metal se desprind de piesa de prelucrat, sub formă de elemente de așchie. Din cauza fragilității metalului, elementele de așchie fiind apăsate de fața respectivă a cuțitului și neputându-se deforma, se rup în fragmente de forme neregulate (fig. 8.1, a și d). O asemenea așchie se numește *așchie de rupere*.

b. **Așchia de forfecare în trepte.** La prelucrarea metalelor dure, care au totuși o anumită plasticitate (de exemplu, oțel foarte dur),

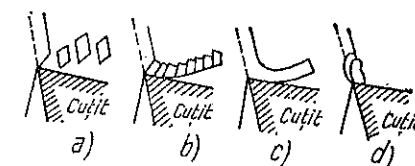


Fig. 8.1.

faţa cuţitului comprimă particulele de metal ale piesei de prelucrat, din care cauză aceste particule se deplasează una faţă de cealaltă. Dacă mişcarea continuă, aderenţa particulelor respective cu masa principală a materialului piesei care se prelucerează se reduce într-atît, încît are loc separarea lor sub formă de aşchie, formînd primul element de aşchie. Imediat după aceasta, faţa cuţitului începe să lucreze asupra particulei următoare a stratului comprimat, producînd separarea acesteia etc. Aceste elemente se desprind din materialul piesei sub formă de mici fragmente, care păstrează între ele o foarte slabă legătură. Dacă duritatea materialului este destul de mică şi plasticitatea lui destul de mare (oţel dur sau de duritate medie), elementele de aşchiere rezultate sînt mai bine legate între ele şi formează o panglică mai mult sau mai puţin rezistentă, avînd pe suprafaţa care nu a venit în contact cu cuţitul asperităţi în formă de trepte (fig. 8.1, b). Aşchiile acestea sînt aşchii de forfecare şi se numesc *aşchii în trepte*.

c. **Aşchia de curgere.** La tăierea metalelor moi şi plastice (oţel moale, alamă) are loc o separare neîntreruptă a elementelor de aşchie, care sînt perfect legate între ele, iar deplasarea lor relativă este neînsemnată şi formează o panglică netedă şi continuă (fig. 8.1, c). Din cauza caracterului de continuitate pe care o are aşchia, ea se numeşte *aşchie de curgere* (continuă).

Obţinerea unei anumite forme de aşchii este condiţionată, după cum s-a arătat, în primul rînd de felul materialului supus prelucrării, dar mai sînt şi alţi factori care influenţează formarea unei anumite categorii de aşchii. Dintre aceşti factori menţionăm; parametrii geometrici ai cuţitului (în special unghiul de degajare), secţiunea aşchiei, viteza de aşchiere etc. Datorită acestor factori, dacă în anumite condiţii, la prelucrarea unui anumit material se obţin în mod obişnuit aşchii de rupere, respectiv aşchii în trepte, schimbînd condiţiile de lucru, se pot obţine aşchii în trepte, respectiv aşchii de curgere.

1.2. NOȚIUNI FUNDAMENTALE DESPRE CUȚITE. DEFINIȚII (v. și STAS 350-66 și STAS 6599-71)

1.2.1. **Părțile cuţitului și elementele capului său.** Fiecare cuțit este compus dintr-o parte activă denumită *cap* și o parte cu care cuțitul se fixează pe suport, denumită *corp* (fig. 8.2).

Elementele geometrice ale capului cuțitului (fig. 8.3) sînt următoarele:

Fața de degajare este fața peste care alunecă aşchiile detaşate de pe piesa care se prelucerează.

Fetele de aşezare sînt fetele capului cuțitului îndreptate spre piesa care se aşchiează.

Tăișul principal execută tăierea; el este muchia formată prin intersecția feței de degajare cu fața de aşezare principală.

Tăișul secundar este muchia formată prin intersecția feței de degajare cu fața de aşezare secundară; cuțitele normale au un singur tăiș secundar; cuțitele de retezat și profilate (de formă) au mai multe tăișuri secundare.

Vîrfurile tăișului este punctul de intersecție al tăișului principal cu cel secundar. Pot fi unul sau două vîrfuri, după cum cuțitul are unul sau două tăișuri

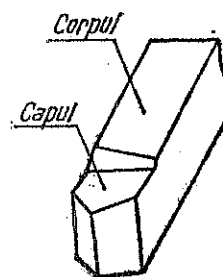


Fig. 8.2.

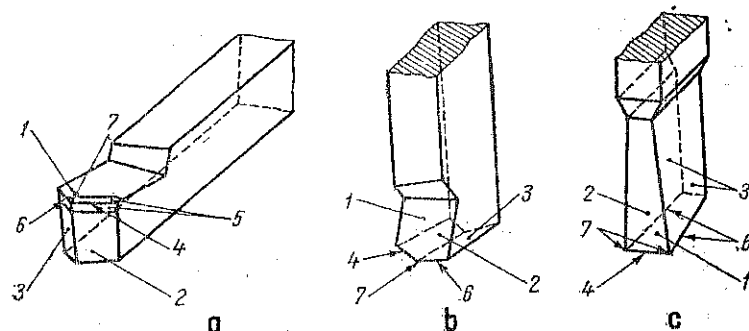


Fig. 8.3. Cuțite de strung (a), raboteză (b) și morteză (c):

1 — fața de degajare; 2 — fața de aşezare principală; 3 — fața de aşezare secundară; 4 — tăișul principal; 5 — fațete; 6 — tăișul secundar; 7 — vîrfurile tăișului.

secundare. În plan, vîrfurile cuțitului poate fi ascuțit sau rotunjit.

Înălțimea vîrfului este distanța de la vîrfurile cuțitului la suprafața de reazem a corpului cuțitului. Înălțimea vîrfului se notează cu simbolul h și se măsoară în milimetri; ea poate fi pozitivă sau negativă (fig. 8.4).

1.2.2. **Suprafețele de prelucrare și planele de referință** (fig. 8.5.). La piesele supuse prelucrării la strung, raboteză și morteză, deosebim următoarele suprafețe:

Suprafața de aşchiat (de prelucrat) adică suprafața de pe care se desprind aşchiile prin acțiunea cuțitului.

Suprafața aşchiată (prelucrată), adică suprafața obținută prin desprinderea aşchiilor.

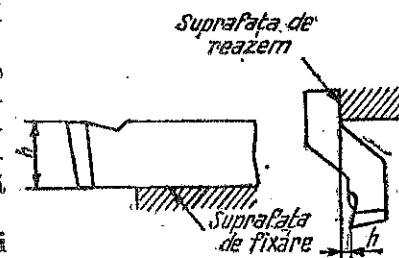


Fig. 8.4.

Suprafața de tăiere care ia naștere sub tăișul cuțitului, făcând trecerea de la suprafața de așchiat la suprafața așchiată.

Pentru determinarea unghiurilor cuțitului s-au stabilit următoarele plane de referință :

Planul tăișului (principal sau secundar) trece prin tăișul cuțitului (principal sau secundar) și este tangent la suprafața de tăiere.

Planul de bază este paralel cu avansul longitudinal și transversal.

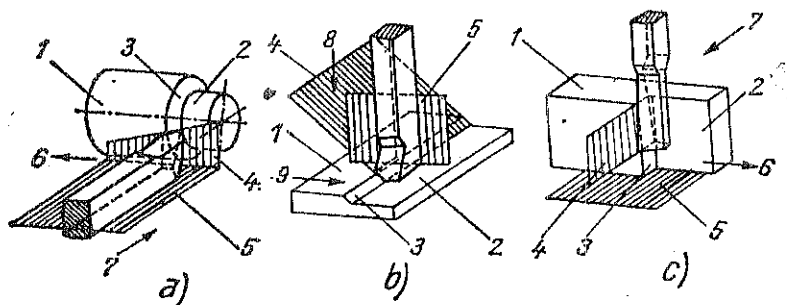


Fig. 8.5. Denumirea suprafețelor la așchiere :

a — strunjire; b — rabotare; c — mortezare; 1 — suprafață de așchiere; 2 — suprafață așchiată; 3 — suprafață de tăiere; 4 — plan de tăiere; 5 — plan de bază; 6 — avansul longitudinal; 7 — avansul transversal; 8 — avansul vertical; 9 — avansul orizontal.

1.2.3. Unghiurile cuțitului. În fig. 8.6 sunt indicate unghiurile unui cuțit drept, al cărui ax este perpendicular la direcția avansului și al cărui vîrf este situat într-un plan paralel la suprafața de reazem ce trece prin virfurile strungului.

Unghiurile principale ale cuțitului se măsoară în planul perpendicular la muchia așchietoare a cuțitului. Se deosebesc următoarele unghiuri principale :

Unghiul de așezare principal α , dintre fața de așezare principală și planul tăișului principal.

Unghiul de așezare α_1 este unghiul dintre fața de așezare secundară și planul tăișului secundar.

Unghiul de ascuțire principal β , dintre fața de degajare și fața de așezare principală.

Unghiul de degajare principal γ , dintre fața de degajare și planul de bază constructiv.

Unghiul de tăiere principal $\delta = \alpha + \beta$, dintre fața de degajare și planul tăișului principal.

Observație. Unghiurile secundare (α_1 , β_1 și γ_1) se definesc în mod analog.

Unghiul de atac principal κ , dintre direcția avansului longitudinal și proiecția tăișului principal pe planul de bază.

Unghiul de atac secundar κ_1 , dintre direcția avansului longitudinal și proiecția tăișului pe planul de bază.

Unghiul de vîrf ε , dintre proiecțiile tăișului pe planul de bază.
Unghiul de înclinare λ , dintre tăișul principal și proiecția acestuia pe un plan care trece prin vîrfurile cuțitului și este paralel cu bază.

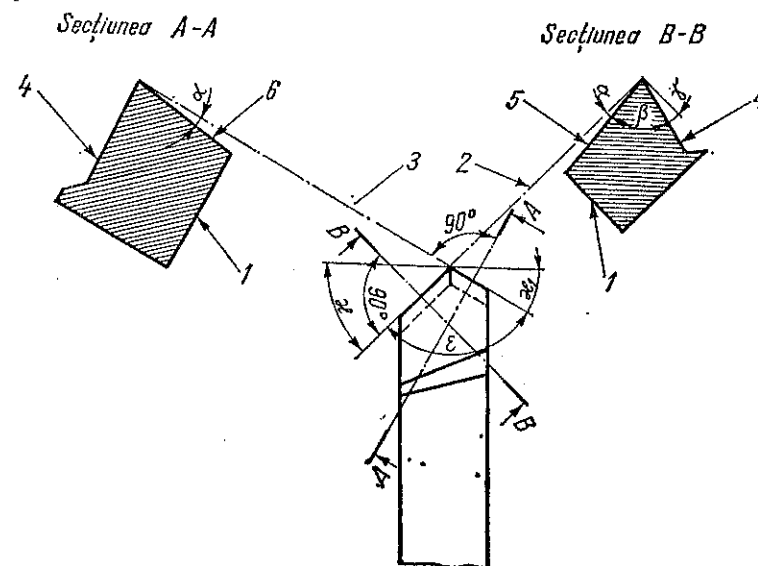


Fig. 8.6. Unghiurile cuțitului :

1 — plan de bază constructiv; 2 — planul tăișului principal; 3 — planul tăișului secundar; 4 — față de degajare; 5 — față de așezare principală; 6 — față de așezare secundară.

După cum tăișul principal se găsește deasupra sau sub acest plan, tăișul are înclinare pozitivă sau negativă.

1.2.4. Definirea sensului și formei cuțitelor. După sensul avansului cu care lucrează cuțitele, ele se împart în cuțite pe dreapta și cuțite pe stînga.

Cuțitele pe dreapta sînt acele cuțite la care, dacă se suprapune palma minii drepte peste corpul cuțitului astfel ca degetele să fie îndreptate spre vîrfurile lui și se privește spre fața de degajare, tăișul principal apare pe partea degetului mare (fig. 8.7, b). Asemenea cuțite lucrează cu avansul de la dreapta spre stînga.

Cuțitele pe stînga sînt acele cuțite la care dacă se suprapune palma minii stîngi în felul arătat mai sus, tăișul principal apare de partea degetului mare. Aceste cuțite lucrează cu avansul de la stînga spre dreapta (fig. 8.7, a).

După forma capului și după poziția lui în raport cu corpul cuțitului, deosebim (fig. 8.8) :

Cuţite drepte, la care axa de simetrie a corpului cuţitului este dreaptă atât în plan, cât şi în vederea laterală.

Cuţite încovoiate, la care axa de simetrie a corpului cuţitului este încovoiată (curbată) în plan.

Cuţite cotite, la care axa de simetrie a corpului cuţitului este cotită în vederea laterală.

Cuţite cu capul îngustat, la care capul este mai îngust decât corpul.

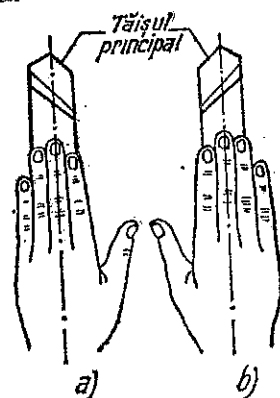


Fig. 8.7.

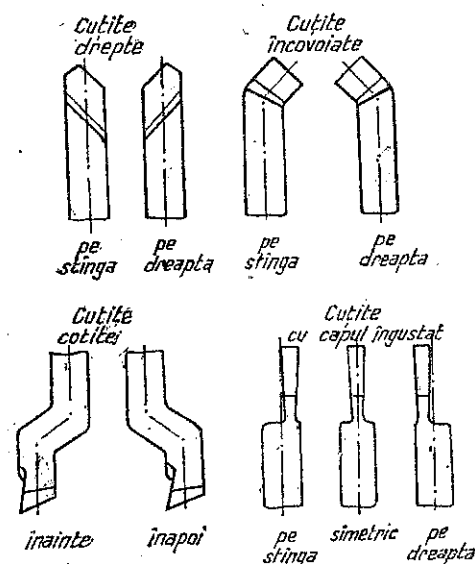


Fig. 8.8.

1.3. PARAMETRII GEOMETRICI AI PĂRȚILOR DE AȘCHIERE ¹⁾

1.3.2. Unghiurile de așezare. Mărimea unghiului de așezare principal α (fig. 8.9) se stabilește în raport cu tipul cuţitului și cu mărimea avansului, cu ajutorul tabelii 8.1.

Unghiul de așezare secundar α_1 se ia egal cu unghiul de așezare principal α la toate cuţitele, în afară de cele pentru canale și de retezat, pentru care valoarea unghiului $\alpha_1 = 1^\circ$ dacă lăţimea capului nu depășește 5 mm; în caz contrar, unghiul α_1 poate fi mărit până la 2° .

Abaterile limită ale unghiurilor α și α_1 sînt stabilite la $\pm 1^\circ$; la cuţitele pentru canale și cele de retezat, abaterea limită a unghiului α_1 este fixată la $\pm 30'$.

¹⁾ Parametrii geometrici recomandați la prelucrarea prin așchiere pentru elementele tăietoare ale cuţitelor de strung, de raboteză și de morteză, se referă la cuţitele confecționate în întregime din oțel special de scule rapid (STAS 351-67 ... STAS 359-67) sau cu plăcuță din oțel special de scule.

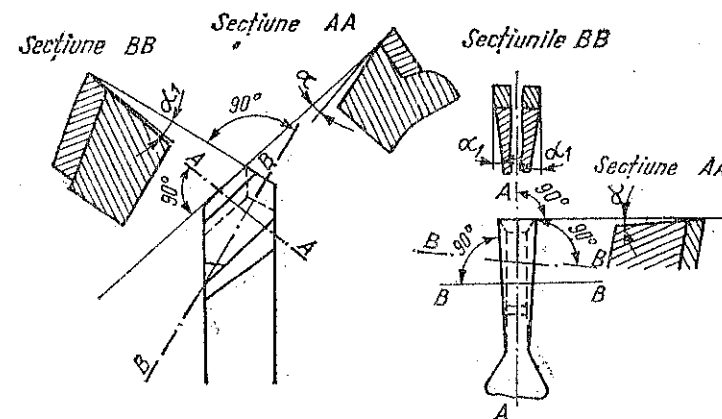


Fig. 8.9.

Tabela 8.1 Mărimea unghiului de așezare principal α

| Tipul cuţitului | Valoarea unghiului α , în funcție de avansul la o rotație completă sau la o cursă dublă | |
|--|--|--------------|
| | Pînă la 0,2 mm | Peste 0,2 mm |
| Normal | de strînjit de rabotat și mortezat | 12° 8° |
| De prelucrare frontală, de strînjit interior pentru canale, de retezat, tangențial pentru automate, de formă și de filetat | 12° | 8° |

1.3.2. Forma și dimensiunile feței de degajare. Forma feței de degajare se determină în funcție de materialul de prelucrat și de felul cuţitului, conform tabelii 8.2.

Valoarea unghiului de degajare γ se stabilește cu ajutorul tabelii 8.3, în raport cu forma feței de degajare și cu natura materialului de prelucrat. Trebuie să avem în vedere faptul că atât la cuţitele de raboteză și de morteză, cât și la cele de strung cu formele I, II și III (v. tabela 8.2), destinate prelucrării suprafețelor discontinue sau pieselor turnate cu coajă, valoarea unghiului de degajare, în loc de 30° pînă la 25° , se ia egală cu 20° , iar în loc de 20° se ia de 12° .

Abaterile limită ale unghiului de degajare: $\pm 1^\circ$ pentru $\gamma < 12^\circ$ și $\pm 2^\circ$ pentru $\gamma > 12^\circ$.

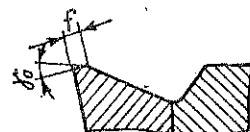
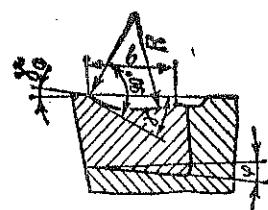


Fig. 8.10.

Lăţimea faţetei (fig. 8.10), la cuţitele destinate prelucrărilor cu avansuri $s > 0,2$ mm pe rotaţie (sau pe cursa dublă), se stabileşte luând $f = (0,8 \dots 1) s$.

La cuţitele pentru prelucrări cu avansuri $s < 0,2$ mm pe rotaţie (sau pe cursa dublă), tăişurile se vor teşi uşor. Această teşire nu va depăşi 0,2 mm.

De asemenea se vor teşi tăişurile cuţitelor executate după forma III (tabela 8.2). Valoarea unghiului de degajare al faţetei se va lua conform tabelii 8.4.

Raza R a scobiturii are următoarele valori: la cuţitele de strung normale şi de interior, $R = (10 \dots 15) s$; la cuţitele de rabotat şi de mor-tezat, $R = (30 \dots 40) s$; la cuţitele pentru canale şi la cuţitele de retezat, $R = (50 \dots 60) s$;

Valoarea razei R trebuie să fie de minimum 3 mm.

Lăţimea b a scobiturii (porţiunii curbe) se determină cu ajutorul formulei $b = 2 R \sin(\gamma - \varphi)$.

Valorile lui f şi R (fig. 8.10) se recomandă a fi luate din tabela 8.5, în care se indică valorile stabilite pentru avansuri medii uzuale.

Unghiul de înclinare λ al tăişului principal (fig. 8.11) se ia:

Cînd faţa de degajare are forma I $\lambda = 0^\circ$

Cînd faţa de degajare are formele II sau III:

- pentru cuţite normale, pentru strunjit interior la lucrări de degroşare. $\lambda = +4^\circ$
- pentru cuţitele de prelucrare frontală, de canelat sau de retezat . . . $\lambda = 0^\circ$
- pentru cuţite de rabotat $\lambda = +10^\circ$
- pentru prelucrarea suprafeţelor discontinue $\lambda = +10^\circ$

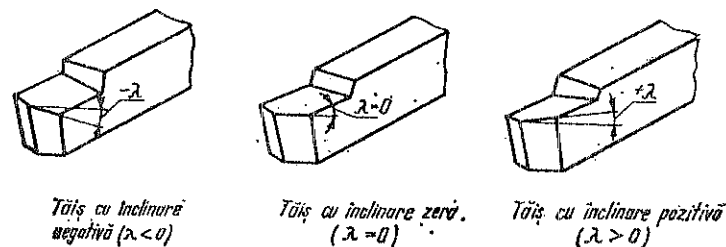


Fig. 8.11.

Abaterile limită ale unghiului λ sînt $\pm 1^\circ$.

1.3.3. Unghiurile de atac (în plan). În cazul prelucrării pieselor rigide fixate în universal şi vîrfurile păpuşii mobile sau numai în universal,

valoarea unghiului de atac principal α (fig. 8.12), la cuţitele normale şi de strunjit plan, se stabileşte la 30° ¹⁾, 45° sau 60° ; în cazul prelucrării pieselor cu rigiditate mică fixate între vîrfuri, aceste unghiuri sînt respectiv egale cu 60° , 75° sau 90° .

Tabela 8.2. Forma feţei de degajare a cuţitului

| Denumirea | Forma | Schiţa | Domeniul de utilizare |
|-----------------|-------|--------|--|
| Curbă cu faţetă | I | | Cuţite de toate tipurile pentru prelucrarea oţelului mai ales în cazul cînd se cere ca aşchia să fie de curgere (continuă) Se exceptează numai cuţitele de formă, cu profilul complicat al tăişului |
| Plană cu faţetă | II | | Cuţite de strung normale pentru strunjit plan; cuţite pentru canale şi pentru strunjit interior, pentru prelucrarea oţelului cu avansuri $s > 0,2$ mm/rot şi cuţitele la care ascuţirea după forma I este dificilă |
| Plană | III | | Toate tipurile de cuţite pentru prelucrarea fontei. Cuţite pentru prelucrarea oţelului, în cazul dificultăţii de ascuţire după forma I şi a prelucrării cu $s < 0,2$ mm/rot |

¹⁾ Unghiul $\alpha = 30^\circ$ poate fi dat numai pentru cuţitele normale care au unghiul de degajare $\gamma \geq 25^\circ$ sau pentru cuţitele de finisat longitudinal.

Tabela 8.3. Valoarea unghiului de degajare

| Materialul părţii tăietoare a cuţitului | | Oţeluri speciale de scule (rapide) slab sau bogat aliate | | | | Carburi metalice | | | |
|---|----------------|--|-----|-------|-----|------------------|-----|-------|-----|
| | | Oţel | | Fontă | | Oţel | | Fontă | |
| Material de prelucrat | | 50 | 80 | 100 | 120 | 70 | 90 | 130 | — |
| σ_r , kgf/mm ² | De la pînă la | 50 | 80 | 100 | 120 | 70 | 90 | 130 | — |
| HB | De la pînă la | 150 | 235 | 290 | 350 | 150 | 200 | 250 | 260 |
| | | 150 | 235 | 290 | 350 | 150 | 200 | 250 | 400 |
| Forma feţei de degajare | Avansul mm/rot | Unghiul de degajare γ | | | | | | | |
| I | — | 30° | | | | 20° | | | |
| II | Peste 0,2 | 25° | 25° | 20° | 12° | 20° | 12° | 8° | — |
| | Pînă la 0,2 | 25° | 25° | 20° | 12° | 20° | 12° | 8° | — |
| III | Peste 0,2 | 25° | 25° | 20° | 12° | 20° | 12° | 8° | — |

Tabela 8.4. Valoarea unghiului γ_0 de degajare al faţetei (fig. 8.10)

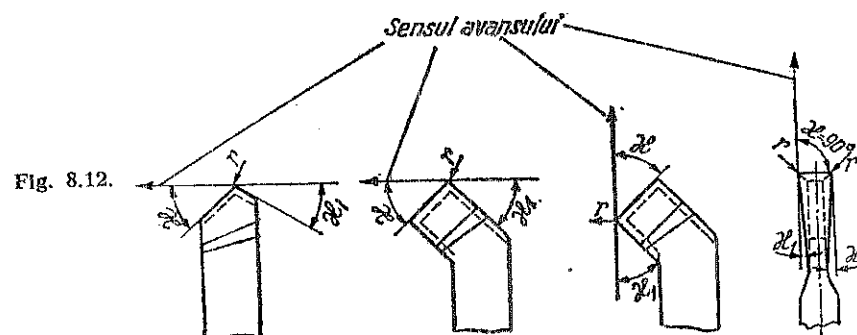
| Felul cuţitelor | Valoarea unghiului γ_0 în cazul părţii de tăiere confecţionate din: | |
|---------------------------|--|------------------|
| | Oţeluri speciale de scule (rapide) slab sau bogat aliate | Carburi metalice |
| De strunjit | 0° | -5° |
| De rabatat şi de mortezat | +5° | +5° |

Tabela 8.5. Valoarea f a faţetei şi raza R a scobiturii, mm

| Dimensiunile secţiunii cuţitului | | | Tipul cuţitelor | | | | | | | |
|----------------------------------|---------|---------|--|-----|---------------------------|-----|---|-------------------|--------------------------|-----|
| Dreptunghiulară | Pătrată | Rotundă | De strung. normale şi de strunjit plan | | De rabatat şi de mortezat | | Normale, de strunjit plan şi de strunjit interior | | De canelat şi de retezat | |
| 90° | 90° | 90° | f | R | f | R | r (v. fig. 8.72) | lăţimea cuţitului | f | R |
| 10×16 | 12×12 | 12 | 0,2 | 3 | 0,2 | 8 | 1 | 4 | 0,10 | 5 |
| 12×20 | 16×16 | 15 | 0,4 | 5 | 0,4 | 15 | 1,5 | 6 | 0,15 | 8 |
| 16×25 | 20×20 | 20 | 0,6 | 8 | 0,6 | 25 | 1,5 | 8 | 0,20 | 10 |
| 20×30 | 25×25 | 25 | 0,8 | 12 | 0,8 | 30 | 2 | 10 | 0,25 | 12 |
| 25×40 | 30×30 | — | 1,0 | 15 | 1,0 | 40 | 2 | 12 | 0,30 | 15 |
| 30×45 | 40×40 | — | 1,2 | 18 | 1,2 | 50 | 3 | 15 | 0,40 | 20 |
| 40×60 | 60×60 | — | 1,5 | 20 | 1,5 | 60 | 5 | 20 | 0,50 | 30 |

În cazul combinării strunjirii canalelor cu strunjirea plană, precum şi la strunjirea plană, valoarea unghiului α este egală cu 90°.

Pentru cuţitele de strunjit interior, valoarea unghiului α se ia egală cu 45°, 60° sau 75°.



La cuţitele destinate strunjirii găurilor cu diametrul mic şi în cazul strunjirii fără avans, valoarea unghiului α se ia egală cu 90°.

La cuţitele de canelat şi de retezat $\alpha = 90^\circ$.

Abaterile limită ale unghiului α sînt egale cu $\pm 2^\circ$.

Unghiul de atac secundar α_1 trebuie să aibă următoarele valori:

- la cuţitele normale care lucrează fără înfigere (pătrundere radială) . . . 5° sau 10°
- la cuţitele cu plăci din metale dure şi cînd piesele sînt suficient de rigid fixate . . . 15°
- la cuţitele normale, care lucrează cu înfigere pînă la 3 mm . . . 15°
- la cuţitele normale, care lucrează cu înfigere pînă la 3 mm . . . 20° sau 30°
- la cuţitele pentru prelucrarea frontală şi pentru strunjit interior . . . 10° sau 15°
- la cuţitele pentru prelucrarea frontală şi pentru strunjit interior cu plăci din carburi metalice . . . 20°
- la cuţitele de canelat şi retezat . . . 1°; 1°30' sau 2°
- la cuţitele încovoiate, cu secţiunea pînă la 20 × 30 mm . . . 45°
- la cuţitele încovoiate cu secţiunea peste 20 × 30 mm . . . 30°

Abaterile limită ale unghiului α_1 sînt:

- în cazul cînd $\alpha_1 \leq 2^\circ$. . . $\pm 30'$
- în cazul cînd $2^\circ \leq \alpha_1 \leq 5^\circ$. . . $\pm 1^\circ$
- în cazul cînd $\alpha_1 > 5^\circ$. . . $\pm 2^\circ$

1.3.4. Tăişuri de trecere. Raza r de racordare a feţelor de aşezare (fig. 8.12) se recomandă a fi fixată între următoarele limite:

- la cuţitele normale şi de strunjit interior:
 - în cazul cînd $s \leq 0,2$ mm/rot . . . 0,5–5 mm
 - în cazul cînd $s > 0,2$ mm/rot . . . 1–3 mm
- la cuţitele de strunjit plan . . . 0,5–2 mm
- la cuţitele de canelat şi retezat . . . 0,2–0,8 mm

1.4. ALEGEREA DIMENSIUNILOR CUȚITULUI

1.4.1. Dimensiuni pentru secţiunea cozii cuţitului. Valorile deduse experimental pentru dimensiunile B şi H ale secţiunii cozii (v. tabela 8.9 şi următoarele) sînt indicate în tabela 8.6, în funcţie de secţiunea aşchiei şi în funcţie de înălţimea virfurilor strungului.

În tabela 8.7 sînt arătate după STAS 6310-74 dimensiunile nominale pentru secţiunea cozilor la cuţitele de strung, de raboteză şi de morteză.

Tabela 8.6. Secţiunea cuţitelor, în funcţie de secţiunea aşchiiilor

| Forma secțiunii cuțitului | Dimen- siunile | Secțiunea așchiei, mm | | | | | | |
|------------------------------|-------------------|------------------------------|---------|---------|---------|---------|---------|----------|
| | | 1,5 | 2,5 | 4 | 6 | 9 | 12 | 16... 25 |
| | | Secțiunea cuțitului, mm × mm | | | | | | |
| Dreptunghiulară Pătrată | $B \times H$ | 10 × 16 | 12 × 20 | 16 × 25 | 20 × 32 | 25 × 40 | 32 × 55 | 40 × 32 |
| | H | 12 | 16 | 20 | 25 | 32 | 40 | 63 |

Secţiunea cuţitelor în funcţie de înălţimea virfurilor strungului

| Modul de fixarea cuţitului | Înălţimea virfurilor strungului, mm | | | | |
|-------------------------------|-------------------------------------|-------------|---------|---------|-------------|
| | 150 | 150 ... 200 | 250 | 300 | 350 ... 400 |
| Secţiunea cuţitului în mm | | | | | |
| În suport pentru un cuţit | 12 × 20 | 16 × 25 | 20 × 32 | 20 × 32 | 25 × 40 |
| În suport pentru patru cuţite | 12 × 20 | 12 × 20 | 16 × 25 | 20 × 32 | 25 × 40 |

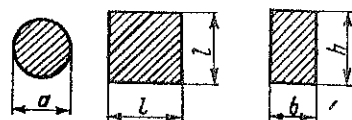


Tabela 8.7. Secţiunea cozilor la cuţitele de strung, de raboteză şi de morteză (STAS 6310-74)

în mm

| Secţiune rotundă | Secţiune pătrată | Secţiune dreptunghiulară | | |
|---------------------|---------------------|--------------------------|-------------------|-----------------|
| | | $h/b \approx 1,25$ | $h/b \approx 1,6$ | $h/b \approx 2$ |
| d | l | $h \times b$ | | |
| 6 | 6 × 6 | 6 × 5 | 6 × 4 | 6 × 3 |
| 8 | 8 × 8 | 8 × 6 | 8 × 5 | 8 × 4 |
| 10 | 10 × 10 | 10 × 8 | 10 × 6 | 10 × 5 |
| 12 | 12 × 12 | 12 × 10 | 12 × 8 | 12 × 6 |
| 16 | 16 × 16 | 16 × 12 | 16 × 10 | 16 × 8 |
| 20 | 20 × 20 | 20 × 16 | 20 × 12 | 20 × 10 |
| 25 | 25 × 25 | 25 × 20 | 25 × 16 | 25 × 12 |
| 32 | 32 × 32 | 32 × 25 | 32 × 20 | 23 × 16 |
| 40 | 40 × 40 | 40 × 32 | 40 × 25 | 40 × 20 |
| 50 | 50 × 50 | 50 × 40 | 50 × 32 | 50 × 25 |
| 63 | 63 × 63 | 63 × 50 | 63 × 40 | 63 × 32 |

Observaţie. 1. Se recomandă evitarea utilizării secţiunilor cu valori $h/b = 1,25$ şi $h/b = 2$. 2. Abateri limită la dimensiunile d , h , b şi l : a) Cozi brute (lamine sau forjate), abaterile limită vor fi cele prescrise în standardele dimensionate de semifabricate laminate sau forjate ale categoriei de oţeluri din care se execută cozile. b) Cozi prelucrate de cuţite care nu sînt ajustate într-o mandrină sau bară portsculă: je 9. c) Cozi prelucrate de cuţite destinate să fie ajustate într-o mandrină sau bară portsculă: abaterile limită vor fi prescrise în standardele, normele interne sau desenele de execuţie ale sculelor respective. 3. Execuţie. Cozile brute, laminate sau forjate, vor avea în toate cazurile faţă de sprijin prelucrată prin aşchiere.

1.4.2. **Lungimea cuţitului.** În tabela 8.8 sînt indicate valorile pentru lungimea L a cuţitului cînd sînt cunoscute dimensiunile secţiunii.

Tabela 8.8. Lungimea cuţitelor în funcţie de secţiune

| Felul maşinii-unelte | Secţiunea dreptunghiulară $B \times H$, mm × mm | | | | | | |
|--------------------------------------|--|------------------|------------------|------------------|------------------|------------------|------------------|
| | 10 × 16 | 12 × 20 | 16 × 25 | 20 × 32 | 25 × 40 | 32 × 50 | 40 × 60 |
| Lungimea, mm | | | | | | | |
| Strung cu suport pentru un cuţit | 150 | 200 | 225 | 250 | 300 | 400 | 500 |
| Strung cu suport pentru patru cuţite | 125 | 125 şi 150 | 150 şi 175 | 150 şi 200 | 150 şi 200 | 150 şi 250 | — |
| | | | | | | | — |
| Raboteză | 150 | 200 | 250 | 300 | 350 | 400 | 500 |
| Morteză | 200 | 250 | 300 | 350 | 450 | 500 | 600 |
| Felul maşinii-unelte | Secţiune pătrată cu latura H , mm | | | | | | |
| | 8 | 10 | 16 | 20 | 25 | 32 | 40 |
| Lungimea, mm | | | | | | | |
| Strung cu suport pentru un cuţit | 100 | 150 | 200 | 250 | 300 | 350 | 400 |
| Strung cu suport pentru patru cuţite | — | 125 | 125 şi 150 | 125 şi 200 | 150 şi 250 | 150 şi 250 | 200 şi 300 |
| | | | | | | | |
| Strung automat | 50 | 60 | 80 | 100 | 125 | — | — |

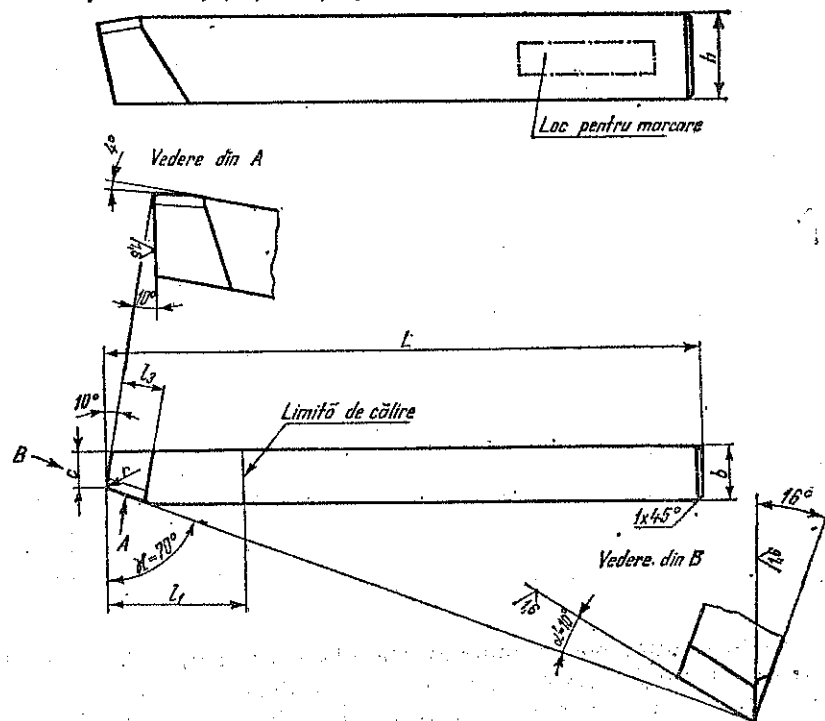
1.4.3. **Elementele geometrice ale capului cuţitelor.** Valorile unghiurilor, dimensiunile feţelor de aşezare şi de degajare precum şi mărimea faţetelor se stabilesc în funcţie de tipul cuţitului, felul prelucrării, materialul piesei şi caracteristicile procesului de aşchiere. Indicaţii detaliate asupra acestor elemente geometrice ale capului cuţitelor, după STAS 350-66, se găsesc în subcapitolul 1.3.

1.5. FORMELE ŞI DIMENSIUNILE CUŢITELOR DE STRUNG RABOTEZĂ ŞI MORTEZĂ

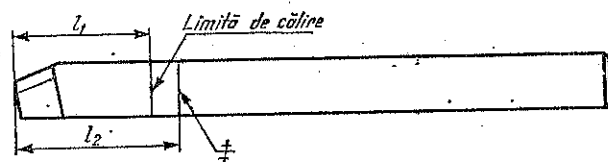
1.5.1. **Cuţite normale.** Cuţitele normale pentru strung, raboteză şi morteză se execută fie integral din oţel special de scule (rapid), fie numai cu plăcuţe din materiale speciale (de exemplu, oţel rapid, carburi metalice, materiale ceramice etc.), aplicate la extremitatea corpului cuţitelor confecţionate din oţel de construcţie (OL 70, conform STAS 500-68). Majoritatea acestor cuţite sînt standardizate. Formele, unghiurile şi elementele geometrice ale unor cuţite cu tăiş din oţel rapid sînt arătate în tabelele 8.9—8.19, iar pentru o serie de cuţite cu plăcuţe din carburi metalice în tabelele 8.20—8.21.

Tabela 8.9. Cuţit drept de strung cu tăiş din oţel rapid (STAS 351-67)

Execuţie monobloc (cuţit pe dreapta).



Execuţie prin sudură cap la cap (cuţit pe stînga).



Dimensiuni în mm

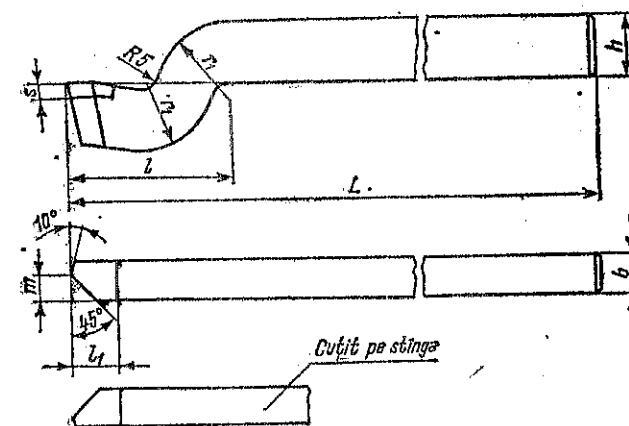
| Dimensiuni in mm | | | | | | | | |
|------------------|---------------------|-----------------------------|----------|----------------------------|----------|----------------------------|----------------------------|----------------------------|
| Secţiunea cozii | | Lungimea totală <i>L</i> | <i>a</i> | <i>l</i> ₁ ≈ | <i>r</i> | Execuţie | | |
| | | | | | | monobloc | prin sudare cap la cap | |
| Forma | <i>b</i> × <i>b</i> | | | | | <i>l</i> ₁ ≈ | <i>l</i> ₁ ≈ | <i>l</i> ₂ ≈ |
| Pătrată | 10 × 10 | 100 | 7 | 8 | 0,5 | 32 | — | — |
| | 12 × 12 | 110 | 8 | 10 | 0,5 | 32 | — | — |
| | 16 × 16 | 140 | 11 | 14 | 0,5 | — | 40 | 50 |
| | 20 × 20 | 160 | 14 | 16 | 1 | — | 40 | 50 |

Tabela 8.9 (continuare)

| Secțiunea cozii | | Lungimea totală <i>L</i> | <i>a</i> | <i>l</i> ₂ ≈ | <i>r</i> | Execuția | | |
|----------------------|---------------------|--------------------------------|----------|----------------------------|----------|----------------------------|----------------------------|----------------------------|
| | | | | | | monobloc | prin sudură cap la cap | |
| Forma | <i>a</i> × <i>b</i> | | | | | <i>l</i> ₁ ≈ | <i>l</i> ₁ ≈ | <i>l</i> ₂ ≈ |
| Dreptun- ghiulară | 25 × 16 | 180 | 11 | 14 | 0,5 | — | 40 | 50 |
| | 32 × 20 | 220 | 14 | 16 | 1 | — | 50 | 60 |
| | 40 × 25 | 280 | 17 | 20 | 1 | — | 60 | 70 |

Observaţii. 1. Figurile reprezintă cuţitele fabricate centralizat, fără ascuţirea finală (cu faţete lepuite) a tăişului principal. 2. Exemplu de notare a unui cuţit drept pentru de: groşat, pe dreapta, cu secţiunea cozii 25 × 16 mm, cu partea activă din oţel rapid Rp3 şi ascuţirea tip II: Cuţit 25 × 16 STAS 351-67/Rp 3-II. Idem, pentru cuţitul fabricat centralizat (fără ascuţirea finală a tăişului principal): Cuţit 25 × 16 STAS 351-67/Rp 3.

Tabela 8.10. Cuţit cu tăiş din oţel rapid pentru raboteză (STAS 363/1-76)

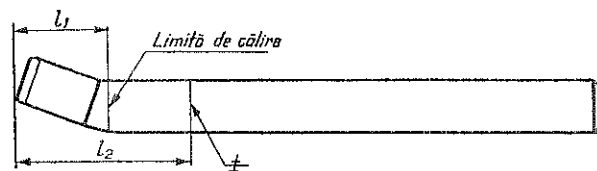


Dimensiuni în mm

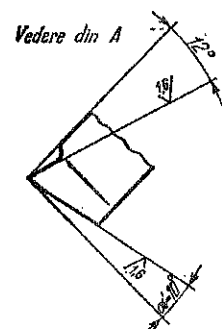
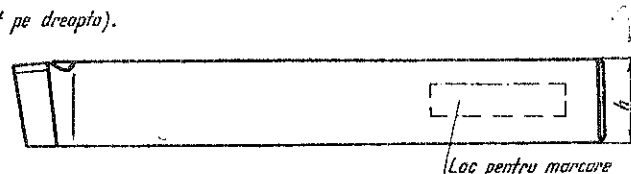
| Secţiunea cozii $a \times b$ | L | l min. | $r_1 \approx$ | $l_2 \approx$ | s | m |
|---------------------------------|-----|-------------|---------------|---------------|-----|-----|
| 25 × 16 | 220 | 50 | 30 | 16 | 6 | 9 |
| 32 × 20 | 280 | 83 | 37 | 20 | 8 | 12 |
| 40 × 25 | 340 | 80 | 45 | 25 | 10 | 14 |
| 50 × 32 | 400 | 100 | 55 | 32 | 12 | 16 |
| 63 × 40 | 500 | 125 | 68 | 40 | 16 | 22 |

Tabela 8.11. Cuţit încovoiat de degroşat cu tăiş din oţel rapid pentru strung (STAS 353-67)

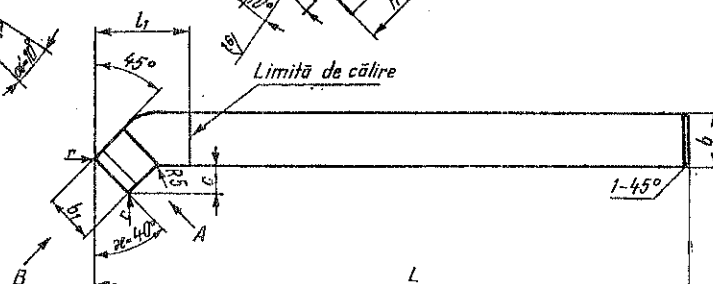
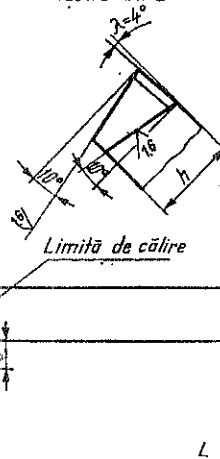
Execuţie prin sudură cap la cap (cuţit pe stînga)



Execuţie monobloc (cuţit pe dreapta).



Vedere din B



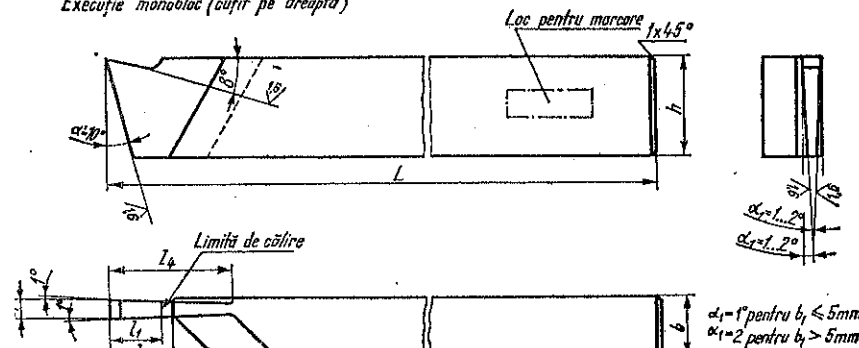
Dimensiuni în mm

| Secţiunea cozii | | Lungimea totală L | b ₁ | r _c | r | Execuţie | | |
|------------------|---------|-------------------|----------------|----------------|-----|----------------|------------------------|----------------|
| Forma | h × b | | | | | monobloc | prin sudură cap la cap | |
| | | | | | | l ₁ | l ₂ | l ₃ |
| Pătrată | 10 × 10 | 100 | 8 | 6 | 0,5 | 20 | — | — |
| | 12 × 12 | 110 | 10 | 7 | 0,5 | 20 | — | — |
| | 16 × 16 | 140 | 12 | 8 | 0,5 | — | 25 | 50 |
| Dreptun-ghiulară | 20 × 12 | 140 | 10 | 7 | 0,5 | — | 25 | 50 |
| | 25 × 16 | 180 | 14 | 8 | 0,5 | — | 25 | 50 |
| | 32 × 20 | 220 | 18 | 10 | 1 | — | 35 | 65 |
| | 40 × 25 | 280 | 22 | 12 | 1 | — | 35 | 65 |

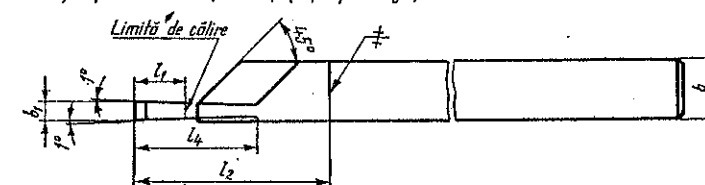
Observaţii la tabela 8.11. 1. Figurile reprezintă cuţitele fabricate centralizat, fără ascuţirea finală (cu faţete lepuite) a tăişului principal. 2. Exemplu de notare a unui cuţit încovoiat pentru degroşat, pe dreapta cu secţiunea cozii 20 × 12 mm, cu partea activă din oţel rapid Rp3 şi ascuţirea tip IV: Cuţit 20 × 12 STAS 352-67/Rp3-IV. Idem, pentru cuţitul fabricat centralizat (fără ascuţirea finală a tăişului principal): Cuţit 20 × 12 STAS 352-67/Rp3

Tabela 8.12. Cuţit de retezat cu tăiş din oţel rapid pentru strung STAS (353-67)

Execuţie monobloc (cuţit pe dreapta)



Execuţie prin sudură cap la cap (cuţit pe stînga)



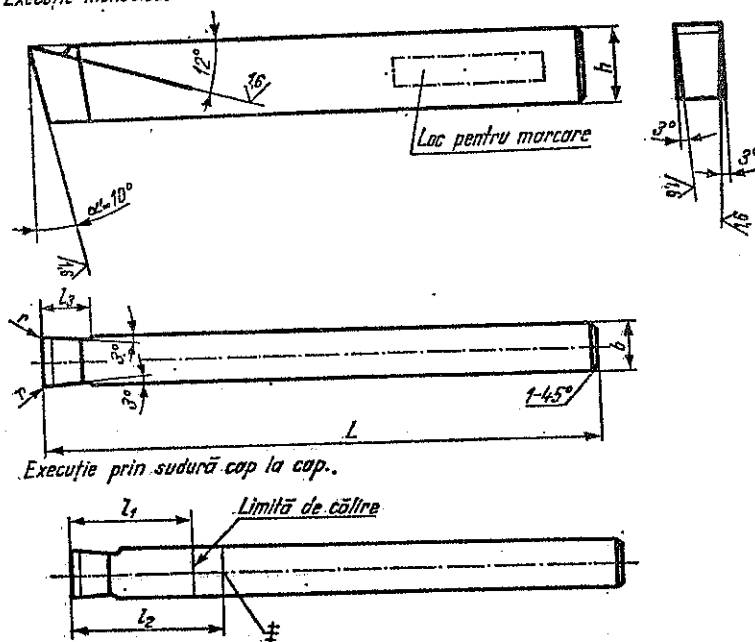
Dimensiuni în mm

| Secțiunea cozii | | Lungimea totală <i>L</i> | <i>b</i> ₁ | <i>l</i> ₃ | <i>l</i> ₄ | Execuție | | | Diametrul maxim de rețezare <i>D</i> max. |
|-----------------|---------------------|-----------------------------|-----------------------|-----------------------|----------------------------|----------------------------|----------------------------|----|--|
| | | | | | | monobloc | prin sudare cap la cap | | |
| Forma | <i>h</i> × <i>b</i> | | | | <i>l</i> ₁ ≈ | <i>l</i> ₁ ≈ | <i>l</i> ₂ ≈ | | |
| Pătrată | 10 × 10 | 100 | 2,5 | 5 | 8 | 6 | — | — | 14 |
| | 12 × 12 | 110 | 3 | 8 | 10 | 6 | — | — | 16 |
| Dreptunghiulară | 16 × 10 | 125 | 3 | 12 | 20 | 8 | — | — | 30 |
| | 20 × 12 | 140 | 4 | 12 | 23 | — | 10 | 40 | 35 |
| | 25 × 16 | 180 | 5 | 20 | 35 | — | 12 | 50 | 50 |
| | 32 × 20 | 220 | 6 | 25 | 40 | — | 16 | 60 | 60 |

Observaţii. 1. Figurile reprezintă cuţitul fabricat centralizat, fără ascuţirea finală (cu faţete lepuite) a tăişului principal. 2. Exemplu de notare a unui cuţit pentru retezat, pe dreapta, cu secţiunea cozii 25 × 16 mm, cu partea activă din oţel rapid marca Rp3 şi ascuţirea tip II: Cuţit 25 × 16 STAS 353-67/Rp3-II. Idem, pentru cuţitul fabricat centralizat (fără ascuţirea finală a tăişului principal): Cuţit 25 × 16 STAS 353-67/Rp3 Exemplu de notare a unui cuţit pentru retezat, pe stînga, cu secţiunea cozii 25 × 16 mm, cu partea activă din oţel rapid Rp3 şi ascuţirea tip II: Cuţit 25 × 16 stg STAS 353-67/Rp3-II.

Tabela 8.13. Cuşit lat cu tăiş din oţel rapid pentru strung (STAS 355-67)

Execuţie monobloc.



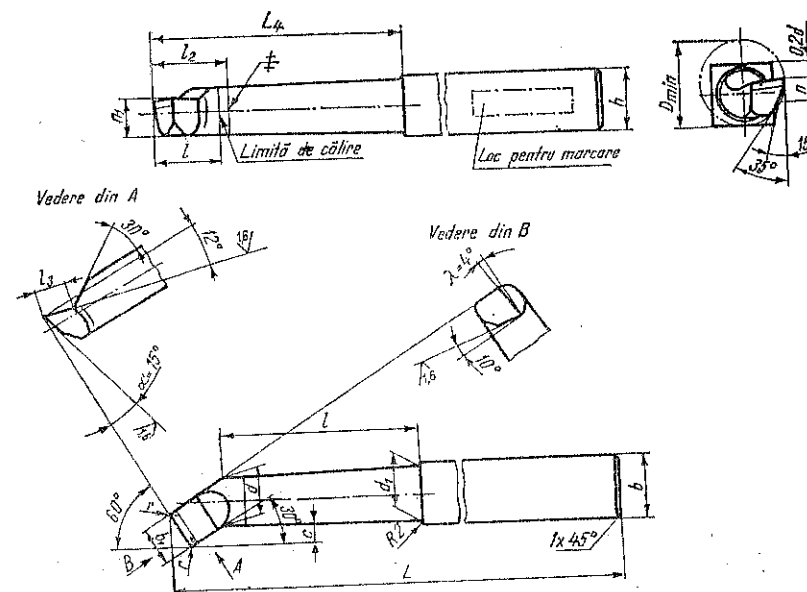
Execuţie prin sudură cap la cap.

Dimensiuni în mm

| Secţiunea cozii | | Lungimea totală <i>L</i> | <i>l</i> ₃ | <i>r</i> | Execuţie | | |
|----------------------|---------------------|-----------------------------|-----------------------|----------|----------------------------|----------------------------|----------------------------|
| | | | | | monobloc | prin sudare cap la cap | |
| Formă | <i>a</i> × <i>b</i> | | | | <i>l</i> ₁ ≈ | <i>l</i> ₁ ≈ | <i>l</i> ₂ ≈ |
| Pătrată | 10 × 10 | 100 | 10 | 0,5 | 32 | — | — |
| | 12 × 12 | 110 | 12 | 0,5 | 32 | — | — |
| | 16 × 16 | 140 | 16 | 0,5 | — | 40 | 50 |
| Dreptun- ghiulară | 20 × 20 | 160 | 20 | 0,5 | — | 40 | 50 |
| | 25 × 16 | 180 | 16 | 0,5 | — | 40 | 50 |
| | 32 × 20 | 220 | 20 | 1 | — | 50 | 60 |
| | 40 × 25 | 280 | 25 | 1 | — | 60 | 70 |

Observaţii. 1. Figurile reprezintă cuşitele fabricate centralizat fără ascuţirea finală (cu faţete lepuite) a tăişului principal. 2. Exemplu de notare a unui cuşit lat, avînd secţiunea cozii 25 × 16 mm, cu partea activă din oţel rapid Rp3 şi ascuţirea tip II: Cuşit 25 × 16 STAS 355-67/Rp3-II. Idem, pentru cuşitul fabricat centralizat (fără ascuţirea finală a tăişului principal): Cuşit 25 × 16 355-67/Rp3

Tabela 8.14. Cuşit de interior cu tăiş din oţel rapid pentru strung (STAS 356-67)



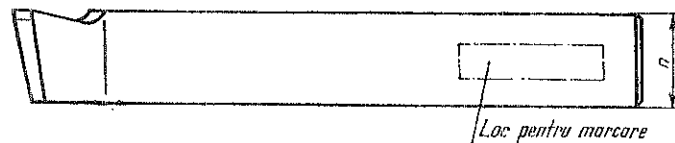
Dimensiuni în mm

| Secțiunea cozii | | Lun- gimea totală <i>L</i> | <i>l</i> | <i>l</i> ₁ ≈ | <i>l</i> ₂ ≈ | <i>l</i> ₃ | <i>l</i> ₄ | <i>d</i> | <i>d</i> ₁ | <i>α</i> ≈ | <i>n</i> ≈ | <i>n</i> ₁ ≈ | <i>b</i> ₁ | <i>r</i> | Diametrul minim al găurii pentru care poate fi folosit cuțitul <i>D min.</i> |
|-----------------|---------------------|-------------------------------------|----------|----------------------------|----------------------------|-----------------------|-----------------------|----------|-----------------------|---------------|---------------|----------------------------|-----------------------|----------|--|
| Forma | <i>a</i> × <i>b</i> | | | | | | | | | | | | | | |
| Pătrată | 16 × 16 | 180 | 37 | 25 | 50 | 8 | 63 | 12 | 14 | 6 | 5 | 8 | 8 | 1,5 | 22 |
| | 20 × 20 | 220 | 64 | 25 | 50 | 12 | 80 | 16 | 19 | 8 | 7 | 11,2 | 12 | 1,5 | 30 |
| | 25 × 25 | 250 | 79 | 32 | 65 | 16 | 100 | 20 | 26 | 10 | 9 | 15,2 | 14 | 2 | 36 |

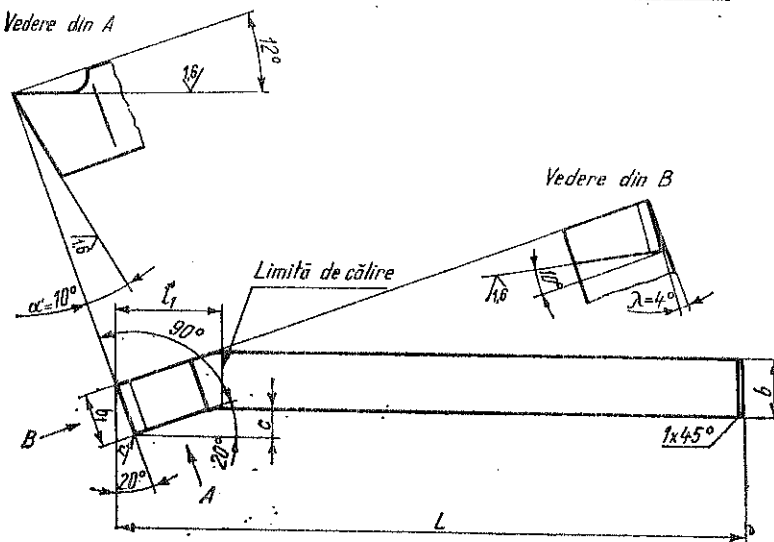
Observaţie. 1. Figura reprezintă cuşitul fabricat centralizat, fără ascuţirea finală (cu faţete lepuite) a tăişului principal. 2. Exemplu de notare a unui cuşit pentru interior, avînd secţiunea cozii 20 × 20 mm, cu partea activă din oţel rapid Rp3 şi ascuţirea tip II: Cuşit 20 × 20 STAS 356-67/Rp3-II. Idem, pentru cuşitul fabricat centralizat (fără ascuţirea finală a tăişului principal): Cuşit 20 × 20 STAS 356-67/Rp3.

Tabela 8.15. Cuţit frontal cu tăiş din oţel rapid pentru strung (STAS 358-67)

Execuţie monobloc (cuţit pe dreapta)

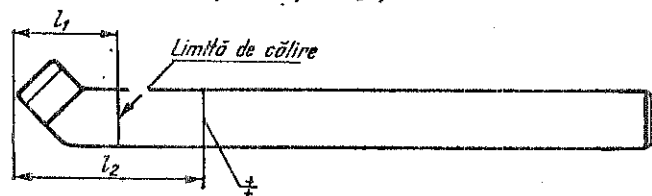


Vedere din A



Vedere din B

Execuţie prin sudură cap la cap (cuţit pe stînga)



Dimensiuni în mm

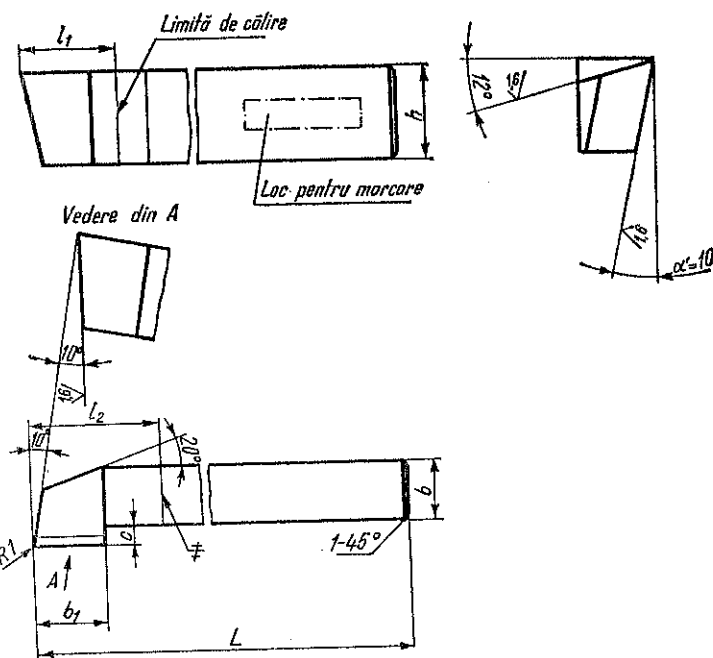
| Secţiunea cozii | | α | L | b_1 | r | Execuţie | | |
|-----------------|--------------|----------|-----|-------|-----|----------|------------------------|----|
| Forma | $h \times b$ | | | | | monobloc | prin sudare cap la cap | |
| Pătrată | 10 × 10 | 4 | 100 | 8 | 0,5 | 20 | — | — |
| | 12 × 12 | 5 | 110 | 10 | 0,5 | 20 | — | — |
| | 16 × 16 | 6 | 140 | 12 | 0,5 | — | 25 | 50 |

Tabela 8.15 (continuare)

| Secțiunea cozii | | α | L | b_1 | r | Execuție | | |
|-----------------|--------------|----------|-----|-------|-----|---------------|------------------------|---------------|
| Forma | $h \times b$ | | | | | monobloc | prin sudare cap la cap | |
| | | | | | | $l_1 \approx$ | $l_2 \approx$ | $l_3 \approx$ |
| Dreptunghiulară | 20 × 12 | 6 | 140 | 10 | 0,5 | — | 25 | 50 |
| | 25 × 16 | 8 | 180 | 14 | 0,5 | — | 25 | 50 |
| | 32 × 20 | 10 | 220 | 18 | 1 | — | 35 | 65 |
| | 40 × 25 | 12 | 280 | 22 | 1 | — | 50 | 80 |

Exemplu de notare a unui cuţit frontal pe dreapta, avînd secţiunea cozii 40 × 25 mm, cu partea activă din oţel rapid Rp3 şi ascuţirea tip I: Cuţit 40 × 25 STAS 358-67/Rp3-1

Tabela 8.16. Cuţit lateral cu tăiş din oţel rapid pentru strung (STAS 359-67)



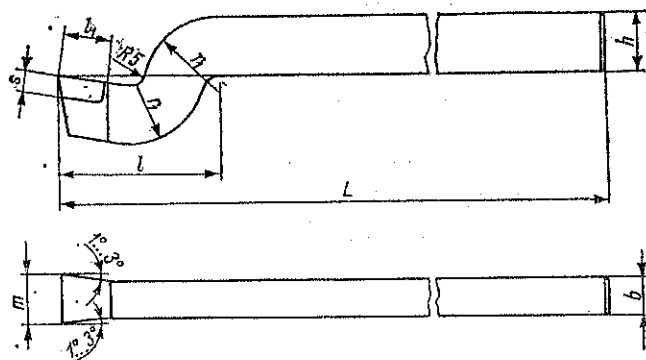
Vedere din A

Dimensiuni în mm

| Secţiunea cozii | | Lungimea totală L | b_1 | $l_1 \approx$ | $l_2 \approx$ | α |
|-----------------|--------------|------------------------|-------|---------------|---------------|----------|
| Forma | $h \times b$ | | | | | |
| Dreptunghiulară | 20 × 12 | 110 | 16 | 25 | 35 | 5 |
| | 25 × 16 | 180 | 20 | 30 | 40 | 6 |
| | 32 × 20 | 220 | 25 | 35 | 45 | 7 |
| | 40 × 25 | 280 | 30 | 40 | 50 | 9 |

Observații la tabela 8.16. 1. Figura reprezintă cuțitul fabricat centralizat, fără ascuțirea finală (cu fațete lepuite) a tăişului principal. 2. Exemplu de notare a unui cuțit lateral, pe dreapta, avind secțiunea cozii 40×25 mm, cu partea activă din oțel rapid Rp3 și ascuțirea tip II: Cuțit 40×25 STAS 359-67/Rp3-II. Idem, pentru cuțitul fabricat centralizat (fără ascuțirea finală a tăişului principal): Cuțit 40×25 STAS 359-67/Rp3. 3. Exemplu de notare a unui cuțit lateral, pe stînga, avind secțiunea cozii 40×25 mm, cu partea activă din oțel rapid Rp3 și ascuțirea tip II: Cuțit 40×25 stg STAS 359-67/Rp3-II.

Tabela 8.17. Cuțit lat cu tăiş din oțel rapid pentru raboteză (STAS 363/1-76)

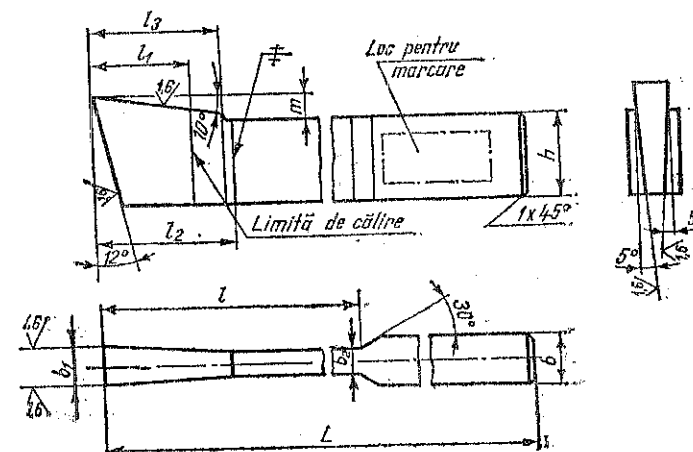


Dimensiuni în mm

| Secțiunea cozii $b \times h$ | L | l min. | \approx_1 | \approx_2 | a | m |
|---------------------------------|-----|-------------|-------------|-------------|-----|-----|
| 25 \times 16 | 220 | 50 | 30 | 12 | 6 | 16 |
| 32 \times 20 | 280 | 63 | 37 | 16 | 8 | 20 |
| 40 \times 25 | 340 | 80 | 45 | 20 | 10 | 25 |
| 50 \times 32 | 400 | 100 | 55 | 25 | 12 | 32 |
| 63 \times 40 | 500 | 125 | 68 | 30 | 16 | 40 |

Exemple de notare a unui cuțit lat, avind secțiunea cozii 25×26 , cu partea activă din oțel rapid Rp3: Cuțit 25×16 STAS 363/3-76/Rp3.

Tabela 8.18. Cuțit de canelat cu tăiş din oțel rapid pentru morteză (STAS 361-67)

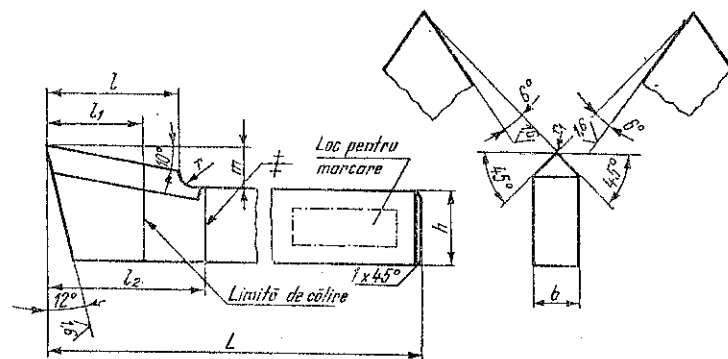


Dimensiuni în mm

| Secțiunea cozii | | L | l | \approx_1 | \approx_2 | \approx_3 | m | b_1 | b_2 |
|-----------------|----------------|-----|------------|-------------|-------------|-------------|----------|----------|------------|
| Forma | $b \times h$ | | | | | | | | |
| Dreptunghulară | 16 \times 10 | 150 | 40 40 | 20 20 | 30 30 | 20 20 | 4 4 | 4 5 | 4 4 |
| | 20 \times 12 | 250 | 60 60 | 20 25 | 30 40 | 20 30 | 4 6 | 6 8 | 4,5 6,5 |
| | 25 \times 16 | 300 | 80 80 | 30 30 | 45 45 | 35 35 | 7 7 | 10 12 | 8,5 10 |
| | 32 \times 20 | 350 | 100 100 | 35 35 | 50 50 | 40 40 | 8 8 | 14 16 | 11 14 |
| | 40 \times 25 | 400 | 120 | 45 | 60 | 50 | 11 | 18 | 16 |
| | 50 \times 32 | 500 | 150 180 | 45 45 | 60 60 | 50 50 | 11 11 | 20 24 | 18 22 |
| | 63 \times 40 | 600 | 250 | 55 | 70 | 60 | 13 | 28 | 52 |

Observații. 1. Figura reprezintă cuțitul fabricat centralizat, fără ascuțirea finală (cu fațete lepuite) a tăişului principal. 2. Exemplu de notare a unui cuțit pentru canelat, avind secțiunea cozii 25×16 mm și lățimea $b_1 = 10$ mm, cu partea activă din oțel rapid Rp3 și ascuțirea tip II: Cuțit $25 \times 16 \times 10$ STAS 361-67/Rp3-II. Idem, pentru un cuțit fabricat centralizat (fără ascuțirea finală a tăişului principal): Cuțit $25 \times 16 \times 10$ STAS 361-67/Rp3.

**Tabela 8.19. Cușit bilateral de degroșat cu tăiș din oțel rapid pentru morteză
(STAS 362-67)**



| Secțiunea cozii | | L | l | l_1 | l_2 | m | r | r_1 |
|-----------------|----------------|-----|-----|-------|-------|-----|-----|-------|
| Forma | $h \times b$ | | | | | | | |
| Dreptunghiulară | 20×12 | 250 | 35 | 40 | 50 | 11 | 5 | 1,5 |
| | 25×16 | 300 | 40 | 45 | 55 | 14 | 7 | 1,5 |
| | 32×20 | 350 | 45 | 50 | 60 | 17 | 10 | 2 |
| | 40×25 | 450 | 55 | 55 | 65 | 20 | 12 | 2 |
| | 50×32 | 500 | 60 | 65 | 70 | 24 | 12 | 3 |

Observații. 1. Figura reprezintă cuțitul fabricat centralizat, fără ascuțirea finală (cu fațete lepuite) a tăișului principal. 2. Exemplu de notare a unui cuțit pentru degroșare, având secțiunea cozii 20 x 12 mm, cu partea activă din oțel rapid Rp3 și ascuțirea tip II: Cuțit 20 x 12 STAS 362-67/Rp3-II. Idem, pentru cuțitul fabricat centralizat (fără ascuțirea finală a tăișului principal): Cuțit 20 x 12 STAS 362-67/Rp3.

Dimensiuni în mm

[illegible]

Tabela 20.8 (continuare)

| b × D _g | Cuișă lateral ISO nr. 6 STAS 6381-87 | | | Cuișă frontal ISO nr. 5 STAS 6382-87 | | | Cuișă pentru candelă ISO nr. 7 STAS 6383-87 | | | Cuișă pentru colț interior ISO nr. 8 STAS 6384-87 | | | Cuișă pentru colț interior ISO nr. 9 STAS 6385-87 | | |
|--------------------|--|---------|-----|--|----|---------|---|---------|----|---|-----|---------|--|-----|---------|
| | Plăcuță | | | Plăcuță | | | Plăcuță | | | Plăcuță | | | Plăcuță | | |
| | C | R | Dr. | h × b | C | R | Dr. | h × b | C | R | Dr. | h × b | C | R | Dr. |
| 10 × 10 | 4 | 0,5 A8 | B8 | — | — | — | — | — | — | — | — | 8 × 8 | 3 | 40 | 0,5 A5 |
| 12 × 12 | 5 | 0,5 A10 | B10 | — | — | — | — | 12 × 8 | 12 | 3 D3 | — | 10 × 10 | 4 | 50 | 0,5 A6 |
| 16 × 16 | 6 | 0,5 A12 | B12 | 16 × 16 | 8 | 0,5 B12 | A12 | 16 × 10 | 14 | 4 D4 | — | 12 × 12 | 5 | 63 | 0,5 A8 |
| 20 × 20 | 8 | 0,5 A16 | B16 | 20 × 20 | 10 | 0,5 B16 | A16 | 20 × 12 | 16 | 5 D5 | — | 16 × 16 | 6 | 80 | 0,5 A10 |
| 25 × 25 | 10 | 1 A20 | B20 | 25 × 25 | 12 | 1 B20 | A20 | 25 × 16 | 20 | 6 D6 | — | 20 × 20 | 8 | 100 | 0,5 A12 |
| 32 × 32 | 12 | 1 A25 | B25 | 32 × 32 | 16 | 1 B25 | A25 | 32 × 20 | 25 | 8 D8 | — | 25 × 25 | 10 | 125 | 1 A16 |
| 40 × 40 | 14 | 1 A32 | B32 | 40 × 40 | 20 | 1 B32 | A32 | 40 × 25 | 32 | 10 D10 | — | 32 × 32 | 12 | 160 | 1 A20 |
| 50 × 50 | 18 | 1,6 A40 | B40 | 50 × 50 | 25 | 1,6 B40 | A40 | 50 × 32 | 40 | 12 D12 | — | — | — | — | — |

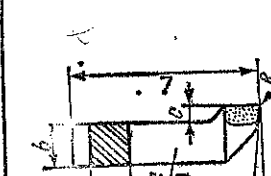
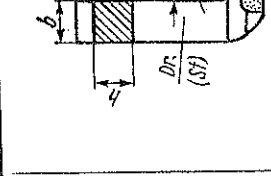
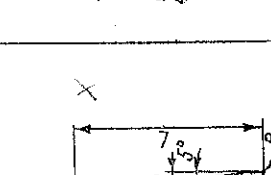
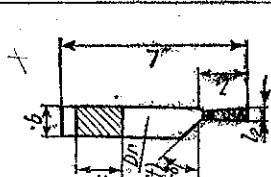
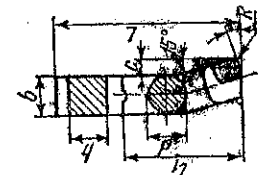
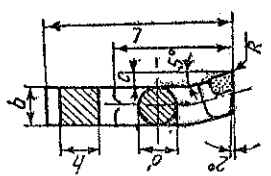
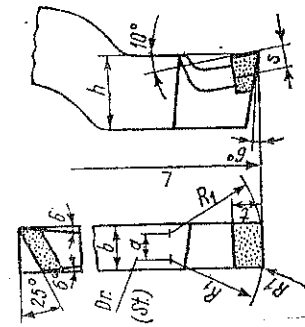
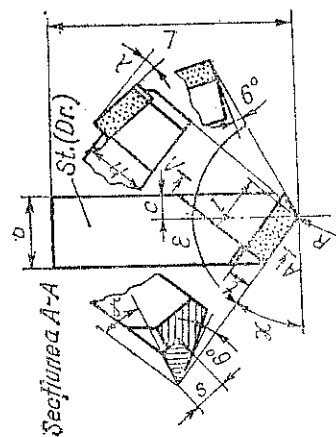


Tabela 3.21. Cuișă de raboteză cu plăcuțe din carburi metalice

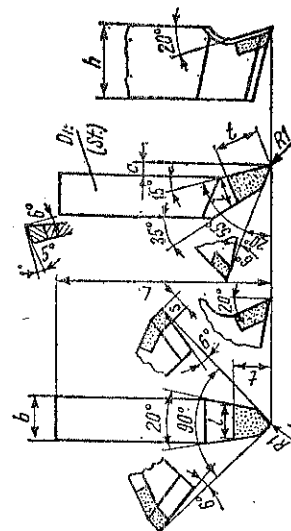
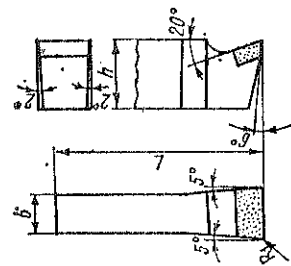
| Cuișă pentru degroșare | | Cuișă pentru semifalsare | |
|------------------------|--|--------------------------|--|
| Dimensiuni în mm | | Dimensiuni în mm | |



| Dimensiuni comune | | Cuișă pentru secțiuni mici și mijlocii de așchii | | | Cuișă pentru secțiuni mari de așchii | | | Cuișă pentru mașini mari și secțiuni mari | | | h × b | L | R | i | s |
|-------------------|-----|--|-----|----|--------------------------------------|----|----|---|----|----|---------|-----|----|----|----|
| | | h × b | L | R | h × b | L | R | h × b | L | R | | | | | |
| 25 × 25 | 220 | 2 | 100 | 20 | 12 | 8 | — | — | — | — | 25 × 16 | 180 | 8 | 32 | 10 |
| 32 × 32 | 250 | 3 | 100 | 25 | 14 | 10 | — | — | — | — | 32 × 20 | 220 | 10 | 40 | 12 |
| 40 × 40 | 315 | 3 | 100 | 32 | 16 | 12 | 45 | 115 | 28 | 18 | 40 × 25 | 280 | 12 | 50 | 16 |
| 50 × 50 | 355 | 4 | 100 | 40 | 18 | 14 | 45 | 115 | 36 | 18 | — | — | — | — | — |
| 63 × 63 | 400 | 4 | 100 | 48 | 18 | 16 | 45 | 115 | 46 | 18 | — | — | — | — | — |
| 80 × 80 | 450 | 5 | — | — | — | — | — | — | — | — | 63 × 40 | 355 | 16 | 80 | 20 |
| C | | 0,5 b | | | 0,2 b | | | 0,2 b | | | | | | | |

Tabela 8.21 (continuare)

Cuţite pentru finisat



| Dimensiuni comune | Cuţit cu vîrf ascuţit | | | | Cuţit încoavdat, cu vîrf ascuţit | | | | Cuţit drept, lat | | Plăcuţă |
|-------------------|-----------------------|-----|-----|-----|----------------------------------|-----|-----|-----|------------------|-----|---------|
| | $h \times b$ | L | i | t | s | c | f | f | $h \times b$ | L | |
| 25 × 16 | 180 | 8 | 16 | 16 | 6 | 8 | 16 | 6 | 25 × 16 | 180 | C20 |
| 32 × 20 | 220 | 12 | 20 | 20 | 7 | 10 | 20 | 7 | 32 × 20 | 220 | C25 |
| 40 × 25 | 280 | 14 | 25 | 25 | 8 | 14 | 25 | 8 | 40 × 35 | 280 | C32 |
| | | | | | | | | | 63 × 40 | 355 | C40 |

1.5.2. Cuţite speciale. Din această categorie fac parte *cuţitele profilate prismatice* (fig. 8.13) şi *cuţitele profilate disc* (fig. 8.14), care se folosesc de obicei la prelucrări pe stungurile-revolver şi strungurile-revolver automate, precum şi *cuţitele de stung obişnuite pentru rotunjiri concave sau convexe, pentru raze etc.*, (v. tabelele 8.22...8.27).

Cuţitele profilate prismatice se recomandă, în general, pentru prelucrarea pieselor cu profile mari.

Unghiul de aşezare α la cuţitele profilate prismatice (tabela 8.22) şi disc se ia:

circa 6°
circa 8°
circa 10°
circa 12–18°

pentru fontă;
pentru oţel tare;
pentru oţel moale;
pentru alamă, cupru etc.

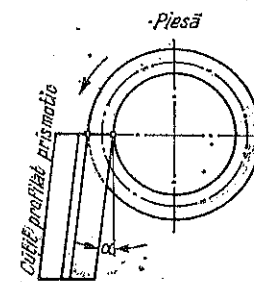


Fig. 8.13;

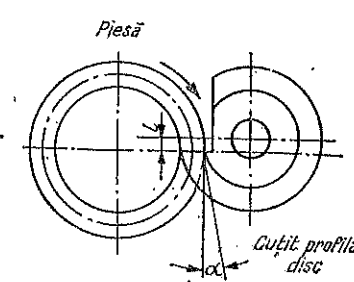


Fig. 8.14

La cuţitele profilate prismatice, unghiul de aşezare este asigurat prin poziţia de fixare a cuţitului în suportul său.

Pentru cuţitele profilate disc, centrul cuţitului se aşază deasupra axei piesei, la o distanţă anumită i , astfel ca vârful lui să fie la înălţimea centrului piesei.

Unghiul de degajare γ pentru oţel variază între 0° şi 20°, iar pentru cupru şi aluminiu, pînă la 30°.

În cele ce urmează sînt arătate o serie de cuţite speciale pentru operaţii de stunjire cu specificarea dimensiunilor şi a celorlalte elemente geometrice constructive.

În tabela 8.23 sînt indicate valorile pentru i şi t_2 la cuţitele profilate disc cu diametrul D de 30, 40, 50 şi 65 mm.

Este de remarcă că dimensiunea t_2 a sculei nu este egală cu dimensiunea t_1 a piesei.

La reascuţire trebuie ca distanţa i să rămînă neschimbată.

1.5.3. Cuţite pentru răsucirea aşchiei. În fig. 8.15 sînt arătate cîteva tipuri de cuţite pentru răsucirea aşchiilor la strunjirea materialelor tenace.

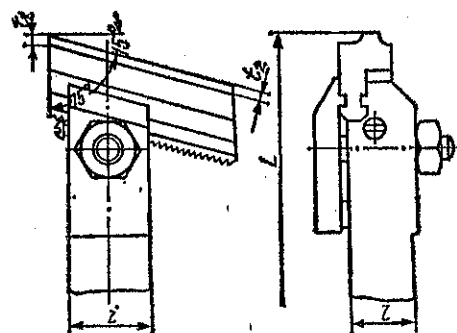


Tabela 8.22. Cuțit profilat prismatic

Dimensiunile cuțitului

| l | i | L | t_1 |
|-----|-----|-----|---------------------------------|
| 16 | 25 | 250 | $t_1 \cos 15^\circ = 0,966 t_1$ |

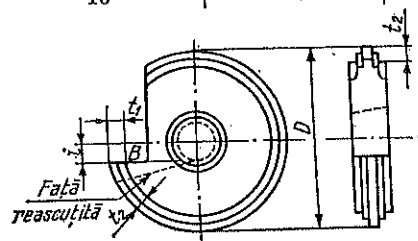


Tabela 8.23. Cuțit profilat disc

| Dimensiunile, mm | D | | | |
|------------------|--------------------------------|--------------------------------|------------------------------|----------------------------------|
| i | 30 | 40 | 50 | 65 |
| t_2 | $t_1 - \frac{3t_1}{150-10t_1}$ | $t_1 - \frac{4t_1}{50-2,5t_1}$ | $t_1 - \frac{5t_1}{50-2t_1}$ | $t_1 - \frac{6,5t_1}{650-20t_1}$ |

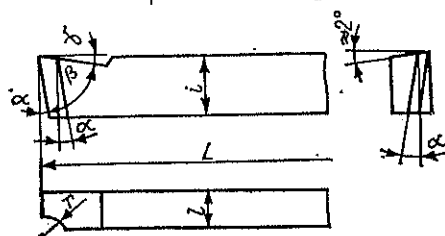


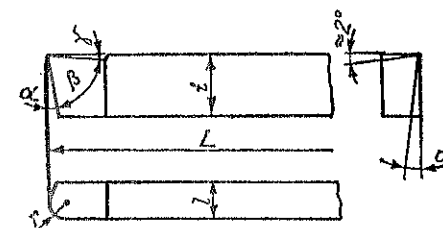
Tabela 8.24. Cuțit pe dreapta pentru rotunjiri convexe

Dimensiunile în mm

| Dimensiunile cuțitului | | | Unghiurile tăişului | | | Raza | | | | | | |
|------------------------|-----|-----|---------------------|---------|----------|------|------|-----|-----|-----|-----|---|
| l | i | L | α | β | γ | r | | | | | | |
| 10 | 16 | 200 | 8° | 80° | 2° | 0,2 | 0,3 | 0,4 | 0,5 | 0,6 | 0,8 | 1 |
| 16 | 25 | 250 | | | | 1 | 1,25 | 1,5 | 2 | 2,5 | 3 | 5 |
| 20 | 32 | 300 | | | | 4 | 5 | 6 | 8 | 10 | 12 | |
| 32 | 32 | 300 | | | | 15 | 18 | 20 | 22 | 25 | | |

Tabela 8.25. Cuțit pe dreapta pentru rotunjiri concave

Dimensiunile în mm



| Dimensiunile cuțitului | | | Unghiurile tăişului | | | Raza | | | | | | |
|------------------------|-----|-----|---------------------|---------|----------|------|-----|-----|-----|-----|-----|---|
| l | i | L | α | β | γ | r | | | | | | |
| 10 | 16 | 200 | | | | 0,2 | 0,3 | 0,4 | 0,5 | 0,6 | 0,8 | 1 |
| 16 | 25 | 250 | | | | 1,25 | 1,5 | 2 | 2,5 | 3 | 4 | 5 |
| 20 | 32 | 300 | 8° | 80° | 2° | 6 | 8 | 10 | 12 | 15 | | |

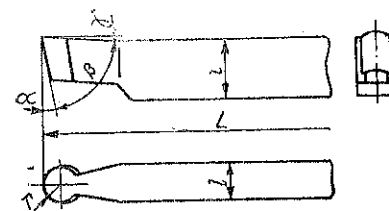


Tabela 8.26. Cuțit pentru raze

Dimensiunile în mm

| Dimensiunile cuțitului | | | Unghiurile tăişului | | | Raza | | |
|------------------------|-----|-----|---------------------|---------|----------|------|---|---|
| l | i | L | α | β | γ | r | | |
| 10 | 16 | 200 | | | | 2,5 | 3 | 4 |
| 16 | 25 | 250 | 8° | 80° | 2° | 5 | | 8 |

Tabela 8.27. Cuțit cu cap ciupercă

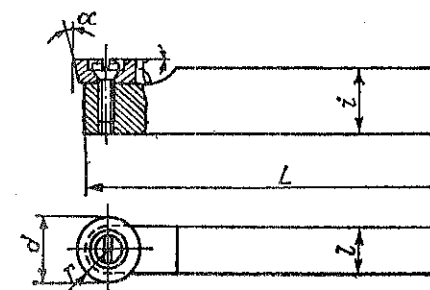


Tabela 8.27. (continuare)

| Dimensiunile în mm | | | | | | | | | | | |
|------------------------|-----|-----|---------------------|----------|---------|-----------|------------------------|------------------|-----|-----|-----|
| Dimensiunile cuţitului | | | Unghiurile tăişului | | | Utilizare | | Discul cilindric | | | |
| l | i | L | Forma | α | β | Forma | pentru | d | r | d | r |
| 16 | 25 | 250 | A | 6° | 0° | A | Oţel moale | 12 | 6 | 30 | 15 |
| 20 | 30 | 300 | B | 8° | 0° | B | Fontă şi metale moi | 16 | 8 | 36 | 10 |
| 32 | 50 | 450 | | | | | | 20 | 10 | 40 | 20 |

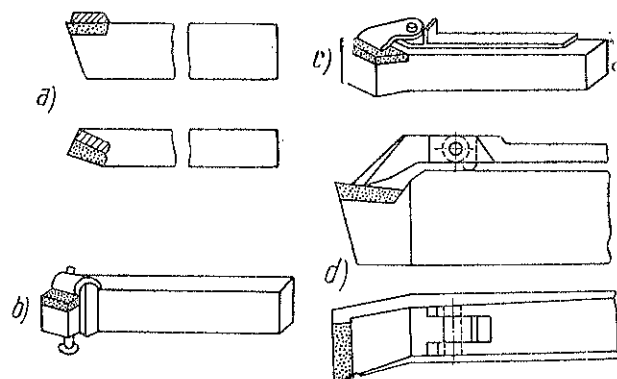


Fig. 8.15. Cuţite pentru răsucirea aşchiei:
 a — cuţit normal prevăzut cu dispozitive sudate pentru favorizarea răsucirii şi evacuării
 aşchiei în formă de spirală; b — cuţit cu juguleţ; c — cuţit cu dispozitiv demontabil pentru aşchii
 spirale, folosit la lucrări uşoare; d — cuţit cu dispozitiv demontabil pentru aşchii spirale,
 folosit la lucrări grele.

1.6. PLĂCUŢE PENTRU CUŢITE DE STRUNG, RABOTEZĂ ŞI MORTEZĂ

1.6.1. Generalităţi. Pentru o reducere a consumului de oţeluri speciale de scule, corpul cuţitului se execută din oţeluri obişnuite (oţel carbon pentru scule, cu $\sigma_r = 60 \dots 80 \text{ kgf/mm}^2$ sau oţel carbon de construcţie, cu $\sigma_r = 70 \text{ kgf/mm}^2$). Pe capul acestor cuţite se fixează prin diferite procedee (de exemplu, sudare, lipire, fixare mecanică) plăcuţe din oţel special de scule, plăcuţe din carburi metalice sau plăcuţe din materiale ceramice.

a. Plăcuţele din oţel special de scule se confecţionează de obicei din bare laminate şi uneori din bare forjate.

Tăierea plăcuţelor din aceste bare se face ţinând seamă de orientarea fibrelor de laminare sau forjare şi astfel ca una dintre muchiile de tăiere din bară să reprezinte tăişul cuţitului.

b. Plăcuţele din carburi metalice se confecţionează în mod obişnuit din pulbere de carbură de wolfram; aceasta se presează împreună cu o pulbere de cobalt (ca liant) în forme tipizate, la presiunea de 2—3

2—3 tf/cm². Bucăţile astfel presate se usucă timp de câteva ore la temperatura de circa 120°C, după care urmează o coacere în cuptoare electrice la 400°C. La această temperatură cobaltul se topeşte şi se leagă strâns cu carburile de wolfram. Plăcuţele din carburi metalice nu necesită nici un fel de tratament termic, deoarece au o duritate de 87—88 HRC. Cuţitele armate cu plăcuţe din carburi metalice permit viteze de aşchiere de 2—4 ori mai mari decât cele care se obţin cu ajutorul cuţitelor prevăzute cu plăcuţe din oţel special de scule. Carburile metalice au însă dezavantajul că sînt fragile şi nu rezistă la aşchieri cu lovituri bruşte.

Pentru prelucrarea oţelului se recomandă aliajele cu wolfram şi titan; carburile metalice fără titan se folosesc în special la prelucrarea metalelor fragile (de exemplu, metale neferoase, fontă, mase plastice).

c. Plăcuţele din materiale ceramice înlocuiesc uneori plăcuţele din carburi metalice care necesită metale costisitoare şi greu de procurat (wolfram, cobalt, titan). Aceste plăcuţe se confecţionează de obicei din oxid de aluminiu aglomerat, care are cea mai mare rezistenţă la uzură dintre materialele ceramice.

Cuţitele cu plăcuţe din materiale ceramice permit strunjirea pieselor cu viteze mai mari (de exemplu, 1 400 şi 1 845 m/min) decât cuţitele cu plăcuţe din carburi metalice şi îşi menţin proprietăţile de aşchiere pînă la 1 100°C.

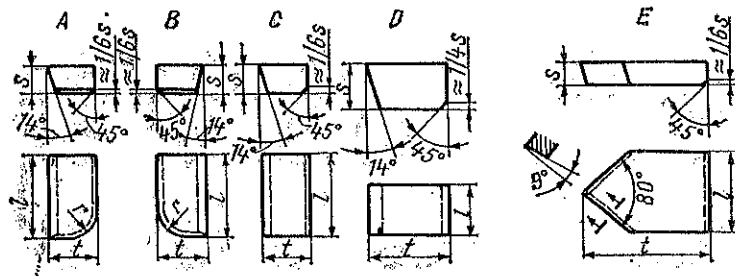
Plăcuţele din materiale ceramice sînt însă mai fragile decât cele din carburi metalice, din care cauză se recomandă în special la prelucrări de finisare şi de semifinisare ale oţelului şi fontei, precum şi la prelucrarea metalelor neferoase şi a oţelurilor cu rezistenţă pînă la 130 kgf/mm². Prelucrarea se poate face fără lichide de răcire şi de ungere; dacă procesul tehnologic impune răcirea pieselor, atunci este necesar să se asigure un debit mare de lichid pe plăcuţa cuţitului.

1.6.2. Forme şi utilizări. Plăcuţe din carburi metalice se execută în cinci forme: A, B, C, D şi E. Dimensiunile acestor plăcuţe sînt arătate în tabela 8.28 (STAS 6373-61), iar grupele de utilizare a materialului plăcuţelor, în tabela 8.29 (STAS 6374-61).

b. Plăcuţele din materiale ceramice fiind încă în curs de experimentare, n-au forme standardizate.

1.6.3. Fixarea plăcuţelor. a. Plăcuţe din oţel special de scule. Aplicarea plăcuţelor pe corpul cuţitelor se face, de obicei, prin lipire rezistentă la călire sau prin sudare şi, uneori, prin fixare mecanică. Lipirea cu bucăţi mici de tablă de cupru este recomandabilă numai cînd temperatura de călire a plăcuţii este foarte apropiată de temperatura de topire a tablei de cupru. Fixarea mecanică prezintă avantajele scurtării timpului de montare şi eliminării încălzirii plăcii la temperaturile de lipire sau sudare.

Tabela 8.28. Dimensiunile și formele plăcuțelor din carburi metalice pentru cuțite de strung, mm STAS (6373/1-73)
Dimensiuni în mm



Exemplu de notare a unei plăcuțe din carburi metalice de forma C și de mărime 20 (lungime nominală $l = 20$ mm), pentru grupa de utilizare a materialului plăcuței P 20 (conform STAS 6374-61): **Plăcuță C 20 STAS 6373/1-73/P 20**

| Mărimea plăcuței (l nominal) | A și B | | | | C | | | D | | | E | | |
|------------------------------|--------|----|-----|-----|----|----|-----|------|----|----|----|----|-----|
| | i | t | s | r | l | t | s | l | t | s | l | t | s |
| 3 | — | — | — | — | — | — | — | 3,5 | 8 | — | — | — | — |
| 4 | — | — | — | — | — | — | — | 4,5 | 10 | 4 | 1 | 10 | 2,5 |
| 5 | 5 | 3 | 2 | 2 | 5 | 3 | 2 | 5,5 | 12 | 5 | 5 | 12 | 3 |
| 6 | 6 | 4 | 2,5 | 2,5 | 6 | 4 | 2,5 | 6,5 | 14 | 6 | 6 | 14 | 3,5 |
| 8 | 8 | 5 | 3 | 3 | 8 | 5 | 3 | 8,5 | 16 | 8 | 8 | 16 | 4 |
| 10 | 10 | 6 | 4 | 4 | 10 | 6 | 4 | 10,5 | 18 | 10 | 10 | 18 | 5 |
| 12 | 12 | 8 | 5 | 5 | 12 | 8 | 5 | 12,5 | 20 | 12 | 12 | 20 | 6 |
| 16 | 16 | 10 | 6 | 6 | 16 | 10 | 6 | — | — | — | 16 | 22 | 7 |
| 20 | 20 | 12 | 7 | 7 | 20 | 12 | 7 | — | — | — | 20 | 25 | 8 |
| 25 | 25 | 14 | 8 | 8 | 25 | 14 | 8 | — | — | — | 25 | 28 | 9 |
| 32 | 32 | 18 | 10 | 10 | 32 | 18 | 10 | — | — | — | 32 | 32 | 10 |
| 40 | 40 | 22 | 12 | 12 | 40 | 22 | 12 | — | — | — | — | — | — |
| 50 | 50 | 25 | 14 | 14 | 50 | 25 | 14 | — | — | — | — | — | — |

Tabela 8.29. Grupe de utilizare a carburilor metalice pentru plăcuțe.
Grupe principale de utilizare

| Simbolul grupei principale de utilizare | Culoarea distinctivă | Materiale prelucrate |
|---|----------------------|--|
| P | Albastru | Materiale feroase cu aşchii lungi |
| M | Galben | Oțel, oțel turnat, fontă maleabilă cu aşchii lungi Materiale feroase cu aşchii lungi sau scurte și metale neferoase Oțel, oțel manganos, oțel austenitic, oțel pentru automate, oțel turnat, fontă cenușie, fontă cenușie aliată, fontă cu grafit nodular, fontă maleabilă, metale neferoase |

Tabela 8.29 (continuare)

| Grupe principale de utilizare | | |
|---|----------------------|---|
| Simbolul grupei principale de utilizare | Culoarea distinctivă | Materiale prelucrate |
| K | Vișiniu | Materiale feroase cu aşchii scurte, metale neferoase și materiale nemetalice Fontă cenușie, fontă maleabilă cu aşchii scurte, fontă dură turnată în cochilie, oțel aliat, oțel cu rezistență joasă, metale neferoase, materiale plastice, lemn, materiale nemetalice |

| Grupele de utilizare | | | | |
|-------------------------------|--------------------|--|---------------------------|--|
| Grupa principală de utilizare | Grupa de utilizare | Materiialul prelucrat | Domeniul de utilizare | Procedeu de prelucrare și condițiile procesului de aşchiere |
| P | P 01 | Oțel, oțel turnat | Finisare și finisare fină | Strunjire exterioară și interioară. Viteze de aşchiere foarte mari, avansuri mici Utilizare condiționată de o structură bună a materialului, fără incluziuni de zgură și rețasuri, fără întrepreri. În sisteme tehnologice fără vibrații se poate obține o precizie dimensională și o netezime a suprafeței foarte înalte |
| | P 10 | Oțel, oțel turnat | Degroșare și finisare | Strunjire, strunjire prin copiere, filetare, frezare de finisare. Viteze de aşchiere mari, avansuri mici până la mijlocii ($s < 1$ mm/rot) Utilizare condiționată de o adăncime uniformă și fără întreruperi |
| | P 20 | Oțel, oțel turnat, fontă maleabilă cu aşchii lungi | Degroșare și finisare | Strunjire, strunjire prin copiere, frezare Viteze de aşchiere mijlocii, avansuri mijlocii ($s < 2$ mm/rot) Rabotare cu avansuri mici. Frezare, găurire adâncă, alezare, lărgire |
| | P 30 | Oțel, oțel turnat, fontă maleabilă cu aşchii lungi | Degroșare și finisare | Strunjire cu viteze de aşchiere mijlocii până la mici, avansuri mijlocii până la mari ($s < 3$ mm/rot), de asemenea în condiții grele de lucru Frezare, rabotare, găurire adâncă |

Tabela 8.29 (continuare)

| Grupa principală de utilizare | Grupa de utilizare | Materialul prelucrat | Domeniu de utilizare | Procedeu de prelucrare şi condiţiile de aşchiere | |
|-------------------------------|--------------------|---|---------------------------|--|---|
| P | P 40 | Oţel, oţel turnat (de asemenea cu incluziuni de nisip şi retasuri) | Degroşare | Strunjire cu viteze de aşchiere mici, avansuri mari ($s < 3 \text{ mm/rot}$), de asemenea în condiţii grele de lucru Rabotare, mortezare, de asemenea pentru prelucrări pe maşini automate | ↑ |
| | P 50 | Oţel, oţel turnat cu rezistenţă mijlocie sau joasă (de asemenea cu incluziuni de nisip şi retasuri) | Degroşare | Strunjire cu viteze de aşchiere mici, avansuri mari ($s < 4 \text{ mm/rot}$), de asemenea în condiţiile cele mai grele de lucru pentru care tenacitatea carburilor metalice este esenţială Rabotare, mortezare, prelucrări pe maşini automate | ↑ |
| | M 10 | Oţel, oţel turnat, oţel manganos, oţel inoxidabil, fontă cenuşie (de asemenea şi cea aliată), metale neferoase | Degroşare | Sortiment de utilizare universală, rezistent la uzură Strunjire cu viteze de aşchiere mijlocii până la mari, avansuri mici până la mijlocii | ↑ |
| M | M 20 | Oţel, oţel turnat, oţel austenitic, oţel manganos, fontă cenuşie, fontă cu grafit nodular, fontă maleabilă | Degroşare şi finisare | Sortiment de utilizare universală, rezistent la uzură Strunjire, frezare Viteze de aşchiere mijlocii, avansuri mijlocii | ↑ |
| | M 30 | Oţel, oţel turnat, oţel austenitic, oţeluri rezistente la temperaturi înalte, fontă cenuşie | Degroşare | Sortiment de utilizare universală, rezistent la uzură Strunjire, frezare, rabotare Viteze de aşchiere mijlocii, avansuri mijlocii Datorită tenacităţii sale mari, acest sortiment este indicat şi pentru maşini-unelte mai puţin rigide, precum şi pentru prelucrarea pieselor turnate cu retasuri şi incluziuni de nisip | ↑ |
| | M 40 | Oţel moale pentru automate, oţel cu rezistenţă mică, metale neferoase | Degroşare şi finisare | Strunjire, strunjire profilată, retezare, în deosebi pe maşini automate | ↑ |
| | K 01 | Oţel călit, fontă dură turnată în cochilie cu duritate $HRC < 60$, fontă cenuşie dură, aliaje de aluminiu cu conţinut înalt de siliciu | Finisare fină şi finisare | Strunjire exterioară şi interioară, frezare, răzuire | ↑ |
| | | | | | ↓ |

Tabela 8.29 (continuare)

| Grupa principală de utilizare | Grupa de utilizare | Materialul prelucrat | Domeniu de utilizare | Procedeu de prelucrare şi condiţiile procesului de aşchiere | |
|-------------------------------|--------------------|--|-----------------------|--|---|
| K | K 01 | materiale plastice cu intensă acţiune abrazivă, carton tare, materiale ceramice | | | ↑ |
| | K 10 | Oţel călit, fontă cenuşie cu duritate $HB \geq 220$, fontă maleabilă cu aşchii scurte, aliaje de cupru, aliaje de aluminiu cu conţinut de siliciu, materiale plastice, cauciuc dur, carton tare, sticlă, porţelan, roci | Degroşare şi finisare | Strunjire, burghiere, lărgire,alezare, frezare, broşare, răzuire | ↑ |
| | K 20 | Fontă cenuşie cu duritate $HB \leq 220$, cupru, alamă, aluminiu şi alte metale neferoase, lemn stratificat cu intensă acţiune abrazivă | Degroşare şi finisare | Strunjire, rabotare, lărgire,alezare, frezare, broşare Cazuri când se cere o tenacitate mare a carburilor metalice | ↑ |
| | K 30 | Fontă cenuşie cu duritate mai joasă, oţel cu rezistenţă mai joasă, lemn stratificat | Degroşare şi finisare | Strunjire, rabotare, mortezare Cazuri când se cere o tenacitate mare a carburilor metalice, precum şi în condiţii grele de lucru | ↑ |
| | K 40 | Metale neferoase, lemn moale şi lemn tare în stare naturală | Degroşare şi finisare | Strunjire, rabotare, mortezare Cazuri când se cere o tenacitate foarte mare a carburilor metalice, precum şi în condiţii grele de lucru | ↑ |

Observaţii. 1. Prin condiţii grele de lucru se înţeleg cazurile când materialul prelucrat este neomogen, prezintă coajă de turnare sau forjare, duritate variabilă, adâncime de aşchiere variabilă, întreruperi, prelucrare cu vibraţii, bătaie la piese cu secţiune rotundă etc. 2. Sensul săgeţii 1 indică sensul crescător al vitezelor de aşchiere şi rezistenţei la uzură a carburilor metalice pentru diferite grupe de utilizare. Sensul săgeţii 2 indică sensul crescător al avansurilor şi tenacităţii carburilor metalice pentru diferitele grupe de utilizare. 3. În cazul când este absolut necesar a forma o grupă intermediară între două grupe de utilizare consecutive cuprinse în tabelul 2, simbolul grupei respective va avea ca ultimă cifră 5. De exemplu, grupa intermediară între grupele de utilizare P 20 şi P 30 va fi simbolizată P 25. Se admite o singură grupă intermediară între două grupe de utilizare consecutive. 4. Se admite o diferenţiere pentru carburile metalice, din grupa de utilizare P 01 în ce priveşte tenacitatea şi rezistenţa la uzură. Diferenţierea se face prin adăugirea la simbolul grupei a cifrelor 1 la 4, ordinea crescătoare indicând creşterea tenacităţii. Simbolurile respective vor fi în acest caz: P 01,1; P 01,2; P 01,3; P 01,4.

b. **Plăcuțe din carburi metalice.** Aplicarea acestor plăcuțe pe corpul cuțitelor se poate face prin lipire și uneori prin fixare mecanică (fig. 8.16). Pentru lipire se folosește de obicei o tablă de cupru electrolitic de 0,1–0,5 mm, care poate fi găurită ca o sită (fig. 8.17). Plăcuța trebuie să fie rectificată pe partea inferioară, iar locașul din suport trebuie să aibă o suprafață plană și netedă. Plăcuța fiind presărată cu borax (ca dezo-

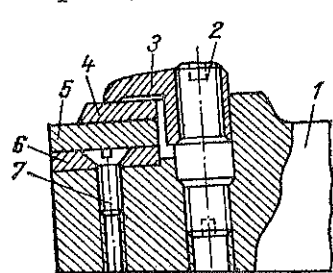


Fig. 8.16. Cuțit cu plăcuță aşchietoare amovibilă :
1 – suport; 2 – șurub; 3 – clemă;
4 – sfârmător de așchii; 5 – plăcuță aşchietoare; 6 – plăcuță de sprijin;
7 – șurub defixare.

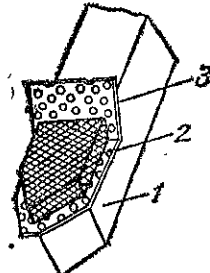


Fig. 8.17. Așezarea plăcuței din carbură metalică :
1 – cuțit; 2 – plăcuță din carbură metalică; 3 – sită de cupru electrolitic.

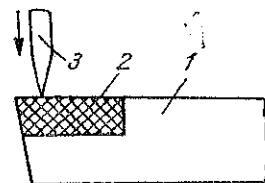


Fig. 8.18. Apăsarea plăcuței cu poansonul :
1 – cuțit; 2 – plăcuță din carbură metalică; 3 – poanson.

xidant) se așază în locașul ei pe cuțit și împreună se introduce într-un cuptor cu muflă, unde se preîncălzesc pînă la temperatura de 800°C. După topirea boraxului, atît cuțitul cît și plăcuța se curăță cu o perie curată de sîrmă. Pe suprafața curățită a locașului se presară din nou borax și apoi, împreună cu tabla de cupru și plăcuța de carbură metalică așezate ca în fig. 8.17, se încălzește repede pînă la 1 083°C (temperatura de topire a cuprului).

După topirea cuprului, cuțitul se scoate cu un clește încălzit și plăcuța se apasă cu un poanson ascuțit, astfel ca să rămînă un strat fin de lipitură (fig. 8.18). Se lasă cuțitul să se răcească 3–4 ore în praf de șamotă și apoi se curăță prin sablare sau decapare. Pentru încălzire se mai pot utiliza : o flacără oxiacetilenică (îndreptată sub capul cuțitului) sau inducția prin curent de înaltă frecvență.

c. **Plăcuțele din materiale ceramice.** Plăcuțele se pot fixa mecanic, așa cum este arătat în fig. 8.19, sau prin lipire cu tablă de cupru sau de alamă. Tehnologia lipirii în acest caz este asemănătoare lipirii plăcuțelor de carbură metalică.

Cînd lipirea se face cu tablă de cupru, plăcuța ceramică se încălzește încet într-un cupru cu muflă de la 200 la 1 300°C. Dacă lipirea plăcuțelor se face într-un cuptor cu gaze sau cu păcură, corpul cuțitului se încălzește pînă la 900°C, apoi se scoate și se presară cu borax. După curățirea de pe cuțit a arsurii cu o perie de sîrmă, se așază pe locașul din

corpul cuțitului o bucată de tablă de cupru pe care se presară borax și deasupra se așază plăcuța încălzită; pe plăcuță se pune aliaj de lipit și se presară iarăși borax. Cuțitul astfel pregătit se introduce în camera cuptorului cu temperatura de 1 200°C; după topirea aliajului, cuțitul se scoate din cuptor și se presează plăcuța ceramică pe cuțit. După lipire, cuțitele calde se lasă să se răcească într-un cuptor electric care în prealabil a fost încălzit.

Dacă lipirea se face cu alamă de lipit, atunci plăcuțele se încălzesc la 900–950°C, iar corpul cuțitului se încălzește în cuptoare cu gaze sau cu păcură, în camere cu temperatura de 700°C. Lipirea definitivă se face la temperatura de circa 900°C.

În cazul cînd se utilizează alte aliaje, plăcuțele din materiale ceramice trebuie încălzite încet pînă la o temperatură care depășește cu 100°C temperatura de topire a aliajului.

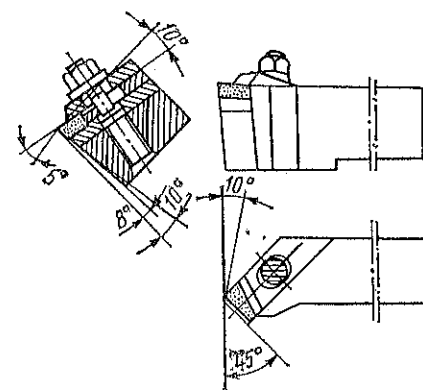


Fig. 8.19.

2. BURGHIE

Burghiele sînt scule aşchietoare, utilizate de obicei pentru găurirea unui material și, uneori, pentru lărgirea găurilor.

2.1. CLASIFICAREA ȘI DESCRIEREA BURGHIELOR

După scopul utilizării și forma constructivă, se deosebesc mai multe tipuri de burghie, dintre care cele mai folosite sînt : burghiele late cu ghidare, burghiele pentru găuri adînci, burghiele elicoidale obișnuite, burghiele cu plăcuțe din carburi metalice etc.

2.1.1. **Burghie late cu ghidare.** Capătul burghiului (fig. 8.20), care servește la fixarea acestuia în arborele portsculă, se numește *coada burghiului*; acesta poate fi conică sau cilindrică.

Gîtul 2 este porțiunea dintre coada 1 și partea utilă (corpul) 3 a burghiului. Aceasta

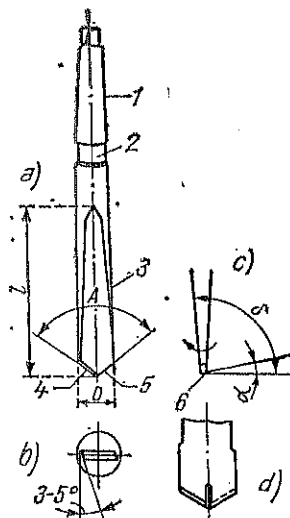


Fig. 8.20. Burghiu lat cu ghidare :
1 – coadă; 2 – gît; 3 – partea utilă; 4 și 5 – tășuri; 6 – muchie transversală.

are forma unei tije rotunde care spre capătul (partea tăietoare), burghiului capătă o formă lată şi este prevăzută cu două tăişuri 4 şi 5. Pentru ghidarea burghiului, există o porţiune de lungime l , care are o lăţime egală cu diametrul D al găurii care urmează a fi executată. Pentru a reduce frecarea burghiului lat de pereţii găurii, părţile lui laterale, pe întreaga lungime l , se fac teşite sub un unghi de $3-5^\circ$ (fig. 8.20, b).

Unghiul $A = 2\alpha$ dintre tăişurile burghiului se numeşte unghi de vîrf. Pentru găurirea fontei dure, acest unghi se ia de 130° , iar pentru găurirea oţelului moale, de circa 90° . Dacă urmează a se prelucra cu acelaşi burghiu lat materiale diferite, unghiul A se ia egal cu $116^\circ-120^\circ$.

Unghiul real de răiere δ este mai mare decît 90° (fig. 8.20, c) ceea ce cauzează condiţii grele de lucru. Pentru reducerea acestui unghi — în cazul găuririi materialelor de duritate medie şi mică — pe faţa de degajare a burghiului se face o ascuţire care dă un unghi γ pozitiv şi care uşurează condiţiile de lucru.

Fiecare tăiş al burghiului lat constituie un cuţit cu unghi de degajare şi de aşezare. Feţele de aşezare formează în centrul burghiului, la intersecţia lor, o muchie transversală 6 înclinată în raport cu faţa de degajare.

Muchia transversală nu taie, ci striveşte materialul ce se prelucra, ceea ce ridică temperatura burghiului. Din această cauză, la burghiile mari, pentru reducerea lungimii muchiei transversale, se fac canale mici pe planele laterale ale burghiului în lungul axei sale (fig. 8.20, d).

Confecţionarea burghiilor late este uşoară, însă ele nu sînt durabile, căci muchiile de ghidare, de pe porţiunea de ghidare, l , se uzează repede.

Orestăturile executate uneori pe tăişuri servesc la fărîmîţarea (despărţirea) aşchilor, cu scopul de a usura evacuarea lor (fig. 8.21).

2.1.2. Burghie pentru găuri adînci. Aceste burghie se întrebuintează la executarea găurilor adînci la arbori, fusuri, la ţevi de tun şi de arme. În timpul găuririi piesa se roteşte, avansul putînd fi transmis piesei sau, mai des, burghiului.

Burghiul pentru găuri adînci reprezentat în fig. 8.22 are un singur tăiş 3; partea utilă 1 a burghiului se prezintă ca o tijă cu secţiune semi-circulară a cărei suprafaţă laterală ghidează foarte precis burghiul în piesă. Aceste burghie sînt simple şi uşor de confecţionat, însă lucrează cu un avans foarte mic (de $0,03-0,1$ mm/rot).

Din această cauză, ele se înlocuiesc adeseori cu burghie pentru găuri adînci, perfecţionate (fig. 8.23).

La un astfel de burghiu, vîrfurile 2 este deplasat de la centru cu $1/4$ din diametru sau chiar mai mult; burghiul are un canal longitudinal 1, iar tăişul este muchia frîntă AB ; muchia BC este o muchie inactivă.

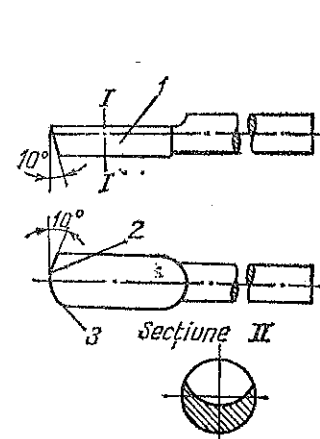


Fig. 8.22.;

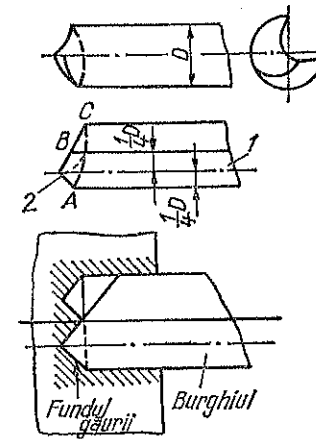


Fig. 8.23.;

2.1.3. Burghie cu canale drepte. Aceste burghie (fig. 8.24) se folosesc în general la găurirea tablelor subţiri, mai ales în cazul metalelor cu duritate mică, cum este alama. După duritatea materialului, unghiul la vîrf dintre tăişuri variază între 90° şi 116° .

Pentru prelucrarea fontei şi a oţelului călit, se utilizează burghie cu canale drepte prevăzute cu plăcuţe din carburi metalice.

2.1.4. Burghie elicoidale obişnuite. Dintre toate tipurile de burghie, cele mai utilizate în prezent sînt burghiile elicoidale. Acestea se deosebesc de burghiile cu canale drepte prin forma elicoidală a canalelor. Canalele pot fi la dreapta sau la stînga, ceea ce determină denumirea burghiului „dreapta” (fig. 8.25, a) sau „stînga” (fig. 8.25, b).

Burghiile elicoidale se pot confecţiona dintr-o bucată sau din două bucăţi sudate. În cazul din urmă, partea utilă se execută din oţel special de scule (rapid) şi se sudează de coada confecţionată din oţel carbon.



Fig. 8.24

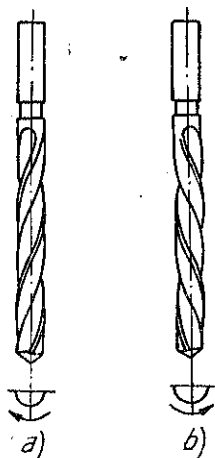


Fig. 8.25.

Canalele burghiului se pot executa prin frezare sau prin răsucirea la cald a semifabricatului.

2.2. ELEMENTELE CONSTRUCTIVE ŞI PARAMETRII GEOMETRICI AI BURGHIELOR ELICOIDALE

(v. STAS 571-64, STAS R 1370-74 şi STAS 6599-71)

Burghiile elicoidale pentru anumite scopuri pot fi prevăzute cu plăcuțe din carburi metalice.

Burghiul se compune din partea utilă 1, din gitul 2 şi coada 3 (fig. 8.26); ultima serveşte la fixarea burghiului în arborele principal al maşinii-unelte. Coada poate fi cilindrică, conică sau piramidală. Antrenorul 4 constituie partea terminală a cozii şi el împiedică rotirea burghiului în arborele principal. Partea utilă a burghiului este prevăzută cu două canale elicoidale 6, datorită cărora se formează la partea aşchietoare (vîrf) a burghiului 5, două tăişuri. Canalele servesc de asemenea la eliminarea aşchiilor din gaura care se execută.

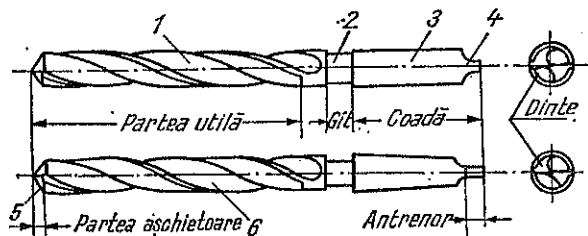


Fig. 8.26.;

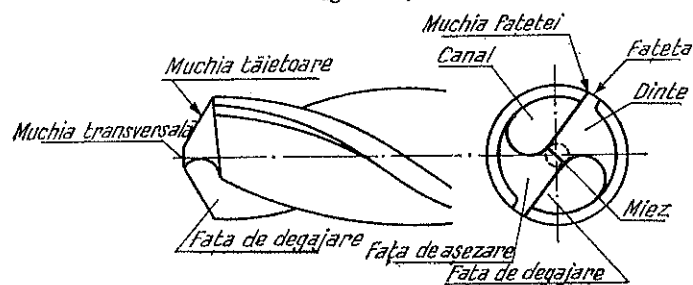


Fig. 8.27.

Elementele geometrice ale burghiului sînt:

1) *Dintele* care constituie partea proeminentă de la capul burghiului cu tăişuri (fig. 8.27).

2) *Miezul* este partea centrală a burghiului, corespunzătoare unui cilindru, căruia îi sînt tangente canalele pentru eliminarea aşchiilor.

3) *Fața de așezare* este suprafața frontală a dintelui.

4) *Fața de degajare* este suprafața canalului pe care se degajă aşchiile.

5) *Tăişul principal* este muchia aşchietoare rezultată din intersecția feței de degajare cu fața de așezare.

6) *Fățeta* este fișa îngustă a suprafeței cilindrice a burghiului, determinînd diametrul acestuia.

7) *Muchia fațetei* este muchia rezultată din intersecția feței de degajare cu fațeta.

8) *Spatelul dintelui* este partea adîncită a suprafeței cilindrice a dintelui.

9) *Tăişul transversal* este muchia rezultată din intersecția fețelor de așezare.

10) *Unghiul de așezare* α este unghiul cuprins între tangenta la fața de așezare în punctul de examinat de pe tăişul principal și tangenta în același punct la cercul descris de aceasta în jurul axei burghiului (fig. 8.28).

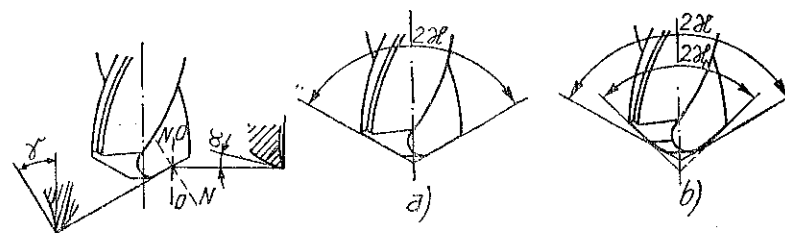


Fig. 8.28.

Fig. 8.29

11) *Unghiul de degajare* γ într-un punct al tăişului principal se măsoară în planul normal pe acest tăiş; unghiul γ în acest plan este format din tangenta la fața de degajare și normala în același punct la suprafața generată de tăişul principal în timpul rotirii sale în jurul axei burghiului.

12) *Unghiul de vîrf* 2α (fig. 8.29, a) este unghiul dintre tăişurile principale; la burghiile cu ascuțite dublă, se obțin două unghiuri la vîrf, 2α și $2\alpha_0$ (fig. 8.29, b).

13) *Unghiul de înclinare al tăişului transversal* ψ este unghiul ascuțit dintre proiecția tăişului transversal și proiecția tăişului principal pe un plan perpendicular pe axa burghiului (fig. 8.30).

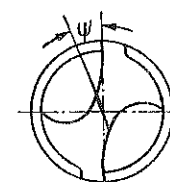


Fig. 8.30

14) *Unghiul de înclinare al canalului elicoidal* ω este unghiul dintre axa burghiului și desfășurata liniei elicoidale a muchiei fațetei (fig. 8.31).

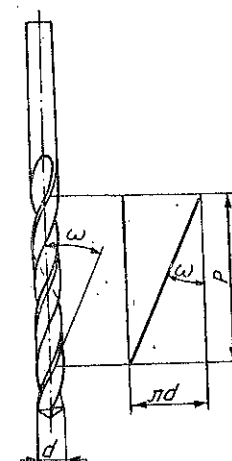


Fig. 8.31.

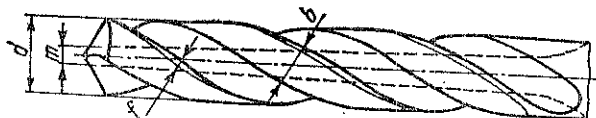
2.3. DATE CONSTRUCTIVE

Burghiile elicoidale se execută în trei tipuri:

- tip N, pentru prelucrarea în principal a fontei şi oţelului;
- tip M, pentru prelucrarea în principal a materialelor metalice neferoase, care la prelucrare formează aşchii lungi, şi mase plastice moi;
- tip D, pentru prelucrarea în principal a oţelurilor austenitice, a materialelor metalice neferoase, care la prelucrare formează aşchii scurte şi a maselor plastice dure.

Valorile unghiului de înclinare ω al canalului elicoidal şi al pasului p al elicei canalelor burghiului sînt indicate pentru toate cele trei tipuri M, N şi D în STAS R 1370/1-69, în funcţie de diametrul burghiului. În acelaşi standard sînt indicate şi valorile pentru: lăţimea faţetei f , lăţimea spatelui dintelui b , grosimea miezului m (fig. 8.32) şi diametrul spatelui dintelui d_0 .

Fig. 8.32.



Parametrii geometrici ai părţii aşchietoare, utilizaţi la ascuţirea burghiilor elicoidale din oţel de scule şi oţel rapid, sînt arătate în STAS R 1370/2-69. În funcţie de materialul care se prelucurează, în acest standard sînt precizate zece tipuri de ascuţiri: tipul A1 pentru burghie de $\varnothing 0,25 \dots 12$ mm, pentru oţel, oţel turnat şi fontă; tipul A2...A6 pentru burghie de peste $\varnothing 12$ pînă la $\varnothing 65$ mm, pentru oţel, oţel turnat şi fontă fără coajă; tipul A7...A8 pentru burghie de $\varnothing 3 \dots 30$ mm, pentru aliaje de aluminiu şi aliaje de magneziu; tipul A9...A10 pentru burghie de $\varnothing 6 \dots 20$ mm, pentru mase plastice dure şi mase plastice moi.

Pentru fiecare tip de ascuţire şi tip de burghiu (M, N sau D) sînt de asemenea indicate, în funcţie de materialul care se prelucurează, valorile unghiului la vîrf 2χ . În cadrul fabricaţiei centralizate, se execută:

- tip N: $2\chi = 118^\circ$, ascuţire tip A1 şi A2;
- tip M: $2\chi = 140^\circ$, ascuţire tip A7;
- tip D: $2\chi = 80^\circ$, ascuţire tip A10.

Diametrele normalizate ale diferitelor tipuri de burghie elicoidale sînt indicate în tabela 8.30.

Următoarele tipuri de burghie au de asemenea dimensiunile standardizate:

- burghiul elicoidal lung cu coadă cilindrică pentru materiale metalice neferoase (STAS 8214-68);

Tabela 8.30 Diametrele normalizate ale burghiilor elicoidale

Burghiu elicoidal scurt cu coadă cilindrică (STAS 573-76)



| | | | | | | | | | | | |
|------|------|------|------|------|------|------|------|-------|-------|-------|-------|
| 0,20 | 0,65 | 1,20 | 2,10 | 3,00 | 4,50 | 6,30 | 8,10 | 9,90 | 11,70 | 13,50 | 16,75 |
| 0,22 | 0,68 | 1,25 | 2,15 | 3,10 | 4,60 | 6,40 | 8,20 | 10,00 | 11,80 | 13,60 | 17,00 |
| 0,25 | 0,70 | 1,30 | 2,20 | 3,15 | 4,70 | 6,50 | 8,30 | 10,10 | 11,90 | 13,70 | 17,25 |
| 0,28 | 0,72 | 1,35 | 2,25 | 3,20 | 4,80 | 6,60 | 8,40 | 10,20 | 12,00 | 13,75 | 17,40 |
| 0,30 | 0,75 | 1,50 | 2,30 | 3,30 | 4,90 | 6,70 | 8,50 | 10,30 | 12,10 | 13,80 | 17,50 |
| 0,32 | 0,78 | 1,45 | 2,35 | 3,35 | 5,00 | 6,80 | 8,60 | 10,40 | 12,20 | 13,90 | 17,75 |
| 0,35 | 0,80 | 1,50 | 2,40 | 3,40 | 5,10 | 6,90 | 8,70 | 10,50 | 12,30 | 14,00 | 18,00 |
| 0,38 | 0,82 | 1,55 | 2,45 | 3,50 | 5,20 | 7,00 | 8,80 | 10,60 | 12,40 | 14,25 | 18,25 |
| 0,40 | 0,85 | 1,60 | 2,50 | 3,60 | 5,30 | 7,10 | 8,90 | 10,70 | 12,50 | 14,50 | 18,50 |
| 0,42 | 0,88 | 1,65 | 2,55 | 3,70 | 5,40 | 7,20 | 9,00 | 10,80 | 12,60 | 14,75 | 18,75 |
| 0,45 | 0,90 | 1,70 | 2,60 | 3,80 | 5,50 | 7,30 | 9,10 | 10,90 | 12,70 | 15,00 | 19,00 |
| 0,48 | 0,92 | 1,75 | 2,65 | 3,90 | 5,60 | 7,40 | 9,20 | 11,00 | 12,80 | 15,25 | 19,25 |
| 0,50 | 0,95 | 1,80 | 2,70 | 4,00 | 5,70 | 7,50 | 9,30 | 11,10 | 12,90 | 15,40 | 19,40 |
| 0,52 | 0,98 | 1,85 | 2,75 | 4,10 | 5,80 | 7,60 | 9,40 | 11,20 | 13,00 | 15,50 | 19,50 |
| 0,55 | 1,00 | 1,90 | 2,80 | 4,20 | 5,90 | 7,70 | 9,50 | 11,30 | 13,10 | 15,75 | 19,75 |
| 0,58 | 1,05 | 1,95 | 2,85 | 4,25 | 6,00 | 7,80 | 9,60 | 11,40 | 13,20 | 16,00 | 20,00 |
| 0,60 | 1,10 | 2,00 | 2,90 | 4,30 | 6,10 | 7,90 | 9,70 | 11,50 | 13,30 | 16,25 | |
| 0,62 | 1,15 | 2,05 | 2,95 | 4,40 | 6,20 | 8,00 | 9,80 | 11,60 | 13,40 | 16,50 | |

Burghiu elicoidal lung cu coadă cilindrică (STAS 574-76)



| | | | | | | | | | | | |
|------|------|------|------|------|-------|-------|-------|-------|-------|-------|-------|
| 1,00 | 2,70 | 4,30 | 6,00 | 7,70 | 9,40 | 11,10 | 12,80 | 15,25 | 18,50 | 23,75 | 72,75 |
| 1,10 | 2,80 | 4,40 | 6,10 | 7,80 | 9,50 | 11,20 | 12,90 | 15,50 | 19,75 | 24,00 | 28,00 |
| 1,20 | 2,90 | 4,50 | 6,20 | 7,90 | 9,60 | 11,30 | 13,00 | 15,75 | 20,00 | 24,25 | 28,25 |
| 1,30 | 3,00 | 4,60 | 6,30 | 8,00 | 9,70 | 11,40 | 13,10 | 16,00 | 20,25 | 24,50 | 28,50 |
| 1,40 | 3,10 | 4,70 | 6,40 | 8,10 | 9,80 | 11,50 | 13,20 | 16,25 | 20,50 | 24,75 | 28,75 |
| 1,50 | 3,15 | 4,80 | 6,50 | 8,20 | 9,90 | 11,60 | 13,30 | 16,50 | 20,50 | 25,00 | 29,00 |
| 1,60 | 3,20 | 4,90 | 6,60 | 8,30 | 10,00 | 11,70 | 13,40 | 16,75 | 21,00 | 25,25 | 29,25 |
| 1,70 | 3,30 | 5,00 | 6,70 | 8,40 | 10,10 | 11,80 | 13,50 | 17,00 | 21,25 | 25,50 | 29,50 |
| 1,80 | 3,40 | 5,10 | 6,80 | 8,50 | 10,20 | 11,90 | 13,60 | 17,25 | 21,50 | 25,75 | 29,75 |
| 1,90 | 3,50 | 5,20 | 7,10 | 8,60 | 10,30 | 12,00 | 13,70 | 17,50 | 21,75 | 26,00 | 30,00 |
| 2,00 | 3,60 | 5,30 | 6,90 | 8,70 | 10,40 | 12,10 | 13,80 | 17,75 | 22,00 | 26,25 | 30,25 |
| 2,10 | 3,70 | 5,40 | 7,10 | 8,80 | 10,50 | 12,20 | 13,90 | 18,00 | 22,25 | 26,50 | 30,50 |
| 2,20 | 3,80 | 5,50 | 7,20 | 8,90 | 10,60 | 12,30 | 14,00 | 18,25 | 22,50 | 26,75 | 30,75 |
| 2,30 | 3,90 | 5,60 | 7,30 | 9,00 | 10,70 | 12,40 | 14,25 | 18,50 | 22,75 | 27,00 | 31,00 |
| 2,40 | 4,00 | 5,70 | 7,40 | 9,10 | 10,80 | 12,50 | 14,50 | 18,75 | 23,00 | 27,25 | 31,25 |
| 2,50 | 4,10 | 5,80 | 7,50 | 9,20 | 10,90 | 12,60 | 14,75 | 19,00 | 23,25 | 27,50 | 31,50 |
| 2,60 | 4,20 | 5,90 | 7,60 | 9,30 | 11,00 | 12,70 | 15,00 | 19,25 | 23,50 | | |

Tabela 8.30 (continuare)

Burghiu elicoidal cu coadă cronică (STAS 575-76)



| | | | | | | | | | | | |
|------|-------|-------|-------|-------|-------|-------|-------|-------|-------|-------|-------|
| 3,00 | 7,00 | 11,00 | 15,00 | 19,00 | 23,00 | 27,00 | 31,00 | 38,00 | 46,00 | 56,00 | 71,00 |
| 3,20 | 7,20 | 11,20 | 15,25 | 19,25 | 23,25 | 27,25 | 31,25 | 38,50 | 46,50 | 56,50 | 72,00 |
| 3,50 | 7,50 | 11,50 | 15,50 | 19,50 | 23,50 | 27,50 | 31,50 | 39,00 | 47,00 | 57,00 | 73,00 |
| 3,80 | 7,80 | 11,80 | 15,75 | 19,75 | 23,75 | 27,75 | 31,75 | 39,50 | 47,50 | 58,00 | 74,00 |
| 4,00 | 8,00 | 12,00 | 16,00 | 20,00 | 24,00 | 28,00 | 32,00 | 40,00 | 48,00 | 50,00 | 75,00 |
| 4,20 | 8,20 | 12,20 | 16,25 | 20,25 | 24,25 | 28,25 | 32,50 | 40,50 | 48,50 | 60,00 | 76,00 |
| 4,50 | 8,50 | 12,50 | 16,50 | 20,50 | 24,50 | 28,50 | 33,00 | 41,00 | 49,00 | 61,00 | 77,00 |
| 4,80 | 8,80 | 12,80 | 16,75 | 20,75 | 24,75 | 28,75 | 33,50 | 41,50 | 49,50 | 62,00 | 78,00 |
| 5,00 | 9,00 | 13,00 | 17,00 | 21,00 | 25,00 | 29,00 | 34,00 | 42,00 | 50,00 | 63,00 | 79,00 |
| 5,20 | 9,20 | 13,20 | 17,25 | 21,25 | 25,25 | 29,25 | 34,50 | 42,50 | 50,50 | 64,00 | 80,00 |
| 5,50 | 9,50 | 13,50 | 17,50 | 21,50 | 25,50 | 29,50 | 35,00 | 43,00 | 51,00 | 65,00 | |
| 5,80 | 9,80 | 13,80 | 17,75 | 21,75 | 25,75 | 29,75 | 35,50 | 43,50 | 51,50 | 66,50 | |
| 6,00 | 10,00 | 14,00 | 18,00 | 22,00 | 26,00 | 30,25 | 36,00 | 44,00 | 52,00 | 67,00 | |
| 6,20 | 10,20 | 14,25 | 18,25 | 22,25 | 26,25 | 30,50 | 36,50 | 44,50 | 53,00 | 68,00 | |
| 6,50 | 10,50 | 14,50 | 18,50 | 22,50 | 26,50 | 30,75 | 37,00 | 45,00 | 54,00 | 69,00 | |
| 6,80 | 10,80 | 14,75 | 18,75 | 22,75 | 26,75 | 30,75 | 37,50 | 45,00 | 55,00 | 70,00 | |

Burghie eliodale lungi cu coadă conică (STAS 6727-73)

| | | | | | | | | | | | |
|------|-------|-------|-------|-------|-------|-------|-------|-------|-------|-------|-------|
| 6,00 | 8,20 | 10,20 | 12,50 | 14,75 | 17,00 | 19,25 | 21,50 | 23,75 | 26,00 | 28,25 | 30,50 |
| 6,20 | 8,50 | 10,50 | 12,80 | 15,00 | 17,25 | 19,50 | 21,75 | 24,00 | 26,25 | 28,50 | 30,75 |
| 6,50 | 8,60 | 10,80 | 13,00 | 15,25 | 17,50 | 19,75 | 22,00 | 24,25 | 26,50 | 28,75 | 31,00 |
| 6,80 | 8,80 | 11,00 | 13,20 | 15,50 | 17,75 | 20,00 | 22,25 | 24,50 | 26,75 | 29,00 | 31,25 |
| 7,00 | 9,00 | 11,20 | 13,50 | 15,75 | 18,00 | 20,25 | 22,50 | 24,75 | 27,00 | 29,25 | 31,50 |
| 7,20 | 9,20 | 11,50 | 13,80 | 16,00 | 18,25 | 20,50 | 22,75 | 25,00 | 27,25 | 29,50 | |
| 7,50 | 9,50 | 11,80 | 14,00 | 16,25 | 18,50 | 20,75 | 23,00 | 25,25 | 27,50 | 29,75 | |
| 7,80 | 9,80 | 12,00 | 14,25 | 16,50 | 18,75 | 21,00 | 23,25 | 25,50 | 27,75 | 30,00 | |
| 8,00 | 10,00 | 12,20 | 14,50 | 16,75 | 19,00 | 21,25 | 23,50 | 25,75 | 28,00 | 30,25 | |

- burghiu elicoidal lung cu coadă conică pentru materiale metalice neferoase (STAS 8369-69);
- burghiu elicoidal mic cu coadă cilindrică îngroşată (STAS 6728-67);
- burghiul elicoidal extrascut cu coadă cilindrică (STAS 4566-73);
- burghiu elicoidal cu coadă cilindrică pentru găurit prin buşă de ghidare (STAS 8156-73);
- burghiu elicoidal cu coadă conică pentru găurit prin buşă de ghidare (STAS 8157-73);
- burghiu elicoidal cu coadă conică pentru materiale metalice neferoase (STAS 8213-68);

— burghiu elicoidal scurt cu coadă cilindrică pentru materiale metalice neferoase (STAS 8213-68);

— burghiu elicoidal cu coadă întărită (STAS 7881-74).

Diametrele normalizate ale burghiilor pentru găurile care urmează a fi filetate sînt cuprinse în tabela 7.35 după STAS R 584/1-69.

Materialele folosite curent pentru confecţionarea burghiilor sînt oţelurile de scule de următoarele calităţi:

- oţel carbon pentru scule OSC 10 sau OSC 12 STAS 1700-71;
- oţel aliat pentru scule OVW 10 sau OS 14 STAS 3611-66;
- oţel rapid Rp 3 STAS 7382-66.

3. ZENCUITOARE

3.1. GENERALITĂŢI

Zencuitoarele sînt scule aşchietoare care servesc la:

- mărirea diametrului găurilor sau prelucrarea găurilor rezultate din turnare;
- formarea adînciturilor pentru îngroparea capului de şurub;
- prelucrarea suprafeţelor cilindrice şi frontale, cînd acestea trebuie să fie perpendiculare la axa găurii;
- executarea găurilor de centrare, în piesele care se fixează între virfurile strungului, maşinii de rectificat etc.

Zencuitoarele se confecţionează din oţel carbon pentru scule OSC 10; OSC 12, STAS 1700-71) sau din oţeluri aliate pentru scule.

3.2. CLASIFICARE ŞI DESCRIERE

După felul prelucrării, se deosebesc următoarele tipuri de zencuitoare: lărgitoare, adîncitoare, lamatoare şi burghie de centrare.

3.2.1. Lărgitoare. Lărgitoarele sînt folosite la lărgirea găurilor executate prin burghiere (găurire cu burghie) sau din turnare. Ele se deosebesc de burghie prin faptul că au mai mulţi dinţi şi sînt lipsite de muşia de tăiere transversală.

Din cauza adîncimii reduse a canalelor, miezul lărgitorului este rezistent, ceea ce permite să se lucreze cu avansuri mai mari decît la prelucrarea cu burghie.

Dinţi sînt de obicei înclinaţi.

Cînd diametrul găurii de prelucrat este sub 25 mm se recomandă ca lărgitoarele să fie executate cu coadă; peste 25 mm se preferă lărgitoarele demontabile cu gaură conică sau cilindrică.

Tabela 8.32. Lărgitor elicoidal cu alezaj conic (STAS 4142-74)

| Lărgire fără alezare ulterioară | Lărgire înaintea alezării cu alezare din oţel rapid | D | | d | L | z | Diametrul minim de burghiere înaintea de lărgire |
|---------------------------------|---|--------------------|---------|----|-----|---|--|
| | | Trepte de diametre | pină la | | | | |
| 25 | 24,7 | | | | | | 17,5 |
| (26) | 25,7 | | | | | | 18 |
| 27 | 26,7 | 23,6 | 30,0 | 13 | 45 | | 19 |
| 28 | 27,7 | | | | | | 20 |
| 30 | 29,7 | | | | | | 21 |
| 32 | 31,6 | | | | | | 22,5 |
| 34 | 33,6 | 30,0 | 35,5 | 16 | 50 | 4 | 24 |
| 35 | 34,6 | | | | | | 24,5 |
| 36 | 35,6 | | | | | | 25 |
| 38 | 37,6 | | | | | | 27 |
| 40 | 39,6 | 35,5 | 42,5 | 19 | 56 | | 28 |
| 42 | 41,6 | | | | | | 29 |
| 44 | 43,6 | | | | | | 31 |
| 45 | 44,6 | | | | | | 31,5 |
| 46 | 45,6 | 42,5 | | | | | 32 |
| 47 | 46,6 | | 50,8 | 22 | 63 | | 33 |
| 48 | 47,6 | | | | | | 34 |
| 50 | 49,6 | | | | | | 35 |
| 52 | 51,5 | | | | | | 37 |
| 55 | 54,5 | 50,8 | 60,0 | 27 | 71 | | 39 |
| 58 | 57,5 | | | | | | 42 |
| 60 | 59,5 | | | | | | 44 |
| 62 | 61,5 | | | | | 4 | 45 |
| 65 | 64,5 | 60,0 | 70,0 | 32 | 80 | | 50 |
| 70 | 69,5 | | | | | | 53 |
| 72 | 71,5 | | | | | | 55 |
| 75 | 74,5 | 71,0 | 85,0 | 40 | 90 | | 57 |
| 80 | 79,5 | | | | | | 61 |
| 85 | 84,5 | | | | | | 66 |
| 90 | 89,5 | | | | | | 71 |
| 95 | 94,5 | 85,0 | 101,6 | 50 | 100 | | 76 |
| 109 | 95,5 | | | | | | 81 |

Tabela 8.33. Lărgitoare elicoidale cu coadă conică (STAS 4141-74), din oţel rapid Rp3

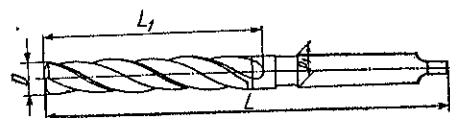
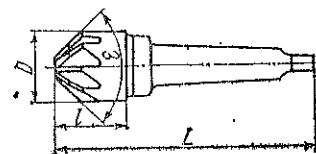


Tabela 8.33. (continuare)

Dimensiuni în mm

| Lărgire fără alezare ulterioară | Lărgire înainte de alezare, cu alezare din oţel rapid | D (h8) | | L | L ₁ | Con Morse | Diametrul minim de burghiere înainte de lărgire |
|---------------------------------|---|--------------------|---------|-----|----------------|-----------|---|
| | | Trepte de diametre | pină la | | | | |
| 8 | 7,8 | 7,50 | 8,50 | 156 | — | | 5,6 |
| 9 | 8,8 | 8,50 | 9,50 | 162 | — | | 6,3 |
| 10 | 9,8 | 9,50 | 10,60 | 168 | 89 | | 7,0 |
| 11 | 10,75 | 10,60 | 11,80 | 175 | 96 | 1 | 7,7 |
| — | 11,75 | | | | | | |
| 12 | — | 11,80 | 13,20 | 182 | 103 | | 8,4 |
| 13 | 12,75 | | | | | | |
| 14 | 13,75 | 13,20 | 14,00 | 189 | 80 | | 9,8 |
| 15 | 14,75 | 14,00 | 15,00 | 212 | 84 | | 10,5 |
| 16 | 15,75 | 15,00 | 16,00 | 218 | 90 | | 11,2 |
| 17 | 16,75 | 16,00 | 17,00 | 223 | 95 | | 11,9 |
| 18 | 17,75 | 17,00 | 18,00 | 228 | 100 | | 12,6 |
| 19 | 18,70 | 18,00 | 19,00 | 233 | 105 | 2 | 13,3 |
| 20 | 19,70 | 19,00 | 20,00 | 238 | 110 | | 14 |
| 21 | 20,70 | 20,00 | 21,20 | 243 | 115 | | 15 |
| 22 | 21,70 | 21,20 | 22,40 | 248 | 120 | | 15,5 |
| 23 | 22,70 | 22,40 | 23,02 | 253 | | | |
| — | — | 23,02 | 23,60 | 276 | 125 | 3 | 16 |
| 24 | 23,70 | 23,60 | 25,00 | 281 | | | 17 |
| 25 | 24,70 | | | | | | |
| 26 | 25,70 | 25,00 | 26,50 | 286 | 130 | | 18 |
| 28 | 26,70 | 26,50 | 18,00 | 291 | 135 | 3 | 19 |
| 28 | 27,70 | | | | | | 20 |
| 30 | 29,70 | 28,00 | 30,00 | 296 | 140 | | 21 |
| — | — | 30,00 | 31,50 | 301 | 145 | | 21 |
| — | 31,60 | 31,50 | 21,75 | 306 | | | 22 |
| 32 | — | 31,75 | 33,50 | 334 | 150 | | 22,5 |
| 34 | 33,60 | 33,50 | 35,50 | 339 | | | 24 |
| 35 | 34,60 | | | | | | 24,5 |
| 36 | 35,60 | 35,50 | 37,50 | 344 | 155 | | 25 |
| 38 | 37,60 | 37,50 | 40,00 | 349 | 160 | | 27 |
| 40 | 39,60 | | | | | | 28 |
| 42 | 41,60 | 40,00 | 42,50 | 354 | 165 | | 29 |
| 44 | 43,60 | 42,50 | 45,00 | 359 | 170 | | 31 |
| 45 | 44,60 | | | | | | 31,5 |
| 46 | 45,60 | 45,00 | 47,50 | 364 | 175 | | 32 |
| 48 | 47,60 | 47,50 | 50,00 | 369 | 180 | | 34 |
| 50 | 49,60 | | | | | | |

Tabela 8.34. Adâncitoare conice, cu coadă conică, de uz general (STAS 1367-67) cu unghiul la vîrf de 60°, 90° şi 120°, din două părţi sudate: partea aşchietoare din oţel rapid Rp3 sau Rp4 (STAS 7382-66), iar coada din OLC 45 (STAS 880-66)



| Unghiul la vîrf ϵ grade | Diametrul nominal D mm | Lungimea totală L mm | Lungimea părţii active mm | Conul Morse | Greutatea aproximativă a unei buciţi gf |
|----------------------------------|------------------------|----------------------|---------------------------|-------------|---|
| 60 | 16 | 110 | 30 | 1 | 90 |
| | 22 | 135 | 40 | 2 | 190 |
| | 32 | 150 | 45 | 2 | 285 |
| | 45 | 175 | 55 | 3 | 900 |
| 90 | 16 | 110 | 25 | 1 | 110 |
| | 22 | 130 | 30 | 2 | 215 |
| | 32 | 140 | 35 | 2 | 400 |
| | 45 | 165 | 45 | 3 | 800 |
| 120 | 16 | 100 | 20 | 1 | 85 |
| | 22 | 125 | 25 | 2 | 200 |
| | 32 | 135 | 30 | 2 | 370 |
| | 45 | 155 | 35 | 3 | 600 |

Observaţie. Exemplu de notare, pentru comandă, a unui adâncitor cu unghi la vîrf $\epsilon = 60^\circ$, avînd diametrul D 16 mm: Adâncitor 60° x 16 STAS 1367-67/Rp 3.

peste 32 mm, cepul de centrare face parte din însuşi corpul adâncitorului.

Unghiul 2α al acestor adâncitoare este de 90° .

În tabela 8.34 sînt arătate dimensiunile normalizate ale adâncitoarelor conice, cu coadă conică, de uz general (STAS 1367-67) cu unghiul la vîrf de 60° , 90° şi 120° din două părţi sudate.

Adâncitorul cu cep de centrare se execută în mod obişnuit cu diametrul D de : 3, 4, 5, 6, 8, 10, 12, 14, 16, 18 şi 20 mm.

3.2.3. Lamatoare. Zencuitorul-lamator, numit prescurtat şi lamator, se utilizează pentru obţinerea unei suprafeţe plane perpendiculare pe axa unei găuri. Dinţii sînt amplasaţi pe partea frontală a lamatorului

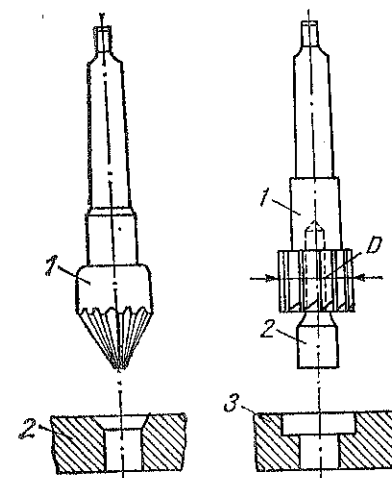


Fig. 8.34. Adâncitor conic (teşitor): 1 — adâncitor; 2 — piesă.
Fig. 8.35. Adâncitor cilindric: 1 — adâncitor; 2 — cep de centrare; 3 — piesă.

Adâncitorul pentru prelucrarea locaşurilor tronconice se mai numeşte şi *teşitor* (fig. 8.34). Unghiul părţii aşchietoare (2α) este de 60° , 90° sau 120° , după conicitatea ce se prelucurează.

Adâncitorul pentru locaşuri cilindrice (fig. 8.35) se execută de obicei cu cep de centrare pentru conducerea adâncitorului. Pentru adâncitoarele cu diametrul pînă la 32 mm, cepul este demontabil; pentru diametre

Zencuitoarele-lamatoare se confecţionează deseori cu plăcuţe din carburi metalice, lipite de dinţi (fig. 8.36).

Elementele caracteristice constructive ale unui lamator sînt:

- unghiul de aşezare α (de $4-6^\circ$);
- unghiul de edgajare γ (de $8-10^\circ$);
- numărul de dinţi z (de $4-8$);
- diametrul D .

Secţiune II

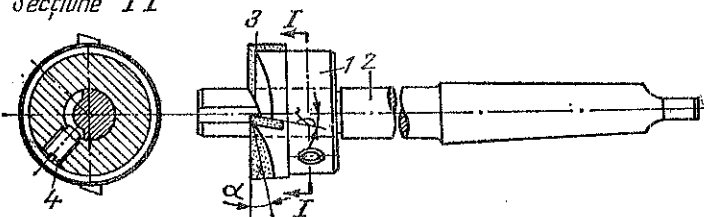


Fig. 8.36. Lamator:
1 - corpul lamatorului;
2 - coadă; 3 - plăcuţă de
carbură metalică; 4 - şurub
de fixare.

3.2.4. Burghie şi teşitoare de centruire. Executarea găurilor de centruire necesită două prelucrări: găurirea propriu-zisă şi teşirea. Prima prelucrare se execută cu ajutorul burghiilor de centruire, iar ultima cu ajutorul teşitoarelor; de obicei ambele prelucrări se execută cu aceeaşi sculă, numită burghiu de centruire.

Burghiile elicoidale de centruire diferă de burghiile elicoidale obișnuite numai prin faptul că sînt mai scurte, pentru a asigura astfel o mai mare rigiditate în timpul găuririi. Diametrele acestor burghie sînt de: 0,5; 1; 1,5; 2; 3; 4; 5; 6; 8 și 12 mm.

Teşitoarele de centruire se folosesc pentru teşirea găurilor de centruire după ce în prealabil au fost date găurile cu ajutorul burghiilor elicoidale de centruire.

Burghiile de centruire folosite la prelucrarea găurilor de centruire STAS 1361-63 sînt de trei forme:

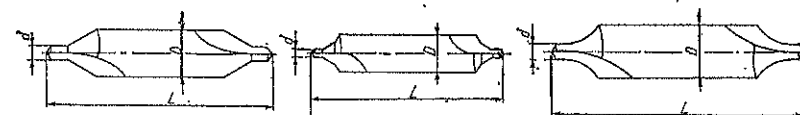
- forma A, pentru prelucrarea găurilor de centruire forma A;
 - forma B, pentru prelucrarea găurilor de centruire forma B (cu con de protecţie);
 - forma R, pentru prelucrarea găurilor de centruire forma R.
- Ele execută atât găurirea cît şi teşirea găurilor de centruire.

Dimensiunile normalizate ale acestor scule sînt indicate în tabela 8.35, după STAS 1114-73.

4. ALEZOARE

Alezoarele sînt scule cu ajutorul cărora se efectuează, manual sau mecanizat (la strunguri, maşini de găurit etc.), netezirea găurilor prelu-

Tabela 8.35. Burghie de centruire (STAS 1114-73) în trei forme (A, B şi R) pentru găuri de centruire conform STAS 1361-63, din oţel rapid Rp 3 sau Rp 4 (STAS 7382-66)



| Forma A | | Forma B | | Forma R | | | |
|-----------------------------|-----------------------|-------------------|-------------------|----------------------|-----------------------|-------------------|-------------------|
| Diametrul | | Lungimea | Lungimea | Diametrul | | Lungimea | Lungimea |
| nominal d mm | exterior D mm | L mm max. | L mm min. | nominal d mm | exterior D mm | L mm max. | L mm min. |
| BURGHIU DE CENTRIRE FORMA A | | | | | | | |
| 0,5) | 3,15 | 21 | 19 | 2,5 | 6,3 | 47 | 43 |
| 0,63) | 3,15 | 21 | 19 | 3,15 | 8 | 52 | 48 |
| (0,8) | 3,15 | 21 | 19 | 4 | 10 | 59 | 53 |
| 1 | 3,15 | 33,5 | 29,5 | (5) | 12,5 | 66 | 60 |
| 1,25) | 3,15 | 33,5 | 29,5 | 6,3 | 16 | 74 | 68 |
| 1,6 | 4 | 37,5 | 33,5 | (8) | 20 | 83 | 77 |
| 2 | 4 | 42 | 38 | 10 | 25 | 103 | 97 |
| BURGHIU DE CENTRIRE FORMA B | | | | | | | |
| 1 | 4 | 37,5 | 33,5 | 4 | 14 | 70 | 64 |
| (1,25) | 5 | 42 | 38 | (5) | 18 | 78 | 72 |
| 1,6 | 6,3 | 47 | 43 | (6,3) | 20 | 83 | 77 |
| 2 | 8 | 52 | 48 | 8 | 25 | 103 | 97 |
| 2,5 | 10 | 59 | 53 | 10 | 31,5 | 128 | 122 |
| 3,15 | 11,2 | 63 | 57 | | | | |
| BURGHIU DE CENTRIRE FORMA R | | | | | | | |
| 1 | 3,15 | 33,5 | 29,5 | 4 | 10 | 59 | 53 |
| (1,25) | 3,15 | 33,5 | 29,5 | (5) | 12,5 | 66 | 60 |
| 1,6 | 4 | 37,5 | 33,5 | | | | 68 |
| 2 | 5 | 42 | 38 | 6,3 | 16 | 74 | 77 |
| 2,5 | 6,3 | 47 | 43 | (8) | 20 | 83 | 97 |
| 3,15 | 8 | 52 | 48 | 10 | 25 | 103 | |

Observații. 1. Dimensiunile din paranteză nu se recomandă. 2. Exemplu de notare a unui burghiu de centruire, forma A, pentru gaura de centruire d 4 din oţel rapid Rp 3: Burghiu centruire A 4 STAS 1114-73/Rp 4.

crate în prealabil prin burghiere, strunjire etc. Prin alezare se asigură găurilor o calitate superioară şi o precizie dimensională corespunzătoare claselor 3 şi 2 de precizie.

4.1. CLASIFICARE ŞI DESCRIERE

Clasificarea alezoarelor se poate face după următoarele criterii:

După modul de acţionare: După felul construcţiei:

- alezoare de mînă;
- alezoare fixe;
- alezoare de maşină;
- alezoare reglabile (extensibile).

După sistemul de prindere: După forma geometrică:
 — alezoare cu gaură; — alezoare cilindrice;
 — alezoare cu coadă. — alezoare conice.

În tabela 8.36 sînt arătate principalele tipuri de alezoare normalizate cu indicarea STAS-urilor sau a normelor interne (NI) pentru forme şi dimensiunile acestor alezoare.

Tabela 8.36. Tipuri de alezoare normalizate

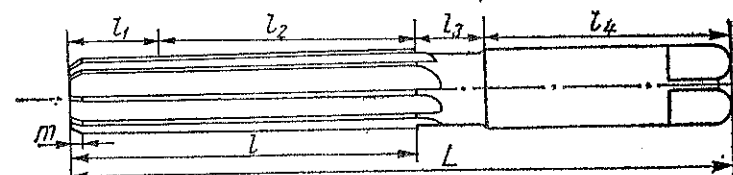
| Poz | Denumirea | Schița | Diametre mm | STAS sau NI M.C.M. |
|-----|--|--------|----------------------|--------------------|
| 1 | Alezoare cilindrice de mină | | 3—50 | STAS 1263—67 |
| 2 | Alezoare de mină spintecate | | 8—30 | STAS 1266—73 |
| 3 | Alezoare de maşină cu coadă cilindrică | | 3—9 | STAS 1264—67 |
| 4 | Alezoare de maşină cu coadă conică | | 10—32 | STAS 1265—67 |
| 5 | Alezoare pentru găuri de nit | | 8—39 | STAS 590—73 |
| 6 | Alezor conic 1 : 50 | | 1—16 | STAS 2647—64 |
| 7 | Alezor conic 1 : 30 | | 13—50 | STAS 2646—64 |
| 8 | Alezor pentru conuri Morse | | Con Morse 0—6 | STAS 588—73 |
| 9 | Alezor pentru conuri metrice | | Con metric 4; 6; 80; | STAS 589—73 |
| 10 | Alezor cu alezaj conic | | 25—80 | STAS 3456—71 |

Tabela 8.36 (continuare)

| Poz. | Denumirea | Schița | Diametre mm | STAS sau NI M.C.M. |
|------|---|--------|-------------|--------------------|
| 11 | Alezor de mină cu reglare rapidă şi cu coadă cilindrică | | 8—95 | NI 319—52 |
| 12 | Alezor reglabil cu coadă cilindrică pentru găuri cu fund | | 30—40 | NI 317—52 |
| 13 | Alezor reglabil cu coadă cilindrică pentru găuri de trecere | | 30—40 | NI 318—52 |
| 14 | Alezor reglabil cu coadă conică pentru găuri cu fund | | 30—40 | NI 316—52 |
| 15 | Alezor reglabil cu coadă conică pentru găuri de trecere | | 30—40 | NI 320—52 |
| 16 | Alezor reglabil cu alezaj conic pentru găuri cu fund | | 40—100 | STAS 4227—68 |
| 17 | Alezor reglabil cu alezaj conic pentru găuri de trecere | | 40—100 | NI 314—52 |

Alezorul cilindric de mină fix (fig. 8.37) se compune din partea utilă l_1 , gîtul l_2 şi coada l_4 , care se termină cu un cap pătrat pentru rotirea manuală a alezorului cu o cheie. Partea utilă l este prevăzută cu dinţi tăietori şi este compusă din partea activă l_1 (conul de atac) şi partea de

Fig. 8.37. Alezor cilindric de mină, fix.



calibrare l_2 . Partea activă cu partea de intrare m execută prelucrarea de degroşare a găurii care se alezează. Partea de calibrare dirijează alezorul în timpul prelucrării, netezeşte pereţii găurii şi o calibrează la dimensiunea cerută. Partea activă (conul de atac) trebuie să fie relativ lungă: circa $1/4-1/5$ din lungimea părţii de calibrare şi să aibă o conicitate mică (înclinarea este de 1°). Cu un con de atac lung se obţine o suprafaţă prelucrată mai precisă şi mai curată decât cu unul scurt. Alezoarele pentru prelucrarea pieselor de oţel au porţiunea de atac mică, însă cu conicitate mare (circa 15°). În general, dinţii acestor alezoare se fac dreapţi; există însă şi alezoare cu dinţi elicoidali, care pot fi pe dreapta sau pe stînga.

Alezor cilindric de mână reglabil, spintecat (extensibil). Alezoarele cu dinţi ficeşi au dezavantajul că prin ascuţire îşi micşorează diametrul. La alezorul reglabil, spintecat, reglarea se face prin împingerea forţată a unei bile într-o gaură conică cu ajutorul unui şurub (fig. 8.38, a). Corpul alezorului fiind despiciat, prin avansul bilei, diametrul alezorului se măreşte în partea centrală cu câteva zecimi de milimetru.

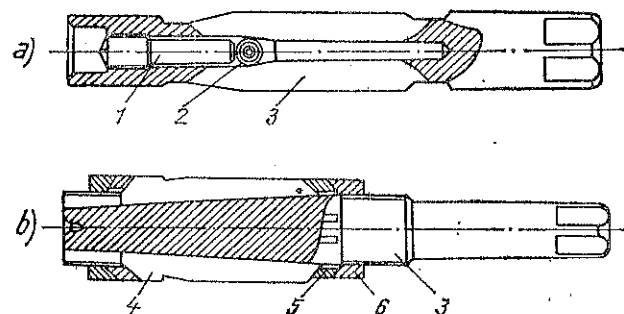


Fig. 8.38. Alezoare cilindrice de mână reglabile:
a - spintecat; b - cu cuţite mobile;
1 - şurub; 2 - bilă; 3 - corp;
4 - dinţi; 5 - inel; 6 - piuliţă dereglare.

Alezorul cilindric de mână reglabil, cu cuţite mobile, din fig. 8.38, b este prevăzut cu cuţite mobile aşezate în canale înclinate faţă de axa alezorului. Prin piuliţe de reglaj, cuţitele pot fi deplasate în ambele sensuri şi prin aceasta se realizează o mărire a diametrului alezorului în limite de $0,5-3$ mm.

Alezorul cilindric de maşină se compune din aceleaşi părţi ca şi alezorul cilindric de mână fix, cu deosebirea că are partea tăietoare l mai mică (v. fig. 8.39) şi conicitatea la vîrf l_1 (partea activă) redusă la o porţiune foarte mică; aceste alezoare au în schimb cozile lungi cu partea de prindere cilindrică sau conică. Alezoarele de maşină de dimensiuni mai mari se fac cu gaură (fig. 8.39, b) pentru montare pe arborele portsculă.

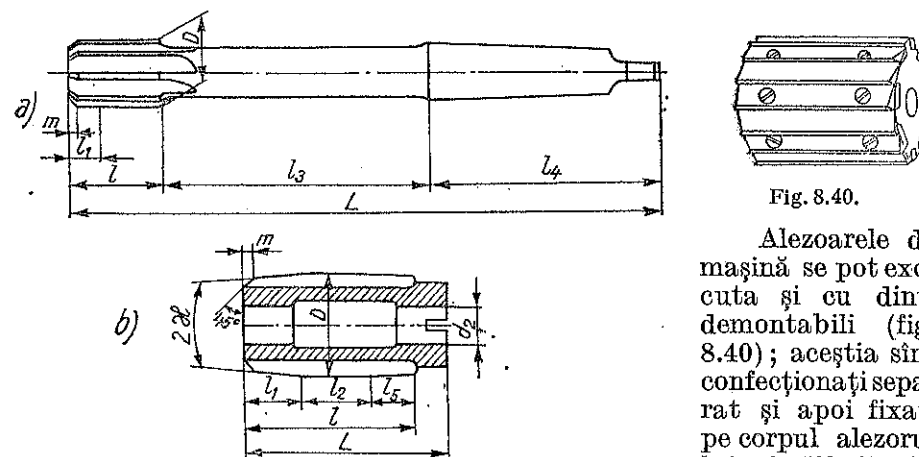


Fig. 8.39. Alezor cilindric de maşină:

a - cu coadă; b - cu gaură; m - faşetă de intrare; L - lungimea totală a alezorului; D - diametrul; l - partea utilă; l_1 - partea activă; l_2 - partea de calibrare; l_3 - gît; l_4 - coadă; l_5 - partea cu conicitate inversă; d - diametrul găurii.

Alezoarele de maşină se pot executa şi cu dinţi demontabili (fig. 8.40); aceştia sînt confecţionaţi separat şi apoi fixaţi pe corpul alezorului prin diferite sisteme.

Alezorul conic se foloseşte pentru

prelucrarea manuală a găurilor conice din peise. Se utilizează, în general, sub formă de jocuri (serii) compuse din trei alezoare: primul alezor, de degroşare, cu dinţi detalonati (fig. 8.41, a) dă forma conică găurii cilindrice; al doilea alezor, mijlociu (fig. 8.41, b), care aduce conicitatea la dimensiuni apropiate, are canale transversale pe dinţi, pentru ruperea aşchiilor; al treilea alezor, de finisare (fig. 8.41, c) care calibrează conicitatea, are dinţii dreapţi, fără discontinuităţi.

Dacă alezajul, după găurire, a fost prelucrat cu conicitate atunci este suficient să se folosească alezoarele mijlocii şi de finisare sau numai de finisare.

Forma şi dimensiunile alezorelor pentru con Morse sînt standardizate prin STAS 588-73, iar pentru con metric prin STAS 589-73.

4.2. DATE CONSTRUCTIVE

Unghiul elicei ω , la alezoarele cu canale elicoidale, variază între 8 şi 10° .

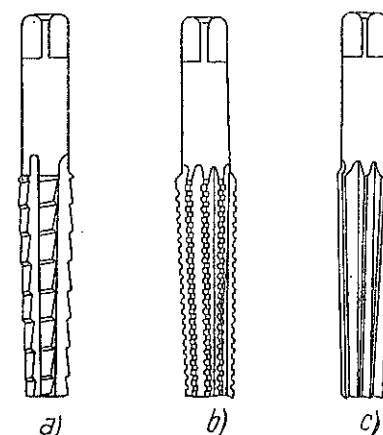


Fig. 8.41. Alezoare
a - de degroşare; b - mijlociu; c - de finisare

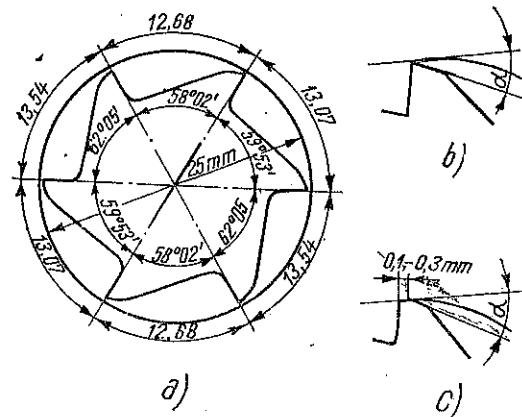


Fig. 8.42.

- 1— 3° la alezoare de mină şi pentru orice metal;
 10° la alezoare de maşină şi pentru metale casante;
 30—90° la alezoare de maşină pentru metale maleabile;
 4— 6° la alezoare de cazangerie, pentru orice metal.

Numărul de dinţi se face cu soţ pentru uşurinţa măsurării diametrului alezorului cu ajutorul micrometrului. Cu cât numărul dinţilor este mai mare, cu atât precizia dimensională şi netezimea alezajului sînt mai înalte.

Numărul de dinţi (z) se poate stabili cu formulele empirice:

$$z = 1,5 \sqrt{D + 2} \text{ pentru metale maleabile;}$$

$$z = 1,5 \sqrt{D + 4} \text{ pentru metale casante.}$$

În tabela 8.37 este indicat numărul de dinţi pentru alezoarele cu dinţi dreپتی.

Pentru evitarea efectelor defavorabile ale vibraţiilor pe suprafeţele alezate, la alezoarele de mină pasul dinţilor este inegal; în fig. 8.42

Tabela 8.37. Numărul de dinţi la alezoarele cu dinţi dreپتی

| Felul alezorului | Diametrul alezorului, mm | | | | |
|---------------------------------------|--------------------------|-------|-------|-------|-------|
| | 3—10 | 11—19 | 20—30 | 31—45 | 46—50 |
| Alezor de mină | 6 | 8 | 10 | 12 | 14 |
| Alezor de maşină | 6 | 8 | 10 | 12 | — |
| Alezor de maşină, cu gaură | — | — | 10 | 10 | 14 |
| Alezor cu coadă şi cuşite demontabile | — | — | 6 | 8 | 10 |
| Alezor cu coadă şi cuşite demontabile | — | — | — | 8 | 8 |
| Alezor de mină reglabil | 6 | 8 | 8 | 10 | 12 |

Unghiul de aşezare α (fig. 8.42, b) al dinţilor alezorului, în partea activă (conul de atac) şi în partea de calibrare este de 5—8°.

Unghiul de degajare γ , pentru alezoarele de finisare, este egal cu 0° sau negativ (de 2—3° la metalele dure), pentru obţinerea unei suprafeţe cît mai netede; pentru alezoarele de degroşare, unghiul de degajare variază între 5 şi 10°.

Unghiul conului de atac 2χ (fig. 8.39) are următoarele valori:

este indicat pasul dinţilor pentru un alezor de mină cu şase dinţi şi diametrul de 25 mm.

În tabela 8.38 sînt arătate valorile unghiurilor ω (v. fig. 8.43) pentru alezoarele de mină cu diferite numere de dinţi şi pas neegal.

Tabela 8.38. Valorile unghiurilor ω pentru alezoare cu paşi neegali ai dinţilor

| Unghiul ω | Numărul dinţilor | | | | | | |
|------------------|------------------|-----|--------|--------|--------|--------|--------|
| | 6 | 8 | 10 | 12 | 14 | 16 | 18 |
| ω_1 | 58°02' | 42° | 33° | 27°30' | 23°30' | 20°30' | 17°20' |
| ω_2 | 59°53' | 44° | 34°30' | 28°30' | 24°15' | 21° | 18° |
| ω_3 | 62°05' | 46° | 36° | 29°30' | 25° | 21°30' | 18°40' |
| ω_4 | — | 48° | 37°30' | 30°30' | 25°45' | 22°15' | 19°20' |
| ω_5 | — | — | 39° | 31°30' | 26°30' | 22°45' | 20° |
| ω_6 | — | — | — | 32°30' | 27°15' | 23°15' | 20°40' |
| ω_7 | — | — | — | — | 28° | 24° | 21°20' |
| ω_8 | — | — | — | — | — | 24°45' | 22° |
| ω_9 | — | — | — | — | — | — | 22°40' |

Cunoscînd valorile acestor unghiuri şi diametrul alezorului se poate calcula pasul corespunzător al fiecărui dinte.

Profilul canalelor la alezoare este indicat în figurile 8.43, a şi 8.43, b, iar valorile elementelor constructive ale acestor profile, pentru diferite diametre ale alezorelor, în tabela 8.39.

Materialele folosite la confecţionarea alezorelor sînt următoarele:

Tabela 8.39. Profilul canalelor la alezoare

| Diametrul alezorului, mm | f | f_1 | ω_d | r | Diametrul alezorului, mm | f | f_1 | R | r |
|--------------------------|------|-------|------------|-----|--------------------------|-----|-------|-----|-----|
| 3—4,5 | 0,25 | 0,08 | 85° | 0,3 | 21—26 | 1,0 | 0,20 | 25 | 1,0 |
| 5—8 | 0,40 | 0,12 | 85° | 0,3 | 27—30 | 1,2 | 0,20 | 25 | 1,0 |
| 9—10 | 0,70 | 0,15 | 90° | 0,5 | 31—43 | 1,6 | 0,25 | 25 | 1,0 |
| 10—14 | 0,70 | 0,18 | 75° | 0,5 | 44—59 | 1,9 | 0,25 | 25 | 1,0 |
| 15—20 | 0,90 | 0,18 | 80° | 0,5 | 60—78 | 2,2 | 0,25 | 35 | 1,5 |
| | | | | | 79—100 | 2,5 | 0,30 | 35 | 1,5 |

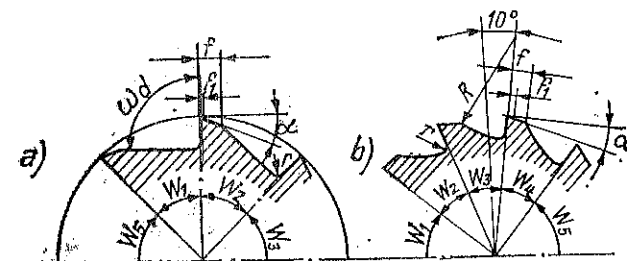


Fig. 8.43.

— pentru alezorele fixe şi extensibile de mină, oţel aliat de scule MCW 14 sau C 15 STAS 3611-66;

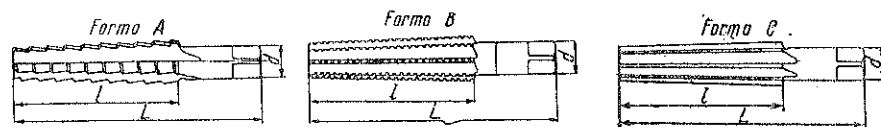
— pentru alezorele fixe de maşină, cilindrice sau conice, precum şi pentru dinţii alezorelor cu dinţi demontabili, oţel rapid Rp3 sau Rp4 STAS 3611-66.

4.3. DIMENSIUNI NORMALIZATE

În tabelele 8.40—8.43 sînt indicate dimensiunile normalizate şi greutatea aproximativă pentru: alezorele cu coadă cilindrică pentru conuri Morse (STAS 588-73), alezorele cilindrice de mină (STAS 1263-67), alezorele de maşină cu coadă conică (STAS 1265-67) şi alezorele de mină reglabile cu dinţi demontabili (STAS 5713-67).

De asemenea sînt normalizate dimensiunile pentru: alezorele cu coadă cilindrică pentru conuri metrice (STAS 589-73), alezorele pentru găuri de nit (STAS 590-73), alezorele de maşină cu coadă cilindrică (STAS 1264-67), alezorele de maşini cu dinţi demontabili (STAS 4227-68), alezorele de mină reglabile cu dinţi demontabili (STAS 5713-67), alezorele de mină spintecate (STAS 1266-73), alezorul cu alezaj conic (STAS 3456-71), alezorul cu coadă cilindrică pentru con 1:30 (STAS 2646-64) şi alezorul cu coadă cilindrică pentru con 1:50 (STAS 2647-64). Gama diametrelor la unele dintre aceste alezore se găseşte în tabela 8.36.

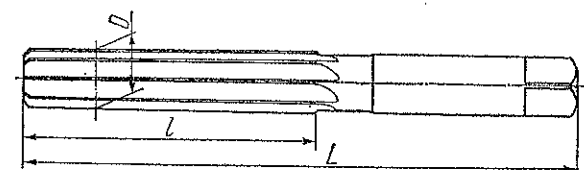
Tabela 8.40. Alezore cu coadă cilindrică pentru conuri Morse (STAS 588-73), în trei forme (A, B şi C) pentru degroşare, intermediar şi respectiv pentru finisare din oţel aliat de scule MCW 14 (STAS 3611-66)



| Conul Morse nr. | Lungimea | | Diametrul cozii d mm | Greutatea aproximativă a unei bucăţi gf | Conul Morse nr. | Lungimea | | Diametrul cozii d mm | Greutatea aproximativă a unei bucăţi gf |
|-----------------|---------------|------------------|------------------------|---|-----------------|---------------|------------------|------------------------|---|
| | totală L mm | canalelor l mm | | | | totală L mm | canalelor l mm | | |
| 0 | 95 | 64 | 8 | 30 | 4 | 180 | 120 | 25 | 775 |
| 1 | 100 | 67 | 10 | 65 | 5 | 230 | 150 | 35,5 | 1 900 |
| 2 | 125 | 80 | 14 | 160 | 6 | 310 | 205 | 45 | 5 100 |
| 3 | 150 | 97 | 18 | 370 | | | | | |

Observaţii. 1. Exemplu de notare a unui joc de 3 alezore pentru con Morse 5, din oţel aliat de scule MCW14: Joc alezore Morse 5 STAS 588-73/MCW 14. 2. Exemplu de notare a unui alezor de degroşare (forma A) pentru con Morse 5, din oţel aliat de scule MCW 14: Alezor Morse 5 A Stas 588-73/MCW 14.

Tabela 8.41. Alezore cilindrice de mină (STAS 1263-67) cu dinţi dreپti, cu sens de aşchiere pe dreapta şi divizarea inegală a dinţilor din oţel aliat de scule MCW 14 (STAS 3611-66)



| Diametrul D mm | Lungimea | | Greutatea aproximativă a unei bucăţi gf | Diametrul D mm | Lungimea | | Greutatea aproximativă a unei bucăţi gf |
|------------------|---------------|------------------|---|------------------|---------------|------------------|---|
| | totală L mm | canalelor l mm | | | totală L mm | canalelor l mm | |
| 3 | 62 | 31 | 4 | 22 | 215 | 107 | 550 |
| (3,5) | 71 | 36 | 5 | (23) | 215 | 107 | 570 |
| 4 | 76 | 38 | 7 | (24) | 231 | 115 | 670 |
| (4,5) | 81 | 41 | 7 | 25 | 231 | 115 | 760 |
| 5 | 87 | 44 | 8 | (26) | 231 | 115 | 790 |
| (5,5) | 93 | 47 | 11 | (27) | 247 | 124 | 930 |
| 6 | 93 | 47 | 14 | 28 | 247 | 124 | 970 |
| 7 | 107 | 54 | 22 | (30) | 247 | 124 | 1 240 |
| 8 | 115 | 58 | 33 | 32 | 265 | 133 | 1 370 |
| 9 | 124 | 62 | 46 | (34) | 284 | 142 | 1 650 |
| 10 | 133 | 66 | 60 | (35) | 284 | 142 | 1 870 |
| 11 | 142 | 71 | 80 | 36 | 284 | 142 | 1 985 |
| 12 | 152 | 76 | 108 | (37) | 284 | 142 | 2 100 |
| (13) | 152 | 76 | 125 | (38) | 305 | 152 | 2 380 |
| 14 | 163 | 81 | 156 | 40 | 305 | 152 | 2 600 |
| (15) | 163 | 81 | 186 | (42) | 305 | 152 | 2 850 |
| 16 | 175 | 87 | 210 | (44) | 326 | 163 | 3 450 |
| (17) | 175 | 87 | 240 | 45 | 326 | 163 | 3 540 |
| 18 | 188 | 93 | 300 | (46) | 326 | 163 | 3 880 |
| (19) | 188 | 93 | 372 | (47) | 326 | 163 | 3 980 |
| 20 | 201 | 100 | 430 | (48) | 347 | 174 | 4 260 |
| (21) | 201 | 100 | 484 | 50 | 347 | 174 | 4 500 |

Observaţii. 1. Dimensiunile din paranteză nu se recomandă. 2. Exemplu de notare, pentru comandă a unui alezor cilindric de mină, cu diametrul $D = 10$ mm, pentru alezaje cu abateri limită JE 4, din oţel aliat de scule MCW 14: Alezor 10 JEA STAS 1263-67/MCW 14.

Tabela 8.42. Alezore de maşină cu coadă conică (STAS 1265-67), cu sens de aşchiere pe dreapta, cu dinţi dreپti, cu divizarea inegală a dinţilor şi unghiul de atac $\alpha = 15^\circ$, din oţel rapid Rp 3 sau Rp 4 (STAS 7382-66)

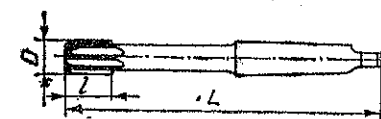
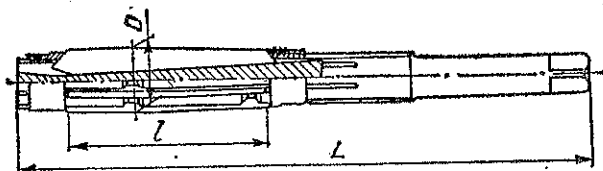


Tabela 8.42. (continuare)

| Diametrul nominal D , mm | Lungimea | | Conul Morse | Greutatea aproximativă a unei bucăți, gf | Diametrul nominal D , mm | Lungimea | | Conul Morse | Greutatea aproximativă a unei bucăți, gf |
|----------------------------|-----------------|--------------------|-------------|--|----------------------------|-----------------|--------------------|-------------|--|
| | totală L , mm | canalelor l , mm | | | | totală L , mm | canalelor l , mm | | |
| 10 (10,5) | 140 | 29 | 1 | 70 | 20 (21) | 203 | 44 | 2 | 280 |
| | 140 | 29 | 1 | 75 | | 203 | 44 | 2 | 302 |
| 11 (11,5) | 153 | 33 | 1 | 80 | 22 (23) | 225 | 51 | 2 | 370 |
| | 153 | 33 | 1 | 85 | (24) | 225 | 51 | 2 | 390 |
| | | | | | | 244 | 51 | 3 | 450 |
| 12 (13) | 153 | 33 | 1 | 95 | 25 (26) | 244 | 51 | 3 | 500 |
| | 153 | 33 | 1 | 100 | | 244 | 51 | 3 | 550 |
| 14 (15) | 169 | 38 | 1 | 110 | 27 (28) | 271 | 60 | 3 | 600 |
| | 184 | 38 | 2 | 125 | | 271 | 60 | 3 | 680 |
| 16 (17) | 184 | 38 | 2 | 230 | 30 (32) | 271 | 60 | 3 | 750 |
| | 184 | 38 | 2 | 235 | | 296 | 60 | 4 | 910 |
| 18 (19) | 203 | 44 | 2 | 250 | | | | | |
| | 203 | 44 | 2 | 260 | | | | | |

Observații. 1. Dimensiunile din paranteză nu se recomandă. 2. Exemplu de notare pentru comandă a unui alezor de mașină, cu coadă conică, cu diametrul $D = 22$ mm, avînd unghiul $\alpha = 15^\circ$, fabricat centralizat în clasa de precizie C, din oțel Rp rapid 3: Alezor 22-15° C STAS 1265-67/Rp 3.

Tabela 8.43. Alezoare de mină reglabile, cu dinți demontabili (STAS 5713-67), în două variante — scurte și lungi — cu corpul din oțel aliat de construcție 40 C 10 STAS 791-66, iar cușitele din oțel rapid Rp 3 sau Rp 4 (STAS 7382-66)



| Diametrul nominal D mm | Domeniul de reglare | | Lungimea | | Greutatea aproximativă a unei bucăți, gf | Diametrul nominal D mm | Domeniul de reglare | | Lungimea | | Greutatea aproximativă a unei bucăți, gf |
|-----------------------------|---------------------|-----------|------------------|---------------------|--|-----------------------------|---------------------|-----------|------------------|---------------------|--|
| | D minim | D maxim | totală L mm | canalelor l mm | | | D minim | D maxim | totală L mm | canalelor l mm | |
| VARIANTA A (scurte) | | | | | | VARIANTA B (lungi) | | | | | |
| 10,5 | 10,5 | 12 | 115 | 34 | 58 | 10,5 | 10,5 | 12 | 160 | 65 | 75 |
| 12 | 12 | 13,5 | 130 | 42 | 75 | 12 | 12 | 13,5 | 170 | 70 | 100 |
| 13,5 | 13,5 | 15,5 | 145 | 50 | 100 | 13,5 | 13,5 | 15,5 | 190 | 80 | 135 |
| 15,5 | 15,5 | 18 | 160 | 60 | 150 | 15,5 | 15,5 | 17,5 | 210 | 90 | 220 |

Tabela 8.43. (continuare)

| Diametrul nominal D , mm | Domeniul de reglare | | Lungimea | | Greutatea aproximativă a unei bucăți, gf | Diametrul nominal D , mm | Domeniul de reglare | | Lungimea | | Greutatea aproximativă a unei bucăți, gf |
|----------------------------|---------------------|-----------|-----------------|--------------------|--|----------------------------|---------------------|-----------|-----------------|--------------------|--|
| | D minim | D maxim | totală L , mm | cușitelor l , mm | | | D minim | D maxim | totală L , mm | cușitelor l , mm | |
| 18 | 18 | 21 | 175 | 65 | 225 | 17,5 | 19,5 | 230 | 230 | 100 | 290 |
| 21 | 21 | 24 | 190 | 70 | 330 | 19,5 | 19,5 | 250 | 250 | 110 | 370 |
| 24 | 24 | 27,5 | 210 | 75 | 450 | 21,5 | 24,5 | 270 | 270 | 120 | 470 |
| 27,5 | 27,5 | 31,5 | 230 | 80 | 700 | 24,5 | 24,5 | 290 | 290 | 130 | 640 |
| 31,5 | 31,5 | 37 | 250 | 90 | 980 | 27,5 | 27,5 | 310 | 310 | 140 | 880 |
| 37 | 37 | 45 | 280 | 100 | 1 850 | 31,5 | 37 | 330 | 330 | 150 | 1 250 |
| 45 | 45 | 55 | 320 | 110 | 2 800 | 37 | 37 | 370 | 370 | 165 | 1 900 |
| | | | | | | 45 | 45 | 420 | 420 | 180 | 3 350 |

Observație. Exemplu de notare, pentru comandă a unui alezor de mină, reglabil, cu dinți demontabili, scurt (varianta A), cu diametrul nominal $D = 18$ mm; Alezor reglabil 18-A STAS 5713-67.

5. SCULE PENTRU FILETAT

Filetul se execută manual sau mecanic. Filetul interior (la găuri) se execută cu tarozi sau cu cuțite pentru filet, iar filetul exterior (la șuruburi), cu filiere sau cu cuțite pentru filetat.

5.1. TAROZI

5.1.1. Clasificare și dimensiuni. Tarozii (burghiele de filetat) se clasifică după diferite criterii în următoarele tipuri:

După modul de acționare:

- tarozi de mină;
- tarozi de mașină.

După felul filetelui:

- tarozi pentru filet metric;
- tarozi pentru filet în toli
- tarozi pentru filet gaz.

După felul pieselor de filetat:

- tarozi pentru piulițe;
- tarozi pentru filiere.

După forma profilului:

- tarozi detalonați;
- tarozi nedetalonați.

După felul construcției:

- tarozi ficeși;
- tarozi reglabili (extensibili).

Tarozii de mină se execută, în general, în seturi de cîte trei sau doi tarozi și, uneori, individual. Ei sînt de două feluri: cilindrici și conici. Tarozii cilindrici sînt folosiți în mod curent, deoarece au o repartitie mai bună a secțiunii aşchiate de către diferiți tarozi care formează un set.

Tarozii conici dintr-un set (fig. 8.44) au același diametru exterior; ei se diferen-

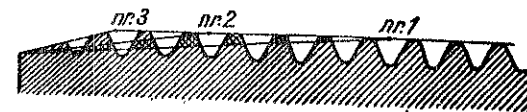


Fig. 8.44.

tiază prin lungimea conului de atac care este mai mare la tarodul de degroşare (nr. 1), puţin mai mică la tarodul mijlociu (nr. 2) şi cea mai mică la tarodul de finisare (nr. 3).



Fig. 8.45.

Tarozii cilindrici (fig. 8.45) din acelaşi set au diametre diferite şi anume, diametrul tarodului de degroşare este mai mic decât al tarodului de finisare (calibrare). La aceşti tarozi, tarodul de degroşare (nr. 1) aşchiază 56–60 % din secţiunea totală a golului filetului, tarodul intermediar (nr. 2) aşchiază 28–30 %, iar cel din finisare (nr. 3) restul.

Seturile cu doi tarozi se utilizează de obicei la realizarea filetelor cu diametre reduse şi înălţime mică (de exemplu : filete gaz, filete metrice fine etc.); primul tarod este de degroşare, iar al doilea tarod este de finisare.

Tarozii pentru diametre mici ($d \leq 6$ mm la filet normal şi $d \leq 8$ mm la filet fin) se construiesc cu virfuri de centrare (fig. 8.46).

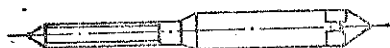


Fig. 8.46.

Tarozii de maşină au lungimea conului de atac cuprinsă între 20 şi 30 paşi. Ei se construiesc de obicei în seturi de doi tarozi sau individual. Constructiv se deosebesc : tarozi de maşină scurţi şi tarozi de maşină lungi. Formele şi dimensiunile acestor tarozi, sînt, în general, indicate în STAS-uri; nu sînt standardizate numărul, forma şi direcţia canalelor. Coada tarozilor lungi este cilindrică; ceilalţi au coadă cu capăt pătrat. Pentru diametre mai mari decât 16 mm, tarozii se confecţionează cu coadă de oţel carbon sudată. Tarozii din oţel aliat pentru scule se folosesc pentru clasa de precizie *precis* şi sînt rectificaţi; tarozii din oţel carbon de scule pot fi nerezificaţi şi se folosesc pentru clasa de precizie *mijlocie*.

Tarozii pentru *piuliţe* se execută sub două forme : tarozi dreپti cu coadă lungă sau scurtă şi tarozi cu coadă curbă.

Tarozii dreپti permit filetarea succesivă a *piuliţelor* care trec treptat spre coada tarodului; cînd acestea acoperă întreaga lungime a cozii, tarodul se scoate din maşină şi se evacuează *piuliţele*. La tarozii cu coadă curbă folosiţi la maşinile de filetat automate, *piuliţele* filetate ies continuu pe coada tarodului, fără a mai fi necesară oprirea maşinii şi scoaterea tarodului.

Partea de atac a tarozilor pentru *piuliţe* reprezintă minimum două treimi din întreaga lungime a părţii utile. La aceşti tarozi se detalonează atît partea de atac cît şi cea de calibrare.

5.1.2. Elemente constructive şi aşchietoare. Tarodul se compune din partea utilă $l_1 + l_2$ şi coada l_3 (fig. 8.47). Partea utilă este formată din partea aşchietoare l_1 (conul de atac) care execută aşchiera propriu-zis şi partea cilindrică de calibrare l_2 care are ca scop calibrarea filetului. Coada tarozilor de mină şi a unora dintre tarozii de maşină are un capăt pătrat l_4 pentru prinderea tarozilor în clupă sau în dispozitivul de rotire.

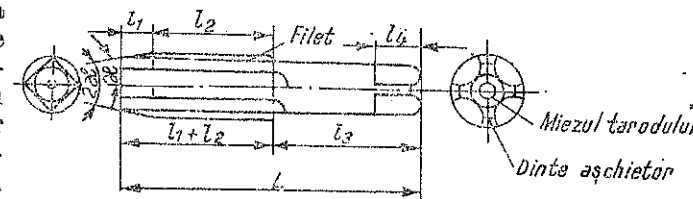


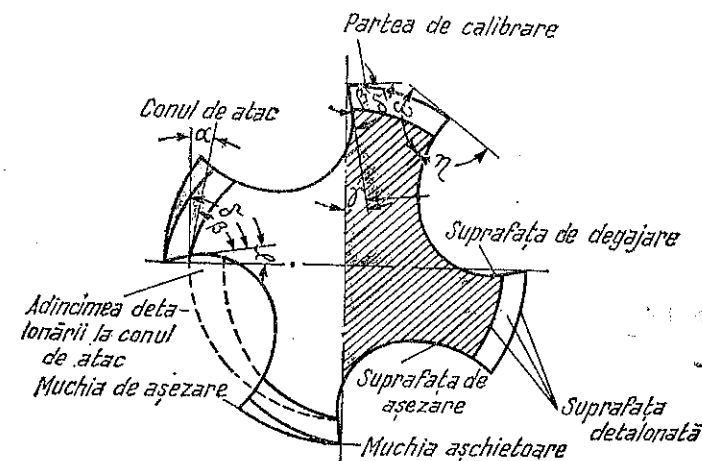
Fig. 8.47.

Celelalte elemente constructive

ale tarodului (fig. 8.48) sînt : unghiul de degajare γ al conului de atac, unghiul de degajare γ' al părţii de calibrare, unghiul de aşezare α al conului de atac, unghiul de înclinare κ al conului de atac (fig. 8.47), unghiul la virful conului de atac 2κ , unghiul de ascuţire principal β , unghiul de tăiere principal δ , unghiul profilului filetului ϵ (unghiul flancurilor).

5.1.3. Date constructive (STAS R 1112/4-75). Lungimea conului de atac l (fig. 8.49, a), se stabileşte astfel :

Fig. 8.48.



— pentru tarozii în seturi de 3 bucăţi, $l = 5p$ pentru tarodul de degroşare, $l = 3,5 p$ pentru tarodul intermediar şi $l = 2p$ pentru tarodul de finisare;

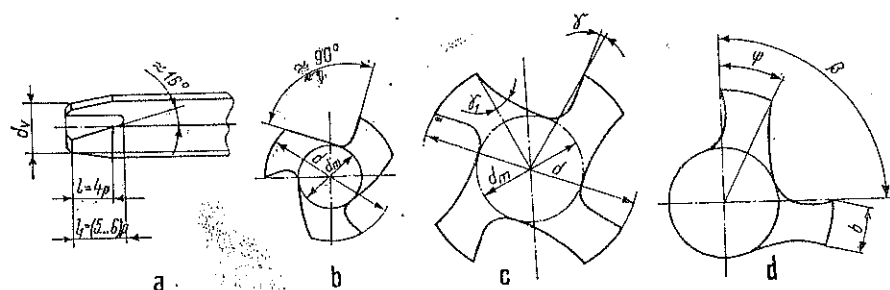


Fig. 8.49.

— pentru tarozii în seturi de 2 bucăți, $l = 6p$ pentru tarodul de degroșare și $l = 2p$ pentru tarodul de finisare;
 — pentru tarozii individuali, $l = 6p$ pentru conul de atac forma A (lung, pentru găuri de trecere), $l = 4p$ pentru forma B (mediu, cu tăis înclinat pentru găuri de trecere, fig. 8.49, b), $l = 2p$ pentru forma C (scurt, pentru găuri infundate), $l = 4p$ pentru forma D (mediu, pentru găuri de trecere și găuri infundate cu ieșire a filetului suficient de mare) și $l = 20p$ pentru forma E (extralung, cum e cazul pentru piulițe). În mod curent, tarozii se execută cu forma C și E ale conului de atac.

Direcția canalelor este următoarea:

— tarozii în seturi au canale drepte;
 — tarozii individuali se pot executa fie cu canale drepte, fie cu canale elicoidale, cu sensul elicei dreapta sau stînga, unghiul de înclinare al elicei fiind 15° , 35° sau 45° .

Forma canalelor este indicată în figura 8.49, b pentru tarozii cu trei canale și în figura 8.49, c pentru tarozii cu patru canale.

Primul caz se alege pentru tarozii cu $d < 5,5$ mm, iar al doilea caz, pentru tarozii cu $d > 5,5$ mm.

Numărul de dinți z se stabilește astfel:

— pentru tarozii cu filet cilindric, cu canale drepte, $z = 3$ pentru diametrul nominal $d = M1 \dots M5,5$, $z = 3 \dots 4$ pentru $d = M6 \dots M30$ și $z = 4 \dots 6$ pentru $d = M33 \dots M100$;

— pentru tarozii cu filet conic, cu canale drepte, $z = 4$ pentru $d = 6 \dots 27$ și $z = 6$ pentru $d = 30 \dots 60$.

Lățimea dintelui b (fig. 8.49, d) este dată de relația $b = d \sin \psi/2$, în care d este diametrul nominal al filetului tarodului [$\psi = (0,3 \dots 0,5)\beta$ și $\beta = 360^\circ/z$], iar z — numărul de dinți.

Diametrul miezului d_m (fig. 8.49, c) este $d_m \approx 4,5 d$ pentru $z = 3$ dinți; $d_m \approx 0,5 d$ pentru $z = 4$ dinți; $d_m \approx (0,55 \dots 0,6) d$ pentru $z = 6$ dinți.

Diametrul minim al conului de atac d_v (fig. 8.49, a) se calculează cu relațiile: $d_v \approx d - 1,2 p$, pentru tarozi cu filet cilindric; $d_v \approx d - 1,45 p$, pentru tarozi cu filet conic.

Unghiul de degajare γ (fig. 8.49, c) se stabilește în funcție de materialul care se prelucurează, astfel: $\gamma = 12 \dots 15^\circ$ la oțel nealiat cu rezistența de rupere la tracțiune R pînă la 400 N/mm^2 ; $\gamma = 8 \dots 12^\circ$ la oțel nealiat cu R pînă la 700 N/mm^2 ; $\gamma = 6 \dots 8^\circ$ la oțel nealiat cu R pînă la 900 N/mm^2 ; $\gamma = 6 \dots 8^\circ$ la oțel aliat cu $R = 700 \dots 900 \text{ N/mm}^2$; $\gamma = 3 \dots 6^\circ$ la oțel aliat cu R peste 900 N/mm^2 ; $\gamma = 8 \dots 10^\circ$ la oțel turnat; $\gamma = 6 \dots 8^\circ$ la fontă maleabilă; $\gamma = 2 \dots 3^\circ$ la fontă cenușie pînă la 180 HB ; $\gamma = 0 \dots 2^\circ$ la fontă cenușie peste 180 HB ; $\gamma = 3 \dots 6^\circ$ la alamă, cu așchii lungi; $\gamma = 0 \dots 3^\circ$ la alamă, cu așchii scurte; $\gamma = 6 \dots 8^\circ$ la bronz; $\gamma = 15 \dots 20^\circ$ la cupru, zinc, electron; $\gamma = 20 \dots 25^\circ$ la aliaje de aluminiu, cu așchii lungi; $\gamma = 12 \dots 15^\circ$ la aliaje de aluminiu, cu așchii scurte; în cazul fabricației curente tarozii se execută cu unghiul de degajare $\gamma = 10^\circ$.

Unghiul de așezare α (fig. 8.48) pe partea de așchiere se realizează prin detalonare numai pe diametrul exterior al tarodului și are următoarele valori: $\alpha = 6 \dots 8^\circ$ pentru tarozi de mînă; $\alpha = 8 \dots 12^\circ$ pentru tarozi de piulițe; $\alpha = 8 \dots 12^\circ$ pentru tarozi de mașină cu profil rectificat; $\alpha = 4 \dots 8^\circ$ pentru tarozi pentru aliaje ușoare.

Adîncimea detalonării K rezultă din relația $K = (\pi \cdot d_i/z) \tan \alpha$, în care d_i este diametrul interior al filetului, iar z — numărul de canale.

Materialele folosite pentru execuția tarozilor sînt următoarele calități de oțel: — oțel carbon pentru scule OSC 12 (STAS 1700-71); — oțel slab aliat pentru scule CS 14 (STAS 3611-66); — oțel bogat aliat pentru scule Rp3 sau Rp5 (STAS 3611-66).

5.1.4. Dimensiuni normalizate. În tabela 8.14 sînt arătate diametrele nominale normalizate ale tarozilor pentru filete metrice, iar în tabela 8.45 tarozii pentru filete pentru țevi.

Tabela 8.44. Diametre nominale normalizate ale tarozilor pentru filete metrice

| Poz | Felul tarodului | STAS | Diametre nominale |
|-----|------------------------------------|-----------|---|
| 1 | Tarozi scurți de mînă și de mașină | 1112-75 | 1; 1,1; 1,2; 1,4; 1,6; 1,8; 2; 2,2; 2,5; 3; 3,5; 4; 5; 5,5; 6; 7; 8; 9; 10; 11; 12; 14; 15; 16; 17; 18; 20; 22; 24; 25; 27; 28; 30; 32; 33; 35; 36; 39; 40; 42; 45; 48; 50; 52; 55; 56; 60; 64; 68; 70; 72; 75; 76; 80; 85; 90; 95; 100 |
| 2 | Tarozi lungi de mașină | 1112/8-75 | 3; 3,5; 4; 4,5; 5; 6; 7; 8; 9; 10; 11; 12; 14; 15; 16; 17; 18; 20; 22; 24 |
| 3 | Tarozi extra-lunghi pentru piulițe | 1112/9-75 | 3; 3,5; 4; 4,5; 5; 6; 7; 8; 10; 12; 14; 16; 18; 20; 22; 24; 27; 30; 33; 36; 39; 42 |

Tabela 8.45. Tarozi de mină şi de maşină pentru filet pentru ŷevi (STAS 1121/11-75)

| Filetul | | | |
|-----------|------------------------|---------------------------|---------|
| Simbol | Diametrul exterior d | Numărul de paşi pe 5,4 mm | Pas p |
| G 1/8 | 9,728 | 28 | 0,907 |
| G 1/4 | 13,157 | 19 | 1,337 |
| G 3/8 | 16,662 | 19 | 1,337 |
| G 1/2 | 20,955 | 14 | 1,814 |
| (G 5/8) | 22,911 | 14 | 1,814 |
| G 3/4 | 26,441 | 14 | 1,814 |
| (G 7/8) | 30,201 | 14 | 1,814 |
| G 1 | 33,249 | 11 | 2,309 |
| (G 1 1/8) | 37,898 | 11 | 2,309 |
| (G 1 1/4) | 41,910 | 11 | 2,309 |
| G 1 1/2 | 47,803 | 11 | 2,309 |
| (G 1 3/4) | 53,746 | 11 | 2,309 |
| G 2 | 59,614 | 11 | 2,309 |

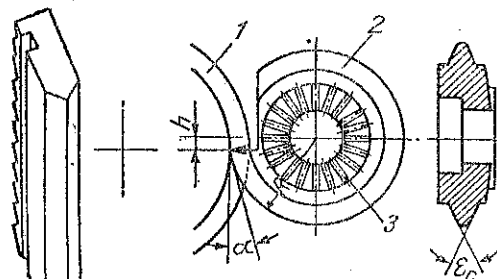


Fig. 8.50. 1 - piesă; 2 - cuţit; 3 - rozetă dinţată.

Fig. 8.51. Cuţit-disc:

cuţitele prismatice se fixează înclinat în suporturi speciale, astfel ca unghiul de aşezare să fie de circa 15° . Unghiul de degajare γ se stabileşte în raport cu felul materialului care se filetează.

Cuţitele-disc (fig. 8.51) se execută cu un dinte cînd se prelucrează gurile dintre flancurile filetului, sau cu doi dinţi cînd se prelucrează plinul filetului; ultima construcţie este mai bună, deoarece îndepărtarea aşchiilor se face în condiţii mai bune.

Unghiul de degajare $\gamma = 0^\circ$ pentru cuţitele de finisare şi are valorile $5-25^\circ$ pentru cuţitele de degroşare.

Unghiul de aşezare α se realizează prin montarea cuţitului-disc cu centrul ridicat cu înălţimea h faţă de centrul piesei care se filetează. Valoarea lui h se deduce din relaţia $h = R \cdot \sin \alpha$.

5.2. CUŢITE PENTRU FILETAT

Cuţitele pentru filetat se folosesc la executarea pe strung a filetelor exterioare sau interioare cu diferite profile (triunghiular, dreptunghiular, trapezoidal etc.).

5.2.1. Clasificare şi descriere.

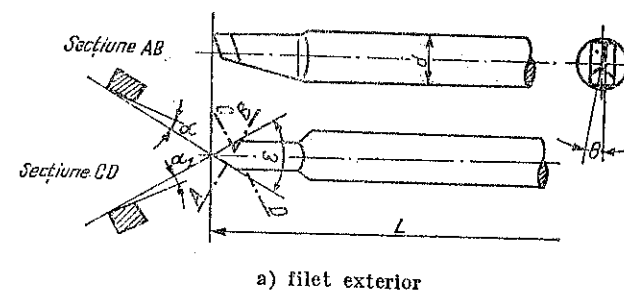
După felul construcţiei, cuţitele pentru filetat se clasifică în cuţite simple şi cuţite multiple.

a. **Cuţitele simple** se numesc astfel deoarece au un singur dinte, cu profil identic cu acela al filetului pe care trebuie să-l taie. Dintre cuţitele simple se folosesc în mod curent cuţitele normale, cuţitele prismatice şi cuţitele-disc.

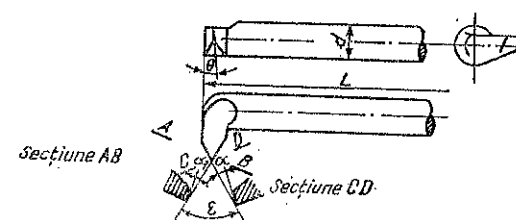
Cuţitele normale se execută cu secţiune pătrată, dreptunghiulară sau rotundă. Formele şi dimensiunile pentru unele dintre aceste cuţite sînt indicate în tabela 8.46.

Cuţitele prismatice (fig. 8.50) prezintă avantajul realizării unei economii importante de oţel de scule. Ele sînt cuţite profilate care se ascut numai pe faţa de degajare. În timpul lucrului,

Tabela 8.46. Cuţite pentru filet triunghiular



a) filet exterior



b) filet interior pe dreapta

| Dimensiunile cuţitului, mm | d | 12 | 16 | 20 |
|----------------------------|-----|-----|-----|-----|
| | L | 250 | 250 | 300 |

Pentru filet în ŷoli (Whitworth) $\epsilon = 55^\circ$
 Pentru filet metric $\epsilon = 60^\circ$
 Pentru filet cu un singur început $\alpha = 10^\circ$ şi $\alpha = 5^\circ$
 Pentru filet cu mai multe începuturi $\alpha = 8^\circ + 0,9\theta$ şi $\alpha_1 = 8^\circ - 0,9\theta$

Unghiul θ se stabileşte în funcţie de diametrul şi tipul filetului (în ŷoli, metric etc.). În raport cu tăişul cuţitului, unghiul θ pentru filet stînga este aşezat simetric faţă de unghiul θ pentru filet dreapta.

De obicei, unghiul α variază între 10 şi 12° .

Unghiul corectat ϵ , al profilului filetului (din cauza supraînălţării cuţitului) se obţine din relaţia $\tan \epsilon/2 = p/2t_c$, în care p este pasul filetului, mm, iar t_c — înălţimea profilului pe cuţit, mm.

Blocarea cuţitului în suport se face cu ajutorul rozetei dinţate care se execută pe una sau pe ambele feţe laterale ale cuţitului.

b. **Cuţitele multiple** sînt scule pentru filetat realizate prin reunirea mai multor cuţite simple într-o singură sculă, numită pieptene.

După forma construcției pieptenii pentru filetat pot fi: piepteni normali, piepteni prismatici sau piepteni-disc.

Pieptenii normali au o construcție asemănătoare cuțitelor de strung și se folosesc atât pentru execuția filetului exterior cât și a filetului interior (tabela 8.47).

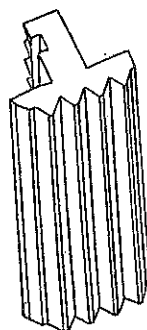


Fig. 8.52.

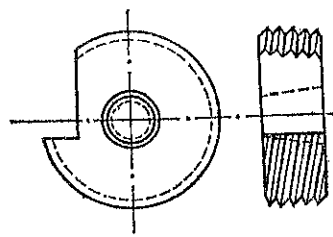


Fig. 8.53.

Pieptenii prismatici (fig. 8.52), ca și cei normali, au circa $1\frac{1}{2}$ filete pentru partea de aşchiere, continuată cu alte 4—6 filete pentru partea de calibrare. Partea de aşchiere este teșită (unghiul de atac principal), spre deosebire de partea de calibrare, care este paralelă cu axa piesei care se strunjește. Fixarea acestor cuțite în poziția de lucru se face cu ajutorul unor suporturi speciale.

Pieptenii-disc sînt cei mai mult folosiți, deoarece se construiesc ușor. Ei se execută cu dinți inelari sau în elice (fig. 8.53), ultimii fiind utilizați în special la filetele cu unghiul de înclinare mare. Pentru filete interioare, elicea filetului pieptenului trebuie să aibă același sens cu cel al filetului piesei, iar pentru filete exterioare are sensul contrar. Pentru filete exterioare, diametrul pieptenului-disc poate fi egal sau mai mic decât diametrul piesei; dacă pieptenele folosit are un diametru mai mare, pentru menținerea unghiului de înclinare este necesar ca pieptenele să aibă un anumit număr de începuturi n , care să satisfacă relația $n = D_m / d_m$, în care D_m este diametrul mediu al filetului pieptenului, iar d_m — diametrul mediu al piesei care se filetează.

Pentru realizarea unui profil corect al filetului piesei se impune executarea filetului pieptenului-disc după un profil corectat, care se obține prin calcul.

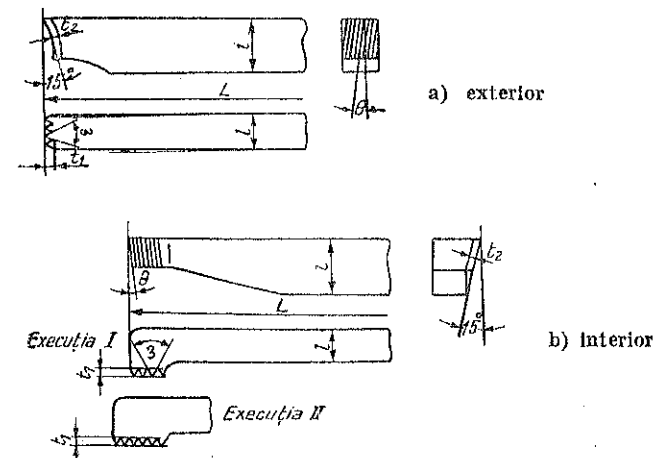
5.2.2. Forme și dimensiuni ale cuțitelor pentru filetat. În țara noastră, cuțitele pentru filetat nu sînt încă standardizate.

În tabelele 8.46—8.49 sînt indicate formele și dimensiunile citorva cuțite pentru filetat, folosite în mod curent la executarea filetelor cu profil triunghiular, trapezoidal și dreptunghiular.

5.3. FILIERE

Filierele sînt scule pentru filetarea exterioară a pieselor cilindrice. Ele se compun de obicei din una sau mai multe fălci montate pe un suport (de exemplu: mîner portfilieră, cap de filetat).

Tabela 8.47. Cuțite pieptene pentru filet triunghiular



| | | | |
|----------------------------|-----|-----|-----|
| Dimensiunile cuțitului, mm | l | 10 | 16 |
| | t | 16 | 16 |
| | L | 200 | 250 |

Pentru filet în țoli (Whitworth) $\epsilon = 55^\circ$.

Pentru filet metric $\epsilon = 60^\circ$.

La scula cu care se filetează cuțitul pieptene, se ia:

pentru filet în țoli (Whitworth) $\epsilon = 56^\circ 40'$.

pentru filet metric $\epsilon = 61^\circ 40'$.

$$t_2 = t_1 \cos 15^\circ = 0,966 h_1.$$

Unghiul θ se stabilește în funcție de diametrul și tipul filetului în (țoli, metric etc.).

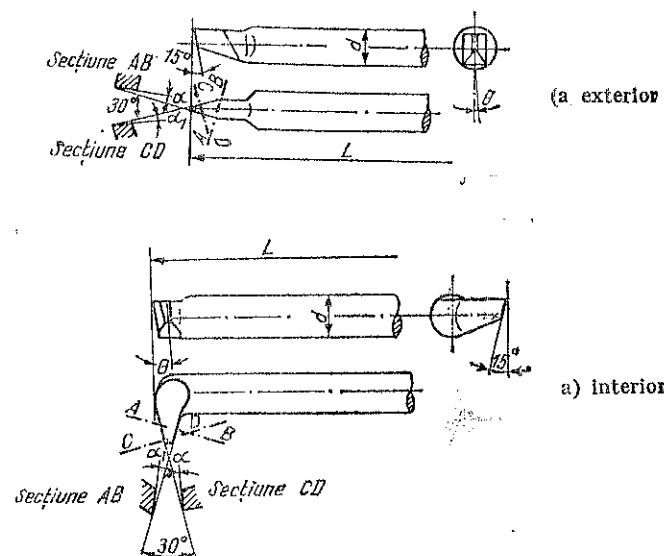
Dimensiunea t_1 corespunde filetului care se taie.

În raport cu tăișul cuțitului, unghiul θ pentru filet stînga este simetric cu unghiul θ pentru filet dreapta.

5.3.1. Clasificare și descriere. După forma fălcilor se deosebesc: — filieră cu falcă rotundă; — filieră cu fălci prismatice; — filieră cu piepteni (cap de filetat).

Filiera cu falcă rotundă, numită și filieră rotundă, este constituită dintr-un disc de oțel cu o gaură centrală filetată, la periferia căreia sînt prevăzute găuri pentru evacuarea așchiilor. Filiera rotundă reglabilă sau fixă (fig. 8.54) se fixează într-un mîner portfilieră (fig. 8.55), sau

Tabela 8.48. Cuţite pentru filet trapezoidal



| Dimensiunile cuţitului mm | d | 12 | 16 | 20 |
|---------------------------|---|-----|-----|-----|
| | l | 250 | 250 | 300 |

La filete cu un singur început $\alpha = 8^\circ$ şi $\alpha_1 = 2^\circ$.

La filete cu mai multe începuturi . . . $\alpha = 5^\circ + 0,96 \theta$ şi $\alpha_1 = 5^\circ - 0,96 \theta$.

Unghiul θ se stabileşte în funcţie de diametrul şi tipul filetelui (în țoli, metric etc.).

În raport cu tăişul cuţitului, unghiul θ pentru filet stînga este simetric cu unghiul θ pentru filet dreapta.

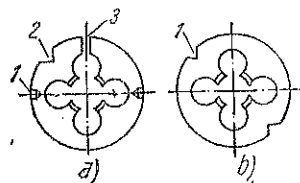


Fig. 8.54. Filieră rotundă:
a - reglabilă; b - fixă; 1 - locaşul şurubului de fixare a fălcii; 2 - locaşul şurubului de strîngere a fălcii pentru reglare; 3 - locaşul şurubului de lărgire a fălcii pentru reglare

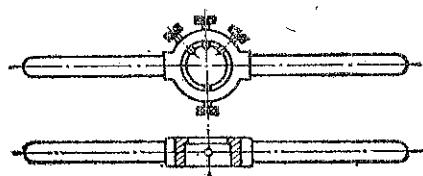
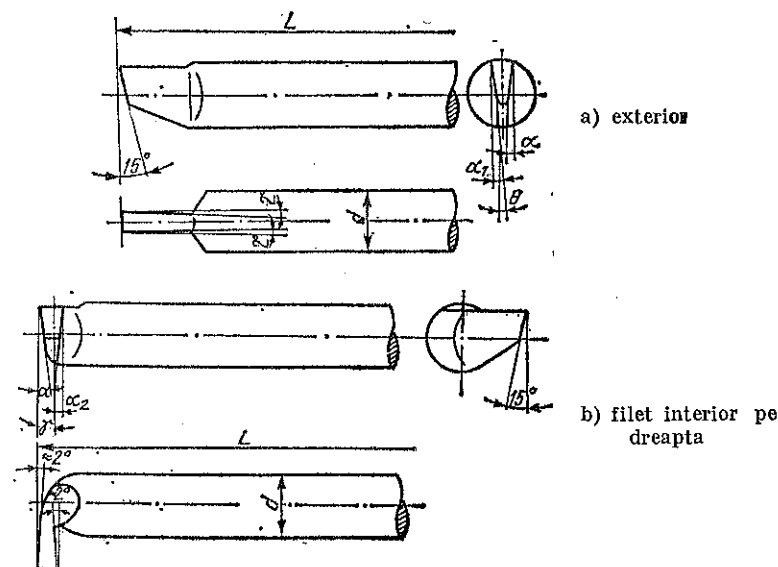


Fig. 8.55.

Tabela 8.49. Cuţite pentru filet dreptunghiular



| Dimensiunile cuţitului mm | d | 12 | 16 | 20 |
|---------------------------|---|-----|-----|-----|
| | L | 250 | 250 | 300 |

La filete cu un singur început $\alpha = 8^\circ$ şi $\alpha_1 = 2^\circ$.

La filete cu mai multe începuturi . . . $\alpha = 5^\circ + \theta$ şi $\alpha_1 = 5^\circ - \theta$.

Unghiul θ se stabileşte în funcţie de diametrul şi tipul filetelui (în țoli, metric, etc.).

În raport cu tăişul cuţitului, unghiul θ pentru filet stînga este simetric cu unghiul θ pentru filet dreapta.

Într-o portfilieră (fig. 8.56) care se prinde la maşina care execută operaţia de filetare (de exemplu, strung normal, strungrevolver).

Filiera cu fălci prismatice este construită cu două fălci deplasabile care se montează într-un miner portelupă cu ghidaje prismatice (fig. 8.57).

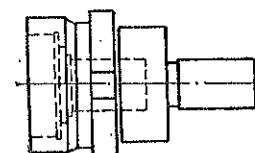


Fig. 8.56.

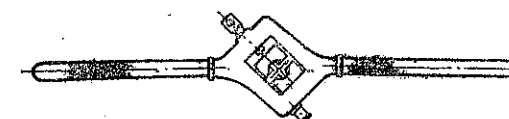


Fig. 8.57.

Pe măsura tăierii filetului, fălcile sînt apropiate cu ajutorul unui şurub de presiune.

Capul de filetat (filiera cu piepteni) este un aparat prevăzut cu patru piepteni de filetat dispuşi radial, pentru filetarea exterioară la strunguri universale, strunguri revolver sau automate. El se poate construi cu depărtarea automată a pieptenilor la terminarea operaţiei de filetare (fig. 8.58). Există şi capete de filetat cu piepteni-disc, precum şi capete de filetat cu piepteni aşezaţi tangenţial faţă de filetul tăiat.

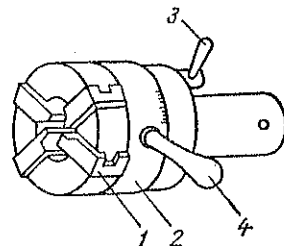


Fig. 8.58. Cap de filetat: 1 - pieptene; 2 - cap de filetat; 3 - pîrghie de reglare; 4 - minier. pentru depărtarea pieptenilor.

şi diametrul, pasul, unghiul flancurilor şi înălţimea filetului corespunzătoare filetului care se execută.

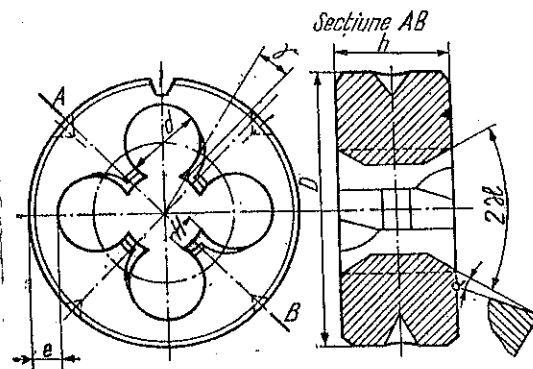


Fig. 8.59.

Grosimea e dintre fundul găurilor de evacuare a aşchiilor şi marginea filierei se ia:

(0,15–0,12) D pentru filiere cu 3–5 găuri;
(0,10–0,09) pentru filiere cu 6–8 găuri.

Lăţimea dintelui H este indicată în standard pentru fiecare diametru nominal de filet.

5.3.2. Elemente şi date constructive pentru filiere rotunde (fig. 8.59). Elementele constructive şi parametrii geometrice principali pentru filierele rotunde sînt: diametrul nominal (diametrul exterior al filetului) D , lăţimea filierei h , lăţimea dinţilor H , diametrul găurilor pentru evacuarea aşchiilor d , numărul găurilor pentru evacuarea aşchiilor z , unghiul de degajare γ , unghiul de aşezare α , unghiul de atac 2κ , precum

Forma şi dimensiunile filierelor rotunde sînt standardizate prin STAS 1160-75.

Unghiul de degajare are următoarele valori:

10–12° pentru materiale dure;
15–20° pentru materiale cu duritate medie;
20–25° pentru materiale moi.

Unghiul de aşezare α se ia în general de 7–9°.

Unghiul de atac 2κ are valori cuprinse între 40° şi 60°; pentru materiale dure se poate lua $2\kappa = 30^\circ$.

Numărul de dinţi z este egal cu numărul găurilor de evacuare a aşchiilor. Numărul acestor găuri, în funcţie de diametrul nominal al filetului, este indicat în tabela 8.50.

Diametrul exterior D al filierei şi lăţimea h pentru diferite diametre nominale ale filetului sînt indicate în tabela 8.51.

Materialele folosite la confecţionarea filierelor rotunde sînt următoarele: oţel de scule MCW 14 sau C 15 STAS 3611-66 pentru filierele cu filet neregulat şi oţel rapid Rp4 sau Rp3 STAS 3611-66 pentru filierele cu filet rectificat sau lepuţ.

Dimensiuni normalizate. În tabela 8.52 sînt arătate diametrele nominale normalizate pentru filierele rotunde, conform STAS 1160-74

Tabela 8.50. Numărul de găuri pentru evacuarea aşchiilor

| Diametrul nominal al filetului, mm | 1,0–5,0 | 5,5–16 | 18–27 | 30–33 | 36–48 | 52 |
|------------------------------------|---------|--------|-------|-------|-------|----|
| Numărul de găuri | 3 | 4 | 5 | 6 | 7 | 8 |

Tabela 8.51. Dimensiunile D şi h ale filierelor rotunde

| Diametrul nominal al filetului mm | Dimensiunile filierei mm | | Diametrul nominal al filetului mm | Dimensiunile filierei mm | |
|-----------------------------------|--------------------------|-----|-----------------------------------|--------------------------|-----|
| | D | h | | D | h |
| 1,0–2,6 | 16 | 5 | 16–20 | 45 | 18 |
| 3,0–4,0 | 20 | 5 | 22–24 | 55 | 22 |
| 4,5–6,0 | 20 | 7 | 27–36 | 65 | 25 |
| 7,0–9,0 | 25 | 9 | 39–42 | 75 | 30 |
| 10,0–11,0 | 30 | 11 | 45–52 | 90 | 36 |
| 12,0–14,0 | 38 | 14 | | | |

Tabela 8.52. Diametrele nominale normalizate pentru filierele rotunde

| Tipul filierei | Diametre nominale |
|---|--|
| Filiere pentru filet metric (STAS 1160–74) | 2; (2,2); 2,5; 3; (3,5); 4; (4,5); 5; (5,5); 6; (7); 8; (9); 10; (11); 12; (14); (15); 16; (17); (18); 20; (22); 24; (25); (26); (27); (28); 30; (32); (33); (35); 36; (38); (39); (40); 42; (45); 48; (50); (52) mm |
| Filiere pentru filetul în inci pentru ţevi (STAS 1160–74) | (1/8); 1/4; 3/8; 1/2; (5/8); 3/4; (7/8); 1; (1 1/8); 1 1/4; (1 3/8); 1 1/2 in |
| Filiere pentru filet Withworth | 3/16; 1/4; 5/16; 3/8; (7/16); 1/2; (9/16); 5/8; 3/4; 7/8; 1; 1 1/8; 1 1/4; (1 3/8); 1 1/2; (1 5/8); 1 3/4; (1 7/8); 2 in |

6. FREZE

Frezele sînt scule cu unul sau cu mai multe tăişuri dispuse simetric în jurul lor şi care printr-o mişcare de rotaţie efectuează aşchiera.

6.1. CLASIFICARE ŞI DESCRIERE

Frezele se clasifică, după diferite criterii, în următoarele tipuri:

După modul de executare a dinţilor:

- freze cu dinţi frezaţi; — freze cu dinţi detalonaţi.

După felul de aşezare a dinţilor pe suprafaţa frezei:

- freze cilindrice; — freze unghiulare;
- freze cilindro-frontale; — freze profilate.
- freze-disc;

După numărul dinţilor:

- freze cu dinţi rari; — freze cu dinţi deşi.

După sensul de tăiere:

- freze pentru tăierea pe dreapta; — freze pentru tăierea pe stînga.

După modul de fixare a frezei:

- freze de gaură; — freze cu coadă.

După felul suprafeţei prelucrate:

- freze de alezor; — freze de filet;
- freze de burghiu; — freze de canale.

Freza cu dinţi frezaţi (fig. 8.60) se foloseşte de obicei la prelucrarea suprafeţelor plane care nu necesită o precizie înaltă dimensională. Dinţii acestor freze sînt prelucraţi prin frezare cu ajutorul unor freze

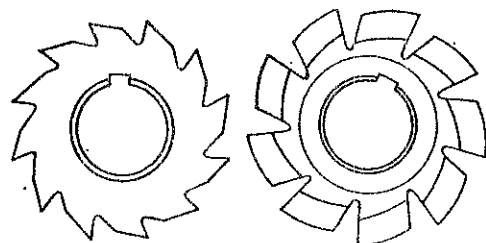


Fig. 8.60.

Fig. 8.61.

6.1.1. Freze cilindrice. (v. tabela 8.53, poz. 1—2). Majoritatea acestor freze au formele şi dimensiunile standardizate. Din această categorie se menţionează:

Freza cilindrică elicoidală. Dinţii sînt frezaţi şi dispuşi pe suprafaţa laterală a unui cilindru cu lăţimea mai mare decît diametrul. Dinţii sînt tăiaţi în elice, cu un unghi de înclinare de 20° pentru frezele de tip I (cu 12 pînă la 18 dinţi), 30° pentru frezele de tip II (cu 8—10 dinţi) şi 45° pentru frezele de tip III (cu 5—7 dinţi). Frezele de tip I se folosesc

speciale. Frezele cu dinţi frezaţi pot fi: frontale, cilindrice, cilindro-frontale, disc, unghiulare etc.

Freza cu dinţi detalonaţi (fig. 8.61) se recomandă pentru prelucrarea suprafeţelor profilate. După ascuţire, profilul acestei freze, se menţine aproximativ acelaşi. Detalonarea dinţilor se execută de obicei la strunguri de detalonat.

la lucrări de finisare; frezele tip II se utilizează la lucrări de eboşare, iar cele de tip III la lucrări de eboşare a metalelor cu duritate medie şi mică. Se foloseşte de obicei la prelucrarea suprafeţelor plane la maşini de frezat orizontale.

Freza cilindrică cuplată se construieşte de obicei cu dinţi în elice şi cu nuturi pe una dintre suprafeţele frontale pentru a se putea face cuplarea a două freze. Ea se foloseşte la frezarea suprafeţelor mari de oţel şi fontă, cu avansuri mari, fără trepidaţii şi presiune axială, la maşinile de frezat orizontale.

Pentru a se putea cupla un număr mai mare de freze, acestea se prevăd cu nuturi de cuplare pe ambele feţe frontale.

Freza cilindrică cu dinţi rari se execută cu dinţi elicoidali cu un unghi de înclinare de $40-60^\circ$ şi un unghi de degajare de $5-15^\circ$, în funcţie de caracteristicile materialului de prelucrat. Ea se foloseşte în mod obişnuit la frezarea metalelor uşoare, cu productivitate mare, pe maşinile de frezat orizontale.

6.1.2. Freze cilindro-frontale (v. tabela 8.53, poz. 3—8). *Freza cilindro-frontală elicoidală* are forma cilindrică şi este prevăzută cu dinţi elicoidali atît pe suprafaţa laterală cît şi pe una dintre suprafeţele frontale. Ea se foloseşte la frezarea cu adîncime de aşchiere mică sau mijlocie, precum şi la frezarea de finisare a diferitelor materiale pe maşinile de frezat verticale.

Freza cilindro-frontală cu dinţi rari se execută în general cu dinţi elicoidali pe dreapta, cu unghi de înclinare mic şi unghi de degajare mic. Ea se utilizează de obicei la operaţii de frezare cu adîncime de aşchiere mijlocie sau mare, pentru degroşarea cu mare randament a pieselor de oţel şi fontă, la maşinile de frezat verticale.

Freza cilindro-frontală cu coadă cilindrică este numită şi freză-deget şi se utilizează pentru frezarea suprafeţelor verticale şi orizontale care formează unghiuri drepte între ele, precum şi pentru canale cu racordări. În mod obişnuit, ea se execută cu dinţi elicoidali pe dreapta, cu aşchiere pe dreapta.

Freza cilindro-frontală cu coadă conică se utilizează pentru aceleaşi lucrări ca şi freza-deget. Gaura filetată din coadă serveşte la fixarea frezei în arborele principal cu ajutorul unui şurub lung care străbate arborele principal al maşinii de frezat.

Freza cu coadă cilindrică pentru canelat se execută de obicei cu doi dinţi elicoidali pe dreapta. Unghiul de înclinare al elicei este de $10-12^\circ$. Ea se utilizează la frezarea canalelor precise.

Freza cu coadă conică pentru canelat are aceeaşi utilizare şi construcţie cu freza cilindrică pentru canelat, cu deosebirea conicităţii cozii.

Freza cu coadă conică, pentru canale T se execută în general cu dinţi elicoidali în zig-zag, cu aşchiere pe dreapta şi cu o înclinare a elicei de

10°. Coada este prevăzută cu un gît subţire, astfel ca freza să poată pătrunde în canalul frezat iniţial şi care se prelucurează în formă de T.

6.1.3. Freze-dise (v. tabela 8.53, poz. 9—14). *Freze-dise pentru canale de pană.* Freza are corpul în formă de disc circular, avînd la periferie, de obicei, dinţi mărunţi cu unghi de degajare mic. Lăţimea frezei se micşorează spre centru pentru eliminarea frecărilor în timpul lucrului. Se utilizează la frezarea canalelor precise şi a locaşurilor de pană.

Freza-dise detalonată se foloseşte la frezarea canalelor precise şi a locaşurilor de pană. Freza se execută cu dinţii detalonaţi şi cu mici faţete laterale rectificat, pentru asigurarea unei lăţimi constante, pînă la uzarea definitivă a frezei.

Freza-dise cu trei tăişuri se execută de obicei cu dinţi mărunţi avînd un unghi de degajare mic şi o mică înclinare a tăişurilor laterale, pentru eliminarea frecărilor în timpul aşchierii. Cu aceste freze se pot prelucra canale mai puţin precise sau capete pătrate.

Freza-dise cu trei tăişuri cu dinţi în zig-zag se execută cu dinţi mari în zig-zag şi se utilizează la frezarea cu adîncime de aşchiere mijlocie sau mare a fontei şi oţelului cu duritate foarte mare.

Freza-dise cu trei tăişuri cu dinţi demontabili în zig-zag se execută cu dinţi demontabili din oţel pentru scule bogat aliat sau cu plăcuţe din carburi metalice. Ea se utilizează la frezarea canalelor şi a locaşurilor de pană.

Freza ferăstrău este o freză-dise cu lăţimea pînă la 5 mm, prevăzută cu dinţi care pot avea dimensiuni şi înclinări diferite. Pentru a nu se bloca în materialul pe care-l aşchiază, freza este mai groasă la periferie şi mai subţire spre centru. Ea se foloseşte la retezarea materialelor sau la frezarea canalelor înguste. Frezele ferăstrău se execută în două tipuri:

— tip I, cu dinţi deşi, pentru prelucrarea materialelor cu duritate mare şi medie;

— tip II, cu dinţi rari, pentru prelucrarea materialelor cu duritate mică.

Freza pentru crestă se execută cu număr diferit de dinţi şi cu conicităţi mici în părţile laterale, pentru eliminarea frecărilor în timpul lucrului. Ea se foloseşte la frezarea canalelor mici şi a creştăturilor de la capetele şuruburilor. Se execută în două tipuri:

— tip I, cu dinţi deşi, pentru prelucrarea materialelor cu duritate mare şi medie;

— tip II, cu dinţi rari, pentru crestarea materialelor cu duritate mică.

6.1.4. Freze unghiulare (v. tabela 8.53, poz. 15—17). *Freza unghiulară conică* se foloseşte pentru frezarea canalelor drepte ale frezelor, alezoarelor, teşitoarelor etc. şi la alte lucrări similare.

Freza unghiulară pentru canelarea frezelor detalonate cu dinţi drepti se execută de obicei cu dinţi mărunţi, frezaţi, cu aşchiere spre dreapta.

Freza unghiulară bioconică se execută, în general, cu aşchiere spre dreapta şi are aceleaşi utilizări ca şi freza unghiulară conică. Această freză este asimetrică.

6.1.5. Freze profilate (v. tabela 8.53, poz. 18—21). *Freza semiro-tundă convexă* se foloseşte la frezarea canalelor raionate sau de ghidare; ea are în acest scop dinţi detalonaţi în formă de semicerc.

Freza semiro-tundă concavă are dinţii detalonaţi în formă de semicerc şi se foloseşte la frezarea suprafeţelor convexe sau a racordărilor

Freza semiconcavă se execută cu dinţi detalonaţi şi se utilizează la frezarea suprafeţelor semiconvexe sau a racordărilor.

Freza-melc pentru arbori canelaţi se foloseşte la frezarea prin rostogolire a arborilor cu mai multe canale. De obicei, ea se execută cu degajări prevăzute cu adaos în vederea rectificării.

6.1.6. Freze profilate modul (v. tabela 8.53, poz. 22—23). *Freza-disc modul* se execută în serii cuprinzînd opt freze pentru modulele 1—8 şi 15 freze pentru modulele 9—10. Profilul dinţilor acestor freze corespunde numărului de dinţi şi modulului roţilor dinţate ce se prelucurează. În mod normal, unghiul de angrenare al acestor roţi este de 20°. Se pot tăia dinţi la roţi dinţate cu un număr mai mare decît 12 dinţi. Această freză se foloseşte pentru tăierea dinţilor la roţi dinţate pe maşinile de frezat universale.

Freza-melc modul se utilizează pentru tăierea dinţilor pe maşinile de frezat roţi dinţate. Ea se construieşte pentru seria de module de la 1 pînă la 20 şi, de obicei, pentru un unghi de angrenare de 20°.

6.1.7. Freză profilată pentru filetat (v. tabela 8.53, poz. 24). *Freza cu alezaj pentru tăiat filet metric* se execută cu profilul filetului rectificat în trei variante: cu degajarea uneia dintre părţile frontale (tipul C) cu degajări frontale în ambele părţi (tipul B) şi fără degajări frontale (tipul A). Ea se foloseşte la tăierea filetului pe maşinile de frezat.

6.2. ELEMENTE GEOMETRICE ŞI AŞCHETOARE

6.2.1. Elemente geometrice (fig. 8.62 şi 8.63). *Dintele* este elementul activ (aşchietor) al frezei, prevăzut cu tăişuri. Dintele poate fi drept (paralel cu axa frezei), înclinat faţă de axa frezei sau elicoidal. El mai poate fi: frezat, detalonat, demontabil sau lipit.

Canalul este golul dintre doi dinţi alăturaţi, care formează spaţiul necesar depunerii şi evacuării aşchiilor în procesul de aşchiere.

Tabela 8.53. Dimensiuni normalizate pentru freze

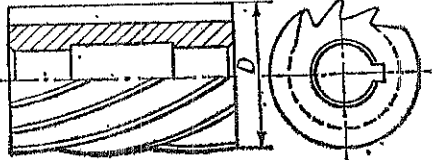
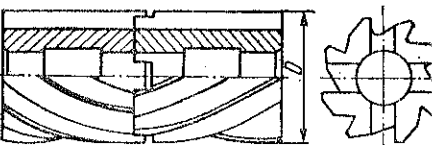
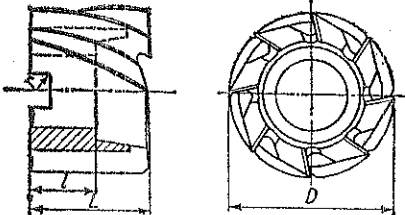

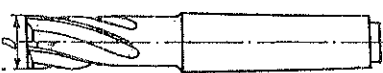


| Denumirea frezei | Poz. | Schița | Dimensiuni normalizate | |
|--|------|---|------------------------|--|
| | | | Simbol | Valori, mm |
| Cilindrică elicoidală (STAS 578-76) | 1 |  | D | 50; 63; 80; 100 |
| Cilindrică cuplată (STAS 4460-76) | 2 |  | D | 63; 80; 100 |
| Cilindro-frontală elicoidală (STAS 579-76) | 3 |  | D | 40; 50; 63; 80; 100; 125; 160 |
| Cilindro-frontală cu coadă cilindrică (STAS 1684/1-75) | 4 |  | D | 2; 2,5; 3; 4; 5; 6; 8; 10; 12; 16; 20 |
| Cilindro-frontală cu coadă conică (STAS 1683/1-75) | 5 |  | D | 6; 7; 8; 9; 10; 11; 12; 14; 16; 18; 20; 22; 25; 28; 32; 36; 40; 45; 50; 56; 63 |
| Cu coadă cilindrică pentru canelat (STAS 1680-75) | 6 |  | D | 2; 3; 4; 5; 6; 7; 8; 10; 12; 14; 16; 18; 20 |
| Cu coadă conică pentru canelat (STAS 8161-75) | 7 |  | D | 6; 7; 8; 10; 12; 14; 16; 18; 20; 22; 25; 28; 32; 36; 40; 45; 55; 56; 63 |

Tabela 8.53 (continuare)

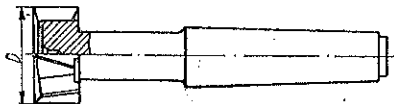
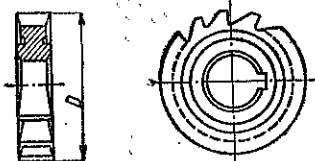
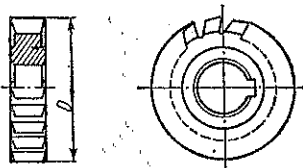
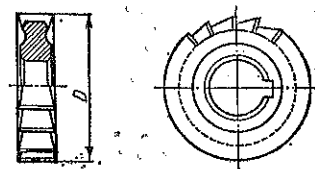
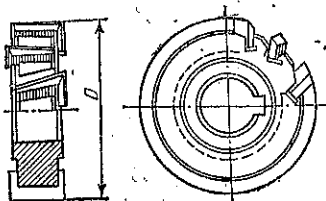
| Denumirea frezei | Poz. | Schița | Dimensiuni normalizate | |
|--|------|---|------------------------|-------------------------------------|
| | | | Simbol | Valori, mm |
| Cu coadă conică pentru canale T (STAS 1682-74) | 8 |  | D | 5; 6; 8; 10; 12; 14; 18; 22; 28; 36 |
| Disc pentru canale de pană (STAS 580-75) | 9 |  | D | 50; 63; 80; 100; 125; 160; 200 |
| Disc detalonat pentru canale (STAS 2214-76) | 10 |  | D | 50; 60; 80; 100; 125; 160; 200 |
| Disc cu trei tășuri (STAS 2215/1-74) | 11 |  | D | 50; 63; 80; 100; 125; 160; 200 |
| Disc cu trei tășuri cu dinți demonstabili în zigzag (STAS 4083-66) | 12 |  | D | 75; 90; 110; 130; 150; 175; 200 |

Tabela 8.53 (continuare)

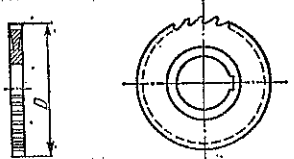
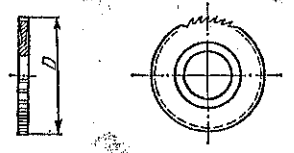
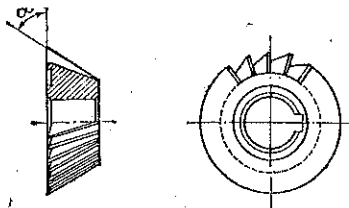
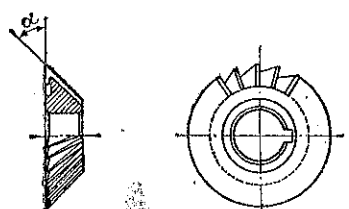
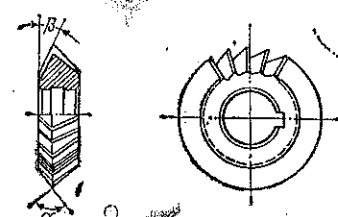
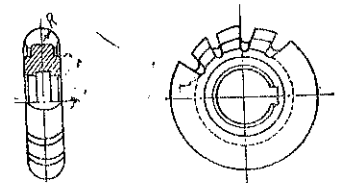
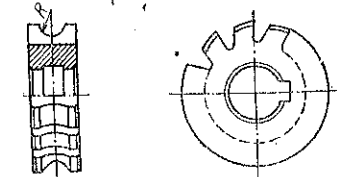
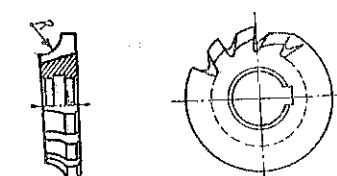
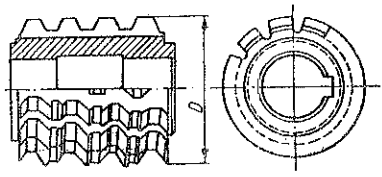
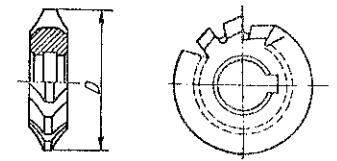
| Denumirea frezei | Poz. | Schița | Dimensiuni normalizate | |
|---|------|---|----------------------------------|--|
| | | | Simbol | Valori, mm |
| Ferăstrău cu dinți rari (STAS 1159-74) | 13 |  | D | 32; 32; 40; 50; 80; 100; 125; 160; 200; 250; 315 |
| Freze ferăstrău cu dinți fini pentru crestă (STAS 1159-74) | 14 |  | D | 20; 25; 32; 40; 50; 63; 80; 100; 125; 160; 200; 250; 315 |
| Unghiulară conică (STAS 3541-73) | 15 |  | α° | 45; 50; 55; 60; 65; 70; 75; 80; 85; 90 |
| Unghiulară pentru canelarea frezelor detalonate cu dinți dreapți (STAS 3543-67) | 16 |  | α° α° | 18; 22; 30 55; 60; 70; 75; 80; 90; 100 |
| Unghiulară biconică asimetrică (STAS 3542-67) | 17 |  | β° | 15; 20; 25 |

Tabela 8.53 (continuare)

| Denumirea frezei | Poz. | Schița | Dimensiuni normalizate | |
|--|------|---|------------------------|---|
| | | | Simbol | Valori, mm |
| Semirotundă convexă (STAS 3546-67) | 18 |  | R | 1,5; 2; 2,5; 3; 4; 5; 6; 7; 8; 9; 10; 12; 14; 16; 18; 20 |
| Semirotundă concavă (STAS 3540-67) | 19 |  | R | 1,5; 2; 2,5; 3; 4; 5; 6; 7; 8; 9; 10; 12; 14; 16; 18; 20 |
| Semiconcavă (STAS 3545-67) | 20 |  | R | 1,5; 2; 2,5; 3; 4; 5; 6; 8; 10; 12; 16; 18; 20 |
| Melc pentru arbori canelați (STAS 3091-65) | 21 |  | D | seria ușoară 60...130 seria mijlocie 45...130 seria grea 50...90 |
| Disc modul (STAS 2763-67) | 22 |  | D | 1; 1,125; 1,25; 1,375; 1,5; 1,75; 2; 2,25; 2,5; 2,75; 3; 3,25; 3,5; 3,75; 4; 4,25; 4,5; 5; 5,5; 6; 6,5; 7; 8; 9; 10; 11; 12; 14; 16; 18; 20 |

Tabel 8.53 (continuare)

| Denumirea fezei | Poz. | Schită | Dimensiuni normalizate | |
|---|------|--------|------------------------|--|
| | | | Simbol | Valori, mm |
| Mele inodul (STAS 3092-67) | 23 | | m | 1; 1,25; (1,125); (1,375); 1,5; (1,75); 2; (2,25); (2,5); (2,75); 3; (3,25) |
| Pentru tăiat filet metric (STAS 3379-67) | 24 | | D | 45; 55; 65; 75; 85 |

Fundul canalului este suprafaţa dintre fundul canalului de evacuare a aşchiilor care racordează spatele unui dinte cu faţa de degajare a dintelui următor.

Unghiul canalului, S , este unghiul format de faţa de degajare a unui dinte şi porţiunea spatelui dintelui învecinat.

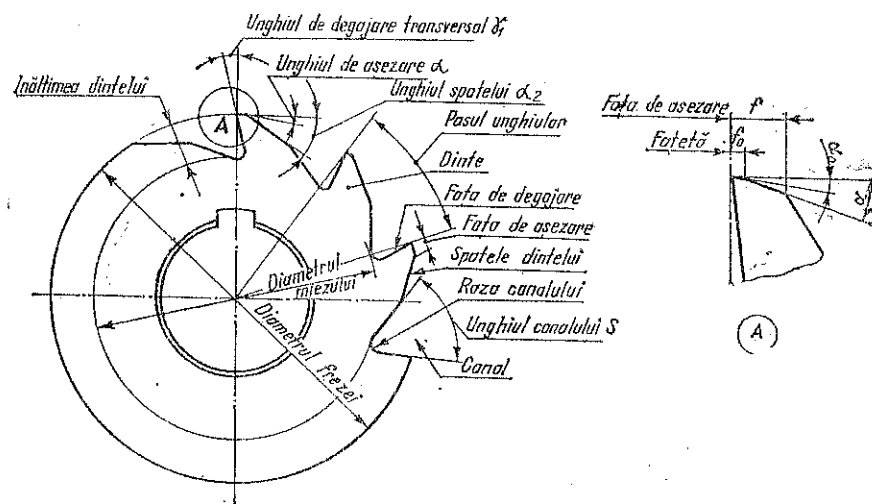


Fig. 8.62.

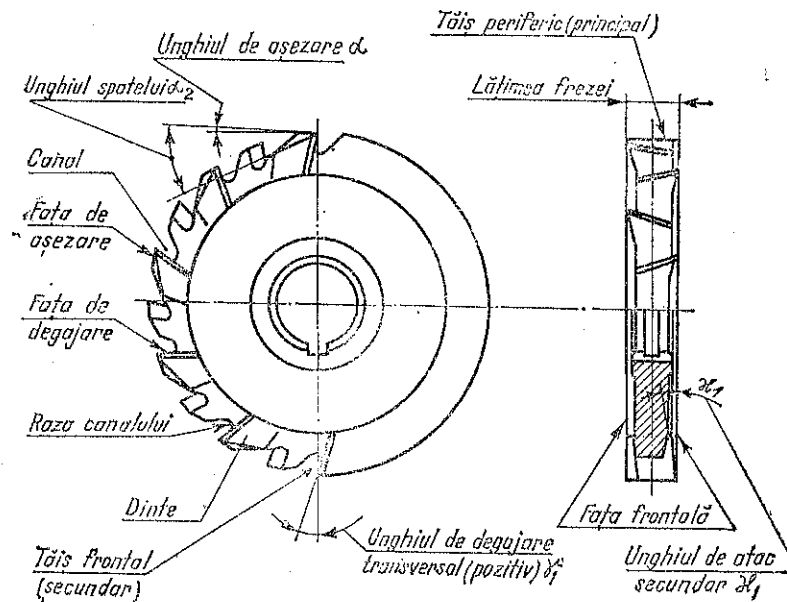


Fig. 8.63.

Faţeta este porţiunea foarte îngustă a feţei de aşezare sau a feţei de degajare în imediata apropiere a tăişului, avînd un alt unghi şi o rugozitate mai fină decît faţa respectivă, prevăzută în scopul măririi durabilităţii tăişului. În cazul dinţilor periferici, faţeta poate fi o porţiune de suprafaţă cilindrică (de exemplu la frezele cilindrice) sau conică (de exemplu la frezele unghiulare). În cazul frezelor cu dinţi elicoidali, lăţimea faţetei se măsoară într-un plan perpendicular pe tăiş.

Faţa de degajare este suprafaţa dintelui care trece prin tăiş, pe care alunecă aşchiile detaşate de pe piesa prelucrată.

Faţa de aşezare este porţiunea îngustă din spatele dintelui, adiacentă feţei de degajare.

Tăişul este muchia formată de intersecţia feţei de degajare cu faţa de aşezare. El este compus din :

- tăişul principal, rectiliniu, curbiliniu sau cu un profil oarecare ;
- tăişul auxiliar, de pe partea frontală a frezei ;
- muchia teşiturii colţului dintre cele două tăişuri.

Pasul danturii, p , este distanţa dintre tăişurile a doi dinţi alăturaţi măsurată pe circumferinţa exterioară a frezei.

Pasul unghiular, δ , este unghiul la centru între tăişurile a doi dinţi alăturaţi, măsurat într-un plan perpendicular pe axa frezei.

6.2.2. Suprafeţele de prelucrare. La piesele supuse frezării deosebim următoarele suprafeţe:

Suprafaţa de prelucrat (de aşchiat), adică suprafaţa piesei care urmează a fi aşchiată.

Suprafaţa prelucrată (aşchiată), adică suprafaţa piesei care a fost aşchiată.

Suprafaţa de tăiere (de aşchiere), care ia naştere sub tăişurile frezei în timpul operaţiei de frezare făcînd trecerea de la suprafaţa de prelucrat la suprafaţa prelucrată.

Planul de tăiere (de aşchiere), adică planul tangent la suprafaţa de tăiere în punctul de examinat al tăişului.

6.2.3. Canalele frezei. Canalele frezei pot fi drepte, cînd sînt paralele cu axa frezei, sau elicoidale. Canalele de formă elicoidală pot fi pe dreapta sau pe stînga.

Unghiul de înclinare ω al tăişului elicoidal este unghiul dintre axa frezei şi tangenta la elice (fig. 8.64), sau unghiul complementar al elicei tăişului.

Pasul tăişului elicoidal P este pasul elicei tăişului.

Pasul normal al dinţilor p este distanţa dintre vîrurile a doi dinţi măsurată într-un plan normal pe tăişuri.

Canalele elicoidale se utilizează pentru obţinerea unei frezări uniforme, cît şi pentru darea unei anumite direcţii aşchiilor.

Pentru echilibrarea reciprocă a forţelor axiale, frezele se confecţionează din

două bucăţi, care se montează pe dron cu direcţia dinţilor elicoidali în sensuri opuse (fig. 8.65).

6.2.4. Unghiurile frezei. 6.2.4.1. *Tăişuri principale.* *Unghiul de degajare principal* γ , măsurat în planul normal pe tăiş, este unghiul dintre tangenta la urma feţei de degajare, în punctul considerat al tăişului, şi urma planului axial care trece prin acelaşi punct (fig. 8.66) şi 8.67); acest unghi poate fi pozitiv, nul sau negativ.

Unghiul de degajare transversal γ_1 , măsurat în planul normal pe axa frezei, este unghiul dintre tangenta la urma feţei de degajare, în punctul considerat al tăişului, şi raza care trece prin acelaşi punct (v. fig. 8.66 şi 8.67).

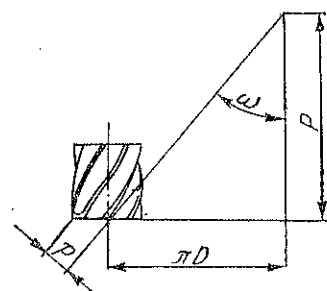


Fig. 8.64.

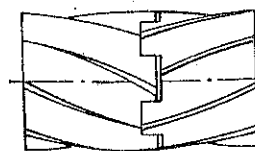


Fig. 8.65.

Unghiul de aşezare principal α , măsurat în plan normal pe tăiş, este unghiul dintre tangenta la urma feţei de aşezare în punctul considerat al tăişului şi urma planului tangent în acelaşi punct la suprafaţa de revoluţie generată de tăiş în mişcarea de rotaţie a frezei fără avans (v. fig. 8.66 şi 8.67).

Unghiul de aşezare normal α_n , măsurat în planul normal pe tăiş, este unghiul dintre tangenta la urma feţei de aşezare în punctul considerat al tăişului şi urma planului tangent în acelaşi punct la suprafaţa de revoluţie generată de tăiş în mişcarea de rotaţie, fără avans, a frezei (v. fig. 8.66 şi 8.67).

6.2.4.2. *Tăişuri secundare (cazul frezelor cilindro-frontale, frezelor disc şi frezelor frontale cu dinţi demontabili).* *Unghiul de degajare longitudinal* γ' , măsurat într-un plan tangent, în punctul considerat, la suprafaţa cilindrică coaxială cu freza, reprezintă unghiul dintre tangente la urma feţei de degajare şi o paralelă la axa frezei, care trece prin acelaşi punct (fig. 8.68). În cazul frezelor cilindro-frontale monobloc, acest unghi coincide cu unghiul de înclinare al tăişurilor elicoidale, ω (v. fig. 8.67).

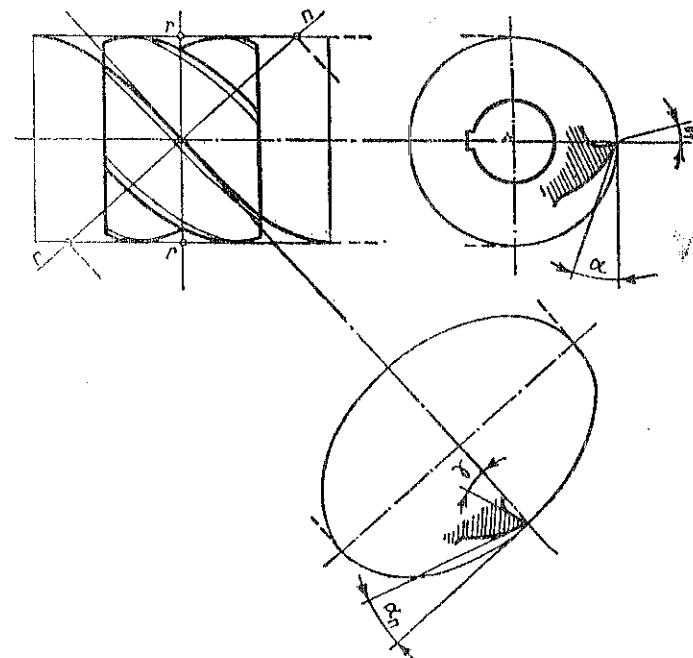


Fig. 8.66.

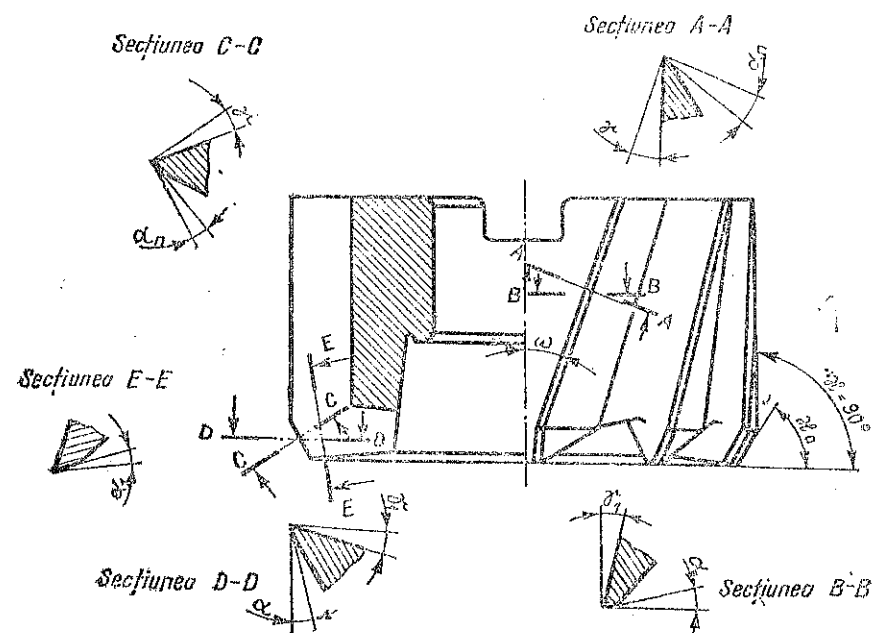


Fig. 8.67.

Unghiul de așezare secundar α_1 , măsurat într-un plan normal pe tăișul secundar, este unghiul de așezare al tăișului secundar (v. fig. 8.67).

Unghiul de atac α , măsurat într-un plan axial care trece prin vârful tăișului, reprezintă unghiul de înclinare ale proiecției teșiturii vârfului pe acest plan, față de planul frontal (v. fig. 8.67 și 8.68).

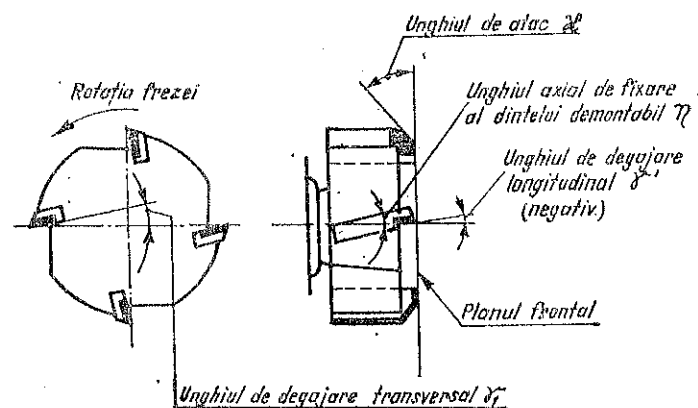


Fig. 8.68.

Unghiul de atac secundar α_1 , măsurat într-un plan axial care trece prin vârful tăișului, reprezintă unghiul de înclinare al proiecției teșturii vârfului pe acest plan, față de planul frontal (fig. 8.69).

Unghiul de atac al teșiturii vârfului α_0 , măsurat într-un plan axial care trece prin vârful tăișului, reprezintă unghiul de înclinare al pro-

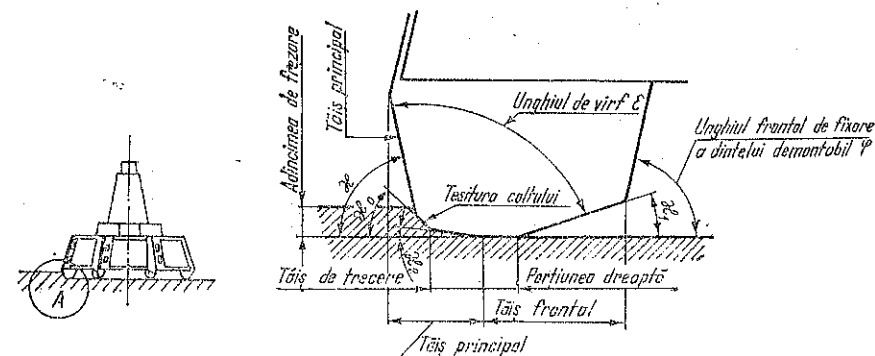


Fig. 8.69.

iecției teșiturii vârfului pe acest plan, față de planul frontal (v. fig. 8.67 și 8.69).

Unghiul de înclinare λ , este unghiul dintre tangenta la tăiș într-un punct dat și planul axial care trece prin acest punct (fig. 8.70). Acest unghi se prevede în general numai în cazul frezelor frontale cu dinți demontabili.

Unghiul vârfului tăișului ϵ , este unghiul dintretăișul principal și tăișul secundar, măsurat în planul de bază constructiv (planul axial care trece prin vârful tăișului), (v. fig. 8.70).

Unghiul frontal de fixare al dintelui demontabil ϕ , este unghiul dintre planul suprafeței laterale a dintelui și un plan perpendicular la axa frezei (v. fig. 8.70).

Unghiul axial de fixare al dintelui demontabil γ , este unghiul dintre planul feței dintelui și o dreaptă care trece prin vârful dintelui, paralelă cu axa frezei (v. fig. 8.68).

6.3. DATE CONSTRUCTIVE

Aceste date se referă la parametrii geometrici ai părții aşchietoare a frezelor cu tăiș din oțel rapid.

6.3.1. Valorile unghiului de degajare principal. În tabela 8.54 sînt indicate valorile unghiului de degajare principal (γ) al frezei, în funcție de materialul de prelucrat.

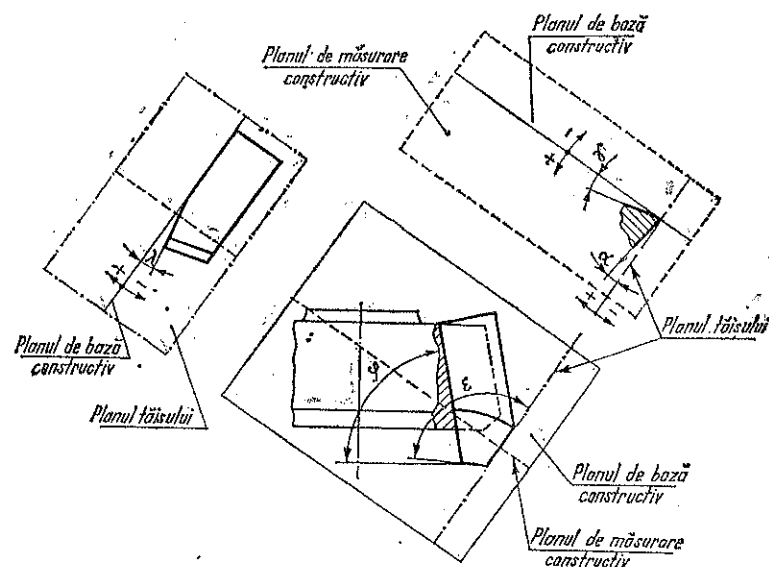


Fig. 8.70.

6.3.2. Valorile unghiului de aşezare. În tabela 8.55 sînt arătate valorile unghiului de aşezare principal α şi ale unghiului de aşezare frontal α_1 , în funcţie de caracteristicile frezei.

6.3.3. Valorile unghiului de atac. În tabela 8.56 se găsesc valorile unghiurilor de atac al tăişului principal κ şi al teşiturii colţului κ_0 .

Valorile unghiului de atac al tăişului auxiliar κ_1 sînt redată în tabela 8.57.

6.3.4. Valorile unghiului de înclinare al canalelor elicoidale. În tabela 8.58 sînt indicate valorile unghiului de înclinare al canalelor elicoidale ω , pentru frezele de uz general pentru prelucrarea oţelului, fontei, bronzului, alamei etc.

6.3.5. Lungimea tăişului de racordare. Lungimea tăişului de racordare f_0 (muchiei aşchietoare de trecere) pentru diferite tipuri de freze este indicată în tabela 8.59, afară de cazurile cînd forma suprafeţei prelucrate impune alte valori.

6.3.6. Numărul de dinţi. În standardele de dimensiuni ale diferitelor tipuri de freze este indicat numărul de dinţi pentru frezele folosite la prelucrarea diferitelor materiale.

6.3.7. Materiale. Materialele folosite la fabricarea frezelor sînt următoarele:

- oţel carbon pentru scule SCO 12 (STAS 1700-71);
- oţel aliat pentru scule C 120, Rp4 sau Rp3 (STAS 3611-66).

6.4. DIMENSIUNI NORMALIZATE

Dimensiunile normalizate pentru cîteva elemente constructive ale diferitelor tipuri de freze sînt indicate în tabela 8.53.

Tabela 8.54. Unghiul de degajare (γ)

| Tipul frezelor | Material de prelucrat | $\gamma \pm 2^\circ$ |
|--|--|-------------------------|
| Freze cilindrice, cilindro-frontale (cu alezaj sau cu coadă), disc cu două tăişuri, disc cu trei tăişuri (cu dinţi drepti sau în zigzag) pinze de ferăstrău circular cu segmenti | Oţel : $\sigma_r \leq 60 \text{ kgf/mm}^2$ $60 < \sigma_r \leq 100 \text{ kgf/mm}^2$ $\sigma_r > 100 \text{ kgf/mm}^2$ | 20°*) 15° 10° |
| | Fontă (cenuşie sau maleabilă) : $HB \leq 150$ $HB > 150$ | 15° 10° |
| | Bronz 100 ... 140 HB | 10 |
| | Aliaje de aluminiu | 25° |
| | Aliaje de cupru | 10° |
| Freze-ferăstrău (pentru debitat sau crestet) | Oţel, fontă, bronz, aliaje de cupru : — pentru lăţimea frezei $b \leq 0,5 \text{ mm}$ — pentru lăţimea frezei $b = 0,6 \dots 3 \text{ mm}$ — pentru lăţimea frezei $> 3 \text{ mm}$ | 0° 5° 10° |
| | Aliaje de aluminiu | 20° |
| | Freze profilate cu dinţi detalonati sau nedetalonati (ascuţiţi şi pe faţa de aşezare), freze unghiulare | Oţel şi fontă 10°**) |

*) În cazul frezelor cu dinţi elicoidali, cu unghi de înclinare a elicei $\omega > 30^\circ$ la prelucrarea oţelului avînd $\sigma < 60 \text{ kgf/mm}^2$ unghiul de degajare se va lua $\gamma = 15^\circ$.

**) Mărimea unghiului de degajare γ , pentru frezele profilate executate fără corectarea profilului tăişurilor frezei, este funcţie de abaterile admise la profilul piesei de prelucrat. În cazul necesităţii de a adopta $\gamma \geq 10^\circ$, la prelucrarea prin frezare a profilurilor precise, profilul tăişurilor frezei trebuie corectat în funcţie de valoarea adoptată pentru unghiul γ .

Observaţie. În cazul prelucrării oţelului, utilizarea altor valori pentru unghiul γ decît cele prevăzute în tabelul 8.54 poate fi justificată de faptul că aceste valori sînt influenţate şi de celelalte caracteristici fizico-mecanice al materialului prelucrat (în afară de rezistenţa la tracţiune σ), precum şi de condiţiile tehnologice date ale procesului de aşchiere. La fabricaţiile de serie mare şi de masă se recomandă deci a stabili, pe bază de încercări, valoarea optimă a unghiului γ , pentru materialul şi condiţiile tehnologice date, plecînd de la valoarea dată în tabelul 8.54.

Tabela 8.55. Unghiurile de aşezare (α şi α_1)

| Tipul frezei | Caracteristicile frezei | Unghiul de aşezare principal $\alpha \pm 2^\circ$ | Unghiul de aşezare frontal $\alpha_1 \pm 2^\circ$ |
|--|--|---|---|
| Freze cilindrice | monobloc cu dinţi normali sau fini | 16° | — |
| | monobloc cu dinţi rari | 12° | — |
| | deu dinţi demontabili | 12° | — |
| Freze frontale cu alezaj | monobloc cu dinţi normali sau fini | 16° | 8° |
| | monobloc cu dinţi rari sau cu dinţi demontabili | 12° | 8° |
| Freze-disc cu două sau trei tăişuri | monobloc cu dinţi normali sau fini, inclinaţi | 16° | 6° |
| | monobloc cu dinţi rari, inclinaţi | 12° | 6° |
| | cu dinţi demontabili inclinaţi | — | — |
| Freze-disc pentru canale | cu dinţi nedetalonaţi | 20° | — |
| Freze-ferăstrău pentru crestat | $D = 32 \dots 80 \text{ mm}$ | 30° | — |
| Freze-ferăstrău pentru debitat şi retezat | $D = 50 \dots 250 \text{ mm}$ — cu dinţi normali — cu dinţi rari | $10 \dots 12^\circ$ 20° | — |
| Pinze de ferăstrău circular cu segmenti | $D > 275 \text{ mm}$ | 16° | — |
| Freze pentru canale T; freze pentru pene-disc | $D < 25 \text{ mm}$ | 25° | 6° |
| | $D > 25 \text{ mm}$ | 20° | 6° |
| Freze unghiulare | — | 16° | 8° |
| Freze profilate | cu dinţi detalonaţi | 12° | — |
| | cu dinţi nedetalonaţi (ascuţiţi şi pe faţa de aşezare) | 16° | — |

Observații. 1. În cazul frezelor profilate detalonate, dacă este necesar a se asigura în orice punct al profilului tășurilor frezei un unghi de aşezare normal $\alpha \geq 3^\circ$, valoarea unghiului de aşezare principal din tabelă se va mări corespunzător, după caracteristicile profilului de prelucrat. 2. La ascuțirea frezelor-ferăstrău pentru crestat, a frezelor-disc pentru canale și a frezelor pentru canale T nu se admite păstrarea pe tășuri a unei fațete, rămase de la rectificarea cilindrică. 3. Pentru toate celelalte tipuri de freze se admite o fațetă cilindrică a cărei lățime nu se va depăși: pentru frezele cu diametrul $D \leq 30 \text{ mm}$... 0,05 mm; pentru frezele cu diametrul $D > 30 \text{ mm}$... 0,10 mm.

Tabela 8.56. Unghiuri de atac (κ , κ_0)

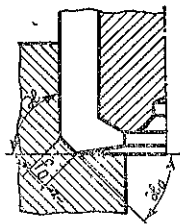
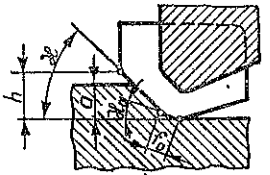
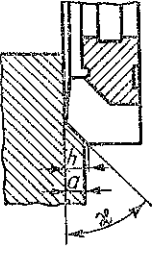
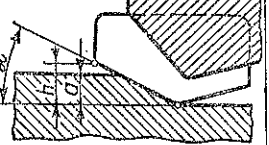
| Tipul frezei și domeniul de utilizare | Schița | Unghiul de atac κ și κ_0 |
|--|---|---|
| Freze cilindro-frontale cu alezaj sau coadă și freze-disc cu două tășuri, la prelucrarea a două suprafețe perpendiculare una față de cealaltă, sau a unor suprafețe cu praguri |  | $\kappa = 90^\circ$; $\kappa = 45^\circ$; $f_0 = 0,5 \dots 1,5 \text{ mm}$ (în funcție de dimensiunea prescrisă în desen pentru racordarea suprafețelor de prelucrat) |
| Freze cu dinți demontabili, frontale sau disc cu două tășuri, la prelucrarea unor suprafețe plane pe toată lățimea acestora, pentru adâncimea de frezare (a) la o trecere: |  | $\kappa = 30 \dots 45^\circ$ (în funcție de valoarea lui a); $\kappa_0 = \frac{\kappa}{2}$; $f_0 = 1 \dots 1,5 \text{ mm}$ $h = a + (0,5 \dots 1 \text{ mm})$ |
| Freze monobloc, frontale sau disc cu două tășuri, pentru adâncimea de frezare la o trecere $a \leq 6 \text{ mm}$ |  | $\kappa = 60^\circ$ $h = a + (0,5 \dots 1 \text{ mm})$ |
| Freze frontale cu dinți demontabili, de diametru $D \geq 150 \text{ mm}$, folosite la fabricații de serie mare sau de masă, pe mașini de frezat portale, în cazul adaosurilor mici de prelucrare ($a = 2 \dots 4 \text{ mm}$) |  | $\kappa = 20^\circ$ |

Tabela 8.56, (continuare)

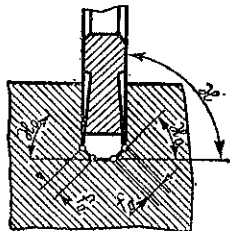
| Tipul frezelor şi domeniul de utilizare | Schiţă | Unghiul de atac α şi α_0 |
|---|---|---|
| Freze-disc cu trei tăişuri cu dinţi dreپti sau în zig-zag |  | $\alpha = 90^\circ$ $\alpha_0 = 45^\circ$ $f_0 = 0,5 \dots 1,5 \text{ mm}$ (în funcţie de dimensiunea prescrisă în desen pentru racordarea suprafeţelor laterale cu fundul canalului. Această ţesire este deosebit de importantă în cazul frezelor cu dinţi în zig-zag) |

Tabela 8.57. Unghiul de atac al tăişului auxiliar (α_1)

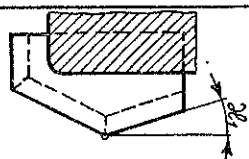
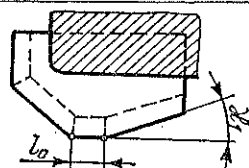
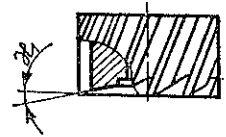
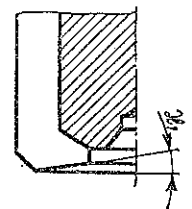
| Tipul frezelor şi domeniul utilizare | Schiţă | Unghiul de atac al tăişului auxiliar α_1 |
|--|---|--|
| Freze frontale cu dinţi demontabili pentru prelucrări de degroşare |  | $\alpha_1 = 1 \dots 2^\circ$ |
| Freze frontale cu dinţi demontabili, pentru prelucrări de finisare |  | $\alpha_1 = 2 \dots 3^\circ$ $l_0 = (4 \dots 6) s_0$, unde s_0 este avansul pe o rotaţie a frezei, în mm/rot |
| Freze monobloc cilindro-frontale, fără dinţi frontali, pentru prelucrări cu avans pe 1 dinte $s < 0,08 \text{ mm}$ |  | $\alpha_1 = 8 \dots 10^\circ$ |
| Freze monobloc cilindro-frontale, cu dinţi frontali |  | $\alpha_1 = 1 \dots 2^\circ$ |

Tabela 8.57. (continuare)

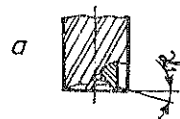
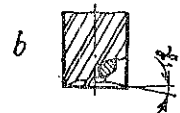
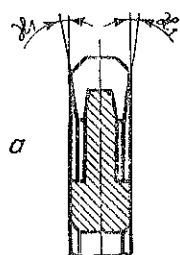
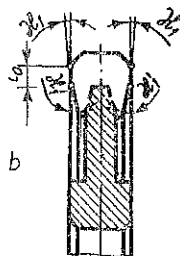
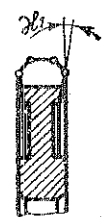
| Tipul frezelor şi domeniul de utilizare | Schiţă | Unghiul de atac al tăişului auxiliar α_1 |
|---|---|---|
| Freze cilindro-frontale cu coadă: a) fără dinţi frontali, pentru prelucrări cu avans pe 1 dinte $s < 0,07 \text{ mm}$ b) cu dinţi frontali |   | $\alpha_1 = 8 \dots 10^\circ$ $\alpha_1 = 1 \dots 2^\circ$ |
| Freze-disc cu două sau trei tăişuri, cu dinţi dreپti sau în zig-zag a) pentru prelucrarea canalelor cu toleranţe largi la lăţimea canalului; b) pentru prelucrarea canalelor cu toleranţe restrinse la lăţimea canalului şi rugozitate fină a suprafeţelor prelucrate |   | $\alpha_1 = 1 \dots 2^\circ$ $\alpha_1 = 30'$ $\alpha_1' = 2^\circ$ $l > (4 \dots 6) s_0$, unde s_0 este avansul pe o rotaţie a frezei, în mm/rot |
| Freze-disc pentru canale, freze pentru canale T |  | $\alpha_1 = 1^\circ 30' \dots 2^\circ$ |

Tabela 8.57 (continuare)

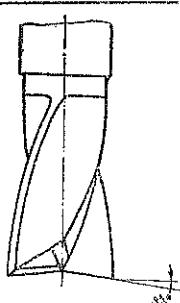
| Tipul frezelor şi domeniul de utilizare | Schiţa | Unghiul de atac al tăişului auxiliar α_1 |
|---|---|---|
| Freze cu coadă pentru canelat |  | $\alpha = 4 \dots 6^\circ$ |

Tabela 8.58. Unghiul de înclinare al canalelor elicoidale (ω)

| Tipul frezei | Unghiul de înclinare al canalelor elicoidale |
|--|--|
| Freze cilindrice elicoidale : — cu dinţi rari — cu dinţi normali sau fini — cuplate | 40...45° 30...35° 55° |
| Freze cilindro-frontale cu coadă | 30...45° |
| Freze pentru canale de pană | 15...25° |
| Freze-disc monobloc : — cu două tăişuri — cu trei tăişuri — cu trei tăişuri, reglabile | 20° 8...15° 15° |
| Freze-disc cu dinţi demontabili : — pentru lăţimea $b > 15$ mm — pentru lăţime $b < 15$ mm | 12...15° 8...10° |
| Freze cilindro-frontale cu alezaj, monobloc sau cu cuţite demontabile | 10° |

Tabela 8.59. Lungimea tăişului de racoadre f_0 al frezelor

| Tipul frezei | Diametrul frezei, D mm | | f_0 mm |
|-------------------------------------|--------------------------|-------------|----------|
| Freză frontală şi cilindro-frontală | $\alpha = 90^\circ$ | $D \leq 90$ | 1 |
| | | $D > 90$ | 2 |
| | $\alpha < 90^\circ$ | — | 2 |

Tabela 8.59 (continuare)

| Tipul frezei | Diametrul frezei D , mm | f_0 mm |
|---|---------------------------|----------|
| Freză cu coadă | $D < 10$ | 0,5 |
| Freză deget | $D = 10 \dots 25$ | 1 |
| | $D > 25$ | 1,5 |
| Freză disc | $D < 25$ | 0,3 |
| | $D = 50 \dots 90$ | 0,6 |
| | $D > 90$ | 1,5 |
| Freză ferăstrău cu lăţimea B peste 3 mm | — | 1,5 |

7. BROŞE

Broşele sînt scule aşchietoare folosite la prelucrare găurilor străpunse sau a unor suprafeţe exterioare. Ele au forma unei bare dinţate sau a unei cremalire, după cum sînt utilizate pentru prelucrări interioare sau pentru prelucrări exterioare.

Operaţia de broşare se poate executa prin tragere sau prin presare; sculele folosite în primul caz sînt denumite *broşe* iar în ultimul, *broşe-poanson*.

7.1. CLASIFICARE ŞI DESCRIERE

Broşele pot fi împărţite după diferite criterii în următoarele tipuri:

După modul de acţionare :

- broşe pentru tragere, numite în mod obişnuit broşe;
- broşe pentru presare, numite şi broşe-poanson.

După felul suprafeţelor prelucrate :

- broşe pentru găuri rotunde;
- broşe pentru caneluri;
- broşe pentru diferite profile (de exemplu, poligoanele, cu dinţi în evolveră etc.);
- broşe combinate (de exemplu, rotunde cu caneluri);
- broşe pentru caneluri şi canale de pană.

După poziţia suprafeţei prelucrate :

- broşe pentru suprafeţe interioare (de exemplu, găuri de diferite forme);
- broşe pentru suprafeţe exterioare.

După calitatea suprafeţei prelucrate şi după metoda de lucru :

- broşe de aşchiere;
- broşe de netezire.

După construcţia dinţilor :

- broşe normale (cu dinţi tăiaţi din corpul broşei);
- broşe cu dinţi demontabili.

O utilizare mai mare au următoarele broşe :

7.1.1. Broşe pentru găuri rotunde. Broşa cu dinţi drepti (fig. 8.71, a) se utilizează la prelucrarea găurilor cu o precizie corespunzătoare claselor 2 şi 3.

Broşa cu dinţi în elice (fig. 8.71, c) se construieşte de obicei în jocuri (serii) de mai multe broşe, deoarece fiecare broşă dintr-un joc aşchiază un adaos de prelucrare mic (de 0,2—0,4 mm). Se foloseşte în general, la broşarea găurilor lungi.

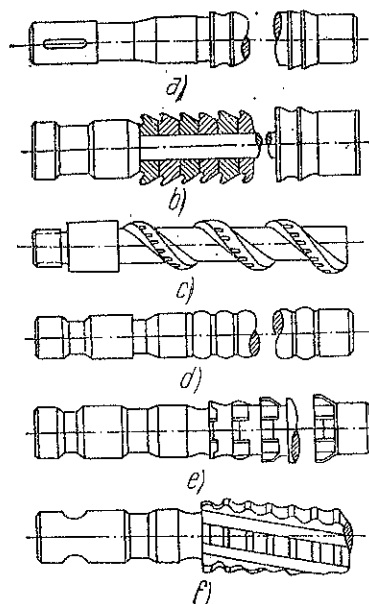


Fig. 8.71.

7.1.2. Broşe pentru găuri poligonale. Din această categorie fac parte broşele pătrate, hexagonale, dreptunghiulare, octogonale etc.

Pentru proiectarea acestor broşe există tabele speciale cu toate elementele de dimensionare corespunzătoare diferitelor dimensiuni ale găurilor.

7.1.3. Broşe pentru caneluri. Broşa de canelat caneluri dreptunghiulare (fig. 8.71, e) este constructiv asemănătoare broşei pentru găuri rotunde.

Broşa de canelat caneluri elicoidale (fig. 8.71, f) are dinţi dispuşi în elice; golurile dintre dinţi sunt inelare sau elicoidale.

7.1.4. Broşe pentru canale de pană. În fig. 8.72 este arătată o broşă pentru canale de pană. Pentru operaţia de broşare se foloseşte

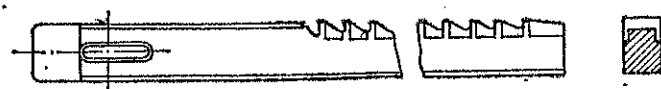


Fig. 8.72.

Broşa cu dinţi demontabili (fig. 8.71, b) este executată din inele separate şi se foloseşte la broşarea găurilor cu diametru mare.

Broşa de netezire (fig. 8.71, d) acţionează prin deformarea plastică la rece a metalelor maleabile (oţel, aluminiu etc.). Se recomandă utilizarea acestor broşe la netezirea găurilor aşchietoare în prealabil cu alte scule aşchietoare sau la corectarea alezajelor în piesele deformate prin tratament termic.

Dinţii broşei au formă rotunjită, fără muchii de aşchiere, însă cu goluri pentru aşezarea aşchiilor.

un dispozitiv prevăzut cu o bucsă de ghidare a broşei. Broşele pentru canale de pană pot fi broşe pentru tragere sau broşe-poanson.

7.1.5. Broşe combinate. Aceste broşe sînt folosite la prelucrarea succesivă şi simultană a găurilor canelate sau dinţate. Prima parte a broşei prelucurează gaura rotundă, iar partea a doua prelucurează canelurile sau dantura interioară; ambele părţi ale broşei au dinţi respectivi de calibrare.

Datorită execuţiei mai complicate, aceste broşe sînt costisitoare; ele prezintă însă avantajul că micşorează timpul de prelucrare, deoarece ambele operaţii de aşchiere se execută dintr-o singură trecere.

7.1.6. Broşe pentru broşare exterioară. Aceste broşe se utilizează atât la prelucrarea suprafeţelor plane cît şi a celor profilate. Ele pot fi executate dintr-o bucată sau demontabile. În fig. 8.73 sînt indicate două tipuri de broşe pentru prucarea suprafeţelor metalice.

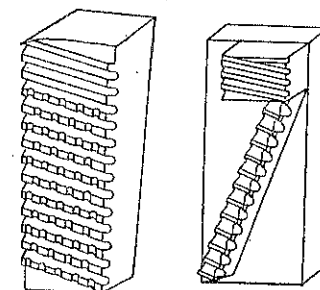


Fig. 8.73.

7.2. ELEMENTE ŞI DATE CONSTRUCTIVE

7.2.1. Părţile componente ale broşei. Părţile componente principale ale unei broşei pentru broşarea interioară (fig. 8.74) sînt: coada, partea de ghidare, partea aşchietoare şi partea de calibrare.

Coada 1 serveşte la prinderea broşei în capul port-sculă al maşinii de broşat. Forma cozii diferă după felul broşei şi al maşinii de broşat. La broşele pentru prelucrări interioare, diametrul cozii este cu 0,5—1,0 mm mai mic decît diametrul găurii iniţiale din piesă.

Partea de ghidare 4 are ca scop conducerea broşei la începutul operaţiei de prelucrare. Ea are forma şi dimensiunile găurii iniţiale din piesă.

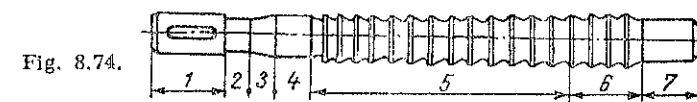


Fig. 8.74.

Partea aşchietoare 5 desprinde cea mai mare parte din adaosul de prelucrare. Această parte este prevăzută cu un şir de dinţi, care se măresc treptat de la partea de ghidare spre partea din spate a broşei. Fiecare dinte următor este mai mare decît cel precedent cu o anumită cantitate s care reprezintă supraînălţarea pe dinte sau avansul pe dinte

şi care corespunde grosimii aşchii desprinse de acel dinte. Distanţa dintre doi dinţi consecutivi reprezintă *pasul dinţilor* părţii aşchietoare.

Partea de calibrare 6 execută faza finală a operaţiei de broşare, obţinându-se atît netezimea suprafeţei cit şi precizia dimensională impusă.

Partea aşchietoare şi partea de calibrare constituie *partea utilă* a broşei.

La broşele cu dimensiuni mari se prevăd şi următoarele părţi: *gîtul* 2, *conul de racordare* 3 şi *partea de ghidare posterioară* 7 care se sprijină pe o lunetă şi menţine broşa în poziţie corectă în timpul prelucrării.

Celelalte elemente constructive ale unei broşe sînt: unghiurile de degajare şi de aşezare ale dinţilor de aşchiere şi de calibrare; profilul dintelui şi profilul golului dintre dinţi; avansul pe dinte; pasul dinţilor; numărul dinţilor de aşchiere şi de calibrare; forma şi dimensiunile cozii; lungimile părţilor de ghidare, de aşchiere şi de calibrare.

7.2.2. Parametrii geometriei ai dinţilor. Dinţii broşelor au formă asemănătoare cu aceea a cuşitelor. În fig. 8.75 sînt indicate atît unghiurile de formă ale dinţilor unei broşe, adică unghiurile α şi γ , cit şi unghiurile β şi δ .

Unghiul de aşezare principal α nu depinde de materialul piesei care se prelucrează; el are următoarele valori: $2^\circ - 3^\circ 30'$ pentru dinţii de aşchiere ai broşelor de interior; $30' - 1^\circ$ pentru dinţii de calibrare ai broşelor de interior; 10° pentru dinţii de aşchiere şi calibrare ai broşelor de exterior.

Unghiul de degajare variază după materialul care se prelucrează. Pentru dinţii de calibrare, el are valori cuprinse între 0° şi 5° . Pentru dinţii de aşchiere valorile unghiului sînt arătate în tabela 8.60.

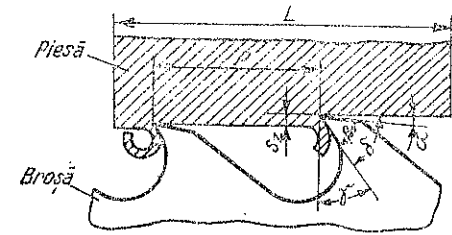


Fig. 8.75.

Supraînălțarea pe dinte s sau avansul pe dinte variază după felul materialului care se prelucrează și după tipul broșei; în tabela 8.61 sînt indicate valorile lui s pentru broșe de interior și de exterior la prelucrarea citorva materiale.

Pentru o calitate mai bună a suprafeței prelucrate, se poate micsora supraînălțarea pe ultimii 3—5 dinți.

Dinții de calibrare se execută fără supraînălțare; ei au aceeași formă, același pas și aceeași înălțime.

Pasul dinților de aşchiere p depinde de lungimea piesei care se prelucrează și se calculează cu formula $p = (1,5 \dots 2) / \sqrt{L}$, în care L este lungimea părții broșate, mm.

Pentru dinții de calibrare, valoarea pasului se ia $0,6 - 1,0$ din valoarea pasului dinților de aşchiere.

Numărul dinților. Pentru partea de aşchiere, numărul de dinți z se stabilește de obicei cu formula $z = A/2s_z + (1 - 3)$ în care: A este adaosul maxim îndepărtat prin broșare, mm;

s_z — avansul pe dinte (supraînălțarea pe dinte), mm.

Pentru partea de calibrare, numărul dinților z_c se ia între 3 și 8; numărul mai mare de dinți se ia pentru prelucrări de găuri cu o precizie dimensională mărită.

Tabela 8.60. Valorile unghiului de degajare γ pentru dinții de aşchiere ai broşelor

| Materialul prelucrat | | γ° |
|--------------------------|--|----------------|
| Oţel | $\sigma_r < 60 \text{ kgf/mm}^2$ | 15—18 |
| | $\sigma_r = 60 - 100 \text{ kgf/mm}^2$ | 12—15 |
| | $\sigma_r > 100 \text{ kgf/mm}^2$ | 8—10 |
| Fontă | HB ≤ 150 | 8—10 |
| | HB > 150 | 4—8 |
| Aluminiu | | 12—15 |
| Bronz | | 0—5 |
| Compoziție pentru lagăre | | 10—15 |
| Cupru | | 15 |
| Alamă dură | | 2 |
| Alamă moale | | 6 |

Tabela 8.61. Valorile supraînălțării pe dinte s_z pentru broșe

| Materialul prelucrat | Broșarea exterioară a canalelor de pană | Broșarea interioară | | |
|--------------------------|---|---|-------------------|---------------------|
| | | De găuri cilindrice | De găuri canelate | De găuri poligonale |
| | Supraînălțarea unilaterală pe dinte, s_z mm | Supraînălțarea bilaterală pe dinte, $2s_z$ mm | | |
| Oţel | 0,05—0,20 | 0,04—0,10 | 0,08—0,16 | 0,04—0,30 |
| Fontă cenușie | 0,06—0,12 | 0,04—0,10 | 0,08—0,16 | 0,04—0,30 |
| Compoziție pentru lagăre | — | 0,12—0,24 | — | — |
| Aluminiu | 0,03—0,2 | 0,02—0,10 | 0,04—0,20 | — |

Profilul dintelui și al golului dintre dinți. Pentru o bună aşchiere, între suprafața secțiunii golului F și suprafața secțiunii longitudinale a aşchii F_1 trebuie să existe următoarea relație: $F/F_1 = k$, în care k este coeficientul de umplere a golului dintre dinți și are valorile indicate în tabela 8.62.

Tabela 8.62. Valorile coeficientului de umplere k pentru broșe

| Supraînălțarea pe dinte, s_z mm | Materialul prelucrat | | | |
|-----------------------------------|---------------------------------------|--------|-------------|----------------------|
| | Oţel σ_r , kgf/mm ² | | Fonta Bronz | Alamă Aluminiu Cupru |
| | ≤ 70 | > 70 | | |
| $< 0,03$ | 2 | 3 | 1,5 | 2 |
| $0,03 - 0,07$ | 3 | 4 | 2 | 3 |
| $> 0,07$ | 4 | 4,5 | 3 | 4 |

Formele folosite în mod curent pentru golul dintre dinţi sînt cele indicate în fig. 8.76; forma este cea mai răspîdită.

Spatele dintelui este înclinat la 45° ; adîncimea golului h se face de obicei de 0,3—0,4 din pasul dinţilor; valoarea razei r de rotunjire a fundului golului, se determină prin construcţie. În tabela 8.63 sînt indicate dimensiunile recomandate pentru dinţi şi golurile dintre dinţi, în funcţie de pasul broşei, calculate pentru forma golului dintre dinţi (considerată în fig. 8.76, a).

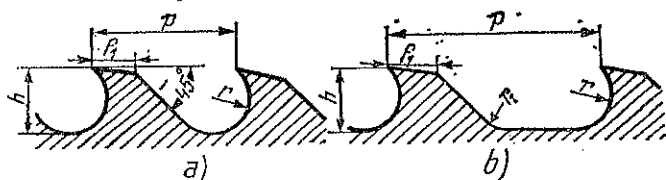


Fig. 8.76.

Tabela 8.63. Dimensiuni pentru dinţi şi goluri dintre dinţi, mm
(v. figura 8.76)

| Suprafața secțiunii golului dintre dinți F mm ² | Pasul dinților p mm | Adâncimea golului h mm | Lungimea feței de aşezare f_1 mm | Raza de fund a golului r mm |
|--|-----------------------|--------------------------|------------------------------------|-------------------------------|
| 3,0 | 6,0 | 2 | 2,5 | 1,0 |
| 5,8 | 7,0 | 2,3 | 3,0 | 1,25 |
| 7,0 | 8,0 | 2,7 | 3,5 | 1,5 |
| 12,5 | 10,0 | 3,6 | 4,0 | 2,0 |
| 19,3 | 12,0 | 4, | 4,5 | 2,5 |
| 27,0 | 14,0 | 5,4 | 5,0 | 3,0 |
| 38,0 | 16,0 | 6,3 | 5,5 | 3,5 |
| 49,6 | 18,0 | 7,2 | 6,0 | 4,0 |
| 62,7 | 20,0 | 8,0 | 6,5 | 4,5 |
| 78,0 | 22,0 | 8,8 | 7,0 | 5,0 |

Pentru folosirea acestei table, se determină suprafața secțiunii longitudinale a aşchii F_1 (pe care o scoate un dinte al broşei), cu formula $F_1 = L \cdot s_z$

în care: L este lungimea de broşare;

s_z — supraînălțarea pe dinte.

Se determină apoi valoarea k pentru metalul care se prelucerează şi se stabileşte suprafața necesară a secțiunii golului dintre dinţi cu formula $F = k \cdot F_1$.

Din tabela 8.63 se determină valorile pentru pas şi celelalte dimensiuni ale profilului dinţilor şi ale golului dintre dinţi.

Canale pentru fragmentarea aşchiilor. Pentru a se ușura lucrul broşei, se execută o serie de canale la periferia dinţilor cu ajutorul unei pietre abrazive.

Lățimea şi adîncimea canalelor este de 0,5—1 mm, iar distanța dintre ele de 6—22 mm, în funcție de diametrul sau de lățimea broşei. Aceste canale se aranjează în zig-zag, pentru ca dintele următor să aşchieze fișa de metal rămasă în dreptul canalelor dintelui precedent.

Lungimea broşei. Lungimea părții utile L_u se stabileşte cu relația:

$L_u = p_a \cdot z_a + p_c \cdot z_c + 1,5L$,
în care: p_a şi p_c sînt paşii dinţilor de aşchiere şi de calibrare;

z_a şi z_c — numărul dinţilor de aşchiere şi de calibrare;

L — lungimea găurii sau a suprafeței broşate.

Lungimea cozii, a gîtului şi a părților de ghidare se stabilesc ținînd seamă de dimensiunile cozii, de cele ale dispozitivului de prindere a sculei în maşină şi de lungimea piesei prelucrate.

8. CONURI PENTRU SCULE

Pentru fixarea sculelor aşchietoare cu cozi conice (de exemplu, burghie, alezoare, freze) la maşinile-unelte (de exemplu, în arborele principal, în pinolă) se folosesc uneori cozi şi manşoane conice, iar alteori reducții conice. Forma şi dimensiunile acestora sînt standardizate.

8.1. COZI ŞI MANŞOANE

În mod obişnuit, cozile şi manşoanele pentru scule se execută după sistemul în inci (conuri Morse) sau după sistemul metric (conuri metric). STAS 248-77 precizează forma şi dimensiunile cozilor şi manşoanelor Morse şi metric.

8.1.1. Cozi conice. Cozile conice se execută cu antrenor sau cu gaură filetată.

Cozile conice cu antrenor se confecționează cu con Morse sau cu con metric.

Cozile cu con Morse se execută în şapte dimensiuni, însemnate prin 0—6; zero reprezintă dimensiunea minimă, iar 6 indică dimensiunea maximă.

Cozile cu con metric se execută în cinci dimensiuni: 80; 100; 120; 160 şi 200.

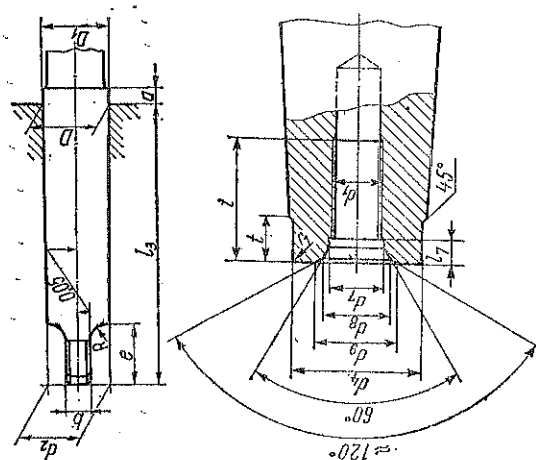
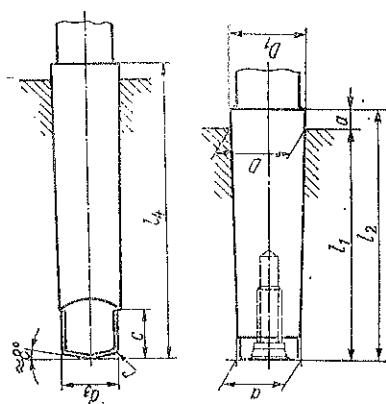
Formele şi dimensiunile cozilor conice cu antrenor sînt arătate, după STAS 248-77, în tabela 8.64.

Cozile conice cu gaură filetată se confecționează cu con Morse sau cu con metric cu dimensiuni asemănătoare cozilor conice cu antrenor.

Formele şi dimensiunile acestor cozi arătate, după STAS 248—77, în tabela 8.64.

Tabela 8.64. Cozi conice (Morse și metric), cu antrenor, pentru senle
(STAS 243-77)

Dimensiuni în mm



Coadă conică cu antrenor

Coadă conică cu gaură filetată

| Simbolizare | Dimensiuni de bază | | D ₁ [*] | d ₂ [*] | d ₂ ^{max} | l ₃ | l ₄ | b | c | e ^{max} | R ^{max} | r |
|-------------|------------------------|--------|-----------------------------|-----------------------------|-------------------------------|----------------|----------------|------|-----|------------------|------------------|-----|
| | Conicitate | D | | | | | | | | | | |
| 0 | 1:19,212 = =0,05205 | 9,045 | 3 | 6,1 | 6 | 56,5 | 59,5 | 3,9 | 6,5 | 10,5 | 4 | 1 |
| 1 | 1:20,047 = =0,04988 | 12,065 | 3,5 | 9 | 8,7 | 62 | 65,5 | 5,2 | 8,5 | 13,5 | 5 | 1,2 |
| 2 | 1:20,020 = =0,04995 | 17,780 | 5 | 18 | 13,5 | 75 | 80 | 6,3 | 10 | 16 | 6 | 1,6 |
| 3 | 1:19,92 = =0,05030 | 23,825 | 5 | 24,1 | 18,5 | 94 | 99 | 7,9 | 13 | 20 | 7 | 7 |
| 4 | 1:19,254 = =0,05194 | 32,267 | 6,5 | 31,6 | 24,5 | 117,5 | 124 | 11,9 | 16 | 24 | 8 | 2,5 |
| 5 | 1:19,002 = =0,05233 | 44,399 | 6,5 | 44,7 | 36,5 | 149,5 | 156 | 15,9 | 19 | 29 | 10 | 3 |

Cuțite de strung, raboteză și morteză

| | | | | | | | | | | | | | | |
|---------------|-----|-------------------------|--------|-----|-------|-------|------|--------|------|------|-----|------|----|-----|
| Con metric | 6 | 1:19,180 = =0,05214 | 63,34 | 8 | 63,8 | 52,4 | 51 | 210 | 218 | 19 | 27 | 40 | 13 | 4 |
| | 80 | 1:20=0,05 | 80 | 8 | 80,4 | 69 | 67 | 220 | 228 | 26 | 24 | 48 | 24 | 5 |
| | 100 | 1:20=0,05 | 100 | 10 | 100,5 | 87 | 85 | 260 | 270 | 32 | 28 | 58 | 30 | 6 |
| | 120 | 1:20=0,05 | 120 | 12 | 120,6 | 105 | 102 | 300 | 312 | 38 | 32 | 68 | 36 | 8 |
| | 160 | 1:20=0,05 | 160 | 16 | 160,8 | 141 | 138 | 380 | 396 | 50 | 40 | 88 | 48 | 10 |
| | 200 | 1:20=0,05 | 200 | 20 | 201 | 177 | 174 | 460 | 480 | 62 | 48 | 108 | 60 | 10 |
| Con Morse | 0 | 1:19,212 = =0,05205 | 9,045 | 3 | 9,2 | 6,1 | 6 | 56,5 | 59,5 | 3,9 | 6,5 | 10,5 | 4 | 1 |
| | 1 | 1:20,047 = =0,04988 | 12,065 | 3,5 | 12,2 | 9 | 8,7 | 62 | 65,5 | 5,2 | 8,5 | 13,5 | 5 | 1,2 |
| | 2 | 1:20,020 = =0,04995 | 17,780 | 5 | 18 | 14 | 13,5 | 75 | 80 | 6,3 | 10 | 16 | 6 | 1,6 |
| | 3 | 1:19,922 = =0,05030 | 23,825 | 5 | 24,1 | 19,1 | 18,5 | 94 | 99 | 7,9 | 13 | 20 | 7 | 2 |
| | 4 | 1:19,254 = =0,05194 | 31,267 | 6,5 | 31,6 | 25,2 | 24,5 | 117,5 | 124 | 11,9 | 16 | 24 | 8 | 2,5 |
| | 5 | 1:19,002 = =0,05263 | 44,399 | 6,5 | 44,7 | 36,5 | 35,7 | 149,5 | 156 | 15,9 | 19 | 29 | 10 | 3 |
| Con metric | 6 | 1:19,180 = =0,05214 | 63,348 | 8 | 63,8 | 52,4 | 51 | 210 | 218 | 19 | 27 | 40 | 13 | 4 |
| | 80 | 1:20=0,05 | 80 | 8 | 80,4 | 69 | 67 | 220 | 228 | 26 | 24 | 48 | 24 | 5 |
| | 100 | 1:20=0,05 | 100 | 10 | 100,5 | 87 | 85 | 260 | 270 | 32 | 28 | 58 | 30 | 6 |
| | 120 | 1:20=0,05 | 120 | 12 | 120,6 | 105 | 102 | 300 | 312 | 38 | 32 | 68 | 36 | 8 |
| | 160 | 1:20=0,05 | 160 | 16 | 160,8 | 141 | 138 | 380 | 396 | 50 | 40 | 88 | 48 | 10 |
| | 200 | 1:20=0,05 | 200 | 20 | 201 | 177 | 174 | 460 | 480 | 62 | 48 | 108 | 60 | 10 |
| Con Morse | 5 | 1:19,002 = =0,0523 | 44,393 | 6,5 | 44,7 | 129,5 | 136 | 37,6M | 20 | 35,7 | 21 | 26 | 30 | 10 |
| | 6 | 1:19,1806 = =0,05214 | 63,348 | 8 | 63,8 | 182 | 190 | 53,9M | 24 | 51 | 25 | 31 | 36 | 16 |
| | 80 | 1:20=0,05 | 80 | 8 | 80,4 | 196 | 204 | 70,2M | 30 | 67 | 31 | 38 | 45 | 24 |
| | 100 | 1:20=0,05 | 100 | 10 | 100,5 | 232 | 242 | 88,4M | 36 | 85 | 37 | 45 | 52 | 30 |
| | 120 | 1:20=0,05 | 120 | 12 | 120,6 | 268 | 280 | 106,6M | 36 | 102 | 37 | 45 | 52 | 36 |
| | 160 | 1:20=0,05 | 160 | 16 | 160,8 | 340 | 356 | 143M | 48 | 138 | 50 | 60 | 68 | 48 |
| Con metric | 200 | 1:20=0,05 | 200 | 20 | 201 | 412 | 432 | 179,4M | 48 | 174 | 50 | 60 | 68 | 60 |

Observații. 1.*D₁, d₂ și d sunt valori aproximative. Valorile exacte rezultă din valoarea dimensiunii de bază D și a conicității respective, ținând seama de lungimile a și l₁ sau l₂. d₂, d₃, l₃ și r₁ sunt valori informative.

8.1.2. Manşoane. Manşoanele se confecţionează pentru cozi cu antrenor şi pentru cozi cu gaură filetată.

Manşoanele pentru cozi cu antrenor se execută cu con Morse sau cu con metric. Forma şi dimensiunile, după STAS 248-77, sînt arătate în tabela 8.65.

Manşoanele pentru cozi cu gaură filetată se confecţionează de asemenea cu con Morse sau cu con metric. Forma şi dimensiunile sînt indicate în tabela 8.65.

8.1.3. Conuri Morse scurte. În STAS 6569-77 sînt arătate dimensiunile conurilor Morse scurte pentru scule:

- cu coadă fără gaură filetată,
- cu coadă prevăzută cu gaură filetată de stringere în manşon.

8.2. REDUCȚII

Cînd coada sculei aşchietoare are o conicitate mai mică decît aceea a găurii arborelui maşin-unelte, atunci se folosesc *reducții lungi Morse* (STAS 251-77) sau *reducții scurte Morse* (STAS 252-77). În acest caz scula aşchietoare se introduce în reducție, iar aceasta în arborele maşinii-unelte.

În tabela 8.66 sînt indicate, după STAS 252-77, forma şi dimensiunile reducțiilor scurte Morse.

8.3. PENE DE EVACUARE PENTRU COZI MORSE ŞI METRICE

Pentru evacuarea cozilor de scule fixate în reducții sau în arborii principali ai maşinilor-unelte, se folosesc pene speciale, ale căror formă şi dimensiuni sînt indicate în STAS 250-61.

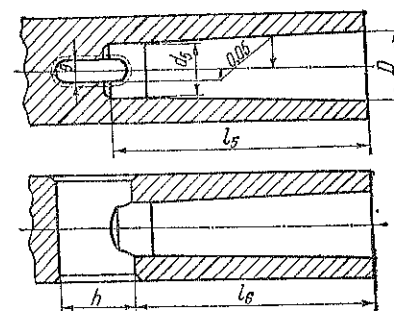
9. CAPETE ŞI LOCAŞURI PĂTRATE DE ANTRENARE A COZILOR CILINDRICE PENTRU SCULE ROTATIVE

Dimensiunile standardizate pentru capetele de antrenare a cozilor cilindrice la sculele rotative sînt arătate în tabela 8.67.

În tabela 8.68 sînt indicate dimensiunile standardizate pentru locaşurile pătrate de antrenare a portsculelor.

10. PIETRE ABRAZIVE

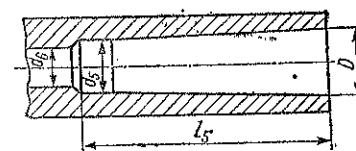
Pietrele abrazive sînt produse fasonate constituite din granule abrazive legate printr-un liant. Ele se folosesc la operații de aşchiere, de degroşare (de exemplu, polizare) sau finisare (de exemplu: rectificare, honuire, supranetezire) a pieselor metalice.



Manşon pentru gaură cu antrenor

Tabela 8.65. Manşoane pentru cozi Morse şi metrice (STAS 248-77)

Dimensiuni în mm



Manşon pentru gaură filetată

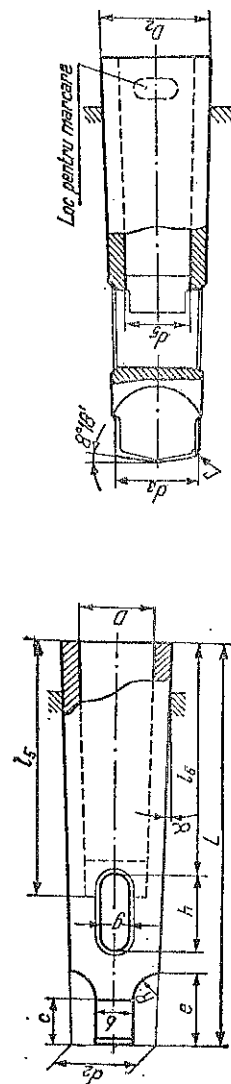
Manşoane pentru cozi cu antrenor

| Simbolizare | | Dimensiuni de bază | | d_s | l_s | l_0 | g | h |
|-------------|-----|----------------------|--------|-------|-------|-------|------|-----|
| | | Conicitate | D | | | | | |
| Con metric | 4 | 1 : 20 = 0,05 | 4 | 3 | 25 | 21 | 2,2 | 8 |
| | 6 | 1 : 20 = 0,05 | 6 | 4,6 | 34 | 29 | 3,2 | 12 |
| Con Morse | 0 | 1 : 19,212 = 0,05205 | 9,045 | 6,7 | 52 | 49 | 3,9 | 15 |
| | 1 | 1 : 20,047 = 0,04988 | 12,065 | 9,7 | 56 | 52 | 5,2 | 19 |
| | 2 | 1 : 20,020 = 0,04995 | 17,780 | 14,9 | 67 | 62 | 6,3 | 22 |
| | 3 | 1 : 19,922 = 0,05020 | 23,825 | 20,2 | 84 | 78 | 7,9 | 27 |
| | 4 | 1 : 19,254 = 0,05194 | 31,267 | 26,5 | 107 | 98 | 11,9 | 32 |
| | 5 | 1 : 19,002 = 0,05263 | 44,399 | 38,2 | 135 | 125 | 15,9 | 38 |
| | 6 | 1 : 19,180 = 0,05214 | 63,348 | 54,6 | 188 | 177 | 19 | 47 |
| Con metric | 80 | 1 : 20 = 0,05 | 80 | 71,5 | 202 | 186 | 26 | 52 |
| | 100 | 1 : 20 = 0,05 | 100 | 90 | 240 | 220 | 32 | 60 |
| | 120 | 1 : 20 = 0,05 | 120 | 108,5 | 276 | 254 | 38 | 70 |
| | 160 | 1 : 20 = 0,05 | 160 | 144,5 | 350 | 321 | 50 | 90 |
| | 200 | 1 : 20 = 0,05 | 200 | 182,5 | 424 | 388 | 62 | 110 |

Manşoane pentru cozi cu gaură filetată

| Simbolizare | | Dimensiuni de bază | | d_s | d_0 | l_s |
|-------------|-----|----------------------|--------|-------|-------|-------|
| | | Conicitate | D | | | |
| Con Morse | 0 | 1 : 19,212 = 0,05205 | 9,045 | 6,7 | — | 52 |
| | 1 | 1 : 20,047 = 0,04988 | 12,065 | 9,7 | 7 | 56 |
| | 2 | 1 : 20,020 = 0,04995 | 17,780 | 14,9 | 11,5 | 67 |
| | 3 | 1 : 19,922 = 0,05020 | 23,825 | 20,2 | 14 | 84 |
| | 4 | 1 : 19,254 = 0,05194 | 31,267 | 26,5 | 18 | 107 |
| | 5 | 1 : 19,002 = 0,05263 | 44,399 | 38,2 | 23 | 135 |
| | 6 | 1 : 19,180 = 0,05214 | 63,348 | 54,6 | 27 | 188 |
| Con metric | 80 | 1 : 20 = 0,05 | 80 | 71,5 | 33 | 202 |
| | 100 | 1 : 20 = 0,05 | 100 | 90 | 39 | 240 |
| | 120 | 1 : 20 = 0,05 | 120 | 108,5 | 39 | 276 |
| | 160 | 1 : 20 = 0,05 | 160 | 145,5 | 52 | 350 |
| | 200 | 1 : 20 = 0,05 | 200 | 182,5 | 52 | 424 |

Tabela 8.66. Reducții scurte Morse (STAS 252-77)



Dimensiunile în mm

| Con. Morse | Ext. Int. | L | D | D ₂ | a ₂ | a ₃ | d ₃ | d ₅ | l ₅ | l ₆ | h | g | e | b | e | R | r |
|---------------|-----------|-----|--------|----------------|----------------|----------------|----------------|----------------|----------------|----------------|------|------|------|------|----|---|---|
| 0 | 1 | 80 | 9,045 | 12,963 | 8,972 | 8,7 | 6,7 | 52 | 49 | 15 | 4,1 | 13,5 | 5,2 | 8,5 | 5 | | |
| 1 | 2 | 90 | 12,065 | 18,805 | 14,059 | 13,6 | 9,7 | 56 | 52 | 19 | 5,4 | 16,5 | 6,3 | 10,5 | 6 | | |
| 2 | 3 | 115 | 12,065 | 24,906 | 19,131 | 18,6 | 9,7 | 56 | 52 | 19 | 5,4 | 20,0 | 7,9 | 13,0 | 8 | | |
| 3 | 4 | 140 | 17,780 | 32,427 | 25,154 | 24,6 | 14,9 | 67 | 63 | 22 | 6,6 | 24,0 | 11,9 | 15,0 | 10 | | |
| 4 | 5 | 170 | 23,825 | 45,495 | 36,547 | 35,7 | 20,2 | 84 | 78 | 27 | 8,2 | 30,5 | 15,9 | 19,5 | 12 | | |
| 5 | 6 | 220 | 31,267 | 63,892 | 52,419 | 51,3 | 26,5 | 107 | 98 | 32 | 12,2 | 45,5 | 19,0 | 28,5 | 16 | | |
| 6 | 7 | 220 | 44,399 | 63,892 | 52,419 | 51,3 | 38,2 | 135 | 125 | 38 | 16,2 | 45,5 | 19,0 | 28,5 | 16 | | |

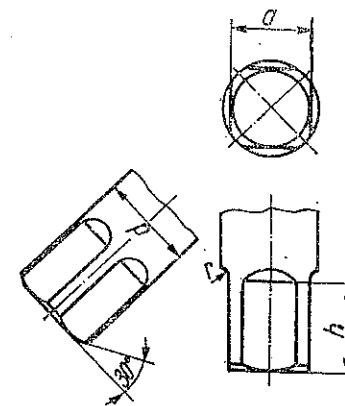


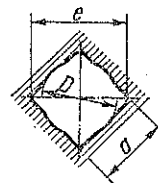
Tabela 8.67. Capete pătrate pentru cozi cilindrice de scule (STAS 67-73)

Dimensiuni în mm

| Diametrul cozii d h 9 sau h 11 | Cap pătrat | | | Diametrul cozii d h 8 sau h 11 | Cap pătrat | | |
|--------------------------------------|------------|---|-----|--------------------------------------|------------|----|-----|
| | a nominal | h | r | | a nominal | h | r |
| 1,12 | 0,90 | 4 | 0,1 | 11,20 | 9,00 | 12 | 0,6 |
| 1,25 | 1,00 | | | 12,50 | 10,00 | 13 | |
| 1,40 | 1,12 | | | 14,00 | 11,20 | 14 | |
| 1,60 | 1,25 | | | 16,00 | 12,50 | 16 | |
| 1,80 | 1,40 | | | 18,00 | 14,00 | 18 | |
| 2,00 | 1,60 | | | 20,00 | 16,00 | 20 | |
| 2,24 | 1,80 | 5 | 0,2 | 22,40 | 18,00 | 22 | 1 |
| 2,50 | 2,00 | | | 25,00 | 20,00 | 24 | |
| 2,80 | 2,24 | | | 28,00 | 22,40 | 26 | |
| 3,15 | 2,50 | | | 31,50 | 25,00 | 28 | |
| 3,55 | 2,80 | | | 35,50 | 28,00 | 31 | |
| 4,00 | 3,15 | 6 | 0,4 | 40,00 | 31,50 | 34 | 2,5 |
| 4,50 | 3,55 | | | 45,00 | 35,50 | 38 | |
| 5,00 | 4,00 | | | 50,00 | 40,00 | 42 | |
| 5,60 | 4,50 | | | 56,00 | 45,00 | 46 | |
| 6,30 | 5,00 | | | 63,00 | 50,00 | 51 | |
| 7,10 | 5,60 | | | 71,00 | 56,00 | 56 | |
| 8,00 | 6,30 | 9 | 0,6 | 80,00 | 63,00 | 62 | 4 |
| 9,00 | 7,10 | | | 90,00 | 71,00 | 68 | |
| 10,00 | 8,00 | | | 100,00 | 80,00 | 75 | |

Observații. 1. Abaterile limită de la diametrul d vor fi: pentru scule de precizie ridicată: $h 9$; pentru scule de precizie normală: $h 11$. 2. Exemplu de notare a unui cap pătrat cu dimensiunea nominală $a = 25$ mm: Cap pătrat 25 STAS 67-73

Tabela 8.68. Locaşuri pătrate de antrenare pentru portscule (STAS 67-73)



Dimensiuni în mm

| a nominal | e min. | Forma | D max. | a nominal | e min. | Forma | D max. |
|----------------|-------------|-------|-------------|----------------|-------------|---------|-------------|
| 0,90 | 1,27 | | | 8,00 | 10,78 | | |
| 1,00 | 1,41 | | | 9,00 | 11,98 | | |
| 1,12 | 1,59 | | | 10,00 | 13,38 | | |
| 1,25 | 1,79 | | | 11,20 | 15,18 | A | |
| 1,40 | 1,99 | | | 12,50 | 17,18 | | |
| 1,60 | 2,21 | | | 14,00 | 19,21 | | |
| 1,80 | 2,45 | | | 16,00 | 21,41 | | |
| 2,00 | 2,74 | | | 18,00 | 23,81 | | |
| 2,24 | 3,09 | A | — | 20,00 | 26,71 | | 21,2 |
| 2,50 | 3,47 | | | 22,40 | 30,21 | | 23,0 |
| 2,80 | 3,87 | | | 25,00 | 33,75 | | 26,5 |
| 3,15 | 4,37 | | | 28,00 | 37,75 | | 30,0 |
| 3,55 | 4,87 | | | 31,50 | 42,75 | | 33,5 |
| 4,00 | 5,42 | | | 35,50 | 47,75 | | 37,5 |
| 4,50 | 6,12 | | | 40,00 | 53,30 | A sau B | 42,5 |
| 5,00 | 6,85 | | | 45,00 | 60,30 | | 47,5 |
| 5,60 | 7,65 | | | 50,00 | 67,30 | | 53,0 |
| 6,30 | 8,65 | | | 56,00 | 75,30 | | 60,0 |
| 7,10 | 9,65 | | | 63,00 | 85,35 | | 67,0 |
| | | | | 71,00 | 95,35 | | 75,0 |
| | | | | 80,00 | 106,35 | | 85,0 |

Exemplu de notare a unui locaş pătrat forma B pentru portscule, cu dimensiunea nominală $a = 25$ mm: Locaş pătrat B 25 STAS 67-73

10.1. MATERIALELE PIETRELOR ABRAZIVE

Materialele principale care constituie corpul pietrei abrazive sînt granulele de material abraziv şi lianţii.

10.1.1. Abrazivi. Materialele abrazive sînt materiale cristaline dure, naturale sau sintetice, sub formă de granule care au proprietatea de a tăia aşchii mici şi numeroase dintr-un corp datorită virfurilor şi muchiilor pe care le prezintă.

Granula de material abraziv este un cristal sau o particulă de cristal obţinută prin sfărîmarea sau măcinare.

Mărimea granulei abrazive se caracterizează convenţional prin lăţimea ei b , exprimată în microni μ .

Dimensiunile granulei abrazive sînt determinate de lungimea l , lăţimea b şi înălţimea h ale unui paralelipiped circumscris granulei respective. Raportul dintre aceste dimensiuni trebuie să fie $l > n > h$. Raportul dimensiunii maxime faţă de cea minimă nu trebuie să depăşească valoarea 5 : 1.

Granulaţia reprezintă conţinutul în granule de diferite mărimi, exprimat în procente de greutate (compoziţia granulometrică).

Granulaţiile de materiale abrazive se împart după dimensiuni în trei grupe:

- granule : 2 500 — 160 microni ;
- pulberi : 160 — 40 microni ;
- micropulberi : 40 — 3 microni.

Notarea granulaţiilor se face astfel :

— granulele, cu numerele 200, 160, 125, 100, 80, 63, 50, 40, 32, 25, 20, 16 ;

— pulberile, cu numerele : 12, 10, 8, 6, 5, 4 :

— micropulberile cu litera M urmată de numărul care exprimă dimensiunea maximă în microni a micropulberii : M 40, M 28, M 20, M 14, M 10, M 7, M 5.

Fiecare sort de granule pulberi şi micropulberi, se caracterizează printr-o compoziţie granulometrică exprimată în procente după cinci fracţiuni :

- fracţiunea limită ;
- fracţiunea mare ;
- fracţiunea principală ;
- fracţiunea complexă ;
- fracţiunea mărunată.

Notarea granulaţiei se face după fracţiunea principală, de compoziţia granulometrică respectivă.

Caracteristicile granulaţiilor (numerele de granulaţie, dimensiunile granulelor în microni etc.) sînt indicate în STAS 1 753-60.

Şmilgheul (25—30% Al_2O_3) este tot un oxid de aluminiu ca şi corindonul, însă calitativ inferior acestuia, din cauza impurităţilor pe care le conţine.

Diamantul este abrazivul natural cu duritatea cea mai mare şi se foloseşte în mod curent la aşchieri de supranetezire (de exemplu, strunjire fină) sau îndreptare a pietrelor abrazive uzate.

Abrazivii sintetici sînt folosiţi mai mult decît cei naturali, în special electrocorundul şi carborundul.

— Electrocorundul este corindonul sintetic şi se obţine pe cale electrotermică din bauxită şi cărbune. După conţinutul în oxid de aluminiu, se deosebesc două calităţi : electrocorund normal (86—91% Al_2O_3) numit şi alundun, abrazită, electrit etc. şi electrocorund extra (96—99% Al_2O_3) de culoare albă.

— Carborundul, sau carbura de siliciu, este mai dur decît electrocorundul, însă mai puţin tenace, din care cauză se foloseşte (în special

carborundul verde) la prelucrarea materialelor foarte dure (de exemplu, plăcuțe din carburi metalice, oțeluri călite) sau sfărâmiatoase (de exemplu, fontă, bronz). După conținutul de carbon, se deosebesc două calități: *carborundul verde* (minimum 97% SiC) numit și cristolon, carbolon, carbură de siliciu etc. și *carborundul negru* (minimum 95% SiC). Carborundul verde are duritatea apropiată de cea a carburii de bor și a diamantului, însă este mai puțin tenace decât electrocorundul; carborundul negru este mai puțin dur, însă mai tenace decât carborundul verde.

Pietrele abrazive cu lianți ceramici se fabrică de obicei din următoarele materiale abrazive sintetice:

— electrocorindon normal (E) (electrocorund cu minimum 94,6% Al_2O_3);

— electrocorindon nobil (E) (electrocorund cu minimum 99% Al_2O_3);

— carbură de siliciu neagră (C);

— carbură de siliciu verde (C).

E și C reprezintă simbolurile materialului abraziv.

10.1.2. Lianți. Lianții sunt materialele care leagă granulele de abrazivi. După compoziția chimică, lianții se clasifică în lianți anorganici și lianți organici.

Lianții anorganici includ lianții ceramici (care au la bază un amestec de argilă, cuarț, feldspat și caolin ars la 1 200 — 1 300°C) și lianții minerali (silicați fluizi care se întăresc la 200°C sau oxicolorură de magneziu). Majoritatea pietrelor abrazive sunt fabricate cu lianți ceramici, prin presare în forme, uscare în camere încălzite, urmată de ardere în cuptoare la temperaturi între 1 200 și 1 300°C. Aceste pietre se folosesc la majoritatea prelucrărilor de rectificare cu sau fără lichid de răcire. Condițiile tehnice ale pietrelor abrazive cu liant ceramic sunt indicate în STAS 4593-68.

Pietrele abrazive cu lianți din silicați se uzează repede, nefiind prea dure; ele se folosesc, de obicei, la rectificarea plană uscată, fără lichid de răcire.

Lianții organici sub formă de vulcanită, șelac, bachelită etc. sunt elastici și rezistenți la șocuri. Pietrele abrazive cu lianți organici se pot confecționa cu lățimi mici și sunt, de obicei, folosite la debitarea barelor, rectificarea profilelor înguste, ascuțirea sculelor etc.

Ele au o rezistență redusă la temperaturi înalte și nu permit răcirea cu lichide de răcire.

10.2. CARACTERISTICILE PIETRELOR ABRATIVE

Elementele care caracterizează o piatră abrazivă (v. și STAS 1469-68) sunt:

- natura materialului abraziv;
- natura liantului;
- granulația (finețe) abrazivului;
- structura;
- duritatea;
- forma și dimensiunile.

Despre *natura materialului abraziv, a liantului și a granulației* s-au dat indicații în subcapitolul precedent (10.1)

Structura pietrei abrazive reprezintă raportul cantitativ dintre volumul granulelor abrazive, al liantului și al porilor pe unitatea de volum.

După structura masei pietrei, se deosebesc: pietre cu structură foarte deasă, deasă, cu desime mijlocie, rară, foarte rară, poroasă. În tabela 8.69 sunt indicate aceste structuri cu simbolurile de la 0 la 12, folosite de firmele străine.

Tabela 8.69. Clasificarea structurii pietrelor abrazive

| Structura | Foarte deasă | Deasă | Cu desime mijlocie | Rară | Foarte rară | Poroasă |
|-----------|--------------|-------|--------------------|------|-------------|---------|
| Simbolul | 0; 1 | 2; 3 | 4; 5; 6 | 7; 8 | 9; 10 | 11; 12 |

Cu cât structura este mai deasă, cu atât granulele sunt mai dese și deci porii mai mici.

Structura unei pietre abrazive trebuie să fie cu atât mai deasă, cu cât materialul de rectificat este mai dur și mai fragil și invers. De asemenea, cu cât cantitatea de material ce trebuie îndepărtată este mai mare, cu atât porozitatea trebuie să fie mai mare și invers.

Duritatea pietrei abrazive reprezintă rezistența complexului abraziv-liant la tendința de desprindere a granulelor abrazive de pe suprafața pietrei sub influența eforturilor exterioare născute în timpul lucrului.

Gradul de duritate a pietrelor abrazive reprezintă notația convențională, cu litere mari de la E la Z, care exprimă duritatea pietrelor abrazive. După gradul de duritate, pietrele abrazive se împart conform STAS 1469-68 în cinci grupe de duritate: foarte moale, moale, mijlocie, tare și foarte tare, așa cum este arătat în tabela 8.70.

Tabela 8.70. Clasificarea pietrelor abrazive după duritate

| Grupa de duritate | Foarte moale | Moale | Mijlocie | Tare | Foarte tare |
|--------------------|--------------|-------------|-------------|-------------|-------------|
| Gradul de duritate | E; F; G; | H; I; J; K; | L; M; N; O; | P; Q; R; S; | T; U; V; Z |

Observație. Fiecare literă reprezintă o duritate mai mare decât litera precedentă.

Grupa de duritate este gruparea convențională a pietrelor abrazive care cuprinde grade de duritate apropiate.

10.3. CLASIFICAREA PIETRELOR ABRATIVE CU ALIANT CERAMIC

După forma constructivă și scopul utilizării, pietrele abrazive se clasifică în următoarele patru clase: pietre-disc, pietre cu coadă, pietre-segmenți și pietre-pile. Pentru fiecare dintre aceste patru clase se fabrică mai multe tipuri de pietre abrazive. În tabela 8.71 sunt indicate denumirile diferitelor tipuri de pietre abrazive, precum și standardele dimensionale care au fost elaborate până în prezent.





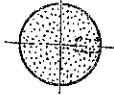

Tabela 8.71. Clasificarea pietrelor abrazive cu liant ceramic

| Poz. | Denumire | Tip | Forma secţiunii |
|-----------------------|--|-----|-----------------|
| <i>Pietre-discuri</i> | | | |
| 1 | Piatră cilindrică plană (STAS 601/1-75) | — | |
| 2 | Pietre cilindrice cu degajare (STAS 601/3-75) | — | |
| 3 | Pietre cilindrice cu scobitori (STAS 601/2-75) | I | |
| 4 | | II | |
| 5 | Pietre cilindrice cu umăr bilateral | I | |
| 6 | | II | |
| 7 | Pietre cilindrice cu umăr bilateral | III | |
| 8 | | IV | |
| 9 | Pietre conice plane (STAS 603-76) | I | |
| 10 | | II | |
| 11 | Pietre conice plane (STAS 603-76) | III | |
| 12 | | I | |

Tabela 8.71. (continuare)

| Poz. | Denumire | Tip | Forma secţiunii |
|-----------------------|--------------------------------|-----|-----------------|
| 13 | Pietre oală (STAS 605-76) | II | |
| 14 | Pietre taler (STAS 604-76) | I | |
| 15 | | II | |
| 16 | Pietre biconice (STAS 3818-76) | I | |
| 17 | | II | |
| 18 | Piatră butoiu | — | |
| 19 | Piatră mosor | — | |
| 20 | Piatră tronconică | — | |
| <i>Pietre-discuri</i> | | | |
| 21 | Piatră cilindrică | I | |
| 22 | Piatră tronconică | II | |

Tabela 8.71 (continuare)

| Poz. | Denumire | Tip | Forma secţiunii |
|------|--|------|--|
| 23 | Piatră cilindro-conică | III |  |
| 24 | Piatră cilindrică cu vârful rotunjit | IV |  |
| 25 | Piatră conică cu vârful rotunjit | V |  |
| 26 | Piatră cilindro-conică cu vârful retezat | VI |  |
| 27 | Piatră sferică | VII |  |
| 28 | Piatră cilindrică cu vârful emisferic | VIII |  |

Pietre segment

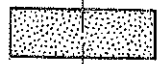
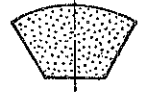


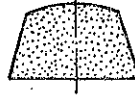
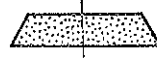


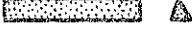


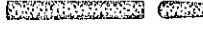
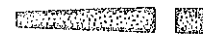
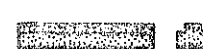
| | | | |
|----|--|-----|--|
| 29 | Piatră segment dreptunghiulară | I |  |
| 30 | Piatră segment convex-concavă cu feţele laterale oblice (STAS 3639-76) | II |  |
| 31 | Piatră segment convex-concavă cu feţele laterale paralele | III |  |
| 32 | Piatră segment convex-plană (STAS 3639-76) | IV |  |

Tabela 8.71 (continuare)

| Poz. | Denumire | Tip | Forma secţiunii |
|------|-----------------------------|-----|---|
| 33 | Piatră segment plan-convexă | V |  |
| 34 | Piatră segment trapezoidală | VI |  |

Pietre pilă

| | | | |
|----|--|------|---|
| 35 | Piatră cu secţiunea pătrată | I |  |
| 36 | Piatră prismatică cu secţiunea dreptunghiulară | II |  |
| 37 | Piatră cu secţiunea triunghiulară | III |  |
| 38 | Piatră cu secţiunea circulară | IV |  |
| 39 | Piatră cu secţiunea semicirculară | V |  |
| 40 | Piatră cu secţiunea în formă de cuţit | VI |  |
| 41 | Piatră piramidală cu secţiunea dreptunghiulară | VII |  |
| 42 | Piatră cu nervură | VIII |  |

10.4. ALEGEREA PIETRELOR DE POLIZOR

Alegerea pietrelor abrazive se face, în general, în funcţie de obiectul sau materialul de rectificat şi de felul operaţiei de prelucrare care se execută.

Astfel, în tabela 8.72 sînt indicate caracteristicile pietrelor depolizor pentru rectificarea rotundă exterioară, în tabela 8.73 pentru rectificarea rotundă interioară şi în tabela 8.74 pentru rectificarea plană.

În tabela 8.75 sînt arătate caracteristicile corpurilor abraziv pentru ascuţirea sculelor aşchietoare.

Tabela 8.72. Caracteristicile corpurilor abrazive pentru rectificarea rotundă exterioară

| Felul operației | Suprafața prelucrată : | | | | | | | | |
|---------------------------|----------------------------|----------------------------|------------|-----------|----------------------|----------------------------|------------|-----------|--------------------|
| | fără canal de degajare | | | | cu canal de degajare | | | | |
| | Caracteristicile pietrei : | | | | | | | | |
| | Materialul de prelucrat | materia- lul abraziv | granulația | duritatea | liantul ceramic | materia- lul abraziv | granulația | duritatea | liantul ceramic |
| Cu avans de trecere | Oțel necălit | E | 40...50 | M-N | C | E | 25...40 | M-O | C |
| | 35...50 HRC | E | 40 | L-M | C | E | 25...40 | L-N | C |
| | Oțel călit | E | 40 | L-M | C | E | 25...40 | L-O | C |
| | 50 HRC | En | | | C | En | | | |
| | Fontă | Cn | 40...50 | K-L | C | - | - | - | - |
| Cu avans de pătrundere | Oțel necălit | E | 40...50 | M-N | C | E | 25...50 | N-P | C |
| | 35...50 HRC | E | 50 | L-M | C | E | 25...40 | M-O | C |
| | Oțel călit | E | 50 | L-M | C | En | 25...40 | M-O | C |
| | 50 HRC | En | | | C | En | 25...40 | M-O | C |
| | Fontă | Cn | 40...50 | K-M | C | - | - | - | - |

Tabela 8.73. Caracteristicile corpurilor abrazive pentru rectificarea rotundă interioară

| Felul operaţiei | Materialul de prelucrat | Caracteristicile | | | |
|---------------------|-------------------------|----------------------------|------------|-----------|-----------------|
| | | materia- lul abraziv | granulaţia | duritatea | liantul ceramic |
| Cu avans de trecere | Oţel necălit | E | 25...40 | M-N | C |
| | 30...50 HRC | E | 16...40 | M-L | C |
| | Oţel călit | En | 16...50 | K-L | C |
| | 50 HRC | En | 40 | K-L | C |
| | Fontă | Cn | — | — | — |

Tabela 8.74. Caracteristicile pietrelor abrazive pentru rectificarea plană

| Felul operaţiei | Materialul de prelucrat | Caracteristicile pietrei | | | |
|------------------------------|-------------------------|----------------------------|------------|-----------|-----------------|
| | | materia- lul abraziv | granulaţia | duritatea | liantul ceramic |
| Cu periferia pietrei | Oţel necălit | E | 40...50 | L-M | C |
| | Oţel călit | E | 25...50 | K-L | C |
| | Fontă | En | 25...40 | K-L | C |
| | 50 HRC | Cn | 40...50 | L-M | C |
| | Oţel necălit | E | 40...50 | L-M | C |
| Cu partea frontală a pietrei | Oţel călit | E | 40...50 | K-L | C |
| | 35...50 HRC | E | 25...40 | K-L | C |
| | 50 HRC | En | 40...50 | K-L | C |
| | Fontă | Cn | 40...50 | K-L | C |
| | Oţel necălit | E | 40...50 | L-M | C |

Tabela 8.75. Caracteristicile corpurilor abrazive pentru aşchietoare

| Sculele care se aşchiesc | Denumirea materia- lului sculelor | Operaţia | Simbolul | | | |
|---|--------------------------------------|--|----------------------------|------------|-----------|-----------|
| | | | materia- lul abraziv | granulaţia | duritatea | liantul*) |
| 1 | 2 | 3 | 4 | 5 | 6 | 7 |
| Cuţite pentru : — strung — raboteză | Oţel carbon | Rectificarea corpului cuţitului | E | 40...50 | N | B |
| | Oţel de scule şi oţel rapid | Secţiunea cuţitului | E | 40...50 | N-O | C |
| | | ≤ 250 mm ² | E | 25...40 | N | |
| | | ≤ 900 mm ² | | 25 | | |
| | | > 900 mm ² | | 40...50 | L-M | C |
| Cuţite roată pentru danturare | Carburi metalice | Ascutire de degroşare | Cv | 16...25 | N | |
| | | Ascutire de semifinisare | En | 16...25 | L | C |
| | | Finisare | En | 25 | N | |
| | | Ascutirea feţei de degajare | En | 6 | N | B |
| | | Finisarea feţei de degajare | Cv | 10 | M | C |
| Cuţite piepteni pentru danturare | Oţel rapid | Ascutirea feţei de degajare după golul dintelui | En | 10 | M | C |

*) C—ceramie
B—bachelitic

Tabela 8.75 (continuare)

| Sculele care se ascut | Denumirea materialului sculelor | Operația | Simbolul | | | Ilanțul* |
|-----------------------------|---------------------------------|---|--------------------|------------|---------|----------|
| | | | materiului abraziv | granulația | duriata | |
| 1 | 2 | 3 | 4 | 5 | 6 | 7 |
| Cuțite pentru profilare | Oțel rapid | Ascutirea manuală a fețelor | E | 25...40 | L-N | C |
| | | Ascutirea automată a fețelor | E | 25...40 | L-M | C |
| | | Finisarea manuală a fețelor cu pile abrazive | En | 5 | N | C |
| | | Rectificarea plană cu pietre-osală | E | 40...50 | K-L | C |
| Cuțite pentru filetare | Oțel de scule | Ascutire | E | 25...40 | M-N | C |
| | | Ascutirea feței de aşezare și a feței de degajare cu piatră-osală | En | 25 | M | C |
| | | Finisare cu piatră-osală | Cv | 6 | N | B |
| | | Finisare manuală cu pilă abrazivă | En | 5 | N | C |
| Burghe spirale | Oțel de scule și oțel rapid | Ascutire | En | 8...12 | L-M | C |
| | | $\phi \leq 5 \text{ mm}$ | E | 25...40 | N | |
| | | $\phi = 5...40 \text{ mm}$ | E | 50 | | |
| | | $\phi > 40 \text{ mm}$ | | | | |
| Alezoare | Oțel rapid | Ascutirea feței de aşezare cu piatră-osală | En | 25 | M | C |
| | | Finisarea feței de aşezare | Cv | 6 | N | B |
| | | Superfinisarea manuală a feței de aşezare cu pilă abrazivă | En | 5 | N | C |
| | | Rectificare exterioară circulară | E | 25...40 | M-N | C |
| Adâncitoare cu coadă conică | Oțel rapid | Tăierea canalelor | E | 12...16 | O-P | B |
| | | Ascutirea cu piatră oală | En | 25...40 | L-M | C |
| | | Finisarea cu piatră oală | Cv | 6 | N | B |
| | | Ascutirea fețelor de aşezare a dinților cu piatră-osală | En | 25 | M | C |
| Adâncitoare cu alezaj conic | Oțel rapid | Ascutirea feței de de degajare a dinților | En | 40 | M | C |
| | | Finisare | Cv | 6 | N | B |
| | | | | | | |
| | | | | | | |

*) C - ceramic
B - baehelitic.

Tabela 8.75 (continuare)

| Sculele care se ascut | Denumirea materialului sculelor | Operația | Simbolul | | | Ilanțul* |
|-------------------------------------|---------------------------------|---|--------------------|------------|---------|----------|
| | | | materiului abraziv | granulația | duriata | |
| 1 | 2 | 3 | 4 | 5 | 6 | 7 |
| Freze cilindrice cu dinți rari | Oțel rapid | Ascutire | E | 40...50 | N | B |
| | | Reascutire | En | 12 | | C |
| | | Ascutire | Cv | 25 | L-M | B |
| | | Finisare | E | 6 | N | C |
| Freze cilindrice cu dinți rari | Oțel rapid | Ascutirea feței de degajare | En | 25 | M | B |
| | | Ascutirea feței de aşezare | Cv | 6 | N | C |
| | | Finisarea feței de aşezare | En | 25 | M | B |
| | | Ascutirea feței de degajare | En | 6...10 | N | C |
| Freze frontale cu dinți demontabili | Carburi metalice | Ascutirea feței de degajare | En | 25 | M | C |
| | | Ascutirea feței de aşezare | Cv | 6 | N | C |
| | | Finisarea feței de aşezare | En | 25 | M | C |
| | | Ascutirea feței de degajare | En | 6...10 | N | C |
| Freze modul | Oțel rapid | Ascutirea feței de degajare | En | 25 | M | C |
| | | Ascutirea feței de aşezare | Cv | 6 | N | B |
| | | Finisarea feței de aşezare | En | 25 | M | C |
| | | Ascutirea feței de degajare | En | 6...10 | N | C |
| Filieri | Oțel de scule și oțel rapid | Rectificarea prealabilă a filetelui | En | 4...5 | N | C |
| | | Rectificarea de semifinisare a filetelui | En | M28...M40 | M-N | C |
| | | Ascutirea feței de degajare | En | 40 | L-M | C |
| | | Finisarea feței de degajare | Cv | 6 | N | B |
| Tarozi | Oțel de scule și oțel rapid | Degroșarea | E | 50 | O-P | B |
| | | Rectificarea plană a capului pătrat | E | 24...40 | N | C |
| | | Rectificarea circulară a feței de aşezare pe partea de atac | E | 25...40 | M-N | C |
| | | Rectificarea cozii | E | 25...40 | N | B |
| Tarozi | Oțel de scule și oțel rapid | Tăierea canalelor fără frezare prealabilă | E | 10 | N | C |
| | | Rectificarea canalelor | E | 25...4 | N | C |
| | | Ascutirea feței de degajare | E | 16...40 | M-N | C |
| | | | | | | |

TOLERANȚE ȘI AJUSTAJE

1. GENERALITĂȚI

1.1. CAUZELE ERORILOR DE PRELUCRARE

La prelucrarea oricărei piese, dimensiunile indicate pe desen nu pot fi realizate și nici măsurate cu o precizie matematică din cauze multiple, dintre care mai importante sînt următoarele:

- precizia insuficientă a mașinilor-unelte și a instrumentelor de măsurat;
- erori cauzate de uzura sculelor;
- erori provocate de așezarea și fixarea incorectă a pieselor pe mașinile-unelte etc.

Din proiectare se pot stabili, pentru orice piese, limitele între care pot varia dimensiunile acestora, limite care să asigure însă funcționarea corectă a mașinii în acest interval de dimensiuni.

Rezultă deci necesitatea de a se impune anumite limite la erorile admise pentru prelucrarea și pentru măsurare. Pe baza acestor erori admise se stabilesc așa-numitele toleranțe de fabricație, respectiv de măsurare. Deci în loc să se indice pe desen cotele numai prin valorile lor nominale (dimensiuni teoretice luate ca bază) se înscrie dimensiunea nominală a piesei și abaterile limită, care determină dimensiunea maximă, deci abaterea superioară admisă și dimensiunea minimă, deci abaterea inferioară admisă. Diferența între aceste dimensiuni limită reprezintă *toleranța de prelucrare*. Toleranța reprezintă deci o prescripție de precizie pentru execuție.

1.2. INTERSCHIMBABILITATEA

Producția în masă sau în serie a diferitelor mașini dispozitive etc, este posibilă numai dacă se respectă condiția de interschimbabilitate. Conform acestei condiții, piesele componente ale unei mașini fabricate în serie trebuie să se poată monta la oricare altă mașină identică fără nici o dificultate și fără a necesita prelucrări suplimentare. La o asemenea fabricație, fiecare piesă poate fi înlocuită cu alta de același fel.

Montarea mașinilor în asemenea condiții de realizează datorită faptului că toate abaterile admisibile de la dimensiunile nominale se stabilesc dinainte și sînt astfel alese, încît asigură posibilitatea de montare a pieselor fără ajustare suplimentară.

Numai prin respectarea acestor condiții se pot organiza depozite de piese de schimb care să asigure înlocuirea rapidă a pieselor uzate.

La stabilirea toleranțelor trebuie avut în vedere că abaterile admisibile la prelucrarea pieselor să fie suficient de mari, în scopul de a se evita numărul mare de piese rebutate, adică piese care depășesc limitele prescrie. Aceasta înseamnă că la alegerea dimensiunilor limită trebuie să se țină seama de precizia strict necesară pentru a se asigura funcționarea normală a piesei și de precizia economică care se poate realiza cu mașinile-unelte existente.

Dacă inițial toleranțele se stabileau numai pentru piesele care se asamblau după un anumit ajustaj între ele, mai târziu s-au prevăzut toleranțe ca prescripții de execuție pentru atelier, chiar în cazul pieselor fără condiții severe de funcționare, sau în fazele de lucru, în care unele abateri nu influențează scopul final al piesei. Astfel s-au elaborat standarde cu toleranțe pentru dimensiunile brute ale pieselor turnate din fontă (STAS 1592/1-74), ale pieselor turnate din oțel (STAS 1592/2-74) și pentru piese din oțel forjate liber (STAS 2171-70). De asemenea s-a elaborat un standard (STAS 2300-75) pentru stabilirea dimensiunilor limită la piesele la care dimensiunile sînt libere și deci nu au toleranțe prevăzute pe desenele de execuție.

Prescripțiile de precizie nu se referă numai la dimensiuni, ci și la forma geometrică, precum și la poziție. În acest sens se menționează STAS 7384-66 (Terminologie), STAS 7391/6-74 (Toleranțe la bătaii radiale și bătaii frontale), STAS 7391/2-74 (Toleranțe la circularitate și cilindricitate), STAS 7391/3-74 (Toleranțe la paralelism și perpendicularitate), STAS 7391/1-74 (Toleranțe la rectilinitate, planitate, forma dată a profilului și a suprafeței), STAS 7391/4-74 (Toleranțe la coaxialitate, la simetrie și la intersectare).

1.3. SISTEME DE TOLERANȚE

Un sistem de toleranțe stabilește anumite norme în domeniul de fabricație și în special în fabricația de serie, astfel ca fiecare ramură industrială să se poată încadra în acest sistem pentru o anumită precizie de lucru și un anumit fel de ajustare.

Diferitele țări și-au elaborat sisteme de toleranțe proprii. Astfel, în U.R.S.S. există sistemul de toleranțe OST, în Germania DIN iar la noi în țară sistemul de toleranțe și ajustaje STAS, care poate fi aplicat numai la produsele a căror documentație tehnică a fost elaborată și

aprobată înainte de data de 1 ianuarie 1969. După această dată, pentru toate construcțiile noi, în țara noastră se aplică sistemul de toleranțe și ajustaje ISO.

Toate datele referitoare la noul sistem de toleranțe și ajustaje ISO sînt cuprinse în standardele STAS 8100...8107-68.

2. NOȚIUNI DE BAZĂ

2.1. DIMENSIUNI, ABATERI, TOLERANȚE

Definițiile pentru dimensiuni, abateri, și toleranțe sînt precizate în sistemul de toleranțe și ajustaje, după cum urmează:

Dimensiunea exprimă, în unitatea de măsură aleasă, valoarea numerică a unei lungimi. Ea este una dintre caracteristicile liniare care determină mărimea unei piese (de exemplu, diametru, lungime etc.). Dimensiunea înscrisă pe un desen tehnic se numește *cotă*.

Dimensiunea nominală N (fig. 9.1—9.3) este valoarea luată ca bază pentru a caracteriza o anumită dimensiune indiferent de diferențele admise, inerente imperfecțiunii de execuție și necesare asamblării cu un anumit joc sau strîngere (de exemplu $N = 50$).

Dimensiunile nominale adoptate la proiectarea pieselor se aleg din șirurile de numere normale reglementate prin 283-69 și respectiv STAS 75-72.

Dimensiunea efectivă E este dimensiunea a cărei valoare se obține prin măsurarea piesei (de exemplu 49,96).

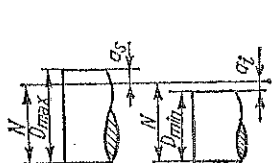


Fig. 9.1.

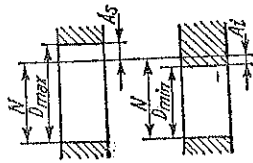


Fig. 9.2.

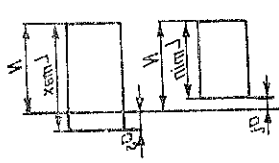


Fig. 9.3.

Dimensiunea efectivă a unei piese trebuie să fie cuprinsă între cele două dimensiuni limită.

Dimensiunile limită sînt: *dimensiunea maximă* (de exemplu 49,98) care se notează prin D_{max} , L_{max} etc. și *dimensiunea minimă* (de exemplu 49,93) care se notează prin D_{min} , L_{min} etc.

Abaterea este diferența algebrică dintre o dimensiune (efectivă, maximă etc.) și dimensiunea nominală corespunzătoare.

Abaterea efectivă A este diferența între dimensiunea efectivă și dimensiunea nominală. De exemplu:

$$A = E - N = 49,96 - 50 = -0,04.$$

Abaterea superioară este diferența între dimensiunea maximă și dimensiunea nominală. Abaterea superioară efectivă în exemplul de mai sus pentru alezaj se notează cu A_s și are valoarea:

$$A_s = D_{max} - N = 49,98 - 50 = -0,02.$$

Abaterea inferioară este diferența între dimensiunea minimă și dimensiunea nominală. Abaterea inferioară efectivă în exemplul de mai sus pentru alezaj se notează cu A_i și are valoarea:

$$A_i = D_{min} - N = 49,93 - 50 = -0,07.$$

În cazul arborelui, abaterea superioară se notează cu a , iar abaterea inferioară cu a_i .

Noțiunile de dimensiuni și abateri sînt concretizate în figura 9.1 pentru arbori și în figura 9.2 pentru alezaje.

Abaterile limită sînt cele două abateri (superioară și inferioară) obținute ca diferențe algebrice dintre dimensiunile limită și dimensiunea nominală corespunzătoare.

Toleranța T este diferența dintre dimensiunea maximă și dimensiunea minimă (figura 9.3). Toleranța efectivă în exemplul de mai sus este $T = D_{max} - D_{min} = 49,98 - 49,93 = 0,05$.

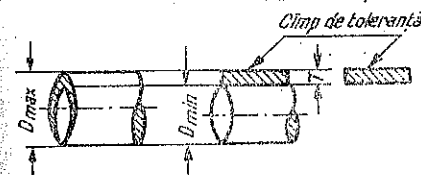


Fig. 9.4.

Cîmpul de toleranțe în reprezentări grafice este zona cuprinsă între linia corespunzătoare dimensiunii maxime și cea corespunzătoare dimensiunii minime (figura 9.4). Considerînd că arborele este introdus în alezaj astfel ca generatoarea sa de jos să coincidă cu cea alezajului,

în grafic se introduce numai generatoarea de sus.

Abaterea superioară ($-0,02$) și cea inferioară ($-0,07$) se raportează la dimensiunea nominală N (50). Pe desene, ambele abateri se notează cu cifre mici față de dimensiunea nominală, după cum urmează:

Dimensiunea nominală N $\left\{ \begin{array}{l} a_s \text{ (abaterea superioară)} \\ a_i \text{ (abaterea inferioară)} \end{array} \right.$

În cazul exemplului de mai sus, abaterile se scriu astfel: $50_{-0,07}^{-0,02}$

Dacă una din abateri este egală cu zero, aceasta nu se mai notează pe desen. Astfel, dacă în exemplul precedent abaterea inferioară este zero, toleranța pe desen se scrie astfel: $50_{-0,07}^{+0,05}$.

Notarea toleranțelor se mai poate face și prin simbolurile din sistemul de toleranțe STAS [de exemplu 30 (TA2)], precum și prin ambele notații [de exemplu 30^{+1}_0 (TA2)].

Înscrierile toleranțelor pe desene sînt explicate detaliat în STAS 6265-67.

2.2. JOCURI, STRÎNGERI, AJUSTAJE

La asamblarea a două piese, suprafața interioară (cuprinsă) a unei piese intră în cea exterioară (cuprinzătoare) a celeilalte piese. În cazul corpurilor cilindrice, suprafața cuprinzătoare se numește *alezaj*, iar cea cuprinsă *arbore*. Dimensiunile acestor două suprafețe sînt diametrul alezajului, respectiv diametrul arborelui.

Diametrul nominal al alezajului și acela al arborelui sînt întotdeauna unul și același; el se numește *diametrul nominal al asamblării*.

După cum diametrul alezajului este mai mare sau mai mic decît cel al arborelui, asamblarea poate fi cu *joc* sau cu *strîngere*.

În sistemul de toleranțe și ajustaje STAS sînt date definițiile care urmează pentru corpurile cilindrice.

Jocul J este diferența dintre diametrul efectiv al alezajului și diametrul efectiv al arborelui, în cazul cînd primul este mai mare decît al doilea (fig. 9.5).

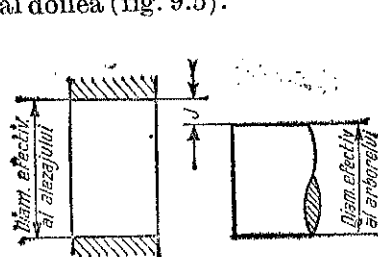


Fig. 9.5.

Jocul maxim J_{max} (fig. 9.6) este diferența dintre diametrul maxim al alezajului (de exemplu 50,02) și diametrul minim al arborelui (de exemplu 49,95):

$$J_{\max} = D_{\max} \text{ alezaj} - D_{\min} \text{ arbore} = 50,02 - 49,95 = 0,07.$$

Jocul minim J_{min} (fig. 9.6) este diferența dintre diametrul minim al alezajului (de exemplu 50) și diametrul maxim al arborelui (de exemplu 49,98):

$$J_{\min} = D_{\min} \text{ alezaj} - D_{\max} \text{ arbore} = 50 - 49,98 = 0,02.$$

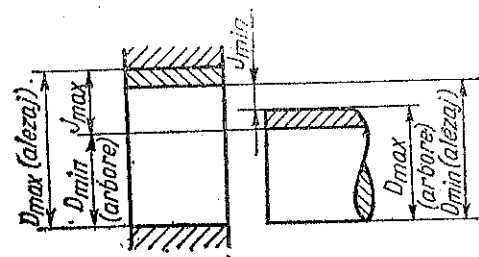


Fig. 9.6.

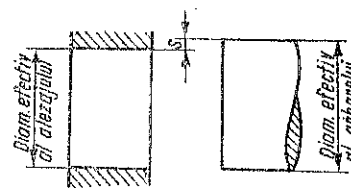


Fig. 9.7.

Stringerea S (fig. 9.7) este diferența dintre diametrul efectiv al arborelui și diametrul efectiv al alezajului măsurate înainte de asamblare, în cazul cînd diametrul alezajului este mai mic decît al arborelui.

Stringerea maximă S_{max} (fig. 9.8) este diferența dintre diametrul maxim al arborelui (de exemplu 50,07) și diametrul minim al alezajului (de exemplu 50):

$$S_{\max} = D_{\max} \text{ arbore} - D_{\min} \text{ alezaj} = 50,07 - 50 = 0,07$$

Stringerea minimă S_{min} (fig. 9.8) este diferența dintre diametrul minim al arborelui (de exemplu 50,05) și diametrul maxim al alezajului (de exemplu 50,02):

$$S_{\min} = D_{\min} \text{ arbore} - D_{\max} \text{ alezaj} = 50,05 - 50,02 = 0,03.$$

Ajustajul reprezintă relația care rezultă din diferența dintre dimensiunile dinainte de asamblare a două piese care se assemblează.

Ajustajele pot fi: cu joc, cu strîngere și intermediare.

Ajustajul cu joc (fig. 9.6) este ajustajul la care diametrul oricărui alezaj este mai mare decît diametrul oricărui arbore; cîmpul de toleranță al alezajului se află în întregime deasupra cîmpului de toleranță al arborelui.

Ajustajul cu strîngere (fig. 9.8) este ajustajul la care, înainte de asamblare, diametrul oricărui alezaj este mai mic decît diametrul oricărui arbore: cîmpul de toleranță al alezajului se află în întregime sub cîmpul de toleranță al arborelui.

Ajustajul intermediar (fig. 9.9) este ajustajul la care pot rezulta atât asamblări cu joc cît și asamblări cu strîngere; cîmpul de toleranță al alezajului se suprapune parțial sau complet pe cîmpul de toleranță al arborelui.

Toleranța ajustajului este diferența dintre jocurile, respectiv strîngerile, maxime și minime; ea este egală cu suma toleranțelor alezajului și arborelui.

Astfel, dacă se ține seama de variația jocurilor strîngerilor, distingem și în cazul ajustajelor:

- Toleranța ajustajului cu joc $T_j = J_{max} - J_{min}$
 - Toleranța ajustajului cu strângere $T_s = S_{max} - S_{min}$
- Înlocuind pe J_{max} , J_{min} , S_{max} și S_{min} prin valorile lor corespunzătoare indicate anterior se obține:

$$T_j = (D_{max \text{ alezaj}} - D_{min \text{ arbore}}) - (D_{min \text{ alezaj}} - D_{max \text{ arbore}}) = \\ = (D_{max} - D_{min}) \text{ alezaj} + (D_{max} - D_{min}) \text{ arbore}$$

sau $T_j = T_{alezaj} + T_{arbore}$
În mod similar,

$$T_s = (D_{max \text{ arbore}} - D_{min \text{ alezaj}}) - (D_{min \text{ arbore}} - D_{max \text{ alezaj}}) = \\ = (D_{max} - D_{min}) \text{ arbore} + (D_{max} - D_{min}) \text{ alezaj}$$

sau $T_s = T_{arbore} + T_{alezaj}$

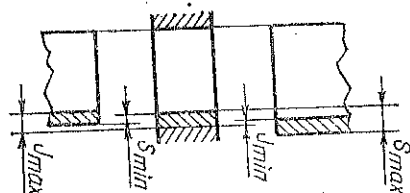


Fig. 9.9.

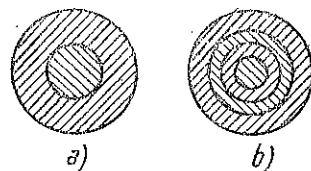


Fig. 9.10.

În general, piesele pot fi asamblate câte două sau mai multe; în primul caz se obține o *asamblare simplă* (fig. 9.10, a) iar în al doilea, o *asamblare multiplă* (fig. 9.10, b). În asamblarea multiplă deosebim: o piesă interioară, una sau mai multe intermediare și o piesă exterioară.

Toate definițiile de mai sus s-au referit la suprafețe cilindrice; principiile enunțate pot fi însă aplicate prin adaptarea corespunzătoare și la alte forme ale suprafețelor.

2.3. JOCURI ȘI STRÎNGERI TERMICE

Temperatura de referință la proiectarea pieselor este 20°C. Diferența dimensiunilor pieselor asamblate, diferență care caracterizează ajustajul respectiv, se consideră tot la temperatura de referință.

În exploatare nu este posibil să se mențină această temperatură pentru piesele în funcționare.

Un ajustaj rămâne neschimbat numai cînd ambele piese asamblate au aceeași temperatură și același coeficient de dilatare. Dacă ele au coeficienți de dilatare diferiți apar două categorii de jocuri și strîngeri:

- jocuri și strîngeri la temperatura de referință, numite și jocuri și strîngeri „constructive” sau „rechi”;
- jocuri și strîngeri la temperatura reală a pieselor (temperatura de regim), numite și jocuri și strîngeri „termice” sau „de exploatare”.

Ca piesele care formează o asamblare să nu se întepenească în timpul exploatare este necesar ca la calculul toleranțelor, ajustajele să fie analizate și din punctul de vedere al temperaturii de regim.

Exemple de calcul 1. Se consideră un piston de motor, la care dimensiunea nominală a canalului și a segmentului de piston este de 20 mm, segmentul fiind executat din fontă, care are coeficientul de dilatare $\alpha_{Fc} = 10 \cdot 10^{-6}$, iar pistonul de aluminiu care are coeficientul de dilatare $\alpha_{AL} = 25 \cdot 10^{-6}$.

Jocul de exploatare J_e la temperatura de 300°C, trebuie să varieze între 0,25 mm și 0,33 mm. Se cere să se determine jocul constructiv J_c .

Pentru rezolvare, se știe că variația jocului constructiv în timpul exploatare este egală cu diferența dintre dilatarea canalului și a segmentului, adică:

$$J_e - J_c = \alpha_{AL}(t_e - 20^\circ)N - \alpha_{Fc}(t_e - 20^\circ)N,$$

în care: t_e este temperatura de exploatare ($t = 300^\circ\text{C}$);

N — dimensiunea nominală a canalului și a segmentului.

$$\text{Rezultă: } J_c = J_e - N [\alpha_{AL} \cdot (t_e - 20^\circ) - \alpha_{Fc} \cdot (t_e - 20^\circ)];$$

$$J_c = J_e (\alpha_{AL} - \alpha_{Fc}) (t_e - 20^\circ)N.$$

Înlocuind valorile numerice ale mărimilor din relația anterioară, se obține:

$$J_c = J_e - 20 \cdot (25 - 10) \times 10^{-6} (300 - 20) = J_e - 300 \times 280 \times 10^{-6} = J_e - 0,084 \text{ mm}$$

$$\text{Deci, jocul constructiv va fi: } J_{max} = 0,33 - 0,084 = 0,246 \text{ mm}; \\ J_{min} = 0,25 - 0,084 = 0,166 \text{ mm}.$$

2. Un ax de oțel cu diametrul de 100 mm se rotește într-un lagăr executat din aliaj antifricțiune. Jocul de exploatare al lagărului variază între 0,1 mm și 0,3 mm. Să se determine jocul constructiv al lagărului, știind că temperatura de funcționare poate scădea pînă la -40°C.

După cum s-a arătat în exemplul anterior,

$$J_e = J_c - \alpha_{AL}(t_e - 20)N - \alpha_{OL}(t_e - 20)N.$$

$$J_c = J_e - 100 (24 \cdot 10^{-6} - 11,5 \cdot 10^{-6}) (-40 - 20) =$$

$$= J_e - 100 \cdot 10^{-6} \times 12,5 (-60) = J_e + 75 \times 10^{-6} = J_e + 0,075 \text{ mm}.$$

$$\text{Jocul constructiv va fi: } J_{max} = 0,3 + 0,075 = 0,375 \text{ mm}; \\ J_{min} = 0,1 + 0,075 = 0,175 \text{ mm}.$$

3. Un fus de oțel, cu diametrul de 100 mm, se montează într-un cuzinet dintr-un aliaj de aluminiu, cu un ajustaj avînd jocul minim de 10 μm. Coeficientul de dilatare termică al aliajului de aluminiu fiind de circa $25 \cdot 10^{-6}$, iar al oțelului, de $11,5 \cdot 10^{-6}$, rezultă pentru fiecare grad de creștere a temperaturii o micșorare a jocului cu:

$$(25 - 11,5) \cdot 100 \cdot 1 \cdot 1^\circ\text{C} = 1,35 \text{ μm}.$$

2.4. SISTEME DE AJUSTAJ

Prin această denumire se înțeleg o serie de ajustaje cu diferite jocuri și strîngeri, întocmite în mod rațional.

Definițiile care urmează se referă la corpurile rotunde (cilindrice); ele rămân valabile și pentru corpurile nerotunde.

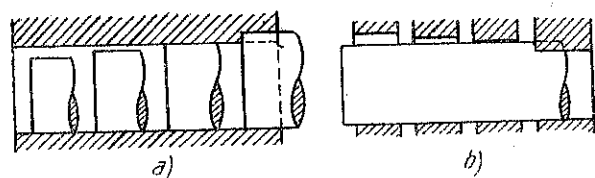


Fig. 9.11.

În toate sistemele de toleranțe (STAS, OST, ISO, DIN etc.) există două sisteme de ajustaje: sistemul de ajustaj cu arbore unitar și sistemul de ajustaj cu alezaj unitar, sau pe scurt: sistemul arbore unitar și sistemul alezaj unitar.

Diferitele feluri de asamblări cu alezaj unitar se obțin menținând constant alezajul și variind diametrul arborelui (fig. 9.11, a). În ce privește asamblările cu arbore unitar, acestea se obțin menținând constant diametrul arborelui și variind diametrul alezajului (fig. 9.11, b).

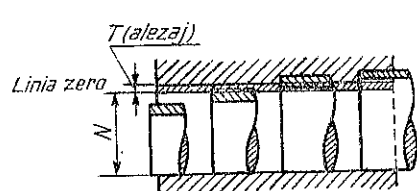


Fig. 9.12.

Sistemul de ajustaj cu alezaj unitar (fig. 9.12) se caracterizează prin poziția constantă a cîmpului de toleranță al alezajului față de linia zero: diferitele ajustaje se obțin variind convenabil poziția cîmpului de toleranță al arborelui.

Diametrul minim al alezajului este egal cu diametrul nominal N al acestuia.

Abaterea inferioară a alezajului este egală cu zero, iar abaterea superioară a alezajului este egală cu toleranța T a alezajului.

Sistemul de ajustaj cu arbore unitar (fig. 9.13) se caracterizează prin poziția constantă a cîmpului de toleranță al arborelui față de linia zero: diferitele ajustaje se obțin variind convenabil poziția de toleranță a alezajului.

Diametrul maxim al arborelui este egal cu diametrul nominal N al acestuia.

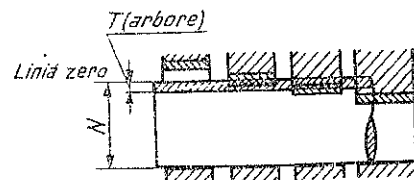


Fig. 9.13.

Abaterea superioară a arborelui este egală cu zero: abaterea inferioară a arborelui este egală cu toleranța T a arborelui.

Abaterea inferioară a alezajului este egală cu jocul minim, respectiv strângerea maximă.

Linia zero, în reperzentări grafice, este linia de referință față de care se măsoară abaterile; poziția ei este determinată de dimensiunea nominală. Deoarece diametrul minim în sistemul alezaj unitar, respectiv diametrul maxim în sistemul arbore unitar se confundă cu diametrul nominal, abaterile inferioare, respectiv superioare, sînt egale cu zero; în consecință și linia de bază pentru construirea sistemului de ajustaje se numește linia zero.

În ambele sisteme de ajustaj, linia zero este linia de referință pentru întreaga îmbinare, atât pentru alezaj cît și pentru arbore.

3. SISTEMUL DE TOLERANȚE ISO

3.1. GENERALITĂȚI

În țara noastră s-a adoptat sistemul ISO de toleranțe și ajustaje, sistem aplicat în marea majoritate a țărilor industriale ca urmare a acordului la care s-a ajuns în cadrul Organizației Internaționale ISO.

Prin aceasta se realizează o unificare maximă a diferitelor sisteme naționale de toleranțe, în vederea ușurării schimbului internațional din domeniul construcției de mașini.

Sistemul de toleranțe și ajustaje ISO cuprinde două sisteme de ajustaje: sistemul alezaj unitar și sistemul arbore unitar.

Sistemul preferat este cel al alezajului unitar, pentru care sînt date cîmpurile preferențiale în STAS 8104-68. În cazul în care acest sistem, din motive tehnologice sau funcționale, este apreciat ca nerațional, se aplică sistemul arbore unitar conform STAS 8105-68.

Sistemul ISO de toleranțe și ajustaje se referă la toleranțele dimensiunilor pieselor netede și la ajustajele care se formează prin asamblarea lor.

Datorită importanței deosebite a pieselor cilindrice cu secțiune circulară, în cele ce urmează pentru simplificare se vor specifica explicit numai aceste piese. Se menționează însă că regulile și prescripțiile referitoare la acest tip de piese se aplică integral la oricare altă piesă netedă; termenii „alezaj” sau „arbore” se consideră că definesc spațiul care cuprinde, respectiv care este cuprins între două suprafețe (sau planuri tangente) paralele ale unei piese oarecare, de exemplu: lățimea unui canal, grosimea unei pene etc.

Temperatura de referință pentru măsurătorile tehnice și deci și pentru dimensiunile definite prin sistemul ISO de toleranțe și ajustaje, este stabilită la 20°C, conform STAS 1033-68.

3.2. TERMINOLOGIE

În cele ce urmează se dau definițiile numai pentru termenii menționați la subcapitolul 2 (pag. 480).

Abatere fundamentală. Este acea abatere dintre cele două abateri limită (superioară și inferioară) care este aleasă convențional pentru definirea câmpului de toleranță în raport cu linia (fig. 9.14).

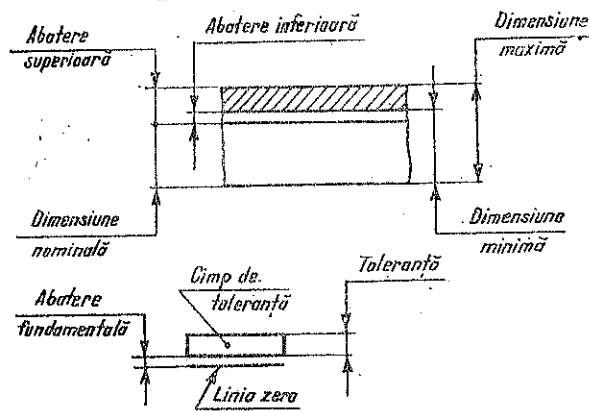


Fig. 9.14.

zone (toleranță) și prin poziția ei în raport cu linia zero (fig. 9.14).

Treaptă de precizie (pe scurt precizie). Într-un sistem standardizat de toleranțe și ajustaje reprezintă ansamblul toleranțelor considerate corespunzătoare aceluiași grad de precizie pentru toate dimensiunile nominale.

Toleranță fundamentală. În sistemul ISO de toleranțe și ajustaje, o toleranță oarecare a sistemului.

Unitate de toleranță. În sistemul ISO de toleranțe și ajustaje este un factor exprimat numai în funcție de dimensiunea nominală și servește ca bază de determinare a toleranțelor fundamentale (toleranță fundamentală este egală cu produsul dintre valoarea unității de toleranță pentru dimensiunea nominală considerată și un coeficient propriu fiecărei precizii).

Arbore. Termen utilizat convențional pentru denumirea oricărei dimensiuni exterioare a unei piese, chiar dacă nu este cilindrică.

Toleranță. Toleranța este diferența dintre dimensiunea maximă și dimensiunea minimă (sau, altfel exprimat, diferența algebrică dintre abaterea superioară și abaterea inferioară).

Câmp de toleranță. În reprezentarea grafică a toleranțelor câmpul de toleranță reprezintă zona cuprinsă între cele două linii reprezentând limitele toleranței și definită prin mărimea acestei

Alezaj. Termen utilizat convențional pentru denumirea oricărei dimensiuni interioare a unei piese, chiar dacă nu este cilindrică.

Arbore unitar. În sistemul ISO de toleranțe și ajustaje este arborele a cărei abatere superioară este nulă. În înțeles general, este arborele ales ca bază a unui sistem de ajustaje cu arbore unitar (fig. 9.15, a)

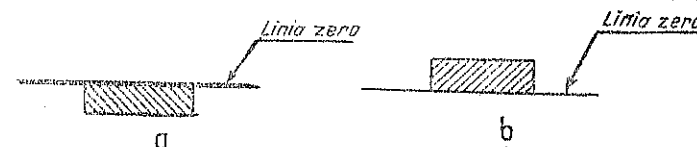


Fig. 9.15.

Alezaj unitar. În sistemul ISO de toleranțe și ajustaje, este alezajul a cărui abatere inferioară este nulă. În înțeles general, este alezajul ales ca bază a unui sistem de ajustaje cu alezaj unitar (fig. 9.15, b).

Sistem de toleranțe. Ansamblu sistematic de toleranțe și abateri limită standardizate.

Sistem de ajustaje. Ansamblu sistematic de ajustaje (între arbori și alezaje) aparținând unui sistem de toleranțe.

Sistemul arbore unitar. Sistem de ajustaje în care diferitele jocuri și stringeri sînt obținute asociind diverse alezaje cu un arbore unic (eventual cu arbori de diferite precizii, dar avînd aceeași abatere fundamentală). În sistemul ISO, arborele unitar este arborele cu abaterea superioară nulă.

Sistemul alezaj unitar. Sistem de ajustaje în care diferitele jocuri și stringeri sînt obținute asociind diverși arbori cu un alezaj unic (eventual cu alezaje de diferite precizii, dar avînd aceeași abatere fundamentală). În sistemul ISO alezajul unitar este alezajul cu abaterea inferioară nulă.

3. 3. CÂMP DE TOLERANȚĂ

Pentru satisfacerea necesităților curente ale producției, se preede la fiecare dimensiune nominală — atît pentru piese izolate, cît și pentru ajustaje — pe de o parte o gamă de toleranțe, pe de altă parte o gamă de abateri limită care definesc poziția acestor toleranțe în raport cu linia zero.

Valoarea toleranței este funcție de dimensiunea nominală; ea este simbolizată printr-un număr denumit treaptă de precizie (precurtat „precizie”). În cadrul unei precizii toate câmpurile de toleranță au aceeași mărime pentru o dimensiune nominală dată.

Poziția câmpului de toleranță în raport cu linia zero este funcție de dimensiunea nominală; ea este simbolizată printr-o literă (în unele cazuri două litere), majusculă pentru alezaje și minusculă pentru arbori.

Dimensiunea tolerată este definită prin valoarea sa nominală, urmată de simbolul cîmpului de toleranță (prescurtat „simbol”), cuprinzînd o literă (în unele cazuri două litere) și un număr. De exemplu : 45 g7.

Un ajustaj este indicat prin dimensiunea nominală comună celor două piese constitutive, urmată de simbolurile corespunzătoare fiecărei piese, începînd cu simbolul alezajului (dimensiunii interioare), cărui piese, scris sub formă de fracție. Exemplu : 45 $\frac{H8}{g7}$ sau 45 $\frac{H8}{g7}$.

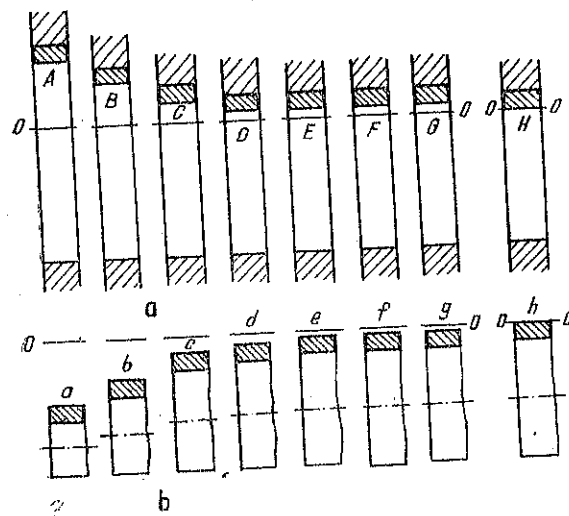


Fig. 9.16. Ajustaj cu joc :
a — alezaj; b — arbore.

linia zero (fig. 9.16). Literele H și h au ca atare destinație specială, ele reprezentînd în sistemele de ajustaje piesa de bază cu cîmpul de toleranță constant și anume : H în sistemul de ajustaj cu alezaj unitar și h în sistemul de ajustaj cu arbore unitar.

Cîmpurile de toleranțe simbolizate cu literele A B C D E F G și a b c d e f g dau ajustaje cu joc, deoarece cîmpul de toleranță al alezajului este în întregime deasupra cîmpului de toleranță al arborelui (fig. 9.16). Diametrul alezajului crește, iar diametrul arborelui scade (fig. 9.16). Diametrul alezajului crește, iar diametrul arborelui scade pe măsură ce litera respectivă se îndepărtează în alfabet de la H spre A(a). Deci pentru o dimensiune nominală dată, cîmpul de toleranță cu litera A(a) va fi cel mai îndepărtat de linia zero.

Cîmpurile de toleranțe simbolizate cu literele K M N P R S T U V X Y Z ZA ZC și respectiv k m n o p r s t u v x y z za zb zc dau ajustaje intermediare și ajustaje cu stringere. Cîmpul de toleranță

În aceste simboluri, așa cum s-a mai spus, literele indică poziția cîmpului de toleranță, iar numărul indică mărimea cîmpului de toleranță (precizia).

Simbolizarea pozițiilor cîmpului de face cu litere mari de la A la Z (inclusiv ZA, ZB, ZC) fără literele I, L, O, Q, W, iar simbolizarea pozițiilor cîmpului de toleranță al arborelui cu litere de la a la z (inclusiv za, zb, zc) fără literele i, l, o, g, w, pentru a se evita eventuale confuzii.

Cîmpurile de toleranță H sînt limitate inferior de linia zero, iar cîmpurile h sînt limitate superior de linia zero.

al alezajului este în întregime sub linia zero, iar cîmpul de toleranță al arborelui este în întregime deasupra liniei zero. Pe măsură ce litera respectivă se îndepărtează în alfabet de la K/k spre ZC/zc, diametrul alezajului se micșorează, iar diametrul arborelui crește (fig. 9.17).

Cîmpul de toleranță JS și js se caracterizează prin faptul că abaterile limită sînt egale cu $\pm 1/2 IT$ pentru precizia respectivă.

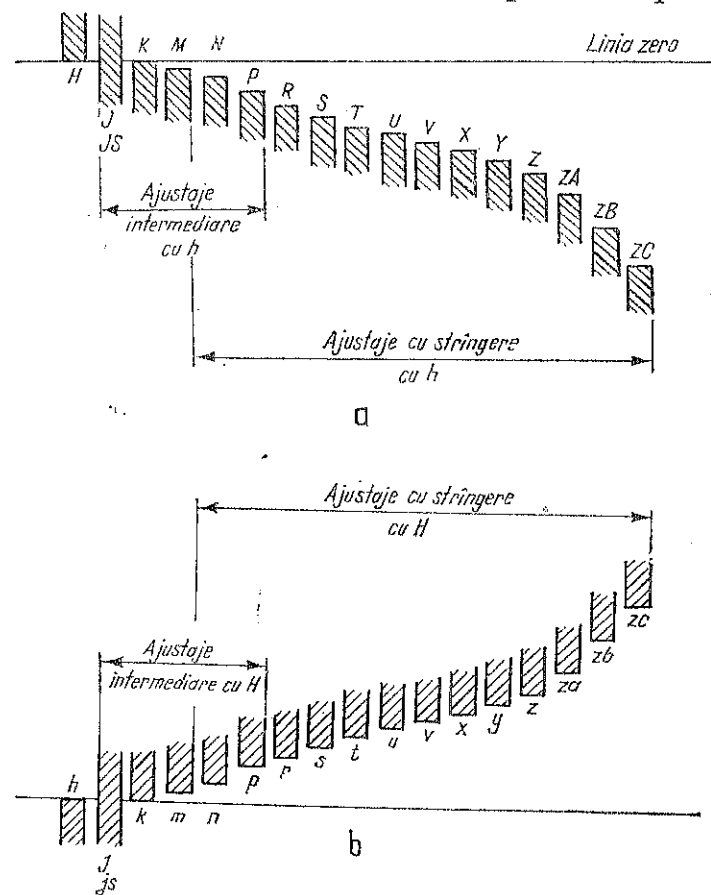


Fig. 9.17. Ajustaje intermediare și ajustaje cu stringere :
a — sistemul arbore unitar; b — sistemul alezaj unitar.

3.4. TOLERANȚE FUNDAMENTALE. TREPTE DE PRECIZIE

Numerele care însoțesc simbolul (litera) cîmpului de toleranță indică mărimea toleranței. În sistemul de toleranțe ISO se folosesc

18 trepte de precizie (pe scurt „precizii”), notate în ordinea descrescândă a preciziei, cu numerele 01, 0 și 1 până la 16; fiecare precizie corespunde cu una dintre toleranțele denumite fundamentale și notate respectiv cu simbolurile IT 01, IT 0 și IT 1 până la IT 16.

În consecință, sistemul de toleranțe ISO definește 18 precizii, dintre care calitatea 01 este cea mai precisă, iar calitatea 16 cea mai puțin precisă.

Denumirea de toleranțe fundamentale s-a ales pentru a deosebi aceste valori de alte toleranțe cum sînt de exemplu, toleranțele de execuție.

Valorile toleranțelor fundamentale pentru preciziile 5 pînă la 16 sînt calculate pe baza unității de toleranță i , determinată cu formula:

$$i = 0,45 \sqrt[3]{D} + 0,001 D$$

în care: i este unitatea de toleranță, exprimată în μm ;

D — media geometrică, exprimată în mm, a intervalului de dimensiuni nominale.

Valorile toleranțelor fundamentale pentru preciziile 5 pînă la 16 sînt date în funcție de unitatea de toleranță i , în tabela 9.1.

Tabela 9.1. Valorile toleranțelor fundamentale pentru preciziile 5 pînă la 16

| Simbolul toleranței fundamentale | IT5 | IT6 | IT7 | IT8 | IT9 | IT10 |
|----------------------------------|------|------|------|------|------|-------|
| Valori, în μm | 7i | 10i | 16i | 25i | 40i | 64i |
| Simbolul toleranței fundamentale | IT11 | IT12 | IT13 | IT14 | IT15 | IT16 |
| Valori, în μm | 100i | 160i | 250i | 400i | 640i | 1000i |

mai grosolane, toleranța fundamentală se multiplică cu 10.

Valorile toleranțelor pentru preciziile 01, 0 și 1 sînt calculate conform tablei 9.2.

Tabela 9.2. Valorile toleranțelor fundamentale pentru preciziile 01, 0 și 1

| Simbolul toleranței fundamentale | IT01 | IT0 | IT1 |
|---|-----------------|-----------------|-----------------|
| Valori, în μm , pentru D , în mm | $0,3 + 0,008 D$ | $0,5 + 0,012 D$ | $0,8 + 0,020 D$ |

Valorile toleranțelor fundamentale IT 2, IT 3 și IT 4 sînt egalizate aproximativ în progresie geometrică între valorile toleranțelor fundamentale IT și IT 5.

3.5. ABATERI FUNDAMENTALE

Dintre cele două abateri limită (superioară și inferioară), cea aleasă convențional pentru definirea cîmpului de toleranță în raport cu linia zero reprezintă abaterea fundamentală.

Abaterile fundamentale ale cîmpurilor de toleranță variază nu numai cu simbolurile (literele) acestora dar și cu dimensiunile nominale. Valorile abaterilor fundamentale la cîmpurile de toleranță cu același simbol (literă) cresc concomitent cu creșterea dimensiunilor nominale.

Abaterile fundamentale ale cîmpurilor de toleranță cu același simbol (de exemplu D și d , E și e etc.) sînt identice pentru alezaj și arbore însă de sens contrar.

Abateri limită pentru arbori. Pentru fiecare simbol literal, care definește poziția cîmpului de toleranță, valoarea absolută și semnul uneia dintre cele două abateri limită, denumită așa cum s-a mai spus abatere fundamentală (abaterea superioară a_s sau abaterea inferioară a_i) se calculează cu ajutorul unor formule empirice rezultate din practică și redată în STAS 8101-68. Pentru arborii a pînă la j , cea mai apropiată de linia zero este a_s , iar pentru arborii j pînă la z cea mai apropiată este a_i .

Cealaltă abatere limită a arborelui se deduce din abaterea fundamentală și din toleranța fundamentală cu ajutorul următoarelor ecuații algebrice: $a_i = a_s - IT$ sau $a_s = a_i + IT$.

Abateri limită pentru alezaje. Abaterile alezajelor în sistemul ISO se definesc în funcție de abaterile respective ale arborilor de aceeași literă ca simbol, asigurîndu-se astfel o legătură rațională și precisă între toleranțele arborilor și alezajelor în vederea formării ajustajelor. Astfel, abaterea inferioară A_i pentru toleranțele A la H și abaterea superioară A_s pentru toleranțele J la ZC se deduc din abaterile fundamentale a_i sau a_s ale arborilor, avînd ca simbol aceeași literă, după următoarele reguli:

a) Regulă generală:

- pentru alezajele A la H , $A_i = -a_s$;
- pentru alezajele J la ZC , $A_s = -a_i$.

Această regulă este valabilă pentru toate abaterile fundamentale ale alezajelor cu excepția următoarelor cazuri:

- alezajele pentru care este valabilă regula specială de mai jos;
- alezajele N , preciziile 9 ... 16, la dimensiuni peste 3 mm, pentru care abaterea fundamentală este $A_i = 0$.

b) Regulă specială:

pentru alezajele J , K , M și N , preciziile 01, 0, 1 ... 8 și alezaje P ... ZC , preciziile 01, 0, 1 ... 7, la dimensiuni peste 3 mm $A_s = -a_i + \Delta$ în care $\Delta = IT_n - IT_{n-1}$ este diferența dintre toleranța fundamentală a preciziei următoare mai fine.

Regula generală este în așa fel stabilită încît dimensiunea limită corespunzătoare abaterii fundamentale a unui alezaj să fie exact sime-

trică, față de linia zero, cu dimensiunea limită corespunzătoare abaterii fundamentale a arborelui având ca simbol aceeași literă.

Regula specială este stabilită în așa fel încât la două ajustaje omologe din sistemul alezaj unitar și din sistemul arbore unitar, formate prin asocierea unui alezaj de precizie dată cu un arbore de precizia următoare mai fină (de exemplu H7/p6 și p7/h6), să rezulte exact aceleași jocuri și stringeri (fig. 9.18).

Cealaltă abatere limită a alezajului se deduce din abaterea fundamentală și din toleranța fundamentală, cu ajutorul următoarelor ecuații algebrice: $A_s = A_i + IT$ sau $A_i = A_s - IT$.

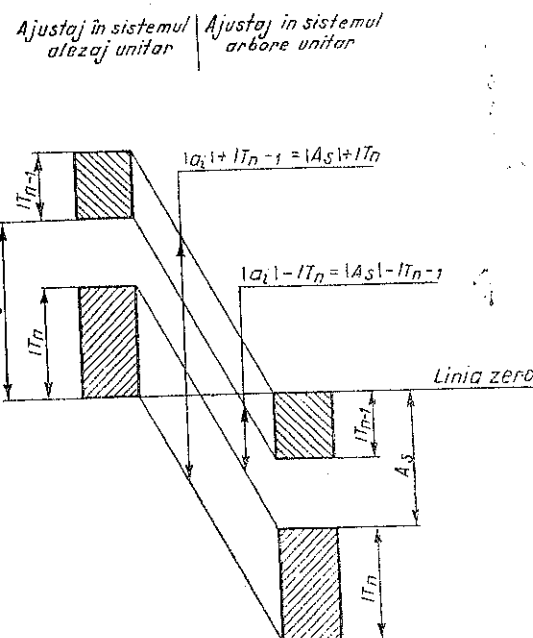


Fig. 9.18.

3.6. ALEGEREA SISTEMULUI DE AJUSTAJ, TREPTEI DE PRECIZIE ȘI AJUSTAJULUI

3.6.1. Alegerea sistemului de ajustaj. Elementele care determină de obicei alegerea unuia dintre cele două sisteme de ajustaj sînt: felul produselor executate, posibilitățile de prelucrare ale uzinei, sistemul de lucru (fabricație în serie sau fabricație de piese individuale).

În general, sistemul alezaj unitar se folosește la montaje, căci pentru diametre diferite, arborii de precizie se execută mai ușor decît alezajele de precizie. Acest sistem este utilizat la construcția mașinilor-unelte (strunguri, mașini de frezat), locomotivelor, vagoanelor, autovehiculelor, compresoarelor, pompelor centrifuge etc.

Sistemul arbore unitar se preferă în cazurile cînd apar construcții cu arbori rezemați pe mai multe lagăre și pe care se montează diferite organe de mașini. Astfel, acest sistem este recomandat la arborii de transmisie, în cazul mașinilor de transmisie, în cazul mașinilor agricole și textile cu arbori de transmisie lungi, confecționați din bare laminate calibrate și din țevi ale căror toleranțe de execuție nu depășesc

valorile stabilite în sistemul arborelui unitar. În acest caz se prelucurează numai alezajul după tipul unui anumit ajustaj și clasă de precizie — ceea ce este mai rațional și mai economic.

La alegerea între sistemele de ajustaj alezaj unitar și arbore unitar, se mai ține seama de:

Costul calibrelor. În sistemul alezaj unitar este necesar un calibrul tampon pentru măsurarea alezajului și cîteva calibre potcoavă pentru fiecare ajustaj din familia de ajustaje a arborelui respectiv.

În sistemul arbore, este necesar un calibrul potcoavă pentru măsurarea arborelui și cîte un calibrul tampon pentru fiecare ajustaj din familia de ajustaje a alezajului respectiv.

Calibrele pentru sistemul alezaj unitar sînt mai convenabile, deoarece prețul de cost al calibrului potcoavă este mai redus decît prețul calibrului tampon și prin faptul că în acest sistem se poate utiliza micrometrul în locul calibrelor potcoavă.

Întreținerea calibrelor. Numărul total al calibrelor fiind același pentru ambele sisteme de ajustaj, controlul și reajustarea calibrelor uzate necesită aceleași cheltuieli.

Costul sculelor. Prelucrările cu toleranțe precise și foarte precise necesită pentru oțel, fontă și metale moi, alezoare diferite pentru fiecare toleranță de alezaj; rezultă deci că pentru același diametru vom avea în sistemul arbore unitar mai multe scule decît în sistemul alezaj unitar.

Pentru ultimul sistem se confecționează numai dornurile de fixare și acestea numai atunci cînd trebuie, de exemplu, să se frezeze un număr mai mare de roți dințate. Consumul de muncă și de material pentru confecționarea sculelor necesare în sistemul arbore unitar este evident mult mai mare decît cel necesar pentru sistemul alezaj unitar.

Întreținerea sculelor. Din cauza numărului mare de alezoare necesare pentru sistemul arbore unitar întreținerea sculelor pentru sistemul alezaj unitar este de asemenea mai avantajoasă.

3.6.2. Alegerea treptei de precizie. La alegerea treptei de precizie a unui ajustaj trebuie să se țină seama ca ea să corespundă condițiilor funcționale impuse asamblărilor. Variația jocurilor, respectiv stringerilor este cu atît mai mică și deci caracterul ajustajului este cu atît mai uniform, cu cît treapta de precizie aleasă este mai fină.

Deoarece costul manoperei la prelucrarea pieselor crește foarte mult, cînd se mărește precizia, este necesar să se prescrie acea precizie care este economic necesară, deci cea mai largă toleranță compatibilă cu funcționarea corectă a ansamblului respectiv.

În general, treptele de precizie 01 și 0 se folosesc numai în mecanica de precizie; treptele de precizie 1, 2, 3 și 4 sînt utilizate în fabricația de calibre; treptele de precizie 5, 6, 7, 8, 9, 10, și 11 se folosesc în fabri-

cația pieselor care formează ajustaje. Totuși, preciziile 5, 6 și 7 se pot folosi și pentru calibre destinate pieselor cu toleranțe mai mari. Treptele de precizie 12, 13, 14, 15 și 16 se utilizează în cazul procedurilor de lucru mai puțin precise (laminare, presare etc.) și în cazul dimensiunilor libere.

Treapta de precizie 5 este utilizată numai atunci când în exploatare sînt impuse condiții speciale cu privire la precizia de lucru a subansamblului. De exemplu, în construcția motoarelor, treapta de precizie 5 este utilizată la ajustajul piston-bolt și uneori la ajustajele rulmenților.

În alte cazuri, destul de importante, este utilizată treapta de precizie 7, de exemplu la ajustajele dintre: piston și cămașa cilindrului, arborele cotit și lagăre, axul principal și lagăre, la pompele de ulei, bușele capului bielei etc.

Treptele de precizie 8 și 9 se folosesc la asamblări analoge cu cele precedente, însă în cazul ajustajelor mai puțin importante, unde gradul de limitare al ajustajului nu joacă un rol atît de important, de exemplu lățimea canalelor pentru segmentii de etanșare și lățimea segmentilor respectivi, porțiunea strunjită în capul bielei etc.

Treptele de precizie 10, 11, 12 și 13 se utilizează la subansamblurile mașinilor agricole, locomotivelor și vagoanelor, la ajustajele pieselor matrițate și, în general, la acele construcții unde nu există motive de a impune condiții pretențioase ajustajelor și precizia de asamblare nu prezintă o deosebită importanță. Astfel de cazuri sînt ansamblurile cu bolturi, găurile care urmează a fi alezate ulterior, montajele la care urmează a se executa o operație de sudare etc. În acest ultim caz se poate folosi și treapta de precizie 13. Treapta de precizie 13 este utilizată și la distanțele între axe. Astfel la distanța dintre axele capetelor bilelelor este utilizată treapta de precizie 13, iar la distanța dintre axa fusului principal și cea a bielei, treapta de precizie 14.

Treapta de precizie 14 se folosește deseori la piesele matrițate pentru dimensiunile exterioare libere, adică pentru acele dimensiuni care nu formează ajustaje, pentru găurile destinate niturilor, bolturilor etc.

Treptele de precizie 14, 15 și 16 nu sînt utilizate la ajustaje. Ele servesc pentru dimensiunile libere, limitînd volumul și greutatea pieselor și pentru operații prealabile brute.

3.6.3. Alegerea ajustajului. Sistemul ISO de toleranțe și ajustaje adoptat în țara noastră permite alegerea unei mari varietăți de cîmpuri de toleranță și combinarea lor într-un număr și mai mare de ajustaje. Criteriile economice de fabricație impun însă o îngrădire a cîmpurilor de toleranțe.

Această îngrădire este realizată prin recomandările cuprinse în STAS 8104-68 referitoare la cîmpurile de toleranță și ajustajele prefe-

rențiale pentru dimensiuni pînă la 500 mm în sistemul alezaj unitar, respectiv în STAS 8105-68 pentru arbore unitar.

STAS 8104-68 recomandă două șiruri preferențiale 1 și 2 de cîmpuri de toleranță pentru alezaje și două șiruri preferențiale 1 și 2 de cîmpuri de toleranță pentru arbori. Cîmpurile de toleranță se vor alege de preferință din șirul 1. În cazul în care cîmpurile de toleranță din șirul 1 nu permit rezolvarea problemei respective, se vor alege cîmpurile de toleranță din șirul 2.

Dacă nici cîmpurile de toleranță din șirul 2 nu sînt satisfăcătoare se vor alege cîmpuri de toleranță de uz general, dintre cele cuprinse în STAS 8102-68 și în STAS 8103-68, iar în cazuri cu totul excepționale, se va recurge la cîmpuri de toleranță care nu sînt cuprinse în STAS 8102-68 și STAS 8103-68 și ale căror valori se calculează conform prescripțiilor din STAS 8101-68 sau se aleg în funcție de necesități.

Ajustajelor ecomandate a fi folosite în practica industrială curentă sînt indicate în tabela 9.3. Cîmpurile de toleranță făcînd parte din șirul 1 sînt culese cu caractere grase și încadrate în chenar, ajustajele respective avînd folosire preferențială. În caz de necesitate se pot folosi și ajustaje formate prin alte combinații ale cîmpurilor de toleranță cuprinse în tabela 9.3.

STAS 8105-68 tratează aceeași problemă în cadrul sistemului arbore unitar. În tabela 9.4 sînt indicate ajustajele preferențiale pentru acest sistem.

Alegerea grupei de ajustaj (cu joc, intermediar, cu stringere) pentru diferitele cazuri de construcții nu prezin-

Tabela 9.3. Sistemul ISO de toleranțe și ajustaje — Cîmpuri de toleranță preferențiale și ajustaje preferențiale pentru dimensiuni pînă la 500 mm Sistemul alezaj unitar (STAS 8104-68)

| | H6 | H7 | H8 | H9 | H10 | H11 | H12 |
|---|----|----------|----------|-----|-----|-----|-----|
| a | | | a9 | | | a11 | |
| b | | | b9 | | | b11 | b12 |
| c | | c8 | c9 | | | c11 | |
| d | | d8 | d9 | d10 | d10 | d11 | |
| e | e7 | e8 | e9 | | | | |
| f | f6 | f7 f8 | f8 | f9 | | | |
| g | g5 | g6 | | | | | |
| h | h5 | h6 h7 | h8 h9 | h9 | h10 | h11 | h12 |
| j | j5 | j6 | j7 | | | | |
| k | k5 | k6 | k7 | | | | |
| m | m5 | m6 | m7 | | | | |
| n | n5 | n6 | n7 | | | | |
| p | p5 | p6 | p7 | | | | |
| r | r5 | r6 | r7 | | | | |
| s | s5 | s6 | s7 | | | | |
| t | t5 | t6 | | | | | |
| u | u5 | u6 | u7 | | | | |
| v | v5 | v6 | | | | | |
| x | x5 | x6 | x7 | | | | |
| y | | y6 | y7 | | | | |
| z | | z6 | z7 | | | | |

Tabela 9.4. Sistemul ISO de toleranțe și ajustaje — Cimpuri de toleranță preferențiale și ajustaje preferențiale pentru dimensiuni până la 500 mm Sistemul arbore unitar (STAS B105-68)

| | h6 | h7 | h8 | h9 | h11 |
|---|----|----|----|----|-----|
| A | | | | | A11 |
| B | | | | | B11 |
| D | | | | D8 | D11 |
| E | | | E7 | | |
| F | | F7 | F8 | | |
| G | G7 | | | | |
| H | H7 | H8 | H8 | H9 | H11 |
| J | J7 | | | | |
| K | K7 | | | | |
| M | M7 | | | | |
| N | N7 | | | | |
| P | P7 | | | | |
| R | R7 | | | | |
| S | S7 | | | | |
| U | U7 | | | | |
| X | X7 | | | | |
| Z | Z7 | | | | |

tă de obicei dificultăți. Astfel, de exemplu, ajustajele fixe, la care poziția relativă a celor două piese trebuie să fie suficient de precisă, sînt realizate din ajustaje cu strîngere sau prin ajustaje intermediare; primele sînt folosite la asamblări nedemontabile, iar celelalte, cînd se prevăd posibilități de demontare. Asamblările cu joc pot fi realizate numai utilizînd grupa ajustajelor cu joc.

În ceea ce privește alegerea ajustajelor în interiorul unei grupe această constituie o situație mai dificilă, deoarece este necesar să se țină seama de caracteristicile fiecărui ajustaj, de condițiile asamblării, de condițiile de exploatare și de reparații.

3.7. AJUSTAJE CU STRÎNGERE, INTERMEDIARE, CU JOC

3.7.1. Ajustaje cu strîngere. Din grupa ajustajelor cu strîngere fac parte următoarele ajustaje:

- ajustajele cu strîngere cu caracter special H6/v5, H6/x5, H7/v6, H7/x6, H7/y6, H7/z6, H8/x7, H8/y7 și H8/z7;
- ajustajele cu strîngere extrem de mari H6/u5, H7/u6 și H8/u7;
- ajustajele cu strîngere foarte mari H6/t5 și H7/t6;
- ajustajele cu strîngere mari H6/s5, H7/s6 și H8/s7;
- ajustajele cu strîngere mijlocii H6/r5, H7/r6 și H8/r7 (ultimul ajustaj se folosește numai cînd $D > 100$ mm);
- ajustajele cu strîngere mici H6/p5, H7/p6;
- ajustajele cu strîngere foarte mici H6/n5, dar numai pentru $D > 3$ mm.

Ajustajele cu strîngere cu caracter special, cu strîngere foarte mari, cu strîngere mari și cu strîngere extrem de mari se folosesc la transmiterea unor momente mari de răsucire și în cazul unor încărcări dinamice mari. Asamblările cu aceste ajustaje se realizează de obicei la cald, încălzind piesa cu alezaj și lăsînd arborele rece. Uneori mărirea strîngerii

permite ca în locul încălzirii piesei cu alezaj să se răcească arborele în dioxid de carbon sau în aer lichid. Folosind aceleași ajustaje asamblarea pieselor se mai poate face și prin presare.

Pentru exemplificare, se indică folosirea ajustajului cu strîngere extrem de mare H7/u6 în următoarele cazuri: asamblarea bandajelor de oțel pe roțile de locomotivă și vagoane, asamblarea bolțurilor de manivelă cu discul manivelor, samblarea cuplajelor de legătură în formă de disc la capetele unui arbore etc.

Ajustajele cu strîngere mari se pot folosi la piese cu pereți subțiri. Astfel, ajustajul H7/s6 este indicat la montarea inelelor de contact pe mașinile electrice de dimensiuni mici și mijlocii, iar ajustajul H8/s7 la montarea cuplajelor și inelelor nedemontabile pe arborii diferitelor mașini. Cînd asamblarea trebuie să aibă o precizie mare, din cauza lungimii ei prea mari sau în cazul în care piesa trebuie să fie asamblată concomitent pe două sau mai multe suprafețe coaxiale, cum este cazul bușei rotorului cu arborele motorului electric, se recomandă ajustajul cu strîngere mare H6/s5.

Ajustajul cu strîngere extrem de mare H8/u7 se folosește cu precădere la mașinile agricole, precum și la subansamblurile mijloacelor de transport și ridicat. Ca exemple se indică fixarea unui bolț de manivelă în disc și a discului de arbore la mașini agricole, sau introducerea bușelor cilindrice în corpul sertarelor la locomotive.

Ajustajul cu strîngere mijlocie H7/r6 se folosește în cazul introducerii bușelor în locașurile subansamblelor supuse unor sarcini puternice, cum sînt, de exemplu, ajustajele bușelor din corpul bieii unui compresor.

Ajustajele cu strîngere mijlocie H6/r5 și cu strîngere mică H7/p6 se folosesc cînd momentele de răsucire și forțele care pot provoca deplasarea pieselor sînt mici, sau cînd legătura fixă a pieselor este asigurată prin mijloace speciale. Ajustajul H6/r5 este utilizat foarte rar, iar ajustajul H7/p6 se folosește la montarea inelelor rulmenților în anumite condiții de exploatare, la bușele introduse în roțile dințate ale păpușii fixe a strungurilor, la montarea roților dințate cu ajutorul unor pene etc.

Ajustajele cu strîngere foarte mici H6/n5 și N6/h5 se folosesc, de exemplu, la asamblarea bolțului de piston cu pistonul unui motor de tractor.

3.7.2. Ajustaje intermediare. În cadrul acestor ajustaje pot fi atît jocuri, cît și strîngeri. Pentru ca imobilitatea pieselor să fie totuși asigurată, se utilizează: pene, știfturi, șuruburi și alte elemente de fixare.

Din categoria ajustajelor intermediare fac parte:

- ajustajele intermediare cu joc posibil extrem de redus: H7/n6 și H8/n7;

— ajustajele intermediare cu strângere probabilă mai mare : H6/m5, H7/m6, H8/m7 ;

— ajustajele intermediare cu strângere probabilă mică : H6/k5, H7/k6, H8/k7 ;

— ajustajele intermediare cu joc probabil foarte mic sau într-un număr redus de cazuri — cu o slabă strângere probabilă : H6/j5, H7/j6, H8/j7.

Ajustajele intermediare se folosesc cu precădere la asamblările care se demontează des în vederea examinării sau înlocuirii pieselor. Demonstrarea pieselor se realizează cu ajutorul unui ciocan sau cu dispozitive simple.

Pentru ca jocurile și stringerile să nu varieze prea mult în limitele unui singur tip de ajustaj, ajustajele intermediare sunt realizate numai în cadrul treptelor de precizie 5, 6, 7 și 8.

Ajustajele intermediare cu joc posibil extrem de redus, prevăzute cu pene, sunt indicate :

— când subansamblul este supus, în exploatare, unor sarcini dinamice (lovituri cu șocuri), în care caz jocurile sunt dăunătoare ;

— când trebuie să fie întărită o asamblare asigurată cu elemente de fixare, prin crearea unor tensiuni suplimentare în material pe suprafața de contact a pieselor.

Aceste ajustaje se prescriu în cazul unor bușe cu pereți subțiri, care nu permit utilizarea unor elemente de fixare. Tot asemenea ajustaje se pot folosi la fixarea roții dințate pe arborele unei mașini de forjat (H7/n6), la asamblarea bușei sertarului de distribuție la un ciocan cu aer comprimat sau cu abur (H8/n7).

Ajustajele intermediare cu strângere probabilă mai mare au stringeri mai mici decât ajustajele intermediare cu joc posibil extrem de redus, ele fiind folosite la încărcări statice mari sau la sarcini dinamice mici. Acest ajustaj poate înlocui ajustajul cu joc posibil extrem de redus când lungimea de asamblare este mai mare decât 1,5 *d*. Astfel, ajustajele H6/n5 și M6/h5 se folosesc la asamblarea bolțului de piston fixat în piston ; ajustajul H7/m6 la asamblarea roții dințate conice pe arborele unui reductor ; ajustajul H8/m7 la fixarea bolțurilor capului de cruce în patina unui compresor.

Ajustajele intermediare cu strângere probabilă mică au stringeri negative sau apropiate de zero, asigurând o centrare bună la solicitări mici și mijlocii. Aceste ajustaje permit montarea și demontarea ușoară a pieselor, cum sunt : volanții mici, roțile cu dimensiuni mici, bușele demontabile ale lagărelor etc. Ca exemple de asemenea ajustaje se indică : H6/k5 la asamblarea suprafeței cilindrice exterioare a unui

lagăr cu corpul păpușei fixe a unui strung ; H7/k6 la asamblarea roților dințate fixe, cilindrice și conice, ale mașinilor-unelte sau la fixarea cuplajelor la extremitățile arborilor motoarelor electrice ; H8/k7 la fixarea pistonului pe tija pompei sau la fixarea bolțului capului de cruce în urechile bielei unui compresor.

Ajustajele intermediare cu joc probabil foarte mic sau într-un număr redus de cazuri — cu slabă strângere probabilă — sunt caracterizate în mod obișnuit prin jocuri în loc de stringeri și se folosesc la subansamblurile care, în exploatare, sunt supuse deseori montării și demontării, cum sunt, de exemplu, volanții de schimb, roțile dințate de schimb etc. Aceste ajustaje își au aplicație după cum urmează : H6/j5 la asamblarea bușei conice în lagărul păpușii fixe a unui strung pentru tăiat filet ; H7/j6 la fixarea roților dințate cilindrice și conice cu pene.

3.7.3. Ajustaje cu joc. Aceste ajustaje se folosesc în subsansambluri ale căror piese se pot deplasa una față de alta în timpul lucrului ; deplasările pot fi axiale sau radiale. În timpul lucrului temperatura poate fi constantă sau variată.

Pentru alegerea optimă a jocurilor trebuie să se țină seama de următoarele indicații. În cazul unei mișcări de rotație, jocul trebuie să fie cu atât mai mare, cu cât turația este mai mare și cu cât precizia de prelucrare este mai mică. Jocul trebuie să fie mărit când arborele este sprijinit în mai multe lagăre, deoarece există deformările inerente ale arborelui și coaxialitatea imperfectă a lagărelor. Jocul trebuie de asemenea mărit proporțional cu creșterea viscozității uleiului de ungere.

Din categoria ajustajelor cu joc fac parte :

— ajustajele cu joc minim egal cu zero, joc probabil foarte mic : H6/h5, H7/h6, H8/h8, H8/h7, H9/h9, H10/h10, H11/h11, H12/h12 ;

— ajustajele cu jocuri foarte mici H7/g6, H6/g5 ;

— ajustajele cu jocuri mici : H6/f6, H7/f6, H7/f7, H8/f8, H9/f9 ;

— ajustajele cu jocuri mijlocii :

a) având valori mai mici : H6/e7, H7/e8, H8/e9 ;

b) având valori mai mari : H7/d8, H8/d9, H9/d10, H10/d10, H11/d11 ;

— ajustajele cu jocuri mari : H7/c8, H8/c9, H11/c11 ;

— ajustajele cu jocuri foarte mari : H8/a9, H11/a11, H8/b9, H11/b11, H12/b12.

Ajustajele cu joc minim egal cu zero, joc probabil foarte mic, se caracterizează printr-un joc minim egal cu zero și un joc maxim egal cu suma toleranțelor alezajului și arborelui, adică cu toleranța ajustajului.

Aceste ajustaje pot fi utilizate atât la asamblări fixe cât și la cele mobile.

La asamblările fixe, acest ajustaj se poate folosi în următoarele situații :

H6/h5 la asamblarea unei bușe pe arborele unei mașini-unelte ;

H7/h6 la asamblarea roților dințate de schimb pe arborii diferitelor mașini-unelte, a roților de transmisie dintr-o singură bucată, a bielor pe bolțurile capetelor de cruce la compresoare ;

H8/h8 la asamblarea capului bieiei în locașul tije ;

H9/h9 la asamblarea excentricului pe arborele unei pompe cu excentric, a roților dințate fixe pe arbore sau bușe, a bolțurilor în capul bieiei unui compresor ;

H11/h11 la asamblarea capacului presetupei, la montarea cremalierei pe tija unui mecanism de descărcare cu cărucior etc. ;

H12/h12 la asamblarea pieselor armăturilor electrice, întrerupătoarelor, pirghiilor etc.

Ajustajele cu jocuri foarte mici figurează numai în treptele de precizie 5, 6 și 7. Ele se folosesc, în general, pentru menținerea unei coaxialități bune între arbore și alezaj a două piese în timpul funcționării, cum este cazul la asamblarea arborilor principali ai strungurilor de precizie, a capetelor divizoare, a roților de schimb, a asamblărilor ventilelor.

Pentru exemplificare, ajustajul H6/g5 este utilizat la asamblarea bușelor de ghidare în alezaje, iar H7/g6 la asamblarea arborelui cotit cu capătul bieiei, a bușelor de schimb pentru ghidare.

Ajustajele cu jocuri mici sînt cel mai mult utilizate în construcția de mașini, în special în cazul rotirii pieselor cu viteze moderate. Astfel, ajustajul H7/f7 este folosit pentru roțile dințate care se rotesc liber pe arbori, arborii asamblați în lagărele mașinilor electrice mici și mijlocii, iar ajustajul H8/f8, avînd jocuri ceva mai mari, se folosește la asamblarea arborilor în lagăre, în cazul unor turații mari, ca de exemplu la pompele centrifuge, la roțile dințate libere pe bușe, la roțile libere etc. Ajustajul H9/f9 este recomandat pentru lagărele mecanismelor grosolane și a mufelor montate liber, în vederea unei deplasări axiale a arborilor, a diferitelor pirghii, a segmentilor de piston, la asamblarea bolțurilor în articulații, precum și în cazul îmbinărilor mai puțin pretențioase, cum este de exemplu la arborii prelucrați grosolan care se rotesc în lagăre, la arborii trasi în construcția de mașini agricole etc.

Ajustajele cu jocuri mijlocii sînt indicate pentru arborii cu trei lagăre în cazul unor turații mari sau mijlocii. Cînd au valori mai mari și deci jocuri relativ mari, aceste ajustaje se folosesc în cazurile cînd există o turație mare și o presiune specifică mică în lagăre, cum este cazul asamblărilor neprecise care permit înclinări.

Ca exemple de utilizare a ajustajelor cu jocuri mijlocii avînd valori mai mici se menționează : H6/e7 la asamblarea arborilor de distribuție în lagărele motoarelor Diesel, a arborilor pompelor centrifuge și a turbogeneratoarelor etc. ; ajustajul H7/e8 la asamblarea bușei roții balabogeneratoarelor etc. ; ajustajul H8/e9 la asamblarea arborilor în lagărele mașinilor agricole, la asamblarea pistonului cu cilindrul pompei, la asamblarea segmentilor de etanșare în lagărele respectiv etc.

Pentru folosirea ajustajelor cu jocuri mijlocii avînd valori mai mari, se dau următoarele exemple : ajustajul H7/d8 la asamblarea supapelor de precizie (supapele de admisiune) în ghidaje, la montarea în lagăre lungi, la asamblarea segmentilor de piston în canalele respective în lățime ; ajustajul H8/d9 la cutiile ventilelor în corpurile compresoarelor ; ajustajul H9/d10 la centrarea capacelor laterale ; ajustajul H11/d11 la bolțurile de articulații pentru asamblări de mică importanță la dispozitive de protecție, la arborii care se rotesc în lagărele aparatelor de mică precizie și la mașini de uz casnic.

Ajustajele cu jocuri mari permit asigurarea unei anumite elasticități necesară pieselor în condiții de solicitări și medii nefavorabile, cum este cazul la unele mașini agricole, la utilajele folosite în construcții etc. Pentru exemplificare, ajustajul C11/h11 se poate folosi la arborii trasi neprelucrați, iar ajustajul H7/c8 este indicat pentru tija supapei în bușea de ghidare la motoarele cu ardere internă, deoarece arborele se încălzește mai mult decît alezajul.

Ajustajele cu jocuri foarte mari se folosesc în puține cazuri. Ele se utilizează la unele mașini agricole, la utilaje în construcție, la lagăre utilizate în aer liber și supuse intemperiei, murdăriei etc. Ca exemple de folosire a acestor ajustaje se menționează că ajustajul H11/a11 este destinat pieselor componente ce urmează a fi îmbinate foarte larg, iar ajustajul H8/c9 se poate utiliza la un cilindru hidraulic cu piston, la care pistonul are un diametru cu 0,1 mm mai mic decît cilindrul.

3.8. VALORI NUMERICE

În tabelele care urmează (9.5 ... 9.9) sînt indicate date numerice pentru ansamblul sistemului ISO de toleranțe și ajustaje.

Toleranțele fundamentale IT pentru dimensiuni pînă la 500 mm și pentru preciziile 01, 0 și 1 la 16, sînt cuprinse pentru fiecare interval de dimensiuni nominale, în tabela 9.5.

Abaterile fundamentale, pe precizii, intervale de dimensiuni nominale și poziții ale cîmpului de toleranță, pentru dimensiuni pînă la 500 mm, se găsesc în STAS 8101-68 atît pentru alezaje cât și arbori.

Abaterile limită corespunzătoare cîmpurilor de toleranță de uz general pentru arbori avînd dimensiuni pînă la 500 mm, sînt redată după STAS 8102-68, în tabela 9.6.

Tabela 9.5. Toleranțele fundamentale IT (μm)

| Precizia | 01 | 0 | 1 | 2 | 3 | 4 | 5 | 6 | 7 | 8 | 9 | 10 | 11 | 12 | 13 | 14 | 15 | 16 |
|-------------|-----|-----|-----|-----|-----|----|----|----|----|----|-----|-----|-----|-----|-----|------|------|------|
| pină la 3 | 0,3 | 0,5 | 0,8 | 1,2 | 2 | 3 | 4 | 6 | 10 | 14 | 25 | 40 | 60 | 100 | 140 | 250 | 400 | 600 |
| peste 3 | 0,4 | 0,6 | 1 | 1,5 | 2,5 | 4 | 5 | 8 | 12 | 18 | 30 | 48 | 75 | 120 | 180 | 300 | 480 | 750 |
| pină la 6 | 0,4 | 0,6 | 1 | 1,5 | 2,5 | 4 | 6 | 9 | 15 | 22 | 36 | 58 | 90 | 150 | 220 | 360 | 580 | 900 |
| peste 6 | 0,5 | 0,8 | 1,2 | 2 | 3 | 5 | 8 | 11 | 18 | 27 | 43 | 70 | 110 | 180 | 270 | 430 | 700 | 1100 |
| pină la 10 | 0,5 | 0,8 | 1,2 | 2 | 3 | 5 | 8 | 11 | 18 | 27 | 43 | 70 | 110 | 180 | 270 | 430 | 700 | 1100 |
| peste 10 | 0,6 | 1 | 1,5 | 2,5 | 4 | 6 | 9 | 13 | 21 | 33 | 52 | 84 | 130 | 210 | 330 | 520 | 840 | 1300 |
| pină la 18 | 0,6 | 1 | 1,5 | 2,5 | 4 | 7 | 11 | 16 | 25 | 39 | 62 | 100 | 160 | 250 | 390 | 620 | 1000 | 1600 |
| peste 18 | 0,6 | 1 | 1,5 | 2,5 | 4 | 7 | 11 | 16 | 25 | 39 | 62 | 100 | 160 | 250 | 390 | 620 | 1000 | 1600 |
| pină la 30 | 0,6 | 1 | 1,5 | 2,5 | 4 | 7 | 11 | 16 | 25 | 39 | 62 | 100 | 160 | 250 | 390 | 620 | 1000 | 1600 |
| peste 30 | 0,8 | 1,2 | 2 | 3 | 5 | 8 | 13 | 19 | 30 | 46 | 74 | 120 | 190 | 300 | 460 | 740 | 1200 | 1900 |
| pină la 50 | 0,8 | 1,2 | 2 | 3 | 5 | 8 | 13 | 19 | 30 | 46 | 74 | 120 | 190 | 300 | 460 | 740 | 1200 | 1900 |
| peste 50 | 1 | 1,5 | 2,5 | 4 | 6 | 10 | 15 | 22 | 35 | 54 | 87 | 140 | 220 | 350 | 540 | 870 | 1400 | 2200 |
| pină la 80 | 1 | 1,5 | 2,5 | 4 | 6 | 10 | 15 | 22 | 35 | 54 | 87 | 140 | 220 | 350 | 540 | 870 | 1400 | 2200 |
| peste 80 | 1,2 | 2 | 3,5 | 5 | 8 | 12 | 18 | 25 | 40 | 63 | 100 | 160 | 250 | 400 | 630 | 1000 | 1600 | 2500 |
| pină la 120 | 1,2 | 2 | 3,5 | 5 | 8 | 12 | 18 | 25 | 40 | 63 | 100 | 160 | 250 | 400 | 630 | 1000 | 1600 | 2500 |
| peste 120 | 1,2 | 2 | 3,5 | 5 | 8 | 12 | 18 | 25 | 40 | 63 | 100 | 160 | 250 | 400 | 630 | 1000 | 1600 | 2500 |
| pină la 180 | 2 | 3 | 4,5 | 7 | 10 | 14 | 20 | 28 | 46 | 72 | 115 | 185 | 290 | 460 | 720 | 1150 | 1850 | 2900 |
| peste 180 | 2 | 3 | 4,5 | 7 | 10 | 14 | 20 | 28 | 46 | 72 | 115 | 185 | 290 | 460 | 720 | 1150 | 1850 | 2900 |
| pină la 250 | 2,5 | 4 | 6 | 8 | 12 | 16 | 23 | 32 | 52 | 81 | 130 | 210 | 320 | 520 | 810 | 1300 | 2100 | 3200 |
| peste 250 | 2,5 | 4 | 6 | 8 | 12 | 16 | 23 | 32 | 52 | 81 | 130 | 210 | 320 | 520 | 810 | 1300 | 2100 | 3200 |
| pină la 315 | 3 | 5 | 7 | 9 | 13 | 18 | 25 | 36 | 57 | 89 | 140 | 230 | 360 | 570 | 890 | 1400 | 2300 | 3600 |
| peste 315 | 3 | 5 | 7 | 9 | 13 | 18 | 25 | 36 | 57 | 89 | 140 | 230 | 360 | 570 | 890 | 1400 | 2300 | 3600 |
| pină la 400 | 4 | 6 | 8 | 10 | 15 | 20 | 27 | 40 | 63 | 97 | 155 | 250 | 400 | 630 | 970 | 1550 | 2500 | 4000 |
| peste 400 | 4 | 6 | 8 | 10 | 15 | 20 | 27 | 40 | 63 | 97 | 155 | 250 | 400 | 630 | 970 | 1550 | 2500 | 4000 |
| pină la 500 | | | | | | | | | | | | | | | | | | |

Dimensiuni nominale (mm)

Observație. Toleranțele fundamentale ale preciziilor 14, 15 și 16 pentru dimensiuni pină la 3 mm sînt valabile numai pentru dimensiuni peste 1 mm.

Tabela 9.6. Sistemul ISO de toleranțe și ajustaje — Câmpuri de toleranță de uz general pentru dimensiuni pină la 500 mm — Arhori. Abateri limită în micrometri (μm) (SIS 3102-68)

| Dimensiuni nominale (mm) | Poziția câmpului de toleranță | | | | | | | | | | | | | | | | | |
|--------------------------|-------------------------------|-----|-----|-----|-----|-----|-----|-----|-----|-----|-----|-----|-----|-----|-----|-----|-----|-----|
| | a | | | b | | | c | | | d | | | e | | | f | | |
| Simbolul | a9 | a11 | a13 | b9 | b11 | b13 | c9 | c11 | c13 | d9 | d11 | d13 | e9 | e11 | e13 | f9 | f11 | f13 |
| Pină la 3 | 270 | 270 | 270 | 140 | 140 | 140 | 60 | 60 | 60 | 60 | 60 | 60 | 60 | 60 | 60 | 60 | 60 | 60 |
| Peste 3 pină la 6 | 295 | 330 | 330 | 154 | 154 | 154 | 74 | 74 | 74 | 74 | 74 | 74 | 74 | 74 | 74 | 74 | 74 | 74 |
| Peste 6 pină la 10 | 270 | 270 | 270 | 140 | 140 | 140 | 60 | 60 | 60 | 60 | 60 | 60 | 60 | 60 | 60 | 60 | 60 | 60 |
| | 300 | 345 | 345 | 170 | 170 | 170 | 88 | 88 | 88 | 88 | 88 | 88 | 88 | 88 | 88 | 88 | 88 | 88 |
| | 280 | 280 | 280 | 150 | 150 | 150 | 80 | 80 | 80 | 80 | 80 | 80 | 80 | 80 | 80 | 80 | 80 | 80 |
| | 316 | 370 | 370 | 172 | 172 | 172 | 102 | 102 | 102 | 102 | 102 | 102 | 102 | 102 | 102 | 102 | 102 | 102 |

| Dimensiuni nominale (mm) | Generalități | | | | | | | | | | | | | | | | | |
|--------------------------|--------------|------|------|-----|-----|-----|-----|-----|-----|-----|-----|-----|-----|-----|-----|-----|-----|-----|
| Peste 10 pină la 18 | 290 | 290 | 290 | 150 | 150 | 150 | 60 | 60 | 60 | 60 | 60 | 60 | 60 | 60 | 60 | 60 | 60 | 60 |
| Peste 18 pină la 30 | 333 | 400 | 400 | 177 | 177 | 177 | 74 | 74 | 74 | 74 | 74 | 74 | 74 | 74 | 74 | 74 | 74 | 74 |
| Peste 30 pină la 40 | 352 | 430 | 430 | 193 | 193 | 193 | 88 | 88 | 88 | 88 | 88 | 88 | 88 | 88 | 88 | 88 | 88 | 88 |
| Peste 40 pină la 50 | 372 | 470 | 470 | 209 | 209 | 209 | 102 | 102 | 102 | 102 | 102 | 102 | 102 | 102 | 102 | 102 | 102 | 102 |
| Peste 50 pină la 65 | 382 | 480 | 480 | 219 | 219 | 219 | 110 | 110 | 110 | 110 | 110 | 110 | 110 | 110 | 110 | 110 | 110 | 110 |
| Peste 65 pină la 80 | 340 | 340 | 340 | 190 | 190 | 190 | 88 | 88 | 88 | 88 | 88 | 88 | 88 | 88 | 88 | 88 | 88 | 88 |
| Peste 80 pină la 100 | 414 | 530 | 530 | 236 | 236 | 236 | 130 | 130 | 130 | 130 | 130 | 130 | 130 | 130 | 130 | 130 | 130 | 130 |
| Peste 100 pină la 120 | 360 | 360 | 360 | 200 | 200 | 200 | 90 | 90 | 90 | 90 | 90 | 90 | 90 | 90 | 90 | 90 | 90 | 90 |
| Peste 120 pină la 140 | 434 | 550 | 550 | 246 | 246 | 246 | 140 | 140 | 140 | 140 | 140 | 140 | 140 | 140 | 140 | 140 | 140 | 140 |
| Peste 140 pină la 160 | 380 | 380 | 380 | 220 | 220 | 220 | 102 | 102 | 102 | 102 | 102 | 102 | 102 | 102 | 102 | 102 | 102 | 102 |
| Peste 160 pină la 180 | 467 | 600 | 600 | 274 | 274 | 274 | 160 | 160 | 160 | 160 | 160 | 160 | 160 | 160 | 160 | 160 | 160 | 160 |
| Peste 180 pină la 200 | 410 | 410 | 410 | 240 | 240 | 240 | 110 | 110 | 110 | 110 | 110 | 110 | 110 | 110 | 110 | 110 | 110 | 110 |
| Peste 200 pină la 225 | 497 | 630 | 630 | 294 | 294 | 294 | 170 | 170 | 170 | 170 | 170 | 170 | 170 | 170 | 170 | 170 | 170 | 170 |
| Peste 225 pină la 250 | 460 | 460 | 460 | 260 | 260 | 260 | 130 | 130 | 130 | 130 | 130 | 130 | 130 | 130 | 130 | 130 | 130 | 130 |
| Peste 250 pină la 280 | 560 | 710 | 710 | 323 | 323 | 323 | 190 | 190 | 190 | 190 | 190 | 190 | 190 | 190 | 190 | 190 | 190 | 190 |
| Peste 280 pină la 315 | 520 | 520 | 520 | 280 | 280 | 280 | 140 | 140 | 140 | 140 | 140 | 140 | 140 | 140 | 140 | 140 | 140 | 140 |
| Peste 315 pină la 355 | 620 | 770 | 770 | 343 | 343 | 343 | 210 | 210 | 210 | 210 | 210 | 210 | 210 | 210 | 210 | 210 | 210 | 210 |
| Peste 355 pină la 400 | 580 | 580 | 580 | 310 | 310 | 310 | 170 | 170 | 170 | 170 | 170 | 170 | 170 | 170 | 170 | 170 | 170 | 170 |
| Peste 400 pină la 450 | 680 | 830 | 830 | 373 | 373 | 373 | 230 | 230 | 230 | 230 | 230 | 230 | 230 | 230 | 230 | 230 | 230 | 230 |
| Peste 450 pină la 500 | 660 | 660 | 660 | 340 | 340 | 340 | 190 | 190 | 190 | 190 | 190 | 190 | 190 | 190 | 190 | 190 | 190 | 190 |
| | 740 | 740 | 740 | 380 | 380 | 380 | 220 | 220 | 220 | 220 | 220 | 220 | 220 | 220 | 220 | 220 | 220 | 220 |
| | 855 | 1030 | 1030 | 452 | 452 | 452 | 280 | 280 | 280 | 280 | 280 | 280 | 280 | 280 | 280 | 280 | 280 | 280 |
| | 820 | 820 | 820 | 420 | 420 | 420 | 260 | 260 | 260 | 260 | 260 | 260 | 260 | 260 | 260 | 260 | 260 | 260 |
| | 935 | 1110 | 1110 | 492 | 492 | 492 | 330 | 330 | 330 | 330 | 330 | 330 | 330 | 330 | 330 | 330 | 330 | 330 |
| | 920 | 920 | 920 | 480 | 480 | 480 | 320 | 320 | 320 | 320 | 320 | 320 | 320 | 320 | 320 | 320 | 320 | 320 |
| | 1050 | 1240 | 1240 | 561 | 561 | 561 | 400 | 400 | 400 | 400 | 400 | 400 | 400 | 400 | 400 | 400 | 400 | 400 |
| | 1050 | 1050 | 1050 | 540 | 540 | 540 | 380 | 380 | 380 | 380 | 380 | 380 | 380 | 380 | 380 | 380 | 380 | 380 |
| | 1180 | 1370 | 1370 | 621 | 621 | 621 | 460 | 460 | 460 | 460 | 460 | 460 | 460 | 460 | 460 | 460 | 460 | 460 |
| | 1200 | 1200 | 1200 | 600 | 600 | 600 | 440 | 440 | 440 | 440 | 440 | 440 | 440 | 440 | 440 | 440 | 440 | 440 |
| | 1340 | 1560 | 1560 | 689 | 689 | 689 | 520 | 520 | 520 | 520 | 520 | 520 | 520 | 520 | 520 | 520 | 520 | 520 |
| | 1350 | 1350 | 1350 | 680 | 680 | 680 | 510 | 510 | 510 | 510 | 510 | 510 | 510 | 510 | 510 | 510 | 510 | 510 |
| | 1490 | 1710 | 1710 | 769 | 769 | 769 | 600 | 600 | 600 | 600 | 600 | 600 | 600 | 600 | 600 | 600 | 600 | 600 |
| | 1500 | 1500 | 1500 | 760 | 760 | 760 | 590 | 590 | 590 | 590 | 590 | 590 | 590 | 590 | 590 | 590 | 590 | 590 |
| | 1655 | 1900 | 1900 | 857 | 857 | 857 | 680 | 680 | 680 | 680 | 680 | 680 | 680 | 680 | 680 | 680 | 680 | 680 |
| | 1650 | 1650 | 1650 | 840 | 840 | 840 | 670 | 670 | 670 | 670 | 670 | 670 | 670 | 670 | 670 | 670 | 670 | 670 |
| | 1805 | 2050 | 2050 | 937 | 937 | 937 | 770 | 770 | 770 | 770 | 770 | 770 | 770 | 770 | 770 | 770 | 770 | 770 |

Dimensiuni nominale (mm)

Tabela 9.6 (continuare)

| Pozitia cimpului de toleranță | d | | | | | | | | | | e | | | | | | | | | |
|-------------------------------|-----|-----|-----|-----|-----|-----|-----|-----|-----|-----|-----|-----|-----|-----|-----|-----|-----|-----|-----|-----|
| | d5 | d6 | d7 | d8 | d9 | d10 | d11 | e5 | e6 | e7 | e8 | e9 | e10 | e11 | e12 | e13 | e14 | e15 | e16 | e17 |
| Simbolul | | | | | | | | | | | | | | | | | | | | |
| Pină la 3 | 20 | 20 | 20 | 20 | 20 | 20 | 20 | 20 | 20 | 20 | 20 | 20 | 20 | 20 | 20 | 20 | 20 | 20 | 20 | 20 |
| Peste 3 pină la 6 | 24 | 26 | 30 | 34 | 34 | 34 | 34 | 34 | 34 | 34 | 34 | 34 | 34 | 34 | 34 | 34 | 34 | 34 | 34 | 34 |
| Peste 6 pină la 10 | 35 | 38 | 42 | 48 | 48 | 48 | 48 | 48 | 48 | 48 | 48 | 48 | 48 | 48 | 48 | 48 | 48 | 48 | 48 | 48 |
| Peste 10 pină la 18 | 46 | 49 | 55 | 62 | 62 | 62 | 62 | 62 | 62 | 62 | 62 | 62 | 62 | 62 | 62 | 62 | 62 | 62 | 62 | 62 |
| Peste 18 pină la 30 | 58 | 61 | 68 | 77 | 77 | 77 | 77 | 77 | 77 | 77 | 77 | 77 | 77 | 77 | 77 | 77 | 77 | 77 | 77 | 77 |
| Peste 30 pină la 50 | 74 | 78 | 86 | 98 | 98 | 98 | 98 | 98 | 98 | 98 | 98 | 98 | 98 | 98 | 98 | 98 | 98 | 98 | 98 | 98 |
| Peste 50 pină la 80 | 91 | 96 | 105 | 119 | 119 | 119 | 119 | 119 | 119 | 119 | 119 | 119 | 119 | 119 | 119 | 119 | 119 | 119 | 119 | 119 |
| Peste 80 pină la 120 | 113 | 119 | 130 | 146 | 146 | 146 | 146 | 146 | 146 | 146 | 146 | 146 | 146 | 146 | 146 | 146 | 146 | 146 | 146 | 146 |
| Peste 120 pină la 180 | 135 | 142 | 155 | 174 | 174 | 174 | 174 | 174 | 174 | 174 | 174 | 174 | 174 | 174 | 174 | 174 | 174 | 174 | 174 | 174 |
| Peste 180 pină la 250 | 145 | 145 | 145 | 145 | 145 | 145 | 145 | 145 | 145 | 145 | 145 | 145 | 145 | 145 | 145 | 145 | 145 | 145 | 145 | 145 |
| Peste 250 pină la 315 | 163 | 170 | 170 | 170 | 170 | 170 | 170 | 170 | 170 | 170 | 170 | 170 | 170 | 170 | 170 | 170 | 170 | 170 | 170 | 170 |
| Peste 315 pină la 400 | 170 | 170 | 170 | 170 | 170 | 170 | 170 | 170 | 170 | 170 | 170 | 170 | 170 | 170 | 170 | 170 | 170 | 170 | 170 | 170 |
| Peste 400 pină la 500 | 190 | 199 | 199 | 199 | 199 | 199 | 199 | 199 | 199 | 199 | 199 | 199 | 199 | 199 | 199 | 199 | 199 | 199 | 199 | 199 |

Dimensiuni nominale (mm)

| Pozitia cimpului de toleranță | f | | | | | | | | | | g | | | | | | | | | |
|-------------------------------|----|----|----|----|----|----|----|----|----|----|----|----|----|----|----|----|----|----|----|----|
| | 14 | 15 | 16 | 17 | 18 | 19 | 20 | 21 | 22 | 23 | 24 | 25 | 26 | 27 | 28 | 29 | 30 | 31 | 32 | 33 |
| Simbolul | | | | | | | | | | | | | | | | | | | | |
| Pină la 3 | 6 | 6 | 6 | 6 | 6 | 6 | 6 | 6 | 6 | 6 | 6 | 6 | 6 | 6 | 6 | 6 | 6 | 6 | 6 | 6 |
| Peste 3 pină la 6 | 9 | 10 | 10 | 10 | 10 | 10 | 10 | 10 | 10 | 10 | 10 | 10 | 10 | 10 | 10 | 10 | 10 | 10 | 10 | 10 |
| Peste 6 pină la 10 | 14 | 15 | 15 | 15 | 15 | 15 | 15 | 15 | 15 | 15 | 15 | 15 | 15 | 15 | 15 | 15 | 15 | 15 | 15 | 15 |

Dimensiuni nominale (mm)

| Pozitia cimpului de toleranță | h | | | | | | | | | | k | | | | | | | | | |
|-------------------------------|----|----|-----|-----|-----|-----|-----|-----|-----|-----|-----|-----|-----|-----|-----|-----|-----|-----|-----|-----|
| | 14 | 15 | 16 | 17 | 18 | 19 | 20 | 21 | 22 | 23 | 24 | 25 | 26 | 27 | 28 | 29 | 30 | 31 | 32 | 33 |
| Simbolul | | | | | | | | | | | | | | | | | | | | |
| Pină la 3 | 16 | 16 | 16 | 16 | 16 | 16 | 16 | 16 | 16 | 16 | 16 | 16 | 16 | 16 | 16 | 16 | 16 | 16 | 16 | 16 |
| Peste 3 pină la 6 | 21 | 24 | 27 | 34 | 34 | 34 | 34 | 34 | 34 | 34 | 34 | 34 | 34 | 34 | 34 | 34 | 34 | 34 | 34 | 34 |
| Peste 6 pină la 10 | 26 | 29 | 33 | 41 | 41 | 41 | 41 | 41 | 41 | 41 | 41 | 41 | 41 | 41 | 41 | 41 | 41 | 41 | 41 | 41 |
| Peste 10 pină la 18 | 32 | 36 | 41 | 50 | 50 | 50 | 50 | 50 | 50 | 50 | 50 | 50 | 50 | 50 | 50 | 50 | 50 | 50 | 50 | 50 |
| Peste 18 pină la 30 | 38 | 43 | 49 | 60 | 60 | 60 | 60 | 60 | 60 | 60 | 60 | 60 | 60 | 60 | 60 | 60 | 60 | 60 | 60 | 60 |
| Peste 30 pină la 50 | 46 | 51 | 58 | 71 | 71 | 71 | 71 | 71 | 71 | 71 | 71 | 71 | 71 | 71 | 71 | 71 | 71 | 71 | 71 | 71 |
| Peste 50 pină la 80 | 55 | 61 | 68 | 83 | 83 | 83 | 83 | 83 | 83 | 83 | 83 | 83 | 83 | 83 | 83 | 83 | 83 | 83 | 83 | 83 |
| Peste 80 pină la 120 | 64 | 70 | 79 | 96 | 96 | 96 | 96 | 96 | 96 | 96 | 96 | 96 | 96 | 96 | 96 | 96 | 96 | 96 | 96 | 96 |
| Peste 120 pină la 180 | 72 | 79 | 88 | 108 | 108 | 108 | 108 | 108 | 108 | 108 | 108 | 108 | 108 | 108 | 108 | 108 | 108 | 108 | 108 | 108 |
| Peste 180 pină la 250 | 80 | 87 | 98 | 119 | 119 | 119 | 119 | 119 | 119 | 119 | 119 | 119 | 119 | 119 | 119 | 119 | 119 | 119 | 119 | 119 |
| Peste 250 pină la 315 | 88 | 95 | 108 | 131 | 131 | 131 | 131 | 131 | 131 | 131 | 131 | 131 | 131 | 131 | 131 | 131 | 131 | 131 | 131 | 131 |

Dimensiuni nominale (mm)

| Pozitia cimpului de toleranță | h | | | | | | | | | | k | | | | | | | | | |
|-------------------------------|-----|-----|-----|-----|-----|-----|-----|-----|-----|-----|-----|-----|-----|-----|-----|-----|-----|-----|-----|-----|
| | 14 | 15 | 16 | 17 | 18 | 19 | 20 | 21 | 22 | 23 | 24 | 25 | 26 | 27 | 28 | 29 | 30 | 31 | 32 | 33 |
| Simbolul | | | | | | | | | | | | | | | | | | | | |
| Pină la 3 | 0 | 0 | 0 | 0 | 0 | 0 | 0 | 0 | 0 | 0 | 0 | 0 | 0 | 0 | 0 | 0 | 0 | 0 | 0 | 0 |
| Peste 3 pină la 6 | 0,8 | 1,2 | 1,5 | 2,5 | 2,5 | 2,5 | 2,5 | 2,5 | 2,5 | 2,5 | 2,5 | 2,5 | 2,5 | 2,5 | 2,5 | 2,5 | 2,5 | 2,5 | 2,5 | 2,5 |
| Peste 6 pină la 10 | 0 | 0 | 0 | 0 | 0 | 0 | 0 | 0 | 0 | 0 | 0 | 0 | 0 | 0 | 0 | 0 | 0 | 0 | 0 | 0 |
| Peste 10 pină la 18 | 0 | 0 | 0 | 0 | 0 | 0 | 0 | 0 | 0 | 0 | 0 | 0 | 0 | 0 | 0 | 0 | 0 | 0 | 0 | 0 |
| Peste 18 pină la 30 | 0 | 0 | 0 | 0 | 0 | 0 | 0 | 0 | 0 | 0 | 0 | 0 | 0 | 0 | 0 | 0 | 0 | 0 | 0 | 0 |
| Peste 30 pină la 50 | 0 | 0 | 0 | 0 | 0 | 0 | 0 | 0 | 0 | 0 | 0 | 0 | 0 | 0 | 0 | 0 | 0 | 0 | 0 | 0 |
| Peste 50 pină la 80 | 0 | 0 | 0 | 0 | 0 | 0 | 0 | 0 | 0 | 0 | 0 | 0 | 0 | 0 | 0 | 0 | 0 | 0 | 0 | 0 |
| Peste 80 pină la 120 | 0 | 0 | 0 | 0 | 0 | 0 | 0 | 0 | 0 | 0 | 0 | 0 | 0 | 0 | 0 | 0 | 0 | 0 | 0 | 0 |

Dimensiuni nominale (mm)

Tabela 9.6 (continuare)

| Pozitia cimpului de toleranță | h | | | | | | | | | | | | | | | |
|-------------------------------|------|-----|-----|-----|-----|-----|-----|-----|------|------|------|------|------|-------|-------|-------|
| | h1 | h2 | h3 | h4 | h5 | h6 | h7 | h8 | h9 | h10 | h11 | h12 | h13 | h14 | h15 | h16 |
| Simbolul | | | | | | | | | | | | | | | | |
| Peste 120 | 0 | 0 | 0 | 0 | 0 | 0 | 0 | 0 | 0 | 0 | 0 | 0 | 0 | 0 | 0 | 0 |
| Pină la 180 | -3,5 | -5 | -8 | -12 | -18 | -25 | -40 | -63 | -100 | -160 | -250 | -400 | -630 | -1000 | -1600 | -2500 |
| Peste 180 | 0 | 0 | 0 | 0 | 0 | 0 | 0 | 0 | 0 | 0 | 0 | 0 | 0 | 0 | 0 | 0 |
| Pină la 250 | -4,5 | -7 | -10 | -14 | -20 | -29 | -46 | -72 | -113 | -185 | -290 | -460 | -720 | -1150 | -1850 | -2900 |
| Peste 250 | 0 | 0 | 0 | 0 | 0 | 0 | 0 | 0 | 0 | 0 | 0 | 0 | 0 | 0 | 0 | 0 |
| Pină la 315 | -6 | -8 | -12 | -16 | -23 | -32 | -52 | -81 | -130 | -210 | -320 | -520 | -810 | -1300 | -2100 | -3200 |
| Peste 315 | 0 | 0 | 0 | 0 | 0 | 0 | 0 | 0 | 0 | 0 | 0 | 0 | 0 | 0 | 0 | 0 |
| Pină la 400 | -7 | -9 | -13 | -18 | -26 | -38 | -57 | -89 | -140 | -230 | -360 | -570 | -890 | -1400 | -2300 | -3600 |
| Peste 400 | 0 | 0 | 0 | 0 | 0 | 0 | 0 | 0 | 0 | 0 | 0 | 0 | 0 | 0 | 0 | 0 |
| Pină la 500 | -8 | -10 | -15 | -20 | -27 | -40 | -63 | -97 | -155 | -250 | -400 | -630 | -970 | -1550 | -2500 | -4000 |

Observație. Abaterile limită corespundătoare simbolurilor h14, h15 și h16, la dimensiunile pină la 3 mm, sint valabile numai pentru dimensiunile peste 1 mm.

Tabela 9.6 (continuare)

| Pozitia cimpului de toleranță | js | | | | | | | | | | | | | | | |
|-------------------------------|----|----|----|----|----|----|----|----|----|----|----|----|----|----|----|----|
| | js | js | js | js | js | js | js | js | js | js | js | js | js | js | js | js |
| Simbolul | | | | | | | | | | | | | | | | |
| Pină la 3 | +2 | +2 | +2 | +2 | +2 | +2 | +2 | +2 | +2 | +2 | +2 | +2 | +2 | +2 | +2 | +2 |
| Peste 3 pină la 6 | +2 | +2 | +2 | +2 | +2 | +2 | +2 | +2 | +2 | +2 | +2 | +2 | +2 | +2 | +2 | +2 |
| Peste 6 pină la 10 | +2 | +2 | +2 | +2 | +2 | +2 | +2 | +2 | +2 | +2 | +2 | +2 | +2 | +2 | +2 | +2 |
| Peste 10 pină la 18 | +2 | +2 | +2 | +2 | +2 | +2 | +2 | +2 | +2 | +2 | +2 | +2 | +2 | +2 | +2 | +2 |
| Peste 18 pină la 30 | +2 | +2 | +2 | +2 | +2 | +2 | +2 | +2 | +2 | +2 | +2 | +2 | +2 | +2 | +2 | +2 |
| Peste 30 pină la 50 | +2 | +2 | +2 | +2 | +2 | +2 | +2 | +2 | +2 | +2 | +2 | +2 | +2 | +2 | +2 | +2 |
| Peste 50 pină la 80 | +2 | +2 | +2 | +2 | +2 | +2 | +2 | +2 | +2 | +2 | +2 | +2 | +2 | +2 | +2 | +2 |
| Peste 80 pină la 120 | +2 | +2 | +2 | +2 | +2 | +2 | +2 | +2 | +2 | +2 | +2 | +2 | +2 | +2 | +2 | +2 |

Dimensiuni nominale (mm)

| Pozitia cimpului de toleranță | js | | | | | | | | | | | | | | | |
|-------------------------------|----|----|----|----|----|----|----|----|----|----|----|----|----|----|----|----|
| | js | js | js | js | js | js | js | js | js | js | js | js | js | js | js | js |
| Simbolul | | | | | | | | | | | | | | | | |
| Pină la 3 | +2 | +2 | +2 | +2 | +2 | +2 | +2 | +2 | +2 | +2 | +2 | +2 | +2 | +2 | +2 | +2 |
| Peste 3 pină la 6 | +2 | +2 | +2 | +2 | +2 | +2 | +2 | +2 | +2 | +2 | +2 | +2 | +2 | +2 | +2 | +2 |
| Peste 6 pină la 10 | +2 | +2 | +2 | +2 | +2 | +2 | +2 | +2 | +2 | +2 | +2 | +2 | +2 | +2 | +2 | +2 |
| Peste 10 pină la 18 | +2 | +2 | +2 | +2 | +2 | +2 | +2 | +2 | +2 | +2 | +2 | +2 | +2 | +2 | +2 | +2 |
| Peste 18 pină la 30 | +2 | +2 | +2 | +2 | +2 | +2 | +2 | +2 | +2 | +2 | +2 | +2 | +2 | +2 | +2 | +2 |
| Peste 30 pină la 50 | +2 | +2 | +2 | +2 | +2 | +2 | +2 | +2 | +2 | +2 | +2 | +2 | +2 | +2 | +2 | +2 |
| Peste 50 pină la 80 | +2 | +2 | +2 | +2 | +2 | +2 | +2 | +2 | +2 | +2 | +2 | +2 | +2 | +2 | +2 | +2 |
| Peste 80 pină la 120 | +2 | +2 | +2 | +2 | +2 | +2 | +2 | +2 | +2 | +2 | +2 | +2 | +2 | +2 | +2 | +2 |

Observație. Abaterile limită pentru arborii a și b, la dimensiuni pină la 3 mm, sint valabile numai pentru dimensiuni peste 1 mm.

Tabela 9.6 (continuare)

| Pozitia cimpului de toleranță | js | | | | | | | | | | | | | | | |
|-------------------------------|----|----|----|----|----|----|----|----|----|----|----|----|----|----|----|----|
| | js | js | js | js | js | js | js | js | js | js | js | js | js | js | js | js |
| Simbolul | | | | | | | | | | | | | | | | |
| Pină la 3 | +2 | +2 | +2 | +2 | +2 | +2 | +2 | +2 | +2 | +2 | +2 | +2 | +2 | +2 | +2 | +2 |
| Peste 3 pină la 6 | +2 | +2 | +2 | +2 | +2 | +2 | +2 | +2 | +2 | +2 | +2 | +2 | +2 | +2 | +2 | +2 |
| Peste 6 pină la 10 | +2 | +2 | +2 | +2 | +2 | +2 | +2 | +2 | +2 | +2 | +2 | +2 | +2 | +2 | +2 | +2 |
| Peste 10 pină la 18 | +2 | +2 | +2 | +2 | +2 | +2 | +2 | +2 | +2 | +2 | +2 | +2 | +2 | +2 | +2 | +2 |
| Peste 18 pină la 30 | +2 | +2 | +2 | +2 | +2 | +2 | +2 | +2 | +2 | +2 | +2 | +2 | +2 | +2 | +2 | +2 |
| Peste 30 pină la 50 | +2 | +2 | +2 | +2 | +2 | +2 | +2 | +2 | +2 | +2 | +2 | +2 | +2 | +2 | +2 | +2 |
| Peste 50 pină la 80 | +2 | +2 | +2 | +2 | +2 | +2 | +2 | +2 | +2 | +2 | +2 | +2 | +2 | +2 | +2 | +2 |
| Peste 80 pină la 120 | +2 | +2 | +2 | +2 | +2 | +2 | +2 | +2 | +2 | +2 | +2 | +2 | +2 | +2 | +2 | +2 |
| Peste 120 pină la 180 | +2 | +2 | +2 | +2 | +2 | +2 | +2 | +2 | +2 | +2 | +2 | +2 | +2 | +2 | +2 | +2 |
| Peste 180 pină la 250 | +2 | +2 | +2 | +2 | +2 | +2 | +2 | +2 | +2 | +2 | +2 | +2 | +2 | +2 | +2 | +2 |
| Peste 250 pină la 315 | +2 | +2 | +2 | +2 | +2 | +2 | +2 | +2 | +2 | +2 | +2 | +2 | +2 | +2 | +2 | +2 |
| Peste 315 pină la 400 | +2 | +2 | +2 | +2 | +2 | +2 | +2 | +2 | +2 | +2 | +2 | +2 | +2 | +2 | +2 | +2 |
| Peste 400 pină la 500 | +2 | +2 | +2 | +2 | +2 | +2 | +2 | +2 | +2 | +2 | +2 | +2 | +2 | +2 | +2 | +2 |

Dimensiuni nominale (mm)

Tabela 9.6 (continuare)

| Poziția câmpului de toleranță | | f_s | | | | | | | | k | | | |
|-------------------------------|-----------------------|----------------|--------------|--------------|--------------|--------------|--------------|----------------|----------------|-----------|-----------|-----------|-----------|
| | | j_{s9} | j_{s10} | j_{s11} | j_{s12} | j_{s13} | j_{s14} | j_{s15} | j_{s16} | k_4 | k_5 | k_6 | k_7 |
| Simbolul | | | | | | | | | | | | | |
| Dimeensiuni normale (mm) | Peste 315 pînă la 400 | +70 -70 | +115 -115 | +180 -180 | +285 -285 | +445 -445 | +700 -700 | +1150 -1150 | +1800 -1800 | +22 +4 | +29 +4 | +40 +4 | +61 +4 |
| | Peste 400 pînă la 500 | +77,5 -77,5 | +125 -125 | +200 -200 | +315 -315 | +485 -485 | +775 -775 | +1250 -1250 | +2000 -2000 | +25 +5 | +32 +5 | +45 +5 | +68 +5 |

Observație: Abaterile limită corespunzătoare simbolurilor j_{s14}, j_{s15} și j_{s16}, la dimensiunile pînă la 3 mm, sînt valabile numai pentru dimensiuni peste 1 mm.

Tabela 9.6 (continuare)

| Simbolul | m | | | | n | | | | p | | | |
|-----------|--|---|--|--|---|---|--|--|---|--|---|--|
| | m ₄ | m ₅ | m ₆ | m ₇ | n ₄ | n ₅ | n ₆ | n ₇ | p ₄ | p ₅ | p ₆ | p ₇ |
| Pînă la 3 | +5 +2 +4 +10 +12 +14 +16 +19 +11 +23 +13 +27 +15 +31 +17 +36 +20 | +6 +2 +9 +4 +12 +6 +15 +18 +7 +21 +8 +20 +9 +24 +11 +28 +13 +33 +40 +15 +46 +17 +37 +43 +20 | +8 +2 +12 +4 +15 +6 +18 +7 +21 +8 +25 +9 +30 +11 +35 +13 +39 +15 +46 +17 +37 +43 +20 | — +16 +4 +21 +6 +25 +7 +29 +8 +31 +24 +17 +28 +20 +41 +11 +48 +13 +55 +15 +63 +17 +72 +20 | +7 +4 +12 +4 +14 +10 +17 +12 +21 +15 +24 +17 +28 +20 +41 +11 +33 +23 +39 +15 +45 +31 +50 +34 | +8 +4 +13 +8 +16 +10 +20 +12 +24 +15 +28 +17 +33 +20 +40 +11 +38 +23 +45 +27 +51 +31 +57 +34 | +10 +4 +16 +8 +19 +10 +23 +12 +28 +15 +33 +17 +39 +20 +45 +20 +52 +23 +52 +27 +60 +31 +66 +34 | +14 +4 +20 +8 +25 +10 +30 +12 +36 +15 +42 +17 +50 +20 +58 +23 +67 +27 +77 +31 +86 +34 | +9 +6 +16 +12 +8 +15 +10 +23 +18 +31 +22 +37 +26 +40 +32 +47 +37 +43 +70 +50 +72 +56 | +10 +6 +17 +12 +21 +15 +26 +18 +31 +22 +37 +26 +40 +32 +47 +37 +43 +70 +50 +72 +56 | +12 +6 +20 +12 +24 +15 +28 +18 +35 +22 +42 +26 +51 +32 +59 +37 +68 +43 +79 +50 +88 +56 | +16 +6 +24 +12 +30 +15 +36 +18 +43 +22 +51 +26 +62 +32 +72 +37 +83 +43 +96 +50 +108 +56 |

Dimensiuni nominale (mm)

Toleranțe și ajustaje

| Dimensiuni nominale (mm) | r | | | | s | | | | t | | | |
|-----------------------------|----------------|----------------|----------------|----------------|----------------|----------------|----------------|----------------|----------------|----------------|----------------|--|
| | r ₄ | r ₅ | r ₆ | r ₇ | s ₄ | s ₅ | s ₆ | s ₇ | t ₅ | t ₆ | t ₇ | |
| Peste 315 pînă la 400 | +39 +21 | +46 +21 | +57 +21 | +78 +21 | +55 +37 | +62 +37 | +73 +37 | +80 +37 | +87 +62 | +98 +62 | +119 +62 | |
| Peste 400 pînă la 500 | +43 +23 | +50 +23 | +63 +23 | +86 +23 | +60 +40 | +67 +40 | +80 +40 | +103 +40 | +95 +68 | +108 +68 | +113 +68 | |

Observații. 1. În locul abaterilor limită nespecificate la simbolul m₇, la dimensiuni pînă la 3 mm, se folosesc abaterile limită corespunzătoare simbolului n₇. 2. În locul abaterilor limită nespecificate pentru simbolurile t₅, t₆ și t₇, la dimensiuni pînă la 24 mm se folosesc abaterile limită corespunzătoare simbolurilor u₅, u₆, respectiv u₇. 3. În locul abaterilor limită nespecificate pentru simbolurile v₅, v₆ și v₇, la dimensiuni pînă la 14 mm, se folosesc abaterile limită corespunzătoare simbolurilor x₅, x₆, respectiv x₇. 4. În locul abaterilor limită nespecificate pentru simbolurile y₆ și y₇ la dimensiuni pînă la 18 mm, se folosesc abaterile limită corespunzătoare simbolurilor z₆, respectiv z₇.

Tabela 9.6 (continuare)

| Poziția cîmpului de toleranță | r | | | | s | | | | t | | |
|-------------------------------|--|--|--|--|--|--|--|---|---|---|--|
| | r4 | r5 | r6 | r7 | s4 | s5 | s6 | s7 | t5 | t6 | t7 |
| Simbolul | | | | | | | | | | | |
| Pînă la 3 | +13 +10 +19 +23 +19 | +14 +10 +20 +15 +25 +19 | +16 +10 +23 +15 +28 +19 | +20 +10 +27 +15 +34 +19 | +17 +14 +23 +19 +27 +23 | +18 +14 +24 +19 +29 +23 | +20 +14 +27 +19 +32 +23 | +24 +14 +31 +19 +38 +23 | — | — | — |
| Peste 3 | | | | | | | | | | | |
| Pînă la 6 | +15 +23 +19 | +15 +25 +19 | +15 +28 +19 | +15 +34 +19 | +15 +27 +23 | +15 +29 +23 | +15 +32 +23 | +19 +38 +23 | — | — | — |
| Peste 6 | | | | | | | | | | | |
| Pînă la 10 | +23 +19 | +25 +19 | +28 +19 | +34 +19 | +27 +23 | +29 +23 | +32 +23 | +38 +23 | — | — | — |
| Peste 10 | | | | | | | | | | | |
| Pînă la 14 | +28 +23 | +31 +23 | +34 +23 | +41 +23 | +33 +28 | +36 +28 | +39 +28 | +46 +28 | — | — | — |
| Peste 14 | | | | | | | | | | | |
| Pînă la 18 | | | | | | | | | | | |
| Peste 18 | | | | | | | | | | | |
| Pînă la 24 | +34 +28 | +37 +28 | +41 +28 | +49 +28 | +41 +35 | +44 +35 | +48 +35 | +56 +35 | — | — | — |
| Peste 24 | | | | | | | | | | | |
| Pînă la 30 | | | | | | | | | | | |
| Peste 30 | | | | | | | | | | | |
| Pînă la 40 | +41 +34 | +45 +34 | +50 +34 | +59 +34 | +50 +43 | +54 +43 | +59 +43 | +68 +43 | +59 +48 | +64 +48 | +73 +48 |
| Peste 40 | | | | | | | | | | | |
| Pînă la 50 | | | | | | | | | | | |
| Peste 50 | +49 +41 +51 +43 +61 +51 | +54 +41 +56 +43 +66 +51 | +60 +41 +62 +43 +73 +51 | +71 +41 +73 +43 +86 +51 | +61 +53 +67 +50 +81 +71 | +66 +53 +72 +59 +86 +71 | +72 +53 +78 +59 +93 +71 | +83 +53 +89 +59 +106 +71 | +79 +66 +88 +75 +106 +91 | +85 +64 +94 +75 +113 +91 | +96 +66 +105 +75 +126 +91 |

Dimensiuni nominale (mm)

Tabela 9.6 (continuare)

| Pozitia cimpului toleranta | I | | | | | | | S | | | t | | |
|----------------------------|-----|-----|-----|-----|-----|-----|-----|-----|-----|-----|-----|--|--|
| | r4 | r5 | r6 | r7 | s4 | s5 | s6 | s7 | t5 | t6 | t7 | | |
| Simbolul | | | | | | | | | | | | | |
| Peste | 100 | 69 | 76 | 89 | 89 | 94 | 101 | 114 | 119 | 126 | 139 | | |
| pină la | 120 | 54 | 54 | 54 | 79 | 79 | 79 | 79 | 104 | 104 | 104 | | |
| Peste | 120 | 81 | 88 | 103 | 104 | 110 | 117 | 132 | 140 | 147 | 162 | | |
| pină la | 140 | 63 | 63 | 63 | 92 | 92 | 92 | 122 | 132 | 122 | 122 | | |
| Peste | 140 | 83 | 90 | 105 | 112 | 118 | 125 | 140 | 152 | 159 | 174 | | |
| pină la | 160 | 65 | 65 | 65 | 100 | 100 | 100 | 100 | 134 | 134 | 134 | | |
| Peste | 160 | 86 | 93 | 108 | 120 | 126 | 133 | 148 | 154 | 171 | 186 | | |
| pină la | 180 | 68 | 68 | 68 | 108 | 108 | 108 | 108 | 146 | 146 | 146 | | |
| Peste | 180 | 91 | 106 | 123 | 136 | 142 | 151 | 168 | 185 | 195 | 212 | | |
| pină la | 200 | 77 | 77 | 77 | 122 | 122 | 122 | 122 | 166 | 166 | 166 | | |
| Peste | 200 | 94 | 108 | 126 | 144 | 150 | 159 | 176 | 209 | 209 | 226 | | |
| pină la | 225 | 80 | 80 | 80 | 130 | 130 | 130 | 130 | 180 | 180 | 180 | | |
| Peste | 225 | 104 | 113 | 130 | 154 | 160 | 169 | 186 | 225 | 225 | 242 | | |
| pină la | 250 | 84 | 84 | 84 | 140 | 140 | 140 | 140 | 196 | 196 | 196 | | |
| Peste | 250 | 117 | 126 | 146 | 174 | 181 | 190 | 210 | 241 | 250 | 270 | | |
| pină la | 280 | 94 | 94 | 94 | 158 | 158 | 158 | 158 | 218 | 218 | 218 | | |
| Peste | 280 | 114 | 130 | 150 | 186 | 193 | 202 | 222 | 263 | 272 | 292 | | |
| pină la | 315 | 98 | 98 | 98 | 170 | 170 | 170 | 170 | 240 | 240 | 240 | | |
| Peste | 315 | 133 | 144 | 165 | 208 | 215 | 226 | 247 | 293 | 304 | 325 | | |
| pină la | 355 | 108 | 108 | 108 | 180 | 190 | 190 | 190 | 268 | 268 | 268 | | |
| Peste | 355 | 132 | 139 | 171 | 226 | 233 | 244 | 265 | 319 | 330 | 351 | | |
| pină la | 400 | 114 | 114 | 114 | 208 | 208 | 208 | 208 | 294 | 294 | 294 | | |
| Peste | 400 | 146 | 166 | 189 | 232 | 239 | 272 | 285 | 357 | 370 | 393 | | |
| pină la | 450 | 126 | 126 | 126 | 232 | 232 | 232 | 232 | 330 | 330 | 330 | | |
| Peste | 450 | 159 | 172 | 185 | 272 | 279 | 292 | 315 | 387 | 400 | 423 | | |
| pină la | 500 | 132 | 132 | 132 | 232 | 252 | 252 | 252 | 360 | 360 | 360 | | |

Tabela 9.6 (continuare)

| Poziția câmpului de toleranță | | u | | | | v | | | | x | | | |
|-------------------------------|--|--------------|--------------|--------------|--------------|----|----|----|--------------|--------------|--------------|--------------|--|
| Simbolul | | u5 | u6 | u7 | u8 | v5 | v6 | v7 | x5 | x6 | x7 | x8 | |
| Până la 3 | | + 22 + 18 | + 24 + 18 | + 23 + 18 | + 32 + 18 | — | — | — | + 24 + 20 | + 26 + 20 | + 30 + 20 | + 34 + 20 | |
| Peste 3 până la 6 | | + 28 + 23 | + 31 + 23 | + 35 + 23 | + 41 + 23 | — | — | — | + 33 + 28 | + 36 + 28 | + 40 + 28 | + 46 + 28 | |

Peste 6

| Dimensiuni nominale (mm) | | + 28 | + 41 | + 28 | + 44 | + 28 | + 51 | + 28 | + 60 | — | | — | | — | | + 34 | + 34 | + 34 | + 34 | + 34 | + 34 | + 34 | + 34 | + 34 | + 34 | + 34 | + 34 | + 34 | + 34 | + 34 | + 34 | + 34 | + 34 | + 34 | + 34 | + 34 | + 34 | + 34 | + 34 | + 34 | + 34 | + 34 | + 34 | + 34 | + 34 | + 34 | + 34 | + 34 | + 34 | + 34 | + 34 | + 34 | + 34 | + 34 | + 34 | + 34 | + 34 | + 34 | + 34 | + 34 | + 34 | + 34 | + 34 | + 34 | + 34 | + 34 | + 34 | + 34 | + 34 | + 34 | + 34 | + 34 | + 34 | + 34 | + 34 | + 34 | + 34 | + 34 | + 34 | + 34 | + 34 | + 34 | + 34 | + 34 | + 34 | + 34 | + 34 | + 34 | + 34 | + 34 | + 34 | + 34 | + 34 | + 34 | + 34 | + 34 | + 34 | + 34 | + 34 | + 34 | + 34 | + 34 | + 34 | + 34 | + 34 | + 34 | + 34 | + 34 | + 34 | + 34 | + 34 | + 34 | + 34 | + 34 | + 34 | + 34 | + 34 | + 34 | + 34 | + 34 | + 34 | + 34 | + 34 | + 34 | + 34 | + 34 | + 34 | + 34 | + 34 | + 34 | + 34 | + 34 | + 34 | + 34 | + 34 | + 34 | + 34 | + 34 | + 34 | + 34 | + 34 | + 34 | + 34 | + 34 | + 34 | + 34 | + 34 | + 34 | + 34 | + 34 | + 34 | + 34 | + 34 | + 34 | + 34 | + 34 | + 34 | + 34 | + 34 | + 34 | + 34 | + 34 | + 34 | + 34 | + 34 | + 34 | + 34 | + 34 | + 34 | + 34 | + 34 | + 34 | + 34 | + 34 | + 34 | + 34 | + 34 | + 34 | + 34 | + 34 | + 34 | + 34 | + 34 | + 34 | + 34 | + 34 | + 34 | + 34 | + 34 | + 34 | + 34 | + 34 | + 34 | + 34 | + 34 | + 34 | + 34 | + 34 | + 34 | + 34 | + 34 | + 34 | + 34 | + 34 | + 34 | + 34 | + 34 | + 34 | + 34 | + 34 | + 34 | + 34 | + 34 | + 34 | + 34 | + 34 | + 34 | + 34 | + 34 | + 34 | + 34 | + 34 | + 34 | + 34 | + 34 | + 34 | + 34 | + 34 | + 34 | + 34 | + 34 | + 34 | + 34 | + 34 | + 34 | + 34 | + 34 | + 34 | + 34 | + 34 | + 34 | + 34 | + 34 | + 34 | + 34 | + 34 | + 34 | + 34 | + 34 | + 34 | + 34 | + 34 | + 34 | + 34 | + 34 | + 34 | + 34 | + 34 | + 34 | + 34 | + 34 | + 34 | + 34 | + 34 | + 34 | + 34 | + 34 | + 34 | + 34 | + 34 | + 34 | + 34 | + 34 | + 34 | + 34 | + 34 | + 34 | + 34 | + 34 | + 34 | + 34 | + 34 | + 34 | + 34 | + 34 | + 34 | + 34 | + 34 | + 34 | + 34 | + 34 | + 34 | + 34 | + 34 | + 34 | + 34 | + 34 | + 34 | + 34 | + 34 | + 34 | + 34 | + 34 | + 34 | + 34 | + 34 | + 34 | + 34 | + 34 | + 34 | + 34 | + 34 | + 34 | + 34 | + 34 | + 34 | + 34 | + 34 | + 34 | + 34 | + 34 | + 34 | + 34 | + 34 | + 34 | + 34 | + 34 | + 34 | + 34 | + 34 | + 34 | + 34 | + 34 | + 34 | + 34 | + 34 | + 34 | + 34 | + 34 | + 34 | + 34 | + 34 | + 34 | + 34 | + 34 | + 34 | + 34 | + 34 | + 34 | + 34 | + 34 | + 34 | + 34 | + 34 | + 34 | + 34 | + 34 | + 34 | + 34 | + 34 | + 34 | + 34 | + 34 | + 34 | + 34 | + 34 | + 34 | + 34 | + 34 | + 34 | + 34 | + 34 | + 34 | + 34 | + 34 | + 34 | + 34 | + 34 | + 34 | + 34 | + 34 | + 34 | + 34 | + 34 | + 34 | + 34 | + 34 | + 34 | + 34 | + 34 | + 34 | + 34 | + 34 | + 34 | + 34 | + 34 | + 34 | + 34 | + 34 | + 34 | + 34 | + 34 | + 34 | + 34 | + 34 | + 34 | + 34 | + 34 | + 34 | + 34 | + 34 | + 34 | + 34 | + 34 | + 34 | + 34 | + 34 | + 34 | + 34 | + 34 | + 34 | + 34 | + 34 | + 34 | + 34 | + 34 | + 34 | + 34 | + 34 | + 34 | + 34 | + 34 | + 34 | + 34 | + 34 | + 34 | + 34 | + 34 | + 34 | + 34 | + 34 | + 34 | + 34 | + 34 | + 34 | + 34 | + 34 | + 34 | + 34 | + 34 | + 34 | + 34 | + 34 | + 34 | + 34 | + 34 | + 34 | + 34 | + 34 | + 34 | + 34 | + 34 | + 34 | + 34 | + 34 | + 34 | + 34 | + 34 | + 34 | + 34 | + 34 | + 34 | + 34 | + 34 | + 34 | + 34 | + 34 | + 34 | + 34 | + 34 | + 34 | + 34 | + 34 | + 34 | + 34 | + 34 | + 34 | + 34 | + 34 | + 34 | + 34 | + 34 | + 34 | + 34 | + 34 | + 34 | + 34 | + 34 | + 34 | + 34 | + 34 | + 34 | + 34 | + 34 | + 34 | + 34 | + 34 | + 34 | + 34 | + 34 | + 34 | + 34 | + 34 | + 34 | + 34 | + 34 | + 34 | + 34 | + 34 | + 34 | + 34 | + 34 | + 34 | + 34 | + 34 | + 34 | + 34 | + 34 | + 34 | + 34 | + 34 | + 34 | + 34 | + 34 | + 34 | + 34 | + 34 | + 34 | + 34 | + 34 | + 34 | + 34 | + 34 | + 34 | + 34 | + 34 | + 34 | + 34 | + 34 | + 34 | + 34 | + 34 | + 34 | + 34 | + 34 | + 34 | + 34 | + 34 | + 34 | + 34 | + 34 | + 34 | + 34 | + 34 | + 34 | + 34 | + 34 | + 34 | + 34 | + 34 | + 34 | + 34 | + 34 | + 34 | + 34 | + 34 | + 34 | + 34 | + 34 | + 34 | + 34 | + 34 | + 34 | + 34 | + 34 | + 34 | + 34 | + 34 | + 34 | + 34 | + 34 | + 34 | + 34 | + 34 | + 34 | + 34 | + 34 | + 34 | + 34 | + 34 | + 34 | + 34 | + 34 | + 34 | + 34 | + 34 | + 34 | + 34 | + 34 | + 34 | + 34 | + 34 | + 34 | + 34 | + 34 | + 34 | + 34 | + 34 | + 34 | + 34 | + 34 | + 34 | + 34 | + 34 | + 34 | + 34 | + 34 | + 34 | + 34 | + 34 | + 34 | + 34 | + 34 | + 34 | + 34 | + 34 | + 34 | + 34 | + 34 | + 34 | + 34 | + 34 | + 34 | + 34 | + 34 | + 34 | + 34 | + 34 | + 34 | + 34 | + 34 | + 34 | + 34 | + 34 | + 34 | + 34 | + 34 | + 34 | + 34 | + 34 | + 34 | + 34 | + 34 | + 34 | + 34 | + 34 | + 34 | + 34 | + 34 | + 34 | + 34 | + 34 | + 34 | + 34 | + 34 | + 34 | + 34 | + 34 | + 34 | + 34 | + 34 | + 34 | + 34 | + 34 | + 34 | + 34 | + 34 | + 34 | + 34 | + 34 | + 34 | + 34 | + 34 | + 34 | + 34 | + 34 | + 34 | + 34 | + 34 | + 34 | + 34 | + 34 | + 34 | + 34 | + 34 | + 34 | + 34 | + 34 | + 34 | + 34 | + 34 | + 34 | + 34 | + 34 | + 34 | + 34 | + 34 | + 34 | + 34 | + 34 | + 34 | + 34 | + 34 | + 34 | + 34 | + 34 | + 34 | + 34 | + 34 | + 34 | + 34 | + 34 | + 34 | + 34 | + 34 | + 34 | + 34 | + 34 | + 34 | + 34 | + 34 | + 34 | + 34 | + 34 | + 34 | + 34 | + 34 | + 34 | + 34 | + 34 | + 34 | + 34 | + 34 | + 34 | + 34 | + 34 | + 34 | + 34 | + 34 | + 34 | + 34 | + 34 | + 34 | + 34 | + 34 | + 34 | + 34 | + 34 | + 34 | + 34 | + 34 | + 34 | + 34 | + 34 | + 34 | + 34 | + 34 | + 34 | + 34 | + 34 | + 34 | + 34 | + 34 | + 34 | + 34 | + 34 | + 34 | + 34 | + 34 | + 34 | + 34 | + 34 | + 34 | + 34 | + 34 | + 34 | + 34 | + 34 | + 34 | + 34 | + 34 | + 34 | + 34 | + 34 | + 34 | + 34 | + 34 | + 34 | + 34 | + 34 | + 34 | + 34 | + 34 | + 34 | + 34 | + 34 | + 34 | + 34 | + 34 | + 34 | + 34 | + 34 | + 34 | + 34 | + 34 | + 34 | + 34 | + 34 | + 34 | + 34 | + 34 | + 34 | + 34 | + 34 | + 34 | + 34 | + 34 | + 34 | + 34 | + 34 | + 34 | + 34 | + 34 | + 34 | + 34 | + 34 | + 34 | + 34 | + 34 | + 34 | + 34 | + 34 | + 34 | + 34 | + 34 | + 34 | + 34 | + 34 | + 34 | + 34 | + 34 | + 34 | + 34 | + 34 | + 34 | + 34 | + 34 | + 34 | + 34 | + 34 | + 34 | + 34 | + 34 | + 34 | + 34 | + 34 | + 34 | + 34 | + 34 | + 34 | + 34 | + 34 | + 34 | + 34 | + 34 | + 34 | + 34 | + 34 | + 34 | + 34 | + 34 | + 34 | + 34 | + 34 | + 34 | + 34 | + 34 | + 34 | + 34 | + 34 | + 34 | + 34 | + 34 | + 34 | + 34 | + 34 | + 34 | + 34 | + 34 | + 34 | + 34 | + 34 | + 34 | + 34 | + 34 | + 34 | + 34 | + 34 | + 34 | + 34 | + 34 | + 34 | + 34 | + 34 | + 34 | + 34 | + 34 | + 34 | + 34 | + 34 | + 34 | + 34 | + 34 | + 34 | + 34 | + 34 | + 34 | + 34 | + 34 | + 34 | + 34 | + 34 | + 34 | + 34 | + 34 | + 34 | + |
|--------------------------|--|------|------|------|------|------|------|------|------|---|--|---|--|---|--|------|------|------|------|------|------|------|------|------|------|------|------|------|------|------|------|------|------|------|------|------|------|------|------|------|------|------|------|------|------|------|------|------|------|------|------|------|------|------|------|------|------|------|------|------|------|------|------|------|------|------|------|------|------|------|------|------|------|------|------|------|------|------|------|------|------|------|------|------|------|------|------|------|------|------|------|------|------|------|------|------|------|------|------|------|------|------|------|------|------|------|------|------|------|------|------|------|------|------|------|------|------|------|------|------|------|------|------|------|------|------|------|------|------|------|------|------|------|------|------|------|------|------|------|------|------|------|------|------|------|------|------|------|------|------|------|------|------|------|------|------|------|------|------|------|------|------|------|------|------|------|------|------|------|------|------|------|------|------|------|------|------|------|------|------|------|------|------|------|------|------|------|------|------|------|------|------|------|------|------|------|------|------|------|------|------|------|------|------|------|------|------|------|------|------|------|------|------|------|------|------|------|------|------|------|------|------|------|------|------|------|------|------|------|------|------|------|------|------|------|------|------|------|------|------|------|------|------|------|------|------|------|------|------|------|------|------|------|------|------|------|------|------|------|------|------|------|------|------|------|------|------|------|------|------|------|------|------|------|------|------|------|------|------|------|------|------|------|------|------|------|------|------|------|------|------|------|------|------|------|------|------|------|------|------|------|------|------|------|------|------|------|------|------|------|------|------|------|------|------|------|------|------|------|------|------|------|------|------|------|------|------|------|------|------|------|------|------|------|------|------|------|------|------|------|------|------|------|------|------|------|------|------|------|------|------|------|------|------|------|------|------|------|------|------|------|------|------|------|------|------|------|------|------|------|------|------|------|------|------|------|------|------|------|------|------|------|------|------|------|------|------|------|------|------|------|------|------|------|------|------|------|------|------|------|------|------|------|------|------|------|------|------|------|------|------|------|------|------|------|------|------|------|------|------|------|------|------|------|------|------|------|------|------|------|------|------|------|------|------|------|------|------|------|------|------|------|------|------|------|------|------|------|------|------|------|------|------|------|------|------|------|------|------|------|------|------|------|------|------|------|------|------|------|------|------|------|------|------|------|------|------|------|------|------|------|------|------|------|------|------|------|------|------|------|------|------|------|------|------|------|------|------|------|------|------|------|------|------|------|------|------|------|------|------|------|------|------|------|------|------|------|------|------|------|------|------|------|------|------|------|------|------|------|------|------|------|------|------|------|------|------|------|------|------|------|------|------|------|------|------|------|------|------|------|------|------|------|------|------|------|------|------|------|------|------|------|------|------|------|------|------|------|------|------|------|------|------|------|------|------|------|------|------|------|------|------|------|------|------|------|------|------|------|------|------|------|------|------|------|------|------|------|------|------|------|------|------|------|------|------|------|------|------|------|------|------|------|------|------|------|------|------|------|------|------|------|------|------|------|------|------|------|------|------|------|------|------|------|------|------|------|------|------|------|------|------|------|------|------|------|------|------|------|------|------|------|------|------|------|------|------|------|------|------|------|------|------|------|------|------|------|------|------|------|------|------|------|------|------|------|------|------|------|------|------|------|------|------|------|------|------|------|------|------|------|------|------|------|------|------|------|------|------|------|------|------|------|------|------|------|------|------|------|------|------|------|------|------|------|------|------|------|------|------|------|------|------|------|------|------|------|------|------|------|------|------|------|------|------|------|------|------|------|------|------|------|------|------|------|------|------|------|------|------|------|------|------|------|------|------|------|------|------|------|------|------|------|------|------|------|------|------|------|------|------|------|------|------|------|------|------|------|------|------|------|------|------|------|------|------|------|------|------|------|------|------|------|------|------|------|------|------|------|------|------|------|------|------|------|------|------|------|------|------|------|------|------|------|------|------|------|------|------|------|------|------|------|------|------|------|------|------|------|------|------|------|------|------|------|------|------|------|------|------|------|------|------|------|------|------|------|------|------|------|------|------|------|------|------|------|------|------|------|------|------|------|------|------|------|------|------|------|------|------|------|------|------|------|------|------|------|------|------|------|------|------|------|------|------|------|------|------|------|------|------|------|------|------|------|------|------|------|------|------|------|------|------|------|------|------|------|------|------|------|------|------|------|------|------|------|------|------|------|------|------|------|------|------|------|------|------|------|------|------|------|------|------|------|------|------|------|------|------|------|------|------|------|------|------|------|---|
|--------------------------|--|------|------|------|------|------|------|------|------|---|--|---|--|---|--|------|------|------|------|------|------|------|------|------|------|------|------|------|------|------|------|------|------|------|------|------|------|------|------|------|------|------|------|------|------|------|------|------|------|------|------|------|------|------|------|------|------|------|------|------|------|------|------|------|------|------|------|------|------|------|------|------|------|------|------|------|------|------|------|------|------|------|------|------|------|------|------|------|------|------|------|------|------|------|------|------|------|------|------|------|------|------|------|------|------|------|------|------|------|------|------|------|------|------|------|------|------|------|------|------|------|------|------|------|------|------|------|------|------|------|------|------|------|------|------|------|------|------|------|------|------|------|------|------|------|------|------|------|------|------|------|------|------|------|------|------|------|------|------|------|------|------|------|------|------|------|------|------|------|------|------|------|------|------|------|------|------|------|------|------|------|------|------|------|------|------|------|------|------|------|------|------|------|------|------|------|------|------|------|------|------|------|------|------|------|------|------|------|------|------|------|------|------|------|------|------|------|------|------|------|------|------|------|------|------|------|------|------|------|------|------|------|------|------|------|------|------|------|------|------|------|------|------|------|------|------|------|------|------|------|------|------|------|------|------|------|------|------|------|------|------|------|------|------|------|------|------|------|------|------|------|------|------|------|------|------|------|------|------|------|------|------|------|------|------|------|------|------|------|------|------|------|------|------|------|------|------|------|------|------|------|------|------|------|------|------|------|------|------|------|------|------|------|------|------|------|------|------|------|------|------|------|------|------|------|------|------|------|------|------|------|------|------|------|------|------|------|------|------|------|------|------|------|------|------|------|------|------|------|------|------|------|------|------|------|------|------|------|------|------|------|------|------|------|------|------|------|------|------|------|------|------|------|------|------|------|------|------|------|------|------|------|------|------|------|------|------|------|------|------|------|------|------|------|------|------|------|------|------|------|------|------|------|------|------|------|------|------|------|------|------|------|------|------|------|------|------|------|------|------|------|------|------|------|------|------|------|------|------|------|------|------|------|------|------|------|------|------|------|------|------|------|------|------|------|------|------|------|------|------|------|------|------|------|------|------|------|------|------|------|------|------|------|------|------|------|------|------|------|------|------|------|------|------|------|------|------|------|------|------|------|------|------|------|------|------|------|------|------|------|------|------|------|------|------|------|------|------|------|------|------|------|------|------|------|------|------|------|------|------|------|------|------|------|------|------|------|------|------|------|------|------|------|------|------|------|------|------|------|------|------|------|------|------|------|------|------|------|------|------|------|------|------|------|------|------|------|------|------|------|------|------|------|------|------|------|------|------|------|------|------|------|------|------|------|------|------|------|------|------|------|------|------|------|------|------|------|------|------|------|------|------|------|------|------|------|------|------|------|------|------|------|------|------|------|------|------|------|------|------|------|------|------|------|------|------|------|------|------|------|------|------|------|------|------|------|------|------|------|------|------|------|------|------|------|------|------|------|------|------|------|------|------|------|------|------|------|------|------|------|------|------|------|------|------|------|------|------|------|------|------|------|------|------|------|------|------|------|------|------|------|------|------|------|------|------|------|------|------|------|------|------|------|------|------|------|------|------|------|------|------|------|------|------|------|------|------|------|------|------|------|------|------|------|------|------|------|------|------|------|------|------|------|------|------|------|------|------|------|------|------|------|------|------|------|------|------|------|------|------|------|------|------|------|------|------|------|------|------|------|------|------|------|------|------|------|------|------|------|------|------|------|------|------|------|------|------|------|------|------|------|------|------|------|------|------|------|------|------|------|------|------|------|------|------|------|------|------|------|------|------|------|------|------|------|------|------|------|------|------|------|------|------|------|------|------|------|------|------|------|------|------|------|------|------|------|------|------|------|------|------|------|------|------|------|------|------|------|------|------|------|------|------|------|------|------|------|------|------|------|------|------|------|------|------|------|------|------|------|------|------|------|------|------|------|------|------|------|------|------|------|------|------|------|------|------|------|------|------|------|------|------|------|------|------|------|------|------|------|------|------|------|------|------|------|------|------|------|------|------|------|------|------|------|------|------|------|------|------|------|------|------|------|------|------|------|------|------|------|------|------|------|------|------|------|------|------|------|------|------|------|------|------|------|------|------|------|------|------|------|------|------|------|------|------|------|------|------|------|------|------|------|------|------|------|------|------|------|------|------|------|------|------|------|------|------|------|------|------|------|------|------|------|------|------|------|---|

Tabela 9.6 (continuare)

| Dimensiunile nominale (mm) | u | | | | v | | | x | | | |
|----------------------------|------|------|------|------|------|------|------|------|------|------|------|
| | u5 | u6 | u7 | u8 | v5 | v6 | v7 | x5 | x6 | x7 | x8 |
| Peste 355 | +460 | +471 | +492 | +524 | +555 | +566 | +587 | +685 | +696 | +717 | +749 |
| pină la 400 | +435 | +435 | +435 | +435 | +530 | +530 | +530 | +660 | +660 | +660 | +660 |
| Peste 400 | +517 | +530 | +553 | +587 | +622 | +635 | +658 | +767 | +780 | +803 | +837 |
| pină la 450 | +490 | +490 | +490 | +490 | +595 | +595 | +595 | +740 | +740 | +740 | +740 |
| Peste 450 | +567 | +580 | +603 | +637 | +687 | +700 | +723 | +847 | +860 | +883 | +917 |
| pină la 500 | +540 | +540 | +540 | +540 | +660 | +600 | +660 | +820 | +820 | +820 | +820 |

Tabela 9.6. (continuare)

| Poziția câmpului de toleranță | y | | z | | za | | zb | | zc | |
|-------------------------------|------|------|------|------|-----|-----|-----|-----|------|------|
| Simbolul | y6 | y7 | z6 | z7 | za6 | za7 | zb7 | zb8 | zc7 | zc8 |
| Până la 3 | - | - | +32 | +36 | +38 | +42 | +50 | +54 | +70 | +74 |
| Peste 3 | - | - | +26 | +26 | +32 | +32 | +40 | +40 | +60 | +60 |
| Până la 6 | - | - | +43 | +47 | +50 | +54 | +62 | +68 | +92 | +98 |
| Peste 6 | - | - | +35 | +35 | +42 | +42 | +50 | +50 | +80 | +80 |
| Până la 10 | - | - | +51 | +57 | +61 | +67 | +82 | +89 | +112 | +119 |
| Peste 10 | - | - | +42 | +42 | +52 | +52 | +67 | +67 | +97 | +97 |
| Până la 14 | - | - | +61 | +68 | - | - | - | - | - | - |
| Peste 14 | - | - | +50 | +50 | - | - | - | - | - | - |
| Până la 18 | - | - | +71 | +78 | - | - | - | - | - | - |
| Peste 18 | - | - | +60 | +60 | - | - | - | - | - | - |
| Până la 24 | +76 | +84 | +86 | +94 | - | - | - | - | - | - |
| Peste 24 | +63 | +63 | +73 | +73 | - | - | - | - | - | - |
| Până la 30 | +88 | +96 | +101 | +109 | - | - | - | - | - | - |
| Peste 30 | +75 | +75 | +88 | +88 | - | - | - | - | - | - |
| Până la 40 | +110 | +119 | +128 | +137 | - | - | - | - | - | - |
| Peste 40 | +94 | +94 | +112 | +112 | - | - | - | - | - | - |
| Până la 50 | +130 | +139 | +152 | +161 | - | - | - | - | - | - |
| Peste 50 | +114 | +114 | +136 | +136 | - | - | - | - | - | - |

Dimensiuni nominale (mm)

| Dimensiuni nominale (mm) | y | | z | | za | | zb | | zc | |
|--------------------------|-------|-------|-------|-------|-------|-------|-------|-------|-------|-------|
| | y6 | y7 | z6 | z7 | za6 | za7 | zb7 | zb8 | zc7 | zc8 |
| Peste 50 | +163 | +174 | +191 | +202 | +174 | +174 | +174 | +174 | +174 | +174 |
| Până la 65 | +144 | +144 | +172 | +172 | +144 | +144 | +144 | +144 | +144 | +144 |
| Peste 65 | +193 | +204 | +229 | +240 | +193 | +193 | +193 | +193 | +193 | +193 |
| Până la 80 | +174 | +174 | +210 | +210 | +174 | +174 | +174 | +174 | +174 | +174 |
| Peste 80 | +236 | +249 | +280 | +293 | +236 | +236 | +236 | +236 | +236 | +236 |
| Până la 100 | +214 | +214 | +258 | +258 | +214 | +214 | +214 | +214 | +214 | +214 |
| Peste 100 | +276 | +289 | +332 | +345 | +276 | +276 | +276 | +276 | +276 | +276 |
| Până la 120 | +254 | +254 | +310 | +310 | +254 | +254 | +254 | +254 | +254 | +254 |
| Peste 120 | +325 | +340 | +390 | +405 | +325 | +325 | +325 | +325 | +325 | +325 |
| Până la 140 | +300 | +300 | +365 | +365 | +300 | +300 | +300 | +300 | +300 | +300 |
| Peste 140 | +365 | +380 | +440 | +455 | +365 | +365 | +365 | +365 | +365 | +365 |
| Până la 160 | +340 | +340 | +415 | +415 | +340 | +340 | +340 | +340 | +340 | +340 |
| Peste 160 | +405 | +420 | +490 | +505 | +405 | +405 | +405 | +405 | +405 | +405 |
| Până la 180 | +380 | +380 | +465 | +465 | +380 | +380 | +380 | +380 | +380 | +380 |
| Peste 180 | +454 | +471 | +549 | +566 | +454 | +454 | +454 | +454 | +454 | +454 |
| Până la 200 | +425 | +425 | +520 | +520 | +425 | +425 | +425 | +425 | +425 | +425 |
| Peste 200 | +499 | +516 | +604 | +621 | +499 | +499 | +499 | +499 | +499 | +499 |
| Până la 225 | +470 | +470 | +575 | +575 | +470 | +470 | +470 | +470 | +470 | +470 |
| Peste 225 | +549 | +566 | +669 | +686 | +549 | +549 | +549 | +549 | +549 | +549 |
| Până la 250 | +520 | +520 | +640 | +640 | +520 | +520 | +520 | +520 | +520 | +520 |
| Peste 250 | +612 | +632 | +742 | +762 | +612 | +612 | +612 | +612 | +612 | +612 |
| Până la 280 | +580 | +580 | +710 | +710 | +580 | +580 | +580 | +580 | +580 | +580 |
| Peste 280 | +682 | +702 | +822 | +842 | +682 | +682 | +682 | +682 | +682 | +682 |
| Până la 315 | +650 | +650 | +790 | +790 | +650 | +650 | +650 | +650 | +650 | +650 |
| Peste 315 | +766 | +787 | +936 | +957 | +766 | +766 | +766 | +766 | +766 | +766 |
| Până la 355 | +730 | +730 | +900 | +900 | +730 | +730 | +730 | +730 | +730 | +730 |
| Peste 355 | +856 | +877 | +1036 | +1057 | +856 | +856 | +856 | +856 | +856 | +856 |
| Până la 400 | +820 | +820 | +1000 | +1000 | +820 | +820 | +820 | +820 | +820 | +820 |
| Peste 400 | +960 | +983 | +1140 | +1163 | +960 | +960 | +960 | +960 | +960 | +960 |
| Până la 450 | +920 | +920 | +1100 | +1100 | +920 | +920 | +920 | +920 | +920 | +920 |
| Peste 450 | +1040 | +1063 | +1290 | +1313 | +1040 | +1040 | +1040 | +1040 | +1040 | +1040 |
| Până la 500 | +1000 | +1000 | +1250 | +1250 | +1000 | +1000 | +1000 | +1000 | +1000 | +1000 |

Abaterile limită corespunzătoare câmpurilor de toleranță de uz general pentru alezaje având dimensiuni până la 500 mm, sint redade după STAS 8103-68, în tabela 9.7.

Abaterile limită corespunzătoare câmpurilor de toleranță pentru arbori, având dimensiuni până la 18 mm, recomandate pentru industria de mecanică fină, sint redade după STAS 8106-68, în tabela 9.8.

Abaterile limită corespunzătoare câmpurilor de toleranță pentru alezaje, având dimensiuni până la 18 mm, recomandate pentru industria de mecanică fină, sint redade după STAS 8107-68, în tabela 9.9.

Abaterile limită pentru o selecție de câmpuri de toleranță ale arborilor având dimensiuni peste 500 mm până la 3150 mm, sint date în STAS 8109-68.

Abaterile limită pentru o selecție de câmpuri de toleranță ale alezajelor având dimensiuni peste 500 mm până la 3150 mm, sint date în STAS 8110-68.

Valorile jocurilor, stringerilor și ajustajelor probabile corespunzătoare ajustajelor preferențiale pentru alezaje cu dimensiuni până la 500 mm, sint date în STAS 8104-68.

Valorile jocurilor, stringerilor și ajustajelor probabile corespunzătoare ajustajelor preferențiale pentru arbori cu dimensiuni până la 500 mm, sint date în STAS 8105-68.

4. CALIBRE NETEDE PENTRU ALEZAJE ȘI ARBORI

4.1. GENERALITĂȚI

Precizia de măsurare care se obține prin instrumentele de măsurat obișnuite (de atelier) nu este suficientă față de precizia mult mai mare care se cere la instrumentele de măsurat și controlat piesele interschimbabile, lucrate într-un sistem de toleranțe și ajustaje; asemenea piese necesită o precizie de măsurare de sutimi și chiar miimi de milimetru.

Calibrele sint instrumente de precizie cu ajutorul cărora se pot măsura cu precizie dimensiunile unei piese fabricate, calibrele fiind confecționate la măsura dorită.

Calibrele se utilizează la verificarea pieselor fabricate, în serie, care intră în compunerea construcțiilor mecanice.

Se deosebesc: *calibre fixe* pentru verificarea dimensională a arborilor și alezajelor și *calibre reglabile* pentru verificarea arborilor.

Calibrele uzuale sint calibrele fixe: cele reglabile se folosesc de obicei în uzinele care fabrică în mod curent arbori de diametre diferite, folosirea acestor calibre fiind o soluție de economie.

Tabela 9.7. Sistemul ISO de toleranțe și ajustaje. Câmpuri de toleranță de uz general pentru dimensiuni până la 500 mm - Alezaje. Abateri limită în micrometri (μm) (STAS 8103-68)

| Dimensiuni nominale (mm) | Simbolul | A | | | B | | | C | | |
|--------------------------|----------|--------------|--------------|--------------|--------------|--------------|--------------|--------------|--------------|--------------|
| | | A9 | AH | B8 | B9 | BH | B12 | C8 | C9 | CH |
| Până la 3 | | +295 +270 | +330 +270 | +154 +140 | +165 +140 | +200 +140 | +240 +140 | +74 +60 | +85 +60 | +120 +60 |
| Peste 3 până la 6 | | +300 +270 | +345 +270 | +158 +140 | +170 +140 | +215 +140 | +260 +140 | +88 +70 | +100 +70 | +145 +70 |
| Peste 6 până la 10 | | +316 +280 | +370 +280 | +172 +150 | +186 +150 | +240 +150 | +300 +150 | +102 +80 | +116 +80 | +170 +80 |
| Peste 10 până la 18 | | +333 +290 | +400 +290 | +177 +150 | +193 +150 | +260 +150 | +330 +150 | +122 +95 | +138 +95 | +205 +95 |
| Peste 18 până la 30 | | +352 +300 | +430 +300 | +193 +160 | +212 +160 | +290 +160 | +370 +160 | +143 +110 | +162 +110 | +240 +110 |
| Peste 30 până la 40 | | +372 +310 | +470 +310 | +209 +170 | +232 +170 | +330 +170 | +420 +170 | +159 +120 | +182 +120 | +280 +120 |
| Peste 40 până la 50 | | +382 +320 | +480 +320 | +219 +180 | +242 +180 | +340 +180 | +430 +180 | +169 +130 | +192 +130 | +290 +130 |
| Peste 50 până la 65 | | +414 +340 | +530 +340 | +236 +190 | +264 +190 | +380 +190 | +490 +190 | +186 +140 | +214 +140 | +330 +140 |
| Peste 65 până la 80 | | +434 +360 | +550 +360 | +246 +200 | +274 +200 | +390 +200 | +500 +200 | +196 +150 | +224 +150 | +340 +150 |
| Peste 80 până la 100 | | +467 +380 | +600 +380 | +274 +220 | +307 +220 | +440 +220 | +570 +220 | +224 +170 | +257 +170 | +390 +170 |
| Peste 100 până la 120 | | +497 +410 | +630 +410 | +294 +240 | +327 +240 | +460 +240 | +590 +240 | +234 +180 | +267 +180 | +400 +180 |
| Peste 120 până la 140 | | +560 +460 | +710 +460 | +323 +260 | +360 +260 | +510 +260 | +660 +260 | +263 +200 | +300 +200 | +450 +200 |
| Peste 140 până la 160 | | +620 +520 | +770 +520 | +343 +280 | +380 +280 | +530 +280 | +680 +280 | +273 +210 | +310 +210 | +460 +210 |
| Peste 160 până la 180 | | +680 +580 | +830 +580 | +373 +310 | +410 +310 | +560 +310 | +710 +310 | +293 +230 | +330 +230 | +480 +230 |

Tabela 9.7. (continuare)

| Poziția cîmpului de toleranță | A | | B | | | C | | | |
|-------------------------------|--------|--------|-------|-------|--------|--------|-------|-------|-------|
| | A9 | A11 | B8 | B9 | B11 | B12 | C8 | C9 | C11 |
| Simbolul | | | | | | | | | |
| Peste 180 pînă la 200 | + 775 | + 950 | + 412 | + 455 | + 630 | + 800 | + 312 | + 355 | + 530 |
| | + 680 | + 660 | + 340 | + 340 | + 340 | + 340 | + 240 | + 240 | + 240 |
| Peste 200 pînă la 225 | + 855 | + 1030 | + 452 | + 495 | + 670 | + 840 | + 332 | + 375 | + 550 |
| | + 740 | + 740 | + 380 | + 380 | + 380 | + 380 | + 260 | + 260 | + 260 |
| Peste 225 pînă la 250 | + 935 | + 1110 | + 492 | + 535 | + 710 | + 880 | + 352 | + 395 | + 570 |
| | + 820 | + 820 | + 420 | + 420 | + 420 | + 420 | + 280 | + 280 | + 280 |
| Peste 250 pînă la 280 | + 1050 | + 1240 | + 561 | + 610 | + 800 | + 1000 | + 381 | + 430 | + 620 |
| | + 920 | + 920 | + 480 | + 480 | + 480 | + 480 | + 300 | + 300 | + 300 |
| Peste 280 pînă la 315 | + 1180 | + 1370 | + 621 | + 670 | + 860 | + 1060 | + 411 | + 460 | + 650 |
| | + 1050 | + 1050 | + 540 | + 540 | + 540 | + 540 | + 330 | + 330 | + 330 |
| Peste 315 pînă la 355 | + 1200 | + 1560 | + 639 | + 740 | + 960 | + 1170 | + 449 | + 500 | + 720 |
| | + 1200 | + 1200 | + 600 | + 600 | + 600 | + 600 | + 360 | + 360 | + 360 |
| Peste 355 pînă la 400 | + 1350 | + 1710 | + 769 | + 820 | + 1040 | + 1250 | + 489 | + 540 | + 760 |
| | + 1350 | + 1350 | + 680 | + 680 | + 680 | + 680 | + 400 | + 400 | + 400 |
| Peste 400 pînă la 450 | + 1655 | + 1900 | + 857 | + 915 | + 1160 | + 1390 | + 537 | + 595 | + 840 |
| | + 1500 | + 1500 | + 760 | + 760 | + 760 | + 760 | + 440 | + 440 | + 440 |
| Peste 450 pînă la 500 | + 1805 | + 2050 | + 937 | + 995 | + 1240 | + 1470 | + 577 | + 635 | + 880 |
| | + 1650 | + 1650 | + 840 | + 840 | + 840 | + 840 | + 480 | + 480 | + 480 |

Dimensiuni nominale (mm)

Tabela 9.7. (continuare)

| Dimensiuni nominale (mm) | Pozitia cimpului de toleranță | D | | | | | | | | | | E | | | | | | | | | |
|-----------------------------|-------------------------------|----------|-----|-----|-----|-----|-----|-----|----|----|----|----|-----|-----|--|--|--|--|--|--|--|
| | | Simbolul | | | | | | | | | | | | | | | | | | | |
| | | D6 | D7 | D8 | D9 | D10 | D11 | E5 | E6 | E7 | E8 | E9 | E10 | | | | | | | | |
| Până la 3 | Până la 3 | + | 26 | 30 | 34 | 45 | 60 | 80 | 18 | 20 | 24 | 28 | 39 | 54 | | | | | | | |
| | | + | 20 | 20 | 20 | 20 | 20 | 20 | 14 | 14 | 14 | 14 | 14 | 14 | | | | | | | |
| | | + | 38 | 42 | 48 | 60 | 78 | 105 | 25 | 28 | 32 | 38 | 50 | 68 | | | | | | | |
| | | + | 30 | 30 | 30 | 30 | 30 | 30 | 20 | 20 | 20 | 20 | 20 | 20 | | | | | | | |
| | | + | 49 | 55 | 62 | 76 | 98 | 130 | 31 | 34 | 40 | 47 | 61 | 83 | | | | | | | |
| Peste 3 până la 6 | Peste 3 până la 6 | + | 40 | 40 | 40 | 40 | 40 | 40 | 25 | 25 | 25 | 25 | 25 | 25 | | | | | | | |
| | | + | 61 | 68 | 77 | 93 | 120 | 160 | 40 | 43 | 50 | 59 | 75 | 102 | | | | | | | |
| | | + | 50 | 50 | 50 | 50 | 50 | 50 | 32 | 32 | 32 | 32 | 32 | 32 | | | | | | | |
| | | + | 78 | 86 | 98 | 117 | 149 | 195 | 49 | 53 | 61 | 73 | 92 | 124 | | | | | | | |
| | | + | 65 | 65 | 65 | 65 | 65 | 65 | 40 | 40 | 40 | 40 | 40 | 40 | | | | | | | |
| Peste 6 până la 10 | Peste 6 până la 10 | + | 105 | 105 | 119 | 142 | 180 | 240 | 61 | 66 | 75 | 89 | 112 | 150 | | | | | | | |
| | | + | 80 | 80 | 80 | 80 | 80 | 80 | 50 | 50 | 50 | 50 | 50 | 50 | | | | | | | |
| | | + | 20 | 20 | 20 | 20 | 20 | 20 | 14 | 14 | 14 | 14 | 14 | 14 | | | | | | | |
| | | + | 30 | 30 | 30 | 30 | 30 | 30 | 20 | 20 | 20 | 20 | 20 | 20 | | | | | | | |
| | | + | 49 | 55 | 62 | 76 | 98 | 130 | 31 | 34 | 40 | 47 | 61 | 83 | | | | | | | |
| Peste 10 până la 18 | Peste 10 până la 18 | + | 61 | 68 | 77 | 93 | 120 | 160 | 40 | 43 | 50 | 59 | 75 | 102 | | | | | | | |
| | | + | 50 | 50 | 50 | 50 | 50 | 50 | 32 | 32 | 32 | 32 | 32 | 32 | | | | | | | |
| | | + | 78 | 86 | 98 | 117 | 149 | 195 | 49 | 53 | 61 | 73 | 92 | 124 | | | | | | | |
| | | + | 65 | 65 | 65 | 65 | 65 | 65 | 40 | 40 | 40 | 40 | 40 | 40 | | | | | | | |
| | | + | 105 | 105 | 119 | 142 | 180 | 240 | 61 | 66 | 75 | 89 | 112 | 150 | | | | | | | |
| Peste 18 până la 30 | Peste 18 până la 30 | + | 80 | 80 | 80 | 80 | 80 | 80 | 50 | 50 | 50 | 50 | 50 | 50 | | | | | | | |
| | | + | 20 | 20 | 20 | 20 | 20 | 20 | 14 | 14 | 14 | 14 | 14 | 14 | | | | | | | |
| | | + | 30 | 30 | 30 | 30 | 30 | 30 | 20 | 20 | 20 | 20 | 20 | 20 | | | | | | | |
| | | + | 49 | 55 | 62 | 76 | 98 | 130 | 31 | 34 | 40 | 47 | 61 | 83 | | | | | | | |
| | | + | 61 | 68 | 77 | 93 | 120 | 160 | 40 | 43 | 50 | 59 | 75 | 102 | | | | | | | |
| Peste 30 până la 50 | Peste 30 până la 50 | + | 61 | 68 | 77 | 93 | 120 | 160 | 40 | 43 | 50 | 59 | 75 | 102 | | | | | | | |
| | | + | 50 | 50 | 50 | 50 | 50 | 50 | 32 | 32 | 32 | 32 | 32 | 32 | | | | | | | |
| | | + | 78 | 86 | 98 | 117 | 149 | 195 | 49 | 53 | 61 | 73 | 92 | 124 | | | | | | | |
| | | + | 65 | 65 | 65 | 65 | 65 | 65 | 40 | 40 | 40 | 40 | 40 | 40 | | | | | | | |
| | | + | 105 | 105 | 119 | 142 | 180 | 240 | 61 | 66 | 75 | 89 | 112 | 150 | | | | | | | |

Tabela 9.7. (continuare)

| Poziția câmpului de toleranță | | F | | | | | G | | | | | H | | | | |
|-------------------------------|--|-----|-----|------|------|------|-----|-----|-----|------|------|------|-----|-----|-----|--|
| Simbolul | | F5 | F6 | F7 | F8 | F9 | G5 | G6 | G7 | H1 | H2 | H3 | H4 | H5 | H6 | |
| Până la 3 | | +10 | +12 | +16 | +20 | +31 | +6 | +8 | +12 | +0,8 | +1,2 | +2 | +3 | +4 | +6 | |
| Peste 3 până la 6 | | +6 | +6 | +6 | +6 | +6 | +2 | +2 | +2 | 0 | 0 | 0 | 0 | 0 | 0 | |
| Peste 6 până la 10 | | +15 | +18 | +22 | +28 | +40 | +9 | +12 | +16 | +1 | +1,5 | +2,5 | +4 | +5 | +8 | |
| Peste 10 până la 18 | | +10 | +10 | +10 | +10 | +10 | +4 | +4 | +4 | 0 | 0 | 0 | 0 | 0 | 0 | |
| Peste 18 până la 30 | | +13 | +22 | +28 | +35 | +49 | +11 | +14 | +20 | +1 | +1,5 | +2,5 | +4 | +6 | +9 | |
| Peste 30 până la 50 | | +19 | +23 | +33 | +43 | +69 | +5 | +5 | +5 | 0 | 0 | 0 | 0 | 0 | 0 | |
| Peste 50 până la 80 | | +24 | +27 | +34 | +43 | +69 | +14 | +17 | +24 | +1,2 | +2 | +3 | +5 | +8 | +11 | |
| Peste 80 până la 120 | | +16 | +16 | +16 | +16 | +16 | +6 | +6 | +6 | 0 | 0 | 0 | 0 | 0 | 0 | |
| Peste 120 până la 180 | | +29 | +33 | +41 | +53 | +72 | +16 | +20 | +28 | +1,5 | +2,5 | +4 | +6 | +9 | +13 | |
| Peste 180 până la 250 | | +20 | +20 | +20 | +20 | +20 | +7 | +7 | +7 | 0 | 0 | 0 | 0 | 0 | 0 | |
| Peste 250 până la 315 | | +36 | +41 | +50 | +64 | +87 | +20 | +25 | +34 | +1,5 | +2,5 | +4 | +7 | +11 | +16 | |
| | | +25 | +25 | +25 | +25 | +25 | +9 | +9 | +9 | 0 | 0 | 0 | 0 | 0 | 0 | |
| | | +43 | +49 | +60 | +76 | +104 | +23 | +29 | +40 | +2 | +3 | +5 | +8 | +13 | +19 | |
| | | +30 | +30 | +30 | +30 | +30 | +10 | +10 | +10 | 0 | 0 | 0 | 0 | 0 | 0 | |
| | | +51 | +58 | +71 | +90 | +123 | +27 | +34 | +47 | +2,5 | +4 | +6 | +10 | +15 | +22 | |
| | | +36 | +36 | +36 | +36 | +36 | +12 | +12 | +12 | 0 | 0 | 0 | 0 | 0 | 0 | |
| | | +61 | +68 | +83 | +106 | +143 | +32 | +39 | +54 | +3,5 | +5 | +8 | +12 | +18 | +25 | |
| | | +43 | +43 | +43 | +43 | +43 | +14 | +14 | +14 | 0 | 0 | 0 | 0 | 0 | 0 | |
| | | +70 | +79 | +96 | +122 | +165 | +35 | +44 | +61 | +4,5 | +7 | +10 | +14 | +20 | +29 | |
| | | +50 | +50 | +50 | +50 | +50 | +15 | +15 | +15 | 0 | 0 | 0 | 0 | 0 | 0 | |
| | | +79 | +88 | +108 | +137 | +186 | +40 | +49 | +69 | +6 | +8 | +12 | +16 | +23 | +32 | |
| | | +56 | +56 | +56 | +56 | +56 | +17 | +17 | +17 | 0 | 0 | 0 | 0 | 0 | 0 | |

Dimensiuni nominale (mm)

Tabela 9.7. (continuare)

| Pozitia cimpului de toleranță Simbolul | F | | | | | | G | | | | | | H | | | | | |
|---|-----|------|------|------|------|--|-----|-----|-----|--|----|-----|-----|-----|-----|-----|--|--|
| | F5 | F6 | F9 | F7 | F8 | | G5 | G6 | G7 | | H1 | H2 | H3 | H4 | H5 | H6 | | |
| Peste 315 pînă la 400 | +87 | +98 | +119 | +151 | +202 | | +43 | +54 | +75 | | +7 | +9 | +13 | +18 | +25 | +36 | | |
| Peste 400 pînă la 500 | +62 | +62 | +62 | +62 | +62 | | +18 | +18 | +18 | | 0 | 0 | 0 | 0 | 0 | 0 | | |
| | +95 | +108 | +131 | +165 | +223 | | +47 | +60 | +83 | | +8 | +10 | +15 | +20 | +27 | +40 | | |
| | +68 | +68 | +68 | +68 | +68 | | +20 | +20 | +20 | | 0 | 0 | 0 | 0 | 0 | 0 | | |

Tabela 9.7. (continuare)

| Pozitia cimpului de toleranță Simbolul | H | | | | | | | | | | | | J | | | | | |
|---|-----|-----|------|------|------|------|------|-------|-------|-------|--|--|-----|-----|-----|--|--|--|
| | H7 | H8 | H9 | H10 | H11 | H12 | H13 | H14 | H15 | H16 | | | J6 | J7 | J8 | | | |
| Pînă la 3 | +10 | +14 | +25 | +40 | +60 | +100 | +140 | +250 | +400 | +600 | | | +2 | +4 | +6 | | | |
| Peste 3 pînă la 6 | 0 | 0 | 0 | 0 | 0 | 0 | 0 | 0 | 0 | 0 | | | 0 | 0 | 0 | | | |
| Peste 6 pînă la 10 | +12 | +18 | +30 | +48 | +75 | +120 | +180 | +300 | +480 | +750 | | | +5 | +6 | +8 | | | |
| Peste 10 pînă la 18 | +15 | +22 | +36 | +58 | +90 | +150 | +220 | +360 | +580 | +900 | | | +3 | +4 | +6 | | | |
| Peste 18 pînă la 30 | +18 | +27 | +43 | +70 | +110 | +180 | +270 | +430 | +700 | +1100 | | | +5 | +7 | +10 | | | |
| Peste 30 pînă la 50 | +21 | +33 | +52 | +84 | +130 | +210 | +330 | +520 | +840 | +1300 | | | +6 | +8 | +12 | | | |
| Peste 50 pînă la 80 | +25 | +39 | +62 | +100 | +160 | +250 | +390 | +620 | +1000 | +1600 | | | +8 | +11 | +15 | | | |
| Peste 80 pînă la 120 | +30 | +46 | +74 | +120 | +190 | +300 | +460 | +740 | +1200 | +1900 | | | +10 | +14 | +20 | | | |
| Peste 120 pînă la 180 | +35 | +54 | +87 | +140 | +220 | +350 | +540 | +870 | +1400 | +2200 | | | +13 | +18 | +24 | | | |
| Peste 180 pînă la 250 | +40 | +63 | +100 | +160 | +250 | +400 | +630 | +1000 | +1600 | +2500 | | | +16 | +22 | +30 | | | |
| Peste 250 pînă la 315 | +46 | +72 | +115 | +185 | +290 | +460 | +720 | +1150 | +1850 | +2900 | | | +22 | +30 | +41 | | | |
| Peste 315 pînă la 400 | +52 | +81 | +130 | +210 | +320 | +520 | +810 | +1300 | +2100 | +3200 | | | +25 | +36 | +55 | | | |
| Peste 400 pînă la 500 | +57 | +89 | +140 | +230 | +360 | +570 | +890 | +1400 | +2300 | +3600 | | | +29 | +39 | +60 | | | |
| | +63 | +97 | +155 | +250 | +400 | +630 | +970 | +1550 | +2500 | +4000 | | | +33 | +43 | +66 | | | |

Observație. Abaterile limită corespundătoare simbolurilor H14, H15 și H16, la dimensiunile pînă la 3 mm, sînt valabile numai pentru dimensiuni peste 1 mm.

Tabela 9.7 (continuare)

| Pozitia cimpului de toleranță Simbolul | J _s | | | | | | | | | | | | J _s | | | | | |
|---|-----------------|-----------------|-----------------|-----------------|-----------------|-----------------|-----------------|-----------------|-----------------|------------------|------------------|------------------|-----------------|-----------------|-----------------|-----------------|-----------------|-----------------|
| | J _{s1} | J _{s2} | J _{s3} | J _{s4} | J _{s5} | J _{s6} | J _{s7} | J _{s8} | J _{s9} | J _{s10} | J _{s11} | J _{s12} | J _{s1} | J _{s2} | J _{s3} | J _{s4} | J _{s5} | J _{s6} |
| Pînă la 3 | +0,4 | +0,6 | +1 | +1,5 | +2 | +3 | +5 | +7 | +12,5 | +20 | +30 | +50 | +0,4 | +0,6 | +1 | +1,5 | +2 | +3 |
| Peste 3 pînă la 6 | -0,4 | -0,6 | -1 | -1,5 | -2 | -3 | -5 | -7 | -12,5 | -20 | -30 | -50 | -0,4 | -0,6 | -1 | -1,5 | -2 | -3 |
| Peste 6 pînă la 10 | +0,5 | +0,75 | +1,25 | +2 | +3 | +4 | +6 | +9 | +15 | +24 | +37,5 | +60 | +0,5 | +0,75 | +1,25 | +2 | +3 | +4 |
| Peste 10 pînă la 18 | -0,5 | -0,75 | -1,25 | -2 | -3 | -4 | -6 | -9 | -15 | -24 | -37,5 | -60 | -0,5 | -0,75 | -1,25 | -2 | -3 | -4 |
| Peste 18 pînă la 30 | +0,6 | +1 | +1,5 | +2,5 | +4 | +6,5 | +10,5 | +16,5 | +26 | +42 | +65 | +105 | +0,6 | +1 | +1,5 | +2,5 | +4 | +6,5 |
| Peste 30 pînă la 50 | -0,6 | -1 | -1,5 | -2,5 | -4 | -6,5 | -10,5 | -16,5 | -26 | -42 | -65 | -105 | -0,6 | -1 | -1,5 | -2,5 | -4 | -6,5 |
| Peste 50 pînă la 80 | +0,75 | +1,25 | +2 | +3,5 | +5,5 | +8 | +12,5 | +19,5 | +31 | +50 | +80 | +125 | +0,75 | +1,25 | +2 | +3,5 | +5,5 | +8 |
| Peste 80 pînă la 120 | -0,75 | -1,25 | -2 | -3,5 | -5,5 | -8 | -12,5 | -19,5 | -31 | -50 | -80 | -125 | -0,75 | -1,25 | -2 | -3,5 | -5,5 | -8 |
| Peste 120 pînă la 180 | +1 | +1,5 | +2,5 | +4 | +6,5 | +9,5 | +15 | +23 | +37 | +60 | +95 | +150 | +1 | +1,5 | +2,5 | +4 | +6,5 | +9,5 |
| Peste 180 pînă la 250 | -1 | -1,5 | -2,5 | -4 | -6,5 | -9,5 | -15 | -23 | -37 | -60 | -95 | -150 | -1 | -1,5 | -2,5 | -4 | -6,5 | -9,5 |
| Peste 250 pînă la 315 | +1,25 | +2 | +3 | +5 | +7,5 | +11 | +17,5 | +27 | +43,5 | +70 | +110 | +175 | +1,25 | +2 | +3 | +5 | +7,5 | +11 |
| Peste 315 pînă la 400 | -1,25 | -2 | -3 | -5 | -7,5 | -11 | -17,5 | -27 | -43,5 | -70 | -110 | -175 | -1,25 | -2 | -3 | -5 | -7,5 | -11 |
| Peste 400 pînă la 500 | +1,75 | +2,5 | +4 | +6 | +9 | +12,5 | +20 | +31,5 | +50 | +80 | +125 | +200 | +1,75 | +2,5 | +4 | +6 | +9 | +12,5 |
| | -1,75 | -2,5 | -4 | -6 | -9 | -12,5 | -20 | -31,5 | -50 | -80 | -125 | -200 | -1,75 | -2,5 | -4 | -6 | -9 | -12,5 |
| | +2,25 | +3,5 | +5,5 | +7 | +10 | +14,5 | +23 | +36 | +57,5 | +92,5 | +145 | +230 | +2,25 | +3,5 | +5,5 | +7 | +10 | +14,5 |
| | -2,25 | -3,5 | -5,5 | -7 | -10 | -14,5 | -23 | -36 | -57,5 | -92,5 | -145 | -230 | -2,25 | -3,5 | -5,5 | -7 | -10 | -14,5 |
| | +3 | +4 | +6 | +8 | +11,5 | +16 | +26 | +40,5 | +65 | +105 | +160 | +260 | +3 | +4 | +6 | +8 | +11,5 | +16 |
| | -3 | -4 | -6 | -8 | -11,5 | -16 | -26 | -40,5 | -65 | -105 | -160 | -260 | -3 | -4 | -6 | -8 | -11,5 | -16 |
| | +3,5 | +4,5 | +6,5 | +9 | +12,5 | +18 | +28,5 | +44,5 | +70 | +115 | +180 | +285 | +3,5 | +4,5 | +6,5 | +9 | +12,5 | +18 |
| | -3,5 | -4,5 | -6,5 | -9 | -12,5 | -18 | -28,5 | -44,5 | -70 | -115 | -180 | -285 | -3,5 | -4,5 | -6,5 | -9 | -12,5 | -18 |
| | +4 | +5 | +7,5 | +10 | +13,5 | +20 | +31,5 | +48,5 | +77,5 | +125 | +200 | +315 | +4 | +5 | +7,5 | +10 | +13,5 | +20 |
| | -4 | -5 | -7,5 | -10 | -13,5 | -20 | -31,5 | -48,5 | -77,5 | -125 | -200 | -315 | -4 | -5 | -7,5 | -10 | -13,5 | -20 |

Tabela 9.7. (continuare)

| Pozitia cimpului de toleranță Simbolul | J _s | | | | | | | | | | | | M | | | | | |
|---|------------------|------------------|------------------|------------------|--|----|----|-----|-----|----|----|-----|-----|--|--|--|--|--|
| | J _{s13} | J _{s14} | J _{s15} | J _{s16} | | K5 | K6 | K7 | K8 | M5 | M6 | M7 | M8 | | | | | |
| Pînă la 3 | +70 | +125 | +200 | +300 | | 0 | 0 | 0 | 0 | 2 | 2 | 2 | 2 | | | | | |
| Peste 3 pînă la 6 | -70 | -125 | -200 | -300 | | -4 | -6 | -10 | -14 | -6 | -8 | -12 | -16 | | | | | |
| | +90 | +150 | +240 | +375 | | 0 | +2 | +3 | +5 | 3 | 1 | 0 | +2 | | | | | |
| | -90 | -150 | -240 | -375 | | -5 | -6 | -9 | -13 | 8 | 9 | -12 | -16 | | | | | |

Tabela 9.7. (continuare)

| Pozitia cimpului de toleranță | J _s | | | | | K | | | | | M | | | | |
|-------------------------------|------------------|------------------|------------------|------------------|--|----------------|----------------|----------------|----------------|--|----------------|----------------|----------------|----------------|--|
| Simbolul | J _{s13} | J _{s14} | J _{s15} | J _{s16} | | K ₅ | K ₆ | K ₇ | K ₈ | | M ₅ | M ₆ | M ₇ | M ₈ | |
| Peste 6 pînă la 10 | +110 -110 | +180 -180 | +290 -290 | +450 -450 | | +1 -5 | +2 -7 | +5 -10 | +6 -16 | | -4 -10 | -3 -12 | 0 -15 | 0 -21 | |
| Peste 10 pînă la 18 | +135 -135 | +215 -215 | +350 -350 | +550 -550 | | +2 -6 | +2 -9 | +6 -12 | +8 -19 | | -4 -12 | -4 -15 | 0 -18 | +2 -25 | |
| Peste 18 pînă la 30 | +165 -165 | +260 -260 | +420 -420 | +650 -650 | | +1 -8 | +2 -11 | +6 -15 | +10 -23 | | -5 -14 | -4 -17 | 0 -21 | +4 -29 | |
| Peste 30 pînă la 50 | +195 -195 | +310 -310 | +500 -500 | +800 -800 | | +2 -9 | +3 -13 | +7 -18 | +12 -27 | | -5 -16 | -4 -20 | 0 -25 | +5 -34 | |
| Peste 50 pînă la 80 | +230 -230 | +370 -370 | +600 -600 | +950 -950 | | +3 -10 | +4 -15 | +9 -21 | +14 -32 | | -6 -19 | -5 -24 | 0 -30 | +6 -41 | |
| Peste 80 pînă la 120 | +270 -270 | +435 -435 | +700 -700 | +1100 -1100 | | +2 -13 | +4 -18 | +10 -25 | +16 -38 | | -8 -23 | -6 -28 | 0 -35 | +8 -48 | |
| Peste 120 pînă la 180 | +315 -315 | +500 -500 | +800 -800 | +1250 -1250 | | +3 -15 | +4 -21 | +12 -28 | +20 -43 | | -9 -27 | -8 -33 | 0 -40 | +9 -55 | |
| Peste 180 pînă la 250 | +360 -360 | +575 -575 | +925 -925 | +1450 -1450 | | +2 -18 | +5 -24 | +13 -33 | +22 -50 | | -11 -31 | -9 -37 | 0 -46 | +9 -63 | |
| Peste 250 pînă la 315 | +405 -405 | +650 -650 | +1050 -1050 | +1600 -1600 | | +3 -20 | +7 -27 | +16 -36 | +25 -56 | | -13 -36 | -10 -41 | 0 -52 | +11 -72 | |
| Peste 315 pînă la 400 | +445 -445 | +700 -700 | +1150 -1150 | +1800 -1800 | | +2 -22 | +8 -29 | +17 -40 | +28 -61 | | -14 -39 | -10 -46 | 0 -57 | +11 -78 | |
| Peste 400 pînă la 500 | +485 -485 | +775 -775 | +1250 -1250 | +2000 -2000 | | +2 -25 | +8 -32 | +18 -45 | +29 -68 | | -16 -43 | -10 -50 | 0 -63 | +11 -86 | |

Observații. 1. Abaterile limită corespunzătoare simbolurilor J_{s14}, J_{s15} și J_{s16}, la dimensiunile pînă la 3 mm, sînt valabile numai pentru dimensiuni pînă la 1 mm. 2. În locul abaterilor limită nespecificate pentru simbolul M₈, la dimensiuni pînă la 3 mm, se folosesc abaterile corespunzătoare simbolului N₈.

Tabela 9.7 (continuare)

| Pozitia cimpului de toleranță | N | | | | | | | | | | | P | | | | | | | | | | |
|-------------------------------|-----------------|------------------|------------------|------------------|------------------|------------------|------------------|------------------|------------------|------------------|------------------|------------------|--|--|--|--|--|--|--|--|--|--|
| | Simbolul | | | | | | | | | | | | | | | | | | | | | |
| | N5 | N6 | N7 | N8 | N9 | N10 | N11 | P5 | P6 | P7 | P8 | P9 | | | | | | | | | | |
| Până la 3 | -4 -8 -12 | -4 -10 -13 | -4 -14 -16 | -4 -18 -20 | -4 -29 -30 | -4 -44 -48 | -4 -64 -75 | -4 -10 -11 | -4 -12 -16 | -4 -16 -20 | -4 -20 -30 | -4 -24 -31 | | | | | | | | | | |
| Peste 3 până la 6 | -7 -12 | -5 -13 | -5 -16 | -5 -20 | -5 -30 | -5 -48 | -5 -75 | -5 -11 | -5 -17 | -5 -23 | -5 -29 | -5 -35 | | | | | | | | | | |

Generalități

Dimensiuni nominale (mm)

| | | | | | | | | | | | | | | | | | | | | | |
|-----------------------|------------|------------|------------|-------------|------------|------------|------------|-----------|------------|------------|------------|------------|------------|------------|------------|------------|------------|------------|------------|------------|------------|
| Peste 6 pînă la 10 | -8 -14 | -7 -16 | -4 -19 | -4 -25 | -3 -36 | -3 -58 | -3 -90 | -3 -13 | -3 -19 | -3 -24 | -3 -29 | -3 -34 | -3 -39 | -3 -44 | -3 -49 | -3 -54 | -3 -59 | -3 -64 | -3 -69 | -3 -74 | -3 -79 |
| Peste 10 pînă la 18 | -9 -17 | -9 -20 | -5 -23 | -5 -30 | -3 -43 | -3 -70 | -3 -110 | -3 -15 | -3 -23 | -3 -31 | -3 -39 | -3 -47 | -3 -55 | -3 -63 | -3 -71 | -3 -79 | -3 -87 | -3 -95 | -3 -103 | -3 -111 | -3 -119 |
| Peste 18 pînă la 30 | -12 -21 | -11 -24 | -7 -28 | -7 -36 | -3 -52 | -3 -84 | -3 -130 | -3 -19 | -3 -28 | -3 -37 | -3 -46 | -3 -55 | -3 -64 | -3 -73 | -3 -82 | -3 -91 | -3 -100 | -3 -109 | -3 -118 | -3 -127 | -3 -136 |
| Peste 30 pînă la 50 | -13 -24 | -12 -28 | -8 -33 | -8 -42 | -3 -62 | -3 -100 | -3 -160 | -3 -22 | -3 -33 | -3 -42 | -3 -51 | -3 -60 | -3 -69 | -3 -78 | -3 -87 | -3 -96 | -3 -105 | -3 -114 | -3 -123 | -3 -132 | -3 -141 |
| Peste 50 pînă la 80 | -15 -28 | -14 -33 | -9 -38 | -9 -50 | -4 -74 | -4 -120 | -4 -190 | -4 -27 | -4 -40 | -4 -53 | -4 -66 | -4 -79 | -4 -92 | -4 -105 | -4 -118 | -4 -131 | -4 -144 | -4 -157 | -4 -170 | -4 -183 | -4 -196 |
| Peste 80 pînă la 120 | -18 -33 | -16 -38 | -10 -45 | -10 -58 | -4 -87 | -4 -140 | -4 -220 | -4 -32 | -4 -47 | -4 -62 | -4 -77 | -4 -92 | -4 -107 | -4 -122 | -4 -137 | -4 -152 | -4 -167 | -4 -182 | -4 -197 | -4 -212 | -4 -227 |
| Peste 120 pînă la 180 | -21 -39 | -20 -45 | -12 -52 | -12 -67 | -4 -100 | -4 -160 | -4 -250 | -4 -37 | -4 -55 | -4 -73 | -4 -91 | -4 -109 | -4 -127 | -4 -145 | -4 -163 | -4 -181 | -4 -199 | -4 -217 | -4 -235 | -4 -253 | -4 -271 |
| Peste 180 pînă la 250 | -25 -45 | -22 -51 | -14 -60 | -14 -77 | -5 -115 | -5 -185 | -5 -290 | -5 -49 | -5 -72 | -5 -95 | -5 -118 | -5 -141 | -5 -164 | -5 -187 | -5 -210 | -5 -233 | -5 -256 | -5 -279 | -5 -302 | -5 -325 | -5 -348 |
| Peste 250 pînă la 315 | -27 -50 | -25 -57 | -16 -66 | -16 -86 | -5 -130 | -5 -210 | -5 -320 | -5 -55 | -5 -80 | -5 -105 | -5 -130 | -5 -155 | -5 -180 | -5 -205 | -5 -230 | -5 -255 | -5 -280 | -5 -305 | -5 -330 | -5 -355 | -5 -380 |
| Peste 315 pînă la 400 | -30 -55 | -26 -62 | -17 -73 | -17 -94 | -6 -140 | -6 -230 | -6 -360 | -6 -61 | -6 -87 | -6 -113 | -6 -139 | -6 -165 | -6 -191 | -6 -217 | -6 -243 | -6 -269 | -6 -295 | -6 -321 | -6 -347 | -6 -373 | -6 -399 |
| Peste 400 pînă la 500 | -33 -60 | -27 -67 | -17 -80 | -17 -103 | -6 -155 | -6 -250 | -6 -400 | -6 -88 | -6 -118 | -6 -148 | -6 -178 | -6 -208 | -6 -238 | -6 -268 | -6 -298 | -6 -328 | -6 -358 | -6 -388 | -6 -418 | -6 -448 | -6 -478 |

Tabela 9.7. (continuare)

| Pozitia cimpului de toleranță | | R | | | | | | | | T | | | | U | | | |
|-------------------------------|---------------------|--------------------------|--------------------------|--------------------------|--------------------------|--------------------------|--------------------------|--------------------------|--------------------------|-----|-----|--------------------------|--------------------------|--------------------------|--|--|--|
| Simbolul | | R5 | R6 | R7 | R8 | S5 | S6 | 7 | T6 | T7 | U6 | U7 | U8 | | | | |
| Dimensiuni nominale (mm) | Până la 3 | -10 -14 -14 -14 | -10 -16 -12 -12 | -10 -20 -11 -11 | -10 -24 -15 -15 | -14 -18 -18 -18 | -14 -20 -16 -16 | -14 -20 -15 -15 | -14 -24 -15 -15 | - | - | -18 -24 -20 -28 | -18 -28 -19 -31 | -18 -32 -23 -41 | | | |
| | Peste 3 până la 6 | -17 -23 -20 -20 | -16 -25 -20 -20 | -13 -28 -16 -16 | -13 -41 -23 -23 | -21 -27 -25 -25 | -20 -29 -21 -21 | -17 -32 -25 -25 | -17 -32 -21 -21 | - | - | -25 -34 -30 -60 | -22 -37 -26 -44 | -22 -50 -33 -60 | | | |
| | Peste 6 până la 10 | -28 | -31 | -34 | -50 | -33 | -36 | -39 | -39 | - | - | -41 | -44 | -41 | | | |
| | Peste 10 până la 18 | -25 | -24 | -20 | -28 | -32 | -31 | -27 | -27 | - | - | -50 | -54 | -74 | | | |
| | Peste 18 până la 24 | -34 | -37 | -41 | -61 | -41 | -44 | -48 | -48 | -37 | -33 | -44 | -40 | -48 | | | |
| | Peste 24 până la 30 | | | | | | | | | -50 | -54 | -57 | -61 | -81 | | | |

Tabelul 9.7 (continuare)

| Dimensiuni nominale (mm) | R | | | | S | | | | T | | | U | | | |
|---|-----|-----|-----|-----|-----|-----|-----|-----|-----|-----|-----|-----|-----|-----|-----|
| Poziția câmpului de toleranță Simbolul | R5 | R6 | R7 | R8 | S5 | S6 | S7 | S8 | T6 | T7 | T8 | U6 | U7 | U8 | U9 |
| Peste 30 pînă la 40 | -30 | -29 | -25 | -34 | -39 | -38 | -34 | -39 | -43 | -39 | -34 | -55 | -51 | -60 | -60 |
| Peste 40 pînă la 50 | -41 | -45 | -50 | -73 | -50 | -54 | -59 | -49 | -49 | -45 | -45 | -65 | -61 | -70 | -70 |
| Peste 50 pînă la 65 | 36 | 35 | 30 | 41 | 48 | 47 | 42 | 42 | 60 | 55 | 55 | 81 | 76 | 87 | 87 |
| Peste 65 pînă la 80 | 49 | 54 | 60 | 87 | 61 | 66 | 72 | 72 | 79 | 85 | 85 | 100 | 106 | 133 | 133 |
| Peste 80 pînă la 100 | 51 | 56 | 62 | 89 | 67 | 72 | 78 | 78 | 88 | 94 | 94 | 115 | 121 | 148 | 148 |
| Peste 100 pînă la 120 | 46 | 44 | 38 | 51 | 66 | 64 | 58 | 58 | 111 | 111 | 111 | 117 | 111 | 124 | 124 |
| Peste 120 pînă la 140 | 61 | 66 | 73 | 105 | 81 | 86 | 93 | 93 | 106 | 113 | 113 | 139 | 146 | 178 | 178 |
| Peste 140 pînă la 160 | 49 | 47 | 41 | 54 | 74 | 72 | 66 | 66 | 97 | 91 | 91 | 137 | 131 | 144 | 144 |
| Peste 160 pînă la 180 | 64 | 69 | 76 | 108 | 89 | 94 | 101 | 101 | 119 | 126 | 126 | 159 | 166 | 198 | 198 |
| Peste 180 pînă la 200 | 57 | 56 | 48 | 63 | 86 | 85 | 77 | 77 | 115 | 107 | 107 | 163 | 155 | 170 | 170 |
| Peste 200 pînă la 225 | 75 | 81 | 88 | 126 | 104 | 110 | 117 | 117 | 140 | 147 | 147 | 188 | 183 | 195 | 195 |
| Peste 225 pînă la 250 | 59 | 58 | 50 | 65 | 94 | 93 | 85 | 85 | 127 | 119 | 119 | 183 | 175 | 190 | 190 |
| Peste 250 pînă la 280 | 77 | 83 | 90 | 128 | 112 | 118 | 125 | 125 | 152 | 159 | 159 | 208 | 215 | 253 | 253 |
| Peste 280 pînă la 315 | 62 | 61 | 53 | 68 | 102 | 101 | 93 | 93 | 139 | 131 | 131 | 203 | 195 | 210 | 210 |
| Peste 315 pînă la 355 | 80 | 86 | 93 | 131 | 120 | 126 | 133 | 133 | 164 | 171 | 171 | 228 | 235 | 273 | 273 |
| Peste 355 pînă la 400 | 71 | 68 | 60 | 77 | 116 | 113 | 105 | 105 | 157 | 149 | 149 | 227 | 219 | 236 | 236 |
| | 91 | 97 | 106 | 149 | 136 | 142 | 151 | 151 | 186 | 195 | 195 | 256 | 265 | 308 | 308 |
| | 74 | 71 | 63 | 80 | 124 | 121 | 113 | 113 | 171 | 163 | 163 | 249 | 241 | 258 | 258 |
| | 94 | 100 | 109 | 152 | 144 | 150 | 159 | 159 | 200 | 209 | 209 | 278 | 287 | 330 | 330 |
| | 78 | 75 | 67 | 84 | 134 | 131 | 123 | 123 | 187 | 179 | 179 | 275 | 267 | 284 | 284 |
| | 98 | 104 | 113 | 156 | 154 | 160 | 169 | 169 | 216 | 225 | 225 | 304 | 313 | 356 | 356 |
| | 87 | 85 | 74 | 94 | 151 | 149 | 138 | 138 | 209 | 198 | 198 | 306 | 295 | 315 | 315 |
| | 110 | 117 | 126 | 175 | 174 | 181 | 190 | 190 | 241 | 250 | 250 | 338 | 347 | 396 | 396 |
| | 91 | 89 | 78 | 98 | 163 | 161 | 150 | 150 | 231 | 220 | 220 | 341 | 330 | 350 | 350 |
| | 114 | 121 | 130 | 179 | 186 | 193 | 202 | 202 | 263 | 272 | 272 | 373 | 382 | 431 | 431 |
| | 104 | 97 | 87 | 108 | 183 | 179 | 169 | 169 | 257 | 247 | 247 | 379 | 369 | 390 | 390 |
| | 126 | 133 | 144 | 197 | 208 | 215 | 226 | 226 | 293 | 304 | 304 | 415 | 426 | 479 | 479 |
| | 107 | 103 | 93 | 114 | 201 | 197 | 187 | 187 | 283 | 273 | 273 | 424 | 414 | 435 | 435 |
| | 132 | 139 | 150 | 203 | 226 | 233 | 244 | 244 | 319 | 330 | 330 | 460 | 471 | 524 | 524 |

Dimensiuni nominale (mm)

Observație. În locul abaterilor limită nespecificate pentru simbolurile T6 și T7, la dimensiuni pînă la 24 mm, se folosesc abaterile limită corespunzătoare simbolurilor U6, respectiv U7.

Tabela 9.7 (continuare)

| Poziția câmpului de toleranță | V | | X | | Y | | Z | | ZA | | ZB | | ZC | |
|-------------------------------|-----|-----|-----|-----|-----|-----|-----|-----|-----|-----|------|------|------|--|
| | V6 | V7 | X6 | X7 | Y7 | Z7 | Z8 | ZA7 | ZA8 | ZB8 | ZB9 | ZC8 | ZC9 | |
| Simbolul | | | | | | | | | | | | | | |
| Pînă la 3 | - | - | 20 | 20 | - | 26 | - | -32 | -32 | -40 | -40 | -60 | -60 | |
| Peste 3 pînă la 6 | - | - | 26 | 30 | - | 36 | - | -42 | -46 | -54 | -54 | -74 | -85 | |
| Peste 6 pînă la 10 | - | - | 25 | 24 | - | 31 | - | -38 | -42 | -50 | -50 | -80 | -80 | |
| Peste 10 pînă la 14 | - | - | 33 | 36 | - | 43 | - | -50 | -60 | -68 | -68 | -98 | -110 | |
| Peste 14 pînă la 18 | - | - | 31 | 28 | - | 36 | - | -46 | -52 | -67 | -67 | -97 | -97 | |
| Peste 18 pînă la 24 | - | - | 40 | 43 | - | 51 | - | -61 | -74 | -89 | -103 | -119 | -133 | |
| Peste 24 pînă la 30 | - | - | 37 | 33 | - | 43 | - | - | - | - | - | - | - | |
| Peste 30 pînă la 40 | 36 | 32 | 48 | 51 | - | 61 | 77 | - | - | - | - | - | - | |
| Peste 40 pînă la 50 | 47 | 50 | 53 | 56 | - | 71 | 87 | - | - | - | - | - | - | |
| Peste 50 pînă la 65 | 43 | 39 | 50 | 46 | 55 | 65 | 73 | - | - | - | - | - | - | |
| Peste 65 pînă la 80 | 56 | 60 | 63 | 67 | 76 | 86 | 106 | - | - | - | - | - | - | |
| Peste 80 pînă la 100 | 51 | 47 | 60 | 56 | 67 | 80 | 88 | - | - | - | - | - | - | |
| Peste 100 pînă la 120 | 60 | 68 | 73 | 77 | 88 | 101 | 121 | - | - | - | - | - | - | |
| Peste 120 pînă la 140 | 63 | 59 | 75 | 71 | 85 | 103 | 112 | - | - | - | - | - | - | |
| | 79 | 84 | 91 | 96 | 110 | 128 | 151 | - | - | - | - | - | - | |
| | 76 | 72 | 92 | 88 | 105 | 127 | 136 | - | - | - | - | - | - | |
| | 92 | 97 | 108 | 113 | 130 | 152 | 175 | - | - | - | - | - | - | |
| | 96 | 91 | 116 | 111 | 133 | 161 | 172 | - | - | - | - | - | - | |
| | 115 | 121 | 135 | 141 | 163 | 191 | 218 | - | - | - | - | - | - | |
| | 114 | 109 | 140 | 135 | 163 | 199 | 210 | - | - | - | - | - | - | |
| | 133 | 139 | 159 | 165 | 193 | 229 | 256 | - | - | - | - | - | - | |
| | 139 | 133 | 171 | 165 | 201 | 245 | 258 | - | - | - | - | - | - | |
| | 161 | 168 | 193 | 200 | 236 | 280 | 312 | - | - | - | - | - | - | |
| | 165 | 159 | 203 | 197 | 241 | 287 | 310 | - | - | - | - | - | - | |
| | 187 | 194 | 225 | 232 | 276 | 332 | 364 | - | - | - | - | - | - | |
| | 195 | 187 | 241 | 233 | 285 | 350 | 365 | - | - | - | - | - | - | |
| | 220 | 227 | 266 | 273 | 325 | 390 | 428 | - | - | - | - | - | - | |

Dimensiuni nominale (mm)

Dimensiuni nominale (mm)

Tabela 9.7. (continuare)

| Poziția cîmpului de toleranță | V | | X | | Y | | Z | | ZA | | ZB | | ZC | |
|-------------------------------|--------------|--------------|--------------|--------------|---------------|----------------|----------------|----|-----|-----|-----|-----|-----|-----|
| | V6 | V7 | X6 | X7 | Y7 | Z7 | Z8 | Z9 | ZA7 | ZA8 | ZB8 | ZB9 | ZC8 | ZC9 |
| Simbolul | | | | | | | | | | | | | | |
| Peste 140 pînă la 160 | -221 -246 | -213 -253 | -273 -298 | -265 -305 | -325 -365 | -400 -440 | -415 -478 | | | | | | | |
| Peste 160 pînă la 180 | -245 -270 | -237 -277 | -303 -328 | -295 -335 | -365 -405 | -450 -490 | -465 -528 | | | | | | | |
| Peste 180 pînă la 200 | -275 -304 | -267 -313 | -341 -370 | -333 -379 | -408 -454 | -503 -549 | -520 -592 | | | | | | | |
| Peste 200 pînă la 225 | -301 -330 | -293 -339 | -376 -405 | -368 -414 | -453 -499 | -558 -604 | -575 -647 | | | | | | | |
| Peste 225 pînă la 250 | -331 -360 | -323 -369 | -416 -445 | -408 -454 | -503 -549 | -623 -669 | -640 -712 | | | | | | | |
| Peste 250 pînă la 280 | -376 -408 | -365 -417 | -466 -498 | -455 -507 | -560 -612 | -690 -742 | -710 -791 | | | | | | | |
| Peste 280 pînă la 315 | -416 -448 | -405 -457 | -516 -548 | -505 -557 | -630 -682 | -770 -822 | -790 -871 | | | | | | | |
| Peste 315 pînă la 355 | -464 -500 | -454 -511 | -579 -615 | -569 -626 | -709 -766 | -879 -936 | -900 -989 | | | | | | | |
| Peste 355 pînă la 400 | -519 -555 | -509 -566 | -649 -685 | -639 -696 | -799 -856 | -1000 -1089 | -1036 -1100 | | | | | | | |
| Peste 400 pînă la 450 | -582 -622 | -572 -635 | -727 -767 | -717 -780 | -897 -960 | -1077 -1140 | -1100 -1197 | | | | | | | |
| Peste 450 pînă la 500 | -647 -687 | -637 -700 | -807 -847 | -797 -860 | -977 -1040 | -1227 -1290 | -1250 -1347 | | | | | | | |

Dimensiuni nominale (mm)

Observații. În locul abaterilor limită nespecificate pentru simbolurile V6 și V7, la dimensiuni pînă la 14 mm, se folosesc abaterile limită corespunzătoare simbolurilor X6, respectiv X7. 2. În locul abaterilor limită nespecificate pentru simbolul Y7, la dimensiuni pînă la 18 mm, se folosesc abaterile limită corespunzătoare simbolului Z7.

Tabela 9.8. Sistemul ISO de toleranțe și ajustaje — cîmpuri de toleranțe pentru industria de mecanică fină pentru dimensiuni pînă la 18 mm — Arbori
Abateri limită în micrometri (μm)
(STAS 8106—68)

| Poziția cîmpului de toleranță | | a | | b | | | c | | | | | | |
|-------------------------------|------------|--------------|------------|--------------|--------------|------------|------------|------------|------------|------------|------------|-------------|------------|
| Simbolul | | a9 | a10 | b8 | b9 | b10 | c5 | c6 | c7 | c8 | c9 | c10 | |
| Dimensiuni nominale (mm) | Pină la 3 | -270 -295 | — | -140 -154 | -140 -165 | — | — | — | — | -60 -74 | -60 -85 | -60 -100 | |
| | Peste 3 | -270 | -270 | -140 | -140 | -140 | -70 | -70 | -70 | -70 | -70 | -70 | |
| | pină la 6 | -300 | -318 | -158 | -170 | -188 | -75 | -78 | -82 | -88 | -100 | -118 | |
| | Peste 6 | -280 | -280 | -150 | -150 | -150 | -80 | -80 | -80 | -80 | -80 | -80 | |
| | pină la 10 | -316 | -338 | -172 | -186 | -208 | -86 | -89 | -95 | -102 | -116 | -138 | |
| | Peste 10 | -290 | -290 | -150 | -150 | -150 | -95 | -95 | -95 | -95 | -95 | -95 | |
| pină la 18 | -333 | -360 | -177 | -193 | -220 | -103 | -106 | -113 | -122 | -138 | -165 | | |
| Poziția cîmpului de toleranță | | cd | | | | | d | | | | | | |
| Simbolul | | cd5 | cd6 | cd7 | cd8 | cd9 | cd10 | d5 | d6 | d7 | d8 | d9 | d10 |
| Dimensiuni nominale (mm) | Pină la 3 | — | — | -34 -44 | -34 -48 | -34 -59 | -34 -74 | — | -20 -26 | -20 -30 | -20 -34 | -20 -45 | -20 -60 |
| | Peste 3 | -46 | -46 | -46 | -46 | -46 | — | -30 | -30 | -30 | -30 | -30 | -30 |
| | pină la 6 | -51 | -54 | -58 | -64 | -76 | — | -35 | -38 | -42 | -48 | -60 | -78 |
| | Peste 6 | -56 | -56 | -56 | -56 | -56 | — | -40 | -40 | -40 | -40 | -40 | -40 |
| | pină la 10 | -62 | -65 | -71 | -78 | -92 | — | -46 | -49 | -55 | -62 | -76 | -98 |
| | Peste 10 | — | — | — | — | — | — | -50 | -50 | -50 | -50 | -50 | -50 |
| pină la 18 | — | — | — | — | — | — | -58 | -61 | -68 | -77 | -93 | -120 | |
| Poziția cîmpului de toleranță | | e | | | | | ef | | | | | | |
| Simbolul | | e5 | e6 | e7 | e8 | e9 | ef3 | ef4 | ef5 | ef6 | ef7 | ef8 | ef9 |
| Dimensiuni nominale (mm) | Pină la 3 | -14 -18 | -14 -20 | -14 -24 | -14 -28 | -14 -39 | -10 -12 | -10 -13 | -10 -14 | -10 -16 | -10 -20 | -10 -24 | -10 -35 |
| | Peste 3 | -20 | -20 | -20 | -20 | -20 | — | — | -14 | -14 | -14 | -14 | -14 |
| | pină la 6 | -25 | -28 | -32 | -38 | -50 | — | — | -19 | -22 | -28 | -32 | -44 |
| | Peste 6 | -25 | -25 | -25 | -25 | -25 | — | — | -18 | -18 | -18 | -18 | -18 |
| | pină la 10 | -31 | -34 | -40 | -47 | -61 | — | — | -24 | -27 | -33 | -40 | -54 |
| | Peste 10 | -32 | -32 | -32 | -32 | -32 | — | — | — | — | — | — | — |
| pină la 18 | -40 | -43 | -50 | -59 | -75 | — | — | — | — | — | — | — | |
| Poziția cîmpului de toleranță | | f | | | | | fg | | | | | | |
| Simbolul | | f3 | f4 | f5 | f6 | f7 | f8 | fg3 | fg4 | fg5 | fg6 | fg7 | fg8 |
| Dimensiuni nominale (mm) | Pină la 3 | -6 -8 | -6 -9 | -6 -10 | -6 -12 | -6 -16 | -6 -20 | -4 -6 | -4 -7 | -4 -8 | -4 -10 | -4 -14 | — |
| | Peste 3 | — | -10 | -10 | -10 | -10 | -10 | — | -6 | -6 | -6 | -6 | -6 |
| | pină la 6 | — | -14 | -15 | -18 | -22 | -28 | — | -10 | -11 | -14 | -18 | -24 |
| | Peste 6 | — | -13 | -13 | -13 | -13 | -13 | — | -8 | -8 | -8 | -8 | -8 |
| | pină la 10 | — | -17 | -19 | -22 | -28 | -35 | — | -12 | -14 | -17 | -23 | -30 |
| | Peste 10 | — | -16 | -16 | -16 | -16 | -16 | — | — | — | — | — | — |
| pină la 18 | — | -21 | -24 | -27 | -34 | -43 | — | — | — | — | — | — | |

Tabela 9.8 (continuare)

| Poziția câmpului de toleranță | | g | | | | h | | | | | | | | | |
|-------------------------------|------------|------|-----|-----|-----|------|-------|-------|------|------|------|------|-------|-------|------|
| Simbolul | | g3 | g4 | g5 | g6 | h3 | h4 | h5 | h6 | h7 | h8 | h9 | h10 | | |
| Dimensiuni nominale (mm) | Pînă la 3 | -2 | -2 | -2 | -2 | 0 | 0 | 0 | 0 | 0 | 0 | 0 | 0 | | |
| | Peste 3 | -4 | -5 | -6 | -8 | -2 | -3 | -4 | -6 | -10 | -14 | -25 | -40 | | |
| | pînă la 6 | - | -4 | -4 | -4 | 0 | 0 | 0 | 0 | 0 | 0 | 0 | 0 | | |
| | Peste 6 | - | -8 | -9 | -12 | -2,5 | -4 | -5 | -8 | -12 | -18 | -30 | -48 | | |
| | pînă la 10 | - | -5 | -5 | -5 | 0 | 0 | 0 | 0 | 0 | 0 | 0 | 0 | | |
| | Peste 10 | - | -9 | -11 | -14 | -2,5 | -4 | -6 | -9 | -15 | -22 | -36 | -58 | | |
| Dimensiuni nominale (mm) | Peste 10 | - | -6 | -6 | -6 | 0 | 0 | 0 | 0 | 0 | 0 | 0 | 0 | | |
| | pînă la 18 | - | -11 | -14 | -17 | -3 | -5 | -8 | -11 | -18 | -27 | -43 | -70 | | |
| Poziția câmpului de toleranță | | j | | | | js | | | | | | | | | |
| Simbolul | | j5 | j6 | j7 | j8 | js1 | js2 | js3 | js4 | js5 | js6 | js7 | js8 | js9 | js10 |
| Dimensiuni nominale (mm) | Pînă la 3 | - | +4 | +6 | +8 | +0,4 | +0,6 | +1 | +1,5 | +2 | +3 | +5 | +7 | +12,5 | +20 |
| | Peste 3 | - | -2 | -4 | -6 | -0,4 | -0,6 | -1 | -1,5 | -2 | -3 | -5 | -7 | -12,5 | -20 |
| | pînă la 6 | +3 | +6 | +8 | - | +0,5 | +0,75 | +1,25 | +2 | +2,5 | +4 | +6 | +9 | +15 | +24 |
| | Peste 6 | -2 | -2 | -4 | - | -0,5 | -0,75 | -1,25 | -2 | -2,5 | -4 | -6 | -9 | -15 | -24 |
| | pînă la 10 | +4 | +7 | +10 | - | +0,5 | +0,75 | +1,25 | +2 | +3 | +4,5 | +7,5 | +11 | +18 | +29 |
| | Peste 10 | -2 | -2 | -5 | - | -0,5 | -0,75 | -1,25 | -2 | -3 | -4,5 | -7,5 | -11 | -18 | -29 |
| Dimensiuni nominale (mm) | Peste 10 | +5 | +8 | +12 | - | +0,6 | +1 | +1,5 | +2,5 | +4 | +5,5 | +9 | +13,5 | +21,5 | +35 |
| | pînă la 18 | -3 | -3 | -6 | - | -0,6 | -1 | -1,5 | -2,5 | -4 | -5,5 | -9 | -13,5 | -21,5 | -35 |
| Poziția câmpului de toleranță | | k | | | | | | | | | | | | | |
| Simbolul | | k3 | k4 | k5 | k6 | k7 | k8 | k9 | k10 | | | | | | |
| Dimensiuni nominale (mm) | Pînă la 3 | | +2 | +3 | +4 | +6 | +10 | +14 | +25 | +40 | | | | | |
| | Peste 3 | | 0 | 0 | 0 | 0 | 0 | 0 | 0 | 0 | | | | | |
| | pînă la 6 | +2,5 | +5 | +6 | +9 | +13 | +18 | +30 | +48 | | | | | | |
| | Peste 6 | +1 | +1 | +1 | +1 | +1 | 0 | 0 | 0 | | | | | | |
| | pînă la 10 | +2,5 | +5 | +7 | +10 | +16 | +22 | +36 | +58 | | | | | | |
| | Peste 10 | +1 | +1 | +1 | +1 | +1 | 0 | 0 | 0 | | | | | | |
| Dimensiuni nominale (mm) | Peste 10 | +3 | +6 | +9 | +12 | +19 | +27 | +43 | +70 | | | | | | |
| | pînă la 18 | +1 | +1 | +1 | +1 | +1 | 0 | 0 | 0 | | | | | | |
| Poziția câmpului de toleranță | | m | | | | | n | | | | | | | | |
| Simbolul | | m3 | m4 | m5 | m6 | m7 | n3 | n4 | n5 | n6 | n7 | | | | |
| Dimensiuni nominale (mm) | Pînă la 3 | +4 | +5 | - | - | - | +6 | +7 | +8 | +10 | | | | | |
| | Peste 3 | +2 | +2 | | | | +4 | +4 | +4 | +4 | | | | | |
| | pînă la 6 | +6,5 | +8 | +9 | +12 | +16 | - | +12 | +13 | +16 | +20 | | | | |
| | Peste 6 | +4 | +4 | +4 | +4 | +4 | - | +8 | +8 | +8 | +8 | | | | |
| | pînă la 10 | - | +10 | +12 | +15 | +21 | - | +14 | +16 | +19 | +25 | | | | |
| | Peste 10 | - | +6 | +6 | +6 | +6 | - | +10 | +10 | +10 | +10 | | | | |
| Dimensiuni nominale (mm) | Peste 10 | - | +12 | +15 | +18 | +25 | - | +17 | +20 | +23 | +30 | | | | |
| | pînă la 18 | - | +7 | +7 | +7 | +7 | - | +12 | +12 | +12 | +12 | | | | |

Tabela 9.8 (continuare)

| Poziția câmpului de toleranță | | P | | | | | | | r | | | | | | | |
|-------------------------------|------------|-----|------|------|------|------|------|------|------|------|------|------|------|------|------|-----|
| Simbolul | | p3 | p4 | p5 | p6 | p7 | p8 | p9 | r3 | r4 | r5 | r6 | r7 | r8 | r9 | |
| Dimensiuni nominale (mm) | Până la 3 | +8 | +9 | +10 | +12 | +16 | — | — | +12 | +13 | +14 | +16 | +20 | +24 | — | |
| | Peste 3 | +6 | +6 | +6 | +6 | +6 | — | — | +10 | +10 | +10 | +10 | +10 | +10 | — | |
| | până la 6 | — | +16 | +17 | +20 | +24 | +30 | +42 | — | +19 | +20 | +23 | +27 | +33 | +45 | |
| | Peste 6 | — | +12 | +12 | +12 | +12 | +12 | +12 | — | +15 | +15 | +15 | +15 | +15 | +15 | |
| | până la 10 | — | +19 | +21 | +24 | +30 | +37 | +51 | — | +23 | +25 | +28 | +34 | +41 | +55 | |
| | Peste 10 | — | +15 | +15 | +15 | +15 | +15 | +15 | — | +19 | +19 | +19 | +19 | +19 | +19 | |
| până la 18 | — | +23 | +26 | +29 | +36 | +45 | +61 | — | +28 | +31 | +34 | +41 | +50 | +66 | | |
| | | +18 | +18 | +18 | +18 | +18 | +18 | +18 | — | +23 | +23 | +23 | +23 | +23 | +23 | |
| Poziția câmpului de toleranță | | s | | | | | | | u | | | | | | | |
| Simbolul | | s4 | s5 | s6 | s7 | s8 | s9 | s10 | u5 | u6 | u7 | u8 | u9 | u10 | | |
| Dimensiuni nominale (mm) | Până la 3 | — | +18 | +20 | +24 | +28 | +39 | — | +22 | +24 | +28 | — | — | — | — | |
| | Peste 3 | — | +14 | +14 | +14 | +14 | +14 | — | +18 | +18 | +18 | — | — | — | — | |
| | până la 6 | +23 | +24 | +27 | +31 | +37 | +49 | +67 | +28 | +31 | +35 | +41 | +53 | +71 | — | |
| | Peste 6 | +19 | +19 | +19 | +19 | +19 | +19 | +19 | +23 | +23 | +23 | +23 | +23 | +23 | +23 | |
| | până la 10 | +27 | +29 | +32 | +38 | +45 | +59 | +81 | +34 | +37 | +43 | +50 | +64 | +86 | — | |
| | Peste 10 | +23 | +23 | +23 | +23 | +23 | +23 | +23 | +28 | +28 | +28 | +28 | +28 | +28 | +28 | |
| până la 18 | +33 | +36 | +39 | +46 | +55 | +71 | +98 | +41 | +44 | +51 | +60 | +76 | +103 | — | | |
| | | +28 | +28 | +28 | +28 | +28 | +28 | +28 | +33 | +33 | +33 | +33 | +33 | +33 | +33 | |
| Poziția câmpului de toleranță | | v | | | | x | | | | | z | | | | | |
| Simbolul | | v5 | v6 | v7 | v8 | x5 | x6 | x7 | x8 | x9 | x10 | z6 | z7 | z8 | z9 | z10 |
| Dimensiuni nominale (mm) | Până la 3 | — | — | — | — | — | +26 | +30 | +34 | +45 | — | — | +36 | +40 | +51 | — |
| | Peste 3 | — | — | — | — | — | +20 | +20 | +20 | +20 | — | — | +26 | +26 | +26 | — |
| | până la 6 | — | — | — | — | — | +33 | +36 | +40 | +46 | +58 | +76 | +43 | +47 | +53 | +65 |
| | Peste 6 | — | — | — | — | — | +28 | +28 | +28 | +28 | +28 | +28 | +35 | +35 | +35 | +35 |
| | până la 10 | — | — | — | — | — | +40 | +43 | +49 | +56 | +70 | +92 | +51 | +57 | +64 | +78 |
| | Peste 10 | — | — | — | — | — | +34 | +34 | +34 | +34 | +34 | +34 | +42 | +42 | +42 | +42 |
| până la 14 | — | — | — | — | — | +48 | +51 | +58 | +67 | +83 | +110 | +61 | +68 | +77 | +93 | |
| Peste 14 | +47 | +50 | +57 | +66 | +83 | +103 | +125 | +151 | +181 | +216 | +257 | +115 | +125 | +135 | +155 | |
| până la 18 | +39 | +39 | +38 | +39 | +45 | +45 | +45 | +45 | +45 | +45 | +45 | +60 | +60 | +60 | +60 | |
| Poziția câmpului de toleranță | | za | | | | | zb | | | | | zc | | | | |
| Simbolul | | za6 | za7 | za8 | za9 | za10 | zb7 | zb8 | zb9 | zb10 | | zc7 | zc8 | zc9 | zc10 | |
| Dimensiuni nominale (mm) | Până la 3 | — | +42 | +46 | +57 | — | +50 | +54 | +65 | — | | +70 | +74 | +85 | — | |
| | Peste 3 | — | +32 | +32 | +32 | — | +40 | +40 | +40 | — | | +60 | +60 | +60 | — | |
| | până la 6 | +50 | +54 | +60 | +72 | +90 | +62 | +68 | +80 | +98 | | +92 | +98 | +110 | +128 | |
| | Peste 6 | +42 | +42 | +42 | +42 | +42 | +50 | +50 | +50 | +50 | | +80 | +80 | +80 | +80 | |
| | până la 10 | +61 | +67 | +71 | +88 | +110 | +82 | +89 | +103 | +125 | | +112 | +119 | +133 | +155 | |
| | Peste 10 | +52 | +52 | +52 | +52 | +52 | +67 | +67 | +67 | +67 | | +97 | +97 | +97 | +97 | |
| până la 14 | +75 | +82 | +91 | +107 | +134 | +108 | +117 | +133 | +160 | | +157 | +173 | +200 | — | | |
| Peste 14 | +64 | +64 | +64 | +64 | +64 | +90 | +90 | +90 | +90 | | +130 | +130 | +130 | +130 | | |
| până la 18 | +88 | +95 | +104 | +120 | +147 | +126 | +135 | +151 | +178 | | +177 | +193 | +220 | — | | |
| | | +77 | +77 | +77 | +77 | +77 | +108 | +108 | +108 | +108 | | +150 | +150 | +150 | +150 | |

Tabela 9.9. Sistemul ISO de toleranțe și ajustaje — Cimpuri de toleranțe pentru industria de mecanică fină, pentru dimensiuni pînă la 18 mm — Alezaje. Abateri limită în micrometri (μm) (STAS 8107—68)

| Poziția cimpului de toleranță | | A | | B | | C | | | | CD | | | | |
|-------------------------------|---------------------|--------------|--------------|--------------|--------------|--------------|-------------|-------------|-------------|------------|------------|------------|------------|-------------|
| Simbolul | | A9 | A10 | B8 | B9 | B10 | C8 | C9 | C10 | CD6 | CD7 | CD8 | CD9 | CD10 |
| Dimensiuni nominale (mm) | Pină la 3 | +295 +270 | — | +154 +140 | +165 +140 | — | +74 +60 | +85 +60 | +100 +60 | — | +44 +34 | +48 +34 | +59 +34 | +74 +34 |
| | Peste 3 pină la 6 | +300 +270 | +318 +270 | +158 +140 | +170 +140 | +188 +140 | +88 +70 | +100 +70 | +118 +70 | +54 +46 | +58 +46 | +64 +46 | +76 +46 | +94 +46 |
| | Peste 6 pină la 10 | +280 +333 | +316 +360 | +172 +150 | +186 +150 | +208 +150 | +102 +80 | +116 +80 | +138 +80 | +65 +56 | +66 +56 | +78 +56 | +92 +56 | +114 +56 |
| | Peste 10 pină la 18 | +290 | +290 | +177 +150 | +193 +150 | +220 +150 | +122 +95 | +138 +95 | +165 +95 | — | — | — | — | — |

| Poziția cimpului de toleranță | | D | | | | E | | | | EF | | | | | | | | |
|-------------------------------|---------------------|------------|------------|------------|------------|-------------|------------|------------|------------|------------|------------|------------|------------|------------|------------|------------|------------|------------|
| Simbolul | | D6 | D7 | D8 | D9 | D10 | E5 | E6 | E7 | E8 | E9 | E10 | EF3 | EF5 | EF6 | EF7 | EF8 | EF9 |
| Dimensiuni nominale (mm) | Pină la 3 | +26 +20 | +30 +20 | +34 +20 | +45 +20 | +60 +20 | +18 +14 | +20 +14 | +24 +14 | +28 +14 | +39 +14 | +54 +14 | +12 +10 | +14 +10 | +16 +10 | +20 +10 | +24 +10 | +35 +10 |
| | Peste 3 pină la 6 | +38 +30 | +42 +30 | +48 +30 | +60 +30 | +78 +30 | +25 +20 | +28 +20 | +32 +20 | +38 +20 | +50 +20 | +68 +20 | — | — | +19 +22 | +26 +32 | +32 +44 | +44 +56 |
| | Peste 6 pină la 10 | +49 +40 | +55 +40 | +62 +40 | +76 +40 | +98 +40 | +31 +25 | +34 +25 | +40 +25 | +47 +25 | +61 +25 | +80 +25 | — | — | +14 +14 | +14 +14 | +14 +14 | +14 +14 |
| | Peste 10 pină la 18 | +61 +50 | +68 +50 | +77 +50 | +93 +50 | +120 +50 | +40 +32 | +43 +32 | +50 +32 | +59 +32 | +75 +32 | +95 +32 | — | — | — | — | — | — |

| Poziția cimpului de toleranță | | F | | | | FG | | | | | | | |
|-------------------------------|---------------------|----------|------------|------------|------------|------------|------------|------------|----------|-----------|-----------|-----------|-----------|
| Simbolul | | F3 | F5 | F6 | F7 | F8 | F9 | F10 | FG3 | FG4 | FG5 | FG6 | FG7 |
| Dimensiuni nominale (mm) | Pină la 3 | +8 +6 | +10 +6 | +12 +6 | +16 +6 | +20 +6 | +31 +6 | — | +6 +4 | +8 +4 | +10 +4 | +14 +4 | — |
| | Peste 3 pină la 6 | — | +15 +10 | +18 +10 | +22 +10 | +28 +10 | +40 +10 | +58 +10 | — | +11 +6 | +14 +6 | +18 +6 | +24 +6 |
| | Peste 6 pină la 10 | — | +19 +13 | +22 +13 | +28 +13 | +35 +13 | +49 +13 | +71 +13 | — | +14 +8 | +17 +8 | +23 +8 | +30 +8 |
| | Peste 10 pină la 18 | — | +24 +16 | +27 +16 | +34 +16 | +43 +16 | +59 +16 | +86 +16 | — | — | — | — | — |

Tabela 9.9 (continue)

| Poziția cîmpului de toleranță | | G | | | | | H | | | | | | | | | | J | | | | | | |
|-------------------------------|--|--------------|----------------|----------------|--------------|--------------|--------------|--------------|----------------|----------------|------------|----------|------------|------------|----------|-----------|----------|-----------|-----------|--|--|--|--|
| Simbolul | | G3 | G5 | G6 | G7 | | H1 | H2 | H3 | H4 | H5 | H6 | H7 | H8 | H9 | H10 | J6 | J7 | J8 | | | | |
| Pînă la 3 | | +4 +2 | +6 +2 | +8 +2 | +12 +2 | - | - | - | +2 0 | - | +4 0 | +6 0 | +10 0 | +14 0 | +25 0 | +40 0 | +2 -4 | +4 - | +6 8 | | | | |
| Peste 3 pînă la 6 | | - | +4 +4 | +12 +4 | +16 +4 | +1 0 | +1 0 | +1.5 0 | +2.5 0 | +4 0 | +5 0 | +8 0 | +12 0 | +18 0 | +30 0 | +48 0 | +5 -3 | - | +10 8 | | | | |
| Peste 6 pînă la 10 | | - | +11 +5 | +14 +5 | +20 +5 | +1 0 | +1 0 | +1.5 0 | +2.5 0 | +4 0 | +6 0 | +9 0 | +15 0 | +22 0 | +36 0 | +58 0 | +5 -4 | +8 + | +12 10 | | | | |
| Peste 10 pînă la 18 | | - | +14 +6 | +17 +6 | +24 +6 | +1.2 0 | +2 0 | +3 0 | +5 0 | +8 0 | +11 0 | +18 0 | +27 0 | +43 0 | +70 0 | +6 -5 | +10 - | +15 12 | +12 12 | | | | |
| Poziția cîmpului de toleranță | | Js | | | | | | | | | | | | | | | | | K | | | | |
| Simbolul | | Js1 | Js2 | Js3 | Js4 | Js5 | Js6 | Js7 | Js8 | Js9 | Js10 | K3 | K5 | K6 | | | | | | | | | |
| Pînă la 3 | | - | - | - | - | +2 -2 | - | - | - | +12.5 -12.5 | +20 -20 | 0 -2 | 0 -4 | 0 0 | | | | | | | | | |
| Peste 3 pînă la 6 | | +0.5 -0.5 | +0.75 -0.75 | +1.25 -1.25 | +2 -2 | +2.5 -2.5 | +4 -4 | +6 -6 | +9 -9 | +15 -15 | +24 -24 | - | -5 -5 | +2 -2 | | | | | | | | | |
| Peste 6 pînă la 10 | | +0.5 -0.5 | +0.75 -0.75 | +1.25 -1.25 | +2 -2 | +3 -3 | +4.5 -4.5 | +7.5 -7.5 | +11 -11 | +18 -18 | +29 -29 | - | +1 -1 | +2 -2 | | | | | | | | | |
| Peste 10 pînă la 18 | | +0.6 -0.6 | +1 -1 | +1.5 -1.5 | +2.5 -2.5 | +4 -4 | +5.5 -5.5 | +9 -9 | +13.5 -13.5 | +21.5 -21.5 | +35 -35 | - | +2 -2 | +6 -6 | | | | | | | | | |
| Poziția cîmpului de toleranță | | M | | | | | | | | | | N | | | | | N | | | | | | |
| Simbolul | | M3 | M5 | M6 | M7 | M8 | M3 | M5 | M6 | M7 | M8 | N3 | N5 | N6 | N7 | N8 | N9 | N10 | | | | | |
| Pînă la 3 | | -2 -4 | - | - | - | - | -4 -6 | -8 8 | -10 4 | - | - | -4 -6 | -8 8 | -10 4 | - | - | - | - | | | | | |
| Peste 3 pînă la 6 | | - | -3 -8 | -9 | 0 -12 | +2 -16 | - | -8 -12 | -9 -12 | 1 -12 | +2 -16 | - | -12 -12 | -13 -13 | -4 -4 | -2 -20 | 0 -30 | 0 -48 | | | | | |
| Peste 6 pînă la 10 | | - | -4 -10 | -12 | 0 -15 | +1 -21 | - | -4 -10 | -8 -12 | 3 -15 | +1 -21 | - | -8 -14 | -16 -16 | -7 -7 | -3 -25 | 0 -36 | 0 -58 | | | | | |
| Peste 10 pînă la 18 | | - | -4 -12 | -4 -15 | 0 -18 | +2 -25 | - | -4 -12 | -4 -15 | 4 -18 | +2 -25 | - | -9 -17 | -9 -20 | -5 -5 | -3 -30 | 0 -43 | 0 -70 | | | | | |
| Dimensiuni nominale (mm) | | | | | | | | | | | | | | | | | | | | | | | |

Tabela 9.9 (continuare)

| Pozitia cimpului de toleranță | | P | | | | | | | | | | R | | | | | | | | | | | | | | | | | | | |
|-------------------------------|---------------------|-----|-----|-----|-----|-----|-----|-----|-----|------|------|------|------|--|--|--|--|-----|-----|-----|-----|------|------|-----|--|--|--|--|--|--|--|
| Simbolul | | P3 | P5 | P6 | P7 | P8 | P9 | | | | | | | | | | | R3 | R5 | R6 | R7 | R8 | R9 | | | | | | | | |
| Dimensiuni nominale (mm) | Pînă la 3 | -6 | -6 | -6 | -6 | - | - | | | | | | | | | | | -10 | -10 | -10 | -10 | -10 | - | | | | | | | | |
| | Peste 3 pînă la 6 | -8 | -10 | -12 | -16 | - | -12 | | | | | | | | | | | -12 | -14 | -16 | -20 | -24 | -15 | | | | | | | | |
| | Peste 6 pînă la 10 | - | -11 | -17 | -8 | -30 | -42 | | | | | | | | | | | - | -14 | -12 | -11 | -15 | -45 | | | | | | | | |
| | Peste 10 pînă la 18 | - | -16 | -20 | -9 | -15 | -51 | | | | | | | | | | | - | -19 | -20 | -23 | -33 | -19 | | | | | | | | |
| Dimensiuni nominale (mm) | Pînă la 3 | - | -13 | -21 | -9 | -15 | -18 | | | | | | | | | | | - | -17 | -16 | -13 | -19 | -23 | -19 | | | | | | | |
| | Peste 3 pînă la 6 | - | -19 | -24 | -37 | -51 | -61 | | | | | | | | | | | - | -23 | -25 | -28 | -41 | -55 | -41 | | | | | | | |
| | Peste 6 pînă la 10 | - | -15 | -15 | -11 | -18 | - | | | | | | | | | | | - | -20 | -20 | -16 | -23 | -23 | -66 | | | | | | | |
| | Peste 10 pînă la 18 | - | -23 | -26 | -29 | -45 | - | | | | | | | | | | | - | -28 | -31 | -34 | -50 | - | | | | | | | | |
| Pozitia cimpului de toleranță | | S | | | | | | | | | | U | | | | | | | | | | | | | | | | | | | |
| Simbolul | | S5 | S6 | S7 | S8 | S9 | S10 | | | | | | | | | | | U6 | U7 | U8 | U9 | U10 | | | | | | | | | |
| Dimensiuni nominale (mm) | Pînă la 3 | -14 | -14 | -14 | -14 | -14 | - | | | | | | | | | | | -18 | -18 | - | - | - | - | | | | | | | | |
| | Peste 3 pînă la 6 | -18 | -20 | -24 | -28 | -39 | - | | | | | | | | | | | -24 | -28 | -23 | -23 | -23 | - | | | | | | | | |
| | Peste 6 pînă la 10 | - | -16 | -15 | -19 | -19 | -19 | | | | | | | | | | | -20 | -19 | -31 | -41 | -53 | -71 | | | | | | | | |
| | Peste 10 pînă la 18 | - | -24 | -27 | -37 | -49 | -67 | | | | | | | | | | | -28 | -31 | -28 | -28 | -64 | -86 | | | | | | | | |
| Dimensiuni nominale (mm) | Pînă la 3 | - | -20 | -17 | -23 | -23 | -23 | | | | | | | | | | | -25 | -22 | -22 | -28 | -28 | -33 | -33 | | | | | | | |
| | Peste 3 pînă la 6 | - | -29 | -32 | -45 | -59 | -81 | | | | | | | | | | | -34 | -37 | -50 | -64 | -86 | -86 | | | | | | | | |
| | Peste 6 pînă la 10 | - | -25 | -21 | -28 | -28 | -28 | | | | | | | | | | | -30 | -26 | -33 | -33 | -64 | -86 | | | | | | | | |
| | Peste 10 pînă la 18 | - | -36 | -39 | -55 | -71 | -98 | | | | | | | | | | | -41 | -44 | -60 | -76 | -103 | -103 | | | | | | | | |
| Pozitia cimpului de toleranță | | V | | | | | | | | | | X | | | | | | | | | | Z | | | | | | | | | |
| Simbolul | | V6 | V7 | V8 | X6 | X7 | X8 | X9 | X10 | Z7 | Z8 | Z9 | Z10 | | | | | | | | | | | | | | | | | | |
| Dimensiuni nominale (mm) | Pînă la 3 | - | - | - | -20 | -20 | -20 | -20 | -20 | -26 | -26 | -26 | -26 | | | | | | | | | | | | | | | | | | |
| | Peste 3 pînă la 6 | - | - | - | -26 | -30 | -34 | -34 | -34 | -36 | -36 | -36 | -36 | | | | | | | | | | | | | | | | | | |
| | Peste 6 pînă la 10 | - | - | - | -33 | -36 | -46 | -46 | -46 | -46 | -46 | -46 | -46 | | | | | | | | | | | | | | | | | | |
| | Peste 10 pînă la 14 | - | - | - | -31 | -43 | -56 | -56 | -56 | -56 | -56 | -56 | -56 | | | | | | | | | | | | | | | | | | |
| Dimensiuni nominale (mm) | Pînă la 3 | - | - | - | -37 | -33 | -40 | -40 | -40 | -48 | -48 | -48 | -48 | | | | | | | | | | | | | | | | | | |
| | Peste 3 pînă la 6 | - | - | - | -48 | -51 | -67 | -83 | -83 | -110 | -110 | -110 | -110 | | | | | | | | | | | | | | | | | | |
| | Peste 6 pînă la 10 | - | - | - | -42 | -38 | -45 | -45 | -45 | -45 | -45 | -45 | -45 | | | | | | | | | | | | | | | | | | |
| | Peste 10 pînă la 18 | -36 | -32 | -39 | -53 | -56 | -72 | -88 | -88 | -115 | -115 | -115 | -115 | | | | | | | | | | | | | | | | | | |

Tabela 9.9 (continuare)

| Pozitia cimpului de toleranță | | ZA | | | | | | | | | | ZB | | | | ZC | | | | | |
|-------------------------------|---------------------|-----|------|------|------|-----|------|------|------|------|------|------|------|------|------|------|------|------|------|--|--|
| | | | | | | | | | | | | | | | | | | | | | |
| | | ZA7 | ZA8 | ZA9 | ZA10 | ZB7 | ZB8 | ZB9 | ZB10 | ZC7 | ZC8 | ZC9 | Z10 | | | | | | | | |
| Dimensiuni nominale (mm) | P1nă la 3 | -32 | -32 | - | 32 | -40 | -40 | -40 | - | - | - | - | - | 60 | -60 | -60 | - | - | - | | |
| | Peste 3 p1nă la 6 | -42 | -46 | -57 | - | -50 | -54 | -65 | - | - | - | - | - | 70 | -74 | -86 | -80 | -80 | -80 | | |
| | Peste 6 p1nă la 10 | -50 | -60 | -72 | -42 | -46 | -50 | -50 | -50 | - | - | - | - | 88 | -98 | -110 | -128 | -128 | -128 | | |
| | Peste 10 p1nă la 14 | -61 | -74 | -88 | -52 | -61 | -67 | -67 | -67 | - | - | - | - | 91 | -97 | -97 | -133 | -155 | -155 | | |
| | Peste 14 p1nă la 18 | -75 | -91 | -107 | -64 | -76 | -89 | -103 | -125 | -90 | -90 | -90 | -90 | 106 | -119 | -133 | -130 | -130 | -130 | | |
| | | -70 | -77 | -77 | -134 | - | -117 | -133 | -160 | -173 | -173 | -173 | - | - | -157 | -173 | -200 | -200 | -200 | | |
| | | -88 | -104 | -120 | -147 | - | -108 | -108 | -108 | -178 | -178 | -178 | -178 | - | -150 | -150 | -150 | -150 | -150 | | |
| | | | | | | | -135 | -151 | -178 | -178 | -178 | -178 | -178 | -177 | -193 | -220 | -220 | -220 | -220 | | |

În comparație cu celelalte instrumente de măsurat, calibrele fixe prezintă avantajul simplității, preciziei, unei mari ușurințe de mînuire și în special avantajul de a înlătura atît erorile de citire subiective cît și cele provenite dintr-o prea mare complicație a gradațiilor. Înainte de a se trece la fabricația în serie, se procedează la construirea calibrelor necesare pentru măsurarea și controlul fiecărei serii de piese în parte.

Arborii și, în general, grosimile se măsoară de obicei cu *calibre potcoavă* (sau calibre furcă), iar alezajele cu *calibre tampon*.

Calibrele tampon și calibrele potcoavă pot fi simple cînd au cîte un singur tampon sau potcoavă și duble cînd au cîte două tamponi, respectiv două potcoave.

4.2. CALIBRE LIMITATIVE

Calibrele (tampon, potcoavă etc.) se numesc *limitative* dacă au două părți pentru măsurat: una care *trece* și alta care *nu trece*; prima corespunde dimensiunii limită maximă pentru arbori și minimă pentru alezaje, iar a doua dimensiunii limită minimă pentru arbori și maximă pentru alezaje.

La folosirea calibrelor limitative pentru verificarea dimensiunilor, partea *trece* (T) trebuie să treacă liber sub acțiunea cel mult a greutateii proprii a calibrului, iar partea *nu trece* (NT) nu trebuie să treacă și în caz extrem poate numai să apuce.

În tot timpul verificării, trebuie ca suprafețele de verificare ale calibrului să fie curate, iar piesa de verificare și calibrul să aibă temperatura mediului ambiant (de circa 20°C).

Calibrele limitative mai des folosite sînt calibrele tampon și potcoavă.

Calibrele tampon limitative se folosesc la măsurarea alezajelor, care se compară cu cele două dimensiuni limită, maximă și minimă, ale calibrelor tampon simple sau duble.

La calibrele tampon limitative duble tamponul cu dimensiunea limită maximă (NT) se deosebește ușor de celălalt tampon (T) prin înălțimea mai mică a corpului său cilindric, care se construiește intenționat astfel, deoarece el pătrunde numai rareori în întregime într-un alezaj și din această cauză se uzază mult mai puțin decît tamponul corespunzător dimensiunii limită minimă (T).

Calibrele potcoavă limitative, de obicei în formă de potcoavă dublă, se folosesc la măsurarea arborilor, care se compară cu cele două dimensiuni limită, maximă și minimă, ale calibrelor potcoavă simple sau duble.

4.3. CALIBRE DE FABRICAȚIE, RECEPȚIE ȘI CONTRACALIBRE

4.3.1. Clasificare. Din punct de vedere al destinației, calibrele se împart în: calibre de fabricație (exploatare), calibre de recepție și contracalibre.

a. Calibrele de fabricație se folosesc la verificarea dimensiunilor pieselor la o fabricație în serie. Acestea se clasifică la rîndul lor în:

— calibre de lucru, folosite de muncitori pentru verificarea dimensiunilor pieselor în timpul procesului de fabricație; acestea sînt calibre de fabricație, noi.

— calibre de revizie, folosite de organele de control pentru verificarea dimensională a pieselor executate de muncitori; pentru acest control al dimensiunilor nu trebuie să se utilizeze calibre de lucru noi, ci din cele parțial uzate. Cînd uzura acestor calibre depășește limita stabilită prin STAS, trebuie să fie scoase din folosință.

b. Calibrele de recepție sînt folosite de către consumator la controlul dimensiunilor pieselor. Numai în cazuri excepționale acestea pot fi utilizate de către secțiile de control ale fabricației, la recepția pieselor. Calibrele de recepție sînt calibre de lucru uzate, după ce, la nevoie, s-a corectat suprafața de verificare a părții trece a acestor calibre. Fabricarea în mod special a calibrelor de recepție se face numai excepțional.

c. Contracalibrele se folosesc fie la controlul toleranțelor de fabricație, fie la controlul perioadei de uzură a calibrelor de lucru și calibrelor de recepție. În mod obișnuit, calibrele de lucru se controlează prin verificare cu aparate de măsurat sau cele plan-paralele (STAS 2517-66).

Contracalibrele care sînt construite special pentru acest scop pot fi utilizate la verificarea calibrelor de fabricație, în următoarele cazuri:

— la controlul dimensiunilor calibrelor de lucru (potcoave) destinate arborilor de diametru mic, la care verificarea cu aparate de măsurat prezintă dificultăți;

— la controlul dimensiunilor calibrelor de lucru (potcoave) pentru arbori de diferite diametre, cînd capacitatea aparatelor de măsurat este insuficientă.

Contracalibrele se consideră că trec numai sub acțiunea propriei lor greutate (nu mai puțin de 100 g), fiind ușor unse. Contracalibrele (CU—T¹) nu trebuie, „să treacă”; dacă ele intră în potcoavă, calibrul verificat se consideră uzat. Contracalibrele pentru partea „nu trece” sînt totdeauna „trec”; contracalibrele pentru calibrele „trec”, pentru toleranțele de fabricație și recepție, sînt „nu trece”. Contracalibrele pentru verificarea uzurii la partea „trec” sînt „nu trece”.

Nu se construiesc contracalibre pentru calibrele de lucru și de recepție ale alezajelor.

4.3.2. Cîmpuri de toleranță. O schemă a pozițiilor cîmpurilor de toleranță pentru calibrele de fabricație și de recepție și pentru contracalibre, în raport cu toleranța alezajului, respectiv a arborelui, este indicată în fig. 9.19.

Semnificația cîmpurilor de toleranță în această figură este următoarea:

- 1 — cîmp de toleranță de fabricație pentru calibre de lucru, partea trece sau calibre de lucru trece;
 - 2 — cîmp de toleranță de uzură pentru calibre de lucru trece;
 - 3 — cîmp de toleranță de uzură pentru calibre de lucru nu trece;
 - 4 — cîmp de toleranță pentru calibre de recepție trece;
 - 5 — cîmp de toleranță pentru calibre de recepție nu trece;
 - 6 — cîmp de toleranță la contracalibre pentru toleranțele de fabricație ale calibrelor de lucru trece;
 - 7 — cîmp de toleranță la contracalibre pentru controlul uzurii calibrelor de lucru trece;
 - 8 — cîmp de toleranță la contracalibre pentru calibrele de lucru și de recepție nu trece.
- Dimensiunea γ de pe schemă indică jocul între potcoavă, partea trece și contracalibrul, la dimensiunea minimă a acestuia.

4.3.3. Simboluri pentru calibre. Pentru calibrele de lucru și de recepție și pentru contracalibre s-au fixat următoarele simboluri (v. fig. 9.19):

- T — calibre de lucru, partea trece sau calibre de lucru trece;
 NT — calibre de lucru, partea nu trece sau calibre de lucru nu trece;
 R-T — calibre de recepție, partea trece sau calibre de recepție trece;

¹ V. § 4.3.3.

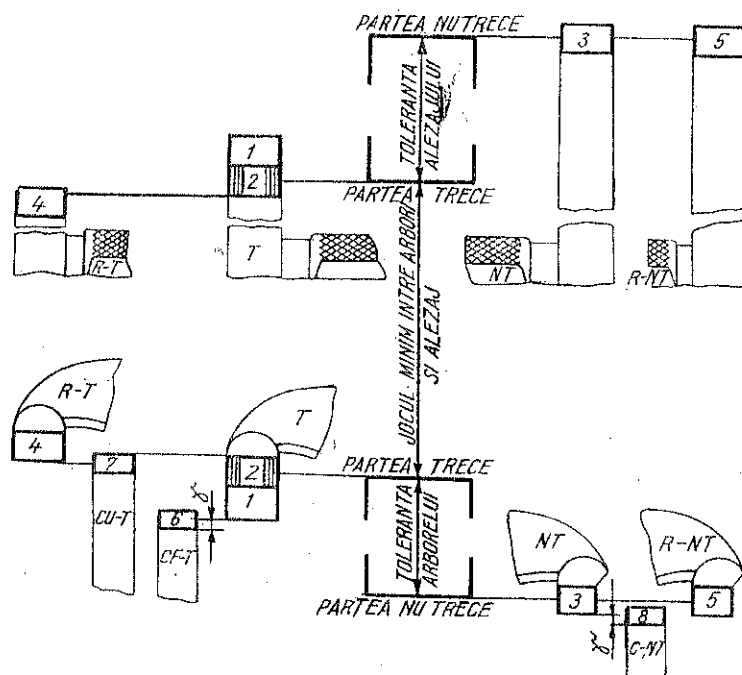


Fig. 9.19.

R-NT — calibre de recepție, partea *nu trece* sau calibre de recepție *nu trece*;

CF-T — contracalibre pentru toleranțe de fabricație ale părții *trece* a calibrelor de lucru;

CU-T — contracalibre pentru controlul uzurii la partea *trece* a calibrelor de lucru;

C-NT — contracalibre pentru partea *nu trece* a calibrelor de lucru și de recepție;

CR-T — contracalibre pentru verificarea calibrelor de recepție, partea *trece*, pentru clasele de precizie 6, 7 și mai grosolane.

Contracalibrele CR-T figurează numai în schemele claselor de precizie 6—10; ele mai sînt utilizate și în locul contracalibrelor CU-T pentru controlul uzurii calibrelor de lucru *trece*.

4.4 CALIBRE LIMITATIVE NETEDE PENTRU ALEZAJE ȘI ARBORI

Calibrele limitative netede pentru alezaje și arbori se clasifică după STAS 2980/1-70 în :

- calibre netede, fixe, pentru alezaje;
- calibre netede, fixe, pentru arbori;
- calibre netede, reglabile, pentru arbori;
- contracalibre.

4.4.1. **Calibre limitative netede fixe.** a. **Clasificare, forme și dimensiuni.** Calibrele limitative, netede, fixe se clasifică în : calibre netede, fixe, pentru alezaje; calibre netede, fixe, pentru arbori; contracalibre.

Din prima grupă fac parte :

- calibrele tampon, obișnuite;
- calibrele tampon, cu șurub de fixare;
- calibrele tampon plat;
- calibrele tampon incomplet;
- calibrele vergea cu capete sferice

Din a doua grupă fac parte :

- calibre plate;
- calibrele matrițate (turnate).

Din a treia grupă fac parte :

- contracalibrele tampon;
- contracalibrele tampon disc;
- contracalibrele tampon incomplet.

La rîndul lor fiecare dintre aceste calibre comportă anumite forme și dimensiuni standardizate, după cum este arătat în tabelele 9.12, 9.13 și 9.14.

b. **Toleranțe și abateri limită.** Toleranțele de fabricație și de uzură pentru dimensiunile părților măsurate ale calibrelor de lucru sînt indicate pentru cele 10 clase de precizie în standarde.

Abaterile limită, la dimensiunile pentru care acestea nu au fost prevăzute pe desen, se stabilesc conform indicațiilor date în STAS 2300-75.

c. **Materiale și tehnologie.** Confecționarea calibrelor limitative netede fixe impune folosirea anumitor materiale și, de asemenea, a unei tehnologii speciale; unele indicații asupra acestora sînt date în STAS 3938-76.

În ce privește execuția calibrelor, este necesar să se țină seama de următoarele observații :

Semifabricatele calibrelor forjate sau matrițate trebuie detensionate.

Tabela 9.12. Calibre metode, fixe, pentru alezaje

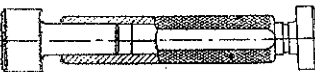
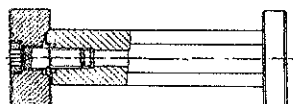
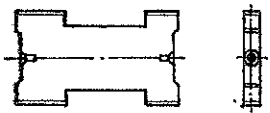
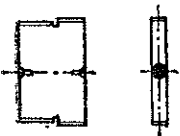
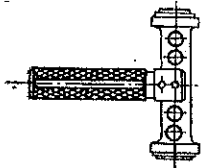
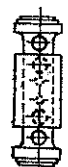
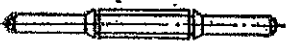
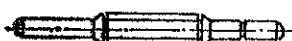
| Denumire | Limite de măsurare, mm | Figura | Dimensiuni după STAS |
|-------------------------------------|------------------------|---|----------------------|
| 1. Calibre tampon obișnuite | | | |
| a) Cu coadă conică | 1— 30 |  | 2981/1—74 |
| b) Cu șurub de fixare | 30— 100 |  | 2981/2—75 |
| 2. Calibre tampon plate | | | |
| a) Double trece și nu trece | 10— 100 |  | 2991—68 |
| b) Simple trece și nu trece | 50— 310 |  | |
| 3. Calibre tampon | | | |
| a) Cu minier, trece | 50— 150 |  | 4350—77 |
| b) Cu minier, nu trece | 50— 150 | | |
| c) Cu plăci protectoare, trece | 150— 360 |  | |
| d) Cu plăci protectoare, nu trece | 150— 360 | | |
| 4. Calibre vergea cu capete sferice | | | |
| a) trece | 260— 1000 |  | 3634—53 |
| b) nu trece | 80— 1000 |  | |

Tabela 9.13. Calibre metode, fixe pentru arbori

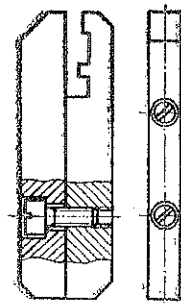
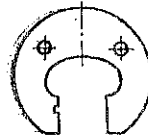
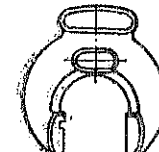
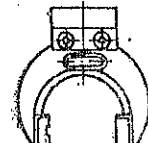
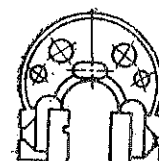

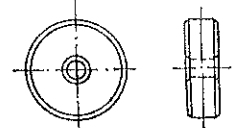
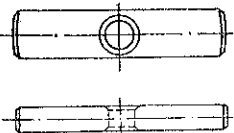
| Denumire | Limite de măsurare, mm | Figura | Dimensiuni după STAS |
|---|------------------------|---|----------------------|
| 1. Calibre plate | | | |
| a) Furcă asamblate trece și nu trece | 1—3 |  | 2991—68 |
| b) Potcoavă trece și nu trece | 3—180 |  | |
| 2. Calibre matrigate (turnate) | | | |
| a) Potcoavă trece și nu trece | 3— 50 |  | |
| b) Potcoavă cu minier, trece și nu trece | 50—180 |  | 3507—52 |
| c) Potcoavă cu plăci aplicate trece și nu trece | 100—310 |  | |

Tabela 9.14. Contra calibre

| Denumire | Limite de măsurare, mm | Figura | Dimensiuni după STAS |
|------------------------------------|------------------------|---|----------------------|
| 1. Contra calibre tampon | 1— 18 |  | |
| 2. Contra calibre disc | 18— 100 |  | |
| 3. Contra calibre tampon incomplet | 100— 325 |  | |

Calibrele executate dintr-o bucată și piesele principale ale acestora (exclusiv minere, șuruburi, știfturi) trebuie supuse în prealabil unui tratament de îmbătrânire.

Confecționarea calibrelor tampon obișnuite (după STAS 2981/1-74) și 2981/2-75) dintr-o singură bucată, până la diametrul de 10 mm inclusiv, este permisă numai uzinelor care execută calibre de uz intern.

Pentru mărirea rezistenței la uzură a calibrelor se recomandă fie cromarea dură a suprafețelor de măsurare, fie folosirea altor procedee de durificare.

După tratamentele termice, găurile de centrare trebuie lepuite.

Dacă părțile componente ale calibrelor au fost fixate pe dispozitive magnetice pentru a fi prelucrate, este necesar ca să fie supuse unei operații de demagnetizare.

Pentru identificarea părților *trece* (T) și *nu trece* (NT), la calibrele tampon, lungimea părții măsurătoare NT se face mai mică decât a părții T; de asemenea se mai face și o degajare pe partea conică a tamponului NT sau pe minere conform STAS 2992/1 și 2-74. În același scop, la calibrele vergea NT se face o degajare inelară, iar la calibrele plate se fac teșituri pe plăcile măsurătoare ale părții NT.

Minerele calibrelor se execută conform STAS 2992/1 și 2-74; minerele metalice se acoperă cu un strat de protecție anticorrosiv iar cele de lemn se vopsesc cu culoare neagră sau se lăcuiesc.

Calibrele trebuie să fie marcate cu următoarele notații :

- diametrul nominal, urmat de simbolul poziției cimpului de toleranță și clasa de precizie (exemplu : 10 JE 2) ;
- simbolul calibrului (T ; NT ; R-T ; R-NT), urmat de abaterile limită *trece* și *nu trece* (exemplu : T10 ; NT 10,016) ;
- emblema fabricii producătoare ;
- seria și anul de fabricație ;
- temperatura de referință 20°C ;
- standardul de dimensiuni ;
- semnul recepționarului.

Alte indicații asupra mișcării, asupra condițiilor de recepție și asupra controlului calibrelor sînt date în STAS 3938-76.

4.4.2. Calibre limitative netede reglabile. Din această categorie sînt menționate în STAS 2980/1-70 : calibrele limitative netede reglabile pentru arbori și, anume, calibrele reglabile pot-coavă (fig. 9.20) cu limitele de măsurare de la 3 la 310 mm.

Pînă în prezent nu sînt încă elaborate STAS-uri pentru dimensiunile și toleranțele acestor calibre.

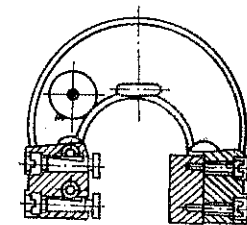


Fig. 9.20.

1. GENERALITĂȚI

1.1. CLASIFICAREA FILETELOR

După scop, filetele se clasifică în : filete de fixare, filete de mișcare sau transport, filete de presiune, filete de reglare, filete de măsurat.

Filetul de fixare are de obicei profilul triunghiular, așa cum se folosește, de exemplu, la șuruburi, piulițe, țevi, fittinguri etc.

Filetul de transport și filetul de presiune au în majoritatea cazurilor profilul trapezoidal, ferăstrău sau pătrat și se folosesc de exemplu, la șuruburile conducătoare de la strunguri, la arborii principali de la presele cu șurub, la frânele diferitelor vehicule etc.

Filetul de reglare se folosește la piesele cu ajutorul cărora se asigură altor piese deplasări în poziții anumite sau pentru a se limita jocul acestora.

Filetul de măsurat este utilizat la instrumentele de măsurat (de exemplu la micrometre).

După forma geometrică a profilului, filetele pot fi : *filet triunghiular*, *filet trapezoidal*, *filet ferăstrău*, *filet pătrat* sau *dreptunghiular*, *filet rotund*.

Caracteristicile acestor filete sînt redată în subcapitolele următoare. În general, profilul triunghiular se folosește la filetele de fixare; profilele : trapezoidal, în dinți de ferăstrău sau pătrat, se folosesc la filetele de transport sau de mișcare (de exemplu la șuruburile conducătoare de la strunguri), la filetele de presiune (de exemplu la arborii, filetați ai preselor cu șurub); profilul rotund este utilizat pentru scopuri speciale (de exemplu la cuplele vagoanelor sau la piesele cu pereți subțiri, cum sînt duliile becurilor electrice).

După forma corpului care se filetează distingem : *filet cilindric* cînd spira se înfășoară pe un corp cilindric, *filet conic*, cînd spira se înfășoară pe un trunchi de con și *filet plan*, cînd acesta este tăiat sub formă de spirală pe o suprafață plană.

După poziția filetelui pe piesă, se obțin : *filete exterioare* (de exemplu, filetele la șuruburi) sau *filete interioare* (de exemplu, filetele la piulițe).

După direcția de înfășurare, filetele pot fi *filete dreapta* și *filete stînga*, după cum un observator privind în lungul axei filetelui spre piuliță, vede piulița rotindu-se pentru înșurubare, în sensul mișcării acelor de ceasornic, în timp ce șurubul înaintază dinspre cap spre extremitatea opusă, sau, respectiv, viceversa.

După numărul de spire înfășurate paralel pe porțiunea filetată a unei piese, se obțin : *filete simple* și *filete multiple* sau *filete cu mai multe începuturi*. Filetele multiple sînt cu două, trei sau mai multe începuturi, după cum din baza cilindrului pornesc două, trei sau mai multe spire identice și echidistante. La filetul cu mai multe începuturi distingem un *pas real* și un *pas aparent* ale căror definiții sînt date în subcapitolul următor.

După mărimea pasului pentru un anumit diametru sau după domeniul în care se utilizează, filetele se clasifică în :

— *filete normale*, care se folosesc la majoritatea pieselor cu filete de fixare sau mișcare ;

— *filete fine*, care au pentru același diametru nominal, atît pasul cît și înălțimea mai mici decît ale filetelui normal. Acestea se utilizează, de obicei, la piesele de mecanică fină, la piesele cu pereți subțiri, precum și la acele asamblări la care, pentru a mări frecarea, este necesară reducerea pasului în raport cu diametrul ;

— *filete speciale*, care se utilizează numai în anumite cazuri, cum sînt de exemplu : filetele cu autoblocare (prin înclinarea cu circa 6° a fundului șurubului și a coamei piuliței, în poziție strînsă, se împiedică deșurubarea de la sine a șurubului din piuliță), și filetul Edison, semi-rotund, presat din tablă, pentru duli, elemente de siguranță la tablouri electrice etc.

După sistemul de măsurare, filetele pot fi : *filete metrice*, la care pasul și diametrul exterior sînt indicate în milimetri și *filete în inci* (Whitworth), la care se indică fie diametrul exterior în inci, fie numărul spirelor pe un inci.

După mărimea toleranțelor, filetele se mai clasifică în : *filete de precizie fină*, *filete de precizie mijlocie* și *filete de precizie grosolană*.

Toleranțele și dimensiunile limită ale acestor filete pentru diferite diametre nominale sînt indicate la subcapitolul cu toleranțele filetelui.

1.2. ELEMENTELE PRINCIPALE ALE FILETELUI

Forma și dimensiunile filetelor se reprezintă prin secțiunea plană care trece prin axa șurubului (secțiunea axială). Pentru exemplificare,

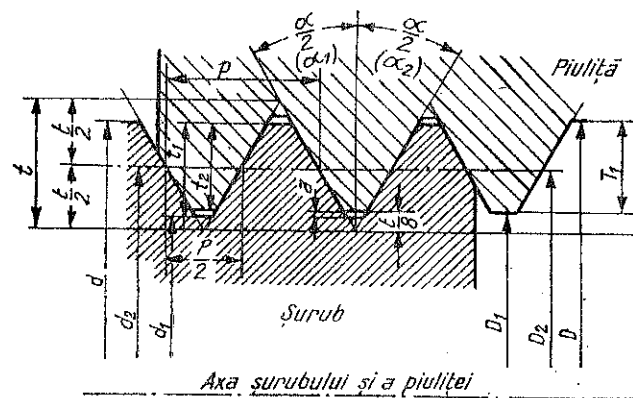


Fig. 10.1.

contactul flancurilor filetelor. Dimensiunile care determină poziția flancurilor servesc ca bază și sînt egale, atât pentru șurub cît și pentru piuliță.

Pasul filetelui p este distanța dintre două flancuri consecutive avînd aceeași înclinare, măsurată paralel cu axa șurubului. Filetul este cu un singur început, dacă avansarea axială a piuliței la o simplă rotație este egală cu pasul. La șurubul cu filet avînd mai multe începuturi, pasul este distanța dintre flancurile de aceeași înclinare a filetelui cu același început, măsurat paralel cu axa. În acest caz pasul se numește *pas real*, spre deosebire de *pasul aparent* al filetelui cu mai multe începuturi (numit și diviziune) care este distanța între două flancuri consecutive, măsurată paralel cu axa filetelui.

Pasul filetelor metrice se măsoară în milimetri. La alte filete pasul se exprimă în inci sau prin numărul de pași pe inci, adică prin numărul de spire ale filetelui pe un inci din lungimea lui.

Jumătatea unghiului flancurilor filetelui $\alpha/2$ este unghiul cuprins între perpendiculara pe axă și unul dintre cele două flancuri ale filetelui. La filetele simetrice, ambele unghiuri sînt egale; la cele asimetrice ele sînt diferite și se notează cu α_1 și α_2 .

Diametrul mediu al flancurilor filetelui șurubului d_2 este distanța între două flancuri opuse. Dacă această distanță este considerată în mijlocul flancurilor filetelui ascuțit, atunci d_2 este diametrul unui cilindru coaxial pe care grosimea filetelui este egală cu golul dintre două filete consecutive. La filetele asimetrice, ca diametru d_2 se ia diametrul cilindruului pe care grosimea filetelui este egală cu golul dintre două filete.

Diametrul exterior al filetelui șurubului d este distanța între punctele extreme ale filetelui, măsurată perpendicular pe axă.

în fig. 10.1 este arătată o secțiune printr-o îmbinare cu filet cu profil simetric (șurub și piuliță).

Porțiunea desuprațată filetată pe care șurubul și piulița sînt în contact pe înălțimea radială t_2 , suportă întreg efortul axial. Celelalte părți care nu sînt în contact trebuie să fie astfel dimensionate încît să nu împiedice

Diametrul inferior al filetelui șurubului d_1 este distanța măsurată perpendicular pe axă între punctele cele mai apropiate ale filetelui de axa șurubului.

Diametrul mediu al flancurilor filetelui piuliței D_2 este distanța perpendiculară pe axă, între două flancuri opuse. Dacă diametrul mediu este considerat în mijlocul flancului filetelui ascuțit, atunci D_2 este diametrul unui cilindru coaxial pe care grosimea filetelui este egală cu golul între două filete consecutive. La filetele asimetrice, diametrul mediu este egal cu cel al cilindruului pe care grosimea filetelui este egală cu golul dintre filete.

Diametrul exterior al filetelui piuliței D este distanța măsurată perpendicular pe axă între punctele extreme ale filetelui piuliței.

Diametrul interior al filetelui piuliței D_1 este distanța măsurată perpendicular pe axă între punctele cele mai apropiate ale filetelui de axa piuliței.

Înălțimea teoretică a filetelui șurubului t , cu vîrfurile ascuțite este:

$$t = \frac{1}{2} \cdot p \cdot \operatorname{ctg} \frac{\alpha}{2}.$$

Înălțimea reală a filetelui șurubului t_1 , respectiv a filetelui piuliței T_1 , este distanța măsurată perpendicular pe axă între punctele extreme ale filetelui șurubului, respectiv ale piuliței:

$$t_1 = (d - d_1)/2, \text{ respectiv } T_1 = (D - D_1)/2$$

Înălțimea utilă de contact a filetelui t_2 este distanța luată perpendicular la axă, a lungimii de contact a flancurilor $t_2 = (d - D_1)/2$.

Profilul teoretic al filetelui șurubului sau al piuliței este profilul față de care se măsoară abaterile.

2. FILETE STANDARDIZATE

Existența unei mari varietăți de filete făcea ca interschimbabilitatea pieselor filetate să fie dificilă chiar în interiorul aceleiași țări.

Această situație a putut fi remediată prin standardizarea filetelor. Prin limitarea numărului tipurilor de filete, a diametrelor, a numărului de pași și prin stabilirea rațională a toleranțelor, se micșorează stocul sculelor de tăiat filete și stocul calibrelor pentru controlul filetelor. Astfel se face posibilă fabricația în masă și în serii mari, ceea ce implicit reduce costul de fabricație.

În țara noastră sînt standardizate majoritatea tipurilor de filete. În cele ce urmează sînt indicate filetele standardizate care se execută în mod curent în cadrul atelierelor mecanice.

Sistemul de notare a filetelor cu exemple de aplicare a prescripțiilor de notare sînt indicate conform STAS 139-70 în tabela 10.1.

Tabela 10.1. Modul de notare a filetelor. a. Modul și ordinea de notare a elementelor filetelor

| Semnul care precede notarea elementului | Elementul notat | Modul în care se notează elementul | Cazul în care trebuie indicat elementul |
|--|---|---|--|
| Semnul înmulțirii \times Linie de fracție $/$ | Profilul filetelui Diametrul nominal al filetelui | Conform tabelat 10, 1, b Valoarea în mm sau în | La toate filetele La toate filetele |
| | Pasul filetelui (elicei) | Valoarea în mm sau în fracțiuni de în | Conform tabelat 10, 1, b |
| | Numărul de începuturi | Numărul de începuturi în cifre | Numai la filetele cu mai multe începuturi |
| | Precizia filetelui (abateri limită) Sensul filetelui | Conform standardelor în vigoare pentru filetul respectiv Literale stg | Conform standardelor în vigoare pentru filetul resp- pectiv Numai la filetele stnga |

Observații. 1. Se admite ca la piesele prevăzute cu filet dreapta și filet stnga (de ex. cuplele de cale ferată), la filetul dreapta sensul filetelui să se noteze cu literele dr. 2. La filetele cu profil asimetric (de exemplu filetul fărăstrău) se procedează conform prescripțiilor din STAS 700-69, reprezentându-se profilul dintr-o porțiune a filetelui.

Tabela 10.1 (continuare) b. Notarea, profilul, diametrului și pasului filetelui

| Tipul filetelui | Simbolul profilului | Diametrul a cărui valoare nominală se indică și unitatea de măsură | Modul de intrare a pasului | Exemple de notare |
|---|---------------------|--|----------------------------|-----------------------|
| Filet metric normal | M | exterior, mm | pasul nu se indică | M 10 |
| Filet metric stn | M | exterior, mm | pasul în mm | M C 4 \square 3 |
| Filet metric conic | KM | exterior, mm | pasul în mm | KM 30 \square 1,5 |
| Filet metric special (mecanică fină) | SpM | exterior, mm | pasul în mm | SpM 10,5 \times 0,5 |

Tabela 10.1 (continuare)

| Tipul filetelui | Simbolul profilului | Diametrul a cărui valoare nominală se indică și unitatea de măsură | Modul de indicare a pasului | Exemplu de notare |
|---|---------------------|--|-----------------------------|---------------------|
| Filet în încl (Whitworth) | W | exterior, în | pasul nu se indică | W1 |
| Filet cilindric pentru țevi | G | nominal al țevii, în | pasul nu se indică | G 3/4 |
| Filet conic pentru țevi | KG | nominal al țevii, în | pasul nu se indică | KG 3/4 |
| Filet conic în încl ($\alpha = 30^\circ$) (Briggs) | Br | exterior de măsurare, în | pasul nu se indică | Br 3/4 |
| Filet trapezoidal | Tr | exterior, mm | pasul în mm | Tr 70 \square 10 |
| Filet trapezoidal pentru locomotive | TrL | exterior, mm | pasul în mm | Tr L 30 \square 4 |
| Filet fărăstrău | S | exterior, mm | pasul în mm | S 40 \times c |
| Filet pătrat | Pt | exterior, mm | pasul în mm | Pt 50 \times 12 |
| Filet rotund | Rd | exterior, mm | pasul în fracțiuni de în | Rd 30 \times 1/8 |
| Filet Edison | E | exterior, mm | pasul nu se indică | E 27 |
| Filet pentru valve | V | exterior, mm | pasul nu se indică | V 12 |
| Filet pentru burlete de tubaj | B | exterior, în | pasul nu se indică | B 5 |
| Filet pentru obiective de microscopie | Ob | interior al piuliței, în | pasul nu se indică | Ob 4/5 |

Observații. 1. Exemplele de notare sînt date pentru filete cu un început, clasa de precizie mijlocie, dreapta, fără prescripții de etanșeitate. 2. La filele metrice fine cu $d > 68$ mm, avînd pasul cu valoarea cea mai mare conform STAS 6564-73, nu este obligatorie indicarea acestui pas în notare. 3. La notarea filetelui interior cilindric pentru țevi, după diametrul nominal se adaugă litera H, dacă asamblarea este fără etanșare în filet (de exemplu G 2 1/2 H) sau litera J, dacă asamblarea este cu etanșare în filet (de exemplu G 3/4 J). 4. Filetul metric conic KM6 nu are pasul în mm.

Tabela 10.1 (continuare) c. Exemple de aplicare a prescripțiilor de notare

| Felul filetului | Numărul de înlocuiri | Precizia | Sensul filetului | Exemple de notare |
|--|----------------------|------------------------------|------------------|--------------------|
| Filet metric conic | 1 | — | dreapta | KM 10 × 1 |
| Filet metric normal | 1 | 6 g | stinga | M10 6g stg |
| Filet pentru țevi cu etanșare în filet, conic exterior | 1 | — | dreapta | KG 3/4 |
| Filet pentru țevi fără etanșare în filet, cilindric exterior | 1 | clasa A | dreapta | G 2 A |
| Filet trapezoidal | 3 | grosolană, ajustaj semiliber | dreapta | Tr 70 × 30/3 g1 |
| Filet trapezoidal | 3 | mijlocie | stinga | Tr 70 × 30/3 m stg |
| Filet ferăstrău | 2 | fină | stinga | S 70 × 20/2 f stg |

Observații. 1. Filetele necuprinse în tabela anterioară se notează cu cuvântul „Filet” sau litera F și unul sau mai multe cuvinte sau prescurtarea lor, indicând destinația filetului, urmate de caracteristicile filetului. Această notare poate fi urmată de numărul standardului dimensional al filetului. 2. *Exemple:* filetul pentru lampa de mină se notează: **Filet lampă mină 68,30 × 3,175**; filetul pentru biciclete se notează: **F Bieleță 14,3 × 1,270**; filetul pentru tuburi izolante de protecție etanșe se notează: **Filet IPE 16**.

Dimensiunile ieșirii și degajării filetului sînt indicate în STAS 3508/1-70 pentru filet metric (tabela 10.6), STAS 3508/2-70 pentru filet pentru țevi, STAS 3508/3-70 pentru filet metric conic, STAS 3508/4-70 pentru filet conic în inci (Briggs) și STAS 3508/6-70 pentru filet trapezoidal.

2.1. FILETUL METRIC

Filetul metric este generat de un triunghi echilateral cu unghiul la vîrf de 60°. Atît pasul cît și diametrul sînt exprimate în unități metrice.

În general filetul metric se folosește ca filet de fixare, filet de reglare și filet de măsurare. El tinde să înlocuiască într-o mare măsură filetul în inci.

După mărimea pasului, pentru un anumit diametru, filetele metrice se clasifică în *filete metrice normale* și *filete metrice fine*.

Profilul nominal (trasat cu o linie groasă), dimensiunile acestuia și elementele filetelor metrice ISO de uz general sînt indicate după STAS 6371-73, în fig. 10.2 cu următoarele notații:

D este diametrul exterior al filetului interior;

d — diametrul exterior al filetului exterior;

D_1 — diametrul interior al filetului interior;
 d_1 — diametrul interior al filetului exterior;
 D_2 — diametrul mediu al filetului interior;
 d_2 — diametrul mediu al filetului exterior;
 p — pasul filetului;
 H — înălțimea triunghiului generator al filetului;
 H_1 — înălțimea profilului nominal.

Diametrele nominale și pașii filetelor metrice ISO de uz general, cu profil nominal conform STAS 6371-73, sînt arătate după STAS 981-74 în tabela 10.2.

Valorile diametrelor nominale se aleg din șirul 1 al tablei, apoi, dacă este necesar, din șirul 2 și, în fine, din șirul 3.

Pasul filetului se alege dintre valorile indicate în dreptul diametrului nominal.

astfel:

— pentru diametre pînă la 68 mm se alege de preferință pasul normal corespunzător sau, în funcție de necesități, unul dintre pașii fini, de preferință pasul cel mai mare;

— pentru diametre peste 68 mm se alege unul dintre pașii fini corespunzători, de preferință pasul cel mai mare.

Dacă pentru un diametru nominal este necesar a se utiliza un pas mai fin decît cei indicați în tabelă, acesta se alege exclusiv din următorul șir de valori, în mm: 3; 2; 1,5; 1; 0,75; 0,5; 0,35; 0,25; 0,2.

La alegerea pasului filetului se recomandă ca un pas să nu se utilizeze pentru diametre nominale mai mari decît cele indicate mai jos:

— pasul filetului de 0,5 mm pentru diametrul nominal maxim de 22 mm;

— pasul filetului de 0,75 mm pentru diametrul nominal maxim de 33 mm;

— pasul filetului de 1 mm pentru diametrul nominal maxim de 80 mm;

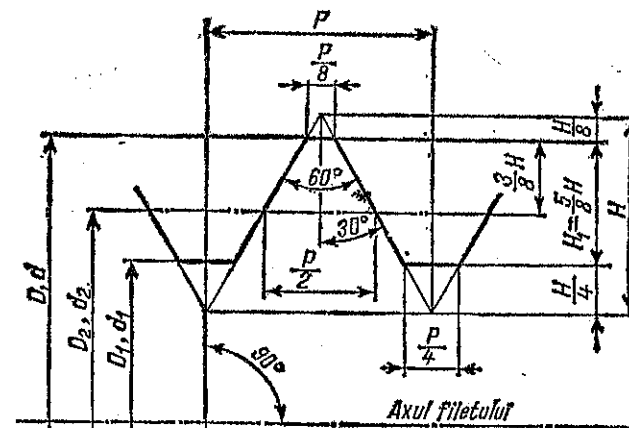


Fig. 10.2. Profilul nominal al filetelor metrice ISO de uz general.

Observații la tabela 10.2. 1. Filetul M 14 × 1,25 se va utiliza numai pentru buji de motoare. 2. Filetul M 35 × 1,5 se va utiliza numai pentru piulițele de blocare a rulmenților.

— pasul filetului de 1,5 mm pentru diametrul nominal maxim de 150 mm;

— pasul filetului de 2 mm pentru diametrul nominal maxim de 200 mm;

— pasul filetului de 3 mm pentru diametrul nominal maxim de 300 mm.

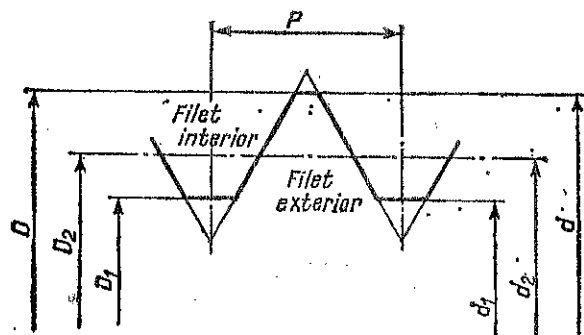


Fig. 10.3.

Diametrul nominal al filetului se va prefera a se lua din șirul 1

La alegerea pasului filetului se recomandă valoarea cea mai mare indicată în dreptul diametrului respectiv.

Diametrele și pașii filetelor metrice speciale pentru industria optică-mecanică și a construcției de aparate sînt date (conform STAS 7826-75), în tabela 10.4.

Dimensiunile nominale ale filetelor metrice ISO de uz general cu pas normal, avînd diametrele nominale între 1 și 68 mm și cu pas fin, avînd diametrele nominale între 1 și 600 mm sînt date (conform STAS 510-74) în tabela 10.5.

Dimensiunile nominale, conform figurii 10.3 și tabelii 10.5 sînt calculate cu ajutorul relațiilor stabilite în STAS 6371-73.

Pașii normali sînt tipăriți în tabelă cu caractere aldine (groase)

2.2. FILETUL ÎN INCI (WHITWORTH)

Profilul filetului este un triunghi isoscel cu unghiul la vîrf de 55°.

Filetul în inci este un filet de tranziție; el se mai folosește la confecționarea pieselor de schimb pentru construcțiile vechi și la construcțiile noi de tip existent, la care nu este posibilă aplicarea filetului metric.

Tabela 10.3. Diametre și pași la filetele metrice ISO pentru organele de asamblare (STAS 6564-73)

Dimensiuni în mm

| Diametrul nominal al filetului $d = D$ | | Pasul filetului p | | Diametrul nominal al filetului $d = D$ | | Pasul filetului p | |
|---|---------|------------------------|-----|---|---------|------------------------|------|
| Șirul 1 | Șirul 2 | normal | fin | Șirul 1 | Șirul 2 | normal | fin |
| 1 | 1 | 0,25 | — | 6 | 6 | 1 | — |
| | 1,1 | 0,25 | — | | 7 | 1 | — |
| 1,2 | 1,2 | 0,25 | — | 8 | 8 | 1,25 | 1 |
| | 1,4 | 0,3 | — | 10 | 10 | 1,5 | 1,25 |
| 1,6 | 1,6 | 0,35 | — | 12 | 12 | 1,75 | 1,25 |
| | 1,8 | 0,35 | — | | 14 | 2 | 1,5 |
| 2 | 2 | 0,4 | — | 16 | 16 | 2 | 1,5 |
| | 2,2 | 0,45 | — | | 18 | 2,5 | 1,5 |
| 2,5 | 2,5 | 0,45 | — | 20 | 20 | 2,5 | 1,5 |
| 3 | 3 | 0,5 | — | | 22 | 2,5 | 1,5 |
| | 3,5 | 0,6 | — | 24 | 24 | 3 | 2 |
| 4 | 4 | 0,7 | — | | 27 | 3 | 2 |
| | 4,5 | 0,75 | — | 30 | 30 | 3,5 | 2 |
| 5 | 5 | 0,8 | — | | | | |
| | | | | | | | |
| | 33 | 3,5 | 2 | | 85 | — | 6; 4 |
| 36 | 36 | 4 | 3 | 90 | 90 | — | 6; 4 |
| | 39 | 4 | 3 | | 95 | — | 6; 4 |
| 42 | 42 | 4,5 | 3 | 100 | 100 | — | 6; 4 |
| | 45 | 4,5 | 3 | | 105 | — | 6; 4 |
| 48 | 48 | 5 | 3 | 110 | 110 | — | 6; 4 |
| | 52 | 5 | 3 | | 115 | — | 6; 4 |
| 56 | 56 | 5,5 | 4 | | 120 | — | 6; 4 |
| | 60 | 5,5 | 4 | 125 | 125 | — | 6; 4 |
| 64 | 64 | 6 | 4 | | 130 | — | 6; 4 |
| | 68 | 6 | 4 | 140 | 140 | — | 6; 4 |
| 72 | 72 | — | 6,4 | | 150 | — | 6; 4 |
| | 76 | — | 6,4 | 160 | 160 | — | 6; 4 |
| 80 | 80 | — | 6,4 | | | | |

Observații. 1. Profilul nominal al filetului, conform STAS 6371-73. 2. Dimensiunile nominale ale filetului, conform STAS 510-74. 3. Dimensiunile limită ale filetelor pentru organe de asamblare, conform STAS 8164-68. 4. Condiții generale pentru organe de asamblare filetate, conform STAS 2700-69 (standard pe părți). 5. Notarea filetului, conform STAS 139-70. 6. Diametrul nominal al filetului se alege de preferință din șirul 1.

În prezent, pentru țevi cu atansare în filet, este folosit în mod curent filetul în inci.

Caracteristicile și dimensiunile filetului în inci pentru țevi sînt standardizate prin STAS 402-68. Acest standard se referă la filetul pentru țevi cu etansare în filet, realizată prin îmbinarea filetului conic exterior cu filetul cilindric interior.

Tabela 10.4. Diametre și pași ale filetelor metrice speciale pentru industria optică-mecanică și a construcției de aparate
(STAS 7826-75)

Diametrele filetelor se aleg din șirul 1, apoi, dacă este necesar, din șirul 2 și în fine, din șirul 3.

Pasul filetelor se alege dintre cei prevăzuți în dreptul diametrului adoptat preferinț du-se pașii mai mari.

Exemplu de notare a unui filet metric special, cu diametrul exterior $d = 10,5$ mm și pasul $p = 0,5$ mm: Sp M 10,5 × 0,5

Diametre de la 3,5 la 13 mm

| Diametrul exterior, d | | | Pasul filetelor, p | | | | | |
|-------------------------|---------|---------|----------------------|----|------|-----|------|------|
| Șirul 1 | Șirul 2 | Șirul 3 | 1,5 | 1 | 0,75 | 0,5 | 0,35 | 0,25 |
| 4 | 3,5 | | — | — | — | 0,5 | — | — |
| 5 | 4,5 | | — | — | — | — | 0,35 | 0,25 |
| 6 | 5,5 | | — | — | — | — | 0,35 | 0,25 |
| 7 | 6,5 | | — | — | 0,75 | 0,5 | 0,35 | 0,25 |
| 8 | 7,5 | | — | — | 0,75 | 0,5 | 0,35 | 0,25 |
| 9 | 8,5 | | — | 1 | 0,75 | 0,5 | — | — |
| 10 | 9,5 | | — | 1 | 0,75 | 0,5 | 0,35 | — |
| 11 | 10,5 | | — | 1 | 0,75 | 0,5 | 0,35 | — |
| 12 | 11,5 | | — | 1 | 0,75 | 0,5 | — | — |
| 13 | 12,5 | | 1,5 | 1 | 0,75 | 0,5 | — | — |
| | | | 1,5 | 10 | 0,75 | 0,5 | — | — |

Diametre de la 13,5 la 66 mm

| Diametrul exterior, d | | | Pasul filetelor, p | | | | Diametrul exterior, d | | | Pasul filetelor, p | | | |
|-------------------------|---------|---------|----------------------|---|------|-----|-------------------------|---------|---------|----------------------|---|------|-----|
| Șirul 1 | Șirul 2 | Șirul 3 | 1,5 | 1 | 0,75 | 0,5 | Șirul 1 | Șirul 2 | Șirul 3 | 1,5 | 1 | 0,75 | 0,5 |
| 15 | 14,5 | 13,5 | 1,5 | 1 | 0,75 | 0,5 | 17 | | 17,5 | — | — | 0,75 | 0,5 |
| | | | 1,5 | 1 | 0,75 | 0,5 | | 18,5 | 19 | — | — | 0,75 | 0,5 |
| | | | — | — | 0,75 | 0,5 | | | | 1,5 | 1 | 0,75 | 0,5 |
| | 16,5 | 15,5 | — | — | — | 0,5 | | | | — | — | — | — |
| | | | — | — | — | 0,5 | | | | — | — | — | — |
| 21 | 20,5 | 19,5 | — | — | — | 0,5 | | 41 | 40,5 | — | — | — | 0,5 |
| | | | 1,5 | 1 | 0,75 | 0,5 | | | 41,5 | 1,5 | — | 0,75 | 0,5 |
| | 21,5 | | — | — | — | 0,5 | 42 | | | — | — | 0,75 | 0,5 |

Tabela 10.4 (continuare). Diametrele de 13,5 la 66 mm

| Diametrul exterior, d | | | Pasul filetelor, p | | | | Diametrul exterior, d | | | Pasul filetelor, p | | | |
|-------------------------|---------|---------|----------------------|---|------|-----|-------------------------|---------|---------|----------------------|---|------|-----|
| Șirul 1 | Șirul 2 | Șirul 3 | 1,5 | 1 | 0,75 | 0,5 | Șirul 1 | Șirul 2 | Șirul 3 | 1,5 | 1 | 0,75 | 0,5 |
| 23 | | 22,5 | — | — | — | 0,5 | | 41 | 40,5 | — | — | 0,75 | 0,5 |
| 24 | 23,5 | | 1,5 | 1 | 0,75 | 0,5 | | | 41,5 | 1,5 | — | 0,75 | 0,5 |
| | | | — | — | — | 0,5 | 42 | | | — | — | — | 0,5 |
| | 24,5 | | — | — | — | 0,5 | | 45 | 42,5 | — | — | — | 0,5 |
| 25 | | | — | — | 0,75 | 0,5 | | | 43,5 | 1,5 | — | 0,75 | 0,5 |
| 26 | 25,5 | | — | — | — | 0,5 | 44 | | | 1,5 | 1 | 0,75 | 0,5 |
| | | | — | 1 | 0,75 | 0,5 | | | | — | — | — | 0,5 |
| | 26,5 | | — | — | — | 0,5 | | 45 | 44,5 | — | — | 0,75 | 0,5 |
| 27 | | | — | — | — | 0,5 | | | 45,5 | 1,5 | 1 | 0,75 | 0,5 |
| 28 | 27,5 | | — | — | — | 0,5 | 46 | | | — | — | — | 0,5 |
| | | | — | — | 0,75 | 0,5 | | 47 | 46,5 | — | — | — | 0,5 |
| | 28,5 | | — | — | — | 0,5 | | | 47,5 | 1,5 | — | 0,75 | 0,5 |
| 29 | | | — | — | 0,75 | 0,5 | 48 | | | — | — | 0,75 | 0,5 |
| 30 | 29,5 | | — | — | — | 0,5 | | | 48,5 | — | — | — | 0,5 |
| | | | — | — | — | 0,5 | | 49 | 49,5 | 1,5 | — | 0,75 | 0,5 |
| | 30,5 | | — | — | — | 0,5 | 50 | | | — | — | — | 0,5 |
| 31 | | | 1,5 | — | 0,75 | 0,5 | | | (50,5) | — | — | — | 0,5 |
| 32 | 31,5 | | — | 1 | 0,75 | 0,5 | | 51 | (51,5) | 1,5 | 1 | 0,75 | 0,5 |
| | | | — | — | — | 0,5 | | | | — | — | 0,75 | 0,5 |
| | 32,5 | | — | — | — | 0,5 | 52 | | | — | — | 0,75 | 0,5 |
| | | | — | — | — | 0,5 | | | (52,5) | — | — | 0,75 | 0,5 |
| 33 | 33,5 | | — | — | — | 0,5 | | 53 | (53,5) | — | 1 | 0,75 | 0,5 |
| | | | — | — | — | 0,5 | | | | — | — | — | 0,5 |
| 34 | | | 1,5 | 1 | 0,75 | 0,5 | 54 | | (54,5) | — | 1 | 0,75 | 0,5 |
| | 34,5 | | — | — | — | 0,5 | | 55 | | — | 1 | 0,75 | 0,5 |
| | | | — | 1 | 0,75 | 0,5 | 56 | | | — | — | 0,75 | 0,5 |
| 35 | 35,5 | | — | — | — | 0,5 | | 57 | | — | 1 | 0,75 | 0,5 |
| 36 | | | — | — | 0,75 | 0,5 | 58 | | | — | 1 | 0,75 | 0,5 |
| | 36,5 | | — | — | — | 0,5 | | | 59 | — | 1 | 0,75 | — |
| | | | 1,5 | — | 0,75 | 0,5 | 60 | | 61 | — | — | 0,75 | 0,5 |
| 37 | 37,5 | | — | — | — | 0,5 | | | | — | 1 | 0,75 | — |
| 38 | | | — | 1 | 0,75 | 0,5 | 62 | | | — | 1 | 0,75 | — |
| | 38,5 | | — | — | — | 0,5 | 64 | | 63 | 1,5 | 1 | 0,75 | — |
| | | | — | — | 0,75 | 0,5 | | | | — | — | 0,75 | — |
| 39 | 39,5 | | — | — | — | 0,5 | 66 | 65 | | — | 1 | 0,75 | — |
| 40 | | | — | 1 | 0,75 | 0,5 | | | | — | 1 | 0,75 | — |

Tabela 10.4 (continuare). Diametre de la 67 la 120 mm

| Diametrul exterior, d | | | Pasul filetelui, p | | | Diametrul exterior, d | | | Pasul filetelui, p | | |
|-------------------------|---------|---------|----------------------|---|------|-------------------------|---------|---------|----------------------|--------|------|
| Șirul 1 | Șirul 2 | Șirul 3 | 1,5 | 1 | 0,75 | Șirul 1 | Șirul 2 | Șirul 3 | 1 | 1 | 0,75 |
| 70 | 68 | (67) | — | 1 | 0,75 | 92 | (91) | — | 1 | 0,75 | 0,75 |
| | | (69) | — | — | 0,75 | | | 1,5 | 1 | 0,75 | 0,75 |
| | | (60) | — | 1 | 0,75 | | | — | 1 | 0,75 | 0,75 |
| | | (60) | — | 1 | 0,75 | | | — | 1 | 0,75 | 0,75 |
| 75 | 72 | (71) | — | 1 | 0,75 | 96 | (97) | — | 1 | 0,75 | 0,75 |
| | | (73) | — | — | 0,75 | | | 1,5 | 1 | 0,75 | 0,75 |
| | | (74) | — | 1 | 0,75 | | | — | 1 | 0,75 | 0,75 |
| | | (74) | — | 1 | 0,75 | | | — | 1 | 0,75 | 0,75 |
| 80 | 76 | (77) | — | 1 | 0,75 | 102 | (101) | — | 1 | 0,75 | 0,75 |
| | | (77) | — | — | 0,75 | | | 1,5 | 1 | (0,75) | 0,75 |
| | | (79) | 1,5 | 1 | 0,75 | | | — | 1 | (0,75) | 0,75 |
| | | (79) | — | 1 | 0,75 | | | — | 1 | 0,75 | 0,75 |
| 85 | 82 | (81) | — | 1 | 0,75 | 106 | (110) | — | 1 | (0,75) | 0,75 |
| | | (83) | — | 1 | 0,75 | | | 1,5 | 1 | 0,75 | 0,75 |
| | | (84) | — | 1 | 0,75 | | | — | 1 | 0,75 | 0,75 |
| | | (84) | — | 1 | 0,75 | | | 1,5 | 1 | — | — |
| 90 | 88 | (86) | — | 1 | 0,75 | 114 | 116 | — | 1 | — | — |
| | | (87) | — | 1 | 0,75 | | | — | 1 | — | — |
| | | (89) | 1,5 | 1 | 0,75 | | | 1,5 | 1 | — | — |
| | | (89) | — | 1 | 0,75 | | | — | 1 | — | — |

Diametre de la 122 la 200 mm

| Diametrul exterior, d | | | Pasul filetelui, p | | Diametrul exterior, d | | | Pasul filetelui, p | |
|-------------------------|---------|---------|----------------------|---|-------------------------|---------|---------|----------------------|---|
| Șirul 1 | Șirul 2 | Șirul 3 | 1,5 | 1 | Șirul 1 | Șirul 2 | Șirul 3 | 1,5 | 1 |
| 130 | 125 | 122 | 1,5 | 1 | 165 | 162 | 162 | 1,5 | — |
| | | 128 | — | 1 | | | 168 | 1,5 | — |
| | | 132 | 1,5 | 1 | | | 172 | 1,5 | — |
| | | 138 | — | 1 | | | 178 | 1,5 | — |
| 140 | 135 | 132 | 1,5 | 1 | 175 | 172 | 172 | 1,5 | — |
| | | 138 | — | 1 | | | 178 | 1,5 | — |
| | | 142 | 1,5 | 1 | | | 182 | 1,5 | — |
| | | 148 | — | 1 | | | 188 | 1,5 | — |
| 150 | 145 | 142 | 1,5 | 1 | 185 | 182 | 182 | 1,5 | — |
| | | 148 | — | 1 | | | 188 | 1,5 | — |
| | | 152 | 1,5 | 1 | | | 192 | 1,5 | — |
| | | 158 | — | 1 | | | 198 | 1,5 | — |
| 160 | 155 | 152 | 1,5 | — | 195 | 192 | 192 | 1,5 | — |
| | | 158 | — | — | | | 198 | 1,5 | — |
| | | 162 | 1,5 | — | | | 202 | 1,5 | — |
| | | 168 | — | — | | | 208 | 1,5 | — |

Tabela 10.4 (continuare)

Diametre de la 202 m la 400 mm

| Diametrul exterior, d | | | Pasul filetelui, p | Diametrul exterior, d | | | Pasul filetelui, p |
|-------------------------|---------|---------|----------------------|-------------------------|---------|---------|----------------------|
| Șirul 1 | Șirul 2 | Șirul 3 | 2 | Șirul 1 | Șirul 2 | Șirul 3 | 2 |
| 210 | 205 | 202 | 2 | 270 | 265 | 262 | 2 |
| | | 208 | 2 | | | 268 | 2 |
| | | 212 | 2 | | | 272 | 2 |
| | | 218 | 2 | | | 278 | 2 |
| 220 | 215 | 222 | 2 | 280 | 275 | 282 | 2 |
| | | 228 | 2 | | | 288 | 2 |
| | | 232 | 2 | | | 292 | 2 |
| | | 238 | 2 | | | 298 | 2 |
| 230 | 225 | 232 | 2 | 290 | 285 | 292 | 2 |
| | | 238 | 2 | | | 298 | 2 |
| | | 242 | 2 | | | 302 | 2 |
| | | 248 | 2 | | | 308 | 2 |
| 240 | 235 | 242 | 2 | 300 | 295 | 302 | 2 |
| | | 248 | 2 | | | 308 | 2 |
| | | 252 | 2 | | | 312 | 2 |
| | | 258 | 2 | | | 318 | 2 |
| 250 | 245 | 252 | 2 | 310 | 305 | 312 | 2 |
| | | 258 | 2 | | | 318 | 2 |
| | | 262 | 2 | | | 318 | 2 |
| | | 268 | 2 | | | 318 | 2 |
| 260 | 255 | 262 | 2 | 320 | 315 | 318 | 2 |
| | | 268 | 2 | | | 318 | 2 |
| | | 272 | 2 | | | 318 | 2 |
| | | 278 | 2 | | | 318 | 2 |

Tabela 10.4 (continuare)

| Diametrul filetelui | | | Pasul filetelui p | Înălțimea filetelui H_1 | Diametrele filetelui | | | Pasul filetelui p | Înălțimea filetelui H_1 |
|---------------------|-------------------|----------------------|---------------------|---------------------------|----------------------|-------------------|----------------------|---------------------|---------------------------|
| exterior $d = D$ | mediu $D_2 = d_2$ | interior $d_1 = D_1$ | | | exterior $D = d$ | mediu $D_2 = d_2$ | interior $D_1 = d_1$ | | |
| 10 | 9,026 | 8,376 | 1,5 | 0,812 | 33 | 30,727 | 29,211 | 3,5 | 1,894 |
| 11 | 10,026 | 9,376 | (1,5) | 0,812 | 36 | 33,402 | 31,670 | 4 | 2,165 |
| 12 | 10,863 | 10,106 | 1,75 | 0,947 | 39 | 36,402 | 34,670 | 4 | 2,165 |
| 14 | 12,701 | 11,835 | 2 | 1,083 | 42 | 39,077 | 37,129 | 4,5 | 2,436 |
| 16 | 14,701 | 13,835 | 2 | 1,083 | 45 | 42,077 | 40,129 | 4,5 | 2,436 |
| 18 | 16,376 | 15,294 | 2,5 | 1,353 | 48 | 44,752 | 42,587 | 5 | 2,706 |
| 20 | 18,376 | 17,294 | 2,5 | 1,353 | 52 | 48,752 | 46,587 | 5 | 2,706 |
| 22 | 20,376 | 19,294 | 2,5 | 1,353 | 56 | 52,428 | 50,046 | 5,5 | 2,977 |
| 24 | 22,501 | 20,752 | 3 | 1,624 | 60 | 56,428 | 54,046 | (5,5) | 2,977 |
| 27 | 25,051 | 23,752 | 3 | 1,624 | 64 | 60,103 | 57,505 | 6 | 3,248 |
| 30 | 27,727 | 26,211 | 3,5 | 1,894 | 68 | 64,103 | 61,505 | 6 | 3,248 |

Observații la tabela 10.4. 1. Profilul filetelui, conform STAS 6371-73. 2. Forma fundului filetelui la piuliță deasupra diametrului $D = d$ poate fi teșită plan sau rotunjită. 3. Forma fundului filetelui la șurub, în spațiul limitat de diametrele $d_1 = D_1$ și d_2 (vezi figura de detaliu), poate fi teșită plan sau rotunjită cu $r = H/6 = 0,14434 p$. 4. Diametrele și pașii conform STAS 981-74. 5. Filetele la care pasul este în paranteză se vor evita pe cât posibil.

Tabela 10.5. Dimensiuni nominale ale filetelor metrice ISO de uz general (STAS 510-74)

| Diametrul nominal al filetelui | Pas P | Dimensiuni nominale | | | Diametrul nominal al filetelui | Pas P | Dimensiuni nominale | | |
|--------------------------------|------------------|---------------------|-------------------------|-------------------------|--------------------------------|--|---------------------|--|--|
| | | $D = d$ | $D_2 = d_2$ | $D_1 = d_1$ | | | $D = d$ | $D_2 = d_2$ | $D_1 = d_1$ |
| 1,0 | 0,25 0,2 | 1,000 | 0,838 0,870 | 0,729 0,783 | 7,0 | 1 0,75 0,5 | 7,000 | 6,350 6,513 6,675 | 5,917 6,188 6,459 |
| 1,1 | 0,25 0,2 | 1,100 | 0,938 0,970 | 0,829 0,883 | 8,0 | 1,25 1 0,75 0,5 | 8,000 | 7,188 7,350 7,513 7,675 | 6,647 6,917 7,188 7,459 |
| 1,2 | 0,25 0,2 | 1,200 | 1,038 1,070 | 0,929 0,983 | 9,0 | 1,25 1 0,75 0,5 | 9,000 | 8,188 8,350 8,513 8,675 | 7,647 7,917 8,188 8,459 |
| 1,4 | 0,3 0,2 | 1,400 | 1,205 1,270 | 1,075 1,183 | 10,0 | 1,5 1,25 1 0,75 0,5 | 10,000 | 9,026 9,188 9,350 9,513 9,675 | 8,379 8,647 8,917 9,188 9,459 |
| 1,6 | 0,35 0,2 | 1,600 | 1,373 1,470 | 1,221 1,383 | 11,0 | 1,5 1 0,75 0,5 | 11,000 | 10,026 10,350 10,513 10,675 | 9,376 9,917 10,188 10,459 |
| 1,8 | 0,35 0,2 | 1,800 | 1,573 1,670 | 1,421 1,583 | 12,0 | 1,5 1,5 1,25 1 0,75 0,5 | 12,000 | 10,863 11,026 11,188 11,350 11,513 11,675 | 10,106 10,376 10,647 10,917 11,188 11,459 |
| 2,0 | 0,4 0,25 | 2,000 | 1,740 1,838 | 1,567 1,729 | 14,0 | 2 1,5 1,25 1 0,75 0,5 | 14,000 | 12,701 13,026 13,188 13,350 13,513 13,675 | 11,825 12,376 12,647 12,917 13,188 13,459 |
| 2,2 | 0,45 0,25 | 2,200 | 1,908 2,038 | 1,713 1,929 | 15,0 | 1,5 1,5 1 | 15,000 | 14,026 14,350 | 13,376 13,917 |
| 2,5 | 0,45 0,35 | 2,500 | 2,208 2,273 | 2,013 2,121 | | | | | |
| 3,0 | 0,5 0,35 | 3,000 | 2,675 2,773 | 2,459 2,621 | | | | | |
| 3,5 | 0,6 0,35 | 3,500 | 3,110 3,273 | 2,850 3,121 | | | | | |
| 4,0 | 0,7 0,5 | 4,000 | 3,545 3,675 | 3,242 3,459 | | | | | |
| 4,5 | 0,75 0,5 | 4,500 | 4,013 4,175 | 3,688 3,959 | | | | | |
| 5,0 | 0,8 0,5 | 5,000 | 4,480 4,675 | 4,134 4,459 | | | | | |
| 5,5 | 0,5 | 5,500 | 5,175 | 4,959 | | | | | |
| 6,0 | 1 0,75 0,5 | 6,000 | 5,350 5,513 5,675 | 4,917 5,188 5,459 | | | | | |

Tabela 10.5 (continuare)

| Diametrul nominal al filetelui | Pas P | Dimensiuni nominale | | | Diametrul nominal al filetelui | Pas P | Dimensiuni nominale | | |
|--------------------------------|-------------------------------------|---------------------|--|--|--------------------------------|-----------------------------------|---------------------|--|--|
| | | $D = d$ | $D_2 = d_2$ | $D_1 = d_1$ | | | $D = d$ | $D_2 = d_2$ | $D_1 = d_1$ |
| 16,0 | 2 1,5 1 0,75 0,5 | 16,000 | 14,701 15,026 15,350 15,513 15,675 | 13,835 14,376 14,917 15,188 15,459 | 30,0 | 3,5 3 2 1,5 1 0,75 | 30,000 | 27,727 28,051 28,701 29,026 29,350 29,513 | 26,211 26,752 27,835 28,376 28,917 29,188 |
| 17,0 | 1,5 1 | 17,000 | 16,026 16,350 | 15,376 15,917 | 32,0 | 2 1,5 | 32,000 | 30,701 21,026 | 29,835 30,376 |
| 18,0 | 2,5 2 1,5 1 0,75 0,5 | 18,000 | 16,376 16,701 17,026 17,350 17,513 17,675 | 15,294 15,835 16,376 16,917 17,188 17,459 | 33,0 | 3,5 3 2 1,5 1 0,75 | 33,000 | 30,727 31,051 31,701 32,026 32,350 32,513 | 29,211 29,752 30,835 31,376 31,917 32,188 |
| 20,0 | 2,5 2 1,5 1 0,75 0,5 | 20,000 | 18,376 18,701 19,026 19,350 19,513 19,675 | 17,294 17,835 18,376 18,917 19,188 19,459 | 35,0 | 1,5 | 35,000 | 34,026 | 33,376 |
| 22,0 | 2,5 2 1,5 1 0,75 0,5 | 22,000 | 20,376 20,701 21,026 21,350 21,513 21,675 | 19,294 19,835 20,376 20,917 21,188 21,459 | 36,0 | 4 3 2 1,5 1 | 36,000 | 33,402 34,051 34,701 35,026 35,350 | 31,670 32,752 33,835 34,376 34,917 |
| 24,0 | 3 2 1,5 1 0,75 | 24,000 | 22,051 22,701 23,026 23,350 23,513 | 20,752 21,835 22,376 22,917 23,188 | 38,0 | 1,5 | 38,000 | 37,026 | 36,376 |
| 25,0 | 2 1,5 1 | 25,000 | 23,701 24,026 24,350 | 22,835 23,376 23,917 | 39,0 | 4 3 2 1,5 1 | 39,000 | 36,402 37,051 37,701 38,026 38,350 | 34,670 35,752 36,835 37,376 37,917 |
| 26,0 | 1,5 3 2 | 26,000 | 25,026 25,051 25,701 | 24,376 23,752 24,835 | 40,0 | 3 2 1,5 | 40,000 | 38,051 38,701 39,026 | 36,752 37,835 38,376 |
| 27,0 | 1,5 1 0,75 | 27,000 | 26,026 26,350 26,513 | 25,376 25,917 26,188 | 42,0 | 4,5 4 3 2 1,5 1 | 42,000 | 39,077 39,402 40,051 40,701 41,026 41,350 | 37,129 37,670 38,752 39,835 40,376 40,917 |
| 28,0 | 2 1,5 1 | 28,000 | 26,701 27,026 27,350 | 25,835 26,376 26,917 | 45,0 | 4,5 4 3 2 1,5 1 | 45,000 | 42,077 42,402 43,051 43,701 44,026 44,350 | 40,129 40,670 41,752 42,835 43,376 43,917 |

Tabela 10.5 (continuare)

| Diametrul nominal al filetului | Pas P | Dimensiuni nominale | | | Diametrul nominal al filetului | Pas P | Dimensiuni nominale | | |
|--------------------------------|-------|---------------------|-------------|-------------|--------------------------------|-------|---------------------|-------------|-------------|
| | | $D = d$ | $D_2 = d_2$ | $D_1 = d_1$ | | | $d = D$ | $D_2 = d_2$ | $D_1 = d_1$ |
| 48,0 | 5 | 48,000 | 44,752 | 42,587 | 64,0 | 6 | 64,000 | 60,103 | 57,505 |
| | 4 | | 45,402 | 43,670 | | 4 | | 61,402 | 59,670 |
| | 3 | | 46,051 | 44,752 | | 3 | | 62,051 | 60,752 |
| | 2 | | 46,701 | 45,835 | | 2 | | 62,701 | 61,835 |
| | 1,5 | | 47,026 | 46,376 | | 1,5 | | 63,026 | 62,376 |
| 50,0 | 1 | 50,000 | 47,350 | 46,917 | | 1 | 50,000 | 63,350 | 62,917 |
| | 3 | | 48,051 | 46,752 | 65,0 | 4 | | 62,402 | 60,670 |
| | 2 | | 48,701 | 47,835 | | 3 | | 63,051 | 61,752 |
| | 1,5 | | 49,026 | 48,376 | | 2 | | 63,701 | 62,835 |
| | 1 | | | | | 1,5 | | 64,026 | 63,376 |
| 52,0 | 5 | 52,000 | 48,752 | 46,587 | 68,0 | 6 | 68,000 | 64,103 | 61,505 |
| | 4 | | 49,402 | 47,670 | | 4 | | 65,402 | 63,670 |
| | 3 | | 50,051 | 48,752 | | 3 | | 66,051 | 64,752 |
| | 2 | | 50,701 | 49,835 | | 2 | | 66,701 | 65,835 |
| | 1,5 | | 51,026 | 50,376 | | 1,5 | | 67,026 | 66,376 |
| 55,0 | 1 | 55,000 | 51,350 | 50,917 | | 1 | 70,000 | 67,350 | 66,917 |
| | 4 | | 52,402 | 50,670 | 70,0 | 6 | | 66,103 | 63,505 |
| | 3 | | 53,051 | 51,752 | | 4 | | 67,402 | 65,670 |
| | 2 | | 53,701 | 52,835 | | 3 | | 68,051 | 66,752 |
| | 1,5 | | 54,026 | 53,376 | | 2 | | 68,701 | 67,835 |
| 56,0 | 1 | 56,000 | | | | 1,5 | | 69,026 | 68,376 |
| | 5,5 | | 52,428 | 50,046 | 72,0 | 6 | 72,000 | 68,103 | 65,505 |
| | 4 | | 53,402 | 51,670 | | 4 | | 69,402 | 67,670 |
| | 3 | | 54,051 | 52,752 | | 3 | | 70,051 | 68,752 |
| | 2 | | 54,701 | 53,835 | | 2 | | 70,701 | 69,835 |
| | 1,5 | | 55,026 | 54,376 | | 1,5 | | 71,026 | 70,376 |
| 58,0 | 1 | 58,000 | 55,350 | 54,917 | | 1 | 75,000 | 71,350 | 70,917 |
| | 4 | | 55,402 | 53,670 | 75,0 | 4 | | 72,402 | 70,670 |
| | 3 | | 56,051 | 54,752 | | 3 | | 73,051 | 71,752 |
| | 2 | | 56,701 | 55,835 | | 2 | | 73,701 | 72,835 |
| | 1,5 | | 57,026 | 56,376 | | 1,5 | | 74,026 | 73,376 |
| 60,0 | 1 | 60,000 | | | 76,0 | 6 | 76,000 | 72,103 | 69,505 |
| | 5,5 | | 56,428 | 54,046 | | 4 | | 73,402 | 71,670 |
| | 4 | | 57,402 | 55,670 | | 3 | | 74,051 | 72,752 |
| | 3 | | 58,051 | 56,752 | | 2 | | 74,701 | 73,835 |
| | 2 | | 58,701 | 57,835 | | 1,5 | | 75,026 | 74,376 |
| 62,0 | 1,5 | 62,000 | 59,026 | 58,376 | | 1 | 78,000 | 75,350 | 74,917 |
| | 1 | | 59,350 | 58,917 | 80,0 | 4 | | 76,402 | 73,505 |
| | 4 | | 59,402 | 57,670 | | 3 | | 77,402 | 75,670 |
| | 3 | | 60,051 | 58,752 | | 2 | | 78,051 | 76,752 |
| | 2 | | 60,701 | 59,835 | | 1,5 | | 78,701 | 77,835 |
| | 1,5 | | 61,026 | 60,376 | | 1 | | 79,026 | 78,376 |
| | | | | | | | | 79,350 | 78,917 |

Tabela 10.5 (continuare)

| Diametrul nominal al filetului | Pas P | Dimensiuni nominale | | | Diametrul nominal al filetului | Pas P | Dimensiuni nominale | | |
|--------------------------------|-------|---------------------|-------------|-------------|--------------------------------|-------|---------------------|-------------|-------------|
| | | $D = d$ | $D_2 = d_2$ | $D_1 = d_1$ | | | $D = d$ | $D_2 = d_2$ | $D_1 = d_1$ |
| 82,0 | 2 | 82,000 | 80,701 | 79,835 | 125,0 | 6 | 125,000 | 121,103 | 118,505 |
| | 6 | | 81,103 | 78,505 | | 4 | | 122,402 | 120,670 |
| | 4 | | 82,402 | 80,670 | | 3 | | 123,051 | 121,752 |
| | 3 | | 83,051 | 81,752 | | 2 | | 123,701 | 122,835 |
| | 2 | | 83,701 | 82,835 | | 1,5 | | 124,026 | 123,376 |
| 85,0 | 1,5 | 85,000 | 84,026 | 83,376 | 130,0 | 6 | 130,000 | 126,103 | 123,550 |
| | 6 | | 86,103 | 83,505 | | 4 | | 127,402 | 125,670 |
| | 4 | | 87,402 | 85,670 | | 3 | | 128,051 | 126,752 |
| | 3 | | 88,051 | 86,752 | | 2 | | 128,701 | 127,835 |
| | 2 | | 88,701 | 87,835 | | 1,5 | | 129,026 | 128,376 |
| 90,0 | 1,5 | 90,000 | 89,026 | 88,376 | 135,0 | 6 | 135,000 | 131,103 | 128,505 |
| | 6 | | 91,103 | 88,505 | | 4 | | 132,402 | 130,670 |
| | 4 | | 92,402 | 90,670 | | 3 | | 133,051 | 131,752 |
| | 3 | | 93,051 | 91,752 | | 2 | | 133,701 | 132,835 |
| | 2 | | 93,701 | 92,835 | | 1,5 | | 134,026 | 133,376 |
| 95,0 | 1,5 | 95,000 | 94,026 | 93,376 | 140,0 | 6 | 140,000 | 136,103 | 133,505 |
| | 6 | | 96,103 | 93,505 | | 4 | | 137,402 | 135,670 |
| | 4 | | 97,402 | 95,670 | | 3 | | 138,051 | 136,752 |
| | 3 | | 98,051 | 96,752 | | 2 | | 138,701 | 137,835 |
| | 2 | | 98,701 | 97,835 | | 1,5 | | 139,026 | 138,376 |
| 100,0 | 1,5 | 100,000 | 99,026 | 98,376 | 145,0 | 6 | 145,000 | 141,103 | 138,505 |
| | 6 | | 101,103 | 98,505 | | 4 | | 142,402 | 140,670 |
| | 4 | | 102,402 | 100,670 | | 3 | | 143,051 | 141,752 |
| | 3 | | 103,051 | 101,752 | | 2 | | 143,701 | 142,835 |
| | 2 | | 103,701 | 102,835 | | 1,5 | | 144,026 | 143,376 |
| 105,0 | 1,5 | 105,000 | 104,026 | 103,376 | 150,0 | 6 | 150,000 | 144,804 | 141,340 |
| | 6 | | 106,103 | 103,505 | | 4 | | 146,103 | 143,505 |
| | 4 | | 107,402 | 105,670 | | 3 | | 147,402 | 145,670 |
| | 3 | | 108,051 | 106,752 | | 2 | | 148,051 | 146,752 |
| | 2 | | 108,701 | 107,835 | | 1,5 | | 148,701 | 147,835 |
| 110,0 | 1,5 | 110,000 | 109,026 | 108,376 | 155,0 | 6 | 155,000 | 149,026 | 148,376 |
| | 6 | | 111,103 | 108,505 | | 4 | | 151,103 | 148,505 |
| | 4 | | 112,402 | 110,670 | | 3 | | 152,402 | 150,670 |
| | 3 | | 113,051 | 111,752 | | 2 | | 153,051 | 151,752 |
| | 2 | | 113,701 | 112,835 | | 1,5 | | 153,701 | 152,835 |
| 115,0 | 1,5 | 115,000 | 114,026 | 113,376 | 160,0 | 6 | 160,000 | 154,804 | 151,340 |
| | 6 | | 116,103 | 113,505 | | 4 | | 156,103 | 153,505 |
| | 4 | | 117,402 | 115,670 | | 3 | | 157,402 | 155,670 |
| | 3 | | 118,051 | 116,752 | | 2 | | 158,051 | 156,752 |
| | 2 | | 118,701 | 117,835 | | 1,5 | | 158,701 | 157,835 |
| 120,0 | 1,5 | 120,000 | 119,026 | 118,376 | 165,0 | 6 | 165,000 | 161,103 | 158,505 |
| | 6 | | 121,103 | 118,505 | | 4 | | 162,402 | 160,670 |
| | 4 | | 122,402 | 120,670 | | 3 | | 163,051 | 161,752 |
| | 3 | | 123,051 | 121,752 | | 2 | | 163,701 | 162,835 |
| | 2 | | 123,701 | 122,835 | | 1,5 | | | |

Tabela 10.5 (continuare)

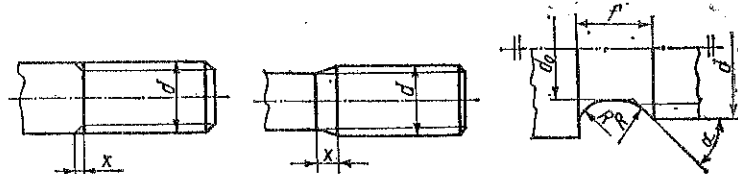
| Diametrul nominal al filetului | Pas P | Dimensiuni nominale | | |
|--------------------------------|-------|---------------------|---------------------------------|---------------------------------|
| | | D = d | D ₂ = d ₂ | D ₁ = d ₁ |
| 170,0 | 8 | 170,000 | 164,804 | 161,340 |
| | 6 | | 166,103 | 163,505 |
| | 4 | | 167,402 | 165,670 |
| | 3 | | 168,051 | 166,752 |
| | 2 | | 168,701 | 167,835 |
| 175,0 | 6 | 175,000 | 171,103 | 168,505 |
| | 4 | | 172,402 | 170,670 |
| | 3 | | 173,051 | 171,752 |
| | 2 | | 173,701 | 172,835 |
| 180,0 | 8 | 180,000 | 174,804 | 171,340 |
| | 6 | | 176,103 | 173,505 |
| | 4 | | 177,402 | 175,670 |
| | 3 | | 178,051 | 176,752 |
| | 2 | | 178,701 | 177,835 |
| 185,0 | 6 | 185,000 | 181,103 | 178,505 |
| | 4 | | 182,402 | 180,670 |
| | 3 | | 183,051 | 181,752 |
| | 2 | | 183,701 | 182,835 |
| 190,0 | 8 | 190,000 | 184,804 | 181,340 |
| | 6 | | 186,103 | 183,505 |
| | 4 | | 187,402 | 185,670 |
| | 3 | | 188,051 | 186,752 |
| | 2 | | 188,701 | 187,835 |
| 195,0 | 6 | 195,000 | 191,103 | 188,505 |
| | 4 | | 192,402 | 190,670 |
| | 3 | | 193,051 | 191,752 |
| | 2 | | 193,701 | 192,835 |
| 200,0 | 8 | 200,000 | 194,804 | 191,340 |
| | 6 | | 196,103 | 193,505 |
| | 4 | | 197,402 | 195,670 |
| | 3 | | 198,051 | 196,752 |
| | 2 | | 198,701 | 197,835 |
| 205,0 | 6 | 205,000 | 201,103 | 198,505 |
| | 4 | | 202,402 | 200,670 |
| | 3 | | 203,051 | 201,752 |
| | 2 | | 203,701 | 202,835 |
| 210,0 | 8 | 210,000 | 204,804 | 201,340 |
| | 6 | | 206,103 | 203,505 |
| | 4 | | 207,402 | 205,670 |
| | 3 | | 208,051 | 206,752 |
| | 2 | | 208,701 | 207,835 |
| 215,0 | 6 | 215,000 | 211,103 | 208,505 |
| | 4 | | 212,402 | 210,670 |
| | 3 | | 213,051 | 211,752 |
| | 2 | | 213,701 | 212,835 |

Tabela 10.5 (continuare)

| Diametrul nominal al filetului | Pas P | Dimensiuni nominale | | |
|--------------------------------|-------|---------------------|---------------------------------|---------------------------------|
| | | D = d | D ₂ = d ₂ | D ₁ = d ₁ |
| 280,0 | 8 | 280,000 | 274,804 | 271,340 |
| | 6 | | 276,103 | 273,505 |
| | 4 | | 277,402 | 275,670 |
| | 3 | | 278,051 | 276,752 |
| 285,0 | 6 | 285,000 | 281,103 | 278,505 |
| | 4 | | 282,402 | 280,670 |
| | 3 | | 283,051 | 281,752 |
| | 2 | | 283,701 | 282,835 |
| 290,0 | 8 | 290,000 | 284,804 | 281,340 |
| | 6 | | 286,103 | 283,505 |
| | 4 | | 287,402 | 285,670 |
| | 3 | | 288,051 | 286,752 |
| 295,0 | 6 | 295,000 | 291,103 | 288,505 |
| | 4 | | 292,402 | 290,670 |
| | 3 | | 293,051 | 291,752 |
| | 2 | | 293,701 | 292,835 |
| 300,0 | 8 | 300,000 | 294,804 | 291,340 |
| | 6 | | 296,103 | 293,505 |
| | 4 | | 297,402 | 295,670 |
| | 3 | | 298,051 | 296,752 |
| 310,0 | 6 | 310,000 | 306,103 | 303,505 |
| | 4 | | 307,402 | 305,670 |
| | 3 | | 308,051 | 309,103 |
| | 2 | | 308,701 | 309,752 |
| 320,0 | 8 | 320,000 | 314,804 | 311,340 |
| | 6 | | 316,103 | 313,505 |
| | 4 | | 317,402 | 315,670 |
| | 3 | | 318,051 | 316,752 |
| 330,0 | 6 | 330,000 | 326,103 | 323,505 |
| | 4 | | 327,402 | 325,670 |
| | 3 | | 328,051 | 329,103 |
| | 2 | | 328,701 | 329,752 |
| 340,0 | 8 | 340,000 | 334,804 | 331,340 |
| | 6 | | 336,103 | 333,505 |
| | 4 | | 337,402 | 335,670 |
| | 3 | | 338,051 | 336,752 |
| 350,0 | 6 | 350,000 | 346,103 | 343,505 |
| | 4 | | 347,402 | 345,670 |
| | 3 | | 348,051 | 349,103 |
| | 2 | | 348,701 | 349,752 |
| 360,0 | 8 | 360,000 | 354,804 | 351,340 |
| | 6 | | 356,103 | 353,505 |
| | 4 | | 357,402 | 355,670 |
| | 3 | | 358,051 | 356,752 |
| 370,0 | 6 | 370,000 | 366,103 | 363,505 |
| | 4 | | 367,402 | 365,670 |
| | 3 | | 368,051 | 369,103 |
| | 2 | | 368,701 | 369,752 |
| 380,0 | 8 | 380,000 | 374,804 | 371,340 |
| | 6 | | 376,103 | 373,505 |
| | 4 | | 377,402 | 375,670 |
| | 3 | | 378,051 | 376,752 |

Tabela 10.6. Ieșirea și degajarea filetului metric (STAS 3508/1-70)

Ieșirea și degajarea filetului metric exterior

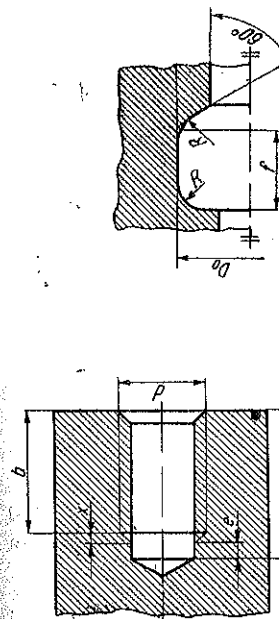


Dimensiuni în mm

| Filet metric cu pasul p | Filet metric normal | Ieșirea filetului | | R | d ₀ h13 | Degajarea filetului | |
|-------------------------|---------------------|-------------------|--------|------|--------------------|---------------------|--------|
| | | normală | scurtă | | | normală | scurtă |
| | | ε max. | ε max. | | | f max. | f max. |
| 0,20 | — | 0,5 | 0,25 | 0,1 | d-0,3 | 0,6 | 0,4 |
| 0,25 | M1; M1,1; M1,2 | 0,6 | 0,3 | 0,12 | d-0,4 | 0,8 | 0,5 |
| 0,30 | M1,4 | 0,8 | 0,4 | 0,16 | d-0,5 | 0,9 | 0,6 |
| 0,35 | M1,6; M1,8 | 0,8 | 0,4 | 0,2 | d-0,6 | 1,1 | 0,7 |
| 0,40 | M2 | 1 | 0,5 | 0,2 | d-0,7 | 1,2 | 0,8 |
| 0,45 | M2,2; M2,5 | 1 | 0,5 | 0,2 | d-0,7 | 1,4 | 0,9 |
| 0,5 | M3 | 1,2 | 0,6 | 0,3 | d-0,8 | 1,5 | 1 |
| 0,6 | M3,5 | 1,6 | 0,8 | 0,3 | d-1 | 1,8 | 1,2 |
| 0,7 | M4 | 1,6 | 0,8 | 0,4 | d-1,1 | 2,1 | 1,4 |
| 0,75 | M4,5 | 2 | 1 | 0,4 | d-1,2 | 2,3 | 1,5 |
| 0,8 | M5 | 2 | 1 | 0,4 | d-1,3 | 2,4 | 1,6 |
| 1 | M6; M7 | 2,5 | 1,2 | 0,5 | d-1,6 | 3 | 2 |
| 1,25 | M8; M9 | 3 | 1,6 | 0,6 | d-2 | 3,8 | 2,5 |
| 1 | M10; M11 | 3,5 | 1,8 | 0,8 | d-2,3 | 4,5 | 3 |
| 1,75 | M12 | 4 | 2 | 1 | d-2,6 | 5,3 | 3,5 |
| 2 | M14; M16 | 5 | 2,5 | 1 | d-3 | 6 | 4 |
| 2,5 | M18; M20; M22 | 6 | 3 | 1,2 | d-3,6 | 7,5 | 5 |
| 3 | M24; M27 | 7 | 3,5 | 1,6 | d-4,4 | 9 | 6 |
| 3,5 | M30; M33 | 8 | 4 | 1,6 | d-5 | 10,5 | 7 |
| 4 | M36; M39 | 10 | 5 | 2 | d-5,7 | 12 | 8 |
| 4,5 | M42; M45 | 11 | 5,5 | 2 | d-6,4 | 13,5 | 9 |
| 5 | M48; M52 | 12 | 6 | 2,5 | d-7 | 15 | 10 |
| 5,5 | M56; M60 | 13 | 6,5 | 3 | d-7,7 | 16,5 | 11 |
| 6 | M64; M68 | 15 | 7,5 | 3 | d-8,3 | 18 | 12 |

Observații. a) Indicații privind utilizarea ieșirii filetului: 1. Ieșirea normală se prescrie în mod curent. 2. Forma ieșirii filetului, la filetele exterioare depinde de tehnologia de prelucrare. 3. Ieșirea scurtă se prescrie în cazuri speciale, ținând seama în special de considerente de montaj sau constructive. 4. Ieșirea lungă, la filetele interioare, se prescrie atunci când se filetează găuri infundate cu tarodul dintr-o singură trecere sau când se filetează materiale greu așchiabile (cu rezistență înaltă). b) Indicații privind utilizarea degajării filetului: 5. Degajarea normală se prescrie în mod curent. 6. La filetele exterioare, forma degajării filetului și unghiul α depinde de tehnologia de prelucrare. 7. Degajarea scurtă se prescrie în cazuri speciale, ținând seama în special de considerente de montaj sau constructive, ca de exemplu la șuruburile cu degajare sub cap.

Tabela 10.6 (continuare). Ieșirea și degajarea filetului metric interior



Dimensiuni în mm

| Filet metric cu pasul p | Filet metric normal | Ieșirea filetului | | R | D ₀ H13 | Degajarea filetului | |
|-------------------------|---------------------|-------------------|--------|---|--------------------|---------------------|--------|
| | | normală | scurtă | | | normală | scurtă |
| | | ε min. | ε min. | | | f max. | f max. |
| 0,20 | — | 0,4 | 0,6 | — | — | — | — |
| 0,25 | M1; M1,1; M1,2 | 0,5 | 0,8 | — | — | — | — |
| 0,30 | M1,4 | 0,6 | 1 | — | — | — | — |
| 0,35 | M1,6; M1,8 | 0,7 | 1 | — | — | — | — |
| 0,40 | M2 | 0,8 | 1,1 | — | — | — | — |
| 0,45 | M2,2; M2,5 | 0,9 | 1,1 | — | — | — | — |
| 0,5 | M3 | 1 | 1,2 | — | — | — | — |
| 0,6 | M3,5 | 1,1 | 1,4 | — | — | — | — |
| 0,7 | M4 | 1,2 | 1,4 | — | — | — | — |
| 0,75 | M4,5 | 1,5 | 1,6 | — | — | — | — |
| 0,8 | M5 | 1,6 | 1,6 | — | — | — | — |
| 1 | M6; M7 | 2 | 2,5 | — | — | — | — |
| 1,25 | M8; M9 | 2,5 | 3 | — | — | — | — |
| 1,5 | M10; M11 | 3 | 3,5 | — | — | — | — |
| 1,75 | M12 | 4 | 4 | — | — | — | — |
| 2 | M14; M16 | 5 | 5 | — | — | — | — |
| 2,5 | M18; M20; M22 | 6 | 6 | — | — | — | — |
| 3 | M24; M27 | 7 | 7 | — | — | — | — |
| 3,5 | M30; M33 | 8 | 8 | — | — | — | — |
| 4 | M36; M39 | 9 | 9 | — | — | — | — |
| 4,5 | M42; M45 | 10 | 10 | — | — | — | — |
| 5 | M48; M52 | 11 | 11 | — | — | — | — |
| 5,5 | M56; M60 | 12 | 12 | — | — | — | — |
| 6 | M64; M68 | 13 | 13 | — | — | — | — |

Profilul filetului pentru țevi este același triunghi isoscel cu unghiul la vîrf de 55° , pe care-l are și filetul în inci normal.

Pasul filetului în inci pentru țevi este mai mic decît la filetul în inci normal și se exprimă prin relația: $p = 25,4/z$.

De aici rezultă că numărul pașilor pe inci $z = 25,4/p$.

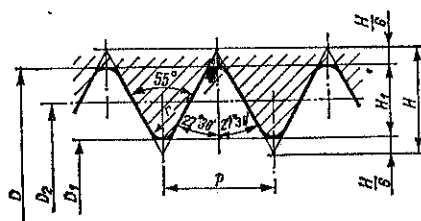
La filetul cilindric pasul este distanța măsurată paralel la axa țevii, între două flancuri consecutive avînd aceeași înclinație; la filetul conic, pasul este proiecția pe axa țevii a distanței între două flancuri consecutive de aceeași înclinație măsurată paralel cu mantaua conului.

Dimensiunile teoretice ale acestui filet sînt redată în tabela 10.7.

Tabela 10.7. Filet pentru țevi cu etanșare în filet (STAS 402—68)

Filetul pentru țevi cu etanșare în filet se folosește numai la țevile filetate și la piesele care se asamblează direct cu țevile filetate (fitinguri, armături, flanșe filetate etc.).

Filet cilindric interior



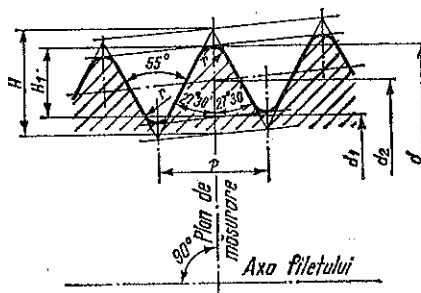
$$p = \frac{25,4}{z}$$

$$H = 0,96049p$$

$$H_1 = 0,640327p$$

$$r = 0,137329p$$

Filet conic exterior
Conicitate 1:16 (6,25%)



$$p = \frac{25,4}{z}$$

$$H = 0,960237p$$

$$H_1 = 0,640327p$$

$$r = 0,137278p$$

Notarea filetului cuprinde simbolul filetului, precedat la filetul conic de litera K și urmat de cel cilindric de litera J (simbolizînd, similar cu sistemul de toleranțe ISO, existența abaterilor simetrice la diametrele filetului).

Exemplu de notare a unui filet exterior G 3/4: KG 3/4

Exemplu de notare a unui filet interior G 3/4: G 3/4 J

Tabela 10.7 (continuare)

| Simbolul filetului | Diametrele nominale corespunzătoare ale țevilor, fittingurilor etc. | Diametrele filetului în planul de măsurare | | | Pasul filetului p | Numărul de pași pe 25,4 mm | Înălți- mea file- tului H ₁ | Raza de racor- dare r |
|---------------------------------|--|---|--|---|-------------------------|-------------------------------------|---|--------------------------------|
| | | exterior d = D | mediu d ₂ = D ₂ | interior d ₁ = D ₁ | | | | |
| G ¹ / ₈ | 6 | 9,728 | 9,147 | 8,566 | 0,907 | 28 | 0,581 | 0,12 |
| G ¹ / ₄ | 8 | 13,157 | 12,301 | 11,445 | 1,337 | 19 | 0,856 | 0,18 |
| G ³ / ₈ | 10 | 16,662 | 15,806 | 14,950 | 1,337 | 19 | 0,856 | 0,18 |
| G ¹ / ₂ | 15 | 20,955 | 19,793 | 18,631 | 1,814 | 14 | 1,162 | 0,25 |
| G ³ / ₄ | 20 | 26,441 | 25,279 | 24,117 | 1,814 | 14 | 1,162 | 0,25 |
| G 1 | 25 | 33,249 | 31,770 | 30,291 | 2,309 | 11 | 1,479 | 0,32 |
| G 1 ¹ / ₄ | 32 | 41,910 | 40,431 | 38,952 | 2,309 | 11 | 1,479 | 0,32 |
| G 1 ¹ / ₂ | 40 | 47,803 | 46,324 | 44,845 | 2,309 | 11 | 1,479 | 0,32 |
| G 2 | 50 | 59,614 | 58,135 | 56,656 | 2,309 | 11 | 1,479 | 0,32 |
| G 2 ¹ / ₂ | 65 | 75,184 | 73,705 | 72,226 | 2,309 | 11 | 1,479 | 0,32 |
| G 3 | 80 | 87,884 | 86,405 | 84,926 | 2,309 | 11 | 1,479 | 0,32 |
| G 3 ¹ / ₂ | — | 100,330 | 98,851 | 97,372 | 2,309 | 11 | 1,479 | 0,32 |
| G 4 | 100 | 113,030 | 111,551 | 110,072 | 2,309 | 11 | 1,479 | 0,32 |
| G 5 | 125 | 138,430 | 136,951 | 135,472 | 2,309 | 11 | 1,479 | 0,32 |
| G 6 | 150 | 163,830 | 162,351 | 160,872 | 2,309 | 11 | 1,479 | 0,32 |

Observații. 1. Bisectoarea unghiului profilului la filetul conic este perpendiculară pe axa filetului. 2. Pasul la filetul conic se măsoară paralel cu axa filetului. 3. Simbolul filetului este convențional; valoarea exprimată de el (în inci) corespunde diametrului nominal al țevii, care la origine reprezenta diametrul interior al acesteia. 4. Filet pentru țevi fără etanșare în filet (filet cilindric exterior și interior), conform STAS 8130—68.

2.3. FILETUL TRAPEZOIDAL

Acest filet înlocuiește cu succes filetul pătrat și dreptunghiular, care prezintă o serie de dezavantaje în construcția și funcționarea pieselor filetate.

Filetul trapezoidal prezintă avantajul de a putea fi frezat și nu numai strunjit, ceea ce nu se poate realiza la filetul pătrat.

Baza filetului fiind mare, asigură filetului o rezistență mai mare decît la filetul pătrat și deci poate rezista în condiții bune la eforturi axiale mari în ambele sensuri.

Profilul de bază al filetelor trapezoidale ISO este profilul teoretic, comun pentru filetul exterior și filetul interior, pe baza căruia se definesc profilul nominal al filetului exterior și cel al filetului interior.

Elementele și dimensiunile profilului de bază sînt prezentate în fig. 10.4 și tabela 10.8; cu notațiile: D — diametrul exterior al filetului interior; d — diametrul exterior al filetului exterior; D₂ — diametrul mediu al filetului interior; d₂ — diametrul mediu al filetului exterior; D₁ — diametrul interior al filetului interior; d₁ — dia-

metrul interior al filetului exterior; p = pasul filetului; H — înălțimea triunghiului generator al filetului; H_1 — înălțimea profilului de bază

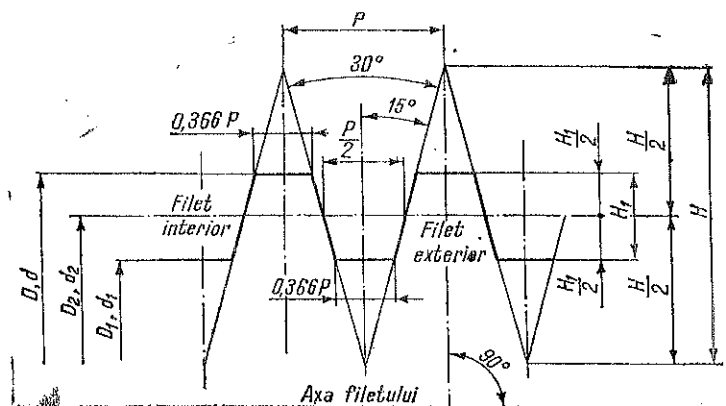


Fig. 10.4. Profilul de bază al filetelor trapezoidale ISO.

Profilele nominale ale filetului exterior și cel al filetului interior sînt profilele care definesc dimensiunile nominale ale filetului (diametrul exterior, diametrul mediu și diametrul interior).

Elementele și dimensiunile profilului nominal ale filetului exterior și ale filetului interior sînt prezentate în fig. 10.5 și tabela 10.9.

Diametrele nominale și pașii corespunzători sînt arătate în STAS 2114/2-75.

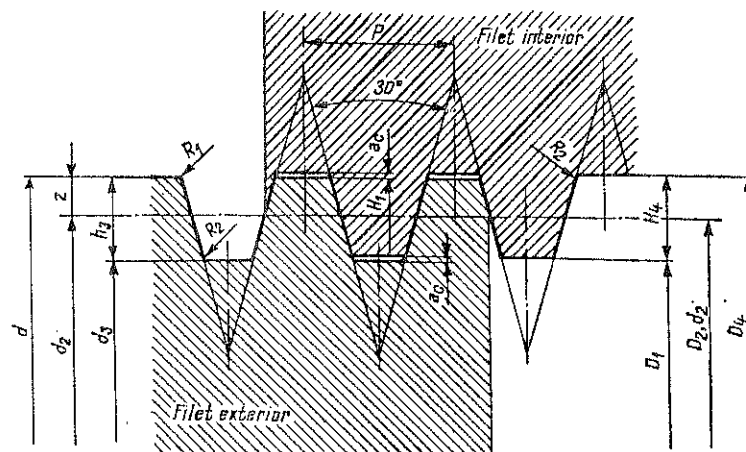


Fig. 10.5.

Tabela 10.8. Dimensiunile profilului de bază la filetele trapezoidale ISO (STAS 2114/1-75)
Dimensiuni în mm

| P | H 1,866 P | H/2 0,933 P | H ₁ 0,5 P | 0,366 P |
|-----|--------------|----------------|-------------------------|---------|
| 1,5 | 2,799 | 1,400 | 0,75 | 0,549 |
| 2 | 3,732 | 1,866 | 1 | 0,732 |
| 3 | 5,598 | 2,799 | 1,5 | 1,098 |
| 4 | 7,464 | 3,732 | 2 | 1,464 |
| 5 | 9,330 | 4,665 | 2,5 | 1,830 |
| 6 | 11,196 | 5,598 | 3 | 2,196 |
| 7 | 13,062 | 6,531 | 3,5 | 2,562 |
| 8 | 14,928 | 7,464 | 4 | 2,928 |
| 9 | 16,794 | 8,397 | 4,5 | 3,294 |
| 10 | 18,660 | 9,330 | 5 | 3,660 |
| 12 | 22,392 | 11,196 | 6 | 4,392 |
| 14 | 26,124 | 13,062 | 7 | 5,124 |
| 16 | 29,856 | 14,928 | 8 | 5,856 |
| 18 | 33,588 | 16,794 | 9 | 6,588 |
| 20 | 37,320 | 18,660 | 10 | 7,320 |
| 22 | 41,052 | 20,526 | 11 | 8,052 |
| 24 | 44,784 | 22,392 | 12 | 8,784 |
| 28 | 52,248 | 26,124 | 14 | 10,248 |
| 32 | 59,712 | 29,856 | 16 | 11,712 |
| 36 | 67,176 | 33,588 | 18 | 13,176 |
| 40 | 74,640 | 37,320 | 20 | 14,640 |
| 44 | 82,104 | 41,052 | 22 | 16,104 |

Tabela 10.9. Dimensiunile profilului nominal la filetele trapezoidale ISO (STAS 2114/1-75)
Dimensiuni în mm

| P | a_c | $H_t = h_p$ | $R_{1 \max}$ | $R_{2 \max}$ |
|-----|-------|-------------|--------------|--------------|
| 1,5 | 0,15 | 0,9 | 0,075 | 0,15 |
| 2 | 0,25 | 1,25 | 0,125 | 0,25 |
| 3 | | 1,75 | | |
| 4 | | 2,25 | | |
| 5 | 0,5 | 2,75 | 0,25 | 0,5 |
| 6 | | 3,5 | | |
| 7 | | 4 | | |
| 8 | | 4,5 | | |
| 9 | | 5 | | |
| 10 | | 5,5 | | |
| 12 | 1 | 6,5 | 0,5 | 1 |
| 14 | | 8 | | |
| 16 | | 9 | | |
| 18 | | 10 | | |
| 20 | | 11 | | |
| 22 | | 12 | | |
| 24 | | 13 | | |
| 28 | | 15 | | |
| 32 | | 17 | | |
| 36 | | 19 | | |
| 40 | | 21 | | |
| 44 | | 23 | | |

Dimensiunile nominale ale filetelor trapezoidale ISO sînt indicate în STAS 2114/3-75.

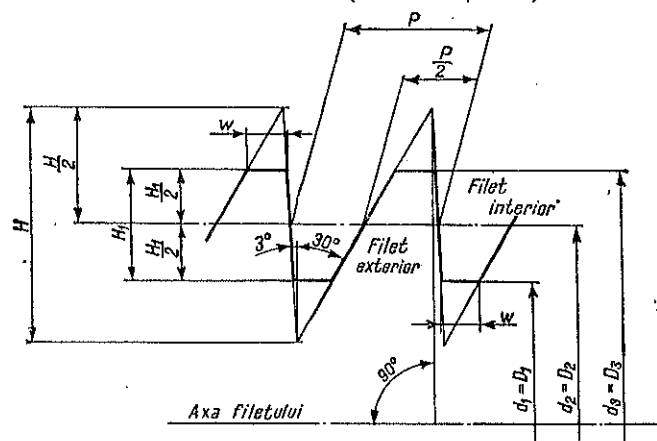
Notarea filetului trapezoidal cu un singur început se face prin simbolul Tr urmat de valoarea diametrului nominal și a pasului, exprimate în mm și separate prin semnul x. Exemplu: Tr 60 × 9.

Filetul trapezoidal cu mai multe începuturi se notează prin simbolul Tr urmat de valoarea diametrului nominal și a pasului elicei, separate prin semnul x, după care se indică simbolul P și valoarea pasului. Exemplu: Tr 60 × 16 P9.

2.4. FILETUL FERĂSTRĂU

Filetul ferăstrău este caracterizat prin înclinarea unuia din flancurile filetului cu 60° față de axa sa și cu 3° față de perpendiculara pe axă a celui alt flanc (de presiune).

Tabela 10.10. Elementele și dimensiunile profilului de bază al filetului ferăstrău (STAS 2234/1-75)



Dimensiuni în mm

| Pas P | H | H/2 | H ₁ | w |
|----------|---------|---------|----------------|----------|
| | 1,5878P | 0,7939 | 0,75P | 0,26384P |
| 2 | 3,1756 | 1,5878 | 1,50 | 0,52768 |
| 3 | 4,7634 | 2,3817 | 2,25 | 1,05536 |
| 4 | 6,3512 | 3,1756 | 3,00 | 1,31920 |
| 5 | 7,9390 | 3,9695 | 3,75 | 1,58304 |
| 6 | 9,5268 | 4,7634 | 4,50 | 1,84688 |
| 7 | 11,1146 | 5,5573 | 5,25 | 2,11072 |
| 8 | 12,7024 | 6,3512 | 6,00 | 2,37456 |
| 9 | 14,2902 | 7,1451 | 6,75 | 2,63840 |
| 10 | 15,8780 | 7,9390 | 7,50 | 3,16608 |
| 12 | 19,0536 | 9,5268 | 9,00 | 3,69376 |
| 14 | 22,2292 | 11,1146 | 10,50 | 4,22144 |
| 16 | 25,4048 | 12,7024 | 12,00 | 4,74912 |
| 18 | 28,5804 | 14,2902 | 13,50 | 5,27680 |
| 20 | 31,7560 | 15,8780 | 15,00 | 5,80548 |
| 22 | 34,9316 | 17,4658 | 16,50 | 6,33216 |
| 24 | 38,1072 | 19,0536 | 18,00 | 7,38752 |
| 28 | 44,4584 | 22,2292 | 21,00 | 8,44288 |
| 32 | 50,8096 | 25,4048 | 24,00 | 9,49824 |
| 36 | 57,1608 | 28,5804 | 27,00 | 10,55360 |
| 40 | 63,5120 | 31,7650 | 30,00 | 11,60896 |
| 44 | 69,8632 | 34,9316 | 33,00 | |

interior sînt profilele care definesc dimensiunile nominale ale filetului (diametrul exterior, diametrul mediu și diametrul interior).

Dimensiunile nominale, diametrele nominale și pașii filetelor ferăstrău cu profile nominale conform STAS 2234/1-75 sînt

Acest filet este folosit de obicei la arborii filetați conducători solicitați la sarcini axiale mari într-un singur sens, cum sînt de exemplu, arborii la presele cu șurub.

Datorită înclinării cu 3° a unui flanc față de perpendiculara la axa filetului, este posibilă prelucrarea acestuia nu numai prin strunjire ci și prin frezare. Pentru evitarea dificultăților de prelucrare, se lasă un joc axial de 0,2 mm.

Profilul de bază al filetelor ferăstrău este profilul teoretic, comun pentru filetul exterior și filetul interior, pe baza căruia se definesc profilul nominal al filetului exterior și cel al filetului interior (tabela 10.10).

Profilul nominal (tabela 10.11) al filetului exterior și cel al filetului

arătate în STAS 2234/2-75.

Tabela 10.11. Elementele și dimensiunile profilului nominal al filetului ferăstrău (STAS 2234/1-75)

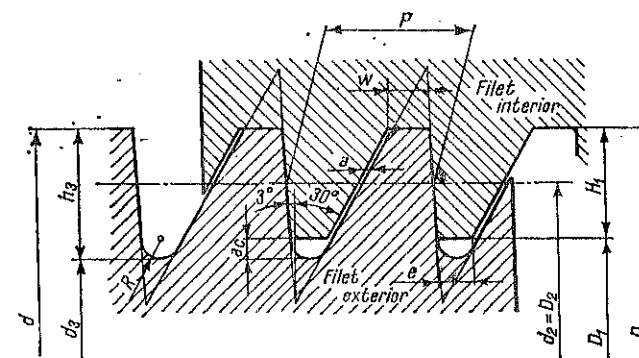
2.5. FILETUL ROTUND

Profilul acestui filet se obține din arce de cerc racordate prin drepte înclinate care reprezintă flancurile filetului. Asemănător filetului trapezoidal, flancurile filetului rotund se intersectează sub un unghi de 30°.

Acest filet se folosește în general la axele filetate pentru ventile, acuplările la gurile de incendiu, precum și la filetele pieselor expuse la deteriorări din cauza loviturilor cum sînt, de exemplu, cuplele vagoanelor de cale ferată.

Pînă în prezent sînt standardizate: filetul rotund normal și filetul rotund pentru șurubul și piulița cuplei de cale ferată normală (STAS 610-74).

Filetul rotund normal pentru ga-



$d = D =$ diametrul nominal al filetului

$D_1 = d - 2H_1 = d - 1,5P$

$D_2 = d - H_1 = d - 0,75P$

$d_1 = d - 2h_1$

$H_1 = 0,75P$

$h_1 = H + a = 0,86777P$

$a_0 = 0,11777P$

$a = 0,1\sqrt{P}$

$w = 0,26384P$

$e = w - a$

$R = 0,12427P$

Dimensiuni în mm

| P | a_c | a | e | h_1 | R |
|----|-------|--------|--------|--------|-------|
| 2 | 0,236 | 0,1414 | 0,386 | 1,736 | 0,249 |
| 3 | 0,353 | 0,1732 | 0,618 | 2,603 | 0,373 |
| 4 | 0,471 | 0,2 | 0,855 | 3,471 | 0,497 |
| 5 | 0,589 | 0,2236 | 1,096 | 4,339 | 0,621 |
| 6 | 0,707 | 0,2449 | 1,338 | 5,207 | 0,746 |
| 7 | 0,824 | 0,2646 | 1,582 | 6,074 | 0,870 |
| 8 | 0,942 | 0,2828 | 1,828 | 6,942 | 0,994 |
| 9 | 1,060 | 0,3 | 2,075 | 7,810 | 1,118 |
| 10 | 1,178 | 0,3162 | 2,322 | 8,678 | 1,243 |
| 12 | 1,413 | 0,3464 | 2,820 | 10,413 | 1,491 |
| 14 | 1,649 | 0,3742 | 3,320 | 12,149 | 1,740 |
| 16 | 1,884 | 0,4 | 3,821 | 13,884 | 1,988 |
| 18 | 2,120 | 0,4243 | 4,325 | 15,620 | 2,237 |
| 20 | 2,355 | 0,4472 | 4,830 | 17,355 | 2,485 |
| 22 | 2,591 | 0,4690 | 5,335 | 19,091 | 2,734 |
| 24 | 2,826 | 0,4899 | 5,842 | 20,826 | 2,982 |
| 28 | 3,298 | 0,5292 | 6,858 | 24,298 | 3,480 |
| 32 | 3,769 | 0,5657 | 7,877 | 27,769 | 3,977 |
| 36 | 4,240 | 0,6 | 8,898 | 31,240 | 4,474 |
| 40 | 4,711 | 0,6325 | 9,921 | 34,711 | 4,971 |
| 44 | 5,182 | 0,6633 | 10,946 | 38,182 | 5,468 |

ma diametrelor de 8—200 mm este standardizat prin STAS 668-49 (tabela 10.12).

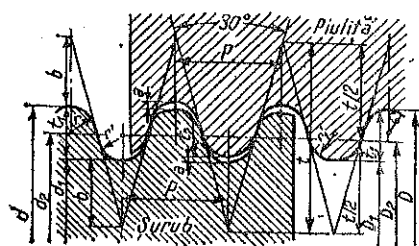
Profilul filetului este format din arce de cerc pentru fundul și virful filetului, racordate între ele prin tangenta lor; cele două tangente formează între ele un unghi de 30°.

Tabela 10.12. Filet rotund normal

Diametre de la 8 la 200 mm

(STAS 668-49)

Dimensiuni în mm



$$p = \frac{25,4}{z}$$

$$t = 1,866 \, 03 \, p$$

$$t_1 = 0,5 \, p$$

$$t_2 = 0,083 \, 50 \, p$$

$$a = 0,05 \, p$$

$$b = 0,683 \, 01 \, p$$

$$r = 0,283 \, 51 \, p$$

$$r'_1 = 0,2555579 \, p$$

$$r' = 0,221 \, 05 \, p$$

$$d_2 = d - t_1$$

$$d_1 = d - 2t_1$$

$$D = d + 2a$$

$$D_2 = d_2$$

$$D_2 = D - 2t_1$$

d — diametrul nominal = diametrul exterior al filetului (la șurub).

| Diametrele filetului | | | | | Numărul de pași pe țol | Pasul | Înălțimea filetului | Jocul | Razele | | |
|----------------------|----------|--------|----------|----------|------------------------|-------|---------------------|-------|--------|---------|-------|
| șurub | | mediu | piuliță | | | | | | șurub | piuliță | |
| exterior | interior | | exterior | interior | | | | | | | |
| d | d_1 | d_2 | D | D_1 | z | p | t_1 | $2a$ | r | r'_1 | r'' |
| (8) | 5,460 | 6,730 | 8,254 | 5,714 | 10 | 2,540 | 1,270 | 0,254 | 0,606 | 0,650 | 0,561 |
| (9) | 6,460 | 7,730 | 9,254 | 6,714 | | | | | | | |
| 10 | 7,460 | 8,730 | 10,254 | 7,714 | | | | | | | |
| (12) | 9,460 | 10,730 | 12,254 | 9,714 | | | | | | | |
| (14) | 10,825 | 12,412 | 14,318 | 11,142 | 8 | 3,175 | 1,588 | 0,318 | 0,757 | 0,813 | 0,702 |
| (16) | 12,825 | 14,412 | 16,318 | 13,142 | | | | | | | |
| (18) | 14,825 | 16,412 | 18,318 | 15,142 | | | | | | | |
| 20 | 16,825 | 18,412 | 20,318 | 17,142 | | | | | | | |
| 22 | 18,825 | 20,412 | 22,318 | 19,142 | | | | | | | |
| 24 | 20,825 | 22,412 | 24,318 | 21,142 | | | | | | | |
| (26) | 22,825 | 24,412 | 26,318 | 23,142 | | | | | | | |
| 28 | 24,825 | 26,412 | 28,318 | 25,142 | | | | | | | |
| 30 | 26,825 | 28,412 | 30,318 | 27,142 | | | | | | | |
| 32 | 28,825 | 30,412 | 32,318 | 29,142 | | | | | | | |
| (34) | 30,825 | 32,412 | 34,318 | 31,142 | 6 | 4,233 | 2,117 | 0,423 | 1,010 | 1,084 | 0,936 |
| 36 | 32,825 | 34,412 | 36,318 | 33,142 | | | | | | | |
| (38) | 34,825 | 36,412 | 38,318 | 35,142 | | | | | | | |
| 40 | 35,767 | 37,883 | 40,423 | 36,190 | | | | | | | |
| (42) | 37,767 | 39,883 | 42,423 | 38,190 | | | | | | | |
| (44) | 39,767 | 41,883 | 44,423 | 40,190 | | | | | | | |
| (46) | 41,767 | 43,883 | 46,423 | 42,190 | | | | | | | |
| 48 | 43,767 | 45,883 | 48,423 | 44,190 | | | | | | | |
| (50) | 45,767 | 47,883 | 50,423 | 46,190 | | | | | | | |

Tabela 10.12 (continuare)

| Diametrul filetului | | | | | Numărul de pași pe țol | Pasul | Înălțimea filetului | Jocul | Razele | | |
|---------------------|----------|---------|----------|----------|------------------------|--------|---------------------|-------|--------|---------|-------|
| șurub | | mediu | piuliță | | | | | | șurub | piuliță | |
| exterior | interior | | exterior | interior | | | | | | | |
| d | d_1 | d_2 | D | D_1 | z | p | t_1 | $2a$ | r | r'_1 | r' |
| 52 | 47,767 | 49,883 | 52,423 | 48,190 | 6 | 4,233 | 2,117 | 0,423 | 1,010 | 1,084 | 0,936 |
| 55 | 50,767 | 52,883 | 55,423 | 51,190 | | | | | | | |
| (58) | 53,767 | 55,883 | 58,423 | 54,190 | | | | | | | |
| 60 | 55,767 | 57,883 | 60,423 | 56,190 | | | | | | | |
| 61 | 57,767 | 59,883 | 62,423 | 58,190 | | | | | | | |
| 65 | 60,767 | 62,883 | 65,423 | 61,190 | | | | | | | |
| (68) | 63,767 | 65,883 | 68,423 | 64,190 | | | | | | | |
| 70 | 65,767 | 67,883 | 70,423 | 66,190 | | | | | | | |
| (72) | 67,767 | 69,883 | 72,423 | 68,190 | | | | | | | |
| 75 | 70,767 | 72,883 | 75,423 | 71,190 | | | | | | | |
| (78) | 73,767 | 75,883 | 78,423 | 74,190 | 4 | 6,350 | 3,175 | 0,635 | 1,515 | 1,625 | 1,404 |
| 80 | 75,767 | 77,883 | 80,423 | 76,190 | | | | | | | |
| (82) | 77,767 | 79,883 | 82,423 | 78,190 | | | | | | | |
| 85 | 80,767 | 82,883 | 85,423 | 81,900 | | | | | | | |
| (88) | 83,767 | 85,883 | 88,423 | 84,190 | | | | | | | |
| 90 | 85,767 | 87,883 | 90,423 | 86,190 | | | | | | | |
| (92) | 87,767 | 89,883 | 92,423 | 88,190 | | | | | | | |
| 95 | 90,767 | 92,883 | 95,423 | 91,190 | | | | | | | |
| (98) | 93,767 | 95,883 | 98,423 | 94,190 | | | | | | | |
| 100 | 95,767 | 97,883 | 100,423 | 96,190 | | | | | | | |
| (105) | 98,650 | 101,825 | 105,635 | 99,285 | | | | | | | |
| 110 | 103,650 | 106,825 | 110,635 | 104,285 | | | | | | | |
| (115) | 108,650 | 111,825 | 115,635 | 109,285 | | | | | | | |
| 120 | 113,650 | 116,825 | 120,635 | 114,285 | | | | | | | |
| (125) | 118,650 | 121,825 | 125,635 | 119,285 | | | | | | | |
| 130 | 123,650 | 126,825 | 130,635 | 124,285 | | | | | | | |
| (135) | 128,650 | 131,825 | 135,635 | 129,285 | | | | | | | |
| 140 | 133,650 | 136,825 | 140,635 | 134,285 | | | | | | | |
| (145) | 138,650 | 141,825 | 145,635 | 139,285 | | | | | | | |
| 150 | 143,650 | 146,825 | 150,635 | 144,285 | 2 | 12,700 | 6,350 | 0,635 | 1,515 | 1,625 | 1,404 |
| (155) | 148,650 | 151,825 | 155,635 | 149,285 | | | | | | | |
| 160 | 153,650 | 156,825 | 160,635 | 154,285 | | | | | | | |
| (165) | 158,650 | 161,825 | 165,635 | 159,285 | | | | | | | |
| 170 | 163,650 | 166,825 | 170,635 | 164,285 | | | | | | | |
| (175) | 168,650 | 171,825 | 175,635 | 169,285 | | | | | | | |
| 180 | 173,650 | 176,825 | 180,635 | 174,285 | | | | | | | |
| (185) | 178,650 | 181,825 | 185,635 | 179,285 | | | | | | | |
| 190 | 183,650 | 186,825 | 190,635 | 184,285 | | | | | | | |
| (195) | 188,650 | 191,825 | 195,635 | 189,285 | | | | | | | |
| 200 | 193,650 | 196,825 | 200,635 | 194,285 | | | | | | | |

Observații. 1. Diametrele din paranteze se vor evita pe cât posibil. Țolul este considerat la valoarea $1'' = 25,4$ mm. 2. Exemplu de denumire prescurtată a unui filet rotund normal cu diametrul exterior $d = 70$ mm și 6 pași pe țol; pentru filet dreapta; Rd 70; pentru filet stînga: Rd 70 stg. 3. La piesele care sînt prevăzute cu filet dreapta și stînga se adaugă specificarea dr pentru filetul dreapta.

PRELUCRĂRI PRIN ȘTANȚAREA ȘI AMBUSISAREA LA RECE

1. ALEGEREA ȘI CROIREA MATERIALULUI

Pentru ștanțarea la rece se folosesc table, platbande, benzi și semifabricate special decupate.

Platbandele au de obicei lățimi pînă la 200 mm și lungimi de 2 000 mm. Benzile se livrează în rulouri, cu lățimi diferite pînă la 600 mm și cu lungimi de cîțiva zeci de metri; lungimea unei benzi din material subțire, în rulou, ajunge pînă la 300 m.

Dintre metalele neferoase, cuprul, alama și aluminiul sînt cele mai des folosite, deoarece au o plasticitate foarte ridicată și permit astfel confecționarea pieselor prin ambustisare (tragere), profilare, gîtuire etc.

Pentru piesele ambustisate din oțel, se folosesc table de oțel decapate pentru ambustisare conform STAS 1988-65, cu simbolul TDA, precum și benzi de oțel laminat la rece, conform STAS 1945-73.

La produsele care necesită tablă cositorită (de exemplu, bidoane, cutii de conserve, diferite piese și ambalaje, executate prin ștanțare), se recomandă cositorită decapată pentru ambustisare tabela cu simbolul TCA.

Pentru piesele executate din tablă de cupru, materialul recomandat pentru operațiile de ambustisare sînt benzile de cupru conform STAS 427-73, și discurile de cupru, conform STAS 2673-68.

Produsele de alamă se pot confecționa din table de alamă, conform STAS 289-73, benzi de alamă conform STAS 290-73, sau discuri de alamă, conform STAS 2674-67, cu următoarele indicații privind calitatea:

- Am60 și Am63 cu gradul de duritate tare (t) și jumătate tare (1/2 t) pentru operații de ștanțare prin tăiere;
- Am63 cu gradul de duritate moale (m) pentru operații de ambustisare;
- Am70, Am85 și Am90 cu gradul de duritate moale (m) pentru operații de ambustisare adîncă.

Pentru piesele ambustisate din aluminiu, se folosesc table de aluminiu, conform STAS 428-66 și discuri de aluminiu conform STAS 2675-68, cu gradul de duritate moale (m).

În ce privește forma, dimensiunile și toleranțele acestora, materialul, trebuie să satisfacă normele standardelor respective. De asemenea suprafața metalului trebuie să fie perfect netedă, fără cute, crăpături, zgîrieturi adînci, exfolieri, precum și complet lipsită de arsuri, rugină și orice incrustații sau incluziuni nemetalice, atît înainte cît și după ștanțare.

Materialul trebuie uns, în special la operațiile de ambustisare și de calibrare, cu lubrifianți speciali, iar la ștanțarea prin tăiere (decupare, perforare, crestare etc.) se unge de obicei poansonul cu ulei de mașini.

Pentru reducerea la minimum a deșeurilor de material, trebuie realizată o repartizare rațională a pieselor pe bandă și a benzii pe tablă.

După procedeul de ștanțare, croirea se face cu intervale și fără intervale (fig. 11.1).

După sistemul de așezare a pieselor de ștanțat pe bandă, croirea se poate face: drept, înclinat, în opoziție, în mai multe rînduri și combinat (fig. 11.2).

Croirea cu intervale se recomandă la ștanțarea pieselor al căror contur, format din diferite linii, se încadrează în clasele 5—7 de precizie. Croirea fără intervale se utilizează la ștanțarea pieselor cu conturul format din linii drepte, la care se cere clasa a 8-a sau

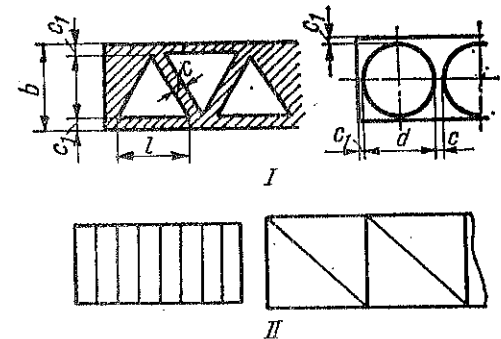


Fig. 11.1. Croirea materialului prin ștanțare cu intervale (I) și fără intervale (II):

d — diametrul piesei; c — intervalul dintre piese; c_1 — intervalul dintre piesă și marginea benzii; b — lățimea benzii; l — lungimea piesei.

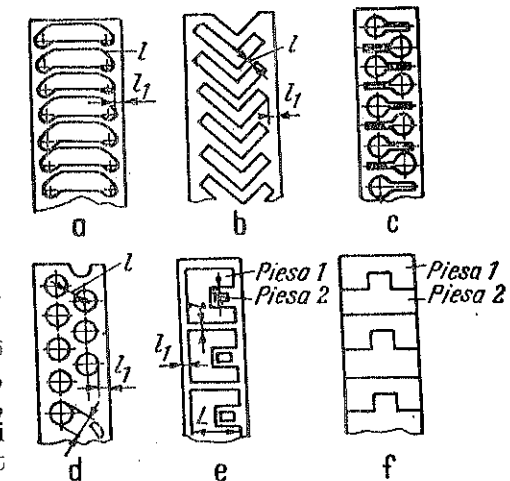


Fig. 11.2. Croirea materialului după procedeul așezării pieselor:

a — drept; b — oblic; c — în opoziție; d — în mai multe rînduri; e și f — combinat; l — intervalul dintre piese; l_1 — intervalul dintre piesă și margine

a 9-a de precizie, condițiile privitoare la calitatea marginilor fiind puțin pretențioase.

În ce privește lățimea l a intervalului dintre piesele care se ștanțază și lățimea l_1 dintre piesă și marginea benzii, acestea variază în funcție de grosimea și caracteristicile mecanice ale materialului, de dimensiunile piesei, precum și de mijlocul de avans și de fixare a benzii. Valorile lățimilor l și l_1 — pentru tabla de oțel, la ștanțele normale, cu avans manual, sînt arătate în tabela 11.1. Pentru ștanțe sim-

Tabela 11.1. Valorile lui l și l_1 pentru table de oțel, la ștanțele normale, cu avans manual al

| Grosimea materialului a , mm | Lățimea intervalului | Lungimea laturii L , respectiv diametrul D al piesei de ștanțat (fig. 11.2) mm | | | | |
|--------------------------------|----------------------|--|-------|--------|---------|---------|
| | | 10 | 10-50 | 50-100 | 100-150 | 150-200 |
| 0,5 | l | 1,5 | 2,0 | 3,0 | 3,5 | 4,0 |
| | l_1 | 1,8 | 2,4 | 3,6 | 4,0 | 4,6 |
| 1,0 | l | 1,0 | 1,75 | 2,0 | 2,5 | 3,0 |
| | l_1 | 1,2 | 2,0 | 2,4 | 3,0 | 3,6 |
| 1,5 | l | 1,5 | 2,0 | 2,5 | 3,0 | 3,5 |
| | l_1 | 1,8 | 2,4 | 3,0 | 3,6 | 4,2 |
| 2,0 | l | 2,0 | 2,5 | 3,0 | 3,5 | 4,0 |
| | l_1 | 2,4 | 3,0 | 3,6 | 4,0 | 4,6 |
| 2,5 | l | 2,0 | 3,0 | 3,5 | 4,0 | 4,5 |
| | l_1 | 2,4 | 3,6 | 4,0 | 4,6 | 5,2 |
| 3,0 | l | 2,4 | 3,5 | 4,0 | 4,5 | 5,0 |
| | l_1 | 2,4 | 4 | 4 | 5,2 | 6,0 |

ple $l = l_1 = 5$ mm, pentru grosimea materialului $g \leq 2$ mm și 6 mm pentru $g \geq 2$ mm. Dacă ștanțarea se face cu avans automat pentru, valorile din tabelă se ia coeficientul de corecție de 0,8—0,9.

Pentru alte materiale, valorile din tabela 11.1 se multiplică cu un coeficient a cărui valoare este:

1—1,1 pentru bronz laminat și alamă tare;
1—1,2 pentru duraluminu;
1,2 pentru alamă moale;
1,3—1,4 pentru aluminiu;
1,5—2 pentru piele, hîrtie, carton etc.

2. DATE PRIVITOARE LA TEHNOLOGIA ȘTANȚĂRII

2.1. DIMENSIUNI MINIME LA DECUPAREA ȘI PERFORAREA PIESELOR

La perforare, dimensiunile găurilor care se pot obține depind de forma acestora și de caracteristicile mecanice ale materialului care se ștanțază. În tabela 11.2 sînt indicate dimensiunile admisibile ale găurilor, în table de oțel moale și de alamă cu grosimi de 1 mm, pentru prelucrări cu ștanțe normale, prevăzute cu poansoane avînd suprafața de lucru plană.

La decuparea pieselor prevăzute în exterior cu proeminențe și scobituri (fig. 11.3), este necesar ca b și h să satisfacă condițiile:

$$b \geq 1,5 g \text{ și } h \geq 1,5 g.$$

Cînd găurile în piese sînt cu proeminențe (fig. 11.4), trebuie să fie satisfăcute relațiile: $b \geq g$ și $h \geq g$.

Dacă în benzi se perforază mai multe găuri, trebuie ca distanțele minime dintre marginile acestora sau dintre marginile găurilor și marginile piesei să aibă cel puțin valorile indicate în tabela 11.3.

Pentru o execuție mai ușoară și o durabilitate mai mare a ștanțelor, este necesar ca laturile conturului decupat al piesei să se îmbine între ele prin curbe line cu raze mai mari. Astfel, pentru laturile care se intersectează sub un unghi $\alpha > 90^\circ$, se recomandă ca raza de curbura a conturului exterior să fie $r \geq 0,25 g$ (g fiind grosimea tablei) și $r \geq 0,5 g$ pentru $\alpha \leq 90^\circ$; în situația unui contur interior, se ia $r \geq 0,3 g$ pentru $\alpha \geq 90^\circ$ și $r \geq 0,6 g$ pentru $\alpha \leq 90^\circ$.

2.2. DIMENSIUNI MINIME LA ÎNDOIREA PIESELOR

La îndoirea pieselor, este necesar ca înălțimea h a aripii îndoite să fie mai mare decît dublul grosimii g a materialului, adică $h > 2g$ (fig. 11.5). În caz contrar este necesar să se execute în prea-

Tabela 11.2. Dimensiunile minime admisibile ale găurilor la perforarea tablei de oțel moale și alamă de 1 mm grosime

| Forma găurii | Schița găurii | Dimensiunea minimă admisibilă |
|-------------------------------|---------------|-------------------------------|
| Cerc | | $D \geq g$ |
| Pătrat | | $L \geq 0,9g$ |
| Dreptunghi | | $b \geq 0,7 g$ |
| Dreptunghi rotunjit la capete | | $b \geq 0,6 g$ |

Fig. 11.3.

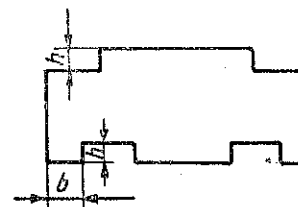


Fig. 11.4.

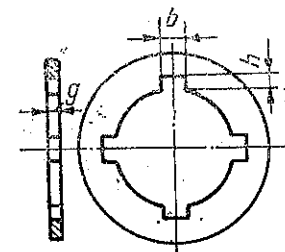


Tabela 11.3. Distanțele minime între marginile găurilor

| Grosimea materialului mm | 0,5 | 0,8 | 1,0 | 1,5 | 2,0 | 3,0 | 4,0 | 5,0 |
|-----------------------------|-----|-----|-----|-----|-----|-----|-----|-----|
| Distanțele minime, mm | 2,0 | 3,0 | 3,5 | 4,5 | 5,0 | 5,0 | 6,0 | 6,0 |

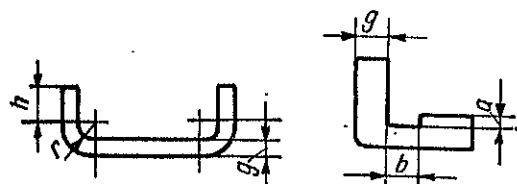


Fig. 11.5.

Fig. 11.6

labil canale (fig. 11.6) cu dimensiunile $a = (0,1 \dots 0,3) g$, însă maximum 0,3 mm, iar $b = 2 \dots 3$ mm, și apoi se îndoaie; o altă soluție constă în confecționarea piesei cu aripi mai lungi, care să se frezeze ulterior după îndoire.

Pentru asigurarea condițiilor optime de îndoire, este necesar ca razele de curbura să nu depășească anumite valori minime, care depind de grosimea și caracteristicile mecanice ale materialului, de unghiul de îndoire și de direcția liniei de îndoire față de direcția de laminare. Raza minimă admisibilă r , la îndoirea pieselor de tablă, este dată de relația: $r = c \cdot g$, în care coeficientul c are valorile indicate în tabela 11.4.

Tabela 11.4. Valorile coeficientului c pentru piese de tablă îndoite la 90° pe direcția laminării

| Materialul | Cupru | Alamă | Alu- miniu | Oțel | | | |
|------------------|-------|-------|---------------|--------|-------|-------|------------|
| | | | | OLC 10 | OL 34 | OL 42 | inoxidabil |
| Coeficientul c | 0,25 | 0,25 | 0,3 | 0,35 | 0,5 | 0,6 | 2 |

2.3. FORȚE NECESARE LA DECUPARE ȘI PERFORARE

Forța necesară pentru decuparea sau perforarea unui contur cu ajutorul unei ștanțe, a cărei placă tăietoare și al cărei poanson au fețele de lucru plane, se determină cu relația:

$$F = l_c \cdot g \cdot \tau,$$

în care: F este forța necesară pentru decupare sau perforare, în kgf;
 l_c — lungimea conturului de decupat (perforat), în mm;
 g — grosimea materialului în mm;
 τ — rezistența la forfecare a materialului, în kgf/mm².

Rezistența la forfecare τ , pentru diferite materiale, se stabilește în raport cu rezistența la rupere σ_r a acestora, după relațiile indicate în tabela 11.5.

Pentru materia-
 lele nemetalice, rezis-
 tența la forfecare
 are valorile: $\tau = 7$
 kgf/mm² pentru celu-
 loid, $\tau = 10$ kgf/mm²
 pentru textolit și $\tau =$
 $= 11$ kgf/mm² pentru
 fibră.

La scoaterea piesei de pe poansonul ștanțelor de decupat sau per-
 forat, cu aruncător, este necesară o forță F_1 a cărei valoare este dată de
 relația: $F_1 = k \cdot F$,

în care: F este forța necesară pentru decupare sau perforare;

k — un coeficient a cărui valoare este egală cu 0,02 pentru
 conture rotunde, cu 0,03 pentru conture complexe și cu
 0,04 pentru perforarea mai multor găuri.

Valoarea coeficientului k este invers proporțională cu mărimea
 jocului și tinde spre zero cînd jocul tinde spre o valoare egală cu grosi-
 mea materialului.

2.4. JOCUL DINTRE PLACA TĂIETOARE ȘI POANSON LA DECUPARE ȘI PERFORARE

Pentru piesele decupate sau perforate din table subțiri ($g < 1,5$ mm),
 valoarea minimă a jocului dintre placa tăietoare și poanson se poate
 stabili cu formula: $j = m \cdot g$,

în care: j este jocul dintre placa tăietoare și poanson;

g — grosimea tablei;

m — un coeficient cu valoarea indicată în tabela 11.6.

Tabela 11.6. Valoarea coeficientului m pentru diferite materiale

| Materialul | m | Materialul j | m |
|----------------------|-------------|----------------|-------------|
| Oțel OL 34 | 1/20 | Fibră | 1/20 — 1/25 |
| Oțel OL 37; OL 42 | 1/16 | Textolit | 1/20 |
| Oțel OL 50; OL 60 | 1/14 | Pertinax | 1/25 |
| Oțel OSC 7... OSC 12 | 1/12 — 1/10 | Clingherit | 1/20 |

În cazul decupării conturului exterior, dimensiunile piesei sînt
 egale cu cele ale plăcii tăietoare iar jocul se realizează prin reducerea
 dimensiunilor poansonului.

La perforarea găurilor, dimensiunile acestora sînt comune cu ale
 poansonului, iar jocul se realizează prin majorarea dimensiunilor plăcii
 tăietoare.

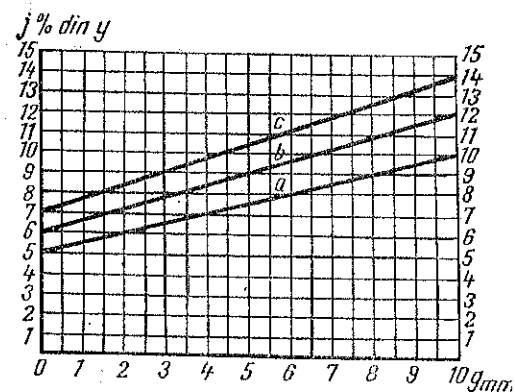


Fig. 11.7. Diagramă pentru determinarea jocului j :

a — pentru materiale moi; b — pentru oțeluri semidure și metale neferose ecrusate; c — pentru oțeluri dure.

2.5. DATE PENTRU AMBUTISARE

Pentru ambutisarea corpurilor cilindrice sau rotunde, se folosește un semifabricat plan (o platină circulară) cu diametrul d , din care, la prima operație, se obține un cilindru cu diametrul d_1 și apoi, prin trageri succesive, se reduce treptat diametrul la dimensiunea prescrisă d_n (fig. 11.8).

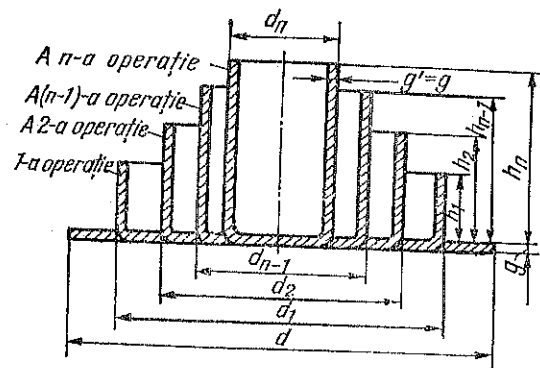


Fig. 11.8.

în care: $m_0 = \frac{d_1}{d}$ reprezintă coeficientul de ambutisare pentru prima operație de ambutisare din semifabricatul plan;

Pentru materiale cu grosimi pînă la 10 mm, valoarea jocului se poate determina și cu ajutorul diagramei din fig. 11.7. Pe axa absciselor sînt indicate grosimile materialelor, iar pe axa ordonatei — valoarea jocului exprimată în procente din grosimea materialului.

Cifrele indicate sînt valori nominale ale jocurilor inițiale pe ambele părți; astfel, pentru poansoane cilindrice, jocul j reprezintă diferența dintre diametrele plăcii tăietoare și poansonului.

Numărul operațiilor de ambutisare n pentru executarea unui cilindru cu dimensiunile d_n și h_n dintr-un semifabricat plan cu diametrul d , fără subțierea materialului, se obține din relația:

$$n = 1 + \frac{\lg d_n - \lg (m_0 d)}{\lg m'}$$

Tabela 11.7. Valorile coeficienților de ambutisare m_0 și m'

| Materialul | m_0 | | m' | |
|--|--|-------|-------|-------|
| | Grosimea materialului care se ambutisează, mm | | | |
| | ≤ 2,0 | > 2,0 | ≤ 2,0 | > 2,0 |
| Tablă decapată pentru ambutisare obișnuită | 0,58 | — | 0,78 | — |
| Tablă de oțel pentru ambutisare adîncă | 0,60 | 0,60 | 0,80 | 0,83 |
| Alamă Am 63, cupru și aluminiu | 0,52 | 0,55 | 0,72 | 0,75 |
| Duraluminiu | 0,60 | — | 0,78 | — |

$m' = \frac{d_2}{d_1} = \frac{d_n}{d_{n-1}}$ prezintă coeficientul de ambutisare pentru rațiile de ambutisare următoare.

Valorile coeficienților de ambutisare m_0 și m' pentru metale sînt indicate în tabela 11.7. Pentru celuloid, piele și carton, coeficientul de ambutisare $m_0 = 0,4$; în acest caz, pielea trebuie în prealabil încălzită (în grăsimi) pînă la 200°C, celuloidul încălzit pînă la 200°C, iar cartonul se ambutisează în ștanțe încălzite la 120°C.

Numărul operațiilor de ambutisare și diametrele corespunzătoare ale vaselor ambutisate se pot deduce și cu ajutorul diagramei din fig. 11.9, cu indicația că diagrama se referă în special la table de oțel moale decapate.

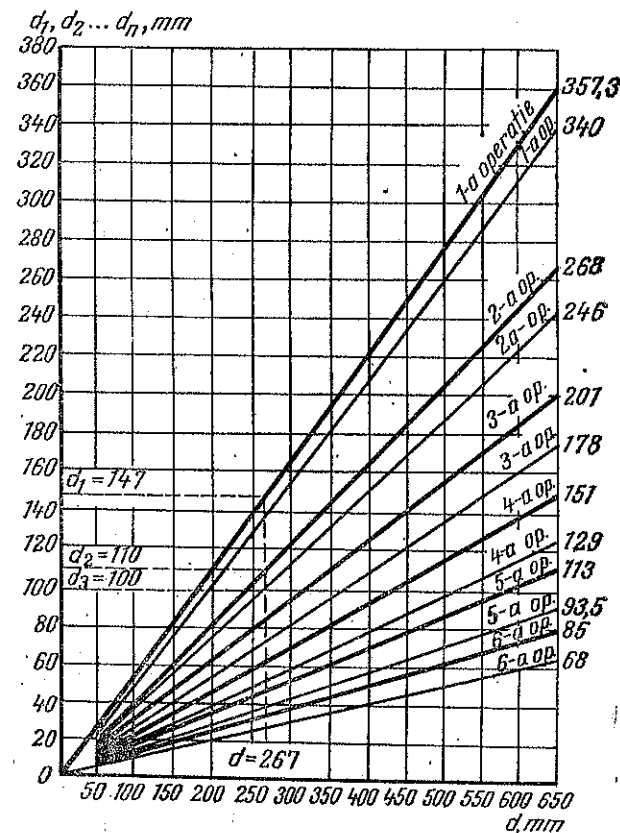


Fig. 11.9. Prin liniile punctate s-a indicat exemplul pentru determinarea lui n cînd $d = 267$ mm și diametrul final este 110 mm. Numărul operațiilor de ambutisare ($n = 2$) se găsește la intersecția verticală 267 cu orizontala 110.

Modificarea grosimii peretelui la ambutisare variază astfel : la locurile de racordare se obține o subțiere de 6—12% la prima ambutisare și până la 20% la următoarele ; la fundul piesei subțierea este neînsemnată ; la capătul deschis al piesei ambutisate sau la marginea bordurii, grosimea peretelui are îngroșarea maximă, ajungând până la 40%.

În tabela 11.8 sint indicate formulele de calcul pentru determinarea diametrului D_s al semifabricatului în formă de disc, în funcție de forma piesei ambutisate.

Tabela 11.8. Diametrul discului semifabricat în funcție de forma piesei ambutisate


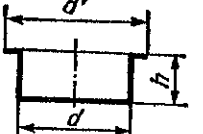
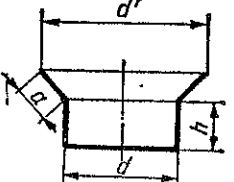
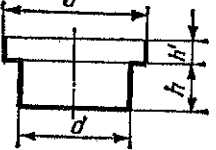
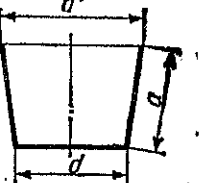
| Denumirea piesei | Schița piesei | Formula pentru valoarea lui D_s |
|-----------------------------------|---|-----------------------------------|
| Corp cilindric, fără flanșă |  | $\sqrt{d^2 + 4dh}$ |
| Corp cilindric, cu flanșă |  | $\sqrt{d'^2 + 4dh}$ |
| Corp cilindric cu evazare conică |  | $\sqrt{d^2 + 4dh + 2a(d + d')}$ |
| Corp cilindric dublu, fără flanșă |  | $\sqrt{d^2 + 4(dh + d'h')}$ |
| Corp conic, fără flanșă |  | $\sqrt{d^2 + 2a(d + d')}$ |

Tabela 11.8. (continuare)

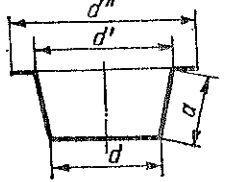
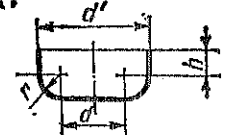
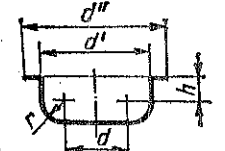
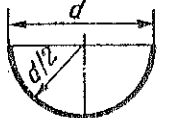
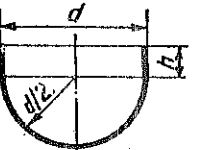
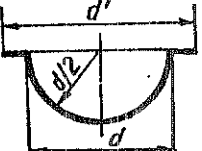
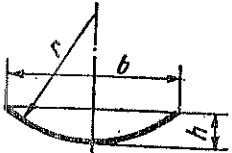
| Denumirea piesei | Schița piesei | Formula pentru valoarea lui D_s |
|--|---|---|
| Corp conic cu flanșă |  | $\sqrt{d^2 + 2a(d + d') + d'^2 - d'^2}$ |
| Corp cilindric, cu fund rotunjit, fără flanșă ($r > 5g$) |  | $\sqrt{d^2 + 4d'h + 6,28rd + 8r^2}$ |
| Corp cilindric cu fund rotunjit, cu flanșă ($r < 5g$) |  | $\sqrt{d^2 + 4d'h + (d'^2 - d'^2) + 6,28rd + 8r^2}$ |
| Emisferă |  | $1,414 d$ |
| Emisferă cu margine cilindrică |  | $\sqrt{2d^2 + 4dh}$ |
| Emisferă cu flanșă |  | $\sqrt{d^2 + d'^2}$ |

Tabela 11.8 (continuare)

| Denumirea piesei | Schița piesei | Formula pentru valoarea lui D_s |
|------------------|---|-------------------------------------|
| Calotă sferică |  | $\sqrt{b^2 + 4h^2}$ sau $\sqrt{8h}$ |

Observații: g reprezintă grosimea tablei.

2.6. DATE PENTRU RĂSFÎRÎNGEA MARGINILOR UNEI PIESE

Diametrul d al găurii la o șaibă de tablă, ale cărei margini urmează a fi răsfîrînte, se obține cu ajutorul relației:

$$d = D_1 - \pi \left(r + \frac{g}{2} \right) - 2h,$$

în care d , D_1 , r , g și h sînt dimensiunile indicate în fig. 11.10.

Relația între diametrul maxim admisibil D al găurii cu marginile răsfîrînte și diametrul d al găurii din semifabricat se stabilește prin raportul $k_r = d/D$, în care k_r este coeficientul de răsfîrîngere ce se stabilește pe cale experimentală și care caracterizează subțierea maximă admisibilă a peretelui răsfîrînt.

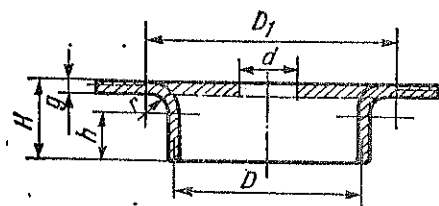


Fig. 11.10.

Pentru unele materiale valorile coeficientului k_r sînt arătate în tabela 11.9.

În ceea ce privește razele de curbura ale muchiilor matriței sau

Tabela 11.9. Valorile coeficientului k_r , pentru diferite materiale (normalizate)

| Denumirea materialului | k_r |
|---|-------|
| Tablă cositorită | 0,70 |
| Tablă de oțel decapat pentru ambutisare | 0,72 |
| Tablă de oțel cu grosimea de 3–6 mm (cu alungirea de 20–25 %) | 0,78 |
| Tablă de alamă Am 63 cu grosimea de 0,5–6 mm | 0,68 |
| Tablă de aluminiu cu grosimea de 0,5–5 mm | 0,70 |

poansonului, în cazul răsfîrîngerii marginilor, se recomandă $r \approx 5g$ pentru materiale cu grosimea pînă la 2 mm și $r \approx (1,5–2) g$ pentru grosimea peste 2 mm.

În cazul răsfîrîngerii marginilor unor piese prin mai multe operații de răsfîrîngere cu recoaceri intermediare, valorile coeficientului k_r pot fi majorate cu 15–20 %: $k_r' = (1,15 \dots 1,20)k_r$.

Pentru găurile necilindrice, valoarea coeficientului k_r'' este dată de relația: $k_r'' = (0,90 \dots 0,85)k_r$.

Forța aproximativă pentru răsfîrîngerea marginilor se determină cu ajutorul formulei empirice:

$$P = \pi \cdot D \cdot g \cdot \sigma_r \cdot \frac{x}{k_r},$$

în care: P este forța pentru răsfîrîngerea marginilor, în kgf;

D — diametrul răsfîrîngerii, în mm;

g — grosimea materialului, în mm;

k_r — coeficientul de răsfîrîngere;

σ_r — rezistența de rupere, în kgf/mm²;

x — un coeficient, egal cu 0,2–0,3.

3. REGIM DE LUCRU

Vitezele pentru operațiile de ambutisare a diferitelor materiale sînt indicate în tabela 11.10.

Tabela 11.10. Viteze de ambutisare, m/min

| Denumirea materialului | Prese cu acțiune simplă | Prese cu acțiune dublă | Ambutisare cu subțiere |
|------------------------|-------------------------|------------------------|------------------------|
| Oțel cu 0,8 % C | 16,5 | 15 | 7,5 |
| Oțel inoxidabil | — | 9 | — |
| Alamă | 60 | 30 | 20 |
| Cupru | 45 | 25 | — |
| Aluminiu | 52 | 30 | — |

4. PRESE

Operațiile de ștanțare la rece se execută de obicei la prese cu acționare mecanică și uneori la prese cu acționare manuală.

După felul construcției, presele cu acționare mecanică se clasifică în prese cu excentric, prese cu bielă-manivelă și prese de fricțiune.

4.1. PRESĂ CU EXCENTRIC

Presă cu excentric este folosită de obicei pentru operații de ștanțare (decupare, ambutisare, perforare etc.) care necesită o cursă scurtă pentru deplasarea poansonului în timpul lucrului. Ea are la partea su-

perioară a batiului un excentric (fig. 11.11) care antrenează berbecul port-poanson prin intermediul unei manivele într-o mișcare rectilinie alternativă. Antrenarea arborelui cu excentric se realizează cu ajutorul unui motor. Presa are un volant pentru uniformizarea mișcării arborelui.

Pe ghidajele batiului se fixează masa de lucru care poate avea o deplasare verticală.

Pentru piese mici, se construiesc prese cu batiul inclinabil.

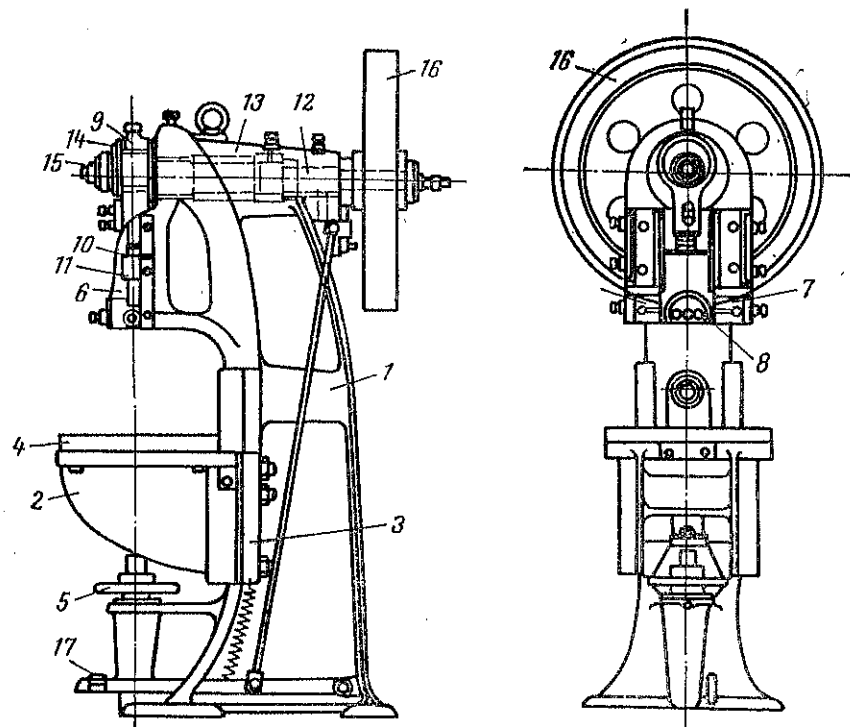


Fig. 11.11. Presă cu excentric :

1 - batiu; 2 - masă; 3 - fâlcii pentru fixarea masei; 4 - placă de prindere a matriței; 5 - dispozitiv de deplasare a masei; 6 - berbec; 7 - ghidaje; 8 - capac de fixare a poansonului; 9 - capul bielei excentricului; 10 - piciorul bielei excentricului; 11 - lagărul piciorului bielei; 12 - arbore cu excentric; 13 - lagărul arborelui cu excentric; 14 - cuzinetul capului de bielă; 15 - dispozitiv de reglare a cursei; 16 - volant; 17 - pedală de comandă.

La Întreprinderea Mecanică Sibiu se construiesc următoarele prese cu excentric cu avans longitudinal intermitent (PAI) și cu avans cu role (PAR): PAI 16 și PAI 16-A de 16 tf, PAI 25 și PAI 25-A de 25 tf, PAI 63 și PAI 63-A de 63 tf, PAR 16 și PAR 16-A de 16 tf, PAR 25 și PAR 25-A de 25 tf.

4.2. PRESĂ CU BIELĂ-MANIVELĂ

Această presă are un arbore cotit care se cuplează cu berbecul presei printr-un mecanism de bielă-manivelă. Se folosește de obicei la operațiile de ștanțare care au nevoie de o cursă mai lungă decât a presei cu excentric.

4.3. PRESĂ CU FRICȚIUNE

Presă cu fricțiune are un șurub pentru antrenarea căruia se folosește un mecanism de fricțiune. Ambele tipuri de prese sînt constituite dintr-un batiu, o masă de lucru, organe de ghidare, mecanism de antrenare și organe de comandă.

Din cauză că apăsarea berbecului la capătul cursei utile se face prin lovituri bruște, aceste prese se folosesc la operații de îndoire și îndreptare a pieselor decupate.

La preșele cu conuri de fricțiune este montat un volant tronconic, a cărui manta este îmbrăcată cu o împletitură de metal azbest (ferodo); volantul este fixat pe extremitatea șurubului care antrenează în mișcare rectilinie alternativă poansonul matriței. La partea superioară a presei, pe un arbore orizontal, sînt montate alte două conuri metalice, care cuplate pe rînd cu conul de pe șurub, îl rotesc spre dreapta sau spre stînga, respectiv în cursa activă sau în cursa în gol.

La preșele cu discuri de fricțiune (fig. 11.12) construcția este aproximativ asemănătoare cu a presei cu conuri de fricțiune, în locul conurilor fiind folosite discuri.

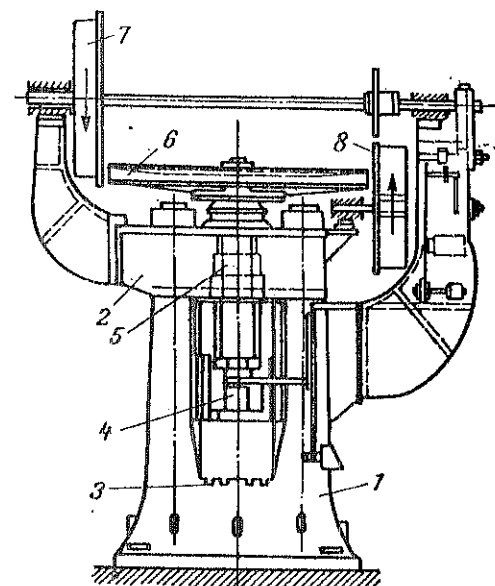


Fig. 11.12. Presă cu două discuri de fricțiune: 1 - batiu; 2 - traversă; 3 - masă de lucru; 4 - berbec; 5 - șurub de antrenare a berbecului; 6 - volant; 7 - disc pentru cursa activă; 8 - disc pentru cursa de mers în gol.

METODE ÎNAINȚATE DE PRELUCRARE

În acest capitol se arată cîteva din procedeele tehnologice moderne de prelucrare folosite în unele uzine din țara noastră și din alte țări, procedee care duc la creșterea productivității muncii, îmbunătățirea calității produselor și reducerea prețului de cost.

1. METODE ELECTROCHIMICE DE NETEZIRE

În ultimii ani au început să fie folosite din ce în ce mai mult metode electrochimice de netezire a suprafețelor. Dintre aceste metode au o importanță deosebită lustruirea electrolitică, rodarea electrolitică și rectificarea electrolitică.

1.1. LSTRUIREA ELECTROLITICĂ

Piesa care se prelucrează se așază pe anodul unei băi electrolitice.

Prin introducerea curenților electrici de o anumită intensitate, se obține o dizolvare anodică a metalului pe suprafața care se prelucrează, dizolvare care este mai activă pe virfurile neregularităților și mai redusă la baza acestora. Prin această acțiune neregularitățile suprafeței se netezesc treptat.

Alegerea justă a electrolitului, a intensității curenților, a formei catodului și a timpului de menținere a piesei în baie asigură obținerea unei suprafețe foarte bine lustruite.

Ca neregularitățile de la prelucrările anterioare să dispară prin lustruire electrolitică este necesar ca înălțimea acestora să nu depășească o anumită valoare.

Metoda lustruirii electrolitice este folosită la netezirea tășurilor sculelor, a paletelor turbinelor, a epruvetelor metalografice etc.

1.2. RODAREA ELECTROLITICĂ

În timp ce piesa care se prelucrează se găsește în baia electrolitică se introduce un curent electric de joasă tensiune atît prin piesă, cît și prin dispozitivul de rodat.

Electrolitul și curentul electric se aleg astfel, încît pe suprafața care se prelucrează, se formează în scurt timp o peliculă moale, care se îndepărtează ușor cu dispozitivul de rodat.

În prezent sînt construite mașini de rodat care lucrează după această metodă. Ele se folosesc în mod deosebit pentru netezirea sculelor cu tășuri din carburi metalice.

1.3. RECTIFICAREA ELECTROLITICĂ

La rectificarea electrolitică piesa se conectează la polul pozitiv al unei surse de curent continuu, iar piatra de rectificat la polul negativ. Vîna de electrolit care atinge cu presiune suprafața activă a pietrei de rectificat umple cu electrolit spațiul dintre granulele de diamant ieșite în afară.

Prin acțiunea curenților electrici care se scurge prin electrolit, de la piesa care se prelucrează înspre piatra de rectificat, porii pietrei constituie o serie de elemente electrochimice, care descompun metalul de pe suprafața piesei. Acțiunea de descompunere este proporțională cu intensitatea curenților electrici.

Acest procedeu de prelucrare este folosit îndeosebi la rectificarea cilindrică și plană a pieselor din metale foarte dure și a celor cu pereți subțiri.

În comparație cu rectificarea obișnuită, rectificarea electrolitică are următoarele mari avantaje :

- rectificarea pieselor se realizează într-un timp mult mai scurt ;
- uzura pietrelor de rectificat este mai mică deoarece din întreaga cantitate de metal îndepărtat de pe suprafața piesei ce se prelucrează, 90% este rezultatul acțiunii procesului electrochimic și numai 10% este eliminat de către granulele de diamant de pe suprafața activă a pietrei de rectificat.

2. SUPRAFINISAREA ȘI ECRUISAREA SUPRAFEȚELOR PRIN RULARE

Îmbunătățirea continuă a caracteristicilor funcționale ale mașinilor și agregatelor din ce în ce mai complexe impune pentru organele de mașini ce le compun calități deosebite în ce privește rezistența la oboseală, la uzură și coroziune.

Prelucrarea prin rulare este procedeul tehnologic modern, economic și simplu care asigură atît suprafinisarea suprafețelor pieselor, cît și mărirea rezistenței acestora.

Procedeul constă în presarea stratului superficial al piesei de prelucrat cu ajutorul unei sau mai multor role sau bile ce se rostogolesc pe suprafața piesei. Rezultatul acestei acțiuni, dacă presiunea de contact este mică, e netezirea perfectă a suprafeței. Dacă presiunea de contact crește în interiorul stratului superficial, apar deformări plastice cu atât mai adânci cu cât presiunea de contact este mai mare.

În stratul superficial se produce astfel o mărunțire și îndesare a grăunților și iau naștere tensiuni interne, care au ca efect mărirea rezistenței și micșorarea plasticității materialului. Acest efect este denumit *ecruisare*.

Prin mărirea gradului de netezire și ecrusare a suprafețelor în contact, uzura scade și invers.

În urma ecrusării, în stratul superficial al piesei apar tensiuni remanente de compresiune, care măresc foarte mult rezistența la oboseală.

Datorită rulării, prin netezirea la un înalt grad a suprafeței, virfurile asperităților sînt aplatisate complet. Suprafața de contact a piesei cu mediul se micșorează astfel foarte mult, ceea ce are ca efect o creștere importantă a rezistenței la coroziune.

După această metodă pot fi ecrusate: fusurile osiilor de vagoane, arborii cotați, cămășile de cilindri, bolțurile de pistoane, tije supapelor etc.

Operația de rulare se realizează de obicei pe strunguri cu ajutorul unor dispozitive de rulat exterior, interior, plan sau profilat.

În fig. 12.1 este arătat un dispozitiv de rulare interior, cu bile.

Obținerea diametrului dorit se realizează prin deplasarea axială a bilelor pe conul de reglaj (4) cu ajutorul piuliței (9).

O metodă modernă de ecrusare care este utilizată din ce în ce mai mult este aceea care folosește forța centrifugă a unor bile ce se pot mișca liber în canalele radiale ale unui disc care are o viteză periferică corespunzătoare.

În fig. 12.2 este arătată schema ecrusării suprafețelor exterioare de revoluție pe o mașină de rectificat exterior cilindric, iar în fig. 12.3 este dată schema ecrusării suprafețelor interioare de revoluție pe strung.

3. PRELUCRAREA PRIN SCÎNTEI ELECTRICE

Prelucrarea prin scînteii electrice numită și electroeroziune constă în îndepărtarea unui anumit strat de material de pe piesa care se prelucurează cu ajutorul unor scînteii sau arcuri electrice ce se provoacă între această piesă și un electrod vibrator de formă corespunzătoare.

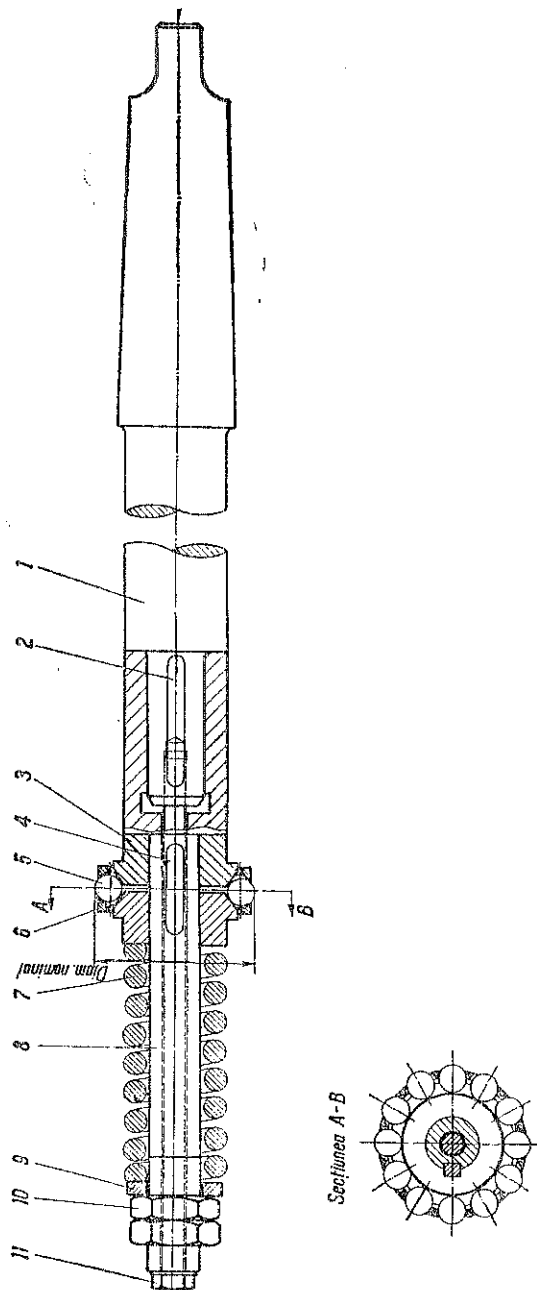


Fig. 12.1. Dispozitiv de rulat interior, cu bile:
1 - tijă; 2 - pană; 3 - cale de rulare; 4 - pană; 5 - bilă rulment; 6 - colivie; 7 - arc; 8 - dom; 9 - piuliță; 10 - șaibă; 11 - șurub.

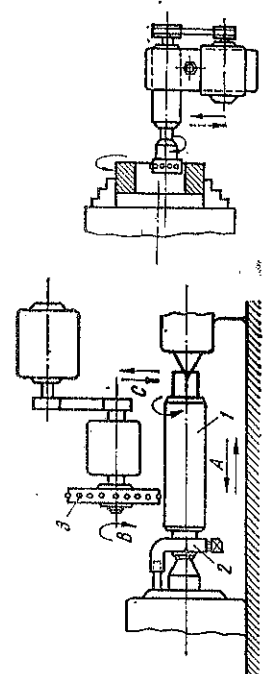


Fig. 12.2. Schema ecrusării suprafețelor exterioare de revoluție pe o mașină de rectificat exterior cilindric:
1 - piesă de prelucrat; 2 - înălț de antrenare; 3 - disc cu bile; 4 - direcția avansului longitudinal; 5 - sensul mișcării de rotație; 6 - direcția avansului transversal.

Fig. 12.3. Schema ecrusării suprafețelor interioare de revoluție pe strung.

Scînteia, a cărei durată variază între o milionime și o zecime de miime de secundă, se formează între anod și catod, într-un lichid, în general petrol și ulei, care are rolul de a concentra efectul scînteii și de a antrena particulele desprinse.

La locul de străpungere și de localizare a scînteii se produc temperaturi pînă la 10 000°C care fac să se topească și să se vaporizeze

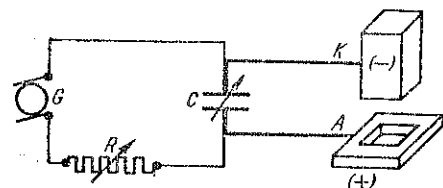


Fig. 12.4. Schema prelucrării cu scînteii electrice:

G — generator electric; R — rezistență electrică; C — condensator; A — piesa care se prelucurează (anodul); K — electrodul sculă (catodul).

pe lângă condensatorul menționat, are un electrod constituit din piesa care se prelucurează (anodul) și al doilea electrod, din scula vibratoare (catodul).

Electrodul-sculă, confecționat în general din cupru sau alamă, vibrează axial în limitele a doi milimetri și se apropie periodic de piesa de prelucrat, cînd, prin descărcarea condensatorului, se produc scînteile cu eliberare considerabilă de căldură, ce topește și chiar vaporizează metalul, producînd pe suprafața prelucrată cratere minuscule în formă de calotă sferică.

Electroeroziunea se folosește de obicei pentru obținerea unor piese cu profile complicate sau din materiale cu duritate foarte mare, cum sînt, de exemplu, diferitele matrițe, filiere, duze, scule pentru trefilare etc. din carburi metalice.

Metodele de executare a pieselor din carburi metalice cu ajutorul scînteilor electrice sînt următoarele:

- copierea directă a formei geometrice a sculei-electrod în piesa care se prelucurează;
- copierea inversă a formei geometrice a sculei-electrod în piesa care se prelucurează;
- decuparea piesei cu o sculă-electrod profilată;
- rectificarea.

Datorită precipitării hidrocarburilor din lichidul în care se produc scînteile electrice, se realizează o carburare a suprafeței metalului prelucrat și deci o duritate mai mare a stratului superficial.

orice metal. Metalul, sub formă de picături lichide, este aruncat de forțele de explozie care acționează la locul descărcării.

Practic, prelucrarea cu scînteii electrice se realizează cu ajutorul a două circuite (fig. 12.4). Unul dintre circuite constă dintr-un generator și un condensator C de capacitate constantă care se încarcă de la generator prin rezistența reglabilă R. Al doilea circuit,

Acest efect, dacă poate fi un inconvenient la unele organe de mașini, reprezintă un avantaj în cazul prelucrării sculelor.

Mașinile de prelucrat prin electroeroziune au ca părți principale batiul, mecanismul de deplasare, generatorul de impulsuri, baia de lucru, instalația de pompare și regulatorul de avans. În același scop se pot folosi cu unele modificări mașinile de găurit și cele de frezat.

Prelucrarea prin scînteii electrice are în prezent un domeniu larg de aplicare, care asigură obținerea unei productivități ridicate și o precizie mare de prelucrare, la o serie întreagă de operații care nu pot fi realizate prin alte metode de prelucrare.

4. PRELUCRAEA PRIN ULTRASUNETE

Această metodă de prelucrare se realizează cu ajutorul unei scule 5 (fig. 12.5), care are o formă identică cu aceea care trebuie să se execute în piesa care se prelucurează. Scula fiind fixată de vibratorul 1 prin concentratorul 4, execută în timpul lucrului o mișcare rectilinie alternativă, cu amplitudinea de cîteva sutimi de milimetru și cu frecvență foarte mare. În apropierea sculei și suprafeței piesei 3 care se prelucurează este trimis un jet de lichid 2, apă sau ulei, cu praf abraziv în suspensie.

Granulele abrazive, sub acțiunea vibrațiilor ultrasonore, lovesc suprafața piesei care se prelucurează, cu o forță de zeci de mii de ori mai mare decît greutatea lor proprie și smulg astfel de pe suprafața piesei particule mici de metal. În funcție de frecvența generatorului, fiecare particulă de abraziv execută 20—30 mii lovituri/s.

Pînă la concentrația de 30 % a granulelor abrazive în lichid, viteza de lucru, în mm/min crește simultan cu creșterea concentrației. Ea descrește cînd viscozitatea lichidului crește și de aceea lichidul recomandat în acest scop este apa naturală, apa distilată sau apa cu săpun.

Deși scula nu are un rol activ în îndepărtarea particulelor de material de pe suprafața care se prelucurează a piesei, ea totuși se uzează, și pentru a obține o precizie de prelucrare cît mai mare, este necesar să se facă minimum două treceri: una de degroșare și alta de finisare. La operația de degroșare, cu praf abraziv cu granulație 12, cu amplitudinea oscilației de 36 μ și cu o apăsare a sculei de 0,9 kgf, se obține o

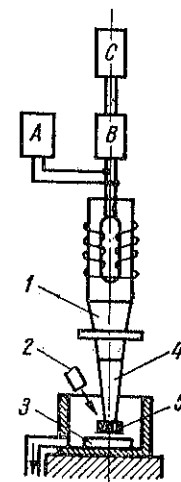


Fig. 12.5. Schema de principiu a prelucrării cu ajutorul ultrasunetelor: A — redresor; B — generator oscilator; C — amplificator.

rugozitate a suprafeței $R_{zmax} = 25 \mu$. Pentru operația de finisare, cu același regim de lucru, folosindu-se un praf abraziv mai fin, rugozitatea suprafeței scade la $R_{zmax} = 2,5 \mu$. Cu ajutorul acestei metode se poate obține o precizie de prelucrare până la 0,01 mm.

Productivitatea prelucrării carburilor metalice prin ultrasunete este, în general, influențată de granulația abrazivului, de concentrația lichidului cu abraziv în suspensie, de modul cum este condus lichidul în zona de așchiere, de adâncimea găurii care se prelucrează și de amplitudinea oscilațiilor.

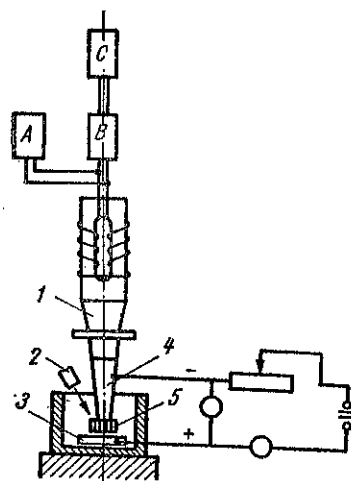


Fig. 12.6. Schema de principiu a prelucrării combinate cu ajutorul ultrasunetelor și al unui proces electrochimic de dizolvare anodică (semnificația notației reperelor este aceea din figura 12.5).

lucrarea combinată, prin completarea procedurii descrise cu un proces electrochimic de dizolvare anodică.

În fig. 12.6 este arătată schema prelucrării combinate. Ea este o combinație a schemei din fig. 12.4 cu o sursă de curent electric continuu de 12–18 V. Polul pozitiv al acestei surse este prins la piesa care se prelucrează, iar cel negativ la sculă sau la concentrator. În electrolit, care poate fi o soluție clorură de sodiu (30 %), se introduce praf abraziv în suspensie, cu o concentrație de 50 %.

Filmul de oxizi ce se formează pe piesa care se prelucrează, datorită procesului electrochimic de dizolvare anodică, este îndepărtat treptat de granulele abrazive și procesul de îndepărtare a particulelor metalice de pe suprafața piesei continuă normal. Filmul de oxizi micșorează în același timp foarte mult forța de recul a granulelor abrazive pe suprafața sculei. Durabilitatea sculei și deci productivitatea

Astfel, productivitatea prelucrării crește prin micșorarea secțiunii sculei; din această cauză se folosesc scule tubulare. De asemenea, productivitatea crește cu mărirea amplitudinii oscilațiilor sculei. În ce privește adâncimea găurii, productivitatea prelucrării scade când adâncimea găurii crește.

Domeniul în care aplicarea acestei metode asigură o mare eficiență economică este cel de prelucrare a pieselor din materiale foarte dure și în special a celor din carburi metalice.

În cazul prelucrării metalelor tenace, folosirea acestei metode nu se recomandă deoarece are o productivitate scăzută.

Productivitatea prelucrării crește însă de 2–3 ori și uzura sculelor se micșorează de 2–4 ori, dacă se folosește pre-

crește astfel de 2–4 ori în comparație cu prelucrarea obișnuită, numai cu ajutorul ultrasunetelor.

Productivitatea prelucrării combinate depinde de alegerea electrolitului și de densitatea curentului electric (A/cm^2). Prin mărirea densității curentului până la o anumită valoare, productivitatea crește; dacă această limită este depășită, se îndepărtează particule de material și de pe porțiunile suprafeței care nu trebuie prelucrate.

5. PRELUCRAREA CU AJUTORUL PLASMEI

În ultimul timp, o nouă metodă care are o utilizare tot mai mare în tehnica prelucrărilor cu arc electric este utilizarea arcului de tăiere penetrant, la care îndepărtarea metalului din suprafața tăiată se realizează cu ajutorul unui arc concentrat și al unui jet de plasmă.

Pentru obținerea plasmei se trece un jet puternic de gaze nobile (argon, xenon, kripton, hidrogen sau heliu) printr-un arc electric puternic între electrozii unui arzător de tipul Plasmare (fig. 12.7, a), când anodul este piesa care se prelucrează, sau de tipul Plasma-Plating (fig. 12.7, b) când anodul este duza.

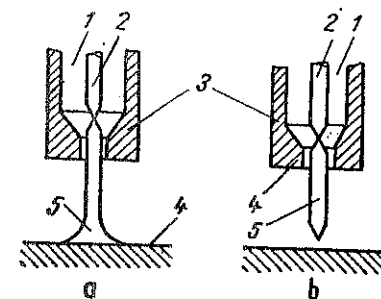


Fig. 12.7. Schema a două tipuri de arzătoare cu plasmă:

a - tipul Plasmare; b - tipul Plasma-Plating; 1 - gaz cu particule solide; 2 - catod cu wolfram; 3 - tub de cupru cu răcire interioară (cu apă); 4 - anod; 5 - jet de plasmă.

Prin variația curentului electric, a compoziției gazului și a secțiunii duzei cu arzătoare cu jet de plasmă, se pot obține temperaturi de peste 10 000°C, iar cu cele de construcție perfecționată - chiar de peste 20 000°C, în timp ce la arzătoarele obișnuite temperatura flăcării nu depășește circa 3 000°C.

Arzătorul Plasmare este utilizat mai mult la operațiile de rețezare, sudare, metalizare. Sudarea cu plasmă asigură realizarea unor cusături foarte înguste, uniforme, precise și rezistente.

În ce privește tăierea metalelor, acest arzător este superior celor oxiacetilenice, având o productivitate mai mare și asigurând o calitate superioară suprafețelor rețezate. Viteza de tăiere variază între 12 și 25 m/min. Se folosește în mod curent la tăierea oțelului inoxidabil, a cuprului, aluminiului, nichelului și altor metale, cu grosimi până la 100–130 mm.

Arzătorul Plasma-Plating se folosește de obicei la operațiile de metalizare (cu titan, molibden, wolfram, zirconiu, aluminiu, nichel etc.) și galvanoplastie, și chiar la sudarea metalelor.

Tăierea cu jet de plasmă a fost experimentată și în țara noastră în laboratorul de sudură al întreprinderii Automatica. Cele mai bune rezultate au fost obținute cu arzătorul de tăiere AP-01. Cu acest arzător, folosind curenți de 250—300 A, o tensiune de 25—38 V și un debit de argon de 10—20 l/min, s-au tăiat table din oțel inoxidabil 18 % Cr, 8 % Ni, cu viteze de tăiere de 15 m/h. La folosirea unui amestec de 50 % azot, cu aceleași regimuri de curent, s-au obținut viteze de tăiere de 40—50 m/h.

6. PRELUCRAREA CU FASCICUL ELECTRONIC

Prelucrarea cu fascicul electronic este o metodă tehnologică modernă pentru prelucrarea în metale și materiale foarte dure de găuri, canale, adâncituri și rizuri cu dimensiuni de ordinul sutimilor de milimetru și chiar micronilor. Se folosește astfel la prelucrări de piese și scule din wolfram, titan, molibden, cuarț, ceramică etc. pentru industria textilă (de exemplu, filiere pentru fibre sintetice) și producția de aparate foarte mici electronice.

La mașinile de prelucrat după acest procedeu, piesa se introduce într-o cameră cu vid. Îndepărtarea materialului de pe piesă se face trimițând un fascicul de electroni de înaltă tensiune, care prin energia calorică foarte concentrată ce o degajă, evaporă direct materialul în porțiunea de contact.

În fig. 12.8 este arătată schema unei mașini de prelucrat cu fascicul electronic. Catodul 6, din fire de wolfram, emite în stare incandescentă un fascicul de electroni, care este accelerat de anodul 7 cu tensiune înaltă și apoi

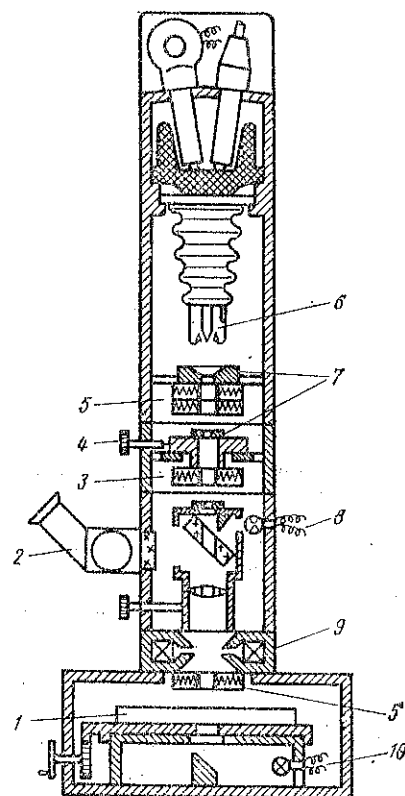


Fig. 12.8. Schema mașinii de prelucrat cu ajutorul unui fascicul electronic: 1 — piesă care se prelucurează; 2 — microscop binocular; 3 — stigmat; 4 — șurub pentru reglarea stigmatului; 5 — sistem magnetic de corecție; 6 — catod; 7 — anod circular cu diafragmă; 8 — sursă de lumină; 9 — lentilă magnetică; 10 — sursă de lumină.

concentrat într-un fascicul foarte subțire cu ajutorul unui sistem optico-electronic. Sub această formă este dirijat pe porțiunea care se prelucurează a piesei, unde apare sub forma unui punct. Cu ajutorul

unui sistem electronic, fasciculul este deplasat pe suprafața piesei pentru realizarea prelucrării, operația urmărindu-se cu microscopul binocular 2.

Prin fasciculul electronic cu diametrul cuprins între 0,1 și 0,0025 mm se poate transmite o cantitate de energie concentrată ce poate ajunge până la 5 000 kW/mm², la o putere de numai 5 kW. Totuși structura și proprietățile fizico-mecanice ale straturilor de metal vecine porțiunii prelucrate nu se modifică, deoarece la temperatura de evaporare se încălzește numai locul de contact al fasciculului electronic cu suprafața piesei.

Adâncimea maximă ce se poate obține la găuri sau la canale este de 100 de ori diametrul fasciculului, iar adâncimea minimă poate fi de numai 0,1 μ. Prelucrările pot fi de suprafață sau străpunse. Practic neexistând o uzură a sculei, atât precizia de prelucrare, cât și calitatea suprafeței prelucrate sînt foarte ridicate, la toate piesele care se lucrează în serie.

7. PRELUCRAREA CU ENERGIE DE RADIAȚIE

Printre metodele tehnologice moderne de prelucrare și sudare a pieselor, și în special a semiconductorilor, este și procedeul laser.

Prelucrarea cu energie de radiație se bazează pe amplificarea undelor electromagnetice vizibile din domeniul optic pe baza efectului de emisie forțată a sistemelor atomice.

Constituirea surselor foarte intense de radiații luminoase coerente, care pot fi dirijate foarte precis asupra unui loc, se realizează cu ajutorul unui rezonator, care, dacă e un corp solid, se numește procedeu laser, sau dacă e un amestec de gaze, se numește procedeu maser.

În fig. 12.9 este arătată schema unui cap de sudură laser, procedeul cu radiații cel mai mult folosit la sudarea metalelor. Cristalul de rubin care formează rezonatorul are la fiecare capăt câte o oglindă, una total și alta parțial reflectoare. Radiațiile laser trec din rezonator spre o lentilă (de 0,1 mm diametru), unde radiațiile sînt focalizate și dirijate spre obiectul de sudat, obținându-se densități de energie de peste 10⁷ W/cm² și temperaturi de peste 8 000 °C. Aceste densități de radiații laser depășesc energia jetului de plasmă.

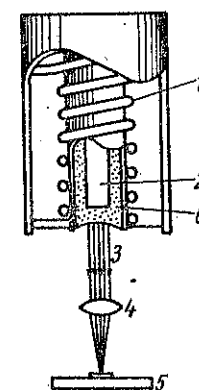


Fig. 12.9. Schema unui cap de sudură laser:

1 — lampă de presiune înaltă cu xenon; 2 — cristal de rubin; 3 — radiație laser; 4 — lentilă; 5 — piesă de lucru; 6 — răcire cu azot lichid.

În prezent, la sudare se folosesc două tuburi de laser cristal, cu radiații pulsante sau continue și cu tuburi maser cu radiații continue. Cu radiații pulsante se obțin puteri de kW, în timp ce cu radiații continue, puterile sînt mult mai mici, de mW.

Procedeul are avantajul că sudarea se execută fără schimbarea structurală a materialului, datorită duratei foarte scurte a procesului de lucru. Față de procedeul cu fascicul de electroni prezintă avantajul că nu necesită cameră de vid.

Laserul se folosește la sudare, la topire, la tăiere, la prelucrarea obiectelor din metale refractare, la obținerea de găuri (de zecimi sau sutimi de milimetru) cu toleranțe foarte reduse, precum și la prelucrarea microelementelor pentru aparataj electronic. Cu ajutorul laserului se poate suda cuprul cu sticla.

MAȘINI-UNELTE CU COMANDĂ DUPĂ PROGRAM

În industria constructoare de mașini, prelucrarea mecanică reprezentînd 70—80% din volumul total de manoperă necesară fabricării mașinilor, problema automatizării mașinilor-unelte capătă un rol foarte important.

În prezent, pentru automatizarea mașinilor-unelte se folosesc sisteme de comandă automată bazate pe acționarea hidraulică, pneumatică și electrică.

În aceste sisteme, transmiterea energiei pentru deplasarea organelor mașinii este separată de transmiterea informațiilor (a programului tehnologic) care asigură funcționarea mașinii conform ciclului stabilit. Transmiterea energiei pentru executarea mișcărilor organelor mașinii se face cu mecanismele de execuție, din care fac parte cilindrii hidraulici și pneumatici, motoarelor electrice și electromagneții de diferite tipuri.

Transmiterea informațiilor, adică comanda mecanismelor de execuție, se face cu ajutorul elementelor automatizării.

În sistemele comenzi automate, automatizarea ciclului tehnologic se realizează în funcție de cursă, în funcție de timp, iar uneori, la sistemele hidraulice, și în funcție de presiune.

Comanda mecanismelor de execuție la comanda automată în funcție de cursă, se transmite de obicei prin limitatoare de cursă fixate pe părțile mobile ale mașinii sau pe partea fixă, în traseul organelor mobile. Limitatoarele conectează sau deconectează mecanismul de execuție sau inversează cursa.

La sistemele de comandă automată, întregul complex de funcțiuni, cum sînt: conectarea și deconectarea mecanismelor de execuție în ordinea stabilită de procesul tehnologic, modificarea regimului de funcționare a mecanismelor mașinii etc., se execută de către elementele de automatizare.

Pentru comanda sistemelor automate se folosesc diferite aparate de comandă, relee, contactoare și demaroare (dispozitive de pornire magnetice), ambreiaje electromagnetice de fricțiune și alte elemente

de automatizare. Aparatele de comandă execută conectarea sau deconectarea schemei, respectarea unei anumite succesiuni a operațiilor, blocarea reciprocă a organelor instalațiilor automate etc.

O cale de automatizare principală nouă, care satisface cerințele moderne de producție în serie, în serie mică și de producție individuală, este calea folosirii mijloacelor de comandă după program a mașinilor-unelte, bazată pe tehnica electronică modernă.

Comanda după program constă în următoarele: mișcările organelor mașinii-unelte, impuse de procesul tehnologic de prelucrare, sunt calculate în prelabail și sunt fixate pe un portprogram. Procesul de comandă se reduce la reproducerea cu ajutorul mecanismului de citire și al altor dispozitive a ciclului de mișcare a organelor mașinii-unelte, conform programului fixat pe fișa de comandă.

Concomitent cu creșterea productivității muncii, comanda după program a mașinilor-unelte reduce de câteva ori atât termenul de execuție cât și costul pregătirii producției, deoarece dispăre necesitatea executării garniturilor de came, a șabloanelor de copiat etc.

1. SISTEME DE COMANDĂ DUPĂ PROGRAM, SISTEME DE NUMERAȚIE ȘI CODURI

1.1. SISTEME DE COMANDĂ DUPĂ PROGRAM

Aceste sisteme se grupează în următoarele categorii:

— după felul mișcării organului de lucru se întâlnesc mașini-unelte cu sistemul de coordonate, în trepte, folosit la mașinile de găurit, de alezat strunguri și mașini de frezat și sistemul după contur, folosit pentru prelucrarea suprafețelor continue, cu profile spațiale, aplicat la mașinile de frezat și la strunguri;

— după caracterul informației, apar sistemele continue și discontinue. Dintre sistemele continue fac parte sistemele cu modulație de amplitudine; acestea sunt, în majoritatea cazurilor, sisteme fotoelectronice, care înregistrează programul sub formă de desen pe hîrtie sau sub formă de curbă pe peliculă cinematografică; ordonatele sau amplitudinele curbei sunt proporționale cu deplasările programate. La sistemul discontinuu programul este dat prin impulsuri și poate fi natural sau codificat. La sistemul discontinuu natural, numărul de impulsuri caracterizează deplasarea organului de lucru, fiecare impuls avînd o valoare constantă. La sistemul discontinuu codificat mărimea deplasării este dată de o combinație convențională a numărului și ordinii impulsurilor.

— după sistemul de construire a schemei de comandă a mașinii-unelte se construiesc mașini cu comandă după program în lanț deschis și mașini cu comandă după program în lanț închis.

1.2. SISTEME DE NUMERAȚIE

În general, programul se înregistrează sub formă de numere, adică sub formă cifrică, pe portprograme (benzi și cartele perforate, benzi de magnetofon, peliculă cinematografică, sîrmă magnetică, discuri magnetice). Numerele care alcătuiesc programul pot fi reprezentate prin sisteme de numerație și coduri înregistrate pe bandă, care se compun fie într-un sistem de numerație oarecare fie cu ajutorul unui cod special oarecare. În mod obișnuit se folosesc:

— sistemul de numerație zecimal, care pentru înregistrarea oricărui număr folosește numai zece cifre: 0, 1, 2, 3, 4, 5, 6, 7, 8, 9. La înregistrarea numerelor fiecare cifră își schimbă valoarea în funcție de poziția ei în șirul de cifre care formează numărul. De exemplu, în numărul 248,3 prima cifră, 2, reprezintă numărul de sute conținute în numărul respectiv, cifra 4 — numărul de zeci, cifra 8 — numărul de unități și în sfîrșit cifra 3, care se află după virgulă, reprezintă numărul de zecimi. Cu alte cuvinte, numărul respectiv poate fi scris sub forma $248,3 = 2 \cdot 10^2 + 4 \cdot 10^1 + 8 \cdot 10^0 + 3 \cdot 10^{-1}$.

Pentru ca pe un portprogram dat să se înregistreze un număr în sistemul de numerație zecimal, trebuie ca portprogramul să aibă atîtea poziții (posturi) fixe cîte ranguri zecimale are numărul înregistrat și în fiecare post al portprogramului să se înregistreze numărul de unități de rangul respectiv. De exemplu, banda perforată trebuie să aibă atîtea piste cîte ranguri zecimale are numărul respectiv și în fiecare pistă trebuie să existe cîte o gaură (perforație) corespunzătoare numărului de unități de rangul respectiv. Astfel, pentru înscirerea unui număr trebuie să existe 10 n poziții, în care n este numărul de cifre din care este format numărul și deci pe bandă n reprezintă numărul de rînduri. Banda fiind împărțită în grupe, în fiecare grupă, corespunzătoare unei mișcări, va fi înscris un număr.

În figura 13.1 este arătat un exemplu de înscirere a numerelor în sistemul zecimal, x , y , și z reprezentînd coordonatele direcțiilor de avans. Se observă că pentru înscirerea pe bandă a numerelor 41640, 02051 și 00269 sînt necesare cinci rînduri.

— sistemul de numerație binar, care folosește pentru înregistrarea oricărui număr numai două cifre: 0 și 1. În primul rang al unităților se însciriu unitățile cu valoarea 1.2^0 , în al doilea rang — unitățile cu valoarea 1.2^1 , în al treilea rang — unitățile cu valoarea 1.2^2 și în al n -lea rang unitățile cu valoarea 1.2^{n-1} . Numărul 110 scris în sistemul

bolurile codului sînt folosite pentru transmiterea informației, iar restul simbolurilor sînt folosite pentru verificare.

Excesul R este egal cu raportul dintre numărul total de simboluri ale codului n și numărul de simboluri m , necesare pentru transmiterea informației: $R = n/m$.

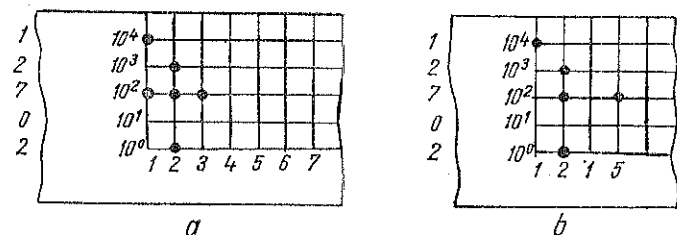


Fig. 13.4. Înregistrarea pe bandă a numărului 12 702: a — cod 8421; b — cod 5121.

Cel mai simplu cod de corectare este codul cu detectarea unei singure erori. Pentru transmiterea informației se folosesc $n - 1$ simboluri, iar al n -lea simbol este 0 sau 1, astfel încît suma cifrelor 1, din combinația respectivă a codului, să fie întotdeauna un număr par. O singură eroare schimbă paritatea, adică suma cifrelor 1 nu mai este un număr par, ceea ce duce la detectarea erorii. Excesul unui asemenea cod este $R = n/(n - 1)$, deoarece $m = n - 1$.

Există coduri de corectare mai complicate cu corectarea unei erori. Aceste coduri permit nu numai detectarea erorii ci și localizarea și corectarea ei. În acest caz sînt necesare mai multe verificări.

2. PREGĂTIREA ȘI PRESCRIEREA PROGRAMULUI

2.1. PORTPROGRAME

Pentru înregistrarea programului se folosesc în mod obișnuit cartele perforate, benzi perforate, pelicule cinematografice, portprograme magnetice (benzi, sîrmă, tambure sau discuri magnetice) etc.

Cartela perforată se execută din carton tare cu o conductivitate electrică redusă. Cifrele se inscriu sub formă de găuri, în rînduri orizontale și coloane verticale. Se folosesc în mod curent cartelele perforate standardizate.

Banda perforată este o bandă de hirtie sau material plastic cu conductivitate electrică mică, în care sînt perforate într-o anumită ordine găuri ce exprimă într-un anumit cod informația de bază.

Pelicula cinematografică se folosește de obicei la codificarea programelor după sistemul binar, înregistrarea făcîndu-se cu ajutorul fotografierii pe film pozitiv iar redarea (citirea) prin sistemul fotoelectric. Ea are o lățime de 35 mm.

Benzile magnetice, cu lățimea de 6,5—3,5 mm și lungimi de 1 000 m, permit înregistrarea a 30—60 semnale pe lungimea de 1 cm, în 2—4 coloane. Deși echipamentul pentru înregistrarea programului este destul de complicat, benzile magnetice au avantajul că un anumit program poate fi șters și înregistrat un altul pe aceeași bandă.

Sîrma, tamburul și discul magnetic se bazează pe același principiu ca și banda magnetică, diferind doar forma portprogramului; ele sînt însă mai puțin răspîndite.

2.2. ÎNTOCMIREA PROGRAMULUI

Pentru întocmirea programului sînt necesare două operații: pregătirea tehnologică și pregătirea matematică.

Pregătirea tehnologică constă din: stabilirea materialului din care este executată piesa, determinarea dimensiunilor necesare ale semifabricatelor, tipurilor și dimensiunilor cutitului, stabilirea dispozitivului de prindere a piesei de prelucrat, indicarea felului operației, degroșare sau finisare, mărirea adaosului de prelucrare, indicarea gradului de precizie etc.

Pregătirea matematică constă din calcularea și întocmirea tabelor, în care datele geometrice ale piesei se codifică în sistemul de numerație corespunzător. În acest scop pentru piesa din fig. 13.5, a se alege punctul A ca origine a sistemului de coordonate (fig. 13.5, b) și se recalculează toate cotele considerînd noua origine. Dacă se consideră virful cutitului dispus în punctul A pentru a genera profilul piesei, el va avea de parcurs distanțele următoare (s-a făcut și transpunerea în sistemul binar):

$$T_1 = 40 \rightarrow 101\ 000;$$

$$T_2 = 75 \rightarrow 1001011;$$

$$T_3 = 125 \rightarrow 1111101;$$

— în sens transversal:

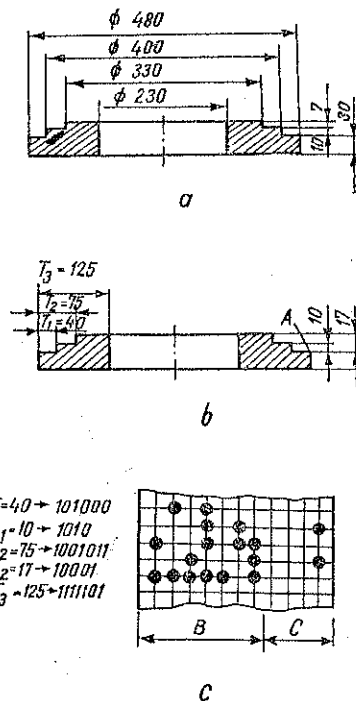


Fig. 13.5. Exemplu de codificare a unei piese în sistemul binar:

a — piesă de prelucrat; b — sistem de coordonate; c — bandă perforată.

— în sens longitudinal :

$$L_1 = 10 \rightarrow 1010 ; L_2 = 17 \rightarrow 10001.$$

Sucesiunea fazelor pe mașină-unealtă este

$$T_1 \rightarrow L_1 \rightarrow T_2 \rightarrow L_2 \rightarrow T_3.$$

Programul ciclului este înscris pe intervalul *B* al benzii perforate (fig. 13.5, *c*) iar comenzile auxiliare pe intervalul *C*. Comenzile auxiliare cuplează avansul transversal sau cel longitudinal după necesități :

2.3. DISPOZITIVE PENTRU ÎNREGISTRAREA PE PORTPROGRAME

Înregistrarea programului pe cartele sau benzi perforate se face cu ajutorul unor perforatoare ; pentru înregistrarea pe peliculă cinematografică se folosesc dispozitive de iluminat cu lămpi, iar pentru înregistrarea pe bandă, sîrmă sau tambure magnetice se folosesc diferite capete magnetice.

Perforatoarele sînt de două tipuri : cu o perioadă și cu două perioade. La primele, concomitent cu înregistrarea datelor are loc și perforarea găurilor, succesiv în toate coloanele cartelei. La cele cu două perioade, mai întîi are loc înregistrarea tuturor datelor care trebuie trecute pe cartelă, iar după aceea perforarea concomitentă a tuturor găurilor pe cartelă. Perforatoarele cu două perioade deși constructiv sînt mai complexe decît cele cu o perioadă, au următoarele avantaje : permit corectarea erorilor observate în timpul înregistrării, fac posibilă repetarea automată pentru o serie de cartele a datelor necesare și asigură perforarea automată a unui număr oricît de mare de cartele cu aceleași date, fără a fi necesară repetarea înregistrării.

* Dispozitivul de înregistrare pe peliculă cinematografică asigură înregistrarea programului prin iluminarea porțiunilor necesare ale peliculei, prin fotografierea unui ecran dreptunghiular, în spatele căruia sînt dispuse într-o anumită ordine lămpi care se conectează conform combinației de cod prescrise.

Capul magnetic (fig. 13.6) se compune din două semiinele 1 și 2 lipite la un capăt și cu un canal (întrefier) de 0,01 — 0,02 mm la celălalt capăt. Bobinele 3 produc cîmpul magnetic datorită curentului de alimentare. Emulsia feromagnetică de pe banda 4, fiind

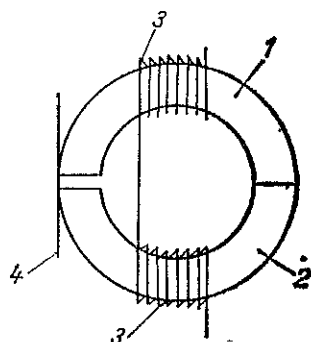


Fig. 13.6. Schema capului magnetic

magnetizată de cîmpul magnetic, imprimă programul dorit. La reproducere (citire) portprogramul trece prin fața unui cap similar de recepție, procesul desfășurîndu-se invers.

3. ELEMENTELE PRINCIPALE ALE SISTEMELOR DE COMANDĂ DUPĂ PROGRAM

3.1. DISPOZITIVE PILOT

Dispozitivele pilot se compun din : dispozitive pentru avansarea portprogramului, dispozitive de citire a programului, dispozitive de introducere manuală a programului, dispozitive de decodificare și convertizare și dispozitive de memorizare. Prezența tuturor acestor elemente ale dispozitivului pilot nu este obligatorie, unele din ele putînd lipsi.

Dispozitivul pentru avansarea portprogramului se prezintă sub forma unui mecanism de tragerea benzii în cazul portprogramelor sub formă de benzi perforate, magnetice sau cinematografice. Mișcarea benzii poate fi continuă, în care caz se folosește un motor electric de putere mică cu un reductor, sau discontinuă, realizată de exemplu cu un mecanism cu clichet acționat de un electromagnet.

Dispozitivele de citire pot fi cu contacte, fotoelectrice sau magnetice. Ele folosesc la citirea informației imprimată pe portprogram.

— Dispozitivele de citire cu contacte sînt de două tipuri : cu perii și mecanice.

Dispozitivele de citire cu perii au un bloc de perii care palpează permanent sau periodic portprogramul. Cînd o perforație a benzii ajunge în dreptul periei, aceasta intră în ea și închide circuitul prin axul sau tamburul de contact.

Dispozitivele de citire mecanice, la care deplasarea unui știft ce intră în perforația benzii, este transformată cu ajutorul unor pîrghii în deplasarea unui contact mobil, necesară pentru apropierea sau depărtarea lui de un alt contact fix (normal-deschis respectiv normal-închis).

— Dispozitivul de citire fotoelectric, se compune dintr-un bec electric de iluminat și din celule fotoelectrice prevăzute de obicei cu amplificatoare electronice. Acest dispozitiv permite viteze mari de citire (pînă la 10 000 perforații pe secundă), iar portprogramul nu se uzează practic de loc.

— Dispozitivul de citire magnetic, folosește pentru citirea informațiilor capete magnetice de același tip cu cele pentru înregistrare. El se montează de obicei împreună cu dispozitivele de înregistrare și de ștergere.

Dispozitivele de decodificare și convertire servesc la convertirea informației înregistrate într-un anumit sistem de numerație sau într-un anumit cod. De cele mai multe ori informația este convertită din sistemul binar sau zecimal codificat în sistemul de numerotație zecimal sau invers.

Dispozitivele de decodificare și de convertire, sau pur și simplu de convertire, pot fi:

- cu relee;
- cu rețea de diode (matrice diodice).

Dispozitivele de convertire cu rețele de diode permit înlocuirea numărului mare de contacte prin redresoare semiconductoare; de aceea prezintă o siguranță mai mare decât dispozitivele de convertire cu relee.

Dispozitivul de memorizare servește la memorizarea informației primite de la portprogram și introducerea ei direct în schema sistemului pozițional de comandă după program. Uneori dispozitivul poate lipsi ca dispozitiv separat. În acest caz, memorizarea informației are loc chiar pe portprogram, iar introducerea ei în schemă se realizează de către dispozitivul de citire. Adeseori funcțiunile dispozitivului de memorizare sînt îndeplinite de către dispozitivul de convertire.

3.2. SCHEME DE NUMĂRARE

Schemele de numărare sînt folosite pentru numărarea și memorizarea numărului de impulsuri. De obicei se folosesc următoarele scheme de numărare;

- scheme de numărare cu selectoare pas cu pas;
- scheme de numărare cu relee;
- scheme de numărare cu dispozitive de numărare pas cu pas, auxiliare;
- scheme de numărare cu tuburi electronice sau semiconductori;
- scheme de numărare cu elemente fără contacte, magnetice sau de alt tip.

Schemele de numărare cu selectoare pas cu pas cele mai simple sînt cele la care se folosesc selectoare pas cu pas, telefonice.

Schemele de numărare cu relee sînt mai complicate și au un număr de contacte mai mare, însă funcționează mai sigur decât schemele cu selectoare pas cu pas.

Schemele de numărare electronice sînt alcătuite din celule elementare cu două stări stabile, denumite *trighere*, circuite basculante sau multivibratoare bistabile. Dacă la un trigger se trimite o serie de impulsuri, la primirea fiecărui impuls triggerul trece dintr-o stare stabilă în cealaltă.

Această proprietate a triggerului permite folosirea sa în schemele de numărare drept unul din etajele unui dispozitiv de numărare binar. În acest caz, una din pozițiile stabile ale triggerului corespunde cifrei 0, iar cealaltă cifrei 1, în rangul binar respectiv.

Viteza de numărare în schemele electronice poate atinge sute de mii de impulsuri pe secundă.

Schemele de numărare cu miezuri de ferită folosesc elemente cu ferită de forma unor toroizi cu mai multe înfășurări, care au o buclă de histerezis aproape dreptunghiulară.

La intrarea impulsului într-una din înfășurări, miezul de ferită se magnetizează păstrîndu-și această stare un timp foarte îndelungat. Dacă în cealaltă înfășurare intră un impuls de polaritate invers, miezul de ferită se magnetizează în sens invers.

Din asemenea elemente cu ferită poate fi asamblate scheme de numărare și dispozitive de memorizare.

3.3. DISPOZITIVE DE ACȚIONARE

Dispozitivele de acționare ale mașinilor-unelte utilizate cu comandă după program cuprind în general elementele obișnuite pentru majoritatea dispozitivelor și mecanismelor moderne.

Un tip special de dispozitiv de acționare folosit adeseori în sistemele de comandă după program este acela care are un dispozitiv pas cu pas, adică un dispozitiv pentru deplasarea în trepte a organului de execuție al mașinii, cu distanțe (pași) strict egale.

Dispozitivele folosite în mod curent la acționarea mașinilor-unelte cu comandă după program sînt dispozitive de acționare: electrice, hidraulice, electrohidraulice și pas cu pas.

Dispozitivul de acționare electric cel mai simplu este motorul electric asincron cu rotorul în scurtcircuit. Adeseori fiind necesară o turație de lucru și o turație lentă, aceasta din urmă în cazul motorului asincron poate fi obținută prin una din următoarele metode:

- prin comutarea lanțului cinematic al dispozitivului de acționare, realizată cu ajutorul unor cuplaje comandate de electromagneți;
- prin folosirea unor scheme speciale în care motorul electric este alimentat concomitent cu curent alternativ și cu curent continuu;
- prin conectarea prin impulsuri a motorului electric.

În afara acționării cu motor asincron se mai pot folosi și alte tipuri de dispozitive de acționare;

- dispozitive de acționare după sistemul amplidină-motor;
- dispozitive de acționare cu amplificatoare magnetice;
- dispozitive de acționare electronice, la care motorul electric este alimentat de la redresor și este comandat electronic;
- dispozitive de acționare cu motoare asincrone bifazate.

Dispozitivele de acționare hidraulice, conțin de obicei un motor (cilindru) hidraulic și mai multe pompe acționate de motoare electrice cu care se realizează presiunea în circuitul hidraulic. Comutarea circuitelor hidraulice se obține de cele mai multe ori, cu ajutorul unor sertărașe acționate cu electromagneți. În cazul în care există variații ale sarcinii, pentru stabilirea vitezei cilindrului hidraulic se folosesc reglaje de viteză speciale.

Dispozitivele de acționare electrohidraulice folosesc, drept motoare, cilindri hidraulici sau motoare hidraulice rotative. Dintre aceste dispozitive de acționare fac parte dispozitivele de acționare hidraulice comandate de sertărașe electrohidraulice care primesc impulsuri de comandă de la un motor electric sau de la un dispozitiv de acționare special cu electromagnet.

Dispozitivele de acționare pas cu pas servesc pentru realizarea unor deplasări succesive cu distanțe precise (pași). În prezent se folosesc următoarele dispozitive pas cu pas;

- motorul cu electromagnet și clichet;
- motorul cu ancoră;
- cuplaje pentru o rotație și pentru jumătate de rotație;
- motorul sincron reactiv comandat prin impulsuri, cu înfășurări concentrate ale statorului;
- motorul sincron reactiv comandat prin impulsuri, cu înfășurări distribuite ale statorului;
- motorul sincron lucrind în regim de motor pas cu pas;
- motorul cu stricțiune magnetică.

4. PROGRAMAREA CICLULUI, A REGIMURILOR DE PRELUCRARE ȘI A SCHIMBĂRII CUȚITULUI LA STRUNGURI

4.1. PROGRAMAREA CICLULUI

În multe cazuri, sistemele poziționale de comandă după program trebuie să asigure nu numai reglarea rapidă a parametrilor programați ci și reglarea succesiunii și a numărului de operații de lucru realizate de către strung, adică reglarea ciclului de lucru al strungului. În asemenea cazuri, ciclul de lucru nu este determinat univoc de construcția strungului și există posibilitatea schimbării rapide a ciclului.

4.1.1. Programarea ciclului la strunguri. La strungurile cu comandă după program pentru prelucrarea arborilor în trepte este necesară

programarea ciclului de prelucrare, evident în cazul în care prelucrarea se face în mai multe treceri.

Pentru exemplificare, în figura 13.7 este reprezentată o schemă tip de prelucrare a unei piese pe un strung cu comandă după program, în cinci treceri ($I \dots V$). Numărul de treceri poate varia în funcție de dimensiunile piesei și de aceea sistemul de programare trebuie să permită realizarea numărului maxim de treceri, astfel încât să poată fi prescris oricare alt număr de treceri mai mic decât acesta.

Ultima trecere (de finisare) V diferă de trecerile precedente (de degroșare) $I \dots IV$, deoarece cuțitul trebuie să se deplaseze în acest caz după o traiectorie care repetă forma piesei. Trecerile de degroșare diferă între ele și în special prin lungimea cursei, însă adeseori mai multe treceri de degroșare succesive au aceeași lungime a cursei. Trecerile de degroșare se pot executa cu diferite adâncimi de așchiere, la diferite turații ale arborelui principal și cu diferite valori ale avansului. În afară de aceasta, la unele treceri este necesară prelucrarea unor canale care se realizează cu ajutorul unui cuțit de cancelat. Toate acestea trebuie prescrise la programarea ciclului de lucru al strungului.

Pentru prescrierea programului la aceste sisteme se folosesc de obicei comutatoare rotative cu mai multe poziții. Pentru fiecare trecere se prescrie turația și avansul; se prescrie de asemenea numărul de treceri cu aceeași lungime a cursei. Sistemul este prevăzut cu o schemă de numărare simplă care numără trecerile și care conectează pentru fiecare trecere, valorile parametrilor prescrise prin program.

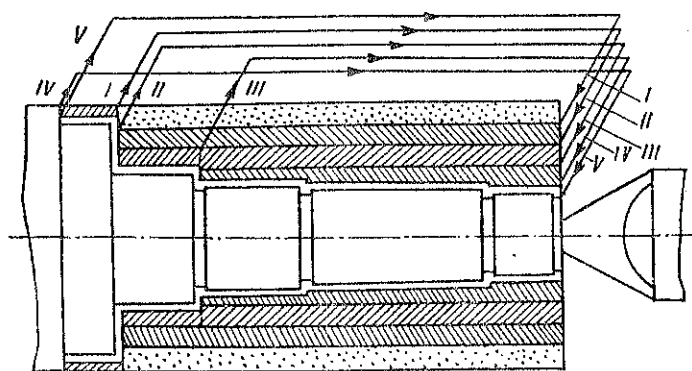


Fig. 13.7. Schemă tip de prelucrare a unei piese pe un strung cu comandă după program.

Prescrierea lungimii cursei pentru fiecare trecere se face cu ajutorul unui tambur rotativ cu opritoare sau prin conectarea unor întrerupătoare acționate fiecare de către o serie de came. Trecerea de finisare se realizează de obicei prin metoda copierii.

4.1.2. Programarea ciclurilor simple la strungul carusel. La strungul carusel care lucrează după mai multe cicluri simple, fiecare dintre acestea putînd fi prescrise prin program, ciclul nu se mai divide în elemente. În figura 13.8 este reprezentată programarea ciclurilor mișcării

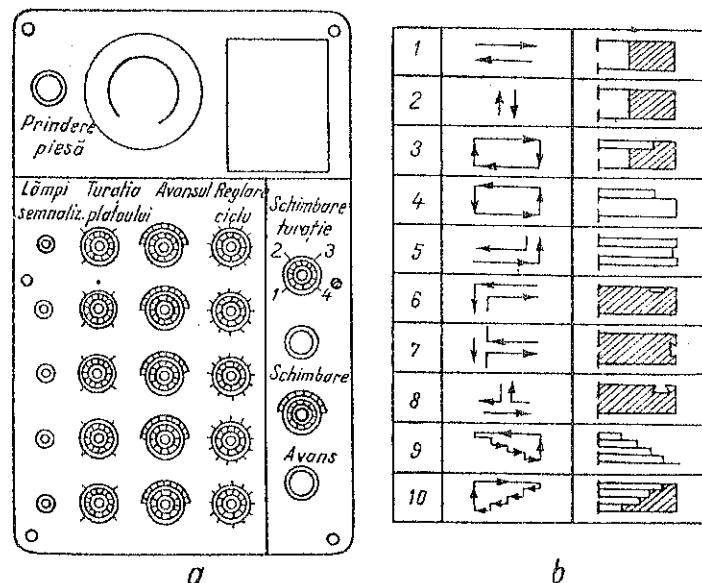


Fig. 13.8. Programarea mișcării căruciorului unui strung carusel cu comandă după program :

a — pupitrul de alegere a programului; b — variantele mișcării căruciorului.

căruciorului unui strung carusel cu comandă după program. Variantele căruciorului (fig. 13.8, b) sînt reprezentate astfel : în prima coloană sînt notate numerele de ordine ale ciclurilor, în a doua sînt reprezentate schemele mișcărilor căruciorului, iar în a treia coloană, piesele tipice care pot fi prelucrate în ciclul respectiv. Oricare dintre aceste cicluri se alege cu ajutorul unui comutator cu zece poziții prevăzut pe pupitrul de alegere a programului (fig. 13.8, a).

4.2. PROGRAMAREA REGIMURILOR DE PRELUCRARE

La prelucrarea pieselor pe strunguri revolver, strunguri normale etc. este de multe ori necesară programarea regimurilor de prelucrare (turațiilor și avansurilor). Prin programarea regimurilor de prelucrare se obține o creștere importantă a productivității. Există diferite scheme de programare a schimbării regimurilor de prelucrare.

4.2.1. Programarea regimurilor de prelucrare la strungurile cu cap revolver. Aplicarea programării regimurilor de prelucrare este caracteristică pentru strungurile cu cap revolver la care, în timpul prelucrării, are loc schimbarea seculi. Uneori, în acest caz se aplică programarea regimurilor de prelucrare chiar dacă restul operațiilor nu sînt automatizate. La unele strunguri-revolver automate programarea regimurilor de prelucrare este combinată cu automatizarea rigidă a celorlalți parametri, cu ajutorul camelor și opritoarelor.

Pentru toate aceste sisteme, turațiile și avansurile sînt prescrise cu ajutorul unor comutatoare rotative, mai rar cu ajutorul unor tablouri cu fișe, pentru fiecare poziție a capului revolver. Poziția capului revolver este controlată la rîndul său, de către limitatoare de cursă, care conectează circuitele comutatoarelor programului pentru poziția respectivă. Ca atare, la fiecare rotație a capului revolver turațiile și avansurile se schimbă, corespunzînd în fiecare poziție a capului revolver cu valorile prescrise.

4.2.2. Mecanisme pentru programarea turațiilor și avansurilor.

Schimbarea turațiilor și avansurilor se realizează de obicei, cu ajutorul unor ambreiaje electromagnetice, iar în cazul motoarelor cu curent continuu, prin schimbarea valorii rezistențelor din circuitele de excitație. În cazurile în care succesiunea operațiilor nu poate fi controlată în funcție de cursă, se aplică metoda de numărare a operațiilor. În acest scop, sistemul cuprinde o schemă de numărare simplă care realizează schimbarea regimurilor de prelucrare în concordanță cu valorile prescrise pentru operația respectivă.

La programarea turațiilor și avansurilor se pot folosi mecanisme preselektive, ca de exemplu, cu robinet hidraulic distribuitor. Pentru acest sistem se programează poziția robinetului care comandă poziția roților dințate baladoare din cutia de viteze sau avansuri. Poziția unghiulară a robinetului este determinată de poziția unei cremaliere care se sprijină într-o camă rotitoare, adusă în prealabil într-o anumită poziție. Sistemul are mai multe asemenea came.

Camele sînt rotite în prealabil în așa fel încît să asigure, la fiecare trecere, poziția necesară cremalierei și robinetului distribuitor. Înainte de fiecare trecere, cremaliera se sprijină pe una dintre came, robinetul distribuitor ocupă o anumită poziție iar cutia de viteze sau avansuri asigură regimul necesar de prelucrare. De fapt, acest sistem reprezintă un sistem pozițional de comandă după program a deplasărilor unghiulare ale robinetului distribuitor, cu poziționarea prealabilă a opritoarelor.

4.3. PROGRAMAREA SCHIMBĂRII CUȚITULUI

Schimbarea cuțitelor este necesară la strungurile cu comandă după program care servesc pentru prelucrarea pieselor în trepte și lucrează după un „ciclu dreptunghiular”. Schimbarea cuțitului nu înseamnă numai schimbarea unui cuțit cu o anumită formă printr-un cuțit cu o altă formă, ci și schimbarea unui cuțit uzat cu un cuțit ascuțit.

Cind numărătorul de cuțite este de maximum 6—8, se folosește de obicei, un cap revolver. În acest caz, alegerea cuțitului se reduce la alegerea unei poziții a capului revolver. Ca exemplu se pot cita: rotirea capului revolver în poziția necesară până la un opritor rigid, fiecărei poziții corespunzându-i un anumit opritor acționat de un electromagnet sau de un cilindru hidraulic; rotirea pas cu pas a capului de la o poziție la următoarea și numărarea pașilor (în acest caz trebuie prescris numărul de pași ai capului pentru alegerea cuțitului necesar).

Pentru situația în care trebuie schimbate un număr mare de cuțite, acestea se depozitează de obicei într-un magazin de tip tambur sau de alt tip. Schimbarea cuțitului se realizează fie cu ajutorul portcuțitului care se apropie de posturile corespunzătoare ale magazinului, desprinde cuțitul care nu mai este necesar sau care nu mai corespunde și prinde cuțitul necesar, fie cu ajutorul unor dispozitive speciale denumite manipolatoare, care realizează transportul cuțitului de la portcuțit la tambur și invers, precum și prinderea cuțitului în portcuțit. Uneori magazinul este mobil, aducând el însuși cuțitul la portcuțit.

5. CONTROL ȘI AUTOREGLARE

5.1. CONTROLUL FUNCȚIONĂRII SCHEMELOR

Siguranța în funcționare a sistemelor poziționale de comandă după program constituie cea mai importantă problemă a comenzii după program. Mărirea siguranței acestor sisteme se obține prin folosirea unor elemente și dispozitive mai sigure prin elaborarea unor sisteme mai simple și prin controlul funcționării diferitelor părți și elemente ale sistemului.

5.1.1. Controlul cu ajutorul codurilor corectoare. Prin folosirea codurilor corectoare se verifică funcționarea dispozitivului de citire și, într-o oarecare măsură, înregistrarea programului pe portprogram. De cele mai multe ori se folosește un cod de corectare de tipul cel mai simplu, cu verificarea parității. Paritatea se verifică cu o schemă de relee simplă. Dacă apare o eroare, mașina cu comandă după program se oprește. Codurile de corectare mai complicate se folosesc mult mai

rar datorită complexității mari a dispozitivelor de înregistrare și verificare precum și folosirii într-o măsură mai mică a portprogramului.

5.1.2. Controlul prin metoda dublării. Cînd se folosește această metodă, în locul unui element care îndeplinește funcția respectivă, se prevăd două elemente identice funcționînd în paralel. De exemplu, în cazul folosirii schemelor de numărare, adeseori în cazul folosirii unei singure asemenea scheme se utilizează două, fiecare schemă lucrînd independent una de cealaltă, iar rezultatele se compară. În cazul în care rezultatele nu coincid sistemul se oprește pînă la repararea deranjamentului.

5.1.3. Controlul prin autocorectare. Cea mai perfecționată metodă de control este aceea care folosește principiile de alcătuire a codurilor de corectare pentru realizarea schemelor de numărare cu autocorectare. În acest caz, oricare dintre combinațiile de stări ale releelor schemei de numărare este reprezentată printr-un număr binar, unui relee conectat corespunzându-i cifra 1, iar unui relee deconectat cifra 0. Succesiunea funcționării schemei de numărare este reprezentată prin numere binare. La aceste numere binare se adaugă simboluri suplimentare după regulile de alcătuire a codului de corectare ales. După aceea, în schemă se adaugă relee a căror stare în toate pozițiile succesive ale schemei de numărare corespunde acestor simboluri suplimentare. Pe baza acestor considerente s-a elaborat o schemă zecimală cu relee cu autocorectare (distribuitor zecimal cu relee), care corectează orice eroare simplă (unică) provocată de un contact imperfect sau de întreruperea bobinei vreunui relee, adică de neanclanșarea releului următor sau de sudarea contactelor. Numărul de relee suplimentare pentru un rang al schemei zecimale este egal cu zece.

În concluzie, în cazul folosirii unei asemenea scheme cu autocorectare se economisește un număr mare de relee în comparație cu metoda dublării, iar eroarea este înlăturată de schema însăși fără oprirea sistemului de poziționare a comenzii după program.

5.2. CONTROLUL STĂRII CUȚITELOR ȘI COMPENSAREA UZURII

La unele strunguri cu comandă după program sînt prevăzute dispozitive pentru compensarea uzurii cuțitelor. Controlul stării cuțitului este prevăzut, de cele mai multe ori, în același timp cu compensarea uzurii cuțitului. Această compensare se realizează de obicei după una din următoarele variante:

— cu ajutorul unui traductor care, supus acțiunii unei mărimi de o anumită natură, o traduce într-o mărime de altă natură, care depinde în mod biunivoc de prima;

— cu aducerea tăişului totdeauna în acelaşi punct care coincide cu originea coordonatelor.

5.2.1. **Compensarea uzurii cușitului cu ajutorul unui traductor.** Înainte de prelucrarea fiecărei piese, cușitul este adus la un post de măsurare, unde i se măsoară uzura cu ajutorul unui traductor. Dacă traductorul nu se află în poziția zero, cușitul este deplasat înainte de un dispozitiv de acționare special pentru compensarea uzurii sale până când traductorul indică poziția zero. Controlul uzurii cușitului se realizează prin intermediul unor traductoare foarte sensibile cu contacte, inductiv-diferențiale sau cu scintei electrice.

5.2.2. Compensarea uzurii cuțitului cu aducerea tăişului în acelaşi punct. În fig. 13.9 este reprezentată schema dispozitivului de compensare a uzurii cuțitului la un strung automatizat. Plăcile 1 și 2 ajută la potrivirea inițială, corectă a cuțitului 3 față de piesa de prelucrat 4. Înainte de începerea prelucrării fiecărei piese, cuțitul este adus spre plăcile dispozitivului de compensare. Inițial, cuțitul primește o mișcare lentă în direcția plăcii 1 spre punctul *A* aflat în spatele plăcii. Cuțitul ajungând în *B* atinge placa și se oprește. Comanda pentru oprire este primită prin închiderea circuitului dintre placă și cuțit. După aceea, cuțitul este retras cu o distanță strict determinată în punctul *C*. Apoi cuțitul primește o mișcare în direcția punctului *D*, adică în spatele plăcii 2. Cuțitul ajunge până la punctul *E* și se oprește. După aceea, el este retras cu o distanță strict determinată până în punctul *O*. Coor-

donatele acestui punct față de piesă sînt cunoscute. Apoi, cuțitul se deplasează spre piesă după coordonatele prescrise prin program. În consecință punctul *O* este punctul inițial în care se așază tăișul cuțitului oricare ar fi uzura acestuia.

5.3. SISTEME DE COMANDĂ DUPĂ PROGRAM CU ELEMENTE DE AUTO-REGLARE

Fig. 13.9. Schema dispozitivului de compensare a uzurii cuțitului la un strung automatizat.

dimensiune fie cu reglarea regimurilor de prelucrare, în scopul
obținerii unei productivități maxime.

5.3.1. Reglarea intermediară automată la dimensiune. Acest sistem de reglare diferă de metodele de compensare a uzurii cutitului deoarece în acest caz se realizează reglarea automată a procesului de prelucrare și de obicei sint prevăzute legături inverse (de reacție) care controlează

dimensiunea pieselor. Ca atare în acest caz are loc reglarea automată a procesului pentru obținerea unor piese cu dimensiunile prescrise, oricare ar fi cauza care provoacă abaterea dimensiunilor față de aceste valori, în timp ce în cazul compensării uzurii cuțitului se înlătură numai cauza principală care provoacă abaterrea dimensiunilor, adică uzura cuțitului.

În fig. 13.10 este reprezentată schema structurală generală a unui sistem de reglare intermediară automată. Sistemul se compune din următoarele ansambluri: dispozitivul de măsurare DM , care controlează direct sau indirect dimensiunile piesei 1 în timpul prelucrării; dispozitivul de calcul (aritmetic) DA , în care sînt prelucrate rezultatele măsurării, o caracterizează calitatea reglării; introduce valoarea teoretică a parametrului de reglare corectă; dispozitivul de comandă parametrului primit de la dispozitivul de măsurare; dispozitivul de acționare A , care servește

Elementul cel mai important al sistemului de reglare intermediară automată la dimensiune îl prezintă dispozitivul de calcul, al cărui principiu de funcționare determină principiul de reglare a sistemului.

Sistemele de reglare automată la dimensiune se realizează după următoarele principii de bază:

— se controlează fie dimensiunea fiecărei piese fie dimensiunea unei piese prin sondaj, după un anumit număr de piese și pe baza rezultatelor fiecărei măsurări se dă comanda pentru reglarea intermediară a poziției cutitului;

— se controlează dimensiunea fiecărei piese și pe baza fiecărei măsurări se dă comanda pentru reglarea intermediară, care se realizează prin impulsuri mici adică printr-o deplasare a cutitului mult mai mică decât abaterea măsurată față de dimensiunea prescrisă;

— se controlează dimensiunea fiecărei piese, se calculează media aritmetică a rezultatelor măsurilor unui anumit număr de piese și se compară media cu dimensiunea prescrisă; reglarea intermediară se face cu o distanță corespunzătoare diferenței calculate.

5.3.2. Reglarea în scopul obținerii regimului optim de aşchiere. În sistemul de comandă al strungului se include un aparat pentru calcularea regimurilor optime de aşchiere astfel încît pe baza semna-

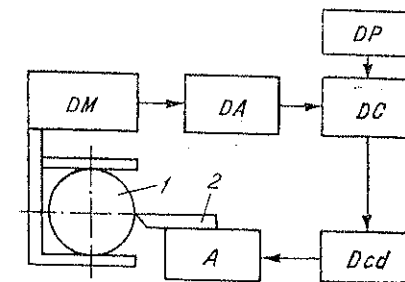


Fig. 13.10. Schema structurală generală a unui sistem de reglare intermediară automată la dimensiune.

lelor date de acest aparat să se stabilească automat parametrii regimurilor de aşchiere. Pentru stabilirea regimurilor optime de aşchiere la strunguri se folosesc aparate cu introducerea manuală a datelor inițiale,

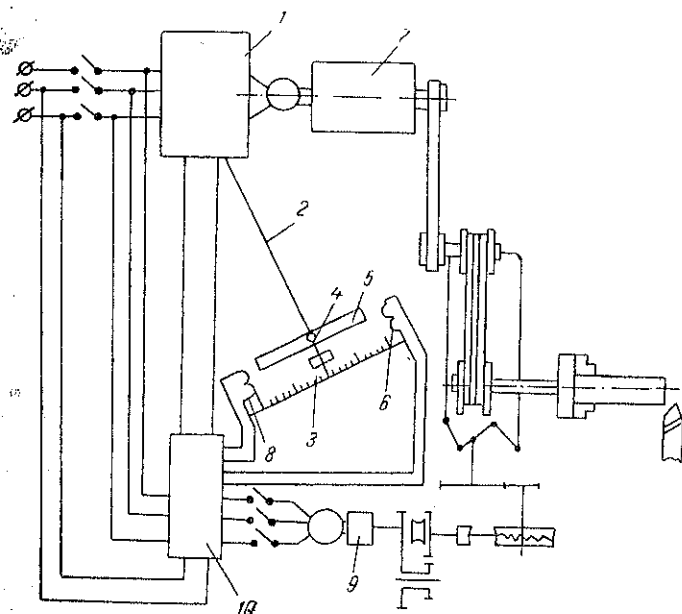


Fig. 13.11. Schema dispozitivului pentru menținerea automată a puterii.

cu căutarea manuală a soluției și cu controlul vizual pe baza unui galvanometru de zero. Pentru a putea include aceste aparate într-un sistem de comandă automat ele trebuie automatizate, ceea ce este realizabil din punct de vedere tehnic. În aceste cazuri, programul trebuie să cuprindă informații suplimentare cu privire la durabilitatea cuțitului, rigiditatea și materialul piesei, rezistența și rigiditatea strungului și cu privire la alți parametri de care se ține seama la calculul regimurilor optime de aşchiere. Asemenea aparate nu sînt sisteme cu autoreglare, deoarece aparatul de calcul nu este altceva decît un dispozitiv de convertire mai complicat.

În fig. 13.11 este reprezentată schema dispozitivului pentru menținerea automată a puterii prin care se controlează continuu diferența dintre puterea reală consumată de motorul principal și puterea maximă admisibilă. Cînd există asemenea diferență, turația arborelui principal se modifică pentru o valoare constantă a avansului său, invers se modifică avansul pentru o turație constantă a arborelui

principal, astfel încît puterea motorului să rămînă constantă. În cazul folosirii acestui sistem, durabilitatea cuțitului și rigiditatea strungului trebuie să fie suficient de mari.

La acest sistem puterea motorului 7 este controlată de traductorul de putere 1, realizat pe baza unui wattmetru astatic de precizie. Pe acul indicator 2 al wattmetrului este fixat un ecran de comandă 3 și un amortizor constituit din lama 4 cufundată în rezervorul 5, umplut cu ulei. În cazul unor abateri ale puterii consumate, ecranul 3 acționează asupra bobinelor 6 și 8 conectate în circuitele de grilă ale releelor electronice 10, care pornesc motorul 9 al unui variator mecanic folosit la schimbarea turației arborelui principal.

La pornirea strungului, arborele principal are o turație minimă și de aceea sarcina și puterea absorbită de motorul 7 sînt și ele minime. Acul indicator 2 se rotește spre bobina 8, iar releul electronic 10 pornește motorul 9 al variatorului. Turația arborelui principal crește, ceea ce duce la creșterea puterii absorbite de motorul 7. În momentul în care această putere crește pînă la valoarea prescrisă, acul 2, al traductorului de putere 1 ajunge în poziția neutră și releul 10 oprește motorul 9 al variatorului. Sistemul reacționează la orice abateri ale puterii absorbite de motorul 7, modificînd turația arborelui principal astfel încît puterea motorului 7 să rămînă constantă.

În cazurile în care durabilitatea cuțitului limitează productivitatea, iar puterea nominală a motorului este mare și nu este folosită în întregime, se utilizează un sistem cu ajutorul căruia se controlează temperatura tăișului cuțitului și, în cazul în care această temperatură scade sub valoarea maximă admisibilă, se modifică avansul sau turația arborelui principal astfel încît temperatura să rămînă constantă.

5.4. MAȘINI-UNELTE CU COMANDĂ DUPĂ PROGRAM CONSTRUITE ÎN R.S.R.

Ritmul rapid de industrializare a țării noastre și creșterea continuă a productivității muncii au impus folosirea pe scară largă în industria constructoare de mașini a procedeele moderne de prelucrare a metalelor.

Un rol hotărîtor la creșterea productivității muncii și la reducerea termenelor de fabricație l-a avut fabricarea mașinilor-unelte cu comandă după program.

Dintre mașinile-unelte cu comandă după program construite pînă în prezent în R. S. R. se menționează cele fabricate de către:

- Întreprinderea Mașini-Unelte și Agregate București (I.M.U.A.B.)
- strungurile carusel cu afișaj de cote: SC 1600-A (\varnothing piesă = 1600 mm), SC 2000-A (\varnothing = 2 000 mm), SC 2500-A (\varnothing = 2 500 mm), SC 3200-A (\varnothing = 3 200 mm);

- strungurile carusel cu comandă numerică: SC 1250—1NC ($\varnothing = 1\,250$ mm), SC 1600—1 NC ($\varnothing = 1\,600$ mm);
- strungurile carusel cu comandă secvențială: SC 1250—1CS ($\varnothing = 1\,250$ mm), SC 1600—1 CS ($\varnothing = 1\,600$ mm);
- mașinile orizontale de alezat și frezat cu afișaj de cote: AF 100—A, AF 130—A, AF 150—A cu diametrul arborelui de alezat de 100 mm, 130 mm și respectiv 150 mm;
- mașina orizontală de alezat și frezat cu comandă numerică AF 100—NC ($\varnothing = 100$ mm);
- mașinile de frezat longitudinal cu portal, cu afișaj de cote: FLP 1000—A (lățimea mesei $l = 1\,000$ mm), FLP 1600—A ($l = 1\,600$ mm).
- Întreprinderea Strungul Arad:
 - strungul paralel de producție, cu comandă numerică SP 630—NC ($\varnothing = 630$ mm);
 - strungul paralel de conturare, cu comandă numerică SP 630—NCC ($\varnothing = 630$ mm);
 - strungurile paralele cu afișaj de cote: SNA 450—A ($\varnothing = 450$ mm), SNA 500—A ($\varnothing = 500$ mm), SNA 560—A ($\varnothing = 560$ mm);
 - strungul-revolver cu comandă numerică SR 100—NC ($\varnothing = 100$ mm).
- Întreprinderea Mecanică Roman:
 - strungurile carusel cu afișaj de cote SC 1250—A ($\varnothing = 1\,250$ mm), SC 1250—1A ($\varnothing = 1\,250$ mm).
- Întreprinderea Mașini-unelte Bacău:
 - mașinile orizontale de alezat și frezat, cu afișaj de cote: AFD 100 ($\varnothing = 100$ mm), AF 63—2A ($\varnothing = 63$ mm), AF 80—2A ($\varnothing = 80$ mm), AF 85—A ($\varnothing = 85$ mm), AFD 100—A ($\varnothing = 100$ mm);
 - mașina de frezat longitudinal portală, cu afișaj de cote FLP 660—A (lățimea mesei $L = 660$ mm).
- Întreprinderea Înrățirea Oradea:
 - mașina de găurit cu comandă numerică GP 45—NC ($\varnothing = 45$ mm);
 - mașina de găurit cu cap revolver cu comandă numerică GPR 45—NC ($\varnothing = 45$ mm);
 - mașina de frezat verticală cu comandă numerică FV 500—NC (lățimea mesei $l = 500$ mm);
 - mașina de frezat verticală de conturare, cu comandă numerică FV 500—NCC (lățimea mesei $l = 500$ mm);
 - mașina de frezat verticală cu afișaj de cote FV 500—A (lățimea mesei $l = 500$ mm).

Capitolul 14

LINII AUTOMATE

O linie automată reprezintă un grup de mașini-unelte automate, legate într-un sistem automat unic și care execută continuu o serie de operații succesive ale procesului tehnologic de prelucrare a unei piese oarecare.

Pentru unirea mașinilor automate izolate într-un sistem automat unic, toate mașinile trebuie să fie legate între ele printr-un sistem de transport automat, care să transporte piesa de prelucrat de la un post de lucru la următorul și să se asigure un ciclu de lucru sincronizat în timp.

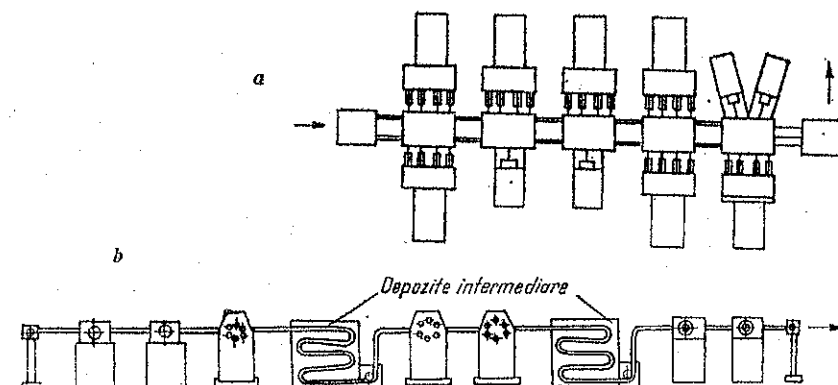


Fig. 14.1. Linii automate:

a—cu legătură rigidă; b—cu legătură elastică.

Cu ajutorul liniilor automate se obține forma cea mai avansată de automatizare a proceselor tehnologice, care elimină complet participarea directă a omului la procesele de prelucrare.

Din punctul de vedere al legăturilor dintre diferite mașini liniile automate se clasifică în:

— *linii automate cu legătură rigidă* (fig. 14.1, a), la care prelucrarea pieselor se execută în același timp la toate posturile de lucru, în confor-

mitate cu ciclul sincronizat. În această situație, semifabricatele se deplasează de la un post la altul prin intermediul unui transportor cu pas. Astfel de linii s-au construit la „Uzina de autocamioane” și la Uzina „Tractorul” din Brașov pentru prelucrarea blocurilor și chiulaselor motoarelor de autocamioane și tractoare. Ele sînt formate din mai multe mașini-unelte agregat;

— *linii automate cu legătură elastică* (fig. 14.1, b), care sînt caracterizate prin legăturile elastice (de obicei sub formă de lanțuri) dintre mașinile componente ale liniei și prin introducerea între mașini sau între grupurile de mașini a unor buncăre sau dispozitive intermediare. Aceste buncăre asigură o funcționare continuă a liniei pe o anumită perioadă de timp, în cazul defectării alimentării normale a liniei. Liniile automate cu legătură elastică se folosesc pentru piese de dimensiuni mai mici.

Din punctul de vedere al modului cum se prelucurează semifabricatul, liniile automate pot fi:

— *în flux continuu*, dacă piesa este supusă prelucrării în timpul transportului;

— *în flux discontinuu*, cînd transportul piesei reprezintă o cursă în gol.

O productivitate mai mare o au liniile în flux continuu, ele fiind formate din mai multe mașini de tip rotor (fig. 14.2).

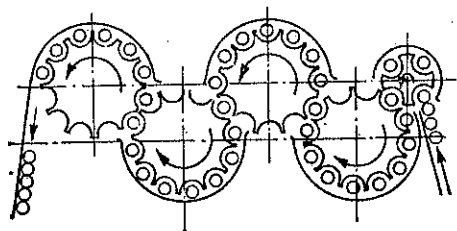


Fig. 14.2. Linie automată în flux continuu.

Orice linie automată este constituită din mașini-unelte agregate echipate cu scule așchietoare necesare, mecanisme de transport, dispozitive de poziționare, prindere și control, instalații pentru evacuarea așchiilor etc., formînd un sistem unic, cu funcționare automată. Ciclul de lucru se desfășoară prin sincronizarea mișcărilor tuturor elementelor componente ale liniei cu ajutorul unor posturi de comandă. Comenzile pot fi electrice, hidraulice sau pneumatice, realizate de obicei prin intermediul a trei elemente: *traductorul*, care emite semnalul de comandă pentru realizarea mișcării necesare, *elemente de amplificare*, care amplifică semnalul primit de la traductor și-l transmit elementului de execuție, și *elementele de execuție*, care reprezintă în mod obișnuit motoare electrice, electromagneți sau ambreiaje electromagnetice.

Pentru a face cât mai rentabilă construirea unei linii automate trebuie luate o serie de măsuri care să reducă valoarea investițiilor

și să ridice valoarea economiilor realizate. Din prima serie de măsuri se menționează: construirea liniei din unități tipizate, realizarea cât mai economică a acestor unități, recuperarea în procent cât mai mare a unităților liniei la schimbarea profilului de producție. În a doua serie de măsuri se recomandă: aplicarea celor mai economice variante tehnologice de prelucrare și mărirea seriei anuale de fabricație. Aceasta se poate realiza prin extinderea la liniile automate a procedurii de prelucrare a pieselor pe principiul grupării tehnologice.

O aplicare rațională a acestui procedeu la linii automate necesită îndeplinirea următoarelor condiții: prelucrarea pieselor asemănătoare, utilizarea unor capete de forță care se pot adapta ușor, mijloace rapide de schimbare și reglare a sculelor etc.

Piesele trebuie să fie asemănătoare ca geometrie exterioară, ca ordin de mărime a dimensiunilor și pe cât posibil ca baze de așezare și strîngere. De asemenea este necesar ca piesele să fie construite din același material sau din materiale cu proprietăți mecanice cât mai apropiate. Ca atare se recomandă: utilizarea unor scule identice ca material și formă geometrică, a aceluiași lichid de răcire-ungere și a unor regimuri de lucru cu valori apropiate.

O schimbare și așezare rapidă a sculelor, precum și schimbarea și reglarea dispozitivelor, se obține prin utilizarea șabloanelor de poziționare, prin cutii multi-ax cu axe cardanice ușor reglabile și prin dispozitive de construcție specială care se pot monta în timp foarte scurt.

În ultimul timp s-au experimentat următoarele trei variante de mecanizare a operației de reglare dimensională a sculelor: reînnoirea automată a tăișului sculei, compensarea elastică a uzurii dimensiunale și reglarea automată a dimensiunilor prin impulsuri mici.

Pentru funcționarea corectă a unei linii automate și pentru securitatea funcționării în ansamblu, se prevăd conexiuni de semnalizare pentru diferite informații (terminarea prelucrării semifabricatelor, dimensiuni necorespunzătoare, defecte de ungere etc.), iar în diferite puncte se prevăd butoane pentru oprirea liniei în caz de pericol.

Prin crearea liniilor automate s-a putut trece la secții și uzine automate. Automatizarea proceselor tehnologice prin așchiere a impus în situația fabricației în masă, automatizarea lucrărilor din sectoarele calde, precum și a celor de montaj. În această situație muncitorului îi revine rolul de supraveghere cum se desfășoară procesul tehnologic și de a interveni numai cînd se produc abateri față de cele stabilite. Astăzi și acest rol de supraveghere și conducere a procesului tehnologic este îndeplinit de mașinile electronice de calcul care, primind în orice moment informații asupra desfășurării procesului tehnologic și făcînd analizele necesare, dau comenzile cuvenite pentru desfășurarea normală a lucrărilor.

MAȘINI-UNELTE AGREGAT

Mașinile-unelte agregat sînt compuse din elemente și subansambluri tipizate. Din aceste subansambluri se pot constitui mașini agregat individuale pentru orice scopuri tehnologice sau mașini agregat destinate liniilor tehnologice automate.

Mașinile-unelte agregat trebuie să corespundă cerințelor producției moderne, adică :

- să utilizeze procedee înaintate de așchiere;
- să lucreze simultan, după caz, cu mai multe scule;
- semifabricatul să poată fi prelucrat simultan din mai multe

părți;

- alimentarea cu material să se facă în mers;
- cursele în gol să se efectueze cu viteze mari;
- să dispună de organe de comandă centrală;
- manevrarea și supravegherea să nu necesite eforturi fizice și să poată fi executate și de personal nespecializat.

Folosirea mașinilor agregat prezintă următoarele avantaje: scutirea timpului de proiectare și execuție, reducerea importantă a prețului de cost, asigurarea unei bune funcționări, simplificarea deservirii și reparațiilor, posibilitatea transformării mașinilor în cazul modificării constructive sau a schimbării totale a produsului etc.

Subansamblurile de bază ale oricărei mașini agregat sînt :

- capetele de forță care asigură efectuarea mișcărilor principale de așchiere, mișcările de avans și de reglare;
- elementele de legătură și de susținere care sînt compuse din batiu, coloane, suporturi etc.;
- blocurile de comandă, care asigură funcționarea după ciclul automat al mașinii.

După puterea motoarelor electrice de antrenare, capetele de forță se împart în trei grupe; capete de forță mici, cu motor electric de antrenare pînă la 1,7 kW capete de forță mijlocii, cu motor electric de antrenare de 1,7—4,5 kW, și capete de forță de dimensiuni mari, cu motor electric de antrenare de 4,5—28 kW. Cele mai răspîndite capete de forță în liniile automate sînt cele mijlocii și mari.

După sisemul de acționare a avansului, capetele de forță pot fi cu avans mecanic, electromecanic sau pneumohidraulic. Majoritatea agregatelor sînt dotate cu capete de forță cu acționare hidraulică. În comparație cu sistemul de acționare mecanic, sistemul de acționare hidraulic oferă mari posibilități de a automatiza orice ciclu de lucru, asigură reglarea fără trepte a valorii avansului și garantează evitarea automată a suprasarcinilor, oferind în plus și reducerea uzurilor suprafețelor în mișcare, datorită faptului că acestea lucrează în ulei.

În funcție de amplasarea rezervorului de ulei și a aparatajului hidraulic de distribuție și control, capetele de forță se împart în *capete cu acționare directă*, la care însăși cutia mecanismului de antrenare este folosită drept rezervor de ulei și spațiu de amplasare a aparatajului hidraulic, și *capete cu acționare indirectă* la care rezervorul de ulei și aparatajul hidraulic sînt amplasate separat de capul de forță.

Capetele de forță cu acționare directă au căpătat o mai mare dezvoltare datorită faptului că sînt mai compacte și mai ieftine în comparație cu capetele de forță cu acționare indirectă. Acestea din urmă sînt însă de neînlocuit în majoritatea agregatelor cu unități de lucru așezate vertical și în acele cazuri speciale cînd procesul tehnologic impune separarea mișcării principale de rotație de mișcarea de avans cum este de exemplu cazul cînd trebuie să se introducă sau să se scoată scula așchietoare din alezajul prelucrat, fără rotirea sculei.

În figura 15.1 sînt reprezentate elementele tipizate din care se compun, în general, mașinile-unelte agregat. Elementul principal îl reprezintă capetele de forță 1 care asigură desfășurarea procesului de așchiere; pentru acționare agregatele sînt prevăzute cu reductoarele 2 care sînt înglobate uneori în capul de forță; deplasarea este asigurată de șanțurile 3 și 5 cu ajutorul cutiilor de avansuri 4; piesele de prelucrat se așază pe mesele 6, întreg agregatul fiind montat pe batiul 7.

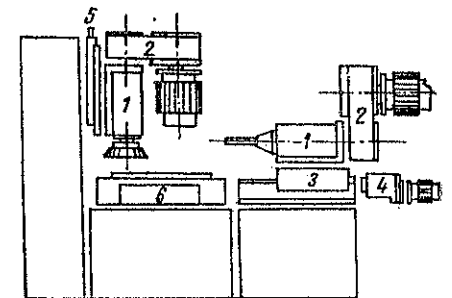


Fig. 15.1. Elementele tipizate ale mașinilor-unelte agregat.

În țara noastră se construiesc în prezent la FMUAB unități de găurire cu comandă hidraulică, destinate mașinilor-unelte agregat care execută găuriri cu scule multiple. Ele fac parte dintr-o serie de elemente tipizate acționate electrohidraulic prin intermediul unui grup hidraulic independent. Unitățile se fabrică în patru variante purtînd indicativul

UGH cu cifrele de la 1 la 4, fiecare variantă cuprinzând trei tipodimensiuni (25, 50, 75).

Pentru acționarea unităților de găurire cu comandă hidraulică de tipul UGH sau a altor sisteme hidraulice se folosește grupul hidraulic GH—50 fabricat tot la FMUAB. El este echipat cu pompă cu pistoane radiale cu debit variabil-autoreglabil. Caracteristicile tehnice ale grupului GH—50 sînt următoarele:

- debit maxim 50 l/min;
- presiune maximă de lucru 50 kgf/cm²;
- debit prin drosel;
 - maxim 1,5 l/min;
 - minim 0,07 l/min;
- dimensiuni de gabarit 640 × 560 × 980 mm;
- greutate 100 kgf.

În tabela 15.1 sînt indicate caracteristicile tehnice ale unităților de găurire UGH fabricate la FMUAB.

Mașinile-unelte agregat pot fi orizontale, verticale, combinate (orizontale și verticale) sau înclinate. Toate variantele se încadrează în linii tehnologice dotate cu instalații de transport mecanice, gravitaționale (cu role) sau manuale.

Se mai construiesc mașini-unelte agregat la care piesa se deplasează în timpul lucrului, destinate lucrărilor de frezare; acestea sînt de tipul mașinilor de frezat circular cu tambur sau cu masă.

La FMUAB se construiesc mașini-unelte agregat de găurit cu capete de forță și scule multiple de tipul Ag G și Ag FSM. Acestea sînt destinate găuririi și, respectiv, filetării simultane a pieselor cu configurație complexă cum sînt carcusele de ambreaj pentru autocamioane, punți-spate sau alte piese de același tip. Ele se construiesc cu unu, două sau trei capete de forță acționate hidropneumatic, care lucrează în cicluri automate.

Tabela 15.1. Caracteristicile tehnice ale unităților de găurire UGH

| Caracteristici | 25 | 50 | 75 |
|---|----------|----------|----------|
| Puterea electrică de antrenare, în kW | 1,5 | 1,8 | 2,2 |
| Forța de avans, în kgf | 1 200 | 1 200 | 1 200 |
| Turația arborelui principal, în rot/min | 98—1 440 | 98—1 440 | 98—1 440 |
| Avansul capului de găurire, în mm/min: | | | |
| — de lucru | 20—200 | 20—200 | 20—200 |
| — rapid | 3 000 | 3 000 | 3 000 |
| Tensiunea, în V | 220/380 | 220/380 | 220/380 |
| Frecvența, în Hz | 50 | 50 | 50 |
| Dimensiuni de gabarit, în mm: | | | |
| — lungime | 1 500 | 1 400 | 1 650 |
| — lățime | 350 | 350 | 350 |
| — înălțime | 475 | 475 | 475 |
| Greutatea, în kgf | 150 | 200 | 250 |

PRECIZIA PRELUCRĂRII PIESELOR

Prelucrarea mecanică a unei piese, în funcție de construcția ansamblului în care se montează și de condițiile de exploatare, trebuie să se facă cu o anumită precizie. Precizia prelucrării pieselor se caracterizează prin starea (calitatea) suprafețelor prelucrate și prin precizia suprafețelor prelucrate.

1. STAREA SUPRAFETELOR

1.1. GENERALITĂȚI

După orice operație de prelucrare prin așchiere (rabotare, frezare, strunjire, rectificare, rodare etc.) rămîn pe suprafețele pieselor o serie de asperități sau micronegularități caracterizate prin ridicături și adîncituri de formă și mărime foarte variate, care depind de felul operației de prelucrare, de regimul de așchiere, de natura materialului piesei respective etc.

Starea suprafețelor unei piese poate fi definită prin caracteristicile care exprimă starea geometrică și starea fizico-chimică a suprafețelor respective.

Starea geometrică a suprafețelor este caracterizată de abaterile geometrice ale piesei reale în raport cu cea definită geometric prin documentația tehnică de execuție.

Starea fizico-chimică a suprafeței este definită de caracteristicile fizico-chimice ale stratului superficial al piesei respective.

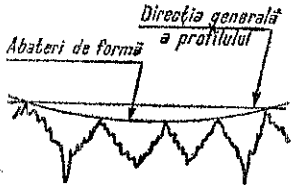


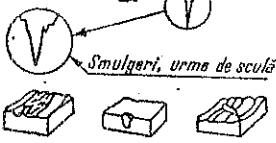
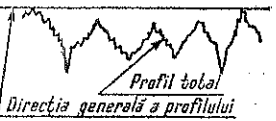
Rugozitatea suprafeței este evidențiată prin reprezentarea geometrică a formei micronegularităților suprafeței.

În afară de rugozitate, suprafețele prelucrate prin așchiere prezintă și abateri sub formă de *ondulații*, adică denivelări periodice, avînd în general caracter sinusoidal, care sînt provocate de vibrațiile periodice ale sculei și ale piesei, vibrații care se produc în procesul de așchiere.

1.2. CLASIFICAREA ABATERILOR GEOMETRICE ALE SUPRAFETEI

Abaterile geometrice ale suprafeței sînt clasificate în mod convențional (v. STAS 5730/1—75) în abateri de ordinul 1...4 (tabela 16.1).

Tabela 16.1. Clasificarea

| Abateri geometrice | | Schiță | Suprafața |
|-------------------------------|---|---|---------------------------------------|
| Ordin de mărime | Denumire | | |
| 1 | Abateri de formă, definite conform STAS 7384-66 |  | STAS 7385-66 |
| 2 | Ondulații (periodice) |  | |
| 3 | Rugozitate |  | STAS 612-75 |
| 4 | | | |
| | Smulgeri, urme de sculă și goluri, pori etc. (aperiodice) |  | |
| Suma abaterilor ordinul 1...4 | Profil total |  | Ansamblul abaterilor de ordinul 1...4 |

Observații. Indicațiile din tabel marcate cu semnul* sînt informative, enumerarea

abaterilor geometrice ale suprafeței

| specificată | Suprafața reală | | |
|--|--|---|--|
| | Cauzele producerii abaterilor în timpul fabricației* | Mijloacele de evaluare a stării suprafeței prin metoda* | |
| Influența abaterilor în raport cu funcția suprafeței* | | de suprafață | de profil |
| Abaterile de ordinul 1 și 2 : — influențează frecarea de alunecare sau rostogolire, etanșeitatea dinamică sau statică, rezultatul măsurării — crează uzura, griparea — diminuează durata de funcționare a pieselor — influențează caracterul ajustajelor | Deformarea elastică sau fixarea greșită a piesei, defecte în ghidajele mașinii-unelte, uzura sau deformarea elementelor mașinii-unelte | — Placă de măsurat — Calibre — Dispozitive de control | — Palpare discontinuă : lunete, comparatoare — Palpare continuă : aparate electronice cu palpator-patină sau cu vîrf, fante de lumină — Dispozitive de control |
| | Abateri de formă ale tăișului sculei, avansul sculei, vibrații de joasă frecvență ale mașinii-unelte sau ale sculei | — Mostre pentru comparație vizo-tactilă — Microscop stereoscopic | — Microscop cu secționare luminoasă — Aparat electronic cu palpator-patină sau cu vîrf |
| Abaterile de ordinul 3 și 4 influențează scurgerea fluidelor, etanșeitatea dinamică sau statică, acoperirea electrochimică, rezistența la eforturi alternante | Abateri de formă ale tăișului sculei, avansul sau așezarea sculei, procedeul de prelucrare (la cald sau la rece), modul de formare a așchii (de rupere, de curgere etc.), vibrații de înaltă frecvență ale mașinii sau sculei, natura sau calitatea lubrifiantului | — Mostre pentru comparație vizo-tactilă — Rugozimetre — Microscop stereoscopic sau electronic — Diverse aparate optice | — Microscop cu secționare luminoasă sau cu interferență — Aparat electronic cu palpator cu vîrf |
| Analiza ansamblului abaterilor permite determinarea influenței acestora asupra uneia sau mai multor funcțiuni ale suprafeței considerate | Suprapunerea cauzelor producerii abaterilor de ordinul 1...4 | Complex de mijloace de măsurat pentru evaluarea suprafeței totale considerate | — Aparat electronic cu palpator cu vîrf ($L \geq 25$ mm) |

respectivă, neavînd un caracter limitativ.

1.3. RUGOZITATEA SUPRAFEȚELOR

Rugozitatea unei suprafețe reprezintă ansamblul micilor neregularități (asperități), rămase în urma procesului de prelucrare. Aceste neregularități pot fi măsurate ca abateri ale profilului efectiv față de linia de referință, în limitele lungimii de referință stabilite.

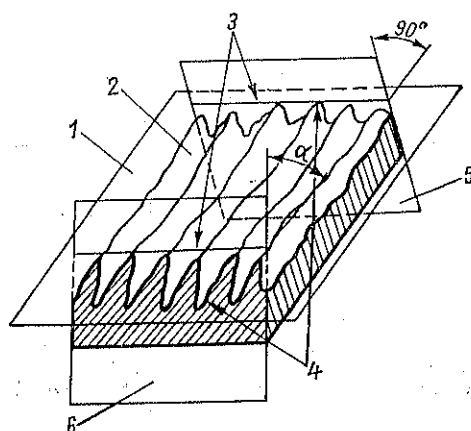


Fig. 16.1. Rugozitatea suprafeței:
1 - suprafața nominală; 2 - suprafața efectivă; 3 - profilul nominal; 4 - profilul efectiv; 5 - plan de secționare perpendicular; 6 - plan de secționare oblic.

tat prin intersecția suprafeței nominale cu un plan convențional definit în raport cu această suprafață (fig. 16.1).

Profilul efectiv (profilul măsurat) este conturul rezultat prin intersecția suprafeței efective cu un plan convențional definit în raport cu suprafața nominală (fig. 16.1).

Corespunzător acestor profiluri se definesc următoarele suprafețe: reală, nominală, specifică și efectivă.

Suprafața reală este suprafața care limitează un corp și îl separă de mediul înconjurător.

Suprafața nominală (suprafața geometrică) este suprafața reprezentată pe desen, definită geometric prin dimensiunile nominale, fără abateri geometrice de ordinul 1 ... 4.

Suprafața specificată este suprafața nominală, sau un element al acesteia, căreia i s-au prescris abaterile la dimensiuni și abateri geometrice de ordinul 1 ... 4.

Suprafața efectivă (suprafața măsurată) este imaginea cea mai apropiată a suprafeței reale, reprodusă prin măsurarea acesteia (fig. 16.1).

Pentru aprecierea rugozității suprafeței prelucrate trebuie să se cunoască elementele care o determină. În acest scop, este necesar să se reprezinte profilul neregularităților obținut prin secționarea piesei de studiat cu un plan perpendicular pe direcția de prelucrare (fig. 16.1).

Se disting următoarele profiluri: real, nominal, efectiv.

Profilul real este conturul rezultat prin intersecția suprafeței reale cu un plan convențional definit în raport cu suprafața nominală.

Profilul nominal (profilul geometric) este conturul rezul-

O serie de termeni privind rugozitatea sînt definiți în continuare. **Neregularitățile suprafeței** (sau profilului) sînt proeminențele și golurile suprafeței (respectiv profilului).

Orientarea neregularităților (sinonim: motivul suprafeței) este imaginea dată de direcția predominantă a neregularităților și care în general este determinată de procedeul utilizat pentru obținerea suprafeței respective. Modul de notare pe desen a orientării neregularităților este indicat în STAS 612-75.

Direcția de măsurare este direcția care dă valoarea maximă a abaterii geometrice măsurate.

Linia de referință este linia aleasă convențional pentru evaluarea cantitativă a profilului efectiv.

Sistemul este metoda de calcul utilizată pentru evaluarea cantitativă a profilului efectiv în raport cu linia de referință aleasă.

Profilul total (P) este ansamblul neregularităților care formează abaterile geometrice de ordinul 1 ... 4 (v. fig. 16.2).

Ondulația (W) este ansamblul neregularităților periodice care formează abaterile geometrice de ordinul 2 și al căror pas este de câteva ori mai mare decât adîncimea lor (v. fig. 16.2).

Rugozitatea (R) este ansamblul neregularităților care formează abaterile geometrice de ordinul 3 și 4 și al căror pas este relativ mic în raport cu adîncimea lor (v. fig. 16.2).

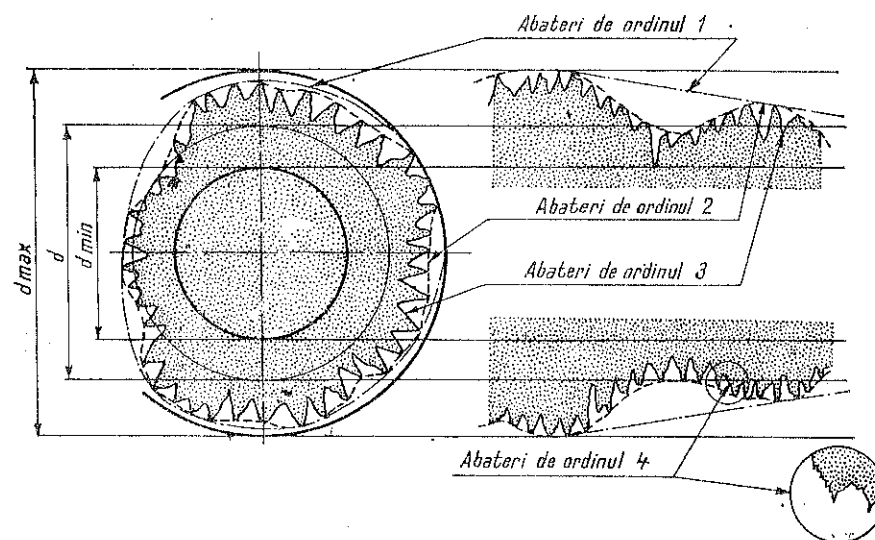


Fig. 16.2. Abateri geometrice de ordinul 1...4.

În continuare se definesc termenii specifici rugozității și ondulației în sistemul M.

Lungimea de bază l este lungimea liniei de referință aleasă convențional pentru a defini rugozitatea (respectiv ondulația) fără influența celorlalte abateri (fig. 16.3).

Lungimea de măsurare L este lungimea liniei de referință aleasă pentru măsurarea parametrilor de profil. Ea poate cuprinde una sau mai multe lungimi de bază.

Linia medie a profilului m este linia de referință care are forma profilului nominal și care, în limitele lungimii de bază, împarte profilul efectiv astfel încât suma pătratelor ordonatelor ($y_1, y_2 \dots y_n$) profilului

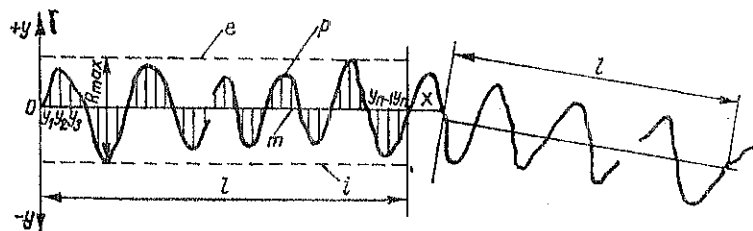


Fig. 16.3. Curba profilului rugozității în sistemul M:

p — profil efectiv; l — linie de bază; m — linie medie; e — linie exterioră; i — linie interioară.

în raport cu această linie să fie minimă (fig. 16.3), respectiv $\int_0^l y^2 dx = \text{minim}$.

Sistemul liniei medii (Sistemul M) este sistemul de calcul la care linia medie a profilului sau o linie echidistantă cu aceasta este aleasă ca linie de referință.

Linia exterioră a profilului e este linia paralelă cu linia medie, care, în limitele lungimii de bază, trece prin punctul cel de mai jos al profilului efectiv (nu se iau în seamă proeminențele cu caracter întâmplător) (v. fig. 16.3).

Linia interioară a profilului i este linia paralelă cu linia medie, care, în limitele lungimii de bază, trece prin punctul cel mai de jos al profilului efectiv (nu se iau în considerație golurile care au un caracter întâmplător, v. fig. 16.3).

Pașul neregularităților (lungimea de undă a neregularităților sau frecvența neregularităților) S este distanța între punctele cele mai de sus a două proeminențe consecutive ale profilului efectiv (fig. 16.4).

Adâncimea medie a rugozității în zece puncte R este diferența între media aritmetică a ordonatelor celor de mai sus cinci proeminențe și a

celor de mai jos cinci goluri ale profilului efectiv, măsurate, în limitele lungimii de bază, de la o dreaptă paralelă cu linia medie și care nu intersectează profilul (fig. 16.5).



Fig. 16.4. Profilul efectiv al rugozității

$$R_z = \frac{(R_1 + R_3 + R_5 + R_7 + R_9) - (R_2 + R_4 + R_6 + R_8 + R_{10})}{5}$$

Adâncimea medie a ondulației în 5 puncte W_z este media aritmetică a cinci înălțimi maxime ale ondulației, determinate în limitele a cinci lungimi de bază egale (fig. 16.6): $W_z = \frac{W_1 + W_2 + W_3 + W_4 + W_5}{5}$.

Abaterea medie aritmetică a profilului R_a este valoarea medie a ordonatelor ($y_1, y_2 \dots y_n$) punctelor profilului efectiv față de linia medie a profilului.

Suma ordonatelor se face fără a ține seama de semnul algebric:

$$R_a = \frac{1}{l} \int_0^l |y| dx$$

sau, aproximativ:

$$R_a = \frac{\sum_{i=1}^n |y_i|}{n}$$

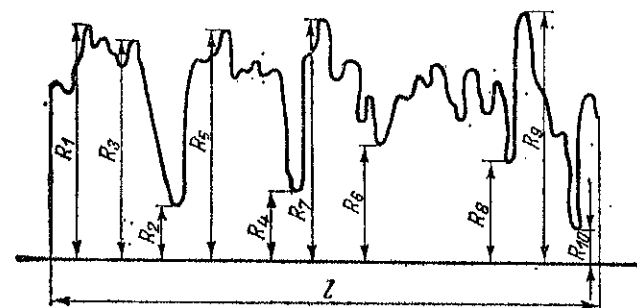


Fig. 16.5. Curba profilului rugozității R_a în 10 puncte.

Între criteriile R_a și R_z există următoarea relație de legătură:

$$\log R_z = 0,65 + 0,97 \log R_a$$

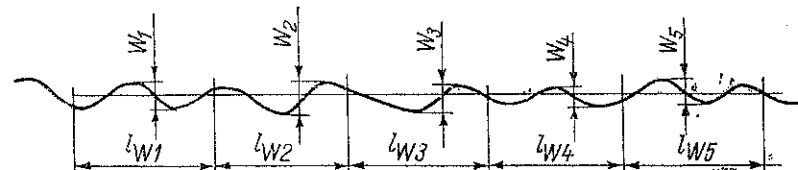


Fig. 16.6. Curba profilului ondulației W_z în 5 puncte.

În afară de criteriile R_a și R_z s-a mai admis și un criteriu secundar R_{max} (înălțimea maximă a neregularităților), care reprezintă distanța dintre linia exterioră e și linia interioară i a profilului neregularităților.

1.4. PRESCRIEREA RUGOZITĂȚII ȘI ONDULAȚIEI SUPRAFEȚEI

1.4.1. Prescrierea rugozității suprafeței. Rugozitatea suprafeței se prescrie explicit numai atunci când limitarea ei este necesară din punct de vedere funcțional sau al aspectului, chiar dacă aplicarea tehnologiei curente de fabricație și respectarea toleranțelor stabilite la dimensiuni îi asigură o valoare corespunzătoare.

În cazul în care rugozitatea unei suprafețe nu prezintă interes funcțional sau de aspect, aceasta nu se prescrie explicit, ea rezultând implicit din tehnologia de fabricație aplicată în scopul realizării toleranțelor stabilite la dimensiuni și din indicațiile generale de pe desen privind starea suprafeței respective (simboluri fără valori conform STAS 612-75).

Rugozitatea suprafeței se prescrie prin parametrul R_a . Prescrierea rugozității prin parametrul R_z , prin alt parametru, sau prin mai mulți parametri deodată, se face numai dacă este funcțional necesară respectarea acestora.

Pentru fiecare parametru de profil (R_a , R_z , l , R_{max} etc.) se stabilește un șir de valori. Astfel, după STAS 5730/2-75, șirul valorilor numerice pentru abaterea medie aritmetică R_z este redat în tabela 16.2; pentru adâncimea totală R_{max} și adâncimea medie în 10 puncte R_z — în tabela 16.3; pentru lungimea de bază l — în tabela 16.4.

Tabela 16.2. Șirul valorilor numerice pentru abaterea medie aritmetică R_a (în μm)

| | | | | | | |
|--------------|--------------|-------------|-------------|-------------|------------|-----|
| 0,008 | 0,040 | 0,20 | 1,00 | 5,0 | 25 | 125 |
| 0,010 | 0,050 | 0,25 | 1,25 | 6,3 | 32 | 160 |
| 0,012 | 0,063 | 0,32 | 1,60 | 8,0 | 40 | 200 |
| 0,016 | 0,080 | 0,40 | 2,0 | 10,0 | 50 | 250 |
| 0,020 | 0,100 | 0,50 | 2,5 | 12,5 | 63 | 320 |
| 0,025 | 0,125 | 0,63 | 3,2 | 16,0 | 80 | 400 |
| 0,032 | 0,160 | 0,80 | 4,0 | 20 | 100 | |

Tabela 16.3. Șirul valorilor numerice pentru adâncimea totală R_{max} și adâncimea medie în 10 puncte R_z (în m)

| | | | | | | |
|--------------|--------------|-------------|-------------|-----------|------------|------------|
| 0,025 | 0,125 | 0,63 | 3,2 | 16 | 80 | 400 |
| 0,032 | 0,160 | 0,80 | 4,0 | 20 | 100 | 500 |
| 0,040 | 0,20 | 1,00 | 5,0 | 25 | 125 | 630 |
| 0,050 | 0,25 | 1,25 | 6,3 | 32 | 160 | 800 |
| 0,063 | 0,32 | 1,60 | 8,0 | 40 | 200 | 1 000 |
| 0,080 | 0,40 | 2,00 | 10,0 | 50 | 250 | 1 250 |
| 0,100 | 0,50 | 2,5 | 12,5 | 63 | 320 | 1 600 |

Tabela 16.4. Șirul valorilor numerice pentru lungimea de bază (în mm)

| | | | | | |
|-------------|-------------|-------------|------------|----------|-----------|
| 0,03 | 0,25 | 0,80 | 2,5 | 8 | 25 |
|-------------|-------------|-------------|------------|----------|-----------|

Tabela 16.5. Corespondența între valorile preferențiale ale lungimii de bază l cu cele ale parametrilor R_a și respectiv R_z

| R_a | | R_z | l |
|-------------------------------|---------------|---------------|------|
| Simbolul clasei de rugozitate | μm | μm | mm |
| | maximum | | |
| N0 | 0,012 | 0,063 | 0,08 |
| N1 | 0,025 | 0,125 | |
| N2 | 0,05 | 0,25 | 0,25 |
| N3 | 0,10 | 0,5 | |
| N4 | 0,20 | 1,0 | |
| N5 | 0,40 | 2,0 | |
| N6 | 0,80 | 4,0 | 0,8 |
| N7 | 1,60 | 8,0 | |
| N8 | 3,2 | 12,5 | |
| N9 | 6,3 | 25 | 2,5 |
| N10 | 12,5 | 50 | |
| N11 | 25 | 100 | 8 |
| N12 | 50 | 200 | |
| N13 | 100 | 400 | |

Observație. Tabelul nu poate servi pentru corespondența între R_a și R_z .

Valorile tipărite cu caractere grase (aldine) sînt preferențiale. Corespondența între valorile preferențiale ale lungimii de bază l cu cele ale parametrilor R_a și respectiv R_z este indicată în tabela 16.5.

Valorile numerice ale rugozității se raportează la un plan perpendicular pe suprafața nominală și, fără alte indicații, sînt considerate ca valori maxim admisibile.

În părțile scrise ale documentației de bază, valoarea parametrilor de profil se indică prin valoarea lor numerică precedată de simbolul aferent, de exemplu, R_a 0,20 sau R_z 100. În cazul cînd este necesar să se indice și valoarea minimă admisibilă, aceasta se va scrie de exemplu : max R_a 25, min R_a 6,3 sau $R_{a,6,3}^{25}$.

1.4.2. Prescrierea ondulației suprafeței. Ondulația suprafeței se prescrie numai atunci cînd aceasta este absolut necesar din punct de vedere funcțional.

Valorile numerice ale parametrilor de profil se raportează la un plan perpendicular pe suprafața nominală.

Șirul valorilor recomandate pentru adâncimea medie în 5 puncte a ondulației W , este prezentat în tabela 16.6.

Tabela 16.6. Șirul valorilor recomandate pentru adâncimea medie a ondulației W în 5 puncte.

| | | | | | | | | | | | |
|-----|-----|-----|-----|-----|-----|-----|------|----|----|-----|-----|
| 0,1 | 0,2 | 0,4 | 0,8 | 1,6 | 3,2 | 6,3 | 12,5 | 25 | 50 | 100 | 200 |
|-----|-----|-----|-----|-----|-----|-----|------|----|----|-----|-----|

1.5. VALOAREA RUGOZITĂȚII SUPRAFEȚEI R_a ÎN FUNCȚIE DE DIFERITELE PROCEDEE DE PRELUCRARE ȘI CRITERII DE ALEGERE A ACESTEIA ÎN CONSTRUCȚIA DE MAȘINI

În tabela 17.6 se indică rugozitățile care se obțin prin diferitele operații de prelucrare, precum și domeniul de utilizare a diferitelor aparate pentru controlul suprafețelor prelucrate.

În cele ce urmează se dau informativ unele exemple de alegere a rugozității în diferitele domenii ale construcției de mașini :

R_a 50 ... R_a 100 : suprafețe grosolane. Suprafețe neprelucrate, curățate. De exemplu : piese turate în amestec de formare și nisip, suprafețe forjate, laminate, matritate, tăiate, ambutisate, găuri fără importanță ;

R_a 12,5 ... R_a 25 : suprafețe de contact grosolane, fără mișcare. Suprafețe libere și nefuncționale ale orificiilor. De exemplu : suprafețe de așezare la piese mari și grele, suprafețe cu condiții de aspect ; piese turnate în cochilă ;

R_a 6,3 : suprafețe de contact nesolicitate și fără centrare. Suprafețe exterioare, vizibile, ale organelor de mașini. De exemplu : etanșări cu garnituri nemetalice, filete la toate organele de asamblare uzuale și semiprecise ;

Tabela 16.7. Valoarea rugozității suprafețelor în funcție de diferitele procedee de prelucrare

| Felul prelucrării | Grupa | Foarte netedă ▽▽▽▽ | | | | | Netedă ▽▽▽ | | Seminetodă ▽▽ | | | | Degroșată Δ | | |
|-----------------------|---|-----------------------|-------|------|------|------|---------------|------|---------------|-----|-----|------|-------------|----|-----|
| | Clasa de calitate | 14 | 13 | 12 | 11 | 10 | 9 | 8 | 7 | 6 | 5 | 4 | 3 | 2 | 1 |
| | Valoarea R_a , μm | 0,012 | 0,025 | 0,05 | 0,10 | 0,20 | 0,40 | 0,80 | 1,60 | 3,2 | 6,3 | 12,5 | 25 | 50 | 100 |
| Strunjire și rabotare | Degroșare Finisare Fină (cu diamant) | | | | | | + | + | + | + | + | + | + | + | + |
| Strunjire | Degroșare Finisare Fină (cu diamant) | | | | | + | + | + | + | + | + | + | + | + | + |
| Alezare | Semifinisare Finisare | | | | | | + | + | + | | | | | | |
| Frezare cilindrică | Degroșare Semifinisare | | | | | | | | + | + | + | + | + | + | |
| Frezare frontală | Degroșare Semifinisare Finisare | | | | | | | + | + | + | + | + | + | + | |
| Rectificare | Degroșare Semifinisare Finisare | | | | | + | + | + | + | | | | | | |
| Broșare | Semifinisare Finisare | | | | | + | + | + | + | | | | | | |
| Lepuire | Degroșare Semifinisare Finisare | + | + | + | + | | + | | | | | | | | |
| Lustruire | Degroșare Finisare | | | + | + | + | + | | | | | | | | |
| Honing | Degroșare Finisare | | + | + | + | + | + | | | | | | | | |
| Semifinisare cu rigle | Preliminară Finală | + | + | + | + | + | | | | | | | | | |

Aparatele pentru controlul rugozității și domeniilor de măsurare

| | |
|--|----------------------|
| Microinterferometru | Microscop comparator |
| Aparate pneumatice cu ajutor automat | |
| Profilograf | |
| Profilometru | |
| Optimetru | |
| Etaloane și celelalte metode integrale | |

$R_a 3,2$: suprafețe de contact fără mișcare, transmisii cu uzură redusă, condiții de aspect. De exemplu: fusuri și lagăre de transmisii normale, găuri de centrare, filete metrice, trapezoidale, rotunde, pătrate și pentru țevi; segmenti de piston; suprafețe laterale ale flancurilor danturilor roților melcate, conice și de lanț, ale filetelor, ale canalelor la roțile pentru curele trapezoidale;

$R_a 1,6$: suprafețe de ghidare și de centrare la mișcări periodice. Suprafețe de contact puțin solicitate. De exemplu: alezajele lagărelor de alunecare; arbori și alezaje la reductoare; suprafețe de contact la carcase de fontă;

$R_a 0,80$: uzură redusă la viteze și tensiuni de contact reduse și la forțe axiale. Suprafețe de centrare. Suprafețe nefuncționale ale pieselor, care urmează să fie cromate, nichelate. De exemplu: suprafețe de etanșare pentru garnituri de pislă; suprafețe de alunecare la pene paralele; cuzineți rectificați; piulițe la transmisii cu filet;

$R_a 0,40$: uzură redusă la viteze și tensiuni de contact mijlocii. Suprafețe de centrare. Suprafețe de contact greu solicitate. Suprafețe nefuncționale ale pieselor care urmează a fi cromate, nichelate etc. De exemplu: suprafețe de alunecare la pene; șuruburi conducătoare cilindrici lucrând cu segmenti; suprafața cilindrică a pistoanelor, fusuri la mașini electrice mari; suprafețe de etanșare la ventile, sertare, garnituri-manșetă, presgarnituri (la mișcări dute-vino), filete rectificate;

$R_a 0,20$: suprafețe supuse la frecare și de uzura cărora depinde și precizia de lucru a mecanismului; suprafețe lustruite de exemplu: lagăre la arbori cotiți și la arbori cu came; fusuri de manivelă; fusuri la turbine și la reductoare de mare viteză; ghidare la mașini-unelte; conuri de fixare la scule; filete rectificate; suprafețe de contact ale calibrelor;

$R_a 0,10$: joc redus între suprafețe de ghidare precisă. Aparate de măsurat mai puțin precise. Suprafețe exterioare precise. Suprafețe de contact. De exemplu: etanșări pretențioase la presiuni relativ mari, fără garnituri; fusuri și cuzineți la articulații și lagăre la mecanisme și mașini-unelte rapide și de precizie; pistoane și cilindri de pompe de injecție;

$R_a 0,05$: uzură redusă la suprafețe funcționale. Aparate de măsurat precise. De exemplu: suprafețe de centrare precisă la dornuri și scule de mare precizie; suprafețe de măsurare la comparatoare și calibre de lucru;

$R_a 0,025$: uzuri reduse la viteze mari și tensiuni de contact relativ mari. Aparate de măsurat foarte precise. De exemplu: lagăre principale la mașini-unelte de mare precizie; cale plan-paralele;

$R_a 0,012$: uzuri foarte reduse la tensiuni de contact mari. Aparat de măsurat de mare precizie. De exemplu : căi de rulare la rulmenți de precizie ; suprafețe de măsurare la aparate de măsurat optico-mecanice ; cale plan-paralele.

2. PRECIZIA SUPRAFETELOR PRELUCRATE

2.1. NOȚIUNI GENERALE

Precizia suprafețelor prelucrate se caracterizează prin precizia dimensiunilor, prin regularitatea formelor geometrice și prin poziția relativă corectă a diferitelor suprafețe ale piesei.

Dimensiunile pieselor au un rol triplu : precizează forma suprafeței, determină mărimea acesteia și fixează poziția reciprocă a suprafețelor piesei. Prin prelucrare, dimensiunile și corelațiile (coaxialitate, paralelism perpendicularitate etc.) indicate în desenul de execuție al piesei nu pot fi realizate absolut precis, ci cu unele abateri. Aceste abateri se datoresc unor erori care apar în procesul tehnologic al prelucrării mecanice și ele se pot raporta la dimensiuni care determină aceste suprafețe (abateri de dimensiune), la forma suprafețelor piesei (abateri de formă) și la dimensiuni și corelații care determină poziția suprafețelor între ele (abateri de poziție).

Erorile care influențează în mod deosebit precizia unei piese sînt erorile de prelucrare. Cauzele mai importante ale erorilor de prelucrare sînt : neprecizia de fabricație a mașinii-unelte și a dispozitivelor de lucru, neprecizia de execuție a dispozitivelor de prindere, neprecizia fixării pieselor de prelucrat, uzura sculelor, vibrațiile etc.

Erorile de prelucrare provocate de lipsa de precizie a mașinii de rectificat cresc treptat, pe măsura exploatării mașinii-unelte, datorită în mare parte uzurii elementelor în frecare. Reducerea preciziei de lucru a mașinilor de rectificat după o perioadă de funcționare impune revizuirea și repararea periodică planificată a acestor mașini, pentru ca acestea să obțină din nou gradul de precizie impus de standardele de recepție.

2.2. ABATERILE DE DIMENSIUNE, DE FORMĂ ȘI DE POZIȚIE

Abaterile de dimensiuni, limitate prin toleranțe, se stabilesc în funcție de condițiile de montare și de exploatare. Abaterile necesare ale dimensiunilor părților ce vin în contact (ale pieselor care se asamblează) se stabilesc astfel încît să se asigure un montaj corect și deci o bună funcționare în exploatare. De asemenea, este necesar ca abaterile stabilite la dimensiunile de asamblare ale pieselor să satisfacă con-

diția interschimbabilității, adică piesele unui ansamblu sau ale unei mașini fabricate după aceleași desene să se poată asambla în condiții bune prin înlocuire (schimbare) și să asigure o bună funcționare, fără nici un fel de ajustări.

Abateră de formă este abaterea de la forma geometrică corectă a pieselor. La măsurarea abaterii de formă nu se ia în considerare rugozitatea suprafeței.

Abateră limită de formă este valoarea maximă tolerată (admisă) a abaterii de formă.

Toleranța de formă este zona determinată de abaterea limită de formă. Toleranța de formă este egală cu abaterea limită de formă (abaterea inferioară fiind egală cu zero).

Abaterile de formă se grupează în șase categorii : abatere de la *rectilinitate* AF_r , abatere de la *planitate* AF_p , abatere de la *circularitate* AF_c , abatere de la *cilindricitate* AF_l , abatere de la *forma dată a profilului* AF_f și abatere de la *forma dată a suprafeței* AF_s .

Formele abaterilor :

- de la rectilinitate și de la planitate : concavitățile și convexitățile ;
- pentru abaterile de la circularitate : *ovalitatea* și *poligonalitatea* ;
- pentru abaterile de la cilindricitate : *conicitatea*, *forma butoi* și *curbarea*.

Toate abaterile de la forma perfect geometrică trebuie să se găsească în interiorul cîmpurilor de toleranță pentru dimensiuni, afară de cazurile cînd indicațiile speciale de pe desen sau condițiile tehnice ar prevedea altfel.

Abateră de poziție este abaterea de la poziția nominală a unei suprafețe, a axei ei, a unui profil sau a unui plan de simetrie față de baza de referință sau abaterea de la poziția nominală reciprocă a unor suprafețe, a axelor lor, a unor profile sau a planelor de simetrie.

Abateră limită de poziție este valoarea maximă admisă a abaterii de poziție.

Toleranța de poziție este zona determinată de abaterile limită de poziție.

Abaterile de la poziție pot fi : *abaterea de la paralelism* AP_l , *abaterea de la perpendicularitate* AP_d , *abaterea de la înclinare* AP_i , *abaterile de la coaxialitate și de concentricitate* AP_c , *abaterea de la simetrie* AP_s , *bătaia radială* AB_r , *bătaia frontală* AB_f și *abaterea de la poziția nominală* AP_p .

Pentru ca abaterile de formă și de poziție ale suprafețelor pieselor să nu provoace rebutarea pieselor, este necesar ca aceste abateri să fie cuprinse în cîmpul de toleranțe al dimensiunii nominale. Ca atare, abaterile diametrelor suprafețelor cilindrice și abaterile distanței (sau unghiului) care stabilește poziția relativă a două suprafețe sau axe,

determină abaterile maxime de formă ale suprafețelor cilindrice, ale suprafețelor plane sau ale poziției relative dintre două suprafețe sau axe.

Dacă în desenele de execuție nu se dau indicații pentru abaterile de formă și de poziție ale pieselor, acestea se pot executa cu abateri de formă și de poziție maxime, limitate de cîmpul de toleranțe al diametrelor sau distanțelor (unghiurilor). Dacă funcțiunile piesei impun ca abaterile de formă sau de poziție să fie mai mici decît cele maxime posibile în cadrul cîmpului de toleranțe, atunci în desenele de execuție trebuie arătate valorile prescrise pentru aceste abateri de formă și de poziție.

Toleranțele de formă și de poziție sînt tratate în următoarele standarde: STAS 7391/1-74 (toleranțe la rectilinitate, la planitate și la forma dată a profilului și a suprafeței), STAS 7391/2-74 (toleranțe la circularitate și la cilindricitate), STAS 7391/3-74 (toleranțe la paralelism și la perpendicularitate), STAS 7391/4-74 (toleranțe la coaxialitate, la concentricitate, la simetrie și la intersectare) și STAS 7391/5-74 (toleranțele bății radiale și ale bății frontale).

Toleranțele stabilite se prescriu în documentația de bază în construcția de mașini, dacă limitarea acestor abateri de formă și poziție este necesară pentru asigurarea calității produsului în utilizare (funcționare, montaj etc.). Sînt prevăzute 12 clase de precizie și toleranțele se aleg dintre valorile cuprinse în tabelele respective, în funcție de clasa de precizie și de dimensiunea nominală la care se referă toleranța.

Înscrierea pe desen a toleranțelor de formă și de poziție se face în conformitate cu regulile stabilite prin STAS 7385-66.

3. CORELAȚIA DINTRE RUGOZITATEA ȘI PRECIZIA DIMENSIONALĂ A SUPRAFEȚEI PRELUCRATE ȘI CRITERII DE ALEGERE

Din cercetările experimentale și statistice asupra suprafețelor de montaj care formează ajustaje s-a constatat că fiecărei clase de precizie și fiecărui ajustaj îi corespunde, în cazul unei prelucrări raționale și economice, o anumită rugozitate a suprafeței, care depinde de toleranța de fabricație și de cota nominală a suprafeței.

Alegerea caracteristicilor rugozității (valoare, orientare etc.) unei suprafețe se face ținînd seama de influența pe care rugozitatea o are asupra calității produsului (funcționare, durabilitate, rezistență, precizie, aspect etc.), precum și asupra economicității fabricației produsului.

Influența rugozității suprafeței asupra ajustajelor depinde de caracterul îmbinării și de solicitările la care este supus ajustajul.

La îmbinări fixe se recomandă o rugozitate cît mai redusă, deoarece asperitățile mari se uzează ușor, periclitînd astfel îmbinarea.

Pentru suprafețele în contact sau în mișcare relativă se alege de obicei aceeași rugozitate, cu excepția cazurilor cînd una dintre suprafețe, din motive funcționale, trebuie să fie mai puțin rugoasă decît cealaltă.

Rugozitatea trebuie să fie cît mai redusă pe porțiunile foarte solicitate ale pieselor, deoarece creșterile dintre asperități sînt amorse de fisurare.

Se recomandă de asemenea o rugozitate redusă la suprafețele de măsurare ale aparatelor de măsurat, la fețele sculelor așchietoare, pentru a le mări durabilitatea.

Din punct de vedere al economicității fabricației există o corelație între precizia dimensională, precizia formei și poziției, rugozitatea suprafeței și tehnologia de fabricație. Fiecare procedeu tehnologic asigură realizarea unui anumit grad al preciziei dimensionale, de formă și de poziție, precum și unei anumite rugozități a suprafeței, în limitele economicității fabricației. Deoarece obținerea unei precizii sau calități mărite cu același procedeu ar mări prețul de cost, este justificată alegerea unui alt procedeu tehnologic.

Pentru stabilirea corectă a rugozității suprafețelor obișnuite de contact cu frecare se pot folosi următoarele relații:

— pentru dimensiuni (diametre) mai mari de 50 mm :

$$R_z = (0,10 \dots 0,15) T [\mu\text{m}] ;$$

— pentru dimensiuni (diametre) cuprinse între 18 și 50 mm :

$$R_z = (0,15 \dots 0,20) T [\mu\text{m}] ;$$

— pentru dimensiuni (diametre) cuprinse între 1 și 18 mm :

$$R_z = (0,20 \dots 0,25) T [\mu\text{m}] ,$$

în care T este toleranța piesei.

La preciziile înalte, de clasele 1, 2 și 3, toleranța alezajului fiind mai mare decît toleranța arborelui, în funcție de condițiile concrete, în relațiile de mai sus se va lua în considerare toleranța uneia dintre cele două piese.

Ca influența rugozității asupra ajustajului să fie cît mai mică, precum și pentru ușurarea muncii proiectanților, în tabela 16.8 se indică informativ criteriul de rugozitate R_z în funcție de dimensiuni și de precizia dimensională.

Tabela 16.8. Corelația între rugozitate și precizia dimensională
(SIAS 5730/2-75)

| Dimensiuni nominale mm | Toleranța fundamentală | | | | | | | | | | | | | | | |
|------------------------|------------------------|------------------|------------------|------------------|------------------|------------------|------------------|------------------|------------------|------------------|------------------|------------------|------------------|-------------------|-------------------|-----------------|
| | IT 1 | IT 2 | IT 3 | IT 4 | IT 5 | IT 6 | IT 7 | IT 8 | IT 9 | IT 10 | IT 11 | IT 12 | IT 13 | IT 14 | IT 15 | IT 16 |
| | | | | 0,1... ...0,4 | 0,1... ...0,4 | 0,2... ...0,8 | 0,2... ...0,8 | 0,4... ...1,6 | 0,4... ...1,6 | 0,8... ...3,2 | 0,8... ...3,2 | 1,6... ...6,3 | 1,6... ...6,3 | 3,2... ...12,5 | 3,2... ...12,5 | 6,3... ...25 |
| 3 ≤ N | | | | | | | | | | | | | | | | |
| 3 < N ≤ 6 | 0,025 ...0,1 | 0,05 ...0,2 | 0,1... ...0,4 | | | | | | | | | | | | | |
| 6 < N ≤ 10 | | | | | | | | | | | | | | | | |
| 10 < N ≤ 18 | | | | | | | | | | | | | | | | |
| 18 < N ≤ 30 | | | | | | | | | | | | | | | | |
| 30 < N ≤ 50 | 0,05 ...0,2 | | | | | | | | | | | | | | | |
| 50 < N ≤ 80 | | | | | | | | | | | | | | | | |
| 80 < N ≤ 120 | | 0,1... ...0,4 | | | | | | | | | | | | | | |
| 120 < N ≤ 180 | 0,1... ...0,4 | | | | | | | | | | | | | | | |
| 180 < N ≤ 250 | | | | | | | | | | | | | | | | |
| 250 < N ≤ 315 | | 0,2... ...0,8 | | | | | | | | | | | | | | |
| 315 < N ≤ 400 | 0,2... ...0,8 | | | | | | | | | | | | | | | |
| 400 < N ≤ 500 | | | | | | | | | | | | | | | | |

Observație. Valorile rugozității sînt informative.

În tabela 16.9 se arată legătura dintre precizia și rugozitatea suprafețelor și adîncimea stratului superficial ecruisat pentru majoritatea procedeele de prelucrare prin așchiere a oțelului OLC 45.

Tabela 16.9. Clasele de precizie, rugozitatea suprafețelor și adîncimea stratului ecruisat în cazul diferitelor procedee de prelucrare a oțelului OLC 45

| Procedeele de prelucrare | Clasele de precizie | Abaterea medie a neregularităților R_a , în μm | Adîncimea de ecruisare b , în μm |
|---|---------------------|---|---|
| Strunjire de degroșare | 6-7 | 12,5 - 50 | 200 |
| Strunjire de finisare | 5-6 | 3,2 - 12,5 | 150 |
| Burghiere și adîncire | 6-7 | 6,3 - 12,5 | 250 |
| Alezare de degroșare | 3-4 | 1,6 - 6,3 | 250-300 |
| Alezare de finisare | 2-3 | 0,8 - 3,2 | 150-200 |
| Broșare | 2-3 | 0,8 - 1,6 | 100 |
| Frezare plană de degroșare | 5-7 | 6,3 - 25 | 120 |
| Frezare plană de finisare | 3-4 | 0,8 - 6,3 | 100 |
| Frezare sau mortezare de degroșare a dinților | 6 | 3,2 - 6,3 | 140 |
| Frezare sau mortezare de finisare a dinților | 2-3 | 1,6 - 3,2 | 120 |
| Șeveruire | 1-2 | 0,4 - 0,8 | 100 |
| Rectificare | 1-2 | 0,1 - 0,8 | 60 |
| Netezire (honing) | 1 | 0,05 - 0,2 | 0,25 - 2,5 |

MATERIALE METALICE

1. PROPRIETĂȚILE METALELOR

În construcția mașinilor, aparatelor, instrumentelor de măsurat, dispozitivele de lucru, sculelor etc., se folosesc în mod curent metalele și aliajele lor.

Metalele și aliajele lor se deosebesc între ele prin anumite proprietăți care, în general, dau indicații asupra utilizării lor.

Dintre aceste proprietăți, mai importante sînt :

Culoarea. Fiecare metal are de obicei o culoare de o anumită nuanță : deschisă, închisă etc.

Luciul. Orice metal cînd este tăiat sau preparat de curînd are un luciul metalic, care cu timpul dispare la majoritatea metalelor. Dintre metalele care își mențin acest luciul menționăm : platina, aurul etc.

Structura. Fiecare metal este format din cristale foarte mici, care pot fi văzute pe ruptura metalului. Aceste cristale se văd și mai bine la microscop, pe suprafața unei plăcuțe de metal preparată în mod special. Totalitatea acestor cristale ale unei bucăți de metal constituie structura metalului. Deoarece metalele sînt formate din cristale, se spune că ele au o structură cristalină.

Mărimea, forma, compoziția și orientarea cristalelor definesc structura metalului.

Structura este fină cînd cristalele sînt mici, uniforme și strîns legate între ele.

Structura este grosolană cînd cristalele sînt mari și neuniforme.

Forma și mărimea cristalelor oricărui metal nu sînt constante, ci se modifică între limite foarte largi, în funcție de tehnologia prelucrării. Astfel cristalele metalului turnat sînt de cele mai multe ori mari, în metalul forjat ele sînt cu mult mai mici, iar după tratamentul termic ele pot deveni și mai mici.

În cursul laminării, cristalele se alungesc în direcția de laminare. Prin recoacerea unui astfel de metal laminat, cristalele alungite vor lua treptat o formă rotunjită.

Cu cît structura metalului este mai fină, cu atît are o rezistență mecanică mai mare.

Elasticitatea este proprietatea pe care o are un corp de a-și relua forma inițială, atunci cînd eforturile la care a fost supus și care l-au deformat temporar, încetează. Astfel, oțelul călit este foarte elastic. De exemplu, o vergea de oțel lăsată liberă după ce a fost încovoiată, își revine la forma inițială.

Maleabilitatea este însușirea metalului de a se deforma sub acțiunea forțelor și de a-și păstra noua formă după încetarea acțiunii forțelor, fără a căpăta însă crăpături sau încrețituri.

Prin încălzire, maleabilitatea metalului crește. La temperaturi ridicate un corp maleabil poate fi adus în stare plastică. Astfel, la 1 400° oțelul este atît de moale încît devine plastic.

Un metal sau aliaj se mai spune că este maleabil atunci cînd poate fi transformat în foite foarte subțiri. Aurul este un metal foarte maleabil.

Ductibilitatea este proprietatea pe care o are un metal de a putea fi tras în sîrmă subțire. Dintre metalele ductile fac parte : aurul, cuprul, aluminiul etc.

Tenacitatea este proprietatea pe care o au metalele de a rezista la rupere alungindu-se pînă la o anumită limită, atunci cînd sînt supuse la un efort de rupere. Rezultă deci că metalele tenace au o alungire mare.

Metalele care au o alungire mică, adică acelea care se rup fără să se deformeze mult, se spune că sînt *fragile* sau *casante*.

Rezistența este însușirea metalelor de a se opune unui efort de deformare sau rupere, care tinde să rupă legătura dintre cristale.

Duritatea este proprietatea corpului de a se opune pătrunderii altor corpuri în masa lor. Oțelurile speciale călite au o duritate foarte mare, în timp ce cuprul are o duritate mult mai mică.

Fuzibilitatea este proprietatea metalelor de a trece sub acțiunea căldurii, din starea solidă în stare lichidă, la o temperatură anumită pentru fiecare metal pur. Această temperatură se numește *temperatură de topire* sau *punct de topire*.

Dilatabilitatea este însușirea pe care o au toate metalele de a-și mări volumul atunci cînd sînt încălzite. Prin răcire, metalele se contractă, adică își micșorează volumul.

Conductibilitatea termică este proprietatea pe care o au metalele de a lăsa să treacă căldura prin ele. Metalele bune conducătoare de căldură sînt : argintul, cuprul, aurul, aluminiul, alama, oțelul, fonta etc.

Conductibilitatea electrică este însușirea pe care o au metalele de a conduce electricitatea. Metalele bune conducătoare de electricitate sînt : argintul, cuprul, aurul ; urmează apoi aluminiul și oțelul.

Magnetismul este proprietatea oțelurilor și a altor materiale metalice de a atrage de obicei, bucăți de metale de aceeași natură. O bară de oțel în contact prelungit cu un magnet se magnetizează.

Rezistența la uzură este însușirea pe care o are un metal de a rezista la frecare. În general, cu cât duritatea metalului este mai mare, cu atât rezistența sa la uzură este mai mare. Astfel, un oțel este mai rezistent la uzură după ce se călește.

Fluajul este proprietatea metalelor de a se deforma lent și continuu, în timp, sub acțiunea unei sarcini constante.

Densitatea relativă a unui metal este un număr dat de raportul între masele unui volum din acel metal și unui volum egal de apă, la temperatura de 4°C. Astfel, raportul dintre masele unui decimetru cub de oțel (7,8 kg) și unui decimetru cub de apă este: $7,8 \text{ kg} / 1 \text{ kg} = 7,8$ care reprezintă densitatea relativă a oțelului.

Greutatea specifică a unui metal este greutatea unității sale de volum. Astfel, deoarece 1 dm^3 de oțel cântărește 7,8 kgf greutatea specifică a oțelului va fi: $7,8 / \text{kgf} / 1 \text{ dm}^3 = 7,8 \text{ kgf/dm}^3$.

În tabela 17.1 sînt arătate greutatele specifice ale diferitelor materiale, iar în tabela 17.2 proprietățile termice ale unor corpuri solide.

Tabela 17.1. Greutăți specifice

(în tf/m^3 , kgf/dm^3 , gf/cm^3)

| Combustibili | | | |
|--------------------------|-------------|---|-----------|
| Antracit | 1,5—1,7 | Lignit superior | 1,2—1,5 |
| Brichete | 1,25 | Mangal în bucăți | 0,36 |
| Cărbune brut | 1,2—1,5 | Mangal sfărîmat | 1,4—1,5 |
| Cocs în bucăți | pină la 1,4 | Turbă uscată la aer | 0,6—0,9 |
| Huila | 1,25—1,4 | | |
| Metale și aliaje | | | |
| Alamă | 8,5 | Metal Monel | 8,58 |
| Aluminu pur | 2,7 | Mercur | 13,6 |
| Aluminu turnat | 2,56 | Molibden | 9—10 |
| Aluminu forjat | 2,75 | Nichel turnat | 8,30 |
| Argint | 10,5 | Nichel forjat | 8,35—8,70 |
| Arsen | 5,7 | Nichelină albă | 6,4—6,6 |
| Aur | 15,6—19,4 | Nichel tras | 8,35—8,90 |
| Bismut turnat | 9,82 | Oțel de creuzet | 7,85 |
| Bronz | 8,8 | Oțel de fuziune | 7,86 |
| | | Oțel rapid (după conținut de wolfram) | 8,1—9,0 |
| Bronz fosforos | 8,8 | Oțel sudabil | 7,8 |

Tabela 17.1. (continuare)

| | | | |
|---------------------------------|-----------|--------------------------------|---------|
| Crom | 6,9 | Oțel cu molibden | 8,1 |
| Cupru turnat | 8,6—8,9 | Oțel turnat în formă | 7,85 |
| Cupru forjat | 8,9—9,0 | Platină turnată | 21,15 |
| Cupru laminat | 8,9 | Platină laminată | 21,4 |
| Cupru electrolitic | 8,90—8,95 | Plumb turnat | 11,4 |
| Cupru, sîrmă recoaptă | 8,86 | Plumb lichid | 10,6 |
| Cupru, sîrmă dură | 8,96 | Silamin | 2,7 |
| Duraluminu | 2,8 | Staniu turnat | 7,2 |
| Pier pur | 7,87 | Staniu laminat | 7,4 |
| Fontă | 7,25 | Stibiu | 6,7 |
| Fontă brută cenușie | 6,7—7,7 | Vanadiu | 5,5 |
| Fontă brută albă | 7,0—7,8 | Wolfram | 19,1 |
| Magneziu | 1,72 | Zinc turnat | 6,9 |
| Mangan | 7,3 | Zinc forjat | 7,0—7,2 |
| Metal delta | 8,6 | Zinc laminat | 7,2 |
| Metal alb | 7,5—10 | | |

Alte materiale

| | | | |
|----------------------------|-----------|-------------------------------------|----------|
| Argilă uscată | 1,8 | Celuloid | 1,38 |
| Argilă proaspătă | 2,6 | Cretă | 1,8—2,6 |
| Azbest | 2,1—2,8 | Ebonită | 1,15—1,7 |
| Bumbac uscat | 1,48 | Emeri | 4,0 |
| Cauciuc brut | 0,92—0,96 | Fibră vulcan | 1,28 |
| Celofan | 1,420 | Carton gudronat cu azbest | 1,2 |
| Gumă arabică | 1,35—1,45 | Piele gresată | 1,02 |
| Gutapercă | 1,0 | Plută | 0,2—0,3 |
| Galalit | 1,3—1,4 | Porțelan | 2,45 |
| Gheață | 0,92 | Produse de cauciuc | 1,0—2,0 |
| Hirtie tipar | 0,970 | Produse petrificate | 1,35—1,6 |
| İpsos | 1,82 | Șamotă, cărămizi | 1,8—2,2 |
| Limonită | 3,5—4 | Sticlă de geamuri | 2,5 |
| Mică | 2,6—3,2 | Steatită | 2,6—2,8 |
| Micanită | 1,9—2,6 | Sticlă flint | 3,5 |
| Piele uscată | 0,85 | | |

Lichide la 15°

| | | | |
|--|------|--|------|
| Acid azotic cu 70 % HNO_3 | 1,42 | Mercur la 0° | 13,6 |
| Acid clorhidric cu cca. 20 % HCl | 1,1 | Ulei de in | 0,94 |
| Acid sulfuric cu cca. 66 % H_2SO_4 | 1,6 | Ulei de gudron | 1,1 |
| Alcool | 0,79 | Uleiuri minerale : | |
| Èter | 0,73 | ulei de fusuri | 0,90 |
| Glicerină | 1,26 | ulei de mașini | 0,91 |
| Gudron de huilă | 1,2 | ulei de osii de vagoane C.F.R. | 0,92 |
| Hidrat de sodiu cu 22 % NaOH | 1,25 | ulei de cilindru | 0,93 |
| Hidrat de sodiu cu 66 % NaOH | 1,70 | Ulei de terebentină | 0,86 |

Tabela 17.2. Proprietățile termice ale unor corpuri solide
(la presiunea 760 mm Hg)

| Elementele | Punctul de topire, °C | Căldura de topire kcal/kg | Punctul de fierbere, °C | Căldura de vaporizare, kcal/kg |
|---------------------|-----------------------------|---------------------------------|-------------------------------|--------------------------------------|
| Aluminiu | 658 | 85 | 2 270 | 2 800 |
| Argint | 960,5 | 25 | 1 950 | 520 |
| Arsen | 830 | | 625 | 400 |
| Aur | 1 063 | 16 | 2 700 | 420 |
| Bariu | 704 | | 1 700 | 320 |
| Beriliu | 1 278 | 341 | 3 000 | 5 930 |
| Bismut | 271,0 | 13 | 1 500 | 200 |
| Bor | 2500 | | | |
| Cadmiu | 320,9 | 13 | 767 | 240 |
| Calciu | 851 | 78,15 | 1 400 | 1 000 |
| Carbon | 3 540 | | 4 000 | 12 000 |
| Ceriu | 815 | | 1 400 | |
| Cesiu | 28 | 3,8 | 670 | 120 |
| Cobalt | 1 490 | 67 | 3 200 | 1 550 |
| Crom | 1 800 | 70 | 2 400 | 1 470 |
| Cupru | 1 083 | 50 | 2 330 | 1 110 |
| Fier pur | 1 530 | 65 | 2 500 | 1 520 |
| Fontă albă | 1 130 | 33 | | |
| Fontă cenușie | 1 200 | 23 | | |
| Fosfor alb | 44,1 | 5,2 | 280 | 400 |
| Galiu | 29,78 | 19,1 | 2 300 | |
| Iod | 113,5 | | 185 | 80 |
| Iridiu | 2 457 | | 4 800 | 930 |
| Litiu | 180 | 33 | 1 400 | 5 100 |
| Magneziu | 650 | 50 | 1 110 | 1 350 |
| Mangan | 1 250 | 60 | 2 100 | 1 000 |
| Molibden | 2 600 | | 3 560 | 1 700 |
| Nichel | 1 455 | 70 | 3 000 | 1 480 |
| Osmiu | 2 500 | | | |
| Oțel moale (0,1% C) | 1 520 | | | |
| Oțel dur (0,85% C) | 1 460 | | | |
| Paladiu | 1 555 | 36 | | 950 |
| Platină | 1 773 | 27 | 3 800 | 600 |
| Plumb | 327,3 | 5,7 | 1 730 | 220 |
| Potasiu | 63 | 13 | 760 | 490 |
| Reniu | 3 150 | | | |
| Rodiu | 1 966 | | | |
| Rubidiu | 38,5 | 6,1 | 713 | 200 |
| Seleniu | 220 | 16,4 | 688 | 260 |
| Siliciu | 1 410 | | 2 350 | 3 360 |
| Sodiu | 97,7 | 27 | 880 | 1 000 |
| Staniu | 231,9 | 14,0 | 2 300 | 620 |
| Stibiu | 630,5 | 40 | 1 640 | 300 |
| Sulf (monoclinic) | 119,0 | 11 | | |
| Sulf (rombic) | 112,8 | 9,4 | 444,60 | 70 |
| Tantal | 3 000 | | | |
| Titan | 1 800 | | | |
| Vanadiu | 1 720 | | | |
| Wolfram | 3 380 | 60 | 5 000 | 1 150 |
| Zinc | 419,4 | 26,8 | 907 | 430 |
| Zirconiu | 1 900 | | | |

2. ÎNCERCĂRILE METALELOR

Încercările metalelor se clasifică în următoarele categorii: încercări mecanice, încercări tehnologice, analize chimice și control metalografic.

2.1. ÎNCERCĂRI MECANICE

Încercările mecanice ale metalelor se fac cu scopul de a determina proprietățile mecanice ale acestora în ceea ce privește: proprietățile de rezistență față de sarcinile aplicate static (sarcina crește treptat de la zero până la o anumită valoare dată) sau dinamic (sarcina se aplică brusc).

Încercările mecanice uzuale sînt:

- *încercări statice* la: tracțiune, compresiune, încovoiere, forfecare și răsucire;
- *încercări dinamice* la loviri sau șocuri și la oboseală;
- *încercări de duritate*, statice sau dinamice;
- *încercări la uzură*.

Toate aceste încercări se fac pe bucăți din materialul căruiă voim a-i determina rezistența. Aceste bucăți de material se numesc *epruvete*.

a. **Încercarea la tracțiune.** Pentru determinarea rezistenței la tracțiune, epruveta cu secțiunea circulară, pătrată sau dreptunghiulară, avînd dimensiunile după STAS 200-75, este supusă unui efort de rupere cu ajutorul unei mașini speciale (fig. 17.1) care permite citirea forței cu care este întinsă epruveta în orice moment.

O pompă de ulei presează uleiul în cilindrii *b* și *n* asupra pistoanelor *c* și *p*. Pistonul *c* acționează prin intermediul traverselor mobile *d*₁ și *d*₂ asupra epruvetei *f*, care este fixată prin falca *e*₂ de batiul *g* al mașinii și prin falca *e*₁ de traversa mobilă *d*₂. Pistonul *p*, prin intermediul pîrghiei *o* și al pendulului *q*, mișcă acul indicator care arată efortul de rupere al epruvetei.

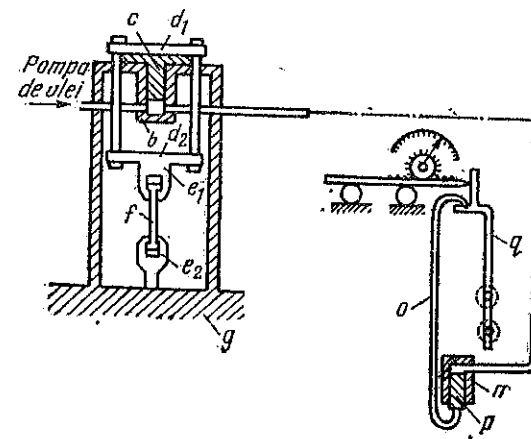


Fig. 17.1;

Dacă se presupune că epruveta este de oțel cu dimensiunile: $L_0 = 90$ mm, $L_c = 100$ mm, $d = 10$ mm (fig. 17.2) și se rupe atunci când acul indică pe cadran o forță maximă $P_{max} = 3\,600$ kgf, atunci suprafața secțiunii epruvetei, A_0 , este dată de relația:

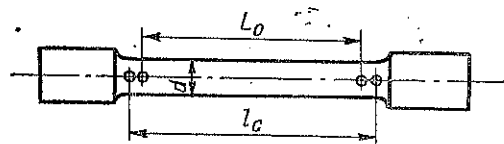


Fig. 17.2.

$$A_0 = \pi \times d^2 / 4 = 3,14 \times 10^2 / 4 = 78,50 \text{ mm}^2.$$

În acest caz rezistența de rupere la tracțiune σ , se obține cu formula $\sigma = P_r / A_0 = 3\,600 / 78,50 = 46$ kgf/mm², în care P_{max} este forța de rupere.

După ce epruveta s-a rupt, prin măsurare constatăm că epruveta s-a lungit și dimensiunea între repere $L_0 = 90$ mm a devenit $L_u = 106$ mm. Alungirea la rupere este dată de relația

$$\delta = \frac{L_u - L_0}{L_0} \times 100 = \frac{106 - 90}{90} \times 100 = 17,77\%.$$

Cunoscând rezistența de rupere, putem calcula forța aproximativă de rupere la care se va rupe o bară din același material, dar cu diametrul de 40 mm.

Suprafața secțiunii barei fiind

$$A_1 = 3,14 \times 40^2 / 4 = 3,14 \times 1\,600 / 4 = 1\,256 \text{ mm}^2,$$

forța maximă de rupere la care poate să reziste această secțiune este

$$P_{max} = \sigma_r \cdot A_1 = 46 \times 1\,256 = 57\,776 \text{ kgf}.$$

b. **Încercări de duritate.** O metodă folosită curent este încercarea cu bila prin metoda *Brinell* (STAS 165-66). Executarea încercării se face prin apăsarea unei bile de oțel călit, de diametru D cunoscut, pe suprafața materialului de încercat, sub acțiunea unei sarcini prescise P (fig. 17.3).

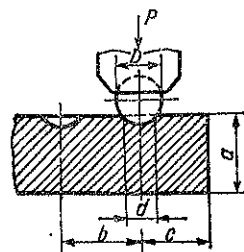


Fig. 17.3.

Duritatea Brinell este raportul dintre sarcina aplicată și suprafața sferică a urmei lăsată de bilă. Se măsoară diametrul d al amprentei circulare, după descărcare și duritatea Brinell se deduce din formula: $HB = \frac{2P}{\pi \cdot D (D - \sqrt{D^2 - d^2})}$

în care: HB este simbolul durității Brinell, în kgf/mm²;

P — sarcina aplicată, în kgf;

D — diametrul bilei, în mm;

d — diametrul amprentei circulare, în mm.

Gradul de solicitare k este dat de relația $k = \frac{P}{D^2}$ [kgf/mm²].

Grosimea minimă a piesei de încercat va fi de cel puțin 8 ori adâncimea urmei (h) exprimată în mm: $h = \frac{P}{\pi D \cdot HB}$.

Sarcinile de încercare în funcție de diametrul bilei și de gradul de solicitare, precum și timpul de menținere necesar încercării sînt indicate în tabela 17.3.

Cînd notația HB se completează cu condițiile în care s-a făcut încercarea atunci notația este următoarea: $180 HB 5/250/15$; aceasta înseamnă că bila a fost de 5 mm, sarcina de 250 kgf și timpul de menținere al sarcinii de minimum 15 s.

Încercarea normală $190 HB$ este prescurtarea pentru $190 HB 10/3\,000/15$.

O valoare informativă pentru rezistența de rupere σ_r a oțelului, atunci cînd se cunoaște valoarea durității Brinell, se obține din relația: $\sigma_r = 0,35 HB$.

Aparatul pentru executarea încercării Brinell este o presă hidraulică. O schemă după unul din tipurile de aparate construite în acest scop este arătată în fig. 17.4.

Epruveta așezată pe masa 1 este ridicată cu ajutorul roții de mină 2 pînă la bila 5. La partea superioară a batiului se găsește un cilindru cu două cavități 3.

În cavitatea de jos de deplasează pistonul 4 a cărui tijă este prevăzută la extremitate cu o montură pentru fixarea bilei.

În cavitatea de sus se introduce ulei. Prin rotirea ventilu-

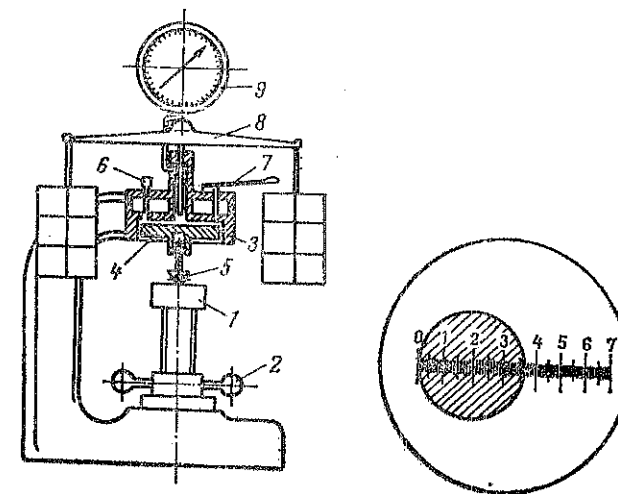


Fig. 17.4.

Tabela 17.3. Sarcinile de încercare a durității Brinell în funcție de diametrul bilei și de gradul de solicitare

| Scara Simbolul | Bila \varnothing mm | Sarcina | | Timpul de menținere s | Domeniul de aplicare | | |
|-------------------|-----------------------------|---------------------|-------|-----------------------------|----------------------------|--------------------------------------|-----------------------------------|
| | | $k = \frac{F}{D^2}$ | kgf | | Duritatea Brinell HB | grosimea minimă a piesei mm | Materialul |
| HB | 10 | 30 | 3000 | 10... 15 | 120... 450 | 6,4 | Oțel, fontă netratată |
| HB 5/750/15 | 5 | | 750 | | | 3,2 | |
| HB 2,5/187,5/15 | 2,5 | | 187,5 | | | 1,6 | |
| HB 2/120/15 | 2 | | 120 | | | 1,3 | |
| HB 1/30/15 | 1 | | 30 | | | 0,6 | |
| HB 10/1 500/30 | 10 | 15 | 1500 | 27... 33 | 80... 300 | 4,8 | Cupru, bronz, aliaje ușoare |
| HB 5/375/30 | 5 | | 375 | | | 2,5 | |
| HB 2,5/93,7/30 | 2,5 | | 93,7 | | | 1,2 | |
| HB 2/60/30 | 2 | | 60 | | | 0,9 | |
| HB 1/15/30 | 1 | | 15 | | | 0,5 | |
| HB 10/1000/30 | 10 | 10 | 1000 | 27... 33 | 60... 300 | 4,2 | Aluminiu, magneziu |
| HB 5/250/30 | 5 | | 250 | | | 2,1 | |
| HB 2,5/62,5/30 | 2,5 | | 62,5 | | | 1,0 | |
| HB 2/40/30 | 2 | | 40 | | | 0,8 | |
| HB 1/10/30 | 1 | | 10 | | | 0,4 | |
| HB 10/500/30 | 10 | 5 | 500 | 27... 33 | 35... 160 | 3,2 | Aluminiu, magneziu |
| HB 5/125/30 | 5 | | 125 | | | 1,6 | |
| HB 2,5/31,2/30 | 2,5 | | 31,2 | | | 0,8 | |
| HB 2/20/30 | 2 | | 20 | | | 0,6 | |
| HB 1/5/30 | 1 | | 5 | | | 0,3 | |
| HB 10/250/60 | 10 | 2,5 | 250 | 55... 65 | 10... 100 | 1,2 | Aliaje de antifricțiune |
| HB 5/62,5/60 | 5 | | 62,5 | | | 0,6 | |
| HB 2,5/15,6/60 | 2,5 | | 15,6 | | | 0,3 | |
| HB 2/10/60 | 2 | | 10 | | | 0,15 | |
| HB 1/2,5/60 | 1 | | 1,5 | | | 0,18 | |
| HB 10/100/120 | 10 | 1 | 100 | 115... 125 | 10... 35 | 0,6 | Plumb, staniu |
| HB 5/25/120 | 5 | | 25 | | | 0,3 | |
| HB 2,5/6,2/120 | 2,5 | | 6,2 | | | 0,16 | |
| HB 2/4/120 | 2 | | 4 | | | 0,13 | |
| HB 1/1/20 | 1 | | 1 | | | 0,06 | |

lui 6 în sensul acelor de ceasornic, se închide comunicația între cele două cavități. Folosind pompa de mină 7, uleiul din cavitatea superioară este refulat în cavitatea inferioară, provocând deplasarea în jos a pistonului și deci o anumită presiune asupra bilei care pătrunde în materialul de încercat.

Concomitent, presiunea hidrostatică este transmisă atât balansierului 8, prevăzut cu o serie de greutateți de control, cât și manometrului 9.

Când sarcina maximă necesară este atinsă, balansierul cu greutatețile de control se ridică automat și pomparea uleiului în cavitatea de jos încetează.

Mărimea sarcinii maxime care acționează asupra bilei este indicată de acul manometrului. Epruveta se menține sub sarcină circa 30 s, după care se deșurubează ușor ventilul 6, astfel că presiunea asupra epruvetei încetează. Urmează apoi coborîrea mesei port-epruvetă prin rotirea în sens contrar a roții de mină 2 și măsurarea diametrului d al urmei lăsată de bilă pe suprafața piesei, cu ajutorul unei lupe speciale, avînd o scară cu diviziuni de 0,1 mm (fig. 17.4).

Pentru metalele cu o duritate mai mare, se folosește încercarea de duritate Rockwell C și Rockwell B.

Încercarea constă în apăsarea unui penetrator (con de diamant la încercarea Rockwell C, bilă de oțel la încercarea Rockwell B) sub o sarcină inițială (F_0) și apoi sub o suprasarcină (F_1) și măsurarea adîncimii remanente de pătrundere e , după îndepărtarea suprasarcinii, menținîndu-se sarcina inițială aplicată. Duritatea Rockwell se calculează pe baza adîncimii remanente de pătrundere e astfel:

- duritatea Rockwell $= E - e$;
- duritatea Rockwell C $= 100 - e$ [HRB];
- duritatea Rockwell B $= 130 - e$ [HRC],

în care e este adîncimea remanentă de pătrundere după îndepărtarea suprasarcinii, iar E este o valoare convențională.

Pentru indicarea durității Rockwell se folosește simbolul HR urmat de litera corespunzătoare scării respective (C sau B), de exemplu: 57 HRC; 89 HRB.

Grosimea piesei de încercat trebuie să fie de cel puțin 8 e .

Sarcinile folosite pentru încercarea de duritate Rockwell sînt cele cuprinse în tabela 17.4.

Alte detalii asupra încercării de duritate Rockwell se găsesc în STAS 493-67.

Încercarea de duritate Vickers se folosește la examinarea pieselor metalice cu suprafețe plane și cu grosimi mai mari de 1 mm, utilizînd sarcini între 49,03...980,7 N (5...100 kgf), conform STAS 492-67.

| Valori medii | | | | Erori tolerate | | | | | |
|---|-------------------------------|----------------------|------|------------------------------|---------------------|------------------------------|----------------|------------------------------------|---|
| Duritate Vickers F > 4,9 daN (5 kgf) | Duritate Brinell h = 30 | Duritate Rockwell | | Duritate Vickers pentru F | | Duritate Brinell pentru D | | Duritate Rockwell HRB și HRC | |
| | | | | 4,9 daN (5 kgf) | 9,8 daN (10 kgf) | ≤ 2,5 mm | 5 sau 10 mm | | |
| | | | | ± HV | ± HV | ± HB | ± HB | | |
| HV | HB | HRB | HRC | | | | | | |
| 80 | 80 | 36,4 | | | | | | | |
| 85 | 85 | 42,4 | | 3 | 2 | 2 | 2 | 3 | |
| 90 | 90 | 47,4 | | | | | | | |
| 95 | 95 | 52,0 | | | | | | | |
| 100 | 100 | 56,4 | | | | | | | |
| 105 | 105 | 60,0 | | | | | | | |
| 110 | 110 | 63,4 | | | | | | | |
| 115 | 115 | 66,4 | | 4 | 3 | 3 | 2 | 3 | |
| 120 | 120 | 69,4 | | | | | | | |
| 125 | 125 | 72,0 | | | | | | | |
| 130 | 130 | 74,4 | | | | | | | |
| 135 | 135 | 76,4 | | | | | | | |
| 140 | 140 | 78,4 | | 5 | 4 | 4 | 3 | 3 | |
| 145 | 145 | 80,4 | | | | | | | |
| 150 | 150 | 82,2 | | | | | | | |
| 155 | 155 | 83,8 | | | | | | | |
| 160 | 160 | 85,4 | | 7 | 4 | 4 | 3 | 3 | |
| 165 | 165 | 86,6 | | | | | | | |
| 170 | 170 | 88,2 | | | | | | | |
| 175 | 175 | 89,6 | | | | | | | |
| 180 | 180 | 90,8 | | | | | | | |
| 185 | 185 | 91,9 | | 8 | 5 | 5 | 4 | 3 | |
| 190 | 190 | 93,0 | | | | | | | |
| 195 | 195 | 94,0 | | | | | | | |
| 200 | 200 | 95,0 | | | | | | | |
| 205 | 205 | 95,8 | | | | | | | |
| 210 | 210 | 96,6 | | 10 | 6 | 6 | 5 | 3 | |
| 215 | 215 | 97,6 | | | | | | | |
| 220 | 220 | 98,2 | | | | | | | |
| 225 | 225 | 99,0 | | | | | | | |
| 230 | 230 | | 19,2 | | | | | | |
| 235 | 235 | | 20,2 | 11 | 7 | 6 | 5 | 3 | |
| 240 | 240 | | 21,2 | | | | | | |
| 245 | 245 | | 22,1 | | | | | | |
| 250 | 250 | | 23,0 | | | | | | |
| 255 | 255 | | 23,8 | | | | | | |
| 260 | 260 | | 24,6 | | | | | | |
| 265 | 265 | | 25,4 | 13 | 8 | 7 | 6 | | 2 |
| 270 | 270 | | 26,2 | | | | | | |
| 275 | 275 | | 26,9 | | | | | | |

Tabela 17.5 (continuare)

| Valori medii | | | | Erori tolerate | | | | | |
|---|------------------------------|-------------------|------|------------------------------|---------------------|------------------------------|----------------|---------------------------------|-------|
| Duritate Vickers $F \geq 4,9 \text{ daN}$ (5 kgf) | Duritate Brinell $k = 30$ | Duritate Rockwell | | Duritate Vickers pentru F | | Duritate Brinell pentru D | | Duritate Rockwell HRB și HRC | |
| | | | | 4,9 daN (5 kgf) | 9,8 daN (10 kgf) | 2,5 mm | 5 sau 10 mm | | |
| HV | HB | HRB | HRC | ± HV | ± HV | ± HB | ± HB | ± HRB | ± HRC |
| 280 | 280 | | 27,6 | | | | | | |
| 285 | 285 | | 28,3 | 15 | 9 | 7 | 6 | | 2 |
| 290 | 290 | | 29,0 | | | | | | |
| 295 | 295 | | 29,6 | | | | | | |
| 300 | 300 | | 30,3 | | | | | | |
| 310 | 310 | | 31,5 | | | | | | |
| 320 | 320 | | 32,7 | 18 | 11 | 8 | 7 | | 2 |
| 330 | 330 | | 33,8 | | | | | | |
| 340 | 340 | | 34,9 | | | | | | |
| 350 | 350 | | 36,0 | | | | | | |
| 360 | 359 | | 37,0 | | | | | | |
| 370 | 368 | | 38,0 | | | | | | |
| 380 | 376 | | 38,9 | 22 | 13 | 10 | 8 | | 2 |
| 390 | 385 | | 39,8 | | | | | | |
| 400 | 392 | | 40,7 | | | | | | |
| 410 | 400 | | 41,5 | | | | | | |
| 420 | 408 | | 41,4 | 26 | 15 | 11 | 9 | | 2 |
| 430 | 415 | | 43,2 | | | | | | |
| 440 | 428 | | 44,0 | | | | | | |
| 450 | 430 | | 44,8 | | | | | | |
| 460 | 437 | | 45,5 | | | | | | |
| 470 | 444 | | 46,3 | | | | | | |
| 480 | 451 | | 47,0 | 30 | 18 | | | | 2 |
| 490 | | | 47,7 | | | | | | |
| 500 | | | 48,3 | | | | | | |
| 510 | | | 49,1 | | | | | | |
| 520 | | | 49,7 | 32 | 20 | | | | 2 |
| 530 | | | 50,4 | | | | | | |
| 540 | | | 51,0 | | | | | | |
| 550 | | | 51,6 | | | | | | |
| 560 | | | 52,2 | | | | | | |
| 570 | | | 52,8 | | | | | | |
| 580 | | | 53,3 | 35 | 22 | | | | 2 |
| 590 | | | 53,9 | | | | | | |
| 600 | | | 54,4 | | | | | | |
| 610 | | | 55,0 | | | | | | |
| 620 | | | 55,5 | | | | | | |
| 630 | | | 56,0 | 38 | 25 | | | | 2 |
| 640 | | | 56,5 | | | | | | |
| 650 | | | 57,0 | | | | | | |

Tabela 17.5 (continuare)

| Valori medii | | | | Erori tolerate | | | | | |
|---|------------------------------|-------------------|------|------------------------------|---------------------|------------------------------|----------------|---------------------------------|-------|
| Duritate Vickers $F \geq 4,9 \text{ daN}$ (5 kgf) | Duritate Brinell $k = 30$ | Duritate Rockwell | | Duritate Vickers pentru F | | Duritate Brinell pentru D | | Duritate Rockwell HRB și HRC | |
| | | | | 4,9 daN (5 kgf) | 9,8 daN (10 kgf) | 2,5 mm | 5 sau 10 mm | | |
| HV | HB | HRB | HRC | ± HV | ± HV | ± HB | ± HB | ± HRB | ± HRC |
| 660 | | | 57,5 | | | | | | |
| 670 | | | 58,0 | | | | | | |
| 680 | | | 58,5 | 42 | 28 | | | | 2 |
| 690 | | | 59,0 | | | | | | |
| 700 | | | 59,5 | | | | | | |
| 720 | | | 60,2 | | | | | | |
| 740 | | | 61,1 | | | | | | |
| 760 | | | 61,9 | 50 | 32 | | | | 2 |
| 780 | | | 62,7 | | | | | | |
| 800 | | | 63,5 | | | | | | |
| 820 | | | 64,3 | | | | | | |
| 840 | | | 65,0 | | | | | | |
| 860 | | | 65,7 | 60 | 40 | | | | 2 |
| 880 | | | 66,3 | | | | | | |
| 900 | | | 66,9 | | | | | | |
| 920 | | | 67,5 | | | | | | |
| 940 | | | 68,0 | 60 | 40 | | | | 2 |

Tabela 17.6. Tabel comparativ al cifrelor de duritate pentru aluminiu, aliaje de aluminiu, cupru și alamă

| Valori medii | | Valori medii | | | Valori medii | | Valori medii | | |
|---|---|---|--|-------------------|---|---|---|--|-------------------|
| Duritate Vickers $F \geq 4,9 \text{ daN}$ (5 kgf) | Duritate Brinell $k = 5$; $k = 10$ | Duritate Vickers $F \geq 4,9 \text{ daN}$ (5 kgf) | Duritatea Brinell $k = 5$; $k = 10$ | Duritate Rockwell | Duritate Vickers $F \geq 4,9 \text{ daN}$ (5 kgf) | Duritate Brinell $k = 5$; $k = 10$ | Duritate Vickers $F \geq 4,9 \text{ daN}$ (5 kgf) | Duritatea Brinell $k = 5$; $k = 10$ | Duritate Rockwell |
| HV | HB | HV | HB | HRB | HV | HB | HV | HB | HRB |
| 20 | 19,0 | 50 | 47,5 | 31,9 | 80 | 76,0 | 125 | 118,8 | 69,0 |
| 22 | 20,9 | 52 | 49,4 | 34,4 | 82 | 77,9 | 130 | 123,5 | 71,5 |
| 24 | 22,8 | 54 | 51,3 | 36,8 | 84 | 79,8 | 135 | 128,3 | 73,9 |
| 26 | 24,7 | 56 | 53,2 | 39,1 | 86 | 81,7 | 140 | 133,0 | 76,1 |
| 28 | 26,6 | 58 | 55,1 | 41,3 | 88 | 83,6 | 145 | 137,8 | 77,1 |
| 30 | 28,5 | 60 | 57,0 | 43,3 | 90 | 85,5 | 150 | 142,5 | 80,0 |
| 32 | 30,4 | 62 | 58,9 | 45,3 | 92 | 87,4 | 155 | 147,3 | 81,8 |
| 34 | 32,3 | 64 | 60,8 | 47,2 | 94 | 89,3 | 160 | 152,0 | 83,4 |
| 36 | 34,2 | 66 | 62,7 | 49,1 | 96 | 91,2 | 165 | 156,8 | 85,0 |
| 38 | 36,1 | 68 | 64,6 | 50,8 | 98 | 93,1 | 170 | 161,5 | 86,5 |
| 40 | 38,0 | 70 | 66,5 | 52,5 | 100 | 95,0 | 175 | 166,3 | 87,9 |
| 42 | 39,9 | 72 | 68,4 | 54,4 | 105 | 99,8 | 180 | 171,0 | 89,2 |
| 44 | 41,8 | 74 | 70,3 | 60,0 | 110 | 104,5 | 185 | 175,8 | 90,4 |
| 46 | 43,7 | 76 | 72,2 | 63,3 | 115 | 109,3 | 190 | 180,5 | 91,6 |
| 48 | 45,6 | 78 | 74,1 | 66,3 | 120 | 114,0 | 195 | 185,3 | 92,7 |
| | | | | | | | 200 | 190,0 | 93,8 |
| | | | | | | | 205 | 194,8 | 94,8 |
| | | | | | | | 210 | 194,8 | 95,7 |

Observație. Tabelul este valabil pentru $k = 5$ sau 10 la aluminiu și aliaje de aluminiu și pentru $k = 10$ la cupru și alamă.

Echivalarea rezistenței la rupere la tracțiune se poate face numai pe baza durtății Brinell, cu ajutorul relației $\sigma_r = 0,35 HB$.

c. Încercări tehnologice. Aceste încercări se fac cu scopul de a determina capacitatea de prelucrare a metalelor sau aliajelor. După procedeul de încercare folosit, încercarea tehnologică poate fi: de maleabilitate, de prelucrabilitate, sudabilitate, tratament termic, scinteiere etc.

Încercarea de maleabilitate este încercarea tehnologică a unui metal sau a unui aliaj, prin care se determină capacitatea acestora de a se deforma — fără fisurare — la o temperatură inferioară celei de topire sub acțiunea unei forțe dinamice sau statice. După procedeul de deformare, se deosebesc: încercarea la ambutisare, la aplatizare, îndoire, lărgire, lățire, răsfringere, răsucire, strângere, turtire. Aceste încercări se fac la cald sau la rece. În cele ce urmează se dau indicații asupra încercărilor de maleabilitate folosite în mod curent.

— **Încercarea de ambutisare** după metoda *Erichsen*, a tablelor pînă la 2 mm grosime. Ea constă în deformarea în matriță cu un penetrator sferic, la temperatura obișnuită, a tablei care se încearcă (fig. 17.5). Se determină adîncimea de ambutisare pînă la rupere (indicele *Erichsen I*) a unei epruvete de secțiune pătrată, circulară sau în bandă, avînd latura, respectiv diametrul sau lățimea, cel puțin egale cu 70 mm.

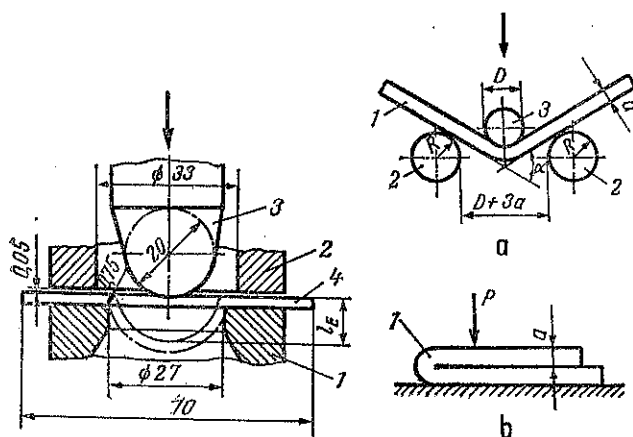


Fig. 17.5. Schema încercării la ambutisare după metoda Erichsen:

1 — matriță; 2 — inel de strângere; 3 — penetrator; 4 — epruvetă.

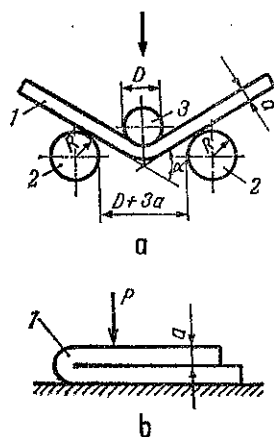


Fig. 17.6. Schema încercării la îndoire:

1 — epruvetă; 2 — role de sprijin; 3 — rolă poanson

— **Încercarea de aplatizare** constă în verificarea modului cum materialul suportă aducerea de la o formă îndoită la o formă dreaptă, fără ca să apară crăpături sau să se producă o rupere. Încercarea se face la cald sau la rece, prin aplicarea de lovituri de ciocan pînă la desfășurarea unghiului materialului profilat.

— **Încercarea la îndoire** servește la verificarea posibilității

lor de îndoire, fără crăpături, pînă la un unghi și cu o rază de curbura date. Încercarea se face prin îndoirea lentă a epruvetelor la rece sau la cald, în două alternative:

1. Îndoirea cu o sarcină P în jurul unui dorn metalic de diametru D , pe două role de sprijin de rază R , pînă la un unghi dat α (fig. 17.6, a).

2. Îndoirea la 180° , sub sarcina P , pînă la contactul fețelor interne ale epruvetei de grosime a (fig. 17.6, b).

— **Încercarea la îndoire alternată** (fig. 17.7) constă în îndoirea și dezdoirea unei epruvete metalice (sîrmă, tablă) de un anumit număr de ori, pînă la apariția primei exfolieri, crăpături sau rupturi.

— **Încercarea la lărgirea țevilor** (fig. 17.8) se folosește pentru a verifica proprietatea materialului de a permite lărgirea unei țevi, fără crăpături sau rupere, la introducerea unui dorn conic în țeavă, cu ajutorul unei prese sau a loviturilor de ciocan pînă la limita indicată prin condițiile tehnice.

— **Încercarea la strângere a țevilor** (fig. 17.9) constă în a verifica în ce măsură materialul se poate strînge, fără crăpături, la introducerea țevii într-un fel cu o gaură conică în care țeava este supusă la strîngere pînă la o anumită limită, cu ajutorul unei prese sau a loviturilor de ciocan.

d. Încercări mecanice standartizate.

- Încercarea la tracțiune STAS 200-75
- Încercarea la tracțiune a cablurilor de oțel STAS 2172-74
- Încercarea la tracțiune a tablelor și benzilor STAS 2649-76

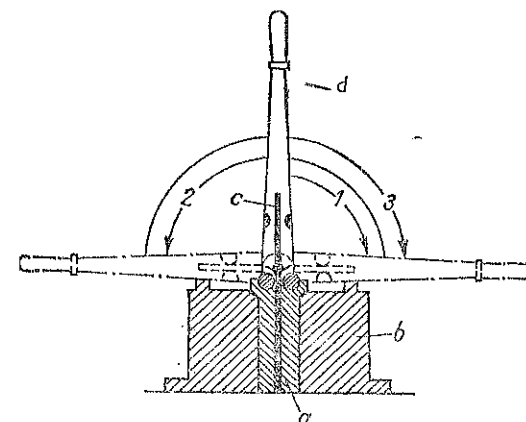


Fig. 17.7. Schema încercării la îndoire alternată: a — fâlei; b — dispozitiv de strîngere; c — epruvetă de sîrmă sau tablă; d — antrenor; 1, 2, 3 — succesiunea operațiilor.

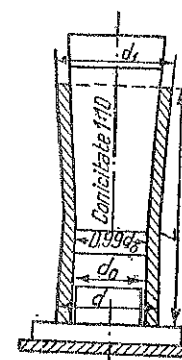


Fig. 17.8. Schema încercării la lărgirea a țevilor:

d_0 — diametrul interior inițial; d — diametrul exterior inițial; d_1 — diametrul exterior după lărgire.

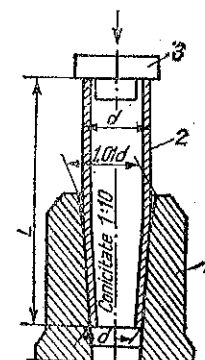


Fig. 17.9. Schema încercării la strîngere a țevilor:

1 — inel; 2 — țeavă; 3 — dorn.

| | |
|---|--------------|
| — Încercarea durtății după metoda Brinell | STAS 165-66 |
| — Încercarea durtății după metoda Vickers | STAS 492-67 |
| — Încercarea durtății după metoda Rockwell | STAS 493-67 |
| — Încercarea de reziliență | STAS 1400-75 |
| — Încercarea la compresiune | STAS 1552-78 |
| — Încercarea la încovoire a fontelor | STAS 1660-69 |
| — Încercări mecanice și tehnologice ale țevilor de oțel | STAS 1111-67 |
| — Încercarea la ambutisare după metoda Erichsen | STAS 2112-63 |
| — Încercarea la îndoire | STAS 777-73 |
| — Încercarea la îndoire alternată | STAS 1177-74 |
| — Încercarea la dublă îndoire a tabeli subțiri | STAS 2080-67 |
| — Încercarea de refluxare | STAS 2233-72 |
| — Încercarea de răsucire a sirmei | STAS 1750-72 |
| — Încercarea la oboseală prin încovoire rotativă | STAS 5878-77 |

2.2. ANALIZE CHIMICE

Prin analize calitative și cantitative efectuate în laborator se poate stabili precis care sînt elementele care intră în compoziția chimică a unui aliaj și în ce procent anume.

Aceste analize nu pot da însă indicații asupra structurii metalului și din această cauză nu sînt suficiente pentru stabilirea proprietăților pe care le posedă metalul.

2.3. CONTROL METALOGRAFIC

Prin definiție, studiul structurii aliajelor și metalelor se numește metalografie. Scopul metalografiei este de a identifica constituția, starea fizică, compoziția chimică, omogenitatea și starea cristalină a metalelor sau a aliajelor respective.

Controlul metalografic al aliajelor sau metalelor se efectuează prin următoarele metode: macrografie, micrografie, radiografie și, în ultimul timp, prin microscopul electronic.

Controlul macrografic constă în cercetarea cu ochiul liber sau cu o lupă a suprafeței unui aliaj sau metal, lustruit, în prealabil și atacat cu un reactiv chimic potrivit. Atacarea cu reactiv chimic are ca scop scoaterea în evidență a conturului cristalelor și diferențierea constituenților aliajului. Pentru examinarea macroscopică se folosesc ca reactivi: acidul clorhidric 50%, acidul sulfuric 15%, acidul azotic 25% etc.

Prin control macrografic se identifică corpurile străine aflate în metale și aliaje și se obțin indicații asupra macrostructurii, arătînd: mărimea cristalelor din metal, orientarea cristalelor; se mai pot determina tratamentele suferite de metal.

Controlul micrografic constă în examenul minuțios al suprafeței metalului, cu ajutorul microscopului metalografic, în vederea deter-

minării constituției lui. Probele ce se studiază au fața lustruită și atacată cu reactivii corespunzători aliajului respectiv. Prin mărimi de 100—1 500 ori a porțiunilor mici din suprafața cristalelor se poate identifica cu claritate structura cristalelor și deci identifica prezența austenitei, martensitei, cementitei etc.

Controlul metalelor prin radiografie permite studiul acestora cu ajutorul razelor X. Cu ajutorul acestei metode se pot examina defectele pieselor metalice avînd pînă la circa 100 mm grosime. De asemenea se identifică structura cristalină a aliajului.

Controlul metalografic cu microscopul electronic se efectuează, de obicei, la studiul suprafețelor metalice, cu aceleași scopuri ca și controlul micrografic, însă cu posibilități mult mai mari, datorită faptului că se pot obține mărimi pînă la 6 000 ori.

3. METALE FEROASE

3.1. FONTE

Fontele sînt aliaje ale fierului cu carbonul (în general în procent de peste 1,7%) și cu alte elemente obișnuite: siliciu, mangan, sulf și fosfor.

3.1.1. Fonte brute. (STAS 882-65) Fontele brute, numite și fonte de prima topire, sînt produse obținute în furnal prin reducerea minereurilor de fier. Aceste fonte turnate în blocuri servesc la fabricarea oțelului și a fontelor turnate în piese.

După conținutul de siliciu și mangan, fontele brute se clasifică în: fonte brute nealiat (cu Si și Mn pînă la 5% fiecare) și fonte brute aliate (cu Si și Mn peste 5% fiecare).

Fontele brute aliate se clasifică în:

- fonte obișnuite pentru turnătorie (FK);
- fonte speciale pentru turnătorie (FX);
- fonte pentru afinare.

Fontele brute aliate se clasifică în:

- fonte silicioase (FS);
- fonte oglindă (FOg);
- fonte silicioase oglindă (FSOg).

Mărcile fontelor obișnuite pentru turnătorie sînt: FKO, FK1, FK2, FK3, FK4 și FK5.

Mărcile fontelor speciale pentru turnătorie sînt: FX1, FX2, FX3, FX4, FX5, FX6 și FX7.

3.1.2. Fonte turnate în piese. Piese de fontă se obțin prin retopirea unei încărcături formate din fontă brută, fontă și oțel vechi în cubilou, cuptor rotativ etc. După turnare rezultă piese din fontă albă sau fontă cenușie, după conținutul de mangan sau siliciu și după modul de răcire.

a. Fonta albă. Când conținutul de mangan depășește o anumită limită, fonta obținută are o spărtură albă. Fonta albă se mai poate obține și prin răcirea bruscă a pieselor după turnare. La turnarea pieselor în cochilii, din cauza răcirii bruște, stratul în contact cu pereții cochiliei este alb, în timp ce miezul rămâne cenușiu.

Fontele albe sînt dure și nu pot fi prelucrate prin așchiere.

Tabela 17.7. Măreile fontei cenușii cu grafit lamelar, turnată în piese (STAS 568-75)

| Marca fontei | Marca fontei |
|--------------|--------------|
| Fc 100 | Fc 300 |
| Fc 150 | Fc 350 |
| Fc 200 | |
| Fc 250 | Fc 400 |

b. Fonta cenușie cu grafit lamelar, turnată în piese (STAS 568-75) se folosește în construcțiile de mașini. Prezența carbonului liber sub formă de grafit o face să fie ușor prelucrabilă.

După rezistența minimă la tracțiune, fontele cenușii cu grafit lamelar se clasifică conform tabelului 17.7.

Cînd se alege marca fontei, trebuie să se țină seama că o dată cu majorarea grosimilor pereților pieselor, proprietățile mecanice ale fontelor scad. În tabela 17.8 se dă informativ modificarea rezis-

Tabela 17.8. Caracteristicile mecanice ale fontei cenușii cu grafit lamelar turnate în piese (STAS 568-75)

| Marca fontei | Diametrul | | Rezistența minimă la tracțiune: | | Marca fontei | Diametrul | | Rezistența minimă la tracțiune: | |
|--------------|----------------------|--------------------------|---------------------------------|---------|--------------|----------------------|--------------------------|---------------------------------|---------|
| | Probei turnate mm | Epruvel prelucrate mm | MN/m² | kgf/mm² | | Probei turnate mm | Epruvel prelucrate mm | MN/m² | kgf/mm² |
| | | | | | | | | | |
| Fc 100 | 9 | 6 | 1,6 | 16 | Fc 250 | 13 | 8 | 3,3 | 33 |
| | 13 | 8 | 1,4 | 14 | | 20 | 12,5 | 2,8 | 28 |
| | 20 | 12,5 | 1,2 | 12 | | 30 | 20 | 2,5 | 25 |
| | 30 | 20 | 1,0 | 10 | | 45 | 32 | 2,1 | 21 |
| Fc 150 | 9 | 6 | 2,5 | 25 | Fc 300 | 20 | 12,5 | 3,3 | 33 |
| | 13 | 8 | 2,3 | 23 | | 30 | 20 | 3,0 | 30 |
| | 20 | 12,5 | 1,8 | 18 | | 45 | 32 | 2,6 | 26 |
| | 30 | 29 | 1,5 | 15 | Fc 350* | 20 | 12,5 | 3,8 | 38 |
| | 45 | 32 | 1,1 | 11 | | 30 | 20 | 3,5 | 35 |
| Fc 200 | 13 | 8 | 2,8 | 28 | Fc 350* | 45 | 32 | 3,4 | 34 |
| | 20 | 12,5 | 2,3 | 23 | | 30 | 20 | 4,0 | 40 |
| | 30 | 20 | 2,0 | 20 | Fc 400* | 30 | 20 | 4,0 | 40 |
| | 45 | 32 | 1,6 | 16 | | 45 | 32 | 3,6 | 36 |

* Se fabrică numai cu acordul producătorului.

tenței la tracțiune și a durabilității Brinell, funcție de diametrele epruvetelor corespunzătoare grosimii peretelui piesei. Cînd piesele din fontă cenușie sînt supuse solicitărilor de încovoiere, rezistența la încovoiere necesară este indicată în STAS 568-75.

c. Fonta cu calități superioare. În afară de fontele menționate în tabela 17.8 se mai elaborează: fonte aliate, fonte modificate și fonte cu grafit nodular.

1. *Fontele aliate* cele mai întrebunțate sînt:

Fontele cu siliciu (pînă la 18% Si). Acestea sînt rezistente la coroziunea prin acizi, au duritate foarte mare și se prelucerează numai cu carburi metalice sau prin rectificare.

Un produs sovietic, *silalul*, se folosește cu succes la turnarea pieselor care lucrează la temperaturi pînă la 900°.

Fontele cu fosfor se utilizează la turnarea pieselor fără rezistență mare. Ele sînt folosite la turnarea pieselor cu ornamentații.

Fontele cu nichel. Un conținut de 5% nichel mărește proprietățile mecanice ale fontei. Fontele cu 10% Ni rezistă la coroziune pînă la aproximativ 800°.

Fontele cu crom. Cromul face fonta mai dură și mărește rezistența ei la coroziune.

Fontele cu crom și nichel (1% Cr și aproximativ 3% Ni) sînt dure, rezistente și cu tenacitatea materialului mărită.

2. *Fonta modificată* are caracteristici mecanice mult superioare fontelor cenușii nealiate. Procesul modificării constă din adăugarea în oala de turnare cu fontă lichidă a diferite adaosuri: ferosiliciu, silicoaluminiiu, silicocalciu etc. Prin aceasta, fonta lichidă care în condiții obișnuite de răcire, pentru secțiunea dată, ar avea o structură albă sau pestriță, prin tratare cu adaosurile specificate, în aceleași condiții de răcire, își schimbă structura, devenind cenușie pe toată secțiunea sau numai în interior, după cum este condusă operația în vederea scopului urmărit.

Rezistența minimă de rupere la tracțiune a fontei modificate este de 30—40 kgf/mm², iar prin călire și revenire ea poate ajunge pînă la 80 kgf/mm².

3. *Fonta cu grafit nodular* (STAS 6071-75). Se obține prin turnarea în oală cu fontă cenușie lichidă o anumită cantitate de magneziu pur, electron sau prealiaje conținînd magneziu. Aceste adaosuri produc o separație a grafitului în formă sferoidală, ceea ce face ca să se mărească mult rezistența minimă de rupere la tracțiune.

În tabela 17.9 sînt indicate caracteristicile mecanice ale fontelor nealiatate cu grafit nodular (sferoidal) turnate în piese.

Tabela 17.9. Caracteristicile mecanice ale fontelor cu grafit nodular, turnate în piese (STAS 6071-75)

| Marca fontei*) | Rezistența la tracțiune, R_m N/mm ² (kgf/mm ²) | Alungirea la rupere A_5 % | Limita de curgere convențională, $R_{p0.2}$ N/mm ² (kgf/mm ²) | Rezili-ența KCU_2 J/cm ² | Duritatea Brinell HB | Microstructura masei metalice |
|----------------|---|--------------------------------|---|--|----------------------|-------------------------------|
| | minim | | | informativ | | |
| Fgn 370-17 | 370 (37) | 17 | 230 (23) | 16 | 140...180 | ferită |
| Fgn 400-12 | 400 (40) | 12 | 250 (25) | — | 150...200 | ferită |
| Fgn 450-5 | 450 (45) | 5 | 320 (33) | — | 160...220 | perlită + ferită |
| Fgn 500-7 | 500 (50) | 7 | 350 (36) | — | 170...240 | perlită + ferită |
| Fgn 600-2 | 600 (60) | 2 | 400 (41) | — | 210...280 | perlită |
| Fgn 700-2 | 700 (70) | 2 | 450 (46) | — | 230...300 | perlită |

*) În paranteză au fost trecute vechile notări

Datorită rezistenței mecanice foarte mari, fontele modificate și cele cu grafit nodular se folosesc pentru piese importante (arbori cotiți, roți dințate, matrițe, piese de turbine etc.), precum și ca înlocuitor al fontelor maleabile, al oțelurilor și al metalelor neferoase.

3.1.3. Fonte maleabile nealiatate turnate în piese (STAS 569-70). Fontele maleabile nealiatate turnate în piese se împart în trei grupe, în funcție de structura masei metalice de bază și de forma și cantitatea grafitului obținut, conform tabelului 17.10.

Tabela 17.10. Constituții fontelor maleabile nealiatate turnate în piese (STAS 569-70).

| | Fonta maleabilă neagră | Fonta maleabilă perlitică | Fonta maleabilă albă |
|--------------------------|--|--|--|
| Aspect în spătură | negru sau negru cu dungă exterioară albă | de la negru la gri specific, cu sau fără dungă exterioară albă | de la gri-argintiu în exterior, până la negru în centrul pieselor mai groase |
| Microstructură specifică | ferită plus grafit de recoacere (+perlită în cantitate mică) | perlită sau alți constituenți rezultați din transformarea austenitei + grafit de recoacere | ferită (+perlită) în secțiunile mici; în secțiunile groase: perlită (+ferită) + grafit de recoacere cu zonă de ferită exterior |

După caracteristicile mecanice, fontele maleabile se clasifică conform tabelului 17.11.

Tabela 17.11. Fontă maleabilă turnată în piese. Caracteristici mecanice (STAS 569-70)

| Marca | Diametrul epravei d mm | Rezistența la tracțiune R min | | Limita de curgere min. | | Alungirea la rupere A % min. | Duritatea Brinell HB max. | Indolea la rece sub unghi de | | | |
|---------------------------|--------------------------------|---------------------------------|---------------------|------------------------|---------------------|-----------------------------------|---------------------------|------------------------------|---------|---------|---|
| | | daN mm ² | kgf/mm ² | daN mm ² | kgf/mm ² | | | | | | |
| | | | | | | | | | R 0,2 | R 0,5 | |
| Fontă maleabilă albă | Fma 35.03 | 9 | 27,40 | 28 | — | — | 7 | 200 | — | | |
| | | 12 | 31,40 | 32 | — | — | 4 | 220 | — | | |
| | | 15 | 34,30 | 35 | — | — | 3 | 240 | — | | |
| | Fma 42.04 | 9 | 35,50 | 36 | 19,60 | 20 | 21,60 | 22 | 10 | 200 | — |
| | | 12 | 39,20 | 40 | 21,60 | 22 | 23,50 | 24 | 6 | 220 | — |
| 15 | | 41,20 | 42 | 23,50 | 24 | 25,50 | 26 | 4 | 240 | — | |
| Fontă maleabilă neagră | Fmn 30.06 | | 29,40 | 30 | — | — | — | 6 | 160 | 30° | |
| | Fmn 32.08 | | 31,40 | 32 | — | — | — | 8 | 160 | — | |
| | Fmn 32.10 | 15 | 31,40 | 32 | 16,80 | 17 | 18,60 | 19 | 10 | 160 | — |
| | Fmn 35.10 | | 34,30 | 35 | 16,80 | 17 | 18,60 | 19 | 10 | 150 | — |
| | Fmn 35.12 | | 34,30 | 35 | 18,60 | 19 | 20,60 | 21 | 12 | 150 | — |
| Fontă maleabilă perlitică | Fmn 37.12 | | 36,30 | 37 | 18,60 | 19 | 20,60 | 21 | 12 | 150 | — |
| | Fmn 37.14 | | 36,30 | 37 | 18,60 | 19 | 20,60 | 21 | 14 | 150 | — |
| | Fmn 45.07 | | 44,10 | 45 | 25,50 | 26 | 27,50 | 28 | 7* | 220 | — |
| | Fmp 50.05 | 15 | 49,00 | 50 | 29,40 | 30 | 31,40 | 32 | 5* | 240 | — |
| | Fmp 55.04 | | 53,90 | 55 | 32,30 | 33 | 35,30 | 36 | 4* | 260 | — |
| Fontă maleabilă perlitică | Fmp 60.03 | | 58,80 | 60 | 35,30 | 36 | 38,20 | 39 | 3 | 270 | — |
| | Fmp 65.03 | | 63,70 | 65 | 38,20 | 39 | 41,20 | 43 | 3 | 270 | — |
| | Fmp 70.02 | | 68,60 | 70 | 49,00 | 50 | 53,90 | 55 | 2 | 280 | — |

*) În cazul când prin comandă se urmărește realizarea unei fonte cu caracteristici speciale de rezistență, uzură, duritate etc., se admite scăderea alungirii până la 4 % pentru marca Fmp 45 și 3 % pentru mărcile Fmp 50 și Fmp 55.

Notarea fontelor maleabile se face indicând simbolul fontei maleabile (Fm), după care urmează: valoarea minimă a rezistenței la tracțiune, un simbol literal care arată grupa (n = neagră, p = perlitică și a = albă) și numărul standardului.

Exemple:
Fma 35.03 STAS 569-70;
Fmm 37.12 STAS 569-70;
Fmp 60.03 STAS 569-70.

Fonta maleabilă albă este indicată pentru piese cu greutatea pînă la 1 kgf, cu grosimea pereților uniformă (3–20 mm), ca lanțuri, roți, chei etc. Fonta maleabilă neagră se folosește pentru piese cu grosimea pereților mai mare și inegală (3–40 mm) ca tamburi de frînă, carcase, diverse piese mărunte etc. Avînd o alungire mai mare, fonta maleabilă neagră este mai indicată.

3.2. OȚELURI PENTRU PIESE DE MAȘINI

3.2.1. Generalități. Oțelul și fonta sînt metalele cele mai mult utilizate în construcția de mașini.

Elementele care intră în compoziția chimică a oțelului sînt: fierul, carbonul, siliciul, manganul, cromul, nichelul, sulful, fosforul etc.

Conținutul de carbon în oțel este cuprins între limitele 0,004 și 1,7%. Cu cît conținutul de carbon în oțel este mai mare, cu atît oțelul este mai rezistent și mai dur. Oțelul cu 0,05 – 0,3% carbon se numește *oțel moale*; oțelul cu 0,3–0,6% carbon avînd o duritate medie este numit *oțel semidur*, iar oțelul cu 0,6–1,7% carbon poartă denumirea de *oțel dur*. Oțelul cu un conținut sub 0,3% carbon nu se călește. Cînd oțelul are mai mult carbon își schimbă prin călire proprietățile. Oțelul fără conținut de elemente speciale se numește: *oțel carbon*, dacă conținutul în elemente uzuale (siliciu, mangan etc.) nu depășește procentul uzual. Dacă la fabricarea oțelului se mai introduce și alte elemente (crom, nichel, wolfram, vanadiu, cobalt etc.), oțelul obține calități mecanice, fizice și chimice deosebite și se numește *oțel aliat*.

Siliciul și manganul introduse intenționat în oțel, contribuie la mărirea rezistenței la rupere, a durității și elasticității. Oțelul conține de obicei pînă la 0,35% siliciu și pînă la 0,8% mangan. În cazurile cînd se depășesc aceste conținuturi, manganul și siliciul se consideră elemente de aliere — deoarece asemenea oțeluri au proprietăți speciale.

Fosforul și sulful sînt dăunătoare oțelului, deoarece primul îl face fragil chiar la temperaturi normale, iar al doilea la temperaturi ridicate, producînd fisuri.

Oțelurile se împart în oțeluri turnate și oțeluri forjate și laminate.

3.2.2. Oțeluri turnate. Din această grupă fac parte oțelurile carbon turnate în piese și oțelurile aliate turnate în piese.

3.2.2.1. Oțelurile carbon turnate în piese (STAS 600-74). Produsele din acest oțel se obțin prin turnarea în forme a oțelului carbon nealiat produs în cuptorul Martin, cuptorul electric sau în convertizor.

Pentru reducerea tensiunilor interne, pentru îmbunătățirea structurii materialului și pentru obținerea caracteristicilor mecanice prescrise, piesele din oțel turnat trebuie supuse unui tratament termic, care trebuie să cuprindă cel puțin o recoacere.

Oțelul carbon turnat în piese se clasifică în trei grupe:

- grupa 1, oțel cu prescripții pentru rezistența de rupere la tracțiune și alungire;
- grupa 2, oțel cu prescripții pentru rezistența de rupere la tracțiune, pentru alungire și pentru limita de curgere;
- grupa 3, oțel cu prescripții pentru rezistența de rupere la tracțiune, pentru alungire, pentru limita de curgere și pentru reziliență sau gîtuirea la rupere.

În tabela 17.12 sînt indicate caracteristicile mecanice ale acestor oțeluri, după tratamentul termic.

Tabela 17.12. Caracteristicile mecanice ale oțelului carbon turnat în piese (după tratamentul termic) (STAS 600–74)

| Grupa | Marca | Rezistența de rupere la tracțiune R min. | | Limita de curgere R_c min. | | Alungirea la rupere A_5 % min. | Gîtuirea la rupere Z % min. | Reziliența $KCU2$ min. | | Duritatea Brinell HB min. (informativ) |
|-------|--------|--|---------------------|------------------------------|---------------------|----------------------------------|-------------------------------|------------------------|---------------------|--|
| | | N/mm ² | kgf/mm ² | N/mm ² | kgf/mm ² | | | J/cm ² | kgf/cm ² | |
| 1 | OT 40 | 390 | 40 | — | — | 20 | — | — | — | 110 |
| | OT 45 | 440 | 45 | — | — | 18 | — | — | — | 124 |
| | OT 50 | 490 | 50 | — | — | 15 | — | — | — | 138 |
| | OT 55 | 540 | 55 | — | — | 12 | — | — | — | 153 |
| | OT 60 | 590 | 60 | — | — | 10 | — | — | — | 169 |
| | OT 70* | 690 | 70 | — | — | 6 | — | — | — | 179 |
| 2 | OT 40 | 390 | 40 | 200 | 20 | 25 | — | — | — | 110 |
| | OT 45 | 440 | 45 | 240 | 24 | 22 | — | — | — | 124 |
| | OT 50 | 490 | 50 | 270 | 28 | 18 | — | — | — | 138 |
| | OT 55 | 540 | 55 | 310 | 32 | 15 | — | — | — | 153 |
| | OT 60 | 590 | 60 | 340 | 35 | 12 | — | — | — | 169 |
| | OT 70* | 690 | 70 | 410 | 42 | 10 | — | — | — | 179 |
| 3 | OT 40 | 390 | 40 | 200 | 20 | 25 | 35 | 50 | 5,0 | 110 |
| | OT 45 | 440 | 45 | 240 | 24 | 22 | 30 | 40 | 4,0 | 124 |
| | OT 50 | 490 | 50 | 270 | 28 | 18 | 25 | 35 | 3,5 | 138 |
| | OT 55 | 540 | 55 | 310 | 32 | 15 | 21 | 30 | 3,0 | 153 |
| | OT 60 | 590 | 60 | 340 | 35 | 12 | 18 | 25 | 2,5 | 169 |

*) Se livrează la înțelegere între producător și beneficiar.

Notarea oțelurilor carbon turnate în piese se face indicând OT (oțel turnat), urmat de valoarea rezistenței minime la tracțiune, exprimată în kgf/mm², grupa oțelului și numărul standardului. Exemplu: OT 40-1 STAS 700-64.

Oțelul carbon turnat este indicat pentru piese turnate de rezistență, alungire și tenacitate ridicate. El este forjabil, sudabil, însă mai greu de turnat decât forma. În plus, prezintă o suprafață mai rugoasă și proprietăți de alunecare inferioare fontei cenușii.

3.2.2.2. *Oțeluri slab aliate și aliate turnate, în piese.* (STAS 1773-76). Aceste oțeluri sunt elaborate, în general, în cuptorul electric și numai excepțional în cuptorul Martin. Ele conțin unul sau mai multe din următoarele elemente: mangan, siliciu, molibden, crom sau nichel.

Aceste oțeluri se notează printr-un simbol format din litere și cifre, care au următoarele semnificații:

- litera T indică starea turnată;
- primele cifre care urmează după litera T indică în sutimi procentul mediu de carbon;
- cifrele de la sfârșitul simbolului indică în zecimi de procente conținutul mediu în elementul principal de aliere (ultima literă din simbol). Simbolurile elementelor de aliere sunt înscrise în ordinea crescândă a conținutului sau a importanței lor din oțelul respectiv.

Semnificația literelor este următoarea: M = mangan, S = siliciu, Cr = crom, Mo = molibden, V = vanadiu, N = nichel, T = titan, Cu = cupru.

În tabela 17.13 sunt arătate caracteristicile mecanice ale acestor oțeluri.

3.2.3. *Oțeluri forjate și laminate.* Aceste oțeluri sunt produse în stare lichidă (oțel de fuziune) și apoi turnate în lingotiere. Lingourile de oțel sunt transformate în diferite semifabricate forjate (arbori cotiți pentru motoare, cilindri pentru laminor etc.) sau în semifabricate laminate (șine de cale ferată, oțel cornier, oțel lat, oțel rotund, table etc.).

Din punctul de vedere al utilizării, oțelurile forjate și laminate se clasifică în oțeluri de construcție și oțeluri pentru scule.

3.2.3.1. *Oțelurile de construcție.* Se împart în oțeluri carbon de construcție, oțeluri aliate de construcție și oțeluri aliate pentru scopuri speciale.

a. *Oțeluri carbon de construcție.* Oțelurile carbon standardizate până în prezent sunt: oțelurile de uz general pentru construcții, oțelurile carbon de calitate și oțelurile carbon superioare.

— *Oțelurile de uz general pentru construcții* (carbon și slab aliate folosite în mod curent la construcții metalice și mecanice sub formă de semifabricate, bare forjate și laminate finite, se clasifică după garan-

Tabela 17.13. Caracteristicile mecanice ale oțelurilor slab aliate și aliate, turnate în piese (după tratamentul termic)

| Marca oțelului | Tratamentul termic aplicat | | Caracteristici mecanice | | | | | | |
|-------------------------------|----------------------------|----------------------------------|--|--|--|------------------------------|--------------|---------------|---------------------------------|
| | Tipuri de tratament | Temperaturi recomandate °C | Limita de curgere $R_{p,2}$ N/mm ² (kgf/mm ²) min. | Rezistența la tracțiune R_m N/mm ² (kgf/mm ²) | Alungirea la rupere A_5 pentru $L_0 =$ $= 5,65 \sqrt{S_0}$ % | Gibirea la rupere % | Reziliența | | Duri- tatea Brinell HB |
| | | | | | | | KCU 300/2 | KCU 300/5* | |
| minimum | | | | | | | | | |
| A. Oțeluri de largă utilizare | | | | | | | | | |
| T20Mn14 | Normalizare + Revenire | 880...900 600...650 | 295 (30) | 540...780 (55...80) | 18 | 25 | 49(5,0) | 35(3,5) | 160 |
| | Călire + Revenire | 800...920 600...650 | 440 (45) | 640...880 (65...90) | 14 | 25 | 49(5,0) | 35(3,5) | 190 |
| T35Mn14 | Normalizare + Revenire | 800...900 600...650 | 295 (30) | 540...780 (55...80) | 12 | 25 | 29(3,0) | 20(2,0) | 160 |
| | Călire + Revenire | 850...880 600...650 | 345 (35) | 590...830 (60...85) | 14 | 30 | 49(5,0) | 35(3,5) | 174 |
| T40Mn11 | Normalizare + Revenire | 850...860 570...600 | 410 (52) | 640...880 (65...90) | 16 | 25 | 39(4,0) | 30(3,0) | 190 |
| | Normalizare + Revenire | 870...890 570...600 | 345 (35) | 590...830 (60...85) | 14 | 25 | 29(3,0) | 20(2,0) | 174 |
| T30SiMn12 | Călire + Revenire | 870...880 570...600 | 390 (40) | 640...880 (65...90) | 14 | 30 | 49(5,0) | 35(3,5) | 190 |
| | Normalizare + Revenire | 850...860 570...600 | 410 (42) | 640...880 (65...90) | 16 | 25 | 39(4,0) | 30(3,0) | 190 |
| T40MnNi07 | Călire + Revenire | 850...860 600...650 | 490 (50) | 640...880 (65...90) | 12 | 25 | 35(3,5) | 25(2,5) | 190 |
| | Normalizare + Revenire | 850...870 640...680 | 440 (45) | 640...880 (65...90) | 15 | — | 29(3,0) | 20(2,0) | 190 |
| T35MoCrNi08 | Călire + Revenire | 840...860 570...620 | 540 (55) | 740...930 (75...95) | 15 | 25 | 49(5,0) | 35(3,5) | 220 |
| | Omogenizare | 900...950 | — | — | — | — | — | — | — |
| T26SiMn14 | Normalizare | 880...900 | 390 (40) | 590...830 (60...85) | 12 | 20 | 35(3,5) | — | 174 |

Tabela 17.13 (continuare)

| Marca oțelului | Tratamentul termic aplicat | | Caracteristici mecanice | | | | | | | |
|--|----------------------------|----------------------------------|---|---|--|-------------------------------------|--------------|---------------|---------------------------------|---|
| | Tipuri de tratament | Temperaturi recomandate °C | Limita de curgere $R_{p0.2}$ N/mm ² (kgf/mm ²) min. | Rezistența de rupere la tracțiune R_m N/mm ² (kgf/mm ²) | Alungirea la repara A, $L =$ $= 5,65/\sqrt{S_0}$ % | Grituirea la rupere Z % | Reziliența | | Duri- tatea Brinell HB | |
| | | | | | | | KCU 300/2 | KCU 300/5* | | |
| | | | | | | | | | | J/cm ² (kgf. m/cm ²) |
| | | | | | | | | | | |
| T26VSiMn14 | Călire + Revenire | 870...890 550...650 | 490 (50) | 690...830 (70...85) | 11 | 20 | 39(4,0) | — | 204 | |
| T20TiMn12 | Normalizare + Revenire | 880...900 600...650 | 275 (28) | 540...780 (55...80) | 18 | 30 | 30(3,0) | — | 160 | |
| B. Oțeluri elaborate cu acordul producătorului | | | | | | | | | | |
| T35SiCrMn11 | Normalizare + Revenire | 870...890 570...600 | 345 (35) | 590...830 (60...85) | 14 | 25 | 29(3,0) | 20(2,0) | 174 | |
| | Călire + Revenire | 870...880 630...670 | 590 (60) | 780...980 (80...100) | 10 | 20 | 39(4,0) | 30(3,0) | 192 | |
| T30MoCrNi14 | Normalizare + Revenire | 860...880 600...650 | 540 (55) | 690...880 (70...90) | 12 | 20 | 29(3,0) | 20(2,0) | 204 | |
| | Călire + Revenire | 860...870 600...650 | 640 (65) | 780...980 (80...100) | 10 | 20 | 39(4,0) | 30(3,0) | 232 | |
| T40TiCrNi17 | Călire + Revenire | 830...840 570...600 | 690 (70) | 880...1080 (90...110) | 10 | 20 | 39(4,0) | 30(3,0) | 264 | |
| | Normalizare + Revenire | 940...960 520...630 | 640 (65) | 780...980 (80...100) | 12 | 20 | 29(3,0) | 20(2,0) | 232 | |
| T12VMoCuCr- Ni16 | Călire + Revenire | 890...910 520...630 | 780 (80) | 980...1120 (100...120) | 10 | 20 | 29(3,0) | 20(2,0) | 289 | |
| | Călire + Revenire | 860...870 640...660 | 530 (54) | 830...1030 (85...105) | 8 | — | — | — | 240 | |

* Valorile pentru rezistența KCU 300/5 sînt informative.
Observație. Mediile de călire și revenire se lasă la latitudinea producătorului. Se recomandă uleiul ca mediu pentru călirea oțelului.

țiile de livrare în patru clase de calitate, conform tabelului 17.14 (STAS 500/1-68).

Tabela 17.14. Clasele de calitate ale oțelurilor de uz general pentru construcții (STAS 500/1-68)

| Clasa de calitate | Caracteristici garantate | | | | | | |
|-------------------|---|--|-----------------------------------|--|------------------|---------------------------|----------------------|
| | Lingouri și semifabricate care urmează să fie prelucrate prin deformare | | Produce finite laminate (forjate) | | | | |
| | Compoziția chimică | Caracteristicile mecanice de rezistență și tehnologice | Compoziția chimică | Caracteristicile mecanice de tracțiune | Îndoirea la rece | Rezili-ența KCU2 la +20°C | Energia de rupere KV |
| | | | | | | | |
| 1 | × | la cerere | × | × | × | × | × |
| 2 | × | | × | × | × | × | × |
| 3 | × | | × | × | × | × | × |
| 4 ¹⁾ | × | | × | × | × | × | × |

¹⁾ Clasa de calitate 4 se referă numai la table și plathande.

²⁾ Cu acordul beneficiarului, livrarea produselor finite se poate face fără garantarea compoziției chimice sau fără garantarea caracteristicilor mecanice de tracțiune și îndoire la rece.

³⁾ La cererea beneficiarului, precizată în comandă, în locul energiei de rupere KV la -20°C, producătorul va garanta energia de rupere KV la -30°C sau -40°C, simbolizarea completându-se în acest caz cu I pentru garantarea energiei de rupere KV la -30°C, și cu II pentru garantarea energiei de rupere KV la -40°C.

Notarea se face prin simbolul OL urmat de două cifre care reprezintă rezistența minimă de rupere la tracțiune, în kgf/mm², în afară de marca OL 00.

Simbolul mărcii se completează cu cifra 1, 2, 3 sau 4, reprezentând clasa de calitate corespunzătoare caracteristicilor garantate conform tabelului 1, și cu litera ce indică gradul de dezoxidare al oțelului (n — necalmat, s — semicalmat și k — calmat).

Dacă în simbol nu apare gradul de dezoxidare, se înțelege oțel elaborat necalmat.

Exemple de notare: OL 37.3.k, înseamnă oțel de uz general cu rezistența minimă de rupere de 37 kgf/mm², din clasa de calitate 3, calmat;

OL 34.1 n = OL 34.1, înseamnă oțel de uz general, cu rezistența minimă de rupere de 34 kgf/mm², din clasa de calitate 1, necalmat.

Compoziția chimică a oțelurilor de uz general pentru construcții este dată în tabela 17.15.

În tabela 17.16 sînt indicate caracteristicile mecanice de rezistență și tehnologice ale oțelurilor de uz general pentru construcții.

Indicații asupra semifabricatelor și produselor siderurgice fabricate din aceste oțeluri, se găsesc în tabela 17.17.

În tabela 17.18 sînt date indicații de folosire pentru diferitele calități ale oțelurilor de uz general pentru construcții.

Tabela 17.15 Compoziția chimică a oțelurilor de uz general pentru construcții
(STAS 590/2-68)

| Marca | Clasa de calitate | Gradul de dozare | Compoziția chimică % | | | | | | | | | | Alte elemente |
|----------------|-------------------|------------------|----------------------|-----------|----------------|-------------|----------------|-----------|----------------|-----------|----------------|-----------|---------------|
| | | | C | | Mn | | Si | | P max. | | S max. | | |
| | | | pe oțel lichid | pe produs | pe oțel lichid | pe produs | pe oțel lichid | pe produs | pe oțel lichid | pe produs | pe oțel lichid | pe produs | |
| OL32 | 1 | n | max. 0,12 | max. 0,17 | 0,25...0,55 | 0,21...0,60 | max. 0,07 | max. 0,07 | 0,050 | 0,055 | 0,050 | 0,055 | — |
| | | k ²⁾ | max. 0,17 | max. 0,37 | | | max. 0,40 | 0,045 | | | | | |
| OL34 | 1 | n | max. 0,15 | max. 0,19 | 0,25...0,55 | 0,21...0,60 | max. 0,07 | max. 0,07 | 0,050 | 0,055 | 0,050 | 0,055 | — |
| | | k ²⁾ | max. 0,17 | max. 0,37 | | | max. 0,40 | 0,045 | | | | | |
| OL37 (OL38) | 1 | n | max. 0,20 | max. 0,25 | | | max. 0,07 | max. 0,07 | 0,060 | 0,065 | 0,050 | 0,055 | — |
| | | k ²⁾ | max. 0,22 | max. 0,37 | | | max. 0,40 | 0,045 | | | | | |
| OL37 (OL38) | 2 | n | max. 0,18 | max. 0,22 | 0,30...0,80 | 0,26...0,85 | max. 0,07 | max. 0,07 | 0,050 | 0,055 | 0,050 | 0,055 | — |
| | | k ²⁾ | max. 0,20 | max. 0,37 | | | max. 0,40 | 0,045 | | | | | |
| OL37 (OL38) | 3 | k | max. 0,17 | max. 0,19 | | | max. 0,40 | max. 0,40 | 0,040 | 0,045 | 0,040 | 0,045 | Al min 0,025 |
| | | k ²⁾ | max. 0,31 | max. 0,07 | | | max. 0,07 | 0,060 | | | | | |
| OL42 | 1 | n | max. 0,25 | max. 0,28 | | | max. 0,37 | max. 0,40 | 0,050 | 0,055 | 0,050 | 0,055 | — |
| | | k ²⁾ | max. 0,31 | max. 0,37 | | | max. 0,40 | 0,045 | | | | | |
| OL42 | 2 | n | max. 0,25 | max. 0,31 | 0,25...0,80 | 0,31...0,85 | max. 0,07 | max. 0,07 | 0,050 | 0,055 | 0,050 | 0,055 | — |
| | | k ²⁾ | max. 0,23 | max. 0,25 | | | max. 0,37 | max. 0,40 | | | | | |
| OL42 | 3 | k | max. 0,23 | max. 0,25 | | | max. 0,50 | max. 0,50 | 0,045 | 0,500 | 0,045 | 0,050 | — |
| | | k ²⁾ | max. 0,26 | max. 0,28 | | | max. 0,50 | max. 0,50 | | | | | |

| | | | | | | | | | | | |
|---------------|----|---|-----------|-----------|-------------|-------------|-----------|-----------|-------|-------|----------------------------|
| OL44 | 2 | | | | | | | | 0,050 | 0,055 | — |
| | 3 | k | max. 0,20 | max. 0,50 | 0,80...1,10 | 0,75...1,15 | max. 0,50 | max. 0,50 | 0,045 | 0,050 | Al min 0,025 |
| OL521 (17M13) | 4 | | | | | | | | 0,040 | 0,045 | |
| | 2 | | | | | | | | 0,050 | 0,055 | — |
| OL521 (17M13) | 3 | | max. 0,20 | max. 0,22 | | | max. 0,50 | max. 0,50 | 0,045 | 0,050 | Al min 0,025 |
| | 4A | k | | | 1,10...1,50 | 1,05...1,55 | max. 0,50 | max. 0,50 | 0,040 | 0,045 | |
| OL 50 | 4B | | max. 0,18 | max. 0,20 | | | | | 0,035 | 0,040 | Al min 0,025 V max 0,15 |
| | 1 | k | ≈ 0,30 | | 0,50...0,80 | 0,47...0,85 | max. 0,37 | max. 0,40 | 0,050 | 0,055 | — |
| OL 60 | 1 | k | ≈ 0,40 | | 0,50...0,80 | 0,47...0,85 | max. 0,37 | max. 0,40 | 0,050 | 0,055 | — |
| OL 70 | 1 | k | 0,50 | | 0,50...0,80 | 0,47...0,85 | max. 0,37 | max. 0,40 | 0,050 | 0,055 | — |
| OL 00 | | — | max. 0,23 | max. 0,26 | — | — | — | — | — | — | — |

1) Simbolurile din paranteză sînt cele vechi.

2) Se pot elabora și ca oțeluri semicalmate cu conținut de Si de max. 0,17%. În acest caz, simbolul mărcii se completează cu litera „s” (semicalmat).

Tabela 17.16. Caracteristicile mecanice ale oțelurilor de

| Marca | Clasa de calitate | Gradul de dezoxidare | Limita de curgere R_c (σ_c) daN/mm ² (kgf/mm ²) R_c (σ_c) min. | | Rezistența de rupere la tracțiune $R(\sigma_r)$ daN/mm ² (kgf/mm ²) ² | |
|------------------|-------------------|----------------------|--|--------------|--|--------------------------|
| | | | Pentru produse cu diametrul | | | |
| | | | A) profile pline (sau forjate) $a \leq 16$; $16 < a \leq 40$; $40 < a \leq 100$ B) profile fasonate; $a \leq 16$; $a > 16$ - C) Table, benzi, platbande $a \leq 16$; $16 < a \leq 25$; $25 < a \leq 40$ | | | |
| OL 32 | 1 | n k | 17,6 (18) | 16,7 (17) | 15,7 (16) | 31,4...39,2 (32...40) |
| OL 34 | 1 | n k | 19,6 (20) | 18,6 (19) | 17,6 (18) | 33,3...41,2 (34...42) |
| OL 37 (OL 38) | 1 | n k | 23,5 (24) | 22,5 (23) | 20,6 (21) | 36,3...44,1 (37...45) |
| | 2 | n k | | | | |
| | 3 | k | | | | |
| | 4 | k | | | | |
| OL 44 | 1 | n k | 25,5 (26) | 24,5 (25) | 22,5 (23) | 41,2...49,0 (42...50) |
| | 2 | n k | | | | |
| | 3 | k | | | | |
| | 4 | k | | | | |
| OL 44 | 2 | k | 28,4 (29) | 27,4 (28) | 25,5 (26) | 43,1...53,9 (44...55) |
| | 3 | k | | | | |
| | 4 | k | | | | |
| OL 52 (17M13) | 2 | k | 35,3 (36) | 34,3 (35) | la în- țele- gere | 51...60,8 (52...62) |
| | 3 | | | | | |
| | 4A | | | | | |
| | 4B | | | | | |
| OL 50 | 1 | k | 28,4 (29) | 27,4 (28) | 26,5 (27) | 49,0...60,8 (50...62) |
| OL 60 | 1 | k | 31,4 (32) | 30,4 (31) | 29,4 (30) | 60,8...70,6 (60...72) |
| OL 70 | 1 | k | 35,3 (36) | 34,3 (35) | 35,3 (34) | min. 68,6 (70) |
| OL 00 | — | — | — | — | — | min. 31,4 (32) |

uz general pentru construcții de mașini (STAS 500/2—68)

| Alungirea relativă la rupere A_5 (%) min | Îndoire la rece | Rezistența KCU daJ/cm ² (kgf.m/cm ²) min. | | Energia de rupere KV daJ/(kgf.m) min. | |
|--|--|---|--------|---|--------------------------|
| sau grosimea „a”, în mm | | | | | |
| A) Profile pline (sau forjate) 8 < a < 40 B) profile fasonate 6 < a ≤ 16 C) Table benzi, plat- bande 8 < a ≤ 25 | a < 16 α = unghi de îndoire = 180 d = dia- metrul dornului = grosimea epruvetei | la +20° | | la 0° | la -20° -30° sau -40° |
| | | a ≤ 16 | a > 16 | | |
| 33 | d = 0 | — | — | — | — |
| 31 | d = 0,5 a | — | — | — | — |
| 25 | d = 1,5 a | — | — | — | — |
| | | 7 | 6 | | |
| 26 | d = 1 a | — | — | 2,8 | — |
| 22 | d = 2 a | — | — | — | — |
| | | 7 | 6 | — | — |
| 25 | d = 1 a | — | — | 2,8 | — |
| 22 | d = 2 a | 6 | 5 | — | — |
| 25 | | — | — | 2,8 | — |
| 20 | d = 3 a | — | — | — | 2,8 |
| | | 6 | 5 | — | — |
| 22 | d = 2,5 a | — | — | 2,8 | — |
| — | | — | — | 2,8 | |
| 10 | d = 3,5 a | — | — | — | — |
| 13 | — | — | — | — | — |
| 10 | — | — | — | — | — |
| 20 | d = 3a | — | — | — | — |

Tabela 17.17. Semifabricate și produse siderurgice din oțeluri de construcții de uz general (STAS 500—68)

| Denumirea semifabricatului sau produsului | STAS | OL 00 | OL 32 | OL 34 | OL 38 | OL 42 | OL 50 | OL 60 | OL 70 |
|---|--------------------------------------|------------|-------|-------|------------|-------|-------|-------|-------|
| Semifabricate pentru relaminare și forjare | 436—68 | + | + | + | + | + | + | + | + |
| Bare rotunde și pătrate; oțel lat și platbande | 333—68 334—68 395—68 505—62 | + | + | + | + | + | + | + | + |
| Oțel rotund pentru șuruburi și nituri | 794—64 | | | + | + | | | | |
| Sirmă rotundă laminată la cald | 563—66 | + | + | + | + | + | + | + | + |
| | | Φ 5—5,5 mm | | | Φ 6—12mm | | | | |
| Oțel beton rotund, neted sau cu profil periodic | 438—67 | + | | | + | | | | |
| Oțel rotund pentru ancore, șuruburi de plafon, șplinturi, cuie diferite etc | 1991—65 | | | + | + | | | | |
| Oțel semirotund | 1722—68 | + | | | + | | | | |
| | | Φ10 —20 | | | Φ20 —38 | | | | |
| Oțel profilat (I, U, T, cornier, profile pentru ferestre metalice, profile pentru potcoave) | 424—66 565—63 564—63 566—68 | | | | + | | | | |
| Oțel H pentru butoaie metalice | 1772—65 | | | + | | | | | |
| Table groase și platbande | 505—62 437—67 | + | | + | + | + | + | | |
| Tablă subțire pentru construcții mecanice | 901—67 | | + | + | + | + | + | + | + |
| Tablă neagră, tablă zincată, tablă ondulată | 1946—69 2028—65 2029—68 | | + | + | | | | | |
| Tablă decapată, tablă cositorită | 1088—68 900—68 | | + | | | | | | |
| Bandă laminată la cald | 908—69 | | | + | + | + | + | + | + |
| Țevi și mufe pentru țevi de instalații | 403—66 5560—67 | + | | | | | | | |
| Bare trase la rece | 2880—69 | | | + | + | + | + | + | |
| Bare rotunde hexagonale calibrate | 1800—69 2305—64 | | + | + | + | + | + | + | + |

Tabela 17.17 (continuare)

| Denumirea semifabricatului sau produsului | STAS | OL 00 | OL 32 | OL 34 | OL 38 | OL 42 | OL 50 | OL 60 | OL 70 |
|--|---|-------|-------|-------|-------|-------|-------|-------|-------|
| Benzi laminate la rece, benzi de oțel plumbuite, benzi pentru ambalaj | 1945—73 2370—77 5453—68 | | | + | | | | | |
| Sirme trase la rece pentru diferite scopuri (cuie, linii de telecomunicație, împletituri, ace, agrafe, perii, spițe etc) | 889—76 3640—78 5687—76 2232—67 | | | + | + | + | | | |
| Sirmă semirotundă | 3934—73 | | | + | + | | | | |
| Tablă striată, țevi pătrate și dreptunghiulare | 3480—75 6086—70 | + | | | | | | | |
| Oțel tras la rece pentru pene paralele | 6500—66 | | | | | | | | |
| Tablă de oțel pentru butelii de gaz | 6450—61 | | + | + | | | | | |

Tabela 17.18. Indicații de folosire a oțelului de uz general pentru construcții (STAS 500/2—68)

| Calitate | Caracteristici speciale | Întrebunțări |
|----------------|-------------------------------|---|
| OL 00 OL 32 | — | Pentru construcții fără importanță. Exemplu : parapete pentru scări, poduri etc. |
| OL 34 | Sudabil | Tablă subțire, nituri, piese brute fără prelucrare, care nu vor fi tratate termic și pentru care trebuie garantată o anumită rezistență de rupere. Sudabil după toate procedeele. |
| OL 37 | Cementabil și sudabil | Profile oțel-beton; piese de construcție care trebuie să fie tenace, de exemplu : șuruburi, axe, inele de stringere; piese obișnuite, prghii, dispozitive etc.; piese care urmează a fi cementate, de exemplu : bolțuri, cepuri, bușe etc. |
| OL 42 | Încă cementabil, greu sudabil | Piese supuse la solicitări alternante nu prea mari : tijele, arborii cotiți, manivele. Piese în mișcare de importanță redusă, de exemplu : axe care nu sînt supuse la uzură mare. Piese cu rezistență mai mare decît cele indicate la OL 37. Piese presate, plinoane puțin solicitate, piese filetate, roți dințate frontale. |

Tabela 17.18 (continuare)

| Calitate | Caracteristici speciale | Întrebuințări |
|----------|------------------------------|---|
| OL 50 | Necementabil, greu sudabil | Piese de mașini supuse la solicitări mari, de exemplu: axe, arbori cotiți, biele, pîrghii de comandă, manivele, fusuri, precum și pentru piese trebuind să aibă o duritate naturală (adică fără tratament termic), de exemplu: bolțuri, arbori, șuruburi speciale, roți, dințate necălite puțin solicitate, inele filetate etc. |
| OL 60 | Călibil, se poate îmbunătăți | Pentru piese ca OL 50, însă supuse la solicitări mari, mai ales pentru piese cu dimensiuni mici și greutate redusă, de exemplu: pini-oane, șuruburi fără firșit. Piese cu presiune pe suprafețe: știfturi, pene, axe pentru prese etc. |
| OL 70 | Călibil, se poate îmbunătăți | Pentru piese cu o anumită duritate naturală, de exemplu: piese de distribuție necălite, piese mult solicitate, însă fără solicitări alternante. Pentru scule cu duritate naturală, de exemplu: matrițe de forjă, dornuri de presat etc. |

Observație. Toate oțelurile de mai sus se întrebuințează la piese de mașini la care nu se cer condiții deosebite.

— Oțelurile carbon de calitate și oțelurile carbon superioare (STAS 880-66) sînt oțeluri nealiante, obținute printr-o elaborare îngrijită și cu un grad de puritate chimică ridicat. La aceste oțeluri se garantează atât compoziția chimică, cît și caracteristicile mecanice. Ele se folosesc în mod obișnuit tratate termic prin *cementare* sau *îmbunătățire*, în construcții mecanice supuse la solicitări mari.

Compoziția chimică a oțelurilor carbon de calitate și a oțelurilor carbon superioare este dată în tabela 17.19, în care oțelurile sînt grupate în:

- 1) oțeluri de largă utilizare;
- 2) oțeluri care se elaborează cu acordul producătorului (oțeluri de consum redus, oțeluri în curs de asimilare etc.).

Mai există și o a treia categorie de oțeluri, care se elaborează numai cu acordul forului tutelar al producătorului.

Caracteristicile mecanice ale oțelurilor carbon de calitate și a celor superioare sînt indicate în tabela 17.20 iar tratamentul termic și termochimic în tabela 17.21.

Tabela 17.19. Compoziția chimică a oțelurilor carbon de calitate și a oțelurilor carbon superioare (STAS 880-66)

| Oțeluri | Clasa | Marca | Compoziția chimică în % | | | | | | | | | |
|--|--------------|----------|-------------------------|-------------|-------------|-------------|------------|------------|-----------|-----------|-----------|-----------|
| | | | C | Mn | Si | P | S | Cr | Ni | Cu | As | |
| a) Oțeluri de largă utilizare | | | | | | | | | | | | |
| Carbon de calitate | Cementare | OLC 10 | 0,07...0,14 | 0,35...0,65 | 0,17...0,37 | max. 0,040 | max. 0,040 | max. 0,30 | max. 0,30 | max. 0,30 | max. 0,30 | max. 0,05 |
| | | OLC 15 | 0,12...0,19 | | | | | | | | | |
| | | OLC 25 | 0,22...0,29 | | | | | | | | | |
| | Îmbunătățire | OLC 35 | 0,32...0,39 | | | | | | | | | |
| | | OLC 45 | 0,42...0,50 | 0,50...0,80 | | | | | | | | |
| | | OLC 55 | 0,52...0,60 | | | | | | | | | |
| Carbon superior | | OLC 60 | 0,57...0,65 | | | 0,17...0,37 | max. 0,035 | max. 0,035 | max. 0,30 | max. 0,30 | max. 0,30 | max. 0,05 |
| | Îmbunătățire | OLC 25 X | 0,23...0,28 | | | | | | | | | |
| | | OLC 35 X | 0,33...0,38 | | | | | | | | | |
| | | OLC 45 X | 0,43...0,48 | | | | | | | | | |
| | | OLC 55 X | 0,52...0,57 | | | | | | | | | |
| | | OLC 60 X | 0,58...0,63 | | | | | | | | | |
| b) Oțeluri elaborate cu acordul producătorului | | | | | | | | | | | | |
| Carbon | Cementare | OLC 20 | 0,17...0,24 | 0,35...0,65 | 0,17...0,37 | max. 0,040 | max. 0,035 | max. 0,30 | max. 0,30 | max. 0,30 | max. 0,30 | max. 0,05 |
| | Îmbunătățire | OLC 30 | 0,27...0,34 | | | | | | | | | |
| | | OLC 40 | 0,37...0,44 | | | | | | | | | |
| Carbon de calitate | | OLC 50 | 0,47...0,55 | | 0,17...0,37 | max. 0,035 | max. 0,035 | max. 0,30 | max. 0,30 | max. 0,30 | max. 0,30 | max. 0,05 |
| | Îmbunătățire | OLC 30 X | 0,28...0,33 | | | | | | | | | |
| | | OLC 40 X | 0,38...0,43 | | | | | | | | | |
| Carbon superior | | OLC 50 X | 0,48...0,53 | | 0,17...0,37 | max. 0,035 | max. 0,035 | max. 0,30 | max. 0,30 | max. 0,30 | max. 0,30 | max. 0,05 |

Tabela 17.20. Caracteristicile mecanice ale oțelurilor carbon de calitate și ale oțelurilor carbon superioare (STAS 880-66)

| Oțelul | Marca | Starea*) | Caracteristici mecanice minime | | | | | | Duritatea Brinell max. HB | |
|--|----------|----------|----------------------------------|------------------------------------|--------------------------------|--------------------------------|---------------------|--------------|---------------------------|----------------|
| | | | Limita de curgere $\sigma_{0.2}$ | Rezistența la tracțiune σ_r | Alungirea la rupere δ_5 | Alungirea la rupere δ_2 | $KCU_{50/2}$ | $KCU_{50/5}$ | Stare laminată | Stare recoaptă |
| | | | kgf/mm ² | | % | | kgf/cm ² | | | |
| a) Oțeluri de largă utilizare | | | | | | | | | | |
| Carbon de calitate | OLC 10 | N | 21 | 35 | 31 | 55 | — | — | 137 | — |
| | | C | 25 | 42 | 19 | 50 | — | — | — | — |
| | OLC 15 | N | 23 | 39 | 27 | 50 | — | — | 143 | — |
| | | C | 30 | 50 | 16 | 45 | — | — | — | — |
| | OLC 25 | N | 28 | 46 | 24 | 45 | — | — | 170 | — |
| | | I | 31 | 50 | 22 | 45 | 8 | 6 | — | — |
| | OLC 35 | N | 32 | 54 | 21 | 40 | — | — | 187 | — |
| | | I | 36 | 58 | 19 | 40 | 7 | 5 | — | — |
| | OLC 45 | N | 36 | 62 | 18 | 35 | — | — | 229 | 197 |
| | | I | 40 | 66 | 17 | 36 | 6 | 4,5 | — | — |
| | OLC 55 | N | 40 | 68 | 14 | 35 | — | — | 255 | 217 |
| | | I | 44 | 73 | 14 | 35 | 5 | 3,5 | — | — |
| OLC 60 | N | 41 | 71 | 14 | 30 | — | — | 255 | 229 | |
| | I | 46 | 75 | 13 | 30 | 4 | 3 | — | — | |
| Carbon superior | OLC 25 X | I | 33 | 51 | 22 | 50 | 10 | 7 | 170 | — |
| | OLC 35 X | I | 37 | 59 | 19 | 45 | 9 | 6,5 | 187 | — |
| | OLC 45 X | I | 42 | 67 | 18 | 40 | 8 | 6 | 229 | 197 |
| | OLC 55 X | I | 45 | 74 | 14 | 40 | 6 | 4,5 | 255 | 217 |
| | OLC 60 X | I | 48 | 76 | 13 | 35 | 5 | 3,5 | 255 | 229 |
| b) Oțeluri elaborate cu acordul producătorului | | | | | | | | | | |
| Carbon de calitate | OLC 20 | N | 25 | 42 | 25 | 50 | — | — | 156 | — |
| | | C | 35 | 57 | 14 | 45 | — | — | — | — |
| | OLC 30 | N | 30 | 50 | 22 | 45 | — | — | 179 | — |
| | | I | 34 | 54 | 20 | 45 | 7 | 5 | — | — |
| | OLC 40 | N | 34 | 58 | 19 | 40 | — | — | 217 | 187 |
| | | I | 38 | 62 | 18 | 40 | 6 | 4,5 | — | — |
| | OLC 50 | N | 38 | 65 | 15 | 35 | — | — | 241 | 207 |
| | | I | 42 | 70 | 15 | 35 | 5 | 3,5 | — | — |
| Carbon superior | OLC 30 X | I | 35 | 55 | 20 | 50 | 9 | 6,5 | 179 | — |
| | OLC 40 X | I | 40 | 63 | 18 | 45 | 8 | 6 | 217 | 187 |
| | OLC 50 X | I | 44 | 71 | 16 | 40 | 7 | 5 | 241 | 207 |

*) N = normalizat; I = îmbunătățit; C = calit pentru miez și revenire joasă.

Tabela 17.21. Tratatamentul termic și termochimic al oțelurilor carbon de calitate și oțelurilor carbon superioare (STAS 880-66)

| Marca | Forjare °C | Recoacere de lumiere | | Normalizarea | | Cimentarea | | Revenirea | | Revenirea | |
|--|---------------|-------------------------|----------|---------------|------------------|------------|----------|-------------|---------------|-----------|----------|
| | | °C | | °C | | °C | | °C | | °C | |
| | | Răcire*) | Răcire*) | Răcire*) | Răcire*) | Răcire*) | Răcire*) | Răcire*) | Răcire*) | Răcire*) | Răcire*) |
| a) Oțeluri de largă utilizare | | | | | | | | | | | |
| OLC 10 | 1150...850 | — | — | 880...900 aer | 880...930 aer, a | — | — | 880...900 a | 150...180 aer | — | — |
| OLC 15 | 1150...850 | — | — | 880...900 aer | 880...930 aer, a | — | — | 880...900 a | 150...180 aer | — | — |
| OLC 25 | 1150...850 | — | — | 880...900 aer | 880...930 aer, a | — | — | 880...900 a | 150...180 aer | — | — |
| OLC 25 X | 1150...850 | — | — | 880...900 aer | 880...930 aer, a | — | — | 880...900 a | 150...180 aer | — | — |
| OLC 35 | 1100...850 | — | — | 880...900 aer | 880...930 aer, a | — | — | 880...900 a | 150...180 aer | — | — |
| OLC 35 X | 1100...850 | — | — | 880...900 aer | 880...930 aer, a | — | — | 880...900 a | 150...180 aer | — | — |
| OLC 45 | 1100...850 | — | — | 880...900 aer | 880...930 aer, a | — | — | 880...900 a | 150...180 aer | — | — |
| OLC 45 X | 1100...850 | — | — | 880...900 aer | 880...930 aer, a | — | — | 880...900 a | 150...180 aer | — | — |
| OLC 55 | 1050...850 | — | — | 880...900 aer | 880...930 aer, a | — | — | 880...900 a | 150...180 aer | — | — |
| OLC 55 X | 1050...850 | — | — | 880...900 aer | 880...930 aer, a | — | — | 880...900 a | 150...180 aer | — | — |
| OLC 60 | 1050...850 | — | — | 880...900 aer | 880...930 aer, a | — | — | 880...900 a | 150...180 aer | — | — |
| OLC 60 X | 1050...850 | — | — | 880...900 aer | 880...930 aer, a | — | — | 880...900 a | 150...180 aer | — | — |
| b) Oțeluri elaborate cu acordul producătorului | | | | | | | | | | | |
| OLC 20 | 1150...850 | — | — | 870...890 aer | 880...930 aer, a | — | — | 870...890 a | 150...880 aer | — | — |
| OLC 30 | 1150...850 | — | — | 870...890 aer | 880...930 aer, a | — | — | 870...890 a | 150...880 aer | — | — |
| OLC 30 X | 1150...850 | — | — | 870...890 aer | 880...930 aer, a | — | — | 870...890 a | 150...880 aer | — | — |
| OLC 40 | 1100...850 | — | — | 850...870 aer | 880...930 aer, a | — | — | 850...870 a | 550...650 aer | — | — |
| OLC 40 X | 1100...850 | — | — | 850...870 aer | 880...930 aer, a | — | — | 850...870 a | 550...650 aer | — | — |
| OLC 50 | 1050...850 | — | — | 840...860 aer | 880...930 aer, a | — | — | 840...860 a | 550...650 aer | — | — |
| OLC 50 X | 1050...850 | — | — | 840...860 aer | 880...930 aer, a | — | — | 840...860 a | 550...650 aer | — | — |

*) c = captor; a = apă; p = pachet; u = ulei.

În figura 17.10 sînt date informativ indicații de uzilizare, în funcție de $\sigma_{0.2}$ pentru oțelurile carbon de largă utilizare.

Indicații de utilizare în funcție de $\sigma_{0.2}$
(informativ)

| | | | | |
|-----|--------------|-------------------|-------------|-------------|
| 110 | | | | 110 |
| | | 30 MoCN 20X | | |
| 100 | | | | 100 |
| | 41 VMoC 17X | | | |
| | 41 CN 12 X | | | |
| | 38 Mo CA 09X | 34 MoCN 15X | 30 MoCN 20X | |
| 90 | 40 C 10 | | | 90 |
| | 36 Mo CN 10X | 41 VMoC 17X | | |
| | 40 BC 10 | 38 SC 15, 50VC 11 | | |
| | 41 MoC 11X | 41 CN 12 X | | |
| | | 38 MoCA 09X | 34 MoCN 15X | |
| 80 | 35 MS 12 | 40 C 10 | 50 VC 11 | 80 |
| | 33 MoC 11X | 36 MoCN 10X | 41 VMoC 17X | |
| | | 40 BC 10 | 38 SC 15 | |
| | | 41 MoC 11X | 41 CN 12 X | |
| | | | 38 MoCA 09X | 30 MoCN 20X |
| 70 | | 40 C 10 | | 70 |
| | | 35 MS 12 | | |
| | | 33 MoC 11X | 36 MoCN 10X | 41 VMoC 17X |
| | | | 40 BC 10 | 38 SC 15 |
| | | | 41 MoC 11X | 50 VC 11 |
| | | | | 34 MoCN 15X |
| 60 | | | 35 MS 12 | 41 CN 12 X |
| | | | 33 MoC 11X | 36 MoCN 10X |
| | | | | 38 MoCA 09X |
| | | | | 35 MS 12 |
| | | | | 41 MoC 11X |
| 50 | | 35 M 16 | | 50 |
| | | | 35 M 16 | 33 MoC 11X |
| | | | | 35 M 16 |
| 40 | max. 16 | 17... 40 | 41... 100 | 40 |
| | | | | 101... 250 |

Dimensiunea produsului, mm.

Fig. 17.10. Indicații de utilizare a oțelurilor de largă utilizare, în funcție de $\sigma_{0.2}$ (informativ).

Oțelurile carbon de calitate și superioare pot fi nu numai îmbunătățite, adică călite și revenite la temperatura de îmbunătățire, dar și tratate superficial, prin încălzirea rapidă a zonei superficiale a oțelurilor

cu conținut ridicat de carbon, cu ajutorul arzătoarelor cu gaze, în baie metalică sau cu curenți de înaltă frecvență, urmată de călire cu duș de apă sau ulei. De aceea aceste oțeluri se folosesc deseori pentru roți dințate, suprafețe de alunecare, fusuri, bolțuri etc.

Tot în grupa oțelurilor carbon obișnuite trebuie considerat și oțelul pentru automate (STAS 1350-67). Acesta este un oțel carbon cu conținut mărit de sulf și de fosfor pentru a ajuta fărîmirea așchiilor la prelucrarea din bară la mașinile automate rapide.

Diferitele calități ale oțelului pentru automate și caracteristicile lor mecanice sînt arătate în tabela 17.22.

b. Oțeluri aliate pentru construcții de mașini. Oțelurile aliate pentru construcții sînt elaborate în cuptoarele electrice și Martin și conțin în afară de fier și carbon unul sau mai multe elemente de aliere (de exemplu crom, nichel, mangan, siliciu, molibden, vanadiu, wolfram, cobalt etc.).

Influența elementelor de aliere asupra oțelului este arătată în tabela 17.23; semnul + este trecut în coloană la elementele care au proprietatea de a mări caracteristicile respective.

După structura obținută prin normalizare (răcire în aer liber), oțelurile aliate se clasifică în oțeluri aliate perlitice (cu structură normală), oțeluri aliate martensitice, oțeluri aliate austenitice și oțeluri aliate ledeburitice.

După tratamentul termic aplicat, se deosebesc: oțeluri pentru cementare, oțeluri pentru îmbunătățire și oțeluri pentru nitrurare.

După caracteristicile prescrise, oțelurile aliate se clasifică în oțel aliat obișnuit și oțel aliat superior.

Notarea oțelului aliat pentru construcții de mașini se face printr-un simbol format din cifre și litere. Cifrele dinaintea simbolului literal indică conținutul de carbon, în sutimi de procent. Cifrele de sfîrșitul simbolului indică conținutul mediu al elementului principal de aliere (ultima literă din simbol), în zecimi de procent. Pentru oțelul superior se adaugă la sfîrșitul simbolului litera X.

Oțelurile aliate și oțelurile aliate superioare pentru construcții de mașini (STAS 791-66), după compoziția chimică, se grupează în:

- oțeluri de largă utilizare;
- oțeluri care se elaborează cu acordul producătorului.

Caracteristicile mecanice și tipurile de tratament termic și termochimic al oțelurilor aliate și superioare de largă utilizare sînt arătate în tabela 17.24.

Tabela 17.22. Caracteristicile mecanice ale oțelului pentru automate
(STAS 1350-67)

| Marca oțelului | Oțel laminat la cald de max. 100 mm diametru sau grosime, netratat termic | | | | | | | | | | Oțel tras la rece netratat termic | | | | | | |
|---------------------|---|------------|----------------|--------|-----------------|-----|----------------|---------------------|---------|---------|-----------------------------------|----------------------------|-----------|-----------------------|----------------|------------|----------|
| | $\sigma_{0.2}$ min. | σ_f | δ_5 min | Z min. | Duri-tatea max. | HB | % | kgf/mm ² | | | % | σ_f | | | δ_5 min | Duriitatea | |
| | | | | | | | | | | | | Diametrul sau grosimea, mm | | | | | |
| | | | | | | | | | | | | max. 10 | 10...20 | 20...30 | | | peste 30 |
| | | | | | | | | | | | | | | | | | |
| kgf/mm ² | | | | | | | | | | | | | | | | | |
| AUT 9 | 21 | 37...52 | 23 | 35 | 156 | 156 | 0,7 σ_f | 55...82 | 53...80 | 50...77 | 47...75 | 7 | 167...229 | | | | |
| AUT 12 | 22 | 42...57 | 22 | 36 | 160 | 160 | 0,7 σ_f | 57...84 | 55...82 | 53...77 | 52...75 | 7 | 167...235 | | | | |
| AUT 12 M | 22 | 42...57 | 22 | 36 | 160 | 160 | 0,7 σ_f | 57...84 | 55...82 | 53...77 | 52...75 | 7 | 167...235 | | | | |
| AUT 20 | 25 | 46...61 | 20 | 30 | 168 | 168 | 0,7 σ_f | 59...86 | 57...84 | 55...80 | 53...77 | 7 | 167...241 | | | | |
| AUT 20 M | 25 | 46...61 | 20 | 30 | 168 | 168 | 0,7 σ_f | 59...86 | 57...84 | 55...80 | 53...77 | 7 | 167...241 | | | | |
| AUT 30 | — | 52...67 | 15 | 25 | 185 | 185 | — | 64...84 | 64...84 | 60...80 | 55...77 | 6 | 179...235 | | | | |
| | | | | | | | | | | | | | | în stare îngunătățită | | | |
| AUT 40 M | — | 60...75 | 14 | 20 | 207 | 207 | — | 60...80 | 60...80 | 60...80 | 60...80 | 17 | 174...229 | | | | |

în stare îngunătățită

Observații. 1. Prin înțelegere între părți, la valorile rezistenței prescrise în tabel se admit următoarele abateri: pentru oțel laminat la cald, depășirea limitei superioare cu 3 kgf/mm² și creșterea corespunzătoare a valorilor durității, cu condiția respectării celorlalte valori ale caracteristicilor mecanice; pentru oțelul tras la rece, ± 3 kgf/mm². 2. Valorile caracteristicilor mecanice ale oțelului AUT 30 tras la rece tratat termic se stabilesc prin înțelegere între părți.

Tabela 17.23. Influența elementelor de aliere asupra oțelurilor aliate

| Caracteristica influențată | Elemente de aliere | | | | | | | | | | | |
|--|--------------------|----|----|----|----|---|----|---|----|----|----|----|
| | C | Mn | Si | Cr | Ni | W | Mo | V | Co | Al | Cu | Ti |
| Duritatea | + | + | | + | + | + | + | | | | | |
| Tenacitatea | | + | | + | + | + | + | + | | | | |
| Dezoxidarea și degazarea | | + | + | | | | | + | | + | | + |
| Eliminarea sulfului | | + | + | | | | | | | | | |
| Concentrația | | + | + | | | | | | | + | | + |
| Micșorarea greutateaților | | | | | + | + | + | + | + | | | |
| Ridicarea punctelor critice la încălzire | | | + | + | | + | + | + | | | | |
| Coborrea punctelor critice la încălzire | | + | | | + | | | | | | | |
| Creșterea magnetismului remanent | | + | | + | + | + | + | + | | | | |
| Rezistența la uzură | | + | | + | + | | | | | | | |
| Micșorarea conductivității termice | | + | | + | + | + | | | | | | |
| Rezistența la coroziune | | + | | + | + | | | | | | | |
| Formarea carburilor | + | | | + | + | + | + | + | | | | |

Observație. Semnul + indică proprietatea elementelor de a mări caracteristicile respective.

Tabela 17.24. Oțeluri aliate și oțeluri aliate superioare pentru construcția de mașini
(STAS 791-66)

a. Caracteristici mecanice

| Marca oțelului | Duritate Brinell maxim (stare recoaptă) | Tratamentul termic**) | Dimensiunea probelor \varnothing | Caracteristici mecanice minime: | | | | | | |
|----------------|---|-----------------------|------------------------------------|----------------------------------|------------------------------------|--------------------------------|------------------------|---------------------|---------------------|-----------------------|
| | | | | Limita de curgere $\sigma_{0.2}$ | Rezistența la tracțiune σ_f | Alungirea la rupere δ_5 | Gîtuirea la rupere Z | Reziliența | | kgf.m/cm ² |
| | | | | | | | | KCU _{10/2} | KCU _{30/3} | |
| | BH | | mm | kgf/mm ² | kgf/mm ² | % | % | | | |
| 15C 08 | 179 | Cr | 15 | 50 | 70 | 12 | 45 | 7 | 5 | |
| 40 C 10 | 217 | CR | 25 | 80 | 100 | 10 | 45 | 6 | 4 | |
| 40 BC 10 | 217 | CR | 25 | 75 | 95 | 12 | 50 | 9 | 6 | |
| 35 M 16 | 207 | N sau CR | 25 | 37 | 63 | 13 | 40 | — | — | |
| 65 M 10 | 229 | CR | 25 | 50 | 70 | 14 | 50 | 8 | 6 | |
| 18 MC 10 | 187 | N | 25 | 40 | 75 | 8 | 35 | — | — | |
| 38 SC 15 | 255 | CR | 15 | 75 | 90 | 10 | 45 | 7 | 5 | |
| 21 TMC 12 | 217 | CCR | 25 | 85 | 100 | 12 | 50 | 8 | 6 | |
| 28 TMC 12 | 229 | CCR | 25 | 85 | 100 | 9 | 50 | 8 | 6 | |
| 35 MS 12 | 229 | CR | 25 | 120 | 140 | 9 | 45 | 6 | 4 | |
| 50 VC 11 | 235 | CR | 25 | 70 | 90 | 15 | 45 | 7 | 5 | |
| 41 VMoC 17* | 229 | CR | 25 | 80 | 95 | 10 | 40 | 7 | 5 | |
| | | | | 90 | 110 | 10 | 45 | 7 | 5 | |

Tabela 17.24 (continuare)

| Marca oțelului | Duritate Brinell maximum (stare recoaptă) | Tratamentul termic**) | Dimensiunea probelor Ø | Caracteristici mecanice minime | | | | | |
|----------------|---|--------------------------------|----------------------------------|---|--|---|-----------------------------------|---------------------|---------------------|
| | | | | Limita de curgere σ _{0.2} | Rezis- tența la tracțiune σ _r | Alun- girea la rupere δ ₅ | Gîtuirea la rupere Z | Reziliența | |
| | | | | | | | | KCU _{50/2} | KCU _{80/2} |
| | | | | | | | | | |
| 33 MoC 11* | 217 | CR | 25 | 70 | 90 | 12 | 50 | 8 | 6 |
| 41 MoC 11* | 217 | CR | 25 | 75 | 95 | 11 | 50 | 8 | 6 |
| 13 CN 30* | 217 | CCr | 15 | 75 | 95 | 11 | 55 | 9 | 6 |
| 15 CN 15* | 217 | Cr | 15 | 85 | 100 | 12 | 45 | 8 | 6 |
| 41 CN 12* | 217 | CR | 25 | 85 | 100 | 11 | 45 | 7 | 5 |
| 18 MoCN 06* | 217 | Cr | 15 | 65 | 85 | 12 | 50 | 9 | 6 |
| 18 MoCN 13* | 217 | Cr | 15 | 75 | 95 | 10 | 45 | 9 | 6 |
| 36 MoCN 10* | 217 | CR | 25 | 80 | 100 | 11 | 50 | 9 | 6 |
| 34 MoCN 15* | 229 | CR | 25 | 90 | 110 | 11 | 50 | 8 | 6 |
| 30 MoCN 20* | 235 | CR | 25 | 100 | 120 | 10 | 45 | 7 | 5 |
| 15 MoMC 12* | 207 | CCr | 15 | 65 | 85 | 10 | 45 | 7 | 5 |
| 21 MoMC 12* | 217 | CCr | 15 | 85 | 110 | 8 | 40 | 7 | 5 |
| 20 MoN 35* | 207 | CCr | 15 | 85 | 110 | 9 | 50 | 9 | 6 |
| 38 MoCA 0,9* | 229 | CR | 30 | 85 | 100 | 15 | 50 | 9 | 6 |
| 27 Ms 12 | 217 | CR | 25 | 85 | 100 | 12 | 40 | 5 | 4 |
| 25 MoC 11* | 217 | CR | 25 | 42 | 65 | 17 | 50 | 9 | 6 |
| 30 MoC 10* | 229 | CR | 25 | 75 | 95 | 11 | 45 | 8 | 6 |
| 36 MoC 10* | 241 | CR | 25 | 80 | 100 | 12 | 45 | 8 | 6 |
| 13 CN 17* | 207 | CCr | 15 | 60 | 80 | 12 | 50 | 9 | 6 |
| 13 CN 35* | 269 | CCr | 15 | 95 | 115 | 10 | 50 | 9 | 6 |
| 19 CN 35* | 269 | CCr | 15 | 110 | 130 | 9 | 45 | 8 | 6 |
| 35 CN 15* | 206 | CR | 25 | 52 | 75 | 16 | 45 | 9 | 6 |
| 45 CN 12* | 207 | CR | 25 | 85 | 105 | 10 | 45 | 7 | 5 |
| 31 CMS 10* | 229 | CR | 25 | 85 | 110 | 10 | 45 | 5 | 4 |
| 35 CMS 13* | 241 | C. izot. r. sau CNCr***) | epruvete | 130 | 165 | 9 | 40 | 4 | 3 |
| 30 SMCN 16* | 255 | Cr | epruvete | 140 | 165 | 9 | 45 | 6 | 4 |
| 40 MoCN 15* | 269 | CR | 25 | 95 | 110 | 12 | 50 | 8 | 6 |
| 16 MCN 15* | 229 | CCr | 30 | 85 | 100 | 12 | 55 | 10 | 7 |
| 16 CNW 10* | 269 | CCr | 15 | 60 | 90 | 10 | 40 | 6 | 4 |
| | | CCr | 15 | 85 | 115 | 12 | 50 | 10 | 7 |
| | | CCr | 15 | 80 | 105 | 12 | 50 | 12 | 8 |
| 25 CNW 10* | 269 | CR | 25 | 95 | 110 | 11 | 45 | 9 | 6 |
| 39 CA 06 | 229 | CR | 30 | 75 | 90 | 10 | 45 | 8 | 6 |

*) Mărcile de oțel marcate cu asterisc se pot elabora fie ca „oțeluri aliate”, fie ca „oțeluri aliate superioare”.

Cînd se elaborează ca oțeluri aliate superioare, se adaugă la sfîrșitul simbolizării litera X.

**) N = normalizare; C = călire simplă; CC = călire dublă; C. izot. = călire izotermă; r = revenire joasă; R = revenire înaltă (conform tabelului 7).

**) În cazul oțelului aliat 35 CMS 13 se poate aplica și CNCr.

Tabela 17.24 (continuare) b. Tipuri de tratament termic și termochimic

| Marca oțelului | Recoacere de înmuiere | | Normalizare | | Cementare | | Călire I | | Recoacere intermediară | | Călire II | | Revenire (5) | |
|----------------|--------------------------|-------------|-------------|-------------|-----------|-------------|-----------|-------------|---------------------------|-------------|-----------|-------------|--------------|-------------|
| | °C | Ră- cire | °C | Ră- cire | °C | Ră- cire | °C | Ră- cire | °C | Ră- cire | °C | Ră- cire | °C | Ră- cire |
| | | | | | | | | | | | | | | |
| 15 C08 | 650...700 | c | 870...900 | aer | 870...900 | a, p | 860...880 | a, u | 630...650 | c | 770...820 | a, u | 170...200 | aer |
| 40 C10 | 680...720 | c | 840...870 | aer | — | — | 830...860 | a, u | — | — | — | — | 450...600 | a, u |
| 40 BC 10 | 680...720 | c | 840...870 | aer | — | — | 830...860 | a, u | — | — | — | — | 500...650 | a, u |
| 35 M 16 | 680...720 | c | 850...880 | aer | — | — | 830...860 | u | — | — | — | — | 480...580 | a |
| 65 M 10 | 600...650 | c | 810...840 | aer | — | — | — | — | 650...600 | c | 810...830 | u | 170...200 | aer |
| 18 MC 10 | 650...680 | c | 860...890 | aer | 870...900 | u, p | 860...890 | u | — | — | — | — | 580...680 | u |
| 38 SC 15 | 680...720 | c | 890...920 | aer | — | — | 870...900 | u | — | — | — | — | 170...200 | u |
| 21 TMC 12 | 650...700 | c | 900...920 | aer | 890...910 | u, p | 860...890 | u | — | — | — | — | 170...200 | u |
| | | | | | | sau | 900...920 | aer | — | — | 880...890 | u | 170...200 | aer |
| 28 TMC 12 | 650...700 | c | 900...920 | aer | 890...910 | u, p | 860...890 | u | — | — | 880...890 | u | 170...200 | aer |
| 35 MS 12 | 680...720 | c | 870...900 | aer | — | — | 870...900 | a, u | — | — | — | — | 540...640 | a |
| 50 VC 11 | 680...720 | c | 860...890 | aer | — | — | 840...870 | u | — | — | — | — | 550...650 | a |
| 41 VMoC17* | 720...750 | c | 840...870 | aer | — | — | 820...850 | u | — | — | — | — | 550...650 | a, u, aer |
| 33 Mo C 11 | 700...730 | c | 850...880 | aer | — | — | 820...850 | u | — | — | — | — | 500...650 | a, u, aer |
| 41 MoC 11* | 700...730 | c | 850...880 | aer | — | — | 820...850 | u | — | — | — | — | 550...650 | a, u, aer |
| 13 CN 30* | 650...700 | c | 850...880 | aer | 870...890 | u, p | 840...870 | a, u | 640...670 | c | 760...810 | a, u | 170...200 | aer |
| 15 CN 15* | 650...700 | c | 850...880 | aer | 870...890 | u, p | 840...870 | a, u | 640...670 | c | 760...810 | a, u | 170...200 | aer |
| 41 CN 12* | 680...720 | c | 840...870 | aer | — | — | 800...830 | u | — | — | — | — | 500...600 | a, u |
| 18 MoCN 06 | 650...700 | c | 860...890 | aer | 880...900 | u, p | 830...860 | u | 650...680 | c | 800...820 | u | 500...600 | a, u |
| 18 MoCN 13* | 650...700 | c | 860...890 | aer | 880...900 | u, p | 820...850 | u | 650...680 | c | 800...820 | u | 170...200 | aer |
| 36 MoCN 10* | 650...700 | c | 840...870 | aer | — | — | 830...860 | u, a | — | — | — | — | 530...630 | aer |
| 34 MoCN 15* | 650...700 | c | 840...870 | aer | — | — | 830...860 | u | — | — | — | — | 530...630 | aer |
| 30 MoCN 20* | 650...700 | c | 840...870 | aer | — | — | 830...860 | u | — | — | — | — | 530...630 | aer |
| 15 MoMC12* | 650...700 | c | 830...860 | aer | 870...890 | u, p | 820...850 | u | 650...680 | c | 810...830 | u | 170...200 | aer |
| 21 MoMC12* | 650...700 | c | 830...860 | aer | 870...890 | u, p | 820...850 | u | 650...680 | c | 810...830 | u | 170...200 | aer |

Observații: c=cuptor; p=pachet; a=apă; u=ulei; ac=apă caldă.

* Mărcile de oțel marcate cu asterisc se pot elabora fie ca „oțeluri aliate”, fie ca „oțeluri aliate superioare”.

În fig. 17.11 se dau informativ indicații de utilizare, în funcție de $\sigma_{0.2}$ pentru oțelurile aliate de largă utilizare.

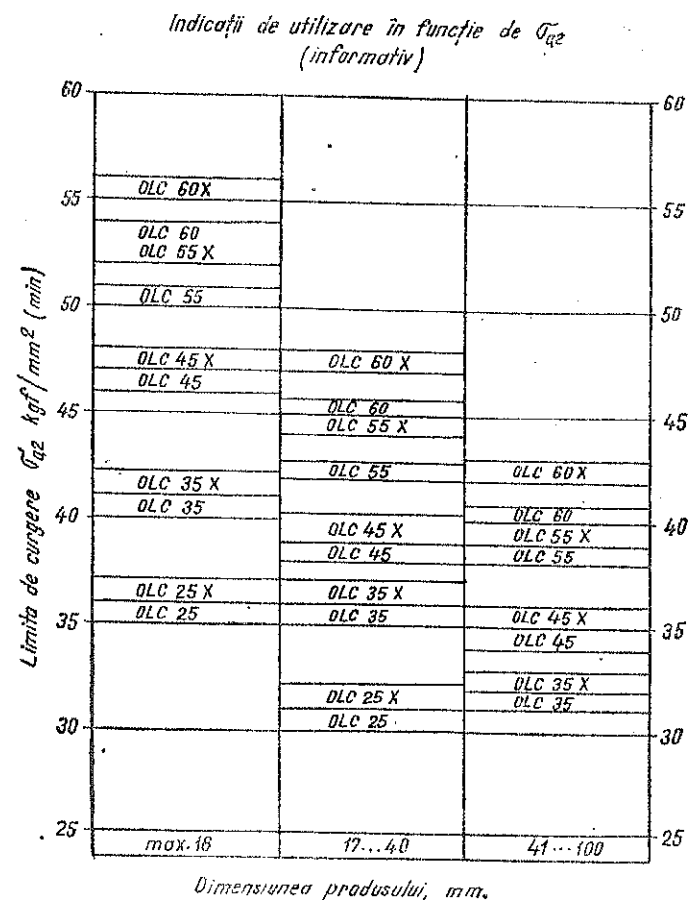


Fig. 17.11. Indicații de utilizare a oțelurilor aliate de largă utilizare, în funcție de $\sigma_{0.2}$ (informativ).

c. **Oțeluri aliate pentru scopuri speciale.** Aceste oțeluri au, în general, proprietăți fizice și chimice deosebite. Ele au de obicei un conținut mare de elemente de aliere și un conținut de carbon sub 0,3%. Din această grupă fac parte oțelurile inoxidabile și anticorozive, oțelurile cu proprietăți magnetice speciale, oțelurile pentru arcuri etc.

— **Oțelul rezistent la coroziune și refractar** (STAS 3583-64) se prelucurează la cald în profile cu secțiunea rotundă, dreptunghiulară sau pătrată, cu diametrul, respectiv grosimea, până la 200 mm.

Notarea diferitelor mărci ale acestui oțel se face printr-un simbol format din cifre și litere. Cifrele înaintea simbolului literal indică conținutul de carbon în sutimi de procente. Cifrele de la sfârșitul literelor simbolului indică conținutul mediu al elementului principal, în zecimi de procente. Semnificația literelor este următoarea: C = crom; N = nichel; M = mangan; S = sulf; Si = siliciu; Mo = molibden; T = titan; Nb = niobiu; Az = azot.

Caracteristicile tehnice ale acestor oțeluri sînt indicate în tabela 17.25 pentru caracteristicile mecanice și tratamentele termice. În tabela 17.26 se dau indicații de întrebuințare ale diferitelor mărci ale acestui oțel.

— **Oțelul pentru arcuri, laminat la cald** (STAS 795-71), se folosește pentru fabricarea diferitelor tipuri de arcuri (lamelare, spirale, de torziune etc.) utilizate în diversele ramuri ale construcțiilor mecanice. El se elaborează în mai multe calități: ARC 1 — ARC 13.

Caracteristicile mecanice ale acestor oțeluri sînt prezentate în tabela 17.27, iar tratamentele termice în tabela 17.28.

Tot din această grupă de oțeluri aliate pentru scopuri speciale mai sînt standardizate următoarele oțeluri:

— Oțel pentru rulmenți (STAS 1456/1-75).

— Oțel rezistent la uzură. Oțel austenitic manganos turnat în piese. Mărci și condiții generale (STAS 3718-76).

— Oțel carbon laminat în table groase pentru cazane de abur și recipiente sub presiune (STAS 3883-70).

— Oțel aliat refractar și rezistent la agenți chimici, turnat în piese (STAS 6855-69).

d. **Oțeluri calibrate.** Oțelul calibrat (STAS 2880-75) se execută din:

— oțel de uz general pentru construcții (STAS 500/1-68) și (500/2-68);

— oțel carbon de calitate și oțel carbon superior pentru construcții de mașini (STAS 880-66 și STAS 7450-66);

— oțel aliat și aliat superior pentru construcții de mașini (STAS 791-66 și STAS 7450-66);

— oțel pentru arcuri (STAS 795-71).

După felul prelucrării suprafeței, oțelul calibrat se clasifică în: oțel tras (T), oțel tras recopt (TR), oțel cojit șlefuit (CS), oțel tras recopt șlefuit (TRS), oțel cojit tras (CT), oțel tras șlefuit (TS).

Compoziția chimică a oțelurilor calibrate trebuie să corespundă mărcii de oțel din standardul respectiv.

Tabela 17.25. Caracteristici mecanice și tratament termic al oțelului rezistent la coroziune și refractar
(STAS 3583—64)

| Nr. crt. | Marca oțelurilor | Regimurile de tratament termic recomandate pentru epruvete sau semifabricate | Caracteristici mecanice | | | | |
|----------|------------------|--|---|--|---------------------------|--------------------------|---|
| | | | Rezistența de rupere kgf/mm ² min. | Limita de curgere kgf/mm ² min. | Alungirea relativă % min. | Găuirea la rupere % min. | Rezilianta longitudinală kgf.m/cm ² min. |
| 1 | 40 MoSC 100 | Călire 1010... 1050°C, răcire în aer sau în ulei, revenire 720...780°C, răcire în ulei | 95 | 75 | 10 | 35 | 2 |
| 2 | 12 C 130 | Călire 1000...1050°C, răcire în aer sau în ulei, revenire 700—790°C, răcire în aer, în ulei sau în apă | 60 | 42 | 2 | 60 | 9 |
| 3 | 20 C 130 | Călire 1000...1050°C, răcire în aer sau în ulei, revenire 660—770°C, răcire în aer, în ulei sau în apă | 66 | 45 | 16 | 55 | 8 |
| 4 | 30 C 130 | Călire 950...1020°C, răcire în ulei, revenire 200...300°C, răcire în aer sau în ulei | Duritatea min. 50 HRC | | | | |
| 5 | 40 C 130 | Călire 1000...1050°C, răcire în ulei, revenire 200...300°C, răcire în aer sau în ulei | Duritatea min. 48 HRC | | | | |
| 6 | 10 C 170 | Recoacere 700...780°C, răcire în aer sau în apă | 40 | 25 | 2 | 50 | Conform înțelegerii |
| 7 | 7 TC 170 | Recoacere 760...780°C, răcire în aer | Duritatea min. 55 HRC | | | | |
| 8 | 90 C 180 | Călire 1000...1050°C, răcire în ulei, revenire 200...300°C, răcire în aer sau în ulei | Duritatea min. 55 HRC | | | | |
| 9 | 12 TC 250 | Recoacere 730...770°C, răcire în aer sau în apă sau fără tratament termic | 45 | 30 | 20 | 45 | -- |
| 10 | 10 NC 180 | Călire, 1050...1100°C, răcire în aer, în ulei sau în apă | 50 | 20 | 45 | 55 | — |

| | | | | | | | |
|----|--------------|--|-----|----|----|----|----|
| 11 | 10 TNC 180 | Călire 1050...1100°C, răcire în aer, în ulei sau în apă | 55 | 20 | 40 | 55 | — |
| 12 | 40 SC 90 | Recoacere 850...870°C, răcire în aer sau fără tratament termic | 75 | 50 | 15 | 35 | — |
| 13 | 7 C 120 | Călire 1000...1050°C, răcire în ulei, revenire 700...800°C, răcire în ulei | 60 | 42 | 20 | 60 | 10 |
| 14 | 14 NC 170 | Călire 975...1040°C, răcire în ulei, revenire 275...350°C, răcire în aer | 110 | 85 | 10 | 30 | 5 |
| 15 | 22 MNC 130 | Călire 1070...1130°C, răcire în aer | 65 | 25 | 35 | 55 | — |
| 16 | 10 AzMNC 170 | Călire 1060...1100°C, răcire în aer, în ulei sau în apă | 70 | 35 | 40 | 55 | — |
| 17 | 7 NC 180 | Călire 950...1050°C, răcire în aer, | 48 | 20 | 40 | 55 | — |
| 18 | 7 TNC 180 | Călire 1050...1100°C, răcire în aer, în ulei sau apă | 50 | 20 | 40 | 55 | — |
| 19 | 7 NdNC 180 | Călire 1050...1100°C, răcire în aer, în ulei sau în apă | 50 | 18 | 40 | 55 | — |
| 20 | 8 TMoNC 170 | Călire 1050...1100°C, răcire în apă, aer, în ulei sau în apă | 52 | 22 | 40 | 55 | — |
| 21 | 15 SNC 200 | Călire 1000...1150°C, răcire în aer sau în apă | 60 | 30 | 35 | 30 | — |
| 22 | 15 SNC 250 | Călire 1100...1150°C, răcire în aer, în ulei sau în apă | 60 | 30 | 35 | 50 | — |
| 23 | 15 NC 230 | Călire 1100...1150°C, răcire în aer, în ulei sau în apă | 50 | 20 | 35 | 50 | — |

Tabela 17.26. Indicații de utilizare a oțelului rezistent la coroziune și refractar (STAS 3583-64)

| Marca | Intrebuintarea | Caracteristici | Observații |
|-------------|--|---|--|
| 40 MoSC 100 | Ventile de motoare, piese de fixare | Rezistență în medii care conțin sulf. Temperatura începutului oxidării intense 850°C. Temperatura de lucru sub sarcină 600...650°C, cu funcționare de lungă durată. | — |
| 12 C 130 | Piese cu plasticitate mărită care se supun solicitărilor de șoc (ventile pentru piese hidraulice, palte pentru turbine cu abur și turbine hidraulice articole pentru uz casnic, tije de piston), produse care se supun presiunii mediilor slab agresive la o temperatură de max. 300°C (depuneri atmosferice, soluții apoase de săruri ale acizilor organici, acid azotic) tuburi, piese pentru cazane | Rezistent în medii care conțin sulf. Temperatura la care începe oxidarea intensă 750°C. Temperatura de lucru sub sarcină 500°C cu funcționare de foarte lungă durată. | Rezistența maximă contra coroziunii se obține prin tratament termic (călire și revenire) și prin lustruire |
| 20 C 130 | | Temperatura începutului oxidării intense 750°C. Temperatura de lucru sub sarcină 500°C cu funcționare de foarte lungă durată | |
| 30 C 130 | Scule de tăiere, scule de măsurat, instrumente chirurgicale, arcuiri, ace de carburator, utilaj petrolier, articole de uz casnic | — | Se întrebuintează călit și revenit la temperaturi joase. Prin șlefuirea și lustruirea suprafeței se obține o duritate mărită |
| 40 C 130 | Oțeluri suficient de rezistente în condițiile de acțiune a apei, aburului și atmosferei de soluții apoase ale sărurilor acizilor de concentrație slabă, la temperatura de maximum 300°C | — | |

| | | |
|------------|--|--|
| 90 C 180 | Rulmenți cu bile de mare duritate pentru utilaj petrolier, cuțite de calitate superioară, bucele, piese de mașini supuse la uzură mare sub acțiunea mediilor corosive (scaune de supape, cochile și ajutaje pentru turnare sub presiune etc.). | Se întrebuintează după călire și revenire |
| 10 C 170 | Utilaj chimic (tuburi de absorbție, schimbătoare de căldură pentru gaze nitroase și acid azotic cald, rezervoare pentru acizi), piese de mașini care suferă deformare la rece, piese de închidere, bandaje | Se întrebuintează în stare recoaptă |
| 7 TC 170 | Se recomandă ca înlocuitor al oțelului 10 TNC 180 în construcții sudate care nu se supun socurilor și la temperaturi nu mai scăzute de -20°C. Aparataj pentru industria chimică, rezistent la acizi, cu excepția acizilor acetic, lactic, formic, oxalic | Rezistență la coroziune în tercrystalină |
| 12 TC 250 | Piese care funcționează în medii mai agresive decât oțelul 7 TC 170. Tuburi pentru aparataj de schimb de căldură care funcționează în medii agresive (cârnăși pentru termocupluri), electrozi pentru buji, tuburi pentru instalații de piroliză, pentru funcționarea în medii de acid azotic și acizi organici (cu excepția acizilor acetic, formic, lactic, oxalic) | Se întrebuintează la imbinări sudate supuse la coroziune intercrystalină. Între 600...800°C are tendința de a deveni sfărâmicos (din cauza formării fazei σ) |
| 10 NC 180 | Se întrebuintează de preferință sub formă de table laminat la rece pentru diferite piese și construcții sudate prin puncte, esapamente, armături de cuptoare, retorte, electrozi pentru buji | Imbinările sudate realizate prin alte metode decât sudare prin puncte sînt sensibile la coroziune intercrystalină |
| 10 TNC 180 | Se întrebuintează la fabricarea aparatului sudat. Se recomandă să fie folosit sub formă de profile și table laminată la cald | Rezistent la coroziune intercrystalină |

Tabela 17.27. Caracteristicile mecanice ale oțelului pentru arcuri
(STAS 795-77)

| Marca | Starea epruvetelor | | | | | |
|---------|---|---|----------------------------|----------------------------|----------------------|----------------|
| | Călite și revenite | | | | Laminat | Laminat recopt |
| | Limita de curgere kgf/mm ² | Rezistența la tracțiune kgf/mm ² | Alungire la rupere % | Gîtuirea la rupere % | Duritatea Brinell HB | |
| | | | | | | |
| | | | | | | |
| minimum | | | | maximum | | |
| ARC 1 | 110 | 130 | 10 | 45 | 363 | 255 |
| ARC 2 | 120 | 130 | 8 | 35 | 363 | 255 |
| ARC 2 A | 120 | 135 | 6 | 30 | 363 | 255 |
| ARC 3 | 140 | 160 | 6 | 25 | 363 | 255 |
| ARC 4 | 120 | 130 | 6 | 30 | 321 | 241 |
| ARC 5 | 110 | 120 | 6 | 30 | 321 | 241 |
| ARC 5 A | 100 | 120 | 6 | 30 | 285 | 245 |
| ARC 6 | 80 | 100 | 10 | 35 | 285 | 229 |
| ARC 6 A | 90 | 110 | 6 | 20 | 285 | 229 |
| ARC 7 | 110 | 115 | 8 | 30 | 363 | 229 |
| ARC 8 | 120 | 140 | 6 | 25 | 363 | 229 |
| ARC 9 | 125 | 145 | 6 | 25 | 363 | 229 |
| ARC 10 | 90 | 110 | 9 | 30 | 321 | 241 |

Observații. 1. Valorile pentru gtuire sînt informative, iar la înțelegere între producător și beneficiar, pot deveni obligatorii. 2. Oțelul pentru arcuri are următoarele valori medii informative pentru : modulul de elasticitate longitudinală E , circa 21 000 kgf/mm²; modulul de elasticitate transversal G , circa 8000 kgf/mm². 3. Valorile pentru gtuire se referă numai la epruvete cu secțiunea rotundă.

Tabela 17.28. Tratamentele termice pentru oțelurile
pentru arcuri
(STAS 795-71)

| Marca | Călire | | Revenire °C |
|-------------|--------------|-----------------|-------------|
| | Încălzire °C | Mediu de răcire | |
| ARC 1 | 840...860 | ulei | 490...550 |
| ARC 2 | 830...850 | ulei | 460...520 |
| ARC 2A | 830...850 | ulei | 450...520 |
| ARC 3 | 850...870 | ulei | 430...490 |
| ARC 4 | 860...880 | ulei sau apă | 430...490 |
| ARC 5 și 5A | 860...880 | ulei sau apă | 430...490 |
| ARC 6 | 830...850 | ulei | 450...510 |
| ARC 6 A | 830...850 | ulei | 400...460 |
| ARC 7 | 810...830 | ulei | 450...510 |
| ARC 8 | 810...830 | ulei | 400...460 |
| ARC 9 | 820...850 | ulei | 450...500 |
| ARC 10 | 810...830 | ulei | 450...510 |

Observație. Ca temperaturi de normalizare se pot folosi temperaturile corespunzătoare limitei superioare pentru călire.

Formele și dimensiunile sînt conform standardelor dimensionale STAS 1800-69 (oțel rotund calibrat), STAS 6554-70 (oțel pătrat tras la rece), STAS 2305-73 (oțel hexagonal calibrat), STAS 6972-70 (oțel calibrat), STAS 6500-66 (oțel tras la rece pentru pene paralele).

Caracteristicile mecanice ale oțelurilor calibrate fabricate din oțelurile indicate mai sus sînt indicate în tabela 17.29 pentru oțelul STAS 500/2-68, în tabela 17.30 pentru oțelul

Tabela 17.29. Caracteristicile mecanice ale oțelurilor calibrate din oțel de uz
general pentru construcții STAS 500/2-68 (STAS 2300-75)

| Marca oțelului STAS 500/2-68 | Oțel tras (T), cojit tras (CT) și tras șlefuit (TS) | | | Oțel tras recopt (TR), tras recopt șlefuit (TRS) și cojit șlefuit (CS) | |
|---------------------------------|---|---|--|---|---|
| | Dimensiunea sau grosimea mm | Rezistența de rupere la tracțiune R /mm ² (kgf/mm ²) min. | Alungirea relativă la rupere A_5 % min. | Rezistența de rupere la tracțiune R_N /mm ² (kgf/mm ²) min. | Alungirea relativă la rupere, A_5 % min. |
| | | | | | |
| OL 34 | ≤ 6 | 490(50) | 7 | | |
| | > 6...10 | 460(47) | 8 | | |
| | > 10...25 | 410(42) | 10 | 310...440 (32...45) | 31 |
| | > 25...40 | 390(40) | 11 | | |
| | > 40...80 | 360(37) | 12 | | |
| OL 37 | ≤ 6 | 510(52) | 7 | | |
| | > 6...10 | 490(50) | 8 | | |
| | > 10...25 | 440(45) | 9 | 340...460 (35...47) | 25 |
| | > 25...40 | 410(42) | 11 | | |
| | > 40...80 | 390(40) | 12 | | |
| OL 42 | ≤ 6 | 560(57) | 6 | | |
| | > 6...10 | 520(53) | 7 | | |
| | > 10...25 | 490(50) | 7 | 360...490 (37...50) | 23 |
| | > 25...40 | 470(48) | 9 | | |
| | > 40...80 | 440(45) | 11 | | |
| OL 50 | ≤ 6 | 640(65) | 6 | | |
| | > 6...10 | 590(60) | 6 | | |
| | > 10...25 | 590(60) | 7 | 440...590 (45...60) | 20 |
| | > 25...40 | 540(55) | 8 | | |
| | > 40...80 | 520(53) | 9 | | |
| OL 60 | ≤ 6 | 740(75) | 5 | | |
| | > 6...10 | 690(70) | 6 | | |
| | > 10...25 | 690(70) | 6 | 540...690 (55...70) | 15 |
| | > 25...40 | 640(65) | 7 | | |
| | > 40...80 | 620(63) | 8 | | |
| OL 70 | ≤ 6 | 830(85) | 5 | | |
| | > 6...10 | 780(80) | 5 | | |
| | > 10...25 | 760(78) | 6 | 620...830 (63...85) | 12 |
| | > 25...40 | 740(75) | 6 | | |
| | > 40...80 | 720(73) | 7 | | |

Exemplu de notare: Oțel rotund calibrat Φ 20 TR STAS 1800-69/OL 37 STAS 2300-75

Tabela 17.30. Caracteristicile mecanice ale oțelurilor calibrate din oțel carbon de calitate
și oțel superior pentru construcții de mașini STAS 880-66 (STAS 2300-75)

| Marca oțelului STAS 880-66 | Oțel tras (T), cojit tras (CT) și tras șlefuit (TS) | | | Oțel tras recopt (TR), tras recopt șlefuit (TRS) și cojit șlefuit (CS) | |
|-------------------------------|---|---|---|---|---|
| | Dimensiunea sau grosimea mm | Rezistența de rupere la tracțiune R /mm ² (kgf/mm ²) min. | Alungirea relativă la rupere, A_5 % min. | Rezistența de rupere la tracțiune R_N /mm ² (kgf/mm ²) min. | Alungirea relativă la rupere, A_5 % min. |
| | | | | | |
| OLC 10 | ≤ 6 | 510(52) | 7 | | |
| | > 6...10 | 460(47) | 8 | | |
| | > 10...25 | 410(42) | 9 | 310...410 (32...42) | 30 |
| | > 25...40 | 390(40) | 11 | | |
| | > 40...80 | 360(37) | 12 | | |

Tabela 17.30 (continuare)

| Marca oțelului STAS 880-66 | Oțel tras (T) și tras șlefuit (TS) | | | Oțel tras recopt (TR), tras recopt șlefuit (TRS) și cojit șlefuit (CS) | |
|-------------------------------|------------------------------------|--|--|---|---|
| | Dimensiunea sau grosimea mm | Rezistența de rupere la tracțiune, N/mm ² (kgf/mm ²) min. | Alungire relativă la rupere, A ₅ % min. | Rezistența de rupere la tracțiune R N/mm ² (kgf/mm ²) min. | Alungirea relativă la rupere, A ₅ % min. |
| OLC 15 | ≤ 6 | 540(55) | 7 | 350...440 (36...45) | 25 |
| | > 6...10 | 490(50) | 8 | | |
| | > 10...25 | 490(50) | 9 | | |
| | > 25...40 | 440(45) | 10 | | |
| | > 40...80 | 390(40) | 11 | | |
| OLC 20 | ≤ 6 | 560(57) | 7 | 360...460 (37...47) | 24 |
| | > 6...10 | 520(53) | 7 | | |
| | > 10...25 | 490(50) | 8 | | |
| | > 25...40 | 470(48) | 9 | | |
| | > 40...80 | 440(45) | 10 | | |
| OLC 25 | ≤ 6 | 590(60) | 6 | 370...490 (38...50) | 23 |
| | > 6...10 | 540(55) | 7 | | |
| | > 10...25 | 520(53) | 7 | | |
| | > 25...40 | 490(50) | 8 | | |
| | > 40...80 | 460(47) | 9 | | |
| OLC 30 | ≤ 6 | 640(65) | 6 | 390...510 (40...52) | 23 |
| | > 6...10 | 590(60) | 7 | | |
| | > 10...25 | 570(58) | 7 | | |
| | > 25...40 | 520(53) | 8 | | |
| | > 40...80 | 490(50) | 9 | | |
| OLC 35 | ≤ 6 | 690(70) | 5 | 440...590 (45...60) | 22 |
| | > 6...10 | 640(65) | 6 | | |
| | > 10...25 | 590(60) | 7 | | |
| | > 25...40 | 540(55) | 8 | | |
| | > 40...80 | 490(50) | 9 | | |
| OLC 40 | ≤ 6 | 740(75) | 5 | 470...640 (48...65) | 17 |
| | > 6...10 | 690(70) | 6 | | |
| | > 10...25 | 620(63) | 7 | | |
| | > 25...40 | 590(60) | 7 | | |
| | > 40...80 | 540(55) | 8 | | |
| OLC 45 | ≤ 6 | 780(80) | 5 | 490...690 (50...70) | 16 |
| | > 6...10 | 740(75) | 6 | | |
| | > 10...25 | 690(70) | 7 | | |
| | > 25...40 | 640(65) | 7 | | |
| | > 40...80 | 590(60) | 8 | | |
| OLC 50 | ≤ 6 | 800(82) | 5 | 590...700 (60...77) | 14 |
| | > 6...10 | 750(76) | 5 | | |
| | > 10...25 | 720(73) | 6 | | |
| | > 25...40 | 670(68) | 7 | | |
| | > 40...80 | 620(63) | 8 | | |
| OLC 55 | ≤ 6 | 830(85) | 5 | 610...780 (62...80) | 13 |
| | > 6...10 | 780(80) | 5 | | |
| | > 10...25 | 740(75) | 6 | | |
| | > 25...40 | 710(72) | 7 | | |
| | > 40...80 | 650(66) | 7 | | |

Tabela 17.30 (continuare)

| Marca oțelului STAS 880-66 | Oțel tras (T), cojit tras (CT) și tras șlefuit (TS) | | | Oțel tras recopt (TR), tras recopt șlefuit (TRS) și cojit șlefuit (CS) | |
|-------------------------------|---|--|--|---|---|
| | Dimensiunea sau grosimea mm | Rezistența de rupere la tracțiune, N/mm ² (kgf/mm ²) min. | Alungire relativă la rupere, A ₅ % min. | Rezistența de rupere la tracțiune R N/mm ² (kgf/mm ²) min. | Alungirea relativă la rupere, A ₅ % min. |
| OLC 60 | ≤ 6 | 880(90) | 5 | 630...830 (64...85) | 12 |
| | > 6...10 | 830(85) | 5 | | |
| | > 10...25 | 780(80) | 6 | | |
| | > 25...40 | 740(75) | 7 | | |
| | > 40...80 | 600(70) | 7 | | |

STAS 880-66, în tabela 17.31 pentru oțelul STAS 791-66 și în tabela 17.32 pentru oțelul de arcuri (STAS 795-71).

Oțelul rotund selivrea-ză în stările T, TR, TRS, CT, TS și CS, iar oțelurile pătrat, hexagonal, lat, pentru pene paralele în stările T și TR.

3.3. OȚELURI ȘI CARBURI METALICE PENTRU SCULE

3.3.1. Generalități. Calitatea sculelor pentru prelucrarea pieselor prin aşchiere depinde nu numai de precizia construcției lor, ci și de calitatea materialului din care sînt executate.

Un material bun pentru scule trebuie să îndeplinească următoarele condiții speciale:

1) După tratamentul termic să aibă o duritate cit mai mare (între 600 și 650 HB), fără să fie prea fragil, pentru a nu se fărîmița tăișul cuțitului.

Tabela 17.31. Caracteristicile mecanice ale oțelurilor calibrate din oțel aliat și aliat superior pentru construcții de mașini STAS 791-66 (STAS 2880-75)

| Marca oțelului STAS 795-71 | Oțel tras (T) și tras șlefuit (TS) | Oțel tras recopt (TR), tras recopt șlefuit (TRS) și cojit șlefuit (CS) | Oțel cojit tras (CT) |
|-------------------------------|------------------------------------|--|----------------------|
| | Duritatea Brinell HB, max. | | |
| 15 C 08 | 230 | 183 | 210 |
| 40 C 10 | 265 | 217 | 235 |
| 40 BC 10 | 265 | 217 | 235 |
| 35 M 16 | 265 | 217 | 235 |
| 65 M 10 | 275 | 229 | 245 |
| 18 MC 10 | 260 | 207 | 235 |
| 38 SC 15 | 300 | 255 | 275 |
| 21 TMC 12 | 265 | 217 | 235 |
| 28 TMC 12 | 275 | 229 | 245 |
| 35 MS 12 | 275 | 229 | 245 |
| 50 VC 11 | 280 | 235 | 260 |
| 41 VMoC 17 X | 275 | 229 | 245 |
| 33 MoC 11 X | 265 | 217 | 235 |
| 41 MoC 11 X | 265 | 217 | 235 |
| 13 CN 30 X | 265 | 217 | 235 |
| 15 CN 15 X | 265 | 217 | 235 |
| 41 CN 12 X | 265 | 217 | 235 |
| 18 MoCN 06 X | 265 | 217 | 235 |
| 18 MoCN 13 X | 265 | 217 | 235 |
| 36 MoCN 10 X | 275 | 229 | 245 |
| 34 MoCN 15 X | 275 | 229 | 245 |
| 30 MoCN 20 X | 280 | 235 | 250 |
| 15 MoMC 12 X | 260 | 207 | 230 |
| 21 MoMC 12 X | 265 | 217 | 235 |
| 20 MoN 35 X | 260 | 207 | 230 |
| 38 MoCA 09 X | 275 | 229 | 245 |
| 20 C 08 | 230 | 179 | 210 |
| 35 C 10 | 255 | 197 | 230 |
| 45 C 10 | 275 | 229 | 245 |
| 31 M 14 | 265 | 217 | 235 |

Tabela 17.31 (continuare)

| Marca oțelului STAS 791-66 | Oțel tras (T) și tras șlefuit (TS) | Oțel tras recoapt (TR), tras recoapt șlefuit (TRS) și cojit șlefuit (CS) | Oțel cojit tras (CT) |
|-------------------------------|--|---|-------------------------|
| Duritatea Brinell HB, max. | | | |
| 45 M 16 | 275 | 229 | 245 |
| 27 MS 12 | 265 | 217 | 235 |
| 25 MoC 11 X | 265 | 217 | 235 |
| 30 MoC 10 X | 275 | 229 | 245 |
| 36 MoC 10 X | 295 | 241 | 260 |
| 13 CN 17 X | 260 | 207 | 230 |
| 13 CN 35 X | 320 | 269 | 290 |
| 19 CN 35 X | 325 | 269 | 290 |
| 35 CN 15 X | 265 | 206 | 235 |
| 45 CN 12 X | 260 | 207 | 230 |
| 31 CMS 10 X | 275 | 229 | 245 |
| 35 CMS 13 X | 295 | 241 | 260 |
| 30 SMCN 16 X | 315 | 255 | 275 |
| 40 MoCN 15 X | 320 | 269 | 290 |
| 16 MCN 15 X | 275 | 229 | 245 |
| 16 CNW 10 X | 320 | 269 | 290 |
| 25 CNW 10 X | 320 | 269 | 290 |
| 39 CA 06 | 275 | 229 | 245 |

Tabela 17.32. Caracteristicile mecanice ale oțelurilor calibrate pentru arcuri STAS 795-71

| Marca oțelului STAS 795-71 | Oțel tras (T) și tras șlefuit (TS) | Oțel tras recoapt (TR) tras recoapt șlefuit (TRS) și cojit șlefuit (CS) | Oțel cojit tras (CT) |
|-------------------------------|--|--|-------------------------|
| Duritatea Binell HB, max. | | | |
| ARC 1 | 290 | 235 | 260 |
| ARC 2 | 290 | 229 | 260 |
| ARC 2A | 290 | 229 | 260 |
| ARC 3 | 290 | 229 | 260 |
| ARC 4 | 290 | 217 | 260 |
| ARC 5 | 280 | 217 | 255 |
| ARC 5 A | 280 | 217 | 255 |
| ARC 6 | 280 | 197 | 255 |
| ARC 6 A | 280 | 187 | 255 |
| ARC 7 | 280 | 197 | 255 |
| ARC 8 | 300 | 229 | 270 |
| ARC 9 | 300 | 229 | 270 |
| ARC 10 | 300 | 217 | 270 |

Observație. În cazul în care la grupa de oțeluri Cojit tras (CT) adaosul de tragere este același ca la grupa de oțeluri trase (T), duritatea va fi cea indicată în tabelele 17-31 și 17.32, coloana 2.

2) Duritatea mare a sculei trebuie să se mențină și la temperaturi ridicate în timpul prelucrării pieselor.

3) Materialul trebuie să mai asigure și o rezistență la uzură suficient de mare a sculei.

Materialele utilizate la fabricarea sculelor, sint: oțelul carbon pentru scule, oțelul aliat pentru scule, oțelul special de scule și carburile metalice.

3.3.2. Oțel carbon pentru scule (STAS 1700-71). Prin oțel carbon de scule se înțelege un oțel de calitate, cu conținut ridicat de carbon, elaborat de obicei în cuptoare electrice, și care se întrebuințează pentru fabricarea sculelor.

Oțelul carbon de scule se notează cu simbolul OSC, în care litera S înseamnă scule și litera C înseamnă carbon, urmat de un număr care indică conținutul mediu de carbon în zecimi de procente. La oțelul cu conținut ridicat de mangan, se adaugă și litera M.

Oțelul-carbon pentru scule se laminează, se forjează sau se trage în profile cu secțiuni rotunde, pătrate, sau dreptunghiulare, conform standardului dimensional pentru oțel de scule STAS 3021-69.

Compoziția chimică a oțelurilor carbon pentru scule (STAS 1700-71) fabricate în țara noastră este arătată în tabela 17.33. În stare recoaptă, oțelul carbon pentru scule are duritatea Brinell conform tablei 17.34.

Tabela 17.33. Compoziția chimică a oțelurilor carbon pentru scule (STAS 1700-71)

| Marca | Conținutul % | | | | | | | | |
|---------|--------------|-----------|-----------|---------|-------|-------|------|------|------|
| | C | Mn | Si | P | S | P+S | Cr | Ni | Cu |
| | | | | maximum | | | | | |
| OSC 7 | 0,65-0,74 | 0,15-0,35 | 0,15-0,35 | 0,030 | 0,025 | 0,050 | 0,25 | 0,25 | 0,25 |
| OSC 8 | 0,75-0,84 | 0,15-0,35 | 0,15-0,35 | 0,030 | 0,025 | 0,050 | 0,20 | 0,25 | 0,25 |
| OSC 8 M | 0,80-0,90 | 0,35-0,80 | 0,15-0,35 | 0,030 | 0,025 | 0,050 | 0,20 | 0,25 | 0,25 |
| OSC 9 | 0,85-0,94 | 0,15-0,35 | 0,15-0,35 | 0,030 | 0,025 | 0,050 | 0,20 | 0,25 | 0,25 |
| OSC 10 | 0,95-1,04 | 0,15-0,35 | 0,15-0,35 | 0,030 | 0,025 | 0,050 | 0,20 | 0,25 | 0,25 |
| OSC 11 | 1,05-1,14 | 0,15-0,35 | 0,15-0,35 | 0,030 | 0,025 | 0,050 | 0,20 | 0,25 | 0,25 |
| OSC 12 | 1,15-1,25 | 0,15-0,35 | 0,15-0,35 | 0,030 | 0,025 | 0,050 | 0,20 | 0,25 | 0,25 |
| OSC 13 | 1,26-1,45 | 0,15-0,35 | 0,15-0,35 | 0,030 | 0,025 | 0,050 | 0,20 | 0,25 | 0,25 |

a) Caracteristicile oțelurilor carbon pentru scule: — nu se călesc pe toată secțiunea, ci numai pe un strat de 2—4 mm; — temperaturile de călire sint cuprinse între 760 și 820°C; — ajung la o duritate foarte mare (aproximativ 65 HCR) care nu este depășită decât de puține oțeluri aliate; miezul rămâne însă tenace;

— sint călibile în apă, necesitind o mare viteză de răcire (de aproximativ 100—150°C/s);

— recoacerea de înmuiere — pină la foarte moale — se face ușor, astfel că orice prelucrare se execută fără dificultăți;

— întregul tratament termic este simplu și nepretențios;

— creșterea conținutului de carbon face să crească duritatea, iar structura stratului călit devine mai fină.

b) Alegerea oțelului carbon pentru scule. Alegerea se face, în general, după următoarele criterii:

Oțelul OSC 7 se folosește pentru scule supuse loviturilor și pentru scule care necesită tenacitate mare și duritate suficientă; ciocane de forjare la cald, ciocane de lăcătușerie, matrițe, căpuitoare, dălți, șurubelnițe, punctatoare, foarfece de mină pentru tăierea tablelor, poan-

Tabela 17.34. Duritatea oțelurilor carbon pentru scule în stare recoaptă

| Marca | HB max. | Marca | HB max. |
|------------------|---------|--------|---------|
| OSC 7 | 187 | OSC 11 | 207 |
| OSC 8 și OSC 8 M | 187 | OSC 12 | 207 |
| OSC 10 | 197 | | |

soane pentru oțel moale, burghie pentru materiale puțin dure, instrumente chirurgicale neascuțite, scule de tâmplărie, scule de modelat, coase, clește patent, matrițe mici pentru materiale plastice etc.

Oțelul OSC 8 se folosește pentru scule supuse loviturilor și necesită tenacitate mare și duritate mijlocie: matrițe pentru forme simple, cuțite și foarfece pentru metale moi, scule de tâmplărie, scule pneumatice, perforatoare, punctatoare, scule pentru fabricarea șuruburilor și cuielor, burghie pentru material cu duritate mijlocie, matrițe cu dimensiuni mici pentru materiale plastice, scule de tăiere și îndoire la cald, clești etc.

Oțelul OSC 8M se folosește pentru ferăstraie circulare sau panglică pentru lemn, dălți pentru minerit și dălți pentru cioplirea pietrelor, șirme pentru rezistență mare, matrițe pentru injectat materiale plastice.

Oțelul OSC 9 se folosește pentru scule care necesită duritate mijlocie și tenacitate bună: burghie pentru ciocane perforatoare, punctatoare, scule pentru prelucrarea lemnului, dălți pentru piatră etc.

Oțelul OSC 10 se folosește pentru scule care nu sînt supuse la lovituri puternice și bruște, care necesită oarecare tenacitate și care au tășuri ascuțite; filiere, burghie pentru roci mai dure, tarozi, filiere pentru filetat, matrițe pentru monede, scule pentru fabricarea șuruburilor și acelor, scule pentru extrudare: inele de tras, inele de ambutisare, dornuri etc., cuțite de tăiat cauciuc, calibre de forme simple, ferăstraie mecanice etc.

Oțelul OSC 11 se folosește pentru scule supuse la lovituri mici, care necesită tășuri ascuțite, filiere, freze, burghie, calibre, ferăstraie pentru metale etc.

Oțelul OSC 12 se folosește pentru scule supuse unor lovituri foarte mici și cer o duritate mare și muchie de tăiere ascuțită: freze, filiere, brice, instrumente chirurgicale ascuțite, calibre, ferăstraie pentru metale, scule pentru ceasornicari, cuțite pentru prelucrarea alamei, matrițe pentru monede, cuțite de tăiat sticlă, porțelan, dălți pentru tăiat piatră.

Oțelul OSC 13 se folosește pentru scule care nu sînt supuse la lovituri și necesită o duritate deosebită și muchii de tăiere foarte ascuțite: cuțite pentru prelucrarea metalelor, brice, scule de trefilare, sfredele, instrumente pentru prelucrarea pietrei dure, cuțite cu viteze mici de așchiere etc.

Nu se recomandă utilizarea oțelului carbon pentru scule care au suprafețe plane mari sau sînt decupate neregulat, scule lungi și subțiri, scule supuse permanent la trepidații și șocuri, scule lucrînd în jurul temperaturii de 200°C sau mai mult și în general scule care prin forma sau mărimea lor nu se pot căli repede.

3.3.3. Oțel aliat pentru scule. Modificarea compoziției oțelurilor pentru scule prin adăugarea de mici cantități de metale speciale ca: vanadiu (V), crom (Cr), molibden (Mo) și în special wolfram (W) și cobalt (Co), a condus la realizarea *oțelurilor aliate pentru scule*.

Aceste oțeluri sînt superioare oțelurilor carbon pentru scule, deoarece la temperaturi de tăiere mai ridicate au duritatea, tenacitatea și elasticitatea cu mult mai mari.

Din aceste oțeluri se pot executa scule ca: burghie, tarozi, alezoare, freze pentru prelucrarea materialelor cu duritatea mai mică.

După proprietăți și destinație, oțelurile aliate de scule se clasifică în:

— oțeluri pentru scule așchietoare și aparate de măsurat:

— cu adîncime de călire mică;

— cu adîncime de călire mare;

oțeluri pentru scule de deformare și scule pneumatice:

— pentru deformare la rece,

— pentru deformare la cald,

— pentru scule pneumatice.

Mărcile de oțel aliat pentru scule se notează printr-un simbol format din litere și cifre. Literele indică elementele de aliere, iar cifrele indică, în zecimi de procent, conținutul mediu al elementului principal de aliere.

Deformarea plastică la cald, și tratamentul termic, precum și caracteristicile obținute, sînt indicate în tabela 17.35.

În tabela 17.36 se găsesc indicații informative privind utilizarea oțelurilor aliate pentru scule.

3.3.4. Oțel rapid pentru scule. *Oțelurile rapide* sînt oțeluri aliate de scule destinate așchierii rapide. Ele sînt elaborate în cuptoare electrice și prelucrate la cald prin deformare plastică.

Mărcile de oțel rapid pentru scule se notează cu simbolul Rp urmat de numărul de ordine al mărcii.

În tabela 17.37 sînt arătate caracteristicile mecanice și tratamentul termic ale acestor oțeluri.

Indicații asupra folosirii oțelurilor rapide se găsesc în tabela 17.38.

La oțelurile aliate de scule și în special la oțelurile rapide se recomandă ca încălzirile pentru forjare sau diferite tratamente termice, aplicate în vederea obținerii proprietăților indicate, să fie precedate de o preîncălzire, în funcție de grosimea pieselor și anume:

— încălzire foarte lentă pînă la 650°C;

— încălzire lentă între 650—900°C.

La oțelurile rapide se recomandă să se facă cel puțin două reveniri.

Cu sculele din oțel rapid se poate lucra pînă la circa 500°C, fără ca muchiile de așchiere să-și piardă calitățile de așchiere.

Tabela 17.35. Tratatamentul termic și caracteristicile mecanice pentru oțelurile aliate de scule (STAS 3611-66)

| Nr. crt. | Marca | Recoacere de înmuiere | | Călire | | Revenire | |
|----------|------------|-----------------------|-------------|-------------|--------|------------------|------------------------|
| | | °C | Duritate HB | °C | Rădăre | Duritate HRC mm. | Duritate HRC |
| 1 | VC 06* | 1100...850 | max. 255 | 850...880 | u | 60 | 57...63 |
| 2 | CVW 10) | 1050...800 | max. 230 | 790...810 | a | 62 | 62...64 |
| 3 | CVW 50 | 1050...850 | max. 230 | 790...820 | a | 65 | 64...66 |
| 4 | C 15*) | 1050...850 | max. 230 | 830...860 | u | 61 | 60...64 |
| 5 | CS 14*) | 1050...850 | max. 230 | 830...880 | u | 62 | 58...62 |
| 6 | MCW 14*)e | 1050...850 | max. 255 | 800...830 | u | 62 | 60...63 |
| 7 | VM 18*) | 1000...850 | max. 242 | 750...780 | u | 62 | 57...63 |
| 8 | VSCW 9*) | 1050...850 | max. 242 | 840...860 | u | 62 | 58...63 |
| 9 | VCW 50 | 1050...850 | max. 242 | 930...960 | u, a | 59 | 58...62 |
| 10 | VMoC 15*) | 1050...850 | max. 225 | 830...860 | u | 61 | 60...64 |
| 11 | VWC 62 | 1100...850 | max. 229 | 950...1000 | u, a | 62 | 62...63 |
| 12 | C 120 | 1050...850 | max. 260 | 930...960 | u, a | 60 | 54...58 |
| 13 | VMoC 120 | 1050...850 | max. 255 | 970...1000 | u, a | 58 | 58...63 |
| 14 | VCW 85 | 1100...900 | max. 255 | 1075...1125 | u | 49 | 600...620 360...470 HB |
| 15 | WC 80 | 1150...850 | max. 255 | 1025...1075 | u | 45 | 575...600 360...440 HB |
| 16 | VSCW 45 | 1100...850 | max. 230 | 1000...1050 | u | 46 | 580...650 360...470 HB |
| 17 | MoCN 15*) | 1050...900 | max. 240 | 840...880 | u | 48 | 520...560 320...410 HB |
| 18 | VMoCN 17*) | 1050...850 | max. 255 | 840...880 | u | 48 | 500...600 400...450 HB |
| 19 | MoSMC 14*) | 1100...850 | max. 240 | 820...850 | u | 48 | 520...560 360...410 HB |
| 20 | MoSMC 20*) | 1100...850 | max. 240 | 870...890 | u | 48 | 500...650 325...430 HB |
| 21 | MoSC 30*) | 1100...900 | max. 240 | 880...900 | u | 52 | 500...650 340...440 HB |
| 22 | WCN 40 | 1050...850 | max. 265 | 840...870 | u | 54 | 200...300 51...54 HRC |
| 23 | VN 06*) | 1050...850 | max. 240 | 790...820 | u | 60 | 180...250 54...56 HRC |
| 24 | VSC 13*) | 1050...850 | max. 230 | 890...920 | u | 56 | 100...250 54...58 HRL |
| 25 | VSCW 20 | 1050...850 | max. 230 | 890...920 | u | 54 | 450...600 370...460 HB |

Observație: u = ulei; a = aer; b.i. = baie izotermă cu temperatura de 450... 500°C.

Tabela 17.36. Indicații de folosire a oțelurilor aliate pentru scule (STAS 3611-66)

| Nr. crt. | Marca | Indicații privind utilizarea |
|----------|---------|---|
| 1 | VC06 | Scule pentru prelucrarea la rece: ferăstraie cu bandă, ferăstraie circulare, cuțite pentru tăierea metalelor la rece, matrițe și poansoane pentru decupare etc. |
| 2 | CVW10 | Scule pentru viteze mici și rezistențe mijlocii: burghie spirale, adâncitoare, filiere, alezoare, mandrine (pentru aliaje neferoase etc). |
| 3 | CVW50 | Scule pentru viteze mici folosite la prelucrarea materialelor foarte dure: scule manuale pentru finisare, gravat alezoare pentru neferoase materiale plastice, sticlă etc. |
| 4 | C15 | Scule pentru aparate de măsurat, alezoare, freze, valțuri, poansoane, ștanțe etc. |
| 5 | CS14 | Burghie, tarozi, bacuri de filieră, freze ștemuitoare mecanice, poansoane pentru lucru la rece etc. |
| 6 | MCW14 = | Scule pentru prelucrare la rece: tarozi, bacuri pentru filetat, alezoare, scule de tras, scule pentru aparate de măsurat de precizie etc. |
| 7 | VM18 | Scule nedeformabile, de precizie: filiere, calibre, șabloane, matrițe și ștanțe la rece |
| 8 | VSCW9 | Bacuri pentru filiere circulare, alezoare și alte scule de așchiere |
| 9 | VWC50 | Scule destinate în special prelucrării lemnului: cuțite, freze, ferăstraie etc. |
| 10 | VMoC15 | Oțel cu rezistență la uzură și tenacitate, pentru scule destinate prelucrării la rece: cilindri pentru laminare la rece etc. |
| 11 | VWC62 | Scule de rulat filet (role și bacuri), scule pentru prelucrarea lemnului pinze de ferăstrău, bonfaier, brice, matrițe, poansoane și alte scule pentru deformare la rece |
| 12 | C120 | Scule nedeformabile și foarte rezistente la uzură: broșe, matrițe și ștanțe la rece, freze, filiere, mandrine, tarozi, lame de foarfece cu șocuri și lovituri puternice |
| 13 | VMoC120 | Idem, pentru situații când se cere tenacitate mai ridicată |
| 14 | VCW85 | Scule pentru deformare la cald: matrițe și poansoane foarte solcite, bacuri la mașini de sudat, dornuri și inele de tras la cald, valțuri de laminare, cochilii pentru turnat metale și aliaje neferoase etc. |
| 15 | WC80 | Matrițe și poansoane care lucrează în condiții grele de solicitări mecanice și termice, cochilii pentru turnarea sub presiune a aliajelor neferoase, pentru prelucrarea maselor plastice |
| 16 | VSCW45 | Înlocuiește oțelul VCW 85 în condiții de solicitări mecanice și termice mai reduse |
| 17 | MoCN15 | Matrițe mari pentru forjare și presare la cald, cuțite pentru tăiat la cald, valțuri și role pentru laminare, nicovale pentru prese și ciocane, ștanțe pentru presat și tăiat |

Tabela 17.36 (continuare)

| Nr. crt. | Marca | Indicații privind utilizarea |
|----------|---------|--|
| 18 | VMoCN17 | Înlocuiește oțelul MoCN15 în condiții de solicitări mai grele |
| 19 | MoCM14 | Înlocuiește oțelul MoCN15 cu randament mai scăzut |
| 20 | MoSMC20 | Înlocuiește oțelul MoCN15 cu randament satisfăcător |
| 21 | MoSC30 | Înlocuiește oțelul MoCN 15 cu randament ridicat avînd caracteristici de stabilitate la cald și tenacitate superioare |
| 22 | WCN40 | Matrițe mari și mijlocii, poansoane și containere pentru extrudare, matrițe pentru debavurare și decupare, cuțite de foarfece, dornuri pentru laminat țevi |
| 23 | VN06 | Pistoane pentru ciocane pneumatice, perforatoare, scule pneumatice pentru extracția de cărbuni și pentru construcții rutiere |
| 24 | VSC13 | Dălți, ștemuitoare, foarfece pentru tăierea metalelor la cald și rece etc. |
| 25 | VSCW20 | Matrițe pentru turnarea sub presiune a aliajelor neferoase pe bază de Al și Mg. Scule rezistente la șoc: buteroale, dălți pneumatice, cuțite de foarfece, stanțe matrițe pentru prelucrare la rece, bacuri pentru mașinile de încercare la tracțiune, scule pentru prelucrarea lemnului |

Vitezele de așchiere se măresc prin aceasta de 2 ... 4 ori față de cele ce se pot obține cu sculele executate din oțel carbon.

Oțelurile rapide se călesc la temperatură foarte ridicată, în jurul a 1250°C.

Pentru mărirea durității și rezistenței la uzură a suprafețelor de degajare și așezare, sculele sînt supuse — după ce sînt complet prelucrate — unor tratamente termice sau chimice speciale.

Metodele mai des utilizate în acest scop sînt:

1. *Cianurarea sculelor* într-un mediu lichid (cianuri topite) sau gazos. Stratul cianurat variază între 0,01 și 0,06 mm; prin aceasta durata de așchiere a sculei se dublează. Se va evita din cauza creșterii fragilității metalului, cianurarea sculelor de dimensiuni reduse, cum sînt: burghiele mici, tarozii cu pasul sub 1,5 mm etc.

2. *Cromarea dură*. Se aplică la suprafața sculei, pe cale electro-litică, un strat de crom cu o grosime de 0,003 ... 0,005 mm. Sculele astfel cromate sînt recomandate în special la prelucrarea aliajelor ușoare și a maselor plastice.

3. *Tratamentul termic la temperaturi sub zero grade* (la - 80°C), timp de 3—6 ore, mărește rezistența la uzură a muchiei tăietoare cu 30 ... 50%.

3.3.5. Carburi metalice. Nevoia de a mări cît mai mult viteza de așchiere la prelucrarea în special a materialelor dure a dus la realizarea unor materiale cu o duritate mult mai mare decît a oțelurilor rapide și care să poată suporta în timpul prelucrării o încălzire peste 600°C. Aceste materiale, numite carburi metalice sînt formate din carburi de wolfram sau titan, cu mici adaosuri (5—10%) de cobalt curat. Dintre acestea fac parte: Pobeditul, Renixul și Widia (80—85% wolfram, 6—12% cobalt, 5—6% carbon).

Compoziția chimică a unora din carburile metalice este dată în tabela 17.39.

Cifrele scrise după litera K arată conținutul la sută în cobalt, iar cifra după litera T indică conținutul la sută în titan combinat cu carbonul.

Carburile metalice sînt presate în plăci care se sudează, se lipesc sau se prind mecanic pe capul cuțitului din oțel carbon (OL 70).

Tabela 17.37. Tratamentul termic și caracteristicile mecanice pentru oțelurile rapide de seale (STAS 7382—66)

| Nr. crt. | Denumirea | Simbolul vechi | Marca | Domeniul de temperatură la prelucrarea plastică la cald °C | Recoacere de înmuiere | | Călire | | | Revenire | |
|----------|-----------|----------------|-------|--|-----------------------|-------------|----------------|-------------------|-------------------|----------------|--------------|
| | | | | | Temperatură °C | Duritate HB | Temperatură °C | Mediu de răcire*) | Duritate HRC min. | Temperatură °C | Duritate HRC |
| 1 | Rp1 | — | — | 1100...900 | 790...820 | 240...300 | 1250...1300 | u, a, bi. | 60 | 560...580 | 63...66 |
| 2 | Rp2 | RK 50 | — | 1150...900 | 800...830 | 260...300 | 1270...1310 | „ | 60 | 560...580 | 63...66 |
| 3 | Rp3 | RW 180 | — | 1150...900 | 800...830 | 240...300 | 1250...1300 | „ | 60 | 550...580 | 63...66 |
| 4 | Rp4 | RW 90 | — | 1100...900 | 760...810 | 220...270 | 1210...1260 | „ | 60 | 520...540 | 63...66 |
| 5 | Rp5 | RM050 | — | 1100...900 | 800...830 | 220...270 | 1190...1230 | „ | 60 | 540...570 | 63...66 |
| 6 | Rp6 | — | — | 1100...900 | 800...830 | 240...300 | 1220...1260 | „ | 60 | 560...580 | 64...67 |
| 7 | Rp7 | — | — | 1100...900 | 780...810 | 240...300 | 1210...1240 | „ | 60 | 560...570 | 63...66 |
| 8 | Rp8 | — | — | 1100...900 | 760...810 | 240...300 | 1210...1240 | „ | 60 | 550...570 | 63...66 |

*) u = ulei; a = aer; bi. = baie izotermă cu temperatura de 500...550°C.

Tabela 17.38. Indicații de folosire a oțelurilor rapide de seale
(STAS 7332—66)

| Nr. crt. | Denumirea | | Indicații privind utilizarea |
|----------|------------|----------------|---|
| | Marca | Simbolul vechi | |
| 1 2 | Rp1 Rp6 | — | Scule pentru tăiere rapidă, puternic solicitate la uzură și temperatură (prelucrări fără răcire): cuțite de strunjire și tăiere, alezoare, freze, scule pentru tăiat filet și alte scule cărora li se cere și tenacitate ridicată |
| 3 | Rp2 | RK 50 | Scule de așchiere la viteze foarte mari pentru materiale foarte dure: cuțite de strung speciale, freze profilate, tarozii speciali, alezoare cu productivitate ridicată, etc. |
| 4 | Rp3 | RW 180 | Scule de așchiere cu viteze mari pentru materiale cu duritate ridicată (circa 280 HB); cuțite de strung, freze, burghie, taroz, alezoare, broșe, bacuri de filieră, pinză și segmenti de fesătrău |
| 5 | Rp4 | RW 90 | Înlocuitor al oțelului Rp3 în cazuri de solicitări mai reduse, cu randament maxim pentru prelucrări fine |
| 6 | Rp5 | RMo 50 | Înlocuitor pentru oțelul Rp3 cu randament satisfăcător în scule diverse: cuțite de strung și raboteză, burghie, freze etc. |
| 7 | Rp7 | — | Scule pentru prelucrarea materialelor foarte rezistente (peste 100 kgf/mm ²) a aliajelor refractare folosind viteze mari de așchiere; freze elicoidale pentru caneluri, burghie, bacuri de filetat, filiere etc. |
| 8 | Rp8 | — | Oțel economic cu capacitate ridicată de tăiere; prelucrarea materialelor cu rezistență peste 85 kgf/mm ² ; freze, burghie, spirale, alezoare, dinți și segmenti pentru ferăstraie circulare etc. |

Tabela 17.39. Compoziția chimică a unor carburi metalice elaborate în U.R.S.S.

| Marca carburii metalice | Elementele componente, % | | | | |
|-------------------------|--------------------------|---------|-----------|----------|--------|
| | Wolfram | Cobalt | Titan | Molibden | Carbon |
| VK 6 | 86,7—87,3 | 6 —6,5 | — | — | 5,3 |
| VK 8 | 85 —85,6 | 75 —8 | — | — | 5,3 |
| T 15 K 6 | 62 —65,5 | 5,6—6,2 | 11,5—13,5 | 0,8—1,5 | 7,8 |

Principalele lucrări care pot fi executate cu scule cu plăcuțe de carburi metalice sînt menționate în tabela 17.40.

Vitezele de așchiere la strunjire ale cuțitelor cu plăcuțe de carburi metalice sînt de 3—7 ori mai mari decît ale cuțitelor din oțel rapid.

Carburile metalice nu se pot forja și nu suportă tratamente termice. Ele pot fi așchite cu piatra de polizor. În timpul prelucrării

Tabela 17.40. Lucrări ce pot fi executate cu carburile metalice

| Nr. crt. | Natura lucrărilor | Materialul care se prelucurează | | |
|----------|--|--|----------------------|--------------------------------|
| | | Oțel | Fontă | Bronz și alte metale neferoase |
| 1 | I. Lucrări de strunjire Cojire și degroșare, lucrări grele cu șocuri | T 5 K 10 T 5 K 6 VK 86 | VK 12 VK 8 | VK 8 |
| 2 | Degroșare cu adîncime de tăiere variabilă și întreruptă Frezare rapidă a fontei | T 5 K 10 T 5 K 6 VK 6 | VK 8 | VK 8 VK 6 |
| 3 | Degroșare cu adîncimea de tăiere constantă | T 5 K 6 T 5 K 10 | VK 6 VK 8 | VK 6 |
| 4 | Semidegroșare | T 15 K 6 T 5 K 6 | VK 6 VK 8 | VK 6 |
| 5 | Finisare | T 15 K 6 T 21 K 8 | VK 3 VK 6 | VK 3 VK 6 |
| 6 | Retezare și lucrări de profilare | T 5 K 10 TSK 6 VK 8 | | VK 8 VK 6 |
| 7 | Degroșare premergătoare lucrărilor de filetare | T 5 K 6 T 15 K 6 | VK 8 VK 6 | VK 8 VK 6 |
| 8 | Finisare la lucrări de filetare | T 15 K 6 | VK 3 VK 6 VK 8 | VK 3 VK 6 VK 8 |
| 9 | II. Lucrări de rîndelare Degroșare cu încărcare variabilă | — | VK 12 VK 8 | VK 8 |
| 10 | Semidegroșare și finisare | — | VK 8 | VK 8 |
| 11 | III. Lucrări de găurire Găurire cu burghiul și operații de lucru cu scule cu mai multe tășuri | T 5 K 6 T 5 K 10 VK 8 T 15 K 15 | VK 6 VK 8 | VK 6 |

Observații. 1. Cu carbura metalică VK 6 pot fi prelucrate și masele plastice de degroșare pînă la finisare. 2. În fiecare coloană și pentru fiecare fel de lucrare, calitățile carburilor metalice descrise, sînt așezate în ordinea descreșcîndă a celei mai bune folosiri.

de așchiere a metalelor, sculele cu carburi metalice trebuie ferite de șocuri puternice și de variații bruște de temperatură a lichidelor de răcire.

Perfecționarea metodelor de construcție a sculelor așchietoare și folosirea plăcuțelor de carburi metalice au ușurat aplicarea metodelor de așchiere rapidă a metalelor.

În tabela 17.41 este dată corespondența mărcilor de carburi metalice pentru producători diverși.

Tabela 17.41. Corespondența mărcilor de

| Grupa de utilizare ISO și simbolizarea mărcilor în R. S. România | DIN (vechi) | U. R. S. | R. S. Cehoslovacă | R. P. Chineză | R. D. Germană | R. P. Polonă | R. P. Ungară | Aus |
|--|-------------|--------------|-------------------|---------------|---------------|--------------|--------------|-------|
| | | | DIADUR | DIAMOND | HARTHU | BAILDO-NIT | DUREXIT | TIZIT |
| P01.2 | | | | | | | | |
| P01.3 | F2 | | F2 | T30 | HS01 | S03 | | |
| P01.4 | F1 | T30K4 | F1 | T30 | HS02 | S03 | | WF |
| P05 | | T15K6 | | | | | | FM |
| P10 | S1 | T14K8 | S1 | T15 | HS10 | S10 | A | S1T |
| P20 | S2 | | S2 | T14 | HS20 | S20 | B | S2T |
| P25 | | | | | HS25 | | | S25T |
| P30 | S3 | T5K10 | S3 | T5 | HS30 | S30 | C | S3T |
| P40 | | TT7K12 | S4 | | HS40 | | C | S4T |
| | | T5K12V | | | | | | |
| P50 | | | S5 | | HS50 | | | S5T |
| M10 | | | U1 | | HU10 | | | U1 |
| M20 | | | | | HU10 | | | U2 |
| M30 | | | U2 | | HU30 | | | U3 |
| M40 | | | | | HU40 | | | A |
| K01 | H2 | VK2; VK3M | | | HG01 | H05 | | H3 |
| K05 | | | H2 | | | | | H2 |
| K10 | H1 | VK6M | G1H1 | G3 | HG10 | H10 | K | H1 |
| K15 | | | G1.1 | | HG15 | | | |
| K20 | G1 | VK6M | G2 | | HG20 | H20 | N | G1w |
| K30 | G1 | VK4 VK6 | | C6 | HG30 | | | G2A |
| K40 | G2 | VK8 | | G8 | HG40 | H40 | | G2w |

3.3.6. Materiale ceramice. Materialele ceramice, folosite la confecționarea plăcilor pentru cuțitele de strung, raboteză și morteză, sint oxidul de aluminiu, novoculitul natural, cuarțul cristalin, coroxul și carbura de bor.

Dintre acestea s-a stabilit experimental că cele mai bune calități le are oxidul de aluminiu, în ceea ce privește rezistența la uzură și durata de așchiere la temperaturi înalte.

Dintre materialele ceramice naturale cercetate, novoculitul natural este acela care are duritatea mai mare.

În tabela 17.42 sint indicate compoziția și densitatea unor materiale ceramice pentru scule așchietoare produse în diferite țări.

carburi metalice

| tria | Franța | | | R. F. a Germaniei | | | Italia | Suedia | |
|----------|---------|---------|---------|-------------------|------------------|----------------------|---------------------|-----------------|-----------------------|
| BÖHLERIT | STELRAM | UGICARB | ALPAMET | WIDIA | DURIA (K. Kempf) | SARA-MANT (Rochling) | VANDURIT (Vanzetti) | SECO (Fagersta) | CORO MANT (Sandviken) |
| SB02 | | | | TT02 | | VS02 | | | |
| SB03 | SO | FM | | TT03 | | | | | |
| | | | | TT04 | SD02 | | SC | FN | F02 |
| SB05 | | | xL1 | | SD05 | VS05 | | | |
| SB10 | S1 | S1T | xL2 | TT10 | SD10 | VS20 | SS1 | S1 | S1P |
| SB20 | S2 | S2T | xL3 | TT20 | SD20 | VS20 | S2K | S2 | S2 |
| SB25 | | | xL35 | TT25 | SD25 | VS25 | | | |
| SB30 | S3 | S3T | xL4 | TT30 | SD30 | VS30 | S3K | S5 | S4 |
| SB40 | S4 | | xL5 | SD40 | VS40 | S4K | S5 | S6 | |
| SB50 | S6 | | | TT50 | SD50 | VS50 | S6K | S7 | S8 |
| EB10 | GS0 | U1 | UA | AT10 | AD10 | VU10 | US | SU41 | |
| EB20 | GS1 | U2 | | AT20 | AD20 | VU20 | UA | | |
| EB30 | GS2x | | | AT30 | | VU30 | UN | SU4 | |
| EB40 | GS2 | | | AT40 | AD40 | VU40 | S4K | | R4A |
| HB03 | H3 | H3 | | TH03 | HD03 | VH03 | KO | H02 | H05 |
| HB05 | H2 | | H2 | TH05 | TH05 | HD05 | VH05 | | |
| HB10 | H1 | | H1 | TH10 | HD10 | VH10 | K2 | H13 | H1P |
| | | | NS | | | | | | |
| HB20 | G1 | G0, G1 | N | TH20 | HD20 | VH20 | HK | H20 | H20 |
| HB30 | G2 | | NC | TH30 | HD30 | VH30 | HK | H30 | |
| HB40 | G3 | | G | TH30 | HD40 | VH40 | CHOC | | |

Tabela 17.42. Compoziția și densitatea unor materiale ceramice

| Grupa | Denumirea | Producător | Compoziția, % | | | | Densitatea g/cm³ |
|--|-----------|-------------------|--------------------------------|-----|----|-----|------------------|
| | | | Al ₂ O ₃ | C | W | Ti | |
| Oxizi den aluminiu | TM-332 | U.R.S.S. | 100 | — | — | — | 3,95 |
| | Ceroc | Franța | 100 | — | — | — | 3,9 |
| | S P K | R. F. a Germaniei | 100 | — | — | — | 3,9 |
| | Stupalox | S.U.A. | 100 | — | — | — | 3,6 |
| Oxizi den de aluminiu + carburi metalice | H20 | R.D.G. | 75 | 3,2 | 3 | 9 | 4,5 |
| | Widalox | R. F. a Germaniei | 91 | 0,5 | — | 3,5 | 3,9 |
| | Realoxé | Suedia | 45 | 3,2 | 50 | — | 6,9 |

4. METALE ȘI ALIAJE NEFEROASE

4.1. METALE NEFEROASE

Metalele, în afară de fier, sînt metale neferoase. Metalele care au greutatea specifică mai mică decît $3,8 \text{ kgf/dm}^3$ se numesc metale ușoare, iar cele cu greutatea specifică mai mare decît $3,8 \text{ kgf/dm}^3$ se consideră ca metale grele.

4.1.1. Cuprul (Cu). Cuprul este de culoare roșiatică, cu un luciu sclipitor.

Este foarte maleabil și ductil, putîndu-se trage în foi subțiri. Conduce bine căldura și electricitatea. Se topește la 1083°C .

Cuprul se fabrică în diferite calități:

- Cupru electrolitic (pentru conductori electrice și aliaje).
- Cupru rafinat (pentru bare, table, benzi și țevi, precum și pentru piese turnate).

Cuprul se folosește și sub formă de aliaje cu cositorul (bronz), cu zincul (alamă), cu nichelul, cu aluminiul, cu plumbul etc.

4.1.2. Aluminiul (Al). Aluminiul are o culoare argintie și este foarte moale. Are greutatea specifică mică ($2,7 \text{ kgf/dm}^3$). Se topește la 657°C . Are conductivitatea electrică foarte mare (circa 60 % din aceea a cuprului). Este nemagnetic și se prelucurează ușor prin așchiere și presare.

Aluminiul se folosește la confecționarea cablurilor electrice, la construcția avioanelor și autovehiculelor, la fabricarea obiectelor casnice etc.

Prin difuziunea aluminiului la temperaturi înalte în stratul superficial de la suprafața pieselor din metale diferite — operație numită *alitare* — acestea sînt protejate împotriva agenților corosivi.

Amestecul *termil* compus din praf de aluminiu și oxid de fier este folosit la sudarea diferitelor piese metalice (procedeul aluminotermiei).

Aluminiul se mai folosește la elaborarea diferitelor aliaje (de exemplu: Al-Cu-Mg, Al-Cu-Ni, Al-Cu, Al-Mg-Si, Al-Mg-Al-Mg-Mn, Al-Si, Al-Mn).

4.1.3. Zincul (Zn). Zincul este un metal de culoare albă cu nuanță albastruie. Se topește la 419°C . Este casant pînă la temperatura de 100° și peste temperatura de 150° ; între aceste temperaturi este maleabil și poate fi laminat în foi.

Deși se oxidează, zincul se folosește la zincarea țevelor și sîrmelor de oțel, deoarece stratul de oxid cu care acestea se acoperă împiedică continuarea coroziunii.

Zincul se mai folosește la elaborarea aliajelor neferoase (Cu-Zn, Zn-Al, Zn-Al-Cu), dintre care cea mai importantă este alama (aliaj cupru-zinc).

4.1.4. Cositorul (Sn). Cositorul are culoarea albă-argintie cu o nuanță puțin gălbuie. Se topește la 232°C . Este maleabil și ductil putînd fi laminat în foi foarte subțiri. Cositorul nu este atacat de agenți corosivi atmosferici și de acizii organici diluați; este atacat puternic de baze și de acizii sulfurici și azotici.

Cositorul se folosește la acoperirea cu un strat subțire a tablelor de oțel (tablă cositorită) pentru a le feri de agenți corosivi.

Aliajele cele mai importante ale cositorului sînt bronzurile (Cu-Sn), aliajele pentru lagăre și aliajele pentru lipit (Sn-Pb).

4.1.5. Plumbul (Pb). Plumbul are un aspect lucios cu o culoare cenușie-albastruie. Plumbul pur este foarte moale și se topește la 326°C . Este rezistent la acțiunea corosivă a multor acizi și în special a acidului sulfuric, din care cauză este mult folosit în industria acidului sulfuric și la fabricarea acumulatorilor electrice. Plumbul se poate lamina în table.

Deseori este folosit în aliaje cu antimoniu, cositor (aliaj pentru lipit) etc.

4.1.6. Magneziul (Mg). Magneziul este un metal lucios, de culoare albă argintie. Are densitatea 1,75 și se topește la 651°C . Se oxidează foarte ușor; încălzit, se aprinde și arde cu o flacără strălucitoare.

Magneziul se folosește în metalurgie pentru reducerea oxizilor metalici și la elaborarea fontelor nodulare.

Se mai utilizează în diferite aliaje și în special cu aluminiul (duralumin, electron), în industria de avioane.

4.1.7. Antimoniul (Sb). Antimoniul are luciu metalic viu și este foarte casant. Se folosește numai în aliaje, dintre care mai importante sînt aliajele cu punct de topire coborît, aliajele tipografice (Sb-Sn-Pb) și aliajele antifricțiune (Sb-Pb-Cu-Sn).

4.2. ALIAJE NEFEROASE

Aliaje neferoase sînt toate aliajele care nu conțin fier, sau în componența cărora fierul nu intră în proporție mai mare de 5%.

Aliajele a căror greutate specifică este mai mică decît $4,5 \text{ kgf/dm}^3$ se numesc aliaje neferoase ușoare, iar cele cu greutatea specifică mai mare decît $4,5 \text{ kgf/dm}^3$ se numesc aliaje neferoase grele.

4.2.1. Aliaje cupru-cositor (STAS 197/1-75 și 197/2-76). Aceste aliaje sînt numite bronzuri; în compoziția unor asemenea aliaje se poate introduce în anumite proporții și zinc și plumb. În tabela 17.43 sînt redate caracteristicile mecanice ale bronzurilor cu cositor turnat în piese.

Tabela 17.43. Caracteristicile mecanice ale bronzului cu staniu turnat în piese (STAS 197/1-75)

| Grupa | Denumirea | Simbol | Rezistența la tracțiune, R_m , kgf/mm ² | Alungirea relativă la rupere, A , % | Duritatea Brinell, HB 10/100/30 | Intrebunătățiri (informative) |
|--|----------------------------------|-----------|--|---------------------------------------|---------------------------------|---|
| Bronz cu staniu | Bronz pentru turnătorie 14 | Bz 14 T | 20 | 2 | 85 | Elemente supuse la uzură. Lagăre pentru mașini unelte. Organe de mașini pentru aparate hidraulice pentru presiuni mari fără șocuri. |
| | Bronz pentru turnătorie 12 | Bz 12 T | 20 | 6 | 80 | Mei și roți melcate solicitate puternic. Puiițe de ghidare axe, lucrând sub sarcini mari |
| | Bronz pentru turnătorie 10 | Bz 10 T | 20 | 10 | 60 | Intrebunătățiri diverse în construcții de mașini, de aparate și armături speciale |
| Bronzuri cu staniu-zinc și staniu-zinc-plumb | Bronz pentru turnătorie Cu Zn 10 | Bz 10 ZnT | 20 | 10 | 60 | Armături de presiune |
| | Bronz pentru turnătorie Cu Zn 9 | Bz 9 ZnT | 20 | 8 | 60 | Lucrează în condiții speciale |
| | Bronz pentru turnătorie Cu Zn 6 | Bz 6 ZnT | 15 | 8 | 60 | Lagăre pentru material rulant și armături de presiune |
| | Bronz pentru turnătorie Cu Zn 5 | Bz 5 ZnT | 15 | 5 | 55 | Armături pentru material rulant. Piese care lucrează la frecare și lagăre ușor sollicitate |
| | Bronz pentru turnătorie Cu Zn 4 | Bz 4 ZnT | 15 | 5 | 55 | Piese care lucrează la frecare și lagăre ușor sollicitate |
| | Bronz pentru turnătorie Cu Zn 3 | Bz 3 Zn T | 18 | 8 | 55 | Armături pentru instalații de apă și abur, până la 25 kgf/cm ² |

Observații. 1. Caracteristicile mecanice se referă la piesele turnate în amestec de formare, fără tratament termic; pentru piesele turnate în amestec de formare, tratate termic ca și pentru cele turnate în cochile, netratate termic, caracteristicile mecanice se stabilesc de comun acord. 2. Pentru elaborarea și turnarea bronzurilor Bz 14 T, Bz 12 T, Bz 10 T, Bz 10 ZnT, Bz 9 ZnT, Bz 6 ZnT, Bz 5 ZnT, Bz 4 ZnT și Bz 3 ZnT, se pot folosi, în afară de materialele indicate mai sus, și materiale secundar de Cu, Sn și bronzuri cu staniu de compoziție corespunzătoare. 3. Pentru elaborarea și turnarea bronzurilor Bz 9 ZnT, Bz 6 ZnT, Bz 5 ZnT, Bz 4 ZnT și Bz 3 ZnT, se pot folosi, în afară de materialele indicate mai sus, și materiale secundar de Cu, Sn și bronzuri cu staniu, staniu-zinc-plumb, staniu-zinc etc.

Simbolul cuprinde literele Bz și un număr care indică conținutul procentual de cositor;

- urmat de litera T (turnat) pentru aliajele Cu-Sn;
- urmat de ZnT pentru aliajele Cu-Sn-Zn și Cu-Sn-Zn-Pb.

4.2.2. Aliaje cupru-aluminiu (STAS 198/1-74). Aliajele de cupru cu 7 ... 11% aluminiu se numesc bronzuri de aluminiu. Cu sau fără adaosuri de îmbunătățire: Fe, Mn, și Ni, bronzul cu aluminiu se toarnă în blocuri și piese.

Simbolul mărcii cuprinde literele BzAl urmate de conținutul mediu al aluminiului, simbolurile elementelor de aliere și litera T (turnat). În tabela 17.44 sînt arătate caracteristicile mecanice și indicații de utilizare pentru diferitele mărci ale bronzului cu aluminiu.

4.2.3. Aliaje cupru-zinc (STAS 95-75). Aliajele cupru-zinc numite și alame se elaborează în trei tipuri: fără plumb, cu plumb, și speciale. Clasificarea aliajelor Cu-Zn cu indicarea formei de livrare este redată în tabela 17.45.

4.2.4. Aliaje de aluminiu (STAS 201/2-71). Clasificarea aliajelor de aluminiu se face după felul turnării, elementul principal de aliere și compoziția chimică. Caracteristicile mecanice ale acestor aliaje sînt redată în tabela 17.46.

Mărcile aliajelor de aluminiu se simbolizează cu literele ATN pentru grupa de aliaje turnate în amestec de formare, ATC pentru aliaje turnate în cochilă și ATP pentru grupa de aliaje turnate sub presiune, urmate de simbolurile chimice ale elementelor componente cu conținutul mediu în procente al fiecăruia, în ordinea descrescătoare a acestora. Face excepție de la această regulă aliajul provenit din recuperări, ATO, la care nu se precizează elementele componente.

Duraluminiul, numit și *dural* conține 92 ... 96% aluminiu, 3,5 ... 4,5% cupru, 0,4 ... 0,5% magneziu și 0,3 ... 0,75% mangan. Cînd se mai adaugă 0,5% nichel se obține *duraluminiul special*. Ambele aliaje se laminează ușor, iar prin călire își măresc foarte mult duritatea. Datorită acestor calități și fiind și ușoare se folosesc în industria de automobile și avioane.

Siluminul este un aliaj al aluminiului cu siliciu și este corespunzător calității AT Si 12. Pieseile turnate din silumin se caracterizează prin duritate mare și contracție mică (reducere mică a volumului după turnare). Se utilizează ca materie primă în industria de automobile și avioane.

Electronul are următoarea compoziție chimică: 4% aluminiu, 3% zinc, 0,2 ... 0,5% mangan și restul magneziu. Este un aliaj foarte ușor și se prelucerează foarte bine. Se folosește în industria aeronautică. Dacă la prelucrare se folosesc viteze mari de așchiere, așchilele mărunte se aprind cu ușurință. Focul se stinge cu nisip, evitîndu-se apa.

Tabela 17.44. Caracteristicile mecanice ale bronzului cu aluminiu turnat în piese (STAS 198/1-74)

| Denumirea | Marca | Încercarea la tracțiune | | Duritatea Brinell HB _{10/100/30} | Indicații de utilizare |
|--|--------------|--|--|---|--|
| | | Rezistența de rupere la tracțiune kgf/mm ² min. | Alungirea relativă la rupere δ ₅ % min. | | |
| Bronz cu aluminiu obișnuit (binar) pentru turnătorie | BzAl 9 T | 35 | 15 | 80 | Rezistent la coroziune și la acțiunea apei de mare. Piese turnate pentru industria chimică și alimentară; armături |
| Bronz cu aluminiu cu adaos de fier pentru turnătorie | BzAl 8 FeT | 45 | 18 | 100 | Rezistent la coroziune și la acțiunea apei de mare. Piese turnate pentru locomotive; armături |
| | BzAl 10 FeT | 50 | 13 | 115 | Rezistent la coroziune și la acțiunea apei de mare. Piese turnate pentru construcții navale, pentru industria chimică și alimentară în special pentru armături rezistente la acizi și având rezistență mecanică mare |
| Bronz cu aluminiu cu adaos de fier și nichel pentru turnătorie | BzAl 9 FeNiT | 50 | 15 | 120 | Rezistență mecanică ridicată și rezistență bună la acțiunea apei de mare și a acizilor. Piese turnate pentru industria chimică, alimentară, petrolieră, minieră și de construcții navale; roți dințate, melci și roți melcate, armături pentru a'ur supraîncălzit, piese de uzură, saboți de alunecare; elice navale |
| Bronz cu aluminiu cu adaos de mangan pentru turnătorie | BzAl 10 MnT | 45 | 15 | 100 | Rezistența are coroziune și apă de mari. Armături mecanice roți dințate, melci și roți melcate; piese pentru industria chimică |

Tabela 17.44 (continuare)

| Denumirea | Marca | Încercarea la tracțiune | | Duritatea Brinell HB _{10/100/50} | Indicații de utilizare |
|--|--------------|--|--|---|---|
| | | Rezistența de rupere la tracțiune kgf/mm ² min. | Alungirea relativă la rupere δ ₅ % min. | | |
| Bronz cu aluminiu cu adaos de mangan și nichel pentru turnătorie | BzAl 8 MnNiT | 42 | 20 | 105 | Material tenace cu mare rezistență la uzură și la coroziunea apei de mare, precum și rezistență bună la cavitație. Piese pentru construcții navale, construcții de mașini în industria chimică și petrolieră; elice de vapoare palet de turbină, armături |

Tabela 17.45. Aliajele cupru-zinc (alamele) și formele recomandabile de livrare (STAS 95-75)

| Tipul alamelor | Marca aliajului | | Plăci table | Benzi | Baro | Profile extrudate | Țevi de uz general | Sîrme | Piese forjate |
|----------------|------------------------|--------|-------------|-------|------|-------------------|--------------------|-------|---------------|
| | nouă | veche | | | | | | | |
| Fără plumb | Cu Zn 5 | Am 95 | x | x | | | (x) | x | |
| | Cu Zn 10 | Am 90 | x | x | (x) | | (x) | x | |
| | Cu Zn 15 | Am 85 | x | x | x | | x | x | |
| | Cu Zn 20 | Am 80 | x | x | (x) | | (x) | x | |
| | Cu Zn 28 | Am 72 | x | x | (x) | | (x) | x | |
| | Cu Zn 30 | Am 70 | x | x | (x) | | x | x | |
| | Cu Zn 36 | Am 63 | x | x | x | (x) | x | x | |
| | Cu Zn 37 | Am 63 | x | x | x | (x) | x | x | |
| Cu plumb | Cu Zn 40 | Am 60 | x | x | x | x | x | (x) | (x) |
| | Cu Zn 36 Pb 1 | — | (x) | x | x | | (x) | x | |
| | Cu Zn 39 Pb 2 | Am 58 | x | x | x | x | (x) | (x) | x |
| | Cu Zn 39 Pb 3 | — | | | x | x | (x) | (x) | (x) |
| | Cu Zn 40 Pb 1 | Am 60 | x | x | x | | | x | |
| Speciale | Cu Zn 43 Pb 2 | — | | | | x | | | (x) |
| | Cu Zn 28 Sn 1 | AmXSn | x | | | | x | | |
| | Cu Zn 31 Sr | — | | x | x | | x | | |
| | Cu Zn 36 Sb | AmXSb | x | | | | x | | |
| | Cu Zn 36 Al MnFe | AmX2 | | | x | x | | | x |
| | Cu Zn 38 Pb 2 Mn2 | AmX3 | | | x | x | | | x |
| | Cu Zn 33 MnAl | AmX1 | | | | | | | |
| | Cu Zn 39 Al 14 Mn 3 Fe | — | | | | | | | |
| | Cu Zn 39 Ni 3 | Am arc | | | x | | | x | x |
| | Cu Zn 40 Mn | AmX4 | | | x | x | | | x |
| | Cu Zn 42 Mn 3 Al | — | | | | | | | x |

x Se livrează în mod curent.

(x) Se livrează pe bază de înțelegere între producător și beneficiar.

Tabela 17.46 (continuare)

| Marca aliajului | Starea de livrare | Caracteristici mecanice min. | | | | |
|--------------------|-------------------------|---|---|-------------------------------|--------------------------------------|--|
| | | Limita de curgere R _g daN/mm ² | Rezistența la tracți- une R _m daN/mm ² | Alungirea A ₅ % | Duritatea Brinell HB 10/100/30 | |
| ATCSi7Mg | M TF | 9 18 | 16 22 | 2 1 | 60 80 | |
| ATPSi7MgFe | M | 9 | 16 | 1 | 50 | |
| ATPSi8Cu3 | M | 14 | 20 | 0,5 | 70 | |
| ATNSi9MgMn | TF | 17 | 24 | 2,5 | 100 | |
| ATCSi9MgMn | TF | 18 | 26 | 1 | 110 | |
| ATNSi10Mg | M TF | 8 16 | 15 20 | 2 1 | 50 75 | |
| ATCSi10Mg | M TF | 9 15 | 16 32 | 2 1 | 60 80 | |
| ATPSi10MgFe | M | 12 | 20 | 1 | 70 | |
| ATCSi10Cu3Mg | M TE TF | 12 17 22 | 15 20 24 | 1 0,5 0,3 | 85 110 110 | |
| ATPSi10Cu3MgFe | M | 17 | 20 | 0,5 | 70 | |
| ATNSi12 | M | 7 | 16 | 2 | 45 | |
| ATCSi12 | M | 8 | 18 | 3 | 50 | |

Tabela 17.46. Caracteristicile mecanice ale aliajelor de aluminiu turnate în piese (STAS 201/2-71)

| Marca aliajului | Starea de livrare | Caracteristici mecanice min. | | | | |
|--|-------------------|--|--|----------------------------------|--------------------------------------|--|
| | | Limita de curgere R _g daN/mm ² | Rezistența la tracți- une R _m daN/mm ² | Alungirea A ₅ % | Duritatea Brinell HB 10/100/30 | |
| I. Aliaje cu element principal de aliere-cuțru | | | | | | |
| ATNCu4Si | M | 8 | 11 | 6 | 50 | |
| | TB | 14 | 19 | 6 | 55 | |
| | TF | 19 | 24 | 2 | 75 | |
| ATCCu4Ti | TF | 19 | 29 | 3 | 95 | |
| | TF | 17 | 27 | 5 | 85 | |
| ATCu | TA | 21 | 32 | 7 | 95 | |
| | TF | 17 | 31 | 8 | 90 | |
| ATNCu4MgTi | TA | 20 | 25 | 1 | 85 | |
| | TF | 21 | 27 | 3 | 90 | |
| ATCCu4MgTi | TA | 21 | 27 | 8 | 90 | |
| | TF | 23 | 29 | 3 | 95 | |
| ATNCu4Ni2Mg2 | M | 12 | 15 | 0,5 | 70 | |
| | TF | 15 | 22 | 0,5 | 85 | |
| ATCCu4Ni2Mg2 | M | 13 | 17 | 0,5 | 75 | |
| | TB | 18 | 24 | 0,8 | 95 | |
| | TF | 18 | 26 | 0,3 | 70 | |
| ATNCu8 | M | 7 | 12 | 1 | 50 | |
| ATCCu8 | M | 8 | 13 | 1 | 55 | |

| | | | | | |
|---------------|--------------|----------------|----------------|-------------|------------------|
| ATPSi12Fe | M | 12 | 20 | 1 | 60 |
| ATPSi12MgFe | M | 18 | 24 | 0,5 | 65 |
| ATNSi12MgMnTi | M | 8 | 11 | 2 | 50 |
| ATCSi12MgMnTi | M | 9 | 12 | 2 | 50 |
| ATPSi12MgMnTi | M | 10 | 15 | 1 | 60 |
| ATNSi12CuMgNi | M TE | 12 14 | 17 18 | 1 1 | 60 70 |
| ATCSi12CuMgNi | M O TE | 12 14 16 | 14 18 20 | 1 — — | 70 85 100 |
| ATPSi12CuMgNi | M | 16 | 18 | — | 100 |
| ATNSi18CuMgNi | M TE | 8 14 | 12 17 | — — | 80 95 |
| ATCSi18CuMgNi | M O TE | 10 14 16 | 15 18 20 | — — — | 90 110 110 |
| ATPSi18CuMgNi | M | 16 | 20 | — | 100 |

III. Aliaje cu element principal de aliere — magneziu

| | | | | | |
|----------|---------|---------|----------|--------|----------|
| ATNMg3Si | M TF | 7 10 | 13 18 | 3 2 | 45 60 |
| ATCMg3Si | M TF | 7 11 | 14 21 | 4 3 | 50 65 |
| ATNMg6 | M TB | 9 11 | 15 17 | 2 3 | 50 70 |

II. Aliaje cu element principal de aliere — siliciu

| | | | | | |
|------------|---------------|----------------|----------------|---------------|------------------|
| ATNCu10Mg | M TF | 12 15 | 14 17 | 1 0,5 | 70 80 100 |
| ATNCu10Mg | M O TF | 13 14 23 | 16 17 27 | 1 1 0,5 | 75 110 125 |
| ATNSi2Mg | TF | 19 | 21 | 1 | 80 |
| ATCSi2Mg | TF | 19 | 24 | 1 | 90 |
| ATNSi4Mg | M TF | 7 15 | 13 19 | 1 1 | 50 80 |
| ATCSi4Mg | M TF | 8 17 | 13 24 | 2 1 | 55 85 |
| ATPSi5MgFe | M | 10 | 15 | 1 | 55 |
| ATNSi5Cu1 | M TB TF | 9 16 15 | 15 20 19 | 1 0,5 1 | 65 80 75 |
| ATCSi5Cu1 | M TB TF | 10 19 16 | 16 22 20 | 1 0,5 1 | 50 85 80 |
| ATPSiCu1 | M | 12 | 18 | 1 | 55 |
| ATNSi5Cu3 | M TF | 9 12 | 13 21 | 1 2 | 45 60 |
| ATCSi5Cu3 | M TF | 9 15 | 18 26 | 2 2 | 50 65 |
| ATPSi5Cu3 | M | 12 | 18 | 1 | 55 |
| ATNSi6Cu4 | M | 9 | 15 | 1 | 60 |
| ATCSi6Cu4 | M | 11 | 17 | 1 | 70 |
| ATPSi6Cu4 | M | 14 | 20 | 0,5 | 70 |
| ATNSi7Mg | M TF | 7 17 | 13 20 | 2 1 | 55 75 |

Tabela 17.46 (continuare)

| Marca aliajului | Starea de livrare | Caracteristici mecanice min. | | | | |
|--------------------|-------------------------|---|--|----------------------------------|---------------------------------------|--|
| | | Limita de curgere convențională R _{0.2} daN/mm ² | Rezistența de rupere la tracți- une R _m daN/mm ² | Alungirea A ₅ % | Duritatea Brinell HB 10/1000/30 | |
| ATNZn10Si7 | M | 12 | 19 | 2 | 75 | |
| ATCZn10Si7 | M | 16 | 24 | 1 | 85 | |
| ATPZn10Si7Fe | M | 10 | 17 | 1 | 60 | |

*) Valorile $R_{0.2}$ sînt informative. Simbolurile stării de livrare au următoarele semnificații: M — fără tratament termic; O — tratament de recoacere în scopul obținerii stabilității dimensionale sau rezistenței minime; TA — tratament de îmbătrînire naturală pentru obținerea durificării structurale; TB — tratament de călire în scopul punerii în soluție urmat de îmbătrînire naturală; TE — tratament de îmbătrînire artificială pentru durificare artificială; tratamentul poate fi aplicat numai pieselor livrate în stare TA; TF — tratament de călire în scopul punerii în soluție urmat de îmbătrînire artificială. Tratamentul poate fi aplicat numai pieselor în stare TB.

Tabela 17.46 (continuare)

| Marca aliajului | Starea de livrare | Caracteristici mecanice min. | | | | |
|--------------------|-------------------------|--|--|-------------------------|---------------------------------------|--|
| | | Limita de curgere convențională $R_{0.2}$ daN/mm ² | Rezistență de rupere la tracți- une R_m daN/mm ² | Alungirea A_5 % | Duritatea Brinell HB 10/1000/30 | |
| ATCMg6 | M | 10 | 15 | 2 | 55 | |
| | TB | 12 | 17 | 1 | 60 | |
| ATPMg6Fe | M | 9 | 17 | 1 | 60 | |
| ATPMg9Si | M | 12 | 18 | 1 | 70 | |
| ATNMg10 | M | 9 | 15 | 1 | 55 | |
| | O | 12 | 20 | 6 | 75 | |
| | TB | 14 | 24 | 4 | 75 | |
| ATCMg10 | M | 10 | 20 | 6 | 70 | |
| ATPMg10Fe | M | 8 | 18 | 1 | 70 | |

V. Aliaje cu element principal de aliere — zinc

| | | | | | |
|----------|----|----|----|---|----|
| ATNZn5Mg | TF | 12 | 18 | 5 | 60 |
| ATCZn5Mg | TF | 12 | 18 | 5 | 65 |

TRATAMENTE TERMICE ȘI TERMOCHIMICE ALE OȚELURILOR

1. GENERALITĂȚI

1.1. STRUCTURA METALELOR ȘI ALIAJELOR

Toate metalele și aliajele metalice sînt constituite din cristale de diferite forme și dimensiuni: aceste cristale sînt de obicei vizibile numai cu ajutorul microscopului metalografic.

Se numește structura unui metal sau aliaj forma, mărimea și modul de aranjare a cristalelor din care este compus.

Structura unui aliaj depinde, în general, de:

- compoziția sa chimică;
- gradul de puritate al metalelor ce-l compun;
- viteza de răcire a aliajului în cursul elaborării;
- tratamentele termice și prelucrările mecanice suferite.

Cunoașterea structurii cristaline ajută la stabilirea proprietăților metalului sau aliajului respectiv. Astfel, în mod obișnuit, cu cît cristalele unui aliaj sînt mai mici, cu atît și calitățile aliajelor sînt mai bune și invers.

1.2. TEMPERATURI CRITICE ȘI ZONE DE TRANSFORMARE

La încălzirea și la răcirea unui oțel carbon se pot constata anumite micșorări ale vitezei cu care crește sau scade temperatura la încălzire, respectiv la răcire. Valorile temperaturilor la care au loc aceste micșorări și durata acestor micșorări în timp depind de conținutul în carbon al aliajului și de viteza de răcire. Aceasta arată că în constituția oțelului au loc transformări, care se fac cu schimb de căldură și anume: cu absorbție de căldură la încălzire și cu cedare de căldură la răcire.

Cunoașterea acestor transformări este foarte importantă pentru cunoașterea structurii și deci a proprietăților oțelurilor.

Dacă într-un sistem de coordonate: temperatură-conținut de carbon se trec în ordonată temperaturile punctelor respective — denumite și *puncte critice*, *puncte de transformare*, *temperaturi critice* — în funcție de conținutul procentual în carbon al oțelului și dacă aceste

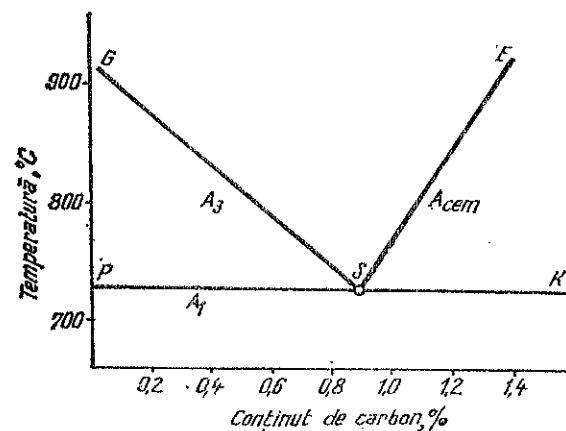


Fig. 18.1.

Intervalele de temperaturi cuprinse între punctele A_1 și A_3 și cele cuprinse între A_1 și A_{cem} se numesc *intervale* sau *zone de transformare* sau *critice*.

Pentru deosebire, punctele critice din timpul încălzirii se notează cu indicele c , iar cele din timpul răcirii cu r . Datorită fenomenului denumit *histeresis termic*, punctele critice la răcire A_r sînt mai coborîte decît cele de încălzire A_c .

Cu aceste simboluri, punctele critice pentru tratamente termice sînt următoarele:

- A_{c1} — temperatura la care începe să se formeze austenita în timpul încălzirii;
- A_{c3} — temperatura la care ferita s-a transformat complet în austenită în timpul încălzirii (pentru oțeluri hipoeutectoide ¹⁾);
- A_{cem} — temperatura din cursul încălzirii la care cementita secundară se dizolvă complet în austenită (pentru oțelurile hipereutectoide ²⁾);
- A_{r3} — temperatura din cursul răcirii la care austenita începe să se transforme în ferită;

¹⁾ Oțel hipoeutectoid; cu conținut de carbon mai mic decît al oțelului eutectoid.

²⁾ Oțel hipereutectoid; cu conținut de carbon mai mare decît al oțelului eutectoid.

A_{r1} — temperatura din cursul răcirii, la care transformarea austenitei eutectoide în perlită este completă;

$A_{r,cem}$ — temperatura din cursul răcirii, la care începe separarea cementitei în oțelurile hipereutectoide.

La oțelurile eutectoide (cu 0,9% C în cazul oțelurilor carbon), formarea austenitei la încălzire și restransformarea ei în perlită (ferită plus cementită) au loc la un punct fix de temperatură corespunzător punctului S din diagramă (punct eutectoid).

Pentru oțelurile hipoeutectoide, în cursul încălzirii progresive de-a lungul zonei de transformare, ferita se transformă treptat în austenită, astfel încît la atingerea temperaturii A_{c3} transformarea este completă; la oțelurile hipereutectoide, cementita se transformă treptat în austenită.

Elementele de aliere pot aduce modificări importante zonelor de transformare.

2. TEHNOLOGIA TRATAMENTELOR OȚELURILOR DE CONSTRUCȚIE ȘI DE SCULE

Majoritatea sculelor și organelor de mașini din oțel, care lucrează în condiții de lucru speciale, sînt supuse unor tratamente speciale și anume tratamente termice sau termochimice.

Pentru terminologia și definițiile principalelor noțiuni care intervin în tratamentele termice este elaborat standardul 2500-66.

2.1. TRATAMENTE TERMICE

Prin tratamentul termic al oțelului se înțelege modificarea structurii acestuia sub acțiunea unei succesiuni de operații, constînd din încălziri și răciri în condiții determinate, cu scopul de a se realiza pentru produsele respective, anumite proprietăți fizico-mecanice.

Schimbarea proprietăților fizice și mecanice prin tratamente termice se datorește transformărilor pe care le pot suferi unii constituenți ai materialelor metalice, apariției de noi constituenți, dispariției altora sau modificării proprietăților relative ale constituenților prezenți. Rezultă deci că se pot trata termic numai materialele care au cel puțin doi constituenți la temperatura obișnuită și care pot suferi transformări în stare solidă în cursul proceselor de încălzire și răcire.

Diferitele procese ale tratamentului termic se deosebesc între ele prin:

- viteza de încălzire;
- temperatura de încălzire maximă;
- timpul de menținere la temperatura maximă;
- viteza de răcire.

Instalațiile (cuptoare, băi) pentru efectuarea tratamentelor termice sînt standardizate prin STAS 3500-62.

În funcție de scopul tratamentului termic și modalitatea realizării lui, se deosebesc următoarele procese de tratament termic: recoacerea, călirea, revenirea și îmbătrînirea.

2.1.1. Recoacerea. Recoacerea este un tratament termic care constă în încălzirea pînă la o temperatură anumită, menținerea la această temperatură urmată de o răcire cu o anumită viteză. Prin acest tratament se urmărește realizarea unui anumit echilibru fizico-chimic sau structural. Ea poate avea ca scop obținerea unui din următoarele rezultate:

- înmuiere;
- ușurarea prelucrării prin așchiere;
- obținerea unor anumite proprietăți de prelucrare la rece prin deformare;
- obținerea unei anumite structuri;
- înlăturarea tensiunilor interne;
- omogenizarea structurii;
- recristalizarea.

După cum se urmărește obținerea unuia dintre aceste rezultate, deosebim următoarele recoaceri:

a. Recoacere completă. La această recoacere piesele sînt încălzite la o temperatură cu 30—50°C deasupra punctului A_{c3} și, după ce au fost menținute un timp suficient la această temperatură, sînt lăsate să se răcească încet. Răcirea se face de obicei în cuptor, și uneori în medii care pot asigura o viteză mică de răcire.

b. Recoacerea de normalizare se deosebește de recoacerea completă prin faptul că implică încălzirea la o temperatură superioară domeniului de transformare, urmată de o răcire în aer liniștit. Normalizarea se aplică pieselor din oțel aliat pentru construcții cu conținut mic și mijlociu de carbon, forjate și matrițate, cum și pieselor cementate, cu scopul de a modifica mărimea grăunților, de a uniformiza structura și a îmbunătăți proprietățile mecanice.

În urma recoacerii de normalizare piesele se prelucrează mai ușor și se obține o rezistență mai mare decît în urma recoacerii complete.

c. Recoacerea de omogenizare se efectuează printr-o încălzire a pieselor la o temperatură cu 150—250°C deasupra intervalului de transformare, menținere îndelungată la această temperatură, urmată de o răcire lentă (în cuptor, cu o anumită viteză). Acest tratament se aplică în special pieselor de oțel turnat, cu scopul de a reduce segregările și a micșora neomogenitatea chimică a grăunților de austenită.

d. Recoacere izotermă. În ceea ce privește rezultatele modificării proprietăților fizico-chimice, această recoacere este asemănătoare recoacerii complete, cu deosebirea că durata este mult redusă.

Ea se realizează prin încălzirea aliajului feros și menținerea la o temperatură deasupra zonei de transformare pînă ce capătă o structură parțial sau total austenitică; după aceasta aliajul se răcește și se menține la o temperatură puțin inferioară lui A_{r1} pînă ce austenita se transformă complet în perlită.

e. Recoacere de recristalizare. Această recoacere constă din încălzirea la o temperatură adecvată sub zona de transformare, însă superioară punctului de recristalizare și menținerea la această temperatură un timp suficient, urmată de răcire cu o viteză adecvată. Ea are ca scop formarea unor noi cristale cu granuație fină, în locul cristalelor mari, deformate prin prelucrarea mecanică la rece.

f. Recoacerea pentru detensionare se aplică pentru înlăturarea tensiunilor interne provocate de operații anterioare (turnare, călire, normalizare, prelucrare pe mașini-unelte, prelucrare prin deformare la rece sau prin sudare). Recoacerea de detensionare se realizează încălzind încet piesele la o temperatură sub zona de transformare (aproximativ 550 pînă la 600°C), după care se răcesc încet.

g. Recoacere de globulizare (recoacere de înmuiere) constă dintr-un ciclu de încălziri în afara și în vecinătatea domeniului de transformare, prin care se urmărește obținerea carburilor sub formă globulară cu scopul de:

- a ușura prelucrarea prin așchiere sau prin deformare mecanică la rece;
- a obține o anumită structură în vederea tratamentelor termice următoare.

2.1.2. Călirea Călirea se realizează prin încălzirea și menținerea pieselor la temperaturi peste punctul de transformare, urmată de răcire bruscă. Călirea are ca efect transformarea structurii austenitice obținută prin încălzirea oțelului peste punctul de transformare A_{c3} , fie într-o structură martensitică, fie în structuri intermediare (troostită, sorbită).

Prin călire se urmărește obținerea unor anumite proprietăți fizico-mecanice ale pieselor tratate (organe de mașini, scule etc.).

Majoritatea pieselor sînt supuse în continuare tratamentului de revenire.

Îmbunătățirea constă dintr-o călire urmată de o revenire la temperaturi mai înalte, aplicată oțelurilor cu scopul de a obține o îmbunătățire a caracteristicilor mecanice.

Oțelurile de îmbunătățire se folosesc, de obicei, la executarea organelor de mașini.

2.1.2.1. *Procedee de călire.* a. **Călirea completă** se obține prin încălzirea metalului la temperaturi care depășesc cu 20–30°C punctul de transformare A_{c3} , cu menținerea la aceste temperaturi, urmată de o răcire bruscă.

b. **Călirea în trepte** se folosește pentru piesele sau sculele mari sau cu configurație complicată, cu scopul de a se evita formarea tensiunilor interne și a deformațiilor rezultate prin călire. Această călire se realizează prin încălzirea piesei la temperatura de călire, răcirea piesei într-o baie caldă (de metale topite, de săruri sau de ulei) până ce piesa ia temperatura băii, urmată apoi de răcire într-un al doilea mediu (apă, aer liniștit). Temperatura băii se alege astfel, ca austenita aliajului să devină stabilă, adică pentru oțelurile carbon deasupra punctului martensitic, iar pentru oțelurile aliate în zona limită dintre perlită și martensită.

c. **Călire izotermă** este călire la temperatură constantă. După încălzirea pieselor la temperatura de călire, răcirea se face într-un mediu încălzit, până la aproximativ 200°C. Prin alegerea convenabilă a temperaturii mediului de răcire, se poate obține transformarea austenitei în una din structurile: martensită, troostită sau sorbită. Structura martensitică se alege de obicei pentru scule din oțel rapid, rulmenți cu bile, roți dințate etc.

Troostita și sorbita sînt mai tenace decît martensita și nu necesită un tratament de revenire după călire.

Călire izotermă se aplică pieselor subțiri din oțel carbon și chiar pieselor masive din oțeluri aliate; se mai folosește și pentru călire a matrițelor, pilelor, arcurilor, țevilor etc.

d. **Călire superficială la flacără (cu gaze)** constă în durificarea stratului de la suprafața unei piese din aliaj feros prin încălzirea suprafeței la temperatura de călire, cu ajutorul unei flăcări de gaz, după care urmează imediat un jet de apă pentru răcire bruscă (fig. 18.2).

Acest procedeu de călire se folosește, de exemplu, la roțile dințate de dimensiuni mari, ale căror suprafețe sînt foarte expuse la uzură.

e. **Călire superficială prin inducție** se realizează prin plasarea piesei într-un câmp magnetic alternativ de înaltă frecvență, urmată imediat de o răcire bruscă. În masa piesei se induce astfel un curent alternativ, puternic la suprafață și slab în adîncime, din cauză că temperatura de călire se obține numai la suprafața piesei (fig. 18.3).

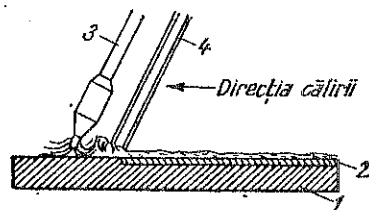


Fig. 18.2. Schema călirii superficiale la flacără:

1 — piesă; 2 — strat superficial călit; 3 — arzător pentru încălzire; 4 — tub pentru jetul de apă.

Prin reglarea intensității și frecvenței curentului, precum și a duratei se poate regla grosimea stratului călit (de la fracțiunii de milimetru până la zeci de milimetri).

2.1.2.2. *Tratament la temperaturi sub 0°C.* Acest tratament termic se aplică în general cu scopul de a transforma austenita reziduală în martensită. Tratamentele oțelului prin această metodă se face după călire sau după îmbunătățire, într-un mediu răcit sub zero°C (de la -70°C până la -200°C) timp de 60–120 minute.

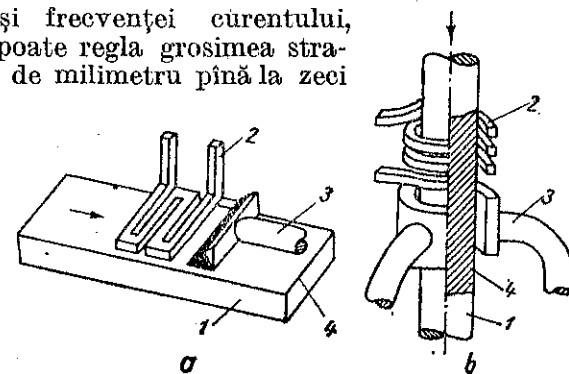


Fig. 18.3. Schema călirii superficiale prin inducție: a — piesă plată; b — piesă cilindrică; 1 — piesă; 2 — inductor; 3 — jet de apă pentru răcire; 4 — strat superficial, călit.

Ca mediu de răcire se folosesc: zăpadă carbonică, aer lichid azot lichid sau oxigen lichid.

Piesele cu forme complicate necesită pentru detensionare o revenire la temperaturi joase, înaintea răcirii sub 0° și o răcire treptată, de exemplu, la început până la temperatura de -20°C.

Pentru evitarea exploziilor, piesele trebuie să fie lipsite de orice urmă de ulei atunci cînd se introduc în mediul de răcire.

Acest tratament prezintă deosebite avantaje, în special pentru sculele din oțel rapid, deoarece le mărește duritatea și rezistența la uzură, fără a produce deformații.

2.1.3. **Revenirea.** Revenirea are ca scop să transforme structura martensitică a pieselor călite într-o structură mai stabilă, de obicei în sorbită. Acest tratament se realizează, practic, prin încălzirea oțelurilor călite la temperaturi inferioare punctului inferior de transformare A_{c1} , urmată de o răcire cu viteză adecvată. Prin revenire se urmărește eliminarea sau reducerea tensiunilor interne dezvoltate în oțeluri prin călire; totodată se mai obține o micșorare a fragilității și o mărire a tenacității.

2.1.3.1. *Procedee de revenire.* După temperatura la care se efectuează revenirile, acestea se clasifică în reveniri înalte și reveniri joase.

a. **Revenire înaltă** se obține încălzind piesa la temperaturi până în apropierea punctului A_{c1} (500–700°C) cu menținerea la această temperatură (în general câteva ore) și răcire cu orice viteză pentru oțelurile care nu sînt sensibile (în privința fragilității) la viteza de răcire; pentru oțelurile care pot deveni fragile prin revenire, cum sînt oțelurile aliate, se aplică, o răcire accelerată în ulei sau apă. Prin acest

tratament se obține o structură sorbitică, care corespunde, de obicei, pentru organe de mașini. Revenirea înaltă se mai folosește și după călirea oțelurilor bogat aliate, cum sînt, de exemplu, oțelurile rapide pentru scule.

Ansamblul călirii și revenirii înalte a oțelurilor constituie tratamentul de îmbunătățire a oțelurilor.

b. **Revenirea joasă.** se obține prin încălzirea pieselor la temperaturi imediat sub punctul martensitic ($180-250^{\circ}\text{C}$), menținerea la aceste temperaturi și răcire cu orice viteză, de obicei în aer liber. Ea are ca scop să mențină structura martensitică și să micșoreze tensiunile interne produse după călirea pieselor de oțel carbon și oțel aliat de scule, supuse cementării, cianurării și călirii superficiale. Durata menținerii la temperatura de revenire variază de la o jumătate de oră pînă la cîteva ore.

c. **Revenirea multiplă** se caracterizează prin repetarea multiplă (de 2—4 ori) a încălzirii pînă la o temperatură dată, cu răcire ulterioară completă; prin aceasta are loc o transformare mai completă a austenitei reziduale.

Acest tratament se aplică de obicei sculelor așchietoare din oțel rapid, pentru mărirea durității și a rezistenței la uzură.

2.1.4. **Îmbătrînirea.** Îmbătrînirea este un fenomen evolutiv, natural, de obicei de lungă durată, datorită căruia un material metalic ajunge la modificarea anumitor caracteristici fizico-mecanice.

Maturizarea (îmbătrînirea artificială) are ca scop accelerarea efectului îmbătrînirii la o temperatură de $100-200^{\circ}\text{C}$.

2.2. TRATAMENTE TERMOCHIMICE

Tratamentele termochimice constau în modificarea compoziției chimice a straturilor superficiale de metal ale pieselor prin difuziunea unor elemente, (de exemplu, carbon, azot, aluminiu, crom etc.) la temperaturi înalte, cu scopul de a se obține fie o duritate mai mare a suprafeței, fie o rezistență mai mare la coroziune sau la uzură, cu menținerea plasticității și a tenacității miezului.

Dintre tratamentele termochimice mai importante se menționează: carburarea, nitrurarea, cianurarea și alitarea.

2.2.1. **Cementarea.** Cementarea constă în îmbogățirea în carbon a stratului de la suprafața unei piese din aliaj feros, prin încălzirea menținerea ei la o temperatură superioară zonei de transformare, într-un mediu carburant solid, lichid, sau gazos.

Pentru cementarea în mediu solid, piesa de oțel se împachetează într-un mediu carburant solid (cărbune de cementare) și apoi se încălzește într-un cuptor la o temperatură ridicată.

Cementarea se aplică pieselor de oțel cu conținut redus de carbon ($0,1-0,25\%$), care trebuie să aibă miezul tenace, iar suprafața dură și rezistență la uzură.

Piese cementate au în stratul de la suprafața un conținut mare de carbon ($0,8-1,0\%$). Prin călirea piesei partea exterioară devine dură, în timp ce miezul rămîne tenace, din cauza conținutului redus de carbon.

Dintre piesele supuse în acest scop cementării indicăm: diferiți arbori, glisiere, pivoți etc.

Porțiunile din piesă care nu trebuie cementate se ung cu argilă refractară amestecată cu 5—10% praf de azbest sau se arănesc în băi speciale de galvanizare.

După cementare urmează călirea în apă a stratului exterior cementat, la temperatura de $760-780^{\circ}\text{C}$, și revenirea la temperatura de $150-200^{\circ}\text{C}$ pentru eliminarea tensiunilor interne.

Cementarea în mediu carburant lichid se realizează prin încălzirea pieselor de oțel în săruri topite, care conțin în compoziția lor NaCN.

Cementarea în mediu gazos se realizează prin încălzirea pieselor de oțel într-un mediu carburant gazos: în gaz metan (gaze naturale), gaz de gazogen, gaz de iluminat etc.

2.2.2. **Nitrurarea.** Nitrurarea (azotarea) constă în saturarea suprafeței piesei cu azot. Spre deosebire de cementare, după nitrurare nu mai este necesară călirea. La nitrurare nu se pot folosi decît anumite oțeluri, dintre care cele mai întrebuintate sînt oțelurile crom-aluminiu și crom-vanadiu.

Prelucrarea pieselor supuse nitrurării trebuie executată înaintea nitrurării. După nitrurare se face numai rectificarea finală a pieselor.

Duritatea pieselor nitrurate ajunge pînă la 1 200 unități Vickers, deci este superioară durității pieselor cementate.

Tratamentul termic prin nitrurare este mult utilizat pentru piesele din industriile de automobile și avioane; de asemenea, se utilizează la fabricația de rulmenți, calibre, piese de mașini-unelte (cum sînt arborii principali) etc.

Nitrurarea a fost extinsă și pentru unele piese din fontă, realizîndu-se o creștere a durității la suprafața pieselor pînă la 1 000 unități Vickers.

2.3.2. **Cianurarea.** Cianurarea este tratamentul termochimic prin care suprafața unei piese din aliaj feros se saturează simultan cu carbon și azot la o temperatură superioară sau inferioară punctului de transformare A_{c3} .

Cianurarea se efectuează în mediu lichid (amestec de cianuri topite cu săruri topite de carbonat de sodiu, clorură de sodiu etc.); în cazul că se folosește un mediu gazos, se cheamă *carbonitrurarea*.

Prin cianurarea pieselor se urmărește îmbunătățirea proprietăților mecanice și în special a rezistenței la uzură.

2.2.4. Aluminizarea. Aluminizarea (alitarea, calorizarea) este tratamentul termochimic care constă din difuzarea aluminiului activ, în stratul superficial al unei piese din aliaj feros. Uneori, pentru aluminizare, piesele din oțel se introduc în prealabil într-o baie de aluminiu topit, la temperatura de 750–800°C.

3. TRATAMENTUL TERMIC AL SCULELOR AȘCHIE-TOARE

Calitatea sculelor așchietoare este determinată de durata de așchiere, adică de rezistența lor la uzură și proprietatea de a-și păstra muchiile tăietoare în bună stare, timp îndelungat.

Aceste caracteristici se pot obține prin alegerea unui material corespunzător, a unei tehnologii de fabricație corecte, dar mai cu seamă prin efectuarea unui tratament termic corect.

În general, pentru tratamentul termic corect al sculelor așchietoare este necesar să se respecte prescripțiile indicate în standardul oțelului ales sau cele date de fabrica furnizoare în ceea ce privește: temperaturile, duratele, vitezele de încălzire și de răcire, precum și mediile de încălzire și răcire ale acestor oțeluri pentru diferitele tratamente la care acestea sînt supuse, după scopul urmărit.

La confecționarea sculelor așchietoare sînt folosite în mod curent oțelurile carbon pentru scule: OSC 10 și OSC 12 (STAS 1700-71).

Călirea acestor oțeluri se execută încălzind sculele la temperaturile de călire și răcindu-le în apă (sculele cu secțiune mare) sau în ulei (sculele cu secțiune redusă). Temperaturile de călire variază între 760 și 780°C la oțelurile OSC 10 și OSC 12. Încălzirile optime sînt cele efectuate în băi cu plumb, băi cu săruri sau prin curenți de înaltă frecvență.

3.1. TRATAMENTUL TERMIC AL SCULELOR DIN OȚELURI CARBON PENTRU SCULE

Revenirea sculelor din oțel OSC 10 și OSC 12 se face prin încălzire la temperaturi între 150 și 300°C și răcire în aer.

Tarozi din oțel OSC 12 se încălzesc în băi cu săruri, băi de plumb topit și instalații cu curenți de înaltă frecvență. Pentru evitarea deformării, tarozii cu diametre pînă la 8 mm se încălzesc numai în băi de plumb topit. Pentru răcirea după călire, se recomandă băile de silitră.

Burghiele cu diametre pînă la 3 mm din oțeluri OSC 10 și OSC 12 se încălzesc, de obicei, în băi de plumb topit pînă la temperaturile de călire ale oțelurilor respective și apoi se răcesc repede în băi de ulei. Burghiele cu diametre între 3 și 10 mm se răcesc fie în ulei fierbinte, fie în silitră, avînd temperatura de 170 – 220°C.

Alezoarele cu diametre între 6 și 8 mm din oțel de scule OSC 12 se supun călirii în trepte, prin încălzire în baie de plumb topit sau în baie cu săruri și prin răcire în baie cu silitră la temperatura de 170 – 220°C, urmată de răcire în aer.

Alezoarele cu diametre de 10 – 50 mm se încălzesc în băi cu săruri sau băi de plumb topit și se supun unei căliri în trepte, răcindu-se inițial în apă, apoi în ulei. În baia cu apă se introduce de obicei și sare de bucătărie (5 – 10%).

Revenirea tarozilor, burghiilor și alezoarelor se face după procedeul descris mai sus.

Toate sculele, executate din oțel carbon pentru scule OSC 10 și OSC 12, trebuie să aibă după călire o duritate $HRC \approx 63$. După revenire, duritatea acestor scule trebuie să aibă valoarea indicată în tabela 18.1.

Tabela 18.1. Duritatea după revenire a unor scule din oțel carbon

| Denumirea sculei | Duritatea HRC |
|-------------------------------------|---------------|
| Burghie cu diametrul de 0,25–3,0 mm | 58–60 |
| Burghie cu diametrul de 3,1–5,0 mm | 59–62 |
| Burghie cu diametrul peste 5 mm | peste 60 |
| Alezoare cu diametrul de 3–6 mm | 59–62 |
| Alezoare cu diametrul de 7–14 mm | 60–62 |
| Alezoare cu diametrul peste 14 mm | 61–62 |
| Tarozi cu diametrul de 6 mm | 58–62 |
| Tarozi cu diametrul de 7–10 mm | 59–62 |
| Tarozi cu diametrul peste 10 mm | 60–62 |

3.2. TRATAMENTUL TERMIC AL SCULELOR DIN OȚELURI ALIATE PENTRU SCULE

Tratamentele termice ale sculelor din oțeluri aliate de scule variază, în general, după calitatea oțelului folosit, adică după compoziția chimică a acestuia. Pentru exemplificare se indică procesul tratamentului termic al citorva scule așchietoare confecționate din oțel aliat de scule.

Burghie elicoidale confecționate din oțel aliat de scule 1,2% C + 1% W (compoziție chimică corespunzătoare mărcilor: SAW 4 și Poldi SP).

Burghiele *elicoidale* cu diametre pînă la 3 mm se încălzesc inițial la o temperatură de 300°C și apoi se cufundă în poziție verticală într-o

baie de săruri (60% clorură de bariu + 40% clorură de potasiu), în care se încălzesc la circa 760 — 770°C în aproximativ 1 1/2 min. Din baie de săruri burghiile sînt trecute într-o baie cu apă conținînd 10% sare de bucătărie.

Burghiile *elicoidale* cu diametre peste 8 mm se preîncălesc la circa 300°C în camera de preîncălzire a cuptorului de călire, apoi se introduc în a doua cameră în care, în timp de aproximativ 4 min. se încălzesc la temperatura de 770 — 780°C; urmează răcirea într-o baie cu apă conținînd 10% sare de bucătărie, în care burghiile sînt deplasate încet în direcție verticală pînă la răcirea lor completă.

După călirea burghiilor urmează operația de revenire, care se efectuează prin introducerea acestora într-o baie de ulei încălzită la 180 — 200°C, în care se mențin timp de 1 — 2 ore; după aceasta burghiile se răcesc în aer liber.

Duritatea burghiilor după călire trebuie să fie $HRC = 65$, iar după revenire $HRC = 64 - 64,5$.

Tarozi de mașină confecționați din oțel aliat de scule nedeformabil la călire, cu circa 0,9%C + 0,15%V + 1,9%Mn + 0,25%Si (compoziție chimică corespunzătoare oțelurilor: Poldi stabil etc.).

Călirea se efectuează încălzind în prealabil tarozii timp de 35 min la temperatura de 650°C, după care se țin timp de 12 min în a doua cameră a cuptorului pentru a ajunge la temperatura acestuia, de 770°C. După ce se mențin la această temperatură timp de 5 min, se răcesc într-o baie de ulei în care se mișcă de sus în jos pînă la răcirea completă.

Pentru revenire, tarozii se fierb aproximativ 2 ore în ulei la circa 180°C.

Duritatea tarozilor după călire trebuie să fie circa $HRC = 65$, iar după revenire $HRC = 62 - 63$.

Filieri confecționate din oțel aliat de scule cu circa 1,0%C + circa 1,2%W (compoziție chimică corespunzătoare oțelului Poldi SST).

Călirea filierelor se realizează prin încălzirea acestora într-o baie de săruri (60% clorură de bariu + 40% clorură de potasiu) pînă la aproximativ 770°C, după care urmează răcirea într-o baie cu apă sărată încălzită la 25°C.

Revenirea se efectuează prin menținerea filierelor timp de o oră într-o baie de ulei încălzită la temperatura de 250 — 260°C.

Duritatea filierelor după revenire trebuie să fie $HRC = 60$.

3.3. TRATAMENTUL TERMIC AL SCULELOR DIN OȚEL RAPID

Temperaturile de călire ale oțelurilor rapide variază, în general, între 1 230 și 1 320°C. Pentru a se ajunge la această temperatură, oțelurile rapide se preîncălesc inițial la temperatura de 500 — 900°C.

După aceasta sculele se introduc în cuptorul cu temperatura de călire, unde încălzirea la temperatura cuptorului trebuie să se facă în timp foarte scurt.

Durata de încălzire finală se socotește la 2 min pentru un centimetru din diametrul sculei, iar durata menținerii sculelor la temperatura de călire pentru burghie, alezoare, zencuitoare, tarozii etc., 1 — 1,2 min pentru un centimetru din diametrul sculelor, independent de forma acestora.

Pentru răcire se recomandă folosirea uleiului încălzit între 20 și 100°C numai pentru burghie mici și scule cu forme simple (de exemplu, cuțite demontabile pentru scule asamblate).

Pentru celelalte scule, răcirea trebuie să se facă în băi cu săruri topite. O primă răcire se recomandă a se face în băi de azotat de potasiu topit, avînd temperatura de 400 — 500°C și apoi o răcire în aer staționar.

Revenirea sculelor din oțeluri rapide constă în încălzirea acestora la temperatura de 550°C și menținerea la această temperatură timp de o oră, după care urmează răcirea pînă la temperatura camerei. Pentru transformarea completă a austenitei reziduale se recomandă repetarea revenirii de 2 — 4 ori.

Duritatea oțelurilor rapide după călire trebuie să fie $HRC = 62 - 65$.

Urmează cîteva exemple de tratamente termice pentru scule din oțel rapid.

Cuțitul de strunjit filetul interior din oțel rapid cu wolfram și vanadiu (circa 1,5% V). După ce se forjează forma necesară cuțitului, din materialul încălzit la circa 1 200°C într-un cuptor electric sau cu gaze, se efectuează recoacerea.

Pentru recoacere cuțitele forjate sînt introduse într-o cutie metalică cu coes ars, al cărei capac se lipește cu lut. Cutia cu aceste scule se încălzește timp de 2 ore într-un cuptor pînă se ajunge la temperatura de 800 — 820°C și se menține la această temperatură o oră; după aceasta cutia se îngroapă în cenușă uscată, unde se lasă să se răcească încet.

Călirea cuțitelor recoapte se face într-un cuptor electric sau încălzit cu gaz; în circa 4 min se încălzește tășul încet, în prima cameră a cuptorului pînă la 900°C și apoi într-un minut se aduce cuțitul la temperatura de 1 300°C în a doua cameră a cuptorului.

Răcirea se execută în ulei prin mișcarea în cerc a cuțitului timp de 30 s, după care se lasă să se răcească complet, în ulei.

Revenirea se obține prin încălzire la temperaturi între 570 și 590°C în săruri topite, urmînd apoi răcirea în aer liber.

Duritatea cuțitului trebuie să fie $HRC = 65$.

Alezoarele, adâncitoare, tarozii și frezele cu coadă se introduc după preîncălzire în cuptoare cu cameră sau în băi cu săruri topite, încălzite la temperatura de călire.

Frezele cu gaură se preîncălzesc inițial în cuptoare cu cameră, la temperatura de 830 — 860°C; încălzirea definitivă se efectuează în a doua cameră, încălzită la 1250°C, unde după 15 min se urcă temperatura la 1280°C. După 10 min urmează răcirea într-un curent de aer, suflat cu presiune, în care freza se rotește pînă la răcirea completă.

Pentru frezele de dimensiuni mari este necesară o primă preîncălzire la 500 — 650°C și a doua preîncălzire la 830 — 860°C.

În tabelele 18.2 — 18.5 sînt prezentate cîteva date importante în legătură cu tratamentele termice.

Tabela 18.2. Săruri pentru băile de călire și revenire

| Compoziția sărurilor | Temperatura de topire °C | Temperatura practică de utilizare °C |
|---|--------------------------|--------------------------------------|
| Clorură de bariu 50% + clorură de sodiu 30% + borax 8% + clorură de magneziu 3% | — | 750—1400 |
| Cianură (10—20%) + clorură de sodiu (40—45%) + carbonat de sodiu (40—45%) | — | 730—920 |
| Clorură de sodiu 44% + clorură de potasiu 56% | 665 | 700—875 |
| Clorură de sodiu 22% + clorură de bariu 78% | 635 | 675—900 |
| Clorură de sodiu 35% + carbonat de sodiu 65% | 620 | 650—815 |
| Clorură de calciu 50% + clorură de bariu 50% | 600 | 650—900 |
| Carbonat de sodiu 50% + clorură de potasiu 50% | 560 | 600—815 |
| Clorură de sodiu 50% + carbonat de calciu 50% | 560 | 600—815 |
| Clorură de sodiu 28% + clorură de calciu 72% | 540 | 550—870 |
| Azotat de sodiu 100% | 317 | 520—600 |
| Azotat de sodiu 55% + azotit de sodiu 45% | 220 | 225—500 |
| Azotat de potasiu 55% + azotit de sodiu 45% | 137 | 150—430 |

Tabela 18.3. Metale și aliaje pentru băi de revenire

| Compoziția | Temperatura de topire °C | Temperatura de folosire °C |
|--------------------|--------------------------|----------------------------|
| 100% Pb tehnic pur | 327 | 335—930 |
| 100% Sn tehnic pur | 232 | 240—1000 |
| 63% Sn + 37% Pb | 183 | 190—350 |
| 91% Sn + 9% Zn | 200 | 205—400 |
| 32,5% Sn + 67,5 Pb | 225 | 245—400 |
| 15% Sn + 85% Pb | 280 | 300—500 |

Tabela 18.4. Medii de răcire

| Felul răcirii | Mediul de răcire |
|---|--|
| Răcire înceată | Ulei mineral Ulei de rapiță Petrol Lapte de var |
| Răcire rapidă | Apă acidulată 2% Acid clorhidric Acid sulfuric Apă |
| Răcire foarte rapidă | Apă + 12% clorură de calciu Apă + 12% clorură de amoniu Apă + 12% clorură de sodiu |
| Răcire specială (la unele oțeluri rapide) | Aer liniștit Curent de aer |

Tabela 18.5. Viteza de răcire a oțelurilor în diferite medii de răcire

| Mediul de răcire | Viteza de răcire în °C/s în intervalul de temperatură | |
|--|---|-----------|
| | 650-550°C | 300-200°C |
| Apă la 18°C | 600 | 270 |
| Apă la 28°C | 500 | 270 |
| Apă la 50°C | 100 | 270 |
| Soluție de 10% sodă caustică în apă la 18°C | 1 200 | 300 |
| Soluție de 10% clorură de sodiu în apă la 18°C | 1 100 | 300 |
| Soluție de 10% sodă în apă la 18°C | 800 | 270 |
| Soluție de 10% acid sulfuric în apă la 18°C | 750 | 300 |
| Apă distilată | 250 | 200 |
| Emulsie de ulei în apă | 70 | 200 |
| Soluție de săpun | 30 | 200 |
| Ulei mineral de mașină | 150 | 30 |
| Ulei de transformator | 120 | 25 |

NOȚIUNI DE DESEN TEHNIC

1. PRINCIPII DE REPREZENTARE

1.1. LINII ÎN DESENUL INDUSTRIAL

Linii folosite în desenul industrial (STAS 103-76) sînt: continue, întrerupte și linie-punct (fig. 19.1), în trei clase de grosime (groase, mijlocii și subțiri).

Liniiile mijlocii au o grosime de $1/2$ din grosimea liniei groase (grosime sau linie de bază), iar liniile subțiri, $1/4$ din grosimea liniei de bază.

Liniiile -punct încep și se termină cu segmente.

Liniiile continue groase se folosesc la reprezentarea conturului și a muchiilor care se văd ale pieselor (fig. 19.2, a), cum și conturul, suprafețele care se prelucreează (în desenele tehnologice) (fig. 19.2, b) și chenarele formatelor și tabelelor.

Liniiile continue sub-

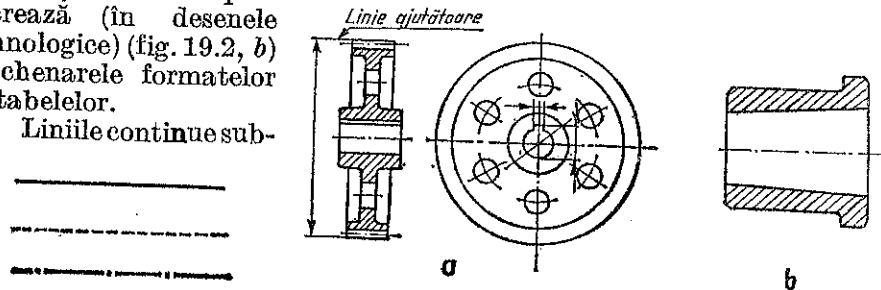


Fig. 19.1

Fig. 19.2

țiri se folosesc: pentru liniile de cotă, pentru desenarea secțiunilor suprapuse sau pentru conturul subansamblului în care se montează piesa.

Tot cu o linie subțire continuă se indică diametrul fundului filetelor, în secțiune longitudinală și frontală (STAS 700-69), cum și rupturile.

Linia întreruptă mijlocie se utilizează la indicarea contururilor și muchiilor acoperite.

Linia-punct groasă se utilizează pentru indicarea conturului piesei finite, în cazul cînd este desenată piesa brută (fig. 19.3, a), pentru indicarea tratamentului de suprafață al unei piese (fig. 19.3, b), sau prin indicarea adaosurilor de prelucrare.

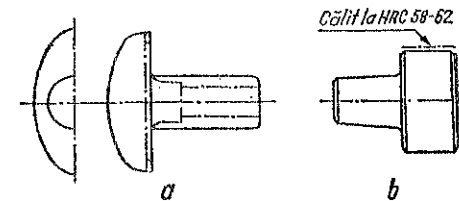


Fig. 19.3

Liniiile-punct subțiri se mai folosesc pentru desenarea cercului de divizare și a generatoarelor cilindrului sau conului de divizare al roților dințate, cum și la desenarea cilindrului de divizare al șuruburilor mele.

1.2. SECȚIONAREA PIESELOR

Secționarea pieselor se face în regiunea în care se pot observa cele mai multe contururi interioare. Pentru piesele simetrice, secțiunea se face prin mijlocul lor. Se consideră că o piesă se taie în două prin axa ei și se desenează numai jumătatea din spate, cea din față considerînd-o înlăturată. La piesele complicate se fac mai multe secțiuni, arătîndu-se în acest caz planele după care s-au făcut secțiunile.

Secțiunile pot fi longitudinale, laterale sau transversale.

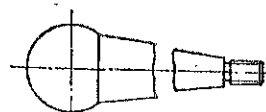
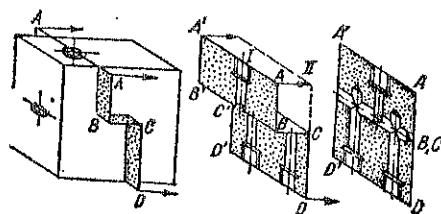
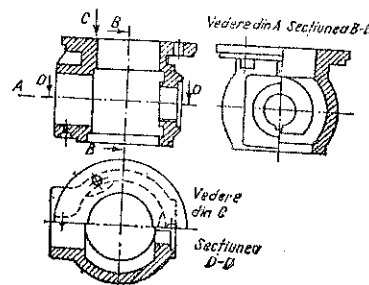
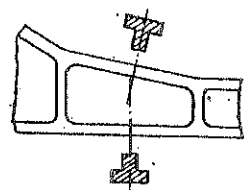
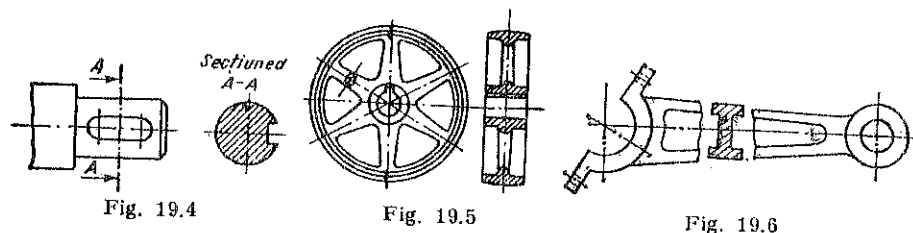
Piese ce nu se secționează; niturile, piulițele, știfturile, arborii și osiile, biebele, minerele, tije etc. De asemenea nu se secționează anumite părți ale pieselor, chiar dacă planul de secționare trece prin lor (spîțele roților, nervurile, aripile, tabeléle). Uneori, la axe, bolțuri etc. se execută numai pe o anumită porțiune secțiunii în sens longitudinal, pentru a face vizibile anumite linii, de exemplu, forma unui canal de pană.

Secțiunile propriu-zise pot fi de mai multe feluri:

- secțiune obișnuită (fig. 19.4);
- secțiune deplasată, desenată în afara conturului piesei, dar se află cu axa în lungul traseului de secționare;
- secțiune suprapusă, cînd este suprapusă pe vederea piesei (fig. 19.5);
- secțiune intercalată, cînd secțiunea se intercalează în intervalu rupturii (fig. 19.6);
- secțiune înclinată, cînd secțiunea se face de o parte și de alta a vederii, în lungul traseului de secționare (fig. 19.7).

Secțiunile deplasate, suprapuse și intercalate nu se rotesc, ci se desenează în poziția în care se proiectează.

Traseul de secționare se indică prin linie-punct subțire, avînd la capetele traseului câte o linie groasă pe care se sprijină săgeata ce indică direcția de proiectare. Deasupra săgeții se notează prin litere majuscule



secțiunea. Deasupra secțiunii propriu-zise se scrie cuvântul Secțiunea și literele cu care s-a notat traseul respectiv. (fig. 19.8).

În cazul pieselor simetrice față de o axă, se poate desena jumătate din proiecția piesei în secțiune și jumătate în vedere.

Când piesele au în interior găuri și cavități în diferite plane paralele sau înclinate, se execută secțiuni frunte (fig. 19.9).

1.3. REPREZENTAREA CU RUPTURĂ A PIESELOR

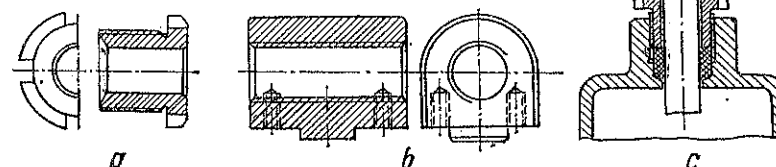
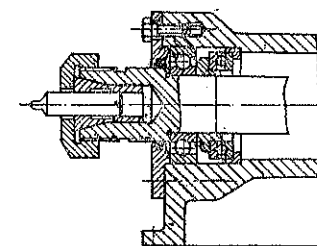
Rupturile constau în îndepărtarea unei părți din piesă, cu scopul de a arăta un detaliu important, sau pentru scurtarea ei, în cazul pieselor lungi cu porțiuni uniforme (fig. 19.10).

Ruptura se desenează cu mina liberă. Grosimea liniei care arată ruptura va fi $1/4$ din grosimea liniilor care reprezintă conturul.

1.4. HAȘURAREA PIESELOR

Părțile secționare se hașurează. Hașurarea se face cu linii înclinate la 45° , în același sens și egal distanțate.

Când într-un desen sînt mai multe piese



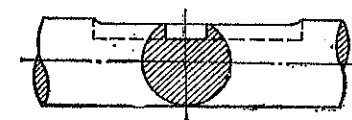
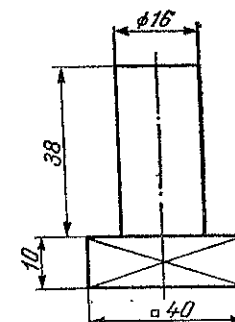
asamblate, secțiunile diferitelor piese se hașurează diferit pentru fiecare piesă în parte (fig. 19.11). Piese nemetalice se hașurează în dublu sens (fig. 19.12, c).

În figurile 19.12 a și 19.12, b sînt reprezentate piese cu filet.

1.5. REPREZENTĂRI SIMPLIFICATE

Piese care sînt simetrice față de una, două sau trei axe, vor putea fi reprezentate simplificat. Un astfel de exemplu este indicat în fig. 19.13, care reprezintă o piesă într-o singură vedere; partea cu secțiunea circulară este indicată prin simbolul ϕ care înseamnă diametru, iar partea cu secțiunea pătrată prin două diagonale întretăiate. Un alt exemplu este dat în fig. 19.14 care reprezintă un ax la care s-a desenat în interiorul vederii o secțiune din care rezultă adîncimea și lățimea canalului de pană.

În unele cazuri, se pot folosi și reprezentări convenționale. Ca exemple



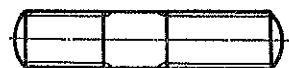


Fig. 19.15

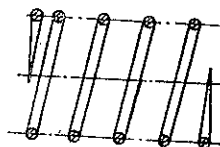


Fig. 19.16

în fig. 19.15 este arătată reprezentarea convențională a filetului la un șurub prizonier, iar în figura 19.16 — reprezentarea convențională a unui arc.

2. ÎNSCRIEREA COTELOR ȘI TOLERANȚELOR PE DESEN

2.1. ÎNSCRIEREA COTELOR

Un desen trebuie să cuprindă toate datele și dimensiunile necesare executării piesei.

Cotele trebuie să fie scrise clar și vizibil. Nu pot fi utilizate ca linii de cote axele și muchiile.

Cotele se scriu la o distanță de 1 — 2 mm deasupra liniilor de cotă, de preferință spre mijlocul lor și decalate consecutiv una față de cealaltă (fig. 19.17 și fig. 19.18). Pentru desenele din cărțile tehnice cotele

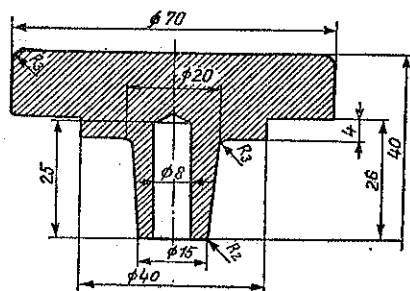


Fig. 19.17

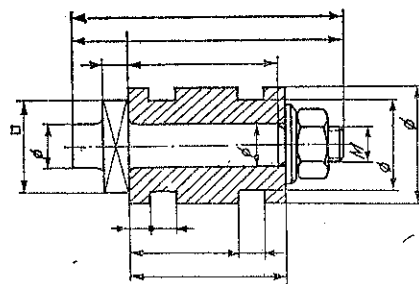


Fig. 19.18

pot fi scrise în aceeași linie cu linia de cotă, care este întreruptă în acest scop. Liniile ajutătoare sînt, în general, perpendiculare pe liniile de cotă. În unele cazuri acestea sînt înclinate pe liniile de cotă.

Toate cotele se dau în mm.

Cînd cota reprezintă un diametru, va fi însoțită de semnul convențional al diametrului \varnothing . În interiorul cercurilor se scrie valoarea diametrului fără a se mai pune semnul convențional.

În mod asemănător se scrie și semnul convențional al secțiunii pătrate \square .

Cotarea unei raze este însoțită de semnul convențional distinctiv pentru raze r , dacă nu este dat centrul arcului de cerc.

Cota diametrului unei sfere este însoțită de cuvîntul „sferă” (fig. 19.19).

Linia de cotă trebuie să fie paralelă cu muchia sau cu segmentul de muchie la care se referă.

Coarda, arcul și unghiul se cotează ca în figura 19.20.

La piesele conice sau cu o înclinare față de una dintre muchiile lor trebuie scrisă pe desen valoarea conicității sau a înclinării. Înscriptia „conicitate” se scrie totdeauna pe axa piesei (fig. 19.21), iar înscriptia „înclinare” se scrie pe o muchie exterioară (fig. 19.22).

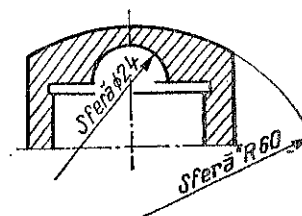


Fig. 19.19

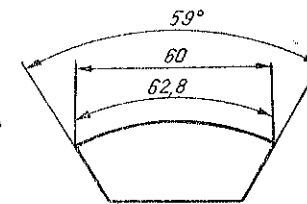


Fig. 19.20

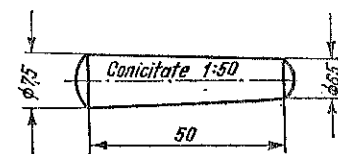


Fig. 19.21

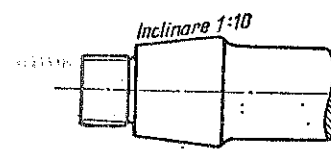


Fig. 19.22

2.2. ÎNSCRIEREA TOLERANȚELOR

2.2.1. Înscrierea toleranțelor la dimensiuni (STAS 6265-67). Toleranțele la dimensiunile interioare sau exterioare ale pieselor se pot indica pe desen prin simbolurile cîmpurilor de toleranțe sau prin valorile numerice ale abaterilor limită. Pe desenele de execuție ale pieselor se recomandă ca toleranțele să fie înscrise prin valorile abaterilor limită.

2.2.1.1. Înscrierea toleranțelor la dimensiuni liniare în desene de piese. Toleranța unei dimensiuni se înscrie imediat după cota care indică valoarea nominală a dimensiunii. Ea poate fi redată prin :

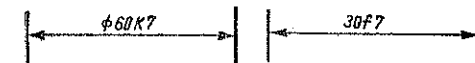


Fig. 19.23

— simbolul cîmpului de toleranță, conform standardelor respective de toleranțe și ajustaje; simbolul se înscrie în rînd cu cota și cu caractere de aceeași dimensiune nominală cu aceasta (fig. 19.23);

— valorile abaterilor limită : abaterea inferioară se înscrie în rînd cu cota, iar abaterea superioară deasupra abaterii inferioare (fig. 19.24);

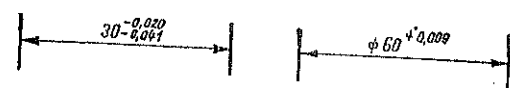


Fig. 19.24



Fig. 19.25



Fig. 19.26

Fig. 19.27

serie o singură dată, în rând cu cota și precedată de semnul \pm (fig. 19.27).

Dacă la o dimensiune este necesar să se indice numai una dintre limite (superioară sau inferioară), cota va fi urmată de inscripția: max. respectiv min. (fig. 19.28).

Orice ale indicații se înscriu pe desen prin mențiuni, fie în dreptul cotei la care se referă (fig. 19.29), fie la condițiile tehnice în câmpul desenului.

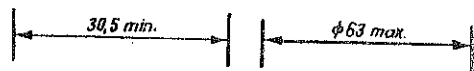


Fig. 19.28

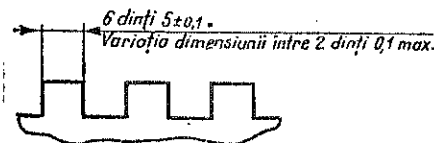


Fig. 19.29

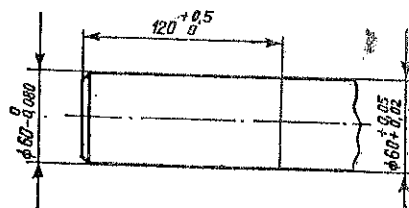


Fig. 19.30

Dacă un element al unei piese, având aceeași dimensiune nominală, are porțiuni cu abateri limită diferite, limitele dintre aceste porțiuni se reprezintă cu o linie continuă subțire, iar fiecare porțiune se cotează ca un element de sine stătător al piesei (fig. 19.30).

2.2.1.2. *Înscriserea toleranțelor la dimensiuni liniare în desene de ansamblu.* Toleranțele la dimensiunea nominală a ajustajului (a celor două piese reprezentate asamblate) pot fi înscrise, conform prescripțiilor de la subcapitolul anterior, astfel:

— prin simbolurile celor două câmpuri de toleranță, scrise sub formă de fracție (cu linia de fracție oblică sau orizontală), simbolul

— simbolul câmpului de toleranță, urmat de valoarele în mm ale abaterilor limită, înscrise între paranteze (fig. 19.25).

În cazul toleranțelor înscrise prin valorile abaterilor limită, abaterea limită nulă se înscrie prin cifra zero fără semn (fig. 19.26).

În cazul în care câmpul de toleranță este situat simetric față de dimensiunea nominală, valoarea abaterilor limită se înscrie o singură dată, în rând cu cota și precedată de semnul \pm (fig. 19.27).

câmpului de toleranță al alezajului scriindu-se la numărător, iar al arborelui la numitor. Pe linia de fracție orizontală simbolurile se scriu cu dimensiuni reduse (fig. 19.31);

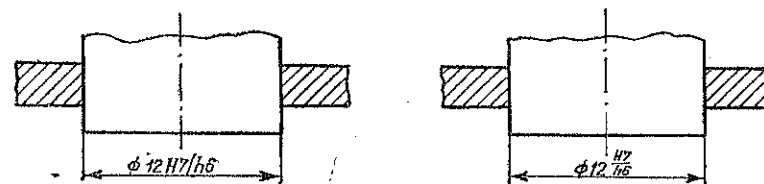


Fig. 19.31

— prin înscriserea de două ori a cotei, și anume peste linia de cotă pentru alezaj și sub linia de cotă pentru arbore, fiecare cotă fiind urmată de valorile abaterilor limită (fig. 19.32) și precedată de precizarea la care piesă se referă (prin denumire sau număr de poziție);

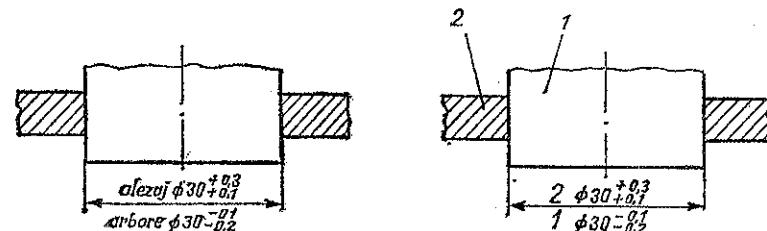


Fig. 19.32

— prin înscriserea de două ori a cotei (conform prescripțiilor de mai sus), fiecare cotă fiind urmată de simbolul câmpului de toleranță și între paranteze, de valorile abaterilor limită (fig. 19.33).

2.2.1.3. *Înscriserea toleranțelor la dimensiuni unghiulare.* Abaterile limită ale dimensiunilor unghiulare, se înscriu pe desen prin valorile în grade, minute și secunde (fig. 19.34 ... 19.36). Gradele și minutele se exprimă în numere întregi. La gradele centezimale, valorile se înscriu sub formă de număr zecimal și nu cu minute și secunde (de exemplu: $65,25 \pm 0,1$).

2.2.2. *Înscriserea toleranțelor de formă și de poziție (STAS 7385-66).* Toleranțele de formă și de poziție se prescriu în documentația de bază numai dacă limitarea abaterilor respective este necesară pentru asigurarea calității piesei în utilizare (funcționare, montaj etc.).

2.2.2.1. *Înscriserea datelor privind toleranțele de formă și de poziție.* Datele privind toleranțele de formă sau de poziție se înscriu

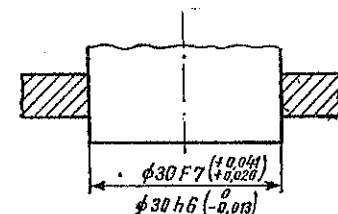


Fig. 19.33

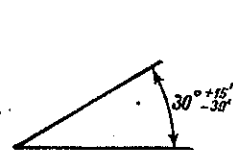


Fig. 19.34

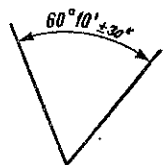


Fig. 19.35

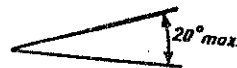


Fig. 19.36

- simbolul toleranței (conform tabelelor 19.1 și 19.2);
- valoarea toleranței, în mm;
- litera de identificare a bazei de referință, dacă este necesar.

Datele privind toleranțele de formă și de poziție se înscriu cu cifre și litere având dimensiunea nominală egală cu cotele înscrise pe desen.



Fig. 19.37

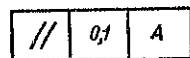


Fig. 19.38

Dacă pentru o suprafață se prescrie o toleranță de formă sau de poziție a profilului (la rectilitate, la circularitate, la paralelism, a bății etc.) și nu se specifică altfel (nu se prescrie secțiunea de măsurare), toleranța se aplică oricărui profil paralel cu cel indicat de-a lungul suprafeței respective.

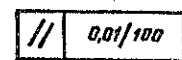


Fig. 19.39

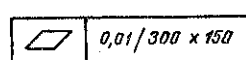


Fig. 19.40

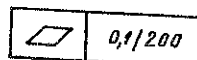


Fig. 19.41

În oricare loc al elementului verificat, dimensiunile lungimii (suprafețele) de referință se înscriu după valoarea toleranței și se separă de această printr-o linie înclinată (fig. 19.39 și 19.40). Dacă pentru o suprafață de referință se înscrie o singură dimensiune (fig. 19.41), aceasta se înțelege în două direcții reciproc perpendiculare oarecare.

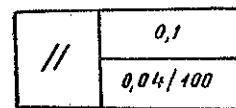


Fig. 19.42



Fig. 19.43

toleranței se împarte în două și toleranța a doua se înscrie sub cea generală (fig. 19.42).

În cazul când zona toleranței este circulară sau cilindrică, valoarea toleranței se înscrie precedată de simbolul Ø (fig. 19.43). Când se prescriu

într-un cadru dreptunghiular, împărțit după caz în două sau trei căsuțe, în care se trec, în ordinea arătată mai jos, următoarele date (fig. 19.37 și 19.38).

Dacă nu se specifică astfel, valoarea toleranței este valabilă pe toată lungimea profilului sau pentru toată suprafața pentru care este prescrisă.

Dacă toleranța este valabilă pe o lungime (suprafață) de referință dată și care se află

Dacă toleranța se prescrie pe toată lungime (suprafața) elementului verificat și este necesar să se limiteze totodată și toleranța pe o lungime (suprafață) de referință, dată, căsuța pentru valoarea

referință, dată, căsuța pentru valoarea

abateri limită de poziție, în locul toleranțelor de poziție, valoarea abaterii se înscrie precedată de litera R.



Fig. 19.44

Fig. 19.45

Dacă nu se specifică astfel, toleranța de poziție prescrisă se consideră independentă.

Toleranțele de poziție dependente se notează prin litera M încercuită, înscrisă:

— după valoarea toleranței, dacă toleranța de poziție este dependentă de abaterile efective ale dimensiunii elementului la care se referă toleranța (fig. 19.44);

— după litera de identificare a bazei de referință, dacă toleranța de poziție este dependentă de abaterile efective ale dimensiunii bazei de referință (fig. 19.45);

— după valoarea toleranței și după litera de identificare a bazei de referință, dacă toleranța de poziție este dependentă atât de abaterile efectiv ale dimensiunii elementului tolerat, cât și de abaterile efective ale dimensiunii bazei de referință (fig. 19.46).

Cotele care determină poziția nominală a elementelor pentru care se prescriu toleran-

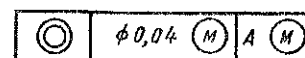


Fig. 19.46

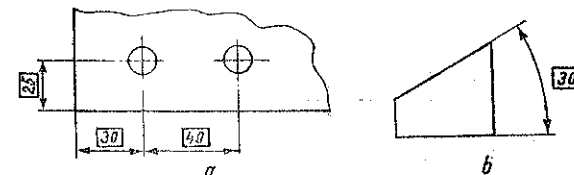


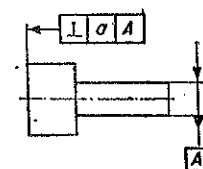
Fig. 19.47

țele de poziție nu se tolerează dimensional, ci se înscriu încadrate (fig. 19.47, a și b). Dimensiunile efective corespunzătoare sînt limitate numai prin valorile toleranțelor de poziție prescrise.

În desene tabelare, toleranțele pot fi notate prin litere minuscule (de rînd) în a doua căsuță din cadru, valorile toleranțelor înscriindu-se în tabel (fig. 19.48).

În desene reprezentînd piese complexe, în scopul păstrării clarității desenului, elementele toleranțe și bazele de referință pot fi notate prin litere majuscule e, toleranțele de formă și de poziție înscriindu-se tabelar sau sub forma de condiții tehnice în câmpul desenului.

2.2.2.2. Indicarea elementului la care se referă toleranța. Cadrul cu datele privind toleranța de formă



| Varianța | σ |
|----------|------|
| 1 | 0,1 |
| 2 | 0,25 |

Fig. 19.48

sau de poziție se leagă de elementul la care se referă toleranța printr-o linie de indicație terminată cu o săgeată. Linia de indicație poate fi frântă.

Capătul liniei de indicație prevăzut cu săgeată se sprijină :

— pe linia de contur sau pe linia ajutătoare — dar nu în dreptul liniei de cotă, dacă toleranța se referă la profilul sau suprafața respectivă (fig. 19.49);

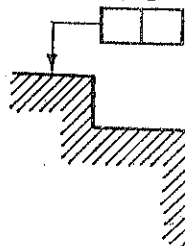


Fig. 19.49

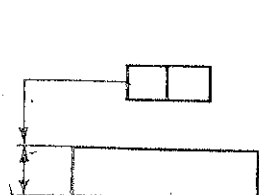


Fig. 19.50

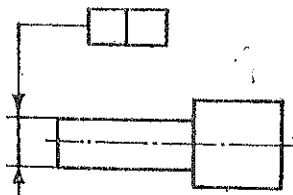


Fig. 19.51



Fig. 19.52

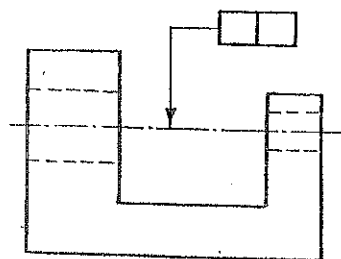


Fig. 19.53

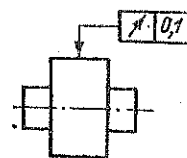


Fig. 19.54

— pe linia de contur sau pe linia ajutătoare, în prelungirea liniei de cotă, dacă toleranța se referă la axa sau la planul de simetrie al întregii piese sau al elementului cotate, determinate ca axa sau planul de simetrie al suprafeței (suprafețelor) adiacente (fig. 19.50 și 19.51);

— pe axa sau planul de simetrie al piesei sau al elementului cotate, determinate direct (de exemplu ca axa vîrfurilor de centrare), dacă toleranța se referă la această axă sau la acest plan (fig. 19.52);

— pe axa comună sau planul de simetrie comun a două sau mai multe elemente (fig. 19.53).

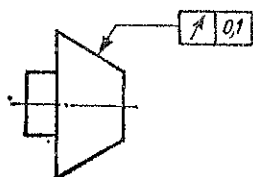


Fig. 19.55

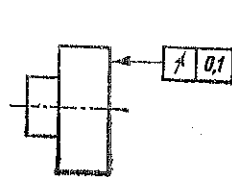


Fig. 19.56

Abaterea de formă sau de poziție a elementului prevăzut cu toleranță se măsoară în direcție paralelă cu cea indicată de săgeată (fig. 19.54, 19.55, 19.56). Dacă zona toleranței nu este circulară sau cilindrică, lățimea ei este în direcția săgeții.

Dacă toleranța de formă sau de poziție se referă numai la o porțiune limitată a elementului, conturul acestei porțiuni se dublează cu o linie-punct groasă PI ; poziția și dimensiunile ei se cotează (fig. 19.57);

2.2.2.3. *Indicarea bazei de referință.* Cadrul cu datele privind toleranța de poziție se leagă de baza de referință printr-o linie de indicație terminată cu un triunghi înnegrit.

Triunghiul înnegrit de la capătul liniei de indicație se sprijină printr-o latură :

— pe linia de contur a piesei sau pe o linie ajutătoare — dar nu în dreptul liniei de cotă — dacă baza de referință este profilul sau suprafața respectivă (fig. 19.58);

— pe linia contur sau pe linia ajutătoare, în dreptul liniei de cotă, dacă baza de referință este axa sau planul de simetrie al întregului piese sau al elementului respectiv, determinate ca axa sau planul de simetrie al suprafeței (suprafețelor) adiacente (fig. 19.59, 19.60). Dacă săgețile liniei de cotă se desenează în afara liniilor ajutătoare, triunghiul înnegrit înlocuiește una din săgeți (fig. 19.60).

— pe ax sau pe planul de simetrie al piesei sau al elementului determinate direct (de exemplu ca axa vîrfurilor de centrare), dacă această axă sau acest plan este baza de referință (fig. 19.61).

În cazul în care cadrul nu poate fi legat de baza de referință fără a dăuna clarității desenului, baza de referință se notează cu o literă majusculă (diferită de cele folosite în același desen), înscrisă în apropierea bazei într-un cadru, care se leagă pe bază printr-o linie de indicație, terminată cu un triunghi înnegrit (fig. 19.62). Litera majusculă respectivă se înscrie și în a treia căsuță a

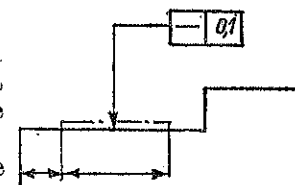


Fig. 19.57

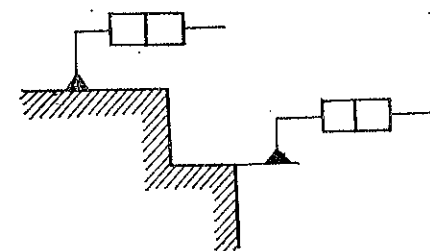


Fig. 19.58

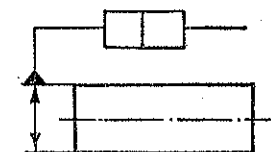


Fig. 19.59

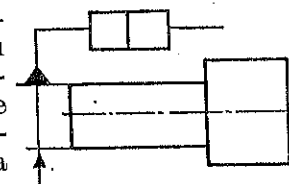


Fig. 19.60

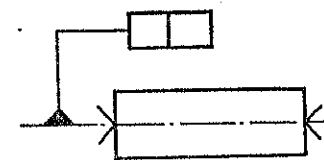


Fig. 19.61

cadrului cu date privind toleranța de poziție respectivă (fig. 19.63).

În cazul în care pentru o toleranță de po-

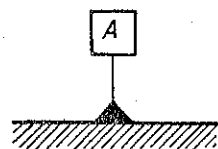


Fig. 19.62

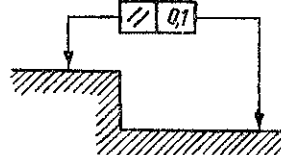


Fig. 19.63

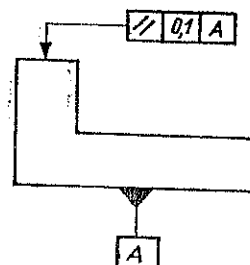


Fig. 19.64

ziție nu este necesar să se precizeze care dintre cele două elemente corelate este baza de referință, triunghiul înegrit se înlocuiește cu o săgeată (fig. 19.64, 19.65).

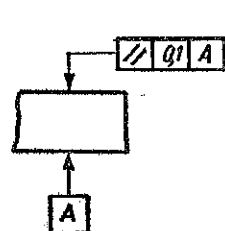


Fig. 19.65

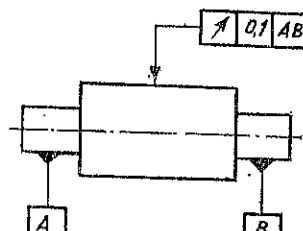


Fig. 19.66

Dacă baza de referință este axa comună sau planul de simetrie comun a două sau mai multe elemente, se indică toate aceste elemente. În cazul notării bazei de referință, prin litere, fiecare element se notează cu o literă diferită și literele se înscriu în

a treia căsuță a cadrului respectiv (fig. 19.66).

3. SEMNE CONVENȚIONALE

Printre semnele convenționale folosite în desenul tehnic sînt: semnele convenționale de prelucrare, semnele convenționale pentru schemele cinematice, semne convenționale pentru înscrierea toleranțelor de formă și de poziție a suprafețelor și a liniilor etc.

Semnele convenționale de prelucrare se utilizează în desenul de execuție al unei piese, fie pentru a preciza rugozitatea suprafețelor, fie pentru a indica unele prelucrări speciale.

Rugozitatea suprafeței indicată pe desen reprezintă rugozitatea în stare finită (după tratamente termice, termochimice sau acoperiri galvanice, metalizate etc.), însă înainte de vopsire sau lăcuire.

În continuare, se dau indicații după STAS 612-75 asupra notării rugozității suprafețelor în desenul industrial.

3.1. SIMBOLURI PENTRU NOTAREA STĂRII SUPRAFEȚEI

Pentru notarea stării suprafeței se utilizează un simbol de bază (fig. 19.67) sau simbolurile derivate ale acestuia (fig. 19.68 și 19.69).

Simbolurile se trasează cu linie continuă, de aceeași grosime cu linia utilizată pentru înscrierea cotelor pe desenul respectiv, și au dimensiunile indicate în figura 19.67.

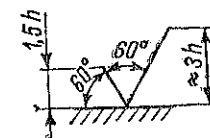


Fig. 19.67

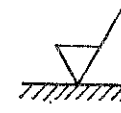


Fig. 19.68

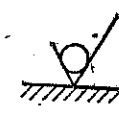


Fig. 19.69

Înălțimea h este egală cu dimensiunea nominală a scrierii utilizate pe desenul respectiv.

Simbolurile derivate sînt utilizate pentru a se indica din considerente funcționale:

— obligativitatea obținerii suprafeței respective printr-o operație finală de prelucrare cu îndepărtare de material (conform figurii 19.68);

— menținerea suprafeței respective în starea obținută prin stadiul precedent de fabricație (conform figurii 19.69).

În cazul în care în afara parametrului de profil este necesar a se înscrie și alte date privind starea suprafeței respective, simbolurile se completează cu un braț conform figurii 19.70).

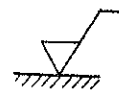
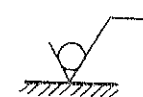


Fig. 19.70

3.2. INDICAREA DATELOR PRIVIND STAREA SUPRAFEȚELOR

a. Indicarea parametrilor de profil. Parametrul de profil ales (a) se indică prin înscrierea valorii numerice a acestuia, exprimată în μm , conform figurilor

19.71, 19.72 sau 19.73. Valoarea numerică astfel înscrisă reprezintă valoarea maximă admisibilă pentru suprafața respectivă.

Valoarea numerică trebuie să fie precedentă de simbolul parametrului respectiv (fig. 19.74), cu excepția cazului în care parametrului ales este R_a (fig. 19.75).

În cazul cînd parametrul de profil este R_a , acesta se indică de preferință prin valoarea sa numerică (fig. 19.76) sau prin simbolul

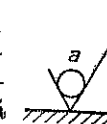


Fig. 19.71

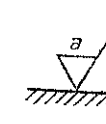


Fig. 19.72



Fig. 19.73

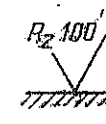


Fig. 19.74

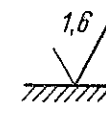


Fig. 19.75

clasei de rugozitate corespunzătoare (fig. 19.77), conform STAS 5730/2-75, pe un desen utilizându-se numai unul din cele două sisteme de notare menționate.

În cazul în care este necesar a se indica valorile limită admisibile ale parametrului de profil respectiv, valoarea maximă (a_1) și cea minimă (a_2) se înscriu conform figurilor 19.78—19.80, avându-se în vedere și prevederile din cele două paragrafe anterioare.

Notarea conform figurii 19.71 ... 19.73 sau figurii 19.78 ... 19.80 se utilizează pentru a se simboliza că, din considerente funcționale, starea suprafeței specificată :

- nu implică nici un fel de limitare de către proiectant referitoare la procedeul de obținere a acesteia (fig. 19.71 sau 19.78);
- implică obligativitatea obținerii ei printr-o operație finală de prelucrare cu îndepărtare de material (fig. 19.72 sau 19.79);
- implică interdicția obținerii ei printr-o operație finală de prelucrare cu îndepărtare de material (fig. 19.73 sau 19.80).

În cazuri speciale, cînd este necesară indicarea mai multor parametri de profil, parametrul principal se înscrie conform regulilor de mai sus, ceilalți parametri înscriindu-se, dacă este loc, în spațiul marcat prin litera *b* în figura 19.81 sau în cîmpul desenului.

b. Indicarea altor date privind starea suprafeței. În cazul în care în afara parametrului de profil este necesară înscrierea unor date suplimentare referitoare la starea suprafeței respective, simbolurile conform fig. 19.70 se completează, după caz, așa cum este indicat în schema conform figurii 19.81 și exemplificat în figura 19.82 :

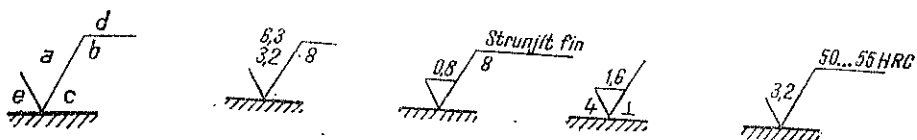


Fig. 19.81

Fig. 19.82

- a* — parametrul de profil;
- b* — valoarea numerică, exprimată în mm, a lungimii de bază corespunzătoare, dacă aceasta diferă de cea indicată în STAS 5730/2-75, sau alți parametri de profil;
- c* — simbolul orientării neregularităților;

d — denumirea procedurii tehnologice, date privind tratamentul termic sau de suprafață, simbolizate conform standardelor corespunzătoare (în cazul unui spațiu insuficient, datele privind tratamentul termic se înscriu în cîmpul desenului);

e — adaosul de prelucrare prescris, exprimat în mm.

Simbolurile pentru reprezentarea pe desen a orientării neregularităților sînt prezentate în tabela 19.1.

Tabela 19.1. Simboluri pentru reprezentarea orientării neregularităților (STAS 612-75)

| Simbol | Orientarea neregularităților | Exemple |
|--------|---|---------|
| = | Paralelă cu planul de proiecție a suprafeței simbolizate | |
| ⊥ | Perpendiculară pe planul de proiecție a suprafeței simbolizate | |
| × | Încrucișat, înclinată față de planul de proiecție a suprafeței simbolizate | |
| M | În mai multe direcții oarecare | |
| C | Aproximativ circulară și concentrică față de centrul suprafeței simbolizate | |
| R | Aproximativ radială față de centrul suprafeței simbolizate | |

3.3. REGULI DE ÎNSCRIERE PE DESEN A DATELOR PRIVIND STAREA SUPRAFEȚELOR

a. Datele privind starea unei suprafețe. Acestea se înscriu o singură dată și numai pe una din proiecțiile obiectului reprezentat, (vedere, secțiune) respectiv pe acea proiecție pe care sînt cotate elementele dimensionale ale suprafeței specificate.

b. Simbolurile pentru notarea stării suprafețelor. Se amplasează, după caz, direct pe liniile de contur, pe linii ajutătoare trasate în prelungirea acestora sau prin intermediul unor linii ajutătoare terminate cu o săgeată (fig. 19.83).

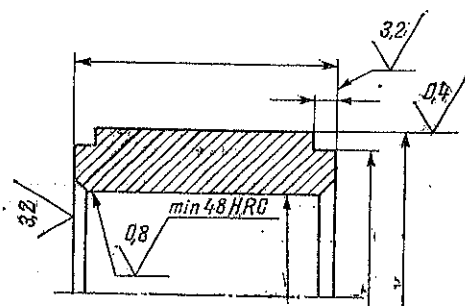


Fig. 19.83

Nu se admite amplasarea simbolurilor pe linii de contur acoperite (trasate cu linie întreruptă) sau pe linii de cotă, cu excepția găurilor a căror reprezentare pe desen este de dimensiuni reduse, în care caz simbolul se amplasează înaintea cotei respective (fig. 19.84).

Vîrfurile simbolului, respectiv săgeata liniei ajutătoare, trebuie să fie orientate spre suprafața specificată (fig. 19.83 ... 19.85).

Amplasarea simbolurilor trebuie să fie în așa fel încît inscripțiile aferente acestora, conform pct. 3.2 să poată fi citite de jos și din dreapta desenului (fig. 19.85), în limitele înclinării admise prin STAS 188-76, fără a fi întrerupte sau întretăiate de liniile de cotă sau ajutătoare.

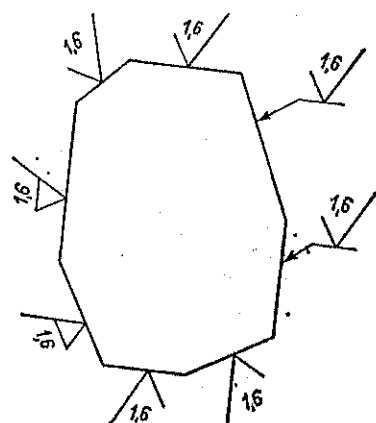


Fig. 19.84

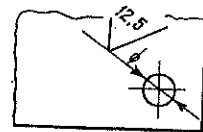


Fig. 19.85

În cazul în care toate suprafețele au o aceeași stare, aceasta se notează prin simbolul corespunzător numai deasupra indicatorului (fig. 19.86).

În cazul în care majoritatea suprafețelor au aceeași stare, aceasta se notează prin simbolul corespunzător numai deasupra indicatorului, pe reprezentarea respectivă (fig. 19.87, a) notîndu-se numai suprafețele a căror stare diferă de cea astfel indicată.

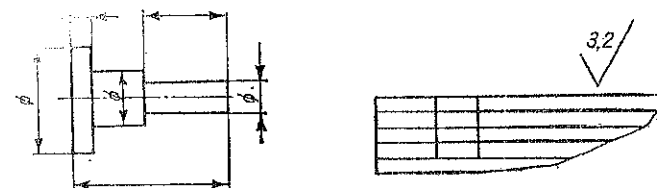


Fig. 19.86

Simbolul poate fi înscris deasupra indicatorului:

- fără a fi urmat de nici o indicație (fig. 19.87, b);
- urmat, între paranteze, de simbolul de bază conform figurii 19.67, aceasta semnificînd faptul că toate suprafețele care nu sînt notate pe reprezentarea respectivă au o aceeași stare fi anume cea indicată în fața parantezei (fig. 19.87, c);

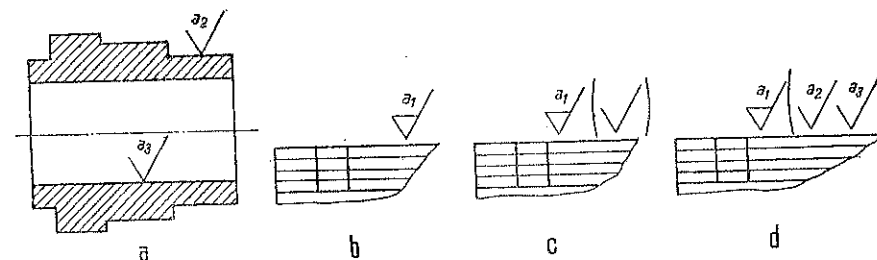


Fig. 19.87

- urmat, între paranteze, de simbolurile stării suprafețelor notate pe reprezentarea respectivă (fig. 19.87, d).

Se recomandă utilizarea sistemului de înscriere a simbolului deasupra indicatorului exemplificat în figura 19.87, b.

d. Părțile unei aceeași suprafețe care au stări diferite. Se notează așa cum este exemplificat în figura 19.88, limita între ele

trasându-se cu o linie continuă, subțire, cu excepția cazului reprezentării în secțiune (fig. 19.88, b).

e. Starea suprafețelor elementelor identice care se repetă pe un desen. Se notează o singură dată, acolo unde este cotelat elementul respectiv (fig. 19.89) sau cât mai aproape de cotă (fig. 19.80).

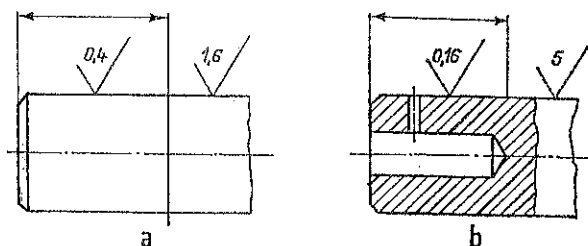


Fig. 19.88

f. Starea suprafețelor de rotație. Se notează pe o singură generatoare a acestora (fig. 19.87, a, 19.88, 19.90 și 19.91). Axele de simetrie ale pieselor nu se referă și la starea suprafețelor simetrice, care trebuie indicată separat (canelurile din figura 19.90).

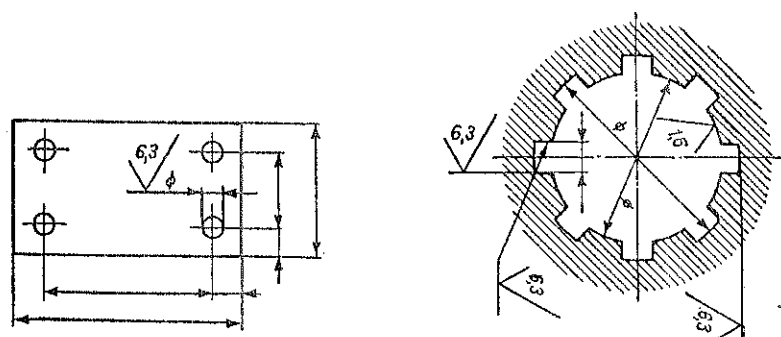


Fig. 19.89

Fig. 19.90

g. Starea suprafețelor de racordare. Acestea nu se notează dacă racordarea se face între două suprafețe având aceeași stare sau dacă racordarea trebuie să aibă starea suprafeței mai netede (fig. 19.91).

h. Notarea pe desen a stării suprafeței elementelor danturii roților dințate sau filetelor se face conform standardelor corespunzătoare acestora.

i. În cazul în care starea suprafețelor în contact se înscrie pe desenul de ansamblu. Aceasta se notează pentru

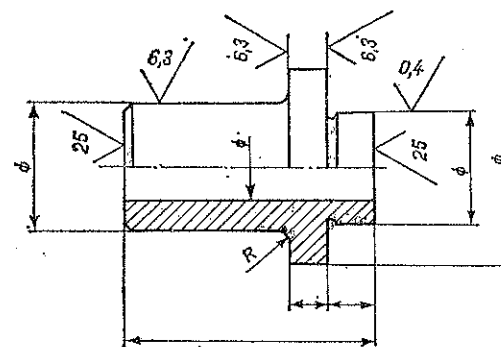


Fig. 9.91

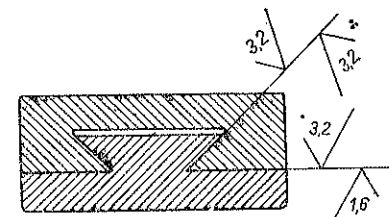


Fig. 19.92

fiecare dintre suprafețele respective, chiar dacă prescripțiile aferente sînt identice (fig. 19.92).

j. În cazul cînd este necesară definirea stării suprafeței (înainte și după tratamentul termic, termochimic sau acoperiri electrochimice etc.). Simbolurile corespunzătoare se amplasează așa cum este exemplificat în fig. 19.93.

k. Evitarea repetării unor notări complexe (sau în cazurile în care spațiul disponibil pentru notare este insuficient). Se admite utilizarea unei notări simplificate așa cum este exemplificat în fig. 19.94, cu condiția explicitării printr-o legendă, amplasată în apropierea indicatorului și semnificației simbolului literal utilizat.

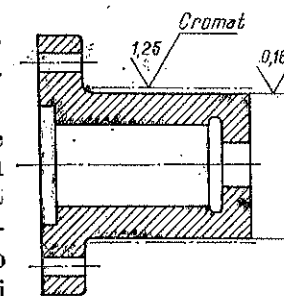


Fig. 9.93

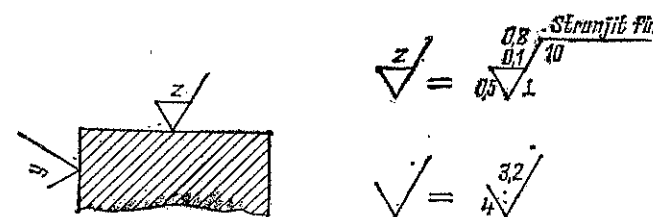


Fig. 19.94

3.4. SEMNE CONVENȚIONALE PENTRU SCHEME CINEMATICE

În STAS 1543-75 sînt indicate semnele convenționale cele mai uzuale pentru scheme cinematice.

3.5. SEMNE CONVENȚIONALE PENTRU SCRIEREA TOLERANȚELOR DE FORMĂ ȘI DE POZIȚIE A SUPRAFEȚELOR ȘI A LINIILOR

În tabela 19.2 sînt indicate după STAS 7385-66 simbolurile pentru toleranțele de formă, iar în tabela 19.3 simbolurile pentru toleranțele de poziție.

Tabela 19.2. Simboluri pentru toleranțele de formă (STAS 7385-66)

| Denumirea toleranței | Simbol | | Denumirea toleranței | Simbol | |
|----------------------------|---------|--------|--------------------------------------|---------|--------|
| | literal | grafic | | literal | grafic |
| Toleranță la rectilinitate | TFr | | Toleranță la cilindricitate | TFI | |
| Toleranță la planitate | TFp | | Toleranță la forma dată a profilului | TFf | |
| Toleranță la circularitate | TFc | | Toleranță la forma dată a suprafeței | TFs | |

Observație. Toleranțele de formă sînt egale (valoric) cu abaterile limită de formă.

Tabela 19.3. Simboluri pentru toleranțele de poziție (STAS 7385-66)

| Denumirea toleranței | Simbol | | Denumirea toleranței | Simbol | |
|---------------------------------|---------|--------|---|---------|--------|
| | literal | grafic | | literal | grafic |
| Toleranță la paralelism | TPl | | Toleranță la coaxialitate și la concentricitate | TPc | |
| Toleranță la perpendicularitate | TPd | | Toleranță la simetrie | TPs | |

continuare tabela 19.3

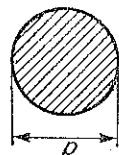
| Denumirea toleranței | Simbol | | Denumirea toleranței | Simbol | |
|---|---------|--------|-------------------------------|---------|--------|
| | literal | grafic | | literal | grafic |
| Toleranță la înclinare | TPi | | Toleranță la intersectare | TPx | |
| Toleranță la bătaie radială și la bătaie frontală | TBf | | Toleranță la poziția nominală | TPp | |

Observații. 1. Toleranțele la paralelism, la perpendicularitate, la înclinare și la bătaia radială sau frontală sînt egale cu abaterile limită de poziție respective. 2. Toleranțele la coaxialitate și concentricitate, la simetrie, la intersectare și la poziția nominală sînt dublul abaterilor limită respective. 3. Se admite prescrierea în desene a abaterilor limită de poziție, în locul toleranțelor de poziție. În aceste cazuri, se folosesc următoarele simboluri: pentru abaterea limită la coaxialitate și la concentricitate (APl_{max}): ; pentru abaterea limită la simetrie (APs_{max}): ; pentru abaterea limită la intersectare (APx_{max}): ; pentru abaterea limită la poziția normală (APP_{max}): . Se va evita pe cît posibil folosirea acestui mod de limitare a abaterilor de poziție.

SEMIFABRICATE METALICE STANDARDIZATE

1. DIMENSIUNI

1.1. SEMIFABRICATE DIN OTEL



Tabelul 20.1. Otel rotund

Diametrul d .mm

| Oțel laminat la cald STAS 333-77 | | Oțel pentru șuruburi, nituri și piulițe STAS 794-78 | | Oțel rotund calibrat STAS 1800-77 | | | | Oțel de scule laminat la cald sau forjat STAS 3021-69 | | | |
|--|-------|--|-------|--------------------------------------|-----|------|----|--|------|------------|-------|
| | | | | | | | | Oțel carbon | | Oțel aliat | |
| (8) | | | | | | | | | | | |
| (10) | | | | | | | | | | | |
| 12 | 60 | 6 | 20 | 1 | 4,1 | 8,5 | 26 | 6 | 40 | 6 | 40 |
| 13 | (63) | 7 | 20,05 | 1,05 | 4,2 | 8,8 | 27 | 7 | 42 | 7 | 42 |
| 14 | 65 | 8 | 21,6 | 1,1 | 4,3 | 9 | 28 | 8 | 45 | 8 | 45 |
| 15 | 70 | 9 | 22,5 | 1,15 | 4,4 | 9,2 | 29 | 9 | 48 | 9 | 48 |
| 16 | 75 | 10 | 20,6 | 1,2 | 4,5 | 9,3 | 30 | 10 | 50 | 10 | 50 |
| (17) | 80 | 10,5 | 24,6 | 1,3 | 4,6 | 9,5 | 31 | 11 | 55 | 11 | 55 |
| 18 | 85 | 12 | 25,0 | 1,4 | 4,7 | 9,8 | 32 | 12 | 60 | 12 | 60 |
| (19) | 90 | 12,5 | 26,6 | 1,5 | 4,8 | 10 | 33 | 13 | (63) | 13 | (63) |
| 20 | 95 | 13 | 27,4 | 1,6 | 4,9 | 10,5 | 34 | 14 | 65 | 14 | 65 |
| 21 | 100 | 13,5 | 28 | 1,7 | 5 | 11 | 35 | 15 | 70 | 16 | 70 |
| 22 | (105) | 15 | 29 | 1,8 | 5,1 | 11,5 | 36 | 16 | 75 | 18 | 75 |
| (23) | 110 | 15,7 | 29,6 | 1,9 | 5,2 | 12 | 37 | 17 | 80 | 20 | 80 |
| 24 | (115) | 16 | 30 | 2 | 5,3 | 12,5 | 38 | 18 | 85 | (21) | 85 |
| 25 | (120) | 16,5 | 32 | 2,1 | 5,4 | 13 | 39 | 19 | 90 | 22 | 90 |
| 26 | (125) | 17,7 | 32,6 | 2,2 | 5,5 | 13,5 | 40 | 20 | 95 | (23) | 95 |
| (27) | 130 | 18 | 34 | 2,3 | 5,6 | 14 | 42 | (21) | 100 | 24 | 100 |
| 28 | (135) | 18,6 | 35,6 | 2,4 | 5,7 | 14,5 | 45 | 22 | 105 | 25 | 105 |
| (29) | 140 | 19 | 36 | 2,5 | 5,8 | 15 | 46 | (23) | 110 | 26 | 110 |
| 30 | (145) | 19,6 | | 2,6 | 5,9 | 15,5 | 48 | 24 | 115 | (27) | 115 |
| 32 | 150 | | | 2,7 | 6 | 16 | 50 | 25 | 120 | 28 | 120 |
| 34 | (155) | | | 2,8 | 6,2 | 16,5 | 52 | (26) | 125 | (29) | (130) |
| 35 | 160 | | | 2,9 | 6,3 | 17 | 53 | (27) | 130 | 30 | 140 |
| 36 | 170 | | | 3 | 5,5 | 17,5 | 55 | 28 | 135 | (31) | (150) |
| 38 | 180 | | | 3,1 | 6,6 | 18 | 56 | (29) | 140 | 32 | (160) |
| 40 | 190 | | | 3,2 | 6,8 | 18,5 | 58 | 30 | 145 | 35 | (170) |
| 42 | 200 | | | 3,3 | 7 | 19 | 60 | (31) | 150 | 38 | (180) |
| 45 | 210 | | | 3,4 | 7,2 | 19,5 | 62 | 32 | 160 | | |
| 48 | 220 | | | 3,5 | 7,3 | 20 | 63 | 35 | 170 | | |

Tabela 20.1 (continuar)

| Oțel laminat la cald STAS 393-77 | | Oțel pentru șuruburi, nituri și piulițe STAS 794-78 | | Oțel rotund calibrat STAS 1800-77 | | | | Oțel de scule laminat la cald sau forjat STAS 3021-69 | | | |
|--|-------|--|--|--------------------------------------|-----|----|----|--|-----|------------|--|
| | | | | | | | | Oțel carbon | | Oțel aliat | |
| 50 | (230) | | | 3,6 | 7,5 | 21 | 65 | 38 | 180 | | |
| 53 | 240 | | | 3,7 | 7,8 | 22 | 67 | | | | |
| (55) | 250 | | | 3,8 | 8 | 23 | 70 | | | | |
| 56 | 270 | | | 3,9 | 8,2 | 24 | 75 | | | | |
| (58) | 300 | | | 4 | 8,3 | 25 | | | | | |

Observație. Dimensiunile între paranteze se execută în înțelegere între producător și beneficiar.

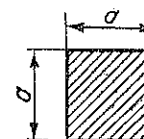


Tabela 20.2. Otel pătrat

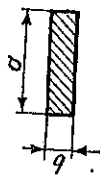
Latura α , mm[illegible]

Tabela 20.3. Otel hexagonal (STAS 2305—78)

Dimensiunea a , mm

| | | | | | | | | |
|-----|-----|-----|------|----|----|----|----|----|
| 3 | 5 | 7,3 | 9,3 | 13 | 18 | 23 | 29 | 46 |
| 3,2 | 5,5 | 7,5 | 10 | 14 | 19 | 24 | 30 | 50 |
| 3,6 | 6 | 8 | 10,3 | 15 | 20 | 25 | 32 | 55 |
| 4 | 6,5 | 8,3 | 11 | 16 | 21 | 26 | 36 | 60 |
| 4,5 | 7 | 9 | 12 | 17 | 22 | 27 | 41 | 65 |
| | | | | | | | | 79 |

Tabela 20.4. Oțel lat laminat la cald (STAS 395-77)



Exemplu de notare: 80 × 16 STAS 395-77/OL 38 STAS 500-88

| Lățimea a mm | Abateri brută mm | Grosimea b, mm | | | | | | | | | | Masa teoretică, kg/m | | | | |
|--------------------|------------------------|----------------|-------|-------|---|---|-------|------|------|------|------|----------------------|------|------|----|----|
| | | 5 | 6 | 7 | 8 | 9 | 10 | 12 | 14 | 16 | 18 | 20 | 25 | 30 | 40 | 50 |
| | | | | | | | | | | | | | | | | |
| 12 | | 0,171 | 0,565 | | | | 0,750 | | | | | | | | | |
| 14 | | | | | | | 0,879 | | | | | | | | | |
| 16 | | | 0,628 | 0,754 | | | 1,01 | 1,25 | | | | | | | | |
| 18 | +0,7 -1,0 | 0,707 | | | | | 1,13 | | | | | | | | | |
| 20 | | 0,785 | 0,942 | | | | 1,26 | 1,57 | | | | | | | | |
| 22 | | | | | | | | 1,73 | 2,07 | | | | | | | |
| 25 | | 0,981 | 1,18 | | | | 1,57 | 1,96 | 2,36 | 3,14 | | | | | | |
| 30 | | 1,18 | 1,41 | 1,65 | | | 1,83 | 2,36 | 2,83 | | 4,70 | | | | | |
| 35 | | 1,37 | 1,65 | | | | 2,20 | 2,75 | 3,30 | 3,85 | 4,40 | | | | | |
| 40 | +0,8 -1,1 | 1,57 | 1,88 | | | | 2,51 | 3,14 | 3,77 | 4,40 | 5,02 | 5,65 | 6,28 | 7,85 | | |
| 45 | | 1,77 | 2,12 | | | | 2,83 | 3,53 | 4,2 | 4,95 | 5,65 | 7,07 | 9,81 | 10,6 | | |
| 50 | | 1,96 | 2,36 | | | | 3,14 | 3,93 | 4,71 | 5,50 | 6,23 | 7,85 | 11,8 | | | |
| 55 | | 2,15 | 2,59 | | | | | 4,92 | 5,18 | 6,05 | 6,91 | | | 13,0 | | |

Dimensiuni

Semifabricate metalice standardizate

| | | | | | | | | | | | | | | | | | |
|-----|--------------|------|------|------|--|--|------|------|------|------|------|--|--|--|------|------|------|
| 60 | +0,9 -1,2 | 2,36 | 2,83 | | | | 3,77 | | | | | | | | 11,8 | 14,1 | 18,8 |
| 70 | +1,0 -1,4 | 2,75 | 3,30 | | | | 4,40 | | | | | | | | 11,0 | 13,7 | 16,5 |
| 80 | +1,2 -1,6 | 3,14 | 3,76 | | | | 5,02 | | | | | | | | 12,6 | 15,7 | 18,8 |
| 90 | +1,3 -1,8 | 3,53 | | | | | 5,65 | | | | | | | | 14,1 | 17,7 | 21,2 |
| 100 | +1,5 -2,0 | 3,92 | 4,71 | | | | 6,28 | | | | | | | | 15,7 | 19,6 | 23,6 |
| 110 | +1,7 -2,2 | | | | | | 6,91 | | | | | | | | 17,3 | 21,6 | 25,9 |
| 120 | +1,8 -2,4 | 4,71 | 5,66 | | | | 7,54 | | | | | | | | 18,8 | 23,6 | 28,3 |
| 130 | +2,0 -2,6 | | 6,12 | | | | 8,16 | | | | | | | | | 30,6 | 40,8 |
| 140 | +2,1 -2,8 | | 6,59 | 7,70 | | | 8,79 | 9,89 | | | | | | | 22,0 | 33,0 | 44,0 |
| 150 | +2,3 -3,0 | 5,80 | 7,07 | | | | 9,42 | 11,8 | 14,1 | 16,1 | 18,8 | | | | 23,6 | 29,4 | 58,9 |

Observație. Masa teoretică este calculată pentru dimensiunile nominale, luând ca bază densitatea oțelului de 7,85 kg/dm³.

Tabela 20.5. Oțel lat calibrat (STAS 6972-76)

Exemplu de notare: Oțel tras 20 × 5 je 6 STAS 6972-76/OLC 45 STAS 880-66

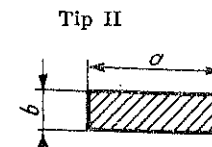
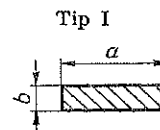
| Nominală | Lățimea a , mm | | | | | | | | | | | Grosimea b , mm | | | | | | | | | | | | | | | | | | | | | | | | | | | | | | | | | | | | | | | | | | | | | | | | | | | | | | | | | | | | | | | | | | | | | | | | | | | | | | | | | | | | | | | | | | | | | | | | | | | | | | | | | | | | | | | | | | | | | | | | | | | | | | | | | | | | | | | | | | | | | | | | | | | | | | | | | | | | | | | | | | | | | | | | | | | | | | | | | | | | | | | | | | | | | | | | | | | | | | | | | | | | | | | | | | | | | | | | | | | | | | | | | | | | | | | | | | | | | | | | | | | | | | | | | | | | | | | | | | | | | | | | | | | | | | | | | | | | | | | | | | | | | | | | | | | | | | | | | | | | | | | | | | | | | | | | | | | | | | | | | | | | | | | | | | | | | | | | | | | | | | | | | | | | | | | | | | | | | | | | | | | | | | | | | | | | | | | | | | | | | | | | | | | | | | | | | | | | | | | | | | | | | | | | | | | | | | | | | | | | | | | | | | | | | | | | | | | | | | | | | | | | | | | | | | | | | | | | | | | | | | | | | | | | | | | | | | | | | | | | | | | | | | | | | | | | | | | | | | | | | | | | | | | | | | | | | | | | | | | | | | | | | | | | | | | | | | | | | | | | | | | | | | | | | | | | | | | | | | | | | | | | | | | | | | | | | | | | | | | | | | | | | | | | | | | | | | | | | | | | | | | | | | | | | | | | | | | | | | | | | | | | | | | | | | | | | | | | | | | | | | | | | | | | | | | | | | | | | | | | | | | | | | | | | | | | | | | | | | | | | | | | | | | | | | | | | | | | | | | | | | | | | | | | | | | | | | | | | | | | | | | | | | | | | | | | | | | | | | | | | | | | | | | | | | | | | | | | | | | | | | | |
|--|------------------|--------|--------|--------|--------|--------|--------|--------|--------|--------|--------|----------------------------------|--------|--------|--------|--------|--------|--------|--------|--------|--------|--------|--------|--------|--------|--------|--------|--------|--------|--------|--------|--------|--------|--------|--------|--------|--------|--------|--------|--------|--------|--------|--------|--------|--------|--------|--------|--------|--------|--------|--------|--------|--------|--------|--------|--------|--------|--------|--------|--------|--------|--------|--------|--------|--------|--------|--------|--------|--------|--------|--------|--------|--------|--------|--------|--------|--------|--------|--------|--------|--------|--------|--------|--------|--------|--------|--------|--------|--------|--------|--------|--------|--------|--------|--------|--------|--------|--------|--------|--------|--------|--------|--------|--------|--------|--------|--------|--------|--------|--------|--------|--------|--------|--------|--------|--------|--------|--------|--------|--------|--------|--------|--------|--------|--------|--------|--------|--------|--------|--------|--------|--------|--------|--------|--------|--------|--------|--------|--------|--------|--------|--------|--------|--------|--------|--------|--------|--------|--------|--------|--------|--------|--------|--------|--------|--------|--------|--------|--------|--------|--------|--------|--------|--------|--------|--------|--------|--------|--------|--------|--------|--------|--------|--------|--------|--------|--------|--------|--------|--------|--------|--------|--------|--------|--------|--------|--------|--------|--------|--------|--------|--------|--------|--------|--------|--------|--------|--------|--------|--------|--------|--------|--------|--------|--------|--------|--------|--------|--------|--------|--------|--------|--------|--------|--------|--------|--------|--------|--------|--------|--------|--------|--------|--------|--------|--------|--------|--------|--------|--------|--------|--------|--------|--------|--------|--------|--------|--------|--------|--------|--------|--------|--------|--------|--------|--------|--------|--------|--------|--------|--------|--------|--------|--------|--------|--------|--------|--------|--------|--------|--------|--------|--------|--------|--------|--------|--------|--------|--------|--------|--------|--------|--------|--------|--------|--------|--------|--------|--------|--------|--------|--------|--------|--------|--------|--------|--------|--------|--------|--------|--------|--------|--------|--------|--------|--------|--------|--------|--------|--------|--------|--------|--------|--------|--------|--------|--------|--------|--------|--------|--------|--------|--------|--------|--------|--------|--------|--------|--------|--------|--------|--------|--------|--------|--------|--------|--------|--------|--------|--------|--------|--------|--------|--------|--------|--------|--------|--------|--------|--------|--------|--------|--------|--------|--------|--------|--------|--------|--------|--------|--------|--------|--------|--------|--------|--------|--------|--------|--------|--------|--------|--------|--------|--------|--------|--------|--------|--------|--------|--------|--------|--------|--------|--------|--------|--------|--------|--------|--------|--------|--------|--------|--------|--------|--------|--------|--------|--------|--------|--------|--------|--------|--------|--------|--------|--------|--------|--------|--------|--------|--------|--------|--------|--------|--------|--------|--------|--------|--------|--------|--------|--------|--------|--------|--------|--------|--------|--------|--------|--------|--------|--------|--------|--------|--------|--------|--------|--------|--------|--------|--------|--------|--------|--------|--------|--------|--------|--------|--------|--------|--------|--------|--------|--------|--------|--------|--------|--------|--------|--------|--------|--------|--------|--------|--------|--------|--------|--------|--------|--------|--------|--------|--------|--------|--------|--------|--------|--------|--------|--------|--------|--------|--------|--------|--------|--------|--------|--------|--------|--------|--------|--------|--------|--------|--------|--------|--------|--------|--------|--------|--------|--------|--------|--------|--------|--------|--------|--------|--------|--------|--------|--------|--------|--------|--------|--------|--------|--------|--------|--------|--------|--------|--------|--------|--------|--------|--------|--------|--------|--------|--------|--------|--------|--------|--------|--------|--------|--------|--------|--------|--------|--------|--------|--------|--------|--------|--------|--------|--------|--------|--------|--------|--------|--------|--------|--------|--------|--------|--------|--------|--------|--------|--------|--------|--------|--------|--------|--------|--------|--------|--------|--------|--------|--------|--------|--------|--------|--------|--------|--------|--------|--------|--------|--------|--------|--------|--------|--------|--------|--------|--------|--------|--------|--------|--------|--------|--------|--------|--------|--------|--------|--------|--------|--------|--------|--------|--------|--------|--------|--------|--------|--------|--------|--------|--------|--------|--------|--------|--------|--------|--------|--------|--------|--------|--------|--------|--------|--------|--------|--------|--------|--------|--------|--------|--------|--------|--------|--------|--------|--------|--------|--------|--------|--------|--------|--------|--------|--------|--------|--------|--------|--------|--------|--------|--------|--------|--------|--------|--------|--------|--------|--------|--------|--------|--------|--------|--------|--------|--------|--------|--------|--------|--------|--------|--------|--------|--------|--------|--------|--------|--------|--------|--------|--------|--------|--------|--------|--------|--------|--------|--------|--------|--------|--------|--------|--------|--------|--------|--------|--------|--------|--------|--------|--------|--------|--------|--------|--------|--------|--------|--------|--------|--------|--------|--------|--------|--------|--------|--------|--------|--------|--------|--------|--------|--------|--------|--------|--------|--------|--------|--------|--------|--------|--------|--------|--------|--------|--------|--------|--------|--------|--------|--------|--------|--------|--------|--------|--------|--------|--------|--------|--------|--------|--------|--------|--------|--------|--------|--------|--------|--------|--------|--------|--------|--------|--------|--------|--------|--------|--------|--------|--------|--------|--------|--------|--------|--------|--------|--------|--------|--------|--------|--------|--------|--------|
| | | | | | | | | | | | | | | | | | | | | | | | | | | | | | | | | | | | | | | | | | | | | | | | | | | | | | | | | | | | | | | | | | | | | | | | | | | | | | | | | | | | | | | | | | | | | | | | | | | | | | | | | | | | | | | | | | | | | | | | | | | | | | | | | | | | | | | | | | | | | | | | | | | | | | | | | | | | | | | | | | | | | | | | | | | | | | | | | | | | | | | | | | | | | | | | | | | | | | | | | | | | | | | | | | | | | | | | | | | | | | | | | | | | | | | | | | | | | | | | | | | | | | | | | | | | | | | | | | | | | | | | | | | | | | | | | | | | | | | | | | | | | | | | | | | | | | | | | | | | | | | | | | | | | | | | | | | | | | | | | | | | | | | | | | | | | | | | | | | | | | | | | | | | | | | | | | | | | | | | | | | | | | | | | | | | | | | | | | | | | | | | | | | | | | | | | | | | | | | | | | | | | | | | | | | | | | | | | | | | | | | | | | | | | | | | | | | | | | | | | | | | | | | | | | | | | | | | | | | | | | | | | | | | | | | | | | | | | | | | | | | | | | | | | | | | | | | | | | | | | | | | | | | | | | | | | | | | | | | | | | | | | | | | | | | | | | | | | | | | | | | | | | | | | | | | | | | | | | | | | | | | | | | | | | | | | | | | | | | | | | | | | | | | | | | | | | | | | | | | | | | | | | | | | | | | | | | | | | | | | | | | | | | | | | | | | | | | | | | | | | | | | | | | | | | | | | | | | | | | | | | | | | | | | | | | | | | | | | | | | | | | | | | | | | | | | | | | | | | | | | | | | | | | | | | | | | | | | | | | | | | | | | | | | | | | | | | | | | | | | | | | | | | | | | | | | | | | | | | | | | | | | | | | | | | | | | | | |
| | Abateri limită | | | | | | | | | | | Abateri limită pentru h II, mm | | | | | | | | | | | | | | | | | | | | | | | | | | | | | | | | | | | | | | | | | | | | | | | | | | | | | | | | | | | | | | | | | | | | | | | | | | | | | | | | | | | | | | | | | | | | | | | | | | | | | | | | | | | | | | | | | | | | | | | | | | | | | | | | | | | | | | | | | | | | | | | | | | | | | | | | | | | | | | | | | | | | | | | | | | | | | | | | | | | | | | | | | | | | | | | | | | | | | | | | | | | | | | | | | | | | | | | | | | | | | | | | | | | | | | | | | | | | | | | | | | | | | | | | | | | | | | | | | | | | | | | | | | | | | | | | | | | | | | | | | | | | | | | | | | | | | | | | | | | | | | | | | | | | | | | | | | | | | | | | | | | | | | | | | | | | | | | | | | | | | | | | | | | | | | | | | | | | | | | | | | | | | | | | | | | | | | | | | | | | | | | | | | | | | | | | | | | | | | | | | | | | | | | | | | | | | | | | | | | | | | | | | | | | | | | | | | | | | | | | | | | | | | | | | | | | | | | | | | | | | | | | | | | | | | | | | | | | | | | | | | | | | | | | | | | | | | | | | | | | | | | | | | | | | | | | | | | | | | | | | | | | | | | | | | | | | | | | | | | | | | | | | | | | | | | | | | | | | | | | | | | | | | | | | | | | | | | | | | | | | | | | | | | | | | | | | | | | | | | | | | | | | | | | | | | | | | | | | | | | | | | | | | | | | | | | | | | | | | | | | | | | | | | | | | | | | | | | | | | | | | | | | | | | | | | | | | | | | | | | | | | | | | | | | | | | | | | | | | | | | | | | | | | | | | | | | | | | | | | | | | | | | | | | | | | | | | | | | | | | | | | | | | | | | | | | | | | | | | | | | | | |
| | | | | | | | | | | | | | | | | | | | | | | | | | | | | | | | | | | | | | | | | | | | | | | | | | | | | | | | | | | | | | | | | | | | | | | | | | | | | | | | | | | | | | | | | | | | | | | | | | | | | | | | | | | | | | | | | | | | | | | | | | | | | | | | | | | | | | | | | | | | | | | | | | | | | | | | | | | | | | | | | | | | | | | | | | | | | | | | | | | | | | | | | | | | | | | | | | | | | | | | | | | | | | | | | | | | | | | | | | | | | | | | | | | | | | | | | | | | | | | | | | | | | | | | | | | | | | | | | | | | | | | | | | | | | | | | | | | | | | | | | | | | | | | | | | | | | | | | | | | | | | | | | | | | | | | | | | | | | | | | | | | | | | | | | | | | | | | | | | | | | | | | | | | | | | | | | | | | | | | | | | | | | | | | | | | | | | | | | | | | | | | | | | | | | | | | | | | | | | | | | | | | | | | | | | | | | | | | | | | | | | | | | | | | | | | | | | | | | | | | | | | | | | | | | | | | | | | | | | | | | | | | | | | | | | | | | | | | | | | | | | | | | | | | | | | | | | | | | | | | | | | | | | | | | | | | | | | | | | | | | | | | | | | | | | | | | | | | | | | | | | | | | | | | | | | | | | | | | | | | | | | | | | | | | | | | | | | | | | | | | | | | | | | | | | | | | | | | | | | | | | | | | | | | | | | | | | | | | | | | | | | | | | | | | | | | | | | | | | | | | | | | | | | | | | | | | | | | | | | | | | | | | | | | | | | | | | | | | | | | | | | | | | | | | | | | | | | | | | | | | | | | | | | | | | | | | | | | | | | | | | | | | | | | | | | | | | | | | | | | | | | | | | | | | | | | | | | | | | | | | | | | | | | | | | | | | | | | |
| 5 6 8 10 12 14 16 18 20 22 25 28 (29) 32 36 40 45 50 56 63 70 80 90 100 | h 11 | | | | | | | | | | | h 12 | | | | | | | | | | | | | | | | | | | | | | | | | | | | | | | | | | | | | | | | | | | | | | | | | | | | | | | | | | | | | | | | | | | | | | | | | | | | | | | | | | | | | | | | | | | | | | | | | | | | | | | | | | | | | | | | | | | | | | | | | | | | | | | | | | | | | | | | | | | | | | | | | | | | | | | | | | | | | | | | | | | | | | | | | | | | | | | | | | | | | | | | | | | | | | | | | | | | | | | | | | | | | | | | | | | | | | | | | | | | | | | | | | | | | | | | | | | | | | | | | | | | | | | | | | | | | | | | | | | | | | | | | | | | | | | | | | | | | | | | | | | | | | | | | | | | | | | | | | | | | | | | | | | | | | | | | | | | | | | | | | | | | | | | | | | | | | | | | | | | | | | | | | | | | | | | | | | | | | | | | | | | | | | | | | | | | | | | | | | | | | | | | | | | | | | | | | | | | | | | | | | | | | | | | | | | | | | | | | | | | | | | | | | | | | | | | | | | | | | | | | | | | | | | | | | | | | | | | | | | | | | | | | | | | | | | | | | | | | | | | | | | | | | | | | | | | | | | | | | | | | | | | | | | | | | | | | | | | | | | | | | | | | | | | | | | | | | | | | | | | | | | | | | | | | | | | | | | | | | | | | | | | | | | | | | | | | | | | | | | | | | | | | | | | | | | | | | | | | | | | | | | | | | | | | | | | | | | | | | | | | | | | | | | | | | | | | | | | | | | | | | | | | | | | | | | | | | | | | | | | | | | | | | | | | | | | | | | | | | | | | | | | | | | | | | | | | | | | | | | | | | | | | | | | | | | | | | | | | | | | | | | | | | | | | | | | | | | | | | | | | | | | | | | | | | | | | | | | | | | | | | |
| | | | | | | | | | | | | | | | | | | | | | | | | | | | | | | | | | | | | | | | | | | | | | | | | | | | | | | | | | | | | | | | | | | | | | | | | | | | | | | | | | | | | | | | | | | | | | | | | | | | | | | | | | | | | | | | | | | | | | | | | | | | | | | | | | | | | | | | | | | | | | | | | | | | | | | | | | | | | | | | | | | | | | | | | | | | | | | | | | | | | | | | | | | | | | | | | | | | | | | | | | | | | | | | | | | | | | | | | | | | | | | | | | | | | | | | | | | | | | | | | | | | | | | | | | | | | | | | | | | | | | | | | | | | | | | | | | | | | | | | | | | | | | | | | | | | | | | | | | | | | | | | | | | | | | | | | | | | | | | | | | | | | | | | | | | | | | | | | | | | | | | | | | | | | | | | | | | | | | | | | | | | | | | | | | | | | | | | | | | | | | | | | | | | | | | | | | | | | | | | | | | | | | | | | | | | | | | | | | | | | | | | | | | | | | | | | | | | | | | | | | | | | | | | | | | | | | | | | | | | | | | | | | | | | | | | | | | | | | | | | | | | | | | | | | | | | | | | | | | | | | | | | | | | | | | | | | | | | | | | | | | | | | | | | | | | | | | | | | | | | | | | | | | | | | | | | | | | | | | | | | | | | | | | | | | | | | | | | | | | | | | | | | | | | | | | | | | | | | | | | | | | | | | | | | | | | | | | | | | | | | | | | | | | | | | | | | | | | | | | | | | | | | | | | | | | | | | | | | | | | | | | | | | | | | | | | | | | | | | | | | | | | | | | | | | | | | | | | | | | | | | | | | | | | | | | | | | | | | | | | | | | | | | | | | | | | | | | | | | | | | | | | | | | | | | | | | | | | | | | | | | | | | | | | | | | | | | | |
| | -0,090 | -0,090 | -0,090 | -0,090 | -0,090 | -0,090 | -0,090 | -0,090 | -0,090 | -0,090 | -0,090 | -0,090 | -0,090 | -0,090 | -0,090 | -0,090 | -0,090 | -0,090 | -0,090 | -0,090 | -0,090 | -0,090 | -0,090 | -0,090 | -0,090 | -0,090 | -0,090 | -0,090 | -0,090 | -0,090 | -0,090 | -0,090 | -0,090 | -0,090 | -0,090 | -0,090 | -0,090 | -0,090 | -0,090 | -0,090 | -0,090 | -0,090 | -0,090 | -0,090 | -0,090 | -0,090 | -0,090 | -0,090 | -0,090 | -0,090 | -0,090 | -0,090 | -0,090 | -0,090 | -0,090 | -0,090 | -0,090 | -0,090 | -0,090 | -0,090 | -0,090 | -0,090 | -0,090 | -0,090 | -0,090 | -0,090 | -0,090 | -0,090 | -0,090 | -0,090 | -0,090 | -0,090 | -0,090 | -0,090 | -0,090 | -0,090 | -0,090 | -0,090 | -0,090 | -0,090 | -0,090 | -0,090 | -0,090 | -0,090 | -0,090 | -0,090 | -0,090 | -0,090 | -0,090 | -0,090 | -0,090 | -0,090 | -0,090 | -0,090 | -0,090 | -0,090 | -0,090 | -0,090 | -0,090 | -0,090 | -0,090 | -0,090 | -0,090 | -0,090 | -0,090 | -0,090 | -0,090 | -0,090 | -0,090 | -0,090 | -0,090 | -0,090 | -0,090 | -0,090 | -0,090 | -0,090 | -0,090 | -0,090 | -0,090 | -0,090 | -0,090 | -0,090 | -0,090 | -0,090 | -0,090 | -0,090 | -0,090 | -0,090 | -0,090 | -0,090 | -0,090 | -0,090 | -0,090 | -0,090 | -0,090 | -0,090 | -0,090 | -0,090 | -0,090 | -0,090 | -0,090 | -0,090 | -0,090 | -0,090 | -0,090 | -0,090 | -0,090 | -0,090 | -0,090 | -0,090 | -0,090 | -0,090 | -0,090 | -0,090 | -0,090 | -0,090 | -0,090 | -0,090 | -0,090 | -0,090 | -0,090 | -0,090 | -0,090 | -0,090 | -0,090 | -0,090 | -0,090 | -0,090 | -0,090 | -0,090 | -0,090 | -0,090 | -0,090 | -0,090 | -0,090 | -0,090 | -0,090 | -0,090 | -0,090 | -0,090 | -0,090 | -0,090 | -0,090 | -0,090 | -0,090 | -0,090 | -0,090 | -0,090 | -0,090 | -0,090 | -0,090 | -0,090 | -0,090 | -0,090 | -0,090 | -0,090 | -0,090 | -0,090 | -0,090 | -0,090 | -0,090 | -0,090 | -0,090 | -0,090 | -0,090 | -0,090 | -0,090 | -0,090 | -0,090 | -0,090 | -0,090 | -0,090 | -0,090 | -0,090 | -0,090 | -0,090 | -0,090 | -0,090 | -0,090 | -0,090 | -0,090 | -0,090 | -0,090 | -0,090 | -0,090 | -0,090 | -0,090 | -0,090 | -0,090 | -0,090 | -0,090 | -0,090 | -0,090 | -0,090 | -0,090 | -0,090 | -0,090 | -0,090 | -0,090 | -0,090 | -0,090 | -0,090 | -0,090 | -0,090 | -0,090 | -0,090 | -0,090 | -0,090 | -0,090 | -0,090 | -0,090 | -0,090 | -0,090 | -0,090 | -0,090 | -0,090 | -0,090 | -0,090 | -0,090 | -0,090 | -0,090 | -0,090 | -0,090 | -0,090 | -0,090 | -0,090 | -0,090 | -0,090 | -0,090 | -0,090 | -0,090 | -0,090 | -0,090 | -0,090 | -0,090 | -0,090 | -0,090 | -0,090 | -0,090 | -0,090 | -0,090 | -0,090 | -0,090 | -0,090 | -0,090 | -0,090 | -0,090 | -0,090 | -0,090 | -0,090 | -0,090 | -0,090 | -0,090 | -0,090 | -0,090 | -0,090 | -0,090 | -0,090 | -0,090 | -0,090 | -0,090 | -0,090 | -0,090 | -0,090 | -0,090 | -0,090 | -0,090 | -0,090 | -0,090 | -0,090 | -0,090 | -0,090 | -0,090 | -0,090 | -0,090 | -0,090 | -0,090 | -0,090 | -0,090 | -0,090 | -0,090 | -0,090 | -0,090 | -0,090 | -0,090 | -0,090 | -0,090 | -0,090 | -0,090 | -0,090 | -0,090 | -0,090 | -0,090 | -0,090 | -0,090 | -0,090 | -0,090 | -0,090 | -0,090 | -0,090 | -0,090 | -0,090 | -0,090 | -0,090 | -0,090 | -0,090 | -0,090 | -0,090 | -0,090 | -0,090 | -0,090 | -0,090 | -0,090 | -0,090 | -0,090 | -0,090 | -0,090 | -0,090 | -0,090 | -0,090 | -0,090 | -0,090 | -0,090 | -0,090 | -0,090 | -0,090 | -0,090 | -0,090 | -0,090 | -0,090 | -0,090 | -0,090 | -0,090 | -0,090 | -0,090 | -0,090 | -0,090 | -0,090 | -0,090 | -0,090 | -0,090 | -0,090 | -0,090 | -0,090 | -0,090 | -0,090 | -0,090 | -0,090 | -0,090 | -0,090 | -0,090 | -0,090 | -0,090 | -0,090 | -0,090 | -0,090 | -0,090 | -0,090 | -0,090 | -0,090 | -0,090 | -0,090 | -0,090 | -0,090 | -0,090 | -0,090 | -0,090 | -0,090 | -0,090 | -0,090 | -0,090 | -0,090 | -0,090 | -0,090 | -0,090 | -0,090 | -0,090 | -0,090 | -0,090 | -0,090 | -0,090 | -0,090 | -0,090 | -0,090 | -0,090 | -0,090 | -0,090 | -0,090 | -0,090 | -0,090 | -0,090 | -0,090 | -0,090 | -0,090 | -0,090 | -0,090 | -0,090 | -0,090 | -0,090 | -0,090 | -0,090 | -0,090 | -0,090 | -0,090 | -0,090 | -0,090 | -0,090 | -0,090 | -0,090 | -0,090 | -0,090 | -0,090 | -0,090 | -0,090 | -0,090 | -0,090 | -0,090 | -0,090 | -0,090 | -0,090 | -0,090 | -0,090 | -0,090 | -0,090 | -0,090 | -0,090 | -0,090 | -0,090 | -0,090 | -0,090 | -0,090 | -0,090 | -0,090 | -0,090 | -0,090 | -0,090 | -0,090 | -0,090 | -0,090 | -0,090 | -0,090 | -0,090 | -0,090 | -0,090 | -0,090 | -0,090 | -0,090 | -0,090 | -0,090 | -0,090 | -0,090 | -0,090 | -0,090 | -0,090 | -0,090 | -0,090 | -0,090 | -0,090 | -0,090 | -0,090 | -0,090 | -0,090 | -0,090 | -0,090 | -0,090 | -0,090 | -0,090 | -0,090 | -0,090 | -0,090 | -0,090 | -0,090 | -0,090 | -0,090 | -0,090 | -0,090 | -0,090 | -0,090 | -0,090 | -0,090 | -0,090 | -0,090 | -0,090 | -0,090 | -0,090 | -0,090 | -0,090 | -0,090 | -0,090 | -0,090 | -0,090 | -0,090 | -0,090 | -0,090 | -0,090 | -0,090 | -0,090 | -0,090 | -0,090 | -0,090 | -0,090 | -0,090 | -0,090 | -0,090 | -0,090 | -0,090 | -0,090 | -0,090 | -0,090 | -0,090 | -0,090 | -0,090 | -0,090 | -0,090 | -0,090 | -0,090 | -0,090 | -0,090 | -0,090 | -0,090 | -0,090 | -0,090 | -0,090 | -0,090 | -0,090 | -0,090 | -0,090 | -0,090 | -0,090 | -0,090 | -0,090 | -0,090 | -0,090 | -0,090 | -0,090 | -0,090 | -0,090 | -0,090 | -0,090 | -0,090 | -0,090 | -0,090 | -0,090 | -0,090 | -0,090 | -0,090 | -0,090 | -0,090 | -0,090 | -0,090 | -0,090 | -0,090 | -0,090 | -0,090 | -0,090 | -0,090 | -0,090 | -0,090 | -0,090 | -0,090 | -0,090 | -0,090 | -0,090 | -0,090 | -0,090 | -0,090 | -0,090 | -0,090 | -0,090 | -0,090 | -0,090 | -0,090 | -0,090 | -0,090 | -0,090 | -0,090 | -0,090 | -0,090 | -0,090 | -0,090 | -0,090 | -0,090 | -0,090 | -0,090 | -0,090 | -0,090 | -0,090 | -0,090 | -0,090 | -0,090 | -0,090 | -0,090 | -0,090 | -0,090 | -0,090 | -0,090 | -0,090 | -0,090 | -0,090 | -0,090 | -0,090 | -0,090 | -0,090 | -0,090 | -0,090 | -0,090 | -0,090 | -0,090 | -0,090 | -0,090 | -0,090 | -0,090 | -0,090 | -0,090 | -0,090 | -0,090 | -0,090 | -0,090 | -0,090 | -0,090 | -0,090 | -0,090 | -0,090 | -0,090 | -0,090 | -0,090 | -0,090 | -0,090 | -0,090 | -0,090 | -0,090 | -0,090 | -0,090 | -0,090 | -0,090 | -0,090 | -0,090 | -0,090 | -0,090 | -0,090 | -0,090 | -0,090 | -0,090 | -0,090 | -0,090 | -0,090 | -0,090 | -0,090 | -0,090 | -0,090 | -0,090 | -0,090 | -0,090 | -0,090 | -0,090 | -0,090 | -0,090 | -0,090 | -0,090 | -0,090 | -0,090 | -0,090 | -0,090 | -0,090 | -0,090 | -0,090 | -0,090 | -0,090 | -0,090 | -0,090 | -0,090 | -0,090 | -0,090 | -0,090 | -0,090 | -0,090 | -0,090 | -0,090 | -0,090 | -0,090 | -0,090 | -0,090 | -0,090 | -0,090 | -0,090 | -0,090 | -0,090 | -0,090 | -0,090 | -0,090 | -0,090 | -0,090 | -0,090 | -0,090 | -0,090 | -0,090 | -0,090 | -0,090 | -0,090 | -0,090 | -0,090 | -0,090 | -0,090 | -0,090 | -0,090 | -0,090 | -0,090 | -0,090 | -0,090 | -0,090 | -0,090 | -0,090 | -0,090 | -0,090 | -0,090 | -0,090 | -0,090 | -0,090 | -0,090 | -0,090 | -0,090 | -0,090 | -0,090 | -0,090 | -0,090 | -0,090 | -0,090 | -0,090 | -0,090 | -0,090 | -0,090 | -0,090 | -0,090 | -0,090 | -0,090 |

Dimensiuni

Dimensiuni

761

Tabela 20.6. Oțel lat pentru foi de arcuiri laminat la cald (STAS 3020-69)



Exemplu de notare: I 40 × 7 B STAS 3020-69/Arc 4 STAS 795-77

| Lățimea a , mm | Grosimea b , mm | | | | | | | | | | |
|------------------|-------------------|------|------|------|------|-------|-------|-------|-------|-------|----|
| | 4 | 5 | 6 | 7 | 8 | 9 | 10 | 11 | 12 | 13 | 15 |
| | Masa, kg/m | | | | | | | | | | |
| 30 | 0,94 | 1,18 | 1,41 | 1,64 | 1,98 | — | — | — | — | — | — |
| 35 | — | 1,38 | 1,65 | 1,92 | 2,19 | 2,47 | 2,74 | — | — | — | — |
| 40 | 1,26 | 1,57 | 1,88 | 2,20 | 2,51 | 2,82 | 3,14 | — | — | — | — |
| 45 | 1,41 | 1,77 | 2,12 | 2,47 | 2,87 | 3,17 | 3,53 | — | — | — | — |
| 50 | 1,57 | 1,96 | 2,36 | 2,75 | 3,14 | 3,53 | 3,93 | — | — | — | — |
| 55 | — | 2,16 | 2,59 | 3,04 | 3,45 | 3,88 | 4,32 | — | — | — | — |
| 58 | — | 2,27 | 2,73 | 3,19 | 3,64 | 4,10 | 4,55 | — | — | — | — |
| 60 | — | 2,36 | 2,83 | 3,29 | 3,77 | 4,24 | 4,71 | 5,17 | 5,64 | — | — |
| 65 | — | 2,55 | 3,06 | 3,67 | 4,08 | 4,60 | 5,10 | 5,61 | 6,12 | — | — |
| 70 | — | 2,75 | 3,30 | 3,85 | 4,40 | 4,94 | 5,50 | 6,03 | 6,59 | — | — |
| 75 | 2,35 | 2,94 | 3,53 | 4,12 | 4,71 | 5,30 | 5,89 | — | — | — | — |
| 80 | — | 3,14 | 3,77 | 4,40 | 5,02 | — | 6,28 | — | 7,54 | — | — |
| 90 | — | — | — | 4,95 | 5,65 | 6,36 | 7,07 | — | 8,48 | 9,18 | — |
| 100 | — | — | — | 5,50 | 6,28 | 7,06 | 7,85 | — | 9,42 | 10,40 | — |
| 110 | — | — | — | — | 6,91 | — | 8,64 | — | 10,36 | — | — |
| 120 | — | — | — | 6,59 | 7,54 | — | 9,42 | — | 11,30 | — | — |
| 140 | — | — | — | — | — | 9,89 | 10,99 | 12,89 | — | — | — |
| 145 | — | — | — | — | — | 10,24 | 11,38 | — | — | — | — |
| 150 | — | — | — | — | 9,42 | — | — | — | — | — | — |

Observații. 1. Cu acordul producătorului se mai pot lamina și următoarele dimensiuni speciale: 42 × 6; 42 × 7; 45 × 6,5; 63 × 6,5; 63 × 9,5; 63 × 11; 76 × 8; 76 × 9,5; 150 × 14,5. 2. Masa a fost calculată cu densitatea de 7,85 kg/dm³. 3. Material: Oțel pentru arcuiri STAS 795-77.

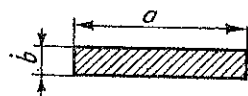


Tabela 20.7. Bandă de oțel (STAS)

| Lățimea a mm | Grosime | | | | | | | | | |
|--------------------|---------|-------|-------|-------|-------|-------|-------|-------|-------|-------|
| | 1,00 | 1,25 | 1,50 | 1,75 | 1,80 | 2,00 | 2,25 | 2,50 | 2,75 | 3,00 |
| Masa teore- | | | | | | | | | | |
| 20 | 0,157 | 0,196 | 0,236 | 0,275 | — | 0,314 | 0,353 | 0,393 | 0,432 | 0,471 |
| 25 | 0,196 | 0,245 | 0,294 | 0,343 | — | 0,393 | 0,442 | 0,491 | 0,540 | 0,589 |
| 30 | 0,236 | 0,294 | 0,333 | 0,412 | — | 0,471 | 0,530 | 0,589 | 0,648 | 0,707 |
| 35 | 0,275 | 0,343 | 0,412 | 0,481 | — | 0,550 | 0,618 | 0,687 | 0,756 | 0,824 |
| 40 | 0,314 | 0,393 | 0,471 | 0,550 | — | 0,628 | 0,706 | 0,785 | 0,864 | 0,942 |
| 45 | — | — | 0,530 | 0,618 | — | 0,707 | 0,795 | 0,883 | 0,971 | 1,060 |
| 50 | — | — | 0,589 | 0,687 | — | 0,785 | 0,883 | 0,981 | 1,079 | 1,178 |
| 55 | — | — | 0,648 | 0,756 | — | 0,864 | 0,971 | 1,079 | 1,187 | 1,295 |
| 60 | — | — | 0,707 | 0,824 | — | 0,942 | 1,060 | 1,178 | 1,295 | 1,413 |
| 5 | — | — | 0,765 | 0,893 | — | 1,021 | 1,148 | 1,276 | 1,403 | 1,531 |
| 65 | — | — | — | — | — | 1,099 | 1,236 | 1,374 | 1,511 | 1,649 |
| 75 | — | — | — | — | — | 1,178 | 1,325 | 1,472 | 1,619 | 1,766 |
| 80 | — | — | — | — | — | 1,256 | 1,413 | 1,570 | 1,727 | 1,884 |
| 85 | — | — | — | — | — | 1,335 | 1,501 | 1,668 | 1,835 | 2,002 |
| 90 | — | — | — | — | — | 1,413 | 1,589 | 1,766 | 1,943 | 2,120 |
| 95 | — | — | — | — | — | 1,492 | 1,678 | 1,864 | 2,051 | 2,237 |
| 100 | 0,785 | — | 1,170 | — | 1,413 | 1,570 | 1,766 | 1,963 | 2,159 | 2,355 |
| 110 | — | — | — | — | 1,548 | 1,727 | 1,943 | 2,159 | 2,375 | 2,591 |
| 120 | — | — | 1,408 | — | 1,696 | 1,884 | 2,120 | 2,355 | 2,591 | 2,826 |
| 130 | — | — | — | — | 1,836 | 2,040 | 2,290 | 2,551 | 2,806 | 3,062 |
| 140 | — | — | 1,646 | — | 1,978 | 2,198 | 2,470 | 2,749 | 3,022 | 3,297 |
| 150 | — | — | — | — | 2,120 | 2,351 | 2,650 | 2,944 | 3,238 | 3,533 |
| 160 | — | — | 1,884 | — | 2,260 | 2,512 | 2,830 | 3,140 | — | 3,768 |
| 180 | — | — | — | — | 2,543 | 2,826 | — | 3,533 | — | 4,239 |
| 200 | — | — | — | — | 2,826 | 3,140 | — | 3,025 | — | 4,710 |
| 225 | — | — | — | — | — | 3,533 | — | 4,416 | — | 5,299 |
| 250 | — | — | — | — | — | — | — | 4,906 | 5,397 | 5,888 |
| 275 | — | — | — | — | — | — | — | 5,397 | — | 6,476 |
| 300 | — | — | — | — | — | — | — | 5,588 | — | 7,065 |
| 350 | — | — | — | — | — | — | — | — | — | 8,243 |
| 370 | — | — | — | — | — | — | — | — | — | — |
| 400 | — | — | — | — | — | — | — | — | — | — |
| 450 | — | — | — | — | — | — | — | — | — | — |
| 500 | — | — | — | — | — | — | — | — | — | — |

Observații. 1. Masa teoretică este calculată cu densitatea de 7,85 kg/dm³. 2. Pentru benzile din oțeluri cu rezistența la rupere peste 49 da/Nmm² (50 kgf/mm²) cu lățimi până la 100 mm, abaterea admisă la grosime este de $\pm 0,20$ mm. 3. La înțelegere între părți, benzile destinate fabricării țevilor sudate se pot livra cu toleranțe numai în plus la lățime. 4. La înțelegere între părți, pentru profilele formate la rece se admite livrarea benzilor cu dimensiuni pentru care nu s-a completat masa în tabel. 5. În cazul benzilor cu marginile tăiate, abaterile

laminat la cald
908—69)

| b, mm | | | | | | | | Abateri limită, mm | |
|------------|--------|--------|--------|--------|--------|--------|--------|--------------------|--------------|
| 3,25 | 3,50 | 3,75 | 4,00 | 4,25 | 4,50 | 4,75 | 5,00 | la grosime | la lățime |
| tică, kg/m | | | | | | | | | |
| — | 0,550 | — | 0,628 | — | — | — | — | $\pm 0,15$ | +0,8 -1,0 |
| — | 0,667 | — | 0,785 | — | — | — | — | | |
| — | 0,824 | — | 0,942 | — | — | — | — | | |
| — | 0,962 | — | 1,099 | — | — | — | — | | |
| — | 1,099 | — | 1,256 | — | — | — | — | | |
| — | 1,236 | — | 1,413 | — | — | — | — | | |
| — | 1,374 | — | 1,570 | — | — | — | — | | |
| — | 1,511 | — | 1,727 | — | — | — | — | | |
| — | 1,649 | — | 1,884 | — | — | — | — | | |
| — | 1,786 | — | 2,041 | — | — | — | — | | |
| — | 1,923 | — | 2,198 | — | — | — | — | +1,0 -1,5 | |
| — | 2,061 | — | 2,355 | — | — | — | — | | |
| — | 2,198 | — | 2,512 | — | — | — | — | | |
| — | 2,335 | — | 2,669 | — | — | — | — | | |
| — | 2,473 | — | 2,826 | — | — | — | — | | |
| — | 2,610 | — | 2,983 | — | — | — | — | | |
| — | 2,748 | — | 3,140 | — | — | — | — | | |
| — | 3,022 | — | 3,454 | — | — | — | — | | |
| — | 3,297 | — | 3,768 | — | — | — | — | | |
| — | 3,572 | — | 4,082 | — | — | — | — | | |
| — | 3,847 | — | 4,396 | — | — | — | — | $\pm 0,20$ | $\pm 1,25$ |
| — | 4,121 | — | 4,710 | — | — | — | — | | |
| — | 4,397 | — | 5,021 | — | — | — | — | | |
| — | 4,946 | — | 5,652 | — | — | — | — | | |
| — | 5,495 | — | 6,280 | — | 7,065 | — | 7,850 | | |
| 5,740 | 6,182 | 6,623 | 7,065 | 7,507 | 7,948 | 8,390 | 8,831 | | |
| 6,378 | 6,869 | 7,359 | 7,850 | 8,341 | 8,831 | 9,322 | 9,813 | | |
| 7,016 | 7,556 | 8,095 | 8,635 | 9,175 | 9,714 | 10,245 | 10,794 | | |
| 7,654 | 8,243 | 8,831 | 9,420 | 10,009 | 10,598 | 11,186 | 11,775 | | |
| 8,929 | 9,916 | 10,303 | 10,990 | 11,677 | 12,364 | 13,051 | 13,738 | $\pm 0,25$ | $\pm 1,75$ |
| — | 10,166 | 10,892 | 11,618 | 12,344 | 13,070 | 13,796 | 14,523 | | |
| — | 10,990 | 11,775 | 12,500 | 13,345 | 14,130 | 14,915 | 15,700 | | |
| — | — | — | 14,130 | 15,013 | 15,896 | 16,779 | 17,663 | $\pm 0,30$ | $\pm 2,25$ |
| — | — | — | — | — | 17,663 | 18,644 | 19,625 | | |

la lățime se vor stabili la înțelegere între părți. 6. Se admite până la data de 01.01.1971, să se livreze benzile cu lățimi peste 100 mm, cu următoarele abateri la lățimi: ± 2 mm pentru lățimi peste 100 mm până la 200 mm inclusiv; ± 3 mm pentru lățimi peste 200 mm până la 300 mm inclusiv; ± 4 mm pentru lățimi peste 300 mm. 7. La cererea beneficiarului, benzile cu lățimi peste 100 mm, destinate relaminării la rece, se pot livra cu o abatere în plus la lățime de minimum 5 mm.

Tabela 20.8. Bandă de oțel laminat la rece
(STAS 1945-73)

Benzile de oțel laminate la rece se clasifică :

a) după aspectul suprafeței :

- cu suprafață naturală din laminare
- cu suprafață albă

simbol N,
simbol A ;

b) după gradul de ecrusare :

- foarte moale
- moale
- 1/4 tare
- 1/2 tare
- 3/4 tare
- tare

simbol fm,
simbol m,
simbol 1/4 t,
simbol 1/2 t,
simbol 3/4,
simbol t ;

c) după felul marginilor :

- cu marginile naturale
- cu marginile tăiate

simbol MN
simbol MT.

Exemplu de notare : Bandă oțel A 1/2 t - MT - 100 × 1,2 - STAS 1945-73

| Grosimi, mm | Lățimi, mm | | | | | |
|----------------|-------------------------------------|----|-----|-----------------------------------|----|-----|
| | Pentru benzi cu margini naturale | | | Pentru benzi cu margini tăiate | | |
| 0,20 | 1,30 | 20 | 75 | 10 | 38 | 90 |
| 0,22 | 1,35 | 25 | 80 | 12 | 40 | 95 |
| | 1,40 | | | 14 | | |
| 0,25 | 1,50 | 30 | 85 | 15 | 42 | 100 |
| | 1,60 | | | | | |
| 0,30 | 1,70 | 35 | 90 | 16 | 45 | 105 |
| 0,35 | 1,80 | 40 | 95 | 18 | 48 | 110 |
| | | | | | 50 | |
| 0,40 | 2,00 | 45 | 100 | 20 | 52 | 115 |
| 0,45 | 2,10 | 50 | 110 | 22 | 55 | 120 |
| 0,50 | 2,20 | 55 | | 25 | 60 | 125 |
| 0,60 | 2,30 | 60 | | | 65 | 130 |
| 0,65 | | | | | | |
| 0,70 | 2,40 | 65 | | 28 | 70 | 135 |
| 0,75 | | | | | | |
| 0,80 | 2,50 | 70 | | 30 | 75 | 140 |
| | 2,60 | | | | | |
| 0,90 | 2,80 | | | 32 | 80 | 145 |
| 1,00 | 3,00 | | | 35 | 85 | 150 |
| 1,20 | 3,50 | | | | | |
| | 4,00 | | | | | |

Observații. 1. Benzile cu suprafață albă (A) se livrează numai în grosimi până la 2,5 mm inclusiv. 2. Benzile cu lățimi de la 100 mm inclusiv în sus se livrează cu marginile tăiate numai în grosimi până la 2,5 mm inclusiv.

Tabela 20.9. Table de oțel
Dimensiuni, în mm

| Table groase (STAS 437-73) | | | | Table subțiri pentru construcții mecanice (STAS 901-74) | | | | | |
|---|----------------------------------|----------------------------------|-------------------------|--|---------|-----------------|----------------|---------------|---------|
| Grosime | Lățime | | | Dimensiuni | | | | | |
| | | | | uzuale | | secundare | | speciale | |
| | | | | Format | Grosime | Format | Grosime | Lățime | Grosime |
| 4 ; 5 | 1 000 | 1 250 | 1 500 | 1 000 × × 2 000 | 1,00 | 510 × × 1500 | 1,50 | 500— 1 000 | 1,00 |
| 6 ; 7 | 1 000 1 250 | 1 500 1 800 | 1 800 2 000 | | | | (1,75) | | |
| | | | | | | | 2,00 | | |
| 8 ; 9 ; 10 | 1 000 1 250 1 500 | 1 600 1 800 2 000 | 2 200 2 300 | | | | (1,25) | | (1,25) |
| | | | | | | | 2,50 | | |
| | | | | | | | (1,75) | | 1,50 |
| 11 ; 12 | 1 000 1 250 1 500 1 600 | 1 800 2 000 2 200 2 300 | 2 400 2 500 2 600 | | | | 2,00 | 330— 1 250 | (1,75) |
| | | | | | | | (1,75) | | |
| 13 ; 14 | 1 500 1 600 1 800 | 2 000 2 200 2 300 | 2 400 2 500 2 600 | | | | 2,00 | | 2,00 |
| | | | | | | | 1,50 | | |
| 15 ; 16 ; 17 18 ; 19 ; 20 22 ; 25 ; 28 30 ; 32 ; 35 | 1 500 1 600 1 800 2 000 | 2 200 2 300 2 400 2 500 | 2 600 2 800 3 000 | 1 000 × × 2 000 | 2,50 | 710 × × 1420 | 1,00 | | |
| | | | | | | | (1,25) | | 2,50 |
| 38 ; 40 | 1 600 1 800 2 000 | 2 200 2 400 2 500 | 2 600 2 800 3 000 | | | | 1,50 | | |
| | | | | | | | 1,00 | | |
| 45 ; 50 | 1 500 1 600 1 800 | 2 000 2 200 2 400 | 2 500 2 600 | | | | (1,25) | | 3,00 |
| | | | | | | | 1,50 | | 3,50 |
| 55 ; 60 ; 65 70 ; 75 ; 80 85 ; 90 ; 95 100 ; 110 ; 120 | 1 500 2 000 | 1 600 | 1 800 | | | | 1,00 (1,25) | 375— 1 000 | 4,00 |
| | | | | | | | 1,50 | | |
| 130 ; 140 ; 150 | | 1 500 | | | | | 1,50 | | |

Observație. Tablele groase se livrează cu abateri limită la grosime și masă, în două clase : A și B. Exemplu de notare : Tablă groasă 20 × 2000 × 6000 A STAS 437-73/OL42 STAS 500-68.

Tabela 20.9. Table
Dimensiuni

| Tablă decapată (STAS 1988-65) | | | | | | | |
|----------------------------------|---------------|------------------|-------------------|---------------------|---------------|------------|-------------|
| Dimensiuni | | | | | | | |
| Uzuale | | | | Speciale | | | |
| TD | | și | TDA | Dimensiuni speciale | | | |
| Format mm × mm | Grosime mm | Masa kg/toate | Format mm × mm | Grosime mm | Grosime mm | Lățime, mm | Lungime, mm |
| 650 × 1000 | 0,40 | 2,08 | 512 × 712 | 0,22 | 0,20 | 295... 700 | 500...1500 |
| | 0,45 | 2,34 | | 0,25 | 0,25 | | |
| | 0,50 | 2,60 | | 0,28 | 0,28 | | |
| | 0,60 | 3,10 | | 0,30 | 0,30 | | |
| | (0,75) | 3,90 | | 0,32 | 0,32 | | |
| | 0,80 | 4,16 | | 0,36 | 0,36 | | |
| | 1,00 | 5,20 | | 0,40 | | | |
| 700 × 1450 | 0,40 | 3,25 | 535 × 765 | 0,50 | 0,40 | 295... 800 | 500...2000 |
| | 0,45 | 3,65 | | 0,60 | 0,45 | | |
| | 0,50 | 4,06 | | 0,22 | 0,50 | 370...1000 | 500...2000 |
| | 0,60 | 4,88 | | 0,25 | 0,60 | | |
| | (0,75) | 6,09 | | 0,28 | (0,65) | 500...1000 | 765...2000 |
| | 0,80 | 6,50 | | 0,30 | (0,75) | | |
| | 1,00 | 8,12 | | 0,32 | 0,80 | | |
| 710 × 1420 | 0,40 | 3,23 | 1000 × 2000 | 0,36 | 1,00 | 330...1250 | 955...2500 |
| | 0,45 | 3,63 | | 0,40 | (1,25) | | |
| | 0,50 | 4,03 | | 0,50 | 1,50 | | |
| | 0,60 | 4,84 | | 0,60 | (1,75) | | |
| | (0,75) | 6,04 | | 0,50 | 2,00 | | |
| | 0,80 | 6,45 | | 0,60 | 2,50 | | |
| | 1,00 | 8,06 | | (0,75) | 3,00 | | |
| 750 × 1500 | 0,30 | 2,70 | 1000 × 2000 | 0,80 | 3,50 | 710...1000 | 975...2000 |
| | 0,36 | 3,24 | | 1,00 | 4,00 | | |
| | 0,40 | 3,60 | | (1,25) | | | |
| | 0,45 | 4,06 | | 1,50 | | | |
| | 0,50 | 4,50 | | 2,00 | | | |
| | 0,60 | 5,41 | | 2,50 | | | |
| | (0,75) | 6,76 | | 3,00 | | | |
| | 0,80 | 7,22 | | 3,50 | | | |
| 800 × 1600 | 1,00 | 9,03 | | (4,00) | | | |
| | 0,40 | 4,10 | | | | | |
| | 0,45 | 4,61 | | | | | |
| | 0,50 | 5,12 | | | | | |
| | 0,60 | 6,17 | | | | | |
| | (0,75) | 7,68 | | | | | |
| | 0,80 | 8,19 | | | | | |
| | 1,00 | 10,24 | | | | | |
| | (1,25) | 12,80 | | | | | |
| | 1,50 | 15,40 | | | | | |

de oțel (continuare)
în mm

| Tablă zincată (STAS 2028-71) | | | | | |
|---------------------------------|---------|---------------|----------|-----------|---------|
| Dimensiuni | | | | | |
| Uzuale | | | Speciale | | |
| Format | Grosime | Format | Grosime | Lățime | Grosime |
| (585 × 840) | 0,30 | 1 000 × 2 000 | 0,40 | 295—750 | 0,25 |
| | | | 0,50 | | 0,30 |
| | | | 0,60 | | 0,36 |
| (650 × 1 000) | 0,30 | | (0,65) | 295—800 | 0,40 |
| | 0,36 | | | | 0,45 |
| | 0,40 | | | 370—1 000 | 0,50 |
| | 0,45 | | | | 0,60 |
| | 0,50 | | | | (0,65) |
| 700 × 1 450 | 0,40 | | 1,00 | 500—1000 | (0,75) |
| | 0,45 | | (1,25) | | 0,80 |
| | 0,50 | | 1,50 | | 1,00 |
| | 0,25 | | 2,00 | | (1,25) |
| | 0,30 | | 2,50 | | 1,50 |
| 750 × 1500 | 0,36 | | 3,00 | 350—1 000 | (1,75) |
| | 0,40 | | (4,00) | | 2,00 |
| | 0,50 | | | | 2,50 |
| | 0,60 | | | 710—1 000 | 3,00 |
| | (0,75) | | | | 3,50 |
| | 0,80 | | | | |
| | | | | | 4,00 |

Observații. 1. Tabla TDA este tablă decapată pentru ambutisare. 2. Tabla zincată se livrează în 3 calități: calitatea S (superioară), calitatea I și calitatea a II-a. 3. Dimensiunile în paranteză se vor evita pe cât posibil. 4. Material: Tablele pentru zincare se laminatează în mod normal din OL 34 STAS 500-68.

Tabela 20.10. Țevi din oțel fără sudură
(STAS)

| Diametrul exterior, mm | Grosimea | | | | | | | | | | |
|------------------------------|----------|------|------|-------|-------|-------|-------|-------|-------|-------|-------|
| | 2,5 | 3,0 | 3,5 | 4,0 | 4,5 | 5,0 | 5,5 | 6,0 | 7,0 | 8,0 | 9,0 |
| 25 | 1,39 | 1,63 | 1,85 | 2,07 | 2,27 | 2,47 | 2,64 | 2,81 | 3,11 | 3,35 | — |
| 28 | 1,57 | 1,85 | 2,11 | 2,37 | 2,61 | 2,84 | 3,05 | 3,25 | 3,62 | 3,94 | — |
| 30 | 1,69 | 2,00 | 2,29 | 2,56 | 2,83 | 3,08 | 3,32 | 3,55 | 3,97 | 4,34 | — |
| 32 | 1,82 | 2,14 | 2,46 | 2,76 | 3,05 | 3,33 | 3,59 | 3,85 | 4,32 | 4,73 | — |
| 34 | 1,94 | 2,29 | 2,63 | 2,96 | 3,27 | 3,58 | 3,87 | 4,14 | 4,66 | 5,13 | — |
| 38 | 2,19 | 2,59 | 2,98 | 3,35 | 3,72 | 4,07 | 4,41 | 4,73 | 5,35 | 5,92 | — |
| 42 | 2,43 | 2,88 | 3,32 | 3,75 | 4,16 | 4,56 | 4,95 | 5,33 | 6,04 | 6,71 | 7,32 |
| (44,5) | 2,59 | 3,07 | 3,54 | 3,99 | 4,44 | 4,87 | 5,29 | 5,70 | 6,47 | 7,20 | 7,88 |
| 48 | 2,80 | 3,33 | 3,84 | 4,34 | 4,83 | 5,30 | 5,76 | 6,21 | 7,08 | 7,89 | 8,66 |
| 51 | 2,99 | 3,55 | 4,10 | 4,64 | 5,16 | 5,67 | 6,17 | 6,66 | 7,60 | 8,48 | 9,32 |
| 54 | — | 3,77 | 4,36 | 4,93 | 5,49 | 6,04 | 6,58 | 7,10 | 8,11 | 9,07 | 9,99 |
| 57 | — | 3,99 | 4,62 | 5,23 | 5,83 | 6,41 | 6,98 | 7,55 | 8,63 | 9,67 | 10,65 |
| 60 | — | 4,22 | 4,88 | 5,52 | 6,16 | 6,78 | 7,39 | 7,99 | 9,15 | 10,26 | 11,32 |
| 63,5 | — | 4,48 | 5,18 | 5,87 | 6,55 | 7,21 | 7,87 | 8,51 | 9,75 | 10,95 | 12,10 |
| 70 | — | 4,96 | 5,74 | 6,51 | 7,27 | 8,01 | 8,75 | 9,47 | 10,88 | 12,23 | 13,54 |
| 73 | — | 5,18 | 6,00 | 6,81 | 7,60 | 8,38 | 9,16 | 9,91 | 11,39 | 12,82 | 14,20 |
| 76 | — | 5,40 | 6,26 | 7,10 | 7,93 | 8,75 | 9,56 | 10,36 | 11,91 | 13,42 | 14,87 |
| 83 | — | — | 6,86 | 7,79 | 8,71 | 9,62 | 10,51 | 11,39 | 13,12 | 14,80 | 16,42 |
| 89 | — | — | 7,38 | 8,38 | 9,38 | 10,36 | 11,33 | 12,28 | 14,16 | 15,98 | 17,76 |
| 95 | — | — | 7,90 | 8,98 | 10,04 | 11,10 | 12,14 | 13,17 | 15,19 | 17,16 | 19,09 |
| 102 | — | — | 8,50 | 9,67 | 10,82 | 11,96 | 13,09 | 14,20 | 16,40 | 18,54 | 20,64 |
| 108 | — | — | — | 10,30 | 11,49 | 12,70 | 13,90 | 15,09 | 17,44 | 19,73 | 21,97 |
| 114 | — | — | — | 10,85 | 12,15 | 13,44 | 14,72 | 15,98 | 18,47 | 20,91 | 23,30 |
| 121 | — | — | — | 11,54 | 12,93 | 14,30 | 15,67 | 17,02 | 19,68 | 22,29 | 24,86 |
| 127 | — | — | — | 12,10 | 13,60 | 15,04 | 16,48 | 17,90 | 20,72 | 23,47 | 26,19 |
| 133 | — | — | — | 12,70 | 14,26 | 15,78 | 17,29 | 18,79 | 21,75 | 24,66 | 27,52 |
| 140 | — | — | — | — | 15,04 | 16,65 | 18,24 | 20,12 | 22,96 | 26,04 | 29,08 |
| 146 | — | — | — | — | 15,70 | 17,39 | 19,06 | 20,72 | 21,00 | 27,23 | 30,41 |
| 152 | — | — | — | — | 16,37 | 18,13 | 19,87 | 21,60 | 25,03 | 28,41 | 31,74 |
| (159) | — | — | — | — | 17,15 | 18,99 | 20,82 | 22,64 | 26,24 | 29,79 | 33,29 |
| 168 | — | — | — | — | — | 20,10 | 22,04 | 23,97 | 27,70 | 31,57 | 35,29 |
| 178 | — | — | — | — | — | 21,33 | 23,40 | 25,45 | 29,52 | 33,51 | 37,51 |
| 194 | — | — | — | — | — | 23,30 | 25,57 | 27,82 | 32,28 | 36,70 | 41,06 |
| 219 | — | — | — | — | — | — | — | 31,52 | 36,60 | 41,63 | 46,61 |
| 245 | — | — | — | — | — | — | — | — | 41,09 | 46,76 | 52,38 |
| 273 | — | — | — | — | — | — | — | — | 45,92 | 52,28 | 58,60 |
| 299 | — | — | — | — | — | — | — | — | — | 57,42 | 64,37 |
| 324 | — | — | — | — | — | — | — | — | — | 62,34 | 69,91 |
| (356) | — | — | — | — | — | — | — | — | — | 68,66 | 77,02 |

lamine la cald, pentru construcții
404/2—71)

peretelui, mm

| 10 | 11 | 12 | 14 | 16 | 18 | 20 | 22 | 25 | 28 | 32 | 36 |
|------------------|-------|--------|--------|--------|--------|--------|--------|--------|--------|--------|--------|
| teoretică, kg/mm | | | | | | | | | | | |
| — | — | — | — | — | — | — | — | — | — | — | — |
| — | — | — | — | — | — | — | — | — | — | — | — |
| — | — | — | — | — | — | — | — | — | — | — | — |
| — | — | — | — | — | — | — | — | — | — | — | — |
| — | — | — | — | — | — | — | — | — | — | — | — |
| — | — | — | — | — | — | — | — | — | — | — | — |
| 7,89 | — | — | — | — | — | — | — | — | — | — | — |
| 8,51 | — | — | — | — | — | — | — | — | — | — | — |
| 9,37 | — | — | — | — | — | — | — | — | — | — | — |
| 10,11 | 10,85 | 11,54 | — | — | — | — | — | — | — | — | — |
| 10,85 | 11,66 | 12,43 | — | — | — | — | — | — | — | — | — |
| 11,60 | 12,48 | 13,32 | — | — | — | — | — | — | — | — | — |
| 12,33 | 13,29 | 14,20 | 15,88 | — | — | — | — | — | — | — | — |
| 13,19 | 14,21 | 15,24 | 17,09 | — | — | — | — | — | — | — | — |
| 14,80 | 16,00 | 17,16 | 19,33 | 21,30 | — | — | — | — | — | — | — |
| 15,54 | 16,82 | 18,05 | 20,37 | 22,49 | 24,41 | — | — | — | — | — | — |
| 16,28 | 17,63 | 18,94 | 21,41 | 23,67 | 25,75 | — | — | — | — | — | — |
| 18,00 | 19,53 | 21,01 | 23,82 | 26,44 | 28,85 | — | — | — | — | — | — |
| 19,48 | 21,16 | 22,79 | 25,89 | 28,80 | 31,52 | 34,03 | 36,35 | — | — | — | — |
| 20,96 | 22,79 | 24,56 | 27,97 | 31,17 | 34,18 | 36,99 | 39,61 | — | — | — | — |
| 22,69 | 24,69 | 26,63 | 30,38 | 33,93 | 37,29 | 40,44 | 43,40 | — | — | — | — |
| 24,20 | 26,31 | 28,41 | 32,45 | 36,30 | 39,95 | 43,40 | 46,66 | 51,17 | 55,24 | — | — |
| 25,65 | 27,94 | 30,19 | 34,53 | 38,67 | 42,61 | 46,36 | 49,91 | 54,87 | 59,38 | — | — |
| 27,37 | 29,84 | 32,26 | 36,94 | 41,43 | 45,72 | 49,82 | 53,71 | 59,19 | 64,22 | — | — |
| 28,85 | 31,47 | 34,03 | 39,01 | 43,80 | 48,39 | 52,77 | 56,97 | 62,87 | 68,36 | — | — |
| 30,33 | 33,10 | 35,81 | 41,08 | 46,16 | 51,05 | 55,73 | 60,22 | 66,59 | 72,50 | 79,71 | — |
| 32,06 | 34,99 | 37,88 | 43,50 | 48,93 | 54,16 | 59,19 | 64,02 | 70,90 | 77,34 | 85,23 | 92,33 |
| 33,54 | 36,62 | 39,66 | 45,57 | 51,30 | 56,82 | 62,15 | 67,27 | 74,60 | 81,48 | 89,96 | 97,6 |
| 35,02 | 38,25 | 41,43 | 47,65 | 53,66 | 59,48 | 65,11 | 70,53 | 78,30 | 85,62 | 94,70 | 102,99 |
| 36,75 | 40,15 | 43,50 | 50,06 | 56,42 | 62,59 | 68,56 | 74,33 | 82,62 | 90,46 | 100,22 | 109,20 |
| 38,96 | 42,59 | 46,17 | 53,17 | 59,98 | 66,59 | 73,00 | 79,21 | 88,16 | 96,67 | 107,33 | 117,19 |
| 41,43 | 45,30 | 49,13 | 56,62 | 63,92 | 71,02 | 77,93 | 84,64 | 94,33 | 103,58 | 115,22 | 126,07 |
| 45,38 | 49,64 | 53,86 | 62,15 | 70,24 | 78,13 | 85,82 | 93,32 | 104,19 | 114,63 | 127,84 | 140,27 |
| 51,54 | 56,42 | 61,26 | 70,78 | 80,10 | 89,22 | 98,15 | 106,88 | 119,61 | 131,89 | 147,57 | 162,47 |
| 57,95 | 63,48 | 68,95 | 79,75 | 90,36 | 100,77 | 110,98 | 120,99 | 135,64 | 149,84 | 168,09 | 185,53 |
| 64,86 | 71,07 | 77,24 | 89,42 | 101,41 | 113,20 | 124,79 | 136,18 | 152,90 | 169,18 | 190,19 | 210,41 |
| 71,27 | 78,13 | 84,93 | 98,40 | 111,67 | 124,74 | 137,61 | 150,29 | 168,93 | 187,13 | 210,71 | 233,49 |
| 77,44 | 84,90 | 92,33 | 107,72 | 121,53 | 135,83 | 149,94 | 163,85 | 184,34 | 204,39 | 230,44 | 255,69 |
| 85,33 | 93,59 | 101,80 | 118,07 | 134,16 | 150,04 | 165,72 | 181,21 | 204,07 | 226,49 | 255,69 | 284,10 |

Tabela

Grosimea

| Diametrul exterior, mm | 2,5 | 3,0 | 3,5 | 4,0 | 4,5 | 5,0 | 5,5 | 6,0 | 7,0 | 8,0 | 9,0 |
|------------------------|------|-----|-----|-----|-----|-----|-----|-----|-----|-----|--------|
| | Masa | | | | | | | | | | |
| (368) | — | — | — | — | — | — | — | — | — | — | 79,68 |
| 377 | — | — | — | — | — | — | — | — | — | — | 81,68 |
| 406 | — | — | — | — | — | — | — | — | — | — | 88,11 |
| 419 | — | — | — | — | — | — | — | — | — | — | 91,00 |
| 426 | — | — | — | — | — | — | — | — | — | — | 92,55 |
| 457 | — | — | — | — | — | — | — | — | — | — | 99,43 |
| 480 | — | — | — | — | — | — | — | — | — | — | 104,54 |
| 508 | — | — | — | — | — | — | — | — | — | — | 110,75 |
| 530 | — | — | — | — | — | — | — | — | — | — | 115,64 |

Observații. 1. De comun acord între părți, se pot fabrica țevi și cu alte valori ale diametrului sau grosimii peretelui. 2. Dimensiunile de țevi ale căror mase sînt încadrate în chenar se execută în mod curent. 3. Dimensiunile de țevi ale căror mase nu sînt încadrate

Tabela 20.11. Țevi din oțel, fără sudură, (STAS)

| Diametrul exterior, mm | 0,50 | 0,80 | 1,0 | 1,2 | 1,5 | 1,8 | 2,0 | 2,2 | 2,5 | 2,8 |
|------------------------|-------|-------|-------|-------|-------|-------|-------|-------|-------|-------|
| | Masa | | | | | | | | | |
| 4 | 0,013 | 0,063 | 0,074 | 0,083 | — | — | — | — | — | — |
| 5 | 0,055 | 0,083 | 0,099 | 0,112 | 0,129 | — | — | — | — | — |
| 6 | 0,068 | 0,103 | 0,123 | 0,142 | 0,166 | 0,186 | 0,197 | — | — | — |
| 7 | 0,080 | 0,122 | 0,148 | 0,172 | 0,203 | 0,231 | 0,247 | 0,260 | 0,277 | — |
| 8 | 0,092 | 0,142 | 0,173 | 0,201 | 0,240 | 0,275 | 0,296 | 0,315 | 0,339 | — |
| 9 | 0,105 | 0,162 | 0,197 | 0,231 | 0,277 | 0,320 | 0,345 | 0,369 | 0,401 | 0,427 |
| 10 | 0,117 | 0,181 | 0,222 | 0,260 | 0,314 | 0,364 | 0,395 | 0,423 | 0,462 | 0,496 |
| 12 | 0,142 | 0,221 | 0,271 | 0,320 | 0,388 | 0,453 | 0,493 | 0,532 | 0,586 | 0,635 |
| 13 | 0,154 | 0,240 | 0,296 | 0,349 | 0,425 | 0,497 | 0,542 | 0,586 | 0,647 | 0,704 |
| 14 | 0,166 | 0,260 | 0,321 | 0,379 | 0,462 | 0,541 | 0,592 | 0,640 | 0,709 | 0,772 |
| 15 | 0,179 | 0,280 | 0,345 | 0,408 | 0,499 | 0,585 | 0,641 | 0,694 | 0,771 | 0,841 |
| 16 | 0,191 | 0,300 | 0,370 | 0,438 | 0,536 | 0,630 | 0,691 | 0,747 | 0,832 | 0,91 |
| 18 | 0,216 | 0,339 | 0,419 | 0,497 | 0,610 | 0,719 | 0,789 | 0,856 | 0,956 | 1,05 |
| 20 | 0,240 | 0,379 | 0,469 | 0,556 | 0,684 | 0,808 | 0,888 | 0,965 | 1,08 | 1,19 |
| 22 | 0,265 | 0,418 | 0,518 | 0,615 | 0,758 | 0,897 | 0,986 | 1,07 | 1,20 | 1,32 |
| 25 | 0,302 | 0,477 | 0,592 | 0,704 | 0,869 | 1,03 | 1,13 | 1,24 | 1,39 | 1,53 |
| 26 | 0,314 | 0,497 | 0,616 | 0,733 | 0,906 | 1,07 | 1,18 | 1,29 | 1,45 | 1,60 |
| 28 | 0,339 | 0,537 | 0,666 | 0,793 | 0,98 | 1,16 | 1,28 | 1,40 | 1,57 | 1,74 |
| 30 | 0,364 | 0,576 | 0,715 | 0,852 | 1,05 | 1,25 | 1,38 | 1,51 | 1,69 | 1,88 |
| 32 | 0,388 | 0,615 | 0,764 | 0,911 | 1,13 | 1,34 | 1,48 | 1,62 | 1,82 | 2,02 |
| 35 | 0,425 | 0,675 | 0,838 | 1,00 | 1,24 | 1,47 | 1,63 | 1,78 | 2,00 | 2,22 |
| 36 | 0,438 | 0,694 | 0,863 | 1,03 | 1,28 | 1,52 | 1,68 | 1,83 | 2,06 | 2,29 |
| 38 | 0,462 | 0,734 | 0,912 | 1,09 | 1,35 | 1,61 | 1,77 | 1,94 | 2,19 | 2,43 |
| 40 | 0,487 | 0,773 | 0,962 | 1,15 | 1,42 | 1,69 | 1,87 | 2,05 | 2,31 | 2,57 |
| 42 | — | — | 1,01 | 1,21 | 1,50 | 1,78 | 1,97 | 2,16 | 2,43 | 2,70 |
| 45 | — | — | 1,08 | 1,30 | 1,61 | 1,92 | 2,12 | 2,32 | 2,62 | 2,91 |
| 48 | — | — | 1,16 | 1,38 | 1,72 | 2,05 | 2,27 | 2,48 | 2,80 | 3,12 |

20.10 (continuare)

peretelui, mm

| 10 | 12 | 11 | 14 | 16 | 18 | 20 | 22 | 25 | 28 | 32 | 36 |
|-----------------|--------|--------|--------|--------|--------|--------|--------|--------|--------|--------|--------|
| teoretică, kg/m | | | | | | | | | | | |
| 88,29 | 96,84 | 105,35 | 122,22 | 138,89 | 155,36 | 171,64 | 187,72 | 211,47 | 234,78 | 265,16 | 294,75 |
| 90,51 | 99,29 | 108,02 | 125,33 | 142,44 | 159,36 | 176,08 | 192,61 | 217,02 | 240,99 | 272,26 | 302,74 |
| 97,66 | 107,15 | 116,59 | 135,34 | 153,89 | 172,23 | 190,39 | 208,34 | 234,90 | 261,02 | 295,15 | 328,49 |
| 100,86 | 110,68 | 120,44 | 139,83 | 159,02 | 178,00 | 196,80 | 215,39 | 242,92 | 269,99 | 305,41 | 340,03 |
| 102,59 | 112,58 | 122,52 | 142,25 | 161,78 | 181,11 | 200,25 | 219,19 | 247,23 | 274,83 | 310,93 | 346,25 |
| 110,24 | 120,99 | 131,10 | 152,95 | 174,01 | 194,87 | 215,54 | 236,01 | 266,34 | 296,23 | 335,97 | 373,77 |
| 115,91 | 127,23 | 138,49 | 160,89 | — | — | — | — | 280,52 | 312,16 | 353,55 | 394,19 |
| 122,81 | 134,82 | 146,78 | 170,55 | — | — | — | — | 297,79 | 331,45 | 375,64 | 419,05 |
| 128,24 | 140,79 | 153,29 | 178,15 | — | — | — | — | 311,35 | 346,64 | 393,00 | 438,58 |

în chenar, se execută la înțelegere între producător și beneficiar. 4. Masa teoretică este calculată cu formula: $M = 0,0246615 g (D_e - g)$. 5. Țevile din oțel fără sudură laminate la cald pentru construcții, cu destinație comercială, sînt indicate în STAS 404/1-71.

trase sau laminate la rece, pentru construcții 530/2-71)

peretelui, mm

| 3,0 | 3,5 | 4,0 | 4,5 | 5,0 | 5,5 | 6,0 | 7,0 | 8,0 | 9,0 | 10 |
|-----------------|-------|-------|------|------|------|------|------|------|------|------|
| teoretică, kg/m | | | | | | | | | | |
| — | — | — | — | — | — | — | — | — | — | — |
| — | — | — | — | — | — | — | — | — | — | — |
| — | — | — | — | — | — | — | — | — | — | — |
| — | — | — | — | — | — | — | — | — | — | — |
| — | — | — | — | — | — | — | — | — | — | — |
| 0,518 | 0,561 | — | — | — | — | — | — | — | — | — |
| 0,666 | 0,734 | 0,789 | — | — | — | — | — | — | — | — |
| 0,739 | 0,820 | 0,888 | — | — | — | — | — | — | — | — |
| 0,814 | 0,906 | 0,986 | — | — | — | — | — | — | — | — |
| 0,888 | 0,993 | 1,08 | 1,16 | 1,23 | — | — | — | — | — | — |
| 0,962 | 1,08 | 1,18 | 1,28 | 1,36 | — | — | — | — | — | — |
| 1,11 | 1,25 | 1,38 | 1,50 | 1,60 | — | — | — | — | — | — |
| 1,26 | 1,42 | 1,58 | 1,72 | 1,85 | 1,97 | 2,07 | — | — | — | — |
| 1,40 | 1,60 | 1,77 | 1,94 | 2,10 | 2,24 | 2,37 | — | — | — | — |
| 1,63 | 1,85 | 2,07 | 2,27 | 2,47 | 2,65 | 2,81 | 3,11 | — | — | — |
| 1,70 | 1,94 | 2,17 | 2,39 | 2,59 | 2,78 | 2,96 | 3,28 | — | — | — |
| 1,85 | 2,11 | 2,38 | 2,61 | 2,84 | 3,05 | 3,25 | 3,62 | — | — | — |
| 2,00 | 2,29 | 2,56 | 2,83 | 3,08 | 3,32 | 3,55 | 3,97 | 4,34 | — | — |
| 2,14 | 2,46 | 2,76 | 3,05 | 3,33 | 3,59 | 3,85 | 4,31 | 4,73 | — | — |
| 2,37 | 2,72 | 3,06 | 3,38 | 3,70 | 4,00 | 4,29 | 4,85 | 5,33 | — | — |
| 2,44 | 2,80 | 3,16 | 3,49 | 3,82 | 4,14 | 4,44 | 5,01 | 5,52 | — | — |
| 2,59 | 2,98 | 3,35 | 3,72 | 4,10 | 4,41 | 4,73 | 5,35 | 5,92 | 6,44 | — |
| 2,74 | 3,15 | 3,55 | 3,94 | 4,31 | 4,68 | 5,03 | 5,70 | 6,31 | 6,88 | — |
| 2,88 | 3,32 | 3,75 | 4,16 | 4,56 | 4,95 | 5,33 | 6,04 | 6,71 | 7,32 | — |
| 3,11 | 3,58 | 4,04 | 4,49 | 4,93 | 5,36 | 5,77 | 6,60 | 7,30 | 7,99 | 8,63 |
| 3,33 | 3,84 | 4,34 | 4,83 | 5,30 | 5,76 | 6,21 | 7,08 | 7,89 | 8,66 | 9,37 |

Tabela 20.11

| Diametrul exterior mm | Grosimea | | | | | | | | | |
|-----------------------|----------|------|------|------|------|------|------|------|------|------|
| | 0,50 | 0,80 | 1,0 | 1,2 | 1,5 | 1,8 | 2,0 | 2,2 | 2,5 | 2,8 |
| 50 | — | — | 1,21 | 1,44 | 1,79 | 2,14 | 2,37 | 2,59 | 2,93 | 3,26 |
| 52 | — | — | 1,26 | 1,50 | 1,87 | 2,23 | 2,47 | 2,70 | 3,05 | 3,40 |
| 53 | — | — | 1,28 | 1,53 | 1,90 | 2,27 | 2,51 | 2,76 | 3,11 | 3,47 |
| 55 | — | — | 1,33 | 1,59 | 1,98 | 2,36 | 2,61 | 2,86 | 3,24 | 3,60 |
| 56 | — | — | 1,36 | 1,62 | 2,02 | 2,40 | 2,66 | 2,92 | 3,30 | 3,67 |
| 60 | — | — | 1,45 | 1,74 | 2,16 | 2,58 | 2,86 | 3,13 | 3,54 | 3,95 |
| 63 | — | — | 1,53 | 1,83 | 2,27 | 2,72 | 3,01 | 3,30 | 3,73 | 4,16 |
| (65) | — | — | 1,58 | 1,89 | 2,35 | 2,80 | 3,11 | 3,41 | 3,85 | 4,29 |
| 70 | — | — | 1,70 | 2,04 | 2,53 | 3,03 | 3,35 | 3,68 | 4,16 | 4,64 |
| (75) | — | — | 1,82 | 2,18 | 2,72 | 3,25 | 3,60 | 3,95 | 4,47 | 4,98 |
| 80 | — | — | — | — | 2,90 | 3,47 | 3,85 | 4,22 | 4,78 | 5,33 |
| (85) | — | — | — | — | 3,09 | 3,69 | 4,09 | 4,49 | 5,09 | 5,68 |
| 90 | — | — | — | — | 3,27 | 3,91 | 4,34 | 4,76 | 5,39 | 6,02 |
| 95 | — | — | — | — | 3,46 | 4,14 | 4,59 | 5,03 | 5,70 | 6,37 |
| 100 | — | — | — | — | 3,64 | 4,36 | 4,83 | 5,31 | 6,01 | 6,71 |
| 110 | — | — | — | — | 4,01 | 4,80 | 5,33 | 5,85 | 6,63 | 7,40 |
| 120 | — | — | — | — | 4,38 | 5,25 | 5,82 | 6,39 | 7,24 | 8,09 |
| 130 | — | — | — | — | — | — | — | — | 7,86 | 8,78 |
| 140 | — | — | — | — | — | — | — | — | — | — |
| 150 | — | — | — | — | — | — | — | — | — | — |
| 160 | — | — | — | — | — | — | — | — | — | — |
| 170 | — | — | — | — | — | — | — | — | — | — |
| 180 | — | — | — | — | — | — | — | — | — | — |
| 190 | — | — | — | — | — | — | — | — | — | — |
| 200 | — | — | — | — | — | — | — | — | — | — |

Observații. 1. De comun acord între părți, se pot fabrica țevi și cu alte valori ale diametrului sau grosimii peretelui. 2. Dimensiunile de țevi ale căror mase sînt încadrate în chenar se execută în mod curent. 3. Dimensiunile de țevi ale căror mase nu sînt încadrate în chenar, se execută la înțelegere între producător și beneficiar.

(continuare)

| peretelui, mm | | | | | | | | | | |
|-----------------|-------|-------|-------|-------|-------|-------|-------|-------|-------|-------|
| 3,0 | 3,5 | 4,0 | 4,5 | 5,0 | 5,5 | 6,0 | 7,0 | 8,0 | 9,0 | 10 |
| teoretică, kg/m | | | | | | | | | | |
| 3,48 | 4,01 | 4,54 | 5,05 | 5,55 | 6,04 | 6,51 | 7,42 | 8,29 | 9,10 | 9,86 |
| 3,62 | 4,19 | 4,73 | 5,27 | 5,79 | 6,31 | 6,81 | 7,77 | 8,68 | 9,54 | 10,36 |
| 3,70 | 4,27 | 4,83 | 5,38 | 5,92 | 6,44 | 6,95 | 7,94 | 8,88 | 9,77 | 10,60 |
| 3,85 | 4,44 | 5,03 | 5,60 | 6,16 | 6,71 | 7,25 | 8,29 | 9,27 | 10,21 | 11,10 |
| 3,92 | 4,53 | 5,13 | 5,71 | 6,29 | 6,85 | 7,40 | 8,46 | 9,47 | 10,43 | 11,34 |
| 4,22 | 4,88 | 5,52 | 6,16 | 6,78 | 7,39 | 7,99 | 9,15 | 10,26 | 11,32 | 12,33 |
| 4,44 | 5,13 | 5,82 | 6,49 | 7,15 | 7,80 | 8,43 | 9,67 | 10,85 | 11,98 | 13,07 |
| 4,59 | 5,31 | 6,02 | 6,71 | 7,40 | 8,07 | 8,73 | 10,01 | 11,24 | 12,43 | 13,56 |
| 4,96 | 5,74 | 6,51 | 7,27 | 8,01 | 8,75 | 9,47 | 10,87 | 12,29 | 13,54 | 14,80 |
| 5,33 | 6,17 | 7,00 | 7,82 | 8,63 | 9,43 | 10,21 | 11,74 | 13,22 | 14,65 | 16,03 |
| 5,70 | 6,60 | 7,50 | 8,38 | 9,25 | 10,10 | 10,95 | 12,60 | 14,20 | 15,76 | 17,26 |
| 6,07 | 7,03 | 7,99 | 9,04 | 9,86 | 10,78 | 11,69 | 13,46 | 15,19 | 16,87 | 18,50 |
| 6,44 | 7,47 | 8,48 | 9,49 | 10,48 | 11,46 | 12,43 | 14,33 | 16,18 | 17,98 | 19,73 |
| 6,81 | 7,90 | 8,98 | 10,04 | 11,10 | 12,14 | 13,17 | 15,19 | 17,16 | 19,09 | 20,96 |
| 7,18 | 8,33 | 9,47 | 10,60 | 11,71 | 12,81 | 13,90 | 16,05 | 18,15 | 20,20 | 22,19 |
| 7,92 | 9,19 | 10,46 | 11,71 | 12,95 | 14,17 | 15,39 | 17,78 | 20,12 | 22,42 | 24,66 |
| 8,66 | 10,06 | 11,44 | 12,82 | 14,18 | 15,53 | 16,87 | 19,51 | 22,10 | 24,64 | 27,13 |
| 9,40 | 10,92 | 12,43 | 13,93 | 15,41 | 16,89 | 18,35 | 21,23 | 24,10 | 26,86 | 29,59 |
| 10,13 | 11,78 | 13,41 | 15,04 | 16,65 | 18,24 | 19,89 | 22,96 | 26,04 | 29,07 | 32,06 |
| 10,87 | 12,64 | 14,40 | 16,15 | 17,88 | 19,60 | 21,31 | 24,69 | 28,01 | 31,29 | 34,53 |
| — | 13,51 | 15,39 | 17,26 | 19,11 | 20,96 | 22,79 | 26,41 | 29,99 | 33,51 | 36,99 |
| — | 14,37 | 16,37 | 18,37 | 20,34 | 22,31 | 24,27 | 28,14 | 31,96 | 35,73 | 39,46 |
| — | 15,23 | 17,36 | 19,48 | 21,58 | 23,67 | 25,75 | 29,86 | 33,93 | 37,95 | 41,92 |
| — | — | 18,34 | 20,60 | 22,81 | 25,02 | 27,22 | 31,59 | 35,90 | 40,17 | 44,39 |
| — | — | 19,33 | 21,70 | 24,04 | 26,38 | 28,70 | 33,32 | 37,88 | 42,39 | 46,85 |

4. Dimensiunile din paranteze se vor executa la înțelegere între producător și beneficiar. 5. Țevile din oțel fără sudură trase sau laminate la rece pentru construcții, cu destinație comercială, sînt prezentate în STAS 530/1—71.

Tabela 20.12. Sîrme de oțel (rotunde)

Diametre, în mm

| Sîrmă obișnuită, trasă din oțel STAS 889-76 | | Sîrmă trasă din oțel aliat de construcție STAS 5678-78 | Sîrmă trasă pentru arcuri din oțel carbon de calitate STAS 893-78 | | Sîrmă trasă din oțel aliat pentru arcuri STAS 892-78 | Sîrmă din oțel aliat la cald STAS 563-71 |
|---|-------|---|---|------|---|--|
| 0,20 | 1,50 | 3,00 | 0,20 | 1,50 | 3,00 | 5,00 |
| 0,22 | 1,60 | 3,50 | 0,22 | 1,60 | 3,20 | 550 |
| 0,25 | 1,80 | 4,00 | 0,25 | 1,80 | (3,50) | 6,00 |
| 0,28 | 2,00 | 4,50 | 0,28 | 2,00 | 3,60 | 6,50 |
| 0,30 | 2,24 | 5,00 | 0,30 | 2,20 | 4,00 | 7,00 |
| 0,32 | 2,50 | 5,50 | 0,40 | 2,40 | 4,50 | 7,50 |
| 0,36 | 2,80 | 6,00 | 0,45 | 2,50 | 5,00 | 8,00 |
| 0,40 | 3,00 | 6,50 | 0,50 | 2,80 | (5,50) | 9,00 |
| 0,45 | 3,15 | 7,00 | 0,55 | 3,00 | (5,60) | 9,50 |
| 0,50 | 3,55 | 7,50 | 0,60 | 3,20 | 6,00 | 10,00 |
| 0,56 | 4,00 | 8,00 | 0,70 | 3,50 | 6,30 | 11,00 |
| 0,60 | 4,50 | 8,50 | 0,80 | 3,60 | (6,50) | 12,00 |
| 0,63 | 5,00 | 9,00 | 0,90 | 4,00 | 7,00 | 12,50 |
| 0,71 | 5,60 | 10,00 | 1,00 | 4,50 | 7,50 | |
| 0,75 | 6,00 | 10,50 | 1,10 | 5,00 | 8,00 | |
| 0,80 | 6,30 | 11,00 | 1,20 | 5,50 | 8,50 | |
| 0,90 | 7,10 | 11,50 | 1,30 | 6,00 | 9,00 | |
| 1,00 | 8,00 | 12,00 | 1,40 | 6,20 | 10,00 | |
| 1,12 | 9,00 | | | 7,00 | 10,50 | |
| 1,18 | 10,00 | | | | 11,00 | |
| 1,25 | 11,20 | | | | 11,50 | |
| 1,40 | 12,00 | | | | 12,00 | |
| | | | | | 12,50 | |

Observații. 1. Sîrmă trasă din oțel aliat pentru arcuri (STAS 892-78) se livrează în starea TR (tras-recoaptă) și TRS (tras-recoaptă-șlefuită). 2. În STAS 892-78 sînt prezentate și dimensiunile sîrmelor din oțel cu secțiune pătrată și sîrmă lată. 3. Exemplu de notare: Sîrmă rotundă TRS Ø 5 STAS 892-78/ARC 2.

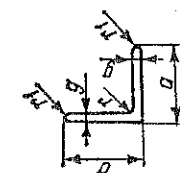


Tabela 20.13. Oțel coruler cu aripi egale laminat la cald (STAS 424-71)

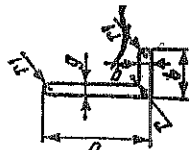
| Simbol L | Dimensiunile secțiunii mm | | | | Masa G kg/m | Simbol L | Dimensiunile secțiunii mm | | | | Masa G kg/m | Dimensiunile secțiunii mm | | | | Masa G kg/m |
|--------------|---------------------------------|---|-----|----------------|-------------------|----------------|---------------------------------|----|----|----------------|-------------------|---------------------------------|----|----|----------------|-------------------|
| | a | b | r | r ₁ | | | a | b | r | r ₁ | | a | b | r | r ₁ | |
| 20 × 20 × 3 | 20 | 3 | 3,5 | 2 | 0,88 | 60 × 60 × 5 | 60 | 6 | 8 | 4 | 4,57 | 130 | 12 | 11 | 7 | 23,6 |
| × 4 | 4 | | | | 1,14 | × 6 | | | | | 5,42 | 14 | | | | 27,2 |
| 25 × 25 × 3 | 25 | 3 | | 2 | 1,11 | × 8 | | | | | 7,09 | 16 | | | | 30,9 |
| × 4 | 4 | | | | 1,45 | × 10 | | | | | 8,69 | 18 | | | | 25,5 |
| × 5 | 5 | | | | 1,77 | 70 × 70 × 6 | 70 | 6 | 9 | 4,5 | 6,38 | 140 | 14 | 15 | 7,5 | 29,4 |
| 30 × 30 × 3* | 30 | 3 | 5 | 2,5 | 1,36 | × 7 | | | | | 7,38 | 16 | | | | 37,3 |
| × 4 | 4 | | | | 1,78 | × 8 | | | | | 8,36 | 18 | | | | 27,3 |
| × 5 | 5 | | | | 2,18 | × 9** | | | | | 9,34 | 20 | | | | 31,6 |
| 35 × 35 × 3* | 35 | 3 | 5 | 2,5 | 1,60 | × 10 | | | | | 10,30 | 22 | | | | 35,9 |
| × 4 | 4 | | | | 2,09 | 80 × 80 × 6 | 80 | 6 | 10 | 5 | 7,86 | 150 | 16 | 16 | 8 | 40,1 |
| × 5 | 5 | | | | 2,57 | × 8 | | | | | 9,63 | 18 | | | | 29,7 |
| 40 × 40 × 3* | 40 | 3 | 6 | 3 | 1,84 | × 10 | | | | | 11,9 | 20 | | | | 34,0 |
| × 4 | 4 | | | | 2,42 | 90 × 90 × 8 | 90 | 8 | 11 | 5,5 | 10,9 | 22 | | | | 38,5 |
| × 5 | 5 | | | | 2,97 | × 8 | | | | | 12,2 | 24 | | | | 43,0 |
| 45 × 45 × 4* | 45 | 4 | 7 | 3,5 | 2,74 | × 10* | | | | | 13,4 | 26 | | | | |
| × 5 | 5 | | | | 3,38 | × 11 | | | | | 14,7 | 28 | | | | |
| × 6 | 6 | | | | 4,00 | 100 × 100 × 8 | 100 | 8 | 12 | | 12,2 | 30 | | | | |
| 50 × 50 × 4* | 50 | 4 | | | 3,06 | × 10 | | | | | 15,0 | 32 | | | | |
| × 5 | 5 | | | | 3,77 | × 12 | | | | | 17,8 | 34 | | | | |
| × 6 | 6 | | | | 4,47 | 120 × 120 × 10 | 120 | 10 | 13 | 6,5 | 18,2 | 36 | | | | |
| × 7 | 7 | | | | 5,15 | × 12 | | | | | 21,6 | 38 | | | | |

*) Se laminatează în limita posibilităților uzinelor producătoare;
**) Se livrează numai pentru profile metalice de cale ferată.

Tabela 20.14. Oțel cornier cu aripi neegale, laminat la cald (STAS 425-70)

| Simbol LL | Dimensiunile secțiunii mm | | | | | Masa G kg/m | Simbol LL | Dimensiunile secțiunii mm | | | | | Secțiunea S cm ² | Masa G kg/m |
|-------------------------|---------------------------|----|---|-----|----------------|-------------|-----------------------------|---------------------------|-----|----|------|----------------|-----------------------------|-------------|
| | a | b | g | r | r ₁ | | | a | b | g | r | r ₁ | | |
| 30 × 20 × 3* × 4* | 30 | 20 | 3 | 3,5 | 2 | 1,43 | 100 × 50 × 6* × 10* | 100 | 50 | 8 | 9 | 4,5 | 11,4 | 8,99 |
| 40 × 20 × 3* × 4* | 40 | 20 | 3 | 3,5 | 2 | 1,86 | 100 × 75 × 7 × 9 × 11 | 100 | 75 | 7 | 10 | 5 | 14,1 | 11,1 |
| 45 × 30 × 4* × 5 | 45 | 30 | 3 | 4,5 | 2 | 1,73 | 120 × 80 × 8* × 10* × 12* | 120 | 80 | 9 | 11 | 5,5 | 11,9 | 9,32 |
| 60 × 30 × 5* × 6 | 60 | 30 | 5 | 6 | 3 | 2,26 | 150 × 90 × 10* × 12* | 150 | 90 | 10 | 12 | 6,5 | 15,1 | 11,8 |
| 60 × 40 × 5* × 6* × 7* | 60 | 40 | 6 | 6 | 3 | 2,86 | 150 × 100 × 10* × 12* × 14* | 150 | 100 | 11 | 13 | 6,5 | 18,2 | 14,3 |
| 65 × 50 × 6 × 7 × 8 × 9 | 65 | 50 | 7 | 6,5 | 3,5 | 3,52 | | | | 8 | 10 | | 15,5 | 12,2 |
| 75 × 50 × 7* | 75 | 50 | 7 | 6,5 | 3,5 | 4,29 | | | | 10 | 12,5 | | 19,1 | 15,0 |
| 80 × 60 × 7* | 80 | 60 | 7 | 8 | 4 | 5,08 | | | | 12 | | | 22,7 | 17,8 |
| 80 × 65 × 6 × 8 × 10 | 80 | 65 | 8 | 8 | 4 | 4,79 | | | | 10 | | | 23,2 | 18,2 |
| 90 × 60 × 6* × 8* | 90 | 60 | 8 | 7 | 3,5 | 5,68 | | | | 12 | | | 27,5 | 21,6 |
| | | | 9 | | | 6,55 | | | | 10 | | | 24,2 | 19,0 |
| | | | | | | 7,60 | | | | 12 | | | 28,7 | 29,6 |
| | | | | | | 8,60 | | | | 14 | | | 33,2 | 26,1 |
| | | | | | | 9,58 | | | | | | | | |
| | | | | | | 8,31 | | | | | | | | |
| | | | | | | 9,36 | | | | | | | | |
| | | | | | | 8,41 | | | | | | | | |
| | | | | | | 11,0 | | | | | | | | |
| | | | | | | 13,6 | | | | | | | | |
| | | | | | | 8,69 | | | | | | | | |
| | | | | | | 11,4 | | | | | | | | |

*) Se laminatează în limita posibilităților uzinelor producătoare.



Dimensiuni

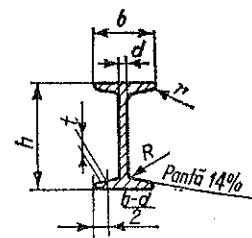


Tabela 20.15. Oțel I, laminat la cald (STAS 565-71)

| Simbol I | Dimensiuni, mm | | | | | Aria secțiunii A cm ² | Masa G kg/m |
|----------|----------------|-----|-------|-------|-----|----------------------------------|-------------|
| | h | b | t | d = R | r | | |
| 8 | 80 | 42 | 5,90 | 3,9 | 2,3 | 7,58 | 5,95 |
| 10 | 100 | 50 | 6,80 | 4,5 | 2,7 | 10,6 | 8,32 |
| 12 | 120 | 58 | 7,70 | 5,1 | 3,1 | 14,2 | 11,2 |
| 14 | 140 | 66 | 8,60 | 5,7 | 3,4 | 18,3 | 14,4 |
| 16 | 160 | 74 | 9,50 | 6,3 | 3,8 | 22,8 | 17,9 |
| 18 | 180 | 82 | 10,40 | 6,9 | 4,1 | 27,9 | 21,9 |
| 20 | 200 | 90 | 11,30 | 7,5 | 4,5 | 33,5 | 26,3 |
| 22 | 220 | 98 | 12,20 | 8,1 | 4,9 | 39,6 | 31,1 |
| 24 | 240 | 106 | 13,10 | 8,7 | 5,2 | 46,1 | 36,2 |
| 26 | 260 | 113 | 14,10 | 9,4 | 5,6 | 53,4 | 41,9 |
| 28 | 280 | 119 | 15,20 | 10,1 | 6,1 | 61,1 | 48,0 |
| 30 | 300 | 125 | 16,20 | 10,8 | 6,5 | 69,1 | 54,2 |
| 32 | 320 | 131 | 17,30 | 11,5 | 6,9 | 77,8 | 61,1 |
| 36 | 360 | 143 | 19,50 | 13,0 | 7,8 | 97,1 | 76,2 |
| 40 | 400 | 155 | 21,60 | 14,4 | 8,6 | 118 | 92,6 |

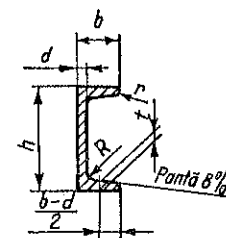


Tabela 20.16. Oțel U, laminat la cald (STAS 564-71)

| Simbol <i>U</i> | Dimensiuni, mm | | | | | | Aria secțiunii <i>A</i> cm ² | Masa <i>G</i> kg/m |
|-------------------------------|----------------|----------|----------|----------|----------|----------|--|--------------------------|
| | <i>h</i> | <i>b</i> | <i>a</i> | <i>t</i> | <i>R</i> | <i>r</i> | | |
| 6 ¹ / ₂ | 65 | 42 | 5,5 | 7,5 | 7,5 | 4,0 | 9,03 | 7,09 |
| 8 | 80 | 45 | 6 | 8,0 | 8,0 | 4,0 | 11,0 | 8,64 |
| 10 | 100 | 50 | 6 | 8,5 | 8,5 | 4,5 | 13,5 | 10,6 |
| 12 | 120 | 55 | 7 | 9,0 | 9,0 | 4,5 | 17,0 | 13,4 |
| 14 | 140 | 60 | 7 | 10,0 | 10,0 | 5,0 | 20,4 | 16,0 |
| 16 | 160 | 65 | 7,5 | 10,5 | 10,5 | 5,5 | 24,0 | 18,8 |
| 18 | 180 | 70 | 8 | 11,0 | 11,0 | 5,5 | 28,0 | 22,0 |
| 20 | 200 | 75 | 8,5 | 11,5 | 11,5 | 6,0 | 32,2 | 25,3 |
| 22 | 220 | 80 | 9 | 12,5 | 12,5 | 6,5 | 37,4 | 29,4 |
| 24 | 240 | 85 | 9,5 | 13,0 | 13,0 | 6,5 | 42,3 | 33,2 |
| 26 | 260 | 90 | 10 | 14,0 | 14,0 | 7,0 | 48,3 | 37,9 |
| 30 | 300 | 100 | 10 | 16,0 | 16,0 | 8,0 | 58,8 | 46,2 |

1.2. SEMIFABRICATE NEFEROASE

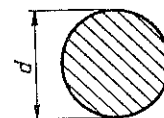


Tabela 20.17. Bare rotunde

Diametrul d, mm

| 1 Cupru STAS 391-77 | 2 Alamă STAS 291-77 | | | | 3 Bronz turnat STAS 2841-68 | | 4 Aluminiu STAS 2339-73 | |
|------------------------------|---------------------------|----|----------------|----|-----------------------------------|----------|-------------------------------|----------|
| | Bare trase | | Bare extrudate | | Tras | Extrudat | Tras | Extrudat |
| 3 | 3 | 19 | 10 | 65 | 15 | 85 | 5 | 10 |
| 3,5 | 3,5 | 20 | 11 | 70 | 20 | 90 | 5,5 | 11 |
| 4 | 4 | 21 | 12 | 75 | 25 | 95 | 6 | 12 |
| 4,5 | 4,5 | 22 | 15 | 80 | 30 | 100 | 6,5 | 14 |
| 5 | 5 | 23 | 16 | 85 | 35 | 110 | 7 | 15 |
| 6 | 5,5 | 24 | 18 | 90 | 40 | 120 | 8 | 16 |

Tabela 20.17 (continuare)

| 1 Cupru STAS 391-77 | 2 Alamă STAS 291-77 | | | | 3 Bronz turnat STAS 2841-68 | | 4 Aluminiu STAS 2339-78 | |
|------------------------------|---------------------------|----|----------------|-----|-----------------------------------|-----|-------------------------------|---------|
| | Bare trase | | Bare extrudate | | | | Tras | Extruda |
| | | | | | | | | |
| 7 | 6 | 25 | 20 | 95 | 45 | 130 | 9 | 18 |
| 8 | 6,5 | 26 | 22 | 100 | 50 | 140 | 10 | 20 |
| 9 | 7 | 27 | 25 | 110 | 55 | 150 | 11 | 22 |
| 10 | 7,5 | 28 | 28 | 120 | 60 | 160 | 12 | 25 |
| 11 | 8 | 29 | 30 | 140 | 65 | 170 | 14 | 28 |
| 12 | 8,5 | 30 | 32 | 150 | 70 | 180 | 16 | 30 |
| 14 | 9 | 32 | 35 | 160 | 75 | 190 | 18 | 32 |
| 16 | 9,5 | 34 | 40 | 180 | 80 | 200 | 20 | 35 |
| 18 | 10 | 36 | 43 | 200 | | | 22 | 40 |
| 20 | 10,5 | 38 | 45 | | | | 25 | 45 |
| 22 | 11 | 40 | 48 | | | | 28 | 50 |
| 25 | 12 | 42 | 50 | | | | 30 | 55 |
| 28 | 13 | 45 | 55 | | | | 32 | 60 |
| 30 | 14 | 48 | 60 | | | | 35 | 65 |
| 32 | 15 | 50 | | | | | 38 | 70 |
| 35 | 16 | | | | | | 40 | 75 |
| 38 | 17 | | | | | | 42 | 80 |
| 40 | 18 | | | | | | 45 | 85 |
| 45 | | | | | | | 50 | 90 |
| 50 | | | | | | | 55 | 95 |
| | | | | | | | 60 | 100 |
| | | | | | | | 65 | |
| | | | | | | | 70 | |
| | | | | | | | 75 | |

Observații. 1. Barele trase de alamă și de aluminiu se fabrică cu gradele de ecruisare: m (moale), 1/2 t (jumătate tare). 2. Exemple de notare: 1/2 t 25 STAS 391-77/Cu 5 STAS 270/2-74; Tras t 12 STAS 291-77/Am 58; Bară 85 STAS 2841-68/Bz 14 t STAS 197/2-76; Tras 1/2 t 20 STAS 2339-73/Al 99,5.

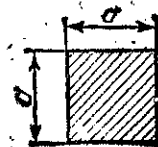


Tabela 20.18. Bare pătrate

Latura a, mm

| 1 Cupru STAS 393-76 | | | | 2 Alamă STAS 292-75 | | | |
|---------------------------|----|----|----|---------------------------|----|----|----|
| 5 | 10 | 19 | 32 | 5 | 10 | 19 | 32 |
| 6 | 11 | 22 | 36 | 6 | 11 | 22 | 36 |
| 7 | 12 | 24 | 40 | 7 | 12 | 24 | 41 |
| 8 | 14 | 28 | 46 | 8 | 14 | 27 | 46 |
| 9 | 17 | 30 | 50 | 9 | 17 | 30 | 50 |

Observații. 1. Barele se fabrică cu gradele de ecruisare: O (moale) și HA (jumătate tare) iar cele din alamă în stările: D (moale), HA (jumătate tare) și HB (tare). 2. Exemple de notare: Bară pătrată HA 10 STAS 393-76/Cu 99/97 b STAS 270/1-74; Bară pătrată HA 20 STAS 292-75/Cu Zn 39 Pb 2 STAS 95-75. 3. Material: Col. 1: Cupru conform STAS 270/1-74, după cum urmează: Cu 99,9; Cu 99,5 pentru scopuri generale; Cu 99,97 pentru scopuri electrotehnice. Col. 2: Aliaj cupru-zinc Cu Zn 39 Pb 2, Cu Zn 40 Pb1, Cu Zn 37 conform STAS 95-75.

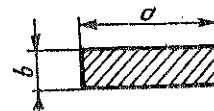


Tabela 20.19. Bare hexagonale

Dimensiunea a, mm

| 1 Cupru STAS 394-76 | | | | 2 Alamă STAS 293-75 | | | |
|---------------------------|----|----|----|---------------------------|----|----|----|
| 5 | 10 | 19 | 32 | 5 | 10 | 19 | 32 |
| 6 | 11 | 22 | 36 | 5,5 | 11 | 22 | 36 |
| 7 | 12 | 24 | 40 | 6 | 12 | 24 | 41 |
| 8 | 13 | 28 | 46 | 7 | 13 | 27 | 46 |
| 9 | 14 | 30 | 50 | 8 | 14 | 30 | 50 |
| | 17 | | | 9 | 17 | | |

Observații. 1. Barele hexagonale din cupru se livrează în două stări: O (moale) și HA (jumătate tare), iar cele din alamă în trei stări: O (moale), HA (jumătate tare) și HB (tare). 2. Exemple de notare: Bară hexagonală HA 36 STAS 394-76/Cu 99,97 b STAS 270/1-74; Bară hexagonală HA 24 STAS 293-75/Cu Zn 39 Pb2 STAS 95-75. 3. Material: Col. 1: Cupru conform STAS 270/1-74, după cum urmează: Cu 99,9; Cu 99,5 pentru scopuri generale și Cu 99,97 pentru scopuri electrotehnice; Col. 2: Aliaj cupru-zinc Cu Zn 39 Pb2, Cu Zn 40 Pb1, Cu Zn 37 conform STAS 95-75.

Tabela 20.20. Bare dreptunghiulare
Lățime × grosime (a × b), mm

| 1 Cupru (tras) STAS 392-76 | | | | 2 Alamă (trasă) STAS 389-77 | | | | 3 Aluminiu STAS 3322-77 |
|----------------------------------|-------|-------|-------|-----------------------------------|-------|-------|-------|-------------------------------|
| 5×2 | 12×4 | 22×10 | 40×20 | 5×2 | 13×8 | 30×10 | 12×3 | 40×3 |
| 5×3 | 12×5 | 22×15 | 50×5 | 5×3 | 13×15 | 30×15 | 12×4 | 40×5 |
| 5×4 | 12×8 | 25×5 | 50×8 | 5×4 | 15×3 | 30×20 | 12×5 | 40×8 |
| 6×2 | 12×10 | 25×6 | 50×10 | 6×2 | 15×4 | 35×5 | 12×8 | 40×10 |
| 6×3 | 15×3 | 25×10 | 50×15 | 6×3 | 15×5 | 35×10 | 15×3 | 40×15 |
| 6×4 | 15×4 | 25×15 | 50×20 | 6×4 | 15×6 | 35×15 | 15×5 | 40×20 |
| 6×5 | 15×5 | 30×5 | 60×5 | 6×5 | 15×8 | 35×20 | 15×8 | 50×5 |
| 7×2 | 15×6 | 30×10 | 60×8 | 7×2 | 15×10 | 40×5 | 15×10 | 50×8 |
| 7×3 | 15×8 | 30×15 | 60×10 | 7×3 | 18×5 | 40×10 | 18×3 | 50×10 |
| 7×4 | 15×10 | 30×20 | 60×15 | 7×4 | 18×10 | 40×15 | 18×5 | 50×15 |

Tabela 20.20 (continuare)

| 1 | | | | 2 | | | 3 | | |
|-----------------------------|-------|-------|--------|------------------------------|-------|-------|--------------------------|--------|--|
| Cupru (tras) STAS 392-76 | | | | Alamă (trasă) STAS 389-77 | | | Aluminiu STAS 3322-70 | | |
| 8×2 | 18×5 | 35×5 | 60×20 | 8×4 | 18×15 | 40×20 | 18×8 | 50×20 | |
| 8×3 | 18×10 | 35×10 | 80×10 | 8×5 | 20×5 | 50×5 | 18×10 | 60×5 | |
| 8×4 | 18×15 | 35×15 | 80×15 | 10×4 | 20×6 | 50×10 | 20×3 | 60×8 | |
| 8×5 | 20×5 | 35×20 | 80×20 | 10×5 | 20×10 | 50×15 | 20×5 | 60×10 | |
| 10×4 | 20×6 | 40×5 | 100×10 | 10×8 | 20×15 | 50×20 | 20×8 | 60×15 | |
| 10×5 | 20×10 | 40×8 | 100×15 | 12×4 | 22×5 | 60×10 | 20×10 | 60×20 | |
| 10×8 | 20×15 | 40×10 | 100×20 | 12×5 | 22×10 | 60×15 | 20×15 | 80×5 | |
| 12×3 | 22×5 | 40×15 | | 12×8 | 22×15 | 60×20 | 25×3 | 80×6 | |
| | | | | 12×10 | 25×5 | | 25×5 | 80×8 | |
| | | | | 13×3 | 25×6 | | 25×8 | 80×10 | |
| | | | | 13×4 | 25×10 | | 25×10 | 80×15 | |
| | | | | 13×5 | 25×15 | | 25×15 | 80×20 | |
| | | | | 13×6 | 30×6 | | 30×3 | 100×5 | |
| | | | | | | | 30×5 | 100×8 | |
| | | | | | | | 30×10 | 100×10 | |
| | | | | | | | 30×15 | | |

Observații. 1. Dimensiunile barelor de alamă brut presate se găsesc în același standard. 2. Barele de cupru se fabrică cu gradele de ecruisare, m (moale) și 1/2 (jumătate tare), iar cele de alamă cu gradele de ecruisare m, 1/2 și t. 3. Barele de cupru pentru scopuri electrotehnice indicate în STAS 2873-68. 4. Barele de aluminiu și alamă se fabrică cu gradele de ecruisare m și 1/2 t. 5. *Exemple de notare:* Bară 1/2 t 30 × 5 STAS 392-76/Cu 9; Trasă t 10 × 8 STAS 389-77/Am 58 STAS 95-75; Bară dreptunghiulară trasă m 50 × 8 STAS 3322-70/Al 99,5 STAS 7607-72. 6. *Utilizare:* Col. 1: Cu 5 sau Cu 9 STAS 270-66 pentru scopuri generale; Cu E pentru utilizări în electrotehnică. Col. 2: Am 58 (bare cu b > 4 mm) pentru prelucrări prin așchiere; Am 63 (bare de toate dimensiunile) pentru lucrări fine sau deformări la rece. Col. 3: Aluminiu 99,5 și Al 99,0 pentru scopuri generale, conform STAS 7607-72.

Tabela 20.21, Benzi

| Alamă (STAS 290-73) | | | | Cupru (STAS 427-73) | | | |
|------------------------|---|---------------|---|------------------------|---|---------------|---|
| Grosime mm | Masa pentru 100 mm lățime kg/m | Grosime mm | Masa pentru 100 mm lățime kg/m | Grosime mm | Masa pentru 100 mm lățime kg/m | Grosime mm | Masa pentru 100 mm lățime kg/m |
| 0,10 | 0,085 | 1,0 | 0,850 | 0,10 | 0,089 | 1,0 | 0,890 |
| 0,12 | 0,102 | 1,1 | 0,935 | 0,12 | 0,107 | 1,1 | 0,979 |
| 0,15 | 0,128 | 1,2 | 1,020 | 0,15 | 0,134 | 1,2 | 1,07 |
| 0,18 | 0,153 | 1,3 | 1,105 | 0,18 | 0,160 | 1,3 | 1,16 |
| 0,20 | 0,170 | 1,4 | 1,19 | 0,20 | 0,178 | 1,4 | 1,24 |
| 0,22 | 0,187 | 1,5 | 1,28 | 0,22 | 0,196 | 1,5 | 1,34 |
| 0,25 | 0,213 | 1,6 | 1,36 | 0,25 | 0,223 | | |
| 0,30 | 0,255 | 1,7 | 1,44 | 0,30 | 0,267 | 1,6 | 1,42 |
| 0,35 | 0,298 | 1,8 | 1,53 | 0,35 | 0,312 | 1,7 | 1,52 |
| 0,40 | 0,340 | 1,9 | 1,61 | 0,40 | 0,356 | 1,8 | 1,60 |
| 0,45 | 0,383 | 2,0 | 1,70 | 0,45 | 0,400 | 1,9 | 1,69 |
| 0,50 | 0,425 | 2,2 | 1,87 | 0,50 | 0,445 | 2,0 | 1,78 |
| 0,55 | 0,457 | 2,5 | 2,13 | 0,55 | 0,490 | 2,2 | 1,96 |
| 0,60 | 0,510 | 2,8 | 2,38 | 0,60 | 0,534 | 2,5 | 2,23 |
| 0,65 | 0,552 | 3,0 | 2,55 | 0,65 | 0,578 | 2,8 | 2,49 |

Tabela 20.21 (continuare)

| Alamă (STAS 290-73) | | | | Cupru (STAS 427-73) | | | |
|------------------------|---|---------------|---|------------------------|---|---------------|---|
| Grosime mm | Masa pentru 100 mm lățime kg/m | Grosime mm | Masa pentru 100 mm lățime kg/m | Grosime mm | Masa pentru 100 mm lățime kg/m | Grosime mm | Masa pentru 100 mm lățime kg/m |
| 0,70 | 0,595 | 3,2 | 2,72 | 0,70 | 0,623 | 3,0 | 2,67 |
| 0,75 | 0,638 | 3,5 | 2,98 | 0,75 | 0,668 | 3,2 | 2,85 |
| 0,80 | 0,680 | 3,8 | 3,23 | 0,80 | 0,712 | 3,5 | 3,12 |
| 0,85 | 0,722 | 4,0 | 3,40 | 0,85 | 0,765 | 3,8 | 3,38 |
| 0,90 | 0,763 | | | 0,90 | 0,801 | 4,0 | 3,56 |

Lățime, mm

| | | | | | | | |
|-----|-----|-----|-----|-----|-----|-----|-----|
| 20 | 12 | 14 | 16 | 18 | 20 | 22 | 25 |
| 28 | 30 | 32 | 36 | 40 | 45 | 50 | 55 |
| 60 | 65 | 70 | 80 | 90 | 100 | 110 | 120 |
| 130 | 140 | 150 | 160 | 180 | 200 | 220 | 250 |
| 280 | 300 | 320 | 360 | 400 | 450 | 500 | 560 |

Grade de ecruisare

Grade de ecruisare

m (moale), 1/4 t (sfert tare), 1/2 t (jumătate tare), t (tare), ft (foarte tare)

m (moale), 1/4 t (sfert tare), 1/2 t (jumătate tare), t (tare)

Observații. 1. Benzile de alamă și de cupru se livrează în două clase de precizie: clasa de precizie A și clasa de precizie B. 2. *Material:* În mod curent, benzile de alamă se fabrică din Am 63 și Am 70 STAS 95-67, iar benzile de cupru din Cu 5, Cu 9 pentru scopuri generale în industria metalurgică și Cu 9 cind se cere o anumită rezistivitate electrică. 3. *Exemple de notare:* Bandă 1/4 t A 0,6 × 56 STAS 290-73/Am 63 STAS 95-75. Bandă t A 0,5 × 50 STAS 427-73/Cu 5 STAS 270-74.

Tabela 20.22. Table și plăci. Dimensiuni, în mm

| Cupru | | | Alamă | | Aluminiu | | |
|-------------|--------------|----|-------------|--------------|-------------|------|------|
| Table | Plăci | | Table | Plăci | Table | | |
| STAS 426-73 | STAS 2429-68 | | STAS 289-73 | STAS 2430-68 | STAS 428-74 | | |
| 1 | 2 | | 3 | 4 | 5 | | |
| 0,30 | 1,20 | 6 | 0,30 | 1,20 | 6 | 0,30 | 1,80 |
| 0,35 | 1,30 | 7 | 0,35 | 1,30 | 7 | 0,35 | 2,00 |
| 0,40 | 1,40 | 8 | 0,40 | 1,40 | 8 | 0,40 | 2,20 |
| 0,45 | 1,50 | 10 | 0,45 | 1,50 | 10 | 0,45 | 2,50 |
| 0,50 | 1,60 | 12 | 0,50 | 1,60 | 12 | 0,50 | 2,80 |
| 0,55 | 1,80 | 14 | 0,55 | 1,80 | 14 | 0,60 | 3,00 |
| 0,60 | 2,00 | 16 | 0,60 | 2,00 | 16 | 0,70 | 3,20 |
| 0,65 | 2,20 | 18 | 0,65 | 2,20 | 18 | 0,80 | 3,50 |
| 0,70 | 2,50 | 20 | 0,70 | 2,50 | 20 | 0,90 | 4,00 |

Tabela 20.22 (continuare)

| Cupru | | | Alamă | | | Aluminiu | |
|-------------|--------------|----|-------------|--------------|----|-------------|------|
| Table | Plăci | | Table | Plăci | | Table | |
| STAS 426-73 | STAS 2429-68 | | STAS 289-73 | STAS 2430-68 | | STAS 428-74 | |
| 1 | 2 | | 3 | 4 | | 5 | |
| 0,75 | 2,80 | 22 | 0,75 | 2,80 | 22 | 1,00 | 4,50 |
| 0,80 | 3,00 | 25 | 0,80 | 3,00 | 25 | 1,20 | 5,00 |
| 0,85 | 3,20 | 28 | 0,85 | 3,20 | 28 | 1,50 | |
| 0,90 | 3,50 | 30 | 0,90 | 3,50 | 30 | | |
| 0,95 | 4,00 | | 0,95 | 4,00 | | | |
| 1,00 | 4,50 | | 1,00 | 4,50 | | | |
| 1,10 | 5,00 | | 1,10 | 5,00 | | | |

Formate

| Lățimi | | Lățimi | | Lățimi | | Lățimi | | Lățimi | |
|---------|-------|---------|-------|---------|-------|---------|-------|---------|-------|
| 300 | 750 | 500 | 1 000 | 300 | 750 | 500 | 1 000 | 500 | 1 250 |
| 500 | 1 000 | | | 500 | 1 000 | | | 700 | 1 500 |
| Lungimi | | Lungimi | | Lungimi | | Lungimi | | Lungimi | |
| 1 000 | 2 000 | 1 000 | 2 000 | 1 000 | 2 000 | 1 000 | 2 000 | 500 | 3 000 |
| 1 500 | | | | 1 500 | | | | 1 000 | 5 000 |
| | | | | | | | | | 8 000 |

Grade de ecrusare

| | | | | |
|-------------|--|-------------|------|--|
| m; 1/2 t; t | | m; 1/2 t; t | m; t | M — laminat O — recopt HD — jumătate tare HH — tare |
|-------------|--|-------------|------|--|

Observații. 1. Tablele din cupru și alamă au două clase de precizie: A și B. 2. *Exemple de notare:* Tablă 1/2 t A 0,15 × 500 × 2 000 STAS 426-73/Cu 5 STAS 270-74; Placă 1 1/2 × 1 000 × 2 000 STAS 2429-68/Cu 5; Tablă m A 2 × 300 × 1 000 STAS 289-73/Am 63 STAS 95-75; Placă t 22 × 500 × 2 000 STAS 2430-68/Am 60; Tablă HD 0/35 × 500 × 1 000 STAS 428-74/Al 99,5 STAS 7607-72. 3. *Material:* Col. 1: Cu 5, Cu 9 STAS 270-66 pentru scopuri generale; Cu 9 STAS 270-66 pentru piese cu anumită conductivitate electrică; Col. 2: Cu 5 și Cu E STAS 270-66; Col. 3: Am 63 STAS 95-75; Col. 4: Am 60 și Am 63 STAS 95-75; Col. 5: Al 99% pentru utilizări generale; Al 99,5% pentru utilizări speciale în industria chimică, alimentară și electrotehnică.

Tabela 20.23. Sîrme rotunde. Diametre, în mm

| 1 | | | 2 | | | | 3 | |
|--|-------|-------|----------------------------|------|--------|--------|--|-------|
| Sîrmă de cupru pentru conductoare de bobinaj STAS 685-74 | | | Sîrmă de alamă STAS 390-77 | | | | Sîrmă de aluminiu pentru nituri STAS 4049-77 | |
| 0,020 | 0,400 | 1,700 | | 0,80 | 2,60 | (4,60) | 0,90 | 3,88 |
| 0,025 | 0,450 | 1,800 | | 0,85 | 2,70 | (4,70) | 1,10 | 4,50 |
| 0,032 | 0,500 | 1,900 | 0,15 | 0,90 | 2,80 | 4,80 | | |
| 0,040 | 0,560 | 2,000 | 0,18 | 0,95 | 2,90 | (4,90) | 1,30 | 4,88 |
| 0,050 | 0,630 | 2,120 | 0,20 | 1,00 | 3,00 | 5,00 | | |
| 0,063 | 0,710 | 2,240 | 0,22 | 1,10 | 3,10 | (5,10) | 1,60 | 5,50 |
| 0,071 | 0,750 | 2,360 | 0,25 | 1,20 | 3,20 | 5,20 | 1,94 | 5,58 |
| 0,080 | 0,800 | 2,500 | 0,28 | 1,30 | (3,30) | 5,30 | | |
| 0,090 | 0,850 | 2,650 | 0,30 | 1,40 | 3,40 | (5,40) | 2,18 | 6,50 |
| 0,100 | 0,900 | 2,800 | 0,32 | 1,50 | 3,50 | 5,50 | | |
| 0,112 | 0,950 | 3,000 | 0,35 | 1,60 | (3,60) | 6,00 | 2,24 | 6,90 |
| 0,125 | 1,000 | 3,150 | 0,38 | 1,70 | (3,70) | 6,50 | | |
| 0,140 | 1,060 | 3,350 | 0,40 | 1,80 | 3,80 | 7,00 | 2,48 | 7,90 |
| 0,160 | 1,120 | 3,550 | 0,45 | 1,90 | (3,90) | 7,50 | 2,54 | 8,90 |
| 0,180 | 1,180 | 3,750 | 0,50 | 2,00 | 4,00 | 8,00 | | |
| 0,200 | 1,250 | 4,000 | 0,55 | 2,10 | (4,10) | 8,50 | 2,88 | 9,90 |
| 0,224 | 1,320 | 4,250 | 0,60 | 2,20 | 4,20 | 9,00 | | |
| 0,250 | 1,400 | 4,500 | 0,65 | 2,30 | 4,30 | 9,50 | 3,38 | 11,80 |
| 0,280 | 1,500 | 4,750 | 0,70 | 2,40 | 4,40 | 10,00 | | |
| 0,315 | 1,600 | 5,000 | 0,75 | 2,50 | 4,50 | | | |
| 0,355 | | | | | | | | |

Observații. 1. Sîrma de cupru pentru nituri și cuie este indicată în STAS 683-68. 2. Sîrma de alamă are gradele de duritate: m (moale), 1/2 t (jumătate tare) și t (tare). 3. Sîrma de aluminiu are starea de ecrusare 1/2 t (jumătate tare). 4. *Exemple de notare:* Sîrmă bobinaj 0,08 STAS 685-74/Cu E STAS 642-71; Sîrmă rotundă 1/2 t 1,8 STAS 390-70/Am 63 STAS 95-75; Sîrmă 3,38 STAS 4049-77/Al 99,5. 5. *Material* Col. 1: Cu E STAS 95-75; Col. 2: Am 63 STAS 95-75 pentru toate dimensiunile, Am 58 pentru dimensiuni de 5 mm și mai mari; Col. 3: Al 99,5% sau Al 99% conform STAS 7607-72.

Tabela 20.24. Țevi rotunde trase din cupru (STAS 523-74), alamă (STAS-521-72) și aluminiu (STAS 524-74)

[illegible][illegible]

Observatii. 1. Tevile de alamă se fabrică cu gradele de ecruisare: m (moale) și 1/2 t (jumătate tare); teville de cupru cu gradele de ecruisare: O (moale), HA (jumătate tare) și HB (tare); teville de aluminiu: O (recept), HD (jumătate tare); MM (tare); TB (călit și îmbătrânit natural) și TF (călit și îmbătrânit artificial). 2. *Exemplu de notare:* teavă HD 20 × 5 STAS 523-74/Cu 99,9 STAS 270/1-74; teavă m 38 × 1,5/STAS 521-72/Am 63 STAS 95-75; teavă HD 10 × 0,75 STAS 524-74/Al 99,5 STAS 7607-72 Ediția II - 1973. 3. *Material:* Tevi cupru: Cu 99,9 b; Cu 99,95; Cu 99,9; Cu 99,5 conform STAS 270/1-74; Tevi alamă: Am 60 și Am 63 conform STAS 95-75; Tevi aluminiu: Al 99,5; Al 99,7 conform STAS 7607-72 Ediția II - 1973 și din mările de aliaje de aluminiu AlMg, AlMgSi, AlSiMgMn; AlCu4Mg1,5Mn; AlMn Mg; Al Zn 5 Mg 2 Cu Cr conform STAS 7608-71

2. MASE

Tabela 20.25. Masa a 1 000 m sîrmă, în kg

| Diametrul sîrmei, mm | Oțel | Cupru | Alamă | Alu- miniu | Dia- me- trul sîrmei mm | Oțel | Cupru | Alamă | Aluminu |
|----------------------------|-------|-------|-------|---------------|-------------------------------------|--------|---------|---------|---------|
| 0,07 | | 0,034 | | | 1,55 | | 16,790 | | |
| 0,08 | | 0,045 | | | 1,60 | 15,800 | 17,900 | 17,090 | |
| 0,09 | | 0,057 | | | 1,64 | | | | 5,770 |
| 0,10 | | 0,070 | 0,067 | | 1,65 | | 19,030 | | |
| 0,11 | | 0,085 | | | 1,70 | | 20,200 | 19,293 | |
| 0,12 | | 0,101 | 0,096 | | 1,75 | | 21,400 | | |
| 0,13 | | 0,118 | | | 1,80 | 20,000 | 22,600 | 21,630 | |
| 0,14 | | 0,137 | | | 1,90 | | 25,200 | 24,100 | |
| 0,15 | | 0,157 | 0,150 | | 1,94 | | | | 8,070 |
| 0,16 | 0,158 | 0,179 | | | 2,00 | 24,700 | 28,000 | 26,704 | 8,480 |
| 0,18 | 0,200 | 0,226 | 0,216 | | 2,10 | | 30,800 | 29,441 | |
| 0,20 | 0,247 | 0,280 | 0,267 | | 2,20 | 29,800 | 33,800 | 32,311 | |
| 0,22 | 0,298 | 0,338 | 0,323 | | 2,24 | | | | 10,800 |
| 0,25 | 0,385 | 0,437 | 0,417 | | 2,30 | | 37,000 | 35,315 | |
| 0,28 | 0,483 | 0,548 | 0,523 | | 2,40 | | 40,300 | 38,453 | |
| 0,30 | 0,555 | 0,629 | 0,601 | | 2,50 | 38,500 | 43,700 | 41,724 | 13,230 |
| 0,32 | | 0,716 | 0,634 | | 2,54 | | | | 13,800 |
| 0,35 | | 0,856 | 0,818 | | 2,60 | | 47,200 | 45,129 | |
| 0,38 | | 1,010 | 0,964 | | 2,70 | | 51,000 | 48,667 | |
| 0,40 | 0,986 | 1,120 | 1,068 | | 2,80 | 48,300 | 54,300 | 52,339 | |
| 0,42 | 1,250 | 1,420 | 1,352 | | 2,90 | | 58,800 | 56,144 | |
| 0,45 | | 1,610 | | | 3,00 | 55,500 | 62,900 | 60,083 | 19,060 |
| 0,50 | 1,540 | 1,750 | 1,669 | 0,530 | 3,10 | 59,200 | 67,200 | | |
| 0,55 | 1,870 | 2,110 | 2,013 | | 3,20 | | 71,600 | 68,361 | |
| 0,60 | 2,220 | 2,520 | 2,403 | | 3,30 | | 78,100 | | |
| 0,65 | | 2,950 | 2,821 | | 3,40 | 71,300 | 80,700 | | |
| 0,70 | 3,020 | 3,430 | 3,271 | | 3,50 | | 85,600 | 81,780 | 25,970 |
| 0,75 | | 3,930 | 3,755 | | 3,60 | | 90,600 | | |
| 0,80 | 3,950 | 4,470 | 4,273 | | 3,80 | 89,000 | 100,900 | 96,399 | |
| 0,85 | | 5,050 | 4,823 | | 4,00 | 98,500 | 111,800 | 106,814 | 33,910 |
| 0,90 | 4,990 | 5,670 | 5,407 | | 4,20 | 109 | 123,300 | | |
| 0,94 | | | | 1,890 | 4,50 | | 141,600 | 135,187 | 42,930 |
| 0,95 | | 6,290 | 6,024 | | 4,80 | | 161,100 | | |
| 1,00 | 6,170 | 7,000 | 6,676 | 2,120 | 5,00 | 154 | 174,800 | 166,897 | 53,000 |
| 1,05 | | 7,710 | | | 5,20 | | 189,000 | | |
| 1,10 | 7,460 | 8,460 | 8,078 | | 5,50 | 187 | 211,000 | 201,946 | 64,120 |

Tabela 20.25 (continuare)

| Diametrul sîrmei, mm | Oțel | Cupru | Alamă | Alu- miniu | Dia- me- trul sîrmei, mm | Oțel | Cupru | Alamă | Aluminu |
|----------------------------|--------|--------|--------|---------------|--------------------------------------|------|---------|---------|---------|
| 1,14 | | | | 2,790 | 6,00 | 222 | 252,000 | 240,332 | 76,320 |
| 1,15 | | 9,240 | | | 6,50 | 260 | | 282,056 | 89,580 |
| 1,20 | 8,880 | 10,050 | 9,613 | | 6,80 | 285 | | | |
| 1,25 | | 10,920 | | | 7,50 | 347 | | 375,518 | 119,300 |
| 1,30 | 10,400 | 11,810 | 11,282 | | 7,80 | 375 | | | |
| 1,34 | | | | 3,850 | 8,20 | 415 | | | |
| 1,35 | | 12,740 | | | 8,40 | 438 | | | |
| 1,40 | 12,100 | 13,700 | 13,085 | | 8,80 | 477 | | | |
| 1,45 | | 14,700 | | | 9,20 | 522 | | 602,480 | |
| 1,50 | | 15,730 | 15,020 | 4,770 | 9,50 | 556 | | | |

Tabela 20.26. Masa plăcilor de metal, în kg/m²

| Grosi- mea plăcii, mm | Fontă | Oțel | Cupru | Alamă | Bronz | Zinc | Plumb | Dura- luminu |
|--------------------------------|--------|--------|--------|--------|-------|-------|--------|-----------------|
| 1 | 7,25 | 7,85 | 8,90 | 8,50 | 8,6 | 7,2 | 11,37 | 2,8 |
| 2 | 14,50 | 15,70 | 17,80 | 17,00 | 17,2 | 14,4 | 22,74 | 5,6 |
| 3 | 21,75 | 23,55 | 26,70 | 25,50 | 25,8 | 21,6 | 34,11 | 8,4 |
| 4 | 29,00 | 31,40 | 35,60 | 34,00 | 34,4 | 28,8 | 45,48 | 11,2 |
| 5 | 36,25 | 39,25 | 44,50 | 42,50 | 43,0 | 36,0 | 56,85 | 14,0 |
| 6 | 43,50 | 47,10 | 53,40 | 51,00 | 51,6 | 43,2 | 68,22 | 16,8 |
| 7 | 50,75 | 54,95 | 62,30 | 59,50 | 60,2 | 50,4 | 79,59 | 19,6 |
| 8 | 58,00 | 62,80 | 71,20 | 68,00 | 68,8 | 57,6 | 90,96 | 22,4 |
| 9 | 65,25 | 70,65 | 80,10 | 76,50 | 77,4 | 64,8 | 102,33 | 25,2 |
| 10 | 72,50 | 78,50 | 89,00 | 85,00 | 86,0 | 72,0 | 113,70 | 28,0 |
| 11 | 79,75 | 86,35 | 97,90 | 93,50 | 94,6 | 79,2 | 125,07 | 30,8 |
| 12 | 87,00 | 94,20 | 106,80 | 102,00 | 103,2 | 86,4 | 136,44 | 33,6 |
| 13 | 94,25 | 102,25 | 115,70 | 110,50 | 111,8 | 93,6 | 147,81 | 36,4 |
| 14 | 101,50 | 109,90 | 124,60 | 119,00 | 120,4 | 100,8 | 159,18 | 39,2 |
| 15 | 108,75 | 117,75 | 133,50 | 127,50 | 129,0 | 108,0 | 170,55 | 42,0 |
| 16 | 116,00 | 125,60 | 142,40 | 136,00 | 137,6 | 115,2 | 181,92 | 44,8 |
| 17 | 123,25 | 133,45 | 151,30 | 144,50 | 146,2 | 122,4 | 193,29 | 47,6 |
| 18 | 130,50 | 141,30 | 160,20 | 153,00 | 154,8 | 129,6 | 204,66 | 50,4 |
| 19 | 137,75 | 149,15 | 169,10 | 161,50 | 163,4 | 136,8 | 216,03 | 53,2 |
| 20 | 145,00 | 157,00 | 178,00 | 170,00 | 172,0 | 144,0 | 227,40 | 56,0 |
| 21 | 152,25 | 164,85 | 186,90 | 178,50 | 180,6 | 151,2 | 238,77 | 58,8 |
| 22 | 159,50 | 172,70 | 195,80 | 187,00 | 189,2 | 158,4 | 250,14 | 61,6 |
| 23 | 166,75 | 180,55 | 204,70 | 195,50 | 197,8 | 165,6 | 261,51 | 64,8 |
| 24 | 174,00 | 188,40 | 213,60 | 204,00 | 206,4 | 172,8 | 272,88 | 67,4 |
| 25 | 181,25 | 196,25 | 222,50 | 212,50 | 215,0 | 180,0 | 284,25 | 70,0 |
| 26 | 188,50 | 204,10 | 231,40 | 221,00 | 223,6 | 187,2 | 295,62 | 72,6 |
| 27 | 195,75 | 211,95 | 240,30 | 229,50 | 232,2 | 194,4 | 306,99 | 75,2 |
| 28 | 203,00 | 219,80 | 249,20 | 238,00 | 240,8 | 201,6 | 318,36 | 78,8 |
| 29 | 210,25 | 227,65 | 258,10 | 246,50 | 249,4 | 208,8 | 329,73 | 81,4 |
| 30 | 217,50 | 235,50 | 267,00 | 255,00 | 258,0 | 216,0 | 341,10 | 84,0 |

Tabela 20.27. Masa unui metru de oțel pătrat, hexagonal și rotund, în kilograme

| Grosimea d mm | Greutatea în kg/m | | | Grosimea d mm | Greutatea în kg/m | | | Grosimea d mm | Greutatea în kg/m | | |
|-----------------------|-------------------|-------|-------|-----------------------|-------------------|--------|--------|-----------------------|-------------------|---------|---------|
| | | | | | | | | | | | |
| 5 | 0,196 | 0,170 | 0,154 | 50 | 19,625 | 16,995 | 14,413 | 170 | 226,865 | 196,471 | 173,179 |
| 6 | 0,283 | 0,245 | 0,222 | 52 | 21,226 | 18,383 | 16,671 | 175 | 240,406 | 208,198 | 188,815 |
| 7 | 0,385 | 0,333 | 0,302 | 54 | 22,891 | 19,824 | 17,978 | 180 | 254,340 | 220,265 | 199,758 |
| 8 | 0,502 | 0,435 | 0,395 | 55 | 23,746 | 20,560 | 18,650 | 185 | 268,666 | 232,638 | 211,010 |
| 9 | 0,636 | 0,551 | 0,499 | 56 | 24,618 | 21,320 | 19,335 | 190 | 283,385 | 245,419 | 222,570 |
| 10 | 0,785 | 0,680 | 0,617 | 58 | 26,407 | 22,870 | 20,740 | 195 | 298,496 | 258,506 | 234,438 |
| 11 | 0,950 | 0,823 | 0,746 | 60 | 28,260 | 24,474 | 22,195 | 200 | 314,000 | 271,932 | 246,615 |
| 12 | 1,130 | 0,979 | 0,888 | 62 | 30,175 | 26,133 | 23,700 | 205 | 329,896 | 285,927 | 259,100 |
| 13 | 1,327 | 1,149 | 1,042 | 64 | 32,154 | 27,846 | 25,253 | 210 | 346,185 | 299,805 | 271,893 |
| 14 | 1,539 | 1,332 | 1,208 | 65 | 33,160 | 28,720 | 26,050 | 215 | 362,866 | 314,251 | 284,994 |
| 15 | 1,766 | 1,530 | 1,387 | 66 | 34,195 | 29,614 | 26,856 | 220 | 379,940 | 329,037 | 298,404 |
| 16 | 2,010 | 1,740 | 1,578 | 68 | 36,298 | 31,436 | 28,509 | 225 | 397,406 | 344,164 | 312,122 |
| 17 | 2,269 | 1,965 | 1,782 | 70 | 38,465 | 33,312 | 30,210 | 230 | 415,265 | 359,631 | 326,148 |
| 18 | 2,543 | 2,203 | 1,998 | 72 | 40,694 | 35,243 | 31,961 | 235 | 433,516 | 375,437 | 340,483 |
| 19 | 2,834 | 2,454 | 2,226 | 74 | 42,987 | 37,228 | 33,762 | 240 | 452,160 | 391,583 | 353,128 |
| 20 | 3,140 | 2,719 | 2,466 | 75 | 44,130 | 38,240 | 34,680 | 245 | 471,196 | 408,068 | 370,077 |
| 21 | 3,462 | 2,998 | 2,719 | 76 | 45,342 | 39,267 | 35,611 | 250 | 490,625 | 424,894 | 385,336 |
| 22 | 3,799 | 3,290 | 2,984 | 78 | 47,759 | 41,361 | 37,510 | 255 | 510,446 | 442,060 | 400,904 |
| 23 | 4,153 | 3,596 | 3,261 | 80 | 50,240 | 43,509 | 39,458 | 260 | 530,660 | 459,565 | 416,779 |
| 24 | 4,522 | 3,916 | 3,551 | 85 | 56,716 | 49,118 | 44,545 | 265 | 551,266 | 477,411 | 432,963 |
| | | | | 90 | 63,585 | 55,067 | 49,940 | 270 | 572,265 | 495,597 | 449,456 |
| | | | | | | | | 275 | 593,656 | 514,022 | 466,257 |

| | | | | | | | | | | | |
|----|--------|--------|--------|-----|---------|---------|---------|-----|---------|---------|---------|
| 25 | 4,906 | 4,249 | 3,853 | 95 | 70,846 | 61,355 | 55,643 | 280 | 615,440 | 532,988 | 483,365 |
| 26 | 5,307 | 4,596 | 4,168 | 100 | 78,500 | 67,983 | 61,654 | 285 | 637,616 | 552,193 | 500,783 |
| 27 | 5,723 | 4,956 | 4,495 | 105 | 86,546 | 74,951 | 67,973 | 290 | 660,185 | 571,738 | 518,508 |
| 28 | 6,154 | 5,330 | 4,834 | 110 | 94,985 | 82,260 | 74,601 | 295 | 683,146 | 591,623 | 536,542 |
| 29 | 6,602 | 5,717 | 5,185 | 115 | 103,816 | 89,908 | 81,537 | 300 | 706,500 | 611,848 | 554,884 |
| 30 | 7,065 | 6,118 | 5,549 | | | | | | | | |
| 32 | 8,038 | 6,961 | 6,313 | 120 | 113,040 | 97,896 | 88,781 | 305 | 730,246 | 632,413 | 573,534 |
| 34 | 9,075 | 7,859 | 7,127 | 125 | 122,656 | 106,224 | 96,334 | 310 | 754,385 | 653,318 | 592,493 |
| 35 | 9,616 | 8,328 | 7,550 | 130 | 132,665 | 114,891 | 104,195 | 315 | 778,916 | 674,563 | 611,759 |
| 36 | 10,174 | 8,811 | 7,990 | 135 | 143,066 | 123,899 | 112,364 | 320 | 803,840 | 696,148 | 631,334 |
| 38 | 11,335 | 9,817 | 8,903 | 140 | 153,860 | 133,247 | 120,841 | 325 | 829,156 | 718,071 | 651,218 |
| 40 | 12,560 | 10,877 | 9,865 | 145 | 165,046 | 142,934 | 129,627 | 330 | 854,865 | 740,336 | 671,409 |
| 42 | 13,847 | 11,992 | 10,876 | 150 | 176,625 | 152,962 | 138,721 | 335 | 880,966 | 762,940 | 691,909 |
| 44 | 15,198 | 13,162 | 11,936 | 155 | 188,596 | 163,329 | 148,123 | 340 | 907,460 | 785,885 | 712,717 |
| 45 | 15,896 | 13,766 | 12,485 | 160 | 200,960 | 174,036 | 157,834 | 345 | 934,346 | 809,169 | 733,834 |
| 46 | 16,611 | 14,385 | 13,046 | 165 | 213,716 | 185,084 | 167,852 | 350 | 961,625 | 832,793 | 755,258 |
| 48 | 18,086 | 15,663 | 14,205 | | | | | | | | |

Observație. Pentru următoarele materiale greutatea în kilograme pe metrul linear se obține multiplicând valorile din tabela de mai sus cu coeficienții: 1,083 la alama; 1,134 la cupru; 1,096 la bronz; 0,924 la fontă; 1,448, la plumb; 0,917 la zinc.

SUDAREA, TĂIEREA ȘI LIPIREA METALELOR

1. SUDAREA METALELOR

1.1. GENERALITĂȚI

Sudarea este procedeul tehnologic de îmbinare nedemontabilă a două piese metalice, ale căror suprafețe de îmbinat au fost aduse prin încălzire, în stare plastică sau lichidă, cu sau fără *metal de adaos*; piesele de sudat pot avea aceeași compoziție sau compoziții apropiate.

Sudură se numește zona în care se face îmbinarea.

Cusătura este sudura pe o linie, fie continuă, fie cu întreruperi.

Metal de bază este metalul din care este executată piesa de sudat.

Metal depus rezultă din topirea metalului de adaos, care, amestecându-se parțial cu metalul de bază topit, formează după solidificare *cusătura*.

1.2. PROCEDEE TEHNOLOGICE

După starea metalului la locul de sudat, se deosebesc două procedee de sudare: sudarea prin topire și sudarea prin presiune.

1.2.1. Sudarea prin topire. Sudarea prin topire este procedeul de îmbinare a două piese, prin topirea locală a acestora, cu sau fără metal de adaos și fără a exercita o presiune statică sau un șoc asupra lor.

După caracterul procesului tehnologic, procedeele uzuale de sudare prin topire se clasifică astfel:

- sudare cu gaz (de exemplu, oxiacetilenică);
- sudare cu arc;
- sudare cu hidrogen atomic;
- sudare aluminotermică prin topire.

a. Sudarea cu gaz. La sudarea cu gaz, pentru obținerea căldurii necesare topirii, se folosește flacăra unui gaz care arde într-un arzător (fig. 21.1.). Gazele folosite în mod curent în acest scop sînt oxigenul și acetilena.

Oxigenul tehnic (STAS 2031-77) este obținut din aerul atmosferic și introdus în butelii de oțel, comprimat la 150 at. Pentru obținerea presiunii de lucru (1—10 at), se montează la butelia de oxigen un regulator de presiune.

Acetilena se obține de obicei prin acțiunea apei asupra carbidului folosindu-se în acest scop *generatoare de acetilenă* mobile sau fixe.

Acetilena se mai folosește și sub formă de acetilenă dizolvată; aceasta este comprimată în butelii umplute cu o masă poroasă.

Amestecul oxigenului cu acetilenă pentru producerea flăcării oxiacetilenice de sudare se realizează cu ajutorul unor *arzătoare* (STAS 4137-70).

Conducerea gazelor sub presiune de la generatoare sau de la butelii la arzătoare se face prin *tuburi de cauciuc* (STAS 263-71).

Generatoarele de acetilenă sînt prevăzute cu supape hidraulice de siguranță care împiedică întoarcerea flăcării în generator.

Sudarea cu gaz se realizează fără dificultăți la oțeluri cu conținut redus de carbon (conținutul în carbon sub 0,3%), mai greu la oțelurile cu conținut mediu de carbon (0,3—0,5%) și foarte greu la oțeluri cu conținut mare de carbon (peste 0,5%). În ultimul caz se recomandă preîncălzirea piesei de sudat, pentru a evita călirea metalului de bază în jurul cusăturii. Ca material de adaos se folosește de obicei o sîrmă de oțel moale (STAS 1126-76) cu diametre de 1—8 mm.

Pentru sudarea pieselor de fontă, acestea se preîncălzesc local sau total la temperaturi de 400—800°C: ca flux se folosește boraxul, iar ca material de adaos vergele de fontă.

La sudarea pieselor de cupru trebuie folosite arzătoare cu flăcără puternică, iar în cazul pieselor de dimensiuni mari, acestea trebuie încălzite pe vetre speciale. Ca material de adaos se folosesc vergele de cupru-argint (STAS 295-71), iar ca flux boraxul cu diferite adaosuri (68% borax + 10% acid boric + 2% mangan + 20% clorură de sodiu).

Sudarea cu gaz a alamei se face folosind vergele de alamă cu un mic conținut de aluminiu. Compoziția chimică și domeniul de utilizare pentru aceste vergele sînt indicate în STAS 294-70 și 204-77.

Pentru sudarea bronzului se folosesc vergele de adaos ce conțin aluminiu, fosfor și mangan. După sudare, piesele se încălzesc la 560—600°C și apoi se răcesc pentru a se obține o structură îmbunătățită.

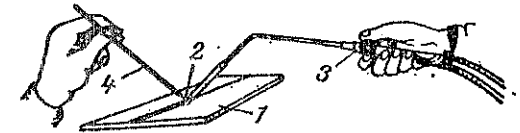


Fig. 21.1. Sudarea cu gaz:

1 — metal de bază; 2 — flăcără; 3 — arzător; 4 — metal de adaos.

La sudarea aluminiului este necesar să se folosească o flacără reducătoare; pentru eliminarea tensiunilor interne trebuie capiese să fie încălzite după sudare la temperatura de 300–350°C și apoi răcite. Ca material de adaos se utilizează vergelele de aluminiu (99%Al) sau de aliaj cu 92% Al și 8% Cu. Fluxurile folosite pentru micșorarea oxidării aluminiului au următoarea compoziție:

15% LiCl + 7% KF + 3% NaHSO₄ + 30% NaCl + 45% KCl.

Sirma de oțel, pentru sudare este standardizată prin STAS 1126-76. Diametrele sirmei sînt de: 0,5; 0,6; 0,8; 1,0; 1,2; 1,25; 1,6; 1,8; 2,0; 2,5; 3,15; 3,25; 4,0; 5,0; 6,0; 6,3; 8,0; 10; 12; 12,5 mm.

În tabela 21.1 sînt date indicații de folosire pentru diferitele mărci ale sirmei de sudare.

Tabela 21.1. Sirmă din oțel pentru sudare (STAS 1126-76)

| Marca sirmei | Indicații de utilizare | Marca sirmei | Indicații de utilizare |
|-----------------|--|--------------------|---------------------------------|
| S10*) | Sudarea oțelurilor carbon și slab aliate | S29Cr1 | Încărcare prin sudare |
| S10Mn1*) | | S32MoCr6*) | |
| S10Mn1,5 | | S40CrMn1Si1 | |
| S12Mn2*) | | S50MoCr1 | |
| S10Mn1Si | | S80Cr | |
| S10Mn1Ni1*) | | S95 | |
| S08Mn1NiCu | | S10Mo1Cr2,5 | |
| S10Mo*) | | S10MoCr6 | |
| S10MnMo*) | | S10Mo1Cr9 | |
| S12Mn2Mo*) | | S10Cr17 | |
| S12MoNi | | S10Cr17Ti | Sudarea oțelurilor înalt aliate |
| S10Mn1MoNi1 | | S08Cr14 | |
| S10MoCr | | S10Cr25Ti | |
| S12MoCr1 | | S12Cr26Ni20*) | |
| S10Mn1MoCr1 | | S03Cr19Ni9 | |
| S10MoCrNi1 | | S06Cr19Ni9 | |
| S11Mn2Si*) | | S03Cr19Ni11Mo2,5 | |
| S11Mn2SiTi | | S06Cr19Ni11Mo2,5 | |
| S10Mn1SiNi1Mo | | S08Cr19Ni10Mo2,5Ti | |
| S10Mn1SiNiCu | | S03Cr19Ni10Nb | |
| S12Mn1SiNi1Ti*) | | S06Cr19Ni10Nb | |
| S12Mn2SiCr | | S03Cr19Ni3Mo2,5Nb | |
| S11Mn2SiMo | | S06Cr19Ni13Mo2,5Nb | |
| S12SiMoCr1 | | S06Cr25Ni13 | |
| S10Mn1SiMoCr1 | | S12Cr19Ni9Mu7 | |
| | | S12Cr26Ni4Si | |

*) Mărci de fabricație curentă

La sudarea fontei, ca material de adaos sînt folosite bare de aceeași compoziție cu a metalului de sudat. Pentru sudarea fontei cenușii, la noi în țară se fabrică două calități de vergele rotunde cu diametru de 4–14 mm, turnate din fontă cenușie VT-S30 cu 3–3,5% Si și VT-S36 cu 3,6–4,8% Si.

Marca VT-S36 poate fi folosită și la sudarea la semicald, adică cu preîncălzirea la o temperatură de 300–350°C.

Rezistența maximă la tracțiune a sirmelor din oțel carbon trebuie să corespundă valorilor din STAS 889-76 pentru sîrma tare.

Rezistența la tracțiune a sirmelor din oțel aliat și înalt aliat are valorile: 90 ... 160 kgf/mm² pînă la 0,8 mm; 80 ... 150 kgf/mm² la Ø 0,8 ... 1,6 mm; 70 ... 140 kgf/mm² la Ø 2,0 ... 2,5 mm și 55 ... 100 kgf/mm² la Ø 3,25 mm și peste

La sudarea metalelor este foarte important să se mențină corect caracterul reducător al flăcării.

Puterea flăcării se alege în funcție de grosimea tablei, de metoda de sudare și de natura metalului.

Caracteristicile suflaiurilor pentru sudarea oxiacetilenică sînt arătate în tabela 21.2.

Tabela 21.2. Caracteristicile suflaiurilor prin sudarea oxiacetilenică

| Numărul suflaiului (mărima) | 0 | 1 | 2 | 3 | 4 | 5 | 6 | 7 |
|---|---------|-------|-----|-------|-------|-------|-------|-------|
| Consumul maxim de acetilenă, l/h | 75 | 150 | 300 | 500 | 750 | 1200 | 1700 | 2500 |
| Consumul maxim de oxigen, l/h | 85 | 165 | 330 | 550 | 825 | 1320 | 1870 | 2750 |
| Lungimea nucleului luminos, mm | 6 | 8 | 12 | 15 | 17 | 19 | 21 | 23 |
| Grosimea de sudat, mm | 0,5–1 | 1–2 | 2–4 | 4–6 | 6–9 | 9–14 | 14–20 | 20–30 |
| Suprapresiunea de lucru a oxigenului, kgf/cm ² | 1,5–2 | 2–2,5 | 2–3 | 2,5–3 | 2,5–3 | 3–3,5 | 3–4 | 3–4 |
| Suprapresiunea de lucru a acetilenei, kgf/cm ² | 0,1–0,6 | | | | | | | |

b. Sudarea cu arc electric. Căldura este produsă de un arc electric format fie între metalul de bază și electrod, fie între mai mulți electrozi.

Sudarea cu arc electric se poate executa prin acțiune directă sau prin acțiune indirectă.

La sudarea cu arc prin acțiune directă, piesa este introdusă în circuitul electric de sudare, iar arcu se formează între piesă și electrod.

La sudarea cu arc prin acțiune indirectă, arcu se formează între doi electrozi, iar sursa de curent nu este în contact cu piesa. După ma-

terialul din care este confecționat electrodul, sudarea cu arc electric se poate executa :

- cu electrod de metal ;
- cu electrod de cărbune.

Sudarea cu electrod de metal (Procedeul Slavianov). Electrodul este o vergea de metal, care prin topire constituie adaosul de metal (fig. 21.2). El poate

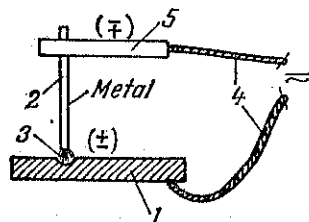


Fig. 21.2. Schema sudării cu electrod de metal :

1 — metal de bază; 2 — electrod de metal; 3 — arc electric; 4 — conductor; 5 — port-electrod.

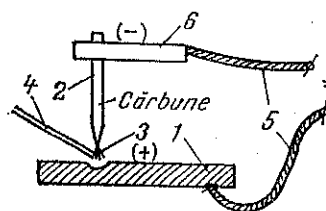


Fig. 21.3. Schema sudării cu electrod de cărbune :

1 — metal de bază; 2 — electrod de cărbune; 3 — arc electric; 4 — vergea pentru sudat; 5 — conductor; 6 — port-electrod.

fi învelit sau cu inimă. În loc de înveliș se poate folosi fie un gaz protector care înconjură arcul și metalul topit, fie un material de protecție granulat. Se poate folosi atât curentul continuu, cât și cel alternativ.

Sudarea cu electrozi de cărbune (Procedeul Benardos). Se folosesc unul sau mai mulți electrozi de cărbune și, dacă este nevoie, și adaos de metal (fig. 21.3). Și în acest caz se poate folosi un gaz protector. Acest procedeu folosește, de obicei, curent continuu; electrodul este în legătură cu polul negativ, iar metalul — cu polul pozitiv.

Utilajul pentru sudarea cu arc electric se compune, în general din generatoare de sudură, de curent continuu, transformator de sudură pentru curent alternativ și diferite accesorii pentru posturile de sudură.

Agregatul de sudură este format din generatorul de curent continuu și din motorul (electric sau cu ardere internă) care-l antrenează; aceste furnizează tensiunea de circa 45 V, necesară amorsării arcului electric.

Transformatorul de sudură se folosește la sudarea cu curent alternativ; el reduce tensiunea de 220 sau 380 V a rețelei la circa 60 V, cât este necesar pentru amorsarea arcului electric. Transformatorul permite reglarea intensității curentului de sudură corespunzător cu grosimea metalului de bază și diametrul electrodului.

Accesoriile posturilor de sudură manuală cu arc se compun din portelectrozi, scule și dispozitive de prindere, conductori flexibili pentru conducerea curentului (STAS 1020-70), masă de sudură, paravane și material de protecție (șorțuri de piele, mănuși, mască etc.).

Electrozii metalici pentru sudarea electrică manuală sînt confecționați din vergele rotunde cu diametre între 2,0 și 6 mm. Ei sînt acoperiți cu un înveliș care apără metalul depus în stare topită de influența

vătămătoare a oxigenului și azotului din aer. Uneori, electrozii conțin elemente de aliere, care îmbunătățesc metalul cusăturii.

Electrozii înveliți pentru sudarea oțelurilor (STAS 1125-76) se clasifică după destinație în următoarele cinci grupe :

I — electrozi pentru sudarea oțelurilor carbon și slab aliate cu $R(\sigma_r) \leq 54 \text{ daN/mm}^2 (55 \text{ kgf/mm}^2)$;

II — electrozi pentru sudarea oțelurilor de înaltă rezistență cu $R(\sigma_r) > 54 \text{ daN/mm}^2 (55 \text{ kgf/mm}^2)$;

III — electrozi pentru sudarea oțelurilor slab aliate rezistente la temperaturi pînă la 600°C ;

IV — electrozi pentru încărcarea prin sudare cu metal avînd proprietăți speciale ;

V — electrozi pentru sudarea oțelurilor înalt aliate inoxidabile, anticorozive și refractare.

Electrozii înveliți pentru sudarea oțelurilor carbon și slab aliate fac parte din grupele I, II și III.

Simbolizarea acestor electrozi se face astfel :

— Caracteristicile mecanice se simbolizează după valorile minime ale rezistenței la tracțiune, alungirii și rezilienței.

— Compoziția chimică se simbolizează prin literele elementelor principale de aliere urmate de o cifră care reprezintă conținutul mediu al elementului de aliere.

— Caracterul învelișului se simbolizează prin litere : A — acid B — bazic, C — celulozic, O — oxidant, R — rutilic, T — titanic, V — altele.

— Grosimea învelișului în funcție de raportul dintre diametrul (D) al electrodului învelit și diametrul vergelei (d) se simbolizează prin litere : s — înveliș subțire, cu raportul $D/d = \text{max. } 1,4$; m — înveliș mediu, cu raportul $D/d = 1,4 \dots 1,55$; g — înveliș gros, cu raportul $D/d = 1,55 \dots 1,7$; f, g — foarte gros, cu raportul $D/d = \text{peste } 1,7$.

— Pozițiile de sudare se simbolizează astfel : 1 — toate pozițiile ; 2 — toate pozițiile, exceptînd poziția verticală de sus în jos ; 3 — poziția orizontală, orizontală în jghiab și ușor înclinată ; 4 — orizontală și orizontală în jgheab.

— Caracterul curentului de sudare se simbolizează cu : 1 pentru curentul continuu și alternativ, și 2 pentru curentul continuu.

— Caracteristicile tehnice speciale se simbolizează prin : H — electrozi cu conținut redus de hidrogen ; P — electrozi cu pătrundere adîncă ; Fe — electrozi cu înveliș care conține pulbere de fier de min. 15 %.

Caracteristicile mecanice ale metalului depus și ale îmbinărilor sudate pentru tipurile de electrozi din grupele I și II trebuie să corespundă celor cuprinse în tabela 21.3.

Caracteristicile mecanice ale metalului depus pentru tipurile de electrozi din grupa III trebuie să corespundă tabelii 21.4.

Electrozii înveliți pentru încărcarea prin sudare cu metal având proprietăți speciale se includ în grupa IV.

Ei se clasifică în tipuri pe baza compoziției chimice pe grupe de aliere și a metalului depus prin încărcare.

Clasificarea mărcilor în cadrul fiecărui tip se face după caracterul pe baza învelișului, poziției de sudare etc.

Compoziția chimică a acestor electrozi se simbolizează cu numărul grupei în funcție de gradul de aliere a metalului depus; duritatea metalului depus se simbolizează după valoarea minimă a durității Brinell sau Rockwell, iar proprietățile speciale prin litere astfel: *r* — rezistent la ruginire (numai la acțiunea apei, aburului de apă și a atmosferei), *c* — rezistent la coroziune, *o* — rezistent la coroziune prin oxidare la cald la temperaturi peste 600°C, *t* — termostabil la temperaturi ridicate, *e* — rezistent la eroziune și cavitație, *a* — rezistent la așchiere și tăiere, *d* — se durifică și se ecrusează la rece, *n* — nu se magnetizează.

Compoziția chimică a tipurilor de electrozi în funcție de gradul de aliere, duritate și de proprietățile speciale ale metalului depus este redată în tabela 21.5.

Electrozii înveliți pentru sudarea fontei cu grafit lamelar sau nodular și a fontei maleabile se clasifică, în funcție de felul aliajului folosit ca vergea, în următoarele tipuri:

EF — FeC electrod cu vergea din fontă;

EF — Fe electrod cu vergea din oțel;

EF — NiFe electrod cu vergea din fero-nichel;

EF — NiCu electrod cu vergea din nichel-cupru (monel);

EF — Ni electrod cu vergea din nichel;

EF — CuAl electrod cu vergea din bronz cu aluminiu;

EF — CuSn electrod cu vergea din bronz cu staniu.

După caracterul învelișului electrozii se clasifică în: B — bazici, G — pe bază de grafit, S — pe bază de săruri, V — alți.

Un electrod cu vergea din aliaj fero-nichel, având diametrul de 4 mm și lungimea de 450 mm, cu înveliș pe bază de grafit se notează astfel: EF — NiFe Ø 4 × 450 G STAS 7242-69.

Tabela 21.3. Caracteristicile mecanice ale electrozilor înveliți din grupele I și II pentru sudarea oțelurilor carbon și slab aliate

| Grupa | Tipul electrodului | Metalul depus | | | | | | Îmbinare sudată | | | | |
|-------|--------------------------|---------------|-----------------|-----------------|---------------------|----------------|-------------|-----------------|--------|---------------|---|---------------|
| | | $R(\sigma_T)$ | $R_C(\sigma_C)$ | $A_5(\delta_5)$ | KCU 30/2 la 20°C | KV | | Sulf | Fosfor | $R(\sigma_T)$ | Ungui de îndoire la rece | grade min. |
| | | | | | | la 0°C | la -20°C | | | | | |
| | | | | | | | | | | | | |
| I | E 38.18 | 37,3(38) | — | 18 | — | — | — | 0,05 | 0,05 | 37,3(38) | Se va considera egal cu valoarea unghiului de în- doire al materia- lului de bază | — |
| | E 42.22.7 | 41,2(42) | 27,4(28) | 22 | 7 | — | — | 0,05 | 0,05 | 41,2(42) | | |
| | E 42.26.13 | 41,2(42) | 29,4(30) | 26 | 13 | — | — | 0,04 | 0,04 | 41,2(42) | | |
| | E 44.22.7 | 43,2(44) | 31,4(32) | 22 | 7 | — | — | 0,05 | 0,05 | 43,2(44) | | |
| | E 44.22.9 | 43,2(44) | 33,4(34) | 22 | 9 | — | — | 0,05 | 0,05 | 43,2(44) | | |
| | E 48.22.9 | 47,1(48) | 37,3(38) | 22 | 9 | — | — | 0,045 | 0,045 | 47,1(48) | | |
| | E 48.24.13 | 47,1(48) | 37,3(38) | 24 | 13 | — | — | 0,04 | 0,04 | 47,1(48) | | |
| | E 50.22.7 | 49 (50) | 39,2(40) | 22 | 7 | 6 ₁ | — | 0,045 | 0,045 | 49 (50) | | |
| | E 50.24.9 | 49 (50) | 39,2(40) | 24 | 9 | 6 ₁ | — | 0,045 | 0,045 | 49 (50) | | |
| | E 50.24.13 ²⁾ | 49 (50) | 41,2(42) | 24 | 13 | — | — | 0,04 | 0,04 | 51 (52) | | |
| | E 52.22.13 ²⁾ | 51 (52) | 41,2(42) | 22 | 13 | — | — | 0,04 | 0,04 | 51 (52) | | |
| | E 55.20.11 | 54 (55) | 41,2(42) | 20 | 11 | — | — | 0,04 | 0,04 | 54 (55) | | |
| II | E 60.18.11 | 58,9(60) | — | 18 | 11 | — | — | — | — | — | — | |
| | E 65.16.11 | 63,7(65) | — | 16 | 11 | — | — | — | — | — | | |
| | E 70.14.9 | 68,0(70) | — | 14 | 9 | — | — | 0,04 | 0,04 | — | | |
| | E 75.14.9 | 73,6(75) | — | 14 | 9 | — | — | 0,04 | 0,04 | — | | |
| | E 80.12.7 | 78,5(80) | — | 12 | 7 | — | — | — | — | — | | |
| | E 85.12.7 | 83,4(85) | — | 12 | 7 | — | — | — | — | — | | |
| | E 100.10.5 | 98,1(100) | — | 10 | 5 | — | — | — | — | — | | |
| | E 125.6.4 | 122,7(125) | — | 6 | 4 | — | — | — | — | — | | |

1) Garanțarea și determinarea rezilienței KV la mărcile de electrozi în cadrul tipului respectiv se va face numai la cererea beneficiarului. Garanțarea și determinarea rezilienței KV la celelalte tipuri se face pe bază de înțelegere între părți, valorile stabilindu-se de comun acord.

2) Se garantează conținutul de hidrogen difuzibil de max. 8 cm³/100 g. La cererea beneficiarului și cu acordul producătorului se poate garanța conținutul redus de hidrogen și la celelalte tipuri de electrozi. Pentru construcții navale se garantează conținutul maxim de hidrogen prescris în Registrele Navale.

Observație. La cererea beneficiarului se va garanța reziliența KV la -40°C pentru următoarele tipuri de electrozi: E 42.26.13; E 48.24.13; E 50.24.13; E 52.22.13.

Tabela 21.4. Caracteristicile mecanice ale electrozilor înveliți din grupa III pentru sudarea oțelurilor carbon și slab aliate

| Grupa | Tipul electrozului | Metal depus | | | | Tempe- ratura trata- mea- tului termic °C |
|-------|-----------------------|--|--|----------------------|--|---|
| | | Caracteristici mecanice, min. | | | | |
| | | $R(\sigma_f)$ daN/mm ² (kgf/mm ²) | $R_p(\sigma_c)$ daN/mm ² (kgf/mm ²) | $A_5(\delta_s)$ % | KCU 30/2 daJ/cm ² (kgf.m/ cm ²) | |
| III | E.Mo | 47,1(48) | 33,4(34) | 18 | 9 | 680 |
| | E.MoCr | 47,1(48) | 33,4(34) | 18 | 9 | 700 |
| | E.MoCr1 | 49 (50) | 31,4(36) | 16 | 9 | 700 |
| | E.Mo1Cr2 | 49 (50) | 35,3(36) | 16 | 7 | 750 |
| | E.MoCr1V | 49 (50) | 31,4(36) | 16 | 9 | 730 |
| | E.MoCr5V | 54 (55) | 39,2(40) | 14 | 7 | 760 |

Compoziția chimică a acestor electrozi este indicată în tabela 21.6.

Sudarea cu arc electric a aliajelor feroase se face de obicei mai ușor decât sudarea cu gaz.

Sudarea oțelurilor-carbon care conțin până la 0,3 % C se face fără nici o dificultate, folosind electrozii înveliți conform indicațiilor.

Tabela 21.5. Compoziția chimică a electrozilor înveliți pentru încărcarea

| Tipul electrozului | Grupa de aliere | Compoziția | | | |
|---|-----------------|-------------------------------------|-----------------------------|---------------------------|--------------------------------|
| | | C | Mn | Si | Cr |
| E 1.200 E 1.300 E 1.400 | 1 | 0,4 | — | — | — |
| E 2.50 E 2.52 | 2 | 0,4...0,7 0,6...1,0 | 1,6...2,2 0,6...1,0 | — 1...1,5 | 1,8...2,4 1,8...2,4 |
| E 3.45 E 3.50 | 3 | 0,25...0,5 0,2...0,15 | — | 1...1,6 — | 11...13,5 2,0...3,5 |
| E 4.52 E 4.57 (62) | 4 | 0,8...1,2 0,8...1,2 | — | — | 3,7...5 3,8...5 |
| E 5.375 E 5.275 ¹⁾ | 5 | 0,1...0,3 ≤ 1,12 | 0,5...1,0 0,5...1,0 | ≤ 0,6 1,0...1,5 | 10...14 16...17,5 |
| E 6.50 E 6.52 E 6.275 ¹⁾ | 6 | 0,5...0,8 0,4...0,8 0,5...0,8 | 0,6...1,0 0,6...1,0 — | 1...1,5 2,5...3,5 — | 3,5...5 8,5...11 10...12 |
| E 7.150 E 7.175 E 8.150 | 7 8 | 0,6...0,9 0,8...1,3 ≤ 0,20 | 11...13 11...14 5...8 | — ≤ 2,2 ≤ 1,5 | — — 17...21 |
| E 9.175 ²⁾ | 9 | ≤ 0,12 | 1...2 | ≤ 1 | 23...27 |
| E 10.50(60) E 10.45 (54) ¹⁾ | 10 | 1,8...2,2 1,0...1,4 | ≤ 0,8 1,6...2,4 | ≤ 0,4 1,0...1,7 | 11,5...14 11...13,5 |

¹⁾ Aceste tipuri de electrozi se fabrică numai pe bază de înțelegere.

²⁾ Nu influențează încadrarea în grupa de aliere.

Oțelurile care conțin mai mult decât 0,3 % C trebuie încălzite în prealabil și recoapte ulterior.

Oțelurile aliate austenitice sau cele perlitice cu conținut redus de carbon și elemente de aliere se sudează ușor și nu necesită tratamente termice ulterioare. Oțelurile martensitice, din cauza fragilității materialului, necesită o încălzire prealabilă și tratamente termice ulterioare.

Sudarea fontei se face la cald sau la rece. Sudarea la cald se execută prin încălzirea prealabilă a pieselor. Ca metal de adaos se folosesc de obicei electrozi de fontă cu diametre de 8—20 mm și cu o compoziție apropiată de a metalului de bază. Sudarea la rece se face cu electrozi de fontă, de oțel și de metal monel (67 % Ni + 30 % Cu + 3 % Mn și Fe). Cusătura cu electrozi monel este cea mai rezistentă. Cusătura cu electrozi de oțel fiind puțin rezistentă, se recomandă teșirea muchiilor

prin sudare cu metal cu proprietăți speciale

| chimică, % | | Alte elemente | Duritatea min. | Proprietăți speciale |
|---------------------------|-----------------------|---------------------------------|----------------------------|----------------------|
| V | W | | | |
| — | — | — | 200 HB 300 HB 400 HB | — |
| — | — | Mo 0,4...0,7 | 50 HRC | — |
| 0,15...0,30 | — | — | 52 HRC | — |
| 0,5...1,0 | 2,5...3,5 7...10 | — | 45 HRC 50 HRC | t.r.o t.a. |
| 2,0...2,7 0,7...1,5 | 8,5...11 10,5...19 | (Mo 2,5...3,0 ²⁾) | 52 HRC 57 (62) HRC | t.a. a |
| 0,15...0,30 ²⁾ | — | — | 375 HB 275 HB | r.f r.o.e |
| — | — | Ni 0,5...0,8 | 50 HRC | — |
| — | — | (Mo ≤ 0,6) ²⁾ | 52 HRC | t.r |
| — | — | Ni, 2,5...3,5 | 275 HB | r.o |
| — | — | Ni 2,7...3,1 | 150 HB 175 HB | d d |
| — | — | — | 150 HB | c.n |
| — | — | Ni 7...11 (Nb) ²⁾ | 175 HB | o |
| — | — | Ni 12...14 | 50 (60) HRC | r.a |
| 1,0...1,5 | — | (Mo ≤ 0,6) ²⁾ | 45 (54) HRC | r.a |

Tabela 21.6. Electrozi înveliți pentru sudarea fontei
(STAS 7242 - 69)

| Tipul electrodului | Compoziția chimică, % | | | | | | | | | | |
|-----------------------|-----------------------|----------------|-----------------|-----------------|---------------|--------------|--------------|--------------|--------------|-------|--------------|
| | C | Si | Mn | P | S | Fe | Ni | Cu | Zn | Sa | Pb |
| EF-FeC | 3,25... 3,50 | 2,75... 3,0 | 0,60... 0,75 | 0,50... 0,75 | max. 0,10 | Rest | max. 1,0 | — | — | — | — |
| EF-Fe | max. 0,15 | max. 0,03 | 0,30... 0,60 | max. 0,04 | max. 0,04 | Rest | — | — | — | — | — |
| EF-NiFe | max. 0,25 | max. 0,50 | max. 1,0 | — | max. 0,02 | min. 37,0 | 52...60 | max. 0,50 | — | — | — |
| EF-NiCu | max. 0,30 | max. 0,75 | max. 2,25 | — | max. 0,025 | max. 2,5 | 63...70 | rest | — | — | — |
| EF-Ni | max. 0,15 | max. 0,75 | max. 0,50 | — | max. 0,01 | max. 0,50 | min. 98,0 | max. 0,50 | — | — | — |
| EF-CuAl | — | max. 0,10 | — | — | — | max. 1,5 | — | Rest | max. 0,02 | — | max. 0,02 |
| EF-CuSn | — | — | — | max. 0,50 | — | — | — | Rest | — | 7...9 | max. 0,01 |

Observații. 1. La compoziția chimică se admite pentru toate tipurile de electrozi un conținut de alte elemente de max. 1%. 2. Pentru electrozii tip EF-Fe se poate folosi ca vergea și sîrmă S10 sau S10X Stas 1128-66. 3. În mod curent se fabrică electrozii tip EF-Fe și EF-NiCu, celelalte tipuri se fabrică la înțelegere.

îmbinării și fixarea în zig-zag pe fețele țesute, a unor prezoane de oțel (fig. 21.4).

Sudarea cu arc a metalelor neferoase (cupru, bronz, alamă) se face de obicei repede și fără întreruperi, pentru a evita obținerea unei cusături cu metal fragil.

Sudarea cuprului se execută în mod obișnuit cu electrozi de cărbune și cu intensitate de curent mărită; fluxurile folosite în acest caz conțin borax și acid boric. Când sudarea se face cu electrozi metalici, metalul de adaos poate fi cupru electrolitic sau cupru conținând fosfor și argint.

Sudarea alamei și bronzului sînt, în general, asemănătoare sudării cuprului.

Sudarea aluminiului se face de obicei cu electrozi metalici și uneori cu electrozi de cărbune. Sudarea cu electrozi metalici se execută cu electrozi înveliți din aluminiu

pur cu 5-8% Si, ale căror diametre variază cu grosimea metalului de bază. La sudarea cu electrozi de cărbune, materialul de adaos are aceeași compoziție ca electrozii metalici.

c. Sudarea cu hidrogen atomic. La acest procedeu căldura dezvoltată de un arc electric disociază moleculele de hidrogen în atomi, cu absorbție de căldură. Când moleculele se refac, energia absorbită la disociere este restituită, dînd naștere unei temperaturi foarte înalte, metalul topit fiind totodată înconjurat de o atmosferă protectoare.

La sudarea cu hidrogen atomic (fig. 21.5) arcul electric 1 se formează între electrozii 2, așezați în ajutoarele 3 prin care trece un curent de hidrogen. Astfel arcul arde într-o atmosferă protectoare care împiedică oxidarea metalului lichid topit. Prin acest procedeu se obține o sudură de bună calitate. Procedeu se aplică în special la sudarea pieselor de aluminiu și a pieselor din oțeluri slab aliate, cu pereți subțiri.

d. Sudarea aluminotermică prin topire. Căldura de topire este dată de fierul lichid rezultat din reducerea oxidului de fier prin aluminiu. Fierul topit astfel obținut constituie adaosul de metal (fig. 21.6).

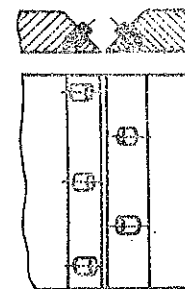


Fig. 21.4.

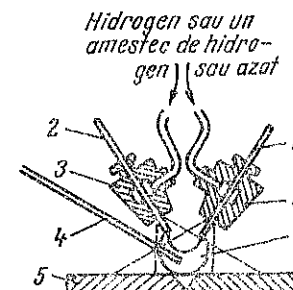


Fig. 21.5. Schema sudării cu hidrogen atomic:

1-arc electric; 2-electrozi din sîrmă de wolf am; 3-ajutoare port electrozi; 4-metal de adaos; 5-metal de bază.

Amestecul, sub formă de pulbere de oxizi de fier și aluminiu (termit), se încălzește în creuzetul 4 și după topire se scurge în forma 2; pentru aprinderea termitului se folosește arc electric sau diferite amorse. Acest procedeu se folosește la sudarea axelor, șinelor de tramvai etc.

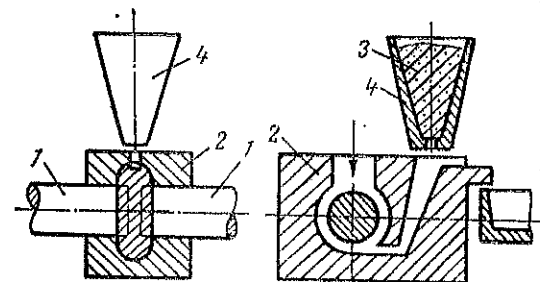


Fig. 21.6. Schema sudării aluminotermice:

1 — piese de sudat; 2 — formă de material refractar; 3 — termit;
4 — creuzet.

1.2.2. Sudarea prin presiune. Sudarea prin presiune este procedeul de sudare fără adaos de metal, la care piesele de îmbinat se aduc prin încălzire în stare plastică și apoi li se aplică un șoc sau o presiune statică.

După caracterul procesului tehnologic, procedeele

uzuale de sudare prin presiune se clasifică astfel:

- sudare prin forjare;
- sudare electrică prin rezistență;
- sudare cu gaz;
- sudare aluminotermică prin presiune.

a. Sudarea prin forjare. Piesele de sudat sunt încălzite până la starea plastică într-un cuptor sau la o forjă, sudarea efectuându-se prin ciocănire sau presare.

b. Sudarea cu gaz. La sudarea prin presiune cu gaz, piesele care se îmbină sunt încălzite în locul de contact, cu flacăra unui gaz până la starea plastică și apoi sunt presate.

c. Sudarea electrică prin rezistență. La sudarea electrică prin rezistență (prin contact) încălzirea pieselor care se sudează, se realizează prin căldura degajată de trecerea unui curent electric prin rezistența de contact dintre suprafețele în atingere ale celor două piese.

Sudarea electrică prin rezistență se poate executa prin: sudare cap la cap și sudare cu margini suprapuse (v. STAS-735-74).

1) Sudarea cap la cap. Curentul este condus la ambele piese de sudat și suprafețele de contact se încălzesc; după aceea urmează apăsarea celor două piese una contra alteia. Sudarea cap la cap se poate face prin refulare sau prin scintei.

— *La sudarea prin refulare* cele două piese se așază cap la cap, iar suprafețele prelucrate în vederea unui contact cât mai perfect, stră-

bătute de curentul electric, sunt menținute în contact sub presiune până când se produce sudarea.

— *La sudarea cu scintei*, în punctele de atingere dintre cele două piese, străbătute de curentul electric, metalul încălzit puternic este topit și improșcat sub formă de scintei, prin apropierea și depărtarea repetată a celor două piese; când suprafețele respective încep să se topească, piesele sunt împreunate prin izbire, producându-se astfel sudarea lor.

2) Sudarea cu margini suprapuse. Electrozii care conduc curentul în anumite locuri ale pieselor suprapuse parțial, produc încălzirea și totodată și presiunea necesară sudării. Sudarea cu margini suprapuse se poate executa în trei feluri: sudarea prin puncte, sudarea prin puncte în relief și sudarea în linie.

— *La sudarea prin puncte* se execută puncte de contact folosind electrozi cu vîrfuri de contact, purtați de un clește, care exercită totodată și presiunea.

— *La sudarea prin puncte în relief*, pe una dintre table se execută în prealabil puncte în relief pe linia de sudat; sub presiunea unor electrozi cu suprafață mare de contact se produce sudarea în punctele în relief, care sunt turtite în timpul operației. Acest procedeu se aplică tablelor subțiri.

— *La sudarea în linie* piesele sunt trecute între electrozii în formă de role, care se rotesc; după modul de acționare se obține o linie de sudură continuă sau întreruptă.

d. Sudarea aluminotermică prin presiune. Suprafețele de sudat se încălzesc până la starea plastică cu ajutorul căldurii produse de reducerea oxidului de fier prin aluminiu; apoi se apasă suprafețele de contact una contra alteia.

1.3. REGIMURI DE SUDARE ȘI CONSUMURI SPECIFICE

1.3.1. Date pentru sudarea cu gaz. În tabelele 21.7 și 21.8 sunt indicate date specifice pentru sudarea oxiacetilenică pentru diferite grosimi ale tablelor din oțel. După fiecare tabelă sunt indicate unele prescripții tehnologice, precum și aplicațiile pentru procedeul de sudare respectiv.

1.3.2. Date pentru sudarea cu arc. În tabela 21.9 sunt indicate date specifice pentru sudarea manuală cu arc, cap la cap, pentru diferite grosimi ale tablelor din oțel.

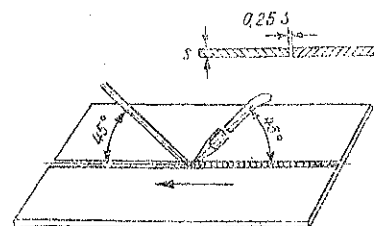


Tabela 21.7. Sudarea înainte (spre stînga)

| Grosimea de sudat, mm | Debitul de acetilenă, l/h | Diametrul sîmlei de adaos, mm | Timpul de sudare, min/m | Viteza de înaintare m/h | Consumul de acetilenă, l/m | Consumul de oxigen, l/m | Greutatea metalului de adaos, g/m |
|-----------------------|---------------------------|-------------------------------|-------------------------|-------------------------|----------------------------|-------------------------|-----------------------------------|
| 1,0 | 100 | 2 | 5 | 12,0 | 8,5 | 10 | 20 |
| 1,5 | 150 | 2 | 7,5 | 8,0 | 19,0 | 22 | 35 |
| 2,0 | 225 | 3 | 10 | 6,0 | 35,0 | 42 | 50 |
| 2,5 | 225 | 3 | 13 | 4,7 | 48,0 | 57 | 65 |
| 3,0 | 300 | 3 | 15 | 4,0 | 75,0 | 90 | 90 |

Observație. Acest procedeu de sudare se folosește în lucrări de tinichigerie și de cazangerie ușoară pentru table de 1—3 mm grosime. Între margini se lasă un spațiu liber egal cu 1/4 din grosimea tablei. Tablele sînt fixate în prealabil prin puncte de sudură provizorie de asamblare, la distanțe egale cu de 30 ori grosimea tablei. Acest procedeu nu se recomandă pentru suduri supuse la solicitări mari.

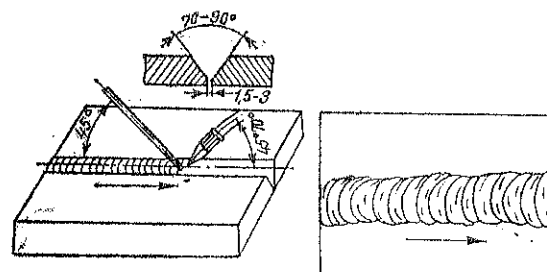


Tabela 21.8. Sudarea înapoi (spre dreapta)

| Grosimea de sudat, mm | Debitul de acetilenă, l/h | Diametrul sîmlei de adaos, mm | Timpul de sudare, min/m | Viteza de înaintare m/h | Consumul de acetilenă, l/m | Consumul de oxigen, l/m | Greutatea metalului de adaos, g/m |
|-----------------------|---------------------------|-------------------------------|-------------------------|-------------------------|----------------------------|-------------------------|-----------------------------------|
| 5 | 500 | 3 | 20 | 3,0 | 165 | 198 | 200 |
| 6 | 600 | 3 | 24 | 2,5 | 240 | 289 | 290 |
| 8 | 750 | 4 | 32 | 1,85 | 486 | 580 | 580 |
| 10 | 1 000 | 5 | 40 | 1,5 | 665 | 800 | 800 |
| 12 | 1 200 | 6 | 48 | 1,25 | 960 | 1 150 | 1 150 |
| 15 | 1 500 | 6 | 60 | 1,0 | 1 500 | 1 700 | 1 800 |

Observație. Sudarea înapoi se folosește în cazangerie și țevărie de presiune pentru table de 5—15 mm grosime, fixate prin puncte de sudură provizorie de asamblare sau prin dispozitive de strîngere. La grosimi peste 12 mm, se recomandă sudarea în două straturi.

Tabela 21.9. Regimuri de sudare manuală cu arc a îmbinărilor cap la cap

| Grosimea metalului, mm | Numărul de straturi | Diametrul electrodului mm | | Intensitatea curentului de sudură, A | | Viteza de înaintare, m/h |
|------------------------|---------------------|---------------------------|----------------------|--------------------------------------|----------------------|--------------------------|
| | | Primul strat | Straturile următoare | Primul strat | Straturile următoare | |
| 1 | 1 | 1,5 | — | 35 | — | 7 |
| 2 | 1 | 2,5 | — | 75 | — | 10 |
| 3 | 1 | 3 | — | 100 | — | 12 |
| 6 | 1 | 5 | — | 220 | — | 7 |
| 10 | 2 | 4 | 5 | 200 | 250 | 4,0 |
| 16 | 6 | 5 | 6 | 250 | 320 | 2,0 |
| 20 | 8 | 5 | 6 | 250 | 320 | 1,6 |
| 30 | 18 | 5 | 6 | 350 | 350 | 0,9 |

2. TĂIEREA METALELOR

Tăierea metalelor se face, în general, prin următoarele procedee :

- tăierea cu flacără de oxigen și gaz ;
- tăierea cu arc electric.

2.1. TĂIEREA CU FLACĂRĂ DE OXIGEN ȘI GAZ

Acest procedeu de tăiere a oțelului se bazează pe proprietatea fierului de a arde într-o vină de oxigen pur, degajînd o cantitate mare de căldură. Procesul tăierii cu oxigen și cu gaz constă în preîncălzirea metalului cu ajutorul flăcării de preîncălzire (fig. 21.7) produsă de aparatul de tăiat (arzător), pînă la atingerea temperaturii de ardere în oxigen care în cazul oțelului este ceva mai mică decît temperatura de topire și este egală cu 1100 ... 1 500°C. Picăturile ce se formează prin arderea oțelului sînt îndepărtate de suflul curentului de oxigen.

Suprafața metalului care urmează să fie tăiat trebuie curățită pe toată lungimea tăieturii de rugină, de vopsea sau de alte impurități care îngreuează preîncălzirea metalului. Pentru amorsarea tăierii, metalul se preîncălzește în punctul inițial cu ajutorul flăcării de preîncălzire

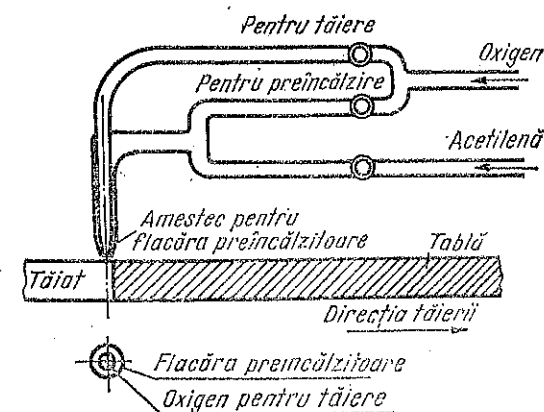


Fig. 21.7.

robinetul de oxigen pentru tăiere fiind închis. Când s-a ajuns la temperatura începutului de ardere a metalului, se deschide robinetul pentru oxigenul de tăiere și după ce vîna de tăiere străpunge întreaga grosime a metalului, începe deplasarea uniformă a aparatului de tăiat pe linia tăieturii.

Pentru a fi posibilă tăierea metalelor cu oxigen, trebuie îndeplinite următoarele condiții :

— temperatura de ardere a metalului în oxigen trebuie să fie mai mică decît temperatura de topire a metalului; în caz contrar, metalul ajunge în stare lichidă înainte de arderea lui în oxigen și tăierea nu mai este posibilă ;

— oxizii metalului trebuie să se topească la o temperatură mai joasă decît temperatura de topire a metalului de bază ;

— conductivitatea termică a metalului să fie cît mai mică.

Dintre metale, aceste condiții le îndeplinesc cel mai bine oțelurile cu conținut redus de carbon (sub 0,7 %C). Ele se taie practic la orice grosime.

Oțelurile cu conținut ridicat de carbon (peste 0,7 %C) se taie greu. Majoritatea elementelor de aliere îngreuiază tăierea dacă depășesc un anumit procent (de exemplu, cromul peste 1,5 %, molibdenul peste 1,5 %). Manganul nu influențează defavorabil tăierea, chiar cînd se găsește în procent ridicat (de exemplu, 13 %).

Cuprul și aliajele lui nu se taie din cauza conductivității mari și căldurii de ardere mici. Aluminul nu se taie deoarece oxidul format este foarte greu fuzibil. Fonta, avînd peste 1,7 %C, de asemenea nu se taie, din cauza temperaturii joase de topire și a temperaturii înalte de început de ardere în oxigen.

Pentru preîncălzirea pieselor se pot folosi ca gaze combustibile acetilena sau gazul metan.

Aparatul de tăiat oxiacetilenic are un cap în care se înșurubează două becuri concentrice. Prin becul exterior trece amestecul de oxigen și acetilenă pentru flacăra de preîncălzire, iar prin becul interior, curentul de oxigen pentru tăiere.

Aparatul de tăiat oximetan funcționează în mod asemănător celui oxiacetilenic.

În tabela 21.10 sînt arătate pentru tăierea oxiacetilenică și tăierea oximetanică : mărimea becurilor exterior și interior, presiunea de lucru a oxigenului și a gazului combustibil, mărimea injectorului și distanța becului față de suprafața tablei care se taie, pentru diferite grosimi ale tablei de oțel.

Consumurile specifice de oxigen și gaz combustibil, în funcție de grosimea tablei de tăiat, sînt menționate pentru tăierile cu flacăra oximetanică și flacăra oxiacetilenică, în tabela 21.11.

Tabela 21.10. Mărimea becurilor, presiunea oxigenului, presiunea gazelor combustibile și distanța între bec și materialul de tăiat

| Tăierea oxiacetilenică | | | | | |
|---|--------------------------|-------|--------|---------|---------|
| Grosimea tablei de oțel, mm | 5—25 | 25—50 | 50—100 | 100—200 | 200—300 |
| Numărul becului exterior | 1 | | | 2 | |
| Numărul becului interior | 1 | 2 | 3 | 4 | 5 |
| Presiunea oxigenului, kgf/cm ² | 2—4 | 4—6 | 6—8 | 8—10 | 12—14 |
| Presiunea acetilenei, kgf/cm ² | 0,01—0,02 | | | | |
| Distanța între bec și tabla de oțel, mm | 3—5 | | 5—8 | | 8—10 |
| Mărimea injectorului | nr. 4 (diametrul 0,6 mm) | | | | |

| Tăierea oximetanică | | | | | |
|--|--------------------------|-------|-------|--------|---------|
| Grosimea tablei de oțel mm | 5—10 | 10—30 | 30—50 | 50—150 | 150—300 |
| Numărul becului exterior | 1 | | | 2 | 3 |
| Numărul becului interior | 1 | 2 | 3 | 4 | 5 |
| Presiunea oxigenului kgf/cm ² | 3—5 | 5—7 | 7—9 | 9—12 | 12—15 |
| Presiunea gazului metan, kgf/cm ² | 0,025 | | | | |
| Mărimea injectorului | nr. 7 (diametrul 1,2 mm) | | | | |
| Distanța între bec și suprafața tablei, mm | 7 | 8 | 8 | 8 | 10 |

Observație Camera de amestec la tăierea oximetanică are și orificiul de intrare în tubul difuzor de 4 mm diametru, în loc de 2 mm cît este în aceeași piesă destinată tăierii oxiacetilenice.

Utilizarea gazelor naturale (gaz metan, gaz de sondă) la tăierea metalelor are avantajul că se realizează o economie de energie primară prin înlocuirea acetilenei cu gaze naturale și se obține o economie la prețul de cost. De asemenea se obțin tăieturi de bună calitate, cu suprafața mai netedă decît la tăierea cu acetilenă.

Tabela 21.11. Consumuri specifice de oxigen și gaz combustibil

| Grosimea tablei (mm)) | Tăierea oximetala- nică, consumuri: | | Tăiere oxiacetilenică, consumuri: | |
|--------------------------|--|-----------|-----------------------------------|-----------|
| | oxigen | gaz metan | oxigen | acetilenă |
| 6 | 160 | 40 | 150 | 35 |
| 10 | 170 | 55 | 160 | 45 |
| 12 | 190 | 80 | 180 | 50 |
| 14 | 250 | 90 | 240 | 55 |
| 16 | 320 | 95 | 295 | 60 |
| 20 | 370 | 100 | 345 | 65 |
| 25 | 400 | 110 | 370 | 80 |
| 30 | 490 | 115 | 460 | 90 |
| 35 | 530 | 120 | 500 | 95 |
| 40 | 635 | 125 | 600 | 100 |
| 50 | 700 | 135 | 650 | 115 |
| 60 | 750 | 150 | 710 | 125 |
| 75 | 865 | 165 | 820 | 140 |
| 80 | 930 | 175 | 880 | 150 |
| 100 | 1 100 | 200 | 1030 | 180 |

Cu electrozi de cărbune se pot tăia metale până la 100 mm grosime. Electrozii de grafit sînt mai buni, deoarece pentru aceeași intensitate de curent se pot folosi electrozi cu diametre mai mici, reducîndu-se astfel lățimea tăieturii. Tăierea se face în condiții mai bune în curent continuu decît în curent alternativ. De obicei se folosesc curenți cu intensități de 400—1 500 A. Tăierea cu electrozi de cărbune se utilizează, în general, la piese din fontă și metale neferoase ale căror grosimi nu depășesc 10—20 mm.

Prin tăierea cu electrod metalic se obține o tăietură cu lățime mai mică și cu margini mai curbe decît la tăierea cu electrod de cărbune. Tăierea se execută de obicei cu ajutorul unui electrod de oțel cu diametrul de 5—6 mm. La tăierea în curent continuu, intensitatea curentului trebuie să fie de 300—350 A, iar în curent alternativ de 270—280 A. La tăierea plăcilor de oțel, cu grosimea de 10 mm, viteza de tăiere variază între 10 și 12 m/h, iar consumul de electrozi între 1 și 1,1 kg/m de tăietură. Acest procedeu de tăiere cu electrozi metalici este productiv numai pentru piese de oțel a căror grosime nu depășește 12 mm.

3. LIPIREA METALELOR

Lipirea este procesul tehnologic de îmbinare nedemontabilă a două piese metalice cu ajutorul unui metal de adaos topit, numit *aliaj pentru lipit*, a cărui temperatură de topire este mai joasă decît temperatura de topire a metalului de bază.

2.2. TĂIEREA CU ARC ELECTRIC

Tăierea metalelor cu arc electric se realizează prin topirea metalului cu ajutorul arcului electric și scurgerea metalului lichid și a zgurii din tăietură.

Acest procedeu prezintă o serie de dezavantaje și se folosește, de obicei, cînd o tăiere oxiacetilenică nu este posibilă din lipsa utilajului sau a gazelor respective. Dintre inconveniente se menționează: tăietura lată, cu fețe inegale, cu picături de metal solidificate etc.

Tăierea se poate executa cu electrozi de cărbune sau cu electrozi metalici cu înveliș gros.

Aliajul pentru lipit este constituit din metale neferoase. Pentru ca aliajul de lipit să adere în bune condiții de metalul de bază, este necesară folosirea fluxurilor pentru îndepărtarea impurităților și oxidizilor de pe suprafețele de îmbinare și pentru protejarea împotriva oxidării.

Lipirea efectuîndu-se la temperaturi mult mai coborîte decît sudarea, prezintă avantajele că în multe cazuri se pot obține îmbinări curate, cu aspect frumos, menținîndu-se forma pieselor și precizia dimensiunilor. Ea se poate folosi pentru piese din oțeluri carbon și aliate (pentru construcții sau pentru scule), din fontă, din metale neferoase (cupru, nichel, aluminiu, plumb, wolfram etc.) și aliajele lor, precum și din metale nobile.

Procedeele principale de lipire sînt lipirea moale și lipirea tare. Acestea se deosebesc prin temperatura de topire a aliajelor de lipit. Astfel, aliajele pentru lipirea moale au temperatura de topire sub 400°C, în timp ce aliajele pentru lipirea tare au de obicei temperatura de topire peste 550°C. Aliajele pentru lipirea moale au o rezistență la rupere de 5—7 kgf/mm², iar cele pentru lipirea tare au o rezistență mult mai mare, ajungînd uneori pînă la 50 kgf/mm².

3.1. LIPIREA MOALE

Pentru executarea acestei lipiri, suprafețele de îmbinat se curăță în prealabil mecanic (cu ajutorul pilei, periei de sîrmă sau hîrtie de șmirghel) sau chimic, prin ardere sau prin fierbere într-o substanță alcalină. Urmează apoi lipirea, care se efectuează fie cu ciocanul de lipit, fie la flacără, fie prin cufundare.

Lipirea cu ciocanul de lipit se face încălzind un ciocan de cupru prevăzut cu un vîrf ascuțit, la temperatura de 250—600°C. După ce vîrfurile ciocanului se freacă pe țipirig (clorură de amoniu) se apropie aliajul de lipit care, în contact cu vîrfurile ciocanului, se topește pătrunzînd pe suprafețele de îmbinat. Operația se execută cu ajutorul fluxurilor.

Lipirea cu flacără se obține încălzind suprafețele de îmbinat cu ajutorul flăcării unei lămpi de lipit, unui arzător cu gaze etc. Aliajul de lipit, întins în prealabil o dată cu fluxul, se topește și după ce se răcește se procedează la curățirea pieselor cu pila sau cu răzuitorul.

Lipirea prin cufundare se obține prin cufundarea pieselor de lipit într-o baie cu aliajul de lipit în stare topită; de obicei baia se acoperă cu un strat de flux.

Fluxurile folosite la lipirea metalelor sînt sub formă de lichide, paste sau prafuri. Pentru lipirea moale se utilizează ca fluxuri:

- compuși organici: colofoniul (sacizul), stearina (STAS 2618-70) etc.;
- compuși anorganici: acidul clorhidric (STAS 339-76), clorura de amoniu (țipirigul), clorura de zinc etc.

Aliajele pentru lipirea moale folosite în mod curent sînt aliajele de staniu — plumb și staniu — plumb — stibiu. Compoziția chimică a aliajelor cu staniu și utilizarea acestora, după STAS 96-73, sînt indicate în tabela 21.12.

Tabela 21.12. Aliaje de lipit pe bază de staniu și plumb
(STAS 96-73)

| Marca aliajului | Compoziția chimică, % | | | Temperaturi (informative) | | Densitatea kg/dm ³ ≈ | Indicații de utilizare |
|-----------------|-----------------------|-------------|------|---------------------------|-------------|---------------------------------|--|
| | Sn | Sb | Pb | Solidus °C | Liquidus °C | | |
| Lp 2 | 1,5...2,5 | — | Rest | 320 | 325 | 11,1 | Pentru lipituri la cutiile metalice |
| Lp 20 Sb | 19...21 | 0,80...1,2 | Rest | 184 | 270 | 10,17 | Pentru lipituri cu flacără. Lipituri articole de uz general din oțel, cupru, aliaje cupru-zinc (alamă), plumb etc. |
| Lp 30* | 29...31 | max. 0,25 | Rest | 183 | 256 | 9,7 | Pentru lipirea radiatoarelor auto, lipituri la tablă de zinc și tablă sau sîrmă zincată |
| Lp 30 Sb | 29...31 | 0,50...1,80 | Rest | 186 | 250 | 9,6 | Pentru lipituri cu flacără. Lipituri în tinichigerie obișnuită |
| Lp 37 | 36...38 | max. 0,25 | Rest | 183 | 190 | 8,5 | Lipirea manșoanelor de plumb la cabluri, conducte telefonice și telegrafice |
| Lp 40 | 39...41 | max. 0,25 | Rest | 183 | 209 | 8,9 | Lipituri la tablă de aliaje cupru-zinc (alamă), tablă cositorită și la conductori electrici, poate fi utilizat pentru lipituri în picătură |
| Lp 40 Sb | 39...41 | 2,3...2,8 | Rest | 183 | 235 | 9,4 | Pentru lipirea radiatoarelor auto, pieselor de aparate electrice și radio |
| Lp 50 | 49...51 | max. 0,25 | Rest | 183 | 209 | 8,9 | Tipul cel mai obișnuit pentru lipituri la contoare electrice și de gaz, la cutii de conserve în exterior și la sîrmă zincată |
| Lp 60 | 59...61 | — | Rest | 183 | 190 | 8,5 | Lipituri fine în electricitate și radiofonie și la metale ușor fuzibile |
| Lp 65 | 64...66 | — | Rest | 183 | 183 | 8,7 | Pentru lipiri de circuite imprimate |
| Lp 90 | 89...91 | — | Rest | 183 | 219 | 7,5 | Lipituri speciale pentru aparate sanitare, vase alimentare, la cutii de conserve în interior |

3.2. LIPIREA TARE

Lipirea tare (brazura) necesită aceleași măsuri de curățire prealabilă a suprafețelor de îmbinare ca și lipirea moale. Îmbinările efectuate cu acest procedeu sînt: prin suprapunere, cap la cap și prin fețe teșite.

După metoda de încălzire se deosebesc: lipirea cu gaz, lipirea prin cufundare, lipirea electrică etc.

Lipirea cu gaz se efectuează cu ajutorul arzătoarelor folosite pentru sudarea cu gaz. Pe suprafețele de îmbinat se aplică în prealabil fluxul și aliajul pentru lipit sub formă de foițe, granule sau praf. Urmează încălzirea treptată a piesei pînă cînd aliajul se topește și pătrunde între suprafețele de îmbinare. Pentru piese de dimensiuni mici se poate folosi și flacăra unui arzător Bunzen.

Lipirea prin cufundare se realizează prin cufundarea pieselor curățite de impurități și oxizi într-o baie cu aliajul de lipit, topit; baia este acoperită cu un strat de flux (borax, acid boric).

Lipirea electrică se execută încălzind suprafețele pieselor de îmbinat cu ajutorul arcului electric, prin inducție sau prin rezistență (prin contact). Pinzele la ferăstraiele cu panglică se lipesc deseori prin ultimul procedeu, introducînd cele două capete între două făci care constituie electrozii.

Fluxurile folosite la lipirea tare sînt: boraxul, acidul boric, diferite fluoruri și cloruri sub formă de praf, pastă sau soluții lichide. La lipirea cu alamă se utilizează boraxul.

Aliajele pentru lipirea tare au diferite compoziții chimice. Astfel, în tabela 21.13 sînt indicate, după STAS 204-68, aliajele de cupru și

Tabela 21.13. Aliaje de cupru-zinc cu adaosuri de Si și Sn pentru lipirea tare
(STAS 204-77)

| Marca | Compoziția chimică, % | | | | Impurități, % max. | | | | Temperatura de topire °C ≈ |
|----------|-----------------------|---------|---------|------|--------------------|----|----|-----|----------------------------|
| | Cu | Si | Sn | Zn | Pb | Fe | Sb | As | |
| Am Si Lp | 58-62 | 0,2-0,3 | — | rest | max. 0,5 | — | — | 0,3 | 900 |
| Am Sn Lp | 59-61 | 0,2-0,3 | 0,8-1,2 | rest | max. 0,5 | — | — | — | 900 |

Observație. Marca Am Si Lp se folosește pentru lipituri la oțeluri și fonte, iar marca Am Sn Lp și pentru neferoase (Cu, Al și Bz).

zinc cu adaosuri de Si și Sn (alamă pentru lipit) pentru lipirea oțelului, fontei, cuprului, bronzului și alamelor. Aceste aliaje pentru lipit și sudat se fabrică, conform STAS 294-70, sub formă de sîrme cu diametrele: 1, 1,5; 2; 2,5 și 3 mm și sub formă de vergele cu diametrele: 2; 3; 4; 5; 6 și 8 mm.

În tabela 21.14 sînt arătate compozițiile chimice și utilizarea cîtorva aliaje de argint pentru lipirea tare.

Tabela 21.14. Compoziția chimică și utilizarea aliajelor cu argint pentru lipirea tare

| Calitatea aliajului de lipit | Compoziția chimică, % | | | | Temperatura de topire °C | Utilizare |
|------------------------------|-----------------------|--------|------|-------------|--------------------------|---|
| | Ag | Cu | Zn | Pb, maximum | | |
| I | 12±0,3 | 36±1 | rest | 0,5 | 785 | Pentru lipirea alamei cu conținut de cupru de peste 58%, a cuprului și a bronzului, pentru lucrări mai îngrijite, cînd locul de îmbinare trebuie să fie curat |
| II | 25±0,3 | 40±1 | rest | 0,5 | 780 | |
| III | 45±0,3 | 30±0,5 | rest | 0,5 | 720 | |

1. ALGEBRA

1.1. LOGARITMI

1.1.1. Generalități. Dacă $a = b^n$ și $a > 0$, atunci n este logaritmul lui a în baza b .

Logaritmii zecimali au ca bază numărul 10 și se notează prescurtat \lg (v. tabela 1.3), astfel:

$$\begin{aligned} 1 &= 10^0, & \lg 1 &= 0; \\ 10 &= 10^1, & \lg 10 &= 1; \\ 100 &= 10^2, & \lg 100 &= 2; \\ 1\,000 &= 10^3, & \lg 1\,000 &= 3. \end{aligned}$$

Pentru valori intermediare, logaritmii sînt calculați și trecuți în tabele (v. tabela 23.2). Sînt tabele care dau logaritmi cu 5 și chiar cu 7 zecimale. Cu cît se dau mai multe zecimale, cu atît logaritmul este mai apropiat de valoarea lui reală.

Logaritmul unui număr se compune dintr-un număr întreg numit *caracteristică* și o parte zecimală numită *mantisă*; de exemplu, logaritmul numărului 356 este 2,551 4. Partea întreagă 2 este caracteristica; partea zecimală 551 4 este mantisa.

Caracteristica logaritmului unui număr întreg este egală cu numărul de cifre al numărului mai puțin 1; de exemplu, caracteristica lui $\lg 4\,756$ este 3. Caracteristica unei fracții zecimale subunitare este negativă și egală cu numărul de zerouri din fața primei cifre semnificative. De exemplu, caracteristica lui $\lg 0,41$ este $\bar{1}$, caracteristica lui $\lg 0,041$ este $\bar{2}$ etc. și se scrie sub forma unui număr cu linie deasupra.

Mantisa logaritmului oricărui număr care se află în tabela 23.2 este pozitivă și mai mică decît 1.

1.1.2. Întrebuintarea tabeli de logaritmi. Problemele care se rezolvă cu ajutorul tabeli de logaritmi sînt de două feluri și anume:

1. Se dă un număr x și se cere să se afle logaritmul ($\lg x$).
2. Se dă logaritmul ($\lg x$) al unui număr x și se cere să se găsească numărul x .

Problema 1 comportă două cazuri:

Cazul a. Numărul dat, de exemplu 355 are 3 cifre. Acesta se găsește în tabela 1.3. Caracteristica lui este 2, iar mantisa se găsește la intersecția rândului 35 cu coloana cifrei 5 din capul paginii, adică este 5 502. Deci $\lg 355 = 2,550\ 2$.

Pentru un număr zecimal de 3 cifre identice, de exemplu:

$$3,55 \text{ sau } 35,5 \text{ sau } 0,355 \text{ sau } 0,003\ 55$$

mantisa rămâne aceeași, adică egală cu a lui 355, iar caracteristica este respectiv 0; 1; 1; 2 etc.

Cazul b. Numărul dat nu se găsește în tabelă, de exemplu 35 585. Caracteristica lui $\lg 35\ 585$ este 4, iar mantisa este aceeași cu a numărului 355,85; dar 355,85 este cuprins între 355 și 356 și, cum logaritmul cresc o dată cu numerele (și invers) se face o interpolare liniară (după regula de trei simplă) și anume:

$$\text{mantisa lui } \lg 355 = 5\ 502; \text{ mantisa lui } \lg 356 = 5\ 514.$$

Când numărul a crescut cu 1, de la 355 la 356, mantisa a crescut cu 12 unități de ordinul 4 zecimal. Se întreabă: cu cât crește mantisa, când numărul crește cu 0,85, adică de la 355 la 355,85. După regula de trei simplă se găsește că mantisa crește cu cantitatea Δ , dată de relația $\Delta = 12 \times 0,85 = 10,20$.

Deci mantisa logaritmului numărului 355,85 va fi $5\ 502 + 10,20 = 5\ 512,20$, iar la 35 585 = 4,551 220 sau aproximativ 4,551 2.

Problema 2. Se dă logaritmul unui număr și se cere numărul căruia îi corespunde. Și această problemă comportă două cazuri:

Cazul a. Mantisa logaritmului dat se găsește în tabelă. De exemplu, se cere să se găsească numărul care are ca logaritm pe 2,550 2.

Mantisele mergând în creștere, se găsește ușor ca mantisa 5 502 din tabela 1.3 corespunde numărului 355. Cum caracteristica logaritmului dat este 2, numărul căutat va fi 355.

Cazul b. Mantisa logaritmului dat nu se găsește în tabelă. De exemplu, se cere să se găsească numărul care are ca logaritm pe 2,550 34. Numărul va avea 3 cifre la partea întreagă. Mantisa dată 550 34, se găsește cuprinsă între mantisele 5 502 și 5 514 din tabelele mantise cărora le corespund numerele 355 și 356. Se procedează ca în cazul b de la problema 1, prin interpolare după regula de 3 simplă. Observăm că atunci când numărul a crescut cu 1, mantisa a crescut cu 12 unități de ordinul 4 zecimal. Rezultă că, atunci când mantisa crește cu 1,4 de la 5 502 la 5 503,4, numărul va crește cu:

$$\Delta = 1,4 : 12 = 0,116 \dots \text{unități.}$$

Deci numărul căutat este

$$355 + 0,116 \dots = 355,116 \dots$$

1.1.3. Operații cu logaritmi. Logaritmi se întrebuințează la operațiile de înmulțire, împărțire, ridicare la puteri și extragere de rădăcini, oricare ar fi numerele pozitive care intră în compunerea acestor operații.

Cologaritmul unui număr este logaritmul inversului său, de exemplu: $\text{colg } 5 = \lg 1/5$.

Cologaritmi se întrebuințează cu folos la operațiile de împărțire, după cum se arată în exemplele de împărțire care urmează:

Cunoscând logaritmul unui număr N , cologaritul lui se calculează fără tabele, în modul următor:

Caracteristica cologaritmului se obține din caracteristica logaritmului, prin schimbarea semnului și adăugarea lui (-1) . Mantisa cologaritmului este egală cu complementul mantisei logaritmului, față de 10^n unde n este numărul de cifre ale mantisei dată în tabelă. De exemplu: $\lg 50 = 1,690\ 0$; $\text{colg } 50 = \lg 1/50$ va fi $\overline{2},301\ 0$, unde caracteristica cologaritmului s-a obținut din caracteristica logaritmului (1) luată cu semnul $(-)$ la care s-a adăugat (-1) , rezultând $\overline{2}$, iar mantisa s-a obținut din diferența $10\ 000 - 6\ 990$, adică 3 010.

— **Înmulțirea** se face adunând logaritmi numerelor. Produsul este egal cu numărul care corespunde sumei logaritmilor.

Exemplul 1:

$$N = 12,7 \times 5,68 \times 1\ 095; \lg N = \lg 12,7 + \lg 5,68 + \lg 1\ 095.$$

$$\text{Rezultă: } \lg 12,7 = 1,103\ 8 \quad \lg 5,68 = 0,754\ 3 \quad \lg 1\ 095 = 3,039\ 4 \quad \lg N = 4,897\ 5 \\ N = 78\ 980.$$

Exemplul 2:

$$N_1 = 12,7 \times 0,005\ 68; \text{rezultă } \lg N_1 = 1,103\ 8 + \overline{3},754\ 3 = \overline{2},858\ 1; N_1 = 0,072\ 13.$$

— **Împărțirea** se face scăzând logaritmul împărțitorului din logaritmul deîmpărțitului. Rezultatul împărțirii este egal cu numărul corespunzător diferenței logaritmilor.

$$\text{Exemplu: } N = 127 : 56,8.$$

$$\lg N = \lg 127 - \lg 56,8 = 2,103\ 8 - 1,754\ 3 = 0,349\ 5; N = 2,236\ 3.$$

Același rezultat se obține adăugând cologaritul la logaritmul deîmpărțitului.

$$\text{Exemplu: } N = 127 : 56,8.$$

$$\lg N = \lg 127 + \text{colg } 56,8 = 2,103\ 8 + \overline{2},245\ 7 = 0,349\ 5; N = 2,236\ 3.$$

— **Ridicarea la putere** se face înmulțind logaritmul bazei cu exponentul. Rezultatul ridicării la putere este numărul corespunzător produsului între logaritmul bazei și exponentul ei.

Exemple:

$$1. N = 1,27^5; \lg N = 5 \times \lg 1,27 = 5 \times 0,103\ 8 = 0,519; N = 3,303\ 8.$$

$$2. N_1 = 0,056\ 8^3; \lg N_1 = 3 \times \lg 0,056\ 8 = 3 \times \overline{2},754\ 3 = 3 \times \overline{2} + 3 \times 0,754\ 3 = \\ = -6 + 2,262\ 9 = \overline{4},262\ 9; N_1 = 0,000\ 183\ 16.$$

— **Extragerea de rădăcină** se face împărțind logaritmul bazei cu exponentul. Rezultatul extragerii este numărul corespunzător cîtelui între logaritmul bazei și exponentul ei.

Exemple:

$$1. N = \sqrt[4]{1095}; \lg N = \lg 1095 / 4 = 3,0394 / 4 = 0,75985; N = 5,752.$$

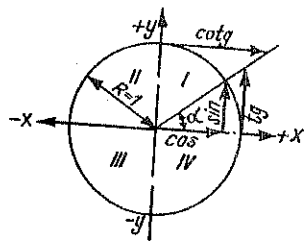
$$2. N_1 = \sqrt[2/7]{56,8}; \lg N_1 = \frac{\lg 56,8}{2/7} = \frac{1,7543}{2/7} = \frac{1,7543 \times 7}{2} = 6,1400;$$

$$N = 1380383.$$

2. TRIGONOMETRIE

2.1. FUNCȚII TRIGONOMETRICE

Tabela 22.1. Reprezentarea grafică și semnele funcțiilor trigonometrice în cele 4 cadrane ale cercului cu raza $R = 1$



| Cadrantul | sin | cos | tg | cotg |
|-----------|-----|-----|----|------|
| I | + | + | + | + |
| II | + | - | - | - |
| III | - | - | + | + |
| IV | - | + | - | - |

Tabela 22.2. Valorile funcțiilor trigonometrice în cele 4 cadrane

| | $\pm \alpha$ | $90^\circ \pm \alpha$ | $180^\circ \pm \alpha$ | $270^\circ \pm \alpha$ | $360^\circ \pm \alpha$ |
|------|-------------------|-----------------------|------------------------|------------------------|------------------------|
| sin | $\pm \sin \alpha$ | $+\cos \alpha$ | $\mp \sin \alpha$ | $-\cos \alpha$ | $\sin(\pm \alpha)$ |
| cos | $\pm \cos \alpha$ | $\mp \sin \alpha$ | $-\cos \alpha$ | $\pm \sin \alpha$ | $\cos(\pm \alpha)$ |
| tg | $\pm \tan \alpha$ | $\mp \cot \alpha$ | $\pm \tan \alpha$ | $\mp \cot \alpha$ | $\tan(\pm \alpha)$ |
| cotg | $\pm \cot \alpha$ | $\mp \tan \alpha$ | $\pm \cot \alpha$ | $\mp \tan \alpha$ | $\cot(\pm \alpha)$ |

Tabela 22.3. Valori extreme și valori particulare ale funcțiilor trigonometrice

| | 0° 360° | 90° | 180° | 270° | 30° | 45° | 60° |
|------|--------------------------|------------|-------------|-------------|-----------------------|-----------------------|-----------------------|
| sin | 0 | 1 | 0 | -1 | $\frac{1}{2}$ | $\frac{1}{2}\sqrt{2}$ | $\frac{1}{2}\sqrt{3}$ |
| cos | 1 | 0 | -1 | 0 | $\frac{1}{2}\sqrt{3}$ | $\frac{1}{2}\sqrt{2}$ | $\frac{1}{2}$ |
| tg | 0 | ∞ | 0 | ∞ | $\frac{1}{3}\sqrt{3}$ | 1 | $\sqrt{3}$ |
| cotg | ∞ | 0 | ∞ | 0 | $\sqrt{3}$ | 1 | $\frac{1}{3}\sqrt{3}$ |

2.2. FORMULE TRIGONOMETRICE

Tabela 22.4. Relații dintre funcțiile trigonometrice ale aceluiași unghi

| | sin α | cos α | tg α | cotg α |
|---------------|-----------------------------------|-----------------------------------|-----------------------------------|-----------------------------------|
| sin α | sin α | $\sqrt{1 - \cos^2 \alpha}$ | $\frac{\sin \alpha}{\cos \alpha}$ | $\frac{1}{\tan \alpha}$ |
| cos α | $\sqrt{1 - \sin^2 \alpha}$ | cos α | $\frac{1}{\tan \alpha}$ | $\frac{\cos \alpha}{\sin \alpha}$ |
| tg α | $\frac{\sin \alpha}{\cos \alpha}$ | $\frac{\sin \alpha}{\cos \alpha}$ | tg α | $\frac{1}{\cot \alpha}$ |
| cotg α | $\frac{\cos \alpha}{\sin \alpha}$ | $\frac{\cos \alpha}{\sin \alpha}$ | $\frac{1}{\tan \alpha}$ | cotg α |

2.3. CALCULUL TRIGONOMETRIC AL TRIUNGHURIILOR

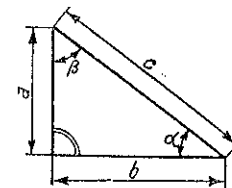


Tabela 22.5. Triunghi dreptunghi

| Elementele triunghiului | | Rezolvare | |
|----------------------------|----------|------------------------------|--|
| date | căutate | | |
| a, b | α | $\tan \alpha = \frac{a}{b};$ | $\alpha = 90^\circ - \beta;$ |
| | β | $\tan \beta = \frac{b}{a};$ | $\beta = 90^\circ - \alpha;$ |
| | c | $c = \sqrt{a^2 + b^2};$ | $c = \frac{a}{\sin \alpha} = \frac{b}{\cos \alpha};$ |
| | A | $A = \frac{a \cdot b}{2};$ | |

Tabela 22.5 (continuare)

| Elementele triunghiului | | Rezolvarea |
|----------------------------|----------|--|
| date | căutate | |
| a, c | α | $\sin \alpha = \frac{a}{c}; \quad \alpha = 90^\circ - \beta;$ |
| | β | $\cos \beta = \frac{a}{c}; \quad \beta = 90^\circ - \alpha;$ |
| | b | $b = \sqrt{c^2 - a^2} = \sqrt{(c+a)(c-a)} = c \cdot \cos \alpha = c \cdot \sin \beta;$ |
| | A | $A = \frac{a}{2} \sqrt{(c+a)(c-a)} = \frac{1}{2} a \cdot c \cdot \sin \beta.$ |
| a, α | b | $b = a \cdot \cotg \alpha;$ |
| | c | $c = \frac{a}{\sin \alpha};$ |
| | A | $A = \frac{a^2}{2} \cotg \alpha.$ |
| b, α | a | $a = b \cdot \tg \alpha;$ |
| | c | $c = \frac{b}{\cos \alpha};$ |
| | A | $A = \frac{b^2}{2} \tg \alpha.$ |
| c, α | a | $a = c \cdot \sin \alpha;$ |
| | b | $b = c \cdot \cos \alpha;$ |
| | A | $A = \frac{c^2}{2} \sin \alpha \cdot \cos \alpha = \frac{c^2}{4} \sin 2\alpha.$ |

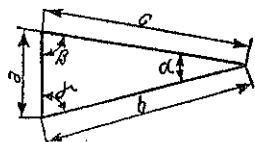


Tabela 22.6. Triunghi oarecare (scaleni)

| Elementele triunghiului | | Rezolvarea |
|----------------------------|----------|--|
| date | căutate | |
| a, b, γ | α | $\sin \alpha = \frac{a \sin \gamma}{c}; \quad \tg \alpha = \frac{a \sin \gamma}{b - a \cos \gamma};$ |
| | β | $\sin \beta = \frac{b \sin \gamma}{c}; \quad \tg \beta = \frac{b \sin \gamma}{a - b \cos \gamma};$ |

Tabela 22.6 (continuare)

| Elementele triunghiului | | Rezolvarea |
|---|----------|---|
| date | căutate | |
| a, a, γ | c | $c = \sqrt{a^2 + b^2 - 2ab \cos \gamma};$ |
| | A | $A = \frac{a \cdot b}{2} \sin \gamma.$ |
| a, β, γ sau a, α, β | b | $\alpha = 180^\circ - (\beta + \gamma); \quad \beta = 180^\circ - (\alpha + \gamma);$ $\gamma = 180^\circ - (\alpha + \beta);$ $b = \frac{a \sin \beta}{\sin \alpha} = \frac{a \sin \beta}{\sin (\beta + \gamma)};$ |
| | | $c = \frac{a \sin \gamma}{\sin \alpha} = \frac{a \sin \gamma}{\sin (\beta + \gamma)};$ |
| | c | $A = \frac{a b \sin \gamma}{2} = \frac{a^2 \sin \beta \sin \gamma}{2 \sin \alpha}$ |
| | A | |
| a, b, α | β | $\sin \beta = \frac{b \sin \alpha}{a}; \quad \beta \text{ poate fi } \cong \alpha$ $\text{dacă } b \cong a, \text{ atunci } \beta \cong \alpha$ |
| | γ | $\gamma = 180^\circ - (\alpha + \beta);$ |
| | c | $c = \frac{a \sin \gamma}{\sin \alpha} = b \cos \alpha \pm \sqrt{a^2 - b^2 \sin^2 \alpha};$ semnul + se ia pentru $b > a$ semnul - se ia pentru $b < a$ |
| | A | $A = \frac{ab \sin \gamma}{2} = \frac{b \sin \alpha}{2} (b \cos \alpha \pm \sqrt{a^2 - b^2 \sin^2 \alpha})$ |
| a, b, c | α | $\cos \alpha = \frac{b^2 + c^2 - a^2}{2bc}; \quad \cos \frac{\alpha}{2} = \sqrt{\frac{p(p-a)}{bc}};$ |
| | β | $\cos \beta = \frac{a^2 + c^2 - b^2}{2ac}; \quad \cos \frac{\beta}{2} = \sqrt{\frac{p(p-b)}{ac}};$ |
| | γ | $\cos \gamma = \frac{b^2 + a^2 - c^2}{2ab}; \quad \cos \frac{\gamma}{2} = \sqrt{\frac{p(p-c)}{ab}};$ |
| | A | $A = \sqrt{p(p-a)(p-b)(p-c)}$ |

3. GEOMETRIE

3.1. DEFINIȚII

Într-un triunghi oarecare suma celor trei unghiuri este de 180° .

Dacă unul din unghiuri este de 90° (unghi drept), triunghiul se numește dreptunghi. Latura opusă unghiului drept se numește *ipotenuză*, iar celelalte două, *catete*.

3.2. TEOREMA LUI PITAGORA

Într-un triunghi dreptunghic, pătratul ipotezei este egal cu suma pătratelor catetelor: $c^2 = a^2 + b^2$, iar pătratul unei catete este egal cu diferența dintre pătratul ipotenusei și pătratul celeilalte catete: $a^2 = c^2 - b^2$ sau $b^2 = c^2 - a^2$.

Exemplu: Catetele fiind de 5 cm și 7 cm, ipotenusa este:

$$c = \sqrt{5^2 + 7^2} = \sqrt{25 + 49} = \sqrt{74} = 8,5 \text{ cm.}$$

Numerele pitagorice sînt numere întregi a , b , c , între care există relația: $a^2 + b^2 = c^2$.

Triunghiurile formate din laturile a , b , c cu valorile din tabela 22.7 măsurate în orice unități de lungime, sînt dreptunghice.

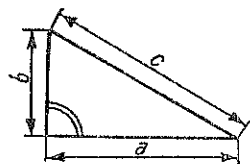


Tabela 22.7

| a | b | c | a | b | c |
|----|----|----|----|----|----|
| 4 | 3 | 5 | 16 | 12 | 20 |
| 6 | 8 | 10 | 20 | 21 | 29 |
| 8 | 15 | 17 | 24 | 7 | 25 |
| 10 | 24 | 26 | 30 | 16 | 34 |
| 12 | 5 | 13 | 40 | 9 | 41 |

3.3. ARIA ȘI CENTRUL DE GREUTATE AL FIGURILOR PLANE

Tabela 22.8

| Nr. crt. | Figura și denumirea | Formule |
|----------|---------------------|---|
| 1 | <p>Triunghi</p> | $A = \frac{a \cdot h}{2}$ $GO = \frac{1}{3} AO$ $(CO = OB)$ |
| 2 | <p>Pătrat</p> | $A = a \cdot a = a^2$ G este la intersecția diagonalelor |
| 3 | <p>Dreptunghi</p> | $A = a \cdot b$ G este la intersecția diagonalelor |
| 4 | <p>Paralelogram</p> | $A = a \cdot h$ G este la intersecția diagonalelor |
| 5 | <p>Romb</p> | $A = a \cdot h$ G este la intersecția diagonalelor |

Se notează cu: A aria; G centrul de greutate

Tabela 22.8 (continuare)

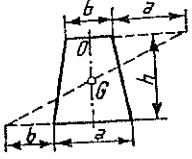
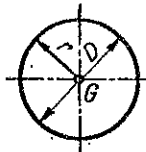
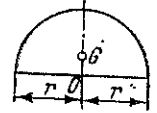
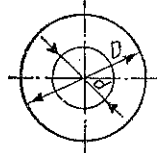
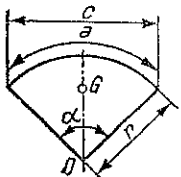
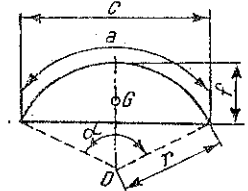
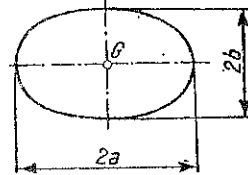
| Nr. crt. | Figura și denumirea | Formule |
|----------|--|---|
| 6 |  <p>Trapez</p> | $A = \frac{a+b}{2} h$ $GO = \frac{1}{3} h \frac{2a+b}{a+b}$ |
| 7 |  <p>Cerc</p> | $A = \pi r^2 = \frac{\pi}{4} d^2$ <p>G este în centrul cercului (lungimea cercului = $2\pi r = \pi d$)</p> |
| 8 |  <p>Semicerc</p> | $A = \frac{\pi}{2} r^2 = \frac{\pi}{8} d^2$ $GO = \frac{4r}{3\pi} = 0,43 r$ |
| 9 |  <p>Inel concentric</p> | $A = \pi (R^2 - r^2) = \frac{\pi}{4} (D^2 - d^2)$ <p>G este în centrul cercurilor</p> |
| 10 |  <p>Sector circular</p> | $A = \frac{\alpha \cdot r}{2} = \frac{\alpha}{360} \pi r^2$ $GO = \frac{2rc}{3\alpha}$ |

Tabela 22.8 (continuare)

| Nr. crt. | Figura și denumirea | Formule |
|----------|---|---|
| 11 |  <p>Segment circular</p> | $A = \frac{r(a-c) + c \cdot f}{2}$ $GO = \frac{c^3}{12A}$ |
| 12 |  <p>Elipsă</p> | $A = \pi ab$ <p>G este la intersecția axelor</p> |

3.4. VOLUMUL, ARIA ȘI CENTRUL DE GREUTATE AL CORPURILOR GEOMETRICE

Tabela 22.9

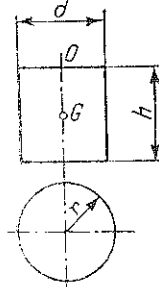
| Nr. crt. | Figura și denumirea | Formule |
|----------|---|---|
| 1 |  <p>Cilindru</p> | $V = \pi r^2 h = \frac{\pi}{4} d^2 h$ $A_l = 2\pi r h = \pi d h$ $A_t = \pi d h + \frac{\pi}{2} d^2$ $GO = \frac{h}{2}$ |

Tabela 22.9 (continuare)

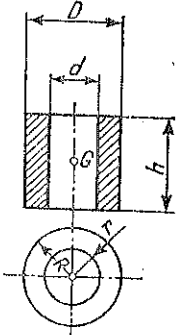
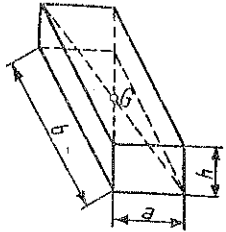
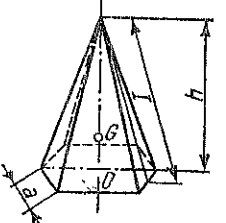
| Nr. crt. | Figura și denumirea | Formule |
|----------|---|--|
| 2 |  <p>Cilindru gol</p> | $V = \pi h (R^2 - r^2)$ $A_t = 2\pi h (R + r) = \pi h (D + d)$ $A_t = \pi \left[h (D + d) + \frac{1}{2} (D^2 - d^2) \right]$ $GO = \frac{h}{2}$ |
| 3 |  <p>Paralelipiped</p> | $V = abh$ $A_t = 2(a + b)h$ $A_t = 2[(a + b)h + ab]$ <p>G este la intersecția diagonalelor</p> |
| 4 |  <p>Piramidă</p> | $V = \frac{h}{3} B$ $A_t = n \frac{aI}{2} \quad (I - \text{înălțimea triunghiului})$ $A_t = n \frac{aI}{2} + B$ $GO = \frac{1}{4} h$ |

Tabela 22.9 (continuare)

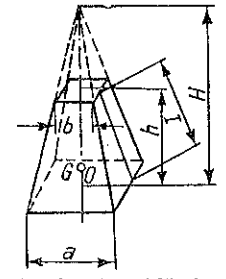
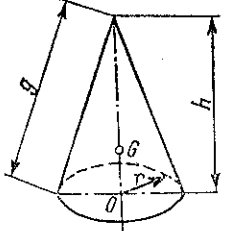
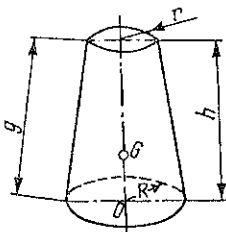
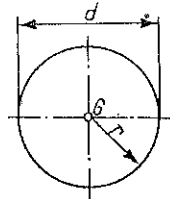
| Nr. crt. | Figura și denumirea | Formule |
|----------|--|---|
| 5 |  <p>Trunchi de piramidă dreaptă</p> | $V = \frac{h}{3} (B + B_1 + \sqrt{B \cdot B_1})$ $A_t = \frac{nI}{2} (a + b) \quad (I - \text{înălțimea trapezului})$ $A_t = \frac{nI}{2} (a + b) + B + B_1$ $GO = \frac{h}{4} \cdot \frac{B + 2\sqrt{BB_1} + 3B_1}{B + \sqrt{BB_1} + B_1}$ |
| 6 |  <p>Con</p> | $V = \frac{\pi h}{3} r^2$ $A_t = \pi r g \quad (g - \text{generatoarea})$ $A_t = \pi r (g + r)$ $GO = \frac{1}{4} h$ |
| 7 |  <p>Trunchi de con</p> | $V = \frac{\pi h}{3} (R^2 + r^2 + Rr)$ $A_t = \pi g (R + r)$ $A_t = \pi [g(R + r) + R^2 + r^2]$ $GO = \frac{h}{4} \cdot \frac{R^2 + 2Rr + 3r^2}{R^2 + Rr + r^2}$ |
| 8 |  <p>Sferă</p> | $V = \frac{4}{3} \pi r^2 = \frac{\pi}{6} d^3$ $A_t = 4\pi r^2 = \pi d^2$ <p>(G este în centrul sferei)</p> |

Tabela 22.9 (continuare)

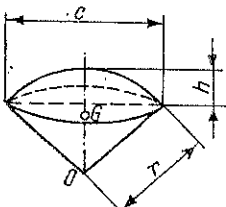
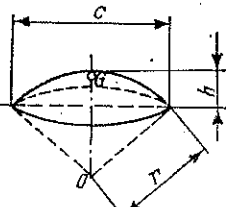
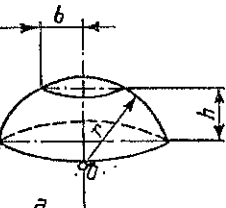
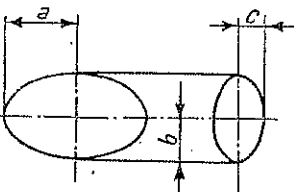
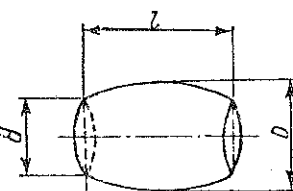
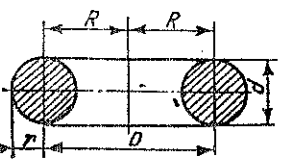
| Nr. crt. | Figura și denumirea | Formule |
|----------|--|---|
| 9 |  <p>Sector sferic</p> | $V = \frac{2}{3} \pi r^2 h = \frac{\pi}{6} d^2 h$ $A_t = \frac{\pi r}{2} (4h + c)$ $GO = \frac{3}{4} \left(r - \frac{h}{2} \right)$ |
| 10 |  <p>Segment sferic (calotă sferică)</p> | $V = \pi h^2 \left(r - \frac{h}{3} \right) = \pi h \left(\frac{c^2}{8} + \frac{h^2}{6} \right)$ $A_t = 2\pi r h = \frac{\pi}{4} (c^2 + 4h^2)$ $A_l = \frac{\pi}{2} (c^2 + 2h^2)$ $GO = \frac{3}{4} \frac{(2r - h)^2}{3r - h}$ |
| 11 |  <p>Zonă sferică</p> | $V = \frac{\pi h}{6} (3a^2 + 3b^2 + h^2)$ $A_t = 2\pi r h$ $A_l = \pi (2rh + a^2 + b^2)$ |
| 12 |  <p>Elipsoid</p> | $V = \frac{4\pi}{3} a \cdot b \cdot c$ <p>A — nu se poate calcula printr-o formulă simplă</p> |

Tabela 22.9 (continuare)

| Nr. crt. | Figura și denumirea | Formule |
|----------|--|--|
| 13 |  <p>Butoi</p> | $V \approx \frac{\pi l}{15} (2D^2 + Dd + 0,75d^2)$ <p>A_t nu se poate calcula printr-o formulă simplă</p> |
| 14 |  <p>Inel circular (tor)</p> | $V = 2\pi^2 R r^2 = 19,739 R r^2$ $A_t = 4\pi^2 R r = \pi^2 D d = 9,8696 D d$ |

Se notează cu V — volumul corpului; G — centrul de greutate; A_t — suprafața laterală; A_l — suprafața totală; B — suprafața bazei mari; B_1 — suprafața bazei mici; h — înălțimea; n — numărul laturilor.

3.5. CALCULUL POLIGOANELOR REGULATE

Notînd cu :

n — numărul laturilor; c — latura poligonului; R — raza cercului circumscris; r — raza cercului înscris; A — aria poligonului, rezultă următoarele relații :

$$c = 2R \sin 180^\circ/n = 2r \operatorname{tg} 180^\circ/n;$$

$$R = c/2 : \sin 180^\circ/n = r : \cos 180^\circ/n;$$

$$r = c/2 \cotg 180^\circ/n = R \cos 180^\circ/n;$$

$$A = \frac{n}{2} R^2 \sin 360^\circ/n = n r^2 \operatorname{tg} 180^\circ/n = n \frac{c^2}{4} \cotg 180^\circ/n.$$

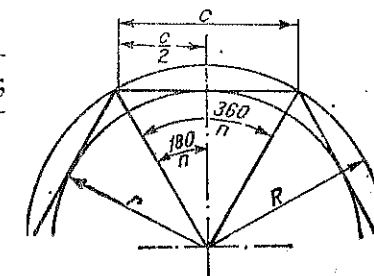


Fig. 22.1.

TABELE MATEMATICE

1. SEMNE MATEMATICE

Tabela 23.1

| Semn | Semnificația | Explicații | Semn | Semnificația | Explicații |
|----------------|---|---|---------------------------|--|-------------------------------|
| , | virgulă pentru numere zecimale | de ex.: 75,32 | = | egal | |
| () | paranteză rotundă, paranteză dreaptă și acoladă | | ⊥ | perpendicular pe | |
| ... | până la | de ex.: 17...23 | ∥ | paralel | |
| + | plus, și cu, adunat cu | | ∠ | paralel și egal | |
| - | minus, mai puțin, scăzut | | ° | grad | 30° |
| × | înmulțit cu, ori | punctul se așază la mijlocul înălțimii, între numere sau între litere reprezentând numere, de exemplu 3·52; a·b | ' | minut | 1° = 60' |
| ÷ | împărțit cu, supra | | '' | secundă | 1' = 60'' |
| √ | rădăcină pătrată | | rad | radian | 15°14'54,8'' |
| √ ⁿ | rădăcină de ordinul n | | | unghiul arcului egal cu 1 pe cercul cu raza 1; | |
| ≤ | mai mic sau cel mult egal | | | 1 rad = | |
| ≥ | mai mare sau cel puțin egal | | ≠ | neegal, diferit de | 57°17'44,8'' = |
| ~ | proporțional asemenea | | ≡ | identic cu | 57,295 78° |
| ∞ | infinit | | ≈ | aproape egal, aproximativ | |
| Δ | triunghi | | < | mai mic decât | |
| * | unghi | se așază deasupra literelor care definesc unghiul | > | mai mare decât | |
| MN | segmentul de dreaptă MN | de ex.: \widehat{AOB} | $\overset{MN}{\text{lg}}$ | arcul de cerc MN | |
| | | | lg | logaritm zecimal (vulgar) | logaritm cu baza 10 |
| | | | ln | logaritm natural (neperian) | logaritm cu baza e = 2,718 28 |
| | | | sin | sinus | |
| | | | cos | cosinus | |
| | | | tg | tangentă | |
| | | | cotg | cotangentă | |
| | | | sec | secantă | |
| | | | cosec | cosecantă | |
| | | | % | la sută, procent | |
| | | | ‰ | la mie, promil | |

Observație. În textele tipărite semnele matematice se imprimă cu caractere drepte.

2. TABELE DE CALCUL

2.1. MANTISELE LOGARITMILOR ZECIMALI (BRIGGS, VULGARI)

Tabela 23.2 Mantisele logaritmilor zecimali (vulgari) ale numerelor de la 10 până la 999

| N | 0 | 1 | 2 | 3 | 4 | 5 | 6 | 7 | 8 | 9 |
|-----|-------|-------|-------|-------|-------|-------|-------|-------|-------|-------|
| 100 | 0 000 | 0 004 | 0 009 | 0 013 | 0 017 | 0 022 | 0 026 | 0 030 | 0 035 | 0 039 |
| 101 | 0 043 | 0 048 | 0 052 | 0 056 | 0 060 | 0 065 | 0 069 | 0 073 | 0 077 | 0 082 |
| 102 | 0 086 | 0 090 | 0 095 | 0 099 | 0 103 | 0 107 | 0 111 | 0 116 | 0 120 | 0 124 |
| 103 | 0 128 | 0 133 | 0 137 | 0 141 | 0 145 | 0 149 | 0 154 | 0 158 | 0 162 | 0 166 |
| 104 | 0 170 | 0 175 | 0 179 | 0 183 | 0 187 | 0 191 | 0 195 | 0 199 | 0 204 | 0 208 |
| 105 | 0 212 | 0 216 | 0 220 | 0 224 | 0 228 | 0 232 | 0 237 | 0 241 | 0 245 | 0 249 |
| 106 | 0 253 | 0 257 | 0 261 | 0 265 | 0 269 | 0 273 | 0 278 | 0 282 | 0 286 | 0 290 |
| 107 | 0 294 | 0 298 | 0 302 | 0 306 | 0 310 | 0 314 | 0 318 | 0 322 | 0 326 | 0 330 |
| 108 | 0 334 | 0 338 | 0 342 | 0 346 | 0 350 | 0 354 | 0 358 | 0 362 | 0 366 | 0 370 |
| 109 | 0 374 | 0 378 | 0 382 | 0 386 | 0 390 | 0 394 | 0 398 | 0 402 | 0 406 | 0 410 |
| 110 | 0 414 | 0 418 | 0 422 | 0 426 | 0 430 | 0 434 | 0 438 | 0 441 | 0 445 | 0 449 |
| 11 | 0 414 | 0 453 | 0 492 | 0 531 | 0 569 | 0 607 | 0 645 | 0 682 | 0 719 | 0 755 |
| 12 | 0 792 | 0 828 | 0 864 | 0 899 | 0 934 | 0 969 | 1 004 | 1 038 | 1 072 | 1 106 |
| 13 | 1 139 | 1 173 | 1 206 | 1 239 | 1 271 | 1 303 | 1 335 | 1 367 | 1 409 | 1 430 |
| 14 | 1 461 | 1 492 | 1 523 | 1 553 | 1 584 | 1 614 | 1 644 | 1 673 | 1 703 | 1 732 |
| 15 | 1 761 | 1 790 | 1 818 | 1 847 | 1 875 | 1 903 | 1 931 | 1 959 | 1 987 | 2 014 |
| 16 | 2 041 | 2 068 | 2 095 | 2 122 | 2 148 | 2 175 | 2 201 | 2 227 | 2 253 | 2 279 |
| 17 | 2 304 | 2 330 | 2 355 | 2 380 | 2 405 | 2 430 | 2 455 | 2 480 | 2 504 | 2 529 |
| 18 | 2 553 | 2 577 | 2 601 | 2 625 | 2 648 | 2 672 | 2 695 | 2 718 | 2 742 | 2 765 |
| 19 | 2 788 | 2 810 | 2 833 | 2 856 | 2 878 | 2 900 | 2 923 | 2 945 | 2 967 | 2 989 |
| 20 | 3 010 | 3 032 | 3 054 | 3 075 | 3 096 | 3 118 | 3 139 | 3 160 | 3 181 | 3 201 |
| 21 | 3 222 | 3 243 | 3 263 | 3 284 | 3 304 | 3 324 | 3 354 | 3 365 | 3 385 | 3 404 |
| 22 | 3 424 | 3 444 | 3 464 | 3 483 | 3 502 | 3 522 | 3 451 | 3 560 | 3 579 | 3 598 |
| 23 | 3 617 | 3 636 | 3 655 | 3 674 | 3 692 | 3 711 | 3 729 | 3 747 | 3 766 | 3 784 |
| 24 | 3 802 | 3 820 | 3 838 | 3 856 | 3 874 | 3 892 | 3 909 | 3 927 | 3 945 | 3 962 |
| 25 | 3 979 | 3 997 | 4 014 | 4 031 | 4 048 | 4 065 | 4 082 | 4 099 | 4 116 | 4 133 |
| 26 | 4 150 | 4 166 | 4 183 | 4 200 | 4 216 | 4 232 | 4 249 | 4 265 | 4 281 | 4 298 |
| 27 | 4 314 | 4 330 | 4 346 | 4 362 | 4 378 | 4 393 | 4 409 | 4 425 | 4 440 | 4 456 |
| 28 | 4 472 | 4 487 | 4 502 | 4 518 | 4 533 | 4 548 | 4 564 | 4 579 | 4 594 | 4 609 |
| 29 | 4 624 | 4 639 | 4 654 | 4 669 | 4 683 | 4 698 | 4 713 | 4 728 | 4 742 | 4 757 |

Tabela 23.2 (continuare)

| N | 0 | 1 | 2 | 3 | 4 | 5 | 6 | 7 | 8 | 9 |
|----|-------|-------|-------|-------|-------|-------|-------|-------|-------|-------|
| 30 | 4 717 | 4 786 | 4 800 | 4 814 | 4 829 | 4 843 | 4 857 | 4 871 | 4 885 | 4 900 |
| 31 | 4 914 | 4 928 | 4 942 | 4 955 | 4 969 | 4 983 | 4 997 | 5 011 | 5 024 | 5 038 |
| 32 | 5 051 | 5 065 | 5 079 | 5 092 | 5 105 | 5 119 | 5 132 | 5 145 | 5 159 | 5 172 |
| 33 | 5 185 | 5 198 | 5 211 | 5 224 | 5 237 | 5 250 | 5 263 | 5 276 | 5 289 | 5 302 |
| 34 | 5 315 | 5 328 | 5 340 | 5 353 | 5 366 | 5 378 | 5 391 | 5 403 | 5 416 | 5 428 |
| 35 | 5 441 | 5 453 | 5 465 | 5 478 | 5 490 | 5 502 | 5 514 | 5 527 | 5 539 | 5 551 |
| 36 | 5 563 | 5 575 | 5 587 | 5 599 | 5 611 | 5 623 | 5 635 | 5 647 | 5 658 | 5 670 |
| 37 | 5 682 | 5 694 | 5 705 | 5 717 | 5 729 | 5 740 | 5 752 | 5 763 | 5 775 | 5 786 |
| 38 | 5 798 | 5 809 | 5 821 | 5 832 | 5 843 | 5 855 | 5 866 | 5 877 | 5 888 | 5 899 |
| 39 | 5 911 | 5 922 | 5 933 | 5 944 | 5 955 | 5 966 | 5 977 | 5 988 | 5 999 | 6 010 |
| 40 | 6 021 | 6 031 | 6 042 | 6 053 | 6 064 | 6 075 | 6 085 | 6 096 | 6 107 | 6 117 |
| 41 | 6 128 | 6 138 | 6 149 | 6 160 | 6 170 | 6 180 | 6 191 | 6 201 | 6 212 | 6 222 |
| 42 | 6 232 | 6 243 | 6 253 | 6 263 | 6 274 | 6 284 | 6 294 | 6 304 | 6 314 | 6 325 |
| 43 | 6 335 | 6 345 | 6 355 | 6 365 | 6 375 | 6 385 | 6 395 | 6 405 | 6 415 | 6 425 |
| 44 | 6 435 | 6 444 | 6 454 | 6 464 | 6 474 | 6 484 | 6 493 | 6 503 | 6 513 | 6 522 |
| 45 | 6 532 | 6 542 | 6 551 | 6 561 | 6 571 | 6 580 | 6 590 | 6 599 | 6 609 | 6 618 |
| 46 | 6 628 | 6 637 | 6 646 | 6 656 | 6 665 | 6 675 | 6 684 | 6 693 | 6 702 | 6 712 |
| 47 | 6 721 | 6 730 | 6 739 | 6 749 | 6 758 | 6 767 | 6 776 | 6 785 | 6 794 | 6 803 |
| 48 | 6 812 | 6 821 | 6 830 | 6 839 | 6 848 | 6 857 | 6 866 | 6 875 | 6 884 | 6 893 |
| 49 | 6 902 | 6 911 | 6 920 | 6 928 | 6 937 | 6 946 | 6 955 | 6 964 | 6 972 | 6 981 |
| 50 | 6 990 | 6 998 | 7 007 | 7 016 | 7 024 | 7 033 | 7 042 | 7 050 | 7 059 | 7 067 |
| 51 | 7 076 | 7 084 | 7 093 | 7 101 | 7 110 | 7 118 | 7 126 | 7 135 | 7 143 | 7 152 |
| 52 | 7 160 | 7 168 | 7 177 | 7 185 | 7 193 | 7 202 | 7 210 | 7 218 | 7 226 | 7 235 |
| 53 | 7 243 | 7 251 | 7 259 | 7 267 | 7 275 | 7 284 | 7 292 | 7 300 | 7 308 | 7 316 |
| 54 | 7 324 | 7 332 | 7 340 | 7 348 | 7 356 | 7 364 | 7 372 | 7 380 | 7 388 | 7 396 |
| 55 | 7 404 | 7 412 | 7 419 | 7 427 | 7 435 | 7 443 | 7 451 | 7 459 | 7 466 | 7 474 |
| 56 | 7 482 | 7 490 | 7 497 | 7 505 | 7 513 | 7 520 | 7 528 | 7 536 | 7 543 | 7 551 |
| 57 | 7 559 | 7 566 | 7 574 | 7 582 | 7 589 | 7 597 | 7 604 | 7 612 | 7 619 | 7 626 |
| 58 | 7 634 | 7 642 | 7 648 | 7 657 | 7 664 | 7 672 | 7 679 | 7 686 | 7 694 | 7 701 |
| 59 | 7 709 | 7 716 | 7 723 | 7 731 | 7 738 | 7 745 | 7 752 | 7 760 | 7 767 | 7 774 |
| 60 | 7 782 | 7 789 | 7 796 | 7 803 | 7 810 | 7 818 | 7 825 | 7 832 | 7 839 | 7 846 |
| 61 | 7 853 | 7 860 | 7 868 | 7 875 | 7 882 | 7 889 | 7 896 | 7 903 | 7 910 | 7 917 |
| 62 | 7 924 | 7 931 | 7 938 | 7 945 | 7 952 | 7 959 | 7 966 | 7 973 | 7 980 | 7 987 |
| 63 | 7 993 | 8 000 | 8 007 | 8 014 | 8 021 | 8 028 | 8 035 | 8 041 | 8 048 | 8 055 |
| 64 | 8 062 | 8 069 | 8 075 | 8 082 | 8 089 | 8 096 | 8 102 | 8 109 | 8 116 | 8 122 |

Tabela 23.2 (continuare)

| N | 0 | 1 | 2 | 3 | 4 | 5 | 6 | 7 | 8 | 9 |
|----|-------|-------|-------|-------|-------|-------|-------|-------|-------|-------|
| 65 | 8 129 | 8 136 | 8 142 | 8 149 | 8 156 | 8 162 | 8 169 | 8 176 | 8 182 | 8 189 |
| 66 | 8 195 | 8 202 | 8 209 | 8 215 | 8 222 | 8 228 | 8 235 | 8 241 | 8 248 | 8 254 |
| 67 | 8 261 | 8 267 | 8 274 | 8 280 | 8 287 | 8 293 | 8 299 | 8 306 | 8 312 | 8 319 |
| 68 | 8 325 | 8 331 | 8 338 | 8 344 | 8 351 | 8 357 | 8 363 | 8 370 | 8 376 | 8 382 |
| 69 | 8 388 | 8 395 | 8 401 | 8 407 | 8 414 | 8 420 | 8 426 | 8 432 | 8 439 | 8 445 |
| 70 | 8 451 | 8 457 | 8 463 | 8 470 | 8 476 | 8 482 | 8 488 | 8 494 | 8 500 | 8 506 |
| 71 | 8 513 | 8 519 | 8 525 | 8 531 | 8 537 | 8 543 | 8 549 | 8 555 | 8 561 | 8 567 |
| 72 | 8 573 | 8 579 | 8 585 | 8 591 | 8 597 | 8 603 | 8 609 | 8 615 | 8 621 | 8 627 |
| 73 | 8 633 | 8 639 | 8 645 | 8 651 | 8 657 | 8 663 | 8 669 | 8 675 | 8 681 | 8 686 |
| 74 | 8 692 | 8 698 | 8 704 | 8 710 | 8 716 | 8 722 | 8 727 | 8 733 | 8 739 | 8 745 |
| 75 | 8 751 | 8 756 | 8 762 | 8 768 | 8 774 | 8 779 | 8 785 | 8 791 | 8 797 | 8 802 |
| 76 | 8 808 | 8 814 | 8 820 | 8 825 | 8 831 | 8 837 | 8 842 | 8 848 | 8 854 | 8 859 |
| 77 | 8 865 | 8 871 | 8 876 | 8 882 | 8 887 | 8 893 | 8 899 | 8 904 | 8 910 | 8 915 |
| 78 | 8 921 | 8 927 | 8 932 | 8 938 | 8 943 | 8 949 | 8 954 | 8 960 | 8 965 | 8 971 |
| 79 | 8 976 | 8 982 | 8 987 | 8 993 | 8 998 | 9 004 | 9 009 | 9 015 | 9 020 | 9 025 |
| 80 | 9 031 | 9 036 | 9 042 | 9 047 | 9 053 | 9 058 | 9 063 | 9 069 | 9 074 | 9 079 |
| 81 | 9 085 | 9 090 | 9 096 | 9 101 | 9 106 | 9 112 | 9 117 | 9 122 | 9 128 | 9 133 |
| 82 | 9 138 | 9 143 | 9 149 | 9 154 | 9 159 | 9 165 | 9 170 | 9 175 | 9 180 | 9 186 |
| 83 | 9 191 | 9 196 | 9 201 | 9 206 | 9 212 | 9 217 | 9 222 | 9 227 | 9 232 | 9 238 |
| 84 | 9 243 | 9 248 | 9 253 | 9 258 | 9 263 | 9 269 | 9 274 | 9 279 | 9 284 | 9 289 |
| 85 | 9 294 | 9 299 | 9 304 | 9 309 | 9 315 | 9 320 | 9 325 | 9 330 | 9 335 | 9 340 |
| 86 | 9 345 | 9 350 | 9 355 | 9 360 | 9 365 | 9 370 | 9 375 | 9 380 | 9 385 | 9 390 |
| 87 | 9 395 | 9 400 | 9 405 | 9 410 | 9 415 | 9 420 | 9 425 | 9 430 | 9 435 | 9 440 |
| 88 | 9 445 | 9 450 | 9 455 | 9 460 | 9 465 | 9 469 | 9 474 | 9 479 | 9 484 | 9 489 |
| 89 | 9 494 | 9 499 | 9 504 | 9 509 | 9 513 | 9 518 | 9 523 | 9 528 | 9 533 | 9 538 |
| 90 | 9 542 | 9 547 | 9 552 | 9 557 | 9 562 | 9 566 | 9 571 | 9 576 | 9 581 | 9 586 |
| 91 | 9 590 | 9 595 | 9 600 | 9 605 | 9 609 | 9 614 | 9 619 | 9 624 | 9 628 | 9 633 |
| 92 | 9 638 | 9 643 | 9 647 | 9 652 | 9 657 | 9 661 | 9 666 | 9 671 | 9 675 | 9 680 |
| 93 | 9 685 | 9 689 | 9 694 | 9 699 | 9 703 | 9 708 | 9 713 | 9 717 | 9 722 | 9 727 |
| 94 | 9 731 | 9 736 | 9 741 | 9 745 | 9 750 | 9 754 | 9 759 | 9 763 | 9 768 | 9 773 |
| 95 | 9 777 | 9 782 | 9 786 | 9 791 | 9 795 | 9 800 | 9 805 | 9 809 | 9 814 | 9 818 |
| 96 | 9 823 | 9 827 | 9 832 | 9 836 | 9 841 | 9 845 | 9 850 | 9 854 | 9 859 | 9 863 |
| 97 | 9 868 | 9 872 | 9 877 | 9 881 | 9 886 | 9 890 | 9 894 | 9 899 | 9 903 | 9 908 |
| 98 | 9 912 | 9 917 | 9 921 | 9 926 | 9 930 | 9 934 | 9 939 | 9 943 | 9 948 | 9 952 |
| 99 | 9 956 | 9 961 | 9 965 | 9 969 | 9 974 | 9 978 | 9 983 | 9 987 | 9 991 | 9 996 |

Tabela 23.3 (continuare)

Sinus 45° ... 90°

| Diferen- ța medie pe 1' | Grad | 0' | 10' | 20' | 30' | 40' | 50' | 60' | Diferen- ța medie pe 1' |
|-------------------------------|------|---------|---------|---------|---------|---------|---------|--------|-------------------------------|
| 0,9 | 71 | 0,9455 | 0,9465 | 0,9474 | 0,9483 | 0,9492 | 0,9502 | 0,9511 | 18 |
| 0,9 | 72 | 0,9511 | 0,9520 | 0,9528 | 0,9537 | 0,9546 | 0,9555 | 0,9563 | 17 |
| 0,8 | 73 | 0,9563 | 0,9572 | 0,9580 | 0,9588 | 0,9596 | 0,9605 | 0,9613 | 16 |
| 0,8 | 74 | 0,9613 | 0,9621 | 0,9628 | 0,9636 | 0,9644 | 0,9652 | 0,9659 | 15 |
| 0,7 | 75 | 0,9659 | 0,9667 | 0,9674 | 0,9681 | 0,9688 | 0,9696 | 0,9703 | 14 |
| 0,7 | 76 | 0,9703 | 0,9710 | 0,9717 | 0,9724 | 0,9730 | 0,9737 | 0,9744 | 13 |
| 0,6 | 77 | 0,9744 | 0,9750 | 0,9757 | 0,9763 | 0,9769 | 0,9775 | 0,9781 | 12 |
| 0,6 | 78 | 0,9781 | 0,9787 | 0,9793 | 0,9799 | 0,9805 | 0,9811 | 0,9816 | 11 |
| 0,5 | 79 | 0,9816 | 0,9822 | 0,9827 | 0,9833 | 0,9838 | 0,9843 | 0,9848 | 10 |
| 0,5 | 80 | 0,9848 | 0,9853 | 0,9858 | 0,9863 | 0,9868 | 0,9872 | 0,9877 | 9 |
| 0,4 | 81 | 0,9877 | 0,9881 | 0,9886 | 0,9890 | 0,9894 | 0,9899 | 0,9903 | 8 |
| 0,4 | 82 | 0,9903 | 0,9907 | 0,9911 | 0,9914 | 0,9918 | 0,9922 | 0,9925 | 7 |
| 0,3 | 83 | 0,9925 | 0,9929 | 0,9932 | 0,9936 | 0,9939 | 0,9942 | 0,9945 | 6 |
| 0,3 | 84 | 0,9945 | 0,9948 | 0,9951 | 0,9954 | 0,9957 | 0,9959 | 0,9962 | 5 |
| 0,2 | 85 | 0,9962 | 0,9964 | 0,9967 | 0,9969 | 0,9971 | 0,9974 | 0,9976 | 4 |
| 0,2 | 86 | 0,9976 | 0,9978 | 0,9980 | 0,9981 | 0,9983 | 0,9985 | 0,9986 | 3 |
| 0,1 | 87 | 0,9986 | 0,9988 | 0,9989 | 0,9990 | 0,9992 | 0,9993 | 0,9994 | 2 |
| 0,1 | 88 | 0,9994 | 0,9995 | 0,9996 | 0,9997 | 0,9997 | 0,9998 | 0,9998 | 1 |
| 0,03 | 89 | 0,99985 | 0,99989 | 0,99993 | 0,99996 | 0,99998 | 0,99999 | 1,0000 | 0 |
| | | 60' | 50' | 40' | 30' | 20' | 10' | 0' | Grad |

Cosinus 0° ... 45°

| Diferen- ța medie pe 1' | Grad | 0' | 10' | 20' | 30' | 40' | 50' | 60' | Diferen- ța medie pe 1' |
|-------------------------------|------|--------|--------|--------|--------|--------|--------|--------|-------------------------------|
| 2,9 | 0 | 0,0000 | 0,0029 | 0,0058 | 0,0087 | 0,0116 | 0,0145 | 0,0175 | 89 |
| " | 1 | 0,0175 | 0,0204 | 0,0233 | 0,0262 | 0,0291 | 0,0320 | 0,0349 | 88 |
| " | 2 | 0,0349 | 0,0378 | 0,0407 | 0,0437 | 0,0466 | 0,0495 | 0,0524 | 87 |
| " | 3 | 0,0524 | 0,0553 | 0,0582 | 0,0612 | 0,0641 | 0,0670 | 0,0699 | 86 |
| " | 4 | 0,0699 | 0,0729 | 0,0758 | 0,0787 | 0,0816 | 0,0846 | 0,0875 | 85 |
| " | 5 | 0,0875 | 0,0904 | 0,0934 | 0,0963 | 0,0992 | 0,1022 | 0,1051 | 84 |
| 2,9 | 6 | 0,1051 | 0,1080 | 0,1110 | 0,1139 | 0,1169 | 0,1198 | 0,1228 | 83 |
| 3,0 | 7 | 0,1228 | 0,1257 | 0,1287 | 0,1317 | 0,1346 | 0,1376 | 0,1405 | 82 |
| " | 8 | 0,1405 | 0,1435 | 0,1465 | 0,1495 | 0,1524 | 0,1554 | 0,1584 | 81 |
| " | 9 | 0,1584 | 0,1619 | 0,1644 | 0,1673 | 0,1703 | 0,1733 | 0,1763 | 80 |
| " | 10 | 0,1763 | 0,1793 | 0,1823 | 0,1853 | 0,1888 | 0,1914 | 0,1944 | 79 |
| | | 60' | 50' | 40' | 30' | 20' | 10' | 0' | Grad |

Cotangentă 45° ... 90°

Tabela 23.3 (continuare)

Tangentă 45° ... 90°

| Diferen- ța medie pe 1' | Grad | 0' | 10' | 20' | 30' | 40' | 50' | 60' | Diferen- ța medie pe 1' |
|-------------------------------|------|--------|--------|--------|--------|--------|--------|--------|-------------------------------|
| 3,0 | 11 | 0,1944 | 0,1974 | 0,2004 | 0,2035 | 0,2065 | 0,2095 | 0,2126 | 78 |
| 3,1 | 12 | 0,2126 | 0,2156 | 0,2186 | 0,2217 | 0,2247 | 0,2278 | 0,2309 | 77 |
| " | 13 | 0,2309 | 0,2339 | 0,2370 | 0,2401 | 0,2432 | 0,2462 | 0,2493 | 76 |
| " | 14 | 0,2493 | 0,2524 | 0,2555 | 0,2585 | 0,2617 | 0,2648 | 0,2679 | 75 |
| 3,1 | 15 | 0,2679 | 0,2711 | 0,2742 | 0,2773 | 0,2805 | 0,2836 | 0,2867 | 74 |
| 3,2 | 16 | 0,2867 | 0,2899 | 0,2931 | 0,2962 | 0,2994 | 0,3026 | 0,3057 | 73 |
| " | 17 | 0,3057 | 0,3089 | 0,3121 | 0,3153 | 0,3185 | 0,3217 | 0,3249 | 72 |
| 3,2 | 18 | 0,3249 | 0,3281 | 0,3314 | 0,3346 | 0,3378 | 0,3411 | 0,3443 | 71 |
| 3,3 | 19 | 0,3443 | 0,3476 | 0,3508 | 0,3541 | 0,3574 | 0,3607 | 0,3640 | 70 |
| 3,3 | 20 | 0,3640 | 0,3673 | 0,3706 | 0,3739 | 0,3772 | 0,3805 | 0,3839 | 69 |
| 3,4 | 21 | 0,3839 | 0,3872 | 0,3906 | 0,3939 | 0,3973 | 0,4006 | 0,4040 | 68 |
| 3,4 | 22 | 0,4040 | 0,4074 | 0,4108 | 0,4142 | 0,4176 | 0,4210 | 0,4245 | 67 |
| 3,5 | 23 | 0,4245 | 0,4279 | 0,4314 | 0,4348 | 0,4383 | 0,4417 | 0,4452 | 66 |
| 3,5 | 24 | 0,4452 | 0,4487 | 0,4522 | 0,4557 | 0,4592 | 0,4628 | 0,4663 | 65 |
| 3,6 | 25 | 0,4663 | 0,4699 | 0,4734 | 0,4770 | 0,4806 | 0,4841 | 0,4877 | 64 |
| 3,6 | 26 | 0,4877 | 0,4913 | 0,4950 | 0,4986 | 0,5022 | 0,5059 | 0,5095 | 63 |
| 3,7 | 27 | 0,5095 | 0,5132 | 0,5169 | 0,5206 | 0,5243 | 0,5280 | 0,5317 | 62 |
| 3,8 | 28 | 0,5317 | 0,5354 | 0,5392 | 0,5430 | 0,5467 | 0,5505 | 0,5543 | 61 |
| 3,9 | 29 | 0,5543 | 0,5581 | 0,5619 | 0,5658 | 0,5696 | 0,5735 | 0,5774 | 60 |
| 3,9 | 30 | 0,5774 | 0,5812 | 0,5851 | 0,5890 | 0,5930 | 0,5969 | 0,6009 | 59 |
| 4,0 | 31 | 0,6009 | 0,6048 | 0,6088 | 0,6128 | 0,6168 | 0,6208 | 0,6249 | 58 |
| 4,1 | 32 | 0,6249 | 0,6289 | 0,6330 | 0,6371 | 0,6412 | 0,6453 | 0,6494 | 57 |
| 4,2 | 33 | 0,6494 | 0,6536 | 0,6577 | 0,6619 | 0,6661 | 0,6703 | 0,6745 | 56 |
| 4,3 | 34 | 0,6745 | 0,6787 | 0,6830 | 0,6873 | 0,6916 | 0,6959 | 0,7002 | 55 |
| 4,4 | 35 | 0,7002 | 0,7046 | 0,7089 | 0,7133 | 0,7177 | 0,7221 | 0,7265 | 54 |
| 4,5 | 36 | 0,7265 | 0,7310 | 0,7355 | 0,7400 | 0,7445 | 0,7490 | 0,7536 | 53 |
| 4,6 | 37 | 0,7536 | 0,7581 | 0,7627 | 0,7673 | 0,7720 | 0,7766 | 0,7813 | 52 |
| 4,7 | 38 | 0,7813 | 0,7860 | 0,7907 | 0,7954 | 0,8002 | 0,8050 | 0,8098 | 51 |
| 4,9 | 39 | 0,8098 | 0,8146 | 0,8195 | 0,8243 | 0,8292 | 0,8342 | 0,8391 | 50 |
| 5,0 | 40 | 0,8391 | 0,8441 | 0,8491 | 0,8541 | 0,8591 | 0,8642 | 0,8693 | 49 |
| 5,2 | 41 | 0,8693 | 0,8744 | 0,8796 | 0,8847 | 0,8899 | 0,8952 | 0,9004 | 48 |
| 5,4 | 42 | 0,9004 | 0,9057 | 0,9110 | 0,9163 | 0,9217 | 0,9271 | 0,9325 | 47 |
| 5,5 | 43 | 0,9325 | 0,9380 | 0,9435 | 0,9490 | 0,9545 | 0,9601 | 0,9657 | 46 |
| 5,7 | 44 | 0,9657 | 0,9713 | 0,9770 | 0,9827 | 0,9884 | 0,9942 | 1,0000 | 45 |
| 5,9 | 45 | 1,0000 | 1,0058 | 1,0117 | 1,0176 | 1,0235 | 1,0295 | 1,0355 | 44 |
| 6,2 | 46 | 1,0355 | 1,0416 | 1,0477 | 1,0538 | 1,0599 | 1,0661 | 1,0724 | 43 |
| 6,4 | 47 | 1,0724 | 1,0786 | 1,0850 | 1,0913 | 1,0977 | 1,1041 | 1,1106 | 42 |
| 6,6 | 48 | 1,1106 | 1,1171 | 1,1237 | 1,1303 | 1,1369 | 1,1436 | 1,1504 | 41 |
| 6,9 | 49 | 1,1504 | 1,1572 | 1,1640 | 1,1708 | 1,1778 | 1,1847 | 1,1918 | 40 |
| | | 60' | 50' | 40' | 30' | 20' | 10' | 0' | Grad |

Cotangentă 0° ... 45°

Tabela 23.3 (continuare)

| Tangentă 45° ... 90° | | | | | | | | | |
|-------------------------------|------|---------|---------|---------|----------|---------|----------|---------|------|
| Diferen- ta medie pe 1' | Grad | 0' | 10' | 20' | 30' | 40' | 50' | 60' | |
| 7,2 | 50 | 1,1918 | 1,1988 | 1,2059 | 1,2131 | 1,2203 | 1,2276 | 1,2349 | 39 |
| 7,5 | 51 | 1,2349 | 1,2423 | 1,2497 | 1,2572 | 1,2647 | 1,2723 | 1,2799 | 38 |
| 7,9 | 52 | 1,2799 | 1,2876 | 1,2954 | 1,3032 | 1,3111 | 1,3190 | 1,3270 | 37 |
| 8,2 | 53 | 1,3270 | 1,3351 | 1,3432 | 1,3514 | 1,3597 | 1,3680 | 1,3764 | 36 |
| 8,6 | 54 | 1,3764 | 1,3848 | 1,3934 | 1,4019 | 1,4106 | 1,4193 | 1,4281 | 35 |
| 9,1 | 55 | 1,4281 | 1,4370 | 1,4460 | 1,4550 | 1,4641 | 1,4733 | 1,4826 | 34 |
| 9,6 | 56 | 1,4826 | 1,4919 | 1,5013 | 1,5108 | 1,5204 | 1,5301 | 1,5399 | 33 |
| 10,1 | 57 | 1,5399 | 1,5497 | 1,5597 | 1,5697 | 1,5798 | 1,5900 | 1,6003 | 32 |
| 10,7 | 58 | 1,6003 | 1,6107 | 1,6214 | 1,6318 | 1,6426 | 1,6534 | 1,6643 | 31 |
| 11,3 | 59 | 1,6643 | 1,6753 | 1,6864 | 1,6967 | 1,7090 | 1,7205 | 1,7321 | 30 |
| 12,0 | 60 | 1,7321 | 1,7438 | 1,7556 | 1,7675 | 1,7796 | 1,7917 | 1,8041 | 29 |
| 12,8 | 61 | 1,8041 | 1,8165 | 1,8291 | 1,8418 | 1,8546 | 1,8676 | 1,8807 | 28 |
| 13,7 | 62 | 1,8807 | 1,8940 | 1,9074 | 1,9211 | 1,9347 | 1,9486 | 1,9626 | 27 |
| 14,7 | 63 | 1,9626 | 1,9768 | 1,9912 | 1,0058 | 2,0204 | 2,0353 | 2,0503 | 26 |
| 15,7 | 64 | 2,0503 | 2,0655 | 2,0809 | 2,0966 | 2,1123 | 2,1283 | 2,1445 | 25 |
| 16,9 | 65 | 2,1445 | 2,1609 | 2,1775 | 2,1943 | 2,2113 | 2,2286 | 2,2460 | 24 |
| 18,3 | 66 | 2,2460 | 2,2637 | 2,2817 | 2,2998 | 2,3183 | 2,3369 | 2,3558 | 23 |
| 19,9 | 67 | 2,3558 | 2,3752 | 2,3945 | 2,4142 | 2,4342 | 2,4545 | 2,4750 | 22 |
| 21,6 | 68 | 2,4751 | 2,4960 | 2,5172 | 2,5387 | 2,5605 | 2,5826 | 2,6051 | 21 |
| 23,7 | 69 | 2,6051 | 2,6279 | 2,6511 | 2,6746 | 2,6985 | 2,7228 | 2,7475 | 20 |
| 26,1 | 70 | 2,7475 | 2,7725 | 2,7980 | 2,8239 | 2,8502 | 2,8770 | 2,9042 | 19 |
| 28,9 | 71 | 2,9042 | 2,9319 | 2,9600 | 2,9887 | 3,0178 | 3,0475 | 3,0777 | 18 |
| 32,2 | 72 | 3,0777 | 3,1084 | 3,1397 | 3,1716 | 3,2041 | 3,2371 | 3,2709 | 17 |
| 36,1 | 73 | 3,2709 | 3,3052 | 3,3402 | 3,3759 | 3,4124 | 3,4495 | 3,4874 | 16 |
| 40,8 | 74 | 3,4874 | 3,5261 | 3,5656 | 3,6059 | 3,6470 | 3,6891 | 3,7324 | 15 |
| 46,5 | 75 | 3,7324 | 3,7760 | 3,8208 | 3,8667 | 3,9136 | 3,9617 | 4,0108 | 14 |
| 53,5 | 76 | 4,0109 | 4,0611 | 4,1126 | 4,1653 | 4,2193 | 4,2747 | 4,3315 | 13 |
| 62,1 | 77 | 4,3315 | 4,3897 | 4,4494 | 4,5107 | 4,5736 | 4,6383 | 4,7040 | 12 |
| 73,3 | 78 | 4,7040 | 4,7729 | 4,8430 | 4,9152 | 4,9894 | 5,0658 | 5,1446 | 11 |
| 87,8 | 79 | 5,1446 | 5,2257 | 5,3093 | 5,3955 | 5,4845 | 5,5764 | 5,6713 | 10 |
| 107,1 | 80 | 5,6713 | 5,7694 | 5,8708 | 5,9758 | 6,0844 | 6,1970 | 6,3138 | 9 |
| 133,0 | 81 | 6,3138 | 6,4348 | 6,5606 | 6,6912 | 6,8269 | 6,9682 | 7,1154 | 8 |
| 171,5 | 82 | 7,1154 | 7,2687 | 7,4287 | 7,5958 | 7,7704 | 7,9530 | 8,1444 | 7 |
| 228,3 | 83 | 8,1444 | 8,3450 | 8,5556 | 8,7769 | 9,0098 | 9,2553 | 9,5144 | 6 |
| | 84 | 9,5144 | 9,7882 | 10,0780 | 10,3854 | 10,7019 | 11,0594 | 11,4301 | 5 |
| | 85 | 11,4301 | 11,8262 | 12,2505 | 12,7062 | 13,1969 | 13,7267 | 14,3007 | 4 |
| | 86 | 14,3007 | 14,9244 | 15,6048 | 16,3499 | 17,1693 | 18,0750 | 19,0811 | 3 |
| | 87 | 19,0811 | 20,2056 | 21,4704 | 22,9038 | 24,5418 | 26,4316 | 28,6463 | 2 |
| | 88 | 28,6463 | 31,2416 | 34,3778 | 38,1885 | 42,9641 | 49,1039 | 57,2900 | 1 |
| | 89 | 57,2900 | 68,7501 | 85,9398 | 114,5887 | 171,885 | 234,3774 | ∞ | 0 |
| | | 60' | 50' | 40' | 30' | 20' | 10' | 0' | Grad |
| Cotangentă 0° ... 45° | | | | | | | | | |

Exemple pentru modul de utilizare a tabelii 23.3. 1. Să se determine valoarea $\operatorname{tg} 38^{\circ}20'$.

În tabela pentru tangente, la intersecția rindului corespunzător la 38° cu coloana pentru $20'$ se citește 0,790 7. Deci: $\operatorname{tg} 38^{\circ}20' = 0,790 7$.

2. Se cere să se afle unghiul corespunzător sinusului a cărui valoare este 0,840 3. Într-una din coloanele sinusului se caută valoarea dată 0,840 3. Pe rîndul acestei valori, în coloana gradelor din stînga se citește 57° , iar în coloana minutelor, sus, corespund $10'$. Deci unghiul căutat este $57^{\circ}10'$.

3. Se dă unghiul $12^{\circ}16'$ se cere valoarea sinusului acestui unghi. Cum acest unghi și valoarea liniei trigonometrice corespunzătoare nu se găsesc în tabela 1.4, ele se determină prin interpolare. În calcul trebuie să se țină seama de sensul variației liniilor trigonometrice cînd unghiul crește în intervalul 0° la 90° (sinusul și tangenta cresc, iar cosinusul și cotangenta descresc).

Din tabelă se găsește că: $\sin 12^{\circ}10' = 0,210 8$; diferența pentru $1'$ este 2,8 crescător; pentru $6'$ vom avea: $\frac{2,8 \times 6}{10\ 000} = + 0,001 6$.

Deci: $\sin 12^{\circ}15' = 0,210 8 + 0,001 6 = 0,212 4$.

4. Se dă unghiul de $72^{\circ}38'$ și se cere valoarea cotangentei acestui unghi. Din tabelă se găsește că: $\operatorname{cotg} 72^{\circ}30' = 0,315 3$; diferența pentru $1'$ este 3,2 descrescător; pentru $8'$ vom avea:

$$8 \times (-3,2) : 10\ 000 = - 0,002 5.$$

Deci: $\operatorname{cotg} 72^{\circ}38' = 0,315 3 - 0,002 5 = 0,312 8$.

2.3. VALORI NUMERICE DES ÎNTILNITE

Tabela 23.4

| Mărimea | Valoarea numerică | Mărimea | Valoarea numerică | Mărimea | Valoarea numerică | Mărimea | Valoarea numerică |
|---------------------|-------------------|---------------------|-------------------|--------------------|-------------------|------------------|-------------------|
| π | 3,1415927 | $\pi : 3$ | 1,0471976 | $1 : \pi$ | 0,318310 | $\sqrt[3]{\pi}$ | 1,4645919 |
| 2π | 6,2831853 | $\pi : 4$ | 0,7853982 | $1 : \pi^2$ | 0,101321 | $\pi/\sqrt{\pi}$ | 5,5683280 |
| 3π | 9,4247780 | π^2 | 9,8696044 | $1 : \pi^3$ | 0,0032252 | $\sqrt[3]{\pi}$ | 4,6011511 |
| $\pi : 2$ | 1,5707964 | π^3 | 31,006277 | $\sqrt{\pi}$ | 1,7724539 | π/π | 39,478418 |
| $\pi^2 : 4$ | 2,4674011 | $\sqrt[3]{3} : \pi$ | 0,977205 | g^2 | 96,2361 | $4\pi^2$ | 1,003033 |
| $\pi/\sqrt{2}$ | 4,4428829 | $\sqrt[3]{2\pi}$ | 1,845261 | \sqrt{g} | 3,132091 9 | $\pi : \sqrt{g}$ | 0,709252 |
| $\pi : \sqrt{2}$ | 2,221442 | $\sqrt[3]{\pi : 2}$ | 1,162447 | $1 : 2g$ | 0,050968 | e | 2,718282 |
| $2\sqrt{\pi}$ | 3,544908 | $\sqrt[3]{\pi : 4}$ | 0,922635 | $2\sqrt{g}$ | 6,264184 | e^2 | 7,389056 |
| $\sqrt[3]{2\pi}$ | 2,506628 | $\sqrt[3]{2 : \pi}$ | 0,860254 | $\sqrt[3]{2g}$ | 4,429447 | $1 : e$ | 0,367879 |
| $\sqrt{\pi : 2}$ | 1,253314 | $\sqrt[3]{3 : \pi}$ | 0,984745 | π/\sqrt{g} | 9,839757 | $\sqrt[3]{e}$ | 1,648721 |
| $\sqrt[3]{2 : \pi}$ | 0,797885 | g | 9,81 | $\pi/\sqrt[3]{2g}$ | 13,91536 | $\sqrt[3]{e}$ | 1,395612 |

- Ackeran, N. S. Calculul și construcția mașinilor-unelte (traducere din limba rusă). București, Editura tehnică, 1955.
- Alexeev, G. A. ș.a. Calculul și construcția sevelor așchietoare (traducere din limba rusă). București, Editura tehnică, 1953.
- Aparin, G. A. și Gorodetski, I. E. Toleranțe și măsurări tehnice (traducere din limba rusă). București, Editura tehnică, 1956.
- Avrulin, A. Bazele frezării (traducere din limba rusă). București, Editura tehnică, 1960.
- Badea S. V. Mașini-unelte și prelucrări prin așchiere. București, Editura didactică și pedagogică, 1969.
- Barbu, V. Cartea strungarului. București, Editura tehnică, 1962.
- Birsan, I. Roți de schimb pentru mașini-unelte. București, Editura tehnică, 1956.
- Boiangiu, D. ș.a. Elemente elastice ale mașinilor. București, Editura tehnică, 1967.
- Botez, E. Angrenaje, proiectare, prelucrare, control. București, Editura tehnică, 1963.
- Botez, E. Capete divizoare. București, Editura tehnică, 1959.
- Buzău, V. și Zenovei, C. Tabele pentru ateliere mecanice. București, Editura tehnică, 1970.
- Buzdugan, G. Rezistența materialelor. București, Editura tehnică, 1970.
- Cașirin, A. I. Tehnologia construcției de mașini (traducere din limba rusă). București, Editura tehnică, 1953.
- Constantin, N. Filetarea la strung. București, Editura tehnică, 1962.
- Crefu, M. și Simion, A. Mașini de frezat fabricate în R. S. R. București, Editura tehnică, 1964.
- Demetrescu, G. C. Cartea rabotorului. București, Editura tehnică, 1961.
- Drăghici, G. Metode înaintate de prelucrare a metalelor. București, Editura tehnică, 1965.
- Drăghici, G. Bazele teoretice ale proiectării proceselor tehnologice în construcția de mașini. București, Editura tehnică 1971.
- Duca, Z. Găurirea. București, Editura tehnică, 1962.
- Dulăniță, T. Alegerea și tratamentul termic al oțelurilor de seule. București, Editura tehnică, 1963.
- Eliezer, S. Seule cu plăcuțe. București, Editura tehnică, 1969.
- Enache, St. Tehnologia sevelor așchietoare. București, Editura tehnică, 1964.
- Enache, St. Calitatea suprafețelor prelucrate. București, Editura tehnică, 1966.
- Georgescu, G. S. Ghidul atelierului mecanic. București, Editura tehnică, 1953.
- Georgescu, G. S. Îndrumător pentru ateliere mecanice. Ed. V-a, București, Editura tehnică, 1972.
- Georgescu, G. S. Cartea rectificatorului. Ed. II-a, București, Editura tehnică, 1962.
- Georgescu, G. S. Kozzrűfles, București, Editura tehnică, 1963.
- Georgescu, G. S. și Vasiliu St. Cartea frezorului. București, Editura tehnică, 1959.
- Georgescu, G. S. Noi tipuri de seule așchietoare și auxiliare. Vol. I. București, I.D.T., 1966.
- Georgescu, G. S. Noi tipuri de seule așchietoare și auxiliare. Vol. II. București, I.D.T., 1967.
- Georgescu, G. S. Aparare de măsurat și control în construcția de mașini. București, I.D.T., 1968.
- Georgescu, G. S. Dispozitive moderne de prelucrare pe mașini-unelte. București, I.D.T., 1967.
- Georgescu, G. S. Noi tendințe în construcția sevelor pentru prelucrări prin așchiere București, O.D.P.T., 1969.

- Georgescu, G. S. Noi dispozitive pentru prelucrări la fața locului. București, I.D.T., 1969.
- Georgescu, G. S. și Băncilă, A. Noțiuni în construcția și folosirea mașinilor-unelte, dispozitivelor și sevelor. București, Editura tehnică, 1969.
- Ghilezan, A. Strunjirea metalelor. București, Editura didactică și pedagogică, 1970.
- Gogoșă, I. și Romaniță, M. Realizări noi în automatizarea mașinilor-unelte. București, Editura tehnică, 1963.
- Guleaev, A. P. Tratamentul termic al oțelului (traducere din limba rusă). București, Editura tehnică, 1950.
- Hirschfeld, E. Metale dure. București, Editura tehnică, 1950.
- Isacov, A. I. Așchieria metalelor cu seule armate cu plăci mineralo-ceramice (traducere din limba rusă). București, Editura tehnică, 1954.
- Ivanov, P. G. Durificarea prin seintei electrice. București, Editura tehnică, 1963.
- Korecky, J. Călirea oțelului (traducere din limba rusă). București, Editura tehnică, 1951.
- Lăzărescu, I. Calculul și construcția sevelor așchietoare. București, Editura tehnică, 1963.
- Lăzărescu, I. Toleranțe, ajustaje și calibre. București, Editura tehnică, 1963.
- Manea, G. Organe de mașini. Vol. I. București, Editura tehnică, 1970.
- Manoliu, R. ș.a. Mașini agregate și linii automate. București, Editura tehnică, 1965.
- Mellzer, T. și Illiescu, N. Așchieria și seule așchietoare. București, Editura tehnică, 1954.
- Morkovkin, A. A. Lucrătorul la șeping și la morteză. București, Editura tehnică, 1950.
- Negrescu, T. ș.a. Tehnologia metalelor. București, Editura tehnică, 1954.
- Niemann, G. Maschinenelemente. Berlin, Springer Verlag, 1950.
- Rabinovici, I. Toleranțe și ajustaje. Vol. I și vol. II. București, Editura tehnică, 1971.
- Rabinovici, I. ș.a. Rubmenși. București, Editura tehnică, 1977.
- Romanoski, V. P. Îndrumător pentru presarea la ree (traducere din limba rusă). București, Editura tehnică, 1957.
- Rozin, A. I. Cartea seulerului (traducere din limba rusă). București, Editura tehnică, 1963.
- Săveanu, L. I.a. Organe de mașini. București, Editura tehnică, 1957.
- Slătineanu, R. Măsurarea caracteristicilor mecanice. București, Editura tehnică, 1958.
- Slavin, D. O. și Schapiro, D. M. Încercările mecanice ale metalelor (traducere din limba rusă). București, Editura tehnică, 1952.
- Șavliuga, N. I. Lanțurile cinematice ale mașinilor-unelte (traducere din limba rusă). București, Editura tehnică, 1954.
- Stribner, L. și Șrago, L. Comanda după program a mașinilor-unelte. București, Editura tehnică, 1963.
- Tmkov, A. A. Îndrumător pentru tratamente termice (traducere din limba rusă). București, Editura tehnică, 1956.
- Vasile, I. Sudarea metalelor. București, Editura didactică și pedagogică, 1969.
- Vasile, I. Utilajul și tehnologia sudării. București, Editura didactică și pedagogică, 1977.
- Zamfir, G. Mașini de găurit fabricate în R. S. R. București, Editura tehnică, 1964.
- M. I. G. Corpuri abrazive. București, O.D.P.T., 1968.
- *** Încercări și analize ale metalelor. București, Editura tehnică, 1954.
- *** Lexiconul tehnic român. București, Editura tehnică.
- *** Manualul inginerului. Vol. I și vol. II. București, Editura tehnică, 1954.
- *** Manualul inginerului mecanic. București, Editura tehnică, 1959.
- *** Îndrumător matematic și tehnic. București, Editura tehnică, 1964.
- *** Prelucrarea foarte fină a suprafețelor. București, Editura Academiei R. S. R., 1954.
- *** Superfinisarea și cernisarea suprafețelor prin rulare. București, I.D.T., 1963.
- *** Standarde de Stat (STAS).
- *** Tăierea metalelor cu jet de plasmă, București, I.D.T., 1963.

ERATĂ

| Pag.: | Rîndul: | În loc de: | Se va citi: |
|-------|--------------------|---|---|
| 97 | 8 și 12 | τ | σ |
| 97 | 2 de jos | $\dots - d/2) s \sigma'_{fa}$ | $\dots - d/2) s \tau_{fa}$ |
| 119 | 9 | $z_1/z_2; D_{d1}/D_{d2}$ | $z_2/z_1; D_{d2}/D_{d1}$ |
| 119 | 4 de jos | (mm) ... | (mm) ... l |
| 126 | 8 de jos | $75 P/v_1$ | $75 P_1/v_1$ |
| 126 | 6 de jos | $75 P_1/v_2$ | $75 P_2/v_2$ |
| 126 | 4 de jos | $F_1 \cdot 75/p_1$ | $F_1 \cdot v_1/75$ |
| 126 | 2 de jos | η | $\eta \cdot P_1$ |
| 129 | 5 și 6 de jos | $P_E \dots (E = \dots$ | $p_E \dots (p_E = \dots$ |
| 134 | 9 și 10 (în tabel) | 10 - 35 și 30 - 25 | 10 - 25 și 25 - 30 |
| 134 | 7 | $\operatorname{tg} \delta = 2 \frac{2a_1 \cdot p}{D_{p1} + 1,2p}$ | $\operatorname{tg} \delta = 2 \frac{2a_1 \cdot p}{D_{d1} + 1,2p}$ |
| 137 | 13 de jos | $k_1 + D_{d2}/2 \dots$ | $k_1 + D_{d1}/2 \dots$ |
| 144 | 3 | $\dots b^2 + h^3 \dots$ | $\dots b^2 + h^2 \dots$ |
| 337 | 1 de jos | $+(0,1 \dots 0,2)L$ | $+(0,1 \dots 0,2)\sqrt{L}$ |
| 338 | 13 | $= D - D_s + A_1$ | $= D - D_c + A_1$ |
| 349 | 16 de jos | $\dots \text{moi}$ | $\dots \text{moi}, \alpha = 6 \dots 8^\circ$ |
| 418 | 7 de jos | canalelor | cuțitelor |
| 419 | Tabela 8.43 | 230; 250; 270; 290; | 19,5; 21,5; 24,5; 27,5; |
| | coloana D_{max} | 310; 330; 370; 420 | 31,5; 37; 45; 55 |
| 424 | Tabela 8.45 | Nr. de pași pe 5,4 mm | Nr. de pași pe 25,4 mm |
| 481 | 11 | $A_4 = D_{max} - \dots$ | $A_4 = D_{min} - \dots$ |